مدينة الملك عبد العزيز للعلوم والتقنية

المنظمة العربية للترجمة

يوهانّ كارل فينك

البوليميرات العالية الأداء

ترجمة

د. يمن الأتاسي

سلسلة كتب التقنيات الاستراتيجية والمتقدمة

المحتويات

19	قديـــم
	قدمــــــــــــــــــــــــــــــــــــ
	1 البوليميرات الكاربازوليّة
	1.1. المونوميرات
24	1.1.1. مونومير N- ڤينيلُ كاربازول
=	2.1.1. المونوميرات ذات السلاسل الجانبيّة اللاخطيّة ضوئي
26	3.1.1. الزجاج الجزيئي
	2.1. البلمرة والتصنيع
27	1.2.1. البلمرة
	2.2.1. مركّبات أخرى للڤينيل كاربازول
	3.1. الخواص
40	1.3.1. الأطوار البلّوريّة السائلة
44	2.3.1. الخواص الضوئيّة
44	4.1. تطبيقات
	1.4.1. أفلام (أغشية) التصوير الكهرفوتوغرافي
47	2.4.1 الديودات البوليميريّة المُصدرة للضوء
61	3.4.1. المواد العضويّة الضوئيّة الانكسار
72	4.4.1. التجهيزات الفوتو ڤولطائيّة
76	5.4.1. الإصدار التلقائي المُضخَّم
77	6.4.1. العناصر البصريّة
	7.4.1. البوليميرت المضادة للكهرباء الساكنة
78	8.4.1. تطبيقات أخرى
	5.1. الموردون والعلامات التجاريّة
78	6.1. الأمان
79	المراجع
95	2 بولیمیرات (پارا کزیلیلین)
96	1.2. المونوميرات
99	2.2. البلمرة والتصنيع

99	1.2.2. توضيع الأبخرة كيميائياً
	2.2.2. البلمرة في المحاليل
	3.2. الخواص
102	1.3.2. الخواص الميكانيكيّة
104	4.2. تطبيقات
104	1.4.2. الطلاءات
108	2.4.2. التطبيقات الطبيّة
109	5.2. الموردون والعلامات التجاريّة
111	6.2. الأمان
111	المراجع
117	3 بولیمیرات (الآریلین ڤینیلین)
117	1.3. المونوميرات
118	2.3. البلمرة والتصنيع
119	1.2.3. طريق طليعي السلفونيوم
120	2.2.3. سيرورة التقارن المتصالب المحفّز بالمعادن الانتقالية
121	3.2.3. توضيع الأبخرة كيميائيّاً
	4.2.3. البلمرة بالمناقلة الفاتحة للحلقات
123	5.2.3. البلمرة الكهربائيّة
125	6.2.3. بلمرة بالتكاثف وفق نوڤن أنجل
125	7.2.3. تفاعل غيلش
126	8.2.3. تحفيز انتقال الطور بإزالة الهيدروهالوجينات
127	9.2.3. البلمرة الآنيونيّة
127	10.2.3 غير ما سبق
132	3.3. الخواص
132	1.3.3. الخواص الميكانيكيّة
132	2.3.3. الخواص الحرارية
133	3.3.3. الخواص الكهربائيّة
134	4.3.3. الخواص البصريّة
134	4.3. الإضافات الخاصة
134	1.4.3. الشو ائب
135	5.3. تطبيقات
136	1.5.3. التجهيزات المتألّقة كهربائيّاً
	2.5.3. التجهيز ات الفو تو ڤو لطائيّة
1.40	2.5.3 الألداف الذاذويّة من بدل موندان فزيران

148(4.5.3. الأنابيب النانويّة من پولي(p-فينيلين ڤينيلين
149	5.5.3. المُحسِنات
154	6.3. المورّدون والعلامات التجاريّة
154	7.3. الأمان
155	المراجع
169	4 بوليميرات (إيثر الفينيلين)
169	1.4. المونوميرات
171	2.4. البلمرة والتصنيع
175	1.2.4. بوليمير پولي(إيثر الفينيلين) الحامل للوظائف
178	2.2.4. البوليميرات المشتركة
179	3.2.4. المزائج
181	4.2.4. راتنجات التصلّد الحراري
182	5.2.4. أنماط أخرى متعلّقة بما سبق
183	3.4. الخواص
183	1.3.4. الخواص الميكانيكيّة
184	2.3.4. الخواص الحراريّة
185	3.3.4. الخواص الكهربائيّة
185	4.4. الإضافات الخاصة
185	1.4.4. معدّلات الصدم
185	2.4.4. الألياف
186	3.4.4. مُبطِّئات اللهب
188	4.4.4. عو امل النفخ
188	5.4. تطبیقات
188	1.5.4. قطع السيّارات
189	2.5.4. المواد اللاصقة
189	3.5.4. الأغشية الفاصلة
196	6.4. المورّدون والعلامات التجاريّة
199	7.4. الأمان
200	8.4. الأثر البيئي وإعادة التدوير
201	المراجع
209	5 بوليميرات (سلفيد الفينيلين)
210	1.5. المونوميرات
211	2.5. البلمرة والتصنيع
211	1 2 5 الدرد و درة القدارية

216	2.2.5. طرائق تحضير أخرى
216	3.2.5. يولي (سلفيد الفنيلين) المؤكسد
217	4.2.5. البوليميرات المشتركة
217	5.2.5. بوليميرات التصلّد الحراري
219	6.2.5. المزائج والمواد المركّبة
222	7.2.5. بوليميرات پولي (آريلين إيثر سلفيد)
223(8.2.5. بوليمير پولي (فينيلين سلفيد فينيلين أمين
224	9.2.5. بوليميرات پولي (ثنائي ثيا ثيانثرين)
225	10.2.5. بوليميرات پولي (آريل إيثر ثيانثرين).
226	3.5. الخواص
226	1.3.5. الخواص الميكانيكيّة
226	2.3.5. الخواص الحراريّة
227	3.3.5. الخواص الكهربائيّة
227	4.3.5. الخواص البصريّة
227	5.3.5. الانحلاليّة
228	4.5. الإضافات الخاصة
228	1.4.5. مزيلات الألوان
228	2.4.5. مثبّطات التأكّل
229	3.4.5. تخفيف الالتصاق
229	5.5. تطبیقات
230	1.5.5. المزائج المتلذنة حرارياً المواتية للّحام
ن) المُقاوِمة للسحجن) المُقاوِمة للسحج	2.5.5. مزائج بوليمير پولي (رباعي فلورو إيثيلير
233	3.5.5. البوليميرات الموصلة كهربائيًا
233	4.5.5. موادٌ لأغشية تبادل البروتونات
234	5.5.5. مواد ترشيح الأوزون
234	6.5. المورّدون والعلامات التجاريّة
235	7.5. الأمان
235	8.5. الأثر البيئي وإعادة التدوير
238	المراجع
245	6 بولیمیرات (آریل ایثر کیتون)
246	1.6. المونوميرات
247	2.6. البلمرة والتصنيع
247	1.2.6. السيرورة النيوكليوفيليّة
249	2.2.6 السيرورة الالكتروفيليّة

250	3.2.6. المزائج
251	4.2.6. التعديل
252	3.6. الخواص
252	1.3.6. الخواص الميكانيكيّة
255	4.6. الإضافات الخاصّة
255	1.4.6. مُثبّتات الصُّهارة
257	2.4.6. الموالئ ومواد التقوية
257	5.6. تطبيقات
257	1.5.6. الطلاء غير اللاصق
258	2.5.6. الأغشية الفاصلة المساميّة
	3.5.6. البطاريات القابلة لإعادة الشحن
265	4.5.6. الطلاءات
265	6.6. الموردون والعلامات التجاريّة
265	7.6. الأمان
	المراجع
275	7 بولیمیرات (آریلین إیثر سلفون)
277	1.7. المونوميرات
278	1.1.7. 4،4′-بيفينول
278	2.1.7. بيسْڤنيول A
279	3.1.7. بيس - (4- هيدروكسي فينيل)-سلفون
279	4.1.7. بيس - (4-كلورو فينيل)-سلفون
281	2.7. البلمرة والتصنيع
281	1.2.7. البلمرة بالتكاثف بالنمو المرحلي
283	2.2.7. البلمرة بالتكاثف بنمو السلسلة
زمر الطرفية (تلكيلية)	3.2.7. بوليميرات مشتركة من مونوميرات وظيفية ال
287	4.2.7. بوليميرات ذات الحلقات الضخمة
287	5.2.7. بلمرة فريدل - كرافتس
288	6.2.7. السلفنة
289	7.2.7. المزائج
290	8.2.7. أصناف من PES
294	9.2.7. التعديل
295	3.7. الخواص
295	1.3.7. الخواص الحراريّة
207	1"1 CH 1 1 1 2 2 7

297	3.3.7. الخواص الكهربائية
298	4.7. تطبيقات
298	1.4.7. الأغشية الفاصلة
305	2.4.7. التطبيقات الطبيّة
308	3.4.7. تطبيقات أدلّة الموجات البصريّة.
311	5.7. مواد أنابيب التمديدات الصحيّة
311	6.7. الموردون والعلامات التجاريّة
312	7.7. الأمان
312	8.7. الأثر البيئي وإعادة التدوير
314	المر اجع
325	8 بولیمیرات (آریلین إیثر نتریل)
325	1.8. المونوميرات
326	1.1.8. مركّبات بنزونتريل المُهَلْجنة
329	2.1.8. مركّبات الهيدروكسي العطريّة
330	2.8. البلمرة والتصنيع
331	1.2.8. الطريق الإلكتروفيلي
331	2.2.8. الطريق النيوكليوفيلي
334	3.8. الخواص
334	1.3.8. الخواص الميكانيكيّة
335	2.3.8. الخواص الحراريّة
335	3.3.8. الانحلاليّة
336	4.8. تطبيقات
336	1.4.8. الراتنجات المقوّاة
336	2.4.8. مواد المُرشّحات
337	3.4.8. المغانط المحتجزة بالراتنج
337	4.4.8. أغشية تبادل البروتونات
339	5.8. الموردون والعلامات التجاريّة
340	6.8. الأمان
341	المر اجع
345	9 بوليميرات التريازول
345	1.9. المونوميرات
347	2.9. البلمرة والتصنيع
ع مركّبات ثنائي هيدرازيد	1.2.9. تفاعلات مركبات ثنائي النتريل م
2.47	35 1 11 351 6 16 11 3 1 121 2 2 0

3.2.9. بوليميرات پولي (بيس - 4،2،1-تريازول)	
4.2.9. بوليميرات پولي (1-ڤينيل -4،2،1-تريازول)	
5.2.9. البوليميرات الشجريّة التشعّب من 4،2،1-تريازول	
3.5. الخواص	
1.3.9. الخواص الحراريّة	
2.3.9. الخواص الكهربائيّة	
3.3.9. الخواص البصريّة	
4.9. إضافات خاصّة	
1.4.9. مثبّطات التفكّك.	
5.9. تطبیقات	
1.5.9. الإيزوسيانات المُحتَجَزة	
2.5.9. تشبيك المطّاط	
3.5.9. الطلاءات	
4.5.9. اللواصق المتحمّلة لدرجات الحرارة العالية	
5.5.9. مثبّطات التأكّل البوليميريّة	
6.5.9. التركيبات المولّدة للغاز	
7.5.9. البوليميرات المبيدة حيويّاً	
6.9. المورّدون والعلامات التجاريّة	
7.9 الأمان	
المراجع	
ا بوليميرات پولي (أوكساديازول)	10
1.10. المونوميرات	
2.10. البلمرة والتصنيع	
1.2.10. البلمرة بالتكاثف	
2.2.10. البلمرة الآنيونيّة	
3.2.10. السلفنة	
3.10. الخواص	
4.10. تطبیقات	
1.4.10. الألياف	
2.4.10. الأغشية الفاصلة	
3.4.10. المُحسّات	
4.4.10. التجهيزات المُصدرة للضوء	
397	

387	5.10. المورّدون والعلامات التجاريّة
388	6.10. الأمان
388	المراجع
393	11 بوليميرات پولمي (نفتالات)
393	1.11. المونوميرات
393	1.1.11. حمض نفتالين ثنائي الكربوكسيليك
395	2.11. البلمرة والتصنيع
395	1.2.11. پولي (نفتالات الإيثيلين)
406	2.2.11. البوليميرات المشتركة
410	3.2.11. المزائج
416(4.2.11. پولي (3،1-بروبيلين 6،2-نفتالات
419	3.11. الخواص
419	1.3.11. الخواص الميكانيكيّة
420	2.3.11. الخواص الحراريّة
420	3.3.11. الخواص الكهربائيّة
420	4.3.11. الخواص البصريّة
421	5.3.11. النفاذيّة الغازيّة
423	6.3.11. المقاومة الكيميائيّة
424	4.11. الإضافات الخاصة
424	1.4.11. مُبطِّئات اللهب
425	2.4.11. الطلاءات الواقية
425	5.11. تطبيقات
425	1.5.11. پولي (نفتالات الإيثيلين)
426	2.5.11. الأغشية
430	3.5.11. الألياف
431	6.11. الموردون والعلامات التجاريّة
432	7.11. الأمان
435	8.11. الأثر البيئي وإعادة التدوير
435	المر اجع
443	12 بوليميرات پولي (فتال أميد)
444	1.12. المونوميرات
446	2.12. البلمرة والتصنيع
447	1.2.12. الطريق التقليدي

448	2.2.12. السيرورة الآنيّة أو سيرورة المعلّقات الهوائيّة .
449	3.2.12. السيرورات على دفعات
450	4.2.12. الطرق المستمرّة
450	5.2.12. التكاثف في السطح البينيّ
451	6.2.12. طريق إعادة تدوير الإستر
451	7.2.12. التفاعلات الجانبيّة
452	8.2.12. المزائج والبوليميرات المشتركة
454	9.2.12. تقنيات التصنيع
455	3.12. الخواص
455	1.3.12. الخواص الميكانيكيّة
455	2.3.12. الخواص الحراريّة
457	3.3.12. الخواص الكيميائيّة
457	4.12. الإضافات الخاصة
457	1.4.12. المواد المالئة
458	2.4.12. مضادات الأكسدة
462	3.4.12. مُعدّلات الصدم
462	4.4.12. مُبطِّئات اللهب
463	5.12. تطبيقات
	1.5.12. الأنواع الشفّافة
464	2.5.12. تركيبات للحام
465	3.5.12. السلع المطليّة كهربائياً
	4.5.12. لواصق الصهارة الحارّة
469	6.12. الموردون والعلامات التجارية
469	7.12. الأمان
469	8.12. الأثر البيئي وإعادة التدوير
472	المراجع
477	13 مركّبات الأراميد
477	1.13. المونوميرات
481	2.13. البلمرة و التصنيع
481	1.2.13. طريق كلوريد الحمض
481	2.2.13. طريق الحمض
482	3.2.13. طريق أول أوكسيد الكربون
	4.2.13. بوليميرات البولي (أميد) العطريّة جزئياً
484	5.2.13. الألياف

485	6.2.13. ورق الأراميد
486	7.2.13. بنى خلايا النحل السداسية
486	8.2.13. أغشية الأراميد
487	3.13. الخواص
487	1.3.13. الخواص الميكانيكيّة
489	2.3.13. الخواص الحراريّة
489	3.3.13. الخواص البصريّة
490	4.13. الإضافات الخاصة
سجيّة	1.4.13. المثبتات إزاء الأشعّة فوق البنف
490	2.4.13. المُعدِّلات الموصلة كهربائياً
491	5.13. تطبيقات
492	1.5.13. مواد الاحتكاك
492	2.5.13. مانعات التسرّب
493	3.5.13. مواد التقوية
494	4.5.13. حوامل المُحفّزات
بون	5.5.13. المركبات الطليعيّة لألياف الكر
496	6.5.13. خز ّانات الوقود الفائق البرودة.
496	7.5.13. مركبات الأراميد الفائقة التشعر
496	6.13. الموردون والعلامات التجاريّة
497	7.13. الأمان
499	8.13. الأثر البيئي وإعادة التدوير
499	المراجع
505	14 بوليميرات البولي (أميد إيميد)
505	1.14. المونوميرات
509	2.14. البلمرة والتصنيع
509	1.2.14. طريق الإيزوسيانات
510	2.2.14. طريق كلوريد الحمض
510	3.2.14. طريق البلمرة المباشرة
511	4.2.14. البلمرة بالأمواج المكرويّة
ذات النهايات المُغطاةذات النهايات المُغطاة	5.2.14. بوليميرات پولي (أميد إيميد)
غير المُشبعة	6.2.14. بوليميرات پولي (أميد إيميد)
513	7.2.14. المزائج
513	8.2.14. الرغويات

516	3.14. الخواص
516	1.3.14. الخواص الميكانيكيّة
517	4.14. تطبيقات
517	1.4.14. الأغشية الفاصلة
519	2.4.14. الطلاءات والمواد اللاصقة
522	3.4.14. الألياف
522	4.4.14. التطبيقات البصريّة
526	5.14. الموردون والعلامات التجاريّة
526	6.14. الأمان
528	المراجع
533	15 بوليميرات پولي (إيميد)
534	1.15. المونوميرات
538	2.15. البلمرة والتصنيع
538	1.2.15. الطريق النقليدي
539	2.2.15. طريق الإيزوسيانات
540	3.2.15. الطريق المائي
541	4.2.15. البلمرة بالإزاحة النيوكليوفيلية
541	5.2.15. الإيميدة التبادليّة
542	6.2.15. توضيع الأبخرة كيميائياً
543	7.2.15. مركّبات البيفينول المُعاقة
543	8.2.15. بوليميرات پولي (إيزو إيميد)
544	9.2.15. بوليميرات پولي (إيميد) المُحمّلة بالوظائف
546	10.2.15. مركّبات بيس (مال إيميد)
547	11.2.15. بوليميرات پولي (إيميد سلفون)
	3.15. الخواص
549	4.15. إضافات خاصنة
550	5.15. تطبیقات
550	1.5.15. الرغويات
552	2.5.15. تقانة الأغشية الفاصلة
	3.5.15. تقانة المُحسّات
558	4.5.15. كهرليتات الحاضنات البوليميريّة
559	5.5.15. الأغشية والطلاءات للتطبيقات الإلكترونيّة
560	6.5.15. التركيبات الحسّاسة ضوئياً
565	6.15. الموردون والعلامات التجارية

565	7.15. الأمان
567	8.15. الأثر البيئي وإعادة الندوير
571	المراجع
579	16 بوليميرات البلُورات السائلة
580	1.16. المونوميرات
583	1.1.16. الأسْتَلَة
583	2.1.16. المونوميرات الحاملة للوظائف
584	2.16. البلمرة والتصنيع
584	1.2.16. بوليميرات الإستر المشتركة
586	2.2.16. بوليميرات پولي (إستر أميد)
587	3.16. الخواص
587	
588	2.3.16. الخواص الحراريّة
588	3.3.16. الخواص الكهربائية والبصرية
589	4.16. التطبيقات
589	1.4.16. المواد المركّبة في المكان
592	2.4.16. تخزين المعطيات ضوئياً
594	3.4.16. الأطوار المستقرّة
597	4.4.16. شاشات البلّورات السائلة
601	5.4.16. تركيبات موصلة كهربائياً
602	5.16. الموردون والعلامات التجاريّة
603	6.16. الأثر البيئي وإعادة الندوير
604	المراجع
611	لهرس العلامات التجاريّة
641	لهرس الاختصارات
653	لهرس المركبات الكيميائية
689	لثبت التعريفي
701	بُبِت المصطلحات : عربي-إنجليزي
719	بُّت المصطلحات : إنجليزي-عربي
	. ••

سلسلة كتب التقنيات الاستراتيجية مبادرة الملك عبد الله للمحتوى العربى

يطيب لي أن أقدم لهذه السلسلة التي جرى انتقاؤها في مجالات تقنية ذات أولوية للقارئ العربي في عصر أصبحت فيه المعرفة محركاً أساسياً للنمو الاقتصادي والتقني، ويأتي نشر هذه السلسلة بالتعاون بين مدينة الملك عبد العزيز للعلوم والتقنية والمنظمة العربية للترجمة ويقع في إطار تلبية عدد من السياسات والتوصيات التي تعنى باللغة العربية والعلوم ومنها:

أولاً: البيان الختامي لمؤتمر القمة العربي المنعقد في الرياض 1428هـ 2007م الذي يؤكد ضرورة الاهتمام باللغة العربية، وأن تكون هي لغة البحث العلمي والمعاملات حيث نص على ما يلي: (وجوب حضور اللغة العربية في جميع الميادين بما في ذلك وسائل الاتصال، والإعلام، والإنترنت وغيرها).

ثانياً: «السياسة الوطنية للعلوم والتقنية» في المملكة العربية السعودية التي انبثق عنها اعتماد إحدى عشرة تقنية إستراتيجية هي: المياه، والبترول والغاز، والبتروكيميائيات، والتقنيات المتناهية الصغر (النانو)، والتقنية الحيوية، وتقنية المعلومات، والإلكترونيات والاتصالات والضوئيات، والفضاء والطيران، والطاقة، والمواد المتقدمة، والبيئة.

ثالثاً: مبادرة الملك عبد الله للمحتوى العربي التي تفعّل أيضاً ما جاء في البند أولاً عن حضور اللغة العربية في الإنترنت، حيث تهدف إلى إثراء المحتوى العربي عبر عدد من المشاريع التي تنفذها مدينة الملك عبد العزيز للعلوم والتقنية بالتعاون مع جهات مختلفة داخل المملكة وخارجها. ومن هذه المشاريع ما يتعلق برقمنة المحتوى العربي القائم على

شكل ورقي وإتاحته على شبكة الإنترنت، ومنها ما يتعلق بترجمة الكتب الهامة، وبخاصة العلمية، مما يساعد على إثراء المحتوى العلمي بالترجمة من اللغات الأخرى إلى اللغة العربية بهدف تزويد القارئ العربي بعلم نافع مفيد.

تشتمل السلسلة على ثلاثة كتب في كل من التقنيات التي حددتها «السياسة الوطنية للعلوم والتقنية». واختيرت الكتب بحيث يكون الأول مرجعاً عالمياً معروفاً في تلك التقنية، ويكون الثاني كتاباً جامعياً، والثالث كتاباً عاماً موجهاً إلى عامة المهتمين، وقد يغطي ذلك كتاب واحد أو أكثر. وعليه، تشتمل سلسلة كتب التقنيات الاستراتيجية والمتقدمة على ما مجموعه ثلاثة وثلاثون كتاباً مترجماً، كما خصص كتاب إضافي منفرد للمصطلحات العلمية والتقنية المعتمدة في هذه السلسلة كمعجم للمصطلح.

ولقد جرى انتقاء الكتب وفق معايير منها أن يكون الكتاب من أمهات الكتب في تلك التقنية، ولمؤلفين يشهد لهم عالمياً، وأنه قد صدر بعد عام 2000، وأن لا يكون ضيِّق الاختصاص بحيث يخاطب فئة محدودة، وأن تكون النسخة التي يترجم عنها مكتوبة باللغة التي ألف بها الكتاب وليست مترجمة عن لغة أخرى، وأخيراً أن يكون موضوع الكتاب ونهجه عملياً تطبيقياً يصب في جهود نقل التقنية والابتكار ويساهم في عملية النتمية الاقتصادية من خلال زيادة المحتوى المعرفي العربي.

إن مدينة الملك عبد العزيز للعلوم والتقنية سعيدة بصدور هذه المجموعة من الكتب، وأود أن أشكر المنظمة العربية للترجمة على الجهود التي بذلتها لتحقيق الجودة العالية في الترجمة والمراجعة والتحرير والإخراج، وعلى حسن انتقائها للمترجمين المتخصصين، وعلى سرعة الإنجاز، كما أشكر اللجنة العلمية للمجموعة التي أنيط بها الإشراف على البجازها في المنظمة وكذلك زملائي في مدينة الملك عبد العزيز للعلوم والتقنية الذين يتابعون تنفيذ مبادرة الملك عبد الله للمحتوى العربي.

الرياض 1431/3/20 هـ رئيس مدينة الملك عبد العزيز للعلوم والتقنية د. محمد بن إبراهيم السويل

البوليميرات الكاربازولية

يمكن بخشونة تفريق البوليميرات الكاربازوليّة إلى تلك التي تحوي زمرة الكاربازول بشكل زمرة معلّقة، وتلك التي تحوي زمرة الكاربزول في سلسلتها الرئيسة. وهناك فصيلة خاصّة تتمثّل ببوليمير كاربازولي ذي زمر مترافقة.

ينتمي الصفّ الأهمّ إلى البوليميرات المبنيّة على أساس مركّب N-ڤينيل كاربازول (NVK) الذي يُرمز إليه اختصاراً (NVK). إنّ بوليميرات الكاربازول مدروسة في الأدبيات 3-1. أما الاهتمام ببوليمير بولي (N-ڤينيل كاربازول) (PVK)، وبالبوليمير المتعلّقة به فيرجع إلى كون هذه ناقلةً ضوئيّاً، ومن ثُمّ وُجدَ لها تطبيقات في:

- 1. التصوير الكهرفوتوغرافي (Electrophotography)،
 - 2. والديودات البوليميرية المُصدرة للضوء،
- 3. والمواد العضوية الضوئية الانكسارية (Photorefractive materials)،
 - 4. و الأجهز ة الفوتو قو لطائية (Photovoltaic).

لقد كانت الاستعمالات الأولى لهذه البوليميرات في الأربعينيات من القرن الماضي في المكثفات الكهربائية وغيرها من التطبيقات الكهربائية بسبب خواص العزل الجيّدة التي تمتاز بها. وفي عام 1970، أدخلت شركة IBM، معتمدة على براءة اختراع تعود لشاتوك وقاترا (Shattuk & Vahtra)، وعلى نحو تجاري في مجال التصوير الكهرفوتوغرافي، معقّداً ناقلاً للشحنة من PVK مع 7،4،2-ثلاثي نترو -9-فلورينون أو اختصاراً (TNF).

الجدول (1-1): المونوميرات المشاركة في بوليمير (N-ڤينيل كاربازول)

المونومير المُشارك	المونومير	
ستيرين، أسيتات الڤينيل، تتائي ڤينيل	N- ڤينيل كاربازول	
البنزين، ميتاكريلات، N-ڤينيل -2-		
بيروليدون		
2- فينيل -5-4-[(4- ڤينيل فينيل)-	N-ڤينيل كاربازول	
ميثوكسي]فينيل -4،3،1- أوكسادياز ول ⁵		
حمض الأكريليك، حمض الميتاكريليك،	N-ڤينيل كاربازول	
حمض الفوماريك، بلا ماء حمض		
6 المالييك		
ميتاكريلات الميثيل	N-ڤينيل كاربازول	
(للحافظات المكرويّة المتألّقة ضوئياً) ⁷		
ميتاكريلات الميثيل، معقّد ميتاكريلات	N-ڤينيل كاربازول	
اليوروبيوم ^{9,8}		
10 ينبيل فتال إيميد -N	9-(3،2- إبوكسي بروبيل)كاربازول	
11		
ميتاكريلات الميثيل 11	إستر حمض ميتاكريليك	
	6-[3-(2-سيانو -2-(4-نتروفينيل)-ڤينيل)-كاربازول -9- إيل] هكسيل	
ميتاكريلات الميثيل 11	إستر حمض ميتاكريليك 6-[3-[2-(4-نتروفينيل)-	
	ڤينيل]-كاربازول -9- إيل]هكسيل	
ميتاكريلات الميثيل ¹¹	إستر حمض ميتاكريليك 6-[3-(ثنائي فينيل -	
	هيدر از و نوميثيل)-كار باز ول -9- إيل]هكسيل	

1.1. المونوميرات

يجري الحصول على الكاربازول بصفته أحد النواتج الثانوية من عمليّة تقطير قطران الفحم، ويمكن أن تتنوع وحدة الكاربازول بطرائق متعدّدة 11.

1.1.1. مونومير N- فينيل كاربازول

يمكن إدخال زمرة الثينيل في الكاربازول بالتفاعل مع الأسيتيلين. إنّ مركّب N-ڤينيل كاربازول مركّب بلّوري صلب بنّي اللون، درجة انصهاره هي 63 درجة مئويّة.

في الغالب، لا يتكون پولي (N-ڤينيل كاربازول) PVK من مونومير واحد، أي مجرد مونومير N-ڤينيل كاربازول، بل تضاف إليه مونوميرات مُشارِكة. يبيّن الجدول (1-1) والشكل (1-1) هذه المونوميرات المُشاركة.

$$N-CH=CH_2$$
 $N-CH=CH_2$ $N-CH=CH_2$

الشكل (1-1): مونوميرات مستعملة في بوليميرات (N- فينيل كاربازول) وبوليميراته المشتركة

2.1.1. المونوميرات ذات السلاسل الجانبيّة اللاخطيّة ضوئياً

لقد جرى اصطناع مونوميرات متعددة الوظائف، تُبدي بوليميراتها خواص لاخطية ضوئياً NLO، وناقلة ضوئياً في آن معاً 11. تتطلّب اللاخطيّة الضوئية من المرتبة الثانية، ألا تقبل كامل المنظومة تناظراً مركزياً، لذلك يكون للمونوميرات بنية معقدة نوعاً ما. يمكن إدخال هذه الوظائف باستعمال تفاعلات متعارفة في الكيمياء العضويّة.

كأمثلة على هذا النوع من المونوميرات نذكر إستر حمض ميتاكريليك 6-[3-(2-سيانو -2-(4-نتروفينيل)-ڤينيل)-كاربازول -9-إيل] هكسيل، وكذلك إستر حمض ميتاكريليك 6-[3-[2-(4-نتروفينيل)-ڤينيل)-قاربازول -9-إيل] هكسيل، وأخيراً إستر حمض ميتاكريليك 6-[3-(3-(1-1) فينيل - هيدرازونوميثيل)-كاربازول -9-إيل] هكسيل.

يبيّن الشكل (1-2) هذه المونوميرات، ويمكن تكوين البوليميرات منها بالبلمرة بالجذور الحرّة باستعمال البادئ 2،2/- آزو بيس إيزو بوتيرو نتريل (AIBN).

أظهرت دراسة الناقليّة الضوئيّة أنّ بعض هذه البوليميرات ناقلة ضوئياً بدون إضافة أي مُحسِّسات (Sensitizers)، أو عوامل ناقلة للشحنة.

الحمض 2- ميثيل أكريليك 6-[3-[2-سيانو-2-(4-نتروفينيل)-ڤتيل]-كاربازول-9-إيل]هكسيل إستر

الحمض 2- ميثيل أكريليك 6-[3-[2-(4-نتروفينيل)-ڤينيل]-كاربازول-9-إيل]هكسيل إستر

الحمض 2- ميثيل أكريليك 6-[3-(ثنائي فينيل-هيدر ازونوميثيل)-كاربازول-9-إيل]هكمبيل إستر

 11 الشكل (2-1): مونوميرات لتطبيقات الضوء اللاخطي

3.1.1. الزجاج الجزيئي

تسمّى المواد اللامتبلّرة التي تكون أغشية ناقلة للشحنة، وناقلة ضوئياً، باسم الزجاج الجُزيئيّ 12. كان لسنوات عديدة يُعتقد أنه يمكن للبوليميرات، وليس للمركّبات ذات الوزن الجُزيئيّ المنخفض، أن تُظْهر تزجُّجاً 13.

يجري تغريق المواد العضوية اللامتبارة Amorphous إلى صنفين: المركبات ذات الوزن الجُزيئي المنخفض والبوليميرات. عادة، يجري تصنيع الأجهزة المكوّنة من مركبات ذات وزن جُريئي منخفض بالتوضيع تحت الخلاء، في حين يجري تصنيع الأجهزة المكوّنة من بوليميرات بطرائق الصب أوالطلى الدوامي (Spin-coating).

لقد جرت دراسة، المركبات ذات الكتلة المولية المنخفضة والبوليميرات المؤسسة على قاعدة ثلاثي الأريل أمين والكاربازول، دراسة واسعة في العديد من التطبيقات نظراً إلى ما تتمتّع به من خواص جيدة كمواد تألّقيّة وناقلة للثقوب 12.

يمكن تركيب بوليميرات بوحدات 3،3′-ثنائي الكاربازوليل في سلسلتها الرئيسة 14. في الخطوة الأولى، يجري اصطناع ضنمامات (Adducts) ذات زمر يود معلّقة، كما في الشكل (3-1).

أمّا البوليميرات التي تحتوي في سلسلتها الرئيسة على وحدات ثنائي (كاربازول -3- إيل) البوليميرات الفينيل -4،1- فينيلين مين، و ١٨٠/- ثنائي (كاربازول -3- إيل) -١٠/- ثنائي الفينيل -4،1- فينيلين ثنائي الأمين، فيجرى تركيبها باستعمال تكثيف أولمان (Ullmann) المعدّل 15.

يُظهر الشكل (1-4) هذه الآليّة على نحو مبسّط. تتراوح درجة حرارة الانتقال الزجاجي بين 102 و 216 درجة مئويّة.

2.1. البلمرة والتصنيع

1.2.1. البلمرة

1.1.2.1. پولي (N- ڤينيل كاربازول)

يُعد بوليمير PVK أقدم البوليميرات الناقلة ضوئياً وأوسعها توصيفاً. إذ كان تقليدياً يستعمل مركباً مع TNF في آلات تصوير الوثائق. ولكن مواد جديدة اقترحت لهذه الغاية، نظراً إلى أن المنظومة PVK/TNF قليلة الحساسية الضوئية نسبياً، ولمركب TNF درجة عالية من السمية، كما إن الأغشية من PVK ضعيفة ميكانيكياً.

تُخفَّض ذرّة الآزوت المرتبطة بزمرة الثينيل الكثافة الإلكترونية في الزمرة بسبب مفعولها التحريضي، ولكنّ المفعول الميزوميري أو الطنيني لزوج إلكترونات الآزوت يطغى على المفعول التحريضي، مما يؤدي إلى تكوين منظومة π -الكترونية مشتركة مترافقة. ولذلك تمكن بلمرة مونوميرات NVK مباشرة باستعمال بوادئ كاتيونيّة.

الشكل (3-1): اصطناع ضُمامات مناسبة لتكثيف أولمان

الشكل (1-4): تكثيف أولمان لوحدات كاربازول مع $N \cdot N$ - ثناني فينيل - $4 \cdot 1$ - فينيلين ثنائي الأمين

أمّا البلمرة الأنيونيّة لهذه المونوميرات فهي غير ممكنة، ولكن يمكن أن تخضع مركّبات الكاربازول التي تكون فيها زمرة الڤينيل مرتبطة بالنواة العطريّة لبلمرة أنيونيّة.

يتبلمر NVK باستعمال بوادئ جذريّة. كما تمكن بلمرته باستعمال محفّزات زيغلر-ناتا (Ziegler-Natta)، أو البلمرة بانتقال الشحنة، أو البلمرة بالإشعاع، أو البلمرة الكهركيميائيّة.

البلمرة بالجذور الحرّة. تمكن بلمرة NVK بالاستعانة ببوادئ الجذور الحرّة، مثل AIBN أو البيروكسيدات. كما إنّ البلمرة الحراريّة ممكنة أيضاً إلاّ أنّ منتجاتها غير قابلة للتكرار.

يجري الحصول على PVK ذي وزن جُزيئي فائق الكبر بالبلمرة في محلول غير متجانس، باستعمال الميتانول كحول ترت-بوتيل مع جذر حر يتفكك عند درجة حرارة منخفضة مثل 2،2′- آزوبيس -(4،2-ثنائي ميثيل قالرو نتريل) (ADMVN). في هذا المحلول، يكون معدّل بلمرة NVK متناسباً تقريباً مع تركيز ADMVN، وهذا ما يبرر الطبيعة غير المتجانسة لهذه البلمرة 16.

إذْ، لولا ذلك، لتناسب معدّل البلمرة مع الجذر التربيعي لتركيز البادئ. وفي درجة حرارة الغرفة يكون المتوسط الوزني للوزن الجُزيّئي الذي نحصل عليه 000 23 دالتون.

ولمّا كان المونومير ميّالاً إلى تكوين كاتيونات، ففي الحالات التي لا تجري فيها محاصرة هذه الكاتيونات، قُلْ مثلاً في حالة مذيب بروتوني، يمكن لنمطي البلمرة بالجذر الحر وبالكاتيونات أن يتصاحبا معاً.

أمّا وجود إيثرات حلقيّة، مثل أوكسيد حلقي الهكسين (CHO) والتريوكسان، فلا يؤثر في البلمرة الجذرية لمونومير NVK مع AIBN.

بالمقابل، تتحسن البلمرة تحسناً ملحوظاً بوجود $PH_2I^+PF_6^-$ ، الذي يميل إلى قبول الكترون. في الحقيقة، إن وجود $PH_2I^+PF_6^-$ و $PH_2I^+PF_6^-$ مشتركاً تعاقبياً. يمكن تعليل ذلك بأنه يمكن تحويل جذر NVK المنتشر إلى الكاتيون الموافق بنفاعل انتقال إلكترون 17 . تستعمل البلمرة بالجذر الحرّ سواء كانت مُجملة (كتلية) أو في المعلّقات المائيّة في السيرورات التقنيّة.

البلمرة بزرع الجذور على الألياف الزجاجيّة. لقد رأينا مونومير NVK مزروعاً على ألياف زجاجيّة. في الخطوة الأولى يجري كيميائياً الحاق مركّب آزو (azo) بسطح الألياف 18.

يجري تحقيق ذلك بتفاعل زمر الهيدروكسيل المعلّقة مع فائض من إيزوسيانات ثنائيّة الوظيفة، مثل ثنائي إيزوسيانات التولوين (TDI). وفي الخطوة الثانية، يجري تثبيت زمرة حمضيّة، أو زمرة هيدروكسيل حاوية بادئ آزو على السطح المعدّل. هناك بادئان اثنان هما 4،4′- آزوبيس (-(4- سيانو - حمض بنتانويك) و 2،2′- آزوبيس -(2- سيانو بروبانول) يتمتعان بالزمر التفاعليّة الوظيفيّة المرجوّة. يبيّن الشكل (1-5) رسماً مبسطاً لعمليّة إلحاق مركّب آزو بسطح الزجاج.

البلمرة والزرع على أنابيب ناتوية. تستعمل الموائع فوق الحرجة استعمالاً واسعاً في التعامل مع المواد المسامية. فيمكن استعمال ثاني أوكسيد الكربون فوق الحرج في تشريب أنابيب كربون نانوية بكل من NVK و AIBN مع بلمرة لاحقة 19.

ويمكن أيضاً الحصول على هذه الأنابيب الكربونية النانوية الوظيفيّة بالبلمرة الكهركيميائية من مونومير NVK 21,20 هذه المواد مناسبة حيث يمكن استعمالها بصفتها مسار في بطاريات الليثيوم القابلة لإعادة الشحن وفي المكثفات الكهربائية.

الشكل (1-5): إلحاق مركبات آزو وظيفيّة على سطح زجاج باستعمال TDI

يمكن زرع بوليمير PVK على أنابيب كربونيّة نانويّة متعددة الجدران 22 . يجري الزرع بتفاعل جذري باستعمال AIBN في 21 -ثنائي كلور البنزين بدرجة حرارة 20 -ثنائي كلور البنزين بدرجة حرارة 20 -ثنائي الأنابيب الكربونيّة النانويّة ببوادئ ذات جذور حرّة عندما تفتح روابطها من النمط π ، وهي بهذا تساهم في تفاعل البلمرة. تتمتّع هذه المواد بقدرات كامنة يمكن استغلالها في التطبيقات البصريّة.

البلمرة المؤكسدة في حاضنة. لقد جرى وصف بلمرة NVK في حاضنة (البلمرة المؤكسدة في حاضنة (البلمرة المؤكسدة في حاضنة (الله اختصاراً PEG، حيث استُعمل (الله اختصاراً PEG، حيث استُعمل حوث الموسداً 23. ولقد تبيّن أنّ PEG يوفّر حاضنة مناسبة بهدف الحصول على محلول معقّد ثلاثي مستقر ومتجانس، وذلك على نحو أفضل مقارنة بـ پولي (حمض الأكريليك)، أو يولي (N)-ڤينيل -2-بيروليدون).

التنقية. إن لنقاء البوليمير تأثيراً حاسماً على مميّزاته الكهرفوتوغرافيّة، مثل الناقليّة الضوئيّة والحساسيّة الضوئيّة. إذ نحتاج إلى محتوى أقلّ من 100 ppm (مئة جزء من المليون) بالنسبة إلى المونومير. ولكن بقطع النظر عن طريقة التحضير، يكون البوليمير ملوّثاً بنسبة تصل إلى 6 في المئة بالمونومير NVK، حتّى 500 ppm كاربازول وأنتراسين، بالإضافة إلى مركّبات الكبريت في مجال الأجزاء بالمليون 24.

تمكن تنقية PVK بالترسيب. يجري حلُّ المادة البوليميريّة بواسطة مذيب مناسب، مثل N·N-ثنائي ميثيل فورمْ أميد، أو رباعي هيدروفوران (THF)، أو البنزين، أو التولوين، أو كلوريد الميثيلين، ثُمّ يجري ترسيب المادة البوليميريّة بإضافة الميثانول. ينبغي تكرار عمليّة الترسيب إلى قدور كبيرة، إذْ سرعان ما تتختّر المادّة.

هناك طريقة أخرى تستعمل حمضاً لاعضوياً لربط المركبات الأساسيّة. فيمكن خفض مستوى NVK في PVK إلى مقدار أقل من 25 ppm وذلك بمعالجة PVK في محلول من حمض قوي. ثُم يُسترجع البوليمير بشكله النقي بترسيبه ابتداء من محلول مع مادّة لا مذيبة 25.

الاستخلاص. هناك مَنْ يدّعي أنّ عمليّة استخلاص تهدف إلى التخلص من الشوائب تؤدّي إلى نتائج أفضل من عمليّة الترسيب ضمن محاليل عضويّة 24. يجري استعمال جهاز أساسه مبدأ سوكسلِت (Soxhlet) في عمليّة الاستخلاص، أما عوامل الاستخلاص فهي مواد لا مذيبة، لا تسبّب انتباجاً ملحوظاً مثل أسيتات الإيثيل.

ويمكن بعد ذلك استرجاع المادة المذيبة المحملة بالشوائب بتقطيرها. ومقارنة بتقانات الترسيب المعهودة، فإنّ لعمليّة الاستخلاص هذه الفوائد التالية:

- 1. تحتاج فقط إلى حوالى 10 إلى 20% من المادة المذيبة.
 - 2. الزمن اللازم لهذه العمليّة أقصر إلى حدّ بعيد.

لنتأمّل حالة عينة من PVK كانت تحوي من الشوائب: 4,2 في المئة من NVK، و 0.10 في المئة من الكاربازول، وبعض الأنتراسين في مجال الأجزاء بالمليون. بعد عمليّة استخلاص بواسطة أسيتات الإيثيل بدرجة حرارة 0.10، احتوت العينة على 0.11 من الڤينيل كاربازول بعد مضي ثماني ساعات، وجرى العثور على أقلٌ من 0.120 بعد مضي ثماني ساعات، وجرى العثور على أقلٌ من 0.13 من الكاربازول فقد كان أقل من حدّ الكشف.

المواد المتألّقة كهربائياً (Electroluminescent materials). يجري استعمال البلمرة الجذريّة، في تحضير مواد تتألّق كهربائياً، مكوّنة من بوليميرات مشتركة متناوبة من مونوميرات ناقلة للثقوب وأخرى ناقلة للإلكترونات 26.

تقليدياً، يجري استعمال مشتقات ثنائي الأمين، التي تشتمل على مواد عضوية منخفضة الوزن الجُزيئي مثل آريل أمين، بصفتها مواد عضوية تمتلك قدرات ناقلة للثقوب. على سبيل المثال: N،N-بيس -(3-ميثيل فينيل)-N،N-ثنائي فينيل بنزيدين، (TPD) ومواد ذات جُزيئات عضوية ضخمة مثل PVK. وكمادة ناقلة للإلكترونات نذكر 2-(4-بيفينيليل)-5-(4-ترت-بوتيل فينيل)-4-3،1-أوكساديازول (PBD). ومع ذلك، تتمتّع البوليميرات التي تمتلك الوظيفتين معاً ببعض الميزات.

كما يمكن استعمال مشتقات الكاربازول، مثل NVK و 6·3-ثنائي الميثيل -9-ڤينيل كاربازول، كمونوميرات ناقلة للثقوب. في حين يمكن استعمال مشتقات الأوكسيدازول، وعلى التفضيل α-2-نفتيل -3-(4-ڤينيل فينيل)-4·3·1-أوكساديازول، بصفتها مونوميرات ناقلة للإلكترونات. ومن جهة منظومات المحفّزات، فيفضل AIBN و 1٬۱-آزوبيس -(1-أسيتوكسي -1-فينيل إيثان) على البقيّة.

البلمرة الضوئية. لقد كان المعدّل الشامل للبلمرة الجذرية في المحلول لمونومير البلمرة النصوئية. لقد كان المعدّل الشامل للبلمرة الجذرية في المحلول لمونومير NVK في THF – في درجات حرارة تتراوح بين -20° C و -20° C مع بادئ ضوئي ADMVN كبادئ جذري – متناسباً مع الجذر التربيعي لتركيز البادئ. ولقد جرى الحصول على متوسط وزني للوزن الجُزيئي مساوياً 510,000 دالتون في درجات حرارة منخفضة، وبوجود تراكيز صغيرة للبادئ -30,200. الأمر نفسه صحيح عند استعمال -20,200. رباعي كلور الإيثان بصفته مذيباً -30,200.

استُعملت طريقة الليزر النبضي لتعيين ثابت معدّل انتشار التفاعل 27. ومنعاً من وقوع تداخل مع إثارة المونومير، فلقد جرى اختيار بادئ جذري يمتص حتّى 410 nm ومن بينها نجد البادئ الجذري: 2-بنزيل -2-ثنائي ميثيل أمينو -1-(4-مورفولينو فينيل) بوتانون -1 (Irgacure 369, Ciba). وعند استعمال 20-ثنائي ميثوكسي -2-فينيل أسيتوفنون، بصفته بادئاً ضوئيّاً لم يكن الوصول إلى ثوابت معدّلات الانتشار ممكناً عند درجات حرارة تتجاوز 2°C.

يُعتقد أن المونومير يُثار بضوء ليزر نبضي عند $355 \, \text{nm}$ عن المبادرة عن طريق تكوين جذور حرّة 28. لهذا السبب، يمكن أن تختلف النتائج عمّا نُشر سابقاً. يبيّن الجدول (2-1) مُعاملات آرينوس (Arrhenius).

NVK الجدول (2-1): مُعاملات آرينوس لثوابت الانتشار لمونومير

المر اجع	$E_a(\mathrm{kJ\ mol}^{-1})$	$A(1 \bmod^{-1} s^{-1})$
27	27.4	2.20×10 ⁸
28	22.8	3.60×10^7

المواد المركبة الناتوية. لقد استعرض الباحثان بيزواس و راي (Biswas & Ray) المواد المركبة الناتوية. وهي تتألف مما يلي :

- 1. تشريب وتضمين المونومير في الصلصال.
 - 2. البلمرة.
 - 3. تقشّر الصلصال.

يمكن تحضير المواد المركبة النانوية من النمط بوليمر -صلصال، بإقحام NVK في صلصال مونموريونيت (*) (montmorillonite) ثُمّ نتبع ذلك ببلمرة ذات بادئ ضوئي باستعمال ملح ثلاثي أريل سلفونيوم 33.

ويمكن تحضير المواد المركبة النانوية على قاعدة أوكسيد الألمنيوم، والپولي بيرول (PPY) و PVK، بترسيب PVK في معلّق لجُسيْمات أوكسيد الألمنيوم المطليّة بالپولي بيرول 35,34 . تجري إضافة المادة المركبة 90 PPY/Al $_2$ O $_3$ إلى محلول طيني من بودرة أوكسيد الألمنيوم، والبيرول، وبلا ماء كلوريد الحديد 90 Fe Cl $_3$.

^(°) صلصال مونموريونيت سُمّى نسبة إلى بلدة Mont Morillon في فرنسا (المترجم).

بعد ذلك يُضاف إلى المعلّق محلول PVK في THF. فيترسبّ PVK على جُسيّمات PPY/Al_2O_3 المتشكلة سابقاً. وتكون الناقليّة الكهربائيّة أعلى بشكل ملحوظ من ناقليّة البوليمير منفرداً.

البلمرة وفق زيغلر – ناتا (Ziegler-Natta). تمكن بلمرة NVK وغيره من المونوميرات مثل الإيثرات الفينيلية، و 5،1- هكسادين، وثنائي هيدروفوران، ثنائي هيدروبيران، باستعمال بوادئ مثل معقد خماسي ميثيل حلقي بنتادينيل التيتانيوم أو الهافنيوم أو الزيركونيوم، وذلك بوجود بادئ بوراني مشارك، مثل 36

$$B(C_{_{6}}H_{_{5}})(C_{_{6}}F_{_{5}})_{_{2}} \ \ \mathring{b}(C_{_{6}}F_{_{5}})$$

تجري البلمرة في درجة حرارة C -. في الحقيقة، أنه من غير الواضح إذا كانت البلمرة تحدث وفق آليّة تساندية، إذ من الممكن أن يحدث ذلك مترافقاً مع آليّة كاتيونيّة معروفة بأنها أسرع.

البلمرة الكاتيونية، مثل البلمرة الكاتيونية، إنّ NVK تفاعلي جدًا تجاه بوادئ البلمرة الكاتيونية، مثل أحماض البروتون، وأحماض لويس (Lewis)، والأملاح المعدنية، وغيرها. لتوضيح هذه التفاعليّة تجاه البلمرة، فقد أثبت أنه حتّى شعيرات الكربون يمكنها أن تبدأ بلمرة كاتيونيّة 37.

يمكن لكل من الإضافة وانتقال الإلكترون أن تحدثا معا بصفتهما آليتي مبادرة، لأن العديد من البوادئ الكاتيونية هي في الوقت نفسه متقبلات للإلكترونات.

إنّ ثابت معدّل الانتشار أعلى بمقدار 10^5 مرة مما هو ملحوظ في حالة البلمرة الجذرية. يعتمد معدّل البلمرة على ما اذا كانت تشارك في الآليّة شواردُ حرة، أو أزواج شارديّة. حيث إنّ الأزواج الشارديّة هي إلى حد ما أقل تفاعليّة من الشوارد الحرة.

يستعمل NVK بصفته مُحسِّساً في البلمرة الضوئية الكاتيونيّة، فالتراكيب القابلة للبلمرة الكاتيونيّة أو القابلة للإنضاج ضوئياً، تحوي عادة مونوميرات أو أوليغوميرات ذات وظائف إيبوكسية أو إيثرية، إضافة إلى بادئ ضوئي. إنّ البوادئ الضوئيّة ذات الاستعمال الأكثر شيوعاً في البلمرة الكاتيونيّة المحفّزة ضوئياً والفاتحة للحلقات هي أملاح ثنائي أريل البيودونيوم، أو أملاح ثلاثي أريل السلفونيوم.

يجري استعمال محسسات ضوئية بهدف زيادة الإنضاج، وهذا ما يزيد مقدار استجابة البوادئ الضوئية لأطوال الموجات الأكبر. ولهذا فقد جرى استعمال مركبات عطرية متعددة النوى غنية بالإلكترونات مثل الأنتراسين بيرين، والبيريلين، والكورونين، و و 10،9- ثنائى فينيل إثينيل أنتراسين، ومركبات الكاربازول.

إنّ أغشية بولي ((N- إبوكسي بروبيل)كاربازول) (PEPC) حساسة ضوئياً فقط قرب مجال الأشعّة فوق البنفسجيّة. في حين تُظهر المواد المركبة من البولي إيميدات مع PEPC ومشتقاته ثنائيّة الكلور، أو ثنائيّة البروم حساسيّة كهرضوئيّة ملموسة في مجال المشعّة فوق البنفسجيّة ³⁹.

لقد أُثبِتَ أنّ كلا من المونومير NVK والبوليمير PVK بصفتهما مُحسِّسين ضوئيين يتصرفان على نحو متماثل. أما البوليميرات المشتركة من NVK مع الثنائي إيثيل فومارات، فقد أظهرت قابليّة انحلال عالية في هذه المونوميرات. ولقد ظهر تحسن ملحوظ في الاستجابة الضوئيّة للبلمرة بالمحسسات الضوئيّة باستعمال أشعّة فوق البنفسجيّة واسعة الطيف، وذلك مقارنة بتجارب في غياب المحسسات الضوئيّة. أما البوليميرات المشتركة فتُحضر مع AIBN.

إنّ NVK، مع غيره من المونوميرات القابلة للبلمرة الكاتيونيّة، مُناسبٌ للمواد الهجينة الهجينة من نمط لاعضوي/عضوي مُضيف-ضيف. يجري تحضير هذه المواد الهجينة بالبلمرة في مسامّات الزيوليت 41,40. حيث تتكوّن بوليميرات معرّفة تعريفاً جيداً في شروط الحيّز الضيّق الذي تتيحه المسامات.

وباستعمال تقنيّة بلمرة كاتيونيّة تعاقبية جرى تحضير بوليميرات مشتركة ثلاثيّة الكتلة مكوّنة من NVK، و 4-(1-بيرينيل)بوتيل ڤينيل إيثر، و 2-كلور الإيثيل ڤينيل إيثر وبعد ذلك جرى تفعيل هذا البوليمير المشترك كتلي التعاقب باستعمال 2-(4- هيدروكسي فينيل)-5-فينيل -4،3،1-أوكساديازول، بتفاعل الكلور في الكسرة (Moiety) 2-كلور الإيثيل ليثر. إنّ إجرائيّة التعديل موضّحة في الشكل (1-6). أعطت الديودات المُصدرة للضوء LED المصنّعة من هذه المادّة تألّقاً كهربائياً منخفضاً.

البلمرة بانتقال الشحنة. يُنظر دوماً إلى البلمرة بانتقال الشحنة على أنها آلية خاصة، مع أنه يمكن تعليلها بصفتها آلية كاتيونية تشتمل على اثناني الشاردة (*) Zwitterion.

الشكل (1-6): تغيير زمر الكلور المتدلية مع 2-(4-هيدروكسي فينيل)-5-فينيل -4،3،1- أوكساديازول

تحدث غالباً أثناء البلمرة بانتقال الشحنات تفاعلات جانبيّة تولّد مركّبات منخفضة الوزن الجزيئي. إنّ عوامل انتقال الشحنة في حالة NVK التي تؤدّي إلى مبادرة البلمرة بانتقال الشحنة تضم مواد متقبّلة للإلكترونات، مثل رباعي سيانو الإيثيلين ⁴³، ومحاليل ثاني أوكسيد الآزوت وثاني أوكسيد الكبريت في ثنائي كلور الإيثان ⁴⁴. تكون البلمرة سريعة في حالة ثاني أوكسيد الآزوت وهي بطيئة في حالة ثاني أوكسيد الكبريت. يوضت الشكل (1-7) آلية المبادرة هذه.

يمكن استبعاد وجود آلية جذرية، لأن المثبّط ذا الجذر الحر 2،2-ثنائي فينيل-1-بيكريل-هيدرازيل، لا يثبّط البلمرة التي بدأها (استهلّها) ثاني أوكسيد الآزوت.

$$\begin{array}{c|c} & & & \\ \hline \\ CH=CH_2 \end{array} \qquad \begin{array}{c} & & \\ CH=CH_2 \end{array} \qquad \begin{array}{c} & \\ CH=CH_2$$

الشكل (1-7): البلمرة الكاتيونيّة لمونومير NVK

^(*) اثناني الشاردة هو نوع كيميائي معتدل كهربائياً إلا أنّ الذرات التي تكونه تحمل شحنات كهربائية صورية (المترجم).

البلمرة بانتقال السلسلة العكوس (RAFT). تُربَط وحدة الكاربازول في پولي (N-إيثيل -3-قينيل كاربازول) مباشرة بسلسلة البوليمير الرئيسة. ويمكن اصطناعها بالبلمرة بانتقال السلسلة العكوس من نمط إضافة – تجزئة، أو اختصاراً البلمرة بانتقال السلسلة العكوس (Reversible Addition-Fragmentation Transfer).

نتراوح التشتّية البوليميريّة (polydispersity) المقدار M_w/M_n بين 1.15 و 1.29 في هذه البوليميرات. في حالة البلمرة بانتقال السلسلة العكوس، تجري بلمرة N- إيثيل -3- ڤينيل كاربازول (E3VC) مع AIBN بوجود بنزيل -1- بيرول كاربو ثنائي ثيوات بصفته عامل انتقال السلسلة (CTA). وتتبع حركيّة البلمرة قانوناً خطيّاً من المرتبة الأولى، فيزداد الوزن الجُزيّئيّ على نحو متناسب مع التحوّل. إضافة إلى ذلك، هناك علاقة خطيّة بين الوزن الجُزيّئيّ، ونسبة المونومير إلى عامل انتقال السلسلة.

يمكن تمديد سلسلة بوليمير E3VC المنتهي بثنائي ثيوكاربامات، لتكوين بوليميرات مشتركة تعاقبية مع الپولي (الستيرين) (PS). تُصدر هذه البوليميرات المشتركة التعاقبية ضوءاً منبعثاً من إصدار إكسيميري (Excimer emission) عند 454 مع تألق فأوري (Fluorescence) أزرق. تبقى هذه البوليميرات مستقرة حرارياً عند درجات حرارة تفوق 350 درجة مئوية في جو من الأزوت 45.

البلمرة الكهركيميائية. تتيح عملية البلمرة الكهركيميائية على نحو مُناسب إمكانية توضيع غشاء ناقل من PVK على سطح مسرى العمل 46.

تعطي البلمرة الكهركيميائية لمونومير NVK في مذيبات عضوية مثل ثنائي كلور الميتان والأسيتونتريل، بوليمير PVK أبيض اللون غير ناقل، وبوليمير PVK أخضر اللون ناقلاً في آن واحد. يترسب البوليمير غير الناقل في المحلول الكهرليتي، في حين يغطي البوليمير الناقل سطح المسرى بغشاء أخضر اللون.

في محلول الديوكسان $- H_2SO_4$ ، لا يتكوّن بوليمير ناقلٌ على سطح المسرى، وذلك في تجارب التحليل الكهربائي التي كانت فيها تراكيز حمض الكبريت أقلٌ من PVK. ولكن لوحظ تكوّن PVK ناقل عند تراكيز أخفض للحمض عند الاستعاضة عن الإيثانول. يمكن إرجاع الظاهرة إلى تفكّك (تشرّد) أكبر يصيب الحمض بوجود الإيثانول.

يمكن توصيف الأغشيّة البوليميريّة على سطح بعد إزالتها عنه باستعمال أطياف مطيافيّة رامان (Raman).

يمكن النظر إلى تكوّن PVK ناقل على أنه عمليّة أكسدة مصعديّة لهذا البوليمير عبر جذور الكاربازول الكاتيونيّة، التي تتجمّع مثنى مثنى لتكوّن مادّة مشبكة، كما يظهر في الشكل (8-1).

إنّ تبعيّة المقاومة الكهربائيّة لهذا البوليمير إلى درجة الحرارة بين 30 و 125 درجة مئويّة، تفسح المجال لاستعماله محسّاً حراريّاً 4⁷. وعندما يجري تثبيت بلّورات الكاربازول على سطح مسرى، يمكن تحقيق الديمرة (Dimerization) والبلمرة بالأكسدة في الحالة الصلبة ⁴⁸. وباستعمال أساليب الطباعة النانويّة الكهركيميائيّة، يمكن تصنيع نماذج نانويّة ناقلة اعتماداً على التشبيك التصالبي (Crosslinking) المؤكسد لبوليمير ⁴⁹ PVK.

2.1.2.1 المواد المركبة من نمط N-فينيل كاربازول/بيرول

لقد أظهرت الأغشية المرنة المحضرة بالبلمرة الكهركيميائية الليزرية لمزيج من NVK والبيرول بوجود كهرليت مكون من كلوريد الميثيلين مع بركلورات رباعي بوتيل الأمونيوم، ناقليّة تعادل 50 وذلك في درجة حرارة الغرفة 50.

ويُقترح أنّ درجة البلمرة في المواد المركبة التي يجري تصنيعها بالبلمرة الكهركيميائية الليزرية يمكن أن تكون أعلى منها في حالة البلمرة الكهركيميائية وحدها. إذ تتغيّر ناقليّة المواد المركبة مع كثافة الطاقة الليزريّة بمقدار مرتبة واحدة في الكبر. ومن ناحية أخرى، عند طاقة ليزريّة مثبّتة عند 7 mJ cm⁻² لا تتعلّق ناقليّة المواد المركبة كثيراً بنسبة المونوميرات.

لقد جرى تصنيع جُسيَّمات نانويّة من نمط (قلب وقالب) (Core-shell)، مع البولي بيرول بصفته قلباً، وبوليمير PVK بصفته قالباً، بالبلمرة بالتشتيت لجسيمات نانويّة 51. ويمكن توليف مقدار سماكة القالب من PVK بتغيير مقدار مونومير NVK المضاف. تُبدي هذه البوليميرات درجة عالية من الناقليّة والتألّق الفَلُوري.

 $^{46}\,\mathrm{PVK}$ الأكسدة المصعديّة وتشبيك تصالبي لبوليمير

2.2.1. مركبات أخرى للقينيل كاربازول

1.2.2.1 تقارن غرينيارد (Grignard)

يمكن قَرْن مركبات 3-هالو -6-هالو مغنزيزيو -9-ألكيل -9H-كاربازول بوجود محفّزات البالاديوم، بطريقة تفاعلات غرينيارد ⁵². ويبيّن التحليل البنيوي للبوليمير أنّ وحدات الكاربازول المتكرّرة ترتبط فقط في الموقعين 3 و 6.

2.2.2.1. البلمرة الآنيونيّة

من المتعارف أنّ NVK نفسه لا يتبلمر عند معالجته بمركّب نظامي بوتيل الليثيوم في THF، ولكنه ليس خاملاً تماماً. إذ يتكوّن الكاربازول والإثين (الإثيلين) بصفتهما نواتج التفاعل.

في الجهة المُقابلة، فقد أُشير حديثاً إلى بلمرة مشتركة آنيونيّة لمونومير NVK مع الفولرينات C_{60} . تجري مبادرة البلمرة باستعمال نفتالين الليثيوم. بالمُقابل، فإنّ أملاح الفولرين متعدّدة الأنيونات لا تبادر بلمرة NVK أو أيّة مونوميرات أخرى 54 .

يمكن تحضير E3VC بتفاعل فيتيغ (Wittig) لمركب 9- إيثيل -3- كاربازول كربوكس الدهيد في THF. تمكن بلمرة هذه المونومير أنيونيّاً باستعمال نظامي بوتيل الليثيوم بصفته بادئاً. وبعدئذ يمكن تحضير بوليميرات مشتركة تعاقبية مع الستيرين. تظهر هذه البوليميرات تألّقاً ضوئياً (Photoluminescence) أزرق اللون 55.

3.1. الخواص

يتركّز الاهتمام بهذه البوليميرات على خواصها الكهربائيّة، وذلك نظراً إلى استخداماتها في التطبيقات الكهربائيّة.

1.3.1. الأطوار البلورية السائلة

يمكن أن يشكّل PVK بوليميرات بلّوريّة سائلة، إنّ أخفض درجة بلمرة لبوليمير PVK يمكن عندها أنّ يشكّل طوراً بلّورياً سائلاً مستقرّاً هي في المجال بين 150 و200 دالتون، وهذا أعلى بشكل ملحوظ من مقدار 50 دالتون الذي تتمتّع به معظم البوليميرات البلّوريّة السائلة التقليديّة ذات السلسلة الجانبيّة 56.

1.1.3.1 المواد الناقلة للشحنة

تعتبر البوليميرات القائمة على كسرة الكاربازول جذابة من جهة كونها مواد موصلة ضوئياً، وناقلة للشحنات، لأن كسرة الكاربازول تكون بسهولة نسبية جذوراً كاتيونية مستقرة، وأكثر من ذلك، يمكن تعديل حلقة الكاربازول باستعمال بدائل متنوعة. إضافة إلى ما سبق، يتمتع صف هذه المادة باستقرار حراري وكيميائي ضوئي عاليين.

تشمل المواد الناقلة للشحنة موادً ناقلة للثقوب الموجبة، وأخرى ناقلة للإلكترونات. تضمّ الأمثلة على مواد ناقلة للإلكترونات مواد منقبلة للإلكترونات، مثل:

- الكلوروأنيل، والبروموأنيل.
- رباعي سيانو الإيثيلين، ورباعي سيانو كينو ثنائي الميثان.
- 7،4،2-ثلاثي نترو -9-فلورينون، و 7،5،4،2-رباعي نترو -9-فلورينون.
 - 7،5،4،2-رباعي نترو كسانثون، و 8،4،2-ثلاثي نترو ثيوكسانثون.
 - 7،3،1- ثلاثي نترو ثنائي بنزو ثيوفين -5،5- ثنائي الأوكسيد.
 - مشتقات البنزوكينون.

أمّا مشتقات PVK فهي أمثلة على مواد ناقلة للثقوب الموجبة 57. وفيما يلي مواد أخرى من هذا النوع:

- پولی-γ-کاربازولیل ایثیل غلوتامات، ونواتج تکاثف البیرین-فورم ألدهید.
 - پولى (ڤينيل بيرين)، و پولى (ڤينيل فينانثرين)، و پولى (سيلان).
 - مشتقات الأوكسازول، والأوكساديازول.
 - مشتقات الإيميدازول.
 - مشتقات الأريل أمين.
 - مشتقات الستيلبين،
 - ومشتقات الأريل ميثان.

يمكن استعمال هذه المواد في راتنجات رابطة. ولكن عند استعمال PVK، الشائع بكونه مادّة ناقلة للثقوب، تواجهنا مشكلة معروفة حيث تسعى زمر الكاربازول المتجاورة إلى التكدّس بعضاً على بعض مكوّنة إكسيميرات $(^*)$. إنّ تكوّنَ الإكسيميرات يشكّل معضلة، لأنها يمكن أن تعمل كأفخاخ للشحنات، وتعيق انتقال الشحنة، أو تعمل، عند استعمالها مع مواد مُصدرة للضوء، على إعاقة إصدار الضوء 58 . وعليه فقد جرى اقتراح البوليميرات المشتركة للمركّبات المبيّنة في الشكل (9-1).

2.1.3.1 مبدأ التصوير الكهرفوتوغرافي

يتأسس مبدأ التصوير الكهرفوتوغرافي، المعروف بالاسم الشائع: كزيروغرافيا، على تشكّل صورة كهربائية ساكنة كامنة على سطح تصوير، وذلك عن طريق البدء بشحن السطح شحناً منتظماً كهربائياً ساكناً في الظلمة، ثُم تعريض هذا السطح المشحون للضوء وصورة الظلّ.

تصبح المساحات التي يصيبها الضوء من طبقة التصوير موصلة، وتنتشر الشحنة الكهربائية الساكنة انتقائياً في هذه المناطق المعرّضة للأشعّة الضوئيّة. بعد تعرّض الموصل الضوئي للضوء، تُظهّر الصورة الكهربائيّة الساكنة الكامنة على السطح الحامل لتصبح مرئيّة باستعمال مادّة ملّونة مقسّمة بعناية وحسّاسة كهربائيّاً، أي حبر الطباعة. يجري جذب حبر الطباعة إلى تلك المناطق من السطح الحامل للصورة، التي تحتفظ بشحنة كهربائيّة ساكنة، فيشكّل المسحوق بذلك صورة مرئيّة.

^(*) الإكسيميرات هي جزيئات مُثارة (المترجم).

يمكن بعد ذلك تثبيت الصورة المظهّرة تثبيتاً دائماً على الموصل الضوئي، عندما تكون طبقة التصوير غير معدّة لإعادة الاستعمال. أما في حالة أنظمة النسخ الورقي، فيجري تظهير الصورة الكامنة على سطح التصوير لموصل ضوئي قابل لإعادة الاستعمال، أو تُنقل إلى سطح آخر، مثل ورقة، ثُمّ تُظهّر بعد ذلك.

في حالة أنظمة النسخ الورقي، ينبغي أن تكون المواد المستعملة في طبقة الموصل الضوئي، قادرة على التبديل السريع من الحالة الموصلة إلى الحالة اللاموصلة، وبالعكس. وذلك لتتبح الاستعمال الدوري لسطح التصوير.

إنّ فشل المادّة في العودة إلى حالتها اللاموصلة، قبل بدء متتالية الشحن اللاحقة، يؤدي إلى تناقص قابليّة الشحن العظمى للموصل الضوئي. تسمّى هذه الظاهرة "تعبأ"، ويمكن تجنبها باختيار مواد موصلة ضوئياً ذات قدرة على التبديل السريع.

المواد المناسبة للاستعمال في مثل هذه الأنظمة تشمل الأنتراسين، والكبريت والسيلينيوم. إضافة إلى الأنتراسين، فقد جرى تركيز الاهتمام في مجال التصوير الكهرفوتوغرافي على مواد عضويّة موصلة ضوئياً أكثر جاذبيّة لبوليمير PVK. تُظهر بوليميرات الفينيل كاربازول، عند تحسيسها باستعمال TNF، استجابة ضوئيّة، وخصائص إزالة الشحن جيدتين، إضافة إلى معدّل منخفض لاضمحلال العتمة ألى معدّل منخفض الصمحلال العتمة يتوقف على استقطاب شحنة السطح.

إنّ التركيز الأعظم للمُحسِّس محدّد ببعض القيود. إذْ يمكن أن تؤدي كميات كبيرة من المحسِّس، إلى خواص سيّئة للتركيب المُحسَّس من الناحيتين الميكانيكيّة أو الموصلية الضوئية.

فمثلاً، يمكن أن تؤدي الإضافة المفرطة للمُحسِّس إلى تبلّره. ويمكن لبعض المُحسِّسات حتى في تراكيز منخفضة – أن تسبّب حساسيّة عالية للتركيب، إلى درجة أنّ التيار الضوئي المولّد عند التعرّض يبقى إلى ما بعد توقّف الإضاءة فترة طويلة نسبيّاً. بديلاً عن التحسيس بالإضافات، جرى طرح معقّدات انتقال الشحنات ضمن الجُزيئات، حيث تتوضيّع وظيفتا مانح الإلكترون، ومتقبّل الإلكترون على عمود فقري مشترك قينيلي. نجد أمثلة على ذلك في بوليميرات الفينيل النتراتيّة: پولي (أسنَفْتيلين)، وپولي (9-فينيل كاربازول)، وپولي (1-فينيل نفتالين) 95، والبوليميرات المشتركة من 603- ثنائي فينيل-

^(*) اضمحلال العتمة هو اضمحلال صورة ذات شحنة كهربائية ساكنة ناتج من بقائها فترة طويلة في العتمة (المترجم).

قينيل كاربازول، و 6،3-ثنائي نترو -9-قينيل كاربازول 60 . والبوليميرات المشتركة من NVK و 10 . فينيل فتال 10 المشتركة من

عند انتقال طاقة إثارة ثلاثيّة ضمن الجُزَيء، من مانح حامل للّون (كروموفور) (Chromophore) مكوّن من الفتال إيميد والكاربازول، إلى متقبّل حامل للّون من النفتالين، وقع انتقال كامل لطاقة إثارة الثلاثيّة، عندما كانت حوامل اللون مفصولة بزمر الميثيلين 61.

من المعتقد أنّ الشروط الخاصة الموضوعة على الوظائف المانحة للإلكترونات وتلك المتقبلة للإلكترونات تحسن إمكانيّة تفاعل انتقال الشحنة. إضافة إلى ذلك يجب تحقيق بعض المتطلّبات المتعلّقة بالتماكب الدوراني (الامتثال) والفراغي، بهدف تسهيل حدوث تداخل فعّال لمدارات مانح الإلكترون ومتقبّله اللازمة لحدوث هذا النوع من تفاعل انتقال الشحنة.

9- [4'-(كاربازول-9-إيل)[1،1'-ثنائي فينيل]-4-إيل]-3-ڤينيل كاربازول

الشكل (1-9) : مونوميرات مشتركة للمواد الناقلة للشحنة 58

2.3.1. الخواص الضوئية

يُعد بولي (1-هكسيل-4،3-نتائي ميثيل-5،3-بيروليلين) (PHDP) بديلاً لپولي المولي يُعد بولي (1-هكسيل-4،3-نتائي ميثيل -5،3-بيروليلين) فهو ينحل تماماً في المذيبات العضويّة المألوفة، وتمكن مقارنة تألّقه الضوئي بذلك الموافق لبوليمير PVK، إلاّ أنّ فعاليته الكموميّة تفوق بمرتين ونصف المرّة فعاليّة PVK.

تُسبّب الأشعّة فوق البنفسجيّة تغييرات عميقة في الخواص الفيزيائيّة والفيزيائيّة والفيزيائيّة الضوئيّة لبوليمير PVK. تترافق هذه التغييرات مع تعديلات في البنية الكيميائيّة للبوليمير 63. جُلّ ما يحدث في المرحلة الابتدائيّة للتشعيع هو تشبيك تصالبي. يُصبح عندها البوليمير غير قابل للانحلال. ثُمّ يُلاحظ انخفاض في الوزن الجزيئي مما يدلّ على تحلّل البوليمير.

4.1. تطبیقات

1.4.1. أفلام (أغشية) التصوير الكهرفوتوغرافي

1.1.4.1. الموصليّة الضوئيّة

يمكن تحليل الموصليّة الضوئيّة إلى عدّة خطوات:

- 1. امتصاص الأشعة.
- 2. تكون الإكسيتونات. الإكسيتون هو حالة مثارة ما زال فيها الإلكترون مرتبطاً بالحاضنة، ولكن الحاضنة تسعى إلى تكوين فجوة مشحونة. بكلمات أخرى، الإكسيتون هو زوج مكون من إلكترون وثقب شحنة.
- 3. تكوّن شحنات متحرّكة. تنفصل الإكسيتونات بمساعدة المواقع المانحة للإلكترونات وتلك المتقبّلة له المتوفّرة في المادّة متحوّلة إلى شحنات متحرّكة.
 - 4. ثُمّ إعادة تجمّع الشحنات.

تمتص زمرة الكاربازول الضوء في مجال الأشعة فوق البنفسجيّة. لذلك يمكن لبوليميرات من هذا النوع أن تصبح موصلة ضوئياً فقط في هذا المجال. ولكن يمكن إضافة مُحسّسات ملوّنة لإزاحة الموصليّة الضوئيّة إلى المجال المرئي.

بعد تكوّن الإكسيتونات، تصبح الشحنات أكثر انفصالاً. ويعتبر مدى الكفاءة التي يجري فيها تحوّل الإكسيتونات إلى شحنات حرّة، عاملاً مهمّا في مقدار العائد النهائي من الشحنات. يمكن تحسين هذا العائد بالإشابة بمُتقبّلات إلكترونات، أو بصياغة الجُزيّئات مع إدخال مُتقبّلات إلكترونات كبدائل أو سلاسل جانبيّة. يمكن للآليّات ضمن الجُزيّئيّة أو ما بين الجُزيّئات، وللحقول الكهربائيّة أن تؤثّر في عمليّة انفصال الشحنات 64. يمكن تخيّل انتقال الشحنات وكأنّ تكوّن ثقب مشحون يعني حذف إلكترون. يمكن ملء الثقب بإلكترون من موقع مُجاور، وهذا بدوره يكوّن ثقباً موجباً آخر في ذلك الموقع. بهذه الطريقة، يتحرّك الثقب وضوحاً، مُحدثاً من ثمّ انتقالاً للشحنة.

تُعيق تفاعلات إعادة تجمّع الشحنات مدى كفاءة الموصليّة الضوئيّة. وأكثر من ذلك، يمكن للشحنات أن تحاصر وتُحتجز في مواقع ذات بنية مناسبة، وهي بذلك لا تُدمّر فعلياً بل يمكن أن تتحرّر بعد بعض الوقت. يمكن مُقارنة هذا الوقوع في الشرك بعمليات الامتزاز في الكروماتوغرافيا العكوسة. وهو مسؤول عن انخفاض الموصليّة الضوئيّة.

2.1.4.1 معقدات

يتكوّن معقّد TNF-PVK بالتفاعل المباشر لهاتين المادتين في مذيب مناسب، مثل 65 THF.

وبهدف إنتاج أغشية خالية من البلورات السطحيّة، فقد وُجدَ أنّ THF هو أفضل المذيبات. يُعطي الكلوروبنزين نتائج جيّدة عند تطبيق الأغشيّة ساخنة. الإجرائيّة المعتادة هي في تحضير محلول أمّ من PVK في TMF، ثُمّ يضاف TMF بمقادير مناسبة.

3.1.4.1 البوليميرات المشتركة الموصلة ضوئياً

يمكن تحضير بوليمير مشترك موصل ضوئي فيه حوالى 10 في المئة مول من N-ڤينيل فتال إيميد والباقي NVK بطريقة البلمرة بالجذر الحر باستعمال AIBN في محلول من البنزين. يجري ترسيب البوليمير بالهكسان، ثُمّ يُنقّى بحلّه في مزيج من البنزين/THF، وإعادة ترسيبه بالهكسان. تُكرّر هذه العمليّة عدة مرّات. إنّ المتوسط العددي للوزن الجُزيَئي لهذا البوليمير المشترك يقع في مرتبة 100,000 دالتون 10.

يمكن تشكيل أغشية موصلة ضوئياً، مفيدة في الكهر فوتوغر افيا، من هذه البوليميرات المشتركة باستعمال تقنيات بسيطة مثل صب المذيب والطلي. المذيبات النموذجيّة هي THF وخلائط التولوين/حلقي الهكسانون. يمكن التحكم بسماكة الغشاء من خلال ضبط لزوجة محلول الطلاء.

4.1.4.1 البوليميرات المشتركة

لقد جرى وصف مادة محلول-هلام موصلة ضوئيًا مؤسسة على شبكة متداخلة عضوية/لاعضوية. يؤدي PVK دور محسس 66.

الأنظمة الناقلة للثقوب والمتقبّلة للإلكترونات. تمكن بلمرة NVK بصفته ناقلاً للثقوب بلمرة مشتركة مع مونوميرات متقبّلة للإلكترونات. كأمثلة على هذه المونوميرات 2-فينيل -5-4-[(4-فينيل فينيل)-ميثوكسي]فينيل -4-3،1-أوكساديازول و 2-(4-ترت-بوتيل فينيل) ميثوكسي]فينيل -4-3،1-أوكساديازول 5.

تجري البلمرة على نمط البلمرة المشتركة بجذر حرّ ونحصل على بوليميرات مشتركة إحصائيّة. لذلك يمكن تنويع تركيب البوليميرات المشتركة، ويمكن صياغة الخواص الموصلة حسب الحاجة. تكون البوليميرات المشتركة شفّافة في المجال المرئي وتكوّن أغشية جيّدة.

مقارنة بمزائج PVK ومركبات الأوكساديازول ذات الوزن الجُزيئيّ المنخفض، تبقى درجات حرارة الانتقال الزجاجي لهذه البوليميرات المشتركة مرتفعة. ولأنه يجري تثبيت وحدات الأوكساديازول بتفاعل بلمرة مشتركة، لا يحدث تغيير مردّه فصل الطور أو إعادة التبلّور. الخواص الكهربائيّة للبوليميرات المشتركة هي إلى حدّ ما أقلّ مما هي عليه في حالة PVK الصرف. تُظهر البوليميرات المشتركة كفاءة جيّدة في الأجهزة المُشابة بالصباغ المُصدرة للضوء الأزرق والأخضر والبرتقالي.

المُحسسّات. يرتفع إلى حدِّ بعيد معدّل التفريغ المحرَّض ضوئياً في أغشية PVK عندما تجري إشابة الأغشية الفولرين الممعدن، أو داي سبروزيوم فولريد (DyC-82)، أو الفولرين C-60 و C-84 موصليّةً

ضوئيّة أفضل من تلك التي أظهرها غشاء مُشابّ بــ 84-C. هذه يفسّر أنّ DyC-82 هو متقبّلٌ أفضل للإلكترونات من C-84. إلاّ أنّ الأغشيّة المُشابة بــ C-60 تظهر الموصليّة الضوئية الأفضل C67.

تجمّع صفائح الطباعة الليتوغرافيّة الموصلة ضوئياً. لقد جرت بلمرة بلمرة مشتركة مع مونوميرات أوليفينيّة تحوي حمضاً كربوكسيليّاً مثل حمض الأكريليك، أو حمض الميتاكريليك، أوحمض الفوماريك، أو أنهيدريد حمض المالييك أو أنهيدريد كربوكسيلي 6. تُعطي الوظيفة الحمضية بوليميرات مشتركة قابلة للانحلال في أوساط مائيّة قلوية. يُراد لهذه البوليميرات المشتركة أن تكون جزءاً من تجمّع صفائح طباعة ليتوغرافيّة موصلة ضوئياً.

2.4.1 الديودات البوليميرية المُصدرة للضوء

يتكوّن الديود العضوي المُصدر للضوء من غشاء بوليميري بين مسربين. أحد المسربين، مثل الذهب أو أوكسيد الإنديوم والقصدير (ITO)، يجب أن يتمتّع بطاقة تحرر (*) مرتفعة، لإنجاز حقن ثقوب الشحنات الموجبة. أما المسرى الآخر فيتكوّن من معدن ذي طاقة تحرر منخفضة لتحقيق حقن الإلكترونات. المعادن المناسبة لذلك هي الألمنيوم، أو الكالسيوم أو المغنزيوم.

يُدخَل كلّ من الإلكترونات وشحنات النقوب إلى الغشاء البوليميري حيث تتجمّع لتكوّن إكسيتونات، بحالات واحديّة أو ثلاثيّة. الإكسيتون هو زوج مكوّن من إلكترون مُثار وثقب. ويحدث التألّق الكهربائي EL) Electroluminescence عند الانتقال من الإكسيتون المُثار إلى الحالة القاعدية بإصدار الإشعاع.

في النظم التقليديّة، تكون الحالة المُثارة حالة واحديّة. ولكن لوحظ في بعض النظم حدوث التألّق الكهربائي ناجم عن حالات واحديّة وثلاثيّة معاً. تعتبر هذه النظم أفضل من النظم التقليديّة.

يتمتّع العديد من الجُزيئات المترافقة بكفاءة تألّق ضوئي Photoluminescence يتمتّع العديد من الجُزيئات المترافقة بكفاءة التألق الكهربائي عن 5 في المئة.

^(*) طاقة التحرر (Work Function) هي أقل مقدار للطاقة يلزم لتحرير إلكترون من الجسم الصلب إلى منطقة تقع مباشرة خارجه (المترجم).

يُعتقد أنّ أحد أسباب ذلك هو تكون إكسيتونات ثلاثيّة. وتحديداً، عندما تتجمّع الإلكترونات والثقوب لتكون إكسيتونات، تكون هذه الأخيرة أما في حالة واحديّة أو ثلاثيّة. وفي الجُزيئات المترافقة فقط تلك التي تكون في حالة واحديّة يمكن أن تولّد الضوء. وتُفقد الإكسيتونات الثلاثيّة في آليّات غير مُشعّة. نظراً إلى إحصائيات السبين، يمتلك فقط 25% من الإكسيتونات حالة واحديّة في الجزيئات المترافقة. لذلك لا يمكن أن تتعدّى كفاءة المواد البوليميريّة المترافقة مقدار 25%.

لذلك فأنه من الواعد استعمال شوارد اللانتانيد، معلّقة بربيطات عضويّة، كمُصدرات للضوء في مواد عضوية متألّقة كهربائياً 9,8. في هذه النظم، يمكن أن تنتقل الحالات الواحديّة والثلاثيّة إلى المستويات £ لشاردة اللانتانيد مولّدة بذلك تألّقاً كهربائياً. وأكثر من ذلك، تمتلك الشوارد الترابيّة النادرة أطياف إصدار دقيقة بعكس الجُزيّئات المترافقة.

لنعرض بعض التعاريف المستعملة في النص اللاحق. الإكسيمير Excimer هو جُزيَئة بسيطة مُثارة. وبالمُقابل، الإكسيبلكس Exciplex هو مُعقّد مُثار مكوّن من جُزيَئات مختلفة تكوّن معاً حالة مُثارة. عند تحلّل الإكسيبلكس يمكن أن يحدث تألّق ضوئي.

في بعض الحالات يمكن أن يحدث إصدار لتألق كهربائي بأطوال موجات طويلة، لا يمكن ملاحظتها في أطياف التألق الضوئي. يفترض أن هذه الإصدارات ناتجة من كهرميرات Electroplexes وكهرمعقدات Electroplexes بالترتيب. إن آليّة هذه النوع الأخير من الإصدار هي آليّة تألق فوسفوري (Phosphorescence)، أو إعادة انضمام إشعاعي مباشر للثقوب والإلكترونات المتعلّقة بجُزيئتين متجاورتين 68. إن تعبيري كهرمير وكهرمعقد متسايران تماماً مع تعبيري إكسيمير وإكسيبلكس.

في مزائج PVK مع PBD وفي البوليميرات المشتركة العشوائية مع زمر كاربازول وأوكساديازول معلّقة كسلاسل جانبيّة، تتمتّع الزمر الفعّالة بحركيّة مختلفة، أو إنها تخضع لقيود طبولوجيّة مختلفة بالترتيب. ففي المزائج، تظهر الإكسيبلكسات، وفي البوليميرات المشتركة تكون الكهرمعقدات فعّالة. إنّ كلا النوعين من المعقدات يزيح طيف التألّق الكهربائي نحو الأحمر مُقارنة ببوليمير PVK النقي. ويكون الانزياح نحو الأحمر أكبر بشكل ملحوظ في حالة الكهرمعقدات.

لذلك، فإنّ معقدات مختلفة تؤثّر في الكفاءة الكموميّة الخارجيّة للديودات العضويّة المُصدرة للضوء والمُشابة بالصباغ. ينشأ ذلك، من كون كفاءة انتقال الطاقة وفق فورستر

(Förster) من الحاضنة إلى الصباغ تتعلّق بمدى تراكب طيف التألّق الكهربائي للمادّة الحاضنة مع طيف امتصاص الصباغ 69.

1.2.4.1 انتقال الطاقة وفق فورستر

إنّ انتقال الطاقة وفق فورستر 70 هو انتقال غير مشعّ للإثارة الإلكترونيّة من جزيئة مانحة D إلى جُزيئة منقبّلة D وفق المعادلة :

$$(1-1) D^* + A \rightarrow D + A^*$$

ينشأ الانتقال من تقارن ثنائي قطب – ثنائي قطب. إنّ انتقال الطاقة وفق فورستر هو آلية مهمة تهدف إلى انتقال الطاقة من جُزيئة مانحة إلى جُزيئة متقبّلة تقوم لاحقاً بإصدار الضوء بتواتر مختلف، عن ذلك الذي كان يمكن للجُزيئة المانحة أن تصدر فيه الضوء. ومن المهم لتحقيق انتقال فعلي للطاقة أن يتراكب طيف امتصاص المُتقبّل مع طيف إصدار المانح. وتُعتبر ملاحظة انزياح جوهري نحو الأحمر في التألق الضوئي مؤشراً على حدوث انتقال فعلي للطاقة. في بعض الأحيان يُعتبر انتقال الطاقة وفق فورستر مفعولاً غير مرغوب.

تعالج نظريّة فورستر فقط الانتقالات المسموحة. ولقد عمّم دكستر (Dexter) هذه النظرية لتشمل آليات الانتقال بواسطة الانتقالات الممنوعة 71.

يمكن وصف ثابت معدّل انتقال الطاقة k_T بين الجُزيْئة المانحة والجُزيَئة المتقبّلة في آليّة انتقال الطاقة وفق فورستر بالمعادلة التالية :

$$(2-1) k_T \propto \frac{\kappa^2 Q_d J}{\pi^5 n^4 N_a \tau_d R^6}$$

حيث: ٨ هو مُعامل التوجيه لتفاعل ثنائي القطب-ثنائي القطب.

مردود التألّق الفَلْوري الكمومي للجُزيّئة المانحة بدون الجُزيّئة المتقبّلة. Q_d

n قرينة انكسار الوسط.

. عدد أڤوكادرو $N_{\scriptscriptstyle a}$

عمر التألّق الفلوري للجُزئيئة المانحة بغياب الجُزئيئة المتقبّلة. au_d

R المسافة بين مركزي الجُزيئتين المانحة والمتقبّلة.

التكامل القياسي للتراكب الطيفي. J

تُبيّن المعادلة أنّ معدّل انتقال الطاقة متناسبٌ طرداً مع مربّع مُعامل التوجيه κ ، وعكساً مع القوّة السادسة للمسافة بين مركزَي الجُزيئتين κ .

وعليه، عند زيادة المسافة بين الجُزيئات بنسبة 1.6 ينخفض معدل انتقال الطاقة بما يزيد على مرتبة كبر (*) واحدة. في الحالة السائلة، تكون الجزيئات حرّة الحركة، وتأخذ جميع الامكانات التوجيهيّة أثناء عمر الحالة المثارة. أما في الحالة الصلبة، تكون الجزيئات مثبّتة في مكانها مع القليل من إمكانية الدوران أو بدونها. وهذا يؤدي إلى إنقاص جديد لمعدل انتقال الطاقة. وعليه فإنّ معدل انتقال الطاقة وفق فورستر ينخفض عند زيادة المسافة بين الجُزيئات وإنقاص معامل توجيهها 72.

في البوليميرات الموظفة (Functionalized polymers)، يمكن تغيير المسافة بين المانح والمتقبّل من خلال البنية، وعلى الخصوص، من خلال طول السلسلة الجانبيّة للوظيفة المتدلّية 73. وعندها يعتمد معدّل انتقال الطاقة أكثر على المسافة بين الجزيئات منه على تكامل التراكب الطيفي، وذلك تبعاً للمعادلة (2-1).

2.2.4.1. زمن الخدمة

من المُعتقد أنّ هناك خمسة أسباب لاهتراء المواد المُصدِرة للضوء المصنوعة من مركّبات عضويّة، وللعناصر العضويّة المُصدِرة للضوء 74:

- 1. التفكك الكيميائي للمركب العضوي في الحالة المُثارة.
- 2. انصهار المركب العضوى بسبب الحرارة المولّدة أثناء قيادة العنصر،
 - 3. انهيار المادة العازلة الذي منشؤه العيوب العيانية،
 - 4. اهتراء السطوح البينيّة في الطبقة العضويّة أو في المساري،
- 5. والاهتراء الناجم عن اللااستقراريّة في البنيّة اللابلّورية للمركّب العضوي.

تعود الأسباب الثلاثة الأولى إلى قيادة العنصر العضوي المُصدر للضوء. فلا مفر من توليد الحرارة لأن التيار الكهربائي المار بالعنصر يتحول على حرارة. ومن المفترض أن يحدث انصهاراً إذا كانت درجة حرارة انصهار المركب العضوي، أو درجة حرارة تحوله الزجاجي منخفضتين. كما إن وجود ثقوب نقطية أو شقوق في المركب العضوي يؤدي إلى تركيز الحقل الكهربائي في هذه المواضع مسبباً وقوع انهيار (شرارات) في المادة

^(*) مرتبة كِبَرٍ تعني عشر مرات (المترجم).

العازلة. ويمكن أن يحدث الاهتراء حتى لو جرى الحفاظ على العنصر المُصدر للضوء في درجة حرارة الغرفة بناءً على النقطتين الرابعة والخامسة.

يؤدّي السبب الرابع إلى نشوء نقاط عاتمة، ويعود إلى تأكسد المهبط والتفاعل مع الرطوبة. أما السبب الخامس فهو ناجم عن كون جميع المركّبات العضويّة المستعملة في العناصر العضوية المُصدرة للضوء هي مواد لا متبلّورة. من المعتقد أنّ التبلور يمكن أن يحدث عند التخزين لفترات طويلة، ويتغيّر على المدى الطويل وعلى الحرارة المتولّدة، وأنه تكاد لا توجد مواد مستقرة ذات بنية لا متبلورة يمكن المحافظة عليها.

في الديودات العضوية المُصدرة للضوء، تعتبر الحرارة التي تسبّبها مواقع غير باعثة للضوء، عاملاً حاسماً يؤثر تأثيراً أساسياً في عمليّة اهتراء المادّة العضويّة.

لقد جرى تحرّي تأثير معالجة البوليمير PVK حرارياً في أداء الأجهزة العضوية المتألّقة كهرضوئياً. فزاد معدّل الاهتراء مع زيادة كل من زمن التعرّض ودرجة الحرارة 75. ولمّا كانت الطبقة المكوّنة من المادّة العضوية في الديود المُصدر للضوء هي برقّة mn 100–100، كان فرق الكمون المطبّق على واحدة السماكة مرتفعاً جداً، وتجري قيادة الجهاز تحت كثافة تيّار تعادل عدّة ميلي أمبير في السنتمتر المربّع، وتتولّد كميّة ضخمة من الحرارة.

غالباً ما يجري تكوين أغشية من المركبات الناقلة للثقوب ذات الأوزان الجُزيئية المنخفضة، أو من المركبات المتألقة فَلورياً ذات الأوزان الجُزيئيية المنخفضة، باستعمال طريقة توضيع الأبخرة في حالة زجاجية لا متبلورة، وبعد ذلك تجري بلورتها تدريجياً، وأخيراً صهرها. يمكن لهذه الطرائق أن تؤدي إلى انخفاض درجة السطوع أو أن تحبّذ انهيار العازل. وتقصر بالنتيجة عمر التجهيزة. وأكثر من ذلك، يمكن أن تعاني التجهيزة تغيرات التقادم، والتلف الناتج من الجو المحتوي على الأوكسجين، أو الرطوبة عند الاستعمال الطويل الأمد.

يمكن توضيع طبقة للحماية، منعاً من اهتراء التجهيزة الناجم عن الرطوبة أو الأكسجين. يمكن أن تشمل المواد الخاصة بطبقة الحماية، معادن، وأكاسيد معدنية، وراتنجات، مثل راتنج بولي (إيثيلين)، وراتنج بولي (يوريا)، وراتنج بولي (إيميد) 76.

وإضافة إلى ما سبق، فإنّ يولي (ترفْتالات الإيثيلين) بصفته ركيزة بلاستيكيّة شفّافة، هو بوليمير واسع الاستعمال، ونجد مشتقات يولي (نفتالات الإيثيلين) أفضل منه إلى جهة خواصها النفوذيّة للأوكسجين والرطوبة 77.

لتكوين طبقة حماية تتعلّق بطبيعة المادّة، يجري اتّباع طريقة توضيع الأبخرة تحت الخلاء، أو طريقة الترذيذ (Sputtering)، أوطريقة البلمرة بالبلازما، أو طريقة التوضيع الكيميائي للأبخرة، أو طريقة الطلي ⁷⁶.

3.2.4.1. طرائق صناعة الديودات المُصدرة للضوء

الطلي الدوامي. إنّ الطلي الدوامي تقنية واسعة الاستعمال لتصنيع أغشية رقيقة. في الخطوة الأولى يجري صبّ أو بخ المادّة في مركز قرص، ثُمّ يبدأ القرص بالدوران حول محور عمودي على سطح القرص، فتنتشر المادّة نحو الخارج. في الحالة المستقرّة تسيطر قوى اللزوجة في المائع على عمليّة ترقُّق الغشاء. ولأن الغشاء بالغ الرقّة، يمكن ملاحظة ألوان التداخل تتحرّك. ويمكن للفائض من المادّة أن يترك حافّة القرص على شكل قطرات. وإذا كانت المادّة تحتوي على مذيب فيمكن لهذا الأخير أن يتبخر. يمكن أيضاً إجراء الطلي الداومي في درجات حرارة عالية أو تحت الخلاء. وهناك تصاميم متتوّعة في الاستعمال 79,78.

لوحات العرض الملوّنة. هناك طرائق متعدّدة لتصنيع لوحات عرض ملوّنة. تشمل طريقة الزخرفة patterning التقليديّة لطبقة غشاء عضوى رقيق ما يلى:

- طريقة التوضيع على قناع تحت الفراغ.
- طريقة طباعة الشاشة Screen-printing method.
 - طريقة الختم Stamping method.
 - طريقة انتشار الصباغ على قناع⁸⁰.
 - طريقة الطباعة بنفث الحبر 81.
 - طريقة الحفر الدقيق أو الميكروي.

ولقد جرى تصنيع تجهيزات عضويّة متألّقة كهربائياً بيضاء اللون باستعمال طريقة الطباعة بنفث الحبر 81.

وجرى استعمال بوليميرات مشتركة من NVK وميتاكريلات الميثيل بهيئة حافظات ميكرويّة في الديودات المُصدرة للضوء 7 .

السيرورة بدون ليتوغرافيا ضوئية. بهدف أمْثلَة أداء ديود بوليميري مُصدر للضوء، تبيّن أنّ التجهيزات التي يجري فيها حقن الثقوب باستعمال مسرى أوكسيد الإنديوم

والقصدير ابولي (أنيلين) (ITO/PANI) في البوليمير هي أكثر كفاءة من التجهيزات المصنوعة بمصعد من أوكسيد الإنديوم والقصدير فقط.

يمكن لعمليّة تصنيع ديود بوليميري مُصدر للضوء أن تصبح أبسط باستعمال البوليمير PANI المُشاب كطبقة حاقنة للثقوب. وعندها يمكن إنتاج نموذج الطبقة الموصلة بدون طباعة ضوئيّة لأوكسيد الإنديوم والقصدير، وذلك بواسطة التعريض للأشعّة فوق البنفسجيّة 82.

4.2.4.1 البوليميرات الفلورينية

تكوّن البوليميرات الفلورينيّة Poly(fluorene)s صفاً مهماً من البوليميرات المترافقة نصف الناقلة. وهي مُصدرة فعّالة للضوء الأزرق. ومع ذلك فقد جرى صنع أوّل ديود مُصدر للضوء الأزرق على أساس بولي (بارا-فينيلين) 83. تتبح آليّات انتقال الطاقة إصدار ضوء بألوان أخرى عند استعماله كموادّ مُستضيفة.

في البوليميرات الفلورينيّة تظهر مع مرور الزمن حزمة إصدار منخفض الطاقة في المجال 2.2-2.4 eV، وتدمّر اللون.

يُشَكُ أنّ حزمة الإصدار المنخفض الطاقة ناتجة من عيوب كيتو التي أُدخلت أما أثناء اصطناع المركّب، أو بالأكسدة الضوئيّة أثناء الخدمة. بيّنت التجارب على پولي (9،9-ثنائي أوكتيل فلورين -مشترك -فلورينون)، مع 1 في المئة فلورينون كمركّب نموذجي، أنّ تشوّهات الفلورينون تتكوّن بالأكسدة الضوئيّة وبالأكسدة الحراريّة 84. وأكثر من ذلك، فإنّ تشكّل هذه العيوب يتحفّز بوجود المعادن ذات طاقة التحرّر المنخفضة التي تستعمل بصفتها مساراً مهبطيّة في الديودات المُصدرة للضوء.

تُظهر البوليميرات المشتركة للفلورين و 4،3،1-أوكساديازول تألقاً ضوئياً عالي الكفاءة 85. وأظهرت تجهيزة مضاعفة الطبقة، مكوّنة من PVK ومن بوليمير مشترك متناوب من 9،9'-ثنائي دوديسيال فلوريان -7،2-ثنائي إيل و (4،1-بيس -4،3،1) أوكساديازول)-5،2-ثنائي إيل، تألقاً كهربائياً أوكساديازول)-5،5-ثنائي ليل، تألقاً كهربائياً أزرق ضيقاً قيمته العظمى عند 30 nm بين التحليل الكهركيميائي لهذه البوليميرات باستعمال مقياس القولطائية الحلقية أنه يمكن استعمالها بصفتها مواد ناقلة للإلكترونات وكذلك بصفتها مواد مصدرة للضوء الأزرق في الديودات المصدرة للضوء.

خلائط البوليميرات هي في غالب الأحيان غير متوافقة، ولذلك تكون مسائل التوافق مصدر قلق في حقل الديودات البوليميريّة المصدرة للضوء المركّبة من خلائط بوليميريّة. ومع ذلك يمكن لهذا المفعول أحياناً أن يكون مفيداً لتطوير التجهيزات المُصدرة للضوء.

فلقد جرى الحصول على إصدار للضوء الأبيض من تجهيزة صنعت من خليط بوليميري ثُلاثي مؤلّف من PVK، وپولي (9،9′-ثنائي هكسيل فلورين -7،2-ثنائي فينيلين -m-فينيلين ڤينيلين -p-stat-فينيلين ڤينيلين (CPDHFPV).

مادّة شائعة أخرى هي پولي (2-ميثوكسي -5-(2'-إيثيل هكسيل أوكسي)-4،1-فينيلين ڤينيلين) (MEH-PPV) بن البوليميرين PVK و CPDHFPV متوافقان، في حين نجد أنّ توافق البوليميرين CPDHFPV و MEH-PPV سيّئ. يؤدّي ذلك إلى إصدار لونين في آن واحد، ونحصل من ثُمّ على ضوء أبيض نقي.

في البوليميـر المتتـاوب المشترك للفلورين – سبيروبيفلورين (P(OF-SBF) نجد في مقطع السبيرو أنّ حلقتي الفلورين متعامدتين، ومتصلتين عبر رابطة رباعيّة الوجوه لذرة كربون. يؤدي ذلك إلى تكوّن بنية جاسئة ويمنع التكدّس من النمط π للعمود الفقري للبوليمير. وتتحسّن كلِّ من الاستقراريّة الحراريّة والاستقراريّة المطيافيّة. يمكن استعمال هذا البوليمير حاضنة مستضيفة تنقل بفعاليّة طاقتها المُثارة إلى شوائب من مشتقات البريلين، مكوّنة بذلك طبقة فعّالة مُصدرة للضوء الأزرق 87 . في البيرازولوكينولين المؤسس على السبيروبيفلورين، تتصل اثنتان من المتألقات (Luminophores) المتماثلة عبر ذرّة كربون مهجّنة $_{5}p_{3}$ وتتوضّعان توضّعاً متعامداً.

ترفع وصلة السبيروبيفلورين الجاسئة بشكل ملحوظ درجة حرارة الانتقال الزجاجي، التي هي في المجال 246-280 درجة مئوية. وتُظهر المتألقات خصائص الامتصاص والتألق الضوئي الخاصين بمشتقات البيرازوكينولين الأحادية في مجال الأزرق 88.

ترتبط زمر الأوكساديازول (OXD) بوحدة الفلورين بإرفاق زمر 4-ترت-بوتيل فينيل -4،3،1-أوكساديازول على الموقع 9 لوحدة الفلورين المتناوبة، لتتكوّن بنية كاردو (Cardo) ثلاثيّة البعد (PF-OXD). يتمتّع البوليمير بدرجة انتقال زجاجي T_g مرتفعة : 213 درجة مئويّة، وباستقرار حراري جيّد. أما الملاحظة الشائعة عن تكوّن عناقيد/إكسيمر في البولي (فلورين)، فتختفي اختفاءً كليّاً في هذا البوليمير.

يُظهر الاستعمال كطبقة مُصدرة ضوءاً أزرق ساطعاً بكمون إشعال قدره V 5.3 V وسطوع قدره 10.8 V . يمكن إرجاع تحسن أداء التجهيزة مقارنة بتلك الموافقة للبولي (9،9-ثنائي أوكتيل فلورين) إلى الحقن الإلكتروني والنقل الأفضلين في PF-OXD، وإلى كفاءة انتقال الطاقة من سلسلة OXD الجانبيّة إلى سلسلة البولي(فلورين) الأساسيّة 89.

NVK/PBD .5.2.4.1

يجد تجميع PBD بصفته مركباً ناقلاً للإلكترونات مع PVK تطبيقات عديدة. إذ يحسن الربط المباشر لـ PBD إلى العمود الفقري ليولي (p-فينيلين فينيلين) (PPV) كفاءة التألق الكهربائي. يُرجَع ذلك إلى حقن أسهل للإلكترونات، وإلى تحسن خواص النقل الإلكتروني للبوليمير 90.

تستعمل التجهيزات المتعددة الطبقات PBD وتريس -(8-هيدروكسي كينولين) - ألمنيوم ($\mathrm{Al}\,q_3$) مع 1-بنزوثيازول -3-فينيل -بيرازولين بصفته صباغاً أزرق، وهو يتمتّع بقمّة إصدار عند $\mathrm{Al}\,q_3$) حقن الإلكترونات وفعاليّة التألّق P 0.

6.2.4.1. البوليميرات الحاملة للوظائف

زمر السيانو. تُظهر البوليميرات المحضرة ابتداء من $5\cdot2$ -بيسُ -(2-ثينيل -1-سيانوڤينيل) -1-(2'- إيثيل هكسيـل أوكسي)-4-ميثوكسـي بنزيــن $(\alpha$ -TPT) و $5\cdot3$ -بيسُ -(2-ثينيل -2-سيانوڤينيـل)-1-(2'- إيثيل هكسيل أوكسي)-4-ميثوكسـي بنزيــن $(\beta$ -TPT)، والممزوجــة مع پولي (ميثيل ميتاكريلات) (PMMA) و PVK خصائص بصريّة مختلفة، وذلك حتّى في الحالة التي تكون فيها البنى متشابهة 9^2 . إذْ إنّ التألّق الضوئي الأعظمي لــ TPT يكون منزاحاً نحو الأزرق عند مقارنته بــ β -TPT و وتكون شدّة التألّق الضوئي لــ β -TPT أكبر من تلك الموافقة لــ α -TPT .

زمر الأنتراسين. يُطلق البوليمير الواحدي (الأحادي الوحدة البنيوية) (المحادي الوحدة البنيوية) (المحادي الوحدة البنيوية) (Homopolymer) من 9-(4-ڤينيل فينيل) أنتراسين ضوءاً أخضر من إكسيمير وحدات الأنتراسين. لقد جرى اصطناع بوليميرات الڤينيل المتألقة بالفلورة والمحتوية على زمر 9-فينيل أنتراسين متدلية، وجرى اختبارها بصفتها طبقات مصدرة للضوء في تجهيزات عضوية متألقة

كهربائياً. تستعمل التجهيزة ذات الطبقة الوحيدة المتألقة كهربائياً البوليمير الواحدي. من ناحية أخرى، تمكن ملاحظة إصدار أزرق من بوليمير مشترك مع الثينيل كاربازول 93.

زمر الكاربازول في السلاسل الجانبية. يمتلك پولي [2-(كاربازول -9-إيل) -5-(2- إيثيل هكسيل أوكسي) -4،1-فينيلين ڤينيلين] زمرتين متدلّيتين هما الكاربازول و 2- إيثيل هكسيل أوكسي، أما پولي [2-(كاربازول -9-إيل) -4،1-فينيلين ڤينيلين ڤينيلين] فله زمرة متدلّية واحدة هي زمرة الكاربازول. تُصدر الديودات المصنوعة من هاتين المادتين بالترتيب ضوءاً أصفر مخضراً وضوءاً أصفر. وبالمقارنة بــ PPV، نجد أنّ الكفاءة قد تحسّنت تحسناً جذريّاً 94.

ويمكن اصطناع ديودات مُصدرة للضوء الأزرق باستعمال بوليميرات مشتركة من 2-(كاربازول -9- إيل) إيثيل ميتاكريلات و 3-فينيل -7-ميتاكريل أوكسي إثوكسي -1-ميثيل -H1-بيرازولو [6-4،3] كينولين 95.

7.2.4.1 المعقدات المعدنيّة

معقدات اليوروبيوم. يمكن بناء معقد اليوربيوم عن طريق وحدة ميتاكريلات في السلسلة الرئيسة لبوليمير ^{9,8}. كما هو مبيّن في الشكل (1-10). بالمُماثلة، يمكن تعليق معقد اليوروبيوم إلى بنزوات القينيل، الذي يمكن بدوره أن يتبلمر بلمرة مشتركة مع NVK، المُعدُ أساساً للاستعمال في تجهيزات الذواكر ⁹⁶.

تُظهِر أغشية البولي ستايرين PS، التي تحتوي على الجُزيئات العضويّة الناقلة للإلكترونات PBD وكميّات قليلة من TPD، انتقالاً للطاقة إلى معقّدات اليوروبيوم. ولكنها لا تُبدي الأمر ذاته بالنسبة إلى معقّدات السماريوم 97.

الشكل (1-10): معقد لليوروبيوم ^{9,8}.

معقدات الإريديوم. تمكن إشابة PVK بمعقد فوسفين سيانو إريديوم (III). يُظهِر المعقد الصداراً أزرق عند كلً من 476 nm و 496 nm بعبه انتقال الثلاثيات بين الحالات القائمة بين المعدن والربيطة، وتلك القائمة في الربيطات وحدها 98. يُظهِر معقد الإريديوم مع ربيطات من N،N-ثنائي (4-ترت-بوتيل فينيل)-4-(2-بيريديل) فينيل أمين والأسيتيل أسيتون، تألقاً فوسفورياً أخضر عند 33 nm في خليط من PVK و PBD و 90. ويمكن تحقيق فعالية كمومية خارجية بمقدار 10 في المئة من الفوتونات لكل إلكترون تحت كثافة تيّار مقدار ها 23 ميلي أمبير في السنتمتر المربع.

صباغ أخضر آخر هو تريس (2-فينيل بيريدين) إريديوم 100، في حين يكون تريس (1-فينيل إيزوكينولين) إريديوم صباغاً مُصدراً للأحمر 101. يمكن بناء تجهيزات عالية الكفاءة مُصدرة للضوء الأبيض من الـ PVK بصفته ناقلاً للثقوب، وذلك باستعمال إشابات متعددة 103,102. ولقد جرى استعمال مركب 3،1-بيس [(4-[ترت-بوتيل فينيل)-4،3،1 أوكساديازول]-فينيلين بصفته ناقلاً للإلكترونات.

أمّا الأصبغة فهي بيس -((4،4)-ثنائي فلورو فينيل)-بيريديناتو -2-(2'-رد') (بيكوليناتو) الآصبغة فهي بيس الضوء الأزرق، وبيس -(2-(2'-بنزو ثينيل) بيريديناتو (بيكوليناتو) وذلك لإصدار الضوء الأزرق، وبيس -(102'-بنزو ثينيل) بيريديناتو (III) الإصدار الضوء الأحمر $(2-C\cdot N)$) أسيتيل أسيتونات) الإصدار الضوء الأحمر $(3-C\cdot N)$

عند وجود عدّة أصبغة في الحاضنة، يمكن أن تحدث تفاعلات فيما بينها. إنّ مزج المُصدِر للأخضر فاك-تريس (2-فينيل بيريديل) (III) (*), والمُصدِر للأحمر بيس -(2-(2'-بنزو ثيِنيل)-بيريديناتو - * 0(أسيتيل أسيتونات) (المعاً في آن معاً ضمن مستضيف من PVK، يسبب كفاءة مضاعفة تقريباً لإصدار الأحمر بسبب انتقال الطاقة المتحاوب * 104.

ويتحسّن الأداء عند استعمال ${\rm Ir}({\rm ppy})_3$ بصفته صباغاً في بنية متعدّدة الطبقات، وباستعمال موادّ قابلة للانحلال في الماء. إضافة إلى ذلك، فإنّ هذه المواد تسهّل عمليّة تصنيع الديودات المُصدرة للضوء في سيرورات رطبة 105 .

معقدات الروثينيوم. إنّ كلاً من تريس (2٠2'-ثنائي بيريديل -4٠4'-ثنائي فينيل) روثينيوم (II) وتريس (2٠2'-ثنائي بيريديل -4٠4'-ثنائي ميثيل) روثينيوم (II) وتريس (2٠٤'-ثنائي فينيل) فنانترولين) روثينيوم (II) هي أصبغة متألّقة فَلْورياً بالأحمر 106. ويمكن دمج هذه الأصبغة

^(*) فاك: ثلاث زمر تحتل زوايا أحد وجوه ثماني الوجوه (المترجم).

في حاضنة من PVK بصفته ناقلاً للثقوب و PBD بصفته ناقلاً للإلكترونات. وعند التركيز المناسب للصباغ في حاضنة PVK يصدر ضوء أحمر بر اق من ديود مُصدر للضوء مصنوع من الطبقات : ITO/(dye PVK PBD)/Mg/Ag.

يحدث التألّق الضوئي لأصبغة معقدات الروثينيوم في مناطق أطوال موجات أعلى من مناطق الامتصاص (انزياح ستوكس Stokes). وبسبب انزياح ستوكس الواسع يحدث تراكب أصغري للقمم بين مجالي الامتصاص والتألّق الضوئي. وهكذا يجري تجنّب وقوع ظاهرة امتصاص الصباغ للضوء الصادر.

لقد جرت دراسة التجهيزات المُصدرة للضوء التي تستعمل معقدات الروثينيوم، مثل تريس -7.4-ثنائي فينيل -10.1-فنانترولين روثينيوم (II) (انظر الشكل (1-11)) بصفته شائباً في حاضنة على أساس PVK. بُنيت التجهيزة من عدّة طبقات. أوّلاً جرى طلي دوّامي للـــ PVK المُشوب بمعقّد الروثينيوم على ITO. ثُمّ جرى وضع طبقة من 9.9-ثنائي ميثيل -7.4-ثنائي فينيل -1.10-فنانترولين بهدف حجز الثقوب. ثُمّ وضعت طبقة مخمّدة من Alq_3 ، وأخيراً وُضعت طبقة مضاعفة من فلوريد الليثيوم Alq_3 والألمنيوم. لقد أبدى معقّد الروثينيوم بصفته شائباً تحسّناً فعّالاً في سطوع التجهيزة وفي كفاءتها وذلك مقارنةً بتجهيزات أخرى 107. وإضافة إلى ما سبق، فقد جرى وصف تجهيزة قابلة للتوليف، مؤسّسة على معقّد الروثينيوم نفسه.

 $\operatorname{Ru}(\operatorname{dphphen})_3$ (II): تریس -7،4-ثنائی فینیل -1،10-فنانترولین روثینیوم (II)، تریس -9،4-ثنائی میثیل -7،4-ثنائی فینیل -1،10-فنانترولین، و 9^2 -ثنائی میثیل -8-شدروکسی کینولین) - ألمنیوم Alq_3

معقدات الأوسميوم. لقد ذُكرت تجهيزات متألقة فوسفورياً مُصدرة للضوء الأحمر مستعملة معقدات الأوسميوم. ولقد جرى تحقيق إصدار فعال للأحمر باستعمال بلمرة في المكان لرباعي فينيل ثنائي أمينو بيفينيل كطبقة ناقلة للثقوب ولمزيج معقدات الأوسميوم مع PVK و 2-ترت -بوتيل فينيل -5-بيفينيل -4،3،1-أوكساديازول (BPD) بصفته طبقة إصدار. يمكن توليف قمم الإصدار بتغيير طبيعة الربيطات لأن الإصدار ناجم عن حالة مثارة ثلاثية مردها انتقال شحنة معدن – ربيطة.

فعّالٌ أكثر استعمالُ أحد مشتقات بولي (فلورين) بوجود كسارة من ثلاثي فينيل أمين بصفتها ناقلة للثقوب، وزمر OXD كناقلة للإلكترون على هيئة سلاسل جانبيّة ومزيج من BPD في PVK و110,109

معقدات البلاتين. يمكن الحصول على تجهيزات ذات تألّق فوسفوري كهربائي أصفر مغقدات البلاتين. يمكن الحصول على تجهيزات ذات تألّق فوسفوري كهربائي أصفر مخضر بإشابة PVK بصباغ ثنائي [5،2-ثنائي فينيل -4،3،1-أوكساديازول -2-2″ا-3]- بلاتين (II) 111. جرى استعمال مزيج من PVK و PBD كمصفوفة حاضنة، ثُمّ أضيف معقد البلاتين ثنائي الحلقة المحتوي على كسرة 4،3،1-أوكساديازول بتركيز إشابة 2 في المئة. ولم يلاحظ أي إصدار من PVK أو PBD في التجهيزات.

معقدات أخرى لم تجرِ معالجتها بتوسّع في هذا المقطع.

معقدات النحاس. إنّ معقدات النحاس هي مواد ثلاثية الإصدار. وجرى استعمالها في التجهيزات المُصدرة للضوء مع PVK و PBD. ينطوي عمل التجهيزة على انتقال الطاقة وفق كلٍّ من فورستر ودكستر 112.

8.2.4.1 الأصبغة المختلطة

يمكن الحصول على تجهيزات متألقة كهربائياً مُصدرة للضوء الأبيض مكوّنة من خليط بسيط لأصبغة مُصدرة للضوء الأخضر، وأخرى مُصدرة للضوء البرتقالي في أغشية PVK مُصدرة للضوء الأزرق.

ويمكن على نحو مستقل تجميع أصبغة معتمدة على الانتقال البروتوني ضمن الجُزَيء (ESIPT) بطاقة انتقال محدودة، وذلك اعتماداً على المميزات الخاصة لنظم 121 ESIPT.

9.2.4.1 الديودات المُصدرة للضوء المتعددة الطبقات

الديودات ثنائية الطبقة، المصنوعة من ماتتين مُصدرتين للأزرق: PVK وپولي (2-دوديسيل-بارا-فينيلين) (C12O-PPP)، يمكنها أن تُصدر الضوء الأزرق والضوء الأبيض وذلك تبعاً للمذيب المستعمل في تصنيع الطبقة الثانية C12O-PPP.

فعند استعمال الهكسان، وهو غير مذيب لـــ PVK، تُصدر التجهيزة الضوء الأزرق وكأنها تجهيزة وحيدة الطبقة من C12O-PPP. ولكن إذا استُعمِل التولوين وهو مذيب للبوليميرين معاً، أصدرت التجهيزة الضوء الأبيض الناشئ من إصدار الإكسيبلكس عند السطح البيني للطبقتين، إضافة إلى إصدار الإكسيتون من PPP. تتغيّر الكفاءة تبعاً لدرجة الحرارة. فعند درجات الحرارة المنخفضة، تصبح شدّة إصدار الإكسيتون مسيطرة على إصدار الإكسيبلكس.

الجدول (1-3): المعقدات المعدنية بصفتها أصبغة

		<u> </u>
المرجع	اللون	المعقّد
101	أحمر	تريس (1-فينيل إيزوكينولين)Ir(III)
114,113,102	أحمر	بيس -(2-(2'-بنزو ثبِنيل)-بيريديناتو -C،N-3)(أسيتيل أسيتونات)Ir(
115,100	أخضر	تریس (2-فینیل بیریدین)Ir(III)
99	أخضر	ا الميني (4-ترت -بوتيل فينيل)-4-(2-بيريديل)فينيل أمين $_{2}$ أسيتيل المين $_{2}$
		أسيتون III)Ir)
113	أخضر	تریس (2-فینیل بیریدیل)Ir((III)
116	أخضر	تريس -{9،9-شائي هكسيل -2-[فينيل -4′-(بيريدين -2″- إيل)]
		$(\mathrm{III})\mathrm{Ir}$ فاورین
98	أزرق	فوسفين سيانو
113,102	أزرق	بيس -((6،4-ثنائي فلورو فينيل)-بيريديناتو -2-C،N)
		(بیکولیناتو)III)Ir(
116	متنوع	تريس -[9،9-ثنائي هكسيل -2-(بيريدينيل -2')فلورينيل]Ir[)
117,116	أحمر	تريس -[5،2-بيس -2'-(9،9'-ثنائي هكسيل فلورين]Ir
112	أخضر	معقّد النحاس
118	أزرق	فتالوسيانين النحاس
119	أخضر	$\operatorname{Re(CO)}_3\operatorname{Cl}$ (شائي ميثيل -2،2'-بيبيريدين) 2 4،4
120	تحت الأحمر	تريس (أستيل أسيتوناتو)(10٠1-فينانترولين) إربيوم
	(IR)	

يمكن الحصول على إصدار الضوء الأبيض بتجهيزات متعدّدة الطبقات ذات ألوان مختلفة 123. فتجهيزة متعدّدة الطبقات مكوّنة من 170، و4،4،4،1،1 و4،4،1،1 وباعي الفينيل -3،1-بوتادين/8-(كينولينولات)-الألمنيوم المشوب بـــ 12،1،6،5-رباعي فينيل نقتاسين، تُصدر ضوءاً أبيض عالي السطوع وبكفاءة عالية 124.

10.2.4.1 حوامل لونية أخرى

تنتمي المواد العضوية المؤسسة على البيرازول إلى المواد الواعدة الناقلة والمتألقة كهربائياً في الأزرق. ولقد جرى اصطناع مجموعة من مشتقات البيرازولو كينولين للاستعمال في الديودات المُصدرة للضوء. يمكن توليف خصائصها الضوئيّة بتعديل زمرها الجانبيّة 126 nm 460-440 كينولين في المجال 440-460 nm 126 nm

تعتبر الشوائب فتالوسيانين ونفتالوسيانين أصبغة ضيوف مناسبة للمجال القريب من تحت الأحمر 127 . إذ يُستعمل PVK كالعادة بصفته بوليميراً ناقلاً للثقوب و 127 ، أو مشتق السلفون أميد 127 كصباغ المستضيف. إنّ أطياف الامتصاص للأصبغة الضيوف مختلف اختلافاً ملحوظاً عن أطياف الإصدار للأصبغة المستضيفة. ومع ذلك، ينتج من الامتصاص المولي المرتفع للشوائب الصباغيّة المستضيفة فعاليّة عاليّة في انتقال الطاقة إلى درجة تمكن مقارنتها بشوائب الكيناكريدون (Quinacridone) او الروبرين.

الروبرين هو 12،11،6،5-رباعي فينيل نفتاسين. يجري حشر طبقة روبرين بين طبقتى PVK و 128 Alq و 128

3.4.1. المواد العضوية ضوئية الانكسار

لقد جرى اكتشاف خاصة الانكسارية الضوئية Photorefractivity من قبل أشكن (Ashkin) والعاملين معه 129 عام 1966 في مركّب نيوبات الليثيوم 129 ومركّبات أخرى. المواد ضوئية الانكسار هي مواد تتغيّر قرينة أو معامل انكسارها (Refrachion Index) عند تعريضها للإشعاع الضوئي. ويستمرّ تغيّر قرينة الانكسار من عدّة أجزاء بالألف من الثانية إلى سنوات. ولقد جرت دراسة الوجوه الأساسيّة للانكساريّة الضوئيّة في عدد من الكتب 131,130 .

يتحقق تغيّر قرينة الانكسار بسلسلة من الخطوات، تشمل ما يلي 132:

- 1. توليد الشحنة بتأثير إشعاع ليزري،
- 2. انتقال الشحنة، الناتج من انفصال الشحنات الموجبة والسالبة،

- 3. واحتجاز نوع واحد من الشحنات (عدم تمركز الشحنات)،
- 4. نشوء حقل كهربائي داخلي غير منتظم (حقل حيّز مشحون Space charge) بنتيجة عدم تمركز الشحنات،
 - 5. وتغيّر قرينة الانكسار الناجم عن الحقل الكهربائي غير المنتظم.

لذلك، يمكن رؤية خواص انكسارية ضوئية جيدة فقط في حالة المواد التي تجمع في آن معاً، توليداً جيداً للشحنات، أو نقلاً جيداً للشحنات، أو موصلية ضوئية مع فاعلية كهرضوئية جيدة.

للمواد ضوئية الانكسار العديد من التطبيقات الواعدة، مثل تخزين المعطى الضوئي عالى الكثافة، والهولوغرافيا التحريكية، ومعالجة الصور البصرية، والمرايا ذات الأطوار المترافقة، والحساب البصري، والدارات المنطقية البصرية المتوازية، وتعرف الأشكال.

في عام 1990، أشير لأوّل مرّة إلى بلّورة عضويّة ضوئيّة الانكسار، وإلى مواد بوليميريّة ضوئيّة الانكسار بمزايا عديدة بوليميريّة ضوئيّة الانكسار بمزايا عديدة مقارنة بالبلورات اللاعضويّة الضوئيّة الانكسار الأصليّة، مثل لاخطيّة بصريّة عالية، وثوابت عزل كهربائي صغيرة، وتكلفة زهيدة، وخفّة الوزن، ومرونة بنيويّة، وسهولة تصنيع التجهيزات منها. وهناك قضايا أخرى مهمة مثل طول عمر التخزين، والنوعيّة البصريّة، والاستقرار الحراري. تبرز الآن هذه الأنواع من البوليميرات العضويّة بصفتها مواد مفتاحيّة في تقانات المعلومات والاتصالات المتقدّمة.

تعتمد جودة خواص انكساريّة الضوء على النقاط التالية 132:

- 1. جودة توليد الشحنات،
- 2. جودة انتقال الشحنات، التي تعرف أيضاً بالموصلية الضوئية،
 - وجودة النشاط الكهرضوئي.

غالباً ما نحصل على الموصليّة الضوئيّة بإدماج مواد حاوية زمر الكاربازول وزمر الفينيل أمين.

أمّا اللاخطيّة البصريّة فنحصل عليها بإضافة مركّبات حاملة للّون، كصباغ من نمط آزو يمكنه امتصاص الاشعاع الفوتوني. يمكن أن يوفّر حامل اللّون توليداً مناسباً للشحنة.

وبدلاً من ذلك يمكن إضافة مُحسِّسٍ للتزويد أو لإطلاق الشحنات الحرّة اللازمة لخواص الانكساريّة الضوئيّة.

يمكن للعديد من المواد، التي تشمل مجالاً واسعاً من الأصبغة والملونات، أن تؤدي دور مُحسِّسات. يمكن صنع تركيبة ضوئية الانكسار بمزج المركبات الجزيئية التي تعطي كلّ واحدة من الخواص المنفردة المطلوبة ضمن حاضنة بوليميرية مستضيفة. ولكن، معظم التركيبات المحضرة بهذه الطريقة لا تكون مستقرة مع الزمن، بسبب مفاعيل انفصال الطور والتبلور. ولذلك، تجري الاستعاضة عن المركبات ذات الوزن الجُزيئي المنخفض ببوليميرات تحمل المركبات الفعالة مباشرة في بنيتها البوليمرية.

ولقد كان استعمال البوليمير الموصل ضوئيًا PVK تحسيناً كبيراً. فقد سمح ذلك بزيادة تركيز عامل نقل الشحنات، في الوقت الذي منع تماماً تبلور زمر الكاربازول 140. وجرى استعمال صباغ آزو بصفته حاملاً للّون هو 5،2-ثنائي ميثيل -4-(بارا-نترو فينيل آزو) أنيسول (DMNPAA)، واستعمل TNF بصفته مُحسِّساً. لقد أظهرت التركيبة كفاءة انعراج تصل إلى 100 في المئة تقريباً عند شدّة ليزريّة قدرها 1 واط في السنتمتر المربّع، وكمون منحاز قدره 90 فولط في الميكرون. إلاّ أنّ زمن الاستجابة كان بطيئاً: أكثر من 100 ميللي ثانية.

لتحقيق انكسارية ضوئية بصورة جيدة تجري إشابة المواد بتراكيز عالية، مثل 25 في المئة أو أكثر، من حوامل اللون. وهذا بالمُقابل يجعل المادة عرضة للتبلور وانفصال الطور، لأن حوامل اللون عالية الاستقطاب.

وبهدف إزالة اللا استقرارية الناجمة عن انفصال الطور، جرى اقتراح بوليميرات ضوئية الانكسارية حاملة للوظائف كلّياً، أي بوليميرات يجري فيها توحيد قدرتي الموصلية الضوئية واللاخطية البصرية. ولقد جرى تجميع البوليميرات الحاملة للوظائف والضوئية الانكسار في الجدول (1-5).

1.3.4.1 الصياغات الضوئية الانكسار

يلخص الجدول (1-4) الحوامل اللونيّة في الصياغات الضوئيّة الانكسار في PVK.

الجدول (1-4): حوامل اللون في الصياغات الضوئية الانكسار

المرجع	المركّب
135,134	1-(2- إيثيل هكسي أوكسي)-5،2- ثنائي ميثيل -4-(4-ننرو فينيل آزو)بنزين
136	5،2-ثنائي ميثيل -4-(بارا -نترو فينيل آزو)أنيسول
136	4-بوتوكسي -3-بروبيل -1-(4'-نترو فينيل آزو)بنزين
137	2-ثنائي سيانو ميثيلين -3-سيانو -5،2-ثنائي هيدروفوران
138	(7،4،2 تُلاثي نتروفلورين -9-يليدين)-مالونوننريل
139	β،β- ثنائي أسيتيل -4- ميثوكسي ستايرين

الجدول (1-5): البوليمرات الحاملة للوظائف والضوئية الانكسار

المرجع	الزمرة الوظيفيّة	السلسلة الرئيسة
141	(ثلاثي سيانو ڤينيل)كاربازول	ميتاكريليك
142	نتائي سيانو ڤينيليدين فينيل أمين	أكريليك
143	كاربازول ميتاكريلات	دوديسيل ميتاكريلات
144	N-ميتاكريل أوكسي بروبيل -3-(بارا-نترو	N-ميتاكريل أوكسي بروبيل
177	فینیل) آزو کاربازول	كاربازول

الأكريليك والميتاكريليك. لقد جرى اصطناع بوليميرات الأكريليك والميتاكريليك مع زمر متدلّية من (ثلاثي سيانو ڤينيل)كاربازول 141 أو ثنائي سيانو ڤينيليدين فينيل أمين.

تمكن بلمرة أكريلات TPD مع إيثيل -2-برومو -2-ميثيل بروبيونات بصفته بادئاً 132. يؤدي هذا البوليمير دور بوليمير واحدي (Homopolymer) ناقل للشحنة. ويحضر 2-(4-آزيبان -1- إيل -بنزيليدين)-مالونونتريل (7-DCST) ليؤدّي دور حامل للون. إن اصطناع 7-DCST مبيّن بالشكل (1-12).

انطلاقاً من أكريلات TPD و 7-DCST و N-إيثيل كاربازول بصفته مُلدّناً ومُحسّساً، جرى تحضير تركيبة ضوئية الانكسار وذلك بإذابة المكوّنات في التولوين، ثُمّ مزجها، ثُمّ إذ الله المذيب أخيراً. كما جرى اصطناع بوليميرات ميتاكريلاتيّة ضوئيّة الانكسار وحاملة للوظائف مكوّنة من 2-(كاربازول -9-إيل) إيثيل ميتاكريلات و 6-(كاربازول -9-إيل) هكسيل ميتاكريلات، تتمتّع بحساسيّة تحت الحمراء، وبأطوال مباعدات مختلفة.

الشكل (12-1): اصطناع 2 - (4- آزيبان - 1- إيل - بنزيليدين)- مالونونتريل

لقد جرى تصنيع وتوصيف جملة من البوليميرات الميتاكريلاتيّة الضوئيّة الانكسار، الحاوية حوامل لونيّة متفرّقة من النوع المُشتّت الأحمر Disperse Red-type، والكاربازول بصفته عاملاً ناقلاً للشحنة، مع أطوال مباعدات متنوعة. لقد جرت دراسة مفعول الانكساريّة الضوئيّة لهذه المواد بمزج رباعي الموجات وقَرْن حزمتين عند 780 nm بعد تحسيس باستعمال 1% (7.4.9-ثلاثي نترو فلورين -9-إيليدين)-مالونونتريل (TNFDM). معامل الربح $\Gamma=140$ cm عند حقل كهربائي مطبّق قيمته 0.00 وانعراج داخلي تامّ عند حقل كهربائي مطبّق قيمته 0.00 النعراج الموليميرات الضوئيّة الانكسارية الحاملة للوظائف كلّياً الأعلى ترتيباً مما هو منشور حتّى هذا التاريخ 0.00

يتمتّع بوليمير الميتاكريلات المشترك ثنائي الوظيفة مع سلسلة جانبيّة متدلّية من المعتاكريل أوكسي بروبيل -3-(بارا - نترو فينيل) آزو كاربازول، و N - ميتاكريل أوكسي بروبيل كاربازول باستقراريّة عالية 146 يجري على سبيل المثال الحصول على مونوميرات الميتاكريلات المحملة بالوظائف، من كلوريد الميتاكريلويل و 9-(3-هيدروكسي بروبيل) كاربازول. أما التطبيقات الكامنة فيمكن أن تكون تجهيزات الذواكر.

مركبات القينيل. يمكن تحضير بوليميرات ضوئيّة الانكسارية بالبلمرة الجذرية الحية الحية (Living radical polymerization). تمكن بلمرة 4-ڤينيل ثلاثي فينيل أمين باستعمال محفّز جذري تقليدي أومحفّز شبيه بـــ 6.66.2.2-رباعي ميثيل بيبيريدين -N- أوكسيل (TEMPO) مثل $-(-\alpha)$ -ميثيل بنزيل أوكسي -(-6.6.2.2)-رباعي ميثيل بيبيريدين -(-147)

لقد جرى وصف مادّة مركبة بوليميريّة ذات درجة انتقال زجاجي منخفضة، على أساس بوليميرات موصلة ضوئياً ذات طبقات، هي بوليميرات (بارا-فينيلين تيريفتالات كاربازول) 148. تتكوّن هذه البوليميرات من عمود فقري جاسئ من پولي(بنتيلين ترفتالات) مع زمر متدلّية من أوكسي ألكيل كاربازول. عند مزج البوليميرات المُستضيفة مع شوائب مختلفة، تجري المُحافظة على الطبقات، وتزداد المسافات بينها، مما يؤسّر إلى أنّ جزيئات الضيف قد احتُجزت على المستوى النانوي في الفراغ بين الطبقات.

تجري إشابة المركبات بــ C-60 بصفته مُحسساً ضوئياً وبثنائي إيثيل أمينو ثنائي سيانو ستايرين بصفته حامل اللون ذي الخواص الضوئية اللاخطيّة. ولا تضاف ملدّنات.

لهذه المواد المركبة درجة انتقال زجاجي منخفضة، وذلك على الرغم من غياب المُلدّنات، وتُظهر المادّة خصائص انكساريّة ضوئيّة ممتازة.

تتكوّن المادّة الضوئيّة الانكسارية المستعملة في التخزين الضوئي ثلاثي الأبعاد للمعطيات، في المجال تحت الأحمر القريب، أما من PVK أو PMMA بصفتهما حاضنتين، مع TNF و TNF و TNF و ECZ) في مقادير متنوّعة 149.

لقد استُعملت تقنيّة إثارة فوتونين-اتنين لتحقيق إمكان إعادة الكتابة في تخزين المعطيات على بوليمير ضوئي الانكسارية. يؤدي هذا إلى جعل الإثارة في تبعيّة من الدرجة الثانية للشدّة الواردة مولّداً بذلك حيِّز إثارة محتجزاً في المنطقة البؤريّة في الاتجاهين العرضي والمحوري.

إنّ الليزرات النبضية المتناهية القصر فعّالة، ولكنّها لا تعطي حلولاً عمليّة في نظام تخزين ضوئي للمعطيات. من الممكن إنجاز نظام تخزين للمعطيات قابل لإعادة الكتابة ثلاثي الأبعاد باستعمال إنارة مستمرّة الموجة. بهذه التقنيّة يمكن تحقيق كثافة معلومات تصل إلى 88 غيغابت في السنتمتر المكعّب.

لا يزال من الممكن تحسين المادة المركبة البوليميرية من PVK/TNF المشوب بدائل بيخ DMNPAA. إنّ لــ DMNPAA المعدّل ببعض بدائل الألكيل استجابة توجّهية سريعة لتأثير حقل كهربائي خارجي، ويُحافظ على لا تناح في قابليّة الاستقطاب 150. يتمتّع 4-بوتوكسي -3-بروبيل -1-(4'-نيترو فينيل آزو) بنزين بأقصر زمن إعادة توجّه، قيمته 19 ميللي ثانية، وأقصر زمن انكساريّة ضوئيّة، وهما بالترتيب أسرع بمقدار 2300 مرّة، و 63 مرّة من الأزمنة الموافقة للمادّة المركبة DMNPAA البسيطة. تنتج

سرعة الاستجابة لإعادة التوجيه من تحسن التشتتية (dispersivity) في المادّة المركّبة البوليميريّة، وخفض درجة الانتقال الزجاجي.

كما جرى وصف مواد ضوئية الانكسارية سريعة الاستجابة على أساس حاضنة بوليميرية ذات سلسلة جانبية من بيس-ثلاثي أريل أمين، مع كمون تأيّن منخفض 151.

مُقارِنةً بالمواد المركبة على قاعدة PVK، تُظْهِر المواد المركبة على قاعدة بوليمير [4،1-فينيلين -2،1-ثنائي (4-بنزيل أوكسي فينيل) ڤينيلين] أداءً أعلى في الحالة المستقرّة 152. يُعتقد أنّ سبب هذه الأداء عائد إلى حيِّز داخلي حرِّ أوسع نسبياً. إضافة إلى ما سبق فإنّ بوليمير ات PPV الواحديّة المترافقة تُظهر حراك انجراف – ثقوب أعلى من PVK.

بوليميرات السيلوكسان. يُعتبر بولي (ميثيل-بيس-(3-ميثوكسي فينيل)-(4-بروبيل فينيل) أمين) سيلوكسان بديلاً عن PVK بصفته ناقلاً للثقوب. لقد جرت إشابته بحامل اللون الضوئي الانكسار 4-ثنائي (2-ميثوكسي-إيثيل) أمينو بنزيليدين مالونونتريل. تتيح درجة التحوّل الزجاجي الجوهريّة المنخفضة لبوليمير السيلوكسان تحضير العيّنات من دون ملدّنات. وتُظهر المواد المركّبة حراكاً توجيهيّاً جيّداً لحامل اللون، كما تُظهر أزمنة استجابة انكساريّة ضوئيّة في مجال الأجزاء بالألف من الثانية 153.

الجسيمات النانويّة على أساس Cdse. تؤدّي دور مُحسّسات الجسيمات النانويّة النانويّة Cdse/Zns من نمط قلب- دمكسادسيل أمين المتوّجة بـــCdse، أو الجسيمات النانويّة Cdse/Zns من نمط قلب قالب، في مادّة مركّبة بوليميريّة تشمل PVK و 1-(2-إيثيل هكسيل أوكسي)-5،2-ثنائي ميثيل -4-(4-نترو فينيل آزو) بنزين بصفته حاملاً للون 135,134.

الذهب الغروي. تُبدي المادّة المركبة البوليميريّة الضوئيّة الانكسار المكوّنة من PVK، وTNF، و +- (ثنائي سيانو ڤينيل -N،N-ثنائي إيثيل أنيلين)، وجسيمات الذهب، تحسيناً واضحاً في الانكساريّة الضوئيّة 154. ويُقترح إرجاع هذا التحسّن في الانكساريّة الضوئيّة إلى أنّ الإشابة بجسيمات الذهب تؤدّي إلى زيادة كثافة مركز الفخّ الفعلي.

الفولرينات. تتمتّع الفولرينات بلاخطيّة بصريّة عالية. وسبب ذلك يعود الى الاختلاف في قابليّة الاستقطاب بين جزيئات الفولرين وجذورها الأنيونيّة، التي تتشكّل عند المتصاص الفوتونات وانتقال الشحنات من قبل جُزيئات PVK.

يُبدي ثلاثي نيتروفلورينون المتصل بمتقبلات الفولرين C-60 في المادة المركبة يُبدي ثلاثي نيتروفلورينون المتصل بمتقبلات الفولرين C-60 في المادة المركبة PVK أداءً ضوئي الانكسار مماثلاً لأداء C-60، ولكنه يتمتّع بأزمنة استجابة أقصر، مع معاملات ربح أخفض بقليل. ولكن بالمُقابل، يمكن تطبيق فروق كمون أكبر، وهذا يؤدي بالنتيجة إلى معاملات ربح أعلى 156.

تحميل الوظائف. يمكن تحميل PVK بالوظائف باستعمال مادّة المُشتّت الأحمر 1 (DR-1) Disperse Red (DR-1) المعالجة بالسيانو أسيتيل. بهذه الطريقة يجري الحصول على بوليمير للضوء اللاخطي مؤسس على قاعدة PVK مع كثافة عالية للحوامل اللونيّة وخصاص شاملة محسّنة. بداية يجري تصييغ PVK حتّى 52 في المئة، ثُمّ تكثّف زمر الفورميل المتدليّة باستعمال (DR-1) المعالج بالسيانو أسيتيل 157.

الملائات. يمكن تعديل بوليميرات PVK باستعمال ECZ بصفته مُلدّناً، بهدف خفض درجة حرارة الانتقال الزجاجي. ولكنها يمكن أن تعاني عدم استقرار حراري بسبب تبلور الإضافات. لقد وُجِدَ أنّ إضافة مشابه ديميري لـ PVK، هو 3،1-بيس كاربازوليل بروبان (BisCzPro) أمر فعّال جداً 159,158. عند الاستعاضة عن ECZ بمركب BisCzPro أو خلائط ECZ/BisCzPro، يمكن توليف درجة حرارة الانتقال الزجاجي، ومدى تبعيّة الانعراجيّة، وذلك بتغيير نسب الإضافات. ويبقى الغشاء شفّافاً عند درجات حرارة عالية.

الاستقرار. إنّ المواد المركبة البوليميريّة المشوبة بـ 5،2-ثنائي ميثيل -4-(4'-نترو فينيل آزو) فينيل بنزيل إيثر مستقرة الطور، في حين تُبدي المواد المركبة المشوبة بـ 5،2-ثنائي ميثيل -4-(4'-نترو فينيل آزو) فينيل أوكتيل إيثر تركيزاً حرجاً عند 47 في المئة، إذْ سرعان ما تتحلّل المادّة المركبة عند تركيز أعلى من ذلك بسبب تبلور الصباغ 160.

2.3.4.1 الهولوغرامات

يمكن إنتاج هولوغرامات قابلة للمحو باستعمال مفعول الانكسارية الضوئية بإعادة توزيع للشحنة محرَّضٍ ضوئياً في مادّة للضوء اللاخطي. يجري تحقيق تغييرات موضعية في قرينة الانكسار، بحيث تتكوّن هولوغرامات ديناميكية قابلة للمحو وتسبب انعراج الضوء المرئي. يجري تحقيق مفعول الانكسارية الضوئية بتعريض المادّة لنمط من الشدّة البصريّة يتضمّن مناطق ساطعة وأخرى عاتمة، كتلك التي تتكوّن عند تداخل حزمتين ليزريّتين في حالة الكتابة. تُهاجر الشحنات الحرّة المتولّدة في المادّة إلى المناطق المُناسبة

لتكوّن حقول حيِّز -مشحون كهربائية داخلية، تؤدّي إلى انعراج الضوء عند القراءة بما يتوافق مع المفعول الكهربصري 161.

لقد تبيّن أنّ هذا المفعول مفيد في تخزين هولوغرامات حجميّة الطور. يمكن شرح النيّة مفعول الانكساريّة الضوئيّة كما يلي: تجري إضاءة البلّورات بنمط ضوئي، مثلاً: نمط تداخل حزمتين ليزريّتين. فتثار بنتيجة ذلك الشحنات في المناطق الساطعة من العيوب في النطاق الموصل أو نطاق التكافؤ، ويُعاد توزيعها وحجزها في المناطق الأعتم على التفضيل. وينشأ بذلك نمط توزع فراغي للشحنة، يؤدّي إلى تعديل قرينة الانكسار بتأثير المفعول الكهربصري. منابع الشحنات أو أفخاخها هي في الغالب شوارد معادن انتقاليّة، توجد في حالات تكافؤ مختلفة. أما الانتشار –المفعول الفوتوڤولطائي الحجمي – والانحراف في الحقول الخارجيّة، وفي حقول الحيّز المشحون، وفي الحقول الكهربائيّة الحراريّة في العاسم آليّات قيادة أو إدارة انتقال الشحنة.

أوّل الإشارات إلى بلّورات سائلة ضوئيّة الانكسار ظهرت عام 1994. ومنذ ذلك الحين تحسّن أداء هذه المواد تحسّناً كبيراً.

ولقد جرى إنجاز تصوير هولوغرافي رجعي الانعكاس لكامل الحقل، عبر وسط عكر باستعمال مادّة مركّبة بوليميريّة ضوئيّة الانكسار بصفتها بوابة ترابط 162 . كانت التجهيزات الضوئيّة الانكسار مؤسّسة على قاعدة PVK و TNFDM المُشاب بحامل اللون $^{1-}(2)$ - إيثيل هكسيل أوكسي $^{1}(2)$ - ثنائي ميثيل $^{1}(2)$ - نترو فينيل آزو)بنزين. وهناك بعض الدلائل على تفاعل TNFDM مع حوامل اللون تفاعل تعقيد 163 .

تعتمد تقنيّة تسجيل الهولوغرامات، وقراءتها غير الإتلاقيّة في البوليميرات الضوئيّة الانكساريّة الانكساريّة المتصاص فوتونين—اثنين معاً. تتشكّل الهولوغرامات اعتماداً على مفعول الانكساريّة الضوئيّة. و تستعمل التقنية إثارة حامل اللون الفعّال كهربائياً بنبضات فمتوثانية أي في مجال 10 ثانية، ثُمّ يتبعها حقن شحنات في حاضنة PVK. يمكن محو الهولوغرام محواً كاملاً باستعمال حزمة ليزر نبضي، ولكن تبقى غير حسّاسة لتأثير حزم أمواج ليزريّة مستمرّة بطول الموجة نفسه 164 .

أمًا حامل اللّون N·N-ثنائي فينيل -7-(2-(4-بيريدينيل)-إثينيل -9،9-ثنائي-نظامي -ديسيل -9H-فلورين -2-أمين (AF-50)، انظر الشكل (1-13)، فقد جرت دراسته في

حاضنة PVK، وذلك لتطبيقات القراءة والكتابة 165. جرت كتابة المعلومات على العينة باستعمال الخطّ PVK/AF-50 من موجة ليزر He-Cd مستمرة. يخضع 325 nm بتأثير الإشعاع الليزري لتغيّر كيميائي مسبّباً انزياحاً نحو الأزرق في طيف التألق الضوئي. تقترح الاستقصاءات بالأشعة تحت الحمراء تشكّل نظام مترافق جديد مثل كيتيمين. ويبدو أنّ التحوّل الكيميائي غير عكوس.

$$\bigcap_{N} \bigcap_{R} \bigcap_{R=C_{10}H_{21}} \bigcap_{R=C_{10}H_{21}}$$

الشكل (1-13): N،N-ثنائي فينيل -7-(2-(4-بيريدينيل)- إثينيل -9،9-ثنائي -نظامي - الشكل (1-13): 9H-فلورين -2-أمين.

لقد جرى استعمال بوليمير ضوئي الانكسار من DMNPAA و TNF و ECZ و PVK و ECZ و TNF و DMNPAA التخزين الضوئي الثلاثي الأبعاد القابل لمحو المعطيات وكتابتها، وذلك تحت إثارة فوتونين اثنين معاً 166. وجرى تحقيق كثافة معلومات ثلاثيّة الأبعاد تصل إلى 5 غيغابِت في السنتمتر المكعّب بالإضاءة بحزمة نبضيّة بطول موجة تحت الأحمر قدره mn 800 عند عمليّة التسجيل.

يمكن محو المعلومات المسجّلة محواً كاملاً بإلاضاءة فوق البنفسجيّة. يمكن لجزيئات حوامل اللون المزدوجة الاستعمال أن تتيح حفراً متلوّناً ضوئياً (Photochromic) للشبكات الهولوغرافية غير عكوس، أو حفراً ضوئي الانكسار للشبكات الهولوغرافية قابلاً للمحو، وذلك في حيِّز التخزين نفسه 167.

عند طول موجة قدره mn 675 يخضع حامل اللون لتفاعل كيميائي ضوئي ينشأ عنه حفر هولوغرافي غير عكوس، ولاحقاً، عند موجات أطول، يمكن تخزين هولوغرامات ضوئيّة الانكسار قابلة للمحو في الموقع نفسه.

يتمتّع الحفر الكيميائي الضوئي بنصف عمر عتمة محدود الانتشار قدره حوالى أسبوعين، وذلك تبعاً لدرجة التحوّل الزجاجي للمادّة المركّبة. تُستعمل المواد المركّبة المكوّنة من PVK ومن بوتيل بنزيل فتالات، أو ثلاثي كريسيل فوسفات بصفتها ملدّنات. أما المُحسّسات ومولّدات الشحنة فتتألّف من C-60 أو TNF. يتكوّن حامل اللون من كسر ذات

بنية أساسيّة من 2-(5،5- ثنائي ميثيل-3-ستيريل-حلقي هكس-2-إنيليدين)- مالونونتريل. انظر الشكل (1-14).

يمكن لحوامل اللون أن تفيد في حفر الشبكات الفعّال الضوئي الانكسار، كما أنها نشيطة من الناحية الكيميائية الضوئية، وربّما بتفاعلات كيميائية ضوئية من نمط 2+2 عند تحسّس الثلاثيات. تتعلّق كفاءة الانعراج الخارجي الضوئي الانكسار تعلّقاً كبيراً بدرجة حرارة الانتقال الزجاجي للمواد المركّبة. تزداد الكفاءة عند درجات حرارة انتقال زجاجي منخفضة.

الشكل (1-14): 2-(5.5)-ثنائي ميثيل -3-ستيريل -حلقي هكس -2-إنيليدين)- مالونونتريل وحوامل لون متعلّقة به 167.

تبدو القاعدة التالية قاعدةً عامّة: إنّ أزمنة استجابة المواد المركّبة البوليميريّة الضوئية الانكسار تتعلّق تعلّقاً كبيراً بكلّ من درجة حرارة الانتقال الزجاجي، وحامل اللون الكهربصري 168.

تستجيب المواد المركبة، ذات درجات حرارة انتقال زجاجي أخفض من درجة حرارة القياس، وبمحتوى متنوع من الحوامل اللونية، ضمن أزمنة استجابة متقاربة في المجال 500-200 ميللي ثانية.

ولكن، تظهر فروقات جوهرية في المواد المركبة ذات درجات حرارة انتقال زجاجي أعلى من درجة حرارة القياس. في هذه الحالة تُبدي المواد المركبة التي تحتوي محتوى أعلى من الحوامل اللونية أداء أفضل في الحالة المستقرة. إلا أنّ زمن استجابتها أبطأ من تلك التي تحتوي محتوى أقل من الحوامل اللونية. يمكن تحقيق حفر ضوئي الانكسارية

عكوس، وحفر موضعي مُحرّض ضوئياً غير عكوس، في مواد مركبة بوليميريّة ذات درجات حرارة انتقال زجاجي منخفضة من PVK وTNF وECZ و -(4)-نترو فينيل -1-برولينول -(4)

4.4.1. التجهيزات الفوتوڤولطائية

إنّ الآليّة الفوتوڤولطائيّة هي ببساطة الآليّة المُعاكسة لتلك المستعملة في التجهيزات المُصدِرة للضوء. وعليه فإن الخبرة المكتسبة في التجهيزات المصدِرة للضوء مفيدة في تطوير التجهيزات الفوتوڤولطائيّة.

بامتصاص الضوء تُثار الجُزيئات من حالة دنيا إلى حالة مُثارة، فنجد الإكسيتونات. يمكن للإكسيتون أن يتحلّل بآليّات متعدّدة ليست مفيدة في توليد الطاقة الكهربائيّة. ولكن، يمكن للإكسيتون أن يتفرّق إلى زوج من الشحنات، إنّ هذه الآليّة هي المسؤولة عن المفعول الفوتوڤولطائي.

تحدث التيارات المحرّضة الضوئية من تفريغ الشحنة عند المساري. يتأثّر انتقال الشحنة بتفاعلات إعادة التجمّع أثناء الهجرة إلى المساري، وبخاصة إذا كانت المادّة نفسها تؤدّي دور وسط ناقل للإلكترونات وللثقوب على السواء. يمكن للتفاعلات المتبادلة مع الذرّات أو الشحنات الأخرى أن تؤدّي إلى إبطاء الهجرة، وتحدّ من التيار 170.

هناك عدّة أسباب لاستعمال المواد العضويّة في تطبيقات الخلايا الشمسيّة الفوتوڤولطائيّة. يكمن أهمها في المميّزات الخاصيّة التي تتمتع بها المواد العضوية 170:

- تمكن معالجة المواد العضوية بسهولة بالطلي الدوامي، وبتقانات مبضع الجراح، أو بالتبخير من خلال قناع.
- 2. الكميّات التي نحتاجها منها هي بالمقارنة صغيرة نسبيّاً. إنّ سيرورة إنتاج المواد العضويّة أسهل من سيرورة إنتاج المواد اللاعضويّة.
- 3. يمكن توليف المواد العضوية كيميائياً بهدف الحصول على الخواص المرغوبة، مثل النطاق المحظور (فجوة طاقية)، والانحلالية، وغيرها. كما إنّ التتوّع الكبير في البنى الكيميائية، والوظائف متوفّر أساساً في المواد العضوية.

ليست الخلايا البوليميرية الفوتوڤولطائية مهمة فقط لتطبيقاتها التقليدية مثل توليد الطاقة الكهربائية، بل أيضاً في تحسس الصور الرقمية للمساحات الواسعة 171.

وهناك بعض البوليميرات المترافقة، والأصبغة، وأنماط الزجاج الجُزيّئي العضوي التي تتمتّع بخواص نصف ناقلة.

إنّ مُعامِل امتصاص المواد العضوية أعلى بكثير مقارنة بالسيليكون، حتّى إنّ مجرد 100 nm كافية لامتصاص ما بين 60 إلى 90 في المئة عند استعمال وجه خلفي عاكس. يتيح مُعامِل الامتصاص المرتفع إمكانيّة تصنيع خلايا شمسيّة رقيقة جدّاً، مع حاجة أصغريّة للمواد. وعلاوة على ذلك يمكن تكييف المواد العضوية إلى حدّ كبير.

من المتوقّع أن يكون ممكناً تصنيع التجهيزات الفوتوڤولطائيّة العضوية على نطاق واسع باستعمال سيرورات بدرجات حرارة منخفضة، وبكلفة زهيدة 172. وبعكس التجهيزات الفوتوڤولطائيّة اللاعضوية فإنّ عمق الاختراق في التجهيزات العضوية صغير.

إنّ عيباً كبيراً في الخلايا الفوتو فولطائية البوليميريّة يتمثّل بانخفاض التيار المحرَّض ضوئياً، وذلك يعود إلى ضعف حراك حوامل الشحنة وقصر مسافة هجرة الإكسيتونات. ولكن يمكن تحسين التيار الكهربائي الناتج من الخلايا الفوتو فولطائية البوليميريّة تحسيناً جو هرياً بإضافة كميّة صغيرة من كهرليت صلب شاردي 173.

من المعلوم أنّ طيف الإشعاع الشمسي ليس وحيد اللون. إنّ إحدى التحديات لأَمثلَة التجهيزات الفوتوڤولطائيّة تكمن في جعلها موائِمة لطيف الإشعاع الشمسي. تُعرّف الكفاءة الداخليّة: فوتون إلى تيار بالصيغة:

(3-1)
$$\eta_i = \frac{I_{\text{max}}}{G\lambda} \frac{hc}{e}$$

حيث : I_{max} هو تيار الدارة المقصورة.

G الإضاءة.

 λ طول الموجة.

h ثابت بلانك.

c سرعة الضوء.

e الشحنة الكهربائية العنصرية.

أمّا الناتج الفوتوڤولطائي الخارجي η_e فهو يُعرَّف بأنه نسبة الطاقة الكهربائيّة العظمى $P_{\rm max}$ التي جرى جمعها، إلى جداء الإضاءة G بسطح التجهيزة

$$\eta_e = \frac{P_{\text{max}}}{GS}$$

يمكن التعبير عن الناتج الفوتوڤولطائي الخارجي بدلالة ناتج التوليد الضوئي ϕ ، ومُعامل الملء f، بالعلاقة g بالعلاقة g بالعلاقة g بالعلاقة g بالعلاقة g بالعلاقة بالممكنة.

يمكن افتراض أنّ ناتج التوليد الضوئي ϕ يساوي 1 تقريباً، وكذلك الأمر بشأن مُعامل الملء f. النسبة بين الطاقة الإلكترونيّة المولّدة والطاقة الإشعاعيّة المُمتصيّة $eV_{\rm max}/hV$ هي حوالي 1/4. فإذا افترضنا أنّ امتصاص ضوء الشمس A يساوي 0.5 استنتجنا أنه يمكن تقدير الناتج الفوتو ڤولطائي الخارجي الأعظمي بحوالي 10 في المئة. إنّ العوامل المهمّة في تحقيق هذه الكفاءة هي طول انتشار الإكسيتونات وحراك الشحنات 170.

أمثلة على جُزَيْئات تتمتّع بوظائف مانحة تشمل الكلوروفيل، ومعقّدات الفتالوسيانين، والبيريلين. وتمثّل الفولرينات و MEH-PPV أمثلة على جُزَيْئات ذات وظائف مُتقبّلة.

الفولرينات هي متقبّلات فعّالة للإلكترونات في البوليمرات المُثارة ضوئياً. فهي تحاكي بعض خطوات انتقال الإلكترونات في عمليّة التركيب الضوئي.

ولقد جرى تحقيق كفاءة تحويل تصل إلى 4 في المئة بمزج بوليميرات مع مشتقات الفولرين وسلينيد الكادميوم، وثاني أوكسيد التيتانيوم 174. تعاني الفولرينات تفاعلاً كيميائياً ضوئياً بوجود الأكسجين 175.

لقد جرى استعمال شبكات متداخلة مع فولرينات معدّلة 176. يمكن إنتاج شبكات متداخلة بالتبخير المشترك للفولرينات والأصبغة الجزيئية مثل فتالوسيانين التوتياء. وعلى سبيل المقارنة فقد جرت الإشارة إلى كفاءة ضئيلة مقدارها 1.05 في المئة في الخلايا الشمسيّة 177.

أما أنظمة داياد (Dyad) فيجري النظر إليها كجُزرَيْئات متقبّلة للإلكترونات مرتبطة برابطة مشتركة مع مانح فعّال ضوئياً.

وفي هذا السياق تبدو واعدة بوجه خاص الفولرينات بصفتها وحدات متقبّلة للإلكترونات مجمّعة مع الفتالوسيانينات بصفتها مانحة للإلكترونات.

في الخلايا الشمسيّة العضويّة المكوّنة من فتالوسيانين التوتياء وصباغ البيريلين كان من الممكن رفع تيار الدارة المقصورة بنسبة 1.5 عند مضاعفة الضغط الجزئي للأكسجين ثلاث مرّات عمّا هو عليه في الجو العادي 178. إنّ بنية معقّد الفتالوسيانين المعدني مبيّنة في الشكل (15-1).

تجري إضافة صباغ البريلين مثل بيريلين رباعي كربوكسيليك-بيس-بنز ُإيميدازول بهدف توسيع طيف الامتصاص 1.9 ويمكن تحقيق كفاءة تحويل طاقة تصل إلى 1.9 في المئة تحت إضاءة قياسيّة (100 m W cm⁻²).

ولقد جرت الإشارة إلى انفصال شحنات مُحرّض ضوئياً طويل الأمد (بعمر قدره 200 ns) في الحالة الصلبة 180. إنّ طول عمر الحالة المنفصلة للشحنات يجعلنا نفكّر بجمع الشحنات بمساري مناسبة، وباستعمال أنظمة الانتقال الإلكتروني هذه في التطبيقات الفوتوڤولطائيّة العضويّة.

يتكوّن بوليمير مشترك ذو نطاق محظور منخفض من پولي (7٠2-(9٠٩-ثنائي اوكتيل). وكرين -3٠١٠٥-بنزو ثياديازول). وكتيل) فلورين -5٠٥-(-7٠٤) لهذا النوع من البوليميرات المشتركة منخفضة جدّاً، فهي إنّ النطاق المحظور الضوئيّة لهذا النوع من البوليميرات المشتركة منخفضة جدّاً، فهي 1.87 eV في حالة بوليمير مشترك جرى الحصول عليه من الفلورين المُستبدل و 4٠٠-ثنائي سيلينوفن -2′-إيل -3٠١٠٥-بنزو ثياديازول، وهي 1.77 eV في حالة بوليمير مشترك مُشابه من 7٠٤-ثنائي سيلينوفن -2′-إيل -3٠١٠٥-بنزوسيلينا ديازول. وقد لوحظ انتقال سريع فعّال للطاقة من مقاطع الفلورين لتضييق مواقع الفجوات الطاقيّة 18١.

تشير الدراسات إلى أنّ PFSeBT هو بوليمير محتمل للعمل كمانح للإلكترونات في الخلايا البوليميريّة الفوتوڤولطائيّة 184,183. تتمتّع التجهيزات بطيف استجابة يصل إلى 680 nm 680. وجرى تحقيق كمون دارة مفتوحة قدره V 1.00 وكثافة تيّار دارة مقصورة قدره 4.42 ميللي أمبير على السنتمتر المربّع. أما كفاءة تحويل الطاقة فهي 1.67 في المئة.

إنّ البوليميرات المشتركة المترافقة من 9،9-ثنائي أوكتيل فلورين و 7،4-ثنائي -2-ثنيل -3،1،2-بنزو ثياديازول الممزوجة مع ميثانو فولرين [6،6]-6،1-Ph C61-جمض بوتيريك ميثيل إستر تُظهر استجابة طيفيّة حتّى mm 650 nm أضافة إلى ذلك يصل كمون الدارة المفتوحة إلى V وتصل كفاءة تحويل الطاقة إلى 2.24 في المئة في المُحاكي الشمسي. تُحافظ التجهيزات الفوتوڤولطائيّة على كفاءة تحويل الطاقة العاليّة عند معدّلات إضاءة مرتفعة. يتيح هذا الأمر بناء وحدات عالية الكفاءة مع مجمّعات للضوء 185.

تشير الدراسات لخلائط MEH-PVV والفولرينات المحتوية على بوليميرات مترافقة، أنّ كلا البوليميرين يساهمان في امتصاص الضوء في الخلايا الفوتوڤولطائيّة 186. أما كفاءة تحويل الطاقة للضوء الأبيض فهي 0.01 في المئة.

الشكل (1-15): معقد فتالوسيانين التوتياء • 182

يمكن تحسين كفاءة البوليميرات فائقة التشعّب من الفينيلين فينيلين بخلطها مع كميّات ضئيلة من MEH-PVV إنّ جمع MEH-PVV بصفته مانحاً للإلكترونات مع پولي (بيريدوبيرازين فينيلين) بصفته متقبّلاً للإلكترونات يُعطي كموناً قدره 900 mV في الدارة المفتوحة تحت ضوء وحيد اللون ضعيف الشدّة 188.

5.4.1. الإصدار التلقائي المُضخَّم

لقد جرت الإشارة إلى إصدار تلقائي مُضخَّم (ASE) أزرق منخفض العتبة في بوليمير مشترك إحصائي من 9،9′-ثنائي هكسيل فلورين -7،2-ثنائي ڤينيلين ڤينيلين ڤينيلين ڤينيلين فينيلين فينيلين فينيلين ومن خلائطه مع PVK و¹⁸⁹ PVK يؤدي كلٌّ من PVK وPDHFPV بالترتيب دور مانح ومتقبّل لانتقال طاقة الإثارة من نمط فورستر.

كما جرت ملاحظة إصدار تلقائي مُضخَّم عند حوالى mm 400 في أغشية بوليميريّة من PS و PVK المشوب حتى 20% بالجُزيَئات العضويّة الناقلة للثقوب PVK لذلك تعدّ هذه الأغشيّة موادّ واعدة لاصطناع ديودات ليزريّة عضويّة مُصدرة للضوء الأزرق.

[•] التوتياء أو الزنك (zn)

6.4.1. العناصر البصريّة

تقليدياً، يشتمل أي نظام بصري على العديد من العدسات بهدف حرف حزم الأشعة الضوئية. يمكن إنقاص الزيغ اللوني (Chromatic aberration) بتجميع مواد زجاجية ذات خصائص تشتّت مختلفة.

فمثلاً، العدسات الجسمية في مقراب تشتمل على عدسة موجبة تستعمل مادة زجاجية منخفضة التشتتية، وعلى عدسة سالبة تستعمل مادة زجاجية عالية التشتتية. تُجمّع هذه العدسات لتصحيح الزيغ اللوني الذي يظهر عند المحور.

ولكن، وعندما يكون توزيع العدسات مقيداً، أو تكون المواد الزجاجية المستعملة محدودة، لا يكون من الممكن أحياناً تصحيح الزيغ اللوني تصحيحاً كاملاً. من ناحية أخرى، يمكن تخفيف الزيغ اللوني بتركيب شبكة انعراج على عدسة. يمكن تكوين هذه الشبكة من PVK. إذ يمكن تشبيك PVK في شبكة انعراج.

ولكنّ PVK مادّة شديدة الهشاشة، ويمكن لجهد ضئيل أن يكسرها بسهولة. وأكثر من ذلك، فإنّ هذا الأسلوب يتطلّب وقتاً طويلاً، وهو من ثُمّ غير صالح في السيرورات الصناعيّة.

طريقة أخرى تتمثّل بتطبيق PVK بالقولبة الملدّنة حرارياً. ثُمّ يُذاب البوليمير بمذيب يجري تبخيره لتكوين العنصر البصري. أسلوب آخر أيضاً يتمثّل بتزويد القالب بمونومير NVK، ثُمّ تجري البلمرة في القالب لتحويله إلى PVK وفق نمط تفاعل بلمرة حراريّة بين 70 و 130 درجة مئويّة. البلمرة الضوئيّة أيضاً ممكنة، مثلاً باستعمال 1-هيدروكسي حلقي هكسيل-فينيل-كيتون 191.

7.4.1. البوليميرت المضادة للكهرباء الساكنة

يمكن تحويل PVK أو مشتقاته النتراتيّة إلى مواد نصف ناقلة بإدخال وحدات لونيّة حساسة للضوء قادرة على تشتيت الكهرباء الساكنة. يمكن أن تتولّد الكهرباء الساكنة أثناء تداول المواد 192.

8.4.1. تطبيقات أخرى

1.8.4.1 التصوير المجهري

يُستعمل PVK في الركائز الزجاجيّة المطليّة بالبوليمير في بسط وتثبيت الحمض النووي الريبي المنقوص الأوكسجين DNA. وهكذا يمكن تعيين الموضع الدقيق للموريّة على الـــDNA باستعمال إجهاريّة التألّق الفلوري، وإجهاريّة القوّة الذريّة (AFM). لقد جرت مراقبة جُزيّئات DNA مجمّعة وممتطة جزئياً على زجاج غير مطلي. يبيّن هذا أنّ DNA يتفاعل بصلادة مع السطح بسبب الاستقطاب العالى لسطح الزجاج.

يتثبّت فقط عدد ضئيل من جُزيئات DNA على الزجاج المطلي بيولي (فينيل بوتيرال). أما السطوح المطليّة بــ PVK و بولي (فناز اسيلين) فهي تثبّت وتبسط بشكل كاف جُزيّئات DNA. هذا تفاعل خاص يُر ْجَعُ إلى التكديس من النمط π بين الأمينات العطريّة في البوليميرات، والأزواج الأساسيّة في جُزيّئات DNA.

5.1. الموردون والعلامات التجارية

أمثلة على العلامات والأسماء التجاريّة المتوفرّة مبيّنة في الجدول (6-1).

الجدول (1-6): أمثلة على بوليميرات (N-ڤينيل كاربازول) المتوفرة تجارياً

المرجع	المُنتِج	الاسم التجاري
3	BASF	Luvican®
3	Genaral Aniline and Film Corporation	Polectron®
3	POLICARB	$Policarb^{TM}$

6.1. الأمان

إنّ NVK ضار لإذا جرى ابتلاعه أو امتصاصه عبر الجلد. كما يُشَكُ أنّ NVK يُسبب السرطان. أما PVK فهي مادّة مستقرّة، ولكنها غير متوافقة مع العوامل المؤكسدة القويّة. ولم يجر تحري سميّتها بوجه كامل 194.

- 1. J. M. Pearson and M. Stolka. *Poly(N-vinylcarbazole)*, *volume 6 of Polymer Monographs*. New York: Gordon and Breach, 1981.
- 2. J. M. Pearson. "Vinyl Carbazole Polymers." In: H. F. Mark, N. Bikales, C. G. Overberger, and G. Menges, eds., *Encyclopedia of Polymer Science and Engineering*. 2nd ed. New York: Wiley Interscience, 1989. vol. 17, pp. 257–294.
- 3. J. V. Grazulevicius, P. Strohriegl, J. Pielichowski, and K. Pielichowski. "Carbazole-containing Polymers: Synthesis, Properties and Applications." *Progress in Polymer Science*: vol. 28, no. 9, September 2003, pp. 1297–1353.
- 4. M. D. Shattuck and U. Vahtra. "Organic Photoconductive Compositions and their Use in Electrophotographic Processes." US Patent 3 484 237, assigned to International Business Machine Corporation, Armonk, N.Y., 16 December 1969.
- 5. X. Jiang, R. A. Register, K. A. Killeen, M. E. Thompson, F. Pschenitzka, and J. C. Sturm. "Statistical Copolymers with Side-chain Hole and Electron Transport Groups for Single-layer Electroluminescent Device Applications." *Chemistry of Materials*: vol. 12, no. 9, 2000, pp. 2542 2549.
- M. Wainwright, J. Griffiths, J. T. Guthrie, A. P. Gates, and D. E. Murray. "Copolymers of N-vinylcarbazole with Monomers Containing Carboxylic Acid Groups or Carboxylic Anhydride Groups. I." *Journal of Applied Polymer Science*: vol. 44, no. 7, March 1992, pp. 1179–1186.
- 7. J. S. Heo, N. H. Park, J. H. Ryu, Q. H. Choi, and K. D. Suh. "Novel Light Emitting Diode Using Organic Electroluminescence Microcapsules." *Macromolecular Chemistry and Physics*: vol. 204, no. 16, November 2003, pp. 2002–2006.
- 8. Q. Ling, M. Yang, W. Zhang, H. Lin, G. Yu, and F. Bai. "PL and EL Properties of a Novel Eu-containing Copolymer." *Thin Solid Films*: vol. 417, no. 1-2, September 2002, pp. 127–131.
- 9. Q. Ling, M. Yang, Z. Wu, X. Zhang, L. Wang, and W. Zhang. "A Novel High Photoluminescence Efficiency Polymer Incorporated with Pendant Europium Complexes." *Polymer*: vol. 42, no. 10, February 2001, pp. 4605–4610.
- W. W. Limburg and D. A. Seanor. Copolymers of N-vinylcarbazole and N-vinylphthalimide and Derivatives Thereof. US Patent 3 970 602, assigned to W. W. Limburg and D. A. Seanor, July 20, 1976.
- 11. D. W. Kim, H. Moon, S. Y. Park, and S. Il Hong. "Synthesis of Photoconducting Nonlinear Optical Side-chain Polymers Containing Carbazole Derivatives." *Reactive and Functional Polymers*: vol. 42, no. 1, September 1999, pp. 73–86.
- 12. Y. Shirota. "Organic Materials for Electronic and Optoelectronic Devices." *Journal of Materials Chemistry*: vol. 10, no. 1, 2000, pp. 1–25.

- 13. P. Strohriegl and J. V. Grazulevicius. "Charge-transporting Molecular Glasses." *Advanced Materials*: vol. 14, no. 20, October 2002, pp. 1439–1452.
- S. Grigalevicius, E. Lideikis, J. V. Grazulevicius, V. Gaidelis, J. Antulis, V. Jankauskas, F. Tran Van, and C. Chevrot. "Synthesis and Properties of the Polymers Containing 3,3'-Dicarbazyl Units in the Main Chain and their Model Compounds." *Polymer*: vol. 43, no. 21 October 2002, pp. 5693–5697
- 15. A. Balionyte, S. Grigalevicius, and J. V. Grazulevicius. "Synthesis and Properties of Polymers Containing Aromatic Amino Groups in the Main Chain and their Glass-Forming Model Compounds." *European Polymer Journal*: vol. 40, no. 8, August 2004, pp. 1645–1650.
- 16. W. S. Lyoo. "Synthesis of Ultrahigh Molecular Weight Poly(N-vinylcarbazole) with a High Yield Using Low-Temperature Heterogeneous-solution Polymerization." *Journal of Polymer Science Part A: Polymer Chemistry*: vol. 39, no. 4, February 2001, pp. 539–545.
- 17. M. Kamachi, H. Q. Guo, and A. Kajiwara. "Block Copolymer Synthesis of N-vinylcarbazole and Cyclohexene Oxide by Radical/Cation Transformation Polymerization." *Macromolecular Chemistry and Physics*: vol. 203, no. 7, May 2002, pp. 991–997.
- 18. K. Fujiki, M. Sakamoto, A. Yoshida, and H. Maruyama. "Radical Grafting from Glass fiber Surface: Graft Polymerization of Vinyl Monomers Initiated by Azo Groups Introduced onto the Surface." *Journal of Polymer Science Part A: Polymer Chemistry*: vol. 37, no. 13, July 1999, pp. 2121–2128.
- 19. J. Steinmetz, S. Kwon, H.-J. Lee, E. Abou-Hamad, R. Almairac, C. Goze-Bac, H. Kim, and Y.-W. Park. "Polymerization of Conducting Polymers inside Carbon Nanotubes." *Chemical Physics Letters*: vol. 431, nos. 1-3, November 2006, pp. 139–144.
- 20. M. Baibarac, P. Gomez-Romero, M. Lira-Cantu, N. Casan-Pastor, N. Mestres, and S. Lefrant. "Electrosynthesis of the Poly(N-vinyl carbazole)/Carbon Nanotubes Composite for Applications in the Supercapacitors Field." *European Polymer Journal*: vol. 42, no. 10, October 2006, pp. 2302–2312.
- M. Baibarac, M. Lira-Cantú, J. Oró Sol, I. Baltog, N. Casañ-Pastor, and P. Gomez-Romero. "Poly(N-vinyl Carbazole) and Carbon Nanotubes Based Composites and their Application to Rechargeable Lithium Batteries." *Composites Science and Technology*: vol. 67, nos. 11-12, September 2007, pp.2556–2563.
- H.-X. Wu, X.-Q. Qiu, R.-F. Cai, and S.-X. Qian. "Poly(N-vinyl carbazole)-Grafted Multiwalled Carbon Nanotubes: Synthesis via Direct Free Radical Reaction and Optical Limiting Properties." *Applied Surface Science*: vol. 253, no. 11, March 2007, pp. 5122–5128.
- 23. B. Ustamehmetoglu, E. Sezer, and A. S. Sarac. "Oxidative Polymerization of N-vinylcarbazole in Polymer Matrix." *Polymer International*: vol. 50, no. 6, June 2001, pp. 728–733.
- 24. R. Aldag and P. Neumann. Purification of poly(N-vinylcarbazole) containing impurities. US Patent 4 987 220, assigned to BASF Aktiengesellschaft (Ludwigshafen, DE), 22 January 1991.

- 25. C. R. Costin, T. W. Hazell, G. W. Ceska, and J. P. Horgan. Process for the removal of N-vinylcarbazole from poly(N-vinylcarbazole). US Patent 5 175 248, assigned to Sartomer Company, Inc. (Exton, PA), 29 December 1992.
- M. Sakakibara, Y. Takeuchi, and D.-k. Ding. Electroluminescent material and electroluminescent cell. US Patent 6 451 458, assigned to JSR Corporation (Tokyo, JP); International Center for Materials Research (Kawasaki, JP); TECO Electric and Machinery Co., Ltd. (Taipei, TW), 17 September 2002.
- M. Ohoka, S. Misumi, and M. Yamamoto. "Determination of Propagation Rate Coefficient of Free-Radical Polymerization of N-vinylcarbazole by Pulsed-laser Polymerization." *Polymer Journal*: vol. 31, no. 10, 1999, pp. 878–882.
- 28. M. Yin, C. Barner-Kowollik, J. P. A. Heuts, and T. P. Davis. "Complications in the 355 nm Pulsed-laser Polymerization of N-vinylcarbazole." *Macromolecular Rapid Communications*: vol. 22, 13, September 2001, pp. 1035–1040.
- 29. W. S. Lyoo, H. Do Ghim, H. S. Kim, J. H. Kim, S. S. Kim, W. S. Yoon, J. W. Lee, and S. S. Lee. "Low-temperature Photoinitiation Solution Polymerization Behavior of N-vinylcarbazole in Tetrahydrofuran." *Journal of Applied Polymer Science*: vol. 86, no. 14, December 2002, pp. 3667–3672.
- 30. J. S. Lee, W. S. Lyoo, S. K. Noh, J. H. Kim, J. W. Lee, H. D. Ghim, and J. Y. Lee. "Preparation of High-Molecular-Weight Poly(N-vinylcar-bazole) by the Photoinduced Low-Temperature Solution Polymerization of N-vinylcarbazole in 1,1,2,2-tetrachloroethane." *Journal of Applied Polymer Science*: vol. 89, no. 9, August 2003, pp. 2391–2396.
- 31. C. J. Lee, D. H. Kim, J. M. Oh, K. H. Park, N. Kim, B. C. Ji, and W. S. Lyoo. "Solution polymerization behavior of N-vinylcarbazole by low-temperature azoinitiator." *Journal of Applied Polymer Science*: vol. 76, no. 10, June 2000, pp. 1558–1563.
- 32. M. Biswas and S. S. Ray. Recent Progress in Synthesis and Evaluation of Polymer-montmorillonite Nanocomposites." In: *New Polymerization Techniques and Synthetic Methodologies*, volume 155 of Advances in Polymer Science. Berlin: Springer-Verlag Berlin, 2001, pp. 167-221.
- 33. Y. H. Yu, C. Y. Lin, and J. M. Yeh. "Poly(N-vinylcarbazole)-clay Nanocomposite Materials Prepared by Photoinitiated Polymerization with Triarylsulfonium Salt Initiator." *Journal of Applied Polymer Science*: vol. 91, no. 3, February 2004, pp. 1904–1912.
- 34. A. Maity and M. Biswas. "Alumina-based Water-Dispersible Conducting Nanocomposites of Polypyrrole and Polypyrrole with Poly(N-vinylcar-bazole)." *Journal of Applied Polymer Science*: vol. 90, no. 4, October 2003, pp. 1058–1065.
- 35. A. Maity and M. Biswas. "A Nanocomposite of Poly(N-vinylcarbazole) with Nanodimensional Alumina." *Journal of Applied Polymer Science*: vol. 88, no. 9, May 2003, pp. 2233–2237.
- 36. M. C. Baird and Q. Wang. Synthesis of Polymers of Vinyl Ethers, 1,5-Hexadiene and N-vinylcarbazole. US Patent 5 439 996, assigned to Queen's University at Kingston (Kingston, CA), 8 August 1995.

- 37. N. Tsubokawa and T. Yoshihara. "Carbon whisker as an initiator of cationic polymerization of N-vinylcarbazole and N-vinyl-2-pyrrolidone." *Polymer Journal* (Tokyo): vol. 23, 1991, pp. 177–183.
- 38. J. V. Crivello. Oligomeric and polymeric photosensitizers comprising a polynuclear aromatic group. US Patent 6 593 388, assigned to Renssealer Polytechnic Institute (Troy, MI), 15 July 2003.
- 39. I. V. Bulgarovskaya, V. M. Vozzhennikov, R. M. Gitina, D. V. Pebalk, and B. V. Kotov. "Photoelectric Properties of Donor-acceptor Polymer Compositions of Soluble Polyimides with poly(N-epoxypropyl)Carbazole and its Halogenated Derivatives." *Russian Journal of Physical Chemistry*: vol. 76, no. 2, February 2002, pp. 291–295.
- 40. S. Spange, A. Graser, H. Muller, Y. Zimmermann, P. Rehak, C. Jager, H. Fuess, and C. Baehtz. "Synthesis of Inorganic/Organic Host-guest Hybrid Materials by Cationic Vinyl Polymerization within Y Zeolites and MCM-41." *Chemistry of Materials*: vol. 13, no. 10, October 2001, pp. 3698–3708.
- 41. S. Spange, A. Graser, A. Huwe, F. Kremer, C. Tintemann, and P. Behrens. "Cationic Host-Guest Polymerization of N-vinylcarbazole and vinyl Ethers in MCM-41, MCM-48, and Nanoporous Glasses." *Chemistry A European Journal*: vol. 7, no. 17, September 2001, pp. 3722–3728.
- 42. Y. Heischkel and H. W. Schmidt. "Synthesis of ABC-triblock Copolymers for Light Emitting Diodes." *Macromolecular Chemistry and Physics*: vol. 199, no. 5, May 1998, pp. 869–880.
- 43. C. E. H. Bawn, A. Ledwith, and M. Sambhi. "Polymerization and 2+2 Cycloaddition in the System N-vinylcarbazole-Tetracyanoethylene." *Polymer*: vol. 12, no. 3, March 1971, pp. 209–220.
- 44. S. N. Bhadani, S. K. Sen Gupta, and A. K. Sinha. "Polymerization of N-Vinylcarbazole by Gaseous Initiators." *Journal of Applied Polymer Science:* vol. 44, no. 1, January 1992, pp. 173–175.
- 45. H. Mori, S. Nakano, and T. Endo. "Controlled Synthesis of Poly(N-ethyl-3vinylcarbazole) and Block Copolymers via RAFT Polymerization." *Macromolecules*: vol. 38, no. 20, October 2005, pp. 8192–8201.
- 46. M. Saçak. "Electrochemical Synthesis of Poly(N-vinyl carbazole) Doped with HSO- 4 and NO- 3 Anions." *Journal of Applied Polymer Science:* vol. 74, 1999, pp. 1792–1796.
- 47. 47. H. Macit, S. Sen, and M. Sacak. "Electrochemical Synthesis and Characterization of Polycarbazole." *Journal of Applied Polymer Science:* vol. 9, no. 3, May 2005, pp. 894–898.
- 48. G. Inzelt. "Formation and Redox Behaviour of Polycarbazole Prepared by Electropolymerization of Solid Carbazole Crystals Immobilized on an Electrode Surface." *Journal of Solid State Electrochemistry*: vol. 7, no. 8, August 2003, pp. 503–510.
- 49. S. Jagadesan, R. C. Advincula, and S. Valiyaveettil. "Nanolithographic Electropolymerization of a Precursor Polymer Film to Form Conducting Nanopatterns." *Advanced Materials*: vol. 17, no. 10, May 2005, pp. 1282–1285.

- 50. Y. Li, J. Yang, J. Xu, S. Li, J. Li, and M. Wan. "Poly(N-vinylcarbazole) and Polypyrrole Composites Synthesized by Laser-electrochemical Polymerization." *Synthetic Metals*: vol. 72, no. 1, April 1995, pp. 41–44.
- 51. J. Jang, Y. Nam, and H. Yoon. "Fabrication of Polypyrrole-poly(N-vinylcarbazole) Core-Shell Nanoparticles with Excellent Electrical and Optical Properties." *Advanced Materials*: vol. 17, no. 11, June 2005, pp. 1382–1386.
- 52. A. Iraqi and I. Wataru. "3,6-linked 9-alkyl-9h-carbazole Main-chain Polymers: Preparation and Properties." *Journal of Polymer Science Part A: Polymer Chemistry*: vol. 42, no. 23, December 2004, pp. 6041–6051.
- 53. A. Rembaum, A. M. Hermann, and R. Haack. "Reactions of N-vinylcarbazole with Anionic Initiators." *Journal of Polymer Science. Polymer Letters Edition*: vol. 5, 1967, pp. 407–414.
- 54. Y. Chen, R. F. Cai, L. X. Xiao, Z. E. Huang, and D. C. Pan. "Synthesis and Characterization of Photoconductive C-60-N-vinylcarbazole Copolymers." *Journal of Materials Science*: vol. 33, no. 18, September 1998, pp. 4633–4641.
- J. Kim, G. J. Choi, and S. B. Lee. "Organolithium-initiated Polymerization of Carbazole Derivative Retaining Blue Light Photoluminescence." *Abstracts of Papers*, 228th ACS National Meeting, Philadelphia, PA, United States, 22-26 August 2004, pages PMSE–275, 2004.
- 56. Y. W. Bai, X. F. Chen, X. H. Wang, and Q. F. Zhou. "Study on Liquid Crystallinity of Poly(N-vinylcarbazole)." *Chinese Journal of Polymer Science*: vol. 20, no. 2, March 2002, pp. 155–159
- 57. Y. Suzuki. Electrophotographic photoconductor. US Patent 6 960 417, assigned to Ricoh Company, Ltd. (Tokyo, JP), 1 November 2005.
- 58. J. Kido, S. Suzuki, and K. Itoh. Charge transporting material, organic electroluminescent element, and light emitting panel. US Patent 6 960 398, assigned to Dai Nippon Printing Co., Ltd (Tokyo-to, JP), 1 November 2005.
- 59. A. Inami and K. Morimoto. Electrophotographic materials comprising polymeric intramolecular charge transfer complexes. US Patent 3 418 116, assigned to Matsushita Electric Ind Co Ltd., 12 December 1968.
- R. M. Podhajny. Novel photoconductive carbzole polymers and photoconductive elements embodying same. US Patent 3 697 264, assigned to R. M. Podhajny, 10 October 1972.
- 61. D. E. Breen and R. A. Keller. "Intramolecular Energy Transfer between Triplet States of Weakly Interacting Chromophores. I. Compounds in which the Chromophores are Separated by a Series of Methylene Groups" *Journal of the American Chemical Society*: vol. 90, no. 8, 1968, pp. 1935–1940.
- 62. I. T. Kim, S. W. Lee, T. H. Kwak, J. Y. Lee, H. S. Park, S. Y. Kim, C. M. Lee, H. E. Jung, J. G. Kang, T. J. Kim, H. J. Kang, C. Park, and R. L. Elsenbaumer. "A New Photoluminescent Conjugated Poly(1-hexyl-3,4-dimethyl-2,5-pyrrolylene): Synthesis, Properties and Characterization." *Macromolecular Rapid Communications*: vol. 23, no. 9, June 2002, pp. 551–554.

- 63. A. Rivaton, B. Mailhot, S. Robu, M. Lounaci, P. Bussiere, and J.-L. Gardette. "Photophysical Processes and Photochemical Reactions Involved in poly(N-vinylcarbazole) and in Copolymers with Carbazole Units." *Polymer Degradation and Stability*: vol. 91, no. 3, March 2006, pp. 565–572.
- S. Nespurek, V. Cimrova, J. Pfleger, and I. Kminek. "Free Charge Carrier Formation in Polymers under Illumination." *Polymers for Advanced Technologies*: vol. 7, nos., 5-6, 1996, pp. 459–470.
- 65. R. M. Schaffert. "A New High-Sensitivity Organic Photoconductor for Electrophotography." *IBM Journal of Research and Development*: vol. 15, no. 1, pp. 75–89, January 1971. [electronic] http://www.research.ibm.com.journal/rd/151/ibmrd1501K.pdf>.
- 66. G. Ramos, T. Belenguer, E. Bernabeu, F. del Monte, and D. Levy. "A Novel Photoconductive pvk/sio2 Interpenetrated Network Prepared by the Sol-gel Process." *Journal of Physical Chemistry B*: vol. 107, no. 1, January 2003, pp. 110–112.
- 67. X. G. Li, S. H. Yang, Y. Xu, S. F. Yang, Y. Q. Liu, D. B. Zhu, C. L. Yang, J. N. Wang, and W. K. Ge. "Photoconductivity of poly(N-vinylcarbazole) (PVK) Doped with the Metallofullerene DyC-82 and the Fullerenes C-84 and C-60." *Israel Journal of Chemistry*: vol. 41, no. 1, 2001, pp. 45–50.
- 68. J. Kalinowski, G. Giro, M. Cocchi, V. Fattori, and R. Zamboni. "The Nature of Emitting States in Electroluminescence of Polymeric films Doped with Anthracene and Anthracene-based Supramolecules." *Journal of Chemical Physics*: vol. 277, no. 3, April 2002, pp. 387–396.
- 69. X. Z. Jiang, R. A. Register, K. A. Killeen, M. E. Thompson, F. Pschenitzka, T. R. Hebner, and J. C. Sturm. "Effect of Carbazole-Oxadiazole Excited-State Complexes on the Efficiency of Dye-Doped Light-Emitting Diodes." *Journal of Applied Physics*: vol. 91, no. 10, May 2002, pp. 6717–6724.
- 70. T. Förster. "Transfer Mechanisms of Electronic Excitation." *Discussions of the Faraday Society*: vol. 27, nos. 7–17, 1959.
- 71. D. L. Dexter. "A Theory of Sensitized Luminescence in Solids." *Journal of Chemical Physics*: vol. 21, no. 5, May 1953, pp. 836–850.
- 72. P. N. Prasad, J. D. Bhawalker, P. C. Cheng, and S. J. Pan. Two-photon upconverting dyes and applications. US Patent 6 402 037, assigned to The Research Foundation of State University of New York (Amherst, NY), 11 June 2002.
- H. Y. Byun, I. J. Chung, H. K. Shim, and C. Y. Kim. "Optoelectronic and Photophysical Properties of Polyfluorene Blends as Side-chain Length and Shape." *Macromolecules*: vol. 37, no. 18, September 2004, pp. 6945–6953,.
- S. Yamazaki and Y. Arai. Light emitting device and manufacturing method thereof. US Patent 6 897 608, assigned to Semiconductor Energy Laboratory Co., Ltd. (Atsugi, JP), 24 May 2005.
- 75. J. W. Choi, J. S. Kim, S. Y. Oh, and W. H. Lee. "Effect of Joule Heat on the Performance of Organic Electroluminescence Device." *Molecular Crystals and Liquid Crystals*: vol. 371, 2001, pp. 285–288.

- 76. H. Hirose, D. Okuda, H. Yoneyama, and M. Seki. Organic light emitting diode. US Patent 6 670 052, assigned to Fuji Xerox Co., Ltd. (Tokyo, JP), 30 December 2003.
- 77. T. H. Zyung, D. H. Hwang, and S. D. Jung. Encapsulation Method of a Polymer or Organic Light Emitting Device. US Patent 6 150 187, assigned to Electronics and Telecommunications Research Institute (Daejeon, KR), 21 November 2000.
- 78. P. Mahneke. Method and apparatus for spin-coating chemicals. US Patent 5 916 631, assigned to The Fairchild Corporation (Dulles, VA), 29 June 1999.
- R. Emami. Apparatus and method for edge bead removal. US Patent 6 786 996, assigned to Applied Materials Inc. (Santa Clara, CA), 7 September 2004.
- 80. F. Pschenitzka and J. C. Sturm. "Three-color Organic Light-emitting Diodes Patterned by Masked Dye Diffusion." *Applied Physics Letters*: vol. 74, no. 13, March 1999, pp. 1913–1915.
- 81. R. Satoh, S. Naka, M. Shibata, H. Okada, H. Onnagawa, and T. Miyabayashi. "White Organic Electroluminescent Devices Fabricated Using Ink-Jet Printing Method." *Japanese Journal of Applied Physics*: Part 1, 43(11A), November 2004, pp. 7395–7398.
- 82. P. Vacca, M. G. Maglione, C. Minarini, G. Salzillo, E. Amendola, D. Della Sala, and A. Rubino. "PANI-CSA: An Easy Method to Avoid ITO Photolithography in PLED Manufacturing." *Macromolecular Symposia*: vol. 228, August 2005, pp. 263–272.
- 83. G. Grem, G. Leditzky, B. Ullrich, and G. Leising. "Realization of a Blue-light Emitting Device Using Poly(p-phenylene)." *Advanced Materials*: vol. 4, no. 1, 1992, pp. 36–37.
- 84. X. Gong, D. Moses, A. J. Heeger, and S. Xiao. "Excitation Energy Transfer from Polyfluorene to Fluorenone Defects." *Synthetic Metals*: vol. 141, nos. 1-2, March 2004, pp. 17–20.
- 85. N. C. Yang, S. M. Lee, Y. M. Yoo, J. K. Kim, and D. H. Suh. "New Blue Electroluminescent n-type Polyfluorene Copolymers with a 1,3,4-Oxadiazole Unit in the Main Chain." *Journal of Polymer Science Part A: Polymer Chemistry*: vol. 42, no. 5, March 2004, pp. 1058–1068.
- 86. T. W. Lee, O. O. Park, H. N. Cho, J. M. Hong, and Y. C. Kim. "White Emission from a Polymer Blend Light-Emitting Diode by Incomplete Cascade Energy Transfer." *Molecular Crystals and Liquid Crystals*: vol. 371, 2001, pp. 435–438.
- 87. F. I. Wu, R. Dodda, D. S. Reddy, and C. F. Shu. "Synthesis and Characterization of Spiro-Linked Poly(terfluorene): A blue-emitting Polymer with Controlled Conjugated Length." *Journal of Materials Chemistry*: vol. 12, no. 10, 2002, pp. 2893–2897.
- 88. C. H. Chen, F. I. Wu, C. F. Shu, C. H. Chien, and Y. T. Tao. "Spirobi-fluorene-based Pyrazoloquinolines: Efficient Blue Electroluminescent Materials." *Journal of Materials Chemistry*: vol. 14, no. 10, 2004, pp. 1585–1589.
- 89. F. I. Wu, D. S. Reddy, C. F. Shu, M. S. Liu, and A. K. Y. Jen. "Novel oxadiazole-containing polyfluorene with Efficient Blue Electro-luminescence." *Chemistry of Materials*: vol. 15, no. 1, Jaunary 2003, pp. 269–274.

- 90. S. J. Chung, K. Y. Kwon, S. W. Lee, J. I. Jin, C. H. Lee, C. E. Lee, and Y. Park. "Highly Efficient Light-Emitting Diodes Based on an Organic-soluble poly(p-phenylenevinylene) Derivative Carrying the Electron-transporting PIED Moiety." *Advanced Materials*: vol. 10, no. 14, October 1998, pp. 1112–1116.
- 91. Z. Y. Xie, J. S. Huang, C. N. Li, B. W. Xiao, S. Y. Liu, and D. F. Li. "Multilayer Organic LEDs Based on a New Dye-doped Polymer." *Chinese Journal of Polymer Science*: vol. 17, no. 4, 1999, pp. 343–346.
- 92. C. P. Chang, W. T. Huang, and M. S. Lin. "Syntheses and Optical Properties of α-and β -cyano-poly(p-phenylene vinylene) Derivatives." *Journal of Polymer Research*: vol. 11, no. 4, December 2004, pp. 257–264.
- 93. S. Shirai and J. Kido. "Syntheses of Vinyl Polymers Containing Phenylanthracene Pendants and their Application for Organic EL Device." *Chemistry Letters*: vol. 31, no. 3, March 2002, pp. 386–387.
- 94. K. Kim, Y. R. Hong, S. W. Lee, J. I. Jin, Y. Park, B. H. Sohn, W. H. Kim, and J. K. Park. "Synthesis and Luminescence Properties of Poly(p-phenylenevinylene) Derivatives Carrying Directly Attached Carbazole Pendants." *Journal of Materials Chemistry*: vol. 11, no. 12, 2001, pp. 3023–3030.
- J. Sanetra, D. Bogdal, M. Warzala, and A. Boron. "Photo-and Electroluminescent Properties of Polymethacrylates with Carbazolyl and fluorescent Pendant Groups." Chemistry of Materials: vol. 14, no. 1, January 2002, pp. 89–95.
- 96. Q. D. Ling, Y. Song, S. J. Ding, C. X. Zhu, D. S. H. Chan, D. L. Kwong, E. T. Kang, and K. G. Neoh. "Non-volatile Polymer Memory Device based on a Novel Copolymer of N-vinylcarbazole and eu-complexed Vinylbenzoate." *Advanced Materials*: vol. 17, no. 4, February 2005, pp. 455–459.
- 97. M. A. Diaz-Garcia. "Light-emitting Diodes and Lasers Based on Polymer films Doped with Small Organic Molecules and Rare-earth Complexes." *Journal of Polymer Science Part B: Polymer Physics*: vol. 41, no. 21, November 2003, pp. 2706–2714.
- 98. C. L. Lee, R. R. Das, and J. J. Kim. "Polymer-based Blue Electropho-sphorescent light-emitting Diodes Using A Bisorthometalated Ir(III) Complex as the Triplet Emitter." *Chemistry of Materials*: vol. 16, no. 23, November 2004, pp. 4642–4646.
- 99. M. X. Zhu, Z. L. Wu, C. Y. Jiang, J. Liu, J. R. Li, K. Q. Xing, Y. P. Yang, Q. Gan, Y. Cao, and W. G. Zhu. "Highly Efficient Electrophosphorescence from a Grafted Biscyclometalated Iridium Complex with Triarylamine Unit in Polymer Light-emitting Devices." *Chinese Physical Letters*: vol. 22, no. 7, July 2005, pp. 1793–1796.
- 100.P. Y. Liu, F. L. Zhao, L. F. Cao, J. R. Lian, X. Zhou, J. G. Song, N. S. Xu, and H. H. Shi. "Energy Transfer in Phosphorescent Dye Doped Polymer Thin films." *Journal of the Korean Physical Society*: vol. 46, June 2005, S66–S69.
- 101. Y. Hino, H. Kajii, and Y. Ohmori. "Red Phosphorescent Organic Light-Emitting Diodes Using Mixture System of Small-Molecule and Polymer Host." *Japanese Journal of Applied Physics*: Part 1, 44(4B), April 2005, pp. 2790–2794.
- 102. I. Tanaka, M. Suzuki, and S. Tokito. "White Light Emission from Polymer Electrophosphorescent Light-emitting Devices Doped with Iridium Complexes." *Japanese Journal of Applied Physics*: Part 1, 42(5A), May 2003, pp. 2737–2740.

- 103. X. Gong, W. L. Ma, J. C. Ostrowski, G. C. Bazan, D. Moses, and A. J. Heeger. "White Electrophosphorescence from Semiconducting Polymer Blends." *Advanced Materials*: vol. 16, no. 7, April 2004, pp. 615–619.
- 104. Y. Kawamura, S. Yanagida, and S. R. Forrest. "Energy Transfer in Polymer Electrophosphorescent Light Emitting Devices with Single and Multiple Doped Luminescent Layers." *Journal of Applied Physics*: vol. 92, no. 1, July 2002, pp. 87–93.
- 105. Y. Hino, M. Yamazaki, H. Kajii, and Y. Ohmori. "Fabrication and Characteristics of Increased Efficiency of Layered Polymeric Electro-Luminescent Diodes." *Japanese Journal of Applied Physics*: Part 1, 43(4B), April 2004, pp. 2315–2319.
- S. M. Chang, C. H. Fan, C. C. Lai, Y. C. Chao, and S. C. Hu. "Red Electroluminescence from Ruthenium Complexes." *Surface and Coatings Technology*: vol. 200, no. 10, February 2006, pp. 3289–3296.
- 107. J. Yang and K. C. Gordon. "Organic Light-Emitting Devices Using Ruthenium (Ii) (4,7-Diphenyl-1,10-Phenanthroline)(3) As Dopant." *Synthetic Metals*: vol. 152, nos. 1-3, September 2005, pp. 213–216.
- X. Z. Jiang, A. K. Y. Jen, B. Carlson, and L. R. Dalton. "Red Electrophosphorescence from Osmium Complexes." *Applied Physics Letters*: vol. 80, no. 5, February 2002, pp. 713–715.
- 109. J. H. Kim, M. S. Liu, A. K. Y. Jen, B. Carlson, L. R. Dalton, C. F. Shu, and R. Dodda. "Bright Red-Emitting Electrophosphorescent Device Using Osmium Complex as a Triplet Emitter." *Applied Physics Letters*: vol. 83, no. 4, July 2003, pp. 776–778.
- 110. C. F. Shu, R. Dodda, F. I. Wu, M. S. Liu, and A. K. Y. Jen. "Highly Efficient Blue-Light-Emitting Diodes from Polyfluorene Containing Bipolar Pendant Groups." *Macromolecules*: vol. 36, no. 18, September 2003, pp. 6698–6703.
- 111. J. Liu, M. X. Zhu, C. Y. Jiang, Y. Liu, Z. L. Wu, J. R. Li, K. Q. Xing, Y. Cao, and W. G. Zhu. "Green-Yellow Electrophosphorescence from di [2,5-diphenyl-1,3,4-oxadiazole C-2" N-3] Platinum(II) Doped PVK Devices." *Chinese Physics Letters*: vol. 22, no. 3, March 2005, pp. 723–726.
- 112. J. Y. Zhang, S. D. Kan, Y. G. Ma, J. C. Shen, W. H. Chan, and C. M. Che. "Energy Transfer from Singlet to Triplet Excited States in Organic Light-Emitting Device." *Synthetic Metals:* vol. 121, nos. 1-3, March 2001, pp. 1723–1724.
- 113. T.-F. Guo, S.-C. Chang, Y. Yang, R. C. Kwong, and M. E. Thompson. "Highly Efficient Electrophosphorescent Polymer Light-Emitting Devices." *Organic Electronics*: vol. 1, no. 1, December 2000, pp. 15–20.
- 114. F. C. Chen, Y. Yang, M. E. Thompson, and J. Kido. "High-Performance Polymer Light-Emitting Diodes Doped with a Red Phosphorescent Iridium Complex." *Applied Physics Letters*: vol. 80, no. 13, April 2002, pp. 2308–2310.
- 115. C. L. Lee, K. B. Lee, and J. J. Kim. "Polymer Phosphorescent Light-Emitting Devices Doped with Tris(2-phenylpyridine) Iridium as a Triplet Emitter." *Applied Physics Letters*: vol. 77, no. 15, October 2000, pp. 2280–2282.

- 116. X. Gong, J. C. Ostrowski, D. Moses, G. C. Bazan, and A. J. Heeger. "High Performance Polymer-Based Electrophosphorescent Light-Emitting Diodes." *Journal of Polymer Science Part B: Polymer Physics*: vol. 41, no. 21, November 2003, pp. 2691–2705.
- 117. X. Gong, J. C. Ostrowski, G. C. Bazan, D. Moses, and A. J. Heeger. "Red Electrophosphorescence from Polymer Doped with Iridium Complex." *Applied Physics Letters*: vol. 81, no. 20, November 2002, pp. 3711–3713.
- 118. W. L. Yu, J. Pei, Y. Cao, and W. Huang. "Hole-injection Enhancement by Copper Phthalocyanine (CuPc) in Blue Polymer Light-Emitting Diodes." *Journal of Applied Physics*: vol. 89, no. 4, February 2001, pp. 2343–2350.
- 119. S. D. Kan, X. D. Liu, F. Z. Shen, J. Y. Zhang, Y. G. Ma, G. Zhang, Y. Wang, and B. C. Shen. "Improved Efficiency of Single-Layer Polymer Light-Emitting Devices with Poly(vinylcarbazole) Doubly Doped with Phosphorescent and Fluorescent Dyes as the Emitting Layer." Advanced Functional Materials: vol. 13, no. 8, August 2003, pp. 603–608.
- 120. R. G. Sun, Y. Z. Wang, Q. B. Zheng, H. J. Zhang, and A. J. Epstein. "1.54 mu m Infrared Photoluminescence and Electroluminescence from an Erbium Organic Compound." *Journal of Applied Physics:* vol. 87, no. 10, May 2000, pp. 7589–7591.
- 121. S. Kim, J. Seo, H. K. Jung, J. J. Kim, and S. Y. Park. "White Luminescence from Polymer Thin films Containing Excited-State Intramolecular Proton-Transfer Dyes." *Advanced Materials:* vol. 17, no. 17, September 2005, pp. 2077–2082.
- 122. C. I. Chao and S. A. Chen. "White Light Emission from Exciplex in a Bilayer Device with Two Blue Light-Emitting Polymers." *Applied Physics Letters*: vol. 73, no. 4, July 1998, pp. 426–428.
- 123. X. Gong, S. Wang, D. Moses, G. C. Bazan, and A. J. Heeger. "Multilayer Polymer Light-Emitting Diodes: White-light Emission with High Efficiency." *Advanced Materials*: vol. 17, no. 17, September 2005. pp. 2053–2058.
- 124. J. S. Huang, K. X. Yang, Z. Y. Xie, S. Y. Liu, and H. J. Jiang. "High Brightness White Light-Emitting Organic Electroluminescent Devices Using Poly(N-vinylcarbazole) as a Hole-Transporter." *Optical and Quantum Electronics*: vol. 33, no. 2, February 2001, pp. 165–172.
- J. Niziol, A. Danel, E. Gondek, P. Armatys, J. Sanetra, and G. Boiteux.
 "Pyrazoloquinolines Alternative Chromophores for Organic LED Fabrication." *Macromolecular Symposia*: vol. 212, April 2004, pp. 473–478.
- 126. Z. He, A. Danel, and G. H. W. Milburn. "Thin-Layer Photoluminescence and Electroluminescence Observed from Pyrazoloquinoline-Doped Polymer Matrices." *Journal of Luminescence*: vols. 122-123, January–April 2007, pp. 605–609.
- 127. W. H. Flora, H. K. Hall, and N. R. Armstrong. "Guest Emission Processes in Doped Organic Light-Emitting Diodes: Use of Phthalocyanine and Naphthalocyanine near-IR Dopants." *Journal of Physical Chemistry B*: vol. 107, no. 5, February 2003, pp. 1142–1150.
- 128. Y.-m. Shi, Z.-b. Deng, D.-h. Xu, Z. Chen, and X.-f. Li. "Quantum Well Organic Light Emitting Diodes with Ultra Thin Rubrene Layer." *Displays*: vol. 28, no. 2, April 2007, pp. 97–100.

- 129. A. Ashkin, G. D. Boyd, J. M. Dziedzic, R. G. Smith, A. A. Bellman, J. J. Levinstein, and K. Nassau. "Optically Induced Refractive Index Inhomogeneities in LiNbO3 and LiTaO3." *Applied Physics Letters*: vol. 9, no. 1, 1966, pp. 72–74.
- 130. F. Yu and S. Yin, eds., *Photorefractive Optics: Materials, Properties, and Applications*. San Diego, CA: Academic Press, 2000.
- 131. P. Günter and J. P. Huignard, eds., *Photorefractive Materials and Their Applications*, 1, Basic Effects, volume 113 of Springer Series in Optical Sciences. Berlin: Springer Verlag, 2006.
- 132. M. Yamamoto, S. R. Marder, and B. Kippelen. Polymer, producing method thereof, and photorefractive composition. US Patent 6 610 809, assigned to Nitto Denko Corporation (Osaka, JP) and Arizona Board of Regents on behalf of the University of Arizona (Tucson, AZ), 26 August 2003.
- 133. S. P. Ducharme, W. E. Moerner, J. C. Scott, and R. J. Twieg. Photorefractive materials. US Patent 5 064 264, assigned to International Business Machines Corporation (Armonk, NY), 12 November 1991.
- 134. F. Aslam, D. J. Binks, M. D. Rahn, D. P. West, P. O'Brien, N. Pickett, and S. Daniels. "Photorefractive Performance of a CdSe/ZnS Core/Shell Nanoparticle-Sensitized Polymer." *Journal of Chemical Physics*: vol. 122, no.18, May 2005, p. 84713.
- 135. F. Aslam, D. J. Binks, M. D. Rahn, D. P. West, P. O'Brien, and N. Pickett. "Photorefractive Performance of Polymer Composite Sensitized by cdse Nanoparticles Passivated by 1-hexadecylamine." *Journal of Modern Optics:* vol. 52, no. 7, May 2005, pp. 945–953.
- 136. G. B. Jung, T. Mutai, R. Fujimura, S. Ashihara, T. Shimura, K. Araki, and K. Kuroda. "Temperature Dependence of Photorefractive Properties of PVK-Based Composites." *Japanese Journal of Applied Physics:* Part 1, vol. 43, no. 12, December 2004, pp. 8316–8321.
- 137. D. Wright, U. Gubler, Y. Roh, W. E. Moerner, M. He, and R. J. Twieg. "High-Performance Photorefractive Polymer Composite with 2-Dicyanomethylen-3-cyano-2,5-Dihydrofuran Chromophore." *Applied Physics Letters*: vol. 79, no. 26, December 2001, pp. 4274–4276.
- 138. D. Van Steenwinckel, E. Hendrickx, A. Persoons, K. Van den Broeck, and C. Samyn. "Influence of the Chromophore Ionization Potential on Speed and Magnitude of Photorefractive Effects in Poly(N-vinylcarbazole) Based Polymer Composites." Journal of Chemical Physics: vol. 112, no. 24, June 2000, pp. 11030–11037.
- 139. Z. J. Chen, F. Wang, C. Yao, Z. W. Huang, Q. H. Gong, Y. W. Chen, and H. Y. Chen. "A fast-Response and Short-Wavelength Nonlinear Optical Chromophore for a Photorefractive Composite." *Applied Physics Letters*: vol. 73, no. 25, December 1998, pp. 3629–3631.
- 140. K. Meerholz, B. L. Volodin, Sandalphon, B. Kippelen, and N. Peyghambarian. "A Photorefractive Polymer with High Optical Gain and Diffraction Efficiency near 100%." *Nature*: vol. 371, 1994, pp. 497–500.

- 141. K. Tamura, A. B. Padias, H. K. Hall, Jr., and N. Peyghambarian. "New Polymeric Material Containing the Tricyanovinylcarbazole Group for Photo-Refractive Applications." *Applied Physics Letters*: vol. 60, 1992, pp. 1803–1805.
- 142. T. Kawakami and N. Sonoda. "Photoinduced Refractive Index Change in a Photoconductive Electrooptical Polymer." *Applied Physics Letters*: vol. 62, 1993, pp. 2167–2169.
- 143. D. Van Steenwinckel, C. Engels, E. Gubbelmans, E. Hendrickx, C. Samyn, and A. Persoons. "Fully Functionalized Photorefractive Polymethacrylates with Net Gain at 780 nm." *Macromolecules*: vol. 33, 2000, pp. 4074–4079.
- 144. Y. W. Chen, Y. K. He, H. Y. Chen, F. Wang, Z. J. Chen, and Q. H. Gong. "Photorefractive Effect in a New Bi-Functional Host Polymer Based Composite." *Journal of Modern Optics:* vol. 46, no. 6, May 1999, pp. 1003–1010.
- 145. C. Engels, D. Van Steenwinckel, E. Hendrickx, M. Schaerlaekens, A. Persoons, and C. Samyn. "Efficient Fully Functionalized Photorefractive Polymethacrylates with Infrared Sensitivity and Different Spacer Lengths." *Journal of Materials Chemistry*: vol. 12, no. 4, 2002, pp. 951–957.
- 146. Y. W. Chen, Y. K. He, H. Y. Chen, F. Wang, Z. J. Chen, and Q. H. Gong. "Photorefractive Effect in a New Composite Based on Bifunctional Host Polymer." *Journal of Applied Polymer Science*: vol. 77, no. 1, July 2000, pp. 189–194.
- 147. E. Hattemer, M. Brehmer, R. Zentel, E. Mecher, D. Muller, and K. Meerholz. "Poly(4-diphenyl-aminostyrenes): New Polymers for Electrooptics." *Polymer Preprints* (ACS): vol. 41, no. 1, 2000, pp. 785–786.
- 148. 148. O. P. Kwon, S. H. Lee, G. Montemezzani, and P. Gunter. "Layer-Structured Photoconducting Polymers: A New Class of Photorefractive Materials." *Advanced Functional Materials*: vol. 13, no. 6, June 2003, pp. 434–438.
- 149. D. Day, M. Gu, and A. Smallridge. "Two-photon Optical Storage in Photorefractive Polymers in the Near-Infrared Spectral Range." In: *Infrared Holography for Optical Communications, volume 86 of Topics in Applied Physics*. Berlin: Springer-Verlag, 2002, pp. 75–90.
- 150. G. B. Jung, K. Honda, T. Mutai, O. Matoba, S. Ashihara, T. Shimura, K. Araki, and K. Kuroda. "Structural Design of Nonlinear Optical Chromophores for High-Performance Photorefractive Polymers." *Japanese Journal of Applied Physics:* Part 1, 42(5A), May 2003, pp. 2699–2704.
- 151. C. Fuentes-Hernandez, J. Thomas, R. Termine, G. Meredith, N. Peyghambarian, B. Kippelen, S. Barlow, G. Walker, S. R. Marder, M. Yamamoto, and K. Cammack, K Matsumoto. "Video-rate Compatible Photorefractive Polymers with Stable Dynamic Properties under Continuous Operation." *Applied Physics Letters*: vol. 85, no. 11, September 2004, pp. 1877–1879.
- 152. E. H. Mecher, C. Brauchle, H. H. Horhold, J. C. Hummelen, and K. Meerholz. "Comparison of New Photorefractive Composites Based on a Poly(phenylene vinylene) Derivative with Traditional Poly(N-vinylcarbazole) Composites." *Physical Chemistry Chemical Physics*: vol. 1, no. 8, April 1999, pp. 1749–1756.

- 153. D. Wright, U. Gubler, W. E. Moerner, M. S. DeClue, and J. S. Siegel. "Photorefractive Properties of Poly(siloxane)-Triarylamine-Based Composites for High-Speed Applications." *Journal of Polymer Science Part B*: 107(20), May 2003, pp. 4732–4737.
- 154. F. Wang, Z. J. Chen, B. Zhang, Q. H. Gong, K. W. Wu, X. S. Wang, B. W. Zhang, and F. Q. Tang. "Nanometer-Au-Particle-Enhanced Photorefractivity in a Polymer Composite." *Applied Physics Letters*: vol. 75, no. 21, November 1999, pp. 3243–3245.
- 155. O. L. Antipov, I. V. Yurasova, and G. A. Domrachev. "Optical Nonlinearity of Fullerene-Doped Polymer Nanocomposites." *Quantum Electronics*: vol. 32, no. 9, September 2002, pp. 776–780.
- 156. J. Ortiz, F. Fernandez-Lazaro, A. Sastre-Santos, J. A. Quintana, J. M. Villalvilla, P. Boj, M. A. A. Diaz-Garcia, J. A. Rivera, S. E. Stepleton, C. T. Cox, and L. Echegoyen. "Synthesis and Electrochemical and Photorefractive Properties of New Trinitrofluorenone-C-60 Photo-Sensitizers." *Chemistry of Materials*: vol. 16, no. 24, November 2004, pp. 5021–5026.
- 157. J. D. Luo, J. G. Qin, H. Kang, and C. Ye. "A Postfunctionalization Strategy to Develop PVK-Based Nonlinear Optical Polymers with a High Density of Chromophores and Improved Processibility." *Chemistry of Materials*: vol. 13, no. 3, March 2001, pp. 927–931.
- 158. N. Nagayama and M. Yokoyama. "Optical Correlation System by Use of Photorefractive Polymer." *Molecular Crystals and Liquid Crystals Science and Technology*: Sect. A, 327, 1999, pp. 19–22.
- 159. S. Tanaka, S. Kurihara, N. Nagayama, and M. Yokoyama. "Improvement in Thermal Stability and Temperature Dependence of Diffractivity in low-t-g Photorefractive Polymers Dispersed with Plasticizers." *Japanese Journal of Applied Physics:* Part 1, 43(9A), September 2004, pp. 6097–6100.
- 160. E. J. Smiley, D. J. McGee, C. Salter, and C. R. Carlen. "Diffraction Efficiency and Phase Stability of Poly(N-vinylcarbazole)-Based Photorefractive Polymer Composites as a Function of azo-dye Concentration." *Journal of Applied Physics*, vol. 88, no. 8, October 2000, pp. 4910–4912.
- 161. S. P. Ducharme, W. E. Moerner, J. C. Scott, and R. J. Twieg. Photorefractive materials. US Patent 5 460 907, assigned to International Business Machines Corporation (Armonk, NY), 24 October 1995.
- 162. P. Dean, M. R. Dickinson, and D. P. West. "Full-field Coherence-Gated Holographic Imaging through Scattering Media Using a Photorefractive Polymer Composite Device." *Applied Physics Letters*: vol. 85, no. 3, July 2004, pp. 363–365.
- 163. E. Hendrickx, Y. D. Zhang, K. B. Ferrio, J. A. Herlocker, J. Anderson, N. R. Armstrong, E. A. Mash, A. P. Persoons, N. Peyghambarian, and B. Kippelen. "Photoconductive Properties of PVK-Based Photorefractive Polymer Composites Doped with fluorinated Styrene Chromophores." *Journal of Materials Chemistry*: vol. 9, no. 9, September 1999, pp. 2251–2258.
- 164. P. A. Blanche, B. Kippelen, A. Schulzgen, C. Fuentes-Hernandez, G. Ramos-Ortiz, J. F. Wang, E. Hendrickx, N. Peyghambarian, and S. R. Marder. "Photorefractive Polymers Sensitized by Two-Photon Absorption." *Optics Letters*: vol. 27, no. 1, January 2002, pp. 19–21.

- 165. R. Sivaraman, S. J. Clarson, B. K. Lee, A. J. Steckl, and B. A. Reinhardt. "Photoluminescence Studies and Read/Write Process of a Strong Two-Photon Absorbing Chromophore." *Applied Physics Letters*: vol. 77, no. 3, July 2000, pp. 328–330.
- 166. D. Day and M. Gu. "Use of Two-Photon Excitation for Erasable-Rewritable Three-Dimensional Bit Optical Data Storage in a Photo-Refractive Polymer." *Optics Letters*: vol. 24, no. 14, July 1999, pp. 948–950.
- 167. K. D. Harris, R. Ayachitula, S. J. Strutz, L. M. Hayden, and R. J. Twieg. "Dual-use chromophores for photorefractive and irreversible photochromic applications." *Applied Optics*: vol. 40, no. 17, June 2001, pp. 895–2901.
- 168. R. Bittner, C. Brauchle, and K. Meerholz. "Influence of the Glass-Transition Temperature and the Chromophore Content on the Grating Buildup Dynamics of Poly(N-vinylcarbazole)-Based Photorefractive Polymers." *Applied Optics*: vol. 37, no. 14, May 1998, pp. 2843–2851.
- 169. F. Wang, B. Zhang, Q. H. Gong, P. Wang, Z. M. Feng, and C. Ye. "Reversible and Irreversible Index Gratings in a NPP-doped low-t-g Polymer Composite." *Journal of Modern Optics*: vol. 48, no. 1, January 2001, pp. 47–53.
- 170. J.-M. Nunzi. "Organic Photovoltaic Materials and Devices." *Comptes Rendus Physique*: vol. 3, no. 4, 2002, pp. 523–542.
- 171. G. Yu, G. Srdanov, J. Wang, H. Wang, Y. Cao, and A. J. Heeger. "Large Area, Full-Color, Digital Image Sensors Made with Semiconducting Polymers." *Synthetic Metals*: vols. 111-112, 2000, pp. 133–137.
- 172. A. Goetzberger, C. Hebling, and H.-W. Schock. "Photovoltaic Materials, History, Status and Outlook." *Materials Science and Engineering Reports*: vol. 40, no. 1, January 2003, pp. 1–46.
- 173. F.-C. Chen, Q. Xu, and Y. Yang. "Enhanced Efficiency of Plastic Photo-voltaic Devices by Blending with Ionic Solid Electrolytes." *Applied Physics Letters:* vol. 84, 2004, pp. 3181–3183.
- 174. K. M. Coakley and M. D. McGehee. "Conjugated Polymer Photovoltaic Cells." *Chemistry of Materials*: vol. 16, 2004, pp. 4533–4542.
- 175. F. C. Krebs, J. E. Carle, N. Cruys-Bagger, M. Andersen, M. R. Lilliedal, M. A. Hammond, and S. Hvidt. "Lifetimes of Organic Photovoltaics: Photochemistry, Atmosphere Effects and Barrier Layers in ITO MEHPPV: PCBM-Aluminium Devices." *Solar Energy Materials and Solar Cells*: vol. 86, 2005, pp. 499–516.
- 176. G. Yu, J. Gao, J. C. Hummelen, F. Wudl, and A. J. Heeger. "Polymer Photo-Voltaic Cells: Enhanced Efficiencies via a Network of Internal Donor-Acceptor Heterojunctions." *Science*: vol. 270, December 1995, pp. 1789–1791.
- 177. J. Rostalski and D. Meissner. "Monochromatic Versus Solar Efficiencies of Organic Solar Cells." *Solar Energy Materials and Solar Cells*: vol. 61, no. 1, February 2000, pp. 87–95.
- 178. H. R. Kerp and E. E. van Faassen. "Effects of Oxygen on Exciton Transport in Zinc Phthalocyanine Layers." *Chemical Physics Letters*: vol. 332, nos. 1-2, December 2000, pp. 5–12.

- 179. D. Gebeyehu, M. Pfeiffer, B. Maennig, J. Drechsel, A. Werner, and K. Leo. "Highly Efficient p-i-n Type Organic Photovoltaic Devices." *Thin Solid Films*: vols. 451-452, March 2004, pp. 29–32.
- 180. M. A. Loi, P. Denk, H. Hoppe, H. Neugebauer, C. Winder, D. Meissner, C. Brabec, N. S. Sariciftci, A. Gouloumis, and a. Vazquez et. "Long-Lived Photoinduced Charge Separation for Solar Cell Applications in Phthalocyanine-Fulleropyrrolidine Dyad Thin films." *Journal of Materials Chemistry*: vol. 13, no. 4, April 2003, pp. 700–704.
- 181. R. Yang, R. Tian, J. Yan, Y. Zhang, J. Yang, Q. Hou, W. Yang, C. Zhang, and Y. Cao. "Deep-red Electroluminescent Polymers: Synthesis and characterization of New Low-Band-Gap Conjugated Copolymers for Light-Emitting Diodes and Photovoltaic Devices." *Macromolecules*: vol. 38, 2005, pp. 244–253.
- 182. H. Neugebauer, M. A. Loi, C. Winder, N. S. Sariciftci, G. Cerullo, A. Gouloumis, P. Vazquez, and T. Torres. "Photophysics and Photo-Voltaic Device Properties of Phthalocyanine-Fullerene Dyad: Conjugated Polymer Mixtures." Solar Energy Materials and Solar Cells: vol. 83, nos. 2-3, June 2004, pp. 201–209.
- 183. R.-Y. Tian, R.-Q. Yang, Q.-M. Zhou, J.-B. Peng, and Y. Cao. "Performances of Photovoltaic Cells Based on Se-containing Low-Bandgap Polymer." *Huanan Ligong Daxue Xuebao*, *Ziran Kexueban* (Journal of South China University of Technology): vol. 33, no. 18, 2005, pp. 6-9.
- 184. R.-Y. Tian, R.-Q. Yang, J.-B. Peng, and Y. Cao. "Efficient Photovoltaic Cells from Low Band-Gap fluorene-Based Copolymer." *Chinese Physics*: vol. 14, 2005, pp. 1032–1035.
- 185. Q. Zhou, Q. Hou, L. Zheng, X. Deng, G. Yu, and Y. Cao. "Fluorene Based Low Band-Gap Copolymers for High Performance Photovoltaic Devices." *Applied Physics Letters*: vol. 84, 2004, pp.1653–1655.
- 186. C. Yang, H. Li, Q. Sun, J. Qiao, Y. Li, Y. Li, and D. Zhu. "Photovoltaic Cells Based on the Blend of MEH-PPV and Polymers with Substituents Containing C60 moieties." *Solar Energy Materials and Solar Cells*: vol. 85, 2004, pp. 241–249.
- 187. J. Qiao, C. Yang, Q. He, F. Bai, and Y. Li. "Hyperbranched Conjugated Polymers for Photovoltaic Applications." *Journal of Applied Polymer Science*: vol. 92, 2004, pp. 1459–1466.
- 188. F. Zhang, M. Jonforsen, D. M. Johansson, M. R. Andersson, and O. Inganas. "Photodiodes and Solar Cells Based on the n-type Polymer Poly(pyridopyrazine Vinylene) as Electron Acceptor." *Synthetic Metals:* vol. 138, 2003, pp. 555–560.
- 189. T. W. Lee, O. O. Park, D. H. Choi, H. N. Cho, and Y. C. Kim. "Low-Threshold Blue Amplified Spontaneous Emission in a Statistical Copolymer and its Blend." *Applied Physics Letters*: vol 81, no. 3, July 2002, pp. 424–426.
- 190. M. A. Diaz-Garcia, S. F. De Avila, and M. G. Kuzyk. "Dye-doped Polymers for Blue Organic Diode Lasers." *Applied Physics Letters:* vol. 80, no. 24, June 2002, pp. 4486–4488.
- 191. H. Ukuda and M. Ohgane. Optical element and method of manufacturing the same. EP Patent 1 342 557, assigned to Canon KK (Jp), 10 September 2003.

- 192. G. F. Zamora, C. M. C. Gonzalez, and M. A. D. Franco. Process for obtaining an antistatic polymer based on poly(N-vinylcarbazole). ES Patent 2 092 427, assigned to Univ Pais Vasco; Diputacion Foral De Guipuzcoa, 16 November 1996.
- 193. H. Nakao, H. Hayashi, T. Yoshino, S. Sugiyama, K. Otobe, and T. Ohtani. "Development of Novel Polymer-Coated Substrates for Straightening and Fixing DNA." *Nano Letters*: vol. 2, no. 5, May 2002, pp. 475–479.
- 194. The physical and theoretical chemistry laboratory. Chemical and other safety information. Safety web pages, Oxford University, Oxford, 2006. [electronic] http://ptcl.chem.ox.ac.uk/MSDS.

بولیمیرات (پارا کزیلیلین)

يُرجَعُ اكتشاف بوليميرات (پارا-كزيليلين) (PPX) إلى م. شقارك (M. Szwarc) يُرجَعُ اكتشاف بوليميرات (پارا-كزيليلين) (PPX) إلى م. شقارك 1 1947 وحوالى عام 1947. لقد وجد أنّ التحلّل الحراري لمادّة 1 كزيلين يُنتِج جذر 1 ويتفكّك هذا الجذر على نحو متفاوت إلى جذر ثنائي أكثر استقراراً هو 1 كينو ثنائي الميثان. الجذر الثنائي مستقر للى حدٍ ما في الطور الغازي، ولكنّه ليس كذلك في الطور السائل. يتكوّن بوليمير غير قابل للانحلال ذو نقطة تليّن (Softening point) عند 175 درجة مئوية. لقد كان شقارك مهتماً بقوة الرابطة في الهيدروجينات العطريّة 2 ، ولكنه مع ذلك كتب مقالة استعرض فيها الموضوع 3 ، ولكن من المحتمل أنّ شهرته تعود أكثر إلى البوليميرات الحيّة.

ثُمّ جرى تحسين إجرائيّة التوضيع، وسُوقت من قبل وليام غورام (William Gorham) لدى شركة يونيون كاربايد (Union Carbide). استعمل غورام مركّبات السيكلوفان لزيادة العائد البوليميري. وفي عام 1968 انتقل الترخيص إلى شركة پاراتك للطلاء (Para Tech Coating, Inc.)، التي طوّرت الإجرائيّة إلى حدّ أبعد. وفي الوقت نفسه نجد أنّ الپاريلين (Parylene) هي علامة تجاريّة تستعملها عدّة شركات، وتاريخ الپاريلين مُبيّن في شبكة الإنترنت 6.

PPX المونوميرات في حالة بوليمير

المرجع	المونومير
1	p- کزیلین
9,8	[2.2]پار ا سيكلوفان
10	4-ڤننيل بيغينيل
11	4- إيثيل [2.2] پار ا سيكلوفان(Parylene E)
13,12	أمينو [2.2]پارا سيكلوفان
14	ثنائي سيانو [2.2]پار ا سيكلوفان
15	4-كربوكسيل [2.2]پار ا سيكلوفان
16	الما $lpha$ ، $lpha$ -رباعي فلورو -p-كزيليلين -p-كزيليلين
17	ثنائي كلورو -[2.2]پارا سيكلوفان
18	3-(5-فِنيل بنتيل)-4-ميثيل كلور البنزيل
19	ثنائي كلورو رباعي فلورو [2.2]پارا سيكلوفان
20	4،1-بیس(تري فلورو میثیل) بنزین (Parylene F)
21	1،10،9،9،2،2،1،1 أماني فلورو [2.2]پارا سيكلوفان
22	4،1-بیس(فینوکسي میثیل) بنزین
22	4،1-بيس[(فينيل ميثوكسي) ميثيل] بنزين
23	p-كزيليلين ثنائي الأسينات
23	p-كزيليلين ثنائي البروبيونات

1.2. المونوميرات

يلخّس الجدول (2-1) والشكل (2-1) المونوميرات في PPX. وتنتمي طلائع المونوميرات الشائعة إلى صفّ مركبّات السيكلوفان. ولقد جرى مؤخراً استعراض كيمياء مركبّات السيكلوفان 24.

يمكن تحضير [2.2] پارا سيكلوفان بطريقة حذف هوفمان (Hofmann) لـ هيدروكسيد p-ميثيل بنزيل ثلاثي ميثيل أمونيوم بوجود 2-إيميدازوليدينون بصفته مُذيباً مُشاركاً، وإيثرات تاجيّة، مثل ثنائي ميثيل سلفوكسيد (DMSO) ومركبّات أخرى بصفتها مُعززات التفاعل 9,8 ولقد جرى ذكر عائد بوليميري أكبر من 70 في المئة.

الشكل (1-2): مونوميرات مستعملة في PPX

إن اصطناع α ، α ، α المراعي فلورو -p-كزيليلين (TFPX) مُكلفٌ نسبياً، ويستغرق زمناً طويلاً، وهو غير ملائم كمُنتَج تجاري α . يمكن الحصول على TFPX بتحضيره بمزج مثيله الكلوري مع فلوريد البوتاسيوم، وتركه يتفاعل مدّة 12 ساعة عند درجة حرارة 260 إلى 280 درجة مئويّة. وهذا ما يزيد خطر حدوث جَلْتَنَة. تخف وطأة هذه المشكلة عند إجراء هذا التفاعل في مذيب مثل السلفولان (Sulfolane). ويضاف ملحُ فوسفونيوم رباعي بصفته محفّزاً لانتقال الطور. يجري تطبيق درجة حرارة أخفض حوالى α 06، ولكن زمن التفاعل يزيد إلى 48 ساعة.

يُحضر ثَماني فلورو [2.2] پارا سيكوفان بالتقطير المرتد لمحلول رباعي هيدروفوران وسداسي ميثيل فوسفور أميد أو DMSO من 4.1-بيس (برومو ثنائي فلورو ميثيل) بنزين. ويُستعمل ثلاثي ميثيل سيليل ثلاثي بوتيل قصدير بصفته عامل إرجاع. يُعطي فلوريد السيزيوم بصفته مُحفّزاً عائداً أكبر (40 في المئة) وذلك مقارنة بفلوريد البوتاسيوم. ولتسهيل تكوّن الحلقات ينبغي إجراء التفاعل في أنظمة عالية التمديد.

وبدلاً من ذلك يمكن تحضير ثُماني فلورو [2.2]پارا سيكوفان، واثني عشري فلورو $Pb Br_2/Al$ بنزين بمادة $Pb Br_2/Al$ بنزين بمادة $Pb Br_2/Al$ بنزين بمادة $Pb Br_2/Al$ في $Poleonemath{N}$ بنائي ميثيل فورم أميد بدرجة حرارة الغرفة من خلال تفاعل قَرْن حلقات $Poleonemath{N}$.

يمكن الوصول إلى أمينو [2.2] پارا سيكلوفان و إلى ثنائي أمينو [2.2]پارا سيكلوفان وذلك بتفاعل نترتة مع حمض ثلاثي فلوروميثان سلفونيك/حمض الآزوت يليه إرجاع لزمرة النترو باستراتيجيّة تتضمّن ثلاثي حديد اثني عشري الكاربونيل. إنّ $\mathrm{Fe_3(CO)_{12}}$ مُرجِع قوي حتّى في شروط تفاعل معتدلة CO_{12} . وتستعمل الإيثرات التاجيّة بصفتها محفّزات لانتقال الطور. يبيّن الشكل (2-2) مخطّط هذا التفاعل.

يجري استعمال المونوميرات الحاملة للوظائف بصفتها زمر إرساء (Anchor groups) لتعديل السطوح في التطبيقات الطبيّة. وإلى جانب مركّبات السيكلوفان، نجد أيضاً إيثرات الكزيلين مناسبة لتشكيل PPX بطريقة توضيع الأبخرة كيميائيّاً (CVD). الإيثرات المناسبة هي 4٠١-بيس (فينوكسي ميثيل) بنزين 22. وتوفّر هذه الإيثرات أيسر من مركّبات السيكلوفان.

 12 الشكل $^{(2-2)}$: اصطناع أمينو $^{(2.2]}$ پارا سيكلوفان

2.2. البلمرة والتصنيع

لقد جرى اصطناع تشكيلة واسعة من بوليميرات PPX، ولكن لا يباع إلا مواد قليلة منها تجاريّاً.

1.2.2. توضيع الأبخرة كيميائياً

إنّ إحدى أولى طرائق تحضير طلاءات p-كزيليلين البوليميريّة، تتمثّل في التحلّل الحراري لـ p-كزيليلين في درجات حرارة عالية عند 800-1000 درجة مئويّة وتحت ضغوط أدنى من الضغط الجوّي، يلي ذلك تبريد للأبخرة المتحلّلة حرارياً إلى درجة حرارة البلمرة بتكثيفها على سطح بارد 27,2. أثناء عمليّة التحلّل الحراري تتكوّن جذور فعّالة تتبلمر عندما يجري تبريدها مجدّداً.

في الحقيقة، تتبع طرائقُ التحضير الأولى لـ PPX الموصوفة في أدبيات براءة الاختراع طريقة شفارك. ولقد كُشف النقاب عن إجرائيّة تحضير PPX يجري فيها تحليل حراري لأبخرة p-كزيلين بوجود غاز الكلور 28.

تستعمل إجرائية غورام مركبات [2.2] پارا سيكلوفان بصفتها مواد سابقة أو طليعية لعمليّة التوضيع 5. يجري تبخير هذه المركبات في درجة حرارة 150 درجة مئويّة تحت الخلاء، وفي المرحلة اللاحقة تُنقل الأبخرة إلى غرفة تحليل حراري في درجة حرارة 700 درجة مئويّة. وهنا يتكوّن الجذر الاثناني المونوميري، ثُمّ يصل البخار الفعّال إلى غرفة التوضيع بدرجة حرارة الجو المحيط، حيث يتكاثف البخار ويتبلمر على السطوح الباردة. ولقد جرى استعراض تقنية توضع الأبخرة كيميائياً للبوليميرات من قبل عدد من الكتّاب 30,29.

يبيّن الشكل (2-3) آليّة البلمرة الأساسيّة. ولقد جرى وصف جهاز للتوضيع المستمرّ للأبخرة بهدف طلاء الأشياء 31.

1.1.2.2 مواد الپاريلين الحاوية على الفلور

إنّ الطريقة التقليديّة لتصنيع پولي (رباعي فلورو -p-كزيليلين) (الپاريلين F) طريقة صعبة، وتشمل العديد من الخطوات، وأغلى ثمناً من تلك الموافقة لتصنيع الپاريلين N. عادة تشمل هذه الطريقة تكوين ديمير 10،10،9،9،2،2،2،1،1 - ثُماني فلورو [2.2] پارا سيكلوفان.

$$H_2C$$
 CH_2
 H_2C
 CH_2
 CH_2
 CH_2
 CH_2
 CH_2
 CH_2
 CH_2

الشكل (2-3): الآلية الأساسية للبلمرة بتوضيع الأبخرة كيميائياً 32

يجري بعد ذلك تحطيم الديميرات في درجة حرارة 720-730 درجة مئوية للحصول على مونومير TFPX.

من الجدير بالذكر أنّ 4.1-بيس (ثلاثي فلورو ميثيل) بنزين متوفّر تجاريّاً. يجري اصطناعه من ترِفتال ألدهيد، في تفاعل من مرحلتين. في المرحلة الأولى يجرى تفاعل ترِفتال ألدهيد مع رباعي فلوريد الكبريت عند درجة حرارة 150° وتحت الضغط للحصول على رباعي فلورو -p-كزيلين. وفي المرحلة الثانية، تجري معالجة المركّب بالبروم بتفاعل تحلّل ضوئي بوجود N-برومو سكسين إيميد.

يمكن إنتاج أغشية من هذه المركبات الطليعيّة بنظام تفاعلات تقليدي. وقد وُجد أنّ درجة حرارة السطح الأمثليّة للتوضيع هي حوالي 15 درجة مئويّة تحت الصفر.

2.1.2.2. البوليميرات المُشتركة

تمكن صياغة خواص مركبات الپاريلين بتكوين بوليميرات مشتركة. يتكون الاصطناع من عمليّة تبخير لمادّتين طليعيّتين في آن معاً مع توضيع لاحق للأبخرة 10. تشمل المونوميرات المشتركة المناسبة كلاً من p-كزيليلين، وكلورو -p-كزيليلين، وپرفلورو-أوكتيل ميتاكريلات، و 4-ڤينيل بيفنيل، وبوجه عام [2.2] پارا سيكلوفان المُوظّف بزمر هيدروكسي، أو أمينو، أو تريفلات أو ثلاثي فلورو أسيتيل 34.

فمثلاً تتيح عمليّة البلمرة المشتركة توليف ثابت العزل الكهربائي للمُنتج. وفي التجهيزات المُصدرة للضوء، يمكن استعمال هذه البوليميرات المشتركة لتوليف طول موجة الضوء الصادر 35.

2.2.2. البلمرة في المحاليل

إنّ اصطناع معظم أنماط PPX بالكيمياء المبلولة يؤدّي إلى موادّ عسيرة يصعب التعامل معها، لأنّ هذه المواد غير قابلة للانحلال.

ولكن، يمكن تعديل المونومير بسلسلة جانبيّة مناسبة، للحصول على أنماط طيّعة من PPX في حالة سائلة.

إن الاستبدال بزمر ألكيل فنيل على الحلقة العطريّة للسلسلـة الرئيسيّة، مفيـد في الحصول على أنماط PPX قابلة للانحلال 37,36. ثُمّ تمكن متابعة اصطناع البوليمير باستعمال هذه المونوميرات في محلول THF، أو الديوكسان، أو البنزين. يتكوّن البوليمير بتفاعل إزالة كلور الهيدروجين باستعمال أوكسيد ترت-بوتيل. يبيّن الشكل (4-2) هذا الاصطناع. يُطلق اسم طريق غيلش (Gilch) على تفاعل إزالة هالوجين الهيدروجين هذا.

الشكل (2-4): تفاعل إزالة كلور الهيدروجين من كلور الكزيليل

إنّ PPX الذي جرى فيه استبدال الألكيل-آريل قابلٌ للانحلال بدرجة الحرارة المحيطة، وله درجة انصهار منخفضة نسبيّاً. يبيّن الجدول (2-2) درجات حرارة الانتقال الزجاجي لبعض بوليميرات PPX المُستبدل فيها الألكيل فنيل.

لقد جرى بنجاح تحضير PPX مُستبدلٌ فيه نوربورنينيل. إنّ زمرة نوربورنينيل مُناسبة لتوظيف البوليمير بوظائف أخرى إضافيّة. تبقى أنماط PPX ذات زمر CF_3 المتدليّة قابلة للانحلال، ولكنّها نقترب في استقرارها الحراري من PPX النقي. مقارنةً

بالبوليميرات المحضرة بتوضيع الأبخرة كيميائياً تُبدي البوليميرات المحضرة في المحاليل تشتّيّة بوليميرية (Polydispersity) أخفض 36.

PPX الجدول (2-2): درجات حرارة الانصهار والانتقال الزجاجي في بوليميرات 36,18

		•
$T_g/[^{\circ}C]$	$T_m/[^{\circ}C]$	المستبدل
420		-
	106	فنيل
	51	بنزیل
137	32	إيثيل فنيل
	5	بروبيل فنيل
86	-3	بوتيل فنيل
	-8	بنتيل فنيل
	177	تر ت–بوتيل
	136	نوربورنينيل
	89	ثلاثي فلوروميثيل

3.2. الخواص

بربط ذرّة كلور واحدة إلى حلقة كزيليلين (الپاريلين C) يمكن خفض النفوذيّة للرطوبة وغيرها من الغازات خفضاً جوهرياً. وتتمتّع البوليميرات من ثنائي كلورو -p-كزيليلين بخواص كهربائيّة وحراريّة أفضل من خواص بوليمرات PPX العاديّة. كمّا إن إدخال ذرات الفلور يحسّن المقاومة الحراريّة.

1.3.2. الخواص الميكانيكية

يلخّص الجدول (2-3) بعض هذه الخواص. يُظهِر الپاريلين E مع زمر p-كزيليلين، 69 في المئة منها ثنائي الإيثيل و 25 في المئة وحيد الإيثيل، خواص غير معهودة ضمن مجموعة الپاريلين. فهو بصرياً متماثل الجهات تقريباً. ولذلك فإنّ هذا النوع من الپاريلين مرشّح لأداء دور أدلّة موجات بصريّة ³⁹. وهو يتمتّع بدرجة تبلور منخفضة بعد المعالجة الحراريّة عند 150 درجة مئويّة. كما إنّه قابل للانحلال في كلور الميثيلين، والكلوروفورم، والتولوين.

الپاريلين N مستقر في درجات حرارة تصل إلى 130 درجة مئوية.

تتمتّع مركبات الپاريلين بثوابت عزل كهربائية تقع بين 2.35 و 3.15. وتتخفض قيمة ثوابت العزل مع ازدياد كميّة ذرات الفلور في البوليمير. لذلك يُعدّ ثُماني فلورو [2.2] پارا سيكلوفان مونوميراً قيّماً من هذه الناحية 16.

الجدول (2-2): خواص الباريلين N

المعيار	الواحدة	القيمة	الخاصة
ASTM D1505	g cm ⁻³	1.11	الكثافة
ASTM D570	%	0.1	امتصاص الماء في 24 ساعة
ASTM D1894		0.25	معامل الاحتكاك
ASTM D882	MPa	2410	مَيْل القاطع MD
ASTM D882	MPa	42.1	مقاومة الشد عند الخضوع MD
ASTM D882	MPa	58.6	مقاومة الشد عند الكسر Brk MD
ASTM D882	%	2.5	الاستطالة عند الخضوع MD
ASTM D882	%	140	الاستطالة عند الكسر MD
ASTM D785		85	قساوة روكُول R-Scale) Rockwell)
	$^{\circ}\mathrm{C}$	420	نقطة الانصبهار
ASTM C351	$Jkg^{^{-1}}K^{^{-1}}$	837	الحرارة النوعيّة عند 20 درجة مئويّة
ASTM C177	$\mathbf{W} \mathbf{m}^{^{-1}} \mathbf{K}^{^{-1}}$	0.13	الموصلية الحرارية
ASTM D257	Ω	1.0×10^{13}	المقاومة النوعية السطحيّة
ASTM D257	Ω cm	1.4×10^{17}	المقاومة النوعية الحجميّة
ASTM D149	$kV mm^{-1}$	276	قوّة العازلية

يتمتّع (باريلين PPX (N بثابت عزل كهربائي منخفض مستقل عن التواتر، وله عامل ضياع منخفض أيضاً مما يجعله مثالياً في تطبيقات التواترات العالية.

إنّ طلاءات الپاريلين خاملة وشفّافة، ولكنّ مركبّات الپاريلين سيّئة الاستقرار ضوئياً، وهذا ما يطرح إشكاليّة التطبيقات في الهواء الطلق. تؤدي الأشعّة فوق البنفسجيّة بوجود الهواء إلى أكسدة الپاريلين 40. عند جرعات ضئيلة يبدأ التحلّل بتكوّن الألدهيد، وعند جرعات أعلى تتكوّن زمر حموض كربوكسيليّة إضافيّة. ولقد وُضع نموذج حركي لشرح إجمالي تفاعل التحلّل الضوئي 41.

4.2. تطبیقات

لقد جرى تلخيص خواص وتطبيقات مركبات الپاريلين ⁴². يمكن تصنيف مجالات التطبيقات الرئيسة كما يلى:

- 1. التطبيقات الالكترونية،
 - 2. والتطبيقات الطبية.

وفي كلا المجالين تؤدّي هذه البوليمرات مهمّات طلاء وحماية.

1.4.2 الطلاءات

يُستعمل الپاريلين بصفته طلاء حماية في مجال الإلكترونيات، والطيران، والتطبيقات الطبيّة. يجري تكوين الپاريلين على السطوح من الطور الغازي، وذلك بعكس مُعظم تقنيات الطلاء الأخرى التي تعتمد مواد طليعيّة سائلة. الغشاء الناتج رقيق ومتماثل الشكل، ولا يحتوي على ثقوب عند الثخانة الكافية، كما إنّه مُقاوم كيميائيّاً. تجمع هذه الطلاءات عدّة خواص في آن واحد، مثل العزل الكهربائي، والعزل الكيميائي، والحماية الميكانيكيّة، وقابليّة انزلاق مُحسّنة. كما إنّ ضعف التصاقيّة السطح تجعلانه يرفض الغبار والأتربة.

ولكن ضعف التصاقية السطح لا يتيح أيضاً إجراء مرحلة طلاء إضافية. يمكن في هذه الحالة تعديل سطح طلاء الپاريلين باستعمال طلاء بلازما خاص. بهذا الأسلوب، توضع طبقة بينية توفّر التصاقاً جيّداً مع مادة الركيزة وكذلك مع طلاء الأساس اللحق. بعد هذه الإجرائية، يعود بالإمكان طلاء بوليمير الپاريلين الكاره للماء بطلاءات الأساس، سواء منها تلك المحمولة بالمذيبات أو بالماء 43.

يمكن اكتشاف الثقوب النقطية النفوذة للشوارد باستعمال قياسات قولطائية حلقية. تُبدي الأغشيّة الموضعّة على سطوح حديديّة بطريقة غورام نفوذيّة محسوسة للشوارد عند سماكة غشاء أقلّ من 500 nm. ولكن لا تكون هذه الأغشية نفوذة على الإطلاق في أغشية سماكتها 700 nm أو أكثر. تتعلّق النزعة نحو تكوّن الثقوب بدرجة خشونة السطح 44.

1.1.4.2. طلاءات لمساحيق اللِّحام

تُظهِر مساحيق اللَّحام المطليّة بطبقة رقيقة من الپاريلين مُقاومة عالية للتأكسد، وللتفاعل مع الصهارة المحتواة في معجون اللَّحام، وذلك بدون تدخّل ملموس في خصائص انحسار اللحام. تُستعمل المساحيق بصفتها أو كمعاجين لحام. إنّ نوع الپاريلين المفضل هو الپاريلين E المصنوع من 4- إيثيل [2.2] پارا سيكلوفان لأنّه ينصهر تحت نقطة انصهار اللحام، أي عند 45 180°C. نجد في الجدول (4-2) تركيبات معاجين لحام نموذجيّة.

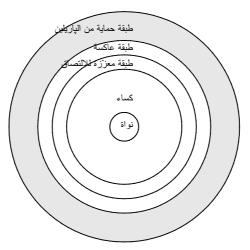
 45 الجدول (2 - 2): تركيبات معاجين اللحام

	: 5 (- -) - 5 :	
% من الوزن	المُركّبة	
	المعجون 1	
90.0	مسحوق لحام مطلي	
3.5	ر اتنج ديميري	
1.0	حمض لوريك	
0.5	ثلاثي إيثانول أمين	
4.5	2-ميثيل -1-بوتانول	
0.5	زيت كاستور المهدرج	
	المعجون 2	
90.0	مسحوق لحام مطلي	
4.0	بولمي إثيلين غليكول	
4.8	2-ميثيل -1-بوتانول	
0.5	حمض بيتين كلور الماء	
0.5	إيثيل سللولوز	
0.2	حمض كلور الماء	
	المعجون 3	
90.0	مسحوق لحام مطلي	
4.0	ر اتنج إستري مشتق من	
4.0	الروزن	
2.0	تربينول	
2.0	2-ميثيل -1-بوتانول	
0.5	حمض لوريك	
0.5	أحادي إيثانول أمين	
1.0	زيت كاستور المهدرج	

2.1.4.2. طلاءات الأدلّة الموجيّة

تُصمّم الأدلّة الموجيّة لحصر وتوجيه انتشار الأمواج الضوئية. ويتحقّق ربحٌ جوهري في الأداء عندما تستعمل مواد عالية الانعكاسيّة، بالتضافر مع مواد عالية الناقليّة البصريّة.

يتمتّع معدن الفضّة بانعكاسيّة تصل إلى 98 في المئة على كامل الطيف المرئي عند الورود الناظمي. وللمقارنة، نذكر أنّ الألمنيوم، ذا الاستعمال الأكثر شيوعاً كطبقة عاكسة، يتمتّع بانعكاسيّة قدرها حوالى 93 في المئة عند الورود الناظمي. لذلك تُعدّ الفضّة أكثر تميزاً بصفتها مادّة عاكسة في مثل هذه التجهيزات. ومع أنّ معدن الفضّة يتمتّع بمميزات بصريّة ممتازة، إلا أنّ هناك عدداً من المشاكل المتعلّقة باستعماله كمعدن عاكس للضوء. يميل معدن الفضّة إلى زوال بريقه عند تعرّضه للجو، وخاصّة بوجود الغازات المسببة للصدأ، والملوّثات، التي تشمل ثاني أوكسيد الكبريت، وكبريت الهيدروجين، وثاني أوكسيد الآزوت، والأوزون، وكلور الهيدروجين والحموض العضويّة.



 46 (مبسّطاً) الشكل (2-5): دليل موجة من الألياف البصريّة (مبسّطاً

لحماية الطبقة العاكسة من التعريض للجو المحيط، والمواد المسببة للصدأ والأملاح والرطوبة وغيرها، يجري استعمال طبقة حماية من بوليمير الپاريلين 46. يبين الشكل (5-2) مقطعاً عرضياً في دليل موجة من الألياف البصرية. يضم دليل موجة من الألياف البصرية ما يلي:

- نواة من مادة زجاجية أو بوليميرية ناقلة بصرياً.
- كساء مكوّن من مادّة زجاجية أو بوليميريّة ناقلة بصرياً ذات قرينة انكسار أصغر من النواة.
 - طبقة اختيارية معززة للالتصاق.
 - طبقة عاكسة.
 - طبقة حماية من بوليمير الياريلين تغلّف الطبقة العاكسة.

3.1.4.2. طبقات التقوية أو التدعيم

يعود أصل تقنيات التشغيل الميكروي إلى الإلكترونيّات الميكرويّة، حيث يجري وضع معالم صغيرة على شُراحة سيليكونيّة. يمكن تصنيع أغشية مرشّحات الجسيمات بتقانات التشغيل المكروي. تُصنع المرشّحات انطلاقاً من غشاء ركيزة يجري تتقيبه بثقوب. يمكن أن تأخذ الثقوب أشكالاً مختلفة، كأن تكون دائريّة أو سداسيّة أو مستطيلة. وتتراوح أبعادها من 6 إلى 13 ميكروناً. وبهدف تحسين الخواص الميكانيكيّة للمرشّح يجري طلاء طبقة من بوليمير الپاريلين بانتظام على المرشّحات وعلى السطوح الداخلية للثقوب 47 . المادّة الأساسيّة التي يُصنع منه المرشّح هي نتريد السيليكون. توضع هذه المادّة على ركيزة من السيليكون لأهداف تصنيعيّة. مراحل التصنيع مبيّنة في الشكل (2-6).

4.1.4.2. لوحات الدارات المطبوعة

تحتاج لوحات الدارات المطبوعة التي تعمل في بيئة قاسية حماية خاصة من الصدأ. وعلى الخصوص هناك حاجة ماسة في عدّادات الاستهلاك التجاريّة، مثل عدّادت استهلاك الغاز الطبيعي، وعدّادات استهلاك المياه، وعدّادات استهلاك الطاقة الكهربائيّة. كما يمكن بالإضافة إلى ذلك أن يُطلب إصلاح اللوحات، أو المركّبات، أو إعادة استعمالها أو استرجاعها.

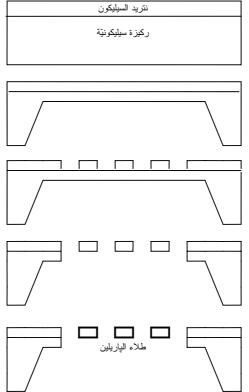
لقد جرى وصف طريقة طلاء تتكوّن من مرحلتين. مرحلة التوضيع الأولى وتتضمّن توضيع الباريلين، ومرحلة التوضيع الثانية وتتضمن توضيع مائع لزج مانع للصدأ. عادة يجري توضيع الباريلين تحت الخلاء 56.

2.4.2. التطبيقات الطبيّة

في مجموعة واسعة التنوع من التجهيزات الطبيّة تستعمل مركّبات الپاريلين بصفتها طلاءات للحماية. الجدول (2-5) يلخّص بعض هذه التجهيزات.

1.2.4.2 تعديل السطح

إنّ تنوّع الزمر الوظيفيّة التي يمكن تحضيرها بالبلمرة بتوضيع الأبخرة كيميائياً يفسح الطريق أمام هندسة سطوح تجهيزات الموائع الميكرويّة 57.



الشكل (2-6): تصنيع مرشّح مطلي بالباريلين باستعمال تقنيات التشغيل الميكروي

لقد أمكن تثبيت الأنسولين في مكانه على سطوح مطليّة بتوضيع الأبخرة كيميائياً، بهدف تحسين التصاق الخلايا ونموّها في شروط المختبر. يمكن لبوليميرات مشتركة من كِسَر أمينو -p-كزيليلين و p-كزيليلين أن تحمل زمر أمين متدليّة، تؤدي دور مرساة لحمل الوظائف.

يمكن لزمر الأمينو هذه أن تُستعمل لتثبيت مثبّطات الثرومبين (مضادات تخثّر الدم)، مثل هيرودين -R. إنّ حمل الوظائف هذا مفيد في التجهيزات التي تكون على تماس مباشر مع الدم. تمثّل الدعامات المانعة للتضيّق (شبكات أنبوبية Stents)، أي ذات النزعة الضعيفة نحو إغلاق مجرى الدم، ميداناً من التطبيقات المحتملة 13.

الجدول (2 - 5) : طلاءات الپاريلين في التجهيزات الطبيّة 42

المراجع	التطبيق
	محاور القسطرات
49, 48	تجهيزات التنظير والجراحة التنظيريّة
	التعويضات الاصطناعيّة
	تجهيزات إغلاق الجروح
52, 51	الدعامات المانعة للتضيق (شبكات أنبوبية)
	مكوّنات التعامل مع الدم
55, 53	بالونات القسطرة
	الإبر

2.2.4.2. تحرير الأدوية

لقد جرى استعمال سطح وظيفي مطلي ببوليمير پولي(أمينو -p-كزيليلين) لتثبيت نظام تحرير دواء بوليميري مكوّن من پولي (N)- اپزوبروبيل أكريل أميد) -co- پولي (حمض الأكريليك). ولقد أدر ج في نظام تحرير الدواء مُثبّط الثرومبين هيرودين (N)- (N)-

لقد جرى وصف تصنيع الزرعات، كالدعامات مثلاً، مرتبطة مع مواد فعّالة بيولوجياً باستعمال مركّبات الياريلين بصفتها طلاءات، وصفاً مفصلاً 59.

5.2. الموردون والعلامات التجارية

لمّا كان تكوين البوليمير يجري في الغالب عند الاستعمال. يجري عموماً بيع المونوميرات الطليعيّة وليس البوليميرات مصنّعة. وغالباً، عند الحديث عن الباريلين يكون المعنى الحقيقى المقصود هو الديمير الطليعي الموافق.

يجري بيع أنماط متنوّعة من الپاريلين. هناك أربعة أشكال من الپاريلين. الپاريلين N هو بولي بوليبين الپاريلين C وهو پولي (كلورو بوليمبير الــــ p-كزيليلين). الپاريلين D وهو پولي (ثنائي كلورو -p-كزيليلين). الپاريلين HT وهو پولي (ثنائي كلورو -p-كزيليلين). الپاريلين لپاريلين إده 6،5،3،2 وهو پولي البين الباريلين الباريلين البين والعلامات التجاريّة. وتظهر في الجدول (2-2) الأسماء التجاريّة الواردة في المراجع.

الجدول (2-6): أمثلة على بوليميرات الباريلين المتوفّرة تجاريّاً

ملاحظات	المُنتِج	الاسم التجاري
النوع المُكَلُّورَ	Speciality Coating Systems (SCS)	الىپارىلىن C
النوع الثنائي الكَلْوَرة	Speciality Coating Systems (SCS)	الىپارىلىن D
البوليمير العادي	Speciality Coating Systems (SCS)	الىپارىلىن N
النوع المُفَلُّورَ	Speciality Coating Systems (SCS)	الىپارىلىن HT
	Para Tech Coating, Inc	الىپارىلىن (دىمىرات)
	Advanced Surfaces Technology, Inc	الپاريلين (ديميرات)
	Daisan Kasei Co., Ltd	[2.2]پار اسيكلوفان
	Alpha Metals, Inc.	الپاريلين (ديميرات)
ذو البنزويل المُستَبْدَل	Solvay	بريموسبير

الجدول (2-7): الأسماء التجارية الواردة في المراجع

المُنتِج	الاسم التجاري
	Eulexin®
Schering Corp.	مضاد الأندروجين غير السنيروئيدي 52,51
	Hytrin®
Abbott Laboratories Corp.	تحضير الأوعية القلبيّة 52,51
	Proscar®
Merck	تحضير دوائي لعلاج غدّة البروستات ^{52,51}
	ReoPro®
Eli Lilly and Co.	مثبّط غليكوبروتيني IIb/IIIa
	Taxol®
Bristol-Myers Squibb Co.	تحضير مضاد لانتشار المرض

6.2. الأمان

المراجع

- 1. M. Szwarc. "The *p*-quinodimethane Molecule." *Discusscation of the Faraday Society:* 1947, pp.46–49.
- 2. M. Szwarc. "The C-H Bond Energy in Toluene and Xylene." *Journal of Chemical Physics*: vol. 16, 1948, pp. 128–136.
- 3. M. Szwarc. "Poly-para-xylelene: Its Chemistry and Application in Coating Technology." *Polymer Engineering and Science*: vol. 16, 1976, pp. 473–479.
- 4. W. F. Gorham. Alkylated di-*p*-xylylenes. US Patent 3 117 168, assigned to Union Carbide Corp., 7 January 1964.
- 5. W. F. Gorham. Para-xylylene polymers. US Patent 3 342 754, assigned to Union Carbide Corp, 19 September 1967.
- 6. Specialty Coating Systems. Parylene knowledge. [electronic] http://www.scscoatings.com/parylene_knowledge/history.cfm, 2007.
- 7. D. Steiger, T. Tervoort, C. Weder, and P. Smith. "Poly(*p*-Phenylene Alkylene)s a Forgotten Class of Polymers." *Macromolecular Rapid Communications*: vol. 21, 2000, pp. 405–422.
- 8. H. Härtner. Process for the preparation of [2,2]-paracyclophane. US Patent 4 532 369, assigned to Merck Patent Gmbh (DE), 30 July 1985.
- 9. C. Lee and D. R. Bassett. Process for the preparation of the parylene dimer. US Patent 4 769 505, assigned to Union Carbide Corporation (Danbury, CT), 6 September 1988.

- J. F. Gaynor and S. B. Desu. "Room Temperature Copolymerization to Improve the Thermal and Dielectric Properties of Polyxylylene Thin films by Chemical Vapor Deposition." *Journal of Materials Research*: vol. 9, 1994, pp. 3125–3130.
- 11. C. E. King and A. J. Gulino. Preformed solder parts coated with parylene in a thickness effective to exhibit predetermined interference colors. US Patent 5 789 068, assigned to Fry's Metals, Inc. (Jersey City, NJ), 4 August 1998.
- J. Lahann, H. Höcker, and R. Langer. "Synthesis of amino[2.2]Paracyclophanes Beneficial Monomers for Bioactive coating of Medical Implant Materials." Angewandte Chemie International Edition: vol. 40, 2001, pp. 726–728.
- J. Lahann, D. Klee, and H. Höcker. "CVD-polymerization of a functionalized poly(p-xylylene). a Generally Applicable Method for the Immobilization of Drugs on Medical Implants." *Materialwiss. Werkstofftech.*: vol. 30, 1999, pp. 763–766.
- 14. S. Y. Park, J. Blackwell, S. N. Chvalun, A. A. Nikolaev, K. A. Mailyan, A. V. Pebalk, and I. E. Kardash. "The Structure of Poly(cyano-p-xylylene)." *Polymer*: vol. 41, no. 8, April 2000, pp. 2937–2945.
- 15. H. Pu, Y. Wang, and Z. Yang. "Chemical Vapor Deposition Copolymerization of 4-carboxyl-[2,2] Paracyclophane and 4-amino-[2,2] paracyclophane." *Materials Letters*: vol. 61, no. 13, May 2007, pp. 2718–2722.
- C.-Y. Ho, T.-F. Lin, C.-H. Lin, and S.-J. Wang. Method for synthesizing TFPX. US Patent 7 173 159, assigned to Yuan-Shin Materials Technology Corp. (Taipei, TW), 6 February 2007.
- 17. H. Maruyama. Process for the preparation of dichloro-(2,2)-paracyclophane. US Patent 5 679 874, assigned to Daisan Kasei Kabushiki Kaisha (Tokyo, JP), October 21, 1997.
- 18. O. Schäfer, F. Brink-Spalink, B. Smarsly, C. Schmidt, J. H. Wendorff, C. Witt, T. Kissel, and A. Greiner. "Synthesis and properties of ω -phenylalkyl-substituted poly(p-xylylene)s prepared by base-induced 1,6dehydrohalogenation." Macromolecular Chemistry and Physics: vol. 200, 1999, pp. 1942–1949.
- 19. H. Maruyama. Dichloro tetraflouro-{2,2}-paracyclopane, a Process for manufacturing thereof and poly-α, α -difluoro-chloro-p-xylylene film prepared therefrom. US Patent 6 194 620, assigned to Daisan Kasei Kabushiki Kaisha (Tokyo, JP), 27 February 2001.

- 20. L. You, G.-R. Yang, T.-M. Lu, J. A. Moore, and J. F. P. McDonald. Vapor deposition of parylene-F using 1,4-bis (trifluoromethyl) benzene. US Patent 5 268 202, assigned to Rensselaer Polytechnic Institute (Troy, NY), 7 December 1993.
- 21. W. R. Dolbier and W. F. Beach. "Parylene-AF4: A Polymer with Exceptional Dielectric and Thermal Properties." *Journal of Fluorine Chemistry*: vol. 122, no. 1, July 2003, pp. 97–104.
- 22. N. T. Tung, Y. J. Yu, K. Kim, S.-H. Joo, and J.-I. Jin. "Synthesis of poly(*p*-xylylene) from α ,α -bis(alkoxy or aryloxy)-*p*-xylenes by Chemical Vapor Deposition Polymerization." *Bulletin of Korean Chemical Society*: vol. 25, 2004, pp. 31–32.
- 23. P. Simon, S. Mang, A. Hasenhindl, W. Gronski, and A. Greiner. "Poly(*p*-xylylene) and its Derivatives by Chemical Vapor deposition: Synthesis, Mechanism, and Structure." *Macromolecules*: vol. 31, 1998, pp. 8775–8780.
- 24. R. Gleiter and H. Hopf, eds., *Modern Cyclophane Chemistry*. Weinheim: Wiley-VCH Verlag GmbH and Co. KGaA, 2004.
- 25. W. R. Dolbier, Jr. and X. X. Rong. Process for the preparation of octafluoro(2,2) paracyclophane. US Patent 5 849 962, assigned to Specialty Coating Systems, Inc. (DE), 15 December 1998.
- 26. S.-z. Zhu, Y.-y. Mao, G.-f. Jin, C.-y. Qin, Q.-l. Chu, and C.-m. Hu. "A Convenient Preparation of Octafluoro[2,2]Paracyclophane and Dodecafluoro[2,2]Paracyclophane." *Tetrahedron Letters*: vol. 43, no. 4, January 2002, pp. 669–671.
- 27. T. E. Baker, G. L. Fix, and J. S. Judge. Process for forming polymeric paraxylylene coatings and films possessing improved oxidation resistance. US Patent 4 176 209, assigned to Raytheon Corporation (Lexington, MA), 27 November 1979.
- 28. L. A. R. Hall. Production of *p*-xylene polymers. US Patent 2 719 131, assigned to Du Pont, 27 September 1955.
- 29. S. Iwatsuki. "Polymerization of Quinodimethane Compounds." *Advances in Polymer Science*: vol. 58, 1984, pp. 93–120.
- 30. R. Vedula., S. Kaza, and S. B. Desu. "Chemical Vapor Deposition of Polymers: Principles, Materials and Applications." In: J.-H. Park and T. S. Sudarshan, eds. *Chemical Vapor Deposition, volume 2 of Surface Engineering Series*. Materials Park, OH: ASM International, 2001, chap. 8, pp. 243–285.
- 31. R. A. Olson, F. W. Kopitzke, III, and J. P. O'Connor. Continuous vapor deposition apparatus. US Patent 5 424 097, assigned to Specialty Coating Systems, Inc. (Indianapolis, IN), 13 June 1995.

- 32. B. Ratier, Y. S. Jeong, A. Moliton, and P. Audebert. "Vapor Deposition Polymerization and Reactive Ion Beam Etching of Poly(p-xylylene) Films for Waveguide Applications." *Optical Materials*: vol. 12, nos. 2-3, June 1999, pp. 229–233.
- P. K. Wu, G. R. Yang, L. You, D. Mathur, A. Cocoziello, C. I. Lang, J. A. Moore, T. M. Lu, and H. Bakru. "Deposition of high purity parylene-F using low pressure low temperature chemical vapor deposition." *Journal of Electronic Materials*: vol. 26, no. 8, August 1997, pp. 949–953.
- 34. J. Lahann and R. Langer. "Novel poly(p-xylylenes): Thin Films with Tailored Chemical and Optical Properties." *Macromolecules:* vol. 35, 2002, pp. 4380–4386.
- 35. K. M. Vaeth and K. F. Jensen. "Blue Electroluminescent Copolymers by Parylene-based Chemical Vapor Deposition." *Macromolecules*: vol. 33, 2000, pp. 5336–5339.
- M. Ishaque, S. Agarwal, and A. Greiner. Synthesis and Properties of Novel Poly(p-xylylene)s with Aliphatic Substituents. e-polymers 031/2002 [electronic] http://www.e-polymers.org.
- 37. O. Schäfer, A. Greiner, M. Antonietti, and M. Zisenis. "Synthesis and properties of a soluble, rigid poly(p-xylylene) with high molecular weight." *Acta Polymerica*: vol. 47, 1996, pp. 386–390.
- 38. IDES Integrated Design Engineering Systems. The Plastics Web®. IDES Inc. 209 Grand Avenue Laramie, WY 82070 USA [electronic] http://www.ides.com/prospector, 2006.
- 39. J. J. Senkevich, C. J. Mitchell, A. Vijayaraghavan, E. V. Barnat, J. F. McDonald, and T.-M. Lu. "Unique structure/properties of Chemical Vapor Deposited Parylene E." *Journal of Vacuum Science and Technology A*: vol. 20, 2002, pp. 1445–1449.
- 40. K. G. Pruden, K. Sinclair, and S. Beaudoin. "Characterization of parylene-N and parylene-C photooxidation." *Journal of Polymer Science Part A: Polymer Chemistry*: vol. 41, no. 10, 2003, pp. 1486–1496.
- 41. K. G. Pruden and S. P. Beaudoin. "Model for the photooxidation of parylenes." *Journal of Polymer Science Part A: Polymer Chemistry*: vol. 42, no. 11, 2004, pp. 2666–2677.
- 42. R. Wood. "To Protect and Preserve." Water World: vol. 8, 2000, pp. 30–32.
- 43. Q. Yu, J. Deffeyes, and H. Yasuda. "Engineering the Surface and Interface of Parylene C Coatings by Low-Temperature Plasmas." *Progress in Organic Coatings*: vol. 41, no. 4, May 2001, pp. 247–253..

- 44. P. Hanefeld, F. Sittner, W. Ensinger, and A. Greiner. Investigation of the ion permeability of poly(p-xylylene) films. e-polymers 026/2006 [electronic] http://www.e-polymers.org 2006>.
- 45. M. W. Sowa and R. D. Jenkinson. Solder pastes. US Patent 5 328 522, assigned to Union Carbide Chemicals & Plastics Technology Corporation (Danbury, CT), 12 July 1994.
- 46. R. J. Saccomanno and G. A. West. Metallic coated dielectric substrates. US Patent 6 906 257, assigned to Honeywell International Inc. (Morristown, NJ), 14 June 2005.
- 47. Y.-C. Tai and X. Yang. Micromachined membrane particle filter using parylene reinforcement. US Patent 6 622 872, assigned to California Institute of Technology (Pasadena, CA), 23 September 2003.
- 48. C. J. Hess, M. F. Clem, G. W. Knight, K. L. Jambor, and G. L. Long. Vessel harvesting retractor with bilateral electrosurgical ligation. US Patent 6 740 102, assigned to Ethicon, Inc. (Somerville, NJ), 25 May 2004.
- 49. J. R. Morris. Electrosurgical instrument having a parylene coating. US Patent 5 380 320, assigned to Advanced Surgical Materials, Inc. (Littleton, CO), 10 January 1995.
- 50. J. G. Furst. Sutures and surgical staples for anastamoses, wound closures, and surgical closures. US Patent 2 005 038 472, assigned to Icon Interventional Systems In (US), 17 February 2005.
- A. O. Ragheb, B. L. Bates, N. E. Fearnot, T. G. Kozma, W. D. Voorhees, III, and A. H. Gershlick. Coated implantable medical device. US Patent 6 774 278, assigned to Cook Incorporated (Bloomington, IN) MED Institute, Inc. (West Lafayette, IN), 10 August 2004.
- 52. B. L. Bates, N. E. Fearnot, T. G. Kozma, T. A. Osborne, A. O. Ragheb, J. W. Roberts, and W. D. Voorhees, III. Silver implantable medical device. US Patent 6 530 951, assigned to Cook Incorporated (Bloomington, IN) MED Institute Inc. (West Lafayette, IN), 11 March 2003.
- 53. A. K. Khair and D. A. Anderson. Coated sleeve for wrapping dilatation catheter balloons. US Patent 5 425 710, assigned to Medtronic, Inc. (Minneapolis, MN), 20 June 1995.
- 54. D. J. Zarbatany, R. Pintor, and M. Verbeek. Dilatation catheter with varied stiffness. US Patent 6 030 405, assigned to Medtronic Inc. (Minneapolis, MN), 29 February 2000.

- 55. S. E. Boatman and K. D. Brummett. Flexible stent having a pattern formed from a sheet of material. US Patent 6 409 752, assigned to Cook Incorporated (Bloomington, IN), 25 June 2002.
- R. L. McCullough, J. L. Wayt, and J. N. Butch. Method of coating printed circuit board. US Patent 6 389 690, assigned to American Meter Company (Scott Depot, WV), 21 May 2002.
- 57. D. Klee, N. Weiss, and J. Lahann. "Vapor-based polymerization of functionalized [2.2]paracyclophanes: A Unique Approach towards Surface-Engineered Microenvironments." In: R. Gleiter and H. Hopf, eds. *Modern Cyclophane Chemistry*. Weinheim: Wiley-VCH Verlag GmbH & Co. KGaA, 2004, chap. 18, pp. 463-484.
- 58. A. Roos, D. Klee, K. Schuermann, and H. Höcker. "Development of a Temperature Sensitive Drug Release System for Polymeric Implant Devices." *Biomaterials*: vol. 24, no. 24, November 2003, pp. 4417–4423.
- N. E. Fearnot, T. G. Kozma, A. O. Ragheb, and W. D. Voorhees. Coated implantable medical device. US Patent 5 609 629, assigned to MED Institute, Inc. (West Lafayette, IN), 11 March 1997.
- 60. A. D. Frolova, N. A. Minkina, V. G. Vasil'kovskii, O. A. Kuznetsova, E. L. Dolgopolova, E. S. Shaposhnikova, and T. G. Martinson. "Evidence for Control of dichlorodi-p-xylylene, dibromodi-p-xylylene, and di-p-xylylene." *Gigiena Truda i Professional'nye Zabolevaniya*: 1991, pp. 30–32.

بوليميرات (الآريلين ڤينيلين)

ينتمي بولي (pev-فينيلين ڤينيلين) (PPV) إلى صف البوليميرات المترافقة المتألقة كهربائياً. تُصدر هذه المواد الضوء عند مرور تيار كهربائي فيها. لهذا السبب يبرز اهتمام حقيقي فيها في مجال أنصاف النواقل العضوية.

نُشرت العديد من أوراق البحث عن هذا الموضوع، وكان معظمها يُركّز على الجوانب الفيزيائية، مثل اصطناع هذه الأنماط من البوليمير ات 1.

إلى عائلة البوليميرات المترافقة من النمط π نجد إلى جانب PPV أنواعاً أخرى، مثل پولي (p)-بيريديل-ڤينيلين)، وپولي (p)-فينيلين إثينيلين)، وپولي (p)- (p)-

1.3. المونوميرات

نجد في الجدول (3-1) قائمة بمونوميرات بوليمير PPV، ونستعرضها في الشكل (2-3).

الجدول (3-1): المونوميرات في حالة پولي (p-فينيلين ڤينيلين)

ملاحظات	المونومير
الإجرائية المعهودة	4،1-بيس -(ثنائي كلورو ميثيل)-بنزين
لعدّة أساليب تفاعل	α٠α-ثنائي برومو -p-كزيلين
توضيع الأبخرة كيميائياً ²	السيكلوفان المُكَلُور

 π الشكل (1-3): بوليميرات مترافقة من النمط

الشكل (2-3): مونوميرات مستعملة في پولى (p-فينيلين ڤينيلين)

2.3. البلمرة والتصنيع

لمّا كان من غير الممكن التعامل مباشرة مع هذا البوليمير بسبب خواصته، يجري أوّلاً اصطناع بوليمير طليعي، ثُمّ يُعالَج، على شكل أغشية مثلاً. في هذه الصيغة يجري الحصول على البوليمير النهائي في مُعالجة أخيرة. ولكن تُبدي بعض أنواع PPV مع بدائل ضخمة قابليّة انحلال في مذيبات عضويّة. يُمثّل پولي (2-ميثوكسي -5-(2'- إيثيل هكسيل أوكسي)-4،1-فينيلين ڤينيلين) (MEH-PPV) أحد هذه الأنواع التجاريّة.

لقد جرى وصف طرائق متنوعة لتحضير البوليمير، وكذلك لتحضير البوليمير الطليعي وذلك بواسطة 1:

- طليعي السلفونيوم (طريق وسلينغ (Wessling))،
 - البلمرة بالمناقلة الفاتحة للحلقات،
 - توضيع الأبخرة كيميائياً،
 - البلمرة الكهربائية،
- البلمرة بتكاثف إزالة الهيدروهالوجينات (تفاعل غيلش (Gilch))،
 - تحفيز انتقال الطور بإزالة الهيدروهالوجينات،
 - البلمرة الآنيونيّة.

لقد جرت مناقشة واستعراض هذه التفاعلات وآلياتها بالتفصيل 3 . من أجل التطبيقات في حقل الإلكترونيّات من المرغوب أن تكون البوليميرات المكوّنة تامّة الترافق من النمط π . إذ إنّ العيوب مسؤولة عن انخفاض أداء التجهيزات المُصدرة للضوء.

1.2.3. طريق طليعي السلفونيوم

تتضمن إجرائية التحضير التقليديّة لبوليمير PPV تفاعل 4،1-بيس - (ثنائي كلورو ميثيل) - بنزين مع رباعي هيدروثيوفين في المرحلة الأولى، انظر الشكل (3-3). يمكن بدلاً من رباعي هيدروثيوفين استعمال مركبات كبريتيّة أخرى. تجري بلمرة الملح المونوميري بدرجة حرارة من 0 حتّى 5 درجات مئويّة وبإضافة مادة قلوية. يبقى البوليمير الطليعي الذي نحصل عليه بذلك قابلاً للانحلال، تجري بعد ذلك تتقيته بالتصفية الغشائيّة Dialysis لإزالة الشوائب ذات الأوزان الجزيئيّة المنخفضة. وأخيراً، يجري الحصول على البوليمير النهائي بالتسخين. يمكن الحصول على أوزان جزيئيّة تزيد على 100 كيلو دالتون. ويُعتقد أنّ الوسيط البوليميري يتكوّن بآليّة جذريّة، لأنّ وجود الأوكسجين يؤدي إلى انخفاض الوزن الجزيئي.

يمكن صنع البوليمير الطليعي، مثلاً، باستعمال الطلي الدوامي، أو الطلي بالتغطيس (Dip-coating)، أو بتقنيات لانغموير –بلودجت (Langmuir-Blodgett) لتكوين أغشية رقيقة. يجري التحلّل الحراري للمواد في خلاء عالى الدرجة، وفي درجات حرارة من

[•] طليعي أو بادئ (Precursor)

180 إلى 300 درجة مئويّة، على مدى 12 ساعة. وفي المرحلة الأخيرة تجري إزالة كلور الهيدروجين ورباعي هيدروثيوفين.

الشكل (3-3): اصطناع يولى (p-فينيلين فينيلين)

لقد جرى تحضير بوليميرات طليعيّة لــ PPV حاملة للوظائف ذات زمر إستر وكربوكسيل جانبيّة أ. يجري تحويل أملاح رباعي هيدروثيوفينيوم البوليميريّة هذه إلى بوليميرات PPV بواسطة طريق السلفونيوم. بعد هذا التحويل يمكن مجدّداً تبديل وظائف الكربوكسيل المتدليّة بأخرى، مثل وظائف نترو، أو أمينو، أو ألدهيد.

2.2.3. سيرورة التقارن المتصالب المحفّز بالمعادن الانتقالية

يمكن الوصول إلى بوليميرات PPV بطرائق بلمرة التكاثف المؤسسة على سيرورات التقارن المتصالب المحفّز بالمعادن الانتقالية. وهناك عدّة تفاعلات معروفة. فعلى سبيل المثال، باستعمال محفّزات البالاديوم يُعطي ثنائي ڤينيل البنزين مع مشتقات ثنائي يودو بنزين مباشرة مشتقات PPV. وفي تفاعل آخر، هو تقارن سوزوكي (Suzuki) تُستعمل أحماض 4٠١-أريل ثنائي البورون و 2٠١-ثنائي برومو إيثين مع محفّز البالاديوم للوصول إلى PPV.

يجب استبدال المونوميرات، وإلا حصلنا مباشرة على بوليمير غير قابل للانحلال. باستعمال بدائل ضخمة، يمكن الحصول على بوليميرات قابلة للانحلال في المذيبات الشائعة، مثل الكلوروفورم، أو N، شائى ميثيل فورم أميد (DMF)، والميثانول 5 .

لا تمكن إزالة المعادن الانتقاليّة، المستعملة بصفتها محفّزات، تماماً من البوليمير. يمكن لهذه البقايا من المعادن الانتقاليّة أن تسبب مشاكل فيما يتعلّق بزمن خدمة المُنتَج النهائي.

3.2.3. توضيع الأبخرة كيميائياً

لقد جرى استعراض تقنيّات توضيع الأبخرة كيميائيّاً في اصطناع البوليميرات المترافقة من النمط π في الأدبيّات 6 . يمكن لهذه الطريقة أن تكون مفيدة جدّاً في تحضير تتوّع واسع من بوليميرات PPV غير القابلة للانحلال، بالأشكال والأبعاد المرغوبة. يعود مجيء هذه التقنيّة إلى هذا الحقل بعينه إلى عام 1994 8,7 . في ذلك الحين كانت فقط بوليميرات ($^{-}$ 2-كزيليلين) تصنّع تجاريّاً بطريقة توضيع الأبخرة كيميائيّاً. في الحقيقة، يمكن أيضاً الحصول على بوليميرات $^{-}$ 40 بتقنيات توضيع الأبخرة كيميائيّاً باستعمال المُكَاْور ميثيل)-بنزين أو $^{-}$ 6-ثنائي برومو $^{-}$ 2-كزيلين أو السيكلوفان المُكَاْور.

يمكن توضيع 9،1-ثنائي كلورو [2.2] پاراسيكلوفان على سطح باستعمال وسيط. في المرحلة الثانية يجري حذف كلور الهيدروجين لنحصل على PPV. السيرورة موضّحة في الشكل (3-4).

الشكل (3-4): توضيع الأبخرة كيميائياً لــ 9،1-ثنائي كلورو [2.2] باراسيكلوفان

يمكن تصنيع أغشية برقة 10 إلى 100 ميكرون. إحدى مساوئ هذه الطريقة هي أنّه ليس من السهولة الوصول إلى مركبات السيكلوفان. لذلك يُفضل استعمال 4،1-بيس -(ثنائي كلورو ميثيل)-بنزين.

إضافة إلى ذلك، تتيح عمليّة توضيع الأبخرة كيميائيّاً إنتاج بوليميرات مشتركة، وذلك عند توضيع مونوميريّن في آن معاً 9 . بهذه الطريقة يمكن توليف التألّق الكهربائي. ومن ناحية أخرى، فقد جرى إثبات أنّه بالإمكان تحضير بوليميرات مشتركة بوحدات مونوميريّة مختلفة انطلاقاً من مونومير واحد، وذلك عند تنويع شروط الحرارة. وهكذا يمكن الحصول على بوليميرات مشتركة مؤلّفة من وحدات 4 1-فينيلين ڤينيلين و 4 1-فينيلين 2 1-ايثان داي إيل انطلاقاً من 4 1-(ميثوكسي ميثيل) بنزيل كلوريد بواسطة توضيع الأبخرة كيميائياً 10 1.

4.2.3. البلمرة بالمناقلة الفاتحة للحلقات

لقد كان غربس ¹¹ (Grubbs) هو في الأصل من بين تحوّل بيسيكلو [2.2.2] أوكتا -5٠2- دايين المُستبدل إلى بوليمير طليعي لبوليمير PPV، بطريقة البلمرة بالمناقلة الفاتحة للحلقات دايين المُستبدل إلى بوليمير طليعي لبوليمير (Ring Opening Metathesis Polymerization: ROMP) وذلك باستخدام محفّز مُناقلة أساسه الموليبدينيوم. يُصبح البوليمير الطليعي عطرياً في جوّ خامل عند 280 درجة مئوية، أو بوجود ثلاثي أوكتيل أمين عند 200 درجة مئوية.

جرى لاحقاً استعمال مركبات السيكلوفان المُستبدل فيها سيلوكسي، كمادة انطلاق لعمليّة بلمرة بالمناقلة الفاتحة للحلقات للحصول على 12 PPV. يبيّن الشكل (3-5) الآليّة مبسطةً. يتحوّل البوليمير الطليعي، المكوّن بالبلمرة بالمناقلة الفاتحة للحلقات، إلى البوليمير النهائي بالتحلّل الحراري.

ترتبط إجرائية مُناقلة دايين اللاحلقية (ADMET) بالبلمرة بالمناقلة الفاتحة للحلقات. هنا مونومير البدء هو p-ثنائي فينيل بنزين مُستبدل. أثناء البلمرة يُطرح الإيثين. ولكن لا نحصل إلا على بوليميرات منخفضة الوزن الجزيئي بطريقة مُناقلة دايين اللاحلقيّة.

تُعتبر طريقة البلمرة بمناقلة غرينيارد (Grignard) تتويعاً في المناقلات. تجري بلمرة مركبات ثيوفين المستبدلة بآليّة تتمية سلسلة حيّة. يمكن اصطناع بوليمير MEH-PPV المعدّل

بالثيوفين انطلاقاً من مونومير طليعي مع كواشف غرينيارد 13. يبيّن الشكل (3-6) هذه الإجرائيّة.

 12,11 الشكل (3 - 5): اصطناع PPV بواسطة البلمرة بالمناقلة الفاتحة للحلقات

5.2.3. البلمرة الكهربائية

بعكس طرائق التحلّل الحراري والطرائق الكيميائية، يمكن في الطرائق الكهركيميائية إدخال بدائل واسعة التتوّع. ولكنّ هذه الطريقة ليست مُناسبة في حالة مونوميرات مع بدائل من السهل إرجاعها. يبيّن الشكل (3-7) بأسلوب مبسّط عمليّة تكوين PPV ببلمرة كهربائيّة 14.

يجري التفاعل مروراً بوسيط كينو ثنائي ميثان. عموماً، يجري التفاعل في مذيب لا بروتوني (Aprotic)، مثل DMF. ولكن لتحضير بولي (5،2-ثنائي ميثوكسي -4،1-فينيلين ڤينيلين) قابل للانحلال، يمكن استعمال خليّة تدفّق غير مُجزّأة مع تيّار ثابت عند مهبط من الرصاص، ومحلول DMF مائي.

يؤدي التحليل الكهربائي المشترك لمركبات 4،1-بيس-(هالو ميثيل)-آرين إلى بوليميرات مشتركة عشوائية ¹⁵. تعطي وظائف الكربوكسيل أملاحاً بوليميريّة قابلة للانحلال بالماء.

الشكل (3-6): البلمرة بمناقلة غرينيارد 13

الشكل (3 - 7): اصطناع بوليمير (p- فينيلين ڤينيلين) بالبلمرة الكهربائيّة

6.2.3. بلمرة بالتكاثف وفق نوفن أنجل

عادة، في البلمرة بالتكاثف وفق نوفن أنجل، يجري تكاثف الترفتاليك ألدهيد مع مركب بيس - (سيانو ميثيل) - بنزين. ولأننا نستعمل مونوميرين اثنين يمكن اصطناع بوليميرات PPV ذات بنية متناوبة تماماً. تتيح البلمرة بالتكاثف وفق نوفن أنجل الاصطناع المناسب لمركبات تكون فيها الروابط المضاعفة في السلسلة الرئيسة مُستبدّلة. يُظهر بوليمير PPV المُعدّل بزمر سيانو نشاط تألّق كهربائي عال 16. الاصطناع مبيّن في الشكل (8-3). وبأسلوب مماثل، يمكن تكوين PPV بتفاعل فيتيغ (Wittig)

الشكل (3-8): اصطناع بوليمير ${f PPV}$ مع زمر سيانو متدلّية 16

7.2.3. تفاعل غيلش

في تفاعل غيلش، يجري تكثيف مشتقات بيس - (هالوجين ميثيل) بنزين مع فائض من أساس قوي، مثل ترت-بوتيل كحولات البوتاسيوم للحصول على PPV. يتكوّن بذلك بوليمير طليعي ذو زمر كلور متدلّية، على نحو مماثل لتلك التي نحصل عليها في بلمرة السيكلوفان، انظر الشكل (3-4)، ولكنّ هذا البوليمير الطليعي يتحوّل مباشرة إلى PPV بوجود فائض الأساس. ومن ناحية أخرى يمكن عزل البوليمير الطليعي إذا لم يكن الأساس فائضاً.

في الأصل، افترض أن للتفاعل آلية شاردية خاصة، وأن أساساً قوياً يُستعمل لبدء تفاعل البلمرة، ولكن بعض النتائج التجريبية لا تدعم مفهوم الآلية الشاردية، بل من المُعتقد

أنّ سيرورة جذريّة، تتكوّن فيها جذور اثنانيّة، هي التي تقف وراء بدء التفاعل. ما يدعم الآليّة الجذريّة هو اكتشاف أنّ 6.662.0-رباعي ميثيل بيبريدين -N-أوكسيل يؤدّي دور صيّاد (Scavenger) للجذور $\frac{18}{1}$.

8.2.3. تحفيز انتقال الطور بإزالة الهيدروهالوجينات

يمكن اصطناع MEH-PPV بتفاعل ثنائي الطور سائل – صلب 19. يتكون الطور السائل من 4،1-بيس - (كلورو ميثيل) -2-ميثوكسي -5-(2′- إيثيل هكسيل أوكسي) بنزين المنحل في رباعي هيدروفوران (THF) وبروميد رباعي بوتيل أمونيوم بصفته محفّزاً لانتقال الطور. أمّا الطور الصلب فيتكون ببساطة من جسيمات صغيرة الحجم من هيدروكسيد البوتاسيوم. التفاعل موضّح في الشكل (9-3).

يُظهِر البوليمير كتلة كبيرة حوالى 10 كيلو دالتون وتشتّيّة بوليميريّة ضيّقة. يمكن طليه دوّامياً. وبإجرائيّة مشابهة جرى اصطناع بوليميرات مشتركة من THF وذلك ويولي (5،1-نفتالين ڤينيلين) (PNV) لا ينحلّ PNV في التولوين و لا في THF وذلك بسبب افتقاره لسلاسل جانبيّة ضخمة متدليّة من سلسلته الرئيسة. يُحسّن إقحام كتل من بوليمير MEH-PPV في PNV انحلاليّة البوليمير المشترك.

 19 MEH - PPV اصطناع بوليمير

9.2.3. البلمرة الآنيونيّة

في تفاعل غيلش تجري إضافة أساس قوي إلى المونوميرات مما يُعطي بوليميرات ذات وزن جزيئي كبير. يمكن الحصول على MEH-PPV بوجود مقادير ضئيلة من بادئ آنيوني، مثل p-ميثوكسي فينول المنزوع البروتون، بعد عكس ترتيب الإضافة. هذا يعني أنّ المونومير هو الذي يُضاف إلى الأساس. يجري نزع البروتون من p-ميثوكسي فينول بإضافة ترت-بوتوكسيد البوتاسيوم.

لأنّ ثابت الحموضة pK_a لـــ pK_a ميثوكسي فينول يُتيح نزعاً كاملاً للبروتون بواسطة ترت-بوتوكسيد البوتاسيوم، فقد اقتُرِح أن يكون الانتشار ناتجاً من هجوم نيوكليوفيلي من قبل الفينوكسيد على كينو ثنائي ميثان وسيط متكوّن من إزالة هيدروهالوجين المونومير. لقد وُجِد أن البلمرة تحت هذه الشروط تعطي بوليميرات ذات قيم تشنّتيّة بوليميريّة منخفضة جدّاً 21.

يمكن بهذه السيرورة إنتاج بوليميرات مُصدرة للضوء الأخضر، وبوليميرات مُصدرة للضوء الأحمر، وذلك باستعمال مونوميرات عطرية، مثل بولي (2-ثنائي ميثيل أوكتيل سيليل)-فينيلين ڤينيلين ڤينيلين (DMOS-PPV) الذي يُصدر ضوءاً أخضر مُصفَراً، والبوليمير MEH-PPV الذي يُصدر الضوء الأحمر. ولقد جرى اصطناع بوليميرات مشتركة كتليّة التعاقب بواحدات ذات دليل تشتّية بوليميريّة أقلّ من 1.5.

إضافة إلى ذلك، يمكن بواسطة طرائق البلمرة الآنيونية الحصول على بوليميرات مشتركة ثنائية الكتل التعاقبية، أو ثلاثيتها، أو بوليميرات متماثلة نجمية، أو بوليميرات مشتركة تعاقبية، وذلك باستعمال بوادئ ثنائية الوظيفة أو ثلاثية الوظيفة. تضم البوادئ المناسبة كلاً من سولفونيل ثنائي فينول بيسفينول A، وفلوروغلوسينول.

10.2.3. غير ما سبق

لمّا كان من الصعب تشغيل أو مُعالجة بوليمير PPV الخالص، فلقد جرى وصف عدد متنوّع من البوليميرات المرتبطة به أو المعدّلة عنه، وعلى وجه الخصوص تلك التي تتمتّع ببعض الزمر الجانبيّة. يلخّص الجدول (2-2) هذه الأنواع.

يمكن صنع الـ PPV المُستَبدل فيه أمينو، وتحديداً پولي (2-(N،N)-ثنائي ميثيل أمينو) فينيلين ڤينيلين ڤينيلين بتفاعل ملح بيس-حلقي ألكيلين سلفونيوم مع ماءات الصوديوم عند حوالى صفر درجة مئويّة. فيتكوّن بوليمير طليعي هو ملح حلقي ألكيلين سلفونيوم، الذي يجري بعد ذلك تسخينه للحصول على بوليمير PPV المُستَبدل فيه أمينو 22.

الجدول (2-3): تنوعات بوليمير (p-فينيلين ڤينيلين)

المرجع ^a	البوليمير	الاختصار
26	بولي (5،2-بيس (N-ميثيل -N- هكسيل أمينو)فينيلين ڤينيلين)	BAMH-PPV
27	بوليمير PPV شجريّ التشعب	BB-PPV
28	پولي (5،2-بيس (كوليستانوكسي) 4،1-فينيلين ڤينيلين)	BCHA-PPV
29	پولي (15،2-ثنائي أوكسابيسيكلو (2.2.14) اپكوز ا	BDA-PPV
	-19(11)،16(20)،17-تري إن -19،17- إيلين ڤينيلين)	DDA-FF V
30	پولي (5،2-بيس (3'،7'-ثنائي ميثيل أوكتيل أوكسي)4،1-فينيلين	BDMO-PPV
	ڤينيلين)	BDMO-11 v
31	پولي (5،2-بيس (ثنائي ميثيل أوكتيل سيليل)4،1-فينيلين ڤينيلين)	BDMOS-PPV
32	PPV مع فینیل مُستبدَل	BDMP-PPV
32	PPV مع فینیل مُستبدَل	BDP-PPV
33	پولي (بيس -5،2- إبي - كوليستانوكسي -4،1- فينيلين ڤينيلين)	BeCHA-PPV
34	پولي (5،2-بيس (2'- إيثيل هزيل أوكسي)4،1-فينيلين ڤينيلين)	BEH-PPV
35	پولي (5،2-بيس (ثلاثي سيثوكسي ميثوكسي)4،1-فينيلين	BTEM-PPV
	ڤنِنلِين)	DIEM-PPV
b 36	پولي (2-بوتيل -5-(2'- اپثيل هكسيل)4،1- فينيلين ڤينيلين)	BuEH-PPV
37	پولي (5،2-بيس -(أوكتوكسي)-4،1-فينيلين ڤينيلين)	C8-PPV
38	PPV مع ثنائي سيليل مُستبدَل	CN-Si-Carb-PPV
38	PPV مع ثنائي سيليل مُستبدَل	CN-Si-Ph-PPV
39	پولي (5،2-نتائي ميثوكسي -4،1- فينيلين ڤينيلين)	CH3O-PPV
b 40	PPV مع سیانو مُستبدَل	CN-PPV
b	پولمي [2-(كاربازول -9-إيل)-5-(2- إيثيل هكسيل أوكسي)4،1-	CaEH DDV
b	فينيلين ڤينيلين]	CzEH-PPV

a أحدث المراجع.

الجدول (2-3): تنوعات بوليمير (p-فينيلين ڤينيلين)

المرجع ^a	البوليمير	الاختصار	
سمرجح	البولیمیر پولی (8،2-ثنائی بنزو ثیوفین -5،5-ثانی أوکسید -ڤینیلین	الاحتصار	
41		DD-PPV	
42	4،1-alt-فینیلین قینیلین)	D' 4 DDV	
43	پولي (5،2-ثنائي ميثوكسي -4،1-فينيلين ڤينيلين)	Dimethoxy-PPV	
44	پولي (5،2-ثنائي ميثوكسي -4،1-فينيلين ڤينيلين)	DMeO-PPV	
	پولي (2-ثنائي ميثيل أوكتيل سيليل -p-فينيلين ڤينيلين)	DMOS-PPV	
45	پولي (5٠2-ثنائي ميثوكسي -4٠١- فينيلين ڤينيلين)	DOO-PPV	
46	پولي (4·1- فينيلين -2·1- ثنائي (4- فينوكسيفينيل) ڤينيلين)	DPOP-PPV	
47	ﭘﻮﻟﻲ (2-ﻓﻴﻨﻴﻞ -3-ﻓﻴﻨﻴﻞ -4-(3'،7'- ثنائي ﻣﻴﺌﻴﻞ ﺃﻭﻛﻨﻴﻞ	DPO-PPV	
	أوكسي)-4،1- فينيلين ڤينيلين)		
48	پولي (3،2-ثنائي فينيل فينيلين ڤينيلين)	DP-PPV	
49	پولي (4،1-فينيلين -2،1- ثنائي (4-فينيل ثيوفينيل) ڤينيلين)	DPSP-PPV	
50	پولمي (5،2-ثنائي بروبوكسي سولفوناتو -4،1-فينيلين ڤينيلين)	DPS-PPV	
51	PPV مُستبدَل فيه أوكسيد الإيثيلين	EO-PPV	
52	پولي (6،1- هكسان ثنائي أوكسيل 4،1-فينيلين 2،1- إيثينيلين	HCN-PPV	
	-(5،2- ثنائي سيانو 4،1- فينيلين)-2،1- إيثينيلين 4،1- فينيلين)	nen-n	
53	پولي (2- هكسيل أوكسي -5- ((10-(4-(فينيل آزو)فينوكسي)	HPA-10-PPV	
	ديسيل) أوكسي)-4،1- فينيلين ڤينيلين)	ПРА-10-РР V	
54	پولي (1-ميثوكسي -4-سيكلو هكسيل إيثيل أوكسي -5،2-فينيلين	MCHE-PPV	
31	ڤينيلين)		
55	پولىي (2-مىثۇكسىي -5-(3'،7-ئتائىي مىيثىل أوكتىل أوكسىي)-4،1-	MDMO DDM	
33	فينيلين ڤينيلين)	MDMO-PPV	
b	پولى (2-مىثوكسى -5-(2'- إيثيل هكسيل أوكسى)-4،1- فينيلين		
Ü	ڤينيلين)	MEH-PPV	
56	پولي (2-ميثوكسي -5-(2'- إيثيل هكسيل أوكسي)-4،1- فينيلين		
	· فینیلین -5،2- ثنائی میٹو کسی -4،1- فینیلین فینیلین)	M3EH-PPV	
	بولي (2-ميثوكسي -5-(n- إيثيل هكز ادسيل أوكسي)-4،1- فينيلين		
57	پوي کې د د د د	MH-PPV	
58	۔ ۔ ۔ ۔ ۔ ۔ ۔ ۔ ۔ ۔ ۔ ۔ ۔ ۔ نونیل أوكسى -4،1 فينيلين ڤينيلين) ۔ ۔ بونيل أوكسى -4،1 فينيلين أ	MN-PPV	
	پرتي (2 کيو - بي تا کيو	,	

أحدث المراجع.

b غالباً ما يُدرس. انظر النص.

الجدول (2-3): تنوعات بوليمير (p-فينيلين فينيلين)

	•	
الاختصار	البوليمير	المرجع
MO-PPV	پولي (5،2-ثنائي ميتوكسي -4،1-فينيلين ڤينيلين)	59
m-PPV-DP	پولي (3،1-فينيلين ثنائي فينيل ڤينيلين)	60
MPS-PPV	پولي ((2-ميثوكسي -5-سلفوبروبوكسي)-4،1-فينيلين ڤينيلين)	50
MTEO-PPV	پولي (2-ميثوكسي -5-ثلاثي إيثوكسي -4·1-فينيلين ڤينيلين)	61
OC1C10-PPV	پولي (2-(3'7'- ثنائي ميثيل أوكنيل أوكسي)-5-ميثوكسي -4،1-	62
	فينيلين ڤينيلين)	
OO-PPV	پولي (5،2-ثنائي أوكتيل أوكسي -4،1-فينيلين ڤينيلين)	63
O-PPV	پولي (5٠2-ثنائي فينيلين -4،3،1- أوكساديازوليل -4،4'- ڤينيلين)	64
OxdEH-PPV	پولي ((2-(4-(5-(4-ترت-بوتيل فينيل -4،3،1- أوكساديازوليل)-	65
OxuEII-II V	فينيل)-5-(2- إيثيل هكسيل أوكسي)-4،1-فينيلين ڤينيلين)	
PEO-PPV	پولي (2-ميثوكسي -5-(ثلاثي إيثوكسي ميثوكسي)-4،1-فينيلين	66
1 LO-11 V	ڤينيلين)	
PEO-OC9-PPV	پولي (n)-2-نونيل أوكسي)-5-(ثلاثي إيثوكسي ميثوكسي	66
1L0-0C)-11 V)-4،1- فينيلين ڤينيلين)	
PO-PPV	پولي (2-فنوكسي -4،1-فينيلين ڤينيلين)	67
PPE-PPV	بوليميرات هجينة فينيلين-إپثينيلين فينيلين ڤينيلين	68
PTVMEH-PPV	پولي ((1'4٠'- بيس -(ثيّنيل - ڤينيل))-2- ميثوكسي -5-(2'- إيثيل	13
FI VWIEH-FFV	هكسيل أوكسي) 4،1-فينيلين ڤينيلين)	15
RO-PPV	پولي (5،2-ثنائي ألكوكسي -4،1-فينيلين ڤينيلين)	69
SiPhOPPV	پولي (2-4'-ثنائي ميثيل دوديسيل سيليل فينيل أوكسي -4،1-	70
SIPIIOPPV	فينيلين ڤينيلين)	

a أحدث المراجع.

يمكن اصطناع بوليمير PPV الفائق التشعّب ببنية متر افقة جزئياً من 1،1،1-ثلاثي -(p-توسيل أوكسي ميثيل)-بروبان و 4،4-(p-فينيلين-ثنائي -2،1-إيثين دي إيل)-ثنائي فينول ²³. يبيّن الشكل (3-10) طريقة الاصطناع. يتكوّن بوليمير PPV الفائق التشعّب عندما يجري الاستعاضة عن زمر التوسيلات بزمر الإيثر من المونومير المتر افق. تُبدي

 $^{^{}m b}$ غالباً ما يُدرس. انظر النص.

البوليميرات الفائقة التشعّب انحلاليّة جيّدة وقابليّة للتشغيل، ودرجة حرارة انتقال زجاجي مرتفعة، وتألّقاً فلورياً عالياً.

$$HO$$
 CH_3
 CR_3
 $+$
 CH_3
 CH_3

الشكل (3-10): اصطناع بوليمير PPV الفائق التشعّب من 4،4'-(p)-فينيلين-ثنائي -2،1- إيثين دي إيل)-ثنائي فينول و 1،1،1-ثلاثي -(p)-توسيل أوكسي ميثيل)-بروبان (p)

3.3. الخواص

1.3.3. الخواص الميكانيكية

إنّ بوليمير PPV الخالص غير قابل للانحلال، وعسير، وصعب الصهر. والبوليمير الذي نحصل عليه من الاصطناع له هذا الشكل. بعض مشتقاته ذات السلاسل الجانبيّة المُناسبة قابلة للانحلال.

2.3.3. الخواص الحرارية

يُبدي PPV استقراراً حراريّاً أعلى من البوليميرات الأخرى المتعلّقة به. يلخّص الجدول (3-3) درجات حرارة التدهور الحراري لبعض البوليميرات المترافقة من النمط π . يُظهر القياس الوزني الحراري أنّ بداية التدهور عند PPV تظهر عند 500 درجة مئويّة. ويتوافق هذا مع تجارب توضيع الأبخرة 24 .

يوحي قياس المطيافيّة الكتايّة في المكان أنّه في المجال من 500 إلى 600 درجة مئويّة تنطلق نواتج التدهور التي تحتوي على كسارة التولوين أو الكزيلين.

باستعمال البلمرة الجذرية بانتقال الذرّات يمكن الحصول على بوليميرات مشتركة كتاية التعاقب مكوّنة من كتل PPV و كتل پولي(ميثيل ميتاكريلات) (PMMA). يمكن تحسين الاستقرار الحراري تحسيناً طفيفاً مقارنةً بمشتقّات PPV الخالص بإدخال كتل PMMA 25. إنّ بدء التدهور الحراري يكون عند حوالي 200 درجة مئوية.

عند درجات تزيد على 800 درجة مئوية يمكن تحويل PPV إلى غرافيت 73,72 . أمّا الموصليّة الكهربائيّة لبوليمير PPV المحلّل حراريّاً عند 3000 درجة مئويّة فتتأثّر كثيراً بالشدّ. وعند الإشابة بثالث أوكسيد الكبريت يمكن الوصول إلى موصليّة مقدارها $^{10^5}\,\mathrm{S\,cm}^{-1}$ وتمكن الموازنة بين هذا والغرافيت عالى التوجّه المحلّل حراريّاً أو الغرافيت الطبيعي، وتشير دراسة أخرى 74 ، يجري فيها تحليل حراري حتّى 1700 درجة مئويّة لبوليمير PPV وبوليميرات أخرى متعلّقة به، إلى موصليّة كهربائيّة مقدارها $^{10^3}\,\mathrm{S\,cm}^{-1}$. ولكن تبقى الموصليّة الكهربائيّة للغرافيت الذي نحصل عليه من بولي $^{10^3}\,\mathrm{Cm}^{-1}$ فينيلين إثينيلين) أعلى، وتحديداً $^{10^3}\,\mathrm{Cm}^{-1}$

3.3.3. الخواص الكهربائية

نظريًا، ينبغي أن يُظهِر PPV بنية مترافقة من النمط π مثاليّة للتطبيقات الإلكترونيّة. ولكن لا يمكن تحقيق ذلك من الناحية العمليّة. فالعيوب المُشبعة تقطع البنية المترافقة من النمط π ، ومن ثمّ طول الترافق. ومن ناحية أخرى يمكن لكسارة الإثينيلين، عوضاً عن كسارة الڤينيلين، أن تؤدي دور أفخاخ لحوامل الشحنة. تمكن محاصرة الشحنات أن تقع سواء كان الفخّ في حالة مشعّة أو غير مشعّة. في الحقيقة، هناك نوعان من العيوب 75:

1. العيوب البنيوية،

2. والعيوب الكيميائية.

تتضمّن العيوب البنيويّة، حدود الحبيبات، والعيوب البلّوريّة، وعيوب نهايات السلاسل، والعيوب المؤكسدة. وبالمُقابل يمكن إرجاع العيوب الكيميائيّة إلى الشوائب المُتضمّنة أثناء معالجة المادّة، أو في سلسلة البوليمير الرئيسة نفسها.

يمكن لمطيافية التألق الضوئي والتألق الكهربائي أن تُستعمل لتحديد مدى وجود الأفخاخ. وهناك تقنيات أخرى تشمل قياسات الشدة والكمون، وقياسات كمون السعة، ومطيافية السعة الانتقالية، ومطيافية القبولية 76,75. وتحت شروط مناسبة يمكن تحديد طبيعة الفخ.

 π النمط من النمط

المراجع	$T_{g}/^{\circ}C^{a}$	البوليمير
24	200	پولي (أسيتيلين)
52	304	بوليمير PPV المؤسس على 5،2-ثنائي سيانو -4،1-فينيلين ڤينيلين
24	420	پولي (p-كزيلين)
24	450	پولي (p- فينيلين)
24	500	پولي (p- فينيلين ڤينيلين)
		الأو ليغو مير ات
71	200	2- هكز اديسيل أوكسي -5- ميثوكسي بنزين -4،1- بيس -(4- ثنائي ميثيل أمينو
71 200	فينيلين ڤينيلين)	
71	200	4،1-بیس -(2-میثیل ستیریل)-بنزین
71	300	بنزین -4،1-بیس -(2- فینیلین ڤینیلین)

^a عند بدء التدهور

4.3.3. الخواص البصرية

إنّ PPV بوليمير متألّق بالفَلْورة أصفر لامع. أمّا نقاط الإصدار الأعظمي فتقع في مجال الأصفر –الأخضر من الطيف المرئي، عند 551 nm و 551 nm للتألّق الكهربائي لبوليمير PPV عام 1990 77. ولأنّ PPV يتمتّع بقدرات نقل ثقوب جيّدة ضمن مجموعة البوليميرات الموصلة كهربائياً، فقد جرى استعماله ليس فقط بصفته طبقة مصدرة للضوء بل أيضاً بصفته ناقلاً للثقوب في التجهيزات المتألّقة كهربائياً 78.

2 يُبدي طيف التألّق الضوئي لبوليمير MEH-PPV قيمة أعظميّة عند 196 640 m تنزاح هذه القيمة نحو الأحمر مع ارتفاع درجة حرارة المعالجة الحراريّة. ولكنّ إصدار التألّق الضوئي لـ MEH-PPV وخليط من الأغشية مع 2-(4-بيفنيليل)-5-(4-ترت-بوتيل فينيل)-4،3،1-أوكساديازول يصبح منزاحاً نحو الأزرق مع ارتفاع درجة الحرارة 80.

في حالة PPV، يُلاحظ انزياح في القيمة العظمى لطيف التألق الضوئي نحو الأحمر مع ازدياد الضغط الساكن 81. وإضافة إلى ذلك تتخفض شدة القمة الرئيسية.

وتصبح هذه الظاهرة أكثر وضوحاً مع ازدياد ضغط المفاعيل المتبادلة بين السلاسل البوليميريّة. فالبنيّة تسعى لأن تصبح أكثر استواء، والطول المترافق يصبح أطول.

4.3. الإضافات الخاصة

1.4.3. الشوائب

تؤدّي الإشابة إلى إيجاد تعديلات بنيويّة والكترونيّة في سلسلة البوليمير الرئيسة. وعادة تؤدّي الإشابة إلى تحسين الموصليّة الكهربائيّة.

يمكن تحقيق الإشابة، ببدء تفاعلات أكسدة أو إرجاع في السلسلة الرئيسة للبوليمير. تسمّى الأكسدة إشابة من النوع p، ويسمّى الإرجاع إشابة من النوع n.

تتألّف الإشابة بالأصبغة من إضافة صباغ متألّق فَلُوريّاً إلى البوليمير 82 . لا يبقى التناظر بين الإلكترونات والثقوب قائماً في بوليمير PPV المشوب. وهذا ما يفسّر الاختلاف في حراك الإلكترونات والثقوب داخل السلسلة في PPV. نجد سرداً بالشوائب وطرائق الإشابة في الجدول (8-4).

1.1.4.3 الإشابة التفاعلية

يؤدي خماسي فلوريد الزرنيخ إلى توسع السلسلة بتفاعل فريدل -كرافتس، وتشبيك تصالبي في بوليمير PPV. وتتحقّق الموصليّة الكهربائيّة بآليّة قفز متغيّر المدى.

يتبيّن التعديل بتقنيات الأشعّة تحت الحمراء، إذ تبزغ قطاعات جديدة، يمكن إرجاع هذا مثلاً إلى تكوّن بني شبه كينونيّة guinoid.

الجدول (2-4): الشوائب وطرائق الإشابة في حالة بوليمير (p-فينيلين فينيلين)

المراجع	المركّب
84	خماسي فلوريد الزرنيخ
85	اليود
85	كلوريد الحديد
86	الكومارين
87	4-(ثنائي سيانو ميثيلين)-2-ميثيل -6-(4-(ثنائي ميثيل أمينو-ستيريل)-4H-بيران
80	2-(4-بيفينيليل)-5-(4-ترت-بوتيل فينيل)-4،3،1- أوكساديازول
78	رباعي-n-بوتيل أمونيوم رباعي فلوروبورات
82	نقل أبخرة الصباغ

2.1.4.3. الإشابة بالصباغ

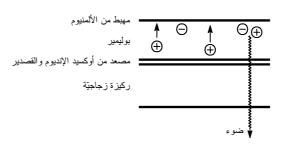
لمّا كان PPV غير قابل للانحلال كان من غير الممكن إشابته بالأصبغة باستعمال طرائق المحاليل. نقل الأبخرة هو طريقة إشابة بالأصبغة، حيث يجري إقحام جزيئات الصباغ في البوليمير بواسطة الطور الغازي في الخلاء 82. إلى جانب صنع تجهيزات كهرضوئية، فقد جرى استعمال طريقة نقل الأبخرة في مجال الذواكر البصريّة، وأدلّة الموجة.

5.3. تطبيقات

إنّ بوليميرات PPV هي بوليميرات مترافقة من النمط π ، مهمّة في التجهيزات الإلكترونيّة وتلك المتألقة ضوئياً.

1.5.3. التجهيزات المتألّقة كهربائيّاً

يجري أساساً بناء التجهيزات المُصدرة للضوء البسيطة تبعاً للمبدأ المبيّن في الشكل (3-11). يشير المخطّط في الشكل (3-11) إلى ديود مُصدر للضوء، وهو الأكثر شيوعاً. ولكن لقد جرى أيضاً وصف ترانزيستورات عضويّة مُصدرة للضوء 88، وترانزيستورات عضويّة ذات مفعول حقلي 89 مؤسّسة على مواد من PPV. نشرح فيما يلى المبدأ الأساسى في الديود المُصدر للضوء.



الشكل (3-11): العناصر الأساسية في تجهيزة مُصدرة للضوء

عند تطبيق فرق كمون بين المسريين، تُحقن في البوليمير الشحنات السالبة من المهبط، والشحنات الموجبة من المصعد. وعندما تلتحم الشحنات تتنقل طاقتها إلى البوليمير فتتكوّن بذلك مواقع واحديّة أو ثلاثيّة. المواقع الواحديّة تُماثل تلك التي تتكوّن في حالة التألّق الضوئي. التألّق الضوئي يحدث بإثارة من الحالة المستقرّة يتبعها تألّق فَلُوري. لذلك فإنّ عمليّة إصدار الضوء بالشحنات تتبع الطريق ذاتها للآليّة التي تحدث في التألّق الضوئي، وعادة لا تمتلك المواقع الثلاثيّة، التي تتكوّن إلى جانب المواقع الواحديّة، طاقة كافية لإصدار الضوء في المجال المرئي. لهذا السبب، يتركّز تطوير المادّة على تحسين عائد المراحل الواحديّة. عموماً، تتحسّن كفاءة الإصدار الضوئي باستعمال بوليمير عالي الألفة الإلكترونية مع مهبط ذي طاقة تحريّر منخفضة.

إنّ الغشاء البوليميريّ من الرّقة بحيث يمكن أن نقع شدّة الحقل الكهربائي في مجال يزيد عن 10^5 فولطامتر، أمّا الكفاءة الكموميّة، التي يُعبّر عنها بنسبة عدد الفوتونات، إلى عدد الإلكترونات المحقونة، فهي في المجال من 0.1 إلى 5 في المئة. كفاءة الإضاءة، وكفاءة الطاقة هما مؤشر ان آخر ان على الأداء.

تُبقى طبقة المصعد من أوكسيد الإنديوم والقصدير (ITO) رقيقة إلى حوالى nm الموذلك كي تسمح بمرور الضوء الصادر من البوليمير. أمّا المهبط فيُصنع من مادة ذات حاجز طاقة منخفض بالنسبة إلى إصدار الإلكترونات، مثل الألمنيوم أو الكالسيوم أو الباريوم.

لتحسين الاستقرار العملاني، تُستعمل في المهبط خلائط من معادن ذات طاقة تحرر منفعة مثل منخفضة مثل المغنزيوم والليثيوم، مع معادن أكثر استقراراً ذات طاقة تحرر مرتفعة مثل الألمنيوم والفضية 90. وعلى الوجه الأبسط تتكون الطبقة البوليميرية من طبقة منفردة. ولكن الأكثر شيوعاً هو بنى متعدة الطبقات من بوليميرات مختلفة. تقليدياً، يجري بناء التجهيزات العضوية المتعددة الطبقات بأسلوب متسلسل كما يلى:

- 1. يجري ترذيذ مسرى شفاف، عادة من أوكسيد الإنديوم والقصدير، تحت الخلاء على ركيزة زجاجية.
- 2. على الطبقة السابقة، يجري طلاء طبقة ناقلة للثقوب، مثل پولي (4،3-إيثيلين ثنائي أوكسى ثيوفين) (PEDOT).
- 3. ثُم يجري طلاء طبقة من بوليمير مُصدِر للضوء، مثل MEH-PPV، على الطبقة السابقة.
 - 4. مسرى علوي، مثل الباريوم، يجري تبخيره حراريّاً على الطبقة السابقة.
 - 5. وأخيراً يجري توضيع طبقة حماية مثل الألمنيوم فوق الطبقة الأخيرة.

تؤدّي مراحل التصنيع المبيّنة فيما سبق إلى تجهيزة بوليميريّة مُصدِرة للضوء نموذجيّة، ذات البُنية الطبقية التالية:

زجاج/أوكسيد الإنديوم والقصدير/بوليمير PEDOT/بوليمير MEH-PPV/باريوم/ألمنيوم يجري تطبيق البوليمير إمّا بالطلي الدوّامي أو بالطباعة بنفث الحبر، في حين يجري بناء المساري بالتوضيع تحت الخلاء أو الترذيذ. في إجرائيّة التصنيع المتسلسلة هذه نحتاج إلى سيرورات مبلّلة وسيرورات جافّة معاً.

لتخفيض عدد الطبقات المتتالية التي ينبغي توضيعها واحدة إثر أخرى، يمكن تصنيع التجهيزات من جزأين منفصلين، يجري تكوين كلّ جزء على ركيزة ذات طبقات وظيفيّة مختلفة. يمكن التغلّب على الصعوبات الناشئة من مُكاملة السيرورات المبلّلة والجافّة، ومن

ثُمّ خفض تكاليف التصنيع بتصنيع الطبقات المحدّدة على كلّ ركيزة قبل تجميع الجزأين لتكوين تجهيزات أنصاف النواقل العضويّة أو الدارات. في المرحلة الأخيرة، يمكن تجميع الجزأين لتكوين التجهيزة النهائيّة. تجري محاذاة الجزأين على نحو دائم بتفاعل تصليد حراري 91.

ستزودنا هذه الطريقة التجميعيّة في النهاية بالمرونة الناتجة من تنويع إمكانات تجميع التجهيزة النهائيّة. فمثلاً، إذا جرى إنتاج خمسة أجزاء أولى مختلفة، وخمسة أجزاء ثانية مختلفة، أمكن تصنيع خمسة وعشرين تكويناً لتجهيزات مختلفة 91.

يمكن تصنيع تجهيزات الأغشية الرقيقة بتقنيّة التوضيع بالتهجير الكهربائي يجري .92 (Electrophoretic deposition) في طريقة التوضيع بالتهجير الكهربائي يجري تطبيق المواد كجسيمات غرويّة في لا مذيب. بتعريض الجسيمات لقوّة تهجير كهربائية يتكوّن غشاء نانويّ البنية، ثمّ يجري تجفيف الغشاء تحت شروط لا مذيب للمحافظة على البنية.

يمكن أن تتلف التجهيزة إذا بقيت في الطبقة بعض مخلّفات المذيبات، أو غيرها من الشوائب مثل المونوميرات أو البوليميرات الطليعيّة. تمكن إزالة هذه الشوائب باستخلاصها مستعملين موائع فائقة الحرج، وذلك بين خطوات المعالجة كلّ على حدّتها. وعندما يكون بالإمكان إجراء المعالجة في شروط درجة حرارة منخفضة وضغط منخفض نسبياً، تمكن إزالة الشوائب من دون إحداث تغييرات كيميائيّة فيزيائيّة في الطبقة 93. فمثلاً، لمّا كانت الدرجة الفائقة الحرجة للإيثانول هي 241 درجة مئوية تحت ضغط 6.1 MPa، يمكن إجراء عمليّة التنظيف في درجة حرارة 260 درجة مئويّة تحت ضغط 8.0 MPa. ولكن مع ثاني أوكسيد الكربون يمكن استعمال درجة حرارة 80 درجة مئويّة تحت ضغط 15 MPa.

جرى صنع تجهيزات متألّقة كهربائيّاً بالأزرق الساطع باستعمال بوليمير (9،9-ثنائي أوكتيل فلورين) (POF) بصفته طبقة مُصدرة، وبوليمير PPV بصفته طبقة ناقلة للثقوب، ورباعي-n-بوتيل أمونيوم رباعي فلوروبورات بصفته شائباً، وخليطة الليثيوم-ألمنيوم بصفتها مسرى مهبطياً 78.

لقد جرى تحضير بوليمير PPV معدّل ذي زمر كاربازول وأوكساديازول متدلّية، وذلك بالبلمرة المباشرة لمونوميرات $\alpha \cdot \alpha$ -ثنائي برومو -p-كزيلين الموافقة 94 .

جرت بعد ذلك إشابة هذه البوليميرات باستعمال 4-(ثنائي سيانو ميثيلين)-2-ميثيل -6-(4-ثنائي ميثيل أمينو -ستيريل)-4H-بيران (DCM). لقد نتج التألق الضوئي بمعظمه من الشوائب. وتحديداً، أشارت الأطياف البصريّة إلى إمكان حدوث انتقال للطاقة وفق فورستر من البوليميرات المعدّلة إلى الشوائب، مما يؤدّي إلى حدوث إصدار ضوئي 87.

يمكن، بمعالجة تحت الخلاء، نثر أصبغة وظيفيّة في PPV الخالص. يمكن تغيير لون PPV من الأصفر إلى الأخضر بصباغ أزرق، A·1-(N·N-ثنائي إيثيل أمينو) أنثر اكينون. وبعد ذلك يمكن تغيير اللّون المتألّق فلورياً لــPPV من الأخضر إلى الأحمر بالإشابة بــ DCM. الإشابة وفق نموذج باستعمال DCM تؤدي إلى وسط متألّق متعدّد الألوان 95. في البوليميرات المشتركة المتناوبة التي تحمل وحدة m-فينيلين ڤينيلين ووحدة p-فينيلين ڤينيلين، تكون وحدة m-فينيلين هي سبب إصدار اللون الأخضر 96.

لقد جرى تصنيع تجهيزات مُصدرة للضوء الأخضر متعدّدة الطبقات من بوليمير (N-ڤينيل كاربازول) و 2-(4-بيفنيليل)-5-(4-ترت-بوتيل فينيل)-4،3،1-أوكساديازول. في هذه التجهيزات يتعلّق التألّق الكهربائي تعلّقاً كبيراً بثخانة طبقة PPV. ويتعلّق الأداء بقوّة بالبنية البوليميريّة، التي يمكن توليفها بإقحام زمر جانبيّة ومونوميرات مشتركة. في البوليميرات ذات الزمر الجانبيّة الضخمة، تتخفض التأثيرات المتبادلة بين الجزيئات، مما ينعكس في تحسّن الأداء 98,97.

ولكن، هنالك طول أمثلي للسلاسل الجانبيّة 99. إذ يمكن للسلسل الجانبيّة الطويلة أن تتراكب أو أن تتثني على نفسها في محاولة للتبلور. لهذا السبب يمكن إنقاص المسافة ما بين الجزيئيّة مرّة أخرى في بعض المناطق على طول السلسلة الجانبيّة.

يمكن حذف التفاعلات ما بين السلاسل بمزج MEH-PPV بمقدار صغير من بوليمير خامل. كما يمكن بطريقة أخرى تخفيف التفاعلات ما بين السلاسل بتثبيت الوحدات إلى حدِّ ما اعتماداً على التشابك المتصالب 100. وبالمقابل، ففي أنواع PPV القادرة على تحقيق تشابك متصالب ضوئي أو حراري ينخفض الأداء بسبب وجود جذور متبقيّة في المادّة 101.

يُبدي بوليمير PPV المعدّل بالسيلكون مع PEDOT تألقاً كهربائياً أعظميّاً حول يبدي بوليمير PPV المعدّل الطور بين الحوامل اللونيّة المختلفة هو عامل مهم في مدى فعاليّة التجهيزة. ففي خلائط الحوامل اللونيّة المتعدّدة المركّبات، يُعتبر PPV المعدّل بالسيليكون عالي انفصال الطور. إنّ انفصال الطور الشديد، والمورفولوجيا الناتجة من ذلك يمنعان انتقال الطاقة بشكل فعّال.

تُظهر المواد المركبة النانوية الهجينة من MEH-PPV والصلصال، المحضرة بالبلمرة في المكان لصلصال مونموريونيت المعدّل عضوياً، شدّة تيّار أعلى وفرق كمون أخفض عند الإشعال 103. بالتحكّم بنسبة المونوميرات الطليعيّة إلى المونموريونيت، يمكن الحصول على مواد مركبة نانويّة مقشّرة. في البنى المتداخلة، يجرى مجرد إقحام للسلاسل البوليميريّة في الفراغات ما بين طبقات المونموريونيت. ولكن في البنى المقشّرة، لا تعود الفراغات النانويّة الثنائية البُعد موجودة.

يشير التداخل هنا إلى تضمين جزيئات بين الطبقات، أمّا التقشّر فيشير إلى فصل الطبقات. وبكلمات أخرى، في البنى المتداخلة يحوي الصلصالُ السلاسلَ البوليميريّة المتداخلة كالشطائر، أمّا في المواد المركّبة النانويّة المقشّرة، فتكون الطبقات المنفردة منفصلة، ومورّزعة بأسلوب منتظم إلى حدٍّ ما في حاضنة بوليميريّة. لقد جرت دراسة هذا الصف من المواد على نحو واسع بسبب خواصه الفريدة 104. يلخّص الجدول (3-5) فعاليّة التجهيزات المتألّقة كهربائياً المتعلّقة ببوليمير PPV.

يمكن تصنيع الطبقات المتألّقة من نموذج باستعمال طريقة نفث الحبر 105 . يجري استعمال تركيبة لزوجتها من $^{0.002}$ إلى $^{0.004}$ Pa s إلى $^{0.002}$ الى $^{0.04}$ N m $^{-1}$ الى $^{0.025}$

تحتوي الأحبار البوليميريّة المتألّقة كهربائياً والقابلة للطباعة بالمنخل على تنوّع كبير من الإضافات تفيد في التحكّم بلزوجة الحبر البوليميري المتألّق كهربائياً، ولتخفيض معدّل تبخر المذيب، ولتحسين اتساق الحبر وزمن عمله 106.

إضافة إلى ذلك، يمكن للإضافات أن تحسن حقن الشحنات، وفعالية طاقة التجهيزات المُصدرة للضوء المصنوعة من الحبر البوليميري المتألّق كهربائياً القابل للطباعة بالمنخل. يبيّن الجدول (3-6) تركيبة حبر بوليميري متألّق كهربائياً.

تتكوّن التجهيزة من أربع طبقات: ركيزة، ومسرى شفّاف، وحبر بوليميري، ومسرى علوي. تجري طباعة الحبر المتألّق كهربائياً بالمنخل باستعمل مرورات متعدّدة لنحصل على غشاء جاف تتراوح سماكته بين 100 نانومتر و 1 ميكرون.

الجدول (3-5): فعالية التجهيزات المتألقة كهربائياً المرتبطة ببوليمير PPV

المر اجع	lm/W	بنية التجهيزة
107	0.12	MEH-PPV DEN-PPV
108	0.13	BDMO-PPV
109	0.42	ITO/MEH-PPV/LiF/Al
110	0.73	EHDVP-PPV ^a
108	1.2	BDMO-PPV مركب فينيلين إثينيلين
111	1.31	DMOS-PPV-co-DMOS-PPDFV b
112	1.8	ITO/PEDOT/MEH-PPV:PF°/Ba/Al
113	1.83	MEH-PPV PF°
114	3	MEH-PPV
115	5.6	2-بوتيل -5-(2- إيثيل-هكسيل)-PPV
116	8	POF المشوب بـــMEH-PPV

PPV a مع زمرة جانبية (2،2-ثنائي فينيل ڤينيل) فينيل

الجدول (3 - 6): حبر بوليميري متألّق كهربائياً 106

المركّبة	$[mg g^{-1}]^a$
MEH-PPV	12
بوليمير (أوكسيد الإيثيلين)	4
رباعي-n-بوتيل أمونيوم رباعي فلوروبورات	1.3
كلور البنزين	

mg g^{-1 a} كلور البنزين.

PPV b المُفَلُورَ

[°] پولي(ألكيفلورين)

لأنّ المادّة تُنفَثُ وتنتشر، في طريقة نفث الحبر، فإذا كانت المسافة بين السطح المطلي وفوهة رأس نفث الحبر ليست مناسبة، يمكن أن تقع المشكلة المعروفة باسم المنحني الطائر، التي فيها يمكن أن تسقط قطرة في غير الموقع المقصود. للتغلّب على هذا السلوك غير المرغوب، فقد جرى بناء جهاز تصنيع أغشية رقيقة مُحسّن 117.

إنّ وحدات الطلاء في هذا الجهاز مزودة بآلية امتصاص راجع. يمكن في آن واحد وبإنتاجية عالية تكوين ثلاث طبقات متألقة مُصدرة للألوان الأحمر، والأخضر، والأزرق. ومن الممكن تحقيق طلاء على شكل شريط بدون فجوات في سطر بعرض نقطة بكسل واحدة، وهذا ما يجعل الإنتاجية عالية جداً.

2.5.3. التجهيزات الفوتوڤولطائية

يمكن تصنيف التجهيزات الفوتوڤولطائيّة في نوعين 118:

- النوع المتجدّد الذي يحول الضوء إلى طاقة كهربائية من دون أن يترك وراءه أي تغيّر كيميائي. تنتقل الإلكترونات الحاملة للتيار إلى المصعد والدارة الخارجيّة، وتنتقل الثقوب إلى المهبط حيث تجري أكسدتها بالإلكترونات من الدارة الخارجيّة.
- في نوع التركيب الضوئي، يوجد نظاما أكسدة وإرجاع، أحدهما يتفاعل مع الثقوب على سطح المسرى، والآخر يتفاعل مع الإلكترونات الداخلة من المسرى المقابل. فمثلاً، يتأكسد الماء إلى أوكسجين عند المصعد الضوئي، ويُرجَع إلى هيدروجين عند المهبط.

نحن نتعامل هنا مع النوع المتجدد. لقد جرى تطوير الخلايا الفوتوڤولطائيّة أوّلاً في الخمسينات من القرن الماضي على شكل وصلات p-n من مواد لا عضويّة. ومنذئذ جرى صنع أنواع واسعة التنوع من الخلايا باستعمال وصلات مثليّة، ووصلات متباينة، وبنى ترادفيّة بمواد لاعضويّة، أكثرها شيوعاً هو السيليكون. تحوّل هذه التجهيزات الإشعاع الشمسي مباشرة إلى طاقة كهربائيّة 119.

تتمتّع الخلايا الشمسيّة العضويّة بعدّة ميّزات محتملة مقارنةً بالخلايا الشمسيّة اللاعضويّة التقليديّة، تشمل هذه الميّزات خفّة الوزن، والمرونة، وإمكانيّة التصنيع الزهيد الثمن لمساحات واسعة باستعمال تقانيات الطباعة 120. ولكن ما زال هناك نقص في كلّ

من كفاءة تحويل الطاقة، والاستقرار الطويل الأمد، وهو أمر مطلوب في تجهيزات التطبيقات العملية.

تعتمد كفاءة التجهيزات الفوتو فولطائية على أمرين: توليد الشحنات المُحرّض ضوئياً، الذي يعتمد كفاءة انتقال الإلكترونات، وعلى نقل الشحنات التي تولّدها المساري، أي حراك حوامل الشحنات. يجب تحقيق هذين المطلبين في آن واحد معاً. يمكن إنشاء ترتيب بنيوي لمواد التجهيزة بهدف تحسين المطلبين معاً في منطقة مجهريّة كلً على حدّته.

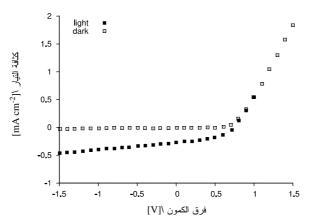
في علم أنصاف النواقل يشير التعبير "وصلة متباينة" (Heterojunction) إلى وصلة بين طبقات من مواد ذات خواص كهربائية مختلفة، مثل القطاعات الممنوعة. لقد جرى إدخل التعبير "وصلة متباينة كتليّة" في أنصاف النواقل العضويّة ليدلّ على مادّة مركّبة بوليميريّة ذات طور منفصل مجهرياً، بشبكة متداخلة مثلاً. تتميّز هذه المواد بمساحة سطح بيني عالية.

وكما هو شائع في أنصاف النواقل، يجب أن تتوفّر في المادة أو المادة المركبة خواص مانح للإلكترونات ومتقبّل لها في آن معاً. يؤدّي في التجهيزات الفوتوڤولطائيّة، الامتصاص الضوئي إلى انفصال الشحنات الكهربائية التي تتدفّق إلى المساري، وتؤدي إلى نشوء فرق في الكمون الكهربائي.

تنشأ في المنطقة الانتقاليّة بين الطبقة الفعّالة ضوئياً والمسرى مقاومة محسوسة ضد عبور حامل الشحنة، يمكن إرجاع هذه المقاومة إلى التفاعل بين المسرى المعدني والطبقة العضويّة الفعّالة ضوئياً. لذلك، إذا أمكن حذف هذه التأثيرات غير المباشرة، عندها يكون من المتوقّع تحسين عبور الشحنات، ومن ثمّ زيادة الكفاءة، وذلك شريطة بقاء بقيّة الشروط على حالها. بوضع طبقة انتقاليّة عازلة يمكن إلى حدٍّ كبير إيقاف هذه التفاعلات غير المباشرة بين الطبقة العضويّة الفعّالة ضوئياً والمسرى. ولكن ينبغي ألاّ تزيد ثخانة هذه الطبقة العازلة على nm 5، وذلك كي لا تعيق المقاومة الكهربائيّة لهذه الطبقة الانتقاليّة الانتقاليّة ضوئياً والمسرى 121. ولقد جرى البرهان على تحسّن الكفاءة في تجهيزات ذات طبقة انتقاليّة صنبعَتْ من فلوريد الليثيوم بطريقة توضيع الأبخرة.

إنّ أكثر المواد البوليميريّة المانحة للإلكترونات شيوعاً هي PPV وبوليميرات الألكيل ثيوفين. أمّا المواد البوليميريّة المتقبّلة للإلكترونات فهي بوليميرات PPV المُستبدل فيها سيانو، وپولي (p-پيريديل ڤينيلين). هنالك أيضاً متقبّلات إلكترونات منخفضة الوزن الجزيئي، تضم الفولرينات ومشتقّات البيريلين، مثل رباعي بنزيل بيريلين-40،9،4،3، رباعي كربوكسيلات 10،9،4،3.

لقد تلقّت التجهيزات الفوتو فولطائية المبنية على أساس بوليميرات مترافقة اهتماماً كبيراً 55. ولقد جرت دراسة التجهيزات الأكثر شيوعاً المؤسسة على MEH-PPV. وتحت شروط مؤاتية، جرى تحقيق نماذج مخبرية بكفاءة تحويل طاقة تعادل 3 في المئة. ولقد وُجدَ أنّ خلائط من بوليميرات مترافقة مع الفولرينات مناسبة للتجهيزات الفوتو فولطائية. ينجم المفعول الفوتو فولطائي عن انتقال إلكترونات محرّض ضوئياً من البوليميرات المترافقة إلى الفولرينات. يُبيّن الشكل (3-12) رسماً بيانياً لشدّة التيار بدلالة فرق الكمون في حالة خليّة فوتو فولطائيّة على أساس الفولرين و بولي (2-ميثو كسي -5-(3'7'-ثنائي ميثيل أوكسي)-4-1- فينيلين ڤينيلين) (MDMO-PPV).



 55 MDMO-PPV الشكل (3 - 12): التيار بدلالة الكمون في خليّة فوتوڤولطائيّة على أساس

تُظهر التجهيزات ذات الأطوار المنفصلة أداءً فوتوڤولطائيًا مُحسناً. يجري التحكم بفصل الأطوار من خلال فصل المزائج في شبكات متداخلة. أثناء عمليّة الطلي الدوّامي، يكون مدى انفصال الطور عن حالة المزيج الجيّد، القائمة في الحالة السائلة، محدوداً بزمن تبخّر المذيب المتطاير. وبعد التبخّر الكامل للمذيب تصبح أي إعادة للترتيب مستحيلة، وتتثبّت مور فولوجيا الخليطة في مكانها.

تتيح المعالجة الحرارية للتجهيزة أن تعيد البوليميرات المستعملة ترتيبها في حالة طاقتها أخفض. بهذه الطريقة، يمكن بناء الترادف الجزيئي المرغوب. من المعروف عن بعض بوليميرات الثيوفن أنها تتعنقد أثناء المعالجة، مما يؤدي إلى تكون مناطق مرتبة، يسهل فيها انتقال الشحنات. يتيح تعنقد البوليميرات في الخلائط تحسين انتقال الشحنات المتكونة عند الإضاءة إلى نقاط الاتصال، مخفّفاً بذلك احتمال إعادة انضمام الشحنات قبل استخلاصها 123. ولقد جرى تصميم تجهيزات فوتوڤولطائية مرنة بطلاء أوكسيد الإنديوم والقصدير على أغشية بولي(إيثيلين ترفتالات).

يمكن تبيان أثر المورفولوجيا، إذا جرى تصنيع المواد نفسها بالطريقة نفسها، ولكن باستعمال مذيب مختلف عند الطلي الدوّامي. فهناك فارق كبير في الأداء النهائي إذا جرى إنتاج خليّة فوتوڤولطائيّة من MDMO-PPV والفولرين من محلول التولوين أو من محلول الكلوروبنزين.

لقد جرى صنع تجهيزات فوتوڤولطائيّة على أساس PPV المشوب بــ 82 DCM يمتص DCM الضوء بأطوال موجات أطول من PPV. تستعمل صفائح زجاجيّة مع DCM بصفتها ركائز، وتستعمل طبقة بينيّة من PEDOT المشوب ببولي (حمض ستيرين السلفوني)، ثُمّ يُطبّق بوليمير PPV المشوب بــ DCM. وفي النهاية يجري توضيع المساري من الألمنيوم بالتبخير تحت الخلاء.

جرى اختبار التجهيزات باستعمال مصباح كزينون بوجود مرشّح AM1.5، حرى اختبار التجهيزات باستعمال مصباح كزينون بوجود مرشّح 100 m W cm $^{-2}$ يساوي $2.77~\mu A$ cm $^{-2}$ وأنّ كمون الدارة المفتوحة يساوي $2.77~\mu A$ cm $^{-2}$ الطاقة فهي 0.00055 في المئة تحت إضاءة 0.00055.

تتوضع كسر البيفلورين متعامدة في قطع السبيرو. لذلك تكون السلاسل البوليميرية الناتجة ملتوية، مما يقلّل من المفاعيل المتبادلة بين الجزيئات. وأكثر من ذلك فإنّ رص السلاسل البوليميريّة يكون أقلّ كثافة. ومن ناحية أخرى، فإنّ ازدياد صلابة السلاسل يرفع درجة حرارة الانتقال الزجاجي. إنّ درجة حرارة الانتقال الزجاجي لهذه البوليميرات تتراوح بين 170 و 222 درجة مئويّة.

لهذا السبب فقد جرى اصطناع بوليمير پولي [6،3-بيس -(7،3-ثنائي ميثيل أوكتيل أوكتيل أوكسي)-9،9-سبير وبيفلورينيل -7،2-ثينيلين] (OC10)2-spiro-PFV)، وغيره من البوليميرات المشتركة المتعلّقة به، واختبارها كتجهيزات فوتوڤولطائيّة 124. تقع ثخانة الطبقة الفعّالة ضوئياً في المجال nm 75-70، وجرى استعمال LiF/Al بصفته مسرى مهبطياً.

إنّ لنسبة تغذية البوليمير المشارك تأثيراً كبيراً على كفاءة تحويل الطاقة. فهي تزداد مع ازدياد المحتوى من MEH-PPV. ولقد جرى الحصول على كفاءة تحويل للطاقة أعظميّة مقدارها 1.30 في المئة في حالة بوليمير مشترك من MEH-PPV في المئة مع المئة مع المئة مع MEH-PPV بنسبة 50:50. ولكن وتُجدت كفاءة تحويل للطاقة مقدارها 2.10 في المئة مع بوليمير MEH-PPV أصيل.

يؤدي استعمال مواد ذات درجة حرارة تحوّل زجاجي أعلى إلى تحسين جوهري في الاستقرار الحراري للأداء الفوتو فولطائي 125. يُفسّر ذلك بالمور فولوجيا الضخمة الأكثر استقراراً لهذه المواد. يبيّن الجدول (3-7) درجات حرارة الانتقال الزجاجي لبوليميرات PPV.

الجدول (3-7): درجات حرارة التحوّل الزجاجي لبوليميرات PPV

المراجع	$T_g/^{\circ}C$	البوليمير
125	45	MDMO-PPV
56	68	MEH-PPV
56	108	M3EH-PPV
126	150	$\mathbf{C}_{_{10}}$ مع سلسلة جانبيّة PPV
124	177	PPV معدّل بمونوميرات سبيروبيفلورنِيل

لقد تبيّن أنّ المعالجة الحراريّة في بوليمير MEH-PPV المعدّل بمركب رباعي بنزيل بيريلين -10،9،4،3-رباعي كربوكسيلات تؤدّي إلى تكوّن شبكات بلّوريّة داخل البوليمير. وهذه الشبكة تحسّن تحسيناً كبيراً الكفاءة الكموميّة الخارجيّة، وكفاءة تحويل الطاقة 122.

PPV/MEH-PPV إنّ ضمّ كسارات الأوكساديازول، الفقيرة جدّاً بالإلكترونات في 127 . تتصل بصفتها سلاسل جانبيّة يزيد معدّل تفكّك الإكسيتونات، ويعزّز انتقال الإلكترونات 127 . تتصل كسر الأوكساديازول بالسلسلة الرئيسة بواسطة روابط 10 ألكيل أوكسي، انظر الشكل (3-13). من المفترض أنّ معدّل تفكّك الإكسيتونات يتبع قانون تفكّك أسّي. إنّ مُعامل التفكّك 13 (وهو وضوحاً العمر الوسطي) لـ-PPV/MEH-PPV المحتوي على الأوكساديازول يساوي 10 النقي يساوي مُعامل التفكّك في 10 MEH-PPV النقي 10

 127 الشكل (3 - 13): وحدات أوكساديازول المستعملة لتحسين أداء الخلايا الشمسيّة

لقد ذُكِر سابقاً أنّ وحدات الثيوفين تُظهِر خواص مانح جيّد، ولكنّ التجهيزات المبنيّة على أساس بولي (ثيوفين) تُبدي فرق كمون منخفض في الدارة المفتوحة. وبالمقابل، نرى أنّ تجهيزات الخلايا الشمسيّة المؤسسة على بوليمير PPV تتمتّع بفرق كمون أعلى في الدارة المفتوحة. هذا السبب يجعلنا نفكّر في جمع كلتا الوحدتين البنيويتين في بوليمير 128,13. بمثل هذه التركيبة يمكن تحقيق فرق كمون في الدارة المفتوحة قدره 900 mV، وكفاءة في تحويل الطاقة قدر ها 1.2 في المئة.

باستعمال تقنيّة نفث الحبر، يمكن وضع شبكات مرتبّة إلى حدٍّ ما مكوّنة من مادّتين الثنتين على الأقل تتمتّعان بميل مختلف نحو الإلكترونات 129. لقد جرت تجربة هذه الطريقة في حالة MEH-PPV و PPV مُستبدّل فيه سيانو.

يضمن وجود مواد مستجيبة ضوئياً، ذات ميل مختلف نحو الإلكترونات جنباً إلى جنب، عملية فصل فعّالة للشحنات عند تكوّن الإكسيتونات في منطقة الاستجابة الضوئية وذلك عند تعرّض هذه الأخيرة للضوء. ويفضل جعل ثخانة البقع أصغر ما يمكن وذلك لجعل طول الانتشار الجانبي أصغرياً. المقصود هنا هو المسافة التي ينبغي أن يقطعها حامل الشحنة قبل أن يجري النقاطه في منطقة ذات ميل عال أو منخفض للإلكترونات. إنّ التوزّع الفراغي للمواد المختلفة يحسن فعاليّة التجهيزة.

إنّ التجهيزات الفوتوڤولطائيّة حسّاسة عموماً للأوكسجين الجوّي والرطوبة، مما يُنقص زمن خدمتها. ولقد جرى البرهان على أنّ تغليف الخلايا الشمسيّة المبنيّة على أساس MDMO-PPV بپولي (إيثيلين نفتالات) (PEN) يزيد عمر خدمتها من عدّة ساعات إلى ما يزيد على أربعة أشهر 130. وعموماً يُستعمل PEN بصفته مادّة حاجزة فائقة.

3.5.3. الألياف النانوية من بوليمير (p-فينيلين ڤينيلين)

يمكن اصطناع ألياف نانوية من PPV بغزل كهربائي (Electrospinning) لبوليمير طليعي لـــ PPV في محلول كحولي. يستعمل الغزل الكهربائي شحنة كهربائية لتكوين ألياف رفيعة. يُشبه الغزل الكهربائي البخ الكهربائي (Electrospraying). يُنفَثُ محلولٌ بوليميري من خلال إبرة رفيعة مشحونة كهربائياً. تجعل الشحنات الكهربائية القُطيرة تمتطّ، وإذا كانت لزوجة القطيرة مرتفعة بقدر كاف، لا تنتثر القطرات كما في تقنية البخ الكهربائي، بل يتكون دفقٌ سائل. يُطبق فرق كمون من مرتبة Vb ، وبعد معالجة حرارية عند 10 kV. وبعد معالجة مئوية يتحول بوليمير PPV الطليعي إلى ألياف PPV.

يمكن التحكم بالمورفولوجيا باستعمال پولي (كحول ڤينيل) PVA/بوليميرات طليعيّة لبوليمير التحكم بالمورفولوجيا الألياف باستعمال مجهر ماسح الكتروني، أو مجهر فلوري. مقارنة بالمادّة الكتلية يُبدي طيف التألّق الفلوري للألياف النانويّة من PPV/PVA، ومن الألياف النانويّة المركّبة المصنوعة من PPV/PVA، انزياحاً محسوساً نحو الأزرق، كما تكون شدّة تألّقه الفلوري أعلى، وكمونه الضوئي السطحي أعلى 133,132.

إذن، يمكن اصطناع ألياف نانوية ذات تألّق فلوري من الأخضر المصنّفر حتى الأزرق. للألياف النانوية تطبيقات محتملة في التجهيزات الإلكترونية والبصرية.

4.5.3 الأنابيب النانوية من بوليمير (p-فينيلين ڤينيلين)

تُظهر الأنابيب النانويّة من PPV أزمنة تحلّل تألّقٍ فلوريِّ مختلفة اختلافاً ملحوظاً مقارنة بالعيّنات المُجملة Bulk .

تقع الأنابيب النانويّة الكربونيّة موقع الاهتمام بصفتها مدافع الكترونيّة محتملة في شاشات العرض الرقيقة ⁶ وتُبدي الأنابيب النانويّة الكربونيّة العديد من الخواص المرغوبة لتحسين إصدار الحقل فهي تتمتّع بما يلي:

- موصليّة كهربائيّة وحراريّة جيّدتان،
 - مقاومة ميكانيكية جيدة،
 - نسبةٌ بُعديّة مرتفعة،
- وطاقة تحرر منخفضة إلى حدِّ مقبول.

ولقد جرى استعمال أنابيب نانويّة مكربنة غرافيتيّاً من PPV محضرة في غشاء ألومينا، بدلاً من أنابيب نانويّة كربونيّة. جرى بعد ذلك استعمال هذه الأنابيب النانويّة بعد تضمينها جسيمات نانويّة من الذهب في تصنيع تجهيزات مُصدرة للحقل 134.

إنّ أداء هذه التجهيزات مماثل إذا لم نقل أنّه أفضل من أداء مثيلاتها المؤسّسة على أساس أنابيب نانويّة كربونيّة. ونجد انخفاضاً ملموساً في طاقة التحرّر وحقل الإشعال بسبب وجود جسيمات الذهب النانويّة. وكذلك فقد تضاعف مُعامل تضخيم الحقل مرتين بسبب تضمين جسيمات الذهب النانويّة.

5.5.3. المُحسّات

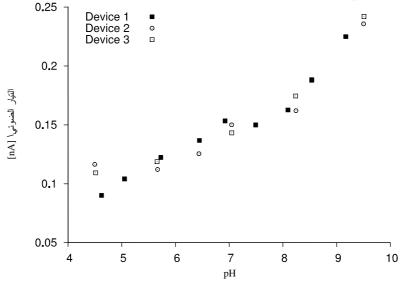
1.5.5.3. مُحسّات الحموضة

لقد جرت الإشارة إلى موصل ضوئي حسّاس للـ pH على أساس PPV. يعتبر كشف التغيرات الموضعية في مقدار الـ pH باستعمال محسّات صغيرة الحجم محطّ اهتمام خاص في تطبيقات طبيّة، وحيويّة، وبيئيّة متنوّعة. لقد لوحظت زيادة في التيار العاتم، والتيار الضوئي عند تعريض صفائح رقيقة mn 20–25 من PPV لمحاليل مائية. إنّ تغيّر التيّار الضوئي تابعٌ لقيمة pH.

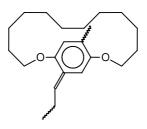
ولقد لوحظت تبعيّة خطيّة إلى حدِّ ما للتيار الضوئي بدلالة الـ pH في المجال من 4.5 الديّار العاتم هو من مرتبة A^{-1} 1، بعد الإنارة يرتفع التيّار بحدّة ويستقرّ بعد مرور 10 إلى 100 ثانية، ويكون التيّار الضوئي من مرتبة النانو أمبير. النتائج عكوسة وقابلة للتكرار. يبيّن الشكل (3-14) تبعية التيّار لقيمة الـ pH.

2.5.5.3. مُحسّات الغاز

إنّ بوليمير BDA-PPV، وهو نوع جسريٌّ من PPV، مناسب للاستعمال في نظام مسار متداخلة، انظر الشكل (3-17)، وذلك للكشف الانتقائي عن NO_2 . الوحدات المتكررة في البوليمير مبيّنة في الشكل (3-15).



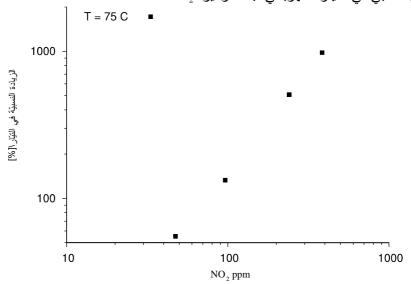
 $^{135}\,\mathrm{pH}$ التيّار الضوئي مقابل قيمة الـ 135



- الشكل (3 - 15): الوحدات المتكرّرة في بوليمير (15،2-ثنائي أوكسابيسيكلو (2.2.14) الشكل (15-3): المتكرّرة في بوليمير (19،2.2): 19,17-تريين - 19,17-تريين - 19,17- اللين ڤينيلين)

تُقلّل البنى الجسريّة الجسيمة المفاعيل المتبادلة بين الجزيئات، وذلك مُقارنةً بأنواع PPV الأخرى. يجري توضيع أغشية متعدّدة الطبقات على ركائز سيليكونيّة ذات مسارٍ ذهبيّة متداخلة.

 ${
m NH_3}$ و ${
m CO}$ و ${
m NO}_2$ من ${
m NO}_2$ من ${
m NO}_2$ و ${
m SO}_2$ و ${
m SO}_2$ في درجات حرارة مختلفة. من بين الغازات المُشار إليها، لم تستجب الموصليّة الكهربائيّة إلاّ لغاز ${
m NO}_2$ ، مُبيّنة بذلك استجابة انتقائية لهذا الغاز . يبيّن الشكل (3-10) التغيّر النسبي في التيّار الكهربائي تبعاً لتركيز ${
m NO}_2$.



الشكل (3-16): الاستجابة الكهربائية للتجهاز بدلالة تركيز NO, الشكل

إنّ البوليميرات المشتركة التعاقبية على أساس PPV مع وحدات أوكسيد الفينيلين مناسبةٌ لكشف الأبخرة العضويّة مثل الأسيتون، والإيثانول، و أسيتات الإيثيل، والهكسان، والتولوين، وحمض الخل، والميثانول، وإيثر ثنائي إيثيل 136. التجهيزة مبنيّة بشكل مسار نحاسيّة مطليّة بالذهب ومتداخلة تبعد عن بعضها البعض مسافة mm 1. لم تسجّل استجابة عند تعريض المُحسّ للهواء المشبع بالماء، لذلك لا تؤثّر الرطوبة في الأداء.

3.5.5.3. مُحسّات قياس الممانعة

يتمثّل عمل مُحسّات قياس الممانعة (Impedimetric sensors) بتغيّر الخواص الكهربائيّة للمساري الكهربائيّة للمساري مع تغيّر خواص سطحه. يمكن استكشاف الخواص الكهربائيّة للمساري ذات السطح المعدّل باستعمال مطيافيّة الممانعة 138,137.

R من المناسب الآن أن نستعرض بعض التعابير التقنيّة. ترتبط المقاومة الكهربائيّة بشدّة التيّار I وبغرق الكمون U وفق قانون أوم بالعلاقة :

$$(1-3) R = \frac{U}{I}$$

في النظم حيث فرق الكمون والتيّار متناوبان، يمكن تمثيل هذه المقادير بأعداد عقديّة. يُعطى فرق الكمون بتبعيّة جيبيّة للزمن (t) بالعلاقة

$$u(t) = U_{\text{max}} \cos(2\pi vt + \phi)$$

حيث ν هو التواتر، و ϕ هو فرق الصفحة. إنّ u(t) مقدار حقيقي. ولكنّ المختصيّن بالكهرباء يُفضلون استعمال المقدار العقدي الموافق، وذلك تسهيلاً للحسابات فيكتبون

$$U(t) = U_{\text{max}} \exp(i2\pi vt) \exp(i\phi)$$

هنا U(t) مقدار عقدي. وهو يُمثّل في المستوي العقدي بشعاع يدور مع الزمن. الأمر نفسه صحيح دون تعديل فيما يتعلّق بالتيّار الكهربائي. في نظم التيّار المتناوب تُعرف المقاومة من المعادلة (1-3) باسم الممانعة Z، وهي تعرّف إذن بالعلاقة

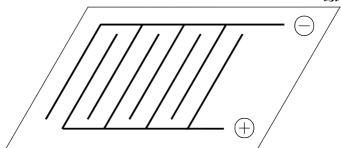
(2-3)
$$Z(t) = \frac{U(t)}{I(t)}$$

يمكن حساب الممانعة في العديد من التجهيزات الكهربائيّة الأساسيّة. فمثلاً، في حالة مقاومة أوميّة تكون الممانعة هي Z=R، وفي حالة سعة مثاليّة تكون الممانعة هي السعة $Z=-t/(2\pi vC)$ ، وفي حالة وشيعة مثاليّة $Z=-t/(2\pi vC)$ ، وفي حالة وشيعة مثاليّة $Z=-t/(2\pi vC)$.

يسمّى الجزء الحقيقي من الممانعة باسم الجزء المُقاوم، أو المُقاومة اختصاراً. أمّا الجزء التخيّلي من الممانعة فيسمّى الجزء المُنفَعِل، أو الانفعاليّة Reactance اختصاراً.

تقيس مطيافيّة الممانعة تبعيّة الممانعة الكهربائيّة للتواتر. في مُحسّات قياس الممانعة، يجري امتصاص الجزيئات المُراد توصيفها من قبل المساري، أو في السطح الواقع بين المساري. تُغيِّر عمليّة الامتصاص هذه الأداء الكهربائي للتجهيزة، وبقياس الممانعة بين المسربين يمكن استخلاص بعض النتائج 141.

إنّ المبدأ الأساسي الذي يقف وراء تقنيات قياس الممانعة هو مطيافيّة الممانعة الكهربائيّة. تستعمل هذه التقنيات، بسبب حساسيّتها، في تطبيقات حيويّة وبيئيّة، ولكن بدرجات نجاح متفاوتة. هناك تشكيلة واسعة معروفة من التصاميم لتجهيزات تهدف إلى تحليل موادّ حيويّة 141,138.



140,139 الشكل (3 - 17): مخطّط مبسّط نسعة متداخلة المساري

يبين الشكل (3-17) مخططاً مبسطاً ممكناً لنموذج نظام مسارٍ. توضع المساري على ركيزة تمتص الجزيئات المراد تحليلها امتصاصاً انتقائياً، يؤدي ذلك إلى تغيير قابل للكشف في خواص العازليّة الكهربائية للفراغ الواقع بين المسريين.

إنّ الوحدات الأساسيّة في التصميم المبيّن في الشكل (3-17) هي وحدات متكرّرة الاستعمال في تقانة المُحسّات. فقد جرى استعمال مثل هذه التجهيزة في كشف سلوك إنضاج الطلاءات 142. التوجّه الحالي هو نحو التصنيع النانوي بهدف تحسين أداء المُحسّات الحيويّة لقياس الممانعة، ويمكن الوصول إلى مسارٍ وفراغات بين المساري عرضها يتراوح بين 250 إلى mm 500 (139 عمليّاً، يجري استعمال تجهيزات ذات طبقات مُتمّمة حتّى يجري فيزيائياً ادمصاص بعض الأجسام المضادة على أغشية بوليميريّة رقيقة، وذلك أثناء عمليّة التصنيع 143.

6.3. الموردون والعلامات التجارية

يحوي الجدول (3-8) أسماء الموردين والعلامات التجارية، ويضم الجدول (3-9) الأسماء التجارية التي جرت الإشارة إليها في المراجع.

7.3. الأمان

لم تجر الإشارة إلى أيّ مخاطر خاصة استثائية في حالة MEH-PPV و MDMO-PPV.

الجدول (3-8): أمثلة على بوليميرات (الآريلين ڤينيلين) المتوفّرة تجاريّاً

المورد	بوليمير ات الـــ PPV
^a Sigma-Aldrich	BEHP-co-MEH-PPV
Sigma-Aldrich	PSS PPV-co-MEH-PPV
Sigma-Aldrich	BEHP -PPV
Sigma-Aldrich	MDMO-PPV
Sigma-Aldrich	ملح البوتاسيوم، MPS-PPV
Sigma-Aldrich	PSS PPV
Sigma-Aldrich	BTEM-PPV
Sigma-Aldrich Sigma-Aldrich	BEH-PPV PSS PPV-co-MEH-PPV
H. W. Sands	MEH-PPV
^a Covion(Merck)	بوليميرات MDMO-PPV المشتركة
	المركبات الطليعيّة
Sigma-Aldrich	5،2-بيس -(بروموميثيل)-1-ميثوكسي -4-أوكتيل أوكسي بنزين
Sigma-Aldrich	5٠2-بيس -(كلوروميثيل)-4٠1-بيس -(أوكتيل أوكسي)-بنزين
Sigma-Aldrich	5:2-بيس -(كلوروميثيل)-1-ميثوكسي -4-(3'،7'-ثنائي ميثيل أوكتيل
Sigilia-Aldrich	أوكسي)بنزين
Sigma-Aldrich	5،2-بيس -(أوكتيل أوكسي)-بنزين -4،1-ثنائي أسيتونتريل
Sigma-Aldrich	5٠2- بيس -(أوكتيل أوكسي)- ترِفتالْ ألدهيد
Sigma-Aldrich	2-ميثوكسي -5- (3'،7'-ثنائي ميثيل أوكنيل أوكسي)بنزين -4،1-ثنائي أسيتوننريل
Sigma-Aldrich	پولىي ((m-فينيلين ڤينيلين)-alt-(5،2-نتائي بوتوكسي -p-فينيلين ڤينيلين))
Sigma-Aldrich	محلول پولي(p-کزیلین رباعي هیدروثیوفینیوم کلورید)
Sigma-Aldrich	پولي (5،2-ئنائي هكسيل أوكسي -4،1- فينيلين ڤينيلين)

^a هناك أنواع أخرى من PPV متوفّرة.

الجدول (3-9): الأسماء التجارية الواردة في المراجع

الاسم التجاري
Baytron® P
معقد من پولي (4،3- إيثيلن ثنائي أوكسي ثيوفين)
و پولي (حمض ستيرين السلفوني)
Luxprint® 7144
حبر ناقل کربون <i>ی</i>
Luxprint® 7145L
حبر ناقل فضى ¹¹⁸
Luxprint® 7151
معجون فوسفور <i>ي</i> متألّق كهربائياً ¹¹⁸
Luxprint® 7153E
معجون تيتانات الباريوم ¹¹⁸
Tegoglide™ 410
خافض للتوتر السطحي من پولي(سيلوكسان) 118
Tegowet®
بوليمير مشترك خافض للتوتر السطحي من پولي(سيلوكسان)-
پول <i>ی</i> (اِستر) ¹¹⁸
Zonyl® 7950
خافض للتوتر السطحي مُقَلور ¹¹⁸
Zonyl® FSO 100
خافض للتوتر السطحي فلوري لا شاردي مُعالج
ﺑﺎﻟ <mark>ﯦ</mark> ﻴﯟﻛﺴﻴﻼﺕ ¹¹⁸

المراجع

- 1. A. Kraft, A. C. Grimsdale, and A. B. Holmes. "Electroluminescent Conjugated Polymers-Seeing Polymers in a New Light." *Angewandte Chemie International Edition*: vol. 37, no. 4, 1998, pp. 403–428.
- 2. S. Iwatsuki, M. Kubo, and T. Kumeuchi. "New Method for Preparation of Poly(phenylenevinylene) Film." *Chemistry Letters*: (1991), pp. 1071–1074.

- 3. J. Wiesecke. "Untersuchungen zum Polymerisationsmechanismus der Gilch-Reaktion." (Ph.D Thesis, Technische Universität Darmstadt, Darmstadt, 2004).
- I. Van Severen, F. Motmans, L. Lutsen, T. J. Cleij, and D. Vanderzande. "Poly(p-phenylene vinylene) Derivatives with Ester-and Carboxy-Functionalized Substituents:
 A Versatile Platform towards Polar Functionalized Conjugated Polymers." Polymer: vol. 46, no. 15, July 2005, pp. 5466–5475.
- S. Kannoo, T. Saruhashi, S. Ishibe, K. Nakagawa, and I. Tomita. "SynThesis of Poly(p-phenylene-vinylene) Derivative Having Amphiphilic Substituents by Palladium-Catalyzed Three-Component Coupling Polymerization Of P-Bromophenylallene and Nucleophile Containing Oligooxyethylene Units." *Polymer Bulletin*: vol. 57, no. 6, October 2006, pp. 843–848.
- 6. S.-H. Joo, C.-Y. Lee, K. Kim, K.-R. Lee, and J.-I. Jin. "Chemical Vapor Deposition Polymerization of Poly(arylenevinylene)s and Applications to Nanoscience." *Bulletin of Korean Chemical Society*: vol. 27, 2006, pp. 169–184.
- 7. E. G. J. Staring, D. Braun, G. L. J. A. Rikken, R. J. C. E. Demandt, Y. A. R. R. Kessener, M. Bouwmans, and D. Broer. "Chemical Vapour Deposition of Poly(1,4-phenylenevinylene) Films." *Synthetic Metals:* vol. 67, no. 1-3, November 1994, pp. 71–75.
- A. G. J. Staring, D. J. Broer, and R. J. C. E. Demandt. CVD method of providing a film of conjugated, substituted or unsubstituted poly(p-phenylene vinylene) on a substrate. US Patent 5 670 212, assigned to U.S. Philips Corporation (New York, NY), 23 September 1997.
- 9. K. M. Vaeth and K. F. Jensen. "Blue electroluminescent copolymers by par-ylene-based chemical vapor deposition." *Macromolecules:* vol. 33, 2000, pp. 5336–5339.
- N. T. Tung, Y.-J. Yu, K. Kim, S.-H. Joo, Y. Park, and J.-I. Jin. "Versatile Preparation of Poly(1,4-phenylenevinylene-co-1,4-phenylene-1,2- ethanediyl) by CVD Polymerization of P-(methoxymethyl)benzyl chloride." *Journal of Polymer Science* Part A: Polymer Chemistry: vol. 43, 2005, pp. 742–751.
- 11. V. P. Conticello, D. L. Gin, and R. H. Grubbs. "Ring-opening Metathesis Polymerization of Substituted bicyclo[2.2.2]octadienes: A New Precursor Route to poly(1,4-phenylenevinylene)." *Journal of the American Chemical Society*: vol. 114, 1992, pp. 9708–9710.
- 12. Y.-J. Miao and G. C. Bazan. "Paracyclophene Route to Poly(p-phenylenevinylene)." *Journal of the American Chemical Society*: vol. 116, 1994, pp. 9379–9380.
- 13. L. Huo, J. Hou, C. He, M. Han, and Y. Li. "Synthesis, Characterization and Photovoltaic Properties of poly[1',4'-bis-(thienyl-vinyl)]-2-methoxy-5-(2'-ethylhexyloxy)-1,4-phenylene-vinylene." *Synthetic Metals:* vol. 156, nos. 2- 4, February 2006, pp. 276–281.

- 14. J. H. P. Utley and J. Gruber. "Electrochemical Synthesis of Poly(p-xylylenes) (PPXs) and Poly(p-phenylenevinylenes) (PPVs) and the Study of Xylylene (quinodimethane) Intermediates; an Underrated Approach." *Journal of Materials Chemistry:* vol. 12, 2002, pp. 1613–1624, 2002.
- 15. J. H. P. Utley and C. Z. Smith. "Electroorganic reactions. Part 53. The electrosynthesis of novel water-soluble poly-(p-xylylene)(PPX) and poly(p-phenylenevinylene)(PPV) polymers and co-polymers." *Journal of Materials Chemistry*: vol. 10, 2000, pp. 2642–2646.
- E. G. J. Staring, R. C. J. E. Demandt, D. Braun, G. L. J. Rikken, Y. A. R. R. Kessener, A. H. J. Venhuizen, M. M. F. van Knippenberg, and M. Bouwmans. "Electroluminescence and Photoluminescence Efficiency of Poly(p-phenylenevinylene) Derivatives." *Synthetic Metals:* vol. 71, nos. 1-3, April 1995, pp. 2179–2180.
- 17. R. N. McDonald and T. W. Campbell. "Synthesis of hydrocarbon derivatives by the wittig reaction. III. Wittig reaction as a polymerization method." *Journal of the American Chemical Society*: vol. 82, 1960, pp. 4669–4671.
- 18. J. Wiesecke and M. Rehahn. "The Effect of Persistent TEMPO Radicals on the Gilch Polymerization." *Macromolecular Rapid Communications*: vol. 28, 2007, pp. 78–83.
- 19. X. Wu, G. Shi, F. Chen, S. Han, and J. Peng. "High-quality Poly[2-methoxy-5-(2'-ethylhexyloxy)-p-phenylenevinylene] Synthesized by a Solid-Liquid Two-Phase Reaction: Characterizations and Electroluminescence Properties." *Journal of Polymer Science Part A: Polymer Chemistry:* vol. 42, no. 12, June 2004, pp. 3049–3054.
- 20. H. Bai, X. Wu, and G. Shi. "Synthesis and Characterization of Poly(1,5naphthylene vinylene) and its Copolymers with poly(2-methoxy-5- (2'-ethylhexyloxy)-p-phenylene Vinylene)." *Polymer*: vol. 47, no. 5, February 2006, pp. 1533–1537.
- 21. J. P. Ferraris and J. J. Gutierrez. Light-emitting block copolymers composition, process and use. US Patent 7 135 241, assigned to Board of Regents, The University of Texas System (Austin, TX), 14 November 2006.
- J. D. Stenger-Smith, W. P. Norris, A. P. Chafin, and S. T. Sackinger. Process for making amino functional poly(para-phenylene vinylene)s. US Patent 5 578 699, assigned to The United States of America as represented by the Secretary of the Navy (Washington, DC), 26 November 1996.
- 23. H. Wang, N. Song, H. Li, Y. Li, and X. Li. "Synthesis and characterization of a partial-conjugated hyperbranched poly(p-phenylene vinylene) (HPPV)." *Synthetic Metals:* vol. 151, no. 3, August 2005, pp. 279–284.
- 24. C. A. Gedelian, G. A. Ten Eyck, and T.-M. Lu. "Onset of thermal degradation in poly(p-phenylene vinylene) films deposited by chemical vapor deposition." *Synthetic Metals:* vol. 157, no. 1, January 2007, pp. 48–52.

- 25. G. Qu, F. Jiang, S. Zhang, and S. Usuda. "A Novel Poly(p-phenylene vinylene)-b-poly(methyl methacrylate) Rod-Coil Diblock Copolymer." *Materials Letters*: vol. 61, no. 16, June 2007, pp. 3421–3424.
- 26. T.-Q. Nguyen, R. Y. Yee, and B. J. Schwartz. "Solution Processing of Conjugated Polymers: The Effects of Polymer Solubility on the Morphology and Electronic Properties of Semiconducting Polymer films." *Journal of Photochemistry and Photobiology A*: vol. 144, no. 1, October 2001, pp. 21–30.
- 27. R. Tang, Z. Tan, C. Cheng, Y. Li, and F. Xi. "Synthesis, Electroluminescence, and Photovoltaic Properties of Dendronized Poly(p-phenylene vinylene) Derivatives." *Polymer*: vol. 46, no. 14, June 2005, pp. 5341–5350.
- 28. B. H. Cumpston and K. F. Jensen. "Photo-oxidation of Polymers Used in Electroluminescent Devices." *Synthetic Metals:* vol. 73, no. 3, August 1995, pp. 195–199.
- 29. F. Babudri, G. M. Farinola, S. Giancane, F. Naso, R. Rella, A. Scarpa, and L. Valli. "Deposition and Application in Gas Sensors of Thin films of a Bridged Chain Dialkoxy PPV Derivative." *Materials Science and Engineering C*: vol. 22, no. 2, December 2002, pp. 445–448.
- 30. G. Wantz, L. Hirsch, N. Huby, L. Vignau, J. F. Silvain, A. S. Barriere, and J. P. Parneix. "Correlation between the Indium Tin Oxide Morphology and the Performances of Polymer Light-Emitting Diodes." *Thin Solid Films*: vol. 485, nos., 1-2, August 2005, pp. 247–251.
- 31. H. Y. Chu, D.-H. Hwang, L.-M. Do, J.-H. Chang, H.-K. Shim, A. B. Holmes, and T. Zyung. "Electroluminescence from Silyl-disubstituted PPV Derivative." *Synthetic Metals:* vol. 101, nos. 1-3, May 1999, pp. 216–217.
- 32. R. Tang, X. Xu, C. Cheng, G. Yu, Y. Liu, and F. Xi. "Synthesis and Luminescence Properties of Novel Phenyl-substituted Poly(p-phenylene vinylene) Derivatives." *Synthetic Metals:* vol. 150, no. 1, April 2005, 63–71.
- 33. S. Srinivasan, H. Neugebauer, and N. S. Sariciftci. "Electrochemically induced IRAV modes of BeCHA-PPV studied with in situ FTIR-ATR spectroscopy." *Synthetic Metals:* vol. 84, nos. 1-3, January 1997, pp. 635–636.
- 34. L. X. Chen, W. J. H. Jager, D. J. Gosztola, M. P. Niemczyk, and M. R. Wasielewski. "Effects of Chemical Modifications on Photophysics and Exciton Dynamics of [pi]-conjugation Attenuated and Metal-chelated Photoconducting Polymers." *Synthetic Metals:* vol. 116, nos. 1-3, January 2001, pp. 229–234.
- 35. H. Rost, B. S. Chuah, D.-H. Hwang, S. C. Moratti, A. B. Holmes, J. Wilson, J. Morgado, J. J. M. Halls, J. C. De Mello, and R. H. Friend. "Novel luminescent polymers." *Synthetic Metals:* vol. 102, nos. 1-3, June 1999, pp. 937–938.

- 36. C. Y. Yang, A. J. Heeger, and Y. Cao. "Microstructure of gel-processed blends of conjugated polymer and ultrahigh molecular weight polyethylene." *Polymer*, 41(11):4113–4118, May 2000.
- 37. C. Dridi, N. Blel, A. Chaieb, M. Majdoub, M. S. Roudesli, J. Davenas, H. B. Ouada, and H. Maaref. "The Effect of Synthesis Procedure on Physical Properties of Poly(p-phenylene vinylene) Derivatives." *European Polymer Journal*: vol. 37, no. 4, April, 2001, pp. 683–690.
- 38. Q. Zhang, M. Yang, P. Wu, H. Ye, and X. Liu. "New Disilyl-substituted poly(phenylene vinylene)-related Polymers: Synthesis and Photoelectric Properties." *Materials Science and Engineering B*: vol. 113, no. 2, October 2004, pp. 130–135.
- 39. K. Murata, S. Kuroda, Y. Shimoi, S. Abe, T. Noguchi, and T. Ohnishi. "Photon-energy Dependence of Light-induced ESR for Poly(p-phenylene vinylene) and its Derivatives." *Synthetic Metals:* vol. 91, nos. 1-3, December 1997, pp. 359–362.
- G. S. Samal, A. K. Biswas, S. Singh, and Y. N. Mohapatra. "Electroabsorption Spectroscopic Study of Cyano-substituted Phenylene Vinylene Polymer (CN-PPV)." Synthetic Metals: vol. 155, no. 2, November 2005, pp. 303–305.
- 41. B.-h. Wang, J. Yin, M. Xue, J. Wang, G. Zhong, and X. Ding. "Synthesis and Characterization of a Novel Poly(p-phenylenevinylene) derivative containing dibenzothiophene-5,5-dioxide Moiety in the Main Chain with High Electron Affinity." *Thin Solid Films*: vol. 424, no. 2, v January 2003, pp. 186–190.
- 42. P.L. Burn, D. D. C. Bradley, A. R. Brown, R. H. Friend, and A. B.Holmes. "Studies on the Efficient Synthesis of Poly(phenylenevinylene) (PPV) and Poly (dimethoxy phenylenevinylene) (dimethoxy-PPV)." *Synthetic Metals:* vol. 41, nos. 1-2, April 1991, pp. 261–264.
- 43. S. Courric and V. H. Tran. "The Electromagnetic Properties of Poly(p-phenylene-vinylene) Derivatives." *Polymer*: vol. 39, no. 12, 1998, pp. 2399–2408.
- 44. D.-H. Hwang, S. T. Kim, H.-K. Shim, A. B. Holmes, S. C. Moratti, and R. H. Friend. "Highly Efficient Green Light-Emitting Diodes with Aluminium Cathode." *Synthetic Metals:* vol. 84, nos., 1-3, January 1997, pp. 615–618.
- 45. J. D. White, W. Y. Sun, S. C. Su, J. H. Hsu, T. L. Lim, and W. S. Fann. "On Sealing Effects and Oxygen Dependence of Non-recoverable Intensity Drops in Short-Chain-Conjugated Polymers." *Journal of Luminescence*: vol. 98, nos. 1-4, July 2002, pp. 45–48.
- C. Belton, D. O'Brien, A. Cadby, P. Lane, H. J. Byrne, R. Stockmann, H.-H. Hörhold,
 D. D. C. Bradley, and W. J. Blau. "Excited State Inhibition of Luminescence in DPOP-PPV." *Synthetic Metals*: vol. 119, nos. 1-3, March 2001, pp. 567–568.

- 47. H.-C. Huang, G.-L. Huang, H.-L. Chen, and Y.-D. Lee. "Immobilization of TiO2 Nanoparticles on Carbon Nanocapsules for Photovoltaic Applications." *Thin Solid Films*: vols. 511-512, July 2006, pp. 203–207.
- 48. S.-H. Yang, J.-T. Chen, A.-K. Li, C.-H. Huang, K.-B. Chen, B.-R. Hsieh, and C.-S. Hsu. "New soluble poly(2,3-diphenylphenylene vinylene) derivatives for light-emitting diodes." *Thin Solid Films*: vol. 477, nos. 1-2, April 2005, pp. 73–80.
- 49. W. Holzer, A. Penzkofer, R. Stockmann, H. Meysel, H. Liebegott, and H. H. Horhold. "Energy Density Dependent fluorescence Quenching of Diphenyl Substituted Phenylene-vinylene and Diphenylene-vinylene Polymers by Exciton-exciton Annihilation." *Synthetic Metals*: vol. 125, no. 3, December 2001, pp. 343–357.
- 50. G. Ramachandran, T. A. Smith, D. Gomez, and K. P. Ghiggino. "Fluorescence Studies on the Conjugated Polyelectrolyte DPS-PPV [poly (2,5-dipropoxy sulphonato para phenylene) vinylene] in Aqueous Solution." *Synthetic Metals*: vol. 152, nos., 1-3, September 2005, pp. 17–20.
- 51. G. Ramachandran, G. Simon, Y. Cheng, and L. Dai. "Control of fluorescence Emission Color of benzo 15-crown-5 ether Substituted Oligo Phenylene vinylene-ceramic Nanocomposites." *Polymer:* vol. 46, no. 18, August 2005, pp. 7176–7184.
- 52. M. Cheng, Y. Xiao, W. L. Yu, Z. K. Chen, Y. H. Lai, and W. Huang. "Synthesis and Characterization of a Cyano-substituted Electroluminescent Polymer with well-defined Conjugation Length." *Thin Solid Films:* vol. 363, nos. 1-2, March 2000, pp. 110–113.
- 53. E. J. Harbron, D. H. Hadley, and M. R. Imm. "Solvent Effects on Phototriggered Conformational Changes in an Azobenzene-Functionalized Poly(p-phenylene vinylene)." *Journal of Photochemistry and Photobiology A*: vol. 186, nos. 2-3, February 2007, pp. 151–157.
- 54. A. Talaie, Y. K. Lee, G. Huh, K. M. Kim, H. Y. Jeong, D. J. Choo, J. Y. Lee, and J. Jang. "Improvement of the Photoluminescence Properties of MEH-PPV by Means of Copolymerization." *Materials Science and Engineering B*: vol. 85, nos. 2-3, August 2001, pp. 199–202.
- 55. C. J. Brabec, N. S. Sariciftci, and J. C. Hummelen. "Plastic Solar Cells." *Advanced Functional Materials*: vol. 11, no. 1, February 2001, pp. 15–26.
- 56. H.-H. Hörhold, S. Pfeiffer, A. Uhlig, G. Heine, and M. Helbig. Organic light-emitting diodes (OLED) including poly[2-methoxy5-(2'-ethyl-hexyloxy) -1,4-phenylene-1,2-ethenylene-2,5-dimethoxy1,4-phenylene-1,2-ethenylene] as electroluminescent material. US Patent 6 403 238, 11 June 2002.
- 57. Z. K. Wu, S. X. Wu, J. H. Liao, D. G. Fu, and Y. Q. Liang. "Two-dimensional ordered array of poly(2-methoxy,5-(n-hexadecyloxy) -p- phenylene vinylene) in monolayer by langmuir-blodgett technique." *Synthetic Metals*: vol. 130, no. 1, August 2002, pp. 35–38.

- 58. S. Yang, Z. Wang, X. Chen, X. Yang, Y. Hou, Z. Xu, L. Wang, and X. Xu. "Color-variable Electroluminescence from Poly(p-phenylene vinylene) Derivatives." *Displays*: vol. 21, nos. 2-3, August 2000, pp. 65–68.
- 59. T. Kurihara, Y. Mori, T. Kaino, H. Murata, N. Takada, T. Tsutsui, and S. Saito. "Spectra of $\chi(3)(-3\omega;\omega,\omega)$ in poly(2,5-dimethoxy p-phenylene vinylene) (MO-PPV) for various conversion levels." *Chemical Physics Letters*: vol. 183, no. 6, September 1991, pp. 534–538.
- 60. A. T. H. Koch, N. T. Harrison, N. Haylett, R. Daik, W. J. Feast, and R. H. Friend. "Enhanced photostability of poly(1,3-phenylene diphenylvinylene) derivatives by diphenyl-substitution." *Synthetic Metals*: vol. 100, no. 1, March 1999, pp. 113–122.
- 61. G. He, C. Yang, R. Wang, and Y. Li. "Light-emitting electrochemical cells based on poly(2-methoxy-5-triethoxy-1,4-phenylene vinylene)." *Displays*: vol. 21, nos. 2-3, August 2000, pp. 69–72.
- 62. E. Kesters, S. Swier, G. Van Assche, L. Lutsen, D. Vanderzande, and B. Van Mele. "Non-isothermal elimination process in the solid state of n-alkyl-sulphinyl precursor polymers towards conjugated poly[2-(3',7' -dimethyloctyloxy)-5-methoxy-1,4-phenylene vinylene] studied with MTDSC and TGA." *Polymer:* vol. 47, no. 23, October 2006, pp. 7935–7942.
- 63. K. Yoshino, A. A. Zakhidov, H. Kajii, H. Araki, K. Tada, T. Noguchi, T. Ohnishi, and K. Yakushi. "Multiphase superconductivity in OO-PPV/C60 composite doped by alkali metals low-field microwave absorption and SQUID study." *Physica C*: vol. 264, nos. 3-4, June 1996, pp. 161–171.
- 64. Z. Wang, X. Chen, S. Yang, and X. Xu. "Electronic states in conjugated polymers probed by excimers." *Displays*, 21(2-3):73–77, August 2000.
- 65. H. S. Kang, K. H. Kim, M. S. Kim, K. T. Park, K. M. Kim, T. H. Lee, C. Y. Lee, J. Joo, D. W. Lee, Y. R. Hong, K. Kim, G. J. Lee, and J.-I. Jin. "Electrical characteristics of light-emitting diode based on poly(p-phenylenevinylene) derivatives: CzEH-PPV and OxdEH-PPV." *Synthetic Metals*: vol. 130, no. 3, October 2002, pp. 279–283.
- 66. M. Breselge, I. Van Severen, L. Lutsen, P. Adriaensens, J. Manca, D. Vanderzande, and T. Cleij. "Comparison of the electrical characteristics of four 2,5-substituted poly(p-phenylene vinylene) derivatives with different side chains." *Thin Solid Films*: vols. 511-512, July 2006, pp. 328–332.
- 67. J. N. Wilking, B. Hsieh, and G. A. Arbuckle-Keil. "Chlorine precursor route to poly(2-phenoxy p-phenylene vinylene): Synthesis and characterization." *Synthetic Metals*: vol. 149, no. 1, February 2005, pp. 63–72.

- 68. M. Al-Ibrahim, A. Konkin, H.-K. Roth, D. A. M. Egbe, E. Klemm, U. Zhokhavets, G. Gobsch, and S. Sensfuss. "Phenylene-ethynylene/phenylene-vinylene hybrid polymers: Optical and electrochemical characterization, comparison with poly[2-methoxy-5-(3',7'-dimethyloctyloxy) -1,4phenylene vinylene] and application in flexible polymer solar cells." *Thin Solid Films*: vol. 474, nos. 1-2, March 2005, pp. 201–210.
- 69. H. B.Gu,S.Morita, X. H.Yin, T.Kawai, and K.Yoshino. "Electrical and optical properties of conducting polymer composites consisting of conducting polymers with non-degenerated structure." *Synthetic Metals*: vol. 69, nos. 1-3, March 1995, pp. 449–450.
- 70. S.-H. Jin, H.-J. Lee, Y.-S. Gal, T. Zyung, H.-N. Cho, E. E. Gürel, and F. E. Karasz. "An alkylsilylphenoxy PPV chromophore." *Synthetic Metals*: vol. 130, no. 2, September 2002, pp. 203–212.
- 71. A. Chaieb, A. Khoukh, R. Brown, J. Francois, and C. Dagron-Lartigau. "Characterization of model luminescent PPV analogues with donating or withdrawing groups." *Optical Materials*: vol. 30, no. 2, October 2007, pp. 318–327.
- 72. T. Ohnishi, I. Murase, T. Noguchi, and M. Hirooka. "Highly conductive graphite film prepared from pyrolysis of poly(p-phenylene vinylene)." *Synthetic Metals*: vol. 14, no. 3, April 1986, pp. 207–213.
- 73. T. Ohnishi, I. Murase, T. Noguchi, and M. Hirooka. "Preparation of graphite film by pyrolysis of polymers." *Synthetic Metals*: vol. 18, nos. 1-3, February 1987, pp. 497–502.
- 74. J.-I. Jin, J.-H. Kim, Y.-H. Lee, G.-H. Lee, and Y. W. Park. "Carbonization of poly(1,4-phenylene ethynylene)." *Synthetic Metals*: vol. 57, no. 1, April 1993, pp. 3742–3747.
- 75. T. P. Nguyen. "Defect analysis in organic semiconductors." *Materials Science in Semiconductor Processing*: vol. 9, nos. 1-3, February–June 2006, pp. 198–203.
- 76. P. Stallinga, H. L. Gomes, H. Rost, A. B. Holmes, M. G. Harrison, and R. H. Friend. "Minority effects in poly phenylene vinylene as studied by electrical characterization." *Journal of Applied Physics*: vol. 89, no. 3, February 2001, pp. 1713–1724.
- 77. J. H. Burroughes, D. D. C. Bradley, A. R. Brown, R. N. Marks, K. Mackay, R. H. Friend, P. L. Burns, and A. B. Holmes. "Light-emitting diodes based on conjugated polymers." *Nature*: vol. 347, October 1990, pp. 539–541.
- 78. T.-H. Kim, J. H. Park, O. O. Park, J.-W. Yu, J. K. Kim, and Y. C. Kim. "Effect of hole transporting layer doped with organic salts on performance of polymer electroluminescent devices." *Current Applied Physics*: vol. 6, no. 4, July 2006, pp. 616–619.

- 79. F. Kong, S. Y. Zhang, C. Z. Yang, and R. K. Yuan. "Interchain excited states in annealed poly [2-methoxy-5-(2'-ethyl-hexyloxy)-p-phenylene vinylene] films." *Materials Letters*: vol. 60, nos. 29-30, December 2006, pp. 3887–3890.
- 80. S. Quan, F. Teng, Z. Xu, L. Qian, T. Zhang, D. Liu, Y. Hou, Y. Wang, and X. Xu. "Temperature dependence of photoluminescence in MEH-PPV blend films." *Journal of Luminescence*: vol. 124, no. 1, May 2007, pp. 81–84.
- 81. Q. G. Zeng, Z. J. Ding, X. D. Tang, and Z. M. Zhang. "Pressure effect on photoluminescence and Raman spectra of PPV." *Journal of Luminescence*: vol. 115, nos. 1-2, October 2005, pp. 32–38.
- 82. N. Tanigaki, H. Mochizuki, X. Mo, T. Mizokuro, T. Hiraga, T. Taima, and K. Yase. "Molecular doping of poly(p-phenylenevinylene) under vacuum for photovoltaic application." *Thin Solid Films*: vol. 499, nos. 1-2, March 2006, pp. 110–113.
- 83. M. Baïtoul, J. Wéry, S. Lefrant, E. Faulques, J.-P. Buisson, and O. Chauvet. "Evidence of electron-hole symmetry breaking in poly(p-phenylene vinylene)." *Physical Review B: Condensed Matter*: vol. 68, no. 19, November 2003, pp. 195-203.
- 84. K. D. Gourley, C. P. Lillya, J. R. Reynolds, and J. C. W. Chien. "Electrically conducting polymers: arsenic pentafluoride-doped poly(phenylenevinylene) and its analogs." *Macromolecules*: vol. 17, no. 5, 1984, pp. 1025–1033.
- 85. M. R. Fernandes, J. R. Garcia, M. S. Schultz, and F. C. Nart. "Polaron and bipolaron transitions in doped poly(p-phenylene vinylene) films." *Thin Solid Films*: vol. 474, nos. 1-2, March 2005, pp. 279–284.
- 86. Y. Huang, Z.-y. Lu, Q. Peng, Q. Jiang, R.-G. Xie, S.-H. Han, L.-g. Dong, J.-B. Peng, Y. Cao, and M.-G. Xie. "Luminescent properties of coumar in-doped MEH-PPV and novel coumarin-terminated MEH-PPV." *Materials Chemistry and Physics*: vol. 3, no. 1, September 2005, pp. 95–99.
- 87. G. Zhong, K. Kim, D. W. Lee, and J.-I. Jin. "Photoluminescent and electroluminescent properties of DCM-1 dispersed poly(p-phenylene vinylene) derivatives." *Synthetic Metals*: vol. 156, nos. 9-10, May 2006, pp. 731–735.
- 88. H. Iechi, Y. Akiyama, H. Kondoh, and T. Tano. Organic transistor. US Patent 7 126 153, assigned to Ricoh Company, Ltd. (Tokyo, JP), October 24, 2006.
- 89. W. Geens, J. Poortmans, T. Aernouts, H. Andriessen, and D. Vanderzande. Ambipolar organic transistor. US Patent 6 815 711, assigned to Interuniversitair Microelektronica Centrum (IMEC) (Leuven, BE) Agfa Gevaert (Mortsel, BE), 9 November 2004.
- 90. Y. Cao. Electrically active polymer compositions and their use in efficient, low operating voltage, polymer light-emitting diodes with air-stable cathodes. US Patent 6 284 435, assigned to Uniax Corporation (Santa Barbara, CA), 4 September 2001.

- 91. S. S. Xiao, C. Qiu, and C. X. Qiu. Organic semiconductor devices and methods of fabrication including forming two parts with polymerisable groups and bonding the parts. US Patent 7 063 994, assigned to Organic Vision Inc. (Brossard, CA), 20 June 2006.
- 92. K. Tada and M. Onoda. "Preparation of donor-acceptor nanocomposite through electrophoretic deposition." *Current Applied Physics*: vol. 5, no. 1, January 2005, pp. 5–8.
- 93. T. Miyazawa. Method for manufacturing laminated film, electro-optical device, method for manufacturing electro-optical device, organic electroluminescence device, and electronic appliances. US Patent 7 025 647, assigned to Seiko Epson Corporation (Tokyo, JP), 11 April 2006.
- 94. D. W. Lee, K.-Y. Kwon, J.-I. Jin, Y. Park, Y.-R. Kirn, and I.-W. Hwang. "Luminescence properties of structurally modified PPVs: PPV derivatives bearing 2-(4-tert-butylphenyl)-5-phenyl-1,3,4-oxadiazole pendants." *Chemistry of Materials*: vol. 3, no. 2, February 2001, pp. 565–574.
- 95. H. Mochizuki, T. Mizokuro, X. Mo, N. Yamamoto, N. Tanigaki, and T. Hi-raga. "Multicolored luminescent device based on non-substituted PPV." *Thin Solid Films*: vol. 499, nos. 1-2, March 2006, pp. 410–414.
- 96. E. E. Gürel, Y. Pang, and F. E. Karasz. "Luminescence properties of modified poly(m-phenylenevinylene)-alt-(p-phenylenevinylene): Effects of side-chain length, blending and device configuration." *Thin Solid Films*: vol. 417, nos. 1-2, September 2002, pp. 147–150.
- 97. C. L. Gettinger, A. J. Heeger, J. M. Drake, and D. J. Pine. "A photoluminescence study of poly(phenylene vinylene) derivatives: The effect of intrinsic persistence length." *Journal of Chemical Physics*: vol. 101, 1994, pp. 1673–1678.
- 98. B. R. Hsieh, Y. Yu, E. W. Forsythe, G. M. Schaaf, and W. A. Feld. "A new family of highly emissive soluble poly(p-phenylene vinylene) derivatives. A step toward fully conjugated blue-emitting poly(p-phenylene vinylenes)." *Journal of the American Chemical Society*: vol. 120, 1998, pp. 231–232.
- 99. S. Vaidyanathan, H. Dong, and M. E. Galvin. "The role of sidechains in the luminescence of an electroactive polymer." *Synthetic Metals*: vol. 142, nos. 1-3, April 2004, pp. 1–6.
- 100. D. H. Choi, M. J. Cho, K. I. Han, I.-H. Chang, J. S. Song, J. H. Kim, S.-H. Paek, and S.-H. Choi. "Luminescence properties of MEH-PPV and its crosslinked polymer: Effect of crosslink on photoluminescence and electroluminescence." *Synthetic Metals*: vol. 156, nos. 9-10, May 2006, pp. 685–689.

- 101. C. Yang, J. Hou, B. Zhang, S. Zhang, C. He, H. Fang, Y. Ding, J. Ye, and Y. Li. "Electroluminescent and photovoltaic properties of the crosslink-able poly(phenylene vinylene) derivative with side chains containing vinyl groups." *Macromolecular Chemistry and Physics*: vol. 206, 2005, pp. 1311–1318.
- 102. S.-H. Jin and J.-H. Lee. Light-emitting polymers having high efficiency and color tunable properties. US Patent 6 368 732, assigned to Samsung SDI Co., Ltd. (Kyungkido, KR), 9 April 2002.
- 103. C. Jing, L. Chen, Y. Shi, and X. Jin. "Synthesis and characterization of exfoliated MEH-PPV/clay nanocomposites by in situ polymerization." *European Polymer Journal*: vol. 41, no. 10, October 2005, pp. 2388–2394.
- 104. M. Alexandre and P. Dubois. "Polymer-layered silicate nanocomposites: Preparation, properties and uses of a new class of materials." *Materials Science and Engineering R*: vol. 28, nos. 1-2, June 2000, pp. 1-63.
- 105. H. Kiguchi, S. Kanbe, and S. Seki. Composition for an organic EL element and method of manufacturing the organic EL element. US Patent 6 843 937, assigned to Seiko Epson Corporation (Tokyo, JP), 18 January 2005.
- 106. S. A. Carter, J. G. Victor, S. Tuttle, and J. Breeden. Screen printable electroluminescent polymer ink. US Patent 7 115 216, assigned to Add-Vision, Inc. (Scotts Valley, CA), 3 October 2006.
- 107. K. Dinakaran, S.-M. Hsiao, C.-H. Chou, S.-L. Shu, and K.-H. Wei. "Synthesis and characterization of an efficiently fluorescent poly(phenylenevinylene) possessing pendant dendritic phenyl groups." *Macromolecules*: vol. 38, 2005, pp. 10429–10435.
- 108. G. Wantz, O. Dautel, L. Vignau, F. Serein-Spirau, J. P. Lere-Porte, L. Hirsch, J. J. E. Moreau, and J. P. Parneix. "Polymer light-emitting diodes with a phenyleneethynylene derivative as a novel hole blocking layer for efficiency enhancements." *Synthetic Metals*: vol. 156, nos. 9-10, May 2006, pp. 690–694.
- 109. D. Xu, Z. Deng, X. Li, Z. Chen, and C. Liang. "Enhanced quantum efficiency in polymer electroluminescence devices by inserting an ultrathin PMMA layer." *Applied Surface Science*: vol. 253, no. 7, January 2007, pp. 3378–3381.
- 110. D.-C. Shin, Y.-H. Kim, H. You, J. G. Jin, and S.-K. Kwon. "Intramolecular energy transferable (2,2-diphenylvinyl)phenyl substituted poly(p-phenylenevinylene) derivative with efficient photoluminescence and electroluminescence." *Journal of Polymer Science Part A: Polymer Chemistry*: vol. 42, 2004, pp. 5636–5646.
- 111. Y. Jin, J. Jee, K. Kim, J. Kim, S. Song, S. H. Park, K. Lee, and H. Suh. "Synthesis and electroluminescent properties of copolymers based on PPV with fluoro groups in vinylene units." *Polymer*: vol. 48, no. 6, March 2007, pp. 1541–1549.

- 112. F. Shen, F. He, D. Lu, Z. Xie, W. Xie, Y. Ma, and B. Hu. "Bright and colour stable white polymer light-emitting diodes." *Semiconductor Science and Technology*: vol. 21, 2006, L16–L19.
- 113. R.-H. Lee, K.-T. Lin, and C.-Y. Huang. "High red, green, and blue color purity electroluminescence from MEH-PPV and polyalkyfluorenes- based bright white polymer light emitting displays." *Journal of Polymer Science Part B: Polymer Physics*: vol. 45, 2006, pp. 330–341.
- 114. S. Sohn, K. Park, D. Lee, D. Jung, H. M. Kim, U. Manna, J. Yi, J.-h. Boo, H. Chae, and H. Kim. "Characteristics of polymer light emitting diodes with the LiF anode interfacial layer." *Japanese Journal of Applied Physics*: Part 1, no, 45, 2006, pp. 3733–3736
- 115. G. Yu, Y. Cao, M. Andersson, J. Gao, and A. J. Heeger. "Polymer light-emitting electrochemical cells with frozen p-i-n junction at room temperature." *Advanced Materials*: vol. 10, 1998, pp. 385–388.
- 116. J. Huang, G. Li, E. Wu, Q. Xu, and Y. Yang. "Achieving high-efficiency polymer white-light-emitting devices." *Advanced Materials*: vol. 18, 2006, pp. 114–117.
- 117. S. Yamazaki, K. Yamamoto, M. Hiroki, and T. Fukunaga. Method for precisely forming light emitting layers in a semiconductor device. US Patent 7 115 434, assigned to Semiconductor Energy Laboratory Co., Ltd. (JP), 3 October 2006.
- 118. H. Andriessen. Layer configuration comprising an electron-blocking element. US Patent 6 977 390, assigned to Agfa Gevaert (Mortsel, BE), 20 December 2005.
- 119. J. Salafsky. Solid-state electric device. US Patent 6 991 958, assigned to The Trustees of Columbia University in the City of New York (New York, NY), 31 January 2006.
- 120. K. Kawano, R. Pacios, D. Poplavskyy, J. Nelson, D. D. C. Bradley, and J. R. Durrant. "Degradation of organic solar cells due to air exposure." *Solar Energy Materials and Solar Cells*: vol. 90, no. 20, December 2006, pp. 3520–3530.
- 121. S. Shaheen, C. Brabec, T. Fromherz, F. Padinger, S. Sariciftci, and E. Gloetzl. Photovoltaic cell. US Patent 6 933 436, assigned to Konarka Austria Forschungs und Entwicklungs GmbH (AU), 23 August 23, 2005.
- 122. S. Lu, J. Niu, W. Li, J. Mao, and J. Jiang. "Photophysics and morphology investigation based on perylenetetracarboxylate/polymer photovoltaic devices." *Solar Energy Materials and Solar Cells*: vol. 91, no. 4, February 2007, pp. 261–265.
- 123. J. J. Halls and R. H. Friend. Photoresponsive devices. US Patent 6 872 970, assigned to Cambridge Display Technology Limited (Cambridge, GB), 29 March 2005.

- 124. S. Chul Kim, B. Vijaya Kumar Naidu, S.-K. Lee, W.-S. Shin, S.-H. Jin, S.-J. Jung, Y.-R. Cho, J.-M. Shim, J. Kook Lee, J. Wook Lee, J. Hyeon Kim, and Y.-S. Gal. "Synthesis and photovoltaic properties of novel PPV-derivatives tethered with spirobifluorene unit for polymer solar cells." *Solar Energy Materials and Solar Cells*: vol. 91, no. 6, March 2007, pp. 460–466.
- 125. S. Bertho, I. Haeldermans, A. Swinnen, W. Moons, T. Martens, L. Lutsen, D. Vanderzande, J. Manca, A. Senes, and A. Bonfiglio. "Influence of thermal ageing on the stability of polymer bulk heterojunction solar cells." *Solar Energy Materials and Solar Cells*: vol. 91, no. 5, March 2007, pp. 385–389.
- 126. H. Becker, H. Spreitzer, W. Kreuder, E. Kluge, H. Schenk, I. Parker, and Y. Cao. "Soluble PPVs with enhanced performance -a mechanistic approach." *Advanced Materials*: vol. 12, no. 1, 2000, pp. 42–48.
- 127. S.-P. Huang, J.-L. Liao, H.-E. Tseng, T.-H. Jen, J.-Y. Liou, and S.-A. Chen. "Enhanced photovoltaic cells efficiency via incorporation of high electron-deficient oxadiazole moieties on side chains of poly(phenylene vinylene)s and poly(fluorene)s." *Synthetic Metals*: vol. 156, nos. 14-15, July 2006, pp. 949–953.
- 128. D. A. M. Egbe, L. H. Nguyen, B. Carbonnier, D. Muhlbacher, and N. S. Sariciftci. "Thiophene-containing poly(arylene-ethynylene)-alt-poly(arylene-vinylene)s: Synthesis, characterisation and optical properties." *Polymer*: vol. 46, no. 23, November 2005, pp. 9585–9595.
- 129. J. H. Burroughes. Optoelectronic devices. US Patent 7 091 516, assigned to Cambridge Display Technology Limited (Cambridge, GB), 15 August 2006.
- 130. G. Dennler, C. Lungenschmied, H. Neugebauer, N. S. Sariciftci, M. Latreche, G. Czeremuszkin, and M. R. Wertheimer. "A new encapsulation solution for flexible organic solar cells." *Thin Solid Films*: vols. 511-512, July 2006, pp. 349–353.
- 131. W. Zhang, Z. Huang, E. Yan, C. Wang, Y. Xin, Q. Zhao, and Y. Tong. "Preparation of poly(phenylene vinylene) nanofibers by electrospinning." *Materials Science and Engineering A*: vol. 443, nos. 1-2, January 2007, pp. 292–295.
- 132. W. Zhang, E. Yan, Z. Huang, C. Wang, Y. Xin, Q. Zhao, and Y. Tong. "Preparation and study of PPV/PVA nanofibers via electrospinning PPV precursor alcohol solution." *European Polymer Journal*: vol. 43, no. 3, March 2007, pp. 802–807.
- 133. Q. Zhao, Z. Huang, C. Wang, Q. Zhao, H. Sun, and D. Wang. "Preparation of PVP/MEH-PPV composite polymer fibers by electrospinning and study of their photoelectronic character." *Materials Letters*: vol. 61, nos. 11-12, May 2007, pp. 2159–2163.

- 134. K. Kim, S. H. Lee, W. Yi, J. Kim, J. W. Choi, Y. Park, and J.-I. Jin. "Efficient field emission from highly aligned, graphitic nanotubes embedded with gold nanoparticles." *Advanced Materials*: vol. 15, 2003, pp. 1618–1622.
- 135. P. Pistor, V. Chu, D. M. F. Prazeres, and J. P. Conde. "pH sensitive photoconductor based on poly(para-phenylene-vinylene)." *Sensors and Actuators*: vol. 123, no. 1, April 2007, pp. 153–157.
- 136. L. O. Peres and J. Gruber. "The use of block copolymers containing PPV in gas sensors for electronic noses." *Materials Science and Engineering C*: vol. 27, no. 1, January 2007, pp. 67–69.
- 137. S. R. Mikkelsen. "Electrochemistry in bioanalysis." In: A. J. Bard, M. Stratmann, and G. S. Wilson, eds., *Bioelectrochemistry*, *volume 9 of Encyclopedia of Electrochemistry*. Weinheim: Wiley-VCH, 2002, pp. 309-340.
- 138. J.-G. Guan, Y.-Q. Miao, and Q.-J. Zhang. "Impedimetric biosensors." *Journal of Bioscience and Bioengineering*: vol. 97, no. 4, 2004, pp. 219–226.
- 139. P. Van Gerwen, W. Laureyn, W. Laureys, G. Huyberechts, M. Op De Beeck, K. Baert, J. Suls, W. Sansen, P. Jacobs, L. Hermans, and R. Mertens. "Nanoscaled interdigitated electrode arrays for biochemical sensors." *Sensors and Actuators B*: vol. 49, nos. 1-2, June 1998, pp. 73–80.
- 140. S. Laschi and M. Mascini. "Planar electrochemical sensors for biomedical applications." *Medical Engineering and Physics*: vol. 28, no. 10, December 2006, pp. 934–943.
- 141. P. Van Gerwen, K. Baert, and R. Rossau. Impedimetric detection system and method of production thereof. US Patent 6 440 662, assigned to Innogenetics N.V. (Ghent, BE), 27 August 2002.
- 142. J. K. Fink. Investigation of the curing behavior of unsaturated polyester resins. Vianova Resins AG, 1989.
- 143. P. Cooreman, R. Thoelen, J. Manca, M. van de Ven, V. Vermeeren, L. Michiels, M. Ameloot, and P. Wagner. "Impedimetric immunosensors based on the conjugated polymer PPV." *Biosens. Bioelectron.*: vol. 20, no. 10, April 2005, pp. 2151–2156.

بوليميرات (إيثر الفينيلين)

حوالى عام 1956، جرى اكتشاف أنّ التقارن المؤكسد لمركّبات الفينول المُستبدل فيها الموقعين 6.2 يؤدّي إلى الحصول على منتجات ذات وزن جزيئي عال 2.1. لقد جرى تسويق بوليمير پولي (إيثر الفينيلين) (PPE) المعروف أيضاً باسم پولي (أوكسيد الفينيلين) عام 1964 من قبل شركة جنرال إلكتريك (General Electric) وشركة أكزو (AKZO)، وأخيراً من قبّل عدد من الشركات الأخرى. من الجدير بالملاحظة، أنّ التقارن المؤكسد لمركّبات الفينول يؤدّي دوراً في التفاعلات الحيويّة، كتكوين اللينين والملانين 5.

1.4. المونوميرات

إنّ المونوميرات المفضلة في حالة بوليمير PPE مبيّنة في الجدول (4-1)، وفي الشكل (4-1). تتأكسد مركّبات الألكيل فينول في الهواء. لذا ينبغي حفظها في جوّ من الآزوت لمنع تفاعلات الأكسدة. إنّ تفاعل التقارن المؤكسد لمركّبات الفينول المُستبدلة في الموقعين 6.2، هو تفاعل عامٍ 6.2. ولكن في حالة المستبدلات الضخمة يتكوّن فقط المنتج ذو التقارن C-C، أي ثُنائي فينوكينون. تتخفض قابلية الفينول للأكسدة بوجود مستبدلات الكيليّة وتتزايد بوجود مستبدلات ساحبة للإلكترونات.

الجدول (4-1): المونوميرات في حالة پولي (إيثر الفينيلين)

ملاحظات	المو نو مير
القياسي	6،2-كزيلينول
	6،3،2-ثلاثي ميثيل فينول
مُوقِف السلسلة 7	6،4،2-ثلاثي ميثيل فينول
مُوقَف السلسلة 8	p-فينيل فينول
•	6:2- ثنائي فينيل فينول
الأنواع فائقة التشعُّب ⁹	4-برومو -4'4'' - ثنائي هيدروكسي ثلاثي فينيل ميثان
أنواع التصلّد الحراري أ 10	2- أليل -6- ميثثيل فينول

4- برومو -4 4. "- ثنائي هيدروكسي ثلاثي فينيل ميثان

الشكل (4-1): مونوميرات مستعملة في بولي (إيثر الفينيلين)

يُسمّى 6.2-ثنائي ميثيل فينول باسم 6.2-كزيلينول. تشمل الطرائق الصناعيّة التقليديّة لتحضير 6،2-ثنائي ميثيل فينول تفاعل الفينول مع الميثانول بوجود أوكسيد معدني محفّز. إنّ الناتج الثانوي الرئيسي لهذا التفاعل هو ٤٠٤٠٥-ثلاثي ميثيل فينول، الذي يجرى لاحقاً إزالة زمر الألكيل منه، للحصول على 6،2-ثنائي ميثيل فينول. تجري هذه الإجرائيّة وفق ما يلى:

- عمليّة إزالة زمر الألكيل بالبخار المحفّز بمحفّزات أوكسيد التوتياء 11.
- أو بعمليّة أكسدة انتقائية للحصول على بارا-هيدروكسي بنز ألدهيد، متبوعة . ^{13,12} (-CH=O) بعمليّة إز الة زمر الفورميل

لقد جرى اقتراح محفّزات على أساس متاڤانادات الأمونيوم NH_4VO_3 ونترات الحديد Fe(NO₃)₃×9H₂O ، بهدف الألكلة الانتقائية باستخدام الميثانول في الموقع أورثو -0 من الفينول 14. وفق هذه الإجرائيّة يجري تحقيق مردود قدره 64 في المئة من المنتج الخام 6.2-ثنائي ميثيل الفينول. وبهذه العمليّة تجري إعادة تدوير الفينول و ٥- كريزول بصفتهما مواد البدء. يمكن الحصول على 6،2-ثنائي ميثيل فينول من حلقي الهكزانون ¹⁵. التفاعل مبيّن في الشكل (4-2). تؤدّي عمليّة البلمرة المؤكسدة لمركّب 6،2-ثنائي ميثيل فينول إلى تكوين بوليمير بولي (6،2-ثنائي فينيل -1-4-أوكسيد الفينيلين)، وهو شبيه تامّ العطريّة لبوليمير PPE. يجري الحصول على 4-برومو -4،4″-ثنائي هيدروكسي ثلاثي فينيل ميثان من تفاعل پارا-برومو بنز ألدهيد مع مولين اثنين من الفينول 9.

2.4. البلمرة والتصنيع

هنالك ثلاث طرائق معروفة للبلمرة هي :

- التقارن المؤكسد.
- البلمرة الجذريّة.
- تفاعل أولمان (Ullmann).

لقد جرى استعراض الجوانب المختلفة للبلمرة المؤكسدة لمركبات الفينول استعراضاً شاملاً 2 . يجري إنتاج بوليمرات PPE الأكثر شيوعاً بالتكاثف الذاتي للفينول وحيد التكافؤ بوجود الأوكسجين ومحفّز معقّد معدن-أمين. يمكن لأيّ من المنغنيز أو النحاس أو الكوبالت أن يؤدي دور المعدن في المحفّز. ولكنّ استعمال شاردة $^{+}$ 0 هو الأكثر شيوعاً. فمثلاً يمكن تحضير المحفّز بتحريك بروميد النحاسي وثنائي $^{-}$ 1.

إلى جانب مركبات بروميد المعادن القلوية، يمكن استعمال أملاح الأمونيوم الرباعيّة، مثل كلور ميثيل ثلاثي -n-أوكتيل أمونيوم ¹⁷، بصفتها مركبات مُعززة. إنّ طبيعة البروميد المعدني ليست مهمّة على وجه الخصوص. ويمكن استعمال مركبات مُعززة أخرى مثل ثنائى فينيل غوانيدين بالاشتراك مع البروميد أو أملاح الأمونيوم الرباعيّة.

تجري البلمرة بالتقارن المؤكسد. إنّ الآليّة الأساسيّة مبيّنة في الشكل (4-3). عند درجات حرارة حوالى 100 درجة مئويّة وفوقها تتكوّن كميّات محسوسة من مركّب ثنائي فينوكينوني هو رباعي ميثيل ثنائي فينيل كينون (TMDQ). تجري العمليّة بوجود مذيب عضوي. المذيبات المفضلة هي المذيبات العطريّة مثل البنزين والتولوين والكزيلين و 0-ثنائي كلوروبنزين. ومع ذلك يُستعمل أيضاً كلِّ من رباعي كلور الميثان، وثلاثي كلور الميثان، وثلاثي كلور الإيثان، وثلاثي كلور الإيثان،

الشكل (4 - 2): اصطناع 6،2- ثنائي ميثيل فينول من الكزانون الحلقي مروراً بثلاثة إيزوميرات وسيطة 15

$$\begin{array}{c|c} CH_3 & CuCl \\ \hline \\ CH_3 & CH_3 \\ CH_3 \\ \hline \\ CH_3 & CH_3 \\$$

الشكل (4-3): التقارن المؤكسد لـ 6،2-ثنائي ميثيل فينول

تجري البلمرة بدرجة حرارة تزيد قليلاً على درجة حرارة الغرفة، من 35°C حتى حوالى 55°C، مع درجة حرارة أعلى قرب نهاية التفاعل. يجري إيقاف التفاعل بإزالة المحفّز من المزيج المتفاعل. ويضاف إلى المزيج المتفاعل بروميد معدن قلوي لاعضوي، أو بروميد معدن قلوي ترابي بصفته مُعزرّزاً.

يمكن إنتاج بولي(إيثر الفينيلين) ذي وزن جزيئي عال ولزوجة جوهريّة (IV) قدرها ومكن إنتاج بولي(إيثر الفينيلين) ذي وزن جزيئي عال ولزوجة جوهريّة (IV) قدرها 0.70 dl g⁻¹ المحفّز إمّا بالاستخلاص باستعمال حمض مائي، يزيل مركّبتيّ المحفّز الأمينيّة والشاردة المعدنيّة في آن معاً، أو بالمعالجة بعامل تعقيد (Chelating agent)، مثل الإيثيلين ثنائي الأمين رباعي حمض الخل 18.

يوضت الجدول (2-4) التأثير المُجمَل لأملاح رباعي ألكيل الأمونيوم وثنائي فينيل الغوانيدين على معدّل البلمرة. إنّ آليّة تحضير PPE المشتملة على إرجاع $^{+2}$ ثمّ استرجاعه لإعادة تكوين المحفّز معقّد $^{+}$ أمين، تمثّل آليّة صديقة للبيئة.

الجدول (2-4): معدّل البلمرة في حالة PPE مع مُعزّزات الجدول (2-4)

د مرور	اللزوجة الجوهريّة $[\mathrm{dl}\mathrm{g}^{-1}]$ بعد مرور		
120 دقيقة	90 دقيقة	60 دقيقة	
0.55	0.44	0.25	0.00
0.12	b	b	1.20
0.72	0.58	0.27	0.16
0.67	0.52	0.27	0.08
0.68	0.51	0.26	0.04
0.62	0.51	0.29	0.02
b	b	b	2.00

تركيز كزيلنول يساوي 17 في المئة عند 30°C.

النسبة الجزيئية

(12:2:1:200) = (ثنائي بوتيل أمين) Na Br : Cu Cl₂: كزيلنول

يزيد استعمال محفّرات نحاسية من معدّل استعمال الأوكسجين في المراحل المبكّرة من تفاعل البلمرة. وانخفاض تركيز الأوكسجين في الحيِّز الرأسي من المُفاعل يساعد في تخفيض خطر وقوع حريق أو انفجار في المُفاعل. كما إنّ تفاعل البدء الأكثر سرعة مع المحفّر النحاسي يؤدّي أيضاً إلى انخفاض كميّة المونومير غير المتفاعل، وكميّة QTMDQ

[&]quot; مو لات لكل مول من ملح النحاس، كلور ميثيل ثلاثي -n-أوكتيل أمونيوم.

b لا يوجد بوليمير.

المتولّدة. في بعض الحالات، وتحديداً عند تحميل الوظائف، يكون تكوّن TMDQ مرغوباً. ولقد جرى تطوير محفّزات قابلة للانحلال في الماء بهدف تقنيات البلمرة في محاليل مائيّة 19. هذا الموضوع مفصل في المقطع 8.4.

يمكن التحكّم بالوزن الجزيئي بإضافة موقفات السلسلة. عموماً، تُخفِّض الفينولات المستبدلة في الموقع پارا، التي غالباً ما تكون موجودة كشوائب، الوزن الجزيئي. يعمل حمض 4،4′-بيس -(4-هيدروكسي -5،5-ثنائي ميثيل فينيل) بنتانويك بهذه الطريقة. وكذلك فإنّ ميثيل فينول يعمل أيضاً مُوقِفاً للسلسلة 7. وبالمقابل فإنّ موقعاً حرّاً أورثو يسعى إلى تفاعلات تشعيب.

أثناء عمليّة التقارن المؤكسد يمكن للمحفّز الأميني أن يصبح، على نحو متكرّر، مرتبطاً كيميائياً بيولي (إيثر الفينيلين). تؤثّر زمر الأمينو هذه تأثيراً سلبيّاً في مقاومة الصدم في البوليمير النهائي 20. يمكن تحسين التركيبة من جهة مقاومة الصدم، بإزالة أو تعطيل نسبة مهمّة من مركبات الأمينو. تسمّى البوليميرات المعالجة بهذه الطريقة أحيّاناً باسم بوليميرات PPE المعطّلة.

4.0.2.4. يولى (إيثر الفينيلين) الفائق التشعب

يمكن تحضير بوليميرات PPE فائقة التشعب ذات زمر فينولية نهائية من 4-برومو -4'4"-ثنائي هيدروكسي ثلاثي فينيل ميثان باستعمال نفاعل أولمان معدّل 9. تجري معالجة المونومير بكربونات البوتاسيوم أو هيدروكسيد الصوديوم بصفته أساساً. يُستعمل كلوريد النحاس محفّزاً في محلول لا بروتوني، وتحديداً، ثنائي ميثيل سُلفوكسيد أو سُلفولان. تتراوح درجات التشعب بين 48 في المئة و 71 في المئة. ويمكن بسهولة تعديل زمر الفينول النهائية.

باستعمال ثلاثي فينيل فوسفين وثنائي إپزوبروبيل آزو ثنائي كربوكسيلات يمكن تعليق زمر إيثر نهائية متنوعة مثل زمر ميثوكسي مع ميثانول، وزمر 2-ميثوكسي إيثوكسي نهائية مع إيثيلين غليكول وحيد ميثيل إيثر، وغيرها.

تجد البوليميرات الفائقة التشعّب تطبيقاتها في الريولوجيا كمُعدِّلات، وإضافات للمعالجة، وطلاءات وذلك بصفتها مواد مُجمَلة، أمّا بصفتها مواد حاملة للوظائف فنجد لها تطبيقات كمحفّزات وكمُحسّات 21.

1.2.4. بوليمير پولى(إيثر الفينيلين) الحامل للوظائف

يفيد تحميل الوظائف في تحسين توافق PPE مع غيره من البوليميرات، وفي ربط زمر فاعلة بالسلسلة الرئيسة. يمكن إنجاز تحميل الوظائف بطرائق متنوّعة، وتحديداً:

- 1. تفاعلات إعادة التوزيع،
- 2. المعالجة بمركبات البيروكسيد،
 - 3. المعالجة بمركبات القينيل،
- 4. المعالجة بعامل تغطية (Capping agent)،
 - 5. تحميل الوظائف للصهارة في باثق.

المركبات المستعملة بهدف التوافقيّة ملخّصة في الجدول (4-3).

1.1.2.4. إعادة التوزيع باستعمال الفينول

يتمثّل أحد العوائق، في وجه مزج PPE براتنجات أخرى، في الافتقار إلى التوافقيّة بين الراتنجات. يتجلّى هذا الافتقار إلى التوافقيّة، بالميل إلى انفصال الصفيحات، أو بخواص فيزيائيّة رديئة مثل ضعف الليونة.

تتمثّل إحدى الطرائق المفيدة لتحسين التوافقيّة بين الراتنجات بإدخال مونوميرات مشتركة مناسبة في السلسلة. وتتمثّل طريقة أخرى بتعديل الزمر النهائيّة في البوليمير. يمكن الحصول على راتنجات بولي (إيثر الفينيلين) الحاملة للوظائف بتفاعل إعادة توزيع مع مركّب فينولي حامل للوظائف وذلك في تفاعل البلمرة 27. في تفاعل إعادة التوزيع لـــ PPE من مركبات الفينول، يتفرّق PPE إلى سلاسل أقصر حيث المركب الفينولي متضمّن في الــ PPE.

لبدء تفاعل إعادة التوزيع، تجري إضافة TMDQ أو ثنائي فينيل كينون. يُصنع TMDQ من 6.2-ثنائي ميثيل فينول بتقارن مؤكسد. يسمّى TMDQ أيضاً باسم الديمير الخلفي. ولكن من المفضل توليده في المكان أثناء عمليّة التقارن المؤكسد. لهذا السبب يجري اختيار شروط التفاعل المواتية لتكوين TMDQ. عند رفع مستوى المونوميرات في المراحل الأولى من الأكسدة، تُنتَج مستويات أعلى من TMDQ. إضافة إلى ذلك، فإنّ بطء

تفاعل البدء بوجود محفّز نحاسي يؤدّي إلى زيادة تراكم المونوميرات غير المتفاعلة، ومن ثُمّ إلى زيادة كميّة TMDQ.

الجدول (4-3): مركبات مستعملة بهدف التوافقية

المر اجع	المركّب
22	أنهيدريد المالييك
22	حمض الفوماريك
22	أنهيدريد السيتر اكونيك
23	أنهيدريد الميتاكريليك
24	إبيكلور و هيدرين
24	إبيبر ومو هيدرين
24	غليسيديل توسيلات
25	إبوكسي كلورو تريازين
25	كلوريد البنزويل
26	كلوريد حمض أنهيدريد ثلاثي المِليتيك
· · · · · · · · · · · · · · · · · · ·	· · · · · · · · · · · · · · · · · · ·

يجري تفاعل إعادة التوزيع بدرجة حرارة ترتفع حتّى $^{\circ}$ C. بهذا الأسلوب يجري يجري تفاعل إعادة التوزيع بدرجة حرارة ترتفع حتّى $^{\circ}$ C. بهذا الأسلوب يجري الحصول على راتنجات ذات وزن جزيئي منخفض، ولزوجة جوهريّة بين $^{-1}$ C. وإذا لم تجر إضافة مركّب فينولي حامل للوظائف في مرحلة إعادة التوزيع، يجري تضمين TMDQ في البوليمير PPE، وهذا ما يقود إلى بوليمير PPE ذي محتوى هيدروكسيلي عال.

2.1.2.4. المعالجة باستعمال مركبات القينيل

يمكن تحضير بوليمير PPE حامل للوظائف، بترك PPE يتفاعل مع أنواع تحتوي على كلً من رابطة C=C، وكسرة فعّالة مثل هيدروكسيل أو حمض أو أنهيدريد أو أمين، أو إيميد، أو إبوكسي أو غيرها. تشمل الأمثلة على أنواع الحمض أو الأنهيدريد كلاً من أنهيدريد المالييك وحمض الفوماريك وأنهيدريد السيتراكونيك 22 .

لمزج PPE بأنظمة راتنجية تنطوي على تفاعلات إنضاج أو بلمرة، تشمل تفاعلات جذرية، من المفضل العمل على بوليمير PPE يحتوي على عدم إشباع أليفاتي متبقي، وزمر نهائية فينولية مغطّاة في آن معاً. وبهدف تحقيق توزيع مُناسب في حاضنة أخرى يجب أن تكون لزوجة نوع PPE هذا منخفضة.

يمكن إدخال الكِسَر غير المُشبعة بتفاعل زمر الهيدروكسيل في PPE مع أنهيدريد الميتاكريليك. يُجرى التفاعل في محلول تولوين. ويستعمل 4-ثنائي ميثيل أمين بصفته مُحفّزاً ²³. يبيّن الشكل (4-4) تفاعل التغطية.

يحدث تكون الإستر بين زمرة نهائية فينولية من PPE وزمرة كربوكسيلية من أنهيدريد الميتاكريليك. ويمكن بيسر تحقيق تغطية عالية الكفاءة بالنسبة إلى عدم الإشباع الأليفاتي. بدلاً من التولوين يمكن إجراء تفاعل التغطية في مونومير ستيرني. ويمكن استعمال المزيج في تصلّد حراري لاحق. وعندما لا تكون هناك حاجة إلى عزل بوليمر PPE المغطّى بمعالجة لاحقة، يُلاحظ نقصان في اللون 32.

3.1.2.4. طرائق أخرى لتحميل الوظائف

يمكن تحضير PPE الحامل للوظائف بواسطة عامل أكسدة، مثل ثنائي بنزويل بيروكسيد، أو بواسطة مزيج من البيروكسيد والفينول مثل بيسفينول A²²A. تشبه هذه العمليّة عمليّة إعادة التوزيع.

يمكن بيسر تحضير PPE بنهايات مغطّاة بالبنزوات بالسماح لزمر الهيدروكسيل الطرفيّة في PPE أن تتفاعل مع كلور البنزويل في الكلوروفورم 25. ويمكن إدخال زمر أنهيدريد ثلاثي المليتيك بالتفاعل مع كلوريد حمض أنهيدريد ثلاثي المليتيك 26. يُستعمل هذا العامل المحرّض لتحقيق توافقيّة PPE مع بوليمير بولي (أميد) (PA). ولقد جرى اقتراح عدّة كلوريدات أسيلية (حمضية) لتحميل PPE بالوظائف 33.

الشكل (4-4): تفاعل التغطية ليولى (إيثر الفينيلين) مع أنهيدريد الميتاكريليك.

يُعتبر PPE مادّة خصبة لإجراء تعديلات كيميائية على سلسلتها الرئيسة، إمّا على حلقة الفينيل أو على زمرة الميثيل. يمكن تعديل السلسلة الرئيسة لــ PPE بطرائق متتوّعة. الأكثر شيوعاً هي إدخال زمر حمض السُلفونيك، الذي يمكن أن يُجرى بواسطة حمض الكلوروسُلفونيك. يبيّن الجدول (4-4) طرائق أخرى لتعديل السلسلة الرئيسة. تُستعمل هذه الطرائق أساساً في تحضير أغشيّة وستُناقش في هذا المقطع بعينه. يقود التعديل بالبَروْمَة متبوعاً بالألكاينيلية إلى بوليميرات تحتوي ألكاينات مُستبدلة على الحلقة العطريّة 29.

2.2.4. البوليميرات المشتركة

يمكن أن يُستعمل PPE ذو الوزن الجزيئي المنخفض، المُحمّل بالوظائف من زمر الميتاكريليك بصفته مونوميراً ضخماً (Macromonomer) ذا زمرة فينيل متدلّية 34. يمكن لسلاسل PPE أن تمتلك نهايتين مغطاتين توفّران موقعي تفاعل لتكوّن تشبيك تصالبي. كما إنّ المزائج من PPE وحيد الغطاء مع سلاسل PPE تحمل نهايتين مغطّاتين أو أكثر مفيدة أيضاً. تمكن بلمرة PPE، المتمتّع بمثل هذه النهايات المغطاة، بلمرة مشتركة مع مونوميرات الستيرين والأكريلونيتريل. ولقد جرى تبيان أنّ البلمرة بالمعلّقات هي تقنيّة بلمرة مناسبة.

الجدول (4-4): تعديل السلسلة الرئيسة والسطح في بولي (إيثرالفينيلين)

العامل المحرّض	الطريقة
حمض الكلور وسُلفونيك	السلفنة
اپثر مینثیل کلورومینثیل ²⁸	المَثْيَلة الكلورية
عو امل محرّضة متنوّعة ²⁹	البَرْوَمَة ثُمّ الألكاينيلية
	زرع السطح
أنزيمات متنوّعة ²⁴	التثبيت الأنزيمي
ثلاثى ميثيل كلوروسيلان ³⁰	السيللة
31	النَّتْر تة\الأَمْينة
میثانول، اپثر اپثیلین غلیکول أحادي میثیل ⁹	الإيثرة

بوجود نهاية مغطّاة واحدة، جرت مُكاملة PPE مع وحدات الستيرين والأكريلونيتريل لتكوين بنية على هيئة مشط تكوّن قطع PPE أسنان المشط فيها. بدون النهايات المغطّاة، تسعى زمر الهيدروكسيل على سلاسل PPE إلى تثبيط تفاعل مونوميرات الستيرين. يمكن أن نتوقّع أن يزداد التشبيك مع PPE المحمّل بوظائف مُتعددة. تكون عادة كميّة PPE ذي النهايات المغطاة المُدخلّة في التفاعل حوالي 10 في المئة إلى 15 في المئة.

تزداد درجات حرارة الانتقال الزجاجي للبوليميرات المشتركة بازدياد مستويات PPE، وتتراوح من 144°C إلى 170°C. تتمتّع البوليميرات المشتركة بميّزة كونها قابلة للانحلال في الراتنجات الستيرينيّة مثل البوليمير المشترك ستيرين أكريلونيتريل، فينتج من ذلك تركيبة تحتفظ بالخواص الإيجابيّة لـ PPE، وخصوصاً تبطيء ظهور اللهب، ودرجة حرارة انتقال زجاجي مرتفعة نسبياً.

3.2.4. المزائج

يصعب التعامل مع بوليمير PPE الخالص بالبثق أو القولبة بالحقن. إذ تبقى اللزوجة مرتفعة حتّى عند درجات حرارة 300°C إلى 350°C. ويجب اتخاذ احتياطات خاصتة للإقلال من تفاعلات الأكسدة. يمكن حلّ هذه المعضلة المتأصلة بمزج البوليمير مع بوليميرات أخرى. يبيّن الجدول (4-5) المزائج الموصوفة في الأدبيات بعينها.

الجدول (4-5): المزائج التي تحوي بولي (إيثر الفينيلين)

, , , , ,	
المراجع	المركّب
36,35	پولي(ستيرين)
37	پولي(أميد)
38	پولي (سلفيد الفينيلين)
26	پولي(إثيلين)
36	سيليكون
39	پولي(ستيرين) (PS) المُبَرُوْم

1.3.2.4. المزائج القابلة للامتزاج

تمكن دراسة قابليّة الامتزاج بتقنيات متنوّعة، مثل قياس كميّة الحرارة بالمسح التفاضلي، والاستعانة بالمجهر الإلكتروني، والتحليل الحراري الميكانيكي، وقياس اللزوجة. يُظهر المزيج القابل للامتزاج درجة حرارة انتقال زجاجي منفردة. إنّ تقنية قياس اللزوجة تقنيّة فعالة وسريعة وزهيدة الثمن لتوضيح المفاعيل المتبادلة بوليمير ابوليمير.

إنّ مزائج PPE مع پولي (ستيرين) PS هي مزائج متجانسة. يخفض المزج درجة حرارة التصنيع. ويعدّ نوريل ®Noryl أحد هذه المزائج وقد قُدّم عام 1966. يمتزج PPE مع پولي (ستيرين) المُبَرُومَ بنسبة PPE تفوق 75 في المئة 39.

يخفّض كلّ من البولي (ستيرين) وراتنجات البوليميرات اللأليفاتية الحلقية المشبعة، وفينول التربين اللزوجة، ويعطي انسيابيّة عالية للتركيبة الناتجة. لهذا السبب تسمّى هذه البوليميرات المُضافة في بعض الأحيان مُعزّزات الانسياب أو التدفّق. لهذه المواد بعض الآثار السلبيّة، فهي تسبب انخفاض درجة حرارة الانحراف الحراري للمُنتَج الآثار السلبيّة، فهي تسبب انخفاض درجة حرارة الانحراف الحراري للمُنتَج (Heat deflection temperature) وتزيد قابليّته للاشتعال. ولقد جرى وصف تركيبات راتنجيّة عالية الدفق من بولي (إيثر الفينيلين) 40. تمتاز البوليميرات الشجريّة التشعّب المؤسسة على قاعدة البولي إسترات مع مركبات متعددة وظائف الهيدروكسي بكونها فعّالة بكميّات أقلّ بالمقارنة مع مُحسّنات الانسياب الشائعة 41. إضافة إلى ذلك، فلقد جرى عرض مزائج غير متجانسة من PPE مع PPC.

2.3.2.4 التوافقيّة

يمكن تحقيق تحسين في التوافق بين PPE وغيره من المركبات في مزيج بالمعالجة بأنهيدريد المالييك، أو حمض الفوماريك، أو N-فينيل مالإيميد وغيرها من المركبات.

لقد جرى بثق مزائج من PPE و PS أو البوليميرات المشتركة التعاقبية: ستيرين بوتاديين ستيرين، مع أنهدريد مالييك من حمض الفوماريك للحصول على مزائج متوافقة 35. وبالمثل، يمكن بثق PPE ذي زمر غليسيديل متدليّة مع بوليمير پولي (أوليفين) بزمر أنهيدريد، بثقاً مشتركاً 25. ويمكن زرع PPE على بوليمير پولي (إيثيلين) بعجن صهارة كلا البوليميرين المعدّلين بوجود رابط مثل ثنائي أمين الفينيلين. كلا البوليميرين معدّلٌ بأنهيدريد المالييك. ويجري الزرع مكانياً. يمكن للأمينات أن تعزز تَحسُّنَ بعض الخواص الفيزيائيّة، عند استعمالها إلى جانب موافقات متنوعة 26.

إنّ البوليميرات المشتركة العشوائيّة من الإثيلين/حمض الأكريليك مناسبة للزرع 25. ويعتبر أسيتات المغنزيوم رباعي هيدرات محفّزاً يفيد في تحفيز تفاعلات الأسترة بين زمر OOH النهائيّة في PPE وزمر COOH من كسارة حمض الأكريليك المتدليّة.

إذا جرى تحميل PPE بالوظائف من أنهيدريد المالييك، باستعمال مبخّر خاص لأنهيدريد المالييك، بحيث تجري التغذية بأنهيدريد المالييك في الحالة الغازيّة وتحت شروط خاملة، حصلنا على مواد ذات درجات لونيّة مُحسّنة 42.

4.2.4. راتنجات التصلّد الحرارى

إنّ تركيبات راتنجات التصلّد الحراري القابلة للإنضاج والمحتوية على PPE مفيدة في التطبيقات الكهربائية لأنها تتمتّع بثوابت عزل كهربائية صغيرة. تستعمل مثل هذه التركيبات بصفتها أليافاً مركّبة مقوّاة سابقة التشريب، كالصفائح المغلّفة بالنحاس المناسبة للوحات الدارات المطبوعة (PCB).

يستعمل PPE محمّل بالوظائف حتّى يؤدّي دوراً في تفاعل التصلّد الحراري. الجزء القابل للإنضاج هو راتنج إبوكسيديّ. ويفضّل في حالة لوحات الدارات المطبوعة، استعمال تركيبة مبطّئة للهب، مثل راتنج إبوكسي على أساس بيس فينول A ثنائي غليسيديل إيثر رباعي برومو بيس فينول A 22,43 A.

يمكن في مرحلة أولى ربط زمر غليسيديل إلى PPE، بزيادة كميّة زمر الهيدروكسيل المتدليّة، بتفاعل إعادة توزيع مثلاً. ثُمّ يسمح في مرحلة ثانية لزمر الهيدروكسيل هذه بالتفاعل مع إبيكلور هيدرين ²⁴. ولقد جرى الادعاء بأنّ الإبيبرومو هيدرين و توسيلات الغليسيديل هما أيضاً مفيدان كمواد متفاعلة.

يمكن استعمال PPE الحامل للوظائف بصفته راتنج تصلّد حراري، بالاشتراك مع راتنجات إبوكسي في الطلاءات المسحوقيّة (Powder coatings) 7. كما تمثّل راتنجات إحكام إغلاق الأجزاء الكهربائيّة حقلاً آخر من التطبيقات 44.

لقد تم وصف نوع آخر من التصلّد الحراري جرى فيه حلّ راتنجات الــ PPE في راتنجات إبوكسي. هناك تشكيلة من البوليميرات يمكن حلّها في راتنجات إبوكسي 45. لتسهيل إمكانيّة معالجة PPE، يجري حلّه في راتنج إبوكسي بصفته مُعيناً على المعالجة. بعد المعالجة بالعجن يجري إنضاج راتنج الإبوكسي. بعكس المقاربات الأخرى التي يؤدي فيها البوليمير المتلدّن حرارياً دور مُقسِّ لحاضنة الإبوكسي، يمكن ضبط كميّة راتنج الإبوكسي المضافة ليكوّن بوليمير PPE الطور المستمرّة في الحالة النهائيّة.

تعطي البلمرة المؤكسدة لــ 2-أليل-6-ميثيل فينول مع $6\cdot2$ -ثنائي ميثيل فينول بوليميرات تصلّد حراري قادرة على الإنضاج الحراري. تعطي البلمرة المشتركة بوليميرات مشتركة ذات أوزان جزيئية مرتفعة مع متوسط عددي M_n حوالى M_n/M_n والى M_n/M_n والى M_n/M_n والى M_n/M_n والى M_n/M_n والى مكن تحقيق تشبيك تصالبي للبوليميرات الطليعيّة بالمعالجة الحراريّة واختياريّاً مع $5\cdot2$ -ثنائي ميثيل $5\cdot2$ -ثنائي (ترت-بوتيل بيروكسي) -3-بوتان 0. من المتوقّع أن تكون هذه المواد مفيدة في تطبيقات لوحات الدارات المطبوعة للسرعات والتواترات العالية.

5.2.4. أنماط أخرى متعلقة بما سبق

يمكن الحصول على پولي (6،2-ثنائي فينيل -4،1-فينيلين أوكسيد) (P3O) من بلمرة مدين الحصول على پولي (6،2-ثنائي ميثيل فينول فإنّ كمون أكسدة 6.2-ثنائي فينول أعلى. ويلزم للبلمرة درجات حرارة أعلى 2.

إنّ درجة حرارة الانتقال الزجاجي لبوليمير P3O هي $^{\circ}$ C ودرجة انصهاره هي $^{\circ}$ C وبعكس PPE فهو يتبلور بيسر من الصهارة 47 . كما يُبدي استقراراً حراريّاً ممتازاً في الهواء أو تحت جو من الآزوت.

نظراً إلى ارتفاع درجة انصهاره، فإنه من غير الممكن معالجة P3O بتقنيّات القولبة بالحقن أو البثق. ولكن يمكن تصنيع أغشية P3O بتقنيّات صب المحاليل، أو ألياف P3O بتقنيات الغزل الرطب. تصبح هذه المواد عند التوجيه أو المعالجة الحراريّة غير قابلة للنحلال.

الجدول (4-6): خواص بوليمير پولي(إيثر الفينيلين) الصرف 46

المقياس	الواحدة	القيمة	الخاصة
	g cm ⁻³	1.06	الكثافة
ASTM D638	GPa	2.7	مُعامل الشد
ASTM D638	%	40 - 20	استطالة الشد عند الانهيار
ASTM D790	MPa	114	مقاومة الانحناء
	°C	205	درجة حرارة الانتقال الزجاجي
	°C	267	درجة حرارة الانصهار

3.4. الخواص

يتراوح المتوسط العددي للوزن الجزيئي لبوليمر PPE عموماً بين 3000 و 40000 دالتون. وهو أساساً بوليمير لا متبلور عند تبريده من الصهارة. ويقبل الانحلال في الكلوروفورم، والبنزين والتولوين. يبين الجدول (4-6) بعض خواص PPE الصرف. ولكن غالباً ما يُستعمل PPE في مزيج لأجل التمكن من معالجته. يسرد الجدول (4-7) خصائص مزيج PPE/PS.

1.3.4. الخواص الميكانيكية

تُظهر الأجزاء المقولبة استقراراً جيّداً في أبعادها. ينشأ ذلك من الصغر النسبي لثابت التمدّد الحراري. يبيّن الجدول (4-7) غير ذلك من الخصائص الميكانيكيّة لـ PPE القابل للقولبة.

الجدول (4-7): خواص مزيج لپولي(إيثر الفينيلين) الجدول 48a

	, ,		
المقياس	الو احدة	القيمة	الخاصة
ASTM D792	g cm ⁻³	1.06	الكثافة
ASTM D1238	g/10 min	9.2	معدّل الانسياب الكتاي للصهارة ^b
ASTM D955	cm/ cm	7×10^{-3}	$^{ m c}$ تقلّص القالب، الانسياب الخطي
ASTM D570	%	0.06	امتصاص الماء، 24 ساعة
ASTM D638	GPa	2.86	مُعامل الشد
ASTM D638	MPa	49.6	مقاومة الشد عند الانهيار
ASTM D638	%	7.2	استطالة الشد عند الخضوع
ASTM D638	%	28	استطالة الشد عند الانهيار
ASTM D790	MPa	90.0	مقاومة الانحناء
ASTM D256	Jm^{-1}	214	صدم آيزود المثلوم (23°C)
ASTM D150		2.56	ثابت العزل الكهربائي (60Hz)
ASTM D2863	%	22	دليل الأوكسجين

a نوريل Noryl®731، جنرال إلكتريك

2.3.4. الخواص الحرارية

نحتاج إلى درجات حرارة مرتفعة عند المعالجة وذلك بسبب ارتفاع درجة حرارة الانتقال الزجاجي لـ PPE النقي تساوي $T_{\rm g}$ الانتقال الزجاجي لـ PPE النقي تساوي $T_{\rm g}$ المسألة الحاسمة هي في تجاوز التحلّل المؤكسد أثناء عمليّة الصهر. لذلك تستعمل مزائج PPE، وبالتفضيل مع PS.

لقد اكتُشِف أنّه في مزائج مكوّنة من PPE و PPE و المديوتاكتي، فإنّ بوليمير المولي يُسبب فقدان بوليمير البولي (ستيرين) لبعض من استقراره في منطقة التدهور الحراري يُسبب فقدان بوليمير البولي (Thermal degradation) 49. تشير المطيافيّة تحت الحمراء إلى أنّ PPE يمرّ بإعادة ترتيب يجري فيها كسر رابطة الإيثر ويُعاد تكوين السلسلة بزمرة الميثيل، وذلك قبل ظهور فقدان الكتلة.

^{(289°}C/5.0kg) b

^{3.18} mm ^c

ولأنّ درجات حرارة التدهور الحراري للپولي (ستيرين) السينديوتاكتي هي في المجال نفسه الذي تقع فيه إعادة الترتيب هذه، فمن المعقول أن يتدخّل الپولي (ستيرين) السينديوتاكتي في عمليّة إعادة ترتيب PPE بعمليّة إنهاء تصالبي، وهكذا تجري إعاقة عمليّة إعادة الترتيب، وينخفض استقرار المزيج.

3.3.4. الخواص الكهربائية

يُبدي PPE قوّة عزل كهربائي (Dielectric strength) مرتفعة. لذلك يمكن استعماله كهرطيساً (Electret) بوليميرياً 50. كما يُظهِر PPE الخالص سلوكاً ممتازاً في تخزين الشحنات، وهو أفضل في ذلك من البولي (بروبيلين) والبولي (إيثر إيميد).

4.4. الإضافات الخاصة

1.4.4. معدّلات الصدم

كما ذكرنا بتوستع فإن PPE لا يُستعمل بشكل أساسي كما هو، بل في مزائج بوليميرية وفي بوليميرات مشتركة لتسهيل عمليّة التصنيع. ولكنّ بعض هذه البوليميرات المشتركة يؤدّي أيضاً دور معدّل للصدم، مثل البوليميرات المشتركة التعاقبية من الستيرين والإثيلين، والبوتيلين والبروبيلين 51. وبالطبع، يمكن تحسين الصدم باستعمال البولي (ستيرين) عالي الصدم (HIPS) عوضاً عن البولي (ستيرين) العادي في المزائج. تشمل معدّلات الصدم الأخرى المواد المطّاطيّة مثل البولي (أوكتينيلين) ومطاط المونومير إثيلين بروبيلين دين 52.

2.4.4. الألياف

لقد جرت محاولات عدّة لزيادة صلابة تركيبات قولبة PPE وذلك بخلط ألياف مقويّة مكوّنة من موادّ عضويّة أو لاعضويّة في الراتنج. حتّى إننا نجد عام 1974، اقتراحاً لاستعمال الألياف الزجاجيّة موادّ مقويّة 54,53. ولتحسين التصاق بين الألياف والحاضنة في التركيبة، فقد جرت الإشارة إلى ألياف غير موحّدة الأبعاد مع مركّبات سيلوكسان

تحتوي على روابط Si-H. تفيد معالجة الألياف بالثينيل سيلان أو γ -غليسيدوكسي بروبيل-ثلاثي ميثوكسي سيلان في تحسين الالتصاق 56 .

هناك طريقة أخرى مستعملة لتعديل سطح الألياف المقوية، تعتمد على المعالجة بمركبات الأمينو ألكيل سيلان، مثل γ -أمينو بروبيل ثلاثي إيثوكسي سيلان. ولقد أُدمجت الألياف الزجاجيّة التي جرت معالجتها بهذه الطريقة في العديد من التركيبات المحتوية على PPE. إضافة إلى ذلك، فإنّه دوماً من الضروري تعديل تركيب الحاضنة المتلدنة حراريّاً لربط الألياف بالحاضنة. وغير الألياف الزجاجيّة، فقد استُعملت للتقوية ألياف الكربون، مثل ألياف الكربون المطليّة براتنج إبوكسي 57.

3.4.4. مُبطَّئات اللهب

إنّ تركيبات PPE و PPE ليست بشكل طبيعي مبطّئة للّهب. هناك حالات نرغب فيها بإعطاء درجة من تبطيء اللهب للتركيبة حتّى تكون المواد المقولبة أقدر على مقاومة الاحتراق أو الانصهار عند تعرّضها لدرجات حرارة عالية، أو توضع إلى جانب اللهب. في الأصل، لقد جرى تفضيل مبطئات اللهب الهالوجينيّة على تلك المؤسسة على الفوسفات، لأنّ الأولى تُظهر تصدّعاً أقلّ عند الإجهاد. لقد تغيّر الأمر الآن لأنّ الهالوجينات قد أوقفت. ومع ذلك فهناك تحريات جارية حول مبطّئات اللهب الحاوية على الهالوجينات، لذلك سنناقش آخر ما جرى التوصيّل إليه في مجال مبطّئات اللهب الحاوية على على الهالوجينات قبل الانتقال إلى مبطّئات اللهب على قاعدة الفوسفور.

يُركّب البولي (ستيرين) المُبَرُومَ مع ثالث أوكسيد الأنتيموان بصفته مبطّناً للهب⁵⁸. إضافة إلى ذلك جرى أيضاً استعمال البولي (إيثر الفينيلين) المُبَرُومَ. غير ذلك من مبطّنات اللهب نجد رباعي برومو حلقي الأوكتان، أو رباعي برومو فينيل حلقي الهكسين، أو بيس- (أليل إيثر) رباعي برومو بيس فينول A. في حالة مبطّئ اللهب الأخير تجري إضافة ثنائي كيوميل بيروكسيد بصفته مؤازراً ⁵⁹ وتُستعمل الإضافات مع عوامل نفخ.

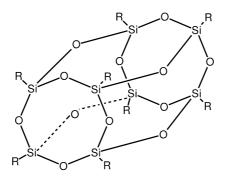
يمكن دمج زمر الهالوجين مباشرة في السلسلة الرئيسة لــ PPE. بالنتيجة، فقد جرى تكاثف مركّبات ثلاثي برومو فينول للحصول أوكسيد بوليفينيلين المُبَرُوم 60. من الواضح أنّ آليّة تكون البوليمير مختلفة عن آليّة التقارن المؤكسد. تجري عمليّة التكاثف بوجود

هيدروكسيد الصوديوم بدرجة حرارة أخفض من درجة حرارة الغرفة عند البدء. بعد التكاثف يكون من الضروري إجراء معالجة إزالة اللون، ويستعمل الهيدرازين لهذه الغاية.

لقد عُزيَت مشاكل التآكل في القولبة إلى مُبطّئات اللهب على قاعدة PPE المُبرَوْم عند إجراء المعالجة بدرجة حرارة مرتفعة. وأكثر من ذلك، يمكن أن يكون لهذه المبطّئات تأثيراً سلبياً في الدرجة اللونيّة وفي الاستقرار الحراري للمقولبات.

تُظهر مبطّنات اللهب المبنيّة على قاعدة الفوسفور بعض العيوب. إذ يجب إضافة بعضها بكميّات كبيرة لتحقيق درجة تبطيء اللهب المطلوبة، ولكن عندئذ تظهر بعض الآثار الجانبيّة غير المرغوبة. فمثلاً، يُلدّن ثنائي فوسفات الريزورسينول التركيبة، ويقلّل بشكل ملموس درجة حرارة الانحراف الحراري للتشكيلة 61. تشمل الأمثلة على مبطّئات اللهب المبنيّة على قاعدة الفوسفور في حالة PPE ما يلي : ثنائي فوسفات الريزورسينول، وبيس فينول A ثنائي الفوسفات، رباعي كزيليل بيبرازين ثنائي فوسفور أميد، وغيرها. تُظهر الإضافات من الصلصال العضوي مفعولاً تآزريّاً مع الفوسفات فيما يتعلق بتبطيء اللهب. لهذا السبب، يمكن إنقاص كميّة مبطّئ اللهب الفوسفاتي العضوي، ولكنه يبقى في المجال بين 5 في المئة و 30 في المئة.

يتأثّر مدى تبطيء اللهب بطبيعة المزيج 36. تتحسن انسيابية الصهارة ومقاومة اللهب لتركيبات راتنج PPE تحسناً ملحوظاً بإضافة مركّب خاص من قفص سيل سسكي أوكسان (Silsesquioxane). يبيّن الشكل (4-5) البنية الأساسيّة لقفص سيل سسكي أوكسان.



الشكل (4-5): قفص سيل سسكى أوكسان

4.4.4. عوامل النفخ

يمكن تقديم عوامل نفخ بهدف توليد الرغويات. إن عوامل النفخ المناسبة هي هيدروكربونات معالجة بالهالوجينات ذات درجات غليان منخفضة، وتلك التي تولّد غازات طيّارة بالتحلّل الكيميائي. يتضمّن الصفّ الأخير آزو ثنائي كربون أميد (ADC)، والأملاح المعدنيّة من ADC، و 4،4-أوكسي بيس-(بنزين سلفونيل هيدرازيد)³⁴ ويُستعمل بيكربونات الصوديوم، أو كربونات الأمونيوم بأفضليّة مع حمض الليمون 58.

5.4. تطبيقات

لمّا كانت الراتنجات المبنيّة على قاعدة البولي (إيثر الفينيلين) خفيفة الوزن وممتازة من جهة مقاومتها للصدم مقارنة بالمعدن أو الزجاج، فقد جرى استعمال هذه الراتنجات في حقول متنوّعة تشمل قطع السيّارات، وقطع الأجهزة الكهربائيّة المنزليّة، وقطع تجهيزات الأتمتة المكتبيّة. ولكن تتمتّع راتنجات البولي (إيثر الفينيلين) بقابليّة قولبة سيّئة. لذلك، لا تستعمل هذه الراتنجات منفردة، بل ممزوجة براتنجات على أساس البولي (ستيرين) تامّة التوافق معها 36.

ولكن الراتنجات على أساس البولي (ستيرين) أكثر قابليّة للاشتعال من تلك المؤسسة على البولي (إيثر الفينيلين)، لذلك فإن دمجها معها يؤدّي إلى انخفاض درجة مقاومة الحرارة للمزيج الراتنجي PPE/PS ويجعل المزيج قابلاً للاشتعال. لذلك صار من المرغوب فيه إيجاد طريقة جديدة تتيح قولبة راتنج على أساس بولي (إيثر الفينيلين) بدون دمجه مع البولي (ستيرين). إضافة إلى ذلك فإنّه من المرغوب فيه أيضاً تطوير طريقة لتحقيق قابليّة القولبة ومقاومة اللهب في آن معاً.

1.5.4. قطع السيّارات

توفّر المزائج العاليّة التوافق من PPE وراتنجات البولي إستر الخطيّة تحسينات مفيدة في المقاومة الكيميائيّة اللازمة للتطبيقات في قطع السيّارات. تشمل مثل هذه التطبيقات لوحات الهيكل المقولبة الملدّنة حراريّاً 20. وتعتبر تركيبات راتنجات PPE الرغويّة مناسبة بوجه خاص لبدائل بنيويّة خفيفة الوزن عن المعدن، وخاصة في صناعة السيّارات.

2.5.4. المواد اللاصقة

يعطي مزج الصهارة لكل من البولي (إيثر الفينيلين) والبولي (ستيرين) وراتنجات الإبوكسي القابلة للإنضاج مواد مناسبة للاستعمال بصفتها مواد لاصقة في التطبيقات الإلكترونية 62. وبوجه خاص فإن هذا التركيب مناسب في أغشية الترقيق للتطبيقات الإلكترونية.

من المفضل أن يكون الپولي (ستيرين) من النوع HIPS. إذ تُستعمل منضبّجات من محفّزات ضوئيّة، مثل N-ميثيل-4-بيكولينيوم سداسي فلور وفوسفات، أو تُستعمل عوامل إنضاج حراريّة. تشتمل المحفّزات الضوئيّة على نوعين عاميّن: أملاح الأونيوم، والأملاح الكاتيونيّة العضويّة المعدنيّة. وكلاهما مفيد في إنضاج تركيبة المادّة اللاصقة.

وعندما نرغب بالإنضاج الضوئي مباشرة بعد البثق، أي قبل أن يتبرد البوليمير الملدّن حرارياً ويتصلّب، يمكن تشعيع المبثوق الساخن بالأشعّة فوق البنفسجيّة مباشرة عند فتحة البثق.

3.5.4. الأغشية الفاصلة

إنّ پولي (إيثر الفينيلين) واسع الاستعمال في سيرورات الفصل بالأغشية الفاصلة (Membranes) مثل 63:

- التناضح العكسى المنخفض الضغط،
 - الترشيح النانوي،
 - فصل الغازات بالأغشية،
 - فصل الأبخرة بالأغشية،
 - والكهرليت البوليميري.

تفرق الأدبيّات بين الأغشية الفاصلة الكثيفة والأغشية الفاصلة المساميّة. ويُجزّأ النوع الأخير إلى أغشية ذات مسامات ماكرويّة، وأخرى ذات مسامات ميكرويّة، وثالثة ذات مسامات نانويّة، وذلك تبعاً لقياس المسامات.

بقطع النظر عن خواص الفصل التي يتمتّع بها الغشاء، فإنّ الاستقرار الميكانيكي والحراري والكيميائي هي موسطات مهمّة في تقدير أداء الأغشية. عموماً، تتعلّق كفاءة الغشاء الفاصل ببنية البوليمير وبالمعدّلات المستعملة. إنّ PPE مناسب بوجه خاص للأغشية وذلك بسبب تمتّعه بحجم حرّ كبير.

إنّ سهولة الحركة الدورانيّة لحلقات الفينيل، تؤدي إلى انتشاريّة ونفاذيّة غاز عاليتين 64. كما يتمتّع PPE بخواص كارهة للماء نسبيّاً، لذلك فإنّ أداءه لا يتأثّر ببخار الماء كما هي حال المواد المحبة للماء 65.

1.3.5.4. أغشية فصل الغازات

يتبع نفاذ غاز عبر غشاء المعادلة (4-1) التالية:

$$\dot{Q} = k_p \Delta p \frac{A}{l}$$

معدّل النفاذ كمعدّل تدفّق حجم. \dot{Q}

أبت النفاذ. k_p

انخفاض الضغط عبر الغشاء. Δp

A مساحة الغشاء.

ا سماكة الغشاء.

الانتقائيّة $\alpha_{1,2}$ هي نسبة ثابتي النفاذ لغازين (1) و(2). تمكن دراسة المفاعيل المتبادلة بين الغازات والبولي (إيثر الفينيلين) باستعمال المطيافيّة تحت الحمراء 66 . يتغيّر شكل بعض مناطق الامتصاص عند نفاذ بعض الغازات، مثل الميثان وغيره من الهيدروكربونات، عبر الغشاء. ويُسترجَع الطيف الأصلي بالتطهير باستعمال الهيليوم.

تُصب الأغشية الكثيفة من محلول، كأن تُصب من محلول ثلاثي كلور إيثلين، وغيره من المحاليل. ولقد أُثبت أن لدرجة حرارة تبخّر المذيب أثراً ملموساً على خشونة سطح الأغشية وعلى أدائها 68. تتخفض النفاذية مع ارتفاع درجة حرارة تبخّر المذيب.

لقد جرى تعديل أغشية PPE المسلفنة بمبادلة البروتون من الزمر السلفونيّة مع كاتيونات معدنيّة بتكافؤات متنوّعة. بهذه الطريقة يمكن التفصيل حسب الرغبة استقطاب

البوليمير وكثافته. ولقد استُعمل كلٌ من ثاني أوكسيد الكربون، والميثان، والأوكسجين، والآزوت لاختبار الأداء. إنّ الاستعاضة عن الهيدروجين بكاتيون معدني يزيد النفاذية لجميع الغازات. ويُعتقد أنّ هذا ناجم عن انخفاض كثافة التعبئة في الأغشية.

ولكن في سلسلة من الكاتيونات الوحيدة التكافؤ ذات نصف قطر شاردي متزايد، مثل ${\rm Cs}^+, {\rm K}^+$ 'Li tilem النفاذية بالترتيب نفسه في حالة الغازات غير القطبية. الأمر نفسه صحيح في حالة الكاتيونات القلوية الترابية في السلسلة ${\rm Ca}^{2+}, {\rm Mg}^{2+}, {\rm Be}^{2+}$. لذلك نستنتج أن حجم الكاتيون الذي يؤدّي دوراً في زيادة الحجم الحرّ، وتغيّر القطبية كلاهما عاملان مهمّان في الأداء ${\rm Ca}^{2+}$. في حالة PPE المُبَرُومَ تزداد النفاذيّة للغازات مع درجة البَرُومَة ${\rm Ca}^{2+}$.

إن تتقية الغاز الطبيعي تمثّل تطبيقاً محتملاً واسع المدى لعمليّة فصل الغازات. لذلك نرى أنّ يشكّل نظام ثاني أوكسيد الكربون/ميثان موضوع بحث موسّع. ولقد جرت المقارنة بين PPE المُسلفن ومزيج من PPE مع مركّبات الحموض المتعددة المغايرة (HPA) بالنسبة إلى كفاءتهما في فصل مزائج من ثاني أوكسيد الكربون والميثان 67. يبيّن الجدول (4-8) معاملات النفاذ والانتقائيّة.

تتعلّق النفاذيّة بطبيعة الغشاء. عموماً يلاحظ انخفاض بمعدّل النفاذيّة في الأغشية المعدّلة، ولكنّ هذا يكون مقترناً بزيادة في الانتقائيّة. يذكر الجدول (4-8) قيم النفاذيّة والانتقائيّة التي جرى الحصول عليها في حالة الغازات النقيّة. في حالة مزيج غازي يكون معدّل النفاذيّة أكثر انخفاضاً، بسبب انخفاض الضغط الجزئي لكلٍّ منها.

 67 الجدول (8-8): معاملات النفاذية والانتقائيّة في مزائج ثاني أوكسيد الكربون والميثان

	•		
مادة الغشاء	r] النفاذيّة	^a [Barre	الانتقائيّة
	CO_2	CH_4	$\alpha_{\text{CO}_2,\text{CH}_4}$
PPE	43.7	3.6	12.1
PPE/HPA	28.2	1.36	20.6
PPE المُسلَفن	18.4	0.67	27.2

 $^{7.5 \}times 10^{-18} \,\mathrm{m^2 \, s^{-1} \, Pa^{-1}} = 10^{-10} \,\mathrm{cm^3 \, cm \, cm^{-2} \, s^{-1} \, cm \, Hg^{-1}} = 1 \,\mathrm{Barrer}^{\ a}$ ضغط التغذية يساوى 30 ضغط جوّى عند

2.3.5.4 أغشية النفاذ البخارى

يمكن وصف عمليّة انتقال الكتلة في النفاذ البخاري بنموذج انتشار السوائل، الذي يشرح آليّة الانتقال بسيرورة تتكوّن مما يلي :

- 1. امتصاص المركبات النفاذة من السائل عند جانب المنبع من الغشاء.
 - 2. انتشار المركبات النفاذة عبر الغشاء.
 - 3. نزع الامتصاص عند الجانب ذي الضغط المنخفض من الغشاء.

لذلك فإن معدّل النفاذ يتعلّق بقابليّة الانحلال وبالانتشاريّة، وكذلك فإن الانتقائيّة محكومة أيضاً بقابليّة الانحلال وبالانتشاريّة 64.

يُعدُّ فصل الميثانول عن الإثيلين غليكول سيرورة صناعيّة مهمّة في اصطناع بولي (ترفتالات الإثيلين) 64. ولقد جرت دراسة نظام الميثانول/الإثيلين غليكول دراسة موسّعة باستعمال طرائق تحليليّة منتوّعة وتجارب نفاذ بخاري أيضاً. تصل انتقائيّة الميثانول إلى 250 عند تراكيز منخفضة للميثانول، ولكن التدفّق العام يتناقص في هذا المجال.

 C_{60} PPE يمكن تحضير أغشية C_{60} خواص نقل أغشية PPE. يمكن تحضير أغشية C_{60} تحتوي حتّى C_{60} من الفولرين وزناً بمزج محلولي PPE و C_{60} في التولوين، ثُمّ يلي ذلك صبّ وتجفيف C_{60} . يبيّن الجدول (9-4) سعات امتصاص PPE. يمكن الاستفادة من خواص هذه الأغشية في تفاعلات الأسترة لأنّ البوليمير لا يمتص الماء.

لقد تلقى مركب إيثر ميثيل-ترت-بوتيل(MTBE) اهتماماً كبيراً كمحسن للأوكتان لليستعاض به عن رباعي إيثيل الرصاص. يُنتج MTBE بتفاعل الميثانول والإيزوبوتين مع محفز راتنجي ذي تبادل شاردي قوي الحمضية. يؤدي استعمال فائض من الميثانول في التفاعل إلى مشاكل تتعلّق بالفصل، لأنّ الميثانول يكون آزيوتروباً (Azeotrope) مع MTBE. لهذا السبب فإنّ طرائق بديلة للفصل تكون موضع الاهتمام.

يمكن استعمال أغشية PPE مملوءة بالسيليكا، وبجسيمات نانويّة من السليكا المعدّلة بالسيلان، وذلك للفصل بالنفاذ البخاري لمزائج الميثانول وMTBE. مقارنة بغشاء PPE غير مملوء، تُبدي الأغشية المملوءة انتقائيّة أعلى للميثانول، ونفوذيّة أخفض 72.

 71 الجدول (4-9): سعات امتصاص البولي (إيثر الفينيلين)

	-	
المركّب	الامتص	ىاص\ [%]
	PPE	PPE+2%C ₆₀
الإيثانول	13.0	15.0
حمض الخل	23.6	24.2
ماء	0	0
أستات الإيثيل	23.4	26.4

3.3.5.4 المحفّرات الغشائية

تستعمل المحفّرات الغشائيّة حاملاً بوليميريّاً. تُستعمل المواد المركّبة البوليميريّة على أساس PPE بصفتها حاملاً بوليميريّاً مع مركّبات HPA كمُحفّرات قد . يجري تحضير المواد المركّبة من النمط HPA بوليمير بمزج HPA مع البوليمير في مذيب مكوّن من مزيج ميثانول وكلوروفورم. تكون هذه المواد المركّبة فعّالة في اصطناع كحول ترت بوتيل، وليشر ليشيل ترت بوتيل، وفي بعض التفاعلات التي تنطوي على الإيثانول و MTBE و MTBE. لقد أظهر مُفاعل غشائي على أساس PPE الأداء الأفضل بين عدد من الأغشية البوليميريّة المُختَبرة.

4.3.5.4. أغشية الترشيح الفائق

إلى جانب المعالجة الكيميائية بحمض الكلوروسُلفونيك، يمكن إدخال الزمر السُلفونية بالزرع السطحي الذي تبادره البلازما باستعمال ستيرين سُلفونات الصوديوم 74. يزيد إدخال الزمر الشاردية الاستقطاب السطحي، ومن ثَمّ نفاذ الماء.

تُعدّ الأغشية الفاصلة المُسلفنة مواد قاعديّة ممتازة للأغشية ثنائيّة الاستقطاب. يؤدي توضيع بوليمير بلازما أليل أمين على السطح إلى الحصول على أغشية ثنائيّة الاستقطاب متذبذبة، مع خواص ترشيح فائق.

يمكن إدخال مواقع الإرساء في PPE بالمَثْيلة الكلورية باستعمال إيثر ميثيل كلوروميثيل، وذلك بوجود محفّز فريدل-كرافتس (Friedel-Crafts) مثل SnCl4 يفيد

PPE المُمَثْيل كلورياً في تحضير أغشية فاصلة مساميّة معدّلة من 2،1-ثنائي أمينو إيثان ²⁸، التي يمكن بدورها أن تثبّت إنزيمات مثل أنزيم پاپين (Papain).

پاپين هو إنزيم يهضم البروتينات^(*). وهو يُظهر نشاطه الهاضم نحو روابط إستر وأميد متنوّعة، كما تظهر في البروتينات والببتيدات. لقد جرى اختبار الأداء في تجارب ترشيح فائق لمحاليل جُبْنين (كازيئين). تُبدي الأغشية المُعدّلة مفعول تنظيف ذاتي. ففي حين تتسدّ الأغشية غير الأنزيميّة بالكامل أثناء عملية الترشيح الفائق، نجد أنّ الأغشية الموظّفة إنزيمياً لا تتسدّ.

5.3.5.4. أغشية فاصلة من المناخل الجزيئية الكربونية

تستعمل أغشية فاصلة من المناخل الجزيئيّة الكربونيّة في تقنيّة فصل الغازات، كاسترجاع ${\rm CO}_2$ و ${\rm CO}_2$ من الغاز الطبيعي، وغيرها من مراحل التنقية. يتوفّر العديد من المواد البوليميريّة الطليعيّة لأغشية المناخل الكربونيّة، مثل الراتنجات الفنوليّة لكلً من الپولي (إيميد)، والپولي (أكريلونيتريل)، والپولي (كحول فورفوريل). يمكن تعديل PPE بطرائق متنوّعة، وذلك تبعاً للطريقة الأكثر فائدة في تفصيل الانتقائيّة المناسبة 75 .

لقد جرى تحميل PPE بالوظائف بكلً من زمر الحمض السُلفوني، وزمر الحمض الكربوكسيلي، والبروم، وزمر ثلاثي ميثيل سيليل، وغيرها من الزمر في تفاعل من مرحلة واحدة. يؤثّر إدخال كاتيونات معدنيّة في PPE المُسلَفن في بنى الأغشية الكربونيّة 76. يجري إدخال زمرة ثلاثي ميثيل سيليل بمعالجة PPE بالمركّب n-بوتيل ليثيوم (وفق تفاعل ليثمة (**) Lithiation) يتبع ذلك معالجة بكلورو ثلاثي ميثيل سيلان. يمكن تحضير طلائع أغشية مفرّغة الألياف بعمليّة غزل جافّة ارطبة. بعد التجفيف تُسخّن طلائع الأغشية تشخيناً سابقاً حتى 280°C ثمّ تُجرى عمليّة الكَرْبَنَة بالتسخين المبرمج عشر درجات في الدقيقة من 550°C حتى 750°C في الخلاء.

^(*) أي يكسر السلاسل الطويلة للبروتينات (المترجم).

^(**) تفاعلات مع مركبات عضوية لليثيوم (المترجم).

يمكن تعديل الأغشية الكربونيّة التي جرى الحصول عليها من PPE بالتحلّل الحراري وذلك بمعالجتها في الهواء بدرجات حرارة مرتفعة 78,77. حيث تحصل عمليّة أكسدة تؤدى إلى زيادة أبعاد المسامات.

وكذاك فإن المزائع من PPE بصفته بوليميراً مستقراً حرارياً والبوليمير الأقل استقراراً بولي (N-ڤينيل-2-بيروليدون) هي مزائج ممكنة. ويمكن بتغيير نسبة مزج هذين البوليميرين، وتغيير شروط التحلّل الحراري تفصيل خواص النفاذ حسب الرغبة 79.

6.3.5.4. أغشية فاصلة كهرليتية بوليميرية

تتجه درجات حرارة عمل خلايا الوقود ذات أغشية الكهرليت البوليميرية نحو الارتفاع، وذلك لتحقيق بعض المزايا مثل تحسين التسامح مع أول أوكسيد الكربون، وتسهيل إدارة الماء والحرارة، ورفع كفاءة الطاقة. ولكن العديد من الأغشية الشائعة الاستعمال لا تتحمل درجات الحرارة المرتفعة. لذلك ظهرت الحاجة إلى مواد بديلة.

تمكن معالجة PPE المسلفن بالإيميدازول للحصول على كهرليتات بوليميريّة موصلة للبروتونات 80 .

تجري سلفنة PPE في محلول الكلوروفورم مع حمض الكلوروسلفونيك 81. بعد عزل PPE المُسلَفْن، يُكوَّن معقد الإيميدازول في محلول N،N-ثنائي ميثيل فورم أميد بإضافة PPE المُسلفن والإيميدازول بالكميّات المرغوبة. ثُمّ يُجانس المزيج في حمّام فوق صوتي. تُصبّ الأغشية على الزجاج بتبخير المذيب. توحي تبعيّة الموصليّة البروتونيّة لدرجة الحرارة أن آليّة انتقال الشحنة لا تتحقّق بالانتقال الفعليّ لحاملها، ولكن من خلال سلسلة من تكوّن لروابط هيدروجين وانكسارها، وهذه ما تُسمّى آليّة غروتوس (Grotthus). من الواضح أنّ موصليّة بروتونيّة عالية تتبع من هذا السلوك.

يؤثّر المطّ الميكانيكي في الخواص الكهربائيّة لبوليمير PPE المسلفن 82. وفي ظروف مؤاتية تزداد الموصليّة الكهربائيّة حتّى عشرة أضعاف الأغشية الأصليّة.

تُظهر الأغشية المركبة المحضرة بصب مادة 15®Nafion على أغشية مصنوعة من PPE وحمض الفوسفوموليبديك نفاذيّة أخفض تجاه الميثانول، وذلك مقارنة بمادّة Nafion®15 الصرفة 83. لهذه الأغشية المركبة تطبيقات محتملة بصفتها كهرليتات في خلايا الوقود بالميثانول المباشر (Direct methanol fuel cells).

6.4. الموردون والعلامات التجارية

يبيّن الجدول (4-10) الموردين والعلامات التجاريّة. العلامات التجاريّة في أغلبها هي مزائج مع PS. بعضها مقوّى بالألياف، أو مصوّغ كمبطّئ للّهب. وتتوفّر أغلب الأسماء التجاريّة بدرجات مختلفة. يبيّن الجدول (4-11) الأسماء التجاريّة الواردة في المراجع.

الجدول (4-10): أمثلة على بوليميرات PPE المتوفّرة تجاريّاً 48

ملاحظات	المُنتِج	الاسم التجاري
کریّات	ACLO Compounders Inc.	$ACCGUARD^{TM}$
مقوّى بالألياف الزجاجيّة	ACLO Compounders Inc.	$ACCUTECH^{TM}$
PPE+PS	Aquafil Technopolymers S.p.A	$ACNOR^{TM}$
للاستعمال العام	Ashley Polymers, Inc.	ASHLENE®
	General Electric	Noryl®
PPE+PS+PA	Westlake Plastics Company	Norylux TM PPO
PPE+PS	PMC Engineered Plastics, Inc.	PMC EP PX1000
PPE+PS	Polymer Resources Ltd.	PRL PPX
PPE+PS+PA	QTR, Inc.	QR Resin QR-4000
PPE+PS	Ferro Corporation	Styvex
PPE+PS+PA	Taro Plast S.p.A.	TARONYL®
PPE+PS	LNP Engineering Plastics Inc.	Thermocomp
	Tyne Plastics LLC.	TYNELOY®
	Degussa AG	Vestoran
	Asahi Kasei Corporation	Xyron®

الجدول (4-11): الأسماء التجارية الواردة في المراجع

الجدول (4-11). الاسماع النجارية الواردة في المراجع		
المورّد	الاسم التجاري	
	الوصف	
Cabot Corp.	Black Pearls®	
	هباب الفحم	
General Electric	$Blendex^{TM}$	
	پولي(6،2- ثنائي ميثيل فينيلين اپيثر) ⁶²	
Perstorp Specialty Chemicals	Boltorn® (Series)	
	پولي(إستر) شجري التشعّب ⁴¹	
Bunawerke Hüls Gmbh	Buna® AP 437	
	⁵² EPDM	
Cabot Corp.	Cabelec®	
	هباب فحم موصل (دفعة رئيسة) ماسترباتش في PA 6	
Repsol	Calprene®	
	بوليمير مشترك ثلاثي الكتلة ستيرين-(إثيلين-بوتيلين)- 	
	ستيرين	
Shell	Cariflex®	
	بوليمير مشترك ثلاثي الكتلة 41,40,35,34 -	
Columbian Chemical Corp.	Conductex®	
D 4.0	هباب الفحم 51	
Bayer AG	Disflamoll® DPK	
N C1 ' 1 C 4 /4	ثنائي فينيل كريسيل فوسفات ⁵⁷	
Nova Chemicals S.A. (Arco Chemical Co.)	DYLARK®	
	بوليمير مشترك من الستيرين مع أنهدريد المالييك 62 (مونيد المالييك 62 (
Resolution Performance Products LLC. Corp. (Shell)	Epon® (Series)	
•	$^{62}\mathrm{A}$ ثنائي غليسيديل إيثرات من بيس فينول ERL $^{ ext{TM}}$	
Union Carbide Corp.		
Fortafil Fibers, Inc.	إيبوكسيدات أليحلقية ⁶² ®Fortafil	
1 ortain 1 locis, inc.		
General Electric	ألياف الكربون ⁵¹ Geloy® resin	
General Electric	والماني المحتود المحت	
Courtaulds Advanced Materials	بولیمیر مشترک ASA Grafil® fibers	
Continuing Havaneou Materials	العالم الكربون 57,51 ألياف الكربون	
	الياف الحربون	

الجدول (4-11): الأسماء التجارية الواردة في المراجع

المورّد	الاسم التجاري
33	، . وي الوصف
Ciba Geigy	IrganoxR 1010 بنتا إريثريتول تتر اكيس(3-(5،3-ثنائي-ترت-بوتيل -4-
Ciba Geigy	هيدروكسي فينيل) بروبيونات) مضاد أكسدة فينوليّ 57,51 IrganoxR 1076 أوكتادسيل -3-(3'،5'-ثنائي-ترت-بوتيل -4'- هيدروكسي
Ciba Geigy	فينيل) بروبيونات ⁵¹ IrganoxR 1098 N·N'-سداسي ميثيلن بيس (5،3-نٽائي-تر ت-بونيل -4-
DuPont-Toray Co., Ltd.	هیدروکسی هیدروسینام أمید) ⁵¹ ®Kapton
Akzo	⁶² (پیمید) «Ketjenblack
DuPont	81 هباب فحم موصل ®Kevlar
Shell	أراميد ^{41,34} ®Kraton
BASF AG	بوليمير مشترك كتلي التعاقب ستيرينيّ 62,51,41,35,34 ®Luran
Arizona Chemical Co.	بولیمیر مشترك SAN بولیمیر Nirez® 2150/7042
General Electric	فينول التربين، معدّل انسياب أو تدفّق ⁴¹ ®Noryl
Clariant GmbH	مزیج PPE مع PS مع Sandostab® 4020
DSM Engineering Plastics	بنتا إريثريتول تتراكيس(3-لوريل ثيوبروبينات) ⁵¹ Sapron TM S
Kuraray Co., Ltd.	بولیمیر مشترک SMA Pepton® ®Septon
Rhodia Inc.	بوليمير مشترك كتليّ التعاقب ستيريني مهدر ج Sniamid® ASN 32
	پو لي(أميد) ⁵¹

الجدول (4-11): الأسماء التجارية الواردة في المراجع

المورّد	الاسم التجاري
	الوصف
Philips Petroleum Co. (Industrias Negromex, S.A.)	®Solpren بوليمير مشترك كتليّ التعاقب ستيريني ⁵¹
DuPont	Surlyn®
Akzo	ر اتنج أيونوميري ⁵¹ ®Tenax
Toray Industries, Inc.	ألياف الكربون ⁵⁷ ®Torayca
BASF AG	ألياف الكربون Ultramid® (Series)
General Electric	پولي(أميد) ⁵² Valox® 315
Dexco Polymers LP	پولي(تِرِفِتالات البوتيلين) ²⁰ ®Vector
Hüls	بوليمير مشترك كتلي التعاقب ستيريني ⁵¹ @Vestamid
Hüls	پولي(اُميد) ⁵² Vestenamer® 8012
Cabot Corp.	پولي(أو كتينيلين) ⁵² Vulcan® XC72
Zoltec Corp.	81 هباب الفحم Zoltec® HT
Dupont	ألياف الكربون ®Zytel
	پولي(أميد) ⁵¹

7.4 الأمان

إنّ مركّبات الفينول مواد سامّة ويجب التعامل معها بحذر. الاستنشاق أو التعرّض الجلدي لمركّبات الفينول مهيّج جداً للجلد والعيون.

ليست هناك مخاطر حادة أو مزمنة على الصحة مقرونة بالتعرّض إلى راتنجات PPE. ولكنّ غازات تحلّلها سامّة، ولكنّ ترتيب سميّتها يقع في المراتب الأخيرة، عند اختبارها على الفئران 84. لذلك ينبغي تهوية تجهيزات التصنيع والمساحات التي يمكن أن تنطلق فيها غازات من البوليمير المصهور تهوية مناسبة.

8.4. الأثر البيئى وإعادة التدوير

تجري البلمرة المؤكسدة لـ 6،2-ثنائي فينيل فينول بدرجة حرارة قريبة من درجة حرارة الغرفة. إضافة إلى ذلك فإنّ تفاعل البلمرة لا يُكوّن أيّة زمر مُغادرة. من وجهة نظر الكيمياء الخضراء يُفضل الماء كمذيب في البلمرة المؤكسدة. تُعاني أكسدة 6،2-ثنائي فينيل فينول من كوّنها تكوّن بشكل أساسي TMDQ.

ولكن باستعمال فائض من المؤكسد، تمكن إز الة TMDQ، وذلك حتّى في المحاليل المائيّة القلوية 19 . لقد جرى تطوير محفّز نحاسي قابل للانحلال في الماء هو معقّد من CuCl $_2 \times 2H_2O$ وحمض ثنائي إيثيلين ثلاثي أمين 2 N، 2 N، 2 N، 2 الميتيك، الميتيك، أخرى. كما تزيد خافضات التوتر السطحي المردود البوليميري.

لقد جرى تحديد نواتج التدهور الحراري في كلّ من الهواء والآزوت لبوليمير پولي (أوكسيد الفينيلين)- بولي أميد (Noryl GTX) وكذلك كمياتها. ولقد بيّنت اختبارات السميّة البيئيّة لمنتجات التحلّل الحراري على المتعضيّات المائيّة، أنّه في حالة حريق، فإنّ الضرر لا يتجاوز ذلك الضرر الناتج من احتراق خشب الزان عندما يصل الماء الذي جرى فيه إطفاء الخشب إلى البيئة المائيّة 85.

يمكن فصل المزائج المحضرة صناعياً من البولي (كلور الثينيل)، والبولي (كربونات)، والبولي (أوكسي ميثيلين) و PPE بتقنية الطفو، وذلك باستعمال عوامل ترطيب مثل لينين سلفونات الصوديوم، وحمض التانيك، والبولي (أوكسي إيثيلين)، والصابونين 86. يبيّن الجدول (12-4) ترتيب استجابة الطفو.

86 الجدول ($^{-2}$): ترتیب استجابة الطفو للبولیمیرات

البوليمير	عامل الترطيب
PC = PVC < POM = PPE	حمض التانيك
$PVC \ll PC < POM = PPE$	لينين سلفونات
$PVC \ll PC = POM < PPE$	پولمي(أوكسي اپيثيلين)

المراجع

- 1. A. S. Hay, H. S. Blanchard, G. F. Endres, and J. W. Eustance. "Polymerization by oxidative coupling." *Journal of the American Chemical Society*: vol. 81, 1959, pp. 6335–6336.
- 2. A. S. Hay. "Poly(phenylene oxides)s and poly(arylene ether)s derived from 2,6-diarylphenols." *Progress in Polymer Science*: vol. 24, no. 1, April 1999, pp. 45–80.
- 3. A. S. Hay. Oxidation of phenols. US Patent 3 306 874, assigned to General Electric Company (Schenectady, NY), 28 February 1967.
- 4. H. M. V. Dort. Process for the formation of high molecular weight polyarylene ethers. CA Patent 798 422, assigned to Polychemie Aku Ge Nv, 5 November 1968.
- 5. S. Kobayashi and H. Higashimura. "Oxidative polymerization of phenols revisited." *Progress in Polymer Science*: vol. 28, no. 6, June 2003, pp. 1015–1048.
- 6. A. S. Hay. "Polymerization by oxidative coupling. II. Oxidation of 2,6-disubstituted phenols." *Journal of Polymer Science:* vol. 58, 1962, pp. 581–591.
- 7. G. W. Yeager and M. T. Takemori. Powder coating of thermosetting resin(s), polyphenylene ether(s) and curing agent(s). US Patent 6 784 260, assigned to General Electric Company (Schenectady, NY), 31 August 2004.
- 8. M. Matzner and D. M. Papuga. Copolymers of polyphenylene oxides and polyarylates. US Patent 4 746 709, assigned to Amoco Corporation (Chicago, IL), 24 May 1988.
- 9. J. Zhang, H. Wang, and X. Li. "Novel hyperbranched poly(phenylene ox-ide)s with phenolic terminal groups: Synthesis, characterization, and modification." *Polymer*: vol. 47, no. 5, February 2006, pp. 1511–1518.
- 10. T. Fukuhara, Y. Shibasaki, S. Ando, and M. Ueda. "Synthesis of thermosetting poly(phenylene ether) containing allyl groups." *Polymer*: vol. 45, no. 3, February 2004, pp. 843–847.

- 11. J. J. Talley. Zinc oxide catalyzed dealkylation of alkylated phenols. US Patent 4 533 768, assigned to General Electric Company (Schenectady, NY), 6 August 1985.
- 12. A. J. Caruso and J. L. Lee. Method for making a 2,6-dialkylphenol. US Patent 5 475 156, assigned to General Electric Company (Schenectady, NY), 12 December 1995.
- 13. K.-T. Li and P. Y. Liu. Process for preparing 2,6-dimethylphenol. US Patent 6 399 838, assigned to National Science Council (TW), 4 June 2002.
- 14. H. Ota and M. Aga. Process for the preparation of 2,6-xylenol. US Patent 6 593 501, assigned to Asahi Kasei Kabushiki Kaisha (Osaka, JP), 15 July 2003.
- 15. R. S. Kapner, D. L. Kippax, K. E. Murphy, and L. H. Udani. Process for the formation of 2,6-diphenyl-phenol. US Patent 3 972 951, assigned to General Electric Company (Pittsfield, MA), 3 August 1976.
- 16. J. J. H. Edema. Environmentally friendly method for poly(phenylene ether) polymerization and catalyst recycle. US Patent 5 621 066, assigned to General Electric Company (Pittsfield, MA), 15 April 1997.
- 17. J. G. Bennett and G. D. Cooper. Process for the preparation of polyphenylene ethers with activated copper-amine catalysts. US Patent 3 988 297, assigned to General Electric (Pittsfield, MA), 26 October 1976.
- 18. G. D. Cooper and I. Schraga. Improved polyphenylene ether polymerization process using methylene chloride as solvent. US Patent 4 035 357, assigned to General Electric Company (Pittsfield, MA), 12 July 1977.
- 19. K. Saito, N. Kuwashiro, and H. Nishide. "Catalyzed oxidative polymerization to form poly(2,6-dimethyl-1,4-phenylene oxide) in water using water-soluble copper complex." *Polymer*: vol. 47, no. 19, September 2006, pp. 6581–6584.
- 20. J. B. Yates, III and G. F. Lee, Jr. Compatible polyphenylene ether-linear polyester blends having improved impact strength. US Patent 5 008 333, assigned to General Electric Co. (Selkirk, NY), 16 April 1991.
- 21. C. Gao and D. Yan. "Hyperbranched polymers: From synthesis to applications." *Progress in Polymer Science*: vol. 29, no. 3, March 2004, pp. 183–275.
- 22. J. E. Tracy and G. W. Yeager. Curable polyphenylene ether-thermosetting resin composition and process. US Patent 6 051 662, assigned to General Electric Co. (Pittsfield, MA), 18 April 2000.
- 23. A. Freshour, H. Guo, R. L. Howe, E. N. Peters, and G. W. Yeager. Compositions comprising functionalized polyphenylene ether resins. US Patent 6 897 282, assigned to General Electric (Pittsfield, MA), 24 May 2005.
- 24. M.-S. Yin, C.-T. Lin, and H.-C. Kang. Process for preparing epoxy group-containing curable polyphenylene ether resin using high-molecular-weight polyphenylene resin. US Patent 6 693 149, assigned to Industrial Technology Research Institute (Hsinchu, TW), 17 February 2004.

- 25. S. G. Cottis and K. M. Natarajan. In situ compatibilization of ppe/polyethylene copolymer blends. US Patent 5 286 793, assigned to Istituto Guido Donegani (Milan, IT) Enichem America, Inc. (Monmouth Junction, NJ), 15 February 1994.
- 26. D. F. Aycock and S.-P. Ting. Functionalized polyphenylene ethers and blends with polyamides. US Patent 5 069 818, assigned to General Electric Company (Selkirk, NY), 3 December 1991.
- 27. A. J. F. M. Braat, H. G. E. Engelbrecht, and J. Liska. Process for the manufacture of low molecular weight polyphenylene ether resins through redistribution. US Patent 6 455 663, assigned to General Electric Company (Pittsfield, MA), 24 September 2002.
- 28. B. Turkiewicz, M. Rucka, G. Pozniak, and E. Zboinska. "Biofunctional membranes from poly(2,6-dimethyl-1,4-phenylene oxide) with self-cleaning properties." *Enzyme and Microbial Technology:* vol. 39, no. 4, August 2006, pp. 527–530.
- 29. C. Bonfanti, L. Lanzini, A. Roggero, and R. Sisto. "Chemical modification of poly(2,6-dimethyl-1,4-phenylene oxide) by bromination-alkynylation." *Journal of Polymer Science Part A: Polymer Chemistry*: vol. 32, no. 7, May 1994, pp. 1361–1369.
- 30. J. Zhang and X. Hou. "The gas permeation property in trimethylsilyl-substituted PPO and triphenylsilyl-substituted PPO." *Journal of Membrane Science*: vol. 97, no. 1, January 1994, pp. 275–282.
- 31. Y. S. Bhole, P. B. Karadkar, and U. K. Kharul. "Nitration and amination of polyphenylene oxide: Synthesis, gas sorption and permeation analysis." *European Polymer Journal*: vol. 43, no. 4, April 2007, pp. 1450–1459.
- 32. A. J. F. M. Braat, H. S.-I. Chao, H. Guo, J. Liska, and G. W. Yeager. Compositions comprising functionalized polyphenylene ether resins. US Patent 6 780 959, assigned to General Electric Company (Pittsfield, MA), 24 August 2004.
- 33. A. J. F. M. Braat, R. de Jongh, and J. Liska. Process for the manufacture of functionalized polyphenylene ether resins. US Patent 6 417 274, assigned to General Electric Co. (Schenectady, NY), 9 July 2002.
- 34. H. Guo, N. Devanathan, and C. Lewis. Copolymers of functionalized polyphenylene ether resins and blends thereof. US Patent 6 620 885, assigned to General Electric Company (Pittsfield, MA), 16 September 2003.
- 35. R. van der Meer and J. B. Yates, III. Functionalized polyphenylene ether from polyphenylene ether chain terminated with phenoxy moiety containing amino and hydroxy group. US Patent 4 888 397, assigned to General Electric Company (Schenectady, NY), 19 December 1989.
- 36. H. Saito and M. Ikeda. Polyphenylene ether-based resin composition containing silicon compound. US Patent 7 122 591, assigned to Asahi Kasei Kabushiki Kaisha (Osaka, JP), 17 October 2006.

- 37. N. A. McGaughan, G. F. Lee, Jr., R. J. Wroczynski, J. B. Yates, C. H. J. Koevoets, J. P. Keulen, and J. K. Gianchandani, deceased. Compositions of poly(phenylene ether) and polyamide resins, which exhibit improved beard growth reduction. US Patent 5 981 656, assigned to General Electric Company (Pittsfield, MA), 9 November 1999.
- 38. S. B. Brown, C.-F. R. Hwang, H. Ishida, J. J. Scobbo, Jr., and J. B. Yates, III. Functional poly(phenylene ether)/poly(arylene sulfide)/epoxy function alpha olefin elastomer/elastomeric block copolymer/metal salt compositions and process for making thereof. US Patent 6 303 708, assigned to General Electric Company (Pittsfield, MA), 16 October 2001.
- 39. A. Z. Aroguz and B. M. Baysal. "Miscibility studies on blends of poly(phenylene oxide)/brominated polystyrene by viscometry." *European Polymer Journal*: vol. 42, no. 2, February 2006, pp. 311–315,.
- 40. N. Patel. High flow polyphenylene ether formulations. US Patent 7 056 973, assigned to General Electric (Pittsfield, MA), 6 June 2006.
- 41. A. Adedeji. High flow polyphenylene ether formulations with dendritic polymers. US Patent 6 809 159, assigned to General Electric Company (Pittsfield, MA), 26 October 2004.
- 42. T. Tokiwa. Functionalized polyphenylene ether resin. US Patent 6 835 795, assigned to Asahi Kasei Kabushiki Kaisha (Osaka, JP), 28 December 2004.
- 43. E. W. Walles, J. H. Lupinski, M. Markovitz, R. E. Colborn, J. R. Presley, M. J. Davis, M. G. Minnick, S. J. Kubisen, Jr., J. E. Hallgren, D. A. Bolon, V. J. Eddy, and P. C. Irwin. Printed circuit board from fibers impregnated with epoxy resin mixture, halogenated bisphenol and polyphenylene ether. US Patent 4 975 319, assigned to General Electric Company (Schenectady, NY), 4 December 1990.
- 44. K. Ishii, Y. Norisue, K. Hiramatsu, M. Miyamoto, M. Yamazaki, and D. Ohno. Polyphenylene ether oligomer compound, derivatives thereof and use thereof. US Patent 6 835 785, assigned to Mitsubishi Gas Chemical Company, Inc. (Tokyo, JP), 28 December 2004.
- 45. B. J. P. Jansen, H. E. H. Meijer, and P. J. Lemstra. "Processing of (in)tractable polymers using reactive solvents. Part 5: Morphology control during phase separation." *Polymer*: vol. 40, no. 11, May 1999, pp. 2917–2927.
- 46. D. Aycock, V. Abolins, and D. M. White. "Poly(phenylene ether)." In: H. F. Mark, N. Bikales, C. G. Overberger, and G. Menges, eds. *Encyclopedia of Polymer Science and Engineering*, 2nd ed. New York: Wiley Inter-science, 1988, vol. 13, pp. 1-31.
- 47. A. S. Hay. "Poly(2,6-diphenyl-1,4-phenylene oxide)." *Macromolecules*: vol. 2, 1969, pp. 107–108.
- 48. IDES Integrated Design Engineering Systems. The Plastics Web®. IDES Inc. 209 Grand Avenue Laramie, WY 82070 USA [electronic] http://www.ides.com/prospector, 2006.

- 49. S. Stack, O. O'Donoghue, and C. Birkinshaw. "The thermal stability and thermal degradation of blends of syndiotactic polystyrene and polyphenylene ether." *Polymer Degradation and Stability*: vol. 79, no. 1, 2003, pp. 29–36.
- D. Lovera, H. Ruckdaschel, A. Goldel, N. Behrendt, T. Frese, J. K. Sandler, V. Altstadt, R. Giesa, and H.-W. Schmidt. "Tailored polymer electrets based on poly(2,6-dimethyl-1,4-phenylene ether) and its blends with polystyrene." *European Polymer Journal*: vol. 43, no. 4, April, 2007, pp. 1195–1201.
- J. H. P. Bastiaens, G. J. C. Doggen, and J. G. M. van Gisbergen. Conductive polyphenylene ether-polyamide composition, method of manufacture thereof, and article derived therefrom. US Patent 7 022 776, assigned to General Electric (Pittsfield, MA), 4 April 2006.
- 52. W. Neugebauer. High impact strength thermoplastic molding compositions based on polyphenylene ether graft copolymers and polyamides and process for producing them. US Patent 5 115 044, assigned to Huels Aktiengesellschaft (Marl, DE), 19 May 1992.
- A. Katchman. Glasverstärkte Zusammensetzungen aus Polyphenylena-ethern und kristallinen Styrolharzen. DE Patent 2 364 901, assigned to General Electric, 4 July 1974.
- 54. A. Katchman. Glass reinforced compositions of polyphenylene ethers and crystal styrene resins. GB Patent 1 445 605, assigned to General Electric, 11 August 1976.
- 55. R. van der Meer. Polymer mixture comprising polyphenylene ether and reinforcing fibres. US Patent 4 749 737, assigned to General Electric Company (Selkirk, NY), 7 June 1988.
- A. Nakanishi, S. Izawa, and K. Toyama. Reinforced polyphenylene ether compositions. US Patent 3 708 455, 2 January 1973.
- 57. T. Grosse-Puppendahl, C. Baron, and F. G. Schmidt. Fiber-reinforced polyphenylene ether molding compositions and process for their preparation. US Patent 5 338 789, assigned to Huels Aktiengesellschaft (Marl, DE), 16 August 1994.
- 58. E. Pressman. Modified flame retardant polyphenylene ether resins having improved foamability and molded articles made therefrom. US Patent 4 791 145, assigned to General Electric Company (Selkirk, NY), 13 December 1988.
- 59. J. M. Joyce and D. J. Kelley. Polyphenylene ether-alkenyl aromatic polymer blends having organobromine additives. US Patent 4 927 858, assigned to Huntsman Chemical Corporation (Salt Lake City, UT), 22 May 1990.
- 60. H. Onishi. Brominated polyphenylene oxide and flame retardant employing the brominated polyphenylene oxide. US Patent 6 864 343, assigned to Dai-Ichi Kogyo Seiyaku Co., Ltd. (Kyoto, JP), 8 March 2005.
- N. Patel. Fire retardant polyphenylene ether-organoclay composition and method of making same. US Patent 6 579 926, assigned to General Electric Company (Pittsfield, MA), 17 June 2003.

- 62. R. S. Clough and M. A. Perez. Melt blending polyphenylene ether, polystyrene and curable epoxy. US Patent 6 518 362, assigned to 3M Innovative Properties Company (Saint Paul, MN), 11 February 2003.
- 63. G. Chowdhury, B. Kruczek, and T. Matsuura, eds., *Polyphenylene Oxide and Modified Polyphenylene Oxide Membranes: Gas, Vapor and Liquid Separation.* Dordrecht, The Netherlands: Kluwer Academic Publishers, 2001.
- 64. M. Khayet, J. P. G. Villaluenga, M. P. Godino, J. I. Mengual, B. Seoane, K. C. Khulbe, and T. Matsuura. "Preparation and application of dense poly(phenylene oxide) membranes in pervaporation." *Journal of Colloid and Interface Science*: vol. 278, no. 2, October 2004, pp. 410–422.
- 65. M. Pourafshari Chenar, M. Soltanieh, T. Matsuura, A. Tabe-Mohammadi, and K. C. Khulbe. "The effect of water vapor on the performance of commercial polyphenylene oxide and cardo-type polyimide hollow fiber membranes in CO2/CH4 separation applications." *Journal of Membrane Science*: vol. 285, nos. 1-2, November 2006, pp. 265–271.
- 66. F. Hamad, K. C. Khulbe, and T. Matsuura. "Interaction of gaseous hydrocarbons with poly(phenylene oxide) membranes by infrared spectroscopic technique." *Journal of Membrane Science*: vol. 204, nos. 1-2, July 2002, pp. 27–36.
- 67. S. Sridhar, B. Smitha, M. Ramakrishna, and T. M. Aminabhavi. "Modified poly(phenylene oxide) membranes for the separation of carbon dioxide from methane." *Journal of Membrane Science*: vol. 280, nos. 1-2, September 2006, pp. 202–209.
- 68. K. C. Khulbe, F. Hamad, C. Feng, T. Matsuura, T. Gumi, and C. Palet. "Characterization of the poly(phenylene oxide) dense membrane prepared at different temperatures." *Separation and Purification Technology:* vol. 36, no. 1, April 2004, pp. 53–62.
- 69. F. Hamad, G. Chowdhury, and T. Matsuura. "Effect of metal cations on the gas separation performance of sulfonated poly (phenylene oxide) membranes." *Desalination*: vol. 145, nos. 1-3, September 2002, pp. 365–370.
- 70. F. Hamad, K. C. Khulbe, and T. Matsuura. "Characterization of gas separation membranes prepared from brominated poly (phenylene oxide) by infrared spectroscopy." *Desalination*: vol. 148, nos. 1-3, September 2002, pp. 369–375.
- 71. G. A. Polotskaya, A. V. Penkova, and A. M. Toikka. "Fullerene-containing polyphonylene oxide membranes for pervaporation." *Desalination*: vol. 200, nos. 1-3, November 2006, pp. 400–402.
- 72. M. Khayet, J. P. G. Villaluenga, J. L. Valentin, M. A. Lopez-Manchado, J. I. Mengual, and B. Seoane. "Filled poly(2,6-dimethyl-1,4-phenylene oxide) dense membranes by silica and silane modified silica nanoparticles: Characterization and application in pervaporation." *Polymer*: vol. 46, no. 23, November 2005, pp. 9881–9891.

- 73. I. K. Song and W. Y. Lee. "Heteropolyacid (HPA)-polymer composite films as heterogeneous catalysts and catalytic membranes." *Applied Catalysis A*: vol. 256, nos. 1-2, December 2003, pp. 77–98.
- 74. G. Pozniak, I. Gancarz, and W. Tylus. "Modified poly(phenylene oxide) membranes in ultrafiltration and micellar-enhanced ultrafiltration of organic compounds." *Desalination*: vol. 198, nos. 1-3, October 2006, pp. 215–224.
- 75. M. Yoshimune, I. Fujiwara, and K. Haraya. "Carbon molecular sieve membranes derived from trimethylsilyl substituted poly(phenylene oxide) for gas separation." *Carbon*: vol. 45, no. 3, March 2007, pp. 553–560.
- 76. M. Yoshimune, I. Fujiwara, H. Suda, and K. Haraya. "Gas transport properties of carbon molecular sieve membranes derived from metal containing sulfonated poly(phenylene oxide)." *Desalination*: vol. 193, nos. 1-3, May 2006, pp. 66–72.
- 77. H.-J. Lee, M. Yoshimune, H. Suda, and K. Haraya. "Effects of oxidation curing on the permeation performances of polyphenylene oxide-derived carbon membranes." *Desalination*: vol. 193, nos. 1-3, May 2006, pp. 51–57.
- 78. H.-J. Lee, D.-P. Kim, H. Suda, and K. Haraya. "Gas permeation properties for the post-oxidized polyphenylene oxide (PPO) derived carbon membranes: Effect of the oxidation temperature." *Journal of Membrane Science*: vol. 282, no. 1-2, October 2006, pp. 82–88.
- 79. H.-J. Lee, H. Suda, K. Haraya, and S.-H. Moon. "Gas permeation properties of carbon molecular sieving membranes derived from the polymer blend of polyphenylene oxide (PPO)/polyvinylpyrrolidone (PVP)." *Journal of Membrane Science*: vol. 296, nos. 1-2, June 2007, pp. 139–146.
- 80. Y. Liu, Q. Yu, and Y. Wu. "More studies on the sulfonated poly(phenylene oxide)+imidazole bronsted acid-base polymer electrolyte membrane." *Journal of Physics and Chemistry of Solids*: vol. 68, no. 2, February 2007, pp. 201–205...
- 81. Y. Liu, Q. Yu, J. Yuan, L. Ma, and Y. Wu. "Bronsted acid-base polymer electrolyte membrane based on sulfonated poly(phenylene oxide) and imidazole." *European Polymer Journal*: vol. 42, no. 9, September 2006, pp. 2199–2203.
- 82. C. Li, J. Liu, R. Guan, P. Zhang, and Q. Zhang. "Effect of heating and stretching membrane on ionic conductivity of sulfonated poly(phenylene oxide)." *Journal of Membrane Science*: vol. 287, no. 2, January 2007, pp. 180–186.
- 83. J. Sauk, J. Byun, and H. Kim. "Composite nafion/polyphenylene oxide (PPO) membranes with phosphomolybdic acid (PMA) for direct methanol fuel cells." *Journal of Power Sources*: vol. 143, nos. 1-2, April 2005, pp. 136–141.
- 84. C. J. Hilado and P. A. Huttlinger. "Polymer structure and relative toxicity of offgases." *Journal of Elastomers:* vol. 13, 1981, pp. 177–182.

- 85. G. Schmaus, B. Beck, G. Matuschek, and A. Kettrup. "Thermolysis of new plastics and ecotoxicological evaluation." *Journal of Thermal Analysis and Calorimetry*: vol. 47, 1996, pp. 485–491.
- 86. J. Shibata, S. Matsumoto, H. Yamamoto, E. Kusaka, and Pradip. "Flotation separation of plastics using selective depressants." *International Journal of Mineral Processing:* vol. 48, nos. 3-4, December 1996, pp. 127–134.

بوليميرات (سلفيد الفينيلين)

ينكون بوليمير پولي (سلفيد الفينيلين) (PPS) من سلسلة متناوبة من حلقات عطرية وذر ّات الكبريت. ومن الأصتح أن يسمّى پولي (سلفيد p-فينيلين). إنّ PPS هو بوليمير ذو نوعيّة عالية للتطبيقات الهندسيّة. يسمّى مركّب يحتوي على زمرة -S- ثيوايِثراً أو سلفيداً. أمّا المركّب الذي يحتوي على زمرة -S- فيسمّى ثنائي ثيوايِثراً.

يجب عدم الخلط بين بوليميرات البولي (ثيوايثر) وبوليميرات البولي (سلفيد)، لأنّ البادئة $S_n - S_n$ وفي الوقت نفسه إلى بوليمير. يُستعمل هذا النوع من البوليميرات في حقل مختلف تماماً من التطبيقات، كإضافات إلى المطاطيّات، ومضادات أكسدة للزيوت المزلّقة، ومركّبات وسيطة لإنتاج مركّبات عضويّة، مثل المبيدات الحشريّة، والمبيدات الجرثوميّة، وكذلك إضافات إلى وقود الديزل بهدف تحسين رقم الأوكتان، وخواص الاشتعال لهذا النوع من الوقود S_n . لن ندرس هذا النوع من البوليميرات في هذا الفصل.

لقد اكتشف بوليمير PPS من قبل تشارلز فريدل (Charles Friedel) وجيمس ماسون كر افتس (Charles Friedel) عام 1888 2 . وفي عام 1967 طوّر إدموندز (James Mason Crafts) وهيل (Hill) من شركة فيليبس بتروليوم (Phillips Petroleum Company) طريقة لإنتاج وهيل PPS عبر اصطناع 2 -ثنائي كلورو بنزن و كبريت الصوديوم 3 . ولقد بدأ الإنتاج التجاري لبوليمير PPS عام 1972. إضافة إلى ذلك فقد جرى وصف عدّة أنواع من 4 PPS، وهي مبيّنة في الشكل (1-5).

تتصف بوليميرات پولي(آريلين ثيواپيثر كيتون) بمقاومة ممتازة للحرارة، ولكنها ذات استقرار حراري سيّئ عند الصهر. أمّا بوليميرات پولي(آريلين ثيواپيثر كيتون كيتون) فهي غير مناسبة للإنتاج الصناعي بسبب الحاجة إلى استعمال مذيبات بلمرة، ومونوميرات خاصّة 4.

الشكل (5-1): أنواع پولي(سلفيد الفينيلين)

لبوليمير بولي (آريلين ثيو إيثر كيتون كيتون) درجة انصهار مرتفعة جدّاً عند 410°C، ومن ثَمّ فإنّ درجة معالجة صهارتها مرتفعة إلى حدّ أنها تسعى عند معالجة صهارتها إلى فقدان تبلّرها، والتعرّض إلى التشبيك التصالبي أو الكرّبنة، ممّا يؤدّي إلى ارتفاع سريع في لزوجتها 4.

1.5. المونوميرات

المونوميرات الاصطناع PPE مبيّنة في الجدول (5-1)، وفي الشكل (5-2). الأكثر شيوعاً هو استعمال p-ثنائي كلورو بنزن.

الجدول (5-1): المونوميرات في حالة بولي (سلفيد الفينيلين)

(
ملاحظات	المونومير
القياسي	- p-ثنائي كلورو بنزين
مونومير مشترك	4،4′-ثنائي بروموبيفينيل
مونومير مشترك	4،4′-ثنائي فلوروبيفينيل
بوليمير ات متشعّبة ⁵	5،3،1-ثلاثي كلورو بنزين
بوليميرات متصلّدة حراريّاً ⁵	p-نادیمیدو کلورو بنزین
لتطبيقات پولي(آريلِ إيثر سلفيد) البصريّة ⁶	بيس-(خماسي فلوروفينيل)- سلفيد
لتطبيقات پولي(آريلُ ِ ايثر سلفيد)	بيس -(4-فلوروفينيل)- سلفيد
7 تحضير مخبر <i>ي</i>	4-برومو بنزين ثيولات النحاس

الشكل (5-2): مونوميرات مستعملة في يولى (سلفيد الفينيلين)

2.5. البلمرة والتصنيع

1.2.5. السيرورة القياسية

الطريقة التقايديّة لتصنيع PPS هي بتفاعل مركّب عطري مُهاْجَن، مثل - تنائي كلورو بنزن وسلفيد الصوديوم (- Na $_2$ S×9 H $_2$ O) في مذيب عضوي لا بروتوني، من قبيل N-ميثيل -2-بيروليدون (NMP) تحت جو من الآزوت. يبيّن الشكل (- 0-3) اصطناع PPS. في البدء تجري إزالة الماء من سلفيد الصوديوم بتسخين تحضيري حتّى درجة حرارة - 160°C على مدى 88 ساعة - مكن للمواد التي يجري الحصول عليها بهذه الطريقة أن تقولب على هيئة أغشية قاسية بدرجة حرارة - 290°C. ولكنّ إجراء التفاعل في حجيرة من الفولاذ غير القابل للصدأ يستغرق زمناً أقلّ.

1.1.2.5. إزالة الماء

من المهم إز الة الماء من سلفيد الصوديوم المائي لإنتاج عامل سلفدة مناسب. تجري إز الة الماء من سلفيد الصوديوم ذي التسع جزيئات ماء بالتقطير في كميّة ضخمة من مذيب أميد عضوي. عمليّاً، يكون المحتوى المائي $0.8 \, \mathrm{mol} \, \mathrm{mol}^{-1}$ من سلفيد

المعدن القلوي. إذا تجاوز المحتوى المائي مقدار ¹-2.5 mol mol ، ينخفض معدّل التفاعل، وتتكوّن نواتج جانبيّة مثل الغينولات، وهذا يؤدّي إلى زيادة مرحلة التتقية النهائيّة. إضافة إلى ذلك تكون درجة البلمرة منخفضة. أمّا إذا كان المحتوى المائي أخفض من ¹-0.5 mol mol ، فعندئذ يكون معدّل التفاعل سريعاً إلى حدِّ لا يتيح الحصول على أوزان جزيئيّة عالية بالقدر الكافي، ويمكن لتفاعلات غير مرغوبة، كالتفاعلات الجانبيّة، أن تحدث.

أثناء خطوة إزالة الماء ينطلق أيضاً سلفيد الهيدروجين. يمكن أن يسبب هذا مشكلة، لأنّ كميّة سلفيد المعدن القلوي تتغيّر عندئذ بأسلوب غير مُتَحكَّم به. ولتحقيق درجة عالية من البلمرة، ينبغي أن يكون سلفيد المعدن القلوي والمركّب العطري الثنائي الكلور وفق نسبتهما الستوكيومتريّة (أي وفق الأمثال التفاعلية). وأبعد من ذلك فإنّ سلفيد الهيدروجين المتطاير من عمليّة إزالة الماء هو مادّة مؤذية، لذلك يجب تحليل سلفيد الهيدروجين المتطاير من عمليّة إزالة الماء بدقة لتحديد كميّة الكبريت المتبقية في وعاء التفاعل. ويجب جمع سلفيد الهيدروجين المفقود لإعادة استعماله مجدّداً عملاً بالمقتضيات البيئيّة 9. يمكن جمع سلفيد الهيدروجين المنطلق في MMP خارج وعاء التفاعل. درجة حرارة الامتصاص أخفض من درجة حرارة الغرفة. وتمكن إعادة توليد السلفيد بوسط قلوي.

2.1.2.5 المُحفّز

يمكن تقصير زمن اصطناع البوليمير، إمّا بتقصير زمن إزالة الماء لمركّب السلفيد، أو بتسريع معدّل البلمرة باختيار محفّزات بلمرة مُناسبة.

مُحفزات البلمرة المناسبة هي كربوكسيلات معدنيّة عضويّة. إنّ أملاح الليثيوم عالية الانحلال في منظومة التفاعل، وذات مفعول محفّز كبير، ولكنه غالي الثمن. وتعدّ أملاح البوتاسيوم والروبيديوم والسيزيوم وأملاح المعادن القلوية الترابيّة سيّئة الانحلال في منظومة التفاعل. وتعطى أملاح الصوديوم الأفضليّة في الاستعمال لأنها رخيصة وتقبل باعتدال الانحلال في منظومة البلمرة. وعليه يعتبر ملح خلاّت الصوديوم محفّزاً مفضيّلاً 10. وتعتبر مركبات الأمين الحلقيّة، والمركبات العطريّة ذات الذرات المغايرة من النمط N، ومركبات السلفوكسيد العضويّة صفاً آخر من المحفّزات.

يوضتح الجدول (5-2) أثر الليثيوم بصفته مُحفَّراً. لقد جرى تحضير كلا البوليميرين في الجدول (5-2) بالأسلوب نفسه تقريباً. عمليّة إزالة الماء تمّت في 50 دقيقة وعند درجة حرارة نهائيّة حوالى 20° C إلى 210° C وكانت النسبة الموليّة للمحفّز إلى المركّب الكبريتي مثبّتة عند نهاية التفاعل إلى 0.60. ووصلت درجة الحرارة النهائيّة عند نهاية التفاعل إلى 260° C.

الجدول (2-5): أثر محفّز الليثيوم

معدّل تدفّق الصهارة ^a	المحفّز	$ m H_2O/S$ النسبة الموليّة
30	بنزوات الليثيوم	0.93
100	بنزوات الصوديوم	1.19

معدّل تدفّق صهارة البوليمير بالغرام لكل 10 دقائق. ASTM D 1238-86

في هذه السيرورة التقليديّة هناك مشكلة في صعوبة إزالة كلور الصوديوم كناتج ثانوي من الراتنجات بالغسل، لأنّ كلور الصوديوم لا ينحلّ في المذيبات مثل NMP، ويبقى مندمجاً بالراتنجات. لذلك تجذب سيرورة تعتمد أحد أملاح الليثيوم، عوضاً عن ملح الصوديوم، الانتباه إليها بصفتها سيرورة تغيد في تجاوز هذه العقبة. ينتج كلور الليثيوم بصفته ناتجاً ثانوياً من تفاعل البلمرة، وهو قابل للانحلال في العديد من المذيبات العضويّة اللا بروتونيّة مثل NMP. لذلك يكون من السهل نسبيّاً خفض محتوى الراتنج من الليثيوم. ولكن الليثيوم أغلى ثمناً بكثير من الصوديوم، لذلك يُعدّ استرجاع وإعادة استعمال الليثيوم أمراً أساسيّاً. ولقد جرى اقتراح طرائق لإعادة تدوير الليثيوم 13,12.

في المرحلة المبكرة من إنتاج بولي (سلفيد الآريلين) (PAS) كان من الممكن الحصول على بوليمير ذي وزن جزيئي مرتفع فقط بتحضير بوليمير ذي درجة منخفضة من البلمرة ثم يسخن البوليمير بوجود الهواء لإخضاعه لعمليّة تشبيك تصالبي مؤكسد. ومنذئذ جرى تحسين عمليّة الإنتاج لتطوير سيرورة تفيد في الحصول على بوليمير PAS ذي وزن جزيئي مرتفع بتفاعل بلمرة. أتاحت هذه السيرورات الحصول على أنواع خطيّة

وذات وزن جزيئي مرتفع من PAS. يمكن تلخيص المشاكل التي تواجه إنتاج أنواع ذات وزن جزيئي مرتفع كما يلي ⁹:

- 1. تتغيّر نسبة سلفيد المعدن القلوي إلى المونومير بسبب تبخر سلفيد الهيدروجين. وهذا يجعل درجة بلمرة البوليمير متغيّرة.
- إنّ تبخر سلفيد الهيدروجين يجعل أيّ سيرورة قابلة للتكرار لإنتاج PAS ذي درجة عالية من البلمرة سيرورة مُتعبة.

يمكن الحصول على PPS ذي وزن جزيئي مرتفع عندما تُجرى سيرورة البلمرة في مرحلتين. نحصل في المرحلة الأولى على ما قبل البوليمير (Prepolymer)، وفي المرحلة الثانية تجري زيادة نسبة الماء إلى السلفيد إضافة إلى رفع درجة حرارة البلمرة وتُستكمل السيرورة تحت هذه الشروط ¹⁴. ولقد جرى وصف سيرورة وتجهيزات للبلمرة المستمرة لبوليمير PPS.

3.1.2.5 المُعدِّلات

يمكن استعمال المركبات وحيدة الهالوجين بصفتها مُعدِّلات للوزن الجزيئي. وبالمقابل، لتكوين بوليمير متشابك أو متشعب، يمكن استعمال عامل تشبيك تصالبي أو عامل تشعيب، مثل 5،3،1-ثلاثي كلوروبنزين. كما إنّ مركبات عطريّة مُهاْجَنَة ذات هيدروجين نشط، مثل مركبات ثنائي كلوروآنيلين، هي أيضاً وظيفيّة 10.

يزيد ملح الصوديوم من البنزوسُلفيميد، أي ساكارينات الصوديوم، الإيميد الحلقي من حمض o-سُلفوبنزويك، الوزن الجزيئي للبوليمير. الآليّة ليست مشروحة 16.

4.1.2.5 التنظيف

من الضروري، عندما تنتهي مرحلة البلمرة، أن يجري استرجاع المذيب، وأن يُغسل ويُجفّف الراتنج. يشتمل العمل أساساً على الخطوات التالية 17:

- تبرید مزیج التفاعل لتکوین PAS جُسیمی معلّق.
- فصل البوليمير ذي الوزن الجزيئي المرتفع عن الأوليغوميرات الخطية أو الحلقية،
 والمواد غير المتفاعلة، والماء.
 - التجفيف تحت الخلاء.

لقد جرى وصف عدّة تنوّعات من هذه السيرورة 17. بإضافة NMP، ينفصل مزيج التفاعل إلى طورين، طور سائل كثيف غني بالبوليمير، وطور أقل كثافة يحتوي على الأوليغوميرات، والمواد غير المتفاعلة. يمكن استعمال الطور الأقل كثافة لاسترجاع لاحق لجزء عالى الوزن الجزيئي، أو لإعادة استعماله في خطوات بلمرة لاحقة 19,18.

ولقد جرى تصميم سيرورة للغسيل المستمر بدفق مُعاكس للتيّار من سائل الغسيل. يجب أن يكون سائل الغسيل قابلاً للانحلال في الماء وفي المذيب المستعمل في تفاعل البلمرة، مثل NMP. لإعادة التدوير بالتقطير، يجب أيضاً أن يكون له درجة غليان أخفض من تلك الموافقة للماء. في عمليّة الغسيل، يجري استخلاص وغسل كلِّ من NMP والنواتج الثانويّة الملحية، والأوليغوميرات من دقائق PPS الجسيمي. تتألّف عمليّة الغسل من مرحلتين، سوائل الغسيل فيهما هما الأسيتون والماء بالترتيب 20.

يجري بعد ذلك تجفيف الكعكة الرطبة مدّة 13 ساعة في فرن درجة حرارته $^{\circ}$ 200 ppm بهدف استعادة البوليمير. إنّ تركيز NMP في الجسيمات المجفّفة هو حوالى 200 ppm وتركيز $^{+}$ Na فيها يساوي ppm $^{-}$ 1300 ppm المسترجعة بعمليّة الغسيل المستمر على مرحلتين هي 95 في المئة من كميّة PPS الموجودة أصلاً في المعلّق الطيني على مرحلتين هي 95 في المئة من كميّة النخل ذات الإشكاليّة التجاريّة بصفتها مرحلة البوليميري. لا تشتمل السيرورة على مرحلة النخل ذات الإشكاليّة التجاريّة بصفتها مرحلة أساسيّة، ولكن يمكنها فعليّاً استرجاع جسيمات PPS من المعلّق البوليميري. ثمّ يعالج البوليمير بمحلول حمض قوي ذي pH أقلّ من 2، بصفتها طريقة لرفع درجة حرارة التبلور 8 .

يجري الحصول على PPS عالي البياض وذي لزوجة صهارة مرتفعة بإضافة كميّات صغيرة من مركّب للتوتياء إلى تغذية البلمرة 8 . ينبغي أن يكون مركّب التوتياء قابلاً للانحلال في المعلّق الطيني البوليميري بعد التفاعل، ويفضّل أن يكون كلور التوتياء.

يمكن التحكم بقياس جسيمات PPS المتكونة في المُفاعل بضبط الدفق الارتدادي في المرحلة الأخيرة من تفاعل البلمرة. يمكن تفسير هذا المفعول كما يلي: عند تبريد أو تسخين الجزء العلوي من المُفاعل يزداد أو ينقص، بالترتيب، الدفق الارتدادي من الطور الغازي إلى المفاعل. إن هذا الدفق الارتدادي غني بالماء وذلك مقارنة بمُجمل الطور السائل. ويتأثّر بذلك توزيع الماء قرب السطح العلوي للطور السائل في المفاعل، وهذا

يؤدّي بدوره إلى تغيير المحتوى المائي لمجمل الطور السائل، ويجعل جسيمات PAS أدقّ أو أخشن 22,21.

يمكن زيادة الوزن الجزيئي لـ PPS بالمعالجة الحراريّة. تسمّى هذه السيرورة النصاجاً. إضافة إلى ذلك، يجري ضغط المسحوق أثناء المعالجة الحراريّة. عموماً، يجري النصاج مسحوق PPS والمسحوق المضغوط من PPS وذلك قبل استعماله في تكوين المُنتجات النهائيّة 23. في الأصل، تجري عمليّة الإنضاج دفعة واحدة، ولكن لقد جرى وصف سيرورة نصف مستمرّة يضاف فيها البوليمير غير الناضج إلى وعاء الإنضاج على نحو متقطع أيضاً 24.

يمكن استعمال إضافات للتأثير في الإنضاج ، وهي تشمل o-ثنائي هيدروكسي بنزين، و p-كينون و كينهيدرون 25.

2.2.5. طرائق تحضير أخرى

تمكن بلمرة 4-برومو بنزين ثيولات النحاس بدرجة حرارة 200° C في محلول الكينولين 26,7. تُظهر مطيافيّة طنين السبين الإلكتروني وجود جذور عضويّة حرّة على مدى عمليّة البلمرة. كما تلاحظ بالإضافة إلى ذلك شوارد Cu^2 . توحي هذه الظواهر بوجود آليّة بلمرة جذريّة. ولقد كان هناك شكّ مبكّر أنّ آليّة التفاعل لا تمكن أن تقتصر على مجرّد بلمرة عاديّة بالتكاثف 27. إضافة إلى ما سبق، يمكن تحضير PPS بأكسدة ثيوفينول مع كلوريد الثيونيل بوجود أحماض فائقة 28.

3.2.5. يولى (سلفيد الفنيلين) المؤكسد

تمكن أكسدة كِسْرة السلفيد في PPS لتكوين زمرة سُلفوكسيد. يؤدّي ذلك إلى استقرار حراري أعلى. جرت الأكسدة كتفاعل بوليميري مُشابه باستعمال حمض الخلّ وحمض الآزوت المركّز مدة 24 ساعة بدرجات حرارة بين 0° C و 0° C. ولكن، تحتاج هذه السيرورة أزمنة تفاعل طويلة، ويمكن أن يُهاجم حمضُ الآزوت الحلقات العطريّة.

تقود أكسدة بوليميرات PAS بالأوزون إلى تكوّن بوليميرات پولي(آريلين سُلفوكسيد)، بانتقائيّة عالية. يجري هذا التفاعل على الرغم من كون الأوزون مؤكسداً بالغ القوّة. لذلك

فإنّ الكميّة المناسبة من الأوزون تتيح تحويل روابط الكبريت إلى روابط سُلفوكسيد إمّا جزئياً أو كليّاً 30 . تُجرى الأكسدة في تيّار من مزيج الأوزون وغاز خامل تركيز الأوزون فيه 2-6 في المئة حجماً. إنّ لاختيار وسط التعليق تأثير حاسم. ففي حالة معلّق كلوريد الميثيلين، تتحقّق أكسدة كاملة إلى السُلفوكسيد في وقت قصير.

تمكن أكسدة زمرة السلفيد في PPS في مزيج حمض الخلّ الثلجي، وحمض الكبريت المركّز وبيروكسيد الهيدروجين المركّز عند درجة حرارة 55° C لمدّة ثلاث ساعات لتعطي بوليميراً فيه زمر سُلفون 31° . يُستعمل هذا البوليمير المعدّل مع بوليمير پولي(رباعي فلورو الإثيلين) (PTFE) في المواد المركّبة ذات المقاومة المحسّنة للسحج.

4.2.5. البوليميرات المشتركة

لقد جرى تحضير بوليميرات مشتركة بوحدات فينيلين وبيفينيلين مفصولة بزمر سافيد وفق سيرورة مشابهة بشكل أساسي للسيرورة التقليديّة. تُصنع وحدة البيفينيلين من 4،4′-ثنائي فلوروبيفينيل و 4،4′-ثنائي بروموبيفينيل، وتصنع وحدة الفينيل من 9-ثنائي كلوروبنزين 32٪. تُحمّل خلاّت الصوديوم وكبريت هيدروجين الصوديوم في محمّ مع NMP بصفته مذيباً. وفي نهاية فترة التسخين التي مدّتها 150 دقيقة ودرجة حرارة تصل إلى 310°C، يتكوّن ضغط مقداره حوالي 25 bar داخل المحمّ.

هناك سيرورة على مرحلتين تستعمل اصطناع أوليغومير لـ PPS درجة بلمرته تساوي حوالى 5 في المرحلة الأولى. يقترن هذا الأوليغومير مع 4،4'-ثنائي كلورو بنزوفينون ليعطي بوليميراً مشتركاً يحمل روابط كيتون وسلفيد في السلسلة الرئيسيّة 4. تتمتّع هذه البوليميرات المشتركة باستقرار صهارة كافية لتطبيق تقنيات معالجة الصهارة التقليديّة.

5.2.5. بوليميرات التصلُّد الحراري

1.5.2.5. وحدات الناديميد

عندما يضاف p-ناديميدوكلوروبنزين بصفته مركباً ثنائي الكلور وحيد الوظيفة إلى المزيج التفاعلي من السلفيد ومركّب عطري ثنائي الكلور، نحصل على أوليغومير مغطّى

النهاية ذي رابطة ثنائية متدلية 5. ثم تمكن إضافة مركب ثلاثي الوظيفة، مثل ثلاثي كلوروبنزين، للتعويض عن المركب ذي الوظيفة الوحيدة وذلك فيما يتعلق بالوزن الجزيئي. يمكن بيسر الحصول على أوليغوميرات ذات أوزان جزيئية تتراوح بين 1000 و 6000 دالتون. تجري عملية تكون الأوليغوميرات بدرجة حرارة 225-260 درجة مئوية. عند درجات الحرارة هذه تبقى الروابط الثنائية غير نشطة.

يستعمل محلول الأوليغوميرات في رباعي هيدروفوران (THF) لتشريب الأقمشة. ثُمّ تُجفّف الأقمشة وتُقوّى تحت ضغط 7 bar. ويجري الإنضاج عند 330°C لمدة ساعة أو ساعتين. تُبدي المادّة المركبة النهائيّة مقاومة عالية للمذيبات، ومقاومة إزاء النزع الصفيحي، ومقاومة للقص، وخواص حراريّة مؤكسدة، وحراريّة ميكانيكيّة.

لا تقتصر طريقة تغطية النهاية على PPS بصفته أوليغوميراً وعلى الناديميد بصفته غطاء النهاية. إذ يمكن، بالاعتماد على المبدأ الموصوف أعلاه، تكوين أنماط من بوليميرات التصلّد الحراري ذات سلاسل رئيسيّة مختلفة 33.

2.5.2.5 وحدات الإثينيل

يحضر بوليمير بولي(آريلين إيثر سلفيد) (PSI) المُفَاور من تكاثف بيس-(خماسي فلورو فينيل)-سلفيد مع 4،4/-(ثلاثي فلورو ميثيل فينيل-إيزوبروبيليدين)ثنائي فينول، وهو بيس فينول A مُفَاور ميثيليًا 34.

وفي تفاعل مشابه، يُستعمل بيس - (خماسي فلورو فينيل) - سُلفون في تحضير بوليمير بوليمير بوليمير المين أريلين أيثر سُلفون) (PAES). يُحضّر بيس - (خماسي فلورو فينيل) - سُلفون بأكسدة بيس - (خماسي فلورو فينيل) - سلفيد. وفي المرحلة التالية يُربط 3- إيثينيل فينول أو 4- (فينيل أيثينيل) فينول بـ PSI أو PAES قو تطبيقات أدلة الأمواج البصرية.

6.2.5. المزائج والمواد المركبة

يمكن تكييف أو تحسين خواص PPS لأجل بعض التطبيقات وذلك بتصنيع بعض التركيبات. يلخص الجدول (5-3) تركيبات مبنيّة على أساس PPS.

الجدول (5-3): تركيبات بولي (سلفيد الفينيلين)

ملاحظة امرجع	المُعدّل
مقاومة للصدم مُحسّنة ³⁷⁻³⁷	بوليميرات مشتركة من ميتاكريلات الغليسيديل
مقاومة للصدم مُحسّنة ⁴⁰	بوليميرات مشتركة من إيثيلين\ أكريلات البوتيل\ أنهيدريد المالبيك
مقاومة للصدم مُحسّنة ³⁹	بوليمير ات مشتركة كتائية التعاقب من ستيرين اپيثيلين- بوتيلين ستيرين
خواص كهربائيّة مُحسّنة لتطبيقات الألياف	پولي(أميد) MgO، (PA)،
البصريّة. ⁴¹	
خواص ميكانيكيّة مُحسّنة. ⁴²	مطاط السيليكون وأمينوسيلان
تخفيض اللزوجة. ⁴³	بوليميرات البلّورات السائلة

1.6.2.5 تعديل مقاومة الصدم

يبدي بوليمير پولي (سلفيد الفينيلين) مقاومة ضعيفة للصدم، وهو لذلك هشّ. تعود المحاولات لتحسين مقاومة الصدم إلى عام 1983، عندما جرى دمج البوليميرات المشتركة من الإثيلين اميتاكريلات الغليسيديل في PPS بصفتها مُعدِّلات لمقاومة الصدم 37. ولكن لم يكن التصاق معدّلات مقاومة الصدم إلى PPS مرضياً، واقتُرحَ تحسين ذلك بمعالجة PPS بحمض مائي قبل الاستعمال، وذلك لتحسين خواص الالتصاق 38.

يُحسن تعديل PPS بمطّاط السيلكون والأمينوسيلان الخواص الميكانيكيّة 42. ويُعتقد أنّ الأمينوسيلان يعمل على تحقيق التوافق بين مطّاط السيليكون و PAS. فقد وُجد أنّ راتنجات PAS المفتقرة لإضافة الأمينوسيلان والمحتوية على مطاط سيليكون محمّل بوظائف تمثلك خصائص صدم واستطالة مختلفة مقارنة براتنجات PAS المحتوية على

أمينوسيلان ومطاط سيليكون غير محمّل بوظائف. ويُعتقد أنّ الأمينوسيلان، ومطّاط السيليكون غير المحمّل بوظائف و PAS تتفاعل في الصهارة 42.

طريقة أخرى لتحسين مقاومة الصدم تتمثّل في استعمال تربوليميرات (أ) مكونة من الإثيلين وأكريلات الإيثيل وميتاكريلات الغليسيديل، وتربوليميرات مكونة من الإثيلين وأكريلات البوتيل وأنهدريد المالييك بصفتها مُعدِّلات 40. تتحسن مقاومة الصدم للتركيب مع PPS بناءً على السيرورة الخاصة التي تُتبع لدمج المُعدِّلات. ينبغي توزيع المُعدِّلات بتجانس داخل حاضنة PPS البوليميريّة، حيث يحدث تشبيك تصالبي جزئي. وهكذا تُمزج صهارة PPS مع معدِّلات مطاط الإبوكسي الذي يمكن أن يتشبّك تصالبياً أثناء مزج الصهارة.

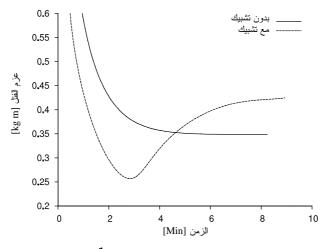
تُحضّر المادّة المركّبة بالمزج الجاف لأحد التربوليميرات مع PPS، ثم الصهر فالعجن، ثم يُضاف التربوليمير الآخر. لقد جرت تجربة طرائق تحضير أخرى، ولكنّ هذه الطريقة تُعطي أفضل النتائج. درجة حرارة العجن هي 290°C إلى 330°C. إذ لا تُتيح درجات حرارة منخفضة انصهاراً جيّداً لـ PPS يُحقّق توزيعاً متجانساً، وبالمقابل يمكن لدرجات الحرارة المرتفعة أن تؤدي إلى تلف الـ PPS وغيره من المركّبات. إنّ قياس عزم الفتل أثناء العجن هو أفضل مقياس على مدى التشتيت والتشبيك. في مرحلة البدء، عندما يبدأ المزيج البوليميري بالانصهار والتجانس، ينخفض عزم الفتل. وبعد إضافة البوليمير الثاني يحصل تشبيك تصالبي جزئي يدلّ عليه ازدياد في عزم الفتل. ثمّ بعد حوالى خمس دقائق، يستقر عزم الفتل مستقراً بعد إضافة المركّب الثاني.

عندما يُدخَل البوليمير المحتوي على أنهيدريد المالييك في آلة العجن يلاحظ ازدياد في عزم الفتل بعد ثلاث دقائق من مزج PPS والبوليمير، ويُرْجَع ذلك إلى تفاعل تشبيك تصالبي. وعندما تُمزج جميع المركبات في آن معاً لا يلاحظ أي تشبيك ⁴⁰. يبيّن الشكل (5-4) عزم الفتل تابعاً للزمن. من الممكن بهذه الطريقة الحصول على تشتيت جيّد لطور مطّاطي في حاضنة PPS، مع تماسك جيّد للسطح البيني. تُظهر التركيبات ازدياداً عالياً في المرونة مُقارنة ببوليمير PPS الصافى.

⁽المترجم). بوليمير ات مشتركة من ثلاثة أنواع من المونومير ات (المترجم).

في التطبيقات الكهربائية والإلكترونية، مثل فواصم الدارات، والقضبان المتعدّدة الأقطاب، ومصابيح الانقطاع، ينبغي أن تتوفّر مادّة تجمع بين مقاومة الحرارة، والخواص الكهربائية الجيدة، وتحديداً مقاومة الشرارات الكهربائية والتيّارات السطحيّة. يُظهر PA مُقاومة جيّدة للحرارة، ويمكن تحسين الخواص الكهربائيّة بصياغة تحتوي على PA وهيدروكسيد المغنزيوم. وإضافة إلى ذلك نُقوّى المادّة المركّبة بالألياف الزجاجيّة(GF).

لقد جرى وصف مزائج من PAS و يولي (إيثر الفينيلين)، براتنج البولي إستر وموققات. يجب أن يكون البولي إستر عطرياً، مثل بولي (ترفتالات الإثيلين)، أو بولي (ترفتالات ثنائي ميثانول حلقي الهكسيلين)، أو بولي (ترفتالات البوتيلين) (PBT). وبسبب سعي البولي إسترات إلى التحلّل المائي عند البثق أو القولبة في درجات الحرارة التي تواجهها التركيبات، يُفضل أن يكون البولي إستر خالياً من الماء خلواً جوهرياً. تعتبر الأورثوإسترات (Orthoesters) والمركبات المحمّلة بوظائف الإبوكسيد مُوافقات مناسبة 41.



الشكل (5-4): عزم الفتل بدلالة الزمن

2.6.2.5. تخفيض اللزوجة

تُبدي مزائج بوليميرات البلُورات السائلة (LCP) من البولي إستر و پولي(إستر أميد) بـ PAS لزوجة صهارة منخفضة ⁴³. تُصنع بوليميرات البولي إستر LCP من بلمرة حموض ثنائية الوظيفة، أو من بلمرة حموض هيدروكسيديّة عطريّة،

مثــل حمض 4-هيدروكسي بنزويــك وحمض 6-هيدروكسي -2-نفتويــك. في بوليميــرات البلّورات السائلة پولي(إستر أميد)، يُستعاض عن بعض زمر الهيدروكسيل في المونومير بزمر أمينو.

تُحضر المزائج بمزج الصهارة في باثق. وإذا اشتمل ذلك على مالئ غير عضوي، كالزجاج مثلاً، فيفضل أن يُضاف في مرحلة المزج الأخيرة، وذلك بعد أن تُمزج البوليميرات، للإقلال من تحطّم أو تشظّي المالئ. تُجفّف البوليميرات قبل المزج بتسخينها في جو جاف عدّة ساعات. تُعدّ هذه المزائج مفيدة بوجه خاص في تصنيع الوصلات الإلكترونية. إن خفض لزوجة الصهارة الناجم عن إضافة من بوليمير البلور السائل بولي (إستر أميد) مفيد في قولبة القطع المعقّدة ذات الحفر الصغيرة، التي من الصعب ملؤها ببوليميرات لزوجتها أعلى.

7.2.5. بوليميرات پولي (آريلين إيثر سلفيد)

إنّ بوليميرات PSI هي نوعٌ من بوليميرات پولي(إيثرسُلفون). يمكن الوصول إلى هذه المركّبات عن طريق بلمرة بيس -(4-فلوروفينيل)-سلفيد و بيس فينول A مثلاً 45 . زمرة السلفيد موجودة أصلاً في الوحدة المونوميريّة، وتشتمل البلمرة على تكوين زمرة الإيثر في السلسلة الرئيسيّة. يبيّن الشكل (5-5) اصطناع بيس -(4-فلوروفينيل)-سلفيد.

التفاعل أساساً هو تفاعل فريدل- كرافتس يستعمل كلوريد الثيونيل متبوعاً بإرجاع السلفوكسيد إلى السلفيد باستعمال كلوريد الأوكسالويل. تُتشّط زمرة السلفيد ذرّة الفلور للبلمرة بالاستبدال العطري النيوكليوفيلي. وهكذا، يمكن بيسر إنتاج رابطة الإيثر في السلسلة الرئيسيّة للبوليمير باستبدال عطري نيوكليوفيلي. يجري التفاعل مع بيس فينول A بدرجة حرارة \$150°C.

 45 الشكل (5-5): اصطناع بيس -(4-فلوروفينيل)-سافيد

8.2.5. بوليمير پولي (فينيلين سلفيد فينيلين أمين)

لقد جرى اصطناع بوليميرات مشتركة عطريّة تحمل رابطة السلفيد ورابطة الأمين في السلسلة الرئيسيّة، أي پولي (4،1-فينيلين سلفيد -4،1-فينيلين أمين) (PPSA). يبيّن الشكل (5-6) هذا التفاعل مبسّطاً.

يمكن أيضاً الحصول على PPSA بتكاثف ميثيل -(4-أنيلينوفينيل)سلفيد مع خماسي كلوريد الأنتيمون 46 . يجري التفاعل في الكلوروفورم عند 68 C. سيرورة التفاعل مبيّنة في الشكل (5-7). تتبع البلمرة خطوة إز الة الميثيل، كما هو مبيّن في الشكل (5-6).

إنّ بوليمير پولي(أنيلين) (PANI) هو بوليمير موصل كهربائيّاً، ويُستعمل في تقانة أنصاف النواقل العضويّة. إنّ هذه البوليميرات المشتركة مهمّة لأنّها يمكن أن تجمع الخواص الحراريّة الجيّدة لبوليمير PPS مع الخواص الفريدة لبوليمير PANI .

وبالأسلوب نفسه جرى اصطناع بولي (فينيلين سلفيد- فينيلين أمين- فينيلين أمين) (PPSAA) عن طريق بوليمير طليعي قابل للانحلال عبر تفاعل بلمرة بالتكاثف محرَّض حمضياً لـ N-(4-ميثيل سُلفينيل) فينيلين-N-فينيل-4،1-فينيلين ثنائي الأمين 49. تجري البلمرة بمعالجة المونومير بحمض الميثان السلفوني مدّة 24 ساعة بدرجة حرارة الغرفة. تجري إزالة الميثيل بتقطير مرتد للبيريدين. يُعطي الترسيب في الميثانول PPSAA كمركب صلب ذي لون أرجواني فاتح بمردود قدره 91 في المئة.

بيّنت تجارب أجريت على مركّبات نموذجيّة في حالة PPSAA أنّ طبيعة الحمض مهمّة لتحقيق النجاح. إنّ حمض الميثان السلفوني هو اختيار جيّد. وإذا استُعملت أحماض أقوى مثل حمض البركلوريك أو حمض ثلاثي فلوروميثان السلفوني، انخفض المردود انخفاضاً كبيراً.

يمكن تفسير هذا السلوك بسيرورة أكسدة وإرجاع بين الجزيئات، لكونها تفاعلاً مُسيطِراً على تفاعل النقارن بوجود أحماض قويّة جداً. بوجود أحماض قويّة، يتأكسد الآزوت ليكوّن بنية N = 49 = 10. ينعكس هذا السلوك في حالة PPSA حيث تزداد الأوزان الجزيئيّة مع ازدياد قوّة الحمض. إنّ هذا المركّب ذا الوزن الجزيئي المرتفع يقبل الانحلال قبولاً استثنائيّاً في المذيبات العضويّة الشائعة مثل THF، و N،N-ثنائي ميثيل فورمْ أميد (DMF) و PPSAA أنّ هذا البوليمير Avoc أن هذا البوليمير مستقرّ تحت الآزوت حتى درجة حرارة 340° C.

9.2.5. بوليميرات پولي (ثنائي ثيا ثيانثرين)

ينتمي بوليمير پولي(ثنائي ثيا ثيانثرين) إلى البوليميرات من النمط السُلَمي الشكل. يجري اصطناعه بتكوين حلقات داخل الجزيئات في بوليمير پولي (m-سلفيد الفينيلين) المُستبدّل فيه ميثيل سُلفونيل. تُعطي عمليّة إزالة الميثيل تحت تأثير حمض قوي بوليمير پولي(ثنائي ثيا ثيانثرين) 50. التفاعل الأساسي هو نفسه المبيّن في الشكل (5-6).

 47 الشكل $^{(5-6)}$: التكاثف العطري لزمرة الميثيل سُلفونيل متبوعاً بإزالة الميثيل

الشكل (5-7): تكاثف بتكاثف ميثيل -(4-أنيلينوفينيل) سلفيد مع خماسي كلور الأنتيمون

يمكن الوصول إلى بوليميرات پولي(إيميد) مع زمر ثنائي ثيا ثيانثرين من تفاعل ثنائيات الأمين العطريّة من ثيان ثرين -8،7،3،2-رباعي كربوكسيل ثنائي أنهيدريد. يمكن اصطناع ثيان ثرين -8،7،3،2-رباعي كربوكسيل ثنائي أنهيدريد عبر استبدال عطري نيوكليوفيلي لمركّب N-فينيل -4،5-ثنائي كلوروفتال ْ إيميد مع ثيوبنز أميد، أو ثيوأسيت أميد، وكبريت الصوديوم. تتمتّع البوليميرات التي نحصل عليها باستقرار حراري جيّد في الهواء وفي جو الآزوت. البوليميرات ليست متبلورة ولا تنحل ً إلاّ في حمض الكبريت H_2SO_4 .

10.2.5. بوليميرات پولي (آريل إيثر ثيانثرين)

إنّ مركب 7.2-ثنائي فلوروثيانثرين، أي 7.2-ثنائي فلورو-10.9-ثنائي ثيا أنتراسين، انظر الشكل (5-8)، هو مونومير لبوليميرات پولي (آريل إيثر ثيانثرين). إنّ هذا المونومير مركب صلب بلّوريّ ذو درجة انصهار مرتفعة، ويتصعد تحت الضغط المنخفض، مما يبسّط عملية تنقية البوليمير عند اصطناعه. ويمكن أن يتكاثف مع بيس فينول ليعطي بوليميرات پولي(آريل إيثر ثيانثرين) 52,45.

تُقاوم بوليميرات پولي (آريل إيثر ثيانثرين) اللهب، وتمتلك قرينة انكسار مرتفعة بين 1.61 و 1.70 تبعاً لطول الموجة، ولطبيعة بيس فينول الموافق. لهذا السبب تُعتبر هذه البوليميرات مهمّة للتطبيقات البصريّة.

3.5. الخواص

إنّ PPS مادّة نصف بلّوريّة. وهي تُبدي توازناً ممتازاً في الخواص، ويشمل ذلك مُقاومة لدرجات الحرارة العالية، ومقاومة كيميائيّة، وتدفقيّة، واستقرار بُعديّ، وخصائص كهربائيّة. إن PPS هشّ. لذلك يجب ملؤه بالألياف والموالئ.

تمكن قولبة PPS بحمو لات كبيرة من الموالئ أو مواد التقوية، وذلك بسبب انخفاض لزوجة صهارته. تُحسّن الموالئ والمواد المقوية المقاومة، والاستقرار البُعدي، وغيرهما من الخواص. يُبدي PPS تبطيئاً للهب، وهو لذلك مثالي في التطبيقات الكهربائية ذات درجات الحرارة المرتفعة.

1.3.5. الخواص الميكانيكية

إنّ PPS هشّ وحسّاس للخدش. ويمكن تحقيق تحسين جوهري في متانة صدم آيزود (Izod) المثلوم بإضافة مُعدّل مطّاطي ⁵³.

2.3.5. الخواص الحرارية

يُظهر PPS درجة حرارة انتقال زجاجي T_g من 7° C إلى 7° C، وينصهر حول 7° C. إنّ PPS عالي الاستقرار الحراري. يشير قياس كمية الحرارة بالمسح التفاضلي والقياس الوزني الحراري إلى أنّ نقصان الوزن بسبب التفكّك الحراري يبدأ عند 7° C ويحدث تشبيك تصالبي واسع تحت درجة حرارة 7° C .

عند درجات التحلّل الحراري حتّى $^{\circ}$ 550°C يتكوّن الجزء الأكبر لنواتج التحلّل الحراري الطيّارة من الرباعيميرات (تتراميرات) الحلقيّة، والثلاثيميرات (تريميرات) الخطيّة، والديميرات. تتكوّن هذه النواتج من تقطّع عشوائي للسلسلة متبوع بفقدان للبلمرة ثُم تكوّن لحلقات. وكما هو متوقّع، في المجال بين $^{\circ}$ 550°C و $^{\circ}$ 500°C، تتزاح نواتج التحلّل الحراري نحو كسر أصغر مثل البنزين، والبنزين ثيول، وكبريت الهيدروجين 57,56 .

3.3.5. الخواص الكهربائية

إنّ PPS عازل كهربائي جيدٌ، حتى في درجات الحرارة المرتفعة. وتبقى المقاومة النوعية الحجمية وقوة العزل الكهربائي مرتفعتين حتّى 200°C. ويتمتّع البوليمير بثابت عزل كهربائي ومعامل ضياع صغيرين في مجال واسع من درجات الحرارة.

4.3.5. الخواص البصرية

يسعى بوليمير PPS غير المُثبّت إلى التفكك في ضوء الشمس. ينتج ذلك من تداخل طيف الامتصاص في PPS مع طيف الإشعاع الشمسيّ في المجال فوق البنفسجي، ولقد أجريت دراسة ممنهجة لإيجاد مُثبّتات ضوئيّة مناسبة 59,58. لقد أُضيف عدد واسع من ماصـّات الأشعّة فوق البنفسجيّة، المُطفّئات، ومضادّات الأكسدة إضافة بالمجمل إلى PPS. وجرى تقييم فعاليّة الإضافات في إلغاء التفكك بالأشعّة فوق البنفسجيّة.

تُظهر أسيتيل أسيتونات المعادن والمعقدات الثيو عضوية تفاعلاً متبادلاً قوياً أثناء المُعالجة، وتُعطي عينات غامقة اللون. هذه المواد غير مقبولة بصفتها مُثبّتات إزاء الأشعة فوق البنفسجية. المثبّتات الضوئية الأمينية المُعاقة (HALS) هي مثبّتات شائعة الاستعمال كمثبّتات ضوئية بوليميرية. إنّ المثبّتات الضوئية الأمينية المُعاقة غير فعّالة في تأمين الاستقرار الضوئي للبوليمير. يمكم تحقيق استقرار ضوئي ناجح لبوليمير PPS باستعمال ماصات الأشعة فوق البنفسجية عوضاً عن الإضافات من نوع المُطفّئات.

5.3.5. الانحلاليّة

يتمتع البوليمير بتوافقيّة واسعة مع المواد الكيميائيّة والمذيبات، ويقدّم مقاومة كيميائيّة أفضل من الفولاذ المقاوم للصدأ. لا مذيب معروف لبوليمر PPS تحت 200° ويُعتبر 1-كلورونفتالين مذيباً مُناسباً في درجات حرارة أعلى من ذلك. يمكن إجراء التوصيف، كقياس الكتلة الجزيئيّة بكروماتوغرافيا استبعاد المقاس، بدرجات حرارة معتدلة فقط عندما تكون المشتقات مكوّنة قبل التحليل بهدف تحسين الانحلاليّة 60. تجري أكسدة زمر

الكبريت، بمزيج من حمض الآزوت وحمض الميثان السلفوني فنحصل على بوليمير پولي (pPSO). إنّ حمض سُلفونيك الميثان هو حقيقةً مذيبً لــــ PPSO.

4.5. الإضافات الخاصة

1.4.5. مزيلات الألوان

في معظم الحالات يتمتّع بوليمير PPS بلون أصفر شاحب. وحتّى عندما يجري الحصول على PPS فائق البياض فإنّه يتلوّن بسهولة أثناء قولبة الصهارة. وعليه، تظهر الحاجة إلى وسائل خاصتة، للحصول على جسيمات PPS فائقة البياض. لقد جرى استعمال طرائق متنوّعة للإزالة المتناقصة للّون 8.

تتمثّل أبسط إجرائية بإضافة صباغ أبيض إلى راتتج PPS لتبييضه. ولكن يمكن أن ينتج من ذلك نقصان في المقاومة الميكانيكيّة. يمكن تعويض النقصان في المقاومة الميكانيكيّة بإضافة راتنج إيبوكسي. وتُعدُّ مركّبات الفوسفور العضوي إضافات أخرى لإزالة اللون.

2.4.5. مثبطات التأكّل

تسعى راتنجات PAS إلى تكوين غازات أكّالة مثل ثاني أوكسيد الكبريت عند تسخينها إلى درجات حرارة مرتفعة، وتُسبّبُ من ثَمّ معضلات كتأكّل الأجزاء المعدنية من آلات المعالجة، والقوالب، وغيرها عند قولبتها ومعالجتها. تُصنع آلة المعالجة المعتادة من مادّة مبنيّة على أساس الحديد، وهي من ثَمّ تُعاني التأكّل الكيميائي عندما تصبح في تماس مع راتنج PAS المصهور عند قولبته. ومن ناحية أخرى، تُصبح المنتجات المقولبة عرضة للتلوّن.

يسبب تأكّل القالب خسارة اقتصاديّة كبيرة بسبب ارتفاع ثمنه. وأكثر من ذلك، تصبح القولبة الدقيقة صعبة. وبهدف حلّ معضلات التأكّل المتعلّقة براتنجات PAS، فلقد جرى اقتراح مزجه بأنواع متعددة من مثبّطات التأكّل.

ولكن تُبدي بعض مثبّطات التأكّل مثل γ -ألومينا، وكربونات الكالسيوم، وأوكسيد التوتياء، وأوكز الات الصوديوم تثبيطاً غير كاف للتأكّل. وفي حالة بعض مثبّطات التأكل تتدهور المقاومة الميكانيكيّة لراتنج PAS. وتعتبر مركّبات النيكل مثل كربونات النيكل، وهيدروكسيد النيكل، وسيترات النيكل مثبّطات تأكّل أكثر إرضاءً 61 . يكون المفعول المُضاد للتأكّل مرضياً عندما يُضاف مثبّط التأكّل بنسبة 01 في المئة.

3.4.5. تخفيف الالتصاق

يمكن أن يسبب الالتصاق غير المرغوب بالسطوح المعدنية مشاكل في القولبة بالحقن، وغزل الصهارة، والتشكيل الحراري. وقد لوحظت مشاكل متنوعة متعلقة بالالتصاق عند غزل صهارة PAS. تشمل هذه المشاكل تجمّع البوليمير على سطوح المغزال الناتج من البثق الأولي للخيط واللعق الراجع لتكسّرات الخيط. تقود هذه المشاكل المتعلّقة بالالتصاق إلى فشل مبكّر في مجموعة الغزل، وخفض زمن استبدال مجموعات المغزال التالفة، ويحدُّ من استعمال PAS في بعض عمليات غزل الصهارة.

لقد جرى اقتراح تنوع من المزلقات، ومُحرّرات القوالب، مثل إسترات وأميدات الحموض الدسمة بصفتها إضافات تُخفّف التصاق البوليمير بالسطوح المعدنيّة. تعمل هذه المواد على زيادة انزلاقيّة البوليمير عند نقاط تماسّه مع سطح. في حالة PAS، لم تكن المُزلقات التقليديّة وحدها مفيدة في تخفيف مشاكل الالتصاق المتعلّقة بعمليات غزل الصهارة.

لقد تبيّن أنّه تمكن معالجة PAS في عمليات غزل الصهارة على نحو أفضل بإضافة هيدروكسيد الباريوم إلى جانب المُزلّقات التقليديّة. في الحقيقة، لقد حسّنت المعالجة بالباريوم مقاومة صهارة PAS في توليد ألياف دقيقة رهفة. يُترجَم هذا التحسين في مقاومة الصهارة بالقدرة على غزل صهارة بوليميرات ذات وزن جزيئي أخفض 62.

5.5. تطبیقات

إنّ بوليميرات PPS مواد مفيدة للقطع والتجهيزات الكهربائيّة والإلكترونيّة، وكذلك بصفتها مواد عالية الجساءة في تطبيقات متنوّعة. وبوجه خاص، لقد وُجدت لبوليميرات

PPS تطبيقات في القطع التقنيّة مثل المضخات، وقطع السيّارات، ومكوّنات الطابعات، وشاشات البلّورات السائلة.

1.5.5. المزائج المتلدّنة حرارياً المواتية للّحام

بهدف تصغير حجم المنتجات، وتحسين الإنتاجيّة في الصناعة الإلكترونيّة، فلقد جرى تطوير طريقة لحام للقطع الإلكترونيّة الراتنجيّة بهدف لصق القطع مثل الوصلات، والقواطع، والمرحّلات، ووشائع الملفات إلى لوحات الدارات المطبوعة. تسمّى هذه الطريقة باسم تقنيّة التجميع السطحى (Surface-mount technology).

تشير هذه إلى نظام تجميع يجري فيه لصق القطع الإلكترونية على لوحة دارة مطبوعة. يستعمل رابط لحام قشداني خال من الرصاص لتسهيل التصاق القطع الإلكترونية على لوحة الدارة المطبوعة. وتستعمل التركيبات المتلذنة حرارياً بصفتها مواد عازلة في القطع الإلكترونية. تُرسل بعد ذلك لوحة الدارة المطبوعة إلى فرن تسخين، ينصهر فيه اللحام مُثبّتاً بذلك القطع الإلكترونية إلى لوحة التوصيلات. تُتيح تقنيّة التجميع السطحي إجراء التجميع على وجهَيْ لوحة الدارة المطبوعة، مُخفّفة بذلك تكاليف الإنتاج.

ولكنّ التركيبات الملدّنة حراريّاً المعرّضة لرابط لحام خال من الرصاص والمستعملة بصفتها مواد عازلة تبدأ بالفشل. إنّ فقدان القدرة على العزل، الذي يحدث عموماً بعد عطل، يجعل التركيبات المتلدّنة حراريّاً غير موثوقة في مثل هذا النوع من التطبيقات.

لقد جرى تطوير تركيبة رابط لحام تتحمل درجة حرارة عالية ولا تُعاني هذه النقطة السلبيّة. يتكوّن المزيج من پولي (آريلين إيثر) (PAE) و PPS وألياف زجاجيّة. يتمتّع PAE بلزوجة جوهريّة أصغر أو تساوي حوالي "-Q.15 dlg مُحدّدة في الكلوروفورم بدرجة حرارة °2.25. يتحسّن المزج باستعمال PAE ذي لزوجة جوهريّة منخفضة، مما يؤدي إلى تحسين الخواص في درجات الحرارة العالية. البوليميرات المتجانسة من PAE هي تلك التي تحتوي على وحدات 6.2-ثنائي ميثيل فينيلين إيثر. تشتمل البوليميرات المشتركة المناسبة على بوليميرات مشتركة عشوائيّة تحتوي مثلاً على وحدات 6.2-ثنائي ميثيل فينيلين إيثر، وتمثّل ميثيل فينيلين إيثر، وتمثّل البوليميرات المشتركة من 6.3-2-ثنائي ميثيل فينول خياراً

بديلاً. يمكن استعمال PPS المشبك جزئيًا، إضافة إلى مزائج من PPS متشعّب وخطي في تركيبات درجات الحرارة المرتفعة.

يُظهر التركيب على وجه مفيد مقاومة حراريّة قادرة على تحمّل درجات الحرارة العالية التي نواجهها في الفرن. وعلاوة على ذلك، فإنّ تركيبات درجات الحرارة العالية تُطابق إلى حدّ بعيد التقلّص الحراري لـ PBT، الذي يُستعمل حالياً في تطبيقات وصلات اللحام.

يتحسن الأداء الحراري من دون أيّ تعديل في تجهيزات المعالجة القائمة، مثل آلات القولبة، والقوالب، والبواثق. كما تمكن قولبة التركيبات بهيئات وأشكال متنوّعة؛ وصلات ولوحات دارات وأنابيب وقضبان وأغشية وصفائح وحمّالات، وهذا ما يجعلها مفيدة في التطبيقات الكهربائية التي يمكن أن نقع في تماس مع روابط لحام خالية من الرصاص 63.

2.5.5. مزائج بوليمير پولي (رباعي فلورو إيثيلين) المُقاومة للسحج

يُستعمل شريط PTFE في تطبيقات عديدة تشتمل على إحكام إغلاق الوصلات، وعزل الأسلاك الموصلة، وحماية المواد من عوامل التأكل. يُظهر PTFE مقاومة كيميائية وحراريّة جيّدتين، كما يتمتّع بمميّزات عزل كهربائي، إضافة إلى معامل احتكاك منخفض. ولكن خواصها الميكانيكيّة هي عموماً أقلّ من المطلوب، وخصوصاً فيما يتعلّق بمُقاومة السحج ومقاومة الانضغاط.

تتمثّل إحدى المُقاربات الشائعة الاستعمال في صنع مواد مركبة تدمج راتنجات البولي (إيميد)، مثل (إيميد) مع بوليميرات فلوريّة. نموذجيّاً، يعتمد العزل على أغشية البولي (إيميد)، مثل كابتون ®Kapton، يجري طلاؤها أو ترقيقها إلى صفائح بواسطة بوليميرات رباعي فلور الإيثيلين 64.

تؤدي إضافة PPS الذي يحتوي على زمر سلفيد مؤكسدة إلى بوليميرات فلوريّة إلى تحسينها من ناحية ميلها إلى الزحف (Creep) أو السحج مع المحافظة على مقاومتها الكيميائيّة والحراريّة محافظة جوهريّة.

تمكن أكسدة زمرة السلفيد في PPS إمّا إلى مرحلة السُلفوكسيد أو إلى مرحلة السُلفوكسيد السُلفون 31. عملياً، في المراحل العليا من الأكسدة توجد كلّ من زمر السلفيد والسُلفوكسيد والسلفون. يبيّن الجدول (5-4) أثر مقاومة السحج في بوليمير فلوري معدّل ببوليمير PPS. إضافة إلى ذلك، تُبدي مزائج بوليميريّة من هذا النوع خواص ميكانيّكيّة جيّدة في اختبار الشدّ. هذه المزائج مناسبة على وجه الخصوص في التطبيقات التي تأخذ فيها هيئة أنابيب مبثوقة كتلك التي تُستعمل في تغطية كبلات بودن (Bowden) 65.

تؤمّن الأشرطة المملوءة ببوليمير PTFE وغير الملبّدة، المصنوعة من التوزيع المنتظم لبوليمير PPS المدوّر بشكل غير حراري والمطحون لتحقيق قياس وسطي للجسيمات من حوالي 1 μ m إلى 20 μ m إلى 20 μ m من حوالي 1 μ m من حوالي وتكون هذه الخواص أفضل بشكل ملموس من خواص PTFE منفرداً، أو من تركيبات PTFE المحتوي على PPS المطحون والمعالج حراريّاً قبل الطحن. وعلاوة على ذلك يلاحظ تحسّن إضافي في خواص الديمومة والعزل عند إضافة من 1 في المئة إلى 3 في المئة من μ 0 PPS و PTFE و μ 0.

الجدول (5 - 4): مقاومة السحج في تركيبات بوليمير فلوري (بولي (سلفيد الفينيلين) 31

[m m ³ Nm ⁻¹ /10 ⁻⁷] السحج	المادّة
958	۔ بولیمیر فلوري ^ه
180	بوليمير فلوري أ\PPS مؤكسَد، 95:5 وزناً
110	بوليمير فلوري ^a \PPS مؤكسَد، 80:80 وزناً

[&]quot; نسبة 75.5 في المئة رباعي فلورو إيثيلين، و21.0 في المئة إيثيلين، و3.5 بر فلورو بوتيل ايثيلين.

عيّنات الاختبار: القطر 10mm، الارتفاع 20mm

 $4\,{\rm m\,s^{-1}}$: سرعة الانز لاق $0.42\,{\rm N\,mm^{-2}}$

قرين الانزلاق: الحديد الرمادي 30 فولاذ X20Cd13

زمن الاختبار: 100 ساعة درجة حرارة الاختبار: 100°C

مسافة الاختبار: 1436km

3.5.5. البوليميرات الموصلة كهريائياً

لقد جرى اصطناع بوليميرات مشتركة متتوّعة سلسلتها الرئيسيّة -Ar-NH-Ar-S، أي بوليميرات مشتركة أمينو سلفيد عطريّة. إنّ هذا النوع من البوليميرات المشتركة نصف ناقل، ويمكن استعماله في العديد من التطبيقات الإلكترونيّة والكهربصريّة. فالطبقات المضادّة للكهرباء الساكنة، وطبقات التدريع من الأشعة الكهرمغناطيسية، والطبقات المضادّة للتأكّل، والبطاريات، والتجهيزات المتألّقة كهربائيّا، والمسارات الموصلة من الترانزيستورات في الدارات الإلكترونيّة، هي أمثلة على هذه التطبيقات.

عموماً، ينبغي أن تمثلك البوليميرات نصف الناقلة سلسلة مترافقة مستمرّة من وحدات مترافقة متكرّرة. يُطلق عليها أيضاً اسم بوليميرات موصلة أو مترافقة. إنّ PPSA هو مثال على بوليمير مشترك يحتوي على زمر السلفيد 48. يُحضّر PPSA من بولي (4،1-فينيلين-ميثيل سُلفونيوم -4،1-فينيلين أمين)ميثيل سُلفونات، وذلك بالتسخين في البيريدين الجاف. ويُحضّر البوليمير الأخير من 4-ميثيل سُولفوكسي-ثنائي فينيل أمين وحمض الميثان السلفوني. يوضّح الشكل (5-6) اصطناع PPSA.

يمكن لبوليميرات ذات أوزان جزيئيّة تزيد عن 10^5 دالتون أن تنحلّ حتّى 20 في المئة في 20 وثنائي ميثيل أسيتونتريل، وخصوصاً في سُلفوكسيد ثنائي الميثيل.

4.5.5. مواد لأغشية تبادل البروتونات

تُصنع مُعظم الأغشية الشائعة الاستعمال في الشروط القاسية من بوليميرات فوق مُفلُورَة تحمل زمر حمض السُلفونيك في سلسلتها الجانبيّة مثل نافيون ®Nafion. إنّ هذه الأغشية باهظة الثمن، لهذا السبب، تتركّز الأبحاث على تطوير مواد بديلة.

لقد جرى اختبار PPS، ضمن سلسلة من المواد الأخرى، بصفته مادة لأغشية تبادل البروتونات، وذلك بسبب خواصه الواعدة 66. ولقد جرى صنع أغشية غير متجانسة على أساس PPS الوسطي السلفنة، وذلك بتشتيت PPS في حاضنة من پولي (أوليفين). ولقد جرى استعمال خلية وقود تجارية لاختبار الغشاء، حيث تبين أنّ الأغشية ذات الكميّات العالية من الجسيمات المُسلفنة هي إلى حدِّ ما موصلة بقدر Nafion®117. ولكن، تُبدي هذه الأغشية نفوذيّة انتشاريّة تجاه الميثانول أخفض بكثير، وهي علاوة على ذلك أقل استقراراً من وجهة نظر التأكسد.

5.5.5. مواد ترشيح الأوزون

تتكوّن كميّات صغيرة من الأوزون أثناء عمليّات الطباعة، وعمليّات النسخ الكهرفوتوغرافي. وينطلق الأوزون الناتج باستمرار إلى الجو المحيط بالأجهزة. تمكن إزالة الأوزون من تيّار الهواء الذي ينبعث من الجهاز باستعمال مرشّح بوليميري مكوّن من بوليمير PPS. فعندما يوضع PPS على تماس مع وسط محتو على الأوزون، تتأكسد وحدات الكبريت إلى سلفوكسيد 67.

يمكن استعمال البوليمير بهيئة مسحوق أوألياف أو أغشية أو قوالب لإنتاج المرشح. تُطبّق البوليميرات بهيئات ذات سطوح كبيرة، مثل البنى الشبكيّة والبنى المشابهة لخلايا النحل السداسية (Honeycomb). تجري عمليّة إزالة الأوزون كميّاً، وتتبع أزمنة التفاعل سرعات التدفّق، ومساحة سطح مادّة المُرشّح أو ارتفاع علبة المسحوق.

6.5. الموردون والعلامات التجارية

يبين الجدول (5-5) الموردين والعلامات التجارية. تُستعمل مُعظم مركبات PPS بسبب تركيباتها المستقرّة في درجات الحرارة المرتفعة، ومقاومتها الكيميائية ووثوقيّتها البُعديّة، وتبطيئها للهب. كما إنها مناسبة للتطبيقات البُنيويّة في البيئات المُسبّبة للتأكّل، أو كبدائل عن بوليمير بولي(إيثر إيثر كيتون) للتطبيقات في درجات حرارة منخفضة.

تُقوى مُعظم أنواع PPS بالألياف. والأكثر شيوعاً هو التقوية بالألياف الزجاجية الطويلة. ويتوفّر طيف واسع من العلامات التجاريّة لبوليمير القولبة بالحقن PPS. كما

تتوفّر راتنجات بوليمير PPS غير المقوّاة بهيئة مساحيق للطلي بالمعلق الطيني القوام وللبخ الكهربائي الساكن. تُناسب هذه الطلاءات صناعات الأغذية والتجهيزات المستعملة في المعالجات الكيميائية.

تشتمل أنواع راتنجات PPS على النوعين المتشابك والخطّي. وهناك تتوع واسع في العلامات التجارية المعروضة، معظمها مقوّاة بالألياف الزجاجيّة أو (و) بالموالئ اللاعضوية. وكذلك تتوفّر خلائط مع PTFE بصفتها أنواعاً غير ساحجة، وخلائط مع مطّاطيات بصفتها أنواعاً مُقاومة للصدم. يبيّن الجدول (5-6) الأسماء التجاريّة الواردة في المراجع.

7.5. الأمان

يمكن العثور على العديد من صفحات المعطيات، وكذلك صفحات معطيات أمان المواد في الإنترنت 69.

8.5. الأثر البيئي وإعادة التدوير

أثناء إنتاج PPS، يجري الحصول على فضلات كنواتج ثانويّة. يمكن أن تتكوّن هذه الفضلات مما يلى :

- أوليغوميرات خطية أو حلقية.
 - نواتج ثانويّة في البلمرة.
- مواد غير متفاعلة، ومُعدِّلات بَلمرة.
 - مواد ذات جسيمات دقيقة الحجم.
- بوليميرات ليست ضمن الشروط المُحدّدة للمُنتَج المرغوب.

يمكن باستمرار إعادة استعمال جزء من الفضلات الناتجة من تصنيع بوليمير PAS، في عمليات بلمرة لاحقة، متجنبين بذلك ضرورة التخلّص من جزء من هذه الفضلات على الأقل. 19

الجدول (5-5): أمثلة على بوليميرات پولي(سلفيد الفنيلين) المتوفرة تجارياً

ملحظات	المُنتج	الاسم التجاري ^a
	Albis Plastics Corp.	Albis PPS
بوليمير مق <i>و ّي</i>	Celanese Ticona	Celstran® PPS
	A. Schulman Inc.	Comshield® PPS
	PolyOne Corp.	Edgetek TM PPS
	LNP Engineering Plastics Inc.	Emi-X* PPS
بوليمير خطّي	Celanese Ticona	Forton® PPS
	TP Composites, Inc.	HiFill® PPS
	A. Schulman Inc.	Hiloy® PPS
	LNP Engineering Plastics Inc.	Konduit* PPS
	TP Composites, Inc.	Lubriblend® PPS
	LNP Engineering Plastics Inc.	Lubricomp* PPS
	A. Schulman Inc.	Lubrilon® PPS
	PolyOne Corp.	Lubri-Tech™ PPS
	GE Plastics Asia Pacific	NORYL* PPS+PPE
	LNP Engineering Plastics Inc.	NORYL* PPS+PPE
	Solvay Advanced Polymers	PRIMEF® PPS
	RTP Company	RTP PPS (Series)
	Chevron Phillips Chem. Co.	Ryton® PPS
	A. Schulman Inc.	Schulatec® PPS
	TP Composites, Inc.	Statiblend® PPS
	LNP Engineering Plastics Inc.	Stat-Kon* PPS
	GE Plastics Asia Pacific	SUPEC* PPS
	Albis Plastics Corp.	TEDUR® PPS
	PolyOne Corp.	Therma-Tech™ PPS
	LNP Engineering Plastics Inc.	Thermocomp* PPS
	LNP Engineering Plastics Inc.	Thermotuf* PPS
غشاء	Toray	Torelina®
	LNP Engineering Plastics Inc.	Verton* PPS
	Chevron Phillips Chem. Co.	Xtel® PPS
	Asahi Kasei Corp.	Xyron® PPS+PPE

⁶⁸ نجد في الإنترنت تفاصيل أكثر

الجدول (5-6): الأسماء التجارية الواردة في المراجع

	الجدول (3 0). الأسماع التجارية
المورّد	الاسم التجاري
	الوصف ®Aqua-Cleen
Philips Petroleum Co.	Aqua-Cleen®
	مركابتان مُوظّف بالإيثوكسي، عامل توتّر سطحي 1
Sumitomo Chemical Co.,Ltd.	Bondfast®
N. D. C. Division	پولي(أوليفين) بوظيفة إيبوكسي ³⁹
Norton Performance Plastics Corp.	Ekonol®
	پولي(p- أوكسي بنزوات) ⁶⁴
Hoechst Celanese Corp.	Forton® (Series) پولي(سلفيد الغينيلين) ^{64,63,61,43,39}
Lonza Inc.	پولی(سفید انفیدینین) Glycolube® (Series)
Lonza Inc.	(Series) & Cryconube إسترات دسمة، معزّز تدفّق، وعامل تحرير
	القو الب 63
Sumitomo Chemical Co.,Ltd.	العو الب ®Igetabond
Sumitomo Chemical Co.,Etc.	كىلىرىلىلى بىلىنىڭ الىيىرىكىسى ³⁹ بولىي(أولى <u>نىن</u>) بوظىفة اپيوكىسى
DuPont-Toray Co., Ltd.	ټرميرارونيس) برسي ®Kapton
, , , , , , , , , , , , , , , , , , ,	بو لي(إيميد) ⁶⁴
Shell	Kraton®
	بوليمير مشترك تعاقبي ستيريني 64,63,39
Elf Atochem (Arkema)	Lotader®
	پولي(أوليفين) بوظيفة إيبوكسي لاصق ^{40,39}
Philips Petroleum Co.	Ryton® (Series)
	پو ل <i>ي</i> (سلفيد فنيلين) 64,43,17,11
Kuraray Co., Ltd.	Septon®
	بوليمير مشترك تعاقبي ستيريني مهدرج ⁶³
Philips Petroleum Co. (Industrias Negromex, S.A.)	Solprene®
	ﺑﻮﻟﻴﻤﻴﺮ ﻣﺸﺘﺮﻙ ﺗ ﻌﺎﻗﺒﻲ ﺳ ﺘﻴﺮﻳﻨﻲ ⁶³
General Electric	Supec®
Toharan Co. I td	پولي(سلفيد الفينيلين) ⁴³
Tohpren Co., Ltd.	T-4
	40 (سلفید الفینیلین)
Mobay Corp.	Tedur®
	پولي(سلفيد الفينيلين) ⁴³

الجدول (5-6): الأسماء التجارية الواردة في المراجع

الاسم التجاري المورد

الوصف

Dexco Polymers LP

Vector®

بوليمير مشترك تعاقبي ستيريني ⁶³

Hoechst Celanese Corp. (Ticona)

Vectra® (Series)

بولْيمير بلُّورات سائلة مكوّن أساساً من حمض 4- هيدروكسي بنزويك أو حمض 6- هيدروكسي -2- نفتويك،

وحسب النوع: p-أسيتامينوفينول، وحمض ترفتاليك، وبيسفينول 43.

المراجع

- 1. J. E. Shaw. Process for producing organic polysulfide compounds. US Patent 6 187 960, assigned to Phillips Petroleum Company (Bartlesville, OK), 13 February 2001.
- 2. C. Friedel and J. M. Crafts. "Sur une nouvelle méthode générale de synthèse des combinaisons aromatiques (deuxième mémoire)." *Annales de Chimie et de Physique*: vol. 6, no. 14, 1888, pp. 433–472.
- 3. J. T. Edmonds, Jr. and H. W. Hill, Jr. Production of polymers from aromatic compounds. US Patent 3 354 129, assigned to Phillips Petroleum Co. (Bartlesville, OK), 11 21, 1967.
- 4. Y. Satake, Y. Inaguma, and Y. Suzuki. Poly(arylene thioether-ketone) copolymer and production process thereof. US Patent 5 391 646, assigned to Kureha Kagaku Kogyo K.K. (Tokyo, JP), 21 February 1995.
- 5. H. R. Lubowitz and C. H. Sheppard. Reactive polyarylene sulfide oligomers. US Patent 5 780 583, assigned to The Boeing Company (Seattle, WA), 14 July 1998.
- 6. K.-S. Lee and J.-S. Lee. "Synthesis of highly fluorinated poly(arylene ether sulfide) for polymeric optical waveguides." *Chemistry of Materials*: vol. 18, 2006, pp. 4519–4525.
- A. C. Archer and P. A. Lovell. "Formation of poly(1,4-phenylene sulfide) by solution polymerization of copper() 4-bromobenzenethiolate: Experimental evidence for operation of single-electron transfer processes." *Polymer*: vol. 36, no. 22, 1995, pp. 4315–4326.

- 8. S. Inoue and O. Komiyama. Process for the preparation of polyarylene sulfide. US Patent 6 600 009, assigned to Dainippon Ink and Chemicals, Incorporated (Tokyo, JP), 29 July 2003.
- M. Miyahara, H. Sato, and Y. Satake. Process for producing poly(arylene sulfide). US Patent 5 840 830, assigned to Kureha Kagaku Kogyo K.K. (Tokyo, JP), 24 November 1998.
- 10. S. Horiuchi, A. Ishio, and K. Saitoh. Method for producing a polyarylene sulfide. US Patent 7 115 704, assigned to TORAY Industries, Inc. (Tokyo, JP), 3 October 2006.
- 11. C. E. Ash, J. F. Geibel, and H. D. Yelton. Process for preparing high molecular weight poly(arylene sulfide) polymers using lithium salts. US Patent 5 929 203, assigned to Phillips Petroleum Company (Bartlesville, OK), 27 July 1999.
- J. T. Edmonds, Jr. and F. T. Sherk. Production of arylene sulfide polymer beads. US Patent 4 451 643, assigned to Phillips Petroleum Company (Bartlesville, OK), 29 May1984.
- 13. Y. Koyama, N. Ogata, and H. Nishitani. Process for manufacturing polyarylene sulfide. US Patent 5 635 587, assigned to Idemitsu Petrochemical Co., Ltd. (Tokyo, JP), 3 June 1997.
- M. Miyahara, H. Sato, and Y. Satake. Process for producing poly(phenylene sulfide).
 US Patent 5 744 576, assigned to Kureha Kagaku Kogyo K.K. (Tokyo, JP), 28 April 1998
- 15. Y. Koyama. Process for producing polyarylene sulfide and apparatus used therein. US Patent 6 750 319, assigned to Idemitsu Petrochemical Co., Ltd. (Tokyo, JP) Petroleum Energy Center, a Juridical Incorporated Foundation (Tokyo, JP), 15 June 2004.
- 16. P. Dournel, D. Van Hoyweghen, and A. Momtaz. Process for the manufacture of poly(arylene sulphide). US Patent 5 380 821, assigned to Solvay (Societe Anonyme) (Brussels, BE), 10 January 1995.
- 17. R. A. Green and J. F. Geibel. Processes for the recovery of poly(arylene sulfide). US Patent 6 242 501, assigned to Phillips Petroleum Company (Bartlesville, OK), 5 June 2001.
- 18. J. F. Geibel, F. C. Vidaurri, Jr., and G. F. Kile. Process for producing poly (arylene sulfide). US Patent 6 201 097, assigned to Phillips Petroleum Company (Bartlesville, OK), 13 March 2001.
- 19. C. E. Ash and J. F. Geibel. Process for preparing poly(arylene sulfide) polymers using waste material. US Patent 6 281 326, assigned to Phillips Petroleum Company (Bartlesville, OK), 28 August 2001.

- M. Miyahara, N. Saitou, and M. Matsuzaki. Method of continuously cleansing polyarylene sulfide. US Patent 7 094 867, assigned to Kureha Corporation (Tokyo, JP), 22 August 2006.
- Y. Imai, O. Komiyama, and K. Ichikawa. Process for controlling a particle size of polyarylene sulfide and polyarylene sulfide thus produced. US Patent 5 475 081, assigned to Tonen Chemical Corporation (Tokyo, JP), 12 December 1995.
- 22. Y. Imai, O. Komiyama, and K. Ichikawa. Process for controlling a particle size of polyarylene sulfide and polyarylene sulfide thus produced. US Patent 6 369 191, assigned to Dainippon Ink and Chemicals, Incorporated (Tokyo, JP), 9 April 2002.
- 23. F. C. Vidaurri, A. South, Jr., D. A. Soules, and J. S. Fodor. Method of measuring extent of curing of compacted poly(arylene sulfide). US Patent 6 946 540, assigned to Chevron Phillips Chemical Company, LP (The Woodlands, TX), 20 September 2005.
- 24. J. S. Fodor, A. South, Jr., and F. C. Vidaurri, Jr. Pulse continuous curing of poly(arylene sulfide) polymers. US Patent 6 437 091, assigned to Philips Petroleum Company (Bartlesville, OK), 20 August 2002.
- 25. M. Wejchan-Judek and B. Perkowska. "Curing of poly(*p*-phenylene sulfide)." *Polymer Degradation and Stability*: vol. 38, no. 3, 1992, pp. 261-264.
- 26. L. R. W., H. C. E., and C. W. K. Method for preparing linear polyarylene sulfide. US Patent 3 274 165, assigned to Dow Chemical Co, 20 September 1966.
- 27. W. Koch and W. Heitz. "Models and mechanism of the formation of poly(thio-1,4-phenylene)." *Makromol. Chem.*: vol. 184, no. 4, 1983, pp. 779 792.
- 28. M. Wejchan-Judek. "Synthesis of poly(1,4-phenylene sulphide) by oxidation of thiophenol with thionyl chloride in the presence of superacid." *Polymer Degradation and Stability*: vol. 37, no. 1, 1992, pp. 7–10.
- 29. H. A. Smith. Laminates comprising a linear polyarylene sulfoxide adhesive interlaver. US Patent 3 303 087, assigned to Dow Chemical Co., 7 February 1967.
- 30. D. Fleischer, H. Strutz, J. Kulpe, and A. Schleicher. Oxidized polyarylene sulfides. US Patent 6 020 442, assigned to Ticona GmbH (DE), 1 February 2000.
- 31. H. Scheckenbach, A. Schleicher, J. Kulpe, and B. Jansen. Mixtures of fluoropolymers and oxidized polyarylene sulfides. US Patent 5 708 089, assigned to Hoecht AG (Frankfurt, DE), 13 January 1998.
- 32. M. C. Yu and J. J. Straw. Preparation of poly (biphenylene/phenylene) sulfide. US Patent 5 219 983, assigned to Phillips Petroleum Company (Bartlesville, OK), 15 June 1993.

- 33. H. R. Lubowitz and C. H. Sheppard. Oligomers with multiple chemically functional end caps. US Patent 5 969 079, assigned to The Boeing Company (Seattle, WA), 19 October 1999.
- 34. J.-P. Kim, W.-Y. Lee, J.-W. Kang, S.-K. Kwon, J.-J. Kim, and J.-S. Lee. "Fluorinated poly(arylene ether sulfide) for polymeric optical waveguide devices." *Macromolecules*: vol. 34, 2001, pp. 7817–7821.
- 35. J. S. Lee, J. J. Kim, J. P. Kim, J. W. Kang, and W. Y. Lee. Poly (arylene ether sulfide) and poly (arylene ether sulfone) for optical device and method for preparing the same. US Patent 6 512 076, assigned to Kwangju Institute of Science and Technology (Kwangju, KR), 28 January 2003.
- 36. J.-P. Kim, J.-W. Kang, J.-J. Kim, and J.-S. Lee. "Fluorinated poly(arylene ether sulfone)s for polymeric optical waveguide devices." *Polymer*: vol. 44, no. 15, July 2003, pp. 4189–4195.
- 37. S. Inoue, M. Okamoto, and M. Yanagi. Polyarylene sulfide resin composition. JP Patent 58 154 757, assigned to Toray Industries, 14 September 1983
- 38. H. Kobayashi and A. Kishimoto. Polyphenylene sulfide resin composition and a process for producing it. US Patent 4 889 893, assigned to Toray Industries (Tokyo, JP), 26 December 1989.
- 39. C.-F. R. Hwang, J. J. Scobbo, Jr., and S. B. Brown. High flow, high ductility poly(arylene sulfide) resin blends. US Patent 5 723 542, assigned to General Electric Company (Pittsfield, MA), 3 March 1998.
- 40. M. Lambla, R. Mestanza, D.-J. Lin, E. Vandevijver, and M.-P. Collard. Polyphenylene sulphide-based compositions with improved impact strength and process for preparing them. US Patent 6 849 697, assigned to Solvay Polyolefins, S.A. (Brussels, BE), 1 February 2005.
- 41. M. Dubois, B. Guyot, and R. Thommeret. Compositions based on polyphenylene sulphide. US Patent 6 310 130, assigned to Solvay, S.A. (Brussels, BE), 30 October 2001.
- V. J. Sullivan and A. B. Auerbach. Ductile poly(arylene sulfide) resin compositions.
 US Patent 5 652 287, assigned to Hoechst Celanese Corporation (Somerville, NJ), 29
 July 1997.
- 43. P. C. Yung and H. C. Linstid, III. Blends of liquid crystalline polymers and poly(arylene sulfide)s having reduced viscosities. US Patent 5 418 281, assigned to Hoechst Celanese Corporation (Somerville, NJ), 23 May 1995.

- 44. S. B. Brown, K. H. Dai, C.-F. R. Hwang, S. T. Rice, J. J. Scobbo, Jr., and J. B. Yates. Compositions of poly(phenylene ether) poly(arylene sulfide) polyester resins and compatibilizer compound. US Patent 5 612 401, assigned to General Electric Company (Pittsfield, MA), 18 March 1997.
- 45. D. M. Knauss and J. B. Edson. "Poly(aryl ether sulfide)s by sulfide-activated nucleophilic aromatic substitution polymerization." *Polymer*: vol. 47, no. 11, May 2006, pp. 3996–4003.
- 46. L.-X. Wang, X.-B. Jing, F.-S. Wang, J.-P. Zhang, R.-S. Wang, T. Soczka-Guth, and K. Mullen. "Synthesis of poly(phenylenesulfide- phenylenamine) by self-polycondensation of methyl-(4-anilinophenyl) sulfide with antimony pentachloride." *Synthetic Metals*: vol. 101, nos. 1-3, May 1999, pp. 320–320.
- 47. J. Leuninger, C. Wang, T. Soczka-Guth, and K. Müllen. "Novel sulfur-and nitrogen containing polymers through acid-induced condensation reactions of methylsulfinylarenes." *Synthetic Metals*: vol. 101, nos. 1-3, May 1999, pp. 681–684.
- 48. E. E. Havinga, K. A. Müllen, and T. Soczka-Guth. Semiconductor polymer. US Patent 5 908 583, assigned to U.S. Philips Corporation (New York, NY), 1 June 1999.
- 49. J. Leuninger, J. Uebe, J. Salbeck, L. Gherghel, C. Wang, and K. Müllen. "Poly(phenylene sulfide-phenyleneamine-phenyleneamine) (PPSAA)—a soluble model for polyaniline." *Synthetic Metals*: vol. 100, no. 1, March 1999, pp. 79–88.
- 50. J. Leuninger, S. Trimpin, H.-J. Rader, and K. Müllen. "Novel approach to ladder-type polymers: Polydithiathianthrene via the intramolecular acid-induced cyclization of methylsulfinyl-substituted poly(meta-phenylene sulfide)." *Macromolecular Chemistry and Physics:* vol. 202, 2001, pp. 2832–2842.
- 51. M. Yoneyama, R. A. Johnson, and L. J. Mathias. "Thianthrene-containing polyimides with monomer formation via nucleophilic aromatic substitution." *Journal of Polymer Science Part A: Polymer Chemistry*: vol. 33, 1995, pp. 1891–1899.
- 52. J. B. Edson and D. M. Knauss. "Thianthrene as an activating group for the synthesis of poly(aryl ether thianthrene)s by nucleophilic aromatic substitution." *Journal of Polymer Science Part A: Polymer Chemistry*: vol. 42, no. 24, December 2004, pp. 6353–6363.
- 53. M. F. Cheung, A. Golovoy, V. E. Mindroiu, H. K. Plummer, Jr, and H. van Oene. "Polysulfone and poly(phenylene sulfide) blends: 3. Rubber toughening." *Polymer*: vol. 34, no. 8, September 1993, pp. 3809–3813.
- 54. Y. Cohen and Z. Aizenshtat. "Isothermal fluidized-bed studies on the kinetics and pyro-products of linear and branched poly(*p*-phenylene sulfide) and proposed mechanisms." *Journal of Analytical and Applied Pyrolysis*: vol. 27, no. 2, December 1993, pp. 131–143.

- 55. O. A. Peters and R. H. Still. "The thermal degradation of poly(phenylene sulphide)—part 1." *Polymer Degradation and Stability:* vol. 42, no. 1, 1993, pp. 41–48.
- 56. D. R. Budgell, M. Day, and J. D. Cooney. "Thermal degradation of poly(phenylene sulfide) as monitored by pyrolysis–GC/MS." *Polymer Degradation and Stability*: vol. 43, no. 1, 1994, pp. 109–115.
- 57. L. H. Perng. "Thermal decomposition characteristics of poly(phenylene sulfide) by stepwise Py-GC/MS and TG/MS techniques." *Polymer Degradation and Stability*: vol. 69, no. 3, September 2000, pp. 323–332.
- 58. P. K. Das, P. J. DesLauriers, D. R. Fahey, F. K. Wood, and F. J. Cornforth. "Photostabilization of poly (*p*-phenylene sulfide)." *Polymer Degradation and Stability:* vol. 48, no. 1, 1995, pp. 1–10.
- 59. P. K. Das, P. J. DesLauriers, D. R. Fahey, F. K. Wood, and F. J. Cornforth. "Photodegradation and photostabilization of poly(*p*-phenylene sulfide). Part 2. UV induced physicochemical changes." *Polymer Degradation and Stability:* vol. 48, no. 1, 1995, pp. 11–23.
- 60. D. Daoust, S. Bebelman, P. Godard, J. M. Coisne, and C. Strazielle. "Molecular characterization of poly(*p*-phenylene sulfide) (PPS) from size exclusion chromatography of a modified PPS and dilute solution properties." *Polymer*: vol. 37, no. 17, August 1996, pp. 3879–3888.
- 61. Y. Satake and T. Ono. Poly (arylene sulfide) resin composition. US Patent 5 650 459, assigned to Kureha Kagaku Kogyo K.K. (Tokyo, JP), 22 July 1997.
- 62. B. B. Gupta, A. B. Auerbach, and B. L. Davies. Poly(arylene sulfide) compositions having improved processability. US Patent 5 824 767, assigned to Hoechst Celanese Corporation (Warren, NJ), 20 October 1998.
- 63. B. Liu. Lead free solder friendly thermoplastic blends and methods of manufacture thereof. US Patent 7 037 986, assigned to General Electric Company (Pittsfield, MA), 2 May 2006.
- 64. P. E. Sarkis and D. Delgado. Abrasion-resistant polytetrafluoroethylene tape. US Patent 7 008 989, assigned to Coltec Industrial Products, Inc. (Charlotte, NC), 7 March 2006.
- 65. H. Scheckenbach, A. Schleicher, J. Kulpe, W. Neumann, and B. Jansen. Abrasion-resistant fluoropolymer mixtures. US Patent 5 864 095, assigned to Ticona GmbH (DE), 26 January 1999.
- 66. J. Schauer and L. Brozova. "Heterogeneous ion-exchange membranes based on sulfonated poly(1,4-phenylene sulfide) and linear polyethylene: Preparation, oxidation stability, methanol permeability and electrochemical properties." *Journal of Membrane Science*: vol. 250, nos. 1-2, March 2005, pp. 151–157.

- 67. H. Strutz, D. Fleischer, J. u. Kulpe, and A. Schleicher. Filter material and process for removing ozone from gases and liquids. US Patent 5 593 594, assigned to Hoechst Aktiengesellschaft (DE), 14 January 1997.
- 68. IDES Integrated Design Engineering Systems. The Plastics Web®. IDES Inc. 209
 Grand Avenue Laramie, WY 82070 USA [electronic]
 http://www.ides.com/prospector, 2006.
- 69. Ryton® PPS data sheets. MSDS and data sheets, Chevron Phillips Chemical Company LLC, The Woodlands, TX, 2005. [electronic] http://www.cpchem.com/enu/ryton_pps_p_pps.asp.

بولیمیرات (آریل ایثر کیتون)

تمتلك بوليم يرات بولسي (آريل إيثر كيتون) زمراً عطرية إضافة إلى زمرت الإيثر والكيتو في السلسلة الرئيسية. يبين الشكل (6-1) البنى المتكررة الرئيسية في هذا الصف من المواد. وبالطبع هناك عدة أصناف من هذه البنى مبينة في الشكل (6-1)، وهي ناتجة من استعمال مونوميرات مشتركة. ويمثل بولي (إيثر سُلفون) صفاً خاصاً مرتبطاً بهذه العائلة.

تنتمي بوليميرات البولي (آريل إيثر كيتون) إلى صف البوليميرات الهندسيّة. في الفترة منذ بداية السبعينيات من القرن الماضي إلى منتصفها، أدخلت شركة رايكم (Raychem Corp.) تجارياً بوليميراً من بولي (آريل إيثر كيتون) اسمه ستيلان ®1978. في هذا البوليمير تفصل وحدات 4،1-فينيلين كل زمرة إيثر وكيتو. وفي عام 1978 سوقت شركة الصناعات الكيميائيّة (Imperial Chemical Industries PLC.) بوليمير بولي إيثر كيتون) تحت العلامة التجاريّة Victrex® PEEK.

$$(R_1-O)_n$$
 $(R_1-C)_n$ $(R_$

الشكل (6-1): بنى السلاسل الرئيسيّة في بوليميرات الإيثر كيتون والإيثر إستر

1.6. المونوميرات

يبيّن الجدول (6-1) المونوميرات لاصطناع بوليميرات پولي (إيثر إيثر كيتون) (PEK)، وبوليميرات پولي (إيثر كيتون) (PEK)، ونجد في الشكل (6-2) أصنافاً من PEEK، إنّ PEEK-WC هو پولي(أوكسا -p-فينيلين-أوكسي-فينيلين). إضافة إلى PEEK تُعدّل زمرة الكربونيل جزئيّاً بوحدات الفتاليد فنحصل على PEEK لامتبلور.

وتشملُ أصنافٌ مشذّبة أخرى كلاً من بولي (إيثر كيتون كيتون) (PEKK)، وبولي (إيثر إيثر كيتون كيتون) (PEKKK) و يولي (إيثر كيتون إيثر كيتون كيتون) (PEKEKK) .

الجدول (1-6): المونوميرات في حالة PEK وPEEK

	الطريق النيوكليوفيلي
مونومير محمّل بوظيفة هالوجينيّة	مونومير محمّل بوظيفة هيدروكسي
4،4′-ثنائي فلوروثنائي فينيل كيتون	_ هیدر وکینون
3	بيس فينول A، و 4′– هيدروكسي فينيل -4-
4،4′-ثنائي فلوروثنائي فينيل كيتون ³	هيدروكسي بنزوات
4،4'- ثنائي كلور وثنائي فينيل سُلفون ⁴	4،4′-ثنائي هيدروكسي بنزو فينون
5،1-بيس -(4-(4′- فلورو بنزويل)-فينوكسي)-	أوليغومير PEEK
نفتالین (1,5-BFPN) ⁵	
4،4′-ثنائي فلوروثنائي فينيل كيتون ⁶	كاتيكول
4،4′-ثنائى فلوروثنائى فينيل كيتون 7	(4-(4'-ثلاثي فلورو ميثيل)-فينوكسي فينيل)-
4،4 - ساني فلوروساني فيبيل كينون	هیدروکینون و هیدروکینون
	الطريق الإلكتروفيلي
حمض هالوجينيّ	مونومير محمّل بوظيفة إيثر
کلورید ترِفتالو اپل	- 4·1-ثنائي فينوكسي بنزين
كلوريد ترِفتالواپيل و 4٠١-ثنائي فينوكسي بنزين	ثنائي فينيل إيثر
	مونومير متعدّد الوظائف
	کلورید p-فینوکسي بنزویل
	كلوريد p-فينوكسي فينوكسي بنزويل

PEEK-WC

الشكل (2-6): أصنافٌ من PEEK

الشكل (3-6): تكاثف 4،4- ثنائي فلوروثنائي فينيل كيتون مع هيدروكينون

2.6. البلمرة والتصنيع

تُستعمل السيرورات الأساسيّة في البلمرة بالتكاثف، وتحديداً أنماط التفاعل النيوكليوفيليّة والإلكتروفيليّة.

1.2.6. السيرورة النيوكليوفيلية

يستعمل الطريق النيوكليوفيلي الهيدروكينون و 4،4′-ثنائي فلوروثنائي هالوبنزوفينون مع أساس كمحفّز في مذيبات من قبيل N-مثيل -2-بيروليدون (NMP) أو السُلفولان. وعلى سبيل المثال، يُصنّع PEEK بتفاعل 4.4′-ثنائي فلوروثنائي فينيل كيتون مع ملح البوتاسيوم من الهيدروكينون، كما هو مبيّن في الشكل $(3-6)^{(*)}$.

⁽ه) نجد ملح الصوديوم وليس البوتاسيوم (المترجم).

تتراوح درجات حرارة التفاعل بين $^{\circ}$ C و $^{\circ}$ C و $^{\circ}$ C. يُبدي PEEK المُنتَج بهذه الطريقة وزناً جزيئيًا منخفضاً، ولزوجة جوهريّة (IV) أقلّ من $^{-1}$ 0.7 $^{\circ}$ dl $^{-1}$ 0 وخواص ميكانيكيّة ضعيفة نسبيّاً.

يمكن تحسين الطريق النيوكليوفيلي باستعمال ثنائي فينيل سُلفون بصفته مذيباً ذا درجة غليان مرتفعة 4 . في هذه السيرورة يتحوّل الهيدروكينون إلى ملحه ثنائي البوتاسيوم بالتسخين مع كميّة مُكافئة من كربونات البوتاسيوم أو بيكربونات البوتاسيوم، وحذف متزامن للماء عند 2 000-2000، ثُم يتبع ذلك إضافة المونومير الثاني، أي 4 4-ثنائي فلورو بنزو فينون. يُجرى تفاعل البلمرة عند 2 030-350 للحصول على بوليمير تنتمي لزوجته الجوهريّة إلى المجال 4 10-1.4 المريّة انصهاره حوالى 2 300-350. ويُقال إنّ البوليميرات التي يجري الحصول عليها بهذه الطريقة مفيدة في طلاء الأسلاك 4 1.

1.1.2.6. بوليميرات پولي(إيثر كيتون) ذات زمر إستر

من الصعب تحضير مواد بوليميريّة مركّبة من بولي إسترات البلورات السائلة، لأنّ جزيئات البلّورات السائلة تتجمّع ولا تمتزج مع بقيّة المكوّنات. ولذلك يجري تحضير بوليميرات مشتركة كتايّة التعاقب.

يمكن اصطناع البوليمير من 4،4′-ثنائي فلورو بنزو فينون بيس فينول A و 4′- هيدروكسي فينيل -4- هيدروكسي بنزوات 3. ويستعمل NMP والتولوين بصفتهما مذيبين، وللإزالة الآزيوتروبيّة للماء. يجري التكاثف عند درجة حرارة 155°C مدّة ثماني ساعات باستعمال شرك دين – ستارك (Dean-Stark trap). في المرحلة الأخيرة من التكاثف، يُصرّف التولوين وتُرفع درجة الحرارة إلى 190°C.

وبعدئذ تُحضر بولي إسترات البلّورات السائلة من پولي(آريل إيثر كيتون) بإجراء بلمرة مشتركة ليولي(آريل إيثر كيتون) المحتوي على زمرة الإستر مع بولي إستر بلّورات سائلة. يجري اصطناع البولي إستر البلّوري من الفينيل هيدروكينون، ترت-بوتيل هيدروكينون، وكلوريد 2-كلوروترفتالويل وكلوريد إيزوفتالويل 3.

2.1.2.6. تحضير المسحوق

في تنويع على هذه السيرورة، يمكن استعمال مونومير كيتيمين عوضاً عن المونومير الكيتونى في تحضير پولى (إيثر كيتيمين) 11. يمكن حلّ بوليمير الكيتيمين في MNP.

وبعدها تُحلّل زمر الكيتيمين مائياً (تُحلمه) باستعمال محلول حمض مائيًّ مُمدّد. يُعيد التحلّل المائي (الحلمهة) (Hydrolysis) البوليمير الكيتوني الذي يترسّب مسحوقاً دقيقاً. بهذه السيرورة يجرى إنتاج جسيمات قياسها 5.0.5.

ويقال إنّ هذه السيرورة أفضل بما لا يُقاس من الطحن لأنّها أرخص ثمناً، كما إنّ الطحن يولّد جسيمات أقطارها أكبر بكثير، وتحديداً π 15-80μm.

2.2.6. السيرورة الإلكتروفيلية

يشتمل الطريق الإلكتروفيلي لإنتاج بوليميرات إيثريّة كيتونيّة على استعمال محفّزات فريدل حكرافتس (Friedel-Crafts). يُستعمل $AICl_3$ بصفته مُحفّزاً لبلمرة كلوريد و-فينوكسي بنزويل منفرداً، أو كلوريد p-فينوكسي بنزويل أو كلوريد ترفتالويل مع PEK. ويجري الحصول على PEEK باستعمال كلوريد p-فينوكسي فينوكسي بنزويل p-فينوكسي فينوكسي بنزويل p-فينوكسي ننظراً إلى الطبيعة غير المتجانسة لهذا التفاعل، إنتاج بوليميرات غير مرغوبة ذات أوزان جزيئيّة منخفضة.

يمكن تغطية البوليمير من إحدى طرفي السلسلة البوليميريّة على الأقل بإضافة عوامل تغطية إلى الوسط التفاعلي. يؤدّي ذلك إلى إيقاف النمو المستمرّ لتلك السلسلة ويتحكّم بالوزن الجزيئي للبوليمير الناتج، كما تُبيّن ذلك اللزوجة الجوهريّة للبوليمير. يُنتجُ الاستعمال المدروس لعوامل التغطية بوليميرات أوزانها الجزيئيّة محصورة في مجال ضيق مُختار، ويُقلّل من تكوّن الهلام أثناء البلمرة، ويقلّل من تشعب السلاسل البوليميريّة، ويزيد من استقرار الصهارة. تُستعمل عوامل تغطية نيوكليوفيليّة وإلكتروفيليّة لتغطية البوليمير عند كلّ نهاية لسلسلته.

عوامل التغطية النيوكليوفيليّة المفضّلة هي 4-كلوروبيفينيل، و 4-فينوكسي بنزو فينون، و 4-(4-فينوكسي فينوكسي) بنزو فينون، وبيفينيل، و 4-بنزين سُلفونيل فينيل فينيل الميثر. يُبدي PEEK الذي نحصل عليه بهذه السيرورة درجة عالية من التشعّب. وتؤدّي هذه العيوب البنيويّة إلى خفض درجة الانصهار من ما يزيد على 330° C إلى حوالى 320° C.

تُعطي البلمرة بالتكاثف لكلوريد ترفتالويل مع ثنائي فينيل إيثر وثنائي فينوكسي بنزين بوليميراً مشتركاً من PEK وPEK. يستعمل ثلاثي كلور الألمنيوم وكلور الليثيوم بصفتهما محفّرات فرايدل-كرافتس، وتجري السيرورة في معلّق طيني القوام من ثنائي كلوروميثان.

تحتوي البوليميرات المُحضرة من ثنائي فينيل إيثر وكلوريد ترفتالويل، أو من مزيج من كلوريد ترفتالويل وكلوريد إيزوفتالويل على زمر كزانثيدرول (Xanthydrol) نهائية، وهي تسعى إلى جعل صهارة البوليمير غير مستقرة. إنّ إضافة مونومير مشترك مناسب، مثل ثنائي فينوكسي بنزين، تؤدّي نوعاً ما إلى حذف محتوى زمر كزانثيدرول النهائية، ويُحسن استقرار الصهارة. وعليه فإن محتوى أعلى من ثنائي فينوكسي بنزين يزيد الاستقرار الحراري.

لقد وُجِدَ أنّه ليست فقط طبيعة الوحدات المتكررة هي عامل حاسم في الحصول على خواص حراريّة وميكانيكة جيّدة، بل إنّ طبيعة الزمر النهائيّة هي أيضاً حاسمة في تحقيق الاستقرار الحراري 12. ومن الممكن عن طريق التلاعب بالزمر النهائيّة تحقيق بنى PEEK تُظهر استقراراً أفضل. ينتج من الزمر النهائيّة غير النشطة استقرار حراري أفضل ومعالجة للصهارة أيسر. تُنجز تغطية النهايات بواسطة مركّب عطري مثل البنزين أو الكزيلين أو الفينول أو الأنيزول أو ثنائي فينيل إيثر.

3.2.6. المزائج

إنّ المزائج من بوليميرات پولي (آريل إيثر كيتون) وبعض بوليميرات پولي (أميد إيميد) وپولي (إيميد) (PI) عالية التوافق. إنّها تسعى إلى تكوين طور واحد في الحالة اللا متبلورة وهي من ثُم أنظمة مَزوْجَة. ينتج من ذلك أنّ هذه الخلائط تحسّن قابليّة معالجة بوليميرات الپولي (أميد إيميد) والپولي (إيميد) تحسيناً ملموساً، وعلاوة على ذلك، فإننا بزيادة درجة حرارة التحوّل الزجاجي T_g لبوليمير پوليي (آريل إيثر كيتون) نزيد درجة الحرارة القصوى لاستعماله زيادة جوهريّة T_g

نظراً إلى مَزوْجِيّة (قابلية مزج) هذه الخلائط، فإنّ العيّنات المقولبة بالحقن منها تكون شفّافة، وذلك بالرغم من كون پولي (آريل إيثر كيتون) غير شفّاف في الشروط العادية للقولبة بالحقن. ولكن، بالمعالجة الحراريّة المُناسبة، تمكن إزالة شفافيّة پولي (آريل إيثر كيتون) ببلورته.

إنّ PEEK مَزوْجٌ مع پولي (إيثر إيميد) (PEI). بوليمير PEI أرخص من PEEK وهو يُستعمل كمادة متلدّنة حراريًا وغير متبلورة، ولقد جرى عرض حركيّة التبلور وغيرها من خواص هذه المزائج في الأدبيّات 14.

4.2.6. التعديل

المركّز 15 المركّز PEEK تمكن سلفنة PEEK تمكن سلفنة

1.4.2.6. تحميل السطوح بوظائف

يمكن التحكّم بخواص سطح PEEK عبر تحميل سطحه بوظائف. على سبيل المثال يمكن لأغشية PEEK ذات السطح المعدّل أن تستعمل في حقل زراعة الخلايا. لذلك هناك بعض الاهتمام بتعديل السطح.

يمكن إدخال زمر هيدروكسيل بالمعالجة ببوروهيدريد الصوديوم 16. ثُمّ يمكن بعد ذلك مُفاعلَة زمر الهيدروكسيل (PEEK-OH) مع حمض 4-أمينو بنزويك أو حمض السوكسيناميك. إضافة إلى ذلك تمكن توظيف PEEK بزمر الأمين 17. ويمكن زرع سطوح أغشية PEEK بمركبات الأريل أزيد المحمّلة بالوظائف باستعمال التشعيع فوق البنفسجي 18. تنتمي مركبات الأزيد العطريّة مثل حمض 4-أزيدو رباعي فلورو بنزويك أو N-بوتيل -N'-(4-أزيدوفينيل) ثيو يوريا إلى صف الكواشف القابلة للتنشيط ضوئياً.

إنّ المعالجة ببلازما الأوكسجين هي طريقة أخرى لتعديل السطح. تؤثّر المعالجة ببلازما الأوكسجين في طبوغرافيا السطح وتكشف النقاب عن البنية المتكوّرة لبوليمير PEEK.

3.6. الخواص

يبيّن الجدول (6-2) الخواص الفيزيائيّة لبوليميرات PEEK. بدون مواد مالئة يتصف هذا البوليمير بلون مائل إلى البني الفاتح. تمثلك بوليميرات التلدّن الحراري العطريّة البولي إيثريّة الكيتونيّة، مثل PEEK، نقطة انصهار أعلى من 330° C، ويمكن أن تزيد درجة حرارتها عند الخدمة عن 260° C. وهي تُبدي مُقاومات ميكانيكيّة عالية، فمقاومة شدها أكبر من $85\,\text{MPa}$ على سبيل المثال 12. يمكن استعمال PEEK استعمالاً دائماً إلى درجة حرارة 250° C، حتى في الماء الساخن أو بخار الماء.

يبين الجدول (6-3) المقاومة الكيميائيّة لبوليميرات PEEK. يُبدي PEEK مقاومة كيميائيّة مرموقة، تمكن مقارنتها بالبوليميرات الفلوريّة. ولقد حصل PEEK على الموافقة من إدارة الغذاء والدواء الأميركيّة (FDA). يحصل تشبيك تصالبي في بوليمير PEEK عند تشعيعه في الخلاء تحت الإجهاد. تُظهر خصائص الشدّ لرقائق PEEK بعد التشعيع بالأشعّة فوق البنفسجيّة مَيْلاً نحو الهشاشة. وسبب ذلك ليس فقط التشبيك بل أيضاً توجّه السلاسل الجزيئيّة الناتج من ارتفاع درجة حرارة العيّنة. علاوة على ذلك، فإن إجهاد الشد المطبّق أثناء التعريض للإشعاع يُسرّع التقطّع الجزيئي ويُعيق التشبيك 20.

1.3.6. الخواص الميكانيكية

تتحسن خواص الاهتراء للمواد المركبة على أساس PEEK والمملوءة بنسبة 5 في المئة من مركب Al_2O_3 النانومتري أو الميكروني، مُقابل الفولاذ الكربوني الوسطي Medium) من مركب carbon steel)، وذلك عند إضافة Al_2O_3 . ولكن بالمُقابل، لا تتحسن خواص الاحتكاك. إلاّ أنّ الملء بنسبة 10% من بوليمير پولي(رباعي فلورو إيثيلين) (PTFE) في PEEK النقي يؤدّي في آن واحد إلى نقصان معاملي الاحتكاك والاهتراء للمادّة المركبة المملوءة 21.

لهذا السبب، نجد أن المواد المركبة من PTFE المملوءة بـ PEEK موادّ جذّابة بصفتها مُزلّقات صلبة. ويُقترض أن مفعولاً تضامنيّاً يُلغي آليّة الاهتراء المُسيْطرة عند كلً من مكوّنات المادّة المركبة ^{24,23}. يبين الجدول (6-4) الوسطي الزمني لمعاملات الاحتكاك في تبعيّته للتركيبات.

الجدول (2-6): خواص پولي(إيثر إيثر كيتون) 22a

a فيكتركس Victrex®PEEK 450G.

الجدول (6-3): المقاومة الكيميائية پولي(إيثر إيثر كيتون) 22a

	(55 % 5 .	پوي(پير پ	البدول (٥-٥): التحديد
100°C	60°C	20°C	المادّة الكيميائيّة
مقاوم	لا يُنصح	لا يُنصح	ألدهيد الخل
لا يُنصح	مقاوم	مقاوم	حمض الخل (ثلجي/ لامائي)
مقاوم	مقاوم	مقاوم	أسيتون
مقاوم	مقاوم	مقاوم	أسيتيلين
مقاوم	مقاوم	مقاوم	كحو لات
مقاوم	مقاوم	مقاوم	إستيرات أليفاتية
لا معطيات	مقاوم	مقاوم	الماء الملكي
مقاوم	مقاوم	مقاوم	مذيبات عطرية
مقاوم	مقاوم	مقاوم	بنزين
مقاوم	مقاوم	مقاوم	محاليل ملحية مشبعة
لا يُنصح	لا يُنصح	لا يُنصح	بروم
مقاوم	مقاوم	مقاوم	كلور رطب
مقاوم	مقاوم	مقاوم	كلوروفورم
مقاوم	مقاوم	مقاوم	منظفات اصطناعيّة
مقاوم	مقاوم	مقاوم	مستحلبات مركزة
مقاوم	مقاوم	مقاوم	فلور جاف
مقاوم	مقاوم	مقاوم	فورم ألدهيد (40 في المئة)
مقاوم	مقاوم	مقاوم	حمض النمل
لا معطيات	مقاوم	مقاوم	حمض كلور الماء المركز
مقاوم	مقاوم	مقاوم	بيروكسيد الهيدروجين (30 في المئة)
مقاوم	مقاوم	مقاوم	أوكسيد الكالسيوم (CaO)
مقاوم	مقاوم	مقاوم	میثانول
مقاوم	مقاوم	مقاوم	لتفنا
مقاوم	مقاوم	مقاوم	حمض الأزوت (50 في المئة)
لا يُنصح	لا يُنصح	لا يُنصح	حمض الأزوت المدخن
مقاوم	مقاوم	مقاوم	الزيوت، ديزل
مقاوم	مقاوم	مقاوم	الزيوت، أساسيّة
مقاوم	مقاوم	مقاوم	حمض البركلوريك
لا معطيات	مقاوم	مقاوم	فينول
مقاوم	مقاوم	مقاوم	ماء البحر
مقاوم	مقاوم	مقاوم	ثاني أوكسيد الكبريت الجاف
مقاوم	مقاوم	مقاوم	ثالث أوكسيد الكبريت
مقاوم	مقاوم	مقاوم	حمض الكبريت (70 في المئة)
لا يُنصح	لا يُنصح	لا يُنصح	حمض الكبريت (95 في المئة)
لا يُنصح	لا يُنصبح	لا يُنصح	حمض الكبريت المدخّن

الجدول (6-4): الوسطي الزمني لمعاملات الاحتكاك تابعاً للمحتوى من PTFE في PTFE

معامل الاحتكاك	PEEK في PTFE
$\overline{\mu}$	%
0.135	0
0.111	50
0.353	100

4.6. الإضافات الخاصة

1.4.6. مُثبّتات الصُّهارة

أثناء معالجة الصهارة، يُبدي بوليمير بولي (آريل إيثر كيتون)، ميلاً قوياً إلى التشبيك. وهذا سلوك غير مرغوب إذْ تزداد لزوجة الصهارة وتعاني ذلك خواص البوليمير. ومع ازدياد طول فترة التعرض في حالة الصهارة، يُصبح تصنيع الصهارة تدريجياً أصعب فأصعب.

إنّ أكاسيد أو سلفيدات المعادن الثنائية التكافؤ غير القابلة للتحلّل المائي مثل أوكسيد التوتياء، أو كبريت التوتياء هي مثبّتات جيّدة لبوليميرات بولي (آريل إيثر كيتون). ولقد جرى أيضاً استعمال مركّبات الفوسفيت وثنائي الفوسفونيت العطريّة العضويّة بصفتها مُثبّتات. هذه المركّبات مبيّنة في الشكل (6-4).

ونجد في ثلاثي فينيل الفوسفات ومشتقاته المستبدلة مثل ثلاثي كريزيل الفوسفات مركبات مثبتة أخرى 25. ولكن جرى الاعتراض على هذه المركبات، لأنه نظراً إلى ارتفاع ضغط أبخرتها، فهي يمكن أن تتطاير من الصههارة عند درجة الحرارة المعتادة لمعالجة پولي(آريل إيثر كيتون)، وهذا يمكن أن يؤدي إلى انطلاق روائح مزعجة، وإلى طلاءات تتكوّن على سطح القوالب في حالة القولبة بالحقن. لهذا السبب فقد جرى اقتراح مئبتات أقل تطايراً 26.

المركبات من نوع الفوسفونيت أقل فعاليّة بكثير من مركبات الفوسفيت في تثبيت بوليميرات بولي (آريل إيثر كيتون). إلاّ أنّ إضافة مركبات عضويّة فوسفوريّة بالتزامن مع حمض عضوي مثل حمض الأوكزاليك أو حمض الخلّ يؤدي إلى انخفاض ملموس جدّاً في لزوجة الصهارة، حتّى في الحالة التي يكون فيها للمركب الفوسفوري دور ضارّ. يمكن تلخيص نتائج استعمال المثبّتات كما يلي 1:

- 1. في الوقت الذي يُبدي الفوسفيت تأثيراً ضئيلاً في تدفق الصهارة، فإنّ الفوسفونيت يخفضها بقساوة وله من ثَمّ تأثير ضارّ.
 - 2. لحمض الأوكز اليك دور "ضار" كبير على تدفّق الصهارة.
- 3. إن جمع الفوسفيت أو الفوسفونيت مع حمض الأوكز اليك أوحمض الخل يُحسن تدفّق الصهارة مقارنة بالعيّنات غير المُثبتة.

$$tBu$$
 tBu
 tBu
 tBu
 tBu
 tBu
 tBu
 tBu
 tBu
 tBu

تریس (4،2- ثنائی-ترت- بوتیل فینیل)فوسفیت

تتراكيس (4،2- ثنائي-ترت- بوتيل فينيل)-4،4- بيفينيلين ثنائي فوسفونيت

الشكل (4-6): المُثبتات على أساس الفوسفور. Mark 2112 : تريس (4-2- ثنائي- ترت- بوتيل بوتيل فينيل) فوسفيت، وP-EPQ- Sandostab : تِتراكيس (4-2- ثنائي- ترت- بوتيل فينيل) - 4-3- بيفينيلين ثنائي فوسفونيت

2.4.6. الموالئ ومواد التقوية

في تطبيقات متنوّعة للمواد الهندسيّة، يُستعمل PEEK كمادّة مركّبة مع مواد مقويّة. تشتمل هذه المواد المقويّة على ما يلى:

- الألياف الزجاجية.
 - ألياف الكربون.
- ألياف اليولي (أميد).

كما إنّ الهيدروكسي أباتيت وأوكسيد الألمنيوم ونتريد الألمنيوم هي مواد مالئة أخرى 28,27 . وتُستعمل أيضاً موالئ نانويّة. يُبدي بوليمير PEEK المملوء بالسيليكا أو الألومينا ذات القياسات النانويّة 30 النانويّة بنسبة 30 . يمكن تخفيض الميل نحو التكتل بتعديل سطح الموالئ بحمض الستياريك 30 .

5.6. تطبيقات

تمتلك مشتقات PEEK فائدة تجارية مهمة بصفتها لدائن، وخصوصاً كقطع مقولبة ومواد مركبة مع ألياف الزجاج والكربون والكفلار، وذلك في تطبيقات إنشائية متنوعة، تشمل صناعات الطيران والصناعات الهندسية عموماً. يجد PEEK تطبيقاته أيضاً كقضبان مبثوقة ومقاطع لتصنيع بطانات، وسدادات إحكام، وغيرها.

عموماً، تجري المعالجة باستعمال البواثق وآلات القولبة بالحقن في درجات حرارة في المجال من 360° C إلى 360° C مما يتطلّب استقراراً حراريّاً عالياً 12° . يعطي الجدول (5-6) أمثلة على استعمال هذه البوليميرات، وسنأتي لاحقاً على مناقشة بعضها تفصيلاً.

1.5.6. الطلاء غير اللاصق

من المعروف أنّه يمكن طلاء مقالي الطبخ ببوليمير PTFE للحصول على سطوح لا يلتصق عليها الطعام المقلي. تُحسِّن إضافة PEEK مقاومة الطلاء للخدش، وعلاوة على ذلك يمكن استعمال PEEK بدون مزجه مع راتنج فلوروكربوني لتكوين طبقة طلاء تحتيّة قاسية 37.

الجدول (6-5): حقول استعمال مواد البولي(إيثر إيثر كيتون)

المر اجع	حقول الاستعمال
	تطبيقات الزالقات والإحكام
32,31	مواد انز لاق
33	سدّادات إحكام قواعد الصمّامات
34	سدّادات إحكام خلايا الدفق التحليلي
36,35	سدّادات إحكام الخلاء العالي
	الطلاءات
37	مقالي الطبخ
38	سطوح مقاومة الاهتراء المطليّة في المضخات
	التطبيقات الكهربائية
39	عقد الكبلات
40	عزل الكبلات
41	البطاريّات القابلة لإعادة الشحن
	التطبيقات الطبيّة
43, 42	مواد القثطرات في الجسم
44	أنظمة التعويضات المفصليّة
45	صفائح انضغاط العظام
46	بدائل العظام

PEEK و يتمتّع مسحوق 400° C و 400° C و يتمتّع مسحوق $20\,\mu$ m بقياس حبيبات حوالى $20\,\mu$ m وسطياً. الموالئ الخاملة المناسبة هي من زمرة الأكاسيد المعدنيّة أو السيليكا أو جسيمات الميكا أو الموالئ القشريّة.

2.5.6. الأغشية الفاصلة المسامية

تُستعمل الأغشيّة البوليميريّة الفاصلة ذات المسامات المكرويّة استعمالاً واسعاً في سيرورات الترشيح والتنقية، من قبيل ترشيح مياه الصرف، وتحضير المياه الفائقة النقاوة، وفي التطبيقات الطبيّة أو الصيدلانيّة أو الغذائيّة، بما يشمل إزالة المتعضيات المكرويّة والديلزة (التصفية الغشائية) وترشيح البروتينات.

لقد وجدت هذه الأغشية استعمالاً واسعاً لأغراض متنوعة. ولكنها تُعاني عدّة عيوب، مثل توزيع عريض وغير منتظم لقياس المسامات، ومقاومة محدودة للكيماويات، والمذيبات والحرارة.

تُظهر بوليميرات بولي (آريل إيثر كيتون) مقاومة كيميائية وحرارية واضحتين. وهي عمليًا غير قابلة للانحلال في جميع المذيبات الشائعة في درجة حرارة الغرفة. تجعل هذه الخواص بوليميرات البولي (آريل إيثر كيتون) مواد جذّابة لتحضير أغشية مساميّة.

ولكنّ تطبيق بوليميرات البولي(آريل إيثر كيتون) في صناعة الأغشية بقي محدوداً بسبب عسر معالجتها، الأمر الذي منع استعمال الطرائق التقليديّة، على أساس المذيبات، في صبّ الأغشية. هناك عدّة طرق معروفة لتحضير أغشية بولي(آريل إيثر كيتون).

يمكن الحصول على أغشية مساميّة من PEEK من محاليل في حمض الكبريت الكثيف، في هذه السيرورة يمر PEEK بعمليّة سلفنة في بيئة حمض الكبريت الكثيف، ويفقد بعضاً من خواصه المرغوبة. واقتُرح الحصول على غشاء PEEK غير مُسلْفن باستعمال حمض كبريت أقل تركيزاً منعاً من السلفنة. تُكون الأغشية بصب محلول PEEK لتكوين طبقة رقيقة ثُم يتبع ذلك تخثّر من هذه السيرورة كميّات كبيرة من الحمض للتخلص منها.

يمكن تجنّب السلفنة، باستعمال درجات حرارة منخفضة؛ 15°C مثلاً 48. ولكن، عند درجات حرارة منخفضة يمكن فقط تكوين محاليل ممدّدة من PEEK في حمض الكبريت المركّز. وفي مُقاربة أخرى يمكن استعمال مذيبات حمضيّة غير مُسلفنة مثل حمض الميثان السلفوني، و حمض ثلاثي فلور الميثان السلفوني 10. بديلاً من أنظمة المذيبات على أساس حمضي لتحضير أغشية PEEK هناك طريقة بديلة تعتمد على استعمال مذيبات ومُلدّنات ذات نقطة غليان مرتفعة يمكنها حلّ PEEK عند درجات حرارة مرتفعة. نجد في الأدبيّات وهم الانحلاليّة في 104 مذيباً مختلفاً.

بعض هذه المعطيات مبيّنٌ في الجدول (6-6). يمثلُ كلِّ من البنزوفينون و 1-كلورو نفتالين مثالاً على مذيب عضوي قطبي ذي درجة غليان مرتفعة 49. تتكوّن المادّة المساميّة النهائيّة بإزالة المذيبات القطبيّة أو المُلدّنات بحلّها في مذيب ذي درجة غليان منخفضة.

وتَستعملُ طريقةٌ أخرى لتحضير الأغشية سيرورةَ عكس الطور المحرّض حرارياً (Thermally induced phase inversion (TIP). تُشير TIP إلى سيرورة يجري فيها حلّ البوليمير في مذيب تكون انحلاليّة البوليمير فيه تابعة لدرجة الحرارة.

يُبثق أو يُصب مزيج البوليمير مذيب بدرجات حرارة مرتفعة. عندما تقترب درجة الحرارة من درجة حرارة الجو المحيط، ينفصل طور عني بالبوليمير من المذيب. يجري بعدئذ إزالة المذيب من المزيج المنفصل الطور باستنزافه. إن بوليميرات مثل بولي (سُلفون) مُناسبة للاستنزاف 52.

وبالمُماتَّلة، يجري في مرحلة أولى تحضير خلائط PI\PEEK. يُزال PI من المزيج بالتحليل الانتقائي 53. على وجه الخصوص، يمكن تحليل PI بوضع الجزء المتشكل في تماس مع أمين أولي أليفاتي، مثل أحادي إيثانول أمين، فتتشكّل شظايا منخفضة الوزن الجزيئي سهلة الإزالة.

تُمكن أيضاً سلفنة PEEK لتكوين أغشية موصلة بروتونيّاً. تُستعمل هذه الأغشية بصفتها أغشية كهرليتيّة في خلايا الوقود 51. البوليمير المُسلفن قابلٌ للانحلال في مزائج من المذيبات العضويّة مع الماء، وهو أمر عير مرغوب. لهذا السبب يجري تشبيك زمر حمض السلفونيك جزئياً، بتفاعل تكاثف مبيّن في الشكل (6-5). يتحقّق التشبيك التصالبي بتسخين المادّة المُسلفنة حتى الدرجة 120°C في الخلاء. وتؤمّن الموصليّة الكهربائية زمر حمض السلفونيك المُحتجزة.

يمكن تحسين الموصليّة البروتونيّة لبوليمير پولي(إيثر إيثر كيتون) المُسلفن باستعمال أنماط خاصيّة من PEEK، وتحديداً البوليميرات المشتركة كتلية التعاقب المكوّنة من كتلة كارهة للماء وأخرى مُحبة له 54.

إنّ بوليمير PEEK-WC هو بوليمير PEEK مُعدّل، كما هو مبيّن في الشكل (6-2). يمكن تحضير أغشية فصل غازات غير متناظرة فائقة الرقّة من PEEK المعدّل بتقنية عكس الطور جاف رطب 56,55. يمكن تحت شروط أمثليّة الحصول على أغشية ذات مور فولوجيا مفتوحة الخلايا، وقشرة كثيفة فائقة الرقّة سماكتها حوالي 50nm. تُحضر

الأغشية الفاصلة بصب طبقة رقيقة من محلول PEEK-WC على صفيحة زجاجية، ثُم تُخثَّر وتُجفَّف وتُزال الأغشية عن الصفيحة الزجاجية.

 49 الجدول (6-6): انحلاليّة PEEK في مذيبات متنوعة

عند درجة	الانحلاليّة	نقطة	نقطة	الوزن	المركّب
		الغليان	الانصهار	الجزيئي	3
[°C]	[%]	[°C]	[°C]	[D]	
349	< 50.1	360	161	260	ثلاثي فينيل ميثانول
349	< 50.2	359	93	244	ثلاثي فينيل ميثان
350	< 50.0	438	196	228	ثلاثي فينيلين
349	< 50.1	_	158	306	3،2،1- ثلاثي فينيل بنزين
349	> 50.1	_	225	198	حمض 4-بيفينيل كربوكسيليك
302	> 10.1	301	79	214	ثنائي فينيل كربونات
274	> 10.3	284	51	182	بيبنزيل
349	> 10.0	389	_	264	فوسفات ثنائي الفينيل والميثيل
274	> 9.8	280	-1	207	1-برومو نفتالين
302	> 25.2	337	71	197	N،N- ثنائي فينيل فورم أميد
274	> 9.8	298	69	198	بنزوات الفينيل
274	> 10.2	293	_	218	1-فینیل دیکان
240	> 10.0	269	_	158	1-ميثوكسي نفتالين
302	> 24.8	305	18	249	4-برومو ثنائي فينيل إيثر
241	> 5.4	305	18	249	4-برومو ثنائي فينيل إيثر
302	> 24.9	305	50	182	بنزوفينون
241	> 10.1	259	27	170	ثنائي فينيل إيثر
349	> 10.8	384	-50	391	ثنائي أوكتيل فتالات
302	> 50.6	310	189	266	خماسي كلوروفينول
319	> 50.0	_	214	214	4،4′-ثنائي هيدروكسي بنزوفينون

$$H_2SO_4$$
 + O

الشكل (6-5): تشبيك زمر السلفونات المتدلية 51

إضافة إلى ما سبق فقد جرى تحضير أغشية PEEK-WC بسيرورة عكس الطور باستعمال موائع فائقة الحديّة. يؤدي المائع الفائق الحديّة دور لامذيب، ومقارنة بطريقة عكس الطور جاف رطب فإنّ المائع الفائق الحديّة يتيح تعديل قياس الخلايا ومور فولوجيا الغشاء تبعاً للشروط التجريبيّة، مثل تركيز البوليمير ودرجة الحرارة والضغط. يمكن الحصول على غشاء جافّ بسرعة ومن دون معالجات لاحقة إضافيّة 57.

تُبدي أغشية PEEK المُسلفنة موصوليّة بروتونيّة، وهي من ثَمّ مرشّحة للاستعمال في تطبيقات خلايا الوقود. ولقد جرى وصف أنماط متنوّعة من بوليميرات پولي(إيثر كيتون) في الأدبيّات:

- يولى (إيثر كيتون) المسلفن (SPEK)،
- پولي(إيثر إيثر كيتون) المُسلفن (SPEEK)،
- بولي(إيثر كيتون كيتون) المُسلفن (SPEKK)،
- پولي(إيثر إيثر كيتون كيتون) المُسلفن (SPEEKK)،
- پولي(إيثر ايثر كيتون) المُسلفن المعدّل (SPEEK-WC).

يعود سبب الاهتمام بهذه المواد إلى أنّ الأغشية المصنّعة على أساس بوليميرات البولي(إيثر كيتون) تتمتّع باستقرار كيميائي وميكانيكي جيدين، وموصليّة بروتونيّة عالية، ونفوذيّة منخفضة للميثانول وكلفة زهيدة نسبة إلى غشاء نافيون (Nafion) 59,58.

نتأثر الموصليّة البروتونيّة بدرجة سلفنة البوليمير. ترتفع درجة حرارة الانتقال الزجاجي مع ازدياد درجة السلفنة 60 . ولتحسين الموصليّة البروتونيّة، وخصوصاً في الأغشية ذات الدرجة المنخفضة من السلفنة، يمكن تضمين الحاضنة البوليميريّة سُلفوفينيلين فوسفونات فوسفات الزيركونيوم $Zr(HPO_4)(O_3PC_6H_4SO_3H)$ اللامتبلور 59 .

لقد جرى اختبار أغشية PEK-WC المُسلفنة بدرجة سلفنة 15-40 في المئة بصفتها أغشية كثيفة في تطبيقات خلايا الوقود. ولقد جرى استعمال تقنيّة تبخير المذيب، مع المذيب ثنائي ميثيل أسيت أميد، لتحضير أغشية كثيفة. وقد لوحظت نسبة امتصاص للماء حتّى 15 في المئة في حالة الأغشية الفاصلة الكثيفة عند 80° C. وتُبدي الأغشية أداءً كهركيميائياً يُقارن بأغشية نافيون 61.

يمكن تحسين أداء مثل هذه الأغشية بحجز الحموض المتعددة المُغايرة ضمن الحاضنة البوليميريّـة. حيث تُستعمــل أحماض مثل حمض التنغستوفوسفوريــك $(H_3PW_{12}O_{40})$ وحمض السيليكوتنغستيك $(H_4SiW_{12}O_{40})$ وحمض الفوسفوموليبديــك $(H_4PMo_{12}O_{40})$ وحمض الفوسفوموليبديــك $(H_3PMo_{12}O_{40})$.

إنّ الأغشية ذات المسامات المكرويّة المصنوعة من مزيج PEEK-WC وپولي (يوريثان) هي موضع اهتمام في العلوم الطبيّة، مثلاً في دعم المحافظة الطويلة الأمد على خلايا الكبد البشريّة وفي مفاضلتها 64.

3.5.6. البطاريات القابلة لإعادة الشحن

تُستعمل البطاريات اللامائية القابلة للشحن الشبيهة بقطع النقود في حقل مصادر الطاقة الاحتياطية للتجهيزات الإلكترونية، وذلك بسبب مميّزاتها المتمثّلة في ارتفاع كثافة طاقتها وخفّة وزنها. في حالة بطّاريّة على أساس الليثيوم، يجب لحم الليثيوم بالضغط، أو توضيعه كهركيميائياً على المسرى السالب.

في هذه البطاريات، يكون مُهماً على وجه الخصوص اختيارُ المادّة التي تُصنع منها سدادات الإحكام، التي تجعل البطاريّة كتيمة للهواء والسوائل، وتضمن عزل عُلبتي المسريين الموجب والسالب. تقليدياً، يُستعمل بوليمير بولي (بروبيلين) (PP) بصفته مادّة

لسادّات الإحكام ، بسبب مميّزاته في مُقاومة المواد الكيميائيّة، والمرونة، ومقاومة الزحف، وقابليته للقولبة مما يتيح قولبته بالحقن، وأخيراً لأنّه زهيد الثمن.

غالباً ما تُلحم بطاريات مصادر الطاقة الاحتياطيّة للذواكر على لوحات التوصيل إلى جانب تجهيزات الذواكر. يُنجز ذلك بتمرير لوحة التوصيل في فرن درجة حرارته 230-200 درجة مئويّة، وهذا ما يتيح لمادّة اللحام أن تنصهر وتُحقّق اللحام. تسمّى هذه السيرورة باسم اللحام بالانحسار (Reflow soldering).

إذا لم تُصمَم التجهيزة لتستعمل مواد مُقاومة للحرارة، يمكن أن تفقد بعض وظائفها أثناء عملية اللحام بالانحسار. ويمكن أن تتفاعل خليطة الليثيوم مع المحلول الكهرليتي وغيره من مكوّنات البطاريّة ليُسبّب انتفاخاً مباشراً أو انفجاراً. لهذا السبب، يجب استعمال مواد مُقاومة لدرجة حرارة اللحام بالانحسار في كلِّ من المحلول الكهرليتي والفاصل وسادّة الإحكام.

لقد جرى اختيار مواد خاصة كمركبات للبطاريّات بعد أخذ هذه المشاكل بعين الاعتبار. لن نذكر طبيعة المساري أو الكهرليت بالتفصيل، ولكن سنركّز الاهتمام على البوليميرات المقترحة.

يُستعمل غشاءً عازل ذو ناقليّة شارديّة كبيرة، ومقاومة ميكانيكيّة محدّدة سابقاً، بصفته فاصلاً. الألياف الزجاجيّة هي الأكثر استقراراً بصفتها مادّة للاستعمال في اللحام بالفيضان. ولكن يمكن أيضاً استعمال راتنج ذي درجة تشوّه حراري 230° C أو أكثر مثل پولي (سلفيد الفينيلين) وپولي (ترفِتالات الإيثيلين) وپولي (أميد) وپولي (إيميد) وغيرها. قياس المسامات في الفاصل مُحدَّدٌ في المجال المستعمل عموماً في البطاريات، أي مسامات من 0.01 الله 0.01 الله 0.01

أما بشأن سادة الإحكام، فلقد تبيّن أنه بدلاً من PP، فإنّ بولي (سلفيد الفينيلين) وبولي (ترفتالات الإيثيلين) وبولي (أميد) وبوليمير البلورات السائلة وراتنج البوليمير المشترك رباعي فلورو إيثيلين/برفلوروألكيل فينيل إيثر وPEEK وپولي(إيثر نتريل)، لا تُحدِث انفجاراً ولا تعاني العيوب الأخرى عند درجة حرارة اللحام بالانحسار 41.

4.5.6. الطلاءات

يمكن تحضير طلاءات PEEK على ركائز الألمنيوم أو الفولاذ غير القابل للصدأ باستعمال تقنيّة البخ باللهب. ولكنّ الطلاءات التي نحصل عليها بهذه الطريقة هي بكلّ بساطة تراكمٌ للمسحوق بمساميّة عالية بخواص ميكانيكيّة سيّئة.

يمكن الحصول على طلاء كثيف بالمعالجة بالليزر. أثناء هذه المعالجة يُعاد صهر الطلاء البوليميري. لقد جرى اختبار عدّة أنواع من الليزرات، أكثرها مُلاءمة للحصول على طلاءات متراصبة هو ليزر ثاني أوكسيد الكربون. تُظهر الطلاءات المُعالجة بالليزر بنية لا متبلورة. ولكن لم يُلاحظ أي تعديل كيميائي واضح بعد سيرورة البخ باللهب والمعالجة الليزريّة 65.

يمكن إنجاز تلبيد طلاءات PEEK باستعمال تقنيّات التلبيد بالأمواج المكرويّة. ولقد أثبت أنّ كربيد السليكون الموزّع في الحاضنة البوليميريّة هو ماصّ جيّدٌ للإشعاع المكروي بسبب ارتفاع مُعامل الضياع الديليكتريكي فيه 66. تزداد مساحة سطح التماس بين الحاضنة البوليميريّة والمالئ اللاعضوي مع نقصان أقطار الجسيمات، لهذا السبب تكون الجسيمات النانويّة أفضل من الجسيمات المكرويّة. ينخفض خطر وقوع تسخين زائد في حالة الجسيمات الأصغر، ومن ثم يمكن إجراء التلبيد بشكل أسرع.

6.6. الموردون والعلامات التجارية

يبيّن الجدول (6-7) الموردين والعلامات التجاريّة. ويمكن العثور في شبكة الإنترنت على أسماء مصنّعين آخرين وصفحات معطيات عن البولي (إبيثر إبيثر كيتون) 67. ويبيّن الجدول (6-8) الأسماء التجاريّة الواردة في المراجع.

7.6. الأمان

الأخطار على الصحة الناجمة عن PEEK هي أخطار ضئيلة. أمّا بشأن صفوف البوليمير الأخرى فيُعتبر الدخان الناتج من تسخينها الزائد مؤذياً.

الجدول (6-7): أمثلة على بوليميرات پولي (آريلين إيثر كيتون) المتوفرة تجارياً

المُنتج	الاسم التجاري
Invibio Inc.	PEEK-OPTIMA® Granular
Victrex	Victrex®PEEK
Quadrant Engineering Plastic Products	Ketron®PEEK
Ensinger Inc.	Ensinger PEEK
Degussa AG	Vestakeep®
PolyOne Corp.	Edgetek TM -PK
Solvay Advanced Polymers	$Avaspire^{TM}$
Solvay Advanced Polymers	Ketaspire TM
Gharda Chemicals Ltd.	$Gatone^{TM}$
RTP Compounds	^a RTP Compounds 22XX
LATI S.p.A.	Larpeek
	90 = X هنا ^a

الجدول (6-8): الأسماء التجاريّة الواردة في المراجع

المورّد	الاسم التجاري
	الوصف
Dow	DC®-704
	زیت سیلیک <i>و</i> ن ⁴⁹
Dow	DC®-710
	زیت سیلیک <i>و</i> ن ⁴⁹
Asahi Glass Company	Flemion®
	بوليمير فلوري، غشاء تبادل شوارد 2
Minnesota Mining and Manufacturing	Fluorinert®
Co. (3M)	زیت مفاور ^{53,34}
DuPont	Freon® 113
	2،1،1-ثلاثي كلورو -2،2،1-ثلاثي فلوروإيثان ^{53,49}
Gharda Chemicals Ltd.	Gatone TM
	²⁷ PEEK

الجدول (6-8): الأسماء التجاريّة الواردة في المراجع

المورّد	الاسم التجاري
	الوصف
W. L. Gore	®Gore-Select غشاء PTFE موسّع بمسامات میکرویّة (ePTFE)،
Advanced Energy Technology Inc.	غشاء موصل للشوارد ² ®Grafoil غرافیت مرن ³³
Monsanto Co.	HB® -40
DuPont	تر فینیل مهدر ج ⁴⁹ ®Kevlar أر امدد ²
DuPont	Krytox®
Arkema, Inc.	زیت مفلور ³⁴ «Kynar
Lenzing AG	پولي(فلوريد ڤينيليدين) ³³ Lenzing® P84 بوليمير مشترك بنزوفينون رباعي كربوكسيليك ثنائي
Argus Chemical Corp.	أنهيدريد -TDI-4،2-MDI ، بولي(إيميد) ⁵³ Mark 2112
Ciba Geigy	تریس (4،2-ثنائي-ترت- بوتیل فینیل) فوسفیت ¹ ®Matrimid
Mobil Oil Corp.	يو لي(إيميد) ⁵³ Mobiltherm® (Series)
DuPont	زيت نقل الحرارة ⁴⁹ Nafion® 1100 EW
DuPont	مسلفن، غشاء نافيون بوزن مكافئ 1100 2 Nafion®
Solvay	PTEE مسلفن، لتطبيقات الأغشية Endel® R
Sandoz AG	پولي (بيفينيل سلفون) ² Sandostab® -P-EPQ تتراكيس (4،2-ثنائي-ترت- بوتيل فينيل)-4،4-بيفينيلين
Monsanto Co.	ثنائي فوسفونيت ¹ Santowax® R مركّبات تر ُفينيل مختلطة ⁴⁹

الجدول (6-8): الأسماء التجارية الواردة في المراجع

جاریہ الواردہ فی الفراجع	الجدول (۵–۵). الاسماء الد
المورّد	الاسم التجاري
	الوصف
General Electric	Siltem® STM 1500
Raychem Corp.	پولي (ايثر اپميد) ⁴⁹ ®Stilan
General Chemical Co.Corp.	پولي (ايثر كيتون) ^{13,1} Sulfan® B
DuPont	ثلاثي أوكسيد الكبريت ² Teflon® AF 1600 بوليميرات مشتركة غير متبلورة من برفلورو -2،2-
	ثنائي ميثيل -3،1-ديوكسول مع رباعي فلورو
DuPont	ي مرود ع و اي و ع ع و اي ع Teflon® AF 2400
	بولیمیرات مشترکة غیر متبلورة من برفلورو -2،2-
	ثنائي ميثيل -3،1-ثنائي أوكسول مع رباعي فلورو
	ايثيلين ³⁴
Monsanto Co.	Therminol® 66
Monsanto Co.	Therminol® 75
Solvay (Amoco).	ترفینیلات وکاترفینیلات مختلطة ⁴⁹ (Series) ®Torlon
Union Carbide (Dow)	بولي (أميد اپميد) ³³ ®Ucarsol
Solvay	مزیج أمین ⁵³ Udel® Polysulfone
General Electric	پولي (بيسفينيل A سلفون) ² (Ultem® (Series)
General Electric	بولي (إيميد)، مثلدن حرارياً ⁵³ Ultem® 6050
BASF AG	پولي (پیثر اپمید سلفون) ⁵³ Ultrapek® KR 4176 بولیمیر مشترك 4،4′-ثنائي فینوكسي بنزوفینون -
DuPont	كلوريد ترِفتالويل ¹⁰ ®Vespel پولي (ايميد)، متصلّد حرارياً ³³

الجدول (6-8): الأسماء التجارية الواردة في المراجع

المورّد	الاسم التجاري
	الوصف
Victrex PLC	Victrex® 381G
Victrex PLC	بولي (إيثر إيثر كيتون)، طلاء كبلات ⁴² Victrex® PEEK 450 بولي(أوكسي -4،1-فينيلين أوكسي -4،1-فينيلين
Victrex Manufacturing Ltd.	کربونیل -4۰۱-فینیلین)، پولی(ایٹر ایٹر کیتون) ⁴² Victrex® PEK پولی (أوکسی -4۰۱-فینیلین کربونیل -4۰۱-فینیلین) ¹⁰

المراجع

- 1. J. E. Harris. Stabilized poly(aryl ether ketone) compositions. US Patent 5 063 265, assigned to Amoco Corporation (Chicago, IL), 5 November 1991.
- 2. R. M. Formato, R. F. Kovar, P. Osenar, N. Landrau, and L. S. Rubin. Composite solid polymer electrolyte membranes. US Patent 7 052 793, assigned to Foster-Miller, Inc. (Waltham, MA), 30 May 2006.
- 3. R. J. Kumpf, D. A. Wicks, D. K. Nerger, H. Pielartzik, and R. Wehrmann. Poly(arylether)/liquid crystalline polyester block copolymers and a process for their production. US Patent 5 618 889, assigned to Bayer Corporation (Pittsburgh, PA), 8 April 1997.
- J. B. Rose and P. A. Staniland. Thermoplastic aromatic polyetherketones. US Patent 4 320 224, assigned to Imperial Chemical Industries Limited (London, GB2), 16 March 1982.
- 5. Y. Niu, S. Zhang, X. Zhu, L. Liu, G. Wang, and Z. Jiang. "New poly(aryl ether ketone) copolymers containing 1,5-napthalene rings." *Journal of Macromolecular Science: Pure and Applied Chemistry*: vol. 42, no. 5, 2005, pp. 641–648.
- 6. A. Ben-Haida, H. M. Colquhoun, P. Hodge, and D. J. Williams. "Synthesis of a catechol-based poly(ether ether ketone) ("o-PEEK") by classical step-growth polymerization and by entropically driven ring-opening polymerization of macrocyclic oligomers." *Macromolecules*: vol. 39, no. 19, September 2006, pp. 6467–6472.
- 7. Y. M. Niu, X. L. Zhu, L. Z. Liu, Y. Zhao, G. B. Wang, and Z. H. Jiang. "Synthesis and properties of poly(aryl ether ketone) copolymers with trifluoromethyl-substituted benzene in the side chain." *Journal of Macromolecular Science: Pure and Applied Chemistry*: vol. 43, no. 9, September 2006, pp. 1459–1467.

- 8. V. Jansons, H. C. Gors, S. Moore, R. H. Reamey, and P. Becker. Preparation of poly(arylene ether ketones). EP Patent 0 174 207, assigned to Raychem Corp. (US), 12 March 1986.
- 9. K. J. Dahl, V. Jansons, and S. Moore. Aryl ether ketone copolymers. US Patent 4 808 693, assigned to Raychem Corporation (Menlo Park, CA), 28 February 1989.
- L. C. Costa. Asymmetric semipermeable poly(aryletherketone) membranes and method of producing same. US Patent 5 089 192, assigned to Ionics, Incorporated (Watertown, MA), 18 February 1992.
- 11. J. E. McGrath, K. R. Lyon, R. M. Davis, A. Texier, and A. Gungor. Fine powders of ketone-containing aromatic polymers and process of manufacture. US Patent 5 357 040, assigned to The Center for Innovative Technology (Herndon, VA) Virginia Polytechnic Institute & State University (Blacksburg, VA) Virginia Tech Intellectual Properties, Inc. (Blacksburg, VA), 18 October 1994.
- 12. K. H. Gharda, P. D. Trivedi, V. S. Iyer, U. M. Vakil, and S. C. Limaye. Melt processible polyether ether ketone polymer. US Patent 6 881 816, assigned to Gharda Chemicals Ltd. (Mumbai, IN), April 19, 2005.
- 13. J. E. Harris, L. M. Robeson, M. D. Cliffton, B. H. Eckstein, and M. Matzner. Miscible blends of a poly(aryl ether ketone) and an imide containing polymer. US Patent 5 171 796, assigned to Amoco Corporation (Chicago, IL), 15 December 1992.
- 14. M. J. Jenkins. "Crystallisation in miscible blends of PEEK and PEI." *Polymer*: vol. 42, no. 5, March 2001, pp. 1981–1986.
- 15. P. Zschocke and D. Quellmalz. Integral asymmetric, solvent-resistant ultra-filtration membrane made of partially sulphonated, aromatic polyether ether ketone. DE Patent 3 321 860, assigned to Berghof Forschungsinst (DE), 20 December 1984.
- 16. C. Henneuse, B. Goret, and J. Marchand-Brynaert. "Surface carboxylation of PEEK film by selective wet-chemistry." *Polymer*: vol. 39, no. 4, February 1998, pp. 835–844.
- 17. C. Henneuse-Boxus, T. Boxus, E. Duliere, C. Pringalle, L. Tesolin, Y. Adriaensen, and J. Marchand-Brynaert. "Surface amination of PEEK film by selective wet-chemistry." *Polymer*: vol. 39, no. 22, October 1998, pp. 5359–5369.
- 18. C. Henneuse-Boxus, E. Duliere, and J. Marchand-Brynaert. "Surface functionalization of PEEK films using photochemical routes." *European Polymer Journal*: vol. 37, no. 1, January 2001, pp. 9–18.
- 19. S.-W. Ha, R. Hauert, K.-H. Ernst, and E. Wintermantel. "Surface analysis of chemically-etched and plasma-treated polyetheretherketone (PEEK) for biomedical applications." *Surface and Coatings Technology*: vol. 96, nos. 2-3, November 1997, pp. 293–299.
- 20. H. Nakamura, T. Nakamura, T. Noguchi, and K. Imagawa. "Photodegradation of PEEK sheets under tensile stress." *Polymer Degradation and Stability*: vol. 91, no. 4, April 2006, pp. 740–746.

- 21. H.-B. Qiao, Q. Guo, A.-G. Tian, G.-L. Pan, and L.-B. Xu. "A study on friction and wear characteristics of nanometer Al2O3/PEEK composites under the dry sliding condition." *Tribology International*: vol. 40, no. 1, January 2007, pp. 105–110.
- 22. K-Mac Plastics. Data sheets. K-Mac Plastics 3821 Clay Ave. SW, Wyoming, MI 49548 [electronic] http://k-mac-plastics.net, 2006.
- 23. D. L. Burris and W. G. Sawyer. "A low friction and ultra low wear rate PEEK/PTFE composite." *Wear*: vol. 261, nos. 3-4, August 2006, pp. 410–418.
- 24. D. L. Burris and W. G. Sawyer. "Tribological behavior of PEEK components with compositionally graded PEEK/PTFE surfaces." *Wear*: vol. 262, nos. 1-2, January 2007, pp. 220–224.
- 25. E. Reske and A. Schneller. A mixture containing stabilised aromatic poly-ether ketones, and its use in the preparation of moulded products. EP Patent 0 308 803, assigned to Hoechst AG (DE), 29 March 1989.
- J. Koch, G. Schuermann, and G. Heinz. Stabilized polyaryl ether ketone molding compositions containing a phosphorus compound. US Patent 5 145 894, 8 September 1992.
- 27. R. K. Goyal, A. N. Tiwari, U. P. Mulik, and Y. S. Negi. "Effect of aluminum nitride on thermomechanical properties of high performance PEEK." *Composites Part A*: vol. 38, no. 2, February 2007, pp. 516–524.
- 28. R. K. Goyal, A. N. Tiwari, U. P. Mulik, and Y. S. Negi. "Novel high performance Al2O3/poly(ether ether ketone) nanocomposites for electronics applications." *Composites Science and Technology*: vol. 67, no. 9, July 2007, pp. 1802–1812.
- 29. M. C. Kuo, C. M. Tsai, J. C. Huang, and M. Chen. "PEEK composites reinforced by nano-sized SiO2 and Al2O3 particulates." *Materials Chemistry and Physics*: vol. 90, no. 1. March 2005, pp. 185–195.
- 30. Y. H. Lai, M. C. Kuo, J. C. Huang, and M. Chen. "On the PEEK composites reinforced by surface-modified nano-silica." *Materials Science and Engineering A*: vol. 458, nos. 1-2, June 2007, pp. 158–169.
- 31. H.-D. Sturm, F. Sehr, and A. Dwars. Slide bearing for a centrifugal pump. US Patent 6 981 799, assigned to KSB Aktiengesellschaft (Frankenthal, DE), 3 January 2006.
- 32. W. Bickle and F. Haupert. Plain bearing composite material. US Patent 7 056 590, assigned to KS Gleitlager GmbH (St. Leon-Rot, DE), 6 June 2006.
- 33. B. A. Hotton, C. R. Brown, G. A. Carlson, J. K. Iveljic, J. S. Timko, and K. J. Mracek. Ball valve seat seal. US Patent 6 695 285, assigned to Swagelok Company (Solon, OH), 24 February 2004.
- 34. T. A. Dourdeville, A. C. Gilby, and D. DellaRovere. Flow cell, analyte measurement apparatus and methods related thereto. US Patent 6 526 188, assigned to Waters Investments Limited, 25 February 2003.

- 35. A. Murari, C. Vinante, and M. Monari. "Comparison of PEEK and VESPEL(R)SP1 characteristics as vacuum seals for fusion applications." *Vacuum*: vol. 65, no. 2, April 2002, pp. 137–145.
- 36. A. Murari and A. Barzon. "Comparison of new PEEK(R) seals with traditional helicoflex for ultra high vacuum applications." *Vacuum*: vol. 72, no. 3, November 2003, pp. 327–334.
- 37. J.-P. Buffard, M. Fontaine, and C. Gardaz. Antiadhesive coating with improved scratch resistance. US Patent 6 596 380, assigned to Seb SA (FR), 22 July 2003.
- 38. S. C. Kennedy, T. H. F. Tan, M. L. Taylor, and B. H. Tan. Submergible pumping system with thermal sprayed polymeric wear surfaces. US Patent 6 565 257, 20 May 2003.
- 39. C. G. Hutter, III. Cable tie. US Patent 6 928 701, assigned to Physical Systems, Inc. (Carson City, NV), 16 August 2005.
- 40. M. W. Orlet, M. M. Darpi, and J. P. Varkey. Dual stress member conductive cable. US Patent 6 960 724, assigned to Schlumberger Technology Corporation (Sugarland, TX), 1 November 2005.
- 41. S. Watanabe, T. Harada, Y. Kanno, S. Takasugi, T. Sakai, H. Onodera, and T. Tamachi. Non-aqueous electrolyte rechargeable batteries. US Patent 6 713 215, assigned to Sii Micro Parts Ltd. (Miyagi, JP), 30 March 2004.
- 42. T. M. Williams and K. C. Gardeski. Deflectable tip catheter for CS pacing. US Patent 6 408 214, assigned to Medtronic, Inc. (Minneapolis, MN), June 18, 2002.
- 43. D. A. White and A. E. Williams. System and method for intraluminal imaging. US Patent 7 044 915, assigned to Boston Scientific SciMed, Inc. (Maple Grove, MN), 16 May 2006.
- 44. M. E. Graham. Sinus tarsi implant. US Patent 7 033 398, 25 April 2006.
- 45. K. Fujihara, Z.-M. Huang, S. Ramakrishna, K. Satknanantham, and H. Hamada. "Performance study of braided carbon/PEEK composite compression bone plates." *Biomaterials*: vol. 24, no. 15, July 2003, pp. 2661–2667, July 2003.
- 46. L. Mastronardi, A. Ducati, and L. Ferrante. "Anterior cervical fusion with polyetheretherketone (PEEK) cages in the treatment of degenerative disc disease. Preliminary observations in 36 consecutive cases with a minimum 12month follow-up." *Acta Neurochirurgica*: vol. 148, no. 3, March 2006, pp. 307–312.
- 47. T. Shimoda and H. Hachiya. Porous membrane. US Patent 6 017 455, assigned to Asahi Kasei Kogyo Kabushiki Kaisha (Osaka, JP), 25 January 2000.
- 48. T. Shimoda and H. Hachiya. Process for preparing a polyether ether ketone membrane. US Patent 5 997 741, assigned to Asahi Kasei Kogyo Kabushiki Kaisha (Osaka, JP), 7 December 1999.

- 49. H. N. Beck, R. A. Lundgard, and R. D. Mahoney. Process for making micro-porous membranes from poly(etheretherketone)-type polymers. US Patent 5 064 580, assigned to The Dow Chemical Company (Midland, MI), 12 November 1991.
- 50. R. E. Kesting. *Synthetic Polymer Membranes. A Structural Perspective*. 2nd ed. New York: Wiley, 1985.
- 51. S.-P. S. Yen, S. R. Narayanan, G. Halpert, E. Graham, and A. Yavrouian. Polymer material for electrolytic membranes in fuel cells. US Patent 5 795 496, assigned to California Institute of Technology (Pasadena, CA), 18 August 1998.
- M. F. Sonnenschein. "Hollow fiber microfiltration membranes from poly(ether ether ketone) (PEEK)." *Journal of Applied Polymer Science*: vol. 72, no. 2, 1999, pp. 175– 181
- Y. Yuan. Porous poly(aryl ether ketone) membranes, processes for their preparation and use thereof. US Patent 6 887 408, assigned to PoroGen LLC (Wilmington, MA), 3 May 2005.
- 54. C. Zhao, X. Li, Z. Wang, Z. Dou, S. Zhong, and H. Na. "Synthesis of the block sulfonated poly(ether ether ketone)s (S-PEEKs) materials for proton exchange membrane." *Journal of Membrane Science*: vol. 280, nos. 1-2, September 2006, pp. 643–650.
- 55. J. C. Jansen, M. G. Buonomenna, A. Figoli, and E. Drioli. "Ultra-thin asymmetric gas separation membranes of modified PEEK prepared by the dry-wet phase inversion technique." *Desalination*: vol. 193, nos. 1-3, May 2006, pp. 58–65.
- M. Macchione, J. C. Jansen, and E. Drioli. "The dry phase inversion technique as a tool
 to produce highly efficient asymmetric gas separation membranes of modified PEEK.
 Influence of temperature and air circulation." *Desalination*: vol. 192, nos. 1-3, May
 2006, pp. 132–141.
- 57. S. Cardea, A. Gugliuzza, E. Schiavo Rappo, M. Aceto, E. Drioli, and E. Reverchon. "Generation of PEEK-WC membranes by supercritical fluids." *Desalination*: vol. 200, nos. 1-3, November 2006, pp. 58–60.
- 58. E. Drioli, A. Regina, M. Casciola, A. Oliveti, F. Trotta, and T. Massari. "Sulfonated PEEK-WC membranes for possible fuel cell applications." *Journal of Membrane Science*: vol. 228, no. 2, January 2004, pp. 139–148.
- 59. A. Regina, E. Fontananova, E. Drioli, M. Casciola, M. Sganappa, and F. Trotta. "Preparation and characterization of sulfonated PEEK-WC membranes for fuel cell applications: A comparison between polymeric and composite membranes." *Journal of Power Sources*: vol. 160, no. 1, 2006, pp. 139–147.
- 60. L. Paturzo, A. Basile, A. Iulianelli, J. C. Jansen, I. Gatto, and E. Passalacqua. "High temperature proton exchange membrane fuel cell using a sulfonated membrane obtained via H2SO4 treatment of PEEK-WC." *Catalysis Today*: vol. 104, nos. 2-4, June 2005, pp. 213–218.

- 61. A. Basile, L. Paturzo, A. Iulianelli, I. Gatto, and E. Passalacqua. "Sulfonated PEEK-WC membranes for proton-exchange membrane fuel cell: Effect of the increasing level of sulfonation on electrochemical performances." *Journal of Membrane Science*: vol. 281, nos. 1-2, September 2006, pp. 377–385.
- 62. E. Fontananova, A. Regina, E. Drioli, and F. Trotta. "Improving of the performances of sulfonated PEEK-WC membranes by introducing heteropolyacids in the polymeric matrix." *Desalination*: vol. 200, nos. 1-3, November 2006, pp. 658–659.
- 63. J. Shan, G. Vaivars, H. Z. Luo, R. Mohamed, and V. Linkov. "Sulfonated polyether ether ketone (PEEK-WC)/phosphotungstic acid composite: Preparation and characterization of the fuel cell membranes." *Pure and Applied Chemistry*: vol. 78, no. 9, September 2006, pp. 1781–1791.
- 64. L. De Bartolo, S. Morelli, M. C. Gallo, C. Campana, G. Statti, M. Rende, S. Salerno, and E. Drioli. "Effect of isoliquiritigenin on viability and differentiated functions of human hepatocytes maintained on PEEK-WC-polyurethane membranes." *Biomaterials*: vol. 26, no. 33, November 2005, pp. 6625–6634.
- 65. G. Zhang, H. Liao, H. Yu, S. Costil, S. G. Mhaisalkar, J.-M. Bordes, and C. Coddet. "Deposition of PEEK coatings using a combined flame spraying-laser remelting process." *Surface and Coatings Technology*: vol. 201, nos. 1-2, September 2006, pp. 243–249.
- 66. G. Zhang, S. Leparoux, H. Liao, and C. Coddet. "Microwave sintering of poly-ether-ether-ketone (PEEK) based coatings deposited on metallic substrate." *Scripta Materialia*: vol. 55, no. 7, October 2006, pp. 621–624.
- 67. IDES Integrated Design Engineering Systems. The Plastics Web®. IDES Inc. 209 Grand Avenue Laramie, WY 82070 USA [electronic] http://www.ides.com/prospector/, 2006.

بولیمیرات (آریلین ایثر سلفون)

لقد عُرفت بوليميرات پولي (آريلين إيثر سُلفون) أو اختصاراً (PAES) منذ السبعينات من القرن الماضي. إنها بوليميرات خطيّة قاسية، تمتلك عدداً من الميّزات الجذّابة، مثل مقاومة ممتازة لدرجات الحرارة العالية، وخواص كهربائيّة جيّدة، واستقراراً جيّداً إزاء التحلّل بالماء (الحلمهة). ولقد استُعرض الموضوع سابقاً في الأدبيّات 2,1.

في هذا النص نحن نفضل تعبير "آريلين إيثر" على "أريل إيثر"، بمعنى أن زمرة الأريل متوضعة في السلسلة الرئيسية للبوليمير؛ تذكّر معنى تعبير "ميثيلين" على سبيل المثال. هناك تنويعات من هذا النمط من البوليميرات مثل بوليميرات پولي (إيثر كيتون سلفون) أوبوليميرات بولي (إيثر كيتون سلفون) وبايشر كيتون سلفون) وكسارة من بولي (إيثر كيتون) وكسارة بولي (إيثر كيتون) وكسارة بولي (إيثر كيتون) وكسارة بولي (إيثر كيتون) أو في سلسلته الرئيسية. تمكن دراسة هذا النوع من البوليميرات إمّا في بحث بولي (إيثر كيتون) أو في هذا البحث، وما هي إلا مسألة ذوق أن نختار شمله في هذا البحث. يضم الجدول (7-1) تنويعات أخرى أيضاً.

التسميات ليست وحيدة، في بعض الحالات يُطلق على بوليميرات PAES اسم راتنجات بولي (سلفون). وعند جَمْع الأدبيات حول هذا البحث وجدنا ما يزيد على مئة اختصار يشير كلِّ منها إلى بوليمير يحوي زمر السلفون. ولقد جمّعنا بعضها في الجدول (7-1).

في الكيمياء العضوية، ثيو إيثر هو مرادف للسافيد (سافيد). الثيو إيثر أو السافيد هو مركب يحوي الرابطة R-S-R، وهذا على نقيض التسميات في كيمياء البوليميرات 3 . البوليسافيد هو بوليمير يحتوي على الزمرة -S-S- في سلسلته الرئيسيّة. أمّا البولي (سافيد) مع "سافيد" بين قوسين مثل البولي(سافيد الفينيلين) الذي يُسمى أيضاً بولي (ثيو -4.1-فينيلين) فهو يحتوي على زمرة كبريت واحدة.

^(*) پولى (سلفون) عوضاً عن پولى (إيثر كيتون) (المترجم).

الجدول (7-1): السلفون العطري والبوليميرات المتعلّقة به

الاختصار	البوليمير
PSF	پولي (سلفون)
PES	پولي (اپيثر سلفون)
PES	پولي (فينيلين إيثر سلفون)
PASS	پولي (آريلين سلفيد سلفون)
PATKKS	پولي (آريلين ثيواپيثر كيتون كيتون سلفون)
PEBES	پولي (آريلين اپيثر بيغينيل اپيثر سلفون)
PEEKS	پولي (ایثر ایثر کیتون سلفون)
PEES	پولي (آريلين اپيٹر اپيٹر سلفون)
PESEKK	پولي (آريلين اپثر سلفون اپثر كيتون كيتون)
PHES	پولي (هيدروكسي اپيثر سلفون)
PPES	پولي (فتالازينون إيثر سلفون)
PPESK	پولي (فتالازينون اپيثر سلفون كيتون)
PPS	پولي (فينيلين سلفيد)
PPSE	پولي (فينيلين سلفيد اپثر)
PPSF ⁴	پولي (بيفينيل إيثر سلفون)
PPSS	پولی (فینیلین سلفید سلفون)
PSEK	پولى (فينيلين سلفون إيثر كيتون)
PTEK	بولي (فينيلين ثيو ايثر ايثر كيتون)
PTK	۔ پولمي (آريلين ثيواپيٹر کيتون)
SPAEKKS	پولي (آريلين ايثر كيتون كيتون سلفون) المسلفن
SPAES	پولي (آريلين اپٽر سلفون) المسلفن
SPATKKS	پولي (آريلين ثيواپيثر كيتون كيتون سلفون) المسلفن
SPEEKS	پولي (إيثر ايثر كيتون سلفون) المسلفن
SPEES	پولي (اپيثر اپيثر سلفون) المسلفن
SPES	پولي (اپثر سلفون) المسلفن
SPSS	پولي (سلفيد سلفون) المسلفن

تُستعمل بوليميرات البولي(سلفيد) موادّ لاصقة، وطلاءات، ومُحْكمات إغلاق، لأنّه من السهل تشبيكها، حتى في درجة حرارة الغرفة. يبيّن الشكل (7-1) الزمر الوظيفيّة وكتل البناء لبولي(إيثر سلفون) (PES) ولمركبّات متعلّقة به.

الشكل (1-1): الزمر الوظيفية وكتل بناء أنماط من پولي(إيثر سلفون)

1.7. المونوميرات

يبيّن الجدول (7-2) المونوميرات في حالة بوليميرات PES، أكثرها شيوعاً هي يبيّن الجدول (8P) المونوميرات في سلفون بصفته سلفوناً متّحداً مع 4،4'-بيفينول (BP) أو بيس فينول A بصفته مكوّن هيدروكسي.

الجدول (2-7): المونوميرات في حالة PES

المراجع	تركيبة المونومير
7,6	- 4،4 ُ-ثنائي كلورو ثنائي فينيل سلفون مع بيفينول
8	4،4′-ثنائي كلورو ثنائي فينيل سلفون مع ملح بيس فينول A ثنائي الصوديوم
6	4،4′-ثنائي كلورو ثنائي فينيل سلفون مع 4،4′-ثنائي هيدروكسي ثنائي فينيل سلفون
9	4-فلورو بنزين سلفينات المحفّز بـــ 4،4′-ثنائي فلورو ثنائي فينيل سلفون
10	4-فلورو -4′- هيدروكسي ثنائي فينيل سلفون مع البادئ (فلورو فينيل)-(ثلاثي فلورو
10	فينيل)سلفون
11	4،4′-ثنائي فلورو ثنائي فينيل سلفون مع 4-ترت-بوتيل كاتيكول المُسَيلَل
12	حمض 5-[(4-فلوروفينيل)سلفونيل]-2-فلورو بنزويك و بيس -(4-هيدروكسي
12	فينيل)-سلفون

4،4.1.1.7 بيفينول

يمكن تحضير BP كما يلى:

- 1. اندماج قلوي لحمض ثنائي فينيل ثنائي السلفوني،
 - 2. أو حلمهة ثنائي برومو ثنائي فينيل،
- 3. أو الديمرة المؤكسدة لـــ 6،2-ثنائي-ترت-بوتيل فينول إلى 5،5٬3٬3 رباعي-ترت-بوتيل بيفينول (TBBPL) يلي ذلك إزالة للبوتيل.

هناك حاجة لشروط تفاعل قاسية في الطريقتين الأولى والثانية. تنشأ المشاكل من الحاجة إلى فصل الكميّات الضخمة من الأملاح اللاعضويّة المستعملة. لذلك فإنّ الديمرة المؤكسدة لـــ6،2-ثنائي-ترت-بوتيل فينول هي الطريقة المفضّلة للاستعمال في تحضير BP على المستوى الصناعي.

إنّ معدّلات إزالة البوتيل لزمر البوتيل الأربعة في TBBPL ليست متساوية، والمعدّل ينخفض مع انخفاض عدد زمر البوتيل. لذلك فإنّ عمليّة إزالة البوتيل من TBBPL باستعمال سلسلة من المُفاعلات المتعاقبة يمكن أن تنتج BP بمردود ونقاوة عاليين وباستمرار على المستوى الصناعي. يُستعمل مُحفّزٌ حمضي في عمليّة إزالة البوتيل من TBBPL مثل حمض و-تولوين سلفونيك بدرجة حرارة تفاعل تصل إلى 250°C.

2.1.7. بيسفينول

يُنتَج بيسفينول A بتفاعل تكاثف لفائض من الفينول مع الأسيتون بوجود محفّز حمضي. تشتمل مركّبات الكبريت التي يمكن أن تُستعمل بصفتها محفّزات مشتركة على مركّبات ميركابتان ألكيلية مثل ميثيل ميركابتان وإيثيل ميركابتان وحمض الثيوغليكول. ولقد جرى الكشف حديثاً عن مُحفّز مكوّن من راتتج ذي تبادل شاردي من النوع الحمضي، وقد عُدّل جزئيّاً بمركّب أميني محتو على الكبريت 14. يُستعمل بيس فينول A في تتوّع واسع من الراتنجات، ومعظمها في إنتاج راتنجات الإبوكسي.

3.1.7. بيس - (4- هيدروكسى فينيل)-سلفون

يسمّى بيس - (4- هيدروكسي فينيل) - سلفون أيضاً باسم 4،4 - ثنائي هيدروكسي ثنائي فينيل سلفون، أو 4،4 - بيسفينول S. يتمتّع هذا المركّب بأهميّة تجاريّة كبيرة في تحضير PES. يمكن تحضيره من تفاعل الفينول مع حمض الكبريت بدون استعمال مذيب. تُعطي هذه الإجرائيّة منتجاً خاماً فيه 60-70 في المئة بيس - (4- هيدروكسي فينيل) - سلفون.

إضافة إلى ذلك، يحتوي المنتج الخام على 20-30 في المئة من إيزومير (متماكب) 4،2-ثنائي هيدروكسي ثنائي فينيل سلفون وحوالى 10 في المئة من 6-هيدروكسي [3،1-بيس -(4-هيدروكسي فينيل سلفونيل] بنزين.

يجب أن يُبذل مجهود كبير لعزل بيس - (4-هيدروكسي فينيل)-سلفون المرغوب بنقاوة عالية من المزيج. يمكن تحسين مردود التفاعل وانتقائيته باستعمال مذيب. يمكن تبسيط عمليّة التنقية عندما يجرى توضيع بيس - (4-هيدروكسي فينيل)-سلفون المتكوّن توضيعاً انتقائياً على سطح تنوية، أي سطح فائق البرودة، وذلك أثناء النفاعل أوبعده، فيُحذَف بذلك من وسط النفاعل 15.

المذيبات المُناسبة هي إمّا الفائض من الفينول أو مذيب عطري خامل. تُفضل المذيبات التي يكون فيها الإيزومير 4،2-ثنائي هيدروكسي ثنائي فينيل سلفون أكثر انحلالاً من بيس - (4-هيدروكسي فينيل)-سلفون، مثل كلوروبنزين، وثنائي كلوروبنزين وثلاثي كلوروبنزين.

في سيرورة نصف مستمرّة، يجري في المرحلة الأولى تفاعل الفينول بشكل واسع مع حمض الكبريت ليُعطي حمض الفينول سلفونيك، ثُمّ يُزال أي ماء ناتج من التفاعل بالتقطير. بعدئذ يُفاعل حمض الفينول سلفونيك مع الفينول ليُعطي بيس - (4-هيدروكسي فينيل) - سلفون و يُزال الماء الناتج من التفاعل مُجدّداً بالتقطير 16.

4.1.7. بيس - (4-كلورو فينيل)-سلفون

يمثّل بيس -(4-كلوروفينيل)-سلفون مركّباً وسطياً يُستعمل أساساً في تحضير بوليميرات پولي (سلفون) العطريّة، والاصطناع بيس -(أمينو فينيل)-سلفون. نحتاج إلى هذا المركّب في معالجة الجذام، وفي إنضاج راتنجات الإيبوكسي 17.

أكثر الطرائق المعروفة لتحضير بيس -(4-كلورو فينيل)-سلفون هو تفاعل فريدل-كرافتس لمركّب 4-كلوروبنزين سلفونيل كلوريد مع كلوروبنزين، المُحفِّز المستعمل هو مثلاً كلوريد الحديد(III). يُجرى التفاعل في مذيب كلوروبنزين عند درجة حرارة °140°C.

لكن يعمل كلوريد الحديد(III) أيضاً بصفته عامل كُلُورة للكلوروبنزين في درجة الحرارة هذه. لذلك، تتكون كميّات كبيرة من ثنائي كلوروبنزين بصفتها نواتج ثانويّة. يمكن لثنائي كلوروبنزين أن يتفاعل مع كلوروبنزين سلفونيل كلوريد ليعطي مركّبات سلفونية غير مرغوبة.

عند إجراء التفاعل بمرحلة واحدة بدءاً من كلوروبنزين دون عزل كلوروبنزين سلفونيل كلوريد، ينبغي الحذر للتوثّق أنّ حمض السلفونيك، وكلوريد الثيونيل، وكلوريدات الكبريت بصفتها شوائب في كلوريد الثيونيل لم تعد موجودة في المزيج المتفاعل، وذلك لأنّ حمض السلفونيك الحرّ يلغي نشاط المُحفّز، ويؤدي كلوريد الثيونيل ومثله كلوريدات الكبريت إلى نواتج جانبيّة غير مرغوبة. وعلاوة على ذلك هناك صعوبة أخرى تتمثّل في الحاجة لمركب الم، المنتيل فورم أميد لتحقيق تحويل كامل لحمض كلوروبنزين سلفونيك مع كلوريد الثيونيل إلى كلوريد السلفونيل الموافق. فيتكون المركب المسرطن المرابك كلوريد بصفته ناتجاً ثانوياً 17.

يمثّل تفاعل كلوروبنزين مع حمض كلوروبنزين سلفونيك طريقة أخرى الاصطناع بيس -(4-كلوروفينيل)-سلفون بمردود بيس -(4-كلوروفينيل)-سلفون بمردود جيد للتفاعل الذي يجري عند درجات حرارة 220-260 درجة مئوية وتحت ضغط قدره .18 1.7 bar

إضافة إلى ما سبق، يمكن أيضاً تحضير بيس -(4-كلوروفينيل) - سلفون بتسخين مزيج من الكلوروبنزين وحمض الكبريت حتّى 200-250 درجة مئوية 17. ويُزال الماء المتكوّن أثناء التفاعل باستعمال التقطير الآزيوتروبي. تجري السيرورة تحت ضغط 4-5bar إنّ إصافة كميّات مُحفّزة من حمض البوريك أو حمض ثلاثي فلورو ميثان سلفونيك تؤدي إلى خفض زمن التفاعل خفضاً كبيراً.

2.7. البلمرة والتصنيع

لقد استعرض كيرشلدورف (Kircheldorf) تقنيات الاصطناع والتعديل المتعلّقة ببوليميرات PES ¹⁹ يمكن الحصول على بوليميرات بولي (إيثرسلفون) إمّا بطريقة البلمرة بالتكاثف بالنمو المرحلي التقليديّة، أوبطريقة البلمرة بالتكاثف بنمو السلسلة، وهي حقيقة، بلمرة حيّة بالتكاثف .

1.2.7. البلمرة بالتكاثف بالنمو المرحلي

هناك مجال واسع من بوليميرات PES التي يمكن تكوينها بتفاعل تكاثف عطري نيوكليوفيلي لمركّب عطري ثنائي الهيدروكسي وبيس -(هالوفينيل)-سلفون 21 .

يمكن إجراء التكاثف بطرائق متنوعة. الطريقة الأكثر مُلاءمة هي تحضير مركب الملح العطري ثنائي الهيدروكسي في المكان، باستعمال مذيب ذي نقطة غليان مرتفعة يُكون مركباً أزيوتروبياً مع الماء، ويتيح من ثمّ التفاعل مع بيس - (هالوفينيل) - سلفون. بهذه الطريقة يمكن تفادي المشاكل المتعلّقة بالماء المتبقّى.

يمكن توقّع حدود للوزن الجزيئي للبوليمير عندما يكون المركب العطري ثنائي الهيدروكسي، أو مشتقّه ذو المعدن القلوي محتوياً على زمر عالية السحب للإلكترونات. يمكن أن يؤدي ذلك إلى تكوين بوليميرات منخفضة الوزن الجزيئي أو سرعات تفاعل منخفضة. لذلك ينبغي أن يكون المركب العطري ثنائي الهيدروكسي فينولاً ضعيف الحمضية مثل 2٠2-بيس -(4-هيدروكسي فينيل)-بروبان، أو 1،1-بيس -(4-هيدروكسي فينيل)-ميثان.

في حالة بيس-(هالوفينيل)-سلفون، تُتشِّط زمرة السلفون الهالوجينات إزاء تفاعل التكاثف. لهذا السبب يُفضل ألا تحتوي الحلقات العطريّة زُمراً تقدّم الإلكترونات على الحلقة نفسها حيث يرتبط الهالوجين. نجد في الأدبيّات أمثلة متنوّعة على كيفيّة تحضير بوليميرات PES.

تمتلك بوليميرات بولي (بيفينيل إيثر سلفون) ذات التشتتية البوليميرية المحسنة، والمستوى الأقل من المركبات الأوليغوميرية ذات الأوزان الجزيئية المنخفضة غير المرغوبة،

وخواص تدفّق الصهارة المُحسنة، زمر 4،4′-بيفينيلين، و p-فينيلين، و 4^{+4} -ثنائي فينيل سلفون و 2^{2} -ثنائي فينيل بروبان في سلسلتها الرئيسيّة p.

يمكن تحضير بوليميرات پولي (بيفينيل إيثر سلفون) باستعمال الكربونات أو مركبات هيدروكسيد معدن قلوي بصفتها مُنشَّطات. في طريقة الكربونات، يُحضَّر الپولي (سلفون) بنفاعل كميّات متساوية عدد المولات من مركبات عطريّة ثنائيّة الهيدروكسي ومركبات ثنائي هالو ثنائي آريل سلفون. المركبات العطريّة الثنائيّة الهيدروكسي هي BP أو 4،4-ثنائي هيدروكسي ثنائي فينيل سلفون أوهيدروكينون أوبيس فينول A. أمّا مركبات ثنائي هالو ثنائي آريل سلفون فهي 4،4-ثنائي كلورو ثنائي فينيل سلفون أو 4،4-ثنائي فلورو ثنائي فينيل سلفون. يُضاف من 5.6 إلى 1.0 مول من كربونات معدن قلوي لكل مول من زمرة الهيدروكسيل. يجري التكاثف على أنه تكاثف آزيوتروبي عند درجة حرارة مول من زمرة الهيدروكسيل. يجري التكاثف على أنه تكاثف آزيوتروبي عند درجة حرارة

في تنويع على هذه السيرورة، اقتُرِح مُبكّراً ألا يُضاف 4،4- ثنائي كلورو ثنائي فينيل سلفون بعدد المولات نفسه، بل بزيادة ضئيلة. وعندما يكتمل التفاعل بشكل أساسي يمكن إضافة 4،4- ثنائي فلورو ثنائي فينيل سلفون.

يعتمد تأثير 4،4-ثنائي فلورو ثنائي فينيل سلفون على النسبة المُضافة. فهو يمنع أي بلمرة لاحقة بالتكاثف، عند نسبة موليّة أقل من 0.5 في المئة بالنسبة إلى بيس-(كلورو آريل)-سلفون، وذلك بالتفاعل مع ملح هيدروكسي على سلسلة البوليمير. وعند نسبة موليّة من 0.5 في المئة إلى 5 في المئة يحدث استقرار أو انخفاض في الوزن الجزيئي للبوليمير أعلى من المرغوب، فإنّ إضافة نسبة مُناسبة من 4،4-ثنائي فلورو ثنائي فينيل سلفون يمكن أن تُخفّضه إلى القيمة المرغوبة 22.

مع أن طريقة الكربونات لتحضير البوليميرات بسيطة ومُناسبة، إلا أنّه في بعض الحالات نحصل على منتجات ذات وزن جزيئي مرتفع بطريقة هيدروكسيد معدن قلوي. في هذه الطريقة، تجري مُفاعلة ملح معدن قلوي لفينول ثنائي الهيدريك^(*) مع مركّب ثنائي هالو بنزين-ويد.

^(*) فينول ثنائي الهيدريك هو فينول بوظيفتي هيدروكسيل (المترجم).

يمكن تصنيع بوليميرات پولي (بيفينيل إيثر سلفون) ضعيفة اللون، باستعمال كربونات البوتاسيوم اللامائيّة بقياس وسطي للجسيمات حوالي 23 100 μm. بوليميرات پولي (بيفينيل إيثر سلفون) الضعيفة اللون بمظهر رفيع. إنّها مرغوبة بوجه خاص في التطبيقات حيث لا يكون اللون مقبولاً، مثل العدسات، والمرشّحات، وغيرهما من السلع البصريّة، وللأغطية الشفافة أوالحاويات.

يمكن للراتنجات أن تُصبغ أو تلوّن بيسر لتحقيق اللون المرغوب. يمثلك نوع من بوليمير PAES يحتوي على كسارة البيفينيلين درجة تحوّل زجاجيّ مرتفعة حوالى 24 PES وهي أعلى بمقدار 25 من تلك الموافقة لبوليميرات 24 PES.

يمكن أيضاً تحضير بوليميرات مشتركة عشوائيّة من PAES المُسلفن باستعمال بلمرة تكاثف بالاستبدال النيوكليوفيلي العطري المباشر بواسطة كربونات البوتاسيوم لمركّب 3 3 6 أنتائي سلفونات - 4 4 أنتائي كلورو ثنائي فينيل سلفون ثنائي الصوديوم، و 4 4 أنتائي كلورو ثنائي فينيل سلفون ثنائي الصوديوم، و 25 8 كلورو ثنائي فينيل سلفون، و 25 8 و يتقدّم تفاعل التكاثف هذا كميّاً حتى وزن جزيئي مرتفع في 4 9 ميثيل -2-بيروليدون (NMP) عند درجة حرارة 20 9 أوحافة إلى ما سبق يمكن استعمال مونومير وحيد الوظيفة هو 4 9 -ترت-بوتيل فينول بصفته مركب تغطية نهاية. تتمتّع زمرة الفينول بتفاعليّة مماثلة للبيس فينول 26 9 ويمكن بهذه الطريقة التحكّم بالوزن الجزيئي.

2.2.7. البلمرة بالتكاثف بنمو السلسلة

في البلمرة بالتكاثف بنمو السلسلة، يجري تنشيط زمرة البوليمير النهائية. يغيّر هذا التنشيط تفاعليّة البدائل المرتبطة بالحلقة العطريّة، وهذا ما يفسح المجال لتفاعل البلمرة بالتكاثف بنمو السلسلة بالحدوث 20.

يتيح هذا النوع من البلمرة بالتكاثف اصطناع بوليميرات ذات تشتّتيّة بوليميريّة منخفضة. ولكنّ هذا يتطلّب حذفاً فعليّاً لآليّات البلمرة الأخرى مثل البلمرة بالتكاثف بالنمو المرحلي، وكذلك للتفاعلات الجانبيّة.

ربما كان أوّل مؤشّر على البلمرة بنمو السلسلة قد لوحظ عند اصطناع بولي (سلفيد الفينيلين) باستعمال أملاح p-هالوثيوفينول p- ولقد لوحظ في حالة بعض المونوميرات أن الزمر النهائيّة في السلسلة البوليميريّة تكون أكثر تفاعليّة من المونوميرات. وفي وقت

لاحق اكتشفت التفاعليّة الزائدة للزمر النهائيّة في البوليمير عند البلمرة بالتكاثف لكلورو فينيل سلفونيل فينوكسيد 28. يبيّن الشكل (7-2) مخطّط التفاعل. تفوق سرعة تفاعل زمرة البوليمير النهائيّة سرعة تفاعل المونومير بحوالي عشرين مرّة.

الشكل (7-2): تكاثف كلورو فينيل سلفونيل فينوكسيد

ولقد لوحظت أساساً الظاهرة نفسها عند البلمرة بالتكاثف لــ 4-كلورو بنزين سلفينات أو 4-فلورو بنزين سلفينات. تزيد إضافة كميّة صغيرة من 4،4/-ثنائي فلورو ثنائي فينيل سلفون مردود البوليمير زيادة كبيرة. ولقد ذُكِر صراحة أن 4،4/-ثنائي فلورو ثنائي فينيل سلفون يؤدي دور بادئ لعمليّة البلمرة بالتكاثف بنمو السلسلة 9. يبيّن الشكل (7-3) مخطّط التفاعل.

يمكن اصطناع بوليمير پولي (إيثر سلفون) جيّد التعريف من 4-فلورو -4-هيدروكسي ثنائي فينيل سلفون مع (فلوروفينيل) (ثلاثي فلوروفينيل) سلفون بصفته بادئاً، كما هو مبيّن في الشكل (7-4). يجري التكاثف مع 18-تاج-6 إيثر في السلفولان عند 120°C. ولكن عند إجراء البلمرة بتغذية تكون فيها نسبة المونومير إلى البادئ أعلى، يحدث تفاعل بلمرة بالتكاثف بالنمو المرحلي وبنمو السلسلة في آن معاً 10.

ينتج من البلمرة المشتركة لحمض 5-[(4-فلوروفينيل)سلفونيل]-2-فلوروبنزويك مع بيس -(4-هيدروكسي فينيل)-سلفون بوليمير PES موظّف بالكربوكسيل. ولكن، أثناء سيرورة البلمرة بالتكاثف تحدث عمليّة إزالة جزئيّة للكربوكسيل. أمّا عمليّة البلمرة المشتركة لحمض 5-2-ثنائي هيدروكسي بنزويك مع بيس -(4-فلورو فينيل)-سلفون فينتج منها بوليمير PES مع إزالة كميّة للكربوكسيل.

$$X \longrightarrow SO_2Na$$

$$X = F, CI$$

$$F \longrightarrow SO_2Na$$

$$X \longrightarrow F$$

$$X \longrightarrow F$$

الشكل (3-7): تكاثف 4-هالو بنزين سافينات المحفّز بــ 4،4/- ثنائي فلورو ثنائي فينيل سافون

الشكل (4-7): تكاثف 4-فلورو -4'- هيدروكسي ثنائي فينيل سلفون مع (فلوروفينيل) (ثلاثي فلوروفينيل) سلفون بصفته بادئاً

3.2.7. بوليميرات مشتركة من مونوميرات وظيفية الزمر الطرفية (تلكيلية)

المركبات وظيفية الزمر الطرفية (Telechelic) (تلكيلية) هي أوليغوميرات أو بوليميرات منخفضة الوزن الجزيئي تحمل زمراً نهائية وحيدة الوظيفة أو زمراً نهائية تفاعليّة، عند طرفي السلسلة. لقد جرى اصطناع بوليميرات سلفون مشتركة تعاقبيّة من PES المسلفن ذي زمر هيدروكسي ثنائيّة الطرفيّة وPES ذي زمر فلورو ثنائيّة الطرفيّة.

يُستعمل ملح 3،3′-سلفونيل بيس - (حمض 6-هيدروكسي بنزين سلفونيك) ثنائي الصوديوم بصفته مونوميراً للمركّب المسلفن ذي الزمر الطرفية الهيدروكسيلية ²⁹. يُصطنع هذا المركّب بسلفنة بيس - (4-هيدروكسي فينيل) - سلفون بحمض الكبريت المركّز يلي ذلك تعديل.

وبالمثل يُستعمل ملح 3،3′-سلفونيل بيس-(حمض 6-فلورو بنزين سلفونيك)ثنائي الصوديوم بصفته مونوميراً للمركّب المسلفن ذي الزمر الطرفية الفلورية، ونحصل عليه بالسلفنة بحمض الكبريت المركّز ثُمّ التعديل. هذه المركّبات مبيّنة في الشكل (7-5).

$$\mathsf{F} = \bigcup_{\substack{\mathsf{O} \\ \mathsf{SO_3}\mathsf{H}}}^{\mathsf{HO_3}\mathsf{S}} - \mathsf{F}$$

3.3′- سلفونيل بيس -(6- فلورو بنزين حمض السلفونيك)

$$\begin{array}{c|c} & HO_3S \\ O \\ & \\ SO_3H \end{array} \hspace{-0.5cm} \longrightarrow \hspace{-0.5cm} OH$$

3،3′- سلفونيل بيس -(6- هيدروكسي بنزين حمض سلفونيك)

الشكل (7-5): مونومير مسلفن ثنائي الزمر الطرفيّة بوظيفة هيدروكسي، ومونومير مسلفن ثنائي الزمر الطرفيّة بوظيفة فلورو 29

يمكن توسيع سلسلة هذه المونوميرات بواسطة بيس -(4-فلورو فينيل)-سلفون أو بيس -(4-هيدروكسي فينيل)-سلفون بالترتيب، في مرحلة تكاثف لاحقة. وأخيراً، في مرحلة تكاثف أخيرة يجري الحصول على بوليميرات مشتركة تعاقبيّة تحتوي على كتل من مركبات بولي إيثر سلفون عطريّة غير مُسلفنة، وكتل من مركبات بولي إيثر سلفون عطريّة مُسلفنة على الحلقات العطريّة. توفّر هذه البوليميرات التعاقبيّة مركبات تتمتّع في آن واحد بدرجة سلفنة قابلة للضبط، وبطول محدّد للكتل المُسلفنة وغير المُسلفنة. تُفيد هذه المواد في تحضير أغشية اصطناعيّة.

4.2.7. بوليميرات ذات الحلقات الضخمة

لقد جرى الحصول على بوليميرات ذات حلقات ضخمة إلى حدٍ ما عند تحضير بوليميرات بوليميرات بولي (إيثر سلفون) بالبلمرة بالتكاثف لمركبي 4-ترت-بوتيل كاتيكول المُسيلَل و 4،4/- ثنائي فلورو ثنائي فينيل سلفون 11. لقد اكتشفت البوليميرات الحلقيّة باستعمال مطيافيّة الكتلة لقياس زمن الطيران للشوارد المنتزعة ليزريّاً من الحاضنة (MALDI-TOF).

تحت شروط تفاعل بلمرة بالتكاثف مُتَحكّم به حركيّاً، تتنافس تفاعلات التحلُّق مع مراحل الانتشار. يتعلَّق التحلَّق بمرونة السلاسل البوليميريّة وبتركيز الأنواع الفعاّلة. تُبدي المزائج من PES مع مثيلاته من الأوليغوميرات ذات الحلقات الضخمة لزوجة صهارة منخفضة جدّاً، مُقارنة ببوليمير PES الأصلى الموافق.

يمكن لهذا أن يسهّل إنتاج هذه المواد وتصنيعها. يمكن للحلقات الضخمة أن تخضع للمرة بفتح الحلقة في المكان. تتحكّم الأنتروبيّة بفتح الحلقة 30.

5.2.7. بلمرة فريدل - كرافتس

في الحقيقة إنّ بلمرة فريدل-كرافتس هي بلمرة بالتكاثف، ولكن استعمال تعبير بلمرة أكثر شيوعاً. تشتهر بلمرة فريدل-كرافتس بسوء السمعة في توليد نواتج تفاعل عسيرة، تصعب إزالتها من وعاء التفاعل أو تنقيتها. علاوة على ذلك، فإنّها تعطي بوليميرات ذات أوزان جزيئية منخفضة أو استقرار حراريّ سيّئ، إذا لم يجر اختيار شروط التفاعل اختياراً مناسباً 31.

في تفاعلات فريدل - كرافتس، يكون استبدال أورثو في البوليمير هو صاحب الحظ الأوفر في الحدوث إذا تمّ إجراء التفاعل بدرجات حرارة مرتفعة ولفترة طويلة نسبيّاً. للتغلّب على هذه المشاكل جرى اقتراح استعمال محفّز من ثلاثي فلوريد البورون في بلاماء فلور الهيدروجين. وهناك إجرائيّة أخرى تعتمد استعمال كلوريد الليثيوم وكلوريد الألمنيوم في بلمرة كلوريد وعنوكسي البنزويل بصفته المونومير الكيتوني وكلوريد وفينوكسي بنزين السلفونيل بصفته مونومير السلفون 31.

يمكن تحضير بوليميرات پولي (كيتون) وپولي (كيتون سلفون) بتفاعل أحماض ثنائية الوظيفة الكربوكسيلية مع مركبات عطريّة بوجود حمض ثلاثي فلورو ميثان السلفوني وخماسي أوكسيد الفوسفور لربط الماء.

تحدث البلمرة مع تكوّن الماء من حذف زمرة الهيدروكسيل من الحمض الكربوكسيلي، والهيدروجين من حلقة عطريّة. بهذه الطريقة تصبح السلسلة البوليميريّة مرتبطة معاً بين زمرة كربونيل وحلقة عطريّة 32 . يجري التفاعل بدرجة أخفض قليلاً من درجة حرارة الغرفة عند 30 – 16 .

غالباً ما يُشار إلى البلمرة الإلكتروفيلية من هذا النوع باسم بلمرة فريدل-كرافتس. ونجد أمثلة عليها في البوليميرات التي يجري الحصول عليها من تغذية شبه متساوية عدد المولات من حمض ترفتاليك بصفته حمضاً ثنائي الوظيفة الكربوكسيلية، و 4-فينوكسي فينيل سلفون، أو 4-بيفينيليل سلفون. إنّ استعمال 4،4-ثنائي فينوكسي بنزوفينون يولّد بوليمير پولى (كيتون).

عندما يُستعاض عن الهيدروكينون بصفته مركب هيدروكسي بـــ7٠2-ثنائي هيدروكسي نفتالين ، ترتفع درجة حرارة الانتقال الزجاجي، في حين تنخفض درجة حرارة الانصهار، ويقل الاستقرار الحراري مع زيادة كسارة ٢٠٥-نفتالين 33.

6.2.7. السلفنة

إنّ بوليميرات PES كارهة للماء. لذلك نجد من المرغوب فيه زيادة ألفتها للماء في التطبيقات المتعلّقة بتقانات الأغشية. والسلفنة هي إحدى الطرائق الفعّالة لزيادة الألفة للماء.

لقد استعرض كوشرا (Kučera) وجانشار (Jančář) آليات سلفنة البوليميرات ذات $-NH_2$ و -Cl المرتفع $-NH_2$ و -Cl السلفنة بسهولة بوجود زمر مثل -SH و -OH الملفنة هو الكاتيون -SH و -OH الملفنة المركبات العطريّة تفاعل عكوس". ويمكن تصنيف عوامل السلفنة في ثلاث مجموعات، هي -SH:

1. عوامل الكتروفيلية: حمض الكبريت، وحمض الكلورو سلفونيك، وحمض الفلورو سلفونيك.

- 2. عوامل نيوكليوفيلية: مركبات السلفيت، وسلفيت الهيدروجين، وثاني أوكسيد الكبريت، الذي يتفاعل مع المشتقات الهالوجينية والروابط الثنائية.
- 3. عوامل التفاعل الجذري: كلوريد السلفوريل، ومزائج ثاني أوكسيد الكبريت والكلور.

إنّ سلفنة المونوميرات قبل التكاثف، أو السلفنة المباشرة للبوليمير تؤديان إلى مواد مُحبّة للماء. تُستعمل هذه المواد في تقانات الأغشية. وخصوصاً في تصنيع خلايا الوقود.

عندما تجري سلفنة المونوميرات يمكن التحكّم بدرجة سلفنة البوليمير عن طريق تغيير نسبة التغذية من المونومير غير المسلفن والمونومير المُسلفن. تزداد اللزوجة الجوهريّة للبوليميرات مع ازدياد درجة السلفنة 35 . يمكن إجراء سلفنة PES في الكلوروفورم أو في حمض الكلوروسلفونيك عند 30 0. ويتمّ التفاعل بعد 15 دقيقة.

لسلفنة البوليميرات المشتركة التعاقبيّة من b-PAES-پولي (بوتادين) يُستعمل بنجاح سلفات الأسيتيل الذي يمكن تحضيره من حمض بلا ماء الخل وحمض الكبريت المركّز 37.

7.2.7. المزائج

يمكن تركيب مزائج PES غير قابلة للامتزاج ذات خواص مُحسنة من پولي (بيفينيل ايثر سلفون) و پولي (1،4-فينيلين ايثر سلفون) ³⁸. تُظْهِر الخلائط الثلاثيّة للراتنجات المشتملة على بوليمير من پولي (بيفينيل ايثر سلفون) وآخر من پولي (ايثر سلفون) وثالث من پولي (سلفون)، مميّزات مُقاومة حراريّة وبيئيّة جذّابة جداً، وذلك بالإضافة إلى خواص ميكانيكيّة ممتازة.

يمكن تعقيم السلع المقولبة من هذه الخلائط الثلاثيّة بالبخار تكراراً بدون أن تتعرّض للتصدّع عند الإجهاد. كما إنّها لا تتأثّر بالإضافات المُخفّفة للتأكّل مثل المورفولين. وهي علاوة على ذلك تُبدي مُقاومة كيميائيّة جيّدة عند تماسّها مع المنظّفات الشائعة الاستعمال في المشافي 4.

يمكن إنتاج بوليميرات پولي (سلفون) فائقة المتانة بمزج PES بمطاط أكريلات وپولي كربونات بصفته مُعدّلاً للصدم 39. من هذا التركيب العالي المقاومة للصدم، نجد

أغشية وسلعاً مقوبلة مفيدة في صناعة السيارات، وفي البضائع والأجهزة المنزليّة المتينة، وفي التطبيقات الطبيّة والتمديدات الصحية حيث تكون مقاومة البيئات الحارّة والرطبة مهمّة بوجه خاص، وفي معدّات الأمان والوقاية.

لا ينصهر قالبً مضغوطً على البارد لبوليمير PAES مع إضافة من پولي (سلفيد الفينيلين) حتّى عند درجات حرارة تزيد عن 360° C، وذلك مع أنّ نقطة انصهار پولي (سلفيد الفينيلين) هي حوالي 290° C.

ولقد أُثبت أنّه بعد معالجة المزيج البوليميري فإنّ درجة الانتقال الزجاجي لـ PAES في وحدها التي تُكتَشف. وهذا يُشير إلى أنّ المزيج البوليميري غير المتجانس أصلاً يتحوّل بعد إجرائية المعالجة إلى كتلة بوليميريّة متجانسة 40.

تُبدي الخلائط من پولي (بيفينيل إيثر سلفون) مع پولي (رباعي فلورو إيثيلين) (PTFE) وثاني أوكسيد التيتانيوم بصفته مالئاً خصائص تبطيء اللهب. يمكن معالجتها ببثق الصهارة، وهي مفيدة في تطبيقات واسعة التنوّع، مثل قطع الأجزاء الداخليّة في الطائرات 41.

8.2.7. أصناف من PES

في هذا المقطع نصف بعض الأصناف المتعلّقة ببولي (إيثر سلفون). تضمّ هذه الأصناف:

- بولیمیرات پولي (آریلین ثیوایثر کیتون)،
- بولیمیرات پولي (آریلین ثیو ایشر سلفون)،
 - بوليميرات پولي (آريلين سلفيد سلفون).

1.8.2.7. بوليميرات پولي (آريلين ثيوإيثر كيتون)

إنّ بوليميرات پولي (آريلين ثيواپيثر كيتون) (PTK) هي بوليميرات عطريّة فائقة المقاومة للحرارة المرتفعة، فهي تجمع بين نقطة انصهار مرتفعة حوالى 350°C مع درجة حرارة تحول زجاجي مرتفعة حوالى °C135°C. وهناك طلب قوي للتزوّد بهذه البوليميرات في مجالات التقانات الحديثة.

يمكن إنتاج بوليميرات PTK عن طريق جعل سلفيد معدن قلوي و 4،4-ثنائي هالو بنزوفينون يخضعان إلى تفاعل إزالة هلجنة وكبرتة في مذيب أميد عضوي 42. ولكن بوليميرات PTK تُعانى مشاكل عند معالجتها بالبثق، ثمّ الشدّ أو تشكيل الرقائق.

إنّه صعب، من وجهة النظر التقنيّة، تشكيل هذه المواد أو تطبيق هذه المعالجات عليها. تُرجَع هذه المشكلة إلى تكوّن متكوّرات^(*) خشنة في المنتج المكوّن بالبثق بسبب معدّل التبلور المرتفع.

2.8.2.7. بوليميرات پولى (آريلين ثيوإيثر سلفون)

بعكس مواد PTK، تُخفف إضافة زمر السلفون إلى البوليمير المشاكل. فعندما يُمزج 4،4-ثنائي هالو بنزوفينون بصفته مركّباً عطرياً مُهَلْجناً مع 4،4-ثنائي هالو ثنائي فينيل سلفون، ثُمّ يُفاعلان مع سلفيد معدن قلوي، يتكوّن بوليمير مشترك عشوائي عطري من ثيو إيثر كيتون\ثيو إيثر سلفون ذو وزن جزيئي مرتفع 43.

تُبدي البوليميرات المشتركة من ثيواپيثر كيتون\ثيواپيثر سلفون تبلوراً منخفضاً ونقطة انصهار مرتفعة، مع نقطة تحوّل زجاجي أعلى من بوليميرات PTK الموافقة. وعندما تحدّد نسبة 4،4-ثنائي هالو ثنائي فينيل سلفون انتقائياً في مجال معيّن، يجري الحصول على بوليمير مشترك ذي معدّل تبلّور مخفّض نسبياً بهيئة حبيبات.

على سبيل المثال، يمكن تحضير مثل هذا البوليمير المشترك، بشحن محمّ بالمذيب NMP بصفته مذيب أميد عضوي، وسلفيد معدن قلوي، و 4،4'-ثنائي كلورو بنزوفينون و 4،4'-ثنائي كلورو ثنائي فينيل سلفون. ثُمّ يُطهّر المحم بالآزوت، ويفرّغ من الغاز، وتجرى عمليّة بلمرة بالتكاثف حتّى 200°C ^{46,45,43}. لقد جرى توصيف المواد التي تم الحصول عليها توصيفاً واسعاً، ونجد النتائج مفصّلة في الأدبيّات 43.

^(*) المتكورات هي أحد أشكال البلورات في البوليميرات (المترجم).

3.8.2.7 بوليميرات يولى (آريلين سلفيد سلفون)

في هذا المقطع نتعامل مع بوليميرات تحتوي على زمر -S-S-. تُبدي البوليميرات المشتركة، التي يمكن وصفها بوحدات متكرّرة موافقة للبنية المبيّنة في الشكل (7-6)، التصافاً بينيّاً محسناً.

يُحضر البوليمير المشترك بتفاعل الكبريت، و p-ثتائي يودوبنزين، و p- ثتائي فينيل سلفون 44 . البوليمير الناتج هو مادّة لامتبلورة ذات لزوجة مرتفعة ودرجة تحوّل زجاجي T حوالي T- حوالي T- دالي

 44 –S–S): بولیمیرات پولي (إیثرسلفون) مع کسارة –S–S الشکل (6-7)

4.8.2.7. بوليميرات پولى (أميد) مع سلفون في السلسلة الرئيسيّة

لقد جرى وصف بوليميرات پولي (أميد) (PA) تحمل زمر سلفون في سلسلتها الرئيسيّة 4. يُؤسس هذه النوع من بوليميرات PA على أساس 4.4 بيس - ((3-كربوكسي فينوكسي)(9- بنزويل))-فينيل سلفون، انظر الشكل (7-7)، أو على مركبة حمض فينوكسي الموافق 48، ثُمّ تعالج بثنائي أمين عطري مثل 9-ثنائي أمينوبنزين. تستعمل البلمرة المباشرة بالتكاثف، لحمض ثنائي الوظيفة الكربوكسيلية مع مركبات ثنائي أمين عطريّة، ثلاثي فينيل فوسفيت وبيريدين. يزيد إدخال بنى من النمط ميتا انحلاليّة البوليميرات ويحسن إمكانيّة المُعالجة. تُظهر بوليميرت PA الناتجة من m-ثنائي الحمض استقراراً حراريّاً أعلى من بوليمرات AP ذات الروابط من النمط يارا.

الشكل (7-7): 4.4'-بيس - ((3-كربوكسي فينوكسي (p)- بنزويل))-فينيل سلفون

5.8.2.7. بوليميرات PES الفائقة التشعب

عموماً يجري الحصول على بوليميرات فائقة التشعّب من بلمرة مونوميرات من النمط AB₂. لذلك يجب في المرحلة الأولى تصنيع PES الفائق التشعب. فمثلاً يمكن اصطناع 5،3-ثنائي فلورو -4- هيدروكسي ثنائي فينيل سلفون بتفاعل 5،3-ثنائي فلوروفينيل مغنزيوم بروميد مع 4-ميثوكسي فينيل سلفونيل كلوريد، يتبع ذلك إزالة حماية زمرة الفينول مع HBr في حمض الخل 49.

يستمر التكوّن الفعلي للمادّة الفائقة التشعّب أثناء بلمرة 5.3-ثنائي فلورو -4- هيدروكسي ثنائي فينيل سلفون بوجود 5.4-ثلاثي فلوروفينيل سلفونيل بنزين، أو أوكسيد تريس (5.4-3 ثلاثي فلوروفينيل) فوسفين بصفته جزيئاً لبّيّاً. تُساهم الأوليغوميرات الحلقيّة المتكوّنة أثناء عمليّة البلمرة هذه في الوصول إلى بوليمير منخفض الوزن الجزيئي يتراوح بين 3400 و 8400 دالتون. ولقد جرى أيضاً وصف مونومير من النمط AB_2 على أساس التريًازين 50. هذا المونومير مبيّن في الشكل (50-8). ولقد جرى تحضير بوليمير عطري فأئق التشعّب من بولي (إيثر سلفون) ذي زمر نهائيّة من كلوريد السلفونيل، وذلك بالبلمرة بالتكاثف لمركّب 50-40 لمدّة 50 ساعات بوجود كميّة مُحفّزة من 50-51 Fe Cl.

الشكل (7-8): 4.2-بيس - (4-هيدروكسي فينيل)-6-(4-(4-فوروبنزين سلفونسل)-فينوكسي) فينيل)-3،3،3- تريًازين

9.2.7. التعديل

تُستعمل تقنيات التطعيم عندما ينبغي تغيير خواص السطح، كما هو الحال في تقانات الأغشية. ولكن، نرغب في بعض الحالات بتعديل مادّة البناء نفسها، وذلك بالأسلوب نفسه الذي يفعله التطعيم في الطبقة السطحيّة. يمكن تعديل بولي (إيثرسلفون) بحلّه في NMP ثُمّ إضافة حمض الأكريليك (AA) إلى المحلول. يُصب المحلول بين صفيحتين من الزجاج ويُشعّع بالأشعة فوق البنفسجيّة. تُرشِّح صفيحتا الزجاج الضوء فوق البنفسجي القصير الموجة، وتمنعان التحلّل الكيميائي الضوئي لــPES بتأثير الأشعة فوق البنفسجيّة المفرطة. يتحلّل بوليمير PES نوعاً ما متيحاً بذلك بدء بلمرة حمض الأكريليك. وبهذه الطريقة يتكوّن بوليمير كتلي التعاقب 52.

لقد كان بارتون (Barton) أوّل من استعمل إسترات الثيوهيدروكساميك مثل المدروكسي بيريدين -2-ثيون بصفتها مركّبات طليعيّة بالجذر الحر 54,53. يعطي التحلّل الحراري، أو بالضوء المرئي، لهذه الإسترات جذور أسيل أوكسي وجذور بيريدين ثيول. ولكن عند التشعيع تحت درجات حرارة منخفضة، يُحذف جوهرياً التفاعل المتسلسل.

يمكن اصطناع PAES المُوظُف بزمر الكربوكسيل عبر تفاعلات متعاقبة من الليثمة (تفاعلات مع مركبات عضوية لليثيوم) وإضافة الكربوكسيل، لبوليمير پولي (آريلين إيثر سلفون) في رباعي هيدروفوران. وبعد ذلك يجري تحويل زمر الكربوكسيل إلى زمر الكلوريد الحمضي (زمر كلوريد أسيلية) باستعمال كلوريد ثيونيل ثم تعطي لمعالجة بمركب الكلوريد الحمضي بيريدين -2-ثيون إسترات الثيوهيدروكساميك 55. ونحصل على تفاعل تطعيم بإضافة بوليمير الستيرين والتشعيع. لا تجري البلمرة المتجانسة للستيرين تحت هذه الشروط. بهذه الطريقة يمكن أيضاً تطعيم مونوميرات ڤينيلية أخرى مثل ميتاكريلات الميثيل، والأكريل أميد. يبين الشكل (7-9) مخطّط التطعيم.

يمكن الحصول على بوليميرات تصلّد حراري من PAES بتغطية النهايات بكسارة الفينيل اثنييل 56 . تجري عمليّة الإنضاج بواسطة آليّة جذر حرّ. يحتاج الإنضاج إلى درجة حرارة مرتفعة مثل 370° C مدّة ساعتين في جو من الآزوت.

3.7. **الخواص**

يبيّن الجدول (7-3) بعض الخواص الفيزيائيّة المختارة لنوع شفاف من PES يستعمل في القولبة بالحقن.

الشكل (9-7): تطعيم بوليميرات PES الموظّفة بزمر الكربوكسيل 55

1.3.7. الخواص الحرارية

تمتلك بوليميرات بولي (سلفون) دلائل أوكسيجين مرتفعة، وإصداراً منخفضاً للدخان عند الاحتراق، وتنطفئ المادّة مباشرة بعد إزالة لهب الاختبار، وبوليميرات البولي (سلفون) هي في جوهرها مواد تُطفئ ذاتها بسبب طبيعتها العالية العطريّة 57. ويمكن استعمال البوليمير المشترك إستر-سلفون المنتهي بهيدروكسي، المصطنع بالبلمرة بالتكاثف

للصهارة من ثنائي إيثيلين غليكول و 4،4-ثنائي هيدروكسي ثنائي إيثوكسي ثنائي فينيل سلفون مع حمض آديبي، بصفته مُبطّئاً للهب في حالة بولي (ترفتالات الإيثيلين).

جرت تجارب التحلّل الحراري بنبض الشعيرة عند 800° C حيث غرفة التحلّل الحراري مقترنة بكروماتوغرافيا غازية- مطيافيّة الكتلة، على كلِّ من پولي (4.1-فينيلين إيثر سلفون) وپولي (بيس فينول A إيثر (4.1-فينيلين إيثر سلفون) (4.1-فينيلين الجدول (4.1-فينيلين الخراري.

أثناء التحلّل الحراري، يؤدي تكون زمر السلفيد في الطور المكثّف من PES، عبر إرجاع زمر السلفون بجذور الهيدروجين، إلى زيادة تبطىء اللهب لبوليمير PES.

الجدول (3-7): خواص بوليمير PES

المقياس	الو احدة	القيمة	الخاصة
ASTM D792	g cm ⁻³	1.29	الكثافة
ASTM D570	%	0.37	امتصاص الماء في 24 ساعة
ASTM D570	%	1.1	امتصاص الماء عند التوازن
ASTM D638	GPa	2.3	معامل الشد
ASTM D638	MPa	69.6	مُقاومة الشد عند الانهيار
ASTM D638	%	7.2	استطالة الشد، عند الخضوع
ASTM D638	%	120 - 60	استطالة الشد، عند الانهيار
ASTM D790	GPa	2.4	معامل الانحناء
ASTM D790	MPa	91.0	مقاومة الانحناء
ASTM D256	$J m^{-1}$	690	صدم أيزود المثلوم ^b
ASTM D1822	$kJ m^{-2}$	400	مقاومة صدم الشدّ ^b
ASTM E1356	$^{\circ}\mathrm{C}$	220	درجة حرارة التحول الزجاجي
ASTM D150		3.44	ثابت العزل الكهربائي (60 Hz)
ASTM D542		1.672	قرينة الانكسار
ISO 4589	%	38	دليل الأوكسجين
	°C	390-360	القولبة بالحقن

^a بولى (فينيل سلفون)، RADEL®R R-5000 من شركة عنيل سلفون)،

^{3.18} mm ^b

الجدول (7-4): النواتج الرئيسيّة من التحلّل الحراري لبوليمير بولي (إيثر سلفون) 58

موجود في	الناتج
b a	
b a	بنزين
b	تولوين
b	ستيرين
b a	فينول
b a	ثنائي فينيل إيثر
b	ميثيل ثنائي فينيل إيثر
a	 ثنائ <i>ي</i> بنزوفوران

a پولى (4،1-فينيلين إيثر سلفون)

2.3.7. الخواص الكيميائية

تُبدي بوليميرات السلفون درجات متنوّعة من التوافق الكيميائي، وذلك تبعاً لبنيتها البوليميريّة. يتأثّر التوافق الكيميائي بطبيعة المتفاعل، وتركيزه، ودرجة الحرارة، وزمن التعرّض له، وما إذا كان البوليمير خاضعاً للإجهاد. يمكن العثور على جداول تبيّن التوافقيّة الكيميائيّة في الأدبيّات 60.

تُظهر البوليميرات على أساس السلفون مقاومةً جيّدة جداً للتعرّض الطويل للكلور في درجات حرارة مرتفعة. فتغيّر الوزن كان شبه معدوم بعد تعرّض دام ستة أشهر للماء الساكن المُكلُور عند °60 ومستويات من الكلور تصل إلى 30ppm لبوليمير ®Judel، في حين يُبدي پولي (أسيتال) فقداناً في الوزن بحوالى 5 في المئة بوجود 30ppm كلور في الماء بعد ستة أشهر 61. نقترح هذه الخاصة تطبيقات في مجال أنظمة توصيل المياه.

3.3.7. الخواص الكهربائية

تُظهر بوليميرات PAES خواصاً كهربائيّة جيّدة، انظر الجدول (7-3). وهي تمثلك ثابت عزل كهربائي مرتفع، وقوة عزل كهربائي قيمته $15\,\mathrm{kV\,mm^{-1}}$ إنّ قوة العزل الكهربائي هي مقياس لقدرة المادّة على مُقاومة الكمون المرتفع بدون حدوث انهيار 62.

b يولى (بيس فينول A إيثر 4،1-فينيلين إيثر سلفون)

4.7. تطبيقات

نظراً إلى خواصها المهمّة، توجد بوليميرات PAES في حقل واسع من التطبيقات. ويبدو أنّ أكثرها انتشاراً هو في تقانة الأغشية الفاصلة. يُلخّص الجدول (7-5) هذه التطبيقات.

الجدول (7-5): حقول استعمال مواد پولي (إيثرسلفون)

حقل الاستعمال

تقانات الأغشية الفاصلة

المواد المركبة

أدوات الطبخ بالأمواج الميكرويّة المُقاومة للتلطّخ ⁶³

التطبيقات الكهربائية

التطبيقات الطبية

حواجز الصفائح السنية

مواد التمديدات الصحيّة للاستعاضة عن اللحام

تشتيت الطلاء 64

1.4.7. الأغشية الفاصلة

يستعرض كتاب مولدر 65 (Mulder) تقانة الأغشية، ونجدها مستعرضة بوجه أكثر حداثة في عمل ريكوكاوا (Rikukawa) وسانوي (Sanui) 66 .

1.1.4.7. أغشية الترشيح الفائق

إنّ أكثريّة الأغشية البوليميريّة المستعملة في الترشيح المكروي والترشيح الفائق للسوائل تُحضّرُ وفق سيرورة عكس الطور الرطب. تُبدي مثل هذه الأغشية بنية لامتناظرة نموذجيّة، تتميّز بطبقة سطحيّة رقيقة كثيفة، وكتلة مكرويّة المسامات سميكة. تُبدي البوليميرات المشتركة من پولي (فتالازينون إيثر سلفون كيتون) (PPESK)، انظر الشكل البوليميرات المشتركة حرارة تحوّل زجاجي في المجال $^{68,67}_{0.05}$ 263 $^{68,67}_{0.05}$. تُظهر البوليميرات استقراراً كيميائيّاً ممتازاً. وهي قابلة للانحلال فقط في حمض الكبريت المركّز

98 في المئة. أمّا المحاليل المائيّة المركّزة من كلورات الصوديوم، أو بيروكسيد الهيدروجين، أو حمض الخل، أو حمض الآزوت فهي لا تُظهر أي تأثير 67.

تُسلفن هذه البوليميرات المشتركة وتصنع لتكوّن أغشية لامتناظرة للترشيح الفائق والترشيح النانوي 69 . أبدت صياغة الغشاء هذه معدّل رفض قدره 98 في المئة لبوليمير پولي (إيثيلين غليكول) 12000، وتدفقاً مرتفعاً للماء الصافي قدره $^{-1}$ $^{-2}$ $^{-2}$ عند درجة وصلت الموصليّة البروتونيّة للمواد المسلفنة قيمة أعلى من $^{-10^{-2}}$ عند درجة سلفنة قدر ها 1.0. ولهذا فقد جرت تزكية استعمال هذه المواد في خلايا الوقود 70 .

الشكل (7-10): البوليميرات المشتركة من بولي (فتالازينون إيثر سلفون كيتون)

يمكن إنجاز تعديل السطح بهدف تحسين مدى ودِّ سطحِ الغشاء للماء، عن طريق مزج جزيئات ضخمة مُعدِّلة للسطح مع المادّة الأساسيّة. لقد جرى تحضير مزائج من بوليمير بولي (إيثر سلفون) الفينول فتالئيني، وبولي (أكريلونتريل-co-حمض أكريل أميدو ميثيل بروبان سلفونيك) وهي مادّة تحتوي على زمر مشحونة 71. ولقد وُجدَ أنّ الزمر المشحونة تسعى إلى التجمّع على سطح الغشاء وذلك باستعمال مطيافيّة الأشعّة السينيّة الفوتو إلكترونيّة، ومطيافيّة تحويل فورييه تحت الحمراء.

يمكن تحسين الخواص المضادة لنمو المتعضيات لأغشية الترشيح الفائق بتعديلها بجسيمات نانويّة من 72 Ti O . يجري تحضير جسيمات نانويّة بقياس أصغر أو يساوي 40 40 nm ببنية بلّوريّة أناتازيّة باستعمال حلمهة مضبوطة لرباعي إيزوبروبوكسيد التيتانيوم.

بتأثير التشعيع بالضوء فوق البنفسجي، يحدث تشبيك متصالب، وتقطيع للسلسلة في مادة الغشاء القاعديّة ⁷³. يزيد التشبيك المقاومة الهيدروديناميكيّة للغشاء. أمّا تقطيع السلسلة فهو مسؤول عن انخفاض انتقائيّة الغشاء. ويبدو أنّ وجود مونومير، مثل N-ڤينيل-2-بيروليدون (NVP)، أثناء التشعيع فوق البنفسجي يمكن أن يؤخّر فقدان انتقائيّة الغشاء.

إنّ المعالجة بالأشعّة فوق البنفسجيّة لغشاء PES بوجود NVP و 2-ميركابتو إيثانول بصفته عامل انتقال السلسلة، تزيد نفوذيّة الغشاء زيادة ملحوظة 7⁴. إنّ إضافة عامل انتقال السلسلة يسهّل انتهاء المونومير عند نقاط متنوّعة لإنقاص طول السلسلة المونوميريّة المطعّمة. لذلك يُنقص عامل انتقال السلسلة درجة التطعيم.

عند إجراء التعديل بتقنية التغطيس (Dip technique) بدلاً من تقنية الغمر (Immersion technique)، يفضل استعمال ضوء فوق بنفسجي منخفض الطاقة في المجال 280nm إلى 300nm منعاً من الإضرار بالغشاء، ذلك لأنّ كميّة الضوء فوق البنفسجي التي تصل إلى الغشاء في حالة تقنيّة التغطيس تكون أكبر، تعطي طريقة التعديل بالتغطيس المعدّلة باستعمال مرشّح سائل أو صلب أغشية معدّلة منخفضة الانسداد البروتيني، واتساعاً مختزلاً للمسامات 75. يُنتج التعديل بالتغطيس باستعمال متبوغاً بالتنظيف بالإيثانول أغشية أكثر نفوذيّة، ولكنّها أقل احتجازاً.

يمكن تعديل السطح بتقنيّة تجمع بين التوضيع المُتحكّم به لكسارة مشحونة بالتهجير الكهربائي (Electrophoresis)، والتطعيم بالأشعة فوق البنفسجيّة في آن معاً 76. ولقد استُعملت لإجراء التعديل البوليميرات الكهرليتية (Polyelectrolyte) مثل حمض الميتاكريليك (MA)، وحمض الأكريليك (AAG)، وحمض 2-أكري أميدوغليكوليك (AAG)، و 2-هيدروكسي إيثيل ميتاكريلات (HEMA)، و N-ڤينيل فورماميد.

تُبدي سطوح الأغشية المُعدّلة بعد المعالجة معالمَ سلبيّة الشحنة وميلاً أكثر للماء. يخفض التطعيم بـ MA و AAG نفوذيّة مادّة عضوية طبيعيّة إلى أقلّ من النصف مقارنة

بالغشاء غير المعالج. يخفض التعديلُ الانسداد بالمواد المسبّبة للانسداد مثل المواد العضويّة الطبيعيّة. وفي دراسة مماثلة، فإنّ أفضل النتائج المتعلّقة باحتجاز البروتين وتدفق محاليل البروتين، هي تلك التي جرى الحصول عليها من تطعيم NVP، وحمض 2-أكريل أميدو -2-ميثيل -1-بروبان سلفونيك، و AA على PES كيلو دالتون 77.

إنّ الأغشية المعدّلة بمونومير الحمض ضعيف AA قادرة على إنقاص الانسداد غير العكوس إلى الصفر، وذلك بعكس المونوميرات الشديدة الميل للماء مثل HEMA و AAG. تزيد هذه المركّبات الانسداد غير العكوس بالمقارنة مع الأغشية غير المعدّلة 78.

2.1.4.7. أغشية الألياف المفرعة

لقد جرى تحضير أغشية الترشيح الفائق ذات الأليّاف المفرّغة من PPESK بتقنيّة عكس الطور جاف-رطب. ولقد جرى استعمال الإيثيلين غليكول وحيد الميثيل إيثر، وثنائي الإيثيلين غليكول، والميثيل إيثيل كيتون بصفتها إضافات لا مذيبة، في حين استعمل NMP بصفته مذيباً في تحضير الأغشية 79,78.

مع ازدياد تركيز PPESK في محلول الصبّ، تزداد اللزوجة بقوّة، وتصبح تابعة لمعدّل القص. ثُمّ تتغيّر مورفولوجيا الأغشية ذات الألياف المفرّغة من بنية إصبعيّة الشكل إلى بنية إسفنجية الشكل.

تُبدي الأغشية ذات الألياف المفرّغة المصنوعة من يولي (إيميد) PES مُسلفن، مع زمرة فتاليد، انتقائيّة عالية تصل إلى 12000 في نفوذيّة البخار لمزائج من الميثانول و إيثر ميثيل -ترت -بوتيل (MTBE). يبيّن الشكل (7-11) بنية البوليميرات المستعملة.

إنّ فصل الميثانول و MTBE مهمّ لأنّ MTBE يُصطنع من الإيزوبوتيلين والميثانول.

3.1.4.7 أغشية الكربون

يمكن أن يُستعمل PPESK بصفته مركباً طليعيّاً بوليميرياً لتحضير أغشية الكربون 82 . إنّ مقدار فقدان الوزن في PPESK الطليعي هو حوالى 82 في المئة عند درجة تحلّل حراري حوالى 800 C.

بعد المعالجة الحراريّة، تختفي البنية الكيميائيّة النموذجيّة لــ PPESK الطليعي. وفي الوقت نفسه تتكوّن بنية غرافيتيّة الشكل مع المزيد من الحلقات العطريّة. تصل الانتقائيّة الأزواج الغازات $N_2 \setminus CO_2$ و $N_2 \setminus CO_2$ الي 273.5 و 213.8 و $N_2 \setminus CO_2$ بالترتيب.

 81 الشكل (7-11): پولى (إيميد) وپولى (إيثر سلفون) المُسلفن

4.1.4.7. أغشية خلايا الوقود

لقد كان غرب (Grubb) عام 1959 أول من وصف في حالة خلية وقود، مفهوم استعمال غشاء تبادل كاتيوني بوليميري بصفته كهرليتاً صلباً في الخلايا الكهركيميائية 83,66. مادّة الغشاء التقليديّة في حالة خلايا الوقود هي ®Nafion، وهي PTFE مُسلفن. ولكن هناك مُحاولات لإيجاد مواد بديلة مثل الأغشية على أساس PAES.

تعتبر بوليميرات PAES المُسلفنة بدائل جيّدة نظراً إلى جودة استقرارها الحمضي والحراري المؤكسد، وارتفاع درجات حرارة تحوّلها الزجاجي، وتميُّز مقاومتها الميكانيكيّة 85,26. يمكن تحضير البوليميرات المشتركة من PPESK المسلفن ذات زمر سلفونات الصوديوم المتدليّة بالبلمرة المشتركة المباشرة للمونوميرات المسلفنة 86.

إنّ الاصطناع المباشر انطلاقاً من مونوميرات مُسلفنة أكثر فائدة من طريقة السلفنة اللاحقة. في حالة المونوميرات المسلفنة المصطنعة مباشرة يمكن التحكّم بيُسر أكبر في تركيز زمر السلفونات ومواضعها، وذلك مقارنة بالمواد المسلفنة لاحقاً. وعلاوة على ذلك تفيد طريقة السلفنة المباشرة في تجنّب التشبيك التصالبي وغيره من التفاعلات الجانبية. يمكن أن يؤدي ذلك إلى استقرار حراري أفضل، وخواص ميكانيكية أفضل 87.

يؤدي فوسفات هيدروجين الزيركونيوم بصفته إضافة لا عضويّة إلى تحسين الموصليّة في درجات الحرارة المرتفعة لأغشية 89,88 PPESK ويمكن إدخال زمر نيتروجين رباعيّة في الغشاء باستعمال PPESK المُوظّف بالكلوروميثيل وغمر الغشاء في المحلول المائي لثلاثي ميثيل أمين 90 . تُظهر هذه الأغشية زيادة في تدفّق الماء الصافي ويرفض الأصبغة و 90 . 90 ليتروجين الرباعيّة والمُشابة بحمض الفوسفور 90 موصليّة بروتونيّة مرتفعة قدرها 90 عند درجات حرارة مرتفعة في خلايا الوقود 91 .

5.1.4.7. خلايا الوقود بالميثانول المباشر

ولقد أثبت أنّ مواد الأغشية من PPESK المُسلفن مُفيدة في أنماط متنوّعة من خلايا الوقود، مثل خلايا وقود حمض النمل، وخلايا وقود الميثانول 92. تمثلك خلايا الوقود بالميثانول المباشر بعض الفوائد التي تميّزها من خلايا الوقود ذات أغشية تبادل البروتونات، فهي مناسبة أكثر في التطبيقات المحمولة. وبسبب الاهتمام بهذه الخلايا نجد العديد من ورقات البحث التي تُركّز على المواد المناسبة للأغشية. التفاعلات في خلايا الوقود بالميثانول المباشر هي 93:

$$CH_3\,OH + H_2\,O$$
 \to $CO_2 + 6H^+ + 6e^-$ (1–7) $\frac{3}{2}O_2 + 6H^+ + 6e^ \to$ $3H_2O$ \to $CH_3\,OH + \frac{3}{2}O_2$ \to $CO_2 + 2H_2O$ (Brutto)

تنقل البروتونات عبر غشاء تبادل البروتونات إلى المهبط، وهناك تتفاعل البروتونات مع الأوكسجين وتستخلص إلكترونات من المهبط لتنتج الماء. إلى جانب الميثانول يُستهلك الماء عند المصعد، إذ لا يمكن استعمال الميثانول النقي. بسبب هجرة شوارد الهيدروجين عبر الغشاء من المصعد إلى المهبط، وبسبب عدم قدرة الإلكترونات الحرة على العبور عبر الغشاء، وجب عليها المرور عبر دارة خارجية، وهذا ما يُسبب تياراً كهربائياً عبر الدارة الخارجية. إن نفاذية الميثانول عامل مهم في كون الأغشية مناسبة، والموصلية البروتونية هي عاملٌ آخر.

يمكن التنبّو بأداء الأغشية المحتوية على PPESK باستعمال العلاقات بين الخواص والبنى 94. فهذه العلاقات مفيدة في تطوير مواد جديدة للأغشية من هذا النوع. فمثلاً يتأثر معدّل استهلاك الماء وسعة التبادل الشاردي، بإقحام كسارة الفلور أو زمر قطبية. فإقحام زمر الفلور يُنقص معدّل استهلاك الماء ولكنّه يزيد الموصليّة البروتونيّة عند سعة تبادل شاردي متقاربة، أي عند درجة سلفنة متشابهة. ومن ناحية أخرى يؤدّي إدخال زمر قطبيّة، مثل البنزونتريل أو أوكسيد ثلاثي فينيل فوسفين، إلى خفض كلً من استهلاك الماء، والموصليّة، ونفاذيّة الميثانول.

لقد تبيّن أنّ خواص الأغشيّة من بوليميرات PPESK المشتركة المسلفنة تتعلّق بتركيب البوليمير المشترك، وبشروط الصبّ وطرائقه، وتاريخه الهيدروحراري. ويمكن تحديد هويّة بنى أغشية ذات مورفولوجيّات مختلفة تؤدي إلى اختلافات في الخواص الميكانيكيّة والكهربائيّة 95.

تأتي الفائدة المهمّة الكامنة وراء تطوير أغشية من خلائط بوليميريّة، من كونها تُتيح أُمْثَلَة بنية الغشاء وخواصه بأسلوب هادف عن طريق تغيير مركّبات المزيج ونسبة المزج 96. تُظهر بوليميرات PES المُؤمينَة أو المُنترتَة، وبوليميرات PAES تفاعلات متبادلة تُحسّن استقرار الغشاء فيما يتعلّق بسلوك التورّم أو الانتباج.

في مزائج PPESK مع بولي (إيثر إيثر كيتون) (PEEK) المُسلفن، تزداد نفاذيّة الميثانول، وكذلك الموصليّة البروتونيّة، ازدياداً لاخطيّاً مع ازدياد المحتوى من PEEK ولقد جرى اختبار البوليميرات المشتركة من PAES المُسلفن، التي جرى

الحصول عليها من 4،4/ثنائي كلورو ثنائي فينيل سلفون المُسلفن، و 4،4/ثنائي كلورو ثنائي فينيل سلفون، والفينول فتالين، بشأن استعمالها في تطبيقات خلايا الوقود بالميثانول المباشر. تزداد الموصليّة البروتونيّة خطيّاً مع ازدياد درجة السلفنة، ولكنّ نفاذيّة الميثانول تزداد خطيّاً حتّى محتوى من المونومير المسلفن نسبته الموليّة تصل إلى 20 في المئة. وبعد هذه النسبة يلاحظ ارتفاع مُفاجئ في النفاذيّة 38. يُسمى هذا المفعول باسم عتبة التخلخل.

2.4.7. التطبيقات الطبيّة

إنّ قابليّة التعقيم مسألة ذات أهميّة أساسيّة عندما يُستعمل البوليمير في التطبيقات الطبيّة، يُفضّل التعقيم ببخار الماء على التعقيم الكيميائي والتعقيم بالإشعاع. يقوم التعقيم ببخار الماء على مُعالجة الغشاء ببخار الماء الفائق التسخين بدرجة حرارة أعلى من 110°C مدّة ثلاثين دقيقة. تشمل الأغشية القابلة للتعقيم ببخار الماء كلاً من پولي (إيثر إيميد) و PES وپولي (فلوريد الڤينيليدين).

تُحقّق بوليميرات PES الخواص الميكانيكيّة والحراريّة المطلوبة، وتُبدي مقاومة ممتازة للمواد الكيميائيّة. ولكنّ العائق الأساسي يكمن في كون مواد الأغشية كارهة للماء، مما يحول دون ترطيبها التلقائي في الأوساط المائيّة. يُمكن تعديل PES تعديلاً مُحبِّداً للماء بالسلفنة بحمض الكبريت. ولكنّ هذه الطريقة تتيح فقط تحقيق توزيع عشوائي لزمر حمض السلفونيك في البوليمير.

يُفضل أن يكون بالإمكان التأثير في العدد الكلّي لزمر حمض السلفونيك، وكذلك في توزيعها ضمن السلسلة البوليميريّة، وذلك لتنظيم التوافقيّة الحيويّة. بالإدخال الانتقائي لمناطق ذات درجات عالية من السلفنة وأخرى ذات درجات منخفضة منها، يمكن زيادة إمكانات التنوّع المتعلّقة بالزمر البوليميريّة الوظيفيّة، ويمكن من ثمّ تدريج خواص الميل إلى الماء على نحو أكثر انتقائيّة 29. لهذا السبب، فإن البوليميرات المشتركة التعاقبيّة المحتوية على كتل مسلفنة وأخرى غير مسلفنة من البولي إيثر سلفون هي مُناسبة أكثر من بوليميرات PES المسلفنة.

1.2.4.7. حواجز اللويحات السنية

تُتتَج لويحات الأسنان (Plaques) السنيّة عندما تتعنقد البكتريا المسبّبة للنخر في مستعمرات على سطوح الأسنان وتكوّن عليها ترسبّات عنيدة. يُعتقد أنّ اللويحات السنيّة مسؤولة عن حدوث التهابات اللثّة، وتسوّس الأسنان.

لقد جرى اصطناع مشتقات ملحية من حمض السلفونيك المحب للماء، وحمض السلفونيك لبعض أنواع PES. ولقد وجد أن هذا الصف من البوليميرات يثبط توضع الصفائح السنية على الأسنان البشرية. وعليه يجري تطبيقها على الأسنان باستعمال تشكيلات متنوعة من معاجين الأسنان، وغسول الفم، وغيرها من إجرائيّات الصحة الفمويّة.

البوليميرات المسلفنة آنيونية بطبيعتها، وشديدة الانحلال في الماء، وذلك بسبب ارتفاع درجة السلفنة التي يجري تحقيقها أثناء تحضير هذه المشتقات. يُفترض أن أغشية من بوليميرات مشحونة آنيونيا تترسب على الأسنان مسببة تنافراً متبادلاً بين الغشاء البوليميري المشحون سلبياً والمتعضيات المشحونة سلبياً الموجودة في سوائل الفم والمسؤولة عن توليد اللويحات.

لقد أُثبت باستعمال قياس كمون زيتا أنّه عند نثر مسحوق ميناء أسنان بشريّة في وسط مائي يحتوي على أملاح من السلفونات البوليميريّة، تتكون شحنة سطحيّة سالبة مهمّة على جسيمات الميناء 100.

تمكن سلفنة PES المتوفّر تجارياً باستعمال ثلاثي أوكسيد الكبريت، ومعقّدات ثلاثي إيثيل الفوسفات (TEP) من ثلاثي أوكسيد الكبريت، وحمض كلوروسلفونيك. نظراً إلى التفاعليّة العالية لثالث أوكسيد الكبريت وخواصه المزيلة للماء، يمكن لتفاعلات السلفنة مع ثالث أوكسيد الكبريت أن تؤدّي أحياناً إلى تكوّن معلّقات بوليميريّة غير قابلة للانحلال وذلك بسبب التشبيك الناتج من تكوّن السلفون داخل السلسلة البوليميريّة. في مثل هذه الحالات، يُفضيّل تخفيف تفاعليّة السلفنة باستعمال معقّدات ثلاثي أوكسيد الكبريت مع TEP.

يمكن إجراء تفاعل السلفنة في مذيبات مثل كلوريد الميثيلين، أو 2،1-ثنائي كلورو الإيثان، والكلوروفورم. هذه المركبات هي عموماً مذيبات جيّدة للبوليمير العطري الذي نبدأ به، وهي مذيبات سيئة للبوليمير المسلفن، الذي يترسّب مباشرة في وسط التفاعل ويُرشّح 100.

2.2.4.7. أنظمة التحرير المضبوط للدواء

لقد جرى اختبار مزائج من PES و يولي (N-ڤينيل -2-بيروليدون) (PVP) للاستعمال في حقل أنظمة التحرير المضبوط للدواء 101. الخلائط ليست قابلة للامتزاج بسبب الطبيعة الكارهة والمُحبّة للماء للبوليميرات. ولكنّ، المزائج متوافقة على كامل مجال التركيبات، وتُبدي ترتيباً عالي التنظيم لكلا الطورين. وحتّى في الحالة التي يكون فيها بوليمير PVP هو المكوّن الأكثري ينتثر هذا البوليمير بانتظام في الوسط المتصل لبوليمير PES.

لقد جرى اختبار الكفاءة فيما يتعلّق بالتحرير المضبوط للدواء على الأستامينوفين. فبعد اندفاعة بدء تحدث أثناء الثلاثين دقيقة الأولى، ينخفض تحرير الدواء ويستقر عند قيمة ثابتة لبقيّة الوقت. تُرجَع اندفاعة البدء إلى الفارق المرتفع في التركيز بين طرفي الغشاء في بداية الإجرائية.

3.2.4.7 مُقلّدات النيوكليوتيدات

لقد جرى اقتراح أحماض نووية من پولي (إيثر ثيو إيثر) أو پولي (إيثر سُلفوكسيد) أو PES، لتؤدي دور مُقلّدات للمواد الطبيعيّة مثل دور متعدد نيوكليو تيدات مُعاكس. يمكن للسلسلة الرئيسيّة أن تحمل العديد من الربيطات بما في ذلك بعض الأسس النوويّة الموجودة طبيعيّاً.

متعدّدات النيوكليوتيدات المعاكسة هي جزيئات قصيرة السلسلة يمكنها أن ترتبط بالحمض النووي المُستهدَف إمّا بتزاوج الأسس من نوع واتسون - كريك (Watson-Crick) أو بتزاوج الأسس من نوع هو غستين (Hoogsteen) أومضاد - هو غستين. عندما يُعاد توليد نيوكليوتيد باستعمال مرسال RNA (وهو حمض نووي وحيد السلسلة) يمكن أن يتدخّل متعدد نيوكليوتيدات مُعاكس، ليمنع نسخ بعض أجزاء المتتالية الأساسية.

تشتمل سيرورة صوغ المورثة لبناء البروتينات على بعض الخطوات المتباينة الحسنة التنظيم 102. تضم المرحلة الأساسيّة الأولى من سيرورة صوغ المورثة عمليّة نسخ مرسال (mRNA) RNA وهو منتالية RNA مُتمّمة لجديلة DNA المُعاكسة، أو بكلمات أخرى، مُطابقة بالمتتالية لجديلة DNA المعنويّة المكوِّنة للمورثة.

تضم المرحلة الأساسية الثانية من سيرورة صوغ المورثة ترجمة بروتين، مثل أنزيمات أو بروتينات بنيوية أو بروتينات مُفرزة أو مُعاملات صوغ المورثات وغيرها. يتفاعل في هذه المرحلة المرسال mRNA مع الجسيمات الريبية و RNA الناقل ذي الأحماض الأمينية المنشطة، ليُدير عملية اصطناع البروتين المُرمَّز بمتتالية المرسال mRNA.

يتطلّب استهلال عمليّة النسخ، أن يتعرّف بوليميرازُ RNA سلسلةَ DNA طليعيّة موجودة عند بداية منتالية الترميز لمورتثة. يسبق هذا التعرّف ارتباط متتالية مميّزة لواحد أو أكثر من عوامل نسخ البروتين بمتتالية الطليعي. المُحسنات هي بروتينات إضافيّة، ترتبط عند المتتالية الطليعيّة أو بقربها لتحسّن تنظيم النسخ، أمّا تلك التي ترتبط عند المتتالية الطليعيّة أو بقربها ويمنعُ ارتباطُها عملَ بوليميراز RNA فتسمّى قامعات.

هناك أيضاً دليلٌ على أنّه في بعض الحالات يسوء تنظيم النسخ بقامعات RNA مُعاكسة داخل الموررّثة تربط نسخة mRNA المُتمّمة، فتمنع بذلك ترجمتها إلى بروتين وظيفي. وهكذا نرى أنّ تنظيم سيرورة صوغ المورّثات يتحسّن بعوامل النسخ والمُحسّنات، ويسوء أو يُقمع بالقامعات.

تتمتع متعدّدات النيوكليوتيدات المعاكسة بالقدرة على تنظيم تكاثر المورثات، وعلى إيقاف الوظائف الأساسيّة للحموض النوويّة. لهذا السبب يمكن استعمال متعدّدات النيوكليوتيدات المعاكسة في التحكّم بطيف واسع من الأمراض 103,102.

لذلك يمكن تشكيل أحماض نووية من بولي (إيثر -ثيو إيثر) أو بولي (إيثر -سلفوكسيد) أو بولي (إيثر سلفون) في تركيبات صيدلانية لمعالجة الأمراض أو الوقاية منها.

3.4.7. تطبيقات أدلّة الموجات البصريّة

هناك استعمال ممكن لبوليميرات PAES المُفلورَة المنتهية بالإِيثينيل في تطبيقات أدلّة الموجات البصريّة. يبيّن الشكل (7-12) اصطناع بوليميرات PAES المُفلورَة المنتهية بالإِيثينيل، حيث يجري إنضاج البوليمير عند 270°C مدّة ساعتين.

المتطلّبات المفتاحيّة الواجب توفّرها في مواد أدلّة الموجات البصريّة تشمل ضياعاً بصريّاً منخفضاً في منطقة الأشعة تحت الحمراء، واستقراراً حراريّاً، وإمكان التحكّم بقرينة الانكسار، وانكساراً اثنانياً (Birefringence) منخفضاً. تمثلك المادّة امتصاصاً منخفضاً للضوء عند أطوال موجات الاتصالات بين 1300 و 1550 وذلك بسبب محتواه المرتفع من الفلور. ضياع الانتشار عند 1550 أقلّ من 1550 dB cm⁻¹. يقع الانكسار الاثناني للبوليميرات المشتركة في المجال 1550 -0.002 هذه القيمة أخفض بكثير من تلك التي تمتلكها بوليميرات بولي(إيميد) المُفَلُّورَة المُستعملة في تطبيقات أدلّة الموجات البصريّة 105,104.

تتعلق الخواص البصرية، مثل قرينة الانكسار والانكسار الاثناني والاستقرار الحراري والضياع البصري، في حالة البوليميرات المُفَلورة بالبنية الجزيئية المباهوليميرات المُفَلورة بالبنية الجزيئية المباهوليميرات فمثلاً يعتمد الانكسار الاثناني على نسبة اللاتماثل الميكروي في المناحي لاستقطاب الوحدات الجزيئية المتكررة، وهو يُظهر اعتماداً خطية جيّداً على الزمر البوليميرية، وبأسلوب مماثل، يمكن اصطناع بوليمير قابل للتشبيك من عشري فلورو ثنائي فينيل و 4،4-(سداسي فلورو إيزوبروبيليدين) ثنائي فينول و 1،1-بيس-(4-هيدروكسي فينيل)-إيثيل -1-فينيل -2،5،5،3-رباعي فلورو -4-فينيل فينيل إيثر 107، انظر الشكل (7-13)، وهناك مونوميرات أخرى مثل سداسي فلوروإيزوبروبيليدين، أو 4،4-إيزوبروبيليدين ثنائسي فينيل المحال من 1.50 إلى 1.57، مما يتيح فينيل البوليميرات مواداً للنواة وللغلاف في تطبيقات أدلة الموجات البصرية 109.

إنّ مركّب خماسي فلورو فينيل سلفون مركّب عالي التفاعليّة حتّى في درجة حرارة الغرفة 110. يُحفَّز التفاعل بواسطة فلوريد البوتاسيوم، الذي يُنشّط زمرة الفينول ويعمل بصفته أساساً لامتصاص فلوريد الهيدروجين، الذي هو ناتج ثانوي من عمليّة البلمرة بالتكاثف. بضبط معدّل التغذية بالمونوميرات يمكن بيسر التحكّم بقرينة انكسار البوليميرات وكثافة تشبيكها 111.

الشكل (7-12): اصطناع بوليميرات PAES المُفلورَة المنتهية بالإيثينيل 105,104

$$F$$
 F
 F
 CH_2

الشكل (7-13): 1.1-بيس - (4-هيدروكسي فينيل)- إيثيل -1-فينيل -6.5،3،2-رباعي فلورو -4-فينيل فينيل إيثر 107

5.7. مواد أنابيب التمديدات الصحية

لسنوات عديدة كانت المواد التقليدية المستعملة في صناعة الأنابيب والمُثبّتات والوصلات وغيرها من قطع التمديدات الصحيّة معدنيّة، من النحاس والشّبة أساساً. ولقد أدخلت مواد بديلة لتصنيع مثل قطع التمديدات الصحيّة هذه. تتمتّع اللدائن بخواص تميّزها من المعادن من حيث كونها أخف وزناً، وأسهل قصناً وتشكيلاً. إضافة إلى ذلك، يمكن، أثناء بناء منزل أو مبنى تجاري، أن يصل عامل التمديدات الصحيّة أنابيب اللدائن باستعمال مُزاوج.

لقد وُجدَ أنّ مزائج من بوليمير پولي(بيفينيل إيثر سلفون) وبوليمير ثان مصنوع على أساس بيسفينول A من پولي(آريلين إيثر سلفون)، هي أكثر المواد مُناسبة في تطبيقات التمديدات الصحيّة. يتمتّع المزيج بمُقاومة متميّزة للماء الساخن 112.

6.7. الموردون والعلامات التجارية

يبيّن الجدول (7-6) الموردين والعلامات التجاريّة. ويبيّن الجدول (7-7) الأسماء التجاريّة الواردة في المراجع.

الجدول (7-6): أمثلة على بوليميرات بولى (آريلين إيثر سلفون) المتوفرة تجارياً

المُنتج	الاسم التجاري
Solvay Advanced Polymers	RADEl®
PolyOne Corp.	Edgetek TM
Westlake Plastics Co.	Westlake PES
Ovation Polymers Inc.	UTTAP SF 50030 GF
LNP Engineering Plastics Inc	Thermocomp®
Sumitomo Chemical America, Inc.	Sumiploy®
Sumitomo Chemical America, Inc.	Sumikaexcel®
RTP Co.	RTP Compounds ESD
CoorsTek	CoorsTek Neat PES
Gharda Chemicals Ltd.	Gafone TM
Solvay Advanced Polymers	Udel®
Solvay Advanced Polymers	Mindel®
Solvay Advanced Polymers	Epispire

7.7. الأمان

يمكن لبوليميرات PES المنخفضة الوزن الجزيئي، ولراتنجات بولي (سلفون) أن تسبب تهيّجاً للعيون والجلد والجهاز الهضمي.

8.7. الأثر البيئي وإعادة التدوير

في المحلول الممدّد من ثنائي ميثيل أستاميد، تُفتَح روابط الإيثر في PES وتتكوّن حلقات ضخمة. تُظهر نتائج التفاعل محتوى خطيّاً من الأوليغوميرات أقلّ من 4 في المئة. ولقد جرى عزل حلقات ضخمة مكوّنة من ثماني حلقات عطريّة أو اثنتي عشرة، أو ست عشرة أو حتى عشرين منها. ومن ناحية أخرى، يمكن أن تمرّ الحلقات الأوليغوميريّة الضخمة بتفاعل بلمرة فاتح للحلقات بوجود مركّب فينوكسيد، وخصوصاً بوادئ

الثيوفينوكسيد، لتعيد توليد بوليميرات ذات وزن جزيئي مرتفع. لذلك يُعتقد أن استرجاع وإعادة تدوير PES أمر ممكن 114,113.

الجدول (7-7): الأسماء التجارية الواردة في المراجع

یه الوارده دي المراجع	الجدول (١-١): الاستماع النجار
المورّد	الاسم التجاري
	الوصف
Asahi Chemical Industry	Aciplex ®
	غشاء حمض بر فلور وسلفونيك ⁶⁶
Mitsubishi Chemical Industries Ltd.	Diaion ® (Series)
	راتتج تبادل شاردي من نمط حمض السلفونيك المعدّل
	بے 2- میر کابتو ایثیل اُمین 14
Nova Chemicals S.A. (Arco Chemical Co.)	DYLARK ®
,	بوليمير مشترك من الستيرين وأنهيدريد المالييك ⁶³
Asahi Glass Company	Flemion ®
WILC	غشاء تبادل شاردي فلوروبوليميري ⁶⁶
W. L. Gore	® Gore-Select غشاء PTFE موسّع بمسامات ميكرويّة (ePTFE)"
	•
Company I Florida	غشاء موصل للشوارد ⁶⁶ Lexan TM
General Electric	
Bayer AG	پولي (کربونات) ³⁹ ® Makrolon
Bayer AG	© الانتقادة المنتقادة المنتقادة المنتقادة المنتقادة المنتقدة المن
Mobay	پون <i>ي</i> (کربوتات) ® Merlon
Woody	ت المحادة. پولي (كربونات) ³⁹
DuPont	پون <i>ي</i> (کربونت) ® Nafion
	PTFE مسلفن لتطبيقات الأغشية
ASTOM Corp. (Tokuyama Soda Co.)	Neosepta ®
	أغشية تبادل شاردي برمفلورة ⁶⁶
Rohm & Haas	Paraloid ®
	مطّاط أكريلات. مُعدّل صدم ³⁹
Solvay Solexis (Ausimont USA, Inc.)	Polymist ® (Series)
	پولي (رباعي فلورو اپثيلين) مساحيق نزليق ⁴¹
Solvay	Radel ® A
	پولي (اپيثر سلفون) ^{41,4}
Solvay	Radel ® R
	پولى (بيفينيل سلفون) ^{41,4}

الجدول (7-7): الأسماء التجاريّة الواردة في المراجع

المورّد	الاسم التجاري
	الوصف
Solvay	Udel® Polysulfone
	100,39,4 (بیستینول A سلفون A پولي (بیستینول
General Electric	Ultem® (Series)
	بولي (ايميد)، ملدّن حراري ⁶³

المراجع

- 1. M. J. El-Hibri, J. Nazabal, J. I. Equiazabal, and A. Arzak. "Poly(aryl ether sulfone)s." *Plastics Engineering*: vol. 41, 1997, pp. 893–930.
- 2. V. L. Rao. "Polyether sulfones." *Journal of Macromolecular Science Reviews in Macromolecular Chemistry and Physics*: C39, 1999, pp. 655–711.
- 3. E. S. Wilks. "Polymer nomenclature: The controversy between source-based and structure-based representations (a personal perspective)." *Progress in Polymer Science*: vol. 25, no. 1, February 2000, pp. 9–100.
- 4. M. J. El-Hibri. Ternary poly(biphenyl ether sulfone) resin blends having improved environmental stress cracking resistance. US Patent 6 075 100, assigned to BP Amoco Corporation (Chicago, IL), 13 June 2000.
- M. Inaba, N. Mine, and M. Mizutani. Method for preparing 4,4'-biphenol. US Patent 5 324 868, assigned to Mitsubishi Petrochemical Company, Ltd. (Tokyo, JP), 28 June 1994.
- N. Zutty, D. C. Priest, R. A. Clendinning, and A. G. Farnham. Process for preparing polyarylene polyethers. CA Patent 847 963, assigned to Union Carbide Corp, 28 July 1970.
- S. Savariar. Poly (biphenyl ether sulfone). US Patent 6 228 970, assigned to BP Amoco Corporation (Chicago, IL), 8 May 2001.
- 8. R. N. Johnson and A. G. Farnham. Polyarylene polyethers. US Patent 4 108 837, assigned to Union Carbide Corporation (New York, NY), 22 August 1978.
- 9. D. R. Robello, A. Ulman, and E. J. Urankar. "Poly(*p*-phenylene sulfone)." *Macromolecules*: vol. 26, no. 25, December 1993, pp. 6718–6721.

- T. Yokozawa, T. Taniguchi, Y. Suzuki, and A. Yokoyama. "Chain-growth polycondensation of monomer consisting of two aromatic rings: Synthesis of welldefined poly(ether sulfone) from 4-fluoro-4-hydroxydiphenyl sulfone." *Journal of Polymer Science Part A: Polymer Chemistry*: vol. 40, 2002, pp. 3460–3464.
- H. R. Kricheldorf, L. Vakhtangishvili, G. Schwarz, G. Schulz, and R.-P. Krüger. "Macrocycles 25. Cyclic poly(ether sulfone)s derived from 4-tert-butylcatechol." Polymer: vol. 44, no. 16, July 2003, pp. 4471–4480.
- 12. H. Weisse, H. Keul, and H. Höcker. "A new route to carboxylated poly(ether sulfone)s: Synthesis and characterization." *Polymer*: vol. 42, no. 14, June 2001, pp. 5973–5978.
- 13. M. Kawahara and T. Kitaura. Method of producing 4,4'-biphenol. US Patent 6 794 548, assigned to Honschu Chemical Industry Co., Ltd. (Tokyo, JP), 21 September 2004.
- M. Iwahara and T. Saruwatari. Process for producing bisphenol a. US Patent 7 129 382, assigned to Idemitsu Petrochemical Co., Ltd. (Tokyo, JP), 31 October 2006.
- M. Stumpp, P. Neumann, W. Ruehenback, and M. Bergner. Preparation of bis(4hydroxyphenyl)sulfone. US Patent 5 059 715, assigned to BASF Aktiengesellschaft (Ludwigshafen, DE), 22 October 1991.
- G. Pabst and J. Kast. Semi-continuous method for producing 4,4'-dihydroxydiphenyl sulfone. US Patent 6 700 020, assigned to BASF Aktiengesellschaft (Ludwigshafen, DE), 2 March 2004.
- 17. M. Stumpp, P. Neumann, and H. Eilingsfeld. Preparation of bis-(4-chlorophenyl) sulfone. US Patent 4 983 773, assigned to BASF Aktiengesellschaft (Ludwigshafen, DE), 8 January 1991.
- 18. P. J. Horner. Production of di-4-chlorophenyl sulphone. GB Patent 1 393 929, assigned to Imperial Chemical Industries Ltd., 14 May 1975.
- 19. H. R. Kricheldorf. "Aromatic Polyethers." In: H. R. Kricheldorf, O. Nuyken, and G. Swift, eds. *Handbook of Polymer Synthesis*, volume 70 of *Plastics Engineering*. New York: Marcel Dekker, 2005, chap. 7, pp. 427-501.
- 20. T. Yokozawa and A. Yokoyama. "Chain-growth polycondensation: The living polymerization process in polycondensation." *Progress in Polymer Science*: vol. 32, no. 1, January 2007, pp. 147–172.
- 21. R. N. Johnson and A. G. Farnham. Polyarylene polyethers. US Patent 4 175 175, assigned to Union Carbide Corporation (New York, NY), 20 November 1979.

- 22. R. R. Cooper and D. G. Parker. Preparation of polyarylenesulfone from bis(chloroaryl) sulfone, dihydric phenol and difluorodiphenylsulfone. US Patent 5 239 044, assigned to Imperial Chemical Industries, PLC (Welwyn Garden City, GB2), 24 August 1993.
- 23. T. H. Schwab. Low color poly(biphenyl ether sulfone) and improved process for the preparation thereof. US Patent 6 593 445, assigned to Solvay Advanced Polymers, LLC (Alpharetta, GA), 15 July 2003.
- 24. M. Shibata, J. Cao, and R. Yosomiya. "Synthesis and properties of the block copolymers of poly(ether ether ketone) and the poly(aryl ether sulfone) containing biphenylene moiety." *Polymer*: vol. 38, no. 12, June 1997, pp. 3103–3108.
- F. Wang, M. Hickner, Y. S. Kim, T. A. Zawodzinski, and J. E. McGrath. "Direct polymerization of sulfonated poly(arylene ether sulfone) random (statistical) copolymers: Candidates for new proton exchange membranes." *Journal of Membrane Science*: vol. 197, nos. 1-2, March 2002, pp. 231–242.
- Y. Li, F. Wang, J. Yang, D. Liu, A. Roy, S. Case, J. Lesko, and J. E. Mc-Grath. "Synthesis and characterization of controlled molecular weight disulfonated poly(arylene ether sulfone) copolymers and their applications to proton exchange membranes." *Polymer*: vol. 47, no. 11, May 2006, pp. 4210–4217.
- 27. R. W. Lenz, C. E. Handlovits, and H. A. Smith. "Phenylene sulfide polymers. III. The synthesis of linear polyphenylene sulfide." *Journal of Polymer Science*: vol. 58, no. 166, 1962, pp. 351–367.
- 28. A. B. Newton and J. B. Rose. "Relative reactivities of the functional groups involved in synthesis of poly(phenylene ether sulphones) from halogenated derivatives of diphenyl sulphone." *Polymer*: vol. 13, no. 10, October 1972, pp. :465–474.
- 29. H. Weisse, H. Keul, and H. Höcker. Block copolymers with sulfonated polyether sulfone units. US Patent 6 451 921, assigned to Membrana GmbH (Wuppertal, DE), 17 September 2002.
- 30. A. Ben-Haida, H. M. Colquhoun, P. Hodge, and J. L. Stanford. "A novel approach to processing high-performance polymers that exploits entropically driven ring-opening polymerization." *Macromolecular Rapid Communications*: vol. 26, 2005, pp. 1377–1382.
- 31. V. Jansons and H. C. Gors. Preparation of aromatic ketone-sulfone copolymers. US Patent 4 593 086, assigned to Raychem Corporation (Menlo Park, CA), 3 June 1986.
- 32. W. R. Darnell and W. J. Jackson, Jr. Process for the preparation of polyketone and poly(ketone-sulfone) polymers. US Patent 4 861 856, assigned to Eastman Kodak Company (Rochester, NY), 29 August 1989.

- 33. S.-J. Liu, Y.-M. Niu, X.-L. Zhu, G.-B. Wang, and Z.-H. Jiang. "Synthesis and properties of poly(aryl ether ketone) copolymers containing 2,7-naphthalene moieties." *Chemical Research in Chinese Universities*: vol. 22, no. 1, January 2006, pp. 114–117.
- 34. J. J. F. Ku'cera. "Homogeneous and heterogeneous sulfonation of polymers: Areview." *Polymer Engineering and Science*: vol. 38, no. 5, May 1998, pp. 783–792.
- 35. Z. Wang, X. Li, C. Zhao, H. Ni, and H. Na. "Synthesis and characterization of sulfonated poly(arylene ether ketone ketone sulfone) membranes for application in proton exchange membrane fuel cells." *Journal of Power Sources*: vol. 160, no. 2, October 2006, pp. 969–976, October 2006.
- 36. G. S. Gohil, R. K. Nagarale, V. V. Binsu, and V. K. Shahi. "Preparation and characterization of monovalent cation selective sulfonated poly(ether ether ketone) and poly(ether sulfone) composite membranes." *Journal of Colloid and Interface Science*: vol. 298, no. 2, June 2006, pp. 845–853.
- 37. X. Zhang, S. Liu, L. Liu, and J. Yin. "Partially sulfonated poly(arylene ether sulfone)-b-polybutadiene for proton exchange membrane." *Polymer*: vol. 46, no. 6, February 2005, pp.1719–1723.
- 38. B. L. Dickinson, M. J. El-Hibri, and M. E. Sauers. Poly(aryl ether sulfone) compositions comprising poly(phenylene ether sulfone). US Patent 5 174 958, assigned to Amoco Corporation (Chicago, IL), 29 December 1992.
- 39. M. J. El-Hibri. High impact strength polysulfones. US Patent 6 124 399, assigned to Bz Amoco Corporation (Chicago, IL), 26 September 2000.
- H. Scheckenbach, A. Schleicher, and J. Kulpe. Mixtures of polyarylene sulfones with polyarylene sulfoxides and polyarylene sulfides. US Patent 5 780 561, assigned to Hoechst Aktiengesellschaft (DE), 14 July 1998.
- 41. W. E. Kelly, L. J. Male, and G. C. Plithides. Flame retardant thermoplastic compositions. US Patent 5 916 958, assigned to Amoco Corporation (Chicago, IL), 29 June 1999.
- 42. Y. Satake, S. Yamamoto, T. Kaneko, M. Tada, T. Kashiwadate, Y. Mizuno, H. Endo, T. Katto, and Y. Shiiki. Polyarylene thioether block copolymer and its production. JP Patent 2 225 527, assigned to Kureha Chemical Ind Co. Ltd, 7 September 1990.
- Y. Kawakami and Z. Shiiki. Production process for aromatic thioether ketone/thioether sulfone copolymers. US Patent 5 484 876, assigned to Kureha Kagaku Kogyo K.K. (Tokyo, JP), 16 January 1996.

- 44. S. Bagrodia, D. R. Fagerburg, J. J. Watkins, and P. B. Lawrence. Blends of copoly(arylene sulfide) and poly(aryl sulfone). US Patent 5 276 111, assigned to Eastman Kodak Company (Rochester, NY), 4 January 1994.
- 45. R. L. Bobsein, M. L. Stone, and J. F. Geibel. Reinforced plastic comprising poly(arylene sulfide sulfone) polymer containing ether groups matrix. US Patent 5 024 876, assigned to Phillips Petroleum Company (Bartlesville, OK), 18 June 1991.
- T. Sakane, T. Kato, and K. Ogawara. Production of poly(arylene sulfide sulfone) with excess water to alkali metal sulfide. US Patent 5 093 467, assigned to Tosoh Corporation (Yamaguchi, JP), 3 March 1992.
- 47. G. Di Pasquale and A. Recca. "Synthesis and characterization of metalinked polyamides containing sulfone, ether and ketone linkages." *Polymer*: vol. 39, no. 4, February 1998, pp. 949–952.
- 48. M. R. Bellomo, G. Di Pasquale, A. La Rosa, A. Pollicino, and G. Siracusa. "New aromatic polyamide materials containing sulfone, ether and ketone linkages." *Polymer*: vol. 37, no. 13, June 1996, pp. 2877–2881.
- 49. P. Himmelberg and E. Fossum. "Development of an efficient route to hyperbranched poly(arylene ether sulfone)s." *Journal of Polymer Science Part A: Polymer Chemistry*: vol. 43, 2005, pp. 3178–3187.
- 50. Y. Chang, Y. C. Kwon, K. Park, and C. Kim. "Hyperbranched poly(ether sulfone) with 1,3,5-s-triazine moiety." *Korean Polymer Journal*: vol. 8, 2000, pp. 142–146.
- 51. K. Matsumoto and M. Ueda. "Synthesis of hyperbranched aromatic poly(ether sulfone) with sulfonyl chloride terminal groups." *Chemistry Letters*: vol. 35, 2006, pp. 1196–1197.
- 52. J. Charkoudian. Compositions of a copolymer including a sulfone polymer. US Patent 5 883 150, assigned to Millipore Corporation (Bedford, MA), 16 March 1999.
- 53. D. H. R. Barton and G. Kretzschmar. "Radical chemistry of thiohydroxamic acid esters." *Tetrahedron Letters*: vol. 24, no. 52, 1983, pp. 5889–5892.
- D. H. R. Barton, D. Bridon, I. Fernandaz-Picot, and S. Z. Zard. "The invention of radical reactions: Part XV. Some mechanistic aspects of the decarboxylative rearrangement of thiohydroxamic esters." *Tetrahedron Letters*: vol. 43, no. 12, 1987, pp. 2733–2740.
- 55. W. H. Daly and T. S. Evenson. "Grafting of vinyl polymers to carboxylated poly(arylene ether sulfone) utilizing barton ester intermediates and nitroxide mediation." *Polymer*: vol. 41, no. 13, June 2000, pp. 5063–5071.

- 56. A. Ayambem, S. J. Mecham, Y. Sun, T. E. Glass, and J. E. McGrath. "Endgroup substituent effects on the rate/extent of network formation and adhesion for phenylethynyl-terminated poly(arylene ether sulfone) oligomers." *Polymer*: vol. 41, no. 13, June 2000, pp. 5109–5124.
- 57. D. Macocinschi, A. Grigoriu, and D. Filip. "Aromatic polysulfones for flame retardancy." *European Polymer Journal*: vol. 38, no. 5, May 2002, pp. 1025–1031.
- 58. P. Almen and I. Ericsson. "Studies of the thermal degradation of polysulfones by filament-pulse pyrolysis—gas chromatography." *Polymer Degradation and Stability*: vol. 50, no. 2, 1995, pp. 223–228.
- 59. L.-H. Perng. "Comparison of thermal degradation characteristics of poly(arylene sulfone)s using thermogravimetric analysis/mass spectrometry." *Journal of Applied Polymer Science*: vol. 81, 2001, pp. 2387–2398.
- Anonymous. Chemical compatibility of sulfone polymers. Technical Bulletin G-50414, Solvay Advanced Polymers, Alpharetta, Georgia, 2006. [electronic]
 http://www.solvayadvancedpolymers.com/static/wma/pdf/6/3/8/2/ChemResTB.pdf>.
- 61. Anonymous. Effects of chlorinated water on plastic-based water delivery systems. Technical Bulletin G-50177, Solvay Advanced Polymers, Alpharetta, Georgia, 2002. [electronic] http://www.solvayadvancedpolymers.com/static/wma/pdf/2/4/7/ECWPBWDS.pdf.
- 62. Anonymous. Electrical properties for radel® r polyphenylsulfone. Technical Bulletin MD-50135, Solvay Advanced Polymers, Alpharetta, Georgia, 2002. [electronic] http://www.solvayadvancedpolymers.com/static/wma/pdf/2/3/8/RR_Elec_Prop.pdf>.
- 63. L. A. McKenna. Stain resistant cookware from blends comprising an interpolymer of an unsaturated dicarboxylic acid compound. US Patent 4 772 653, assigned to Amoco Corporation (Chicago, IL), 20 September 1988.
- 64. U. Eichenauer, E. Neufeld, A. Ludwig, T. Sauer, and A. Ulzhöfer. Production of polyarylene-ether-sulfone useful for coating, especially to produce sliding surface. DE Patent 19 816 955, assigned to Basf AG (DE), 21 October 1999.
- 65. M. Mulder. *Basic Principles of Membrane Technology*. 2nd ed. Dordrecht: Kluwer Academic, 1996.
- 66. M. Rikukawa and K. Sanui. "Proton-conducting polymer electrolyte membranes based on hydrocarbon polymers." *Progress in Polymer Science*: vol. 25, no. 10, December 2000, pp. 1463–1502.

- 67. X. Jian, Y. Dai, G. He, and G. Chen. "Preparation of UF and NF poly (phthalazine ether sulfone ketone) membranes for high temperature application." *Journal of Membrane Science*: vol. 161, nos. 1-2, August 1999, pp. 185–191.
- 68. Y. Su, X. Jian, S. Zhang, and C. Yan. "Preparation of novel PPES-B UF membrane with good thermal stability: The effect of additives on membrane performance and cross-section morphology." *Journal of Membrane Science*: vol. 271, nos. 1-2, March 2006, pp. 205–214.
- 69. Y. Dai, X. Jian, S. Zhang, and M. D. Guiver. "Thermostable ultrafiltration and nanofiltration membranes from sulfonated poly(phthalazinone ether sulfone ketone)." *Journal of Membrane Science*: vol. 188, no. 2, July 2001, pp. 195–203.
- Y. Gao, G. P. Robertson, M. D. Guiver, X. Jian, S. D. Mikhailenko, K. Wang, and S. Kaliaguine. "Sulfonation of poly(phthalazinones) with fuming sulfuric acid mixtures for proton exchange membrane materials." *Journal of Membrane Science*: vol. 227, nos. 1-2, December 2003, pp. 39–50,.
- M. Wang, L.-G. Wu, X.-C. Zheng, J.-X. Mo, and C.-J. Gao. "Surface modification of phenolphthalein poly(ether sulfone) ultrafiltration membranes by blending with acrylonitrile-based copolymer containing ionic groups for imparting surface electrical properties." *Journal of Colloid and Interface Science:* vol. 300, no. 1, August 2006, pp. 286–292,
- 72. M.-L. Luo, J.-Q. Zhao, W. Tang, and C.-S. Pu. "Hydrophilic modification of poly(ether sulfone) ultrafiltration membrane surface by self-assembly of TiO2 nanoparticles." *Applied Surface Science*: vol. 249, nos. 1-4, August 2005, pp. 76–84.
- 73. B. Kaeselev, P. Kingshott, and G. Jonsson. "Influence of the surface structure on the filtration performance of UV-modified PES membranes." *Desalination*: vol. 146, nos. 1-3, September 2002, pp. 265–271.
- 74. J. Pieracci, J. V. Crivello, and G. Belfort. "Increasing membrane permeability of UV-modified poly(ether sulfone) ultrafiltration membranes." *Journal of Membrane Science*: vol. 202, nos. 1-2, June 2002, pp. 1–16.
- G. Belfort, J. V. Crivello, and J. Pieracci. UV-assisted grafting of PES and PSF membranes. US Patent 6 852 769, assigned to Rensselaer Polytechnic Institute (Troy, NY), 8 February 2005.
- X. Wei, R. Wang, Z. Li, and A. G. Fane. "Development of a novel electrophoresis-UV grafting technique to modify PES UF membranes used for NOM removal." *Journal of Membrane Science*: vol. 273, nos. 1-2, March 2006, pp. 47–57.

- 77. M. Taniguchi and G. Belfort. "Low protein fouling synthetic membranes by UV-assisted surface grafting modification: Varying monomer type." *Journal of Membrane Science*: vol. 231, nos. 1-2, March 2004, pp. 147–157.
- M. Taniguchi, J. E. Kilduff, and G. Belfort. "Low fouling synthetic membranes by UV-assisted graft polymerization: Monomer selection to mitigate fouling by natural organic matter." *Journal of Membrane Science*: vol. 222, nos. 1-2, September 2003, pp. 59–70.
- 79. Y. Yang, D. Yang, S. Zhang, J. Wang, and X. Jian. "Preparation and characterization of poly(phthalazinone ether sulfone ketone) hollow fiber ultra-filtration membranes with excellent thermal stability." *Journal of Membrane Science*: vol. 280, nos. 1-2, September 2006, pp. 957–968.
- 80. Y. Yang, X. Jian, D. Yang, S. Zhang, and L. Zou. "Poly(phthalazinone ether sulfone ketone) (PPESK) hollow fiber asymmetric nanofiltration membranes: Preparation, morphologies and properties." *Journal of Membrane Science*: vol. 270, nos.1-2, February 2006, pp. 1–12.
- 81. B. Shi, Y. Wu, and J. Liu. "Vapor permeation separation of MeO-H/MTBE through polyimide/sulfonated poly(ether-sulfone) hollow-fiber membranes." *Desalination*: vol. 161, no. 1, February 2004, pp. 59–66.
- 82. B. Zhang, T. Wang, S. Zhang, J. Qiu, and X. Jian. "Preparation and characterization of carbon membranes made from poly(phthalazinone ether sulfone ketone)." *Carbon*: vol. 44, no. 13, November 2006, pp 2764–2769.
- 83. W. T. Grubb. "Ionic migration in ion-exchange membranes." *Journal of Physical Chemistry:* vol. 63, Jaunary 1959, pp. 55–58.
- 84. H. A. Every, M. A. Hickner, J. E. McGrath, and T. A. Zawodzinski, Jr. Nafion versus sulfonated poly(arylene ether sulfone)s. A comparison of the methanol diffusion behavior. In: *Fuel Cells from Materials to Systems*, The Electrochemical Society, Pennington, New Jersey 08534-2839, USA, 2003. 203rd Meeting of the the Electrochemical Society, Paris.
- 85. S. Wang and J. E. McGrath. "Synthesis of poly(arylene ether)s.: In: M. Rogers and T. E. Long, eds., *Synthetic Methods in Step-growth Polymers*. New York: Wiley, 2003, chap. 6, pp. 327-374.
- 86. Y. Gao, G. P. Robertson, M. D. Guiver, X. Jian, S. D. Mikhailenko, K. Wang, and S. Kaliaguine. "Direct copolymerization of sulfonated poly(phthalazinone arylene ether)s for proton-exchange-membrane materials." *Journal of Polymer Science Part A: Polymer Chemistry*: vol. 41, 2003, pp. 2731–2742.

- 87. X. Li, C. Zhao, H. Lu, Z. Wang, and H. Na. "Direct synthesis of sulfonated poly(ether ether ketone ketone)s (SPEEKKs) proton exchange membranes for fuel cell application." *Polymer*: vol. 46, no. 15, July 2005, pp. 5820–5827.
- 88. M. L. Hill, Y. S. Kim, B. R. Einsla, and J. E. McGrath. "Zirconium hydrogen phosphate/disulfonated poly(arylene ether sulfone) copolymer composite membranes for proton exchange membrane fuel cells." *Journal of Membrane Science:* vol. 283, nos. 1-2, October 2006, pp. 102–108.
- 89. G. M. Anilkumar, S. Nakazawa, T. Okubo, and T. Yamaguchi. "Proton conducting phosphated zirconia-sulfonated polyether sulfone nanohybrid electrolyte for low humidity, wide-temperature PEMFC operation." *Electrochemistry Communications*: vol. 8, no. 1, January 2006, pp. 133–136.
- 90. Y. Su, X. Jian, S. Zhang, and G. Wang. "Preparation and characterization of quaternized poly(phthalazinone ether sulfone ketone) NF membranes." *Journal of Membrane Science:* vol. 241, no. 2, October 2004, pp. 225–233.
- 91. M. Li, H. Zhang, and Z.-G. Shao. "Quaternized poly(phthalazinone ether sulfone ketone) membrane doped with H3PO4 for high-temperature PEMFC operation." *Electrochemical and Solid-State Letters*: vol. 9, 2006, A60–A63.
- 92. H.-J. Kim, N. N. Krishnan, S.-Y. Lee, S. Y. Hwang, D. Kim, K. J. Jeong, J. K. Lee, E. Cho, J. Lee, and J. Han. "Sulfonated poly(ether sulfone) for universal polymer electrolyte fuel cell operations." *Journal of Power Sources*: vol. 160, no. 1, September 2006, pp. 353–358.
- 93. A. J. Curello, F. Fairbanks, and C. Loonis. Fuel gauge for fuel cartridges. US Patent 7 117 732, assigned to Societe BIC (Clichy Cedex, FR), 10 October 2006.
- 94. Y. S. Kim, B. Einsla, M. Sankir, W. Harrison, and B. S. Pivovar. "Structureproperty-performance relationships of sulfonated poly(arylene ether sulfone)s as a polymer electrolyte for fuel cell applications." *Polymer*: vol. 47, no. 11, May 2006, pp. 4026-4035.
- 95. Y. S. Kim, L. Dong, M. A. Hickner, B. S. Pivovar, and J. E. McGrath. "Processing induced morphological development in hydrated sulfonated poly(arylene ether sulfone) copolymer membranes." *Polymer*: vol. 44, no. 19, September 2003, pp. 5729–5736.
- 96. W. Cui. Polymer blend membranes for use in fuel cells. US Patent 6 869 980, assigned to Celanese Ventures GmbH (DE), 22 March 2005.
- 97. H.-L. Wu, C.-C. M. Ma, F.-Y. Liu, C.-Y. Chen, S.-J. Lee, and C.-L. Chiang. "Preparation and characterization of poly(ether sulfone)/ sulfonated poly(ether ether ketone) blend membranes." *European Polymer Journal*: vol. 42, no. 7, July 2006, pp. 1688–1695.

- 98. D. S. Kim, K. H. Shin, H. B. Park, Y. S. Chung, S. Y. Nam, and Y. M. Lee. "Synthesis and characterization of sulfonated poly(arylene ether sulfone) copolymers containing carboxyl groups for direct methanol fuel cells." *Journal of Membrane Science:* vol. 278, nos. 1-2, July 2006, pp. 428–436.
- H. Kuwahara, T. Kawaguchi, S. Ohmori, and S. Matsumura. Application of sulfone, ketone and ester containing polyalkyl ether units to medical materials. US Patent 5 969 082, assigned to Teijin Limited (Osaka, JP), 19 October 1999.
- 100. C. J. Buck. Sulfonated poly(arylene ether sulfone) polymers as dental plaque barriers. US Patent 4 360 513, assigned to Johnson & Johnson Products, Inc. (New Brunswick, NJ), 23 November 1982.
- 101. R. Bhattacharya, T. N. Phaniraj, and D. Shailaja. "Polysulfone and polyvinyl pyrrolidone blend membranes with reverse phase morphology as controlled release systems: Experimental and theoretical studies." *Journal of Membrane Science:* vol. 227, nos. 1-2, December 2003. pp. 23–37.
- 102. D. Segev. Nucleic acid derivatives. US Patent 7 034 131, assigned to Bio-Rad Laboratories Inc. (Hercules, CA), 25 April 2006.
- 103. D. Segev. Poly(ether-thioether), poly(ether-sulfoxide) and poly(ether- sulfone) nucleic acids. WO Patent 0 116 365, assigned to Bio Rad Laboratories (US); Segev David (IL), 8 March 2001.
- 104. J.-P. Kim, J.-W. Kang, J.-J. Kim, and J.-S. Lee. "Fluorinated poly(arylene ether sulfone)s for polymeric optical waveguide devices." *Polymer*: vol. 44, no. 15, July 2003, pp. 4189-4195.
- 105. J. S. Lee, J. J. Kim, J. P. Kim, J. W. Kang, and W. Y. Lee. Poly (arylene ether sulfide) and poly (arylene ether sulfone) for optical device and method for preparing the same. US Patent 6 512 076, assigned to Kwangju Institute of Science and Technology (Kwangju, KR), 28 January 2003.
- 106. J.-W. Kang, J.-P. Kim, J.-S. Lee, and J.-J. Kim. "Structure-property relationship of fluorinated co-poly(arylene ether sulfide)s and co-poly(arylene ether sulfone)s for low-loss and low-birefringence waveguide devices." *Journal of Lightwave Technology*: vol. 23, 2005, pp. 64–373.
- 107. Y. Qi, C. L. Callender, J. Jiang, T. Norsten, M. Day, and J. Ding. Cross-linkable highly fluorinated poly(arylene ethers) for optical waveguide applications. CA Patent 2 507 981, assigned to National Research Council (CA), 19 November 2005.
- 108. J. Ding, F. Liu, M. Zhou, M. Li, M. Day, and P. Vuillaume. Techniques for the preparation of highly fluorinated polyethers. WO Patent 03 099 907, assigned to National Research Council (CA), 4 December 2003.

- 109. Y. Qi, J. Jiang, C. L. Callender, J. Ding, and M. Day. "Cross-linkable highly fluorinated polymers with tunable refractive index." *Materials Research Society Symp. Proc.*: vol. 888, 2006, pp. 263–268.
- 110. J. Ding, Y. Qi, M. Day, J. Jiang, and C. L. Callender. "A low temperature polycondensation for the preparation of highly fluorinated poly(arylene ether sulfone)s containing crosslinkable pentafluorostyrene moieties." *Macromolecular Chemistry and Physics*: vol. 206, 2005, pp. 2396–2407.
- 111. Y. Qi, J. Ding, M. Day, J. Jiang, and C. L. Callender. "Cross-linkable highly fluorinated poly(arylene ether ketones/sulfones) for optical waveguiding applications." *Chemistry of Materials*: vol. 17, 2005, pp. 676–682.
- 112. M. J. El-Hibri and B. L. Dickinson. Plumbing articles from poly(aryl ether sulfones). US Patent 6 329 493, assigned to BP Corporation North America Inc. (Chicago, IL), 11 December 2001.
- 113. H. M. Colquhoun, D. F. Lewis, P. Hodge, A. Ben-Haida, D. J. Williams, and Baxter. "Ring-chain interconversion in high-performance polymer systems. 1. [poly(oxy-4,4'-biphenyleneoxy-1,4-phenylenesulfonyl-1,4-phenylene)] (Radel-R)." *Macromolecules*: vol. 35, 2002, pp. 6875–6882.
- 114. H. M. Colquhoun, D. F. Lewis, A. Ben-Haida, and P. Hodge. "Ring-chain interconversion in high-performance polymer systems. 2. ring-opening polymerization-copolyetherification in the synthesis of aromatic poly(ether sulfones)." *Macromolecules*: vol. 36, 2003, pp. 3775–3778.

بولیمیرات (آریلین ایثر نتریل)

لقد جرى وصف سيرورات تصنيع بوليميرات پولي(آريلين إيثر نتريل) (PEN) منذ السبعينيات من القرن الماضي¹، إلا أنّ الإنتاج التجاري يعود إلى عام 1986 من قبل شركة إيديمتسو (Idemitsu) ². تتتمي بوليميرات PEN إلى البوليميرات العالية الأداء، نصف المتبلّرة، المتلدّنة حراريّاً والتي تتمتّع بدرجة انصهار مرتفعة، وخواص ميكانيكيّة ممتازة، ومقاومة كيميائيّة عالية.

أساساً، يمتلك بوليمير PEN البنية المبيّنة في الشكل (8-1)³. يُطلق على هذا البوليمير أيضاً اسم پولي(سيانو آريل إيثر). بالطبع لا يمكن لزمرة النتريل أن تكوّن السلسلة الرئيسيّة ولكنها زمرة سلسلة جانبيّة. ولقد جرى استعراض طرائق اصطناع بوليميرات PEN وخواصّها في الأدبيات².

1.8. المونوميرات

يلخص الجدول (8-1) والشكلان (8-2) و(8-3) المونوميرات في حالة بوليميرات PEN. تُستعمل مونوميرات اثنانيّة الوظيفة لبناء السلسلة البوليميريّة، في حين تُستعمل المونوميرات الوحيدة الوظيفة للتحكّم بالوزن الجزيئي للسلسلة البوليميريّة.

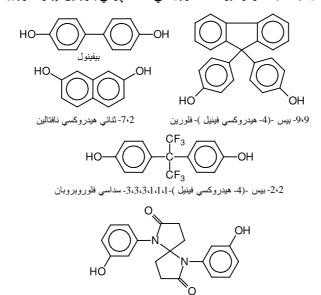
الجدول (8-1): المونوميرات في حالة بولي (آريلين إيثر نتريل)

ملاحظات	مونومير النتريل
الشائع الاستعمال ⁴	6.2-ثنائي كلوروبنزونتريل
بوليميرات متشعّبة ⁵	خماسي كلوروبنزونتريل
النوع الغشائي	خماسي فلوروبنزوننريل
النوع الغشائي ⁷	4-فينوكسي -6،5،3،2-رباعي فلوروبنزونتريل
موقف السلسلة ⁸	2-فلوروبنزونتريل
ملاحظات	مونومير الهيدروكسي
شائع	ريزورسينول
شائع	هیدروکینون
شائع	بيفينول
$^4T_{_g}$ يزيد	7،2-ئتائي هيدروكسي نفتالين
1 شائع	بیستفینول A
أغشية 9	4،4′-(سداسي فلورو إيزوبروبيليدين) ثنائي فينول
7	9،9-بيس -(4- هيدروكسي فينيل)-فلورين
7	فينول فتالئين
	4،4′-ثنائي هيدروكسي ثنائي فينيل سلفون
	مركّبات السبيروديلاكتام المُستبدل فيها هيدروكسي آريل.
$^{10}T_{_{\scriptscriptstyle g}}$ يزيد	مثل 6،1-ثنائي (4- هيدروكسي فينيل)-6،1-دياز اسبيرو [4.4]نونان
J	-7،2-ديون
النوع الغشائي ⁷	2،2-بيس -(4- هيدروكسي فينيل)-1،1،1،3،3،3-سداسي فلوروبروبان
موقف السلسلة 8	p-فينيل فينول

1.1.8. مركبات بنزونتريل المُهَلْجنة

إنّ 6.2-ثنائي فلوروبنزونتريل أكثر تفاعليّة من 6.2-ثنائي كلوروبنزونتريل. وبوجه خاص تُحسّن المونوميرات المُفلُورَة عمليّة صب الأغشية، بسبب ازدياد في الانحلاليّة.

الشكل (8-2): مونوميرات النتريل في حالة بولي(آريلين إيثر نتريل)



6.1- ثنائي (3- هيدروكسي فينيل)-6.1- دياز اسبيرو [4.4]- نونان -7.2- ديون

الشكل (8-3): مونوميرات الهيدروكسي في حالة يولي(آريلين إيثر نتريل)

1.1.1.8 ثنائى كلوروبنزونتريل

يُنتَج 6.2-ثنائي كلوروبنزونتريل بالأكسدة بالأمونيوم باستعمال أوكسيد الثاناديوم موليبدن محفّزاً 11. درجة حرارة التفاعل هي حوالي 360°C، مع زمن تماس لغاز التفاعل مع المحفّز حوالي 7.5 ثانية. وهو يستعمل بصفته مادّة أوّليّة للمبيدات الحشرية ومبيدات الأعشاب الضارّة، وذلك إلى جانب استعماله في البوليميرات.

2.1.1.8. ثنائى فلوروبنزونتريل

يُحضر 6.2-ثنائي فلوروبنزونتريل بتفاعل 6.2-ثنائي كلوروبنزونتريل مع فلوريد البوتاسيوم بوجود مُذيب مثل ثنائي ميثيل سلفوكسيد وسلفو لان عند 180° C لعدة ساعات.

في سيرورات صنع 6،2-ثنائي فلوروبنزونتريل التي لا تتضمن مُذيباً، يُفاعل 6،2 -6،2 الله عند 225°C. في 6،2-ثنائي كلوروبنزونتريل مع فلوريد معدن قلوي لامائي بقدر كاف عند 6،2 أو فلورو هذه المرحلة يتكون لدينا مزيج من 2-كلورو -6-فلوروبنزونتريل، و 6،2-ثنائي فلوروبنزو بنزونتريل، و 6،2-ثنائي فلوروبنزو نتريل، و 6،2-ثنائي كلوروبنزونتريل غير المتفاعل. ثم يُعزل 6،2-ثنائي فلوروبنزو نتريل، ويُغذّى المفاعل ببقيّة المنتجات تغذية راجعة. وتستعمل إيثرات تاجية بصفتها مُحفّزات.

هناك طريق أخرى للحصول على 6،2-ثنائي فلوروبنزونتريل تقوم على فَلُورَة 6،3،2 -6،3،2 ثنائي كلوروبنزونتريل في مرحلة أولى للحصول على 3-كلورو -6،2-ثنائي فلوروبنزونتريل في مرحلة ثانية فلوروبنزونتريل في مرحلة ثانية للحصول على المنتج النهائي 13. أمّا مادّة البدء 6،3،2-ثلاثي كلوروبنزونتريل فيمكن اشتقاقها من حمض p-تولوين سلفونيك بغاية السهولة.

3.1.1.8. خماسي كلوروبنزونتريل وخماسي فلوروبنزونتريل

يجري الحصول على خماسي كلوروبنزونتريل بالكلورة في الطور الغازي لبنزونتريل باستعمال معادن انتقاليّة على الكربون النشيط 15,14. ويمكن اصطناع خماسي فلوروبنزو نتريل من خماسي كلوروبنزونتريل باستعمال عامل فلورة لتفاعل تبادل هالوجينات في البنزونتريل أ. يغلي فلوروبنزونتريل عند نقطة غليان قدرها 162°C، وهي أقل بكثير من نقطة غليان البنزونتريل (191°C) ومن نقطة غليان خماسي كلوروبنزونتريل. لذلك يمكن بسهولة تقطير المنتج. إنّ فلوريد البوتاسيوم الجاف عامل فلورة مناسب 17. وقد تظهر الحاجة إلى شروط تفاعل قاسية.

2.1.8. مركبات الهيدروكسى العطرية

إنّ اصطناع مُعظم مركّبات الهيدروكسي العطريّة الواردة في الجدول (8-1) معروفٌ جيداً. سنناقش تفصيلاً فقط بعضاً من أقلها شيوعاً.

يُحضر الهيدروكينون (HQ) بأكسدة الفينول. ويُحضر الريزورسينول بأكسدة m-ثنائي الإزوبروبيل بنزين. ويُحضر البيفينول بالدَيْمَرة المؤكسدة لمركّب 6.2-ثنائي ترت-بوتيل فينول يلي ذلك إزالة للبوتيل 18. يُحضر 4.4'-ثنائي هيدروكسي ثنائي فينيل سلفون بتفاعل الفينول مع حمض الكبريت. ويجري الحصول على الفينول فتالئين من أنهيدريد الفتاليك والفينول بوجود راتنجات تبادل كاتيونات حمضية ومركبات الأريل فوسفيت.

1.2.1.8 ، 9،9-بیس - (4- هیدروکسی فینیل)-فلورین

يُصطنع 9،9-بيس - (4-هيدروكسي فينيل)-فلورين تجاريّاً بتفاعل الفينول مع 9-فلورينون، بأسلوب اصطناع البيسڤينول A نفسه 19. ويستعمل كلوريد الهيدروجين أو حمض 3-ميركابتوبروبيونيك أو حمض ميثان سلفونيك بصفته مُحفّزاً. يجري تفاعل تكاثف الفلورينون والفينول بوجود كلوريد الهيدروجين الغازي بسرعة كافية حتى عند 20 30°. ويمكن الحصول على مونومير عالي النقاء باتباع سيرورة تنقية في مرحلتين 21. في المرحلة الأولى يُقَطّر 9،9-بيس - (4-هيدروكسي فينيل)-فلورين الخام تقطيراً مرتداً في الأسيتونتريل وتُعاد بلورته. وفي المرحلة الثانية، تجري بلورة المُنتج من مزيج تولوين اليزو بروبانول.

2.2.1.8. مركبات السبيروديلاكتام

 عندما تُستعمل مركبات 6،1-ديازا [4.4]سبيروديلاكتام ذات زمر أوكسي آريل بصفتها مركبات ثنائي الهيدروكسي، تتكوّن بوليميرات ذات درجات انتقال زجاجي مرتفعة. فمثلاً يُبدي بوليمير مصنوع من 6،1-ثنائي (3-هيدروكسي فينيل)-6،1-دياز اسبيرو [4.4]نونان -7،2-ديون و 6،2-ثنائي كلوروبنزونتريل درجة انتقال زجاجي قدر ها 254°C.

عموماً تتمتّع البوليميرات التي تحتوي على بنية سبيروديلاكتام في سلسلتها الرئيسيّة باستقرار حراري جيّد، ودرجات حرارة انتقال زجاجي مرتفعة نسبيّاً. إضافة إلى PEN، فلقد جرى اصطناع وتوصيف عدد من بوليميرات بولي (إيش) الأخرى 23. تتحلّ هذه البوليميرات في العديد من المذيبات العضويّة، وتكوّن أغشية مرنة وصافية.

HO
$$\longrightarrow$$
 NH₂ $\stackrel{COOH}{\longrightarrow}$ HO \longrightarrow NH₂ $\stackrel{O}{\longrightarrow}$ HO \longrightarrow OH

الشكل (4-8): اصطناع 6.1-ثنائي (4-8هيدروكسي فينيل) - 6.1-دياز اسبيرو الشكل (4-8): اصطناع 6.1-دياز اسبيرو 22

2.8. البلمرة والتصنيع

كما هي حال بوليميرات پولي (إيثر كيتون) (PEK)، يجري تحضير بوليميرات PEN إمّا وفق الطريق النيوكليوفيلي أو وفق الطريق الإلكتروفيلي.

1.2.8. الطريق الإلكتروفيلي

لقد جرى تحضير بوليميرات PEK مغطّاة النهايات بوظائف نتريل باستعمال بلمرة فريدل - كر افتس 24 . فمثلا تجري مُفاعلة 24 - هكز افينيل إيثر مع كلوريد 24 - سيانوبنزويل بوجود 26 المصفته مُحفّزاً في 26 - ثنائي كلورو إيثان الجاف ليتكوّن أوليغومير ذو نهاية مغطّاة بالنتريل 25 . وفي در اسة أخرى، جرى استعمال كلوريد 26 - سيانو إيز وفتالويل بصفته مونوميراً مشاركاً محتوياً على النتريل في بلمرة فريدل - كر افتس 26 .

في بلمرة فريدل-كرافتس، لا يحتاج مركب النتريل أن يحمل بالضرورة وظيفة كلورية، إذا كان هناك مركب عطري كلوري آخر. ولقد جرت بالفعل بلمرة فريدل-كرافتس باستعمال 6.2-ثنائي فينوكسي بنزونتريل بصفته مركب نتريل مع المونوميرات المشتركة المبينة في الشكل (8-5) 27.

يمكن تشبيك الراتنجات بالتسخين مع محفّرات فريدل-كرافتس. من المفترض أنّ زمر النتريل تكوّن مركبات تريازين بالتسخين. التشبيك ممكن حتّى بدون محفّرات فريدل-كرافتس، ولكن يتقدّم التفاعل عندئذ ببطء. المقصود من هذه المواد استعمالها في راتنجات الترقيق 25.

2.2.8. الطريق النيوكليوفيلي

يبدو أنّ الطريق النيوكليوفيلي هو الطريق المفضل في السيرورات الصناعيّة. تُحضر البوليميرات من ثنائي كلوروبنزونتريل، وديولات عطريّة مثل الريزورسينول، أو HQ، أو البيفينول. يتقدّم التفاعل في مذيبات قطبيّة باستعمال أساس بصفته محفّزاً 3.

فمثلاً لقد جرى تكثيف 6.2-ثنائي كلوروبنزونتريل مع مزيج من 7.2-ثنائي هيدروكسي نفتالين والهيدروكينون، مع فائض ستوكيومتري طفيف لمركب الهيدروكسي، عند درجات حرارة °190-190 في جو خامل. يُستعمل كربونات البوتاسيوم بصفته مُحفّزاً، ويُستعمل مزيج من السلفولان والتولوين بصفته مذيباً 4.

يمكن بلوغ درجات حرارة تكاثف أعلى باستعمال المذيب 3،1-ثنائي ميثيل إيميدازوليدينون 8. ونحصل في الوقت نفسه على أوزان جزيئيّة أعلى، لذلك يُعتبر المذيب

3،1-ثنائي ميثيل إيميدازوليدينون مفضلاً. تؤدّي مركّبات النتريل الوحيدة التكافؤ، مثل 2-فلوروبنزونتريل، دور عامل تنظيم الوزن الجزيئي 8.

 27 الشكل (8-5): مونوميرات لبلمرة فريدل-كرافتس

1.2.2.8. الأوليغوميرات الحلقية

في سيرورات القولبة، بدلاً من صهر البوليميرات النهائية، يمكن تكوينها أثناء القولبة في سيرورة تفاعلية. ولكن عندما تكون السيرورة التفاعليّة تفاعل تكاثف، تتكوّن أثناء حدوثها نواتج جانبيّة ذات أوزان جزيئيّة منخفضة. إلا أنّ استعمال أوليغوميرات حلقيّة

طليعيّة، تفتح الحلقة عند التسخين بوجود مُحفّز في القالب، يمنع تكوّن النواتج الجانبيّة. وهكذا لا تعود هناك نواتج أخرى يجب إزالتها. تُبدي أوليغوميرات بولي (آريل إيشر) لزوجات صهارة منخفضة.

لقد جرى وصف طريقة عامّة لتحضير أوليغوميرات حلقيّة ²⁸. ولقد و صفت عدّة أنواع من أوليغوميرات پولي (آريل إيش) الحلقيّة، بما في ذلك تحضير أوليغومير الوليغومير المذيب من يُحبّذ تكوّن الحلقات هو إجراء تفاعل البلمرة في وسط مُمدَّد خامل. لمزيج المذيب من المعبّد -2-بيروليدين (NMP) والتولوين مع كربونات البوتاسيوم مُحفّزاً، الذي يُعاد ضخّه، تضاف باستمرار محاليل منفصلة من مونوميرات الريزورسينول و 6،2-ثنائي فلوروبنزونتريل في NMP، بواسطة مضخّات حقن ²⁸. وهكذا فإنّ المكونات هي نفسها التي تُستعمل في تحضير الأنواع ذات الوزن الجزيئي المرتفع، إلاّ أنّ طريقة التحضير مختلفة.

2.2.2.8. البوليميرات المتشعبة

يجري تحضير بوليميرات پولي (آريلين إيثر) متشعبة، ذات وزن جزيئي مرتفع، ومتلدّنة حراريّاً، وحاوية زمر نتريل باستعمال خماسي كلوروبنزونتريل، أو رباعي كلوروفتالو ثنائي نتريل⁵. يجري الحصول على كلوروفتالو ثنائي نتريل، أو رباعي عطري ثنائي الهيدروكسي، مثل بيس فينول A. يؤدي البوليميرات بالتكاثف مع مركّب عطري ثنائي الهيدروكسي، مثل بيس فينول A. يؤدي مركّب بيس-(4-كلورو فينيل)-سلفون بصفته مركّب كلوريّ ثنائي الوظيفة دور ممدّد للسلسلة (Chain extender)، إذ ينقل وظيفة سلفون إلى البوليمير. تقود هذه المركّبات إلى بوليميرات تكون قساوة سطحها جيّدة جداً، وكذلك هي انحلاليّتها في المذيبات العضويّة، مثل كلور الميثيلين، والأسيتون، والكلوروبنزين.

3.2.2.8. البوليميرات المشتركة من إيثر الآريل كربونات سيانو آريلين

يمكن تحضير البوليميرات المشتركة من إيثر الآريلين كربونات سيانو آريلين من تفاعل محلول من أوليغومير إيثر السيانو آريلين المغطّى بالبيس فينوليك مع الفوسجين بوجود أساس. يُجرى التفاعل مع الفوسجين في جو خامل. وتُجرى البلمرة بدرجة حرارة أخفض من درجة حرارة المحيط حتى يتقدّم التفاعل بمعدّل قابل للضبط 30,29. هذه المواد مفيدة كأغشية فصل للغازات.

3.8. الخواص

تُبدي عائلة بوليميرات PEN مُقاومة جيّدة للأشعة، وقابليّة احتراق منخفضة، وإصداراً مُنخفضاً للغازات السامّة. وتُضفي عليها زمرة السيانو، بسبب قطبيّتها، خواص التصاق جيدة على الألياف الزجاجيّة. لذلك فإنّ هذه البوليميرات مُناسبة لتكون حاضنة بوليميريّة لمواد مركّبة.

1.3.8. الخواص الميكانيكية

يبيّن الجدول (8-2) الخواص الميكانيكيّة لبعض بوليميرات PEN. تمتع بوليميرات PEN بمواصفات ميكانيكيّة وحراريّة ممتازة. إلاّ أنّ معدلات تبلّرها بطيئة. تؤدّي هذه الخاصيّة إلى إطالة دورة القولبة أثناء عمليّة التصنيع⁸. وبالمُقابل، لا تُعاني بعض الأنواع المُهلجنة هذا العيب.

الجدول (8-2): الخواص الميكانيكيّة لبعض بوليميرات پولي(آريلين إيثر نتريل)

الاستطالة عند الكسر	معامل الشد	مقاومة الكسر	مقاومة الخضوع	العينة
[%]	$[\mathrm{kpcm}^{-2}]$	$[\mathrm{kpcm}^{-2}]$	$[\text{kp cm}^{-2}]$	
60	32 000	1 320	1 400	^{8a} 1:1=(R):(DCBN)
50	31 000	1 300	1 350	8b1:1 = (R):(DCBN)
50	32 000	1 320	1 450	$8a_{1:1} = (R):(DFBN)$
20	30 000	900	950	$^{a}(PPh) + ^{8}1:1 = (R):(DCBN)$
7	28 500	1 030	-	$^{10}1:1 = (S):(DCBN)$

⁽DCBN) 6.2 (DCBN)

⁽DFBN) 6.2 (DFBN)

p (PPh) فينيل فينول بصفته موقف سلسلة.

⁽R) ريزورسين.

⁽S) -6.1 ثنائي (4- هيدروكسي فينيل)-6.1-دياز اسبيرو [4.4]نونان -7.2-ديون.

 $^{^{}m a}$ محضّر في مذيب MNP.

b محضر في مذيب 3،1-ثنائي ميثيل إيميداز وليدينون

2.3.8. الخواص الحرارية

يبيّن الجدول (8-3) الخواص الحراريّة لبعض بوليميرات PEN.

 8 (الخدول (3-8): الخواص الحراريّة لبعض بوليميرات پولي البيّر نتريل الجدول (قريلين البيّر نتريل)

العينة	اللزوجة المختز لة	درجة الانتقال الزجاجي	نقطة الانصهار	درجة التحلل
	$[\mathrm{dl}\mathrm{g}^{-1}]$	[°C]	[°C]	[°C]
$a_{1:1} = (R):(DCBN)$	0.91	148	340	484
$^{b}1:1 = (R):(DCBN)$	0.86	146	345	481
$a_{1:1} = (R):(DFBN)$	1.01	148	345	486
a(PPh) + 1:1 = (R):(DCBN)	0.45	144	343	475
$^{10}1:1 = (S):(DCBN)$	-	267	-	-

(DCBN) 6.2 (DCBN)

(DFBN) 6.2 (DFBN)

p (PPh) فينيل فينول بصفته موقف سلسلة

(R) ریزورسین

6\ldots - 6\ldo

a محضر فی مذیب MNP

3.3.8. الانحلالية

يقبل PEN الانحلال مثلاً في p-كلوروفينول. قابليّة الانحلال في بعض المذيبات مهمّة في تطبيقات الصبّ. يُبدي PEN التقليدي نقصاً في قابليّة الانحلال. يمكن تصميم أصناف ذات انحلاليّة مُحسّنة مع المُحافظة على الخواص المرغوبة الأخرى، مثل مُقاومة الحرارة، ومقاومة التحلّل المائي والعوامل الجويّة، عن طريق الاستعاضة عن ذرات الهيدروجين في المونوميرات بذرات الفلور 7. فمثلاً، تقبل أصناف مكوّنة من 2٠2-بيس-(4-هيدروكسي فينيل)- 1،1،1،3،3،3-سداسي فلوروبروبان و 4-فينوكسي-6،5،3،2-رباعي فلوروبنزونتريل الانحلال في كلِّ من ثنائي ميثيل أسيتاميد و NMP والكلوروفورم والتولوين عند درجة حرارة الغرفة.

b محضر في مذيب 3،1-ثنائي ميثيل إيميداز وليدينون

4.8. تطبیقات

لقد وجدت التركيبات الراتنجيّة المتلاّنة حراريّاً المحتوية على PEN استعمالاً واسعاً بسبب مقاومتها الحراريّة، ومقاومتها الميكانيكيّة الممتازتين. فعلى سبيل المثال، يمكن استعمال هذه المواد في الأدوات الكهربائيّة والإلكترونيّة وفي القطع الميكانيكيّة بصفتها منتجات مُرقَقة ومُقوّاة 8. تشمل مجالات التطبيقات صناعة الطيران، والطلاءات الكهربائيّة 31، وقطع السيّارات.

1.4.8. الراتنجات المقوّاة

يمكن الحصول على تركيبات راتنجيّة مُقوّاة بمزج بوليمير PEN مع مادّة ليفيّة مقويّة، ثُمّ عجن المزيج. تتراوح نسبة الألياف بين 5 في المئة و60 في المئة. أمّا إذا تجاوزت كميّة الألياف نسبة 60 في المئة فعندها لن يتوزّع PEN بالشكل المرغب في فراغات المادّة المقويّة. يُفضّل أن تكون درجة حرارة العجن في المجال 340° 340° ويتراوح زمن العجن بين دقيقة وثلاث دقائق 8.

2.4.8. مواد المرشكات

تُستعمل المُرشّحات من ألياف بولي (سلفيد الفينيلين) (PPS) أو ألياف راتنجات فلورية استعمالاً واسعاً بصفتها مُرشّحات للغبار في محارق القمامة في المدن، أو في حرّاقات الفحم الحجري. تعمل هذه المنشآت في درجات حرارة داخليّة مرتفعة، وهي آخذة بالازدياد بهدف الإقلال من كميّة الديوكسين الذي يمكن أن يتولّد فيها. ولكن للأسف، كلّما ارتفعت درجة الحرارة الداخليّة للمحارق صعَعر قياس جسيمات الغبار الناتجة من الاحتراق. لذلك ينبغي تعديل المُرشّحات لزيادة قدرتها على حجز الغبار لتعمل بدون مشاكل في درجات حرارة مرتفعة.

تقع نقطة انصهار بوليميرات PES في المجال 20° C وأعلى درجة حرارة يمكن عندها استعماله استعمالاً مستمراً هي 200° C. لذلك فإنّ هذا النوع من المُرشّحات البوليميريّة محدود الاستعمال في تطبيقات درجات الحرارة المرتفعة. ولكن تبيّنَ أنّ ألياف PPS المعدّلة ببوليمير PEN تمثّل مواد مُرشّحات تتمتّع بمزايا زمن الاستعمال الطويل الأمد، ومقاومة درجات الحرارة المرتفعة، وسهولة إزالة الغبار 32 .

3.4.8. المغانط المحتجزة بالراتنج

تقليدياً، جرى تحضير المغانط الدائمة المحتجزة بالراتنج أساساً باستعمال طريقة القولبة بالضغط أو طريقة القولبة بالحقن. وفي طريقة القولبة بالضغط جرى استعمال راتنجات الإبوكسي.

أمّا الراتنجات الرابطة في حالة القولبة بالحقن فهي بوليميرات پولي(أميد) والبوليميرات المشتركة من الإيثيلين ڤينيل أسيتات، وحديثاً پولي(إيثر إيثر كيتون) (PEEK) و PPS، وذلك بسبب خواصها الأكثر تميّزاً. تحتاج الراتنجات المتبلّرة مثل PPS أو PEEK إلى درجات حرارة مرتفعة حوالي 350°C أو أكثر لقولبة الاندماج، لذلك نواجه عقبة تتمثل في إمكان تأكسد مسحوق المعدن الترابي الممغنط أثناء عمليّة القولبة.

في حالة بوليميرات قابلة للانحلال، من الممكن تشتيت المادّة المغناطيسيّة في المحلول البوليميري، ثُم يجري ترسيب التشتّت باستعمال لا مذيب. أو يمكن تبخير المذيب في الخلاء. يمكن لإجرائيّة التصنيع هذه أن تجري في درجات حرارة منخفضة. إنّ أصناف PEN مُناسبة جدّاً بصفتها بوليميرات قابلة للانحلال لتحضير مغانط محتجزة بالراتتج، ذات خواص جيّدة 33 . ويُعدّ NMP مُذيباً مناسباً يُطبّق عند درجة حرارة حوالي 30 C.

لقد وُجد أنّه عند استعمال PPS بصفته حاضنة راتنجيّة لكوبالت السماريوم، وهي مادّة مغناطيسيّة متحملة لدرجات الحرارة العالية، تُحفّز هذه المادة التحلّل في الحالة المنصهرة. ولمنع التحلّل فقد نُصح بطلاء المادّة المغناطيسيّة بطلاء سيليكات البوتاسيوم/كاؤولين. بهذه الطريقة يجري فصل المادّة العضويّة عن المادّة المغناطيسيّة، فيمنع ذلك التحلّل أثناء التصنيع 34.

4.4.8. أغشية تبادل البروتونات

يؤدّي إدخال زمر النتريل في اللدائن الحراريّة المسلفنة الموصلة للبروتونات إلى انقاص امتصاصها للرطوبة 9. وتُعزّز زمر النتريل التصاق البوليميرات إلى متعدّدات الأحماض المغايرة (HPA) في أغشية المواد المركّبة، أو المساري. وهي إضافة إلى ذلك

تحسن الاستقرار البُعدي. لذلك نرى أنّه يجب أن يكون ممكناً تحقيق أغشية PEN ذات سعة شارديّة مرتفعة وتعمل في درجات رطوبة أخفض 35.

يمكن تحضير بوليميرات مشتركة من بولي(آريلين إيثر) مؤسّسة على أساس (سداسي فلورو إيزو بروبيليدين) ثنائي فينول، ذات وظائف نتريل وزمر حمض سلفونيك متدلّية من البلمرة المشتركة لــ 4.4-(سداسي فلورو إيزو بروبيليدين) ثنائي فينول، و 6.2-ثنائي كلورو بنزو نتريل، و 6.3-ثنائي سلفونات 4.4-ثنائي كلورو ثنائي فينيل سلفون 9. إنّ (سداسي فلورو إيزو بروبيليدين) ثنائي فينول هو مركّب بيسڤينول 4 مُقَلُّورَ.

يمكن تحضير أغشية مواد مركّبة من متعدّدات الأحماض المغايرة HPA وبوليمير يولي (آريلين إيثر نتريل كيتون) المسلفن (SPAENK) بطريقة صب المحلول من الشكل الحمضي لـ SPAENK مع محتويات مختلفة من حمض الفوسفوتونغستيك الحمضي أ 36 H $_3$ PW $_{12}$ O $_{40}$ المسح الإلكتروني إلى أنّ جسيمات HPA منتثرة انتثاراً جيّداً داخل الحاضنة البوليميريّة.

في البوليميرات المشتركة المكوّنة من 6.2-ثنائي فلوروبنزونتريل مع ملح 8.2-ثنائي هيدروكسي نفتالين -6-سلفونات الصوديوم و 4.4/-بيفينول بصفتهما مركبّات هيدروكسي، يمكن تنويع محتوى زمرة حمض السلفونيك بتغيير نسبة مونوميرات الهيدروكسي 37.

في البوليمير تكون زمرة حمض السلفونيك في الموقع مينا بالنسبة إلى رابطة الإيثر. لذلك، يُعتقد أنّها زمر حمض السلفونيك تفقد نشاطها، وهذا ما يعطي الأغشية موصلية بروتونيّة عالية بسبب ازدياد حمضيّتها. إضافة إلى ذلك، يُعتقد أنّ الموقع مينا يُساهم في الاستقرار الهيدروليتي. تزداد درجة الانتقال الزجاجي للبوليمير المشترك مع ازدياد المحتوى من زمر حمض السلفونيك، وهي تتحوّل من $^{\circ}$ 233 إلى $^{\circ}$ 336 في حالة شكل ملح الصوديوم، ومن $^{\circ}$ 230 إلى $^{\circ}$ 260 في حالة الشكل الحمضي. ولقد جرى أيضاً استعمال الهيدروكينون المُسلفن بصفته مونوميراً مُسلفناً بدلاً من $^{\circ}$ 86-ثنائي هيدروكسي نقتالين $^{\circ}$ 6- سلفونات $^{\circ}$ 8.

تُبدي البوليميرات المشتركة من پولي (فتالازينون إيثر كيتون نتريل) المسلفن (SPPENK) المحضّرة بالبلمرة المشتركة لثنائي صوديوم 3،3′-ثنائي سلفونات -4،4′-ثنائي فلوروبنزوفينون، و 6،2′-ثنائي فلوروبنزونتريا، و 4-(4-هيدروكسي فينيل)-1(2H)-فتالازينون، مقاومة للشدّ تفوق 117 $^{\circ}$ Nafion. أما الموصليّة البروتونيّة للشكل الحمضي من البوليميرات المشتركة SPPEKN، مع نسبة تغذية بالمونومير المسلفن الى غير المسلفن أعلى من 0.35، فهي حوالي $^{\circ}$ Scm عند $^{\circ}$ 80° وهي من ثمّ قريبة من تلك الموافقة لـ $^{\circ}$ Nafion $^{\circ}$ Nafion $^{\circ}$.

5.8. الموردون والعلامات التجارية

يبيّن الجدول (8-4) الأسماء التجاريّة الواردة في المراجع.

الجدول (8-4): الأسماء التجارية الواردة في المراجع

المورّد	الاسم التجاري
	الوصف
Dow	DER ® 332
	راتنج إيبوكسي على أساس بيسفينول A ثنائي غليسيديل
	ایثر ²⁹
Mitsubishi Chemical Industries Ltd.	Diaion ® (Series)
	راتنج تبادل شاردي من نمط حمض السلفونيك المعدّل
	بــــ 2-مير كابتو إيثيل أمين ¹⁹
Dow	Dowex ® (Series)
	مُبادلات آنيون كاتيون ¹⁹
DuPont Japan	Lynite ®
	يولى (ترفتالات الإيثيلين) ¹²
Idemitsu	PENTM
	پولی (آریلین اپٹر نتریل) ²
Solvay	Radel ® A
	يولى (إيثر سلفون) ²⁸
Philips Petroleum Company	Ryton ® (Series)
	یولی (فینیلین سلفید) ⁸
Toray Industries, Inc.	Toreca TM
	ألياف كربون ⁸
Solvay	Udel® Polysulfone
•	پولي (بيس فينول A سلفون) ^{28,2}

الجدول (8-4): الأسماء التجارية الواردة في المراجع

المورد	الاسم التجاري
	الوصف
General Electric	Ultem® (Series)
	پولي (ايميد)، متلدّن حراري ²⁸
General Electric	Ultem® 6050
	پولي (اپثر اپميدسلفون) ²⁸
BASF AG	Ultrapek®
	ﭘﻮﻟﻲ (ﺁﺭﻳﻠﻴﻦ ﺍﭘﺸﺮ ﮐﻴﺘﻮﻥ) ²⁸
Victrex PLC	Victrex® 381G
	پولي (اپشر اپشر کیتون)، طلاء کبلات ²
Victrex PLC	Victrex® PEEK (Series)
	پولي (اپيٹر اپيٹر کيتون) ^{28,8}
Victrex PLC	Victrex® PES (Series)
	پولي (آريل اپيٹرسلفون) ²⁸

6.8. الأمان

يعمل 6.2-ثنائي كلورو بنزو نتريل مبيداً للأعشاب الضارة. ويُسمّى أيضاً ديكلوبينيل (dichlobenil). يمتصله الجلد الجاف، وهو سام للمتعضيات المائية. علاوة على ذلك، فهو يتحلّل عند التسخين أو الاحتراق مُطلقاً غازات سامة بما فيها كلوريد الهيدروجين، وسيانيد الهيدروجين، وأكاسيد الأزوت، والفوسجين. يجري الحصول على 6.2-ثنائي كلوروبنزونتريل من تفاعل كلورثياميد مع أسس.

أمّا فيما يتعلّق بمركبات الهيدروكسي المذكورة، فالأنظمة النموذجيّة في حالة مركبات الفينول صالحة. لا يوجد في الأدبيات الكثير من دراسات السميّة الخاصيّة.

- R. Heath, Darrel and J. G. Wirth. Process for making cyanoaryloxy polymers and products derived therefrom. US Patent 3 730 946, assigned to General Electric Company (Schenectady, NY), 1 May 1973.
- 2. V. L. Rao, A. Saxena, and K. N. Ninan. "Poly(arylene ether nitriles)." *Journal of Macromolecular Science*: C42, 2002, pp. 513–540.
- 3. T. Takahashi, H. Kato, S. P. Ma, T. Sasaki, and K. Sakurai. "Morphology of a wholly aromatic thermoplastic, poly(ether nitrile)." *Polymer*: vol. 36, no. 20, 1995, pp. 3803–3808.
- S. Matsuo, T. Murakami, and R. Takasawa. Preparation of cyanoaryl ether copolymer. US Patent 4 703 104, assigned to Idemitsu Kosan Company Limited (Tokyo, JP), 27 October 1987.
- 5. G. Blinne, H. Bender, and P. Neumann. Branched, high molecular weight, thermoplastic polyarylene ethers containing nitrile groups, and their preparation. US Patent 4 567 248, assigned to BASF Aktiengesellschaft (DE), 28 January 1986.
- 6. K. Kimura, Y. Tabuchi, A. Nishichi, Y. Yamashita, Y. Okumura, and Y. Sakaguchi. "Synthesis of novel fluorine-containing poly(aryl ether nitrile)s derived from 2,3,4,5,6-pentafluorobenzonitrile." *Polymer Journal* (Tokyo): vol. 33, 2001, pp. 290–296.
- 7. K. Kimura, Y. Yamashita, Y. Okumura, and S. Ito. Polycyanoaryl ether and method for production thereof. US Patent 6 506 872, assigned to Nippon Shokubai Co., Ltd. (Osaka, JP), 14 January 2003.
- 8. S. Matsuo, T. Murakami, T. Bando, and K. Nagatoshi. Reinforced resinous composition comprising polycyano arylene ether. US Patent 4 812 507, assigned to Idemitsu Kosan Company Limited (Tokyo, JP), 14 March 1989.
- 9. M. J. Sumner, W. L. Harrison, R. M. Weyers, Y. S. Kim, J. E. McGrath, J. S. Riffle, A. Brink, and M. H. Brink. "Novel proton conducting sulfonated poly(arylene ether) copolymers containing aromatic nitriles." *Journal of Membrane Science*: vol. 239, no. 2, August 2004, pp. 199–211.
- 10. P.-C. Wang. Novel polyaryl ethers. US Patent 4 968 769, assigned to Shell Oil Company (Houston, TX), 6 November 1990.
- 11. Y. Kiyomiya, Y. Yamaguchi, M. Ushigome, and H. Murata. Process for producing 2,6-dichlorobenzonitrile. US Patent 4 883 897, assigned to Nitto Chemical Industry Co., Ltd. (Tokyo, JP), 28 November 1989.

- 12. M. W. Zettler, R. E. Tobey, and R. B. Leng. Solventless process for making 2,6 difluorobenzonitrile. US Patent 5 502 235, assigned to DowElanco (Indianapolis, IN), 26 March 1996.
- 13. R. Nishiyama, K. Fujikawa, Y. Tsujii, S. Murai, and H. Jyonishi. Process for producing 2,6-difluorobenzonitrile. US Patent 4 406 841, assigned to Ishihara Sangyo Kaisha Ltd. (Osaka, JP), 27 September 1983.
- T. Yamada, S. Kimura, T. Hotsuta, and A. Mouri. Preparation of pentachlorobenzonitrile. JP Patent 60 239 452, assigned to Ishihara Sangyo Kaisha, 28 November 1985.
- 15. H. Zhou, H. Luo, and P. Lin. Benzonitrile chlorination for preparing pentachlorobenzonitrile catalyst and its application. CN Patent 1 213 585, assigned to Dalian Chemical Physics Inst (CN), 14 April 1999.
- O. Kaieda, K. Hirota, N. Tominaga, and T. Nakamura. Preparation of pentafluorobenzonitrile. JP Patent 60 184 057, assigned to Nippon Catalytic Chem Ind, 19 September 1985.
- 17. K. Hirota. Method for production of aromatic fluorine compound. US Patent 6 437 168, assigned to Nippon Shokubai Co., Ltd. (Osaka, JP), 20 August 2002.
- 18. M. Inaba, N. Mine, and M. Mizutani. Method for preparing 4,4'-biphenol. US Patent 5 324 868, assigned to Mitsubishi Petrochemical Company, Ltd. (Tokyo, JP), 28 June 1994.
- B. Carvill, K. Glasgow, and M. Roland. Process for the synthesis of bisphenol. US Patent 7 132 575, assigned to General Electric Company (Schenectady, NY), 7 November 2006.
- W. Orth, E. Pastorek, W. Weiss, and H. W. Kleffner. Preparation of 9,9-bis(4-hydroxyphenyl)-fluorene. US Patent 5 169 990, assigned to Rütgerswerke Aktiengesellschaft (DE), 8 December 1992.
- 21. S. Angiolini and M. Avidano. High purity 9,9-bis-(hydroxyphenyl)- fluorene and method for the preparation and purification thereof. US Patent 6 620 979, assigned to Ferrania, S.P.A. (Ferrania, IT), 16 September 2003.
- 22. P. C. Wang. Novel spirolactones. US Patent 4 939 251, assigned to Shell Oil Company (Houston, TX), 3 July 1990.
- 23. H. Zhou, E. Bucio, S. R. Venumbaka, J. W. Fitch, and P. Cassidy. "New spirodilactam polymers." *Polymer*: vol. 47, no. 20, September 2006, pp. 6927–6930.
- 24. J. Verborgt and C. S. Marvel. "Aromatic polyethers, polysulfones, and poly-ketones as laminating resins." *Journal of Polymer Science Polymer Chemistry Edition*: vol. 11, no. 1, 1973, pp. 261–273.

- 25. C. S. Marvel and J. Verborgt. Nitrile terminated aromatic polyethers. US Patent 3 970 681, assigned to University Patents, Inc. (Stamford, CT), 20 July 1976.
- 26. K. P. Sivaramakrishnan and C. S. Marvel. "Aromatic polyethers, polysulfones, and polyketones as laminating resins. II.." *Journal of Polymer Science Polymer Chemistry Edition*: vol. 12, no. 3, 1947, pp. 651–662.
- 27. A. Banihashemi and B. Akhlaghinia. "Synthesis and crosslinking of poly(ether-ketone)s, and poly(ether-ketone-sulphone)s with pendant nitrile groups (II)." *Iranian Polymer Journal*: vol. 11, 2002, pp. 365–371.
- 28. M. J. Mullins, E. P. Woo, K. E. Balon, D. J. Murray, and C.-C. C. Chen. Cyclic poly(aryl ether) oligomers. US Patent 5 264 538, assigned to The Dow Chemical Company (Midland, MI), 23 November 1993.
- 29. E. S. Sanders, Jr. and T. L. Parker. Novel aryl carbonate cyanoaryl ether gas separation membranes. US Patent 5 034 034, assigned to The Dow Chemical Company (Midland, MI), 23 July 1991.
- T. L. Parker and T. O. Jeanes. Arylene carbonate cyanoaryl ether copolymer. US
 Patent 5 124 430, assigned to The Dow Chemical Company (Midland, MI), 23 June
 1992.
- 31. L. M. Maresca, A. G. Farnham, T. H. Schwab, and U. A. Steiner. Crystalline polyarylnitrile ether polymer. US Patent 4 963 643, assigned to Amoco Corporation (Chicago, IL), 16 October 1990.
- 32. T. Tomura and T. Murakami. Filter material containing a polycyanoaryl ether. US Patent 6 074 449, assigned to Idemitsu Petrochemical Co., Ltd. (Tokyo, JP), 13 June 2000.
- 33. H. Kawato and T. Tomioka. Methods for preparing magnetic powder material and magnet, process for preparation of resin composition and process for producing a powder molded product. US Patent 5 350 558, assigned to Idemitsu Kosan Co., Ltd. (Tokyo, JP), 27 September 1994.
- 34. J. Carlberg and P. R. Nastas. Thermally stable, high temperature, samarium cobalt molding compound. US Patent 6 737 451, assigned to Arnold Engineering Co., Ltd. (Marengo, IL), 18 May 2004.
- 35. Y. Sakaguchi, K. Kitamura, S. Nagahara, and S. Takase. "Preparation of sulfonated poly(ether sulfone nitrile)s and characterization as proton-conducting membranes." *Polymer Preprints* (ACS): vol. 45, 2004, pp. 56–57.
- 36. H. Zhang, J. h. Pang, D. Wang, A. Li, X. Li, and Z. Jiang. "Sulfonated poly(arylene ether nitrile ketone) and its composite with phosphotungstic acid as materials for proton exchange membranes." *J. Membr. Sci.*, 264(1-2):56–64, November 2005.

- 37. Y. Gao, G. P. Robertson, M. D. Guiver, S. D. Mikhailenko, X. Li, and S. Kaliaguine. "Low-swelling proton-conducting copoly(aryl ether nitrile)s containing naphthalene structure with sulfonic acid groups meta to the ether linkage." *Polymer*, 47(3):808–816, January 2006.
- 38. Y. Gao, G. P. Robertson, M. D. Guiver, S. D. Mikhailenko, X. Li, and S. Kaliaguine. "Synthesis of copoly(aryl ether ether nitrile)s containing sulfonic acid groups for pem application." *Macromolecules*, 38:3237–3245, 2005.
- 39. Y. Gao, G. P. Robertson, M. D. Guiver, G. Wang, X. Jian, S. D. Mikhailenko, X. Li, and S. Kaliaguine. "Sulfonated copoly (phthalazinone ether ketone nitrile)s as proton exchange membrane materials." *Journal of Membrane Science*: vol. 278, nos. 1-2, July 2006, pp. 26–34.

بوليميرات التريازول

إنّ بوليميرات پولي (4،2،1-تريازول) (PT) هي بوليميرات متغايرة الحلقات، جرى اصطناعها بداية بتفاعل مركبّات بيس تيترازول وأحد مركبّات كلوريد بيس إيميدو إيل 1 . ومنذئذ جرى تطوير عدّة طرائق تفاعل لتحضير هذه البوليميرات 2 .

1.9. المونوميرات

يبيّن الشكل (9-1) مونوميرات تحتوي على وحدة تريازول. ولقد جرى استعراض طرائق الاصطناع للحصول على مركّبات $3\cdot2\cdot1$ -تريازول في الأدبيات $3\cdot2\cdot1$.

يلخّص الجدول (9-1) المونوميرات المناسبة. إنّ مركّب 4،2،1-تريازول مركّب صلب أبيض مائل إلى الأصفر الشاحب، ذو نقطة انصهار حوالي 120°C. وهو يُسمّى أيضاً بيروديازول، أو 4،2،1-H1 أو 8-تريازول، ولا يجوز الخلط بين هذا المركّب وأحد مركّبات السلفانيل أميد الذي يُسمّى تريازول. بعكس التريازول، يشير التريازين إلى حلقة سداسيّة العناصر ذات ثلاث ذرّات نيتروجين. يُستعمل 4،2،1-تريازول في اصطناع المواد الزراعيّة الكيميائيّة، والمواد الصيدلانيّة، والسوائل الهيدروليكيّة، والمنتجات الضوئيّة الكيميائيّة. إنّ كلاً من المركّبين 4،2،1-تريازول و 3،2،1-تريازول مُذيبٌ فعّال للكهرليتات الناقلة بروتونيّاً 5,4.

إنّ 5.3-ثنائي ميثيل -4.2.1-تريازول صلب لا لون له، ذو نقطة انصهار عند -4.2.1-تريازول مع الأسيتيلين -4.2.1-تريازول بتفاعل -4.2.1-تريازول مع الأسيتيلين تحت الضغط، وتحت شروط قلوية -4.2.1- يمكن لمركب بنزوتريازول أن يوجد في شكلين نزوحين (Tautomeric forms) كما هو موضّح في الشكل (-1).

الشكل (9-1): مونوميرات تحتوي على وحدات تريازول

الجدول (9-1): مونوميرات في حالة بوليميرات التريازول

و نو میر	الم
4،2،1- تريازول	
5،3- ثنائي ميثيل -4،2،1- تريازول	
3- أمينو -4،2،1- تريازول	
بنزوتريازول	
1-ڤينيل -4،2،1-تريازول	

يمكن تكوين مركبّات 3،2،1-تريازول المُستبدّلَة، عن طريق الإضافة الحلقية لمركب أزيد الصوديوم مع الأسيتيلين بوجود يوديد عضوي R-I الذي سيُكوّن فيما بعد الجذور المتجاورة 7.

علاوة على ذلك فقد جرى إثبات إمكان الإضافة الحلقية لأزيد، مدعوم ببوليمير پولي (إيثيلين غليكول)، نحو مركبات الأسيتيلين. ولقد جرى نشر دراسة شاملة حول سلوك هذه الأنواع من مركبات الأزيد نحو الأسيتيلين، والإيثيلين، وزمر السيانو⁸.

2.9. البلمرة والتصنيع

1.2.9. تفاعلات مركبات ثنائي النتريل مع مركبات ثنائي هيدرازيد

يمكن الحصول على بوليميرات پولي (4،2،1-تريازول) بتفاعل مركبات ثنائي النتريل مع مركبات ثنائي هيدرازيد، أو بتسخين أحماض سيانوكربوكسيليك 9. ولقد وبُجِدَ أنها مُقاومة لدرجات الحرارة العالية، وخصوصاً عندما تحتوي على مركبات عطرية في السلسلة الرئيسية.

2.2.9. الإزاحة النيوكليوفيلية العطرية

يمكن تحضير بوليميرات PT باستعمال تفاعل إزاحة نيوكليوفيليّة عطريّة لمونوميرات ثنائي (هيدروكسي فينيل)-4،2،1-تريازول مع مركّبات ثنائي هاليد عطريّة منشّطة أومركّبات ثنائي نترو عطريّة منشّطة. تُجرى التفاعلات في مذيب لابروتوني قطبي، مثل السلفولان أو ثنائي فينيل سلفون، باستعمال أسس معادن قلوية، مثل كربونات البوتاسيوم، في درجات حرارة مرتفعة وفي جو من الآزوت.

يجري اصطناع ثنائي (هيدروكسي فينيل)-4،2،1-تريديازول بتفاعل بيس-(4-هيدروكسي فينيل)-4،2،1-نريديازول بتفاعل بيس-(4-هيدروكسي فينيل)-4،2،1-هيدرازيد مع هيدروكلوريد الأنيلين عند حوالي 250°C في الصهارة، أو بتفاعل 3،1 أو 4،1- بيس-(4- هيدروكسي فينيل)- فينيلين ثنائي الهيدرازيد مع مولين اثنين من هيدروكلوريد الأنيلين في الصهارة. يبيّن الشكل (9-2) هذا الاصطناع. وتجري تنقية مونوميرات ثنائي (هيدروكسي فينيل)-4،2،1-تريازول بإعادة التبلّر. تؤدي طريقة الاصطناع هذه إلى بوليميرات PT عالية الوزن الجزيئي.

تُفضل هذه الطريقة اقتصادياً واصطناعياً على الطرائق الأخرى، وهي نتيح تغييراً سهلاً للبنية الكيميائية، بسبب توفّر نتوع واسع من مركبات ثنائي الهاليد العطرية المُنشَطة. نفيد هذه البوليميرات كراتنجات حاضنة مواد مركبة، في الطائرات والطبقات البينية العازلة كهربائياً في التجهيزات الإلكترونية 2.

 2 الشكل (2-9): اصطناع مونوميرات ثنائي (هيدروكسي فينيل) - 4 -1،2،4-تريازول

 9 (بیس -4،2،1): اصطناع پوئی (بیس -4،2،1)

3.2.9. بولیمیرات پولي (بیس -4،2،1-تریازول)

إنّ بولي (بيس - 4.2.1-تريازول) هو صفّ من البوليميرات فيه حلقتا تريازول متجاورتان مباشرة. يمكن الحصول على هذه البوليميرات بتفاعل حمض الأوكساليك

بيس - أميدر ازون مع ثنائي هاليد حمض عطري ثنائي الكربوكسيليك أو مع كلوريد الفومارويل متبوعاً بتحلُّق مع نزع الماء لبوليميرات بولي (أسيل أوكساميدر ازون). يبين الشكل (9-3) هذه السيرورة.

تتمتّع البوليميرات بمقاومة جيّدة جداً للحرارة، فدرجات حرارة التحلّل هي عموماً أعلى من 350°C. ولكنه من المستحيل تشكيل هذه البوليميرات نظراً إلى كونها غير قابلة للانحلال، وصعبة الانصهار.

ولكن يمكن تشكيل مواد من بوليميرات پولي (بيس - 4،2،1-تريازول) بحل بوليميرات من پولي (أسيل أوكساميدرازون) مثل پولي (ترفتالويل أوكساميدرازون) في محلول قلوي مائي ممدد. يجري بعد ذلك غزل المحلول أو صبّه في حمّام ترسيب 9 . يجري بعد ذلك غسل الخيوط أو الصفائح المكوّنة وتسخينها في غاز خامل حتّى 240° C.

4.2.9. بوليميرات پولي (1-ڤينيل-4،2،1-تريازول)

إنّ بوليميرات 1- فينيل - 4،2،1- تريازول غير سامّة، وتتمتّع بميل كبير للماء واستقرار عال بوليميرات المائي. وهذا ما يجعل تطبيقاتها في مجالات صناعة الأغذية والطب ممكنة 6. وتستعمل بوليميرات مشتركة مع 2- هيدروكسي إيثيل ميتاكريلات (HEMA) في التطبيقات البيولوجيّة والطبيّة. يمكن تحضيرها في الإيثانول و N،N- ثنائي ميثيل فورماميد (DMF) بوجود 2،2′- آزوبيس إيزوبوتيرونتريل (AIBN) بصفته بادئاً.

(1) الجدول (2-9): نسب تفاعليّة مونومير 1-ڤينيل -4،2،1-تريازول ما جدول مع مونوميرات مشتركة متنوّعة (2) في 10,6 DMF

r_2	r_1	المونومير (2)
2.40	0.09	- 2- هيدروكسي اپيثيل ميتاكريلات
1.48	0.62	ميثيل ميتاكريلات
1.77	0.23	3،3،2،2 رباعي فلوروبروبيل ميتاكريلات
2.42	0.25	5،5،4،4،3،3،2،2-ثماني فلوروبروبيل ميتاكريلات

يلخُص الجدول (9-2) نسب تفاعليّة مونوميرات مشتركة متنوّعة. في حالة جميع المونوميرات المشتركة، يسعى الميتاكريلات إلى تكوين كتل متكرّرة يفصل بينها وحدة واحدة من 1-فينيل -4-2،1-تريازول.

5.2.9. البوليميرات الشجرية التشعب من 4،2،1-تريازول

إن البوليميرات الشجريّة التشعّب (Dendrimers) مهمّة بصفتها حوامل قابلة للانحلال للتحفيز المتجانس، لأنّ حجمها الكبير يُتيح إعادة التدوير باستعمال تقنيات الفصل الغشائي.

تُعرَف كسارة التريازول المترافقة، مثل 3-(4-بيفينيل)-4-فينيل -5-(4-ترت-بوتيل فينيل)-4-20، تريازول (TAZ) بقدرتها الممتازة على نقل الإلكترونات وحجز الثقوب. لذلك يُستعمل هذا الصفّ في بناء تجهيزات عضويّة مُصدرة للضوء إمّا بصفتها أو باعتبارها متدليّة من بوليميرات. الميّزة الأساسيّة للبوليميرات الشجريّة التشعّب على مثيلاتها من البوليميرات ذات الحلقات المتغايرة هي في إمكان أمثلَة خواصها الفيزيائيّة والإلكترونيّة بوجه مستقل.

3.9. الخواص

1.3.9. الخواص الحرارية

يؤدي إدخال مركبات التريازول في أنواع مختلفة من البوليميرات إلى تحسين خواصتها الحراريّة. فيمكن تحضير بوليميرات الپولي(أميد) التي تتشكّل عند درجات حرارة أعلى من 340°C بدون انصهار، من تنوّع من مركبات الديازول والتريازول. يُبيّن

الجدول (9-3) هذه المواد. يؤدّي التحلّل الحراري في الهواء لبوليميرات بولي (تريازولوكينازولين) إلى فقدان في الوزن قدره 10 في المئة عند 540° C .

 12 (أميد) الجدول (9-3): مركّبات الديازول والتريازول اللازمة لتحضير بوليميرات البولي الميدا

المركّب

3،1- بيس [5'-[3"-(p- أمينوفينوكسي)- فينيل]- أوكساديازول -2- إيل]بنزين

4،4′-بيس -(p- أمينوفينوكسي)ثنائي فينيل -4،3،1-ثياديازول

3-(3-1) 1-4،2،1 مينوفينيل)-5-3-(3-1) 1-3،4، تريازول

3-(3- أمينو فينيل)-5-[3'-(4- أمينو فينيل سلفونيل)فينيل]-4،2،1- تريازول

2.3.9. الخواص الكهربائية

يمكن استعمال كسرة 4-(4-(هكسيل أوكسي)فينيل)-5،3-ثنائي فينيل)-4،2-1-4،2-1 تريازول، في مقاطع بوليميريّة ناقلة للإلكترونات 14,13 . وهي تُظهر تألّقاً كهربائيّاً في مشتقات پولي $^{-}$ وفينيلين ڤينيلين (PPV).

تؤدّي البوليميرات ذات زمر التريازول دور مُحسّن لكفاءة التألّق الكهرضوئي عند استعمالها في التجهيزات ذات الطبقتين مع PPV بصفته باعثاً ناقلاً للثقوب ¹⁵. يمكن اصطناع بوليميرات مشتركة على أساس PPV حاملة وحدة تريازول ساحبة للإلكترونات في سلسلتها الرئيسيّة بتفاعل فيتيغ (Wittig) بين ملح تريازول ثنائي الفوسفونيوم، والمونومير الثنائي الألدهيد الموافق ¹⁶.

إن TAZ، انظر الشكل (9-5)، هو مادّة ذات حراك إلكتروني منخفض. ويمكن استعماله كطبقة حاجزة للثقوب. فهي تضع حدوداً على حقن الإلكترونات وانتقالها في تجهيزات التألّق الكهربائي 18,17 . لقد وُجِد أنّ وحدة التريازول هي قاطع فعلي للترافق من النمط π ، ويمكنها أن تؤدي دور مُباعد جاسئ في تحديد لون الإصدار في البوليمير المشترك الناتج 19 .

$$\mathsf{CH_3} - \mathsf{C} + \mathsf{CH_3}$$

الشكل (9-5): 3-(4-بيفينيليل)-4-فينيل -5-(4-ترت -بوتيل فينيل)-4،2،1-تريازول

3.3.9. الخواص البصرية

1.3.3.9. الديودات البوليميريّة المُصدرة للضوء

يمكن تحضير بوليميرات مترافقة متألّقة كهربائيّاً بإدخال زمر حلقيّة متغايرة عالية الكهرسلبية مثل كسر 4،3،1-أوكساديازول و 4،3،1-ثياديازول و 4،2،1-تريازول و 2،4،2، تياديازول و على من يجري الحصول على هذه البوليميرات المتألقة كهربائيّاً ببلمرة مونومير عطري من بيس -(هالوميثيل) مُعدّل بزمرة حلقيّة غير متجانسة 21.

يُصطنع البوليمير المُصدر للضوء باختيار مناسب للمونوميرات ولنسبها أثناء البلمرة. يمكن استعمال الغشاء البوليميري أو البوليميري المشترك المُصدر للضوء كطبقة مُصدرة للضوء في ديود بوليميري مُصدر للضوء وحيد الطبقة.

2.3.3.9. الإنضاج الضوئي

تمتلك تقنيّة الإنضاج الضوئي محدوديّة كبرى لأنّ المواد الماصنة للأشعة فوق البنفسجيّة المدموجة مع الطلاء لحماية الركيزة ولجعل الطلاء مستقراً، تتنافس مع إشعاع الإنضاج، وتثبّط سيرورة الإنضاج الضوئي. يؤدي ذلك إلى زيادة حاجة منبع الإنضاج إلى الطاقة، وإلى معدّل إنضاج بطيء أو غير كاف. ولكن يمكن التغلّب على هذه العقبة بحماية الزمرة الماصنة للأشعّة فوق البنفسجيّة مؤقتاً، أثناء فترة البلمرة.

يمكن توفير اصطناع "في المكان" لمركب، مثل هيدروكسي فينيل تريازول، ماصً للأشعة فوق البنفسجية، وحامل لزمرة تحميه أثناء البلمرة المنشطة ضوئياً عند تواتر محدد. تتكون الزمرة الحامية بالاستعاضة عن الهيدروجين في زمرة الهيدروكسيل بزمرة أسيل. وبعد البلمرة تُزال الزمرة الحامية بنفاعل كيميائي ضوئي عند تواتر آخر أخفض من الأول. المخطط الأساسي لهذا التفاعل موضح في الشكل (9-6).

فمثلاً، جرى مزج 2-أسيتوكسي -5-فينيل فينيل -بنزوتريازول في بنسبة 0.1 في المئة إلى 1.0 في المئة مع إسترات الميتاكريلات مثل ميتاكريلات الميثيل ، أو ميتاكريلات المعتماص لكلا المتعادل الميتوكسي بقطاع الامتصاص لكلا مشتقّى 2-هيدروكسي عند 300 nm، ولكنها تفقد قطاع الامتصاص عند 340 nm.

كان المحفّر الضوئي مزيجاً من ثنائي فينيل كاربونيل وثلاثي إيثيل أمين. ويمكن أيضاً بنجاح استعمال محفّرات ضوئيّة أخرى مثل أملاح الأريل أونيوم (فلوروبورات بنزين اليودونيوم، وفلوروبورات بنزين الأرسونيوم). لقد جرى تشعيع المزيج المونوميري عند 366 nm بهدف تكوين البوليمير. ويمكن إعادة تكوين زمرة 2-هيدروكسي بالتشعيع عند 310 nm للوصول إلى زمرة ماصنة للأشعة فوق البنفسجيّة.

3.3.3.9. المواد الفوتوغرافية

تتجاوز الدارسة المفصلة لكيمياء ووظائف المقرنات الفوتوغرافية نطاق هذا النص. ولقد جرى استعراضها في الأدبيات ²³. تُستعمل مركبات التريازول بصفتها مقرنات فوتوغرافية ²⁴. يمكن ترسيب مركبات هالوجينيد الفضة بوجود بوليميرات تحتوي على التريازول ²⁵.

الشكل (9-6): تكوين ماصِّ للأشعة البنفسجيّة "في المكان" 22

$$H_3C$$
 H_3C
 H_3C
 $CH_2=CH-C-O-CH_2-CH_2$
 $CH_2=CH_2$
 $CH_2=CH_2$
 $CH_2=CH_2$
 $CH_2=CH_2$
 $CH_2=CH_2$

الشكل (7-9): مركبات أمينو (4،2،1)-تريازول لزيادة الحساسيّة الطيفيّة في مستحلبات هاليد الفضّة : ثنائي ميثيل -(5-ثيومورفولين -4- إيل -4.2.1]2H- تريازول -3- إيل)- أمين، و 5- أكريلويل أوكسي إيثوكسي كاربونيل ميثيل -7- هيدروكسي -4،2،1- تريازولو [1.5-a] ببريميدين

تفيد مركبات أمينو (4،2،1)-تريازول في إنتاج مواد فوتوغرافيّة ذات حساسيّة طيفيّة زائدة ²⁶. وهي ذات أمد تخزين جيّد الطول، وخصوصاً عند التخزين بشروط مناخيّة رطبة. يبيّن الشكل (9-7) أمثلة على مركبات أمينو (4،2،1)-تريازول.

لقد جرى استعمال مركبات 4،2،1-تريازولو [a-5,1]بيريميدين، مثل 4-هيدروكسي -6-ميثيل -7،2،3،3،1-رباعي أزا إيندين، استعمالاً واسعاً بصفتها مثبتات للمواد الفوتوغرافيّة الحساسة للضوء من نوع هاليد الفضيّة. وبسبب تفاعلات الانتثار فإنّه من الصعب صنع طبقة مستقرّة باستعمال مركبات منخفضة الوزن لجزيئي. لتجنّب هذه المشكلة جرى دمج 4،2،1-تريازولو [a-5,1]بيريميدين في البوليميرات. إذا جرى ربط المركب بالسلسلة البوليميريّة عبر زمرته المميّزة النشطة، كان المفعول صغيراً، لذلك يجب ربط المركب إلى البوليمير عن طريق زمر وظيفيّة أخرى غير الزمرة النشطة.

مثلاً يمكن الحصول على 5-أكريلويل أوكسي إيثوكسي كاربونيل ميثيل -7-هيدروكسي -4·2·1-بريازولو [a-1.5]بيريميدين، انظر الشكل (9-7)، من 7-هيدروكسي -5-كربوكسي ميثيل -4·2·1-بريازولو [a-1.5]بيريميدين بالأسترة مع أكريلات 2-هيدروكسي إيثيل. يتمتّع هذا المركّب بزمرة ڤينيل، لذلك تمكن بلمرته مع مونوميرات ڤينيليّة بلمرة مشتركة. ^{28,27} المونوميرات المشتركة المفضلة هي 2-أكريل أميدو -2-ميثيل بروبان سلفونات، و N-ڤينيل -2-بيروليدون، و 2-هيدروكسي إيثيل أكريلات، و 2-هيدروكسي إيثيل أكريلات، و 2-هيدروكسي إيثيل أكريلات، و الأكريل أميد، والميتاكريل أميد. ويمكن اصطناع بوليمير متجانس باستعمال بادئ جذري مثل 2·2′- آزوبيس -4·2-ثنائي ميثيل ڤاليرونتريل.

4.3.3.9. ماصّات الأشعة فوق البنفسجيّة

غالباً ما تكون البوليميرات التي تُستعمل في تطبيقات الهواء الطلق حسّاسة للضوء، وينبغي من ثُمّ حمايتها من الأشعّة فوق البنفسجيّة منعاً من تحلّل البوليمير في المُنتَج النهائي.

إنّ مركبات التريازول، مثل فينيل بنزوتريازول ونفتيل بنزوتريازول والمركبات المتعلّقة بها مثل البنزوفينون هي مركبات ماصنة للأشعّة فوق البنفسجيّة. وبوجه خاص تؤلّف المركبات المؤسّسة على هيدروكسي فينيل بنزوتريازول مجموعة معروفة جيّداً من

مُثبّتات تجاه الأشعّة فوق البنفسجيّة. ولكن غالباً ما يُفقد هذا النوع من المثبتات تجاه الأشعّة فوق البنفسجيّة من المنتج المدموجة فيه بالرشح أو التبخّر. وللتغلّب على هذه الصعوبات، بُذلت جهود موجّهة نحو الدمج الكيميائي للمُثبّت في السلسلة الرئيسيّة لبوليمير المادّة المرغوب بحمايتها 29.

إنّ ماصنات الأشعة فوق البنفسجية القابلة للبلمرة متوافقة توافقاً عالياً مع اللدائن التي يمكن دمجها فيها بسهولة. يمكن ربط المواد الماصنة كيميائياً بالمادة البوليميرية باتباع إمّا تقنيات البلمرة المشتركة أوتقنيات التطعيم أو أثناء تشغيل البوليمير. فتصبح بذلك المادة الماصنة للأشعة فوق البنفسجية جزءاً أساسياً من السلسلة البوليميرية.

لا ترشح ماصنات الأشعة فوق البنفسجية المربوطة إلى خارج الحاضنة البوليميرية بالنضح أو التطاير أثناء المعالجة بدرجات الحرارة المرتفعة. وعلاوة على هذا لا تخضع هذه المواد للاستخلاص بالمذيبات أو الهجرة الفيزيائي.

يمكن دمج ماصنات الأشعة فوق البنفسجية القابلة للبلمرة التي تحتوي على زمر هيدروكسي إيثوكسي في البوليمير بتفاعل بلمرة بالتكاثف.

يمكن تحضير المونوميرات بتفاعل 5-(2H-بنزوتريازول -2-إيل)-4،4،4'2.2 رباعي هيدروكسي بنزوفينون، ومشتقاته من الكلورو والميثوكسي مع بروميد أليل، وكلوريد أكريلويل وكلوريد ميتاكريلويل وغليسيديل أكريلات والإيثيلين كلوروهيدرين 30.

يجب استعمال نسب موليّة مُناسبة من المواد الداخلة في التفاعل لتتفاعل مع زمر الهيدروكسيل عند الموقع 4' وترك زمر الهيدروكسيل في المواقع 2،2' و 4 بدون مسّها.

ولقد أُثبت أنّ المونومير المبيّن في الشكل (9-8) وشبيهه الميتاكريلي يخضعان لتفاعل بلمرة متجانسة وتفاعل بلمرة مشتركة مع الستيرين والميثيل ميتاكريلات. ولكن في البلمرة المتجانسة للمونوميرات المحتوية على نفتيل -2H-بنزوتريازول لا نحصل إلا على أوزان جزيئيّة منخفضة وذلك بسبب ضخامة الزمرة 32,31.

إنّ المزج مع راتنج بوليستري غير مشبع ممكنّ. وعلاوة على ذلك يمكن أيضاً التطعيم على پولي (ستيرين) بالمزج الساخن عند 33,30 180°C. تمنح المركبات الموصوفة زيادة في كفاءة المُثبّت تجعلها تُقارَن بكفاءة مركبات البنزوتريازول والبنزوفيون المونوميريّة.

الشكل (8-9): مواد ماصّة للأشعّة فوق البنفسجيّة قابلة للبلمرة: $2 - (H^2 - \mu)$: مواد ماصّة للأشعّة فوق البنفسجيّة قابلة للبلمرة: $2 - (H^2 - \mu)$: مواد ماصّة للأشعّة فوق البنفسجيّة قابلة للبلمرة: $2 - (H^2 - \mu)$: مواد ماصّة للأشعّة فوق البنفسجيّة قابلة المحمد ماصّة المحمد ماصّة

لقد جرى توصيف البوليميرات المشتركة من الستيرين وميتاكريلات الميثيل المرتبطة بكسر المثبّتات تجاه الأشعّة فوق البنفسجيّة، باستعمال مطيافيّة الأشعّة فوق البنفسجيّة وكروماتوغرافيا استبعاد المقاس. إنّ استقرار روابط الهيدروجين داخل الجزيئة مهمٌّ لأداء المثبّتات تجاه الأشعّة فوق البنفسجيّة. نحصل على أعلى استقراريّة لروابط الهيدروجين داخل الجزيئة في البوليميرات ذات وحدات فينيل بنزوتريازول مرتبطة بسلسلتها الرئيسيّة. ولقد تبيّن أنّ وحدات المثبّتات تجاه الأشعّة فوق البنفسجيّة تتوزع توزعاً إحصائياً على طول السلسلة الرئيسيّة للبوليمير 34.

لقد جرى اصطناع عدد من المثبّتات تجاه الأشعّة فوق البنفسجيّة القابلة للبلمرة من نوع $2-(2-\omega_{1})$ فينيل $2+(2-\omega_{1})$ فينيل $2+(2-\omega_{1})$

ويُشك أنّ 4-أكريلات أو 4-ميتاكريلات من 2-(4،2-ثنائي هيدروكسي فينيل)-2H-بنزوتريازول، مع كونها يسيرة التحضير وشديدة النفاعليّة مع المونوميرات المشتركة، إلاّ أنّها غير مستقرّة من جهة التحلّل المائي، بسبب وجود زمرة الإستر العطريّة.

-4-2H[الشكل (9-9): 2-[2- هيدروكسي - 4- ألكوكسي - (2- أوكسي بروبيل ميتاكريلات) فينيل الشكل ميثوكسي بنزوتريازول (MBDHG)

لذلك جرت محاولات لتحضير مشتقات إستر أكريلات وميتاكريلات من 2-(2-هيدروكسي فينيل)- 2H-بنزوتريازول حيث تتصل وحدات 2-(2-هيدروكسي فينيل)- 2H-بنزوتريازول بزمر الأكريلات أو الميتاكريلات بروابط إستر أليفاتية. يجب أن تمتلك نواتج هذا التفاعل البوليميري استقراراً جيّداً من جهة التحلّل المائي.

بدلاً من كلوريد الأكريلويل أو كلوريد الميتاكريلويل، تُستعمل مركبات غليسيديل إستر لتحميل الوظائف للمركبات القابلة للبلمرة. يبيّن الشكل (9-9) أحد هذه المركبات وهو 2-[2-هيدروكسي -4-ألكوكسي -(2-أوكسي بروبيل ميتاكريلات) فينيل إط-4-ميثوكسي بنزوتريازول. يجري تحضير هذا المركب بتفاعل 4-(5-ميثوكسي -2H-بنزوتريازول -2-اليل) ريزورسينول مع ميتاكريلات غليسيديل. ويُستعمل بروميد رباعي بوتيل الأمونيوم بصفته مُحفّزاً، والهيدروكينون بصفته مثبّطاً للبلمرة.

ولقد جرى اصطناع مركبات 2-(2- هيدروكسي فينيل)-2H-بنزوتريازول قابلة للبلمرة مُستبدلٌ فيها، في الموقع 5، زمر هيدروكسيل وزمر كربوكسيل تفاعليّة، وذلك عن طريق التفاعل مع N-هيدروكسي ميثيل ميتاكريل أميد 35 .

يمكن بلمرة مركبات الأكريل أميدوميثيل -2-(2-هيدروكسي فينيل)-2H-بنزو تريازول التي نحصل عليها في المرحلة الأولى، بلمرة مشتركة مع مونوميرات أكريلية أو ميتاكريلية. ينتج من الاستبدال في الموقع 5 بأحماض طويلة السلسلة، أو هيدروكربونات طويلة السلسلة أو فلوروكربون أو كحولات السيليكون الأوليغوميرية، مركبات نشطة السطح، هي في الوقت نفسه مُثبتات تجاه الأشعة فوق البنفسجية.

تفيد العدسات التي تحجز الأشعة فوق البنفسجيّة بوجه خاص أولئك الذين جرى استئصال عدسات عيونهم الطبيعيّة، إذْ تتمتّع العدسات الطبيعيّة بالقدرة على امتصاص الأشعّة فوق البنفسجية لحماية داخل العين. وهكذا فإنّ العدسات الماصيّة للأشعّة فوق

البنفسجيّة التي تُزرع داخل العين IOL مرغوبة جدّاً لأنها تُزرع مكان العدسات الطبيعيّة للعين. تُفضّل مركّبات الهيدروجل أو الهلام المائي (Hydrogels) للاستعمال في العدسات، وخصوصاً تلك التي تُزرع داخل العين IOL، إلاّ أن الطبيعة المُحبّة للماء والبنية الموسّعة للمركبّات المنخفضة الوزن الجزيئي والمركبات الماصيّة للأشعّة فوق البنفسجيّة، تجعلان من الصعب دمجها في مركبات الهيدروجل.

يمكن استعمال المواد البوليميريّة الماصنّة للأشعّة فوق البنفسجيّة في العدسات اللاصقة، والعدسات الاصطناعيّة داخل العينيّة، وغيرها. تُصنع هذه من بوليميرات أكريليّة 36. أحد المواد الماصنّة للأشعّة فوق البنفسجيّة هو مشتق من البنزوتريازول، والآخر هو مشتق من البنزوفينون.

عموماً يجري تحضير العدسات بالبلمرة بالجذر الحر للمونوميرات المكونة للعدسة. يمكن تعديل المكونات لتشكيل عدسات تتمتّع بالمحتوى المائي المطلوب، وغير ذلك من الخواص الفيزيائية. وتُدمج عادة المواد الماصية للأشعّة فوق البنفسجيّة القابلة للبلمرة المشتركة، مثل HEMA، مباشرة في تركيبة العدسة.

قد لا يكون من الممكن دمج المواد الماصنة للأشعة فوق البنفسجية الوحيدة الوظيفة في السلسلة البوليميرية الرئيسية بنسبة 100 في المئة. ولذلك اقتُرِحَ استعمال مواد ماصنة للأشعة فوق البنفسجية متعددة الوظائف وقابلة للتشبيك 37.

4.9. إضافات خاصة

1.4.9. مثبطات التفكّك

البوليميرات الحاوية هالوجينات حسّاسة للتفكّك بإطلاق كلوريد الهيدروجين. ويتعزّز هذا المفعول أكثر بوجود مركّبات التوتياء، إذْ يتكوّن كلوريد التوتياء، الذي يعمل كحمض لويس (Lewis) ويُحفّز تفكّك البوليمير. يمكن منع التفكّك بإضافة مركّبات التريازول العطريّة إلى التركيبات البوليميريّة المُهلجنة. إنّ مركّبات التريازول فعّالة، على وجه الخصوص، في تثبيت البوليميرات المُهلجنة بوجود أوكسيد التوتياء. المثبّتات الفعالة هي بنزوتريازول، وتوليل تريازول.

5.9. تطبيقات

1.5.9. الإيزوسيانات المُحتَجَزة

إنّ كسرة الإيزوسيانات شديدة التفاعليّة نحو بوليميرات پولي (أُول). يُستعمل هذا التفاعل في تحضير بوليميرات پولي (يوريثان) (PU). بوجود محفّزات مثل مركبّات الأمين يجري التفاعل بسرعة في درجة حرارة الغرفة. إذن، تُحضّر بوليميرات اليوريثان عموماً من مُركبتين، الأولى تحتوي على مركبة الإيزوسيانات، والثانية تحتوي على مركبة البوليول. يجري مزج المركبات قبل الإنضاج.

ولكن هناك أيضاً تشكيلة وحيدة المُركبة يمكن إنضاجها بالتسخين. تتكون الطلاءات المسحوقية من PU بشكل أساسي من مركب بوليول ومركب بولي (إيزوسيانات)، تكون فيه زمر NCO محجوبة حجباً كاملاً أو جزئياً بواسطة عامل احتجاز (Blocking agent)، مما يمنع حدوث تفاعل البلمرة بالإضافة في درجات حرارة أخفض من 140°C.

إنّ 3-كابرو لاكتام عامل احتجاز شائع. بهذا الطريق تحتاج الإيزوسيانات المحتجزة درجات حرارة إنضاج بين 170° C وهناك عوامل احتجاز أخرى يمكن إنضاجها بدرجات حرارة أخفض، مثل مالونات ثنائي إيثيل أو 4.2-ثنائي ميثيل -3-بنتانون أوكسيم أو 6.2-ثنائي ميثيل -4-هيبتانون أوكسيم، إلاّ أنّ طلاءاتها تميل إلى الاصفر ار.

4.2،1-تريازول هو عامل احتجاز بديل ³⁹. ويمكن أيضاً تطبيق مزائج ثنائي ايزوبروبيل أمين و 4.2،1-تريازول للاحتجاز.

درجة حرارة التشبيك التصالبي للبوليمير الأليفاتي پولي(إيزوسيانات) على أساس 6.1-هكسان ثنائي إيزوسيانات، التي يجري احتجازها بكميّات متساوية موليّاً من ثنائي إيزوبروبيل أمين و 4.2.1-تريازول، هي 130° C، وذلك دون إضافة مُحفّز. أمّا البوليميرات الأليفاتيّة پولي (إيزوسيانات) التي يجري احتجازها بكميّات متساوية موليّاً من ثنائي إيزوبروبيل أمين و مالونات ثنائي إيثيل فدرجة حرارة تشبيكها تساوي 130° C.

تبقى الإيزوسيانات المحتجزة بالتريازول مستقرة حتّى 130°C-140. أما تفاعل الاحتجاز فيمكن أن يجري عند درجة حرارة أخفض من درجة فك الاحتجاز بحوالي

 39 $^{-25}$ استقراريّة التخزين مُحسّنة بوضوح مقارنةً بالتشكيلات التي تُحتجز حصراً بإسترات 40 .

تُعدُّ بوليميرات پولي (إيزوسيانات) المُحتجزة بواسطة 4،2،1-تريازول مُناسبة على وجه الخصوص، بصفتها عوامل تشبيك تصالبي لتركيبات الطلاءات المسحوقية. إلا أنها بشكل أساسي غير مناسبة للاستعمال في تركيبات الطلاء المحتوية على مذيب، لأنّ محاليلها في المذيبات العضوية تكون عالية اللزوجة نسبياً، وغالباً ما تكون غير مستقرّة بسبب سعي البولي (إيزوسيانات) المُحضرة من (إيزوسيانات) المُحضرة من المحضرة من المحسنات والمُحتجزة إلى التبلّر. إلا أنّ بوليميرات بولي (إيزوسيانات) المُحضرة من من 6،1-هكسان ثنائي إيزوسيانات والمُحتجزة بواسطة 5،3-ثنائي ميثيل -4،2،1-تريازول تكون مستقرّة في التخزين وتتمتّع بلزوجة منخفضة 41.

وفي حالة بوليميرات بولي (إيزوسيانات) الهجينة المُحتجزة، تستعمل عوامل احتجاز متعددة في آن معاً، مثل ε-كابرولاكتام وثنائي إيزوبروبيل أمين و 4،2،1-تريازول. يوفر هذا النوع من المركبات من اللكر المنضبج حرارياً طلاءات ذات قابليّة سحب عميق في درجة حرارة الغرفة، ومقاومة للشدّ اللاحق بعد تقادم الطلاءات. تُستعمل هذه المواد بالتفضيل لإنتاج طلاءات أساس لطلاء الوشائع 42.

2.5.9. تشبيك المطّاط

نحصل على معدّل تشبيك أعلى عندما يجري تشبيك حراري لمطاط بوتيل، أو لمونومير إيثيلين بروبيلين ديين (EPDM) من النمط إيثيليدين نوربورنين (ENB)، أو لمزيج بالنسب المرغوبة من مطاط بوتيل ومن EPDM من النمط ENB، باستعمال راتنج ألكيل فينول -فورمالدهيد ومركّب تريازول. كما نحصل على معدلات تشبيك تصالبي تفوق ذلك عندما يُستعمل أيضاً مركّب هيدرازيد.

يُبدي 3-(N-ساليسيلويل) أمينو -4،2،1-تريازول درجة تشبيك مرتفعة بشكل ملحوظ في راتنج ألكيل فينول -فورمالدهيد يشبك مطاط بوتيل أو EPDM من النمط ENB.

وتحت الشروط نفسها لا يُظهر 3-أمينو -4،2،1-تريازول، الذي يتمتّع ببنية كيميائية شديدة الشبه بــ3-(N-ساليسيلويل) أمينو -4،2،1-تريازول، أي قدرة على التشبيك التصالبي $\frac{43}{3}$.

3.5.9. الطلاءات

يُعتبر 5،3-ثنائي أمينو -4،2،1-تريازول أحد المكوّنات في طلاءات بولي إستر إيميد ذات القساوة الزائدة وهو يُستعمل في التصليد الحراري لورنيش عازل لطلاء الأسلاك الكهربائيّة 45,44. أما المكوّنات الحمضيّة فهي إسترات حمض ترِفِتاليك، وأنهيدريد حمض ثلاثي المليتيك.

4.5.9. اللواصق المتحمّلة لدرجات الحرارة العالية

يؤدي إقحام البيريدين أو التريازول إلى تحسين التصاق بوليميرات پولي (إيميد) والنحاس ⁴⁶. يحتوي پولي (3٬3٬4٬4٬4٬4٬4٬4٬3٬3) على كربوكسيليك ثنائي أنهيدريد -5٬3-ثنائي أمينو -4٬2٬۱-تريازول) (BTDA-DATA) على كسرة التريازول كوحدات متكرّرة. ويحتوي پولي (4٬4٬4 أوكسي ثنائي فتاليك أنهيدريد -3٬۱-أمينو فينوكسي بنزين -8-أر آدينين (4٬4٬4 أوكسي ثنائي فتاليك أنهيدريد -3٬۱ أمينو فينوكسي بنزين -8-أر آدينين (ODPA-APB-8-AA) على كسر التريازول في النهاية ⁴⁷. يبدأ أر آدينين (BTDA-DATA بالتفكّك عند 3٬50° في حين يبدأ معقدات النحاس.

لقد جرى مزج 4،4-أوكسي ثنائي الأنيلين مع 6،2-ثنائي أمينوبيريدين و 5،3-ثنائي أمينوبيريدين و 5،3-ثنائي أمينو -4،2،1-تريازول على نحو منفصل لتكوين مزيج من مركبات ثنائي الأمين. ثُمّ جرى اصطناع بوليميرات پولي(إيميد) (PI) بتفاعل مزيج ثنائيات الأمين مع ثنائي أنهيدريد بيروميليتيك. تتناسب التصافيّة النحاس الموضع بالترذيذ على أغشية PI مع المحتوى من الزمر الوظيفيّة 48.

إنّ التصاقية وصلات النحاس وراتنج الإبوكسي هي في الغالب ضعيفة. يعود سبب ذلك إلى أنّ أوكسيد النحاس الذي يتكوّن طبيعياً يمتلك مقاومة ميكانيكيّة منخفضة. ولتحسين التصاقيّة هذه الوصلات، يجري إنشاء أطر نحاسيّة رصاصيّة مع مركبات آزول بصفتها معزّزات التصاق. مركبات الآزول المستعملة هي بنزوتريازول (CBTA) وغيرها من الصفوف غير التريازوليّة 49.

أظهرت مركبات التريازول، مثل CBTA و 8-أز آدينين، التصاقيّة ممتازة، في حين لم تُحسّن مركبات الآزول على أساس الإيميدازول الالتصاقيّة. إلاّ أنّ التصاقيّة الوصلات المُعالجة بـ CBTA أو 8-أز آدينين قد انخفضت بازدياد زمن المعالجة، لأنّ معقّدات النحاس - آزول السميكة المساميّة تمثلك مقاومة ميكانيكيّة أضعف عند تشكّلها. ولقد أظهر مركّب الآزول البوليميري پوليبنزيميدازول أعلى درجات الالتصاقيّة، التي وصلت $785 \, \mathrm{N} \, \mathrm{m}^{-1}$.

5.5.9. مثبّطات التأكّل البوليميريّة

تمتلك كسرة التريازول عموماً خواص مضادة للتأكّل. ومثبّط التأكّل الأوسع استعمالاً، في حالة النحاس وخلائطه في وسط مائي، هو بنزوتريازول. ويُستعمل 5-أمينوتريازول مثبّطاً للتأكّل في تركيبات الزيوت المزلّقة المُضادّة للتأكّل أقل أنببًط تأكّل المعادن في المحاليل الحمضيّة بإضافة نسبة وزنيّة حوالي 0.01 في المئة إلى 1 في المئة من بوليمير ذي سلسلة رئيسيّة من 4،2،1-تريازول 51.

1.5.5.9. التوضيع الكهربائي

لقد جرى اختبار غشاء من پولي (أمينو تريازول) موضع كهربائياً على الفضيّة منعاً من فقدان بريقها. إنّ الحماية باستعمال بولي (أمينو تريازول) ليست موثوقة لجميع تدريّجات لون الفضيّة. وبالمُقابل يُظهر غشاء من هكز اديكان ثيول خواص مُقنعة 52.

لحماية أغشية النحاس على اللوحات الكهربائية، تمكن تغطية السطح النحاسي بغشاء بوليميري يُحصل عليه بالأكسدة المصعديّة لمُثبّط تأكّل، مثل مونومير أمين أو إيميدازول. ليست فقط مونوميرات القينيل التي تمكن بلمرتها بالأكسدة الكهربائيّة بل يمكن كذلك بلمرة مركّبات ذات وظائف أخرى مثل مركّبات الفينول والأكرولين والبنزونتريل وغيرها 53,54.

تُنْتِج الأكسدة الكهربائيّة لمركّب 3-أمينو -4،2،1-تريازول على ركيزة نحاسيّة في محلول ميثانول قلوى غشاء بوليميرياً متجانساً ملتصقاً 55. ثخانة الغشاء البوليميري هي

حوالى بضعة ميكرونات. إلا أن كفاءة سيرورة البلمرة الكهربائية الحالية ضعيفة بسبب تكوّن أوليغوميرات وتأكسد الكهرليت.

يمنع مركب ثلاثي فينيل فوسفين تكوّن المعقد البوليمري السطحي، إذ يتكوّن معقد قابلٌ للانحلال. يؤدي ذلك إلى انخفاض جوهري في كفاءة التثبيط السطحي 56.

2.5.5.9. التشتتات المائية

في تشتتات راتنج الإبوكسي المائيّة المؤسّسة على پولي (غليكول) و إبوكسي البيسڤينول و 3- أمينو -4،2،1- تريازول في إيثر غليكول البروبيلين أحادي البوتيل، يكون مركّب التريازول وراء تحسّن خواص الحماية من التأكّل 57. وتتمتّع المواد المركّبة بعمر تخزين حبّد 59,58.

يمكن جعل جسيمات التريازول غير قابلة للانحلال في الماء باستعمال تقنية البلمرة بالبلازما 60. فتتكون أغشية بوليميرية فائقة الرقة على هذه الجسيمات، كما تؤكد ذلك مطيافية الكتلة ذات الأيون الثانوي. يُحرِّر التريازولُ المُغلِّفُ التريازولَ النشطَ ببطء، ويمكن أن يُستعمل بصفته صباغ دهان في طلاءات الإبوكسي على أساس الماء. يمكن لهذه التقنيّة أن تحل محل الأصبغة اللونيّة في الدهانات.

6.5.9. التركيبات المولدة للغاز

إنّ التركيبات المولّدة للغازات مُناسبة لأنظمة الوسادات الهوائيّة في السيارات. يجب ألاّ يكون الغاز سامّاً. ويجب أن يتولّد الغاز من التركيبات المولّدة للغازات بسرعة عند اشتعالها. نحتاج مواد مركّبة مولّدة للغازات لا أزيديّة ومستقرّة حراريّاً وتمثلك معدّل احتراق مقبول وتطلق حجماً غازيّاً كبيراً بالنسبة إلى حجم الجسيمات الصلبة عند درجات حرارة مقبولة للّهب 62,61 . ولتركيبات الألعاب الناريّة $^{(*)}$ القابلة للبثق يمكن استعمال پولي (5- أمينو -1- فينيل تترازول) أو پولي (5- فينيل -5- أوكساديازول) أو پولي (5- فينيل -5- أوكساديازول) أو پولي (5- فينيل -3- أوكساديازول).

^(*) مركبات ناشرة للحرارة نتيجة تفاعل كيميائي ذاتي الاستمرار (المترجم).

تشمل مركبات الثينيل تترازول كلاً من 5-أمينو -1-ثينيل تترازول وپولي (5- ثينيل تترازول). تُبدي هذه المركبات تحلّلاً حراريّاً ذاتي الانتشار أو تفكّكاً حراريّاً.

لا يُظهر بولي (5-أمينو -1-ڤينيل تترازول) تفاعلاً ماصناً للحرارة قبل بدء التحلّل الناشر للحرارة. لذلك فإن المرحلة المُستهلكة للحرارة التي تسبق عادة مراحل الاحتراق اللاحقة التي تُحرّر الطاقة، التي تؤدي دور حاجز طاقيّ غير موجودة.

يبدأ اصطناع تركيبة مولّدة للغاز باصطناع بوليمير پولي (ڤينيل تترازول). يُضاف ملح تريازول مُستبدلٌ إلى عامل تفاعل مُبروم بالجذر الحر، مثل ١٨-برومو سكسين إيميد، وإلى بادئ جذري لتكوين تريازول مُبروم. ثُمّ يُضاف التريازول المُبروم إلى ثلاثي فينيل فوسفين لتكوين ملح ڤيتيغ Wittig. يُؤدّي الفورمالدهيد في وسط قلوي إلى تكوين ملح ڤينيل تريازول، الذي تمكن بعدئذ بلمرته مع AIBN وكميّة مُحفّزة من بادئ كاتيوني أو محفّز زيغلر خاتا Ziegler-Natta التفاعل مبيّنة في الشكل (9-10).

 61 الشكل $^{(9-1)}$: تكوين أملاح بوليميريّة من الڤينيل تريازول

يُجمَع مؤكسدٌ مع الوقود البوليميري، وهو مصنوع من نترات الأمونيوم المثبَّت الطور، أي نترات الأمونيوم المُرسّب ترسيباً مشتركاً مع 10 في المئة من نترات البوتاسيوم.

يمكن للتشكيلات الناريّة المولّدة للغازات والمحتوية على نترات الأمونيوم أن تعاني تغيّرات الطور في البنية البلّوريّة المرتبطة بالتوسّع الحجمي أثناء الدورة الحراريّة. تؤدّي نترات البوتاسيوم وأوكسيد النحاس دوراً تعاضديّاً في استقرار نترات الأمونيوم 63.

7.5.9. البوليميرات المبيدة حيويّاً

يمتلك 3-أمينو -4،2،1-تريازول خواص مبيدة للأعشاب. إلا أن هذه المادة عالية الانحلال في الماء وسُرعان ما تُغسل وتزول من التربة. يمكن زيادة الفعالية بربط المادة الفعالة إلى بوليمير. بهذه الطريقة تتحرّر المادة الفعالة ببطء وتؤدّي دورها على فترة طويلة من الزمن 64.

لقد جرى تحضير بوليميرات ذات زمر متدليّة مبيدة للأعشاب، بالبلمرة بالجذر الحر لمركّبات أمينو تريازول. فمثلاً تمكن بلمرة 1-(4-ڤينيل بنزويل)-5-أمينو -4،2،1-تريازول، أو 1-(3-كاربوميثوكسي أكريلويل)-5-أمينو -4،2،1-تريازول بلمرة مشتركة مع الميثيل ميتاكريلات أو الستيرين.

يعتمد تحرير المبيد العشبي بالحلمهة على طبيعة روابط الأميد 65. فمثلاً يبدي بولي [1-(4- فينيل بنزويل)-5-أمينو -4،2،1-تريازول] تحريراً عالياً لمبيدات الأعشاب، في حين يبدي بولي [3-(4- فينيل بنزويل)-5-أمينو -4،2،1-تريازول] تحريراً منخفضاً لهذه المواد.

6.9. الموردون والعلامات التجارية

جوهرياً، لاتوجد علامات تجارية مسجّلة لبوليميرات التريازول، هذا صحيح على الأقل في الولايات المتحدة الأميركيّة. وبالمقابل توجد بعض العلامات التجاريّة متعلّقة بالمنتجات الزراعيّة. يبيّن الجدول (9-4) الأسماء التجاريّة الواردة في المراجع.

7.9. الأمان

يُشكُ أنّ 4،2،1-تريازول مادة سامة عصبياً وتنفسياً.

الجدول (9-4): الأسماء التجارية الواردة في المراجع

ورردن مي اسراجي المورد	الاسم التجاري
	الوصف
BASF AG	Acronal® 4F
Hoechst/Italy	پولي (أكريلات n-بوتيل) ⁴² Alftalat® AN 739
Fuji Photo Film Co., Ltd.	پولي إستر ³⁹ CP-45X مُظهّر ³⁴
UCB	Crylcoat® 2392
Bayer AG	بولي إستر ³⁹ Desmodur® W
Bayer AG	بيس -(4- إيز وسياناتو حلقي هكسيل)ميثان (H ₁₂ MDI) Desmophen® 690
Showa Chemical	لَكَر بولي إستر متشعّب بزمر OH ⁴² OH Hakkol FWA-SF
Elf Atochem	ثلاثي أزينيل أمينو ستيلبين عامل تلميع فَلُورَي ²⁴ Lupersol® 256 5،2-ثنائي ميثيل -2،5-بيس (2- إيثيل هكزانويل
Grace & Co.	بيروكسي) هكسان ³⁶ Shieldex® C 303
Shin-Etsu Chemical Co., Ltd.	سیلیکا مستبدل فیها شاردة کالسیوم، صباغ مضاد للتأکّل ⁴² Silicone KF351A
Exxon	پولمي (ثنائي ميثيل سيلوكسان)، عامل توتر سطحي ²⁴ ®Slovesso
Ciba Geigy	مزائج مذیبات عالیة العطریّة ⁴⁰ 326 ®Tinuvin 2-(2'- هیدروکسی -3'-نرت -بوتیل -5'-میثیل فینیل)-5-
Ciba Geigy	كلورو بنزوتريازول، ماص للأشعّة فوق البنفسجيّة ³⁶ Tinuvin ® P. 2-(2'- هيدروكسي -5'-ميثيل فينيل) بنزوتريازول، ماص
Tronox Inc. (Kerr-McGee Chemical Corp.)	للأشعّة فوق البنفسجيّة ³⁶ Tronox® R-KB-2 روتيل (ثنائي أوكسيد تيتانيوم) المُعالج بالألومينا
DSM	سيليكا،صباغ ⁴² Uralac® P 1460 پولي إستر پوليول ³⁹

- 1. C. J. Abshire and C. S. Marvel. "Some oxadiazole and triazole polymers." *Makromoleculare Chemie*: vols. 44-46, 1961, pp. 388–397.
- J. W. Connell, P. M. Hergenrother, and P. Wolf. Poly(1,2,4-triazole) via aromatic nucleophilic displacement. US Patent 5 182 356, assigned to The United States of America as represented by the United States (Washington, DC), 26 January 1993.
- 3. V. P. Krivopalov and O. P. Shkurko. "1,2,3-triazole and its derivatives. Development of methods for the formation of the triazole ring." *Russian Chemical Reviews*: vol. 74, no. 4, 2005, pp. 339–379, [electronic] http://www.turpion.org, paper 893.
- 4. S. W. Li, Z. Zhou, Y. L. Zhang, M. L. Liu, and W. Li. "1h-1,2,4-triazole: An effective solvent for proton-conducting electrolytes." *Chemistry of Materials*: vol. 17, no. 24, November 2005, pp. 5884–5886.
- 5. Z. Zhou, S. W. Li, Y. L. Zhang, M. L. Liu, and W. Li. "Promotion of proton conduction in polymer electrolyte membranes by 1h-1,2,3-triazole." *Journal of the American Chemical Society*: vol. 127, no. 31, August 2005, pp. 10824–10825,.
- 6. T. G. Ermakova, N. P. Kuznetsova, and K. A. Maksimov. "Copolymerization of 1-vinyl-1,2,4-triazole with 2-hydroxyethyl methacrylate." *Russian Journal of Applied Chemistry*: vol. 76, no. 12, December 2003, pp. 1971–1973.
- 7. A. K. Feldman, B. Colasson, and V. V. Fokin. "One-pot synthesis of 1,4-disubstituted 1,2,3-triazoles from in situ generated azides." *Organic Letters*: vol. 6, no. 22, 2004, pp. 3897 3899
- 8. G. Molteni and P. Del Buttero. "1,3-dipolar cycloadditions of MeOPEGbounded azides." *Tetrahedron*: vol. 61, no. 21, May 2005, pp. 4983–4987.
- 9. H.-D. Rupp, E.-G. Worbs, W. Michael, S. Erhard, G. Meyer, and A. Schöpf. Process for the production of filaments and foils from poly-bis-1,2,4-triazoles. GB Patent 1 215 067, assigned to Glanzstoff Ag (DE), 9 December 1970.
- 10. T. G. Ermakova, N. P. Kuznetsova, and V. V. Annenkov. "Radical copolymerization of 1-vinyl-1,2,4-triazole with 1,1,0mega- trihydrotetrafluoropropyl methacrylate." *Russian Journal of Applied Chemistry*: vol. 72, no. 6, June 1999, pp. 1055–1057.

- 11. W. Maes, B. Verstappen, and W. Dehaen. "Synthesis of 1,2,4-triazole dendrimers." *Tetrahedron*: vol. 62, no. 11, March 2006, pp. 2677–2683.
- 12. H. E. Kuenzel, F. Bentz, G. Lorenz, and G. Nischk. High-molecular-weight aromatic polyamides. GB Patent 1 238 511, assigned to Farbenfabriken Bayer A.-G., 1971.
- 13. S. H. Chen and Y. Chen. "Luminescent copoly(aryl ether)s with new electron transporting bis(3-(trifluoromethyl)phenyl)-1,3,4-oxadiazole or bis(3-(trifluoromethyl)phenyl)-4-(4-hexyloxyphenyl)4h-1,2,4-triazole segments." *Journal of Polymer Science Part A: Polymer Chemistry*: vol. 42, no. 23, December 2004, pp. 5900–5910.
- 14. S. H. Chen and Y. Chen. "Poly(p-phenylenevinylene) derivatives containing electron-transporting aromatic triazole or oxadiazole segments." *Macromolecules*: vol. 38, no. 1, January 2005, pp. 53–60.
- D. D. C. Bradley, M. Grell, A. Grice, A. R. Tajbakhsh, D. F. O'Brien, and Bleyer. "Polymer light emission: Control of properties through chemical structure and morphology." *Optical Materials*: vol. 9, nos. 1-4, January 1998, pp. 1–11.
- 16. Z. Liu, Y. X. Cheng, G. P. Su, L. X. Wang, X. B. Jing, and F. S. Wang. "Novel PPV-based light-emitting copolymers containing triazole moiety." *Synthetic Metals*: vol. 137, nos. 1-3, April 2003, pp. 1113–1114.
- 17. J. Kido, C. Ohtaki, K. Hongawa, K. Okuyama, and K. Nagai. "1,2,4-triazole derivative as an electron transport layer in organic electroluminescent devices." *Japanese Journal of Applied Physics*: Part 2, 32(7A), July 1993, L917–L920.
- J. Peng, N. Takada, and N. Minami. "Red electroluminescence of a europium complex dispersed in poly(N-vinylcarbazole)." *Thin Solid Films*: vol. 405, nos. 1-2, February 2002, pp. 224–227.
- Z. Liu, L. X. Wang, X. B. Jing, and F. S. Wang. "Synthesis and characterization of novel bipolar PPV-based copolymer containing triazole and carbazole units." *Chinese Journal of Polymer Science*: vol. 19, no. 6, November 2001, pp. 615–621.
- 20. T. Taguchi. Polymer and light emitting element using the same. US Patent 6 803 124, assigned to Fuji Photo Film Co., Ltd. (Kanagawa, JP), 12 October 2004.
- S.-A. Chen and Y.-Z. Lee. Electroluminiscent conjugated polymers modified with high electronegative. US Patent 6 693 158, assigned to National Science Council (Taipei, TW), 17 February 2004.

- 22. V. B. McKoy and A. Gupta. Photocurable acrylic composition, and UV curing with development of. US Patent 5 141 990, assigned to California Institute of Technology (Pasadena, CA), 25 August 1992.
- 23. P. Bergthaller. "Couplers in colour photography -chemistry and function part 2." *Imaging Science Journal*: vol. 50, no. 3, 2002, pp. 187–229,
- 24. H. Satoh, T. Nakamine, N. Seto, and H. Yoneyama. 1h-pyrazolo[1,5-b]-1,2,4triazole compound, coupler and silver halide color photographic. US Patent 6 995 273, assigned to Fuji Photo Film Co., Ltd. (Kanagawa-ken, JP), 7 February 2006.
- 25. D. Brennecke and B. Weber. Production of emulsion based on tabular silver chloride, with increased gradation. DE Patent 19 731 576, assigned to Agfa Gevaert Ag (De), 28 January 1999.
- 26. P. Bergthaller, J. Siegel, and H.-U. Borst. Photographic silver halide material. US Patent 6 498 003, assigned to Agfa-Gevaert (BE), 24 December 2002.
- 27. S. Ishiguro, Y. Fuseya, T. Heki, and A. Mitsui. Silver halide photographic light-sensitive material. US Patent 4 397 943, assigned to Fuji Photo Film Co., Ltd. (Kanagawa, JP), 9 August 1983.
- 28. S. Ishiguro, T. Heki, A. Mitsui, and Y. Fuseya. Light-sensitive photographic silver halide material. DE Patent 3 223 316, assigned to Fuji Photo Film Co., Ltd., Japan, 5 January 1983.
- 29. O. Vogl and C. Zhang. 2(2-Hydroxyphenyl)2H-benzotriazole compounds and homopolymers or copolymers thereof. US Patent 5 099 027, assigned to PPG Industries, Inc. (Pittsburgh, PA), 24 March 1992.
- 30. K. Shuhaibar and F. A. Rasoul. Ultraviolet light absorbing benzotriazolylbenzophenone compounds and their copolymerizable derivatives. GB Patent 2 232 667, assigned to Kuwait Institute for Scientific Research, Kuwait, 19 December 1990.
- F. A. Rasoul and K. Shuhaibar. Naphthylbenzotriazole UV light absorbers for plastics.
 GB Patent 2 237 567, assigned to Kuwait Institute for Scientific Research, Kuwait, 8 May 1991.
 - 32. K. F. Shuhaibar, F. A. Rasoul, H. Pasch, and A. Mobasher. "Synthesis and characterization of polymers containing naphthyl-2H-benzotriazoles. 1. Monomer synthesis and characterization." *Die Angewandte Makromolekulare Chemie*: vol. 193, 1991, pp. 147–158.

- 33. F. A. Rasoul, H. Pasch, K. F. Shuhaibar, and A. Attari. "Synthesis and characterization of polymers containing naphthyl-2H-benzotriazoles. 2. Polymer synthesis and characterization." *Die Angewandte Makromolekulare Chemie*: vol. 193, 1991, pp. 159–167.
- 34. H. Pasch, K. F. Shuhaibar, and S. Attari. "A comparative study on polymers containing different ultraviolet stabilizer moieties." *Journal of Applied Polymer Science*: vol. 42, 1991, pp. 263–271.
- 35. L. Stoeber, A. Sustic, W. J. Simonsick, Jr., and O. Vogl. "Functional polymers 65. Synthesis and brief characterization of surface active 2(2-hydroxyphenyl)2H-benzotriazole ultraviolet stabilizers." *Journal of Macromolecular Science: Pure and Applied Chemistry*: A37(9), 2000, pp. 943–970.
- 36. H. Faubl. UV blocking lenses and material containing benzotriazoles and benzophenones. US Patent 6 244 707, assigned to Wesley Jessen Corporation (Des Plaines, IL), 12 June 2001.
- 37. S.-G. Hong. Crosslinkable UV absorbing agent for UV absorbing lens. US Patent 6 914 086, 5 July 2005.
- 38. C. A. Schneider and T. C. Rees. Halogenated polymers stabilized with triazoles. US Patent 4 274 997, assigned to The Sherwin-Williams Company (Cleveland, OH), 23 June 1981.
- 39. R. Gras. Blocked polyisocyanates, a process for their preparation, and their use. US Patent 6 437 074, assigned to Huels Aktiengesellschaft (Marl, DE), 20 August 2002.
- 40. E. König, H. Casselmann, F. Kobelka, and K.-A. Foster. At least partially blocked organic polyisocyanates, a process for their preparation and their use in coating compositions. US Patent 5 350 825, assigned to Bayer Aktiengesellschaft (Leverkusen, DE), 27 September 1994.
- 41. G. Kurek, E. König, K. Nachtkamp, and T. Engbert. Polyisocyanates blocked with 3,5-dimethyl-1,2,4-triazole. US Patent 6 005 046, assigned to Bayer Aktiengesellschaft (Leverkusen, DE), 21 December 1999.
- 42. E. König, B. Baumbach, and C. Füssel. Polyisocyanates blocked with epsilon-caprolactam and either diisopropylamine or 1,2,4-triazole, their preparation and use. US Patent 6 723 817, assigned to Bayer Aktiengesellschaft (Leverkusen, DE), 20 April 2004.

- 43. M. Onizawa. Method for crosslinking of isoprene-isobutylene rubber, ethylene-propylene-diene rubber containing ethylidenenorbornene as unsaturated component, or mixture thereof; and crosslinked rubber product obtained by said method. US Patent 6 403 713, 11 June 2002.
- 44. A. Dobbelstein, H. D. Hille, and H. Holfort. Terephthalic trimellitic polyesterimides for electric insulation. DE Patent 1 937 311, assigned to Herberts, Dr. Kurt, und Co., 18 February 1971.
- 45. A. Dobbelstein, H. D. Hille, and H. Holfort. Thermosetting insulating varnishes for coating electrical conductors. DE Patent 1 966 084, assigned to Herberts, Dr. Kurt, und Co., 23 September 1971.
- 46. J. Seo, J. Kang, K. Cho, and C. E. Park. "Synthesis of polyimides containing triazole to improve their adhesion to copper substrate." *Journal of Adhesion Science and Technology*: vol. 16, no. 13, 2002, pp. 1839–1851.
- 47. R.-W. Lee, G. F. Walker, and A. Viehbeck. "Formation of polyimide-Cu complexes: Improvement of direct Cu-on-PI and PI-on-Cu adhesion." *Journal of Adhesion Science and Technology:* vol. 9, 1995, pp. 1125–1141.
- 48. C. K. Ku, C. H. Ho, and Y. D. Lee. "Synthesis of polyimides containing pyridine or triazole moiety to improve their adhesion to sputter-deposited copper." *Journal of Adhesion Science and Technology:* vol. 19, no. 11, 2005, pp. :909–925.
- 49. S. M. Song, C. E. Park, H. K. Yun, C. S. Hwang, S. Y. Oh, and J. M. Park. "Adhesion improvement of epoxy resin copper lead frame joints by azole compounds." *Journal of Adhesion Science and Technology*: vol. 12, no. 5, 1998, pp. 541–561.
- 50. R. L. Sung and B. H. Zoleski. Polyoxyalkylene polyamine triazole complexes. US Patent 4 464 276, assigned to Texaco Inc., USA, 7 August 1984.
- A. Kotone, T. Hori, M. Hoda, and Y. Nakane. Corrosion inhibition of metals in acidic solutions. JP Patent 48 089 141, assigned to Sakai Chemical Industry Co., Ltd., 21 November 1973.
- 52. M. C. Bernard, E. Dauvergne, M. Evesque, M. Keddam, and H. Takenouti. "Reduction of silver tarnishing and protection against subsequent corrosion." *Corrosion Science*: vol. 47, 2005, pp. 663–679.
- 53. R. V. Subramanian. "Electroinitiated polymerization on electrodes." In: *Electric Phenomena in Polymer Science*, *volume 33 of Advances in Polymer Science*. Berlin: Springer-Verlag Berlin, 1979. pp. 33–58.

- 54. G. Mengoli. "Feasibility of polymer film coatings through electroinitiated polymerization in aqueous medium." In: *Electric phenomena in polymer science*, *volume 33 of Advances in Polymer Science*. Berlin: Springer-Verlag Berlin, 1979. pp. 1–31.
- B. Trachli, M. Keddam, H. Takenouti, and A. Srhiri. "Protective effect of electropolymerized 3-amino 1,2,4-triazole towards corrosion of copper in 0.5 m nacl." *Corrosion Science*: vol. 44, no. 5, May 2002, pp. 997–1008
- J.-L. Yao, Y.-X. Yuan, and R.-A. Gu. "Negative role of triphenylphosphine in the inhibition of benzotriazole at the Cu surface studied by surface-enhanced raman spectroscopy." *Journal of Electroanalytical Chemistry*: vol. 573, no. 2, December 2004, pp. 255–261.
- 57. H. Matsuki and R. Nishida. Aqueous epoxy resin dispersions and thermosetting coating compositions with good corrosion resistance. JP Patent 2 003 034 713, assigned to Kansai Paint Co., Ltd., Japan, 7 February 2003.
- 58. H. Matsuki, R. Nishida, and M. Murata. Storage-stable one-liquid waterborne epoxy resin dispersions for coatings with good thermal curability and resistance to corrosion and impact. JP Patent 2 003 253 004, assigned to Kansai Paint Co., Ltd., Japan, 10 September 2003.
- 59. T. Miyoshi, A. Matsuzaki, K. Sasaki, K. Okai, T. Sakamoto, N. Yoshimi, M. Yamashita, and M. Murata. Environmentally friendly corrosion-resistant precoated steel sheet and its manufacture. JP Patent 2 004 162 097, assigned to JFE Steel Corp., Japan; Kansai Paint Co., Ltd., 10 June 2004.
- 60. H. Yang and W. J. van Ooij. "Plasma-treated triazole as a novel organic slow-release paint pigment for corrosion control of AA2024-T3." *Progress in Organic Coatings*: vol. 50, no. 3, August 2004, pp. 149–161.
- G. K. Williams, S. P. Burns, and I. B. Mishra. Gas generating compositions. WO Patent 2 005 035 466, assigned to Automotive Systems Laboratory, Inc., USA, 21 April 2005.
- G. K. Williams and R. J. Matlock. Gas generant and manufacturing method thereof.
 WO Patent 2 005 097 711, assigned to Automotive Systems Laboratory, Inc., USA, 20 October 2005.
- 63. B. K. Hamilton. Phase-stabilized ammonium nitrate. US Patent 6 872 265, assigned to Autoliv ASP, Inc. (Ogden, UT), 29 March 2005.

- 64. K. Wermann, H. J. Bauer, M. Hartmann, G. Globig, G. Schwarz, and I. Seewald. Polymeric triazole herbicides. DD Patent 224 203, assigned to VEB Fahlberg-List, Ger. Dem. Rep., 3 July 1985.
- 65. M. Hartmann, D. Kohrs, and K. Wermann. "Biocidal polymers. X. Synthesis and hydrolytic behavior of polymers with pendantly bound 3-amino-1,2,4-triazole." *Acta Polymerica*: vol. 36, 1985, pp. 185–187.

بوليميرات پولي (أوكساديازول)

أول ما وُصفت بوليميرات پولي (4،3،1-أوكساديازول) (PODA) كان في عام 1961. غالباً ما ترتبط كسارة الأوكساديازول بالوحدات العطريّة، ومع ذلك فقد جرى وصف بوليميرات PODA ذات روابط أليفاتيّة، ودرجات انصهار أخفض بشكل ملموس. الأكثر شيوعاً هو الإيزومير 4،3،1-أوكساديازول، وتمثلك المركّبات المتعلّقة به حلقة 4،2،1-أوكساديازول، أو حلقة ثيازول، أوحلقة أوكسازول، أوحلقة أيزو أوكسازول، أو حلقة ثيوفين في السلسلة الرئيسيّة. تجد بوليميرات ليزوشيازول، أو حلقة المثيرة للاهتمام.

لقد جرى استعراض صفّ بوليميرات PODA في الأدبيات 4-2. كما إنّ مشتقّات 4-3،1 أوكساديازول تُستعمل في التطبيقات الطبيّة والزراعيّة، مثلاً في مجال العلاج الكيميائي أو بصفتها مبيدات للأعشاب الضارّة أو الحشرات 6,5.

1.10. المونوميرات

إنّ المونوميرات مبيّنة في الجدول (10-1) والشكل (10-1). ولقد جرى وصف مونوميرات فينيل ذات كسرة أوكساديازول ⁷. يبيّن الشكل (10-2) اصطناع مثل هذا المونومير. إنّ مشتقّات الأوكساديازول هذه بلّوريّة سائلة، وهي لذلك يمكن توجيهها في أحد أطوارها الوسطيّة (ميزو) (Mesophases) لتعطي مواد ذات خواص بصريّة أو كهربائيّة لامتماثلة المناحى مفيدة.

يمكن بلمرة (4،4'-نتر از وليل -4"-ميثيل) ثلاثي فينيل أمين بواسطة أحماض الكلوريد ثنائية الوظيفة 8. إضافة إلى ذلك، تحمل هذه المركبات زمر ثنائي فينيل سيلان.

يستعمل 5.2-بيس -(4-كربوكسي فينيل)-4.3،1-أوكساديازول (ODCA) لتعديل بولي (ترفتالات الإيثيلين) (PET) فعند إضافة كميّات صغيرة من ODCA بصفتها

مُركبة حمضيّة عند التغذية المونوميريّة لتصنيع PET، ترتفع درجة حرارة الانتقال الزجاجي. تُظهر البوليميرات المشتركة المحتوية على ODCA انحلاليّة أعلى في الأسيتون، من مجرّد بوليميرات PET الصرفة.

الجدول (1-10): مونوميرات في حالة بوليميرات بولى (4،3،1- أوكساديازول)

المراجع	المو نو مير
1	- p-فینیلین -5،5′-تنتر ازول
1	حمض 4،1-بنزين ثنائي كربوكسيميدك ثنائي هيدرازيد
1	كلوريد إيزوفتالويل
9	حمض 4،4′-ثنائي فينيل إيثر ثنائي كربوكسيليك
10	2،2′-(أوكسي ثنائي -4،1- فينيلين) بيس
	[5-(4-فلوروفينيل)-4،3،1-أوكساديازول]
10	5،1- نفتالين ديول
8	(4،4′-تنتر از ولیل -4″-میثیل)ثلاثي فینیل أمین
11	5،2-بيس -(4-كربوكسي فينيل)-4،3،1- أوكساديازول

الشكل (1-10): مونوميرات تستعمل في PODA

 7 الشكل (2-10): اصطناع مونومير أوكساديازول قابل للتشبيك التصالبي

2.10. البلمرة والتصنيع

يمكن اصطناع بوليميرات PODA بإحدى الطريقتين التاليتين 4 :

- تكوين كِسَر أوكساديازول أثناء اصطناع البوليمير، في الغالب عن طريق بوليمير طليعي.
 - تكاثف مونوميرات تمتلك كِسَر أوكساديازول على نحو سابق.

1.2.10. البلمرة بالتكاثف

في البداية كان اصطناع PODA يجري بتفاعل مركّب بيس تيترازول مع كلوريد ثنائي حمض عطري، مثل p-فينيلين p-5.5 تيترازول وكلوريد الإيزوفتالويل p- التفاعل مبيّن في الشكل (10-3). إلا أن البوليميرات التي نحصل عليها باتباع هذه الطريقة تعاني من الانحلاليّة، وارتفاع الوزن الجزيئي p- .

الشكل (3-10): اصطناع PODA من بيس تيترازول وكلوريد ثنائي الحمض العطري

لقد جرى ذكر طريقة أخرى تتمثّل في تكاثف مركبات بيس-(أميدرازون) مع مركبات كلوريد ثنائي الحمض، متبوعاً بإزالة ضمن جزيئيّة للنشادر، أو بتكاثف مركبات بيس-(أميدرازون) مثل حمض 4،1-بنزين ثنائي كربوكسيميدك ثنائي هيدرازيد مع أحماض ثنائي كربوكسيليك بنفاعل من مرحلة واحدة. إلا أنّه ليس من اليسير الحصول على مونوميرات بيس-(أميدرازون).

لهذا السبب يُفضل إجراء تفاعل على مرحلتين لمركبات ثنائي الهيدرازيد مع حمض كلوريد ثنائي كربوكسيليك لتكوين بوليميرات پولي (هيدرازيد) في المرحلة الأولى. ويمكن استعمال تنوّع واسع من الكسر العطريّة 12 . وفي الخطوة الثانية، يُنجز التحلّق إلى PODA بتحلّق مع نزع الماء عند 300 °C في الخلاء، أو بتطبيق مذيبات نازعة للماء. وبأسلوب مماثل يمكن صب أو غزل پولي (هيدرازيد) المرحلي، ثُم تُحوّل المادّة المصنوعة إلى PODA.

يعتمد تفاعل التحلّق مع نزع الماء على البنية المورفولوجيّة للبوليمير الطليعي 13. يمكن أن يحدث تفكّك بتفاعل جانبي مما يؤدّي إلى خفض الخواص الميكانيكيّة.

 14 الشكل (4-10): اصطناع البوليميرات المشتركة من إيثيل كاربازول أوكساديازول

يمكن اصطناع PODA في نوع واحد من الكسر العطرية بنفاعل حمض عطري ثنائي كربوكسيليك مع سلفات هيدرازين، كما هو مُثبت في حالة حمض 4^{\prime} -ثنائي فينيل إيثر ثنائي كربوكسيليك. بهذه الطريقة يجري الحصول على پولي $(4^{\prime}$ -ثنائي فينيل إيثر -4^{\prime} - 4^{\prime} -أوكساديازول (POD-DPE). يجري التفاعل في پولي $(4^{\prime}$ -ثنائي فينيل (PPA). يجب ضبط شروط التفاعل بدقّة، وإلاّ واجهنا تتوّعاً واسعاً في الوزن الجزيئي وفي البنية الجزيئية الضخمة e. ترجع الحساسية العالية لشروط التفاعل إلى اللزوجة العالية لوسط التفاعل، ولتفاعلات الثفكك التي تُسبّبها حموضة المذيب، وللتفاعلات الثانوية. يمكن اصطناع البوليمير الطليعي بتفاعل بلمرة بالتكاثف في المجال من e-e-10 e-10 ألى مشتركاً. ترتبط درجات حرارة الانتقال الزجاجي للبوليمير الطليعي مع لزوجته الجوهرية، مشتركاً. ترتبط درجات حرارة الانتقال الزجاجي للبوليمير الطليعي مع لزوجته الجوهريّة، ومن ثمّ مع وزنه الجُزيَئي. يُسبّب استعمال سلفات الهيدرازين في التفاعل سلفنة جُزئيّة للبوليميرات قابلة للانحلال.

يمكن تحضير بوليميرات مشتركة تمتلك زمر كاربازول وزمر أوكساديازول مباشرة في السلسلة الرئيسية، أي بولي [-8.3-N-1] اليثيل كاربازول -8.3-1 أوكساديازول -8.3-1 أيثيل كاربازول -8.3-1 ثنائي كربوكسيليك وهيدروكلوريد الهيدرازين -8.3-1 يجري التفاعل عند -8.3-1 في -8.3-1 الشكل -8.3-1 هذا الاصطناع.

$$H_{3}C \longrightarrow CH_{3}$$

$$Br_{2}, CCI_{4}$$

$$CH_{2}Br$$

$$CH_{2}Br$$

$$CH_{3}C)_{2}S^{+}CH_{2} \longrightarrow CH_{2}S^{+}(CH_{3})_{2}Br$$

$$OH^{-}$$

 17 الشكل (10-5): البوليميرات المشتركة من أوكساديازول فينيلين فينيلين

يمكن إدخال كسرة الأوكساديازول في السلسلة الرئيسيّة من بولي (ppv-فينيلين ڤينيلين) (PPV) باتباع متتالية من عدّة خطوات 18,17. يبيّن الشكل (10-5) مُخطِّط التفاعل. يجري الحصول على أوليغوميرات قابلة للانحلال في كلِّ من الكلوروفورم ورباعي هيدروفوران. ويمكن تحضير بوليميرات مشتركة متناوبة من 9،9-ثنائي أوكتيل فلورين والأوكساديازول باتباع طريق التيترازول أو تفاعل تقارن سوزوكي (Suzuki) 19. يتمتّع طريق التيترازول بميّرة إمكان تحضير بوليميرات PODA ذات بني جيّدة التعريف، وذلك مقارنة بطرائق تحضير أخرى. تُبدي البوليميرات المشتركة درجات حرارة تفكّك حوالي 430°C.

يمثّل الشكل (10-6) بوليميرات متألّقة كهربائياً تحمل كسرة أوكساديازول 20 . يتمتّع PPV الأوليغوميري بخواص نقل إلكترونات مُحسّنة، وذلك بسبب وجود نتروجين منقوص الإلكترون في الأوكساديازول 21 . تبدي بوليميرات PODA المحتوية على الفلور إصداراً للضوء الأزرق 22 . يبيّن الشكل (10-6) اصطناع پولي ((5،2-بيس -(5-هكسيل أوكسي فينيل)-4،3،1-أوكساديازول)-2،2-ثنائي إيل -ڤينيلين $^{-1}$ -امالانحلال في المذيبات العضويّة، ومستقرٌ حراريًا حتّى $^{-1}$

پولي(فينيلين -4،3،1- أوكساديازول - فينيلين - هيكسافلورو إيزوبروبيليدين)

$$C_{12}H_{25}O$$
 $OC_{12}H_{25}$
 $OC_{6}H_{13}$
 $OC_{6}H_{13}$
 $OC_{6}H_{13}$
 $OC_{12}H_{25}$
 $OC_{12}H_{25}$
 $OC_{12}H_{25}$
 $OC_{12}H_{25}$
 $OC_{12}H_{25}$
 $OC_{12}H_{25}$
 $OC_{12}H_{25}$

بوليمير متناوب أوكساديازول - ألكوكسي فينيلين

الشكل (6-10): بوليميرات تحتوي على الأوكساديازول متألّقة ضوئياً 20

يمكن الحصول على بوليميرات مشتركة عشوائية عن طريق السماح بتفاعل مزيج من حمض ترفتاليك وإيزوفتاليك مع الهيدرازين 24. الوزن الجزيئي للبوليميرات التي يجري يجري الحصول عليها من هذا الطريق أعلى من الوزن الجزيئي للبوليميرات التي يجري الحصول عليها من كلوريد الأحماض الموافقة.

تؤدّي البلمرة بالتكاثف لحمض ترفتاليك، وثنائي ميثيل ترفتالات وسلفات الهيدرازين الى تكوّن بوليميرات مشتركة من p-فينيلين أوكساديازول N-ميثيل هيدرازيد 2^5 . تجري العمليّة في حمض الكبريت المدخّن.

زمرة الأوكساديازول موجودة أصلاً في 202-(أوكسي ثنائي-401-فينيلين)بيس [5-(4-فلوروفينيل)-403،1-أوكساديازول]، انظر الشكل (10-1). يُكاثف المركّب في مركّبات نافتالين ديول متنوّعة مثل 501-نافتالين ديول لينتُج من ذلك أنواعٌ من PODA. جميع البوليميرات مواد لا متبلّرة، وبعضها يقبل الانحلال في مذيبات لا بروتونيّة. يمكن تكاثف مركّبات 207-ثنائي برومو -9H-فلورين الخاضعة للألكلة ذات وحدات كاربازول وأوكساديازول متدليّة بوجود محفّرات نيكل 27,26.

يُسمّى هذا النوع من البلمرة باسم تقارن ياماموتو (Yamamoto) تُبدي البوليميرات المحضرة وفق تقارن ياماموتو درجة أعلى من البلمرة من تلك المحضرة بتفاعل هك (Heck).

2.2.10. البلمرة الآنيونيّة

لقد جرى إثبات أنّ 5.2-بيس - (كلوروميثيل) - 4.3،1- أو كساديازول يمكن أن يخضع لبلمرة آنيونيّة. إذْ يتكوّن پولي (4.3،1- أو كساديازول -5.2- ثنائي إيل -1.2- ڤينيلين) بوجود كحو لات الصوديوم 31 ولكن لا يمكن التحكّم بالتفاعل حتّى في درجات حرارة منخفضة جدّاً مثل $3^{\circ}0$ -. عوضاً عن ذلك، يمكن التحكّم بهذا التفاعل المولّد للحرارة بإجراء البلمرة عند سطح بيني تولوين اماء مع بروميد رباعي بوتيل الفوسفونيوم بصفته مُحفّز انتقال الطور. الآليّة مبيّنة في الشكل (0-0).

تشبه آليّة التفاعل هذه، طريق بلمرة غيلش (Gilch) 32. تُبدي البوليميرات الناتجة أوزاناً جزيئيّة أعلى بشكل ملموس، وتمتلك عيوباً بنيويّة أقلّ من تلك التي يجري تحضيرها عن طريق البلمرة بالتكاثف.

3.2.10. السلفنة

يمكن سلفنة بوليميرات PODA بيسر باستعمال حمض الكبريت. وبالمقابل لا تنجح السلفنة باستعمال حمض كلور الكبريت ثلاثي ميثيل سيليل إستر. يمكن تحقيق درجة سلفنة من 1.0 إلى 4.0. لا تقبل بوليميرات PODA المسلفنة بكِسَر $C(CF_3)_2$ الانحلال في الماء حتّى عند درجة سلفنة قدر ها 2.0 33 .

الشكل (7-10): البلمرة الآنيونيّة لـ 5،2-بيس - (كلوروميثيل) - 4،3،1- أوكساديازول

3.10. الخواص

تُبدي بوليميرات PODA العطريّة استقراراً حراريّاً تمكن إعادته إلى كلّ من الوحدة العطريّة ووحدة الأوكساديازول. يزداد الاستقرار الحراري مع ازدياد المحتوى من كِسَر -p فينيلين في السلسلة الرئيسيّة للبوليمير 24 .

علاوة على ذلك، فهي تُبدي خواص مرغوبة أخرى مثل استقرار جيّد تجاه التحلّل المائي، ودرجات انتقال زجاجي مرتفعة، وثوابت عزل كهربائي منخفضة، وخواص ميكانيكيّة جيّدة. يمكن الحصول على أغشية PODA مرنة فقط عندما تكون اللزوجة الأصيلة للبوليميرات أعلى من 24 2.7 dlg. يمكن تفصيل PODA لإعطائه خواص بلّورات سائلة.

لا تقبل بوليميرات PODA الكاملة العطرية الانحلال في المذيبات العضوية، بل تتحلّ فقط في الأحماض القوية، مثل حمض الكبريت، أو حمض الكلورو سلفونيك، أو حمض ميثان سلفونيك. ولكنّ بإدخال مستبدلات في السلسلة الجانبيّة، تتحسّن قابليّة الانحلال في المذيبات العضويّة تحسّناً ملموساً.

الموصليّة الكهربائيّة لبوليميرات p-PODA عند درجة حرارة الغرفة هي حوالي الموصليّة الكهربائيّة لبوليميرات العازلة الشائعة في حالتها الزجاجيّة. ولكن تُلاحظ موصليّة شاردية عند درجات حرارة تفوق $440\,\mathrm{K}$ يمكن الحصول على بوليميرات PODA موصلة كهربائيّاً بإشابتها بمواد مانحة للإلكترونات أو موادّ مُتقبّلة لها. وتكون بعض أنواع PODA نصف ناقلة، وتُبدي خواص موصليّة ضوئيّة. وهي لذلك

^(*) يجب أن تكون الموصلية الكهربائية Scm^{-1} Scm^{-1} و إلا أصبح البوليمير ناقلاً (المترجم).

تُستعمل في التطبيقات الكهربائيّة. وتُبدي أغشية PODA خواص فصل غازات استثنائيّة 35.

الشكل (8-10): تفاعل الحلمهة وبنية البوليمير المشترك p-فينيلين أوكساديازول \ N-ميثيل هيدرازيد

4.10. تطبيقات

1.4.10. الألياف

تُبدي البوليميرات المشتركة من p-فينيلين أوكساديازول وكسر N-ميثيل هيدرازيد معامل شد ومقاومة شد عاليتين ²⁵. يبين الشكل (10-8) بنية البوليمير المشترك العشوائي. تجذب هذه الخواص المرموقة الاهتمام بهذه المواد في تقوية بعض السلع مثل إطارات السيّارات. لا تُظهر الخيوط المصنوعة من هذه البوليميرات أي تدهور ملحوظ تحت الشروط التي تخضع لها مواد الإطارات أثناء تصنيع الإطارات أو أثناء استعمالها. تُنافس هذه المواد في أدائها في إطارات السيّارات والحبال أداء عوامل التقوية الأخرى مثل الألياف الزجاجيّة، والفولاذ، وبوليمير يولي (p-فينيلين ترفتالاميد).

تُحضر الألياف بسيرورة غزل مبتل، يجري فيها بثق بوليمير مشترك طليعي مع كسر N-ألكيل أوكساديازوليوم هيدروسلفات في حمض الكبريت أو الأوليوم في وسط تختّر مائي. هناك تتكوّن ألياف، ويمر البوليمير المشترك بتفاعل حلمهة ليعطي الهيدرازيد والأوكساديازول 36.

لذلك تسمّى هذه السيرورة باسم تفاعل الغزل. ولقد جرى كشف السريّة عن تفاصل إجرائيّة الغزل هذه. ولمّا كان رأس الغزل، وغيره من التجهيزات على تماس مع حمض الكبريت المركّز وجب أن تُصنع من مواد مُقاومة للحموض 37.

2.4.10. الأغشية الفاصلة

لقد جرت دراسة بوليميرات PODA المسلفنة المحتوية على الفلورين في التطبيقات باعتبارها أغشية تبادل بروتونات في خلايا الوقود ذات الكهرليت البوليميري 38 . البوليمير مستقر حراريًا استقراراً عالياً، ويظهر استقراراً مُحسّناً تجاه التأكسد. ألا أن الموصلية البروتونيّة هي حوالى $^{-3}$ Scm وهي أصغر بخمسين مرّة من تلك الموافقة لأغشية $^{-1}$ Nafion.

3.4.10. المُحسّات

بنثر هباب الفحم في بوليمير POD-DPE، يمكن الحصول على مواد مركبة ناقلة. يحسن هباب الفحم الاستقرارية الحرارية. تتخفض الممانعة النوعية بوجه مستمر مع ازدياد الضغط. وعلاوة على ذلك، تبدي المادة المركبة سلوك أنصاف نواقل نموذجية، مميزة بزيادة الموصلية مع ارتفاع درجة الحرارة 39. إنّ الخواص الحرارية والكهربائية والحساسية للضغط تجعل هذا المركب مرشحاً جيّداً لتصنيع مُحسّات الضغط في درجات حرارة محيطة مرتفعة.

4.4.10. التجهيزات المصدرة للضوء

يجد عدد من مشتقات الأوكساديازول، التي هي ليست بوليميرات بالضرورة، استعمالاً له في التجهيزات المُصدرة للضوء 40. يُبرَّر هذا بكون زمرة الأوكساديازول واحدة من أفضل البنى الناقلة للإلكترونات 20. المادّة الشائعة هي 2-(4-بيفينيليل)-5-(4-ترت-بوتيل فينيل)-443،1- أوكساديازول (PBD) وهي تؤدي دور مادّة ناقلة للإلكترونات. إنّ PBD ليس بوليميراً، بل هو مركّبٌ منخفض الوزن الجزيئي.

يؤدي پولي (N-ڤينيل كاربازول) (PVK) دور بوليمير ناقل للثقوب. ويمكن استعمال المعقدات مثل تريس (2-فينيل بيريدين) إيريديوم بصفتها مواد ضيفة 41. وتستعمل مزائج

من PVK و PBD بنسبة 40:100 مجتمعة مع أصبغة عضويّة 42. ويُعدّ كلِّ من الكومارين بإصداره للون الأزرق، والكومارين 6 المصدر للون الأخضر، وأحمر النيل المُصدر للون الأحمر، مثالاً على صباغ عضوي.

يُبدي PBD أعمار عمل قصيرة، بسبب إعادة تبلّره أو تعنقده. يؤدي ذلك إلى انفصال الطور، وتكوّن أفخاخ لحوامل الشحنات، تسبّب تثبيط إصدار الضوء. لهذا السبب، جرى اقتراح ربط بنية PBD الناقلة للإلكترونات بسلسلة بوليميريّة في مادّة لا متبلورة. وفي هذا السياق جرى ذكر بوليميرات بولي (ميتاكريلات الميثيل) مع زمر أوكساديازول جانبيّة ⁴³. يمكن لزمرة الأوكساديازول أن تكون جزءاً من السلسلة البوليميريّة الرئيسيّة، الى جانب كسر كاربازول أو كسر فينيلين قينيلين قينيلين 17,14.

لقد جرى وصف مونوميرات أوكساديازول قابلة للتشبيك التصالبي ذات وحدات أكريليك متدلّية 7. الاصطناع مبيّن في الشكل (2-10). يمكن توجيه الجزيئات، ومن ثم تجميدها بالبلمرة أو بعمليّة تشبيك تصالبي، مُولّدة بذلك مادّة ذات خواص غير متماثلة المناحى.

يمكن بلمرة مونوميرات القينيل مع كسر أوكسازول متدلية بلمرة مشتركة مع مونوميرات أخرى مثل PVK. تعطي 2- فينيل -5-4-[(4-ڤينيل فينيل) ميثوكسي إفينيل مونوميرات أخرى مثل PVK. تعطي 2- فينيل) -5-4-[(4-ڤينيل فينيل) ميثوكسي إفينيل -4،3،1-4،3،1-أوكساديازول أمثلة على ذلك 44. بهذه الطريقة توجد كسر نقل الشحنة في الزمر الجانبيّة للبوليميرات. تعطي عمليّة البلمرة المشتركة بوليميرات مشتركة متجانسة من الناحية الإحصائيّة، في طيف واسع من التركيبات، ومن ثم خواص نقل للشحنات قابلة للتوليف. ولأنّ درجات حرارة الانتقال الزجاجي لهذه البوليميرات المشتركة مرتفعة، ليس هناك أيّة إمكانيّة لانفصال طور وحدات الأوكساديازول عبر إعادة التبلّر. لقد جرى صنع تجهيزات وحيدة الطبقة مُشابة بالصباغ مُصدرة للضوء الأزرق والأخضر والبرتقالي.

بديلاً لما سبق، فقد جرى اصطناع مركبات شجرية التشعب أو نجمية تحتوي على الأوكساديازول، قادرة على تكون زجاج مستقر ⁴⁵. ولقد جرى استعراض الطرائق العامة حول كيفية اصطناع هذا النوع من البوليميرات في الأدبيّات ⁴⁶.

5.4.10. طلائع الغرافيت

يمكن غرفَتَةُ أنواع PODA العالية العطريّة، مثل پولي ($^{-}$ فينيلين $^{-}$ 1.3،1 أوكساديازول) التعطي غرافيتاً عالي النوعيّة $^{-}$ تجري عمليّة الغرفَتَة عند درجات حرارة PODA أوكساديازول) من أغشية PODA المعالجة عند $^{-}$ 3000°C تمّ الحصول على موصليّة كهربائيّة في المجال $^{-}$ 1.4 $^{-}$ 10 $^{-}$ 1.8 كما جرى الحصول على ألياف غرافيتيّة تمتازة $^{-}$ 48.

5.10. الموردون والعلامات التجارية

يبيّن الجدول (10-2) الموردين والعلامات التجاريّة. ويبيّن الجدول (10-3) الأسماء التجاريّة الواردة في المراجع.

الجدول (10-2): أمثلة على بوليميرات PODA المتوفرة تجارياً

ملاحظات	المُنتج	الاسم التجاري
ألياف پولي (أوكساديازول)	Gordono KHIMVOLOKNO	Oxalon®

الجدول (3-10): الأسماء التجارية الواردة في المراجع

المورّد	الاسم التجاري
	الوصف
Kaneka	Apical ®
	پولي (اِيميد) ⁴²
Dupont-Toray Co., Ltd.	Kapton ®
	بولي (إيميد) ⁴²
Shipley Company Inc.	Multiposit ® XP-9500
	راتنج إيبوكسي متصلّد حرارياً ⁴²
Dupont	Mylar ® (Series)
Gordono KHIMVOLOKNO	پولي (ترفتالات الإيثيلين) ⁴² @Oxalon
Goldollo Killiwi v OLOKivo	
General Electric	ألياف پولي (أوكساديازول) ⁴ Ultem® 6050
	پولمي (اِيثر اڀيميد سلفون) ⁴²
Ube Industries, Ltd	Upilex® 6050
	پولي (اِيميد) ⁴²

بعض المركبات المونوميرية المحتوية على كسر أوكساديازول معروفة بكونها تسبّب التخرّش. ومن جهة أخرى يُستخدم هذا الصفّ من المواد في تطبيقات طبيّة.

المراجع

- 1. C. J. Abshire and C. S. Marvel. "Some oxadiazole and triazole polymers." *Makromoleculare Chemie*: vols. 44-46, 1961, pp. 388–397.
- 2. P. E. Cassidy and N. Fawcett. "Thermally stable polymers: Polyoxadiazoles, polyoxadiazole-N-oxides, polythiazoles, and polythiadiazoles." *Journal of Macromolecular Science. Reviews in Macromolecular Chemistry*, C17 (2), 1979, pp. 209–266.
- 3. M. J. Nanjan. *Polyhydrazides and polyoxadiazoles*. InH.F.Mark, N. Bikales, C. G. Overberger, and G. Menges, editors, *Encyclopedia of Polymer Science and Engineering*. 2nd ed. New York: Wiley Interscience, 1988. vol. 12, pp. 332-339.
- 4. B. Schulz, M. Bruma, and L. Brehmer. "Aromatic poly(1,3,4-oxadiazole)s as advanced materials." *Advanced Materials*: vol. 9, 1997, pp. 601–613.
- S. G. Kucukguzel, I. Kucukguzel, E. Tatar, S. Rollas, F. Sahin, M. Gulluce, E. De Clercq, and L. Kabasakal. "Synthesis of some novel heterocyclic compounds derived from diflunisal hydrazide as potential anti-infective and anti-inflammatory agents." *European Journal of Medicinal Chemistry*: vol. 42, no. 7, July, 2007, pp. 893–901.
- 6. Y.-P. Luo and G.-F. Yang. "Discovery of a new insecticide lead by optimizing a target-diverse scaffold: Tetrazolinone derivatives." *Bioorganic and Medicinal Chemistry*: vol.15, no. 4, February 2007, pp.1716–1724.
- 7. P. Kirsch and A. Hahn. Oxadiazole derivative and its use as charge transport and light emitting material. US Patent 6 863 841, assigned to Merck Patent GmbH (Darmstadt, DE), 8 March 2005.
- 8. R.-H. Lee, H.-F. Hsu, L.-H. Chan, and C.-T. Chen. "Synthesis and electroluminescence properties of a novel tetraphenylsilane-oxadiazole-diphenyl(para-tolyl)amine polymer." *Polymer*: vol. 47, no. 20, September 2006, pp. 7001–7012.

- 9. D. Gomes, C. Borges, and J. C. Pinto. "Effects of reaction variables on the reproducibility of the syntheses of poly-1,3,4-oxadiazole." *Polymer*: vol. 45, no. 15, July 2004, pp. 4997–5004.
- F. A. Bottino, G. Di Pasquale, and A. Pollicino. "Synthesis and characterization of new poly(arylene ether 1,3,4-oxadiazole)s based on dihydroxynaphthalene isomers." *Polymer Bulletin*: vol. 45, 2000, pp. 345–350, 2000.
- 11. C. C. McDowell, J. M. Partin, B. D. Freeman, and G. W. McNeely. "Acetone solubility and diffusivity in poly(ethylene terephthalate) modified with low levels of 2,6-naphthalene dicarboxylic acid, isophthalic acid, and 2,5-bis(4-carboxyphenyl)-1,3,4-oxadiazole." *Journal of Membrane Science*: vol. 163, no. 1, October 1999, pp. 39–49.
- 12. J. W. Connell, P. M. Hergenrother, and P. Wolf. Poly(1,3,4-oxadiozoles) via aromatic nucleophilic displacement. US Patent 5 118 781, assigned to Administrator of the National Aeronautics and Space Administration (Washington, DC), 2 June 1992.
- 13. E. Leibnitz. "Zur Optimierung der Synthese von Poly(*p*-phenylen-1,3,4-oxadiazol) in Oleum (Optimization of preparation of poly(*p*-phenylene-1,3,4 oxadiazole) in oleum)." *Die Angewandte Makromolekulare Chemie*: vol. 204, 1993, pp. 101–110.
- P. Denisevich, Jr., A. H. Schroeder, V. P. Kurkov, and S. Suzuki. Carbazole oxadiazole electroactive polymers. US Patent 4 597 896, assigned to Chevron Research Company (San Francisco, CA), 1 July 1986.
- 15. D. Gomes, S. P. Nunes, J. Carlos Pinto, and C. Borges. "Synthesis and characterization of flexible polyoxadiazole films through cyclodehydration of polyhydrazides." *Polymer*: vol. 44, no. 13, June 2003, pp. 3633–3639.
- D. Gomes, J. Roeder, M. L. Ponce, and S. P. Nunes. "Characterization of partially sulfonated polyoxadiazoles and oxadiazole-triazole copolymers." *Journal of Membrane Science*: vol. 295, nos. 1-2, May 2007, pp. 121–129.
- 17. S. Yin, J. Peng, C. Li, W. Huang, X. Liu, W. Li, and B. He. "Heterocycle-substituted poly(*p*-phenylene vinylene) for light-emitting devices." *Synthetic Metals*: vol. 93, no. 3, March 1998, pp. 193–195.
- 18. Z. Wang, S. Yin, X. Yang, Z. Sun, X. Xu, and X. Zhang. "Interchain charge-transfer states in poly[(2,5-diphenylene-1,3,4-oxadiazole)-4,4'-vinylene] (O-PPV) oligomer." *Chemical Physics Letters*: vol. 307, nos. 1-2, June 1999, pp. 75–80.
- 19. J. Ding, M. Day, G. Robertson, and J. Roovers. "Synthesis and characterization of alternating copolymers of fluorene and oxadiazole." *Macromolecules*: vol. 35, no. 9, April 2002, pp. 3474–3483.
- 20. L. Akcelrud. "Electroluminescent polymers." *Progress in Polymer Science*: vol. 28, no. 6, June 2003, pp. 875–962.

- 21. X. Yang, Y. Hua, S. Yin, Z. Wang, Y. Hou, Z. Xu, X. Xu, J. Peng, and W. Li. "A novel oligomer poly(phenylene vinylene) derivative containing oxadiazole segment." *Synthetic Metals*: vols. 111-112, June 2000, pp. 455–457.
- 22. Q. Pei and Y. Yang. "Bright blue electroluminescence from an oxadiazole containing copolymer." *Advanced Materials*: vol. 7, no. 6, 1995, pp. 559–561.
- 23. S.-Y. Song, M. S. Jang, H.-K. Shim, I.-S. Song, and W.-H. Kim. "New soluble light-emitting diode polymer containing oxadiazole unit." *Synthetic Metals*: vol. 102, nos. 1-3, June 1999, pp. 1116–1117.
- 24. E. R. Hensema, J. P. Boom, M. H. V. Mulder, and C. A. Smolders. "Two reaction routes for the preparation of aromatic polyoxadiazoles and polytriazoles: Syntheses and properties." *Journal of Polymer Science Part A: Polymer Chemistry*: vol. 32, no. 3, 1994, pp. 513–525.
- 25. H. C. Bach, F. Dobinson, K. R. Lea, and J. H. Saunders. "High-strength/highmodulus fibers of *p*-phenylene oxadiazole/*n*-methyl hydrazide copolymers a new class of high-performance organic materials." *Journal of Applied Polymer Science*: vol. 23, no. 7, 1979, pp. 2125–2131.
- 26. Y. Jin, J. Y. Kim, S. H. Park, J. Kim, S. Lee, K. Lee, and H. Suh. "Syntheses and properties of electroluminescent polyfluorene-based conjugated polymers, containing oxadiazole and carbazole units as pendants, for LEDs." *Polymer*: vol. 46, no. 26, December 2005, pp. 12158–12165.
- 27. S.-J. Lee, J. R. Gallegos, J. Klein, M. D. Curtis, and J. Kanicki. "Poly(fluorene-oxadiazole) copolymer-based light-emitting devices on a plastic substrate." *Synthetic Metals*: vol. 155, no. 1, October 2005, pp. 1–10.
- 28. T. Yamamoto. "Electrically conducting and thermally stable π -conjugated poly(arylene)s prepared by organometallic processes." *Progress in Polymer Science*: vol. 17, no. 6, 1992, pp. 1153–1205.
- 29. A.-D. Schlüter and G. Wegner. "Palladium and nickel catalyzed polycondensation -the key to structurally defined polyarylenes and other aromatic polymers." *Acta Polymerica:* vol. 44, no. 2, 1993, pp. 59–69.
- 30. J. A. Mikroyannidis. "Synthesis, characterization and photophysics of novel conjugated polymers with 1,3,4-oxadiazole pendant on a vinylene unit." *Synthetic Metals*: vol. 145, nos. 2-3, September 2004, pp. 271–277.
- 31. R. Zhang, R. Jordan, and O. Nuyken. "Preparation of poly(1,3,4-oxadiazole2,5-diyl-1,2-vinylene) via anionic mechanism." *Macromolecular Rapid Communications*: vol. 24, 2003, pp. 246–250.
- 32. J. Wiesecke. "Untersuchungen zum Polymerisationsmechanismus der Gilch-Reaktion." (Ph. D Thesis, Technische Universität Darmstadt, Darmstadt, 2004).

- 33. S. Vetter and S. P. Nunes. "Synthesis and characterization of new sulfonated poly(arylene ether 1,3,4-oxadiazole)s." *React. Funct. Polym.*, 61(2):171–182, September 2004.
- 34. T. Tsutsui, Y. Fukuta, T. Hara, and S. Saito. "Electronic conduction in poly(*p*-phenylene-1,3,4-oxadiazole) films." *Polymer Journal* (Tokyo): vol. 19, 1987, pp. 719–725.
- 35. B. Gebben. "Thermally stable and chemically polymer membranes-aromatic polyoxadiazoles and polytriazoles." (Ph. D Thesis, Twente University, Enschede, Holland, 1988).
- 36. H. C. Bach. Novel process for the preparation of fiber of arylene oxadiazole/arylene *N*-alkylhydrazide copolymer. US Patent 4 115 503, assigned to Monsanto Company (St. Louis, MO), 19 September 1978.
- 37. H. C. Bach. Fibers of arylene oxadiazole/arylene *N*-alkylhydrazide copolymer. US Patent 4 202 962, assigned to Monsanto Company (St. Louis, MO), 13 May 1980.
- 38. X. Y. Shang, D. Shu, S. J. Wang, M. Xiao, and Y. Z. Meng. "Fluorene-containing sulfonated poly(arylene ether 1,3,4-oxadiazole) as proton-exchange membrane for pem fuel cell application." *Journal of Membrane Science*: vol. 291, nos.140–147, March 2007.
- 39. F. G. Souza, Jr., M. E. Sena, and B. G. Soares. "Thermally stable conducting composites based on a carbon black-filled polyoxadiazole matrix." *Journal of Applied Polymer Science*: vol. 93, no. 4, March 2004, pp. 1631–1637.
- 40. S. H. Chen, A. C.-A. Chen, J. U. Wallace, and L. Zeng. Light-emitting organic materials. WO Patent 2 007 016 454, assigned to Univ. Rochester (US); Chen Shaw H (US); Chen Andrew Chien-an (US); Wallace Jason U (US); Zeng Lichang (US), 8 February 2007.
- 41. S. Seo, M. Murakami, and S. Yamazaki. Organic light emitting element and light emitting device using the element. US Patent 7 199 515, assigned to Semiconductor Energy Laboratory Co., Ltd. (Kanagawa-ken, JP), 3 April 2007.
- 42. A. R. Duggal and J. D. Michael. Method for making an OLED device. US Patent 7 198 533, assigned to General Electric Company (Niskayuna, NY), 3 April 2007.
- 43. N. N. Barashkov, T. V. Sakhno, N. N. Alekseev, T. M. Murav'eva, L. M. Bulgakova, and L. A. Gorbunov. "Spectral and luminescence properties of copolymers of poly(methy methacrylate) and poly(allyl carbonate) with fragments of anthracene and diphenyloxadiazole." *Zhurnal Prikladnoi Spektroskopii*: vol. 53, 1990, pp. 386–391.
- 44. X. Jiang, R. A. Register, K. A. Killeen, M. E. Thompson, F. Pschenitzka, and J. C. Sturm. "Statistical copolymers with side-chain hole and electron transport groups for single-layer electroluminescent device applications." *Chemistry of Materials*: vol. 12, no. 9, 2000, pp. 2542 2549.

- 45. J. Bettenhausen, M. Greczmiel, M. Jandke, and P. Strohriegl. "Oxadiazoles and phenylquinoxalines as electron transport materials." *Synthetic Metals*: vol. 91, nos. 1-3, December 1997, pp. 223–228.
- 46. K. Inoue. "Functional dendrimers, hyperbranched and star polymers." *Progress in Polymer Science*: vol. 25, no. 4, May 2000, pp. 453–571.
- 47. H. Yasujima, M. Murakami, and S. Yoshimura. "Electrical properties of pyrolytic polyoxadiazole." *Synthetic Metals*: vol. 18, nos. 1-3, February 1987, pp. 527–530.
- 48. M. Murakami, K. Watanabe, and S. Yoshimura. Production of graphite fiber. JP Patent 63 256 721, assigned to Japan Res Dev Corp; Matsushita Electric Ind Co. Ltd, 24 October 1988.

بوليميرات پولي (أوكساديازول)

أول ما وُصفت بوليميرات پولي (4،3،1-أوكساديازول) (PODA) كان في عام 1961. غالباً ما ترتبط كسارة الأوكساديازول بالوحدات العطريّة، ومع ذلك فقد جرى وصف بوليميرات PODA ذات روابط أليفاتيّة، ودرجات انصهار أخفض بشكل ملموس. الأكثر شيوعاً هو الإيزومير 4،3،1-أوكساديازول، وتمثلك المركّبات المتعلّقة به حلقة 4،2،1-أوكساديازول، أو حلقة ثيازول، أوحلقة أوكسازول، أوحلقة أيزو أوكسازول، أو حلقة ثيوفين في السلسلة الرئيسيّة. تجد بوليميرات ليزوشيازول، أو حلقة المثيرة للاهتمام.

لقد جرى استعراض صفّ بوليميرات PODA في الأدبيات 4-2. كما إنّ مشتقّات 4-3،1 أوكساديازول تُستعمل في التطبيقات الطبيّة والزراعيّة، مثلاً في مجال العلاج الكيميائي أو بصفتها مبيدات للأعشاب الضارّة أو الحشرات 6,5.

1.10. المونوميرات

إنّ المونوميرات مبيّنة في الجدول (10-1) والشكل (10-1). ولقد جرى وصف مونوميرات فينيل ذات كسرة أوكساديازول ⁷. يبيّن الشكل (10-2) اصطناع مثل هذا المونومير. إنّ مشتقّات الأوكساديازول هذه بلّوريّة سائلة، وهي لذلك يمكن توجيهها في أحد أطوارها الوسطيّة (ميزو) (Mesophases) لتعطي مواد ذات خواص بصريّة أو كهربائيّة لامتماثلة المناحى مفيدة.

يمكن بلمرة (4،4'-نتر از وليل -4"-ميثيل) ثلاثي فينيل أمين بواسطة أحماض الكلوريد ثنائية الوظيفة 8. إضافة إلى ذلك، تحمل هذه المركبات زمر ثنائي فينيل سيلان.

يستعمل 5.2-بيس -(4-كربوكسي فينيل)-4.3،1-أوكساديازول (ODCA) لتعديل بولي (ترفتالات الإيثيلين) (PET) فعند إضافة كميّات صغيرة من ODCA بصفتها

مُركبة حمضيّة عند التغذية المونوميريّة لتصنيع PET، ترتفع درجة حرارة الانتقال الزجاجي. تُظهر البوليميرات المشتركة المحتوية على ODCA انحلاليّة أعلى في الأسيتون، من مجرّد بوليميرات PET الصرفة.

الجدول (1-10): مونوميرات في حالة بوليميرات بولى (4،3،1- أوكساديازول)

المراجع	المو نو مير
1	- p-فینیلین -5،5′-تنتر ازول
1	حمض 4،1-بنزين ثنائي كربوكسيميدك ثنائي هيدرازيد
1	كلوريد إيزوفتالويل
9	حمض 4،4′-ثنائي فينيل إيثر ثنائي كربوكسيليك
10	2،2′-(أوكسي ثنائي -4،1- فينيلين) بيس
	[5-(4-فلوروفينيل)-4،3،1-أوكساديازول]
10	5،1- نفتالين ديول
8	(4،4′-تنتر از ولیل -4″-میثیل)ثلاثي فینیل أمین
11	5،2-بيس -(4-كربوكسي فينيل)-4،3،1- أوكساديازول

الشكل (1-10): مونوميرات تستعمل في PODA

 7 الشكل (2-10): اصطناع مونومير أوكساديازول قابل للتشبيك التصالبي

2.10. البلمرة والتصنيع

يمكن اصطناع بوليميرات PODA بإحدى الطريقتين التاليتين 4 :

- تكوين كِسَر أوكساديازول أثناء اصطناع البوليمير، في الغالب عن طريق بوليمير طليعي.
 - تكاثف مونوميرات تمتلك كِسَر أوكساديازول على نحو سابق.

1.2.10. البلمرة بالتكاثف

في البداية كان اصطناع PODA يجري بتفاعل مركّب بيس تيترازول مع كلوريد ثنائي حمض عطري، مثل p-فينيلين p-5.5 تيترازول وكلوريد الإيزوفتالويل p- التفاعل مبيّن في الشكل (10-3). إلا أن البوليميرات التي نحصل عليها باتباع هذه الطريقة تعاني من الانحلاليّة، وارتفاع الوزن الجزيئي p- .

الشكل (3-10): اصطناع PODA من بيس تيترازول وكلوريد ثنائي الحمض العطري

لقد جرى ذكر طريقة أخرى تتمثّل في تكاثف مركبات بيس-(أميدرازون) مع مركبات كلوريد ثنائي الحمض، متبوعاً بإزالة ضمن جزيئية للنشادر، أو بتكاثف مركبات بيس-(أميدرازون) مثل حمض 4،1-بنزين ثنائي كربوكسيميدك ثنائي هيدرازيد مع أحماض ثنائي كربوكسيليك بتفاعل من مرحلة واحدة. إلا أنّه ليس من اليسير الحصول على مونوميرات بيس-(أميدرازون).

لهذا السبب يُفضل إجراء تفاعل على مرحلتين لمركبات ثنائي الهيدرازيد مع حمض كلوريد ثنائي كربوكسيليك لتكوين بوليميرات پولي (هيدرازيد) في المرحلة الأولى. ويمكن استعمال تنوّع واسع من الكسر العطريّة 12 . وفي الخطوة الثانية، يُنجز التحلّق إلى PODA بتحلّق مع نزع الماء عند 300 °C في الخلاء، أو بتطبيق مذيبات نازعة للماء. وبأسلوب مماثل يمكن صب أو غزل پولي (هيدرازيد) المرحلي، ثُم تُحوّل المادّة المصنوعة إلى PODA.

يعتمد تفاعل التحلّق مع نزع الماء على البنية المورفولوجيّة للبوليمير الطليعي 13. يمكن أن يحدث تفكّك بتفاعل جانبي مما يؤدّي إلى خفض الخواص الميكانيكيّة.

OH OH HNNH
$$CH_2-CH_3$$

$$CH_2-CH_3$$

 14 الشكل (4-10): اصطناع البوليميرات المشتركة من إيثيل كاربازول أوكساديازول

يمكن اصطناع PODA في نوع واحد من الكسر العطرية بنفاعل حمض عطري ثنائي كربوكسيليك مع سلفات هيدرازين، كما هو مُثبت في حالة حمض 4^{\prime} -ثنائي فينيل إيثر ثنائي كربوكسيليك. بهذه الطريقة يجري الحصول على پولي $(4^{\prime}$ -ثنائي فينيل إيثر -4^{\prime} - 4^{\prime} -أوكساديازول (POD-DPE). يجري التفاعل في پولي $(4^{\prime}$ -ثنائي فينيل (PPA). يجب ضبط شروط التفاعل بدقّة، وإلاّ واجهنا تتوّعاً واسعاً في الوزن الجزيئي وفي البنية الجزيئية الضخمة e. ترجع الحساسية العالية لشروط التفاعل إلى اللزوجة العالية لوسط التفاعل، ولتفاعلات الثفكك التي تُسبّبها حموضة المذيب، وللتفاعلات الثانوية. يمكن اصطناع البوليمير الطليعي بتفاعل بلمرة بالتكاثف في المجال من e-e-10 e-10 ألى مشتركاً. ترتبط درجات حرارة الانتقال الزجاجي للبوليمير الطليعي مع لزوجته الجوهرية، مشتركاً. ترتبط درجات حرارة الانتقال الزجاجي للبوليمير الطليعي مع لزوجته الجوهريّة، ومن ثمّ مع وزنه الجُزيَئي. يُسبّب استعمال سلفات الهيدرازين في التفاعل سلفنة جُزئيّة للبوليميرات قابلة للانحلال.

يمكن تحضير بوليميرات مشتركة تمتلك زمر كاربازول وزمر أوكساديازول مباشرة في السلسلة الرئيسية، أي بولي [-8.3-N-1] اليثيل كاربازول -8.3-1 أوكساديازول -8.3-1 أيثيل كاربازول -8.3-1 ثنائي كربوكسيليك وهيدروكلوريد الهيدرازين -8.3-1 يجري التفاعل عند -8.3-1 في -8.3-1 الشكل -8.3-1 هذا الاصطناع.

$$H_{3}C \longrightarrow CH_{3}$$

$$Br_{2}, CCI_{4}$$

$$CH_{2}Br$$

$$CH_{2}Br$$

$$CH_{3}C)_{2}S^{+}CH_{2} \longrightarrow CH_{2}S^{+}(CH_{3})_{2}Br$$

$$OH^{-}$$

 17 الشكل (10-5): البوليميرات المشتركة من أوكساديازول فينيلين فينيلين

يمكن إدخال كسرة الأوكساديازول في السلسلة الرئيسيّة من بولي (ppv-فينيلين ڤينيلين) (PPV) باتباع متتالية من عدّة خطوات 18,17. يبيّن الشكل (10-5) مُخطِّط التفاعل. يجري الحصول على أوليغوميرات قابلة للانحلال في كلِّ من الكلوروفورم ورباعي هيدروفوران. ويمكن تحضير بوليميرات مشتركة متناوبة من 9،9-ثنائي أوكتيل فلورين والأوكساديازول باتباع طريق التيترازول أو تفاعل تقارن سوزوكي (Suzuki) 19. يتمتّع طريق التيترازول بميّرة إمكان تحضير بوليميرات PODA ذات بني جيّدة التعريف، وذلك مقارنة بطرائق تحضير أخرى. تُبدي البوليميرات المشتركة درجات حرارة تفكّك حوالي 430°C.

يمثّل الشكل (10-6) بوليميرات متألّقة كهربائياً تحمل كسرة أوكساديازول 20 . يتمتّع PPV الأوليغوميري بخواص نقل إلكترونات مُحسّنة، وذلك بسبب وجود نتروجين منقوص الإلكترون في الأوكساديازول 21 . تبدي بوليميرات PODA المحتوية على الفلور إصداراً للضوء الأزرق 22 . يبيّن الشكل (10-6) اصطناع پولي ((5،2-بيس -(5-هكسيل أوكسي فينيل)-4،3،1-أوكساديازول)-2،2-ثنائي إيل -ڤينيلين $^{-1}$ -امالانحلال في المذيبات العضويّة، ومستقرٌ حراريًا حتّى $^{-1}$

پولي(فينيلين -4،3،1- أوكساديازول - فينيلين - هيكسافلورو إيزوبروبيليدين)

$$C_{12}H_{25}O$$
 $OC_{12}H_{25}$
 $OC_{6}H_{13}$
 $OC_{6}H_{13}$
 $OC_{6}H_{13}$
 $OC_{12}H_{25}$
 $OC_{12}H_{25}$
 $OC_{12}H_{25}$
 $OC_{12}H_{25}$
 $OC_{12}H_{25}$
 $OC_{12}H_{25}$
 $OC_{12}H_{25}$

بوليمير متناوب أوكساديازول - ألكوكسي فينيلين

الشكل (6-10): بوليميرات تحتوي على الأوكساديازول متألّقة ضوئياً 20

يمكن الحصول على بوليميرات مشتركة عشوائية عن طريق السماح بتفاعل مزيج من حمض ترفتاليك وإيزوفتاليك مع الهيدرازين 24. الوزن الجزيئي للبوليميرات التي يجري يجري الحصول عليها من هذا الطريق أعلى من الوزن الجزيئي للبوليميرات التي يجري الحصول عليها من كلوريد الأحماض الموافقة.

تؤدّي البلمرة بالتكاثف لحمض ترفتاليك، وثنائي ميثيل ترفتالات وسلفات الهيدرازين الى تكوّن بوليميرات مشتركة من p-فينيلين أوكساديازول N-ميثيل هيدرازيد 2^5 . تجري العمليّة في حمض الكبريت المدخّن.

زمرة الأوكساديازول موجودة أصلاً في 202-(أوكسي ثنائي-401-فينيلين)بيس [5-(4-فلوروفينيل)-403،1-أوكساديازول]، انظر الشكل (10-1). يُكاثف المركّب في مركّبات نافتالين ديول متنوّعة مثل 501-نافتالين ديول لينتُج من ذلك أنواعٌ من PODA. جميع البوليميرات مواد لا متبلّرة، وبعضها يقبل الانحلال في مذيبات لا بروتونيّة. يمكن تكاثف مركّبات 207-ثنائي برومو -9H-فلورين الخاضعة للألكلة ذات وحدات كاربازول وأوكساديازول متدليّة بوجود محفّرات نيكل 27,26.

يُسمّى هذا النوع من البلمرة باسم تقارن ياماموتو (Yamamoto) تُبدي البوليميرات المحضرة وفق تقارن ياماموتو درجة أعلى من البلمرة من تلك المحضرة بتفاعل هك (Heck).

2.2.10. البلمرة الآنيونيّة

لقد جرى إثبات أنّ 5.2-بيس - (كلوروميثيل) - 4.3،1- أو كساديازول يمكن أن يخضع لبلمرة آنيونيّة. إذْ يتكوّن پولي (4.3،1- أو كساديازول -5.2- ثنائي إيل -1.2- ڤينيلين) بوجود كحو لات الصوديوم 31 ولكن لا يمكن التحكّم بالتفاعل حتّى في درجات حرارة منخفضة جدّاً مثل $3^{\circ}0$ -. عوضاً عن ذلك، يمكن التحكّم بهذا التفاعل المولّد للحرارة بإجراء البلمرة عند سطح بيني تولوين اماء مع بروميد رباعي بوتيل الفوسفونيوم بصفته مُحفّز انتقال الطور. الآليّة مبيّنة في الشكل (0-0).

تشبه آليّة التفاعل هذه، طريق بلمرة غيلش (Gilch) 32. تُبدي البوليميرات الناتجة أوزاناً جزيئيّة أعلى بشكل ملموس، وتمتلك عيوباً بنيويّة أقلّ من تلك التي يجري تحضيرها عن طريق البلمرة بالتكاثف.

3.2.10. السلفنة

يمكن سلفنة بوليميرات PODA بيسر باستعمال حمض الكبريت. وبالمقابل لا تنجح السلفنة باستعمال حمض كلور الكبريت ثلاثي ميثيل سيليل إستر. يمكن تحقيق درجة سلفنة من 1.0 إلى 4.0. لا تقبل بوليميرات PODA المسلفنة بكِسَر $C(CF_3)_2$ الانحلال في الماء حتّى عند درجة سلفنة قدر ها 2.0 33 .

الشكل (7-10): البلمرة الآنيونيّة لـ 5،2-بيس - (كلوروميثيل) - 4،3،1- أوكساديازول

3.10. الخواص

تُبدي بوليميرات PODA العطريّة استقراراً حراريّاً تمكن إعادته إلى كلّ من الوحدة العطريّة ووحدة الأوكساديازول. يزداد الاستقرار الحراري مع ازدياد المحتوى من كِسَر -p فينيلين في السلسلة الرئيسيّة للبوليمير 24 .

علاوة على ذلك، فهي تُبدي خواص مرغوبة أخرى مثل استقرار جيّد تجاه التحلّل المائي، ودرجات انتقال زجاجي مرتفعة، وثوابت عزل كهربائي منخفضة، وخواص ميكانيكيّة جيّدة. يمكن الحصول على أغشية PODA مرنة فقط عندما تكون اللزوجة الأصيلة للبوليميرات أعلى من 24 2.7 dlg. يمكن تفصيل PODA لإعطائه خواص بلّورات سائلة.

لا تقبل بوليميرات PODA الكاملة العطرية الانحلال في المذيبات العضوية، بل تتحلّ فقط في الأحماض القوية، مثل حمض الكبريت، أو حمض الكلورو سلفونيك، أو حمض ميثان سلفونيك. ولكنّ بإدخال مستبدلات في السلسلة الجانبيّة، تتحسّن قابليّة الانحلال في المذيبات العضويّة تحسّناً ملموساً.

الموصليّة الكهربائيّة لبوليميرات p-PODA عند درجة حرارة الغرفة هي حوالي الموصليّة الكهربائيّة لبوليميرات العازلة الشائعة في حالتها الزجاجيّة. ولكن تُلاحظ موصليّة شاردية عند درجات حرارة تفوق $440\,\mathrm{K}$ يمكن الحصول على بوليميرات PODA موصلة كهربائيّاً بإشابتها بمواد مانحة للإلكترونات أو موادّ مُتقبّلة لها. وتكون بعض أنواع PODA نصف ناقلة، وتُبدي خواص موصليّة ضوئيّة. وهي لذلك

^(*) يجب أن تكون الموصلية الكهربائية Scm^{-1} Scm^{-1} و إلا أصبح البوليمير ناقلاً (المترجم).

تُستعمل في التطبيقات الكهربائيّة. وتُبدي أغشية PODA خواص فصل غازات استثنائيّة 35.

الشكل (8-10): تفاعل الحلمهة وبنية البوليمير المشترك p-فينيلين أوكساديازول \ N-ميثيل هيدرازيد

4.10. تطبيقات

1.4.10. الألياف

تُبدي البوليميرات المشتركة من p-فينيلين أوكساديازول وكسر N-ميثيل هيدرازيد معامل شد ومقاومة شد عاليتين ²⁵. يبين الشكل (10-8) بنية البوليمير المشترك العشوائي. تجذب هذه الخواص المرموقة الاهتمام بهذه المواد في تقوية بعض السلع مثل إطارات السيّارات. لا تُظهر الخيوط المصنوعة من هذه البوليميرات أي تدهور ملحوظ تحت الشروط التي تخضع لها مواد الإطارات أثناء تصنيع الإطارات أو أثناء استعمالها. تُنافس هذه المواد في أدائها في إطارات السيّارات والحبال أداء عوامل التقوية الأخرى مثل الألياف الزجاجيّة، والفولاذ، وبوليمير يولي (p-فينيلين ترفتالاميد).

تُحضر الألياف بسيرورة غزل مبتل، يجري فيها بثق بوليمير مشترك طليعي مع كسر N-ألكيل أوكساديازوليوم هيدروسلفات في حمض الكبريت أو الأوليوم في وسط تختّر مائي. هناك تتكوّن ألياف، ويمر البوليمير المشترك بتفاعل حلمهة ليعطي الهيدرازيد والأوكساديازول 36.

لذلك تسمّى هذه السيرورة باسم تفاعل الغزل. ولقد جرى كشف السريّة عن تفاصل إجرائيّة الغزل هذه. ولمّا كان رأس الغزل، وغيره من التجهيزات على تماس مع حمض الكبريت المركّز وجب أن تُصنع من مواد مُقاومة للحموض 37.

2.4.10. الأغشية الفاصلة

لقد جرت دراسة بوليميرات PODA المسلفنة المحتوية على الفلورين في التطبيقات باعتبارها أغشية تبادل بروتونات في خلايا الوقود ذات الكهرليت البوليميري 38 . البوليمير مستقر حراريًا استقراراً عالياً، ويظهر استقراراً مُحسّناً تجاه التأكسد. ألا أن الموصلية البروتونيّة هي حوالي $^{-3}$ Scm وهي أصغر بخمسين مرّة من تلك الموافقة لأغشية $^{-10^{-3}}$ Nafion.

3.4.10. المُحسّات

بنثر هباب الفحم في بوليمير POD-DPE، يمكن الحصول على مواد مركبة ناقلة. يحسن هباب الفحم الاستقرارية الحرارية. تتخفض الممانعة النوعية بوجه مستمر مع ازدياد الضغط. وعلاوة على ذلك، تبدي المادة المركبة سلوك أنصاف نواقل نموذجية، مميزة بزيادة الموصلية مع ارتفاع درجة الحرارة 39. إنّ الخواص الحرارية والكهربائية والحساسية للضغط تجعل هذا المركب مرشحاً جيّداً لتصنيع مُحسّات الضغط في درجات حرارة محيطة مرتفعة.

4.4.10. التجهيزات المصدرة للضوء

يجد عدد من مشتقات الأوكساديازول، التي هي ليست بوليميرات بالضرورة، استعمالاً له في التجهيزات المُصدرة للضوء 40. يُبرَّر هذا بكون زمرة الأوكساديازول واحدة من أفضل البنى الناقلة للإلكترونات 20. المادّة الشائعة هي 2-(4-بيفينيليل)-5-(4-ترت-بوتيل فينيل)-443،1- أوكساديازول (PBD) وهي تؤدي دور مادّة ناقلة للإلكترونات. إنّ PBD ليس بوليميراً، بل هو مركّبٌ منخفض الوزن الجزيئي.

يؤدي پولي (N-ڤينيل كاربازول) (PVK) دور بوليمير ناقل للثقوب. ويمكن استعمال المعقّدات مثل تريس (2-فينيل بيريدين) إيريديوم بصفتها مواد ضيفة 41 . وتستعمل مزائج

من PVK و PBD بنسبة 40:100 مجتمعة مع أصبغة عضويّة 42. ويُعدّ كلِّ من الكومارين بإصداره للون الأزرق، والكومارين 6 المصدر للون الأخضر، وأحمر النيل المُصدر للون الأحمر، مثالاً على صباغ عضوي.

يُبدي PBD أعمار عمل قصيرة، بسبب إعادة تبلّره أو تعنقده. يؤدي ذلك إلى انفصال الطور، وتكوّن أفخاخ لحوامل الشحنات، تسبّب تثبيط إصدار الضوء. لهذا السبب، جرى اقتراح ربط بنية PBD الناقلة للإلكترونات بسلسلة بوليميريّة في مادّة لا متبلورة. وفي هذا السياق جرى ذكر بوليميرات بولي (ميتاكريلات الميثيل) مع زمر أوكساديازول جانبيّة ⁴³. يمكن لزمرة الأوكساديازول أن تكون جزءاً من السلسلة البوليميريّة الرئيسيّة، الى جانب كسر كاربازول أو كسر فينيلين قينيلين قينيلين 17,14.

لقد جرى وصف مونوميرات أوكساديازول قابلة للتشبيك التصالبي ذات وحدات أكريليك متدلّية 7. الاصطناع مبيّن في الشكل (2-10). يمكن توجيه الجزيئات، ومن ثم تجميدها بالبلمرة أو بعمليّة تشبيك تصالبي، مُولّدة بذلك مادّة ذات خواص غير متماثلة المناحى.

يمكن بلمرة مونوميرات القينيل مع كسر أوكسازول متدلية بلمرة مشتركة مع مونوميرات أخرى مثل PVK. تعطي 2- فينيل -5-4-[(4-ڤينيل فينيل) ميثوكسي إفينيل مونوميرات أخرى مثل PVK. تعطي 2- فينيل) -5-4-[(4-ڤينيل فينيل) ميثوكسي إفينيل -4،3،1-أوكساديازول و 2-(4-ترت -بوتيل فينيل) -5-4-[(4-ڤينيل فينيل) ميثوكسي إفينيل الشحنة في الزمر -4،3،1-أوكساديازول أمثلة على ذلك 44. بهذه الطريقة توجد كسر نقل الشحنة في الزمر الجانبية للبوليميرات. تعطي عملية البلمرة المشتركة بوليميرات مشتركة متجانسة من الناحية الإحصائية، في طيف واسع من التركيبات، ومن ثم خواص نقل للشحنات قابلة للتوليف. ولأنّ درجات حرارة الانتقال الزجاجي لهذه البوليميرات المشتركة مرتفعة، ليس هناك أيّة إمكانيّة لانفصال طور وحدات الأوكساديازول عبر إعادة التبلّر. لقد جرى صنع تجهيزات وحيدة الطبقة مُشابة بالصباغ مُصدرة للضوء الأزرق والأخضر والبرتقالي.

بديلاً لما سبق، فقد جرى اصطناع مركبات شجرية التشعب أو نجمية تحتوي على الأوكساديازول، قادرة على تكون زجاج مستقر ⁴⁵. ولقد جرى استعراض الطرائق العامة حول كيفية اصطناع هذا النوع من البوليميرات في الأدبيّات ⁴⁶.

5.4.10. طلائع الغرافيت

-4·3·1 يمكن غرفَتَةُ أنواع PODA العالية العطريّة، مثل پولي (-9-فينيلين -4·3·1 أوكساديازول) التعطي غرافيتاً عالي النوعيّة 47 . تجري عمليّة الغرفَتَة عند درجات حرارة PODA أوكساديازول) من أغشية PODA المعالجة عند 3000° C تمّ الحصول على موصليّة كهربائيّة في المجال $^{-}$ 1.4 $^{-}$ 1.4 $^{-}$ 1.8 $^{-}$ 1.5 كما جرى الحصول على ألياف غرافينيّة تمتازة $^{-}$ 4.8 تتمتّع بخواص ميكانيكيّة ممتازة $^{-}$ 4.8 ألياف عمتازة $^{-}$ 5.

5.10. الموردون والعلامات التجارية

يبيّن الجدول (10-2) الموردين والعلامات التجاريّة. ويبيّن الجدول (10-3) الأسماء التجاريّة الواردة في المراجع.

الجدول (10-2): أمثلة على بوليميرات PODA المتوفرة تجارياً

ملاحظات	المُنتج	الاسم التجاري
ألياف پولي (أوكساديازول)	Gordono KHIMVOLOKNO	Oxalon®

الجدول (10-3): الأسماء التجارية الواردة في المراجع

المورّد	الاسم التجاري
	الوصف
Kaneka	Apical ®
	پولي (إيميد) ⁴²
Dupont-Toray Co., Ltd.	Kapton ®
	پولي (إيميد) ⁴²
Shipley Company Inc.	Multiposit ® XP-9500
	راتنج اپيوكسي متصلّد حرارياً ⁴²
Dupont	Mylar ® (Series)
	پولي (ترفتالات الإيثيلين) ⁴²
Gordono KHIMVOLOKNO	Oxalon®
	ألياف پولي (أوكساديازول) ⁴
General Electric	Ultem® 6050
	پولمی (ایشر ایمید سلفون) ⁴²
Ube Industries, Ltd	Upilex® 6050
	پولي (ايميد) ⁴²

بعض المركبات المونوميرية المحتوية على كسر أوكساديازول معروفة بكونها تسبّب التخريّش. ومن جهة أخرى يُستخدم هذا الصفّ من المواد في تطبيقات طبيّة.

المراجع

- 1. C. J. Abshire and C. S. Marvel. "Some oxadiazole and triazole polymers." *Makromoleculare Chemie*: vols. 44-46, 1961, pp. 388–397.
- 2. P. E. Cassidy and N. Fawcett. "Thermally stable polymers: Polyoxadiazoles, polyoxadiazole-N-oxides, polythiazoles, and polythiadiazoles." *Journal of Macromolecular Science. Reviews in Macromolecular Chemistry*, C17 (2), 1979, pp. 209–266.
- 3. M. J. Nanjan. *Polyhydrazides and polyoxadiazoles*. InH.F.Mark, N. Bikales, C. G. Overberger, and G. Menges, editors, *Encyclopedia of Polymer Science and Engineering*. 2nd ed. New York: Wiley Interscience, 1988. vol. 12, pp. 332-339.
- 4. B. Schulz, M. Bruma, and L. Brehmer. "Aromatic poly(1,3,4-oxadiazole)s as advanced materials." *Advanced Materials*: vol. 9, 1997, pp. 601–613.
- S. G. Kucukguzel, I. Kucukguzel, E. Tatar, S. Rollas, F. Sahin, M. Gulluce, E. De Clercq, and L. Kabasakal. "Synthesis of some novel heterocyclic compounds derived from diffunisal hydrazide as potential anti-infective and anti-inflammatory agents." *European Journal of Medicinal Chemistry*: vol. 42, no. 7, July, 2007, pp. 893–901.
- 6. Y.-P. Luo and G.-F. Yang. "Discovery of a new insecticide lead by optimizing a target-diverse scaffold: Tetrazolinone derivatives." *Bioorganic and Medicinal Chemistry*: vol.15, no. 4, February 2007, pp.1716–1724.
- 7. P. Kirsch and A. Hahn. Oxadiazole derivative and its use as charge transport and light emitting material. US Patent 6 863 841, assigned to Merck Patent GmbH (Darmstadt, DE), 8 March 2005.
- 8. R.-H. Lee, H.-F. Hsu, L.-H. Chan, and C.-T. Chen. "Synthesis and electroluminescence properties of a novel tetraphenylsilane-oxadiazole-diphenyl(para-tolyl)amine polymer." *Polymer*: vol. 47, no. 20, September 2006, pp. 7001–7012.

- 9. D. Gomes, C. Borges, and J. C. Pinto. "Effects of reaction variables on the reproducibility of the syntheses of poly-1,3,4-oxadiazole." *Polymer*: vol. 45, no. 15, July 2004, pp. 4997–5004.
- F. A. Bottino, G. Di Pasquale, and A. Pollicino. "Synthesis and characterization of new poly(arylene ether 1,3,4-oxadiazole)s based on dihydroxynaphthalene isomers." *Polymer Bulletin*: vol. 45, 2000, pp. 345–350, 2000.
- 11. C. C. McDowell, J. M. Partin, B. D. Freeman, and G. W. McNeely. "Acetone solubility and diffusivity in poly(ethylene terephthalate) modified with low levels of 2,6-naphthalene dicarboxylic acid, isophthalic acid, and 2,5-bis(4-carboxyphenyl)-1,3,4-oxadiazole." *Journal of Membrane Science*: vol. 163, no. 1, October 1999, pp. 39–49.
- 12. J. W. Connell, P. M. Hergenrother, and P. Wolf. Poly(1,3,4-oxadiozoles) via aromatic nucleophilic displacement. US Patent 5 118 781, assigned to Administrator of the National Aeronautics and Space Administration (Washington, DC), 2 June 1992.
- 13. E. Leibnitz. "Zur Optimierung der Synthese von Poly(*p*-phenylen-1,3,4-oxadiazol) in Oleum (Optimization of preparation of poly(*p*-phenylene-1,3,4 oxadiazole) in oleum)." *Die Angewandte Makromolekulare Chemie*: vol. 204, 1993, pp. 101–110.
- P. Denisevich, Jr., A. H. Schroeder, V. P. Kurkov, and S. Suzuki. Carbazole oxadiazole electroactive polymers. US Patent 4 597 896, assigned to Chevron Research Company (San Francisco, CA), 1 July 1986.
- 15. D. Gomes, S. P. Nunes, J. Carlos Pinto, and C. Borges. "Synthesis and characterization of flexible polyoxadiazole films through cyclodehydration of polyhydrazides." *Polymer*: vol. 44, no. 13, June 2003, pp. 3633–3639.
- D. Gomes, J. Roeder, M. L. Ponce, and S. P. Nunes. "Characterization of partially sulfonated polyoxadiazoles and oxadiazole-triazole copolymers." *Journal of Membrane Science*: vol. 295, nos. 1-2, May 2007, pp. 121–129.
- 17. S. Yin, J. Peng, C. Li, W. Huang, X. Liu, W. Li, and B. He. "Heterocycle-substituted poly(*p*-phenylene vinylene) for light-emitting devices." *Synthetic Metals*: vol. 93, no. 3, March 1998, pp. 193–195.
- 18. Z. Wang, S. Yin, X. Yang, Z. Sun, X. Xu, and X. Zhang. "Interchain charge-transfer states in poly[(2,5-diphenylene-1,3,4-oxadiazole)-4,4'-vinylene] (O-PPV) oligomer." *Chemical Physics Letters*: vol. 307, nos. 1-2, June 1999, pp. 75–80.
- 19. J. Ding, M. Day, G. Robertson, and J. Roovers. "Synthesis and characterization of alternating copolymers of fluorene and oxadiazole." *Macromolecules*: vol. 35, no. 9, April 2002, pp. 3474–3483.
- 20. L. Akcelrud. "Electroluminescent polymers." *Progress in Polymer Science*: vol. 28, no. 6, June 2003, pp. 875–962.

- 21. X. Yang, Y. Hua, S. Yin, Z. Wang, Y. Hou, Z. Xu, X. Xu, J. Peng, and W. Li. "A novel oligomer poly(phenylene vinylene) derivative containing oxadiazole segment." *Synthetic Metals*: vols. 111-112, June 2000, pp. 455–457.
- 22. Q. Pei and Y. Yang. "Bright blue electroluminescence from an oxadiazole containing copolymer." *Advanced Materials*: vol. 7, no. 6, 1995, pp. 559–561.
- 23. S.-Y. Song, M. S. Jang, H.-K. Shim, I.-S. Song, and W.-H. Kim. "New soluble light-emitting diode polymer containing oxadiazole unit." *Synthetic Metals*: vol. 102, nos. 1-3, June 1999, pp. 1116–1117.
- 24. E. R. Hensema, J. P. Boom, M. H. V. Mulder, and C. A. Smolders. "Two reaction routes for the preparation of aromatic polyoxadiazoles and polytriazoles: Syntheses and properties." *Journal of Polymer Science Part A: Polymer Chemistry*: vol. 32, no. 3, 1994, pp. 513–525.
- 25. H. C. Bach, F. Dobinson, K. R. Lea, and J. H. Saunders. "High-strength/highmodulus fibers of *p*-phenylene oxadiazole/*n*-methyl hydrazide copolymers a new class of high-performance organic materials." *Journal of Applied Polymer Science*: vol. 23, no. 7, 1979, pp. 2125–2131.
- 26. Y. Jin, J. Y. Kim, S. H. Park, J. Kim, S. Lee, K. Lee, and H. Suh. "Syntheses and properties of electroluminescent polyfluorene-based conjugated polymers, containing oxadiazole and carbazole units as pendants, for LEDs." *Polymer*: vol. 46, no. 26, December 2005, pp. 12158–12165.
- 27. S.-J. Lee, J. R. Gallegos, J. Klein, M. D. Curtis, and J. Kanicki. "Poly(fluorene-oxadiazole) copolymer-based light-emitting devices on a plastic substrate." *Synthetic Metals*: vol. 155, no. 1, October 2005, pp. 1–10.
- 28. T. Yamamoto. "Electrically conducting and thermally stable π -conjugated poly(arylene)s prepared by organometallic processes." *Progress in Polymer Science*: vol. 17, no. 6, 1992, pp. 1153–1205.
- 29. A.-D. Schlüter and G. Wegner. "Palladium and nickel catalyzed polycondensation -the key to structurally defined polyarylenes and other aromatic polymers." *Acta Polymerica:* vol. 44, no. 2, 1993, pp. 59–69.
- 30. J. A. Mikroyannidis. "Synthesis, characterization and photophysics of novel conjugated polymers with 1,3,4-oxadiazole pendant on a vinylene unit." *Synthetic Metals*: vol. 145, nos. 2-3, September 2004, pp. 271–277.
- 31. R. Zhang, R. Jordan, and O. Nuyken. "Preparation of poly(1,3,4-oxadiazole2,5-diyl-1,2-vinylene) via anionic mechanism." *Macromolecular Rapid Communications*: vol. 24, 2003, pp. 246–250.
- 32. J. Wiesecke. "Untersuchungen zum Polymerisationsmechanismus der Gilch-Reaktion." (Ph. D Thesis, Technische Universität Darmstadt, Darmstadt, 2004).

- 33. S. Vetter and S. P. Nunes. "Synthesis and characterization of new sulfonated poly(arylene ether 1,3,4-oxadiazole)s." *React. Funct. Polym.*, 61(2):171–182, September 2004.
- 34. T. Tsutsui, Y. Fukuta, T. Hara, and S. Saito. "Electronic conduction in poly(*p*-phenylene-1,3,4-oxadiazole) films." *Polymer Journal* (Tokyo): vol. 19, 1987, pp. 719–725.
- 35. B. Gebben. "Thermally stable and chemically polymer membranes-aromatic polyoxadiazoles and polytriazoles." (Ph. D Thesis, Twente University, Enschede, Holland, 1988).
- 36. H. C. Bach. Novel process for the preparation of fiber of arylene oxadiazole/arylene *N*-alkylhydrazide copolymer. US Patent 4 115 503, assigned to Monsanto Company (St. Louis, MO), 19 September 1978.
- 37. H. C. Bach. Fibers of arylene oxadiazole/arylene *N*-alkylhydrazide copolymer. US Patent 4 202 962, assigned to Monsanto Company (St. Louis, MO), 13 May 1980.
- 38. X. Y. Shang, D. Shu, S. J. Wang, M. Xiao, and Y. Z. Meng. "Fluorene-containing sulfonated poly(arylene ether 1,3,4-oxadiazole) as proton-exchange membrane for pem fuel cell application." *Journal of Membrane Science*: vol. 291, nos.140–147, March 2007.
- 39. F. G. Souza, Jr., M. E. Sena, and B. G. Soares. "Thermally stable conducting composites based on a carbon black-filled polyoxadiazole matrix." *Journal of Applied Polymer Science*: vol. 93, no. 4, March 2004, pp. 1631–1637.
- 40. S. H. Chen, A. C.-A. Chen, J. U. Wallace, and L. Zeng. Light-emitting organic materials. WO Patent 2 007 016 454, assigned to Univ. Rochester (US); Chen Shaw H (US); Chen Andrew Chien-an (US); Wallace Jason U (US); Zeng Lichang (US), 8 February 2007.
- 41. S. Seo, M. Murakami, and S. Yamazaki. Organic light emitting element and light emitting device using the element. US Patent 7 199 515, assigned to Semiconductor Energy Laboratory Co., Ltd. (Kanagawa-ken, JP), 3 April 2007.
- 42. A. R. Duggal and J. D. Michael. Method for making an OLED device. US Patent 7 198 533, assigned to General Electric Company (Niskayuna, NY), 3 April 2007.
- 43. N. N. Barashkov, T. V. Sakhno, N. N. Alekseev, T. M. Murav'eva, L. M. Bulgakova, and L. A. Gorbunov. "Spectral and luminescence properties of copolymers of poly(methy methacrylate) and poly(allyl carbonate) with fragments of anthracene and diphenyloxadiazole." *Zhurnal Prikladnoi Spektroskopii*: vol. 53, 1990, pp. 386–391.
- 44. X. Jiang, R. A. Register, K. A. Killeen, M. E. Thompson, F. Pschenitzka, and J. C. Sturm. "Statistical copolymers with side-chain hole and electron transport groups for single-layer electroluminescent device applications." *Chemistry of Materials*: vol. 12, no. 9, 2000, pp. 2542 2549.

- 45. J. Bettenhausen, M. Greczmiel, M. Jandke, and P. Strohriegl. "Oxadiazoles and phenylquinoxalines as electron transport materials." *Synthetic Metals*: vol. 91, nos. 1-3, December 1997, pp. 223–228.
- 46. K. Inoue. "Functional dendrimers, hyperbranched and star polymers." *Progress in Polymer Science*: vol. 25, no. 4, May 2000, pp. 453–571.
- 47. H. Yasujima, M. Murakami, and S. Yoshimura. "Electrical properties of pyrolytic polyoxadiazole." *Synthetic Metals*: vol. 18, nos. 1-3, February 1987, pp. 527–530.
- 48. M. Murakami, K. Watanabe, and S. Yoshimura. Production of graphite fiber. JP Patent 63 256 721, assigned to Japan Res Dev Corp; Matsushita Electric Ind Co. Ltd, 24 October 1988.

بولیمیرات پولی (نفتالات)

يمكن الرجوع بطرائق الاصطناع الصناعية للبوليسترات إلى كاروذرز (Whinfield). لقد اكتشف پولي (ترفتالات الإيثيلين) من قبل وينفيلد (Dikson) وديكسون (Dikson) في أربعينات القرن الماضي 3-1. وفي الوقت نفسه جرى وصف پولي (نفتالات الإيثيلين) في الأدبيّات 4. ولقد جرى البدء بإنتاجه صناعيّاً مباشرة بعد ذلك من قبل شركتي ICI و DuPont.

1.11. المونوميرات

1.1.11 حمض نفتالين ثنائي الكربوكسيليك

يمكن تحضير حمض 6.2-نفتالين ثنائي كربوكسيليك الخام (2,6-NDA) بأكسدة 26.2- ثنائي ألكيل نفتالين في الطور السائل بالأوكسجين الجزيئي بوجود محفّز من معدن انتقالي ومعزر أكسدة. نموذجياً، تشتمل هذه المحفّزات على مزائج من الكوبالت والمنغنيز المعزرة بالبروم بصفته مُعزر أكسدة. يحتوي 2,6-NDA المحضّر بهذه الطريقة على شوائب مثل حمض ثلاثي الميلينيك (TMLA)، وألدهيدات. يبيّن الجدول (1-1) الكميّات النموذجيّة من الشوائب.

ينتج TMLA من أكسدة إحدى حلقات جزيئة 6.2-ثنائي ميثيل نفتالين. وينتج حمض 2-فورميل -6-نفتويك من الأكسدة غير الكاملة لإحدى زمر الميثيل في جزيئة 6.2-ثنائي ميثيل نفتالين 5.

عند استعمال البروم بصفته مُعزّز أكسدة، تحدث بَرْوَمَة حلقة النفتالين أثناء تفاعل الأكسدة، ويؤدّي ذلك إلى تكوّن حمض برومونفتالين ثنائي كربوكسيليك. يؤدي فقدان إحدى مكوّنات الميثيل أو الكربوكسيليك أثناء تفاعل الأكسدة إلى تشكّل حمض 2-نفتويك.

الجدول (1-11): الشوائب في حمض نفتالين ثنائي كربوكسيليك الخام 6

الكميّة \ [ppm]	المركّب
140	كوبالت
676	منغنيز
130	حمض ثلاثي ميليتيك
5590	2-فورميل -6-نفتويك

إذا جرى استعمال PEN الخام نقطة انطلاق لتحضير پولي (نفتالات الإيثيلين) (PEN)، كان بوليمير PEN الناتج ملوناً أحياناً. ويمكن أن تتلطّخ القوالب أثناء عملية القولبة مما يؤدي إلى إنقاص شفافية المُنتج، ويُقلل من نوعيّة المُنتج، وبهدف الحصول على بوليميرات PEN ذات نوعيّة عالية ينبغي تنقية 2,6-NDA الخام قبل استعماله نقطة انطلاق لتحضير PEN .

يمكن تتقية 2,6-NDA بأسترته مع الميثانول، للسماح بالتبلّر الجزئي اثنائي ميثيل -6،2-نفتاليـن ثنائي كربوكسيــلات (NDC) ولأحادي ميثيــل -6،2-نفتالين ثنائي كربوكسيلات.

تشتمل طريقة تنقية أخرى على حلّ حمض المادة الخام في الماء في حالة فوق أو تحت حدّية، ثمّ إعادة تبلّرها. إلا أنّ سيرورة تكاثف في مرحلتين أبسط، حيث يتكوّن في المرحلة الأولى أوليغومير تجري تنقيته، ثمّ تأتي مرحلة تكاثف ثانية للوصول إلى المُنتج ذي الوزن الجزيئي الأعلى 6.

تمتلك نواتج التأكسد الجزئي المُؤسَّرة، الناتجة أثناء عمليّة الأسترة، نقاط غليان أخفض بشكل ملموس من إسترات حمض ثنائي الكربوكسيليك. لذلك تمكن تنقية أحماض آريل ثنائي الكربوكسيلك الخام بأسترة متبوعة بتقطير دون تدخّل أية معالجة كيميائيّة، مثل الهدرجة أو المعالجة بالسلفيت. يمكن بعد ذلك إخضاع إسترات حمض ثنائي الكربوكسيلك للبلمرة بالأسترة لإنتاج راتنج البوليستر 5.

يمكن استعمال الشوائب المستخلصة من تقطير نواتج الأسترة بإعادة إدخالها في مُفاعل الأكسدة حيث تؤدّي دور مُعزّزات أكسدة، مُتيحة بذلك إجراء عملية أكسدة خالية من البروم لهيدروكربونات الأريل المُستبدلة.

2.11. البلمرة والتصنيع

لقد استعرض بانغ (Pang) السيرورات التقليديّة والجديدة لبلمرة البوليسترات إضافة إلى خواص هذا الصف من البوليميرات². تمر الطرائق التقليديّة للبلمرة بالتكاثف عبر الأسترة التبادليّة لإستر ثنائي الميثيل مع مركّبات ديول، أو عن طريق الأسترة المباشرة لأحماض ثنائيّة مع مركّبات ديول. وتحاول طرق مطورّة حديثاً إزالة الأوليغوميرات الحلقيّة التي تتكوّن أثناء البلمرة بالتكاثف. إضافة إلى ما سبق هناك طريق يعتمد على تحويل الأوليغوميرات الحلقيّة إلى بوليميرات خطيّة ذات وزن جزيئي مرتفع بطرائق اللمرة بفتح الحلقات.

1.2.11. يولى (نفتالات الإيثيلين)

لقد وُصف PEN أوّل مرّة عام 1948 . وهو يُحضّر تجاريّاً بتفاعلٍ ذي مرحلتين مكوّن من:

- 1. أسترة بين حمض 6،2-نفتالين ثنائي كربوكسيليك والغليكول للحصول على مركب إستريّ منخفض الوزن الجزيئي.
- 2. تفاعل بلمرة بالتكاثف للمركب الإستريّ للحصول على بوليمير PEN مرتفع الوزن الجزيئي.

يمكن إمّا استعمال NDC أو الحمض نفسه. عند استعمال إستر ثنائي الميثيل، نحتاج خلاّت التوتياء أو خلاّت المنغنيز بصفته مُحفّزاً عند درجة حرارة 260° C حلاّت المنغنيز بصفته مُحفّزاً عند درجة حرارة $(\beta$ - هيدروكسي إيثيل) نفتالات، أو ماقبل بوليميره المنخفض الكتلة. ولكن عند استعمال الحمض، لا نحتاج محفّزاً أثناء مرحلة الأسترة الأولى.

بعد الأسترة، يمكن بيسر بلمرة الإسترات المنخفضة الأوزان الجزيئيّة بلمرة بالتكاثف بوجود محفّز بلمرة مثل ثلاثي أوكسيد الأنتيمون، عند درجة حرارة تفاعل -300° C وتحت ضغط منخفض لأقلّ من 1torr لإنتاج بوليمير مرتفع الوزن الجزيئي 7.

لمّا كان PEN يمتلك حلقات نفتالين في بنيته الجزيئية، ويتمتّع بلزوجة صهارة أعلى من تلك الموافقة لبوليمير بولي (إيثيلين ترفتالات) (PET)، فإنّه يحتاج عند البلمرة درجات

حرارة أعلى، وذلك مقارنة بـ PET. لذلك نجد PEN أكثر عرضة للتلوّن بسبب الشوائب والأكسدة من PEN. ولقد جرى اقتراح عدّة تنويعات على إجرائيّة تصنيع PEN.

PEN على المستوى الصناعي، يمكن قرن سيرورة إنتاج 2,6-NDA بسيرورة إنتاج المستوى الصناعي، يمكن قرن سيرورة إنتاج البعض. يؤدي ذلك إلى حذف بعض إذا كانت منشأتا التصنيع قريبتين من بعضهما البعض. يؤدي ذلك إلى حذف بعض الخطوات المرحليّة، مثل تجفيف 2,6-NDA والتعامل مع 2,6-NDA الصلب8.

1.1.2.11. الأسترة

يتطلّب إنهاء تفاعل الأسترة فترة طويلة من الزمن. ويمكن أن يترافق تفاعل الأسترة مع تكوّن نواتج تفاعل يمكنها على سبيل المثال أن تشوّه مظهر قالب PEN الناتج.

لذلك، فإنّ تسريع تفاعل الأسترة لا يفيد فقط في تقصير الزمن اللازم لإنتاج PEN، بل يؤدّي أيضاً إلى الإقلال من تكوّن نواتج التفاعل التي تسبّب تدهوراً في نوعيّة المُنتج النهائي، وهذا ما يُعطى لعمليّة التسريع قيمة تقانيّة رائعة.

يقود تفاعل 2,6-NDA مع الإيثيلين غليكول إلى تكوين نواتج ثانوية، مثل أوليغوميرات إيثريّة تحمل وحدات ثنائي إيثيل غليكول. تُسبّب هذه الكِسَر تدهوراً في نوعيّة المنتج، وفي المظهر النهائي لبوليمير PEN الذي نحصل عليه.

وبهدف تقليل وحدات ثنائي الإيثيلين في المادّة التي يجري تكثيفها، يمكن إجراء عمليّة التكاثف على مرحلتين. في المرحلة الأولى، يُكاثف 2.6-NDA مع الإيثيلين غليكول بوجود الماء في محمّ تحت ضغط من الآزوت قدره $10\,\mathrm{kp\,cm^{-2}}$ ودرجة حرارة $250\,\mathrm{c}$ لمدّة ساعتين. ثُمّ يُبرّد المحمّ ويُسترجع المزيج السائل من المُنتج المتبلّر. يتكوّن المُنتج المتبلّر من NDA، وأحادي الإستر $2-\mathrm{كربوكسي}$ - $3-\mathrm{succ}$ وثنائي الأوليغوميرات. $30-\mathrm{succ}$

إذا جرى في المرحلة الأولى المتكاثف، ضغط المحمّ ليس فقط بالآزوت بل أيضاً بضغط جزئي من الهيدروجين، كانت الشوائب في NDA مُهدرجة 6. الشوائب المُهدرجة قابلة للانحلال في محلول مائي من الإيثلين غليكول، يمكن منه إعادة تبلّر الأوليغو إسترات.

وأيضاً في طريقة أخرى، يمكننا السماح للألدهيدات، المحتواة في 2.6-NDA الخام، أن تتفاعل مع سُلفيت لتعطي منتجات ألدهيديّة، تُحلّ المنتجات الألدهيديّة في محلول مائي 2.6

ولقد جرى اقتراح إجرائية بديلة، يجري فيها تغذية مستمرة بطين مكون من المواد المتفاعلة، ولكنّه محضر من الميثانول بدلاً من الماء لتسريع مرحلة الأسترة ⁷. السيرورة ممكنة حتّى تحت الضغط الجوّي.

2.1.2.11. البلمرة بالتكاثف

تجري أسترة المُنتج المتبلّر المسترجع من سيرورة التنقية بالمحمّ المرحليّة 9 أسترة إضافيّة بالإيثيلين غليكول عند 200° عند 200° حيث يجري تقطير الماء الناتج.

التفاعلات الجانبية هي تكون زمر محذوفة الماء من زمر 2-هيدروكسي إيثيل إستر المتدليّة لينتج منها زمر ڤينيل إستر متدليّة. يمكن لهذه أن تتفاعل لاحقاً تحت طرد خلاّت الألدهيد. المُحفّزات المناسبة هي مركّبات الجرمانيوم، مثل أوكسيد الجرمانيوم، وخلاّت التوتياء، وخلاّت المنغنيز ⁹، أو تشكيلة من ثلاثي أوكسيد الأنتيمون وثلاثي ميثيل الفوسفات ⁷.

ولكن توجد هناك مصادر قلق تتعلَّق بالبيئة والصحة العامّة، حول درجة التحميل بالمعادن، واستعمال المعادن الثقيلة، بما في ذلك المحفّزات المؤسّسة على الأنتيمون، في تصنيع مواد التغليف البوليميريّة للمواد الغذائيّة 10.

3.1.2.11 التبلّر

إنّ بوليميرات PET و PEN المُنتَجَة بالبلمرة في طور الصهارة، هي في طبيعتها تامّة اللاتبلّر تقريباً. يمكن أن يتبلّر PEN إمّا انطلاقاً من الحالة الزجاجيّة أو من الحالة المنصهرة. يمكن الحصول على تعديل متبلّر من النمط α لبوليمير PEN عند تبلّره من الحالة الزجاجيّة، في حين نحصل على تعديل متبلّر من النمط β عندما يتبلّر الحالة المنصهرة عند درجة حرارة أعلى. ولكن يمكن الحصول على تبلّر من النمط α عندما يتبلّر من النمط α من صهارة ذات درجة حرارة منخفضة α أضافة عامل تنوية،

بنزوات الصوديوم (SB) مثلاً، يؤثّر في التعديل البلّوري، وفي سلوك صهارة بوليمير PEN وذلك عندما يتبلّر مزيجُ PEN مع SB عند درجات حرارة مرتفعة، ولكن ليس عند درجات الحرارة المنخفضة. يلاحظ تكون مزيج من بلّورات PEN من النمطين α و β . في منحنيات المقياس الحراري بالمسح التفاضلي (DSC) تظهر قمّتا انصهار متداخلتان عندما تجري بلورة PEN تحت درجات حرارة عالية بوجود SB، وذلك بدلاً من نمط بلّوري واحد وقمّة انصهار واحدة في حالة PEN النقي 12 .

يجري عادة تحويل بوليميرات البوليستر اللامتبلّرة من الحالة اللامتبلّرة إلى الحالة البلّوريّة، وذلك قبل الوصول إلى بلمرة الحالة الصلبة وذلك لرفع درجة حرارة دبقها. يجري ذلك لمنع كريّات أو رقائق ما قبل بوليمير البوليستر من الالتصاق معاً لتكوّن كتلة صلبة واحدة عندما يجري التعامل معها في درجات حرارة مرتفعة 13.

عندما يجري تسخين بوليستر لا متبلّر من درجة حرارة المحيط إلى أعلى من درجة حرارة انتقاله الزجاجي T_{g} ، فإنّه يصبح طريّاً ودبقاً قبل أن يبدأ بالتبلّر. إنّ درجة حرارة التدبّق لبوليستر غير متبلّر هي حوالى 20° C أعلى من درجة حرارة انتقاله الزجاجي T_{g} ولكنّ معدّل تبلّر البوليستر لا يصبح سريعاً بالقدر اللازم للعمليّات التقنيّة حتى تُرفع درجة حرارته فوق ذلك بمقدار T_{g} إضافيّة. ولتحقيق أعلى معدّل للتبلّر يجب رفع درجة حرارة البوليستر حتّى أكثر من ذلك.

يمتلك PET درجة حرارة انتقال زجاجي T_s قدرها 74° C، ودرجة حرارة التدبق قدرها 95° C. ويبقى معدّل التبلّر منخفضاً حتّى يجري رفع درجة حرارة PET إلى ما يفوق 95° C وعملياً تجري عموماً بلورة PET عند درجات حرارة تتراوح بين 90° C 125° C.

يمتلك PEN درجة حرارة انتقال زجاجي $T_{\rm g}$ قدرها 7° C1، ونقطة انصهار بلّوري $T_{\rm m}$ قدرها 270° C ويُبدي ذروة تبلّر بين 700° C و 700° C أمّا درجة حرارة التبلّر تدبّقه فهي حوالى 700° C عندما يكون في حالته اللامتبلّرة. أمّا درجة حرارة التبلّر المنصوح بها لبوليمير PEN فهي في المجال 700° C المنصوح بها لبوليمير

أثناء عمليّة التبلر، يمر البوليستر بمرحلة دَبِقة. يحدث ذلك في الفترة الزمنيّة بين اللحظة التي تتجاوز فيها حرارة البوليستر درجة حرارة التدبّق، واللحظة التي يصبح فيها

البوليستر جيّد التبلّر. لذلك يجب أن توفّر معظم الأجهزة التجاريّة للبلورة المستمرّة للبوليسترات تحريكاً نشطاً منعاً من تعنقد أو تكتّل كريّات البوليستر. هناك نوعان واسعا الاستعمال من تجهيزات البلورة المستمرّة، وتحديداً، الأوعية الهزّازة، والأسرّة المميّعة.

إلا أنّه يمكن لما قبل البوليمير (البوليمير المرحلي) أن يمتص الرطوبة من الجو ضمن الظروف المحيطة أثناء تكون الكريّات أو غير ذلك من العمليات. تكون الرطوبة، أو المحتوى المائي مكوناً طيّاراً مهماً، يجب أخذه في الحسبان أثناء تسخين الكريّات عند التبلّر.

عند تعريض كريّات PEN للشروط المطلوبة للتبلّر، تخضع الكريّات لتمدّد سريع وهي تُسخَّن إلى ما يُقارب درجة حرارة التبلّر. ينتج من ذلك تكوّن قشرة منتفخة، تصبح دبقة جداً، على مُعظم الكريّات. وبثوانٍ تتعنقد الكريّات بقوّة مكوّنة تكتّلات ضخمة، لاتصمد أمام التحريك النشط.

يمكن منعاً من تكون القشرة المنتفخة، أن يجري تبلّر كريّات PEN تحت ضغط مساو أو أعلى من ضغط أبخرة المركّبات الطيّارة المحتواة في كريات PEN. وهذا ما يفيد في تجنّب تشوّه كريات PEN أثناء التبلّر 13.

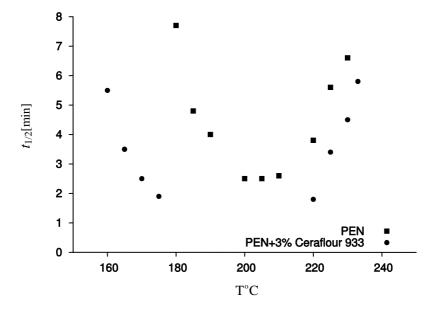
المعالجة بثاني أوكسيد الكربون في الحالة فوق الحرجة. تتأثّر سيرورة التبلّر بالمعالجة بثاني أوكسيد الكربون في الحالة فوق الحرجة 14 . حيث يجري الحصول على بنية من مرتبة أعلى مع بُلّيرات (Crystallites) دقيقة في درجات حرارة تقع في المجال بنية من مرتبة أعلى مع بُلّيرات (PEN تخفض درجة حرارة الانتقال الزجاجي بأكثر من 50 °C وتجري بلورة أغشيّة PEN يُرْجَعُ الانخفاض الكبير في درجة الانتقال الزجاجي إلى 50 C وتجري بلورة أغشيّة PEN جزيئات 50 C يؤدّي زيادة ضغط 50 C إلى زيادة كميّة 50 C المُمتصيّة، ويخفض درجة حرارة الانتقال الزجاجي 50 R ويُعزّز التبلّر.

ينقص قياس البُلَيرات مع نقصان درجة حرارة المعالجة. ويُقترَحُ أنّ المعالجة بثاني أوكسيد الكربون تعزز تكوّن نوى في الحالة اللامتبلّرة عند درجات حرارة منخفضة، يلي ذلك تكوّن البُلَيرات الدقيقة.

الإضافات. تُسرّع بعض الإضافات، مثل بولي (إيثيليان) منخفاض الكتلة الموليّة، الموليّات الموليّات الموليّات (Ceraflour 993TM)، أو بولي (أميد) منخفض الكتلة الموليّات (Ceraflour 993TM)، أو

يولي (4،1-بوتيلين سيباكات)، سيرورة تبلّر PEN عند درجات الحرارة المنخفضة أو المرتفعة تسريعاً ملموساً 16,15.

ى.DSC ولقد جرى تحري معدّل التبلّر بشكل أعمق عن طريق قياس $t_{1/2}$ في تجارب يبين الشكل يمثّل $t_{1/2}$ معدّل التبلّر الإجمالي، وهو يُعيّن بمُعدّلات التنوية والنمو الخطّي. يبين الشكل (1–11) أزمنة أنصاف عمر التبلّر بدلالة درجة حرارة التبلّر.



الشكل (1-11): أنصاف عمر معدّل التبلّر بدلالة درجة حرارة التبلّر للالله درجة حرارة التبلّر للكلّ من PEN و PEN بوجود إضافات

يجري التحكّم بمعدّل التنوية للنوى الأوّليّة بالاعتماد على الأنتالبيّة الحرّة لتبلّر نواة ذات حجم حرج (ΔG^*)، وبالطاقة الحرّة للتنشيط (ΔG_n)، التي تتحكّم بانتشار المقاطع البوليميريّة عبر حدود الطور. في منطقة درجات الحرارة المرتفعة، تُسيطر ΔG^* مُتحكّمة بمعدّل التنوية، في حين تتحكّم ΔG_n بمعدّل التنوية في منطقة درجات الحرارة المنخفضة في حالة التبلّر البارد.

عند درجات الحرارة المنخفضة يجري إرجاع الفعل إلى تحسن في الحركة الجزيئية لـ PEN، وتحديداً تتخفض درجة حرارة الانتقال الزجاجي عند إضافة الإضافات. وعند

درجات الحرارة المرتفعة، يفترض حدوث انفصال للطور بين الإضافة وPEN. حيث تعمل القطيرات المنفصلة من الإضافات بصفتها نوى غير متجانسة لتبدأ تفاعل تنوية أوللي.

معادلــة أقرامــي (Avrami). غالباً ما يجري وصف حركيّة التبلّر بواسطة معادلة أقرامي 17.

$$(1-11) 1-\phi = \exp(-kt^n)$$

النسبة الحجميّة للمادّة البلّوريّة ϕ

مُعامل الحركيّة k

t الأزمن

الأسّ في معادلة أقرامي n

تمكن إعادة كتابة المعادلة (11-1) بالصيغة التالية

$$\ln \ln \frac{1}{1-\phi} = \ln k + n \ln t$$

يمكن تحقيق تبلّر عال لبوليمير PEN وذلك عندما يجري تحت درجة حرارة ثابتة. يمكن وصف معدّل التبلّر بمعادلة أقرامي مع أسّ n يساوي 2.5. أمّا طاقة التنشيط للتبلّر تحت درجة حرارة ثابتة فهي محدّدة بالقيمة $250\,\mathrm{kJ\,mol^{-1}}$.

4.1.2.11. البلمرة في الحالة الصلبة

بعد أن يتبلّر ما قبل بوليمير PEN، يمكن تجفيفه ثُمّ بلمرته في الحالة الصلبة دفعة واحدة أو في سيرورة مستمرّة 13. البلمرة في الحالة الصلبة هي تقنيّة تهدف إلى زيادة الوزن الجزيئي للبوليستر. ومن الشائع إنتاج بوليسترات ذات أوزان جزيئيّة أعلى من أخرى ذات التركيب نفسه، ولكن بوزن جزيئي أخفض باستعمال البلمرة في الحالة الصلبة.

تُعتبر البلمرة في الحالة الصلبة لما قبل البوليميرات مفيدة لأنها تتيح تفادي التعامل مع البوليميرات ذات الأوزان الجزيئيّة المرتفعة وذات اللزوجة الفائقة الارتفاع عند الانصهار أثناء طور البلمرة. كما يجري جوهرياً تفادي التفكّك الحراري أثناء البلمرة في الحالة الصلبة لما قبل البوليميرات.

في بلمرة الصهارة يكون الجزء الأكبر من التفاعل تفاعل أسترة تبادليّة، وذلك بسبب حقيقة أنّ التحلّل الحراري يُبطل جزءاً كبيراً من أسترة زمر الكربوكسيل النهائيّة. في البلمرة في الحالة الصلبة يكون جزءً أكبر من التفاعل تفاعل أسترة ¹⁹. تشمل الأسترة زمر الكربوكسيل وزمر الهيدروكسيل المتبقية. وهناك نمط آخر من التفاعل هو إضافة زمر الهيدروكسيل المتبقية إلى زمر الثينيل إستر.

أثناء التسخين الطويل الأمد في الحالة الصلبة، تتعنقد سلاسل البوليمبر في بنى فوق جزيئية تسمّى المتكورات، وهي بطريقة ما شبيهة بالبنى الحبيبيّة في المعادن. تتمو هذه المتكورات قطريّاً بدءاً من نقطة التنوية حتّى تلتقي بمتكورة أخرى. تسبّب المتكورات الضخمة هشاشة وتخفض مقاومة الشدّ في البوليمير. يمكن التحكّم بحجم المتكورات بالتحكّم بعدد النوى الموجودة، حيث كلما زاد عدد نوى التبلّر صنغر حجم الكريات. كما تؤدي أيضاً فترات التسخين الأقصر إلى متكورات أصغر. يؤدي غياب المتكورات الكبيرة إلى بوليميرات أقوى و أقلّ هشاشة 20.

تتراوح درجات حرارة البلمرة المناسبة في الحالة الصلبة بين درجة الحرارة التي تأتي مباشرة بعد عتبة درجة حرارة تفاعل البلمرة وترتفع لتصل إلى قرب درجة حرارة التبق لما قبل بوليمير PEN ببضع درجات.

تتراوح درجة الحرارة المستعملة في البلمرة في الحالة الصلبة لبوليمير PEN المتبلّر بين 240°C وتصل إلى حوالى 265°C. ومع تقدّم البلمرة في الحالة الصلبة لما قبل بوليمير PEN، ترتفع درجة حرارة تدبقه. لذلك يمكن رفع درجة حرارة البلمرة في الحالة الصلبة تدريجيّاً مع تقدّم السيرورة 13.

تجري البلمرة في الحالة الصلبة بوجود تيّار من غاز خامل أو تحت الخلاء. ويجري تحميم المُفاعل بحيث يتدفّق الغاز تدفقاً متجانساً عبر بوليستر ما قبل البوليمير. تكون اللزوجة الجوهريّة لما قبل البوليمير، المُقاسة في مزيج فينول: رباعي كلورو إيثان بنسبة $0.8dlg^{-1}$ على نحو نموذجي، وهي سترتفع لتصل إلى $0.8dlg^{-1}$ يتراوح زمن الإقامة في المفاعل بين 6 إلى 24 ساعة.

يؤدي استعمال ما قبل بوليمير اسفنجي من PEN، المترافق مع مرحلة إزالة للمواد الطيّارة، وذلك قبل البلمرة في الحالة الصلبة، إلى سيرورة بلمرة في الحالة الصلبة سريعة

وعالية الانتاجيّة لبوليمير PEN. كما إنّ استعمال ما قبل بوليمير PEN الاسفنجي يتيح درجة حرارة أخفض للبلمرة في الحالة الصلبة 21.

يمكن تحقيق بلمرة سريعة في الحالة الصلبة تحت درجات حرارة عالية لبوليميرات متبلّرة متلدّنة حرارياً بتطبيق شروط من الإجهاد السطحي المحرّض ميكانيكيّاً والاحتكاك على جسيمات البوليمير عند درجات حرارة بوادر نقاط الانصهار 20.

تتطلّب هذه التقنيّة تبريداً سريعاً للبوليميرات إلى درجة حرارة أخفض من درجة حرارة الانتقال الزجاجي باستعمال التبريد بالتماس المباشر مع أبخرة سوائل مبردة. توفّر البلمرة السريعة في الحالة الصلبة تحت درجات حرارة عالية إمكانيّة تحضير بوليميرات عالية الوزن الجزيئي، ذات لزوجة جوهريّة عالية، وخواص ميكانيكيّة متميّزة. كما إنّ هذه الطريقة تفيد في التخلّص بشكل ملحوظ من التفكّك الكيميائي للبوليميرات.

يمنع التبريد السريع الآني المباشر نمو متكوّرات كبيرة، التي تسبب هشاشة البوليمير وتدهور الخواص الميكانيكيّة للبوليميرات المتبلمرة في الحالة الصلبة. ولقد جرى تطبيق هذه الطريقة على بوليميرات مثال بولي(أميد) (PA) و بولي(ترفتالات البوتيلين) (PBT).

يمكن زيادة معدّل البلمرة في الحالة الصلبة للمواد التي لا تحتوي على محفّرات الأنتيمون أو الجرمانيوم من المراحل السابقة، بإضافة كميّة مُحفّرة من p-تولوين سلفونات التوتياء 10.

الأسترة التبادليّة. في مزائج 1:1 من PEN و PEN، وعند مستويات أسترة تبادليّة أعلى من 23 في المئة، تسعى المزائج إلى التحوّل إلى نظام من طور واحد، ويُثبِّط التبلّر البارد لبوليمير PET بسبب النقصان المهم في أطوال مقاطع PET. أمّا عند مستويات أخفض من الأسترة التبادليّة فتبقى المزائج منفصلة الطور 22.

لقد جرت دراسة تفاعل الأسترة التبادليّة في حالة مزائج 1:1 من پولي(ترفتالات البنتيلين) (PPT) مع PEN. إنّ مزائج PEN و PPT هي أساساً غير قابلة للامتزاج. ولكن عند التسخين أو المعالجة الحراريّة عند درجات حرارة قدرها 300°C ولفترة طويلة من الزمن، يندمج الطوران الأصليّان في طور واحد مكون من بوليسترين وبعض نسب صغيرة من بوليسترات مشتركة. لا يرجع الارتفاع في قابليّة الامتزاج إلى الأسترة

التبادليّة، كما تبيّن ذاك تجارب مطيافيّة الطنين المغناطيسي النوويّ (NMR). يُظهر التحليل بالأشعّة السينيّة أنّ المزيج يفقد تماماً قدرته على التبلّر فقط عندما يسخّن إلى 300° C مدّة 60 دقيقة أو أكثر. مشيراً إلى تكوّن بوليسترات مشتركة تامّة العشوائيّة 23 .

لقد جرت دراسة حركية نفاعل الأسترة التبادليّة لمزائج PEN\PET باستعمال المركّبات النموذجيّة ثنائي بنزوات الإيثيلين (BEB) و ثنائي نفتاوات الإيثيلين (NEN). ولقد جرى انباع نفاعل التبادل بين BEB و NEN بمطيافيّة H-NMR.

لقد وُجد أنّ تفاعل الأسترة التبادليّة الإجمالي يتبع قانوناً من المرتبة الثانية. وجرى التيقن من عكوسيّة الأسترة التبادلية بتسخين سلسلة مختلطة من 1-بنزوات 2-نفتالين إيثيلين (BEN). وصل كلّ من التفاعل المباشر لكميّات متساوية موليّاً من المواد المتفاعلة، والتفاعل العكسي، إلى التوازن عند النسب الموليّة نفسها من المواد الداخلة في التفاعل وتلك الناتجة منه وهي نقريباً 0.25:0.50:0.25 من BEN و BEN بالترتيب.

يمكن تعزيز تفاعلات الأسترة التبادليّة بالتشعيع بحزمة الكترونيّة 25. ويمكن كتابة تفاعل الأسترة التبادليّة شكليّاً، كما يلي :

$$(2-11) -NEN- + -TET \leftrightarrow -NET- + -TEN-$$

هنا E هي وحدة الإيثيلين غليكول، و T هي وحدة ترِفتالات، و N هي وحدة نفتالات.

a+b=1 و a هي a و a مع a البدء لوحدات NEN و NET هي a و a مع a و a مع a و a هي النسبة الموليّة من البوليمير المشترك NET، عندئذ، بافتراض حدوث تفاعل عكوس من الدرجة الثانية، يظهر قانون حركيّة التفاعل التالي:

(3-11)
$$\frac{dx}{dt} = k_1(a-x)(b-x) - k_2 x^2$$

عند التوازن يكون $k=k_1=k_2$ بوضع $x=x_e$ و التعويض في المعادلة (3-11) يمكن الحصول على صيغة أبسط،

$$\frac{dx}{dt} = k(x_e - x)$$

وبوضع r=x/a لترمز إلى نسبة الأسترة، ثُمّ مُكاملة المعادلة (4-11) يمكن الحصول على العلاقة التالية :

$$\ln \frac{b}{b-r} = kt$$

يمكن تحديد مدى الأسترة التبادليّة باستعمال تقنيّات NMR، وبهذا يمكن تحديد $t=k_1=k_2$ برسم تغيّرات $-\ln[(b-r)/r]$ بدلالة زمن التفاعل $t=k_1=k_2$

لقد جرى الحصول على علاقة خطيّة في حالة تركيبات مختلفة من المزائج، وهذا ما يشير إلى أنّ آليّة التفاعل المفترضة صالحة 26 . ونجد أمثلة على الثوابت الحركيّة التي جرى الحصول عليها في حالة نسب موليّة بدئيّة مختلفة لــNDA عند $^{300^{\circ}}$ C في الجدول (11-2).

 26 الجدول (2-11): ثوابت حركية تفاعل الأسترة التبادليّة عند $^{\circ}$

$k/[\min^{-1}]$	النسبة المئويّة الموليّة من NDA عند البدء
0.08	03.2
0.07	13.6
0.05	31.2
0.08	56.3
0.11	78.2

عند 290° C يكون ثابت الحركيّة $0.050\,\mathrm{min^{-1}}$ يكون ثابت الحركيّة $0.141\,\mathrm{min^{-1}}$ ومن هذه المعطيات تُحسب طاقة التنشيط لنجدها $140.4\,\mathrm{k}\,\mathrm{J}\,\mathrm{mol^{-1}}$

درجة البلمرة. لقد جرى إيجاد علاقة تجريبيّة تعبّر عن تغيّر الوزن الجزيئي، عن طريق مراقبة اللزوجة الجوهريّة كتابع للزمن عند درجات حرارة مختلفة للحالة الصلبة 27. وقد وُجد :

$$(6-11) M_n = M_{n,0} + k\sqrt{t}$$

t المتوسط العددي للوزن الجزيئي عند اللحظة M_n

المتوسط العددي للوزن الجزيئي عند لحظة البدء $M_{n,0}$

ثابت الحركيّة k

t الزمن

يمكن الحصول على موسطات آرينيوس (Arrhenius) بإجراء التجارب عند درجات حرارة مختلفة. وهكذا نجد أنه في حالة PEN نحصل على العلاقات:

$$\begin{split} M_{\scriptscriptstyle n} = & 1.33 \times 10^4 + 1.78 \times 10^6 \times \exp \bigg(-\frac{27922.83}{RT} \bigg) \times k \sqrt{t} \\ & \qquad \qquad ^{28} \text{ فنجد أن } \text{PET} \text{ أمّا في حالة } \\ M_{\scriptscriptstyle n} = & 1.99 \times 10^4 + 624 \times 10^{10} \times \exp \bigg(-\frac{22800}{RT} \bigg) \times k \sqrt{t} \end{split}$$

2.2.11. البوليميرات المشتركة

في حالة البوليميرات المشتركة پولي (إيثيلين ترفتالات-co-نفتالات) مع كميّة صغيرة من النفتالات، يُلاحظ انخفاض نقطة الانصهار، في حين تكون درجة حرارة الانتقال الزجاجي أعلى منها في حالة PET. تتخفض معدّلات تبلّر البوليميرات المشتركة مع ازدياد المحتوى من المونوميرات المشتركة، مع نسبة e-4 في المئة من النفتالات، تحسّناً ملموساً بالمقارنة مع PET. وهكذا تتحسن خواص PET مع استعمال كميّات صغيرة من النفتالات، وذلك دون زيادة ملحوظة في التكافة e-2.

تتبلّر البوليميرات المشتركة العشوائية پولي (إيثيلين -co-بوتيلين 6،2- نفتالات) على كامل طيف التركيبات ³⁰ وهي تُبدي نقطة يوتكتيّة. تكوِّن البوليميرات المشتركة حصريًا بلورات من النمط PBN أو بلّورات من النمط PBN حيث يرمز PBN إلى پولي (نفتالات البوتيلين). يحدث انتقال من البلّورات من النمط PBN إلى البلّورات من النمط PBN بنسبة تساوي 1:1 تقريباً من مركّبات الكحول في البوليمير المشترك 31. تسمّى هذه الظاهرة ظاهرة النبلّر المشترك المتساوي المتحول المشترك المساوي المتساوي المتصادر المشترك المتساوي المتساوي

تسلك البوليميرات المشتركة بولي (4،1-حلقي هكسيلين ثنائي ميثيلين ترفتالات-٥٠- 4،1 البوليميرات المشتركة بولي (9(CT-co-CN)) سلوكاً مماثلاً، فيما يتعلق بالتبلّر، لسلوك بولي (إيثيلين-٥٠-بوتيلين 6،2-نفتالات) 32. أما البوليميرات المشتركة بولي (إيثيلين 6،2-نفتالات -4،1-حلقي هكسيلين ثنائي ميثيلين 6،2-نفتالات) المشتركة بولي (إيثيلين 6،2-نفتالات -6/2-حلقي هكسيلين ثنائي ميثيلين ثنائي ميثيلين ثنائي ميثيلين ثنائي ميثيلين ثنائي ميثيلين ثنائي ميثيلين ميثيلين ثنائي ميثيلين ثنائي ميثيلين ميثيلين ثنائي ميثيلين ثنائي ميثيلين ثنائي ميثيلين ميثيلين ثنائي ميثيلين ثنائي ميثيلين

6.2 نفتالات) ((P(BN-co-CN)) و پولي (سداسي ميثيلين 6.2 نفتالات -4.1-co-حلقي هكسيلين ثنائي ميثيلين 6.2 نفتالات) ((P(HN-co-CN)) قمم انصهار و تبلّر و اضحة. يشير هذا السلوك إلى أنّ البوليميرين المشتركين (P(BN-co-CN) و (P(BN-co-CN) نقطة كليهما يُبديان سلوك تبلّر مشترك. و تبدي البوليميرات المشتركة من (P(BN-co-CN) نقطة يوتكتيّة و تبلّراً مشتركاً متساوي الشكل الإثناني.

وبالمقابل تزداد درجة حرارة الانصهار للبوليمير المشترك (P(HN-co-CN) ازدياداً مستمراً مع ازدياد المحتوى من CN بدون ظهور درجة انصهار يوتكتية. يشير هذا إلى أن البوليمير المشترك (P(HN-co-CN) يُظهر تبلّراً مشتركاً متساوي الشكل 34,33 . وغالباً ما تجري بلمرة بوليسترات PEN و PEN بلمرة مشتركة مع مُعدّلات تبلّر مثل حمض الإيزوفتاليك (IPA) و 4-1-حلقي هكسان ثنائي ميثانول (CHDM)، لتكوين بوليسترات مشتركة ذات خواص تشغيل أفضل. سوف نصنف بوليسترات الترفتالات وبوليسترات النفتالات بأنها بوليميرات يولى (آريلات).

طريق الاصطناع المُفضل لهذه البوليميرات المشتركة هو الأسترة التبادليّة. هناك مرحلتان في تحضير بولي (إيثيلين -4،1-حلقي هكسان ثنائي ميثيلين آريلات) (PECA).

المرحلة الأولى هي تكوين 6،2-بيس-(هيدروكسي إيثيل) آريلات (BHEA) وبيس -(هيدروكسي ميثيل حلقي هكسان)-آريلات (BHCA)، بالترتيب، من الأسترة التبادليّة لمركّب 6،2-ثنائي ميثيل نفتالات أو ثنائي ميثيل ترفتالات (DMT) مع الإيثيلين غليكول أو MEA. المرحلة الثانية هي تكوين PECA من البلمرة بالتكاثف لمزيج BHEA عند درجات حرارة مرتفعة وضغط منخفض 35.

تُبطّئ مستويات متواضعة من IPA التبلّر، وترفع خواص حاجز الأوكسجين. وتكسر مستويات أعلى من IPA البنية البلّوريّة وتؤدّي إلى بوليميرات مشتركة لا متبلّرة، ذات خواص حاجزة جيّدة. ومن ناحية أخرى تُظهر هذه البوليسترات المشتركة مقاومة سيّئة للصدم وغير ذلك من الخواص الميكانيكيّة. إلا أن مستويات متواضعة من CHDM تُبطّئ التبلّر وتخفض خواص حاجز الأوكسجين.

من المعلوم أنّ مستويات أعلى من CHDM تكونّ بوليسترات مشتركة غير متبلّرة. تُستعمل هذه المواد استعمالاً تجارياً واسعاً في العديد من التطبيقات التي تشمل الصفائح العالية السماكة، لوحات إشارات الطرقات، والطرود الطبيّة، وغيرها. تتمتّع هذه البوليسترات المشتركة بمقاومة ممتازة للصدم وغير ذلك من الخواص الميكانيكيّة، ولكن خواص حاجز الأوكسجين لديها أخفض من تلك الموافقة للبوليسترات المشتركة المعدّلة بمركّب IPA، وخواص حاجز الأوكسجين أخفض من تلك الموافقة لـ 36 PET، وفي حالة البوليميرات المشتركة المكوّنة من PEN وپولي (إيثيلين - 27 -فينانترات) (PEP) تزداد درجة حرارة الانتقال الزجاجي T_g مع ازدياد مُركّبة PEP.

1.2.2.11 مركبات ثنائى هيدروكسى إيثوكسى العطرية

تمتلك البوليسترات المشتركة من 6،2-نفتالات ومشتقات ثنائي هيدروكسي إيثوكسي العطريّة، انظر الجدول (11-3)، انحلاليّة أفضل من PEN و PBN في المذيبات اللابروتونيّة. أمّا الخواص الحراريّة وامتصاص الرطوبة للبوليسترات المشتركة فهي تُقارن أو أفضل من تلك الموافقة التي يمتلكها PEN أو PBN أو 38 PBN. نظراً إلى الانحلاليّة المحسّنة، تمتلك البوليسترات المشتركة تطبيقات مفيدة مثل الدهانات، والورنيش، واللواصق الإنشائية.

لقد جرى اصطناع وبناء واستعمال عدد من المونوميرات المشتركة المسرودة في الجدول (11-3). فمثلاً جرى تحضير مركبات ثنائي هيدروكسي الإيثوكسي بتفاعل 1mol من بيستفينول A مع 2.1mol كربونات الإيثيلين بوجود يوديد البوناسيوم عند 80-120°C. وقد جرى تحقيق مردود قدره 70 في المئة أو يزيد عن ذلك.

الجدول (11-3): مونوميرات مشتركة لبوليسترات النفتالات

نقطة الانصهار °C	المركّب
111-110	- بیس -(2- هیدروکسي اِیثیل)-بیسْفینول A
106-105	بيس -(2- هيدروكسي إيثيل)- هيدروكينون
211-210	بيس -(2- هيدر وكسي إيثيل)- بيفينول
121-119	بيس -(4-(2- هيدروكسي اپثوكسي)بنزين)- اپيثر
181-180	بيس -(4-(2- هيدروكسي اپثوكسي)بنزين)-سلفون
110-109	بيس -(2- هيدر وكسي إيثيل)- بيسفينول H
128-126	بيس -(4-(2- هيدروكسي اپنثوكسي)بنزين)-فلورين

لقد جرى اصطناع البوليسترات المشتركة باستعمال المنتجات المذكورة في الجدول (3-11) و 6،2-بيس-(هيدروكسي بوتيل) نفتالات، وذلك بتقنيّة تكاثف الصهارة، والتقطير لإزالة الإيثيلين غليكول 38. ولقد جرى استعمال خلاّت التوتياء، وثالث أوكسيد الأنتيمون بصفتهما مُحفّزان. ولقد جرى توصيف البوليسترات المشتركة توصيفاً موسّعاً وذلك فيما يتعلّق بلزوجتها الجوهريّة وانحلاليّاتها، وخواصها الحراريّة، وامتصاصها للرطوبة. يمكن العثور على التفاصيل في الأدبيات 38.

2.2.2.11. مطاطيات پولي (إيثر إستر)

يجري اصطناع مطاطيات بولي (إيثر إستر) كتلية التعاقب (PEE) باستعمال NDC و NDC. المُركبات الكحولية هي 4.1-بوتان ديول، وبولي (رباعي ميثيلين إيثر) غليكول ذو وزن جزيئي قدره 1000. تؤدي وحدات بولي (رباعي ميثيلين إيثر غليكول ترفتالات) دور المقاطع الطرية في البنية التعاقبية. يؤدي إقحام زمرة 2,6-NDA في المقطع القاسي المكون من وحدات ترفتالات و 6.2-نفتالين ثنائي كربوكسيلات و 4.1-بوتان ديول، إلى تحسين مقاومة الأشعة فوق البنفسجية لمركب PEE الناتج 80.

3.2.2.11. البوليميرات المشتركة الثلاثية

تُبدي البوليسترات نصف البلّوريّة المحتوية على كِسَر ترفتالات وإيزوفتالات ونفتالات خواص ممتازة في حجز مرور الغازات. ويمكن الوصول إلى مستوى عالي الكثافة، بجمع التبلّر الحراري مع التبلّر المحرّض بالإجهاد.

يجري تكاثف الإيثيلين غليكول و 2,6-NDA وحمض الترفتاليك (TPA) ويستعمل باستعمال محلول مائي 10 في المئة من هيدروكسيد رباعي ميثيل الأمونيوم. ويستعمل ثلاثي أوكسيد الأنتيمون وخلات الكوبالت بصفتهما مُحفزين. يجرى التفاعل في جو من غاز خامل وتحت الضغط عند البدء، حتى درجة حرارة 260°C ، ثُمّ يجري خفض الضغط على مراحل مع رفع درجة الحرارة لتصل إلى حوالي 274-288°C.

يجري بثق البوليمير في خيوط باستعمال مضخّة للصهارة عند قعر المُفاعل. وتُبرد الخيوط في حمام مائي وتقطّع إلى كريّات لابلّوريّة. تمتلك الكريّات لزوجة جوهريّة قدرها

وبعد تكوين $0.60\,\mathrm{dl}\,\mathrm{g}^{-1}$ في مزيج فينول/رباعي كلورو إيثان بنسبة $0.60\,\mathrm{dl}\,\mathrm{g}^{-1}$ وبعد تكوين الكريّات تمكن زيادة الوزن الجزيئي للبوليمير بالبلمرة في الحالة الصلبة.

يمكن تحقيق كتلة حجميّة قدرها $1.455\,\mathrm{g\,cm^{-3}}$ بجمع التبلّر المحرّض بالإجهاد مع التبلّر الحراري.

في التبلّر المحرّض بالإجهاد، يجري شدّ المادّة البوليستريّة بمعدّل ودرجة حرارة مناسبين لتحقيق التبلّر في البوليستر. وهي ،في حالة التركيبات البوليستريّة التي ندرسها هنا، تتراوح في المجال °140°C بالنسبة إلى درجة الحرارة، ومن 300/s في المئة النسبة إلى معدّل الشد. أمّا نسبة الشدّ المناسبة فهي حوالى 8 إلى حوالى 2 عوالى 2 بلى حوالى 8.

يمكن صنع السلع المقولبة، وخصوصاً الحاويات كالقوارير أو الجرار، من راتنجات بوليستر البوليميرات المشتركة باستعمال طرائق قولبة الصهارة. يمكن صنع الحاويات والقوارير دون الحاجة إلى إضافة مسرّعات أومبطّئات تبلّر. وتحوي هذه المواد مستويات منخفضة من خلاّت الألدهيد 40.

3.2.11. المزائج

1.3.2.11. المزائج من PET وPEN

تزيد إضافة PEN إلى بوليمير PET الأداء الحراري. إلا أنه في طيف واسع من التركيبات يكون المزيج لا متبلّراً بشكل جوهري، وهذا ما يعنى أنّه لا تمكن بلورته.

في حالة سلعة مقولبة بالشدّ والنفخ، نحتاج التبلّر لأنّه يوفّر المستويات الضروريّة من التوجيه، وخواص الحجز، ويتحكّم بتوزيع المادّة. وهناك أيضاً مشكلة مع الأطوار غير المتوافقة التي تجعل السلعة غير شفافة.

يمكن إخضاع مزائج PEN\PET لبلمرة في الحالة الصلبة لزيادة اللزوجة الجوهريّة أو لتخفيض توليد خلاّت الألدهيد. أثناء سير عملية البلمرة في الحالة الصلبة، يزداد مدى تقدّم تفاعل الأسترة التبادليّة. يُسبّب المستوى المنخفض من الأسترة التبادليّة شفافيّة سيئة في حين يمنع المستوى المرتفع منها التبلّر المحرّض بالإجهاد والخواص الميكانيكيّة السيئة.

يمكن قياس الأسترة التبادليّة بواسطة مطيافيّة NMR. حيث تجرى فيها المقارنة بين شدّات الإِشارة الناتجة من بروتونات الإيثيلين المتعلّقة بسلاسل 6،2-نفتالين ثنائي كربوكسيلات/الإيثيلين غليكول ترفتالات، وشدّات الإشارة الناتجة من بوليمير مشترك تامّ العشوائيّة مكوّن من 2,6-NDA و TPA و الإيثيلين غليكول.

ولمّا كان الوزن الجزيئي يزداد أثناء المعالجة الحرارية، فإنّ كلاً من التكاثف والأسترة التبادليّة وجب أخذهما في الاعتبار معاً 41.

تؤدي إضافة مثبّت على أساس الفوسفيت هو بيس -(4،2-ثنائي - ترت - بوتيل فينيل) - خماسي إيريثريتول ثنائي فوسفيت (Ultranox 626TM) إلى خفض مدى تقدّم الأسترة التبادليّة أثناء البلمرة في الحالة الصلبة. كان من المتوقّع أن يُثبّط ثلاثي فينيل فوسفيت الأسترة التبادليّة، ولكن لم يكن بالإمكان التوثّق من ذلك تجريبيّاً 42.

PET وبالمقابل، فإنّ إضافة 2.2° -بيس - 3.1° -بيس - 3.1° - أوكسازولين) (BOZ) إلى مزائج من PEN و PEN تسرّع تسريعاً جوهرياً الأسترة التبادليّة بين PEN و PEN عند 3.27° إن طاقة تتشيط تفاعل الأسترة التبادليّة للمزيح التفاعلي PEN\PET بوجود BOZ هي $94.0 \, \mathrm{kJ} \, \mathrm{mol}^{-1}$ نفسه بدون $3.0 \, \mathrm{kJ} \, \mathrm{mol}^{-1}$ نفسه بدون $3.0 \, \mathrm{kJ} \, \mathrm{mol}^{-1}$

إنّه من الممكن التحكّم في آن معاً بمعدّل تغيّر اللزوجة الجوهريّة (IV) ومعدّل الأسترة التبادليّة لمزيج من PEN وPEN وPEN أثناء البلمرة في الحالة الصلبة. تشتمل الطريقة على توفير PEN ذي لزوجة جوهريّة ثانية. ثُمّ يتفاعل PEN وPET بوجود مركّب إيثيلين غليكول وبكميّة كافية للوصول إلى اللزوجة الجوهريّة النهائيّة المرغوبة، ولتحقيق مستوى الأسترة التبادليّة في المنتج المبلمر بلمرة مشتركة من النهائيّة المرغوبة، ونظراً إلى المقاومة الحراريّة المُحسّنة، يمكن استعمال المادّة للحاويات ذات المحتوى الساخن.

PENو (أميد) أو PBT أو يولي أميد) و

تُبدي مزائج PEN\PBT تحسناً في الخواص الميكانيكيّة. وتصبح مزائج PEN\PBT و PEN أكثر هشاشة من مكوّناتها البوليميريّة المتجانسة. لا يحدث أي تفاعل كيميائي في

مزائج PEN\PA 66 و PEN\PBT عند معالجة الصهارة. إلا أنّ مقاس المنطقة في حالة مزائج PEN\PBT هو على الأقل أصغر بمرتبة من الصغر من ذلك الموافق لمزائج PEN\PBT هو على الأقل أصغر بمرتبة من الصغر من ذلك الموافق لمزائج 47,46 PEN\PA 66 . يبيّن الجدول (11-4) درجات حرارة الانتقال الزجاجي لمزائج PEN\PBT . تُظهر المنظومة درجتي حرارة انتقال زجاجي.

	•	•	· · ·				
100	70	60	50	40	30	0	^a PEN%
	76.3	70.0	65.7	65.2	65.5	59.2	$T_g/^{\circ}C(PBT)$
132.6	123.2	123.1	119.2	117.4	117.3		$T_g/^{\circ}C(PEN)$

a النسبة المئوية وزناً.

3.3.2.11 المزائج من HDPE و PEN

إن HDPE مادّة معروفة وناجحة في تشكيل القوارير بسيرورة قولبة النفخ بالبثق التي تجري في خطوة واحدة. وهي السيرورة التي يجرى وفقها تصنيع السواد الأعظم من القوارير البلاستيكيّة والحاويات المشابهة. يتمتّع HDPE بعدد من الخواص الجيّدة المطلوبة في القوارير النهائيّة، مثل القدرة على الملء الساخن، والمقاومة الكيميائيّة، والأثر على حاجز الماء H_2O . المساوئ الأساسيّة في قوارير HDPE تكمن في سوء حاجز الغاز، والنفاذية العالية للأشعة فوق البنفسجيّة، وفقدان الشفافيّة البصريّة.

وبالمقابل، فإنّ PEN يُحقّق جميع المتطلّبات ولكن نحتاج في حالته إلى تقنيات تصنيع أكثر تعقيداً. إذ لا يمكن إنتاج قوارير PEN بقولبة النفخ بالبثق ذات الخطوة الوحيدة، بل هو يتطلّب استعمال سيرورة قولبة بالحقن ثُمّ النفخ والشدّ ذات الخطوتين والأكثر تعقيداً. في هذه السيرورة يجري أولاً قولبة بالحقن لشكل أوليّ يتبعها قولبة بالنفخ والشدّ للحصول على القارورة النهائيّة. هذه هي السيرورة نفسها التي تُستعمل لإنتاج قوارير من بوليستر PET.

وكما ذُكِر سابقاً، يُعتبر تصنيع قوارير متعددة الطبقات تقنيّة مُناسبة. إلا أن إنتاج مثل هذه القوارير المتعددة الجدران يتطلّب استعمال تقنيّة القوابة بالنفخ والبثق المشترك

الأكثر تعقيداً، والأغلى ثمناً. إنّ استعمال مزائج من PEN و HDPE يمكن أن يُحسّن الخواص المُستهدفة في قوارير HDPE، باستعمال قولبة النفخ بالبثق التي تجري في خطوة واحدة.

إنّ عدم توافق HDPE و PEN يمثّل مشكلة مهمة. يمكن تجاوز هذه العقبة باستعمال بوليمير مشترك من الإيثيلين\ ميثيل أكريلات بصفته عامل توافق ⁴⁸. المزيج مفيد في قولبة النفخ بالبثق لصنع سلع مثل القوارير.

4.3.2.11 المزائج من بولي (ترفتالات ثلاثي ميثيلين) وPEN

تقبل المزائج من پولي (ترفتالات ثلاثي ميثيلين) (PTT) و PEN الامتزاج في الحالة اللامتبلّرة في مجال واسع من التركيبات 49 . ما يُثبت ذلك هو امتلاك المزيج لدرجة حرارة انتقال زجاجي واحدة (T_g) ، تتعلّق بالتركيبة. يمكن التنبؤ بتغيّر T_g تبعاً للتركيبة باستعمال معادلة غور دون - تايلور (Gordon-Taylor) 50 ، مع مُعامل مُلاءمة قدره 50 .

(7-11)
$$T_g = \frac{w_1 T_{g,1} + k w_2 T_{g,2}}{w_1 + k w_2}$$

النسبة الوزنيّة للمُركّب w_1

w النسبة الوزنيّة للمُركّب 2

ا درجة حرارة الانتقال الزجاجي للمُركّب T_{e1}

رجة حرارة الانتقال الزجاجي للمُركّب 2 $T_{g,2}$

وهناك معادلة أخرى واسعة الاستعمال تعود إلى فوكس (Fox) . هي

(8-11)
$$\frac{1}{T_g} = \frac{w_1}{T_{g,1}} + \frac{w_2}{T_{g,2}}$$

نتخفض درجة حرارة ذروة التبلّر البارد خطياً مع ازدياد المحتوى من PTT بدءاً من $^{\circ}$ C في حالة PEN النقى.

5.3.2.11 المزائج من پولى (ستيرين) و PEN

إن يولي (ستيرين) (PS) ليس متوافقاً مع PEN. تتفاعل البوليميرات المشتركة من ستيرين/غليسيديل ميتاكريلات (SG) مع الزمر النهائيّة من PEN أثناء مزج الصهارة. يؤدي هذا إلى تكوّن بوليميرات مشتركة من SG-g-PEN في المزيج. تسعى هذه البوليميرات المشتركة إلى الإقامة على السطح البيني مع PS، وتؤدي وظيفة عامل توافق في مزائج PS و PEN و PS.

تُبدي المزائج الموافقة لزوجة أعلى، ومنطقة طور أكثر دقة، وخواص ميكانيكية مُحسنة. وفي المزائج الموافقة باستعمال البوليمر المشترك SG، وذات المحتوى العالي من الغليسيديل ميتاكريلات، تنتج بوليميرات مشتركة عالية التطعيم. أمّا طول مقاطع الستيرين في هذه البوليميرات المشتركة المُطعّمة فهو قصير جداً ما يحول دون دخولها عميقاً في طور البولي (ستيرين) وتكوين ارتباطات فعليّة. وهذا يؤدي إلى خفض فعاليّة التوافقية لمزائج PS و PEN.

6.3.2.11 المزائج من پولى (كربونات) و PEN

يمكن الحصول على مزائج بيسْقينول A پولي (كربونات) (PC) و PEN بدون إضافة مُحفَّز في خلاَط عجن عند 290° C. تُبدي جميع المزائج المحضرة عند تركيبات مختلفة طورين، وتمثلك خواص ميكانيكيّة جيّدة.

يفترض أنّ تكوّن بوليمير مشترك في الطور الوسطي يقف فعلياً وراء تحقيق توافقية المنظومة. يُعتبر تكوّن البوليمير المشترك التعاقبي نتيجة من تفاعلات الأسترة التبادليّة بين PEN و PE. ولقد جرى التحقّق من ذلك بتجارب استخلاص وتحليل للجزأين القابل للانحلال وغير القابل للانحلال 53.

7.3.2.11 البوليميرات المشتركة

بهدف تحسين المقاومة الحراريّة وخواص حاجز الغاز لراتنجات بوليستر PET، اقتررحَ استعمال مزائج من PEN مع PEN. تولّد مزائج عند

عجن صهارتها في درجات حرارة عالية بهدف تحسين توافقها. يؤدي هذا إلى مشاكل، مثل تغيّر طعم المحتويات التي يجري ملء الحاويات بها، ويخفض درجة شفافيّتها.

لذلك جرى اقتراح استعمال تركيبات بوليستريّة من الإيثيلين غليكول ومزيج من TPA، بصفته مقداراً أساسيّاً، و 2,6-NDA. تعاني هذه التركيبات خواص حاجز غاز غير كافية وتولّد خلاّت الألدهيد.

تتكوّن تركيبة بوليستريّة ذات خواص حاجز غاز أفضل، وأقل إنتاجاً لخلاّت الألدهيد، من مزيج من ما قبل بوليميرات PET و PEN، أو من بوليمير مشترك. ثم يخضع المزيج إلى إجرائيّة بلمرة في الحالة الصلبة 54.

يُحضر بوليمير PEN المشترك من 6.2-ثنائي ميثيل نفتالات وثنائي ميثيل إيزوفتالات والإيثيلين غليكول و بولي (رباعي ميثيلين غليكول)، مع وسطي وزن جزيئي قدره 1000 دالتون.

بعد ذلك يجري عجن صهارة مزيج جاف مكوّن بنسبة 90 في المئة من ما قبل بوليمير PEN، ونلك عند درجة حرارة بوليمير PEN، وذلك عند درجة حرارة قولبة قدرها 2°295، وباستعمل باثق وحيد اللولب وزمن إقامة قدره 120 ثانية. يُقطّع الخيط الذي قطره 2.5 mm إلى رقائق اسطوانيّة. يُبدي المزيج ما قبل البوليميري تبلّراً عند درجة حرارة قدرها 150°C.

تُسخّن الرقائق حتّى 170°C مدّة ساعتين بوجود الآزوت حتّى تتبلّر. ثُمّ تُسخّن حتّى 210°C مدّة ست عشرة ساعة لإجراء بلمرة في الحالة الصلبة. يبيّن الجدول (5-11) خواص الغشاء الموجّه المُنتج من تركيبة البوليستر هذه.

الجدول (11-5): خواص تركيبة البوليستر المشترك

لقيمة	i)	الخاصة
$dl g^{-1}$	0.835	اللزوجة الجوهريّة
ppm	11	المحتوى من خلاّت الألدهيد
$cm^3 m^{-2} d^{-1}$	9.1	نفاذيّة (CO ₂)
%	9.8	عدد هیز (Haze)
mol-%	9.2	الأسترة التبادلية

4.2.11. يولى (3،1-بروبيلين 6،2-نفتالات)

1.4.2.11 التكاثف

يجري اصطناع پولي (3،1-بروبيلين 6،2-نفتالات) (3GN) من ثنائي ميثيل -6،2-نفتالين ثنائي كربونات و 3،1-بروبان ديول 5.5- تجري مُفاعلة المكوّنات تحت ضغط جوّي من النيتروجين بوجود $Tyzor^{TM}$ وهو مُحفِّز من رباعي إيزوبروبوكسيد التيتانيوم. 240° C على مدى 330 دقيقة تقريباً. عند 240° C بالتطور.

في المرحلة النهائية، جرى خفض الضغط في وعاء التفاعل، ورفع درجة الحرارة إلى حوالى 280°C مدّة 90 دقيقة، وتُركت عمليّة البلمرة تستمر مدّة 30 دقيقة إضافيّة.

يمتلك البوليمير الناتج لوناً أبيض شافاً ونقطة انصهار عند $^{\circ}$ 200-201، ودرجة حرارة تبلّر قدرها $^{\circ}$ 60. وكانت اللزوجة حرارة تبلّر قدرها $^{\circ}$ 6. وكانت اللزوجة المجوهريّة لهذا البوليمير $^{\circ}$ 0.56dlg مع متوسط عددي للوزن الجزيئي $^{\circ}$ 8 قدره 22000 دالتون، ومتوسط وزني للوزن الجزيئي $^{\circ}$ 8 قدره 36000 دالتون. ولقد جرى وصف المزائج الفيزيائيّة من تركيبات بوليمير 3GN مع بوليميرات أخرى $^{\circ}$.

2.4.2.11 الشدّ

ينفرد 3GN بمجموعة من الخواص التي تُعطيه عدداً من الميّزات على PEN عند استعماله في طبقات متعدّدة مع 56 PET. يمتلك 3GN نقطة انصهار تتراوح بين PET و 56 PEN و 56 PEN و 56 PEN و 56 PEN و 56 و 56 PEN و 56 و 56 الأغشية غير المشدودة، و 56 و 56 PEN في الأغشية التامّة التوجيه، فهي إذن قريبة لتلك التي توافق PET (56 للأغشية غير المشدودة، وحوالى 56 BY للأغشية التامّة التوجيه).

درجة حرارة التوجيه المفضلة لبوليمير 3GN وللبوليميرات المشتركة والمزائج الغنيّة به هي 0° C أمّا حرارة التوجيه المفضلة لبوليمير PET فهي 0° C أمّا حرارة التوجيه المفضلة لبوليمير 0° C فهذا ما يتيح توجيه 0° C توجيهاً اثناني المحور تحت شروط الشدّ الحراريّة الأمثليّة لبوليمير PET.

ومن ناحية أخرى يمتلك PEN درجة حرارة انتقال زجاجي أعلى بقدر ملموس حوالى $^{\circ}$ C للأغشية غير المشدودة، و $^{\circ}$ C في الأغشية التامّة التوجيه، وهو من ثُمّ يتطلّب درجات حرارة توجيه أعلى حوالى $^{\circ}$ C الم

في حالة شرائح PET\PEN المتعددة الطبقات، تؤدي هذه الخاصة إلى سماكات غير متساوية، وعدم تجانس في الشفافية، ومقاومة ضعيفة لطبقة PET الموجّهة، وذلك بسبب تقسية الإجهاد أثناء شدّ PET عند درجات حرارة أعلى.

إضافة إلى ميّزة امتلاكه درجة حرارة انتقال زجاجي T_g أخفض، يمتلك 3GN أقلّ معدّل تبلّر منخفض هو أبطأ من معدّل تبلّر PEN. يؤدّي ذلك إلى كون طبقة 3GN أقلّ تبلّراً، ويُترجم هذا في تحسّن شفافيّة طبقة 3GN في السلع المصنّعة بقولبة النفخ أو البثق، ويمكن أيضاً أن يُرجَع إليه الالتصاق المُحسّن مع PET، وذلك مقارنة بالبنى المتعدّدة الطبقات من PET و PEN علاوة على ما سبق يمتلك 3GN خواص حجز ممتازة، و هو من ثمّ مفيدٌ بصفته طبقة حاجزة في أغشية PET وفي الحاويات.

الأغشية غير الموجّهة. يمكن الحصول على أغشية متعدّدة الطبقات غير موجّهة بالبثق المشترك لطبقات من 3GN و PET. وبطريقة بديلة، يمكن تشكيل أغشية متعدّدة الطبقات بسيرورة تطبيق صفائح مستمرّة باستعمال الحرارة، أو بالاستعمال الاختياري لطبقات لاصقة لربط الطبقات المنفصلة. يمكن أيضاً استعمال طريقة تطبيق الصفائح بالضغط لتكوين أغشية متعدّدة الطبقات، عن طريق ضغط طبقات الأغشية عند درجات حرارة وضغط مرتفعة. قبل تكوين الأغشية يجري عموماً تجفيف البوليميرات بالتسخين إلى درجة حرارة أخفض بخمس درجات مئوية من درجة التبلّر، وذلك تحت الخلاء، أو بوجود جو من غاز خامل. ثمّ تُبرد الأغشية بسرعة بعد إخراجها لتثبيط تبلّرها 56.

تفيد الأغشية غير الموجّهة في العديد من الاستعمالات، بما في ذلك سيرورات التشكيل الحراري، وتشكيل السلع ذات الأشكال، مثل القوارير، كما يمكن شدّها لتكوين أغشية موجّهة مستوية. فعلى سبيل المثال، فمثلاً غشاءً سماكته أ10mil من أغشية حورانها حوالي 1mil تشكيلاً حرارياً. ويمكن الحصول على أطباق سماكتها 10mil من أغشية سماكتها 100mil.

^(*) $1 \, \text{mil}$ هو جزء بالألف من الإنش ويساوي 0.0254 ميليمتراً (المترجم).

الأغشية الموجّهة. يمكن تحضير أغشية متعدّدة الطبقات موجّهة بشدّ أغشية غير موجّهة مسخّنة ⁵⁶. يمكن شدّ الغشاء إمّا باتجاه يتفق مع جهة الآلة أو باتجاه عمودي على جهة الآلة، وذلك للحصول على غشاء موجّه وفق محور واحد. يجري شدّ الأغشية الموجّهة توجيهاً اثتاني المحور وفق جهة الآلة وباتجاه عموديّ على جهة الآلة.

يمكن إجراء الشدّ وفق محورين تسلسلياً، بالشدّ أولاً باتجاه الآلة، يلي ذلك شدّ بالاتجاه العمودي على السابق. وبالمقابل يمكن أيضاً إجراء الشدّ بالاتجاهين معاً في آن واحد. قبل الشدّ يجري تسخين الأغشية إلى حرارة الشدّ وهي حوالى $0^{\circ}115^{\circ}$. ويفضل شدّ الأغشية في محورين حوالى مرتّين إلى أربع مرّات طول الغشاء قبل الشدّ، وفي كلّ اتجاه، وذلك للحصول على أغشية موجّهة ذات خواص حجز وخواص فيزيائيّة جيّدة.

في سيرورة الأغشية الأنبوبية، يجري بثق المادّة المبثوقة بثقاً مشتركاً والمكوّنة من 3GN و PET عبر فتحة ضيقة لتكوّن أنبوباً. يجري نفخ هواء مضغوط وبدرجة حرارة متحكّم بها عبر الأنبوب الذي يتمدّد بعد ذلك مكوّناً حُبابة ذات قطر أكبر 57. يجري إدخال التوجيه الاثناني المحور في الغشاء أثناء شدّه، وذلك في اتجاه الآلة، وفي الاتجاه العمودي عليه. وبدلاً من ذلك، يُسخّن الغشاء المتعدّد الطبقات، أثناء سيرورة إطار التخييم عليه. وبدلاً من ذلك، يُسخّن الغشاء المتعدّد الطبقات، أثناء سيرورة إطار التخييم يشدد وجيه وتبلّر، مما يؤدي إلى تحسين الخواص الفيزيائية.

تصلّد الأغشية المشدودة بالحرارة عند درجة حرارة أعلى من درجة حرارة تبلّر البوليمير. أثناء التصليد الحراري يُسخّن الغشاء الموجّه ويُعالج حرارياً مع بقاء الغشاء مقيد الأبعاد. يؤدي ذلك إلى استقرار بنية البوليميرات في الغشاء المتعدّد الطبقات عن طريق زيادة تبلّره، مما يُقلّل انكماشه. درجات حرارة التصليد الحراري تقع في المجال ريادة تبلّره، مما عُقلًل انكماشه. درجات الأغشية المصلّدة بالحرارة وضوحاً ممتازاً، ويستمر 2-5 دقائق. تمتلك الأغشية المصلّدة بالحرارة وضوحاً ممتازاً، وفاذية ضوئية 80 في المئة.

تُبدي الأغشية الموجّهة التصاقاً ممتازاً بين طبقات 3GN وPET، مما يلغي الحاجة إلى طبقة لاصقة. الأغشية الموجّهة مفيدة في الاستعمالات التي تتطلّب مقاومة حاجز أوكسجين جيّدة، مثل تطبيقات تغليف الأطعمة.

3.4.2.11 يولى (3،1-بروبيلين ترفتالات \ 6،2-نفتالات)

رمطنع البوليميرات المشتركة پولي (3،1-بروبيلين ترفتالات \ 6،2-نفتالات) من بوليمير پولي (بروبيلين ترفتالات) وبوليمير پولي (3،1-بروبيلين ترفتالات) بالأسترة التبادليّة عند 260° C في جو من غاز خامل مع 50ppm من 260° C من 260° C.

تُظهر جميع البوليميرات استقراراً حراريّاً جيّداً. الأثر الأساسي لعمليّة البلمرة المشتركة هو درجة أخفض من التبلّر، وانخفاض في نقطة الانصهار T_m وذلك مقارنة بالبوليميرات المتجانسة 58. كما إن معادلة فوكس، المعادلة (11-8)، تصف معطيات درجة حرارة الانتقال الزجاجي T_m بدلالة التركيبة وصفاً جيّداً.

3.11. الخواص

1.3.11. الخواص الميكانيكيّة

بوجه عام يتفوق PEN على PET. درجة حرارة الخدمة الدائمة لبوليمير PEN هي بوجه عام يتفوق PEN على PET. درجة حرارة الخدمة الدائمة لبوليمير 59 PET في حالة 59 PET في حالة 59 و 59 و 59 الخواص الميكانيكيّة لأغشية PEN و PET.

PET و PEN الجدول (6-11): الخواص الميكانيكيّة لأغشية مشدودة شدًا اثناني المحور (Boaxoal) 59

^b PET	^b PEN	^a PET	^a PEN	أغشية سماكتها 50 ميكروناً
4200	5350	3500	5000	معامل يونغ، MPa
110	150	190	265	مقاومة الشد، MPa
100	70	140	80	الإجهاد عند استطالة 5 في المئة، MPa
100	70	140	80	الاستطالة عند الكسر، في المئة
1.3	0.4	1.3	0.6	النقلَص الحراري عند £150°C ، في المئة

a شدٌّ باتجاه الآلة.

b شدٌّ عمودي على اتجاه الآلة.

2.3.11. الخواص الحرارية

درجة حرارة الانتقال الزجاجي لبوليمير PEN هي $^{\circ}$ C، وهي أعلى بحوالى $^{\circ}$ C من تلك التي توافق PET. درجة حرارة انصهار PEN هي $^{\circ}$ C في حين أنها تساوي $^{\circ}$ C في حالة $^{\circ}$ PET.

3.3.11. الخواص الكهربائية

لقد جرى تحري الخواص الكهربائية لبوليمير PEN. يُظهر PEN تألقاً كهربائياً 60. ويحدث تدهور أثناء مرور التيار الكهربائي. أظهرت تجارب التقادم باستعمال تفريغ كورونا الكهربائي تأثر الموصلية الكهربائية بشدة.

4.3.11. الخواص البصرية

يشتمل التدهور الضوئي لبوليمير PEN على تكوّن أوليغوميرات. الأكسدة الضوئية مسؤولة عن تكوّن زمر نهائيّة حمضيّة، بصفتها نواتج غالبة 61. ولقد جرى اقتراح آليّة لتفسير الاصفرار في حالة PBN، الآليّة مبيّنة في الشكل (2-11).

الشكل (11-2): آليّة الاصفرار

فلقد لوحظ اصفرار ضوئي شديد ناتج من تحوّل وحدات النفتالات إلى بنى مترافقة أكثر، وتلازم ذلك مع تكوّن هُلام. تبقى هذه التفاعلات الكيميائيّة الضوئيّة محصورة على سطح البوليمير ضمن طبقة سماكتها حوالى 10μm.

5.3.11. النفاذية الغازية

تتمتّع البوليميرات العضويّة بنفاذيّة غازيّة مرتفعة نسبيّاً. نجد في الجدول (11-7) مقارنة بين نفاذيّة بعض البوليميرات. تتعلّق خواص نقل الغاز في بوليميرات PEN بدرجة تبلّره 63. يُلاحظ انخفاض في النفاذيّة في العيّنات المتبلّرة حراريّاً.

الجدول (11-7): نفاذيّة الأوكسجين في بعض البوليميرات 65

^a P	البوليمير
2500	بولي (إيثيلين) ، منخفض الكثافة
500	بولي (إيثيلين)، عالي الكثافة
2000	پولي (سنيرين)
5.9	پولي (كلوريد الڤينيل)
5	پولي (أكريلونتريل)
0.4	بوليميرات بلوريّة سائلة متحوّلة حرارياً
0.15	$12~\mathrm{nm}~\mathrm{SiO}_{_x}$ +(پیثیلین الإیثیلین الإیتیالین بولی

 $^{[10^6\,\}mathrm{Std}\,\mathrm{cm}^3\,\mathrm{cm}\,\mathrm{cm}^{-2}\,\mathrm{s}^{-1}\,\mathrm{Pa}^{-1}]$ النفاذيّة : P^a

لم يلاحظ أي تغيّر في خواص الامتصاص في الطور اللامتبلّر عند المعالجة الحراريّة. النفاذيّة الغازية المنخفضة في حالة الأغشية المشدودة شداً اثناني المحور التي جرى قياسها تتعلّق بتغيّر توزيع قياسات الحجم الحرّ، وبمفعول تعرّجي. تحافظ الأغشية المشدودة شداً اثناني المحور على خواص الحجز حتّى بعد معالجتها حراريّاً عند 250°C.

لقد جرى في سلسلة من التجارب تعديل TPA في PET بواسطة أحماض عطرية تنائية الكربوكسيليك، مثل IPA، حمض ٥-فتاليك، وبعض إيزوميرات حمض النفتالين ثنائي الكربوكسيليك، أي ADA-5,0 و ADA-1,5 و ADA-1,8 و ADA-64. يبيّن الجدول (8-11) نفاذيّة الأكسجين وغير ذلك من خواص البوليميرات المشتركة اللامتبلّرة من PET المعدّل بمقدار 10 في المئة من وحدات حمض كربوكسيليك آخر.

يُظهر تفحّص الجدول (11-8) أنّه من بين إيزوميرات حمض النفتالين ثنائي الكربوكسيليك، فقط 2,6-NDA فعّال حقيقة في خفض النفاذيّة. الأكثّر فعالية هو حمض ٥-فتاليك، إلاّ أنّ هناك انخفاضاً في درجة حرارة الانتقال الزجاجي. بالمعالجة الحراريّة، تزداد نسبة التبلّر بحوالي 30 في المئة وتزداد خواص الحجز ازدياداً ملحوظاً.

يمكن إنقاص النفاذية بسيرورة توضيع فيزيائي للأبخرة (PVD)، وتوضيع كيميائي للأبخرة (CVD). تجري سيرورة التوضيع الفيزيائي للأبخرة تحت ضغط منخفض وتشتمل على تبخير وترذيذ، بغياب تفاعلات كيميائية في الطور الغازي عند سطح الركيزة. تُظهر نظرة عامّة على سيرورات التوضيع الكيميائي للأبخرة أنها تستعمل مركّبات طليعيّة طيّارة تتحلّل بواسطة الحرارة أو الفوتونات أو البلازما. يطبّق التوضيع الكيميائي للأبخرة المحسن بالبلازما (PECVD)، في حالة الركائز الحساسة حراريّاً مثل البوليميرات. ولقد أصبحت هذه السيرورة السيرورة الأوسع استعمالاً لتوضيع طلاءات السيليكون.

 66,64 المعدّل PET المعدّل المعدّل الجدول (11-8): الفاذيّة الأوكسجين في بوليمير

مُعدّل بوليميرات لامتبلّرة ⁶⁴						
	%	$[gcm^{-3}] \backslash \rho$	^a P	^b D	^c S	$^{\mathrm{o}}$ C $\setminus T_{g}$
PET	10.0	1.3350	0.469	5.6	0.098	81
حمض إيزوفتاليك	10.0	1.3369	0.398	4.7	0.098	80
حمض ٥- فتاليك	10.0	1.3381	0.364	4.7	0.089	74
2,6-NDA	10.0	1.3345	0.390	4.3	0.105	89
1,5-NDA	10.0	1.3339	0.464	4.9	0.108	91
1,8-NDA	10.0	1.3344	0.470	5.2	0.104	89
مُعدَّل بوليميرات متبلَّرة ⁶⁶						
	%	$[gcm^{-3}]\backslash \rho$	^a P	^{b}D	^c S	$^{\mathrm{d}_{\mathrm{o}}}\mathrm{C}ackslash T_{g}$
حمض ٥- فتاليك	10.0	1.3381	0.141	2.3	0.068	117
حمض إيزوفتاليك	10.0	1.3792	0.154	2.5	0.072	122
2,6-NDA	10.0	1.3754	0.228	2.9	0.091	129

 $[[]Std cm^3 cm cm^{-2} s^{-1} atm^{-1}] \setminus P^a$ النفاذيّة

 $^{10^{12} [\}text{m}^2 \text{s}^{-1}] \setminus D^b$ الانتشاريّة : D

 $[[]Std cm^3 cm^{-3} atm^{-1}] \setminus S^c$ الانحلاليّة

 T_a معالجة حراريّة لمدّة 360 دقيقة عند $^{\rm d}$

تُستعمل أغشية رقيقة من الأكاسيد موضعة على ركائز بوليميريّة بنقنيّات توضيع الأبخرة في تطبيقات متنوّعة. يؤدّي الجمع بين المواد البوليميريّة والطلاءات الوظيفيّة الواقية إلى العديد من المميّزات المفتاحيّة على المواد المُجملة البديلة، مثل خفّة الوزن، والشكل المعقّد، وحريّة التصميم، والشفافيّة، أو حتّى المميّزات البصريّة المفصلة وفق الرغبة 65.

تُستعمل طبقات أوكسيد الألمنيوم استعمالاً واسعاً بصفتها طلاءات حاجزة للغاز على مواد بوليميريّة. ولقد وُجدَ أن طبقة واحدة من $Al_x O_y$ تُحسّن حاجز الرطوبة بمقدار مرتبة واحدة في حالة PET، ومرتبتين اثنتين في حال PC، في حين لم يُلاحظ أي تحسّن في حالة PEN، ومرتبتين اثنتين في حالة 67 PEN.

تُبدي بوليميرات PET وPEN و PC خشونة سطح، وطاقة سطح مختلفة. تُعتبر هذه الموسطات عوامل مهمّة تؤثر في نمو AI_xO_y . لقد وُجد أنّ نعومة سطح الركيزة هو شرط لازم للحصول على حاجز رطوبة جيّد، وبشكل مستقلّ عن خاصّة الحجز للركيزة البوليميريّة. تتخفض خشونة السطح من PEN إلى PC مروراً بــPET. لهذا السبب، نجد أنّ المعالجة بأوكسيد الألمنيوم غير فعّالة في حالة PEN.

6.3.11. المقاومة الكيميائية

في حالة البوليسترات على أساس 2,6-NDA جرى تغيير المركبة الكحولية. إذ جرت الاستعاضة عن الإيثيلين غليكول جزئيًا بكحولات ذات سلاسل جانبيّة أليفاتيّة، على أساس 3،1-بروبان ديول (CC) أو 2،2-ثنائي ميثيل -3،1-بروبان ديول (CC) أو 2-2-ثنائي إيثيل -3،1-بروبان ديول (CCC) أو 2-بوتيل -2-إيثيل -3،1-بروبان ديول (CCC) 68.

جرى تحضير بوليميرات مشتركة بطريقة تكاثف الصهارة باستعمال ثنائي ميثيل 6،2-نفتالات. تتخفض درجة تبلّر الأغشية المعالجة حرارياً وكثافتها مع ازدياد المحتوى من المونوميرات المشتركة، وطول سلسلة الألكيل الجانبيّة فيها. تزداد المقاومة القلوية بشكل ملحوظ بعد دمج مونوميرات مشتركة تمتلك سلسلة ألكيل جانبيّة.

تمتلك جميع البوليميرات المشتركة انحلاليّة أعلى، ودرجة حرارة انتقال زجاجي أعلى، واستقراريّة حراريّة أفضل من PET. تُقارن الخواص الحراريّة بتلك التي يتمتّع بها PEN، بل هي أفضل من PEN في حالة العيّنات المعدّلة بـــ 3،1-بروبان ديول. تؤدي

سلاسل ألكيل جانبيّة أطول إلى خفض الخواص الحراريّة. لقد جُمعت المعطيات عن المقاومة الكيميائيّة الكيميائيّة في الجدول (11-9)، حيث جرى التعبير عن المقاومة الكيميائيّة بالمحافظة على مقدار الاستطالة عند الكسر بعد المعالجة الكيميائيّة.

 59 PEN و PET المقاومة الكيميائيّة لبوليميري المقاومة الكيميائيّة الجدول (9-11)

^a PEN	^a PET	الأسابيع	العامل الكيميائي
85	72	2	حمض كلور الماء 1%
106	74	5	حمض كلور الماء 1%
69	4	2	حمض كلور الماء 10%
60	0	5	حمض كلور الماء 10%
97	76	2	هيدروكسيد الصوديوم 1%
126	60	20	هيدروكسيد الصوديوم 1%
70	0	1	هيدروكسيد الصوديوم 10%
50	0	2	هيدروكسيد الصوديوم 10%
93	15	2	غاز الأمونيا
96	0	10	غاز الأمونيا
80	0	2	$^{ m b}$ التقادم الحراري
50	20	2	$^{\mathrm{c}}$ التقادم الحر اري

a النسبة المئوية للمحافظة على الاستطالة عند الكسر

4.11. الإضافات الخاصة

1.4.11. مُبطّنات اللهب

يمكن جعل البولي أميدات، مثل PA أو PA أو PA أو PA أو PET أو PA أو PET أو PA أو PET أو PA أو PA أو PET مبطّنات لهب بإضافة مزيج من سيانورات الميلامين ومركّب بولي(فوسفونات) أيضاً دور مُلدّن، مُحسّناً الخواص الميكانيكيّة للبوليمير، ومساعداً في تشتُت سيانورات الميلامين.

b أسبوعان عند درجة حرارة 180°C و RH 0%

 $^{^{\}rm c}$ أسبو عان عند درجة حرارة $^{\rm c}$ 130°C أسبو عان عند درجة مرارة $^{\rm c}$

2.4.11. الطلاءات الواقية

يمكن طلاء السلع المصنوعة من بوليستر النفتالات بواسطة تركيبات قابلة للبلمرة والتشبيك التصالبي. تُصنع التركيبة من الحاضنة ومن كميّة كبيرة من مشتقات البنزوتريازول. يمتص هذا الصف من المركبات الضوء فوق البنفسجي. تُساعد التركيبات المنضبّجة في حماية بوليستر النفتالات من التعرّض للأشعّة فوق البنفسجيّة، وغيرها من العوامل الجويّة ⁷⁰. تتكوّن الحاضنة من راتنجات أكريلية وراتنجات ميتاكريلية. تقبل هذه التركيبات البلمرة الضوئيّة.

5.11. تطبيقات

1.5.11. پولي (نفتالات الإيثيلين)

لقد كان PET أول بوليستر عطري تجاري متلان حرارياً. ولكن جرى حديثاً تركيز الانتباه على PEN لأنّ الألياف والأغشية المصنوعة من PEN تمتلك مقاومة ميكانيكية وخواص حراريّة مُحسّنة، بالمقارنة مع المنتجات المصنوعة من PET.

لقد وجد PEN العديد من التطبيقات: فمقاومة الشدّ الأعلى واستقرار أبعاده يجعلان من أغشية PEN خياراً ممتازاً لتصنيع أشرطة التسجيل المغناطيسيّة والقطع الإلكترونيّة. إضافة إلى ذلك، فإنّ مقاومته الممتازة لتغلغل الغازات، وخصوصاً تغلغل غاز ثاني أوكسيد الكربون والأوكسجين وبخار الماء تجعل من أغشية PEN مفيدة لتصنيع حاويات الأغذية الساخنة. كما يمكن استعمال PEN لتحضير ألياف شديدة المقاومة صالحة لتصنيع حبال الإطارات 38.

ولقد وُجدَ أنّ البوليسترات المصنوعة من مزائج من TPA و 2,6-NDA أو NDC، تمتلك خواص فريدة ومرغوبة، مثل مقاومة تغلغل الغازات. تجعلها هذه الخاصّة مُناسبة لتصنيع حاويات الأغذية والمشروبات 5.

 T_{g} يبدي PBN مُعدّل تبلّر سريع، ويصعب تحديد درجة حرارة انتقاله الزجاجي يبساطة عن طريق تسخين العيّنة المسقيّة 71 . ولأن معدّل تبلّر PBN أسرع بكثير من معدّل تبلّر PBT، فمن الممكن تقصير زمن دورة معالجته. وبسبب سهولة التعامل معه، تمكن قولبة PBN إمّا بالحقن أو بالبثق لصنع قطع كهربائيّة أو الكترونيّة أوميكانيكيّة. يُبدي PBN خواص مُقاومة ميكانيكية ومقاومة حراريّة واستقراراً بُعديّاً ومقاومة كيميائيّة

حمضية وقلوية ممتازة، إضافة إلى عدم نفاذية الغازولين والغازوهول. لذلك فهو مُناسب بشكل خاص لصنع قطع السيّارات التي تقع على تماس مع الوقود، والزيت، وغاز الاحتراق. إضافة إلى ذلك فقد جرت الإشارة إلى PBN مُقوّى بالألياف للاستعمال في شروط درجات الحرارة المرتفعة والرطوبة 38.

نقبل المزائج من PBN مع پولي (ڤينيل فينول) (PVPh) الامتزاج على كامل طيف التركيبات في الحالة اللامتبلّرة 72.

ولقد لوحظت في حالة مزائج PBN و يولي (إيثر إيميد) درجة حرارة انتقال زجاجي $T_{\rm g}$ ولحدة. تزداد درجة حرارة الانتقال الزجاجي باطّراد مع ازدياد المحتوى من $T_{\rm g}$ واحدة عرارة الانتقال الزجاجي للمزائج معادلة فوكس، ممّا يشير إلى امتزاج المكوّنات.

2.5.11. الأغشية

1.2.5.11 وسائط التسجيل المغناطيسي

تُستعمل الأغشية الموجّهة الاثنانيّة المحور من بوليسترات PET استعمالاً متكرّراً في حقل وسائط التسجيل المغناطيسي، مثل أشرطة التسجيل السمعي، أو أشرطة التسجيل البصري، أو الأشرطة الحاسوبيّة، أو الأقراص المرنة. ومع وجود اتجاه إلى تصغير حجم ووزن التجهيزات الكهربائيّة والإلكترونيّة بهدف تحسين أدائها، صارت الطلبات أكثر إلحاحاً.

فمثلاً في حقل وسائط التسجيل المغناطيسي يجب أن يكون الغشاء القاعدي من الرقة بحيث يتيح زمن تسجيل طويل، مع خفض بالقياس والوزن. في حالة شريط تخزين مغناطيسي خطّي نموذجي، إذا كان عدم اتفاق على الخط قدره 10 في المئة مقبولاً، فإن تشوّهاً جانبيّاً أقل من $5 \, \mu$ مرغوب $74 \, \mu$. وفي الوقت نفسه، من المهم المحافظة على جساءة الغشاء عن طريق تحسين معامل مرونته. في بعض الحالات يكون الغشاء القاعدي الفائق الرقة المصنوع من PET التقليدي غير مرض فيما يتعلّق بمعامل مرونته.

لقد جرى توصيف الخواص الميكانيكيّة والحراريّة لأغشية PET و PEN على نطاق واسع 77-77. يتفوّق PEN على PET بخواص المرونة، في حين نجده أسوأ من

PET فيما يتعلّق بخواص اللزوجة المرنة. ولقد وُجِدَ أنّ أغشية PEN تمتلك خواص تخميد أفضل من تلك التي تملكها أغشية PET. وهذا يقتضي أنّها تمتلك أداء أفضل عند التعامل معها أثناء تصنيع الأشرطة. إلاّ أنّ غشاء PEN يمتلك مُقاومة أخفض للتمزّق، ومن ثمّ مقاومة أخفض إزاء النزع الصفيحي من غشاء PET عادي.

وخصوصاً عندما يجري شدّه كغشاء موجّه اثناني المحور، تكون مقاومة التمزّق، للمنتج المرحلي أو النهائي في عمليّة القولبة، منخفضة في العديد من الحالات. لذلك يُكسر الغشاء تكراراً مما يحول مثلاً دون الحصول على منتج من سيرورة إنتاج غشاء موجّه تسلسلياً اثناني المحور من PEN. وحتى لو جرى الحصول على مُنتج، فإنّه يجري الحصول على غشاء يسهل تمزيقه في اتجاه محدّد.

يفيد بوليمير مشترك من PEN محتوعلى كميّات ضئيلة من مركبة IPA أو مركبة محمض ديكالين -6،2-ثنائي كربوكسيليك، في تحسين الخواص الميكانيكيّة 78. تُستعمل المُركّبات الحمضيّة تفضيلاً بصفتها إسترات ميثيل. وعلاوة على ذلك، يجب أن تكون كميّات كسر ثنائي إيثيلين غليكول المتكوّنة بالتفاعلات الجانبيّة أقلّ من 3 في المئة موليّاً. إذا تجاوزت كميّة مركبة ثنائي إيثيلين غليكول نسبة 3 في المئة موليّاً ازدادت المقاومة إزاء النزع الصفيحي للغشاء الناتج، ولكن يُفقد التبلّر مما يُسبّب انخفاضاً كبيراً في المقاومة الميكانيكيّة. ومن المفيد، لإزالة الناتج الثانوي المتمثّل بثنائي الإيثيلين غليكول أثناء إنتاج PEN المعدل، جعل زمن الأسترة قصيراً قدر الإمكان.

يمكن انطلاقاً من البوليسترات المعدّلة إنتاج أغشية موجّهة اثنانيّة المحاور بالطرائق التقليديّة. يمكن الحصول على أغشية موجّهة اثنانيّة المحاور ذات معامل يونغ حوالى 500 kg mm⁻² أو أكثر من ذلك، في كلا الاتجاهين الطولي أو العرضي. إلا أنه عندما يُصبح معامل يونغ مرتفعاً جدّاً تصبح المقاومة إزاء النزع الصفيحي غير كافية.

تُساوي الكتلة الحجميّة المرغوبة قلمرغوبة 1.350g cm⁻³ أو تزيد على ذلك. إذا كانت الكتلة الحجميّة أقل من ذلك يصبح تبلّر التوجيه غير كاف، وتُتلِف المقاومة الميكانيكيّة المادّة. وعلاوة على ذلك تُصبح المقاومة إزاء النزع الصفيحي غير كافية. ومن ناحية أخرى للمحافظة على سطح الغشاء مستوياً، يُفضل أن تكون الكتلة الحجميّة 1.362g cm⁻³ أو أقل.

تمتلك الأغشية الموجّهة الاثنانيّة المحاور خاصّة مقاومة تجعّد ممتازة. تعني خاصّة مقاومة التجعّد أنّ الغشاء لا يبقى متجعّداً بعد لقّه مرةً ثُمّ إعادة بسطه. ونادراً ما يلاحظ ابيضاض عند ثنية حيث يجري ثني الغشاء. تُسمّى هذه الخاصّة المقاومة إزاء النزع الصفيحي، وهي مؤشّر مهمّ عند تقييم الغشاء القاعدي في حالة أوساط التسجيل المغناطيسي، وكذلك في حالة الأفلام الضوئية.

يُعبَّر عن المقاومة إزاء النزع الصفيحي اعتماداً على عرض الابيضاض عند خط ثتي النزع الصفيحي، أو على نسبة الابيضاض عند خط ثتي النزع الصفيحي، إنّ نسبة البيضاض عند خط ثتى النزع الصفيحي أقل من 10 في المئة هي النسبة المرغوبة.

يمكن أن تتراوح سماكة الغشاء من μm 0.5 μm وإحدى مواصفات الأغشية القاعديّة لوسائط التسجيل المغناطيسي هي أنّ خشونة سطح الغشاء يجب أن تساوي 2.0 nm أو أقلّ من ذلك. لأنّه إذا جرى توضيع طبقة لاصقة، أو طبقة حاجزة، أو طبقة مغناطيسيّة على الغشاء القاعدي وكان خشونة سطحه أكثر من 2.0 nm تشوّه انبساط الغشاء، ومن ثمّ فسدت خواص التحويل الكهرطيسي بشكل سيّئ جداً.

يُعاق التبلّر بالشكل المناسب بالبلمرة المشتركة مع مركبة IPA أو مركبة حمض ديكالين -6،2-ثنائي كربوكسيليك، لأنّ هذا يُخفّف خشونة السطح الناتجة عن نمو بلّورات دقيقة أثناء التصليد الحراري. ولجعل السطح أكثر استواءً، هناك طريقة يجري فيها خفض درجة حرارة التصليد الحراري لمنع التبلّر من تكوين بقع وطريقة يجري فيها تبلّر سطح الغشاء عندما يجري تبريد البوليمير المبثوق من فوهة البثق بواسطة أسطوانة صبّ. هذه الطرائق هي الأكثر فعاليّة.

في هذه الطرائق يُحافظ على درجة حرارة أسطوانة الصبّ حوالى -40° 0، ويُصب الماء البارد على الغشاء على أسطوانة الصب لتبريده.

2.2.5.11 الأغشية الفوتوغرافية

لقد جرى استعمال غشاء من ثلاثي خلات السيللوز بصفته غشاءً قاعدياً لغشاء فوتوغرافي. يطرح غشاء ثلاثي الخلاّت هذا مشاكل في الأمان والبيئة بسبب استعمال مذيب عضوي في سيرورة إنتاجه. وإضافة إلى ذلك، نجده محدوداً من جهة مقاومته

الميكانيكية، واستقراره البُعدي. لذلك تُستعمل أغشية PET جزيئياً كأغشية قاعديّة بديلة. إلا أنّه عند حفظ هذه الأغشية ملفوفة ثُمّ تُبسط، تبقى أغشية PET متجعّدة، وتصعب إزالة هذا التجعّد.

إنّ استعمال أغشية PEN أكثر إرضاءً وذلك فيما يتعلّق بالمقاومة الميكانيكيّة، والاستقرار البُعدي، وخاصيّة مقاومة التجعد عند لفّه بأقطار صغيرة. إلاّ أنّ أغشية PEN تخضع للنزع الصفيحي، وبخاصيّة عند لفّ الغشاء وتثقيبه. إنّ ظهور النزع الصفيحي يجعل من الصعب استعمال الغشاء غشاءً قاعدياً لغشاء فوتوغرافي، بسبب ابيضاض الجزء الخاضع للنزع الصفيحي.

يفيد بوليمير مشترك من PEN محتوعلى كميّات ضئيلة من مركبة IPA أو مركبة محض ديكالين -6،2-ثنائي كربوكسيليك، في تحسين الخواص الميكانيكيّة ⁷⁸. إنه يعمل بالطريقة نفسها كما في حالة وسائط التسجيل المغناطيسي التي وصفناها في 1.2.5.11.

3.2.5.11 تغليف الخلايا الشمسيّة العضويّة المرنة

إنّ البوليميرات المترافقة مثل بولي (p-فينيلين فينيلين) (PPV) المستعملة في الخلايا الشمسية العضويّة معروفة بكونها غير مستقرّة في الهواء. إذ تعمل الخلايا الشمسيّة المصنوعة على أساس PPV فقط عدّة ساعات في الهواء. لذلك يُعدُّ التغليف المناسب لهذه التجهيزات أمراً إلزامياً.

لا يمكن للبوليميرات العضوية كما هي أن تُحقق معدلات منخفضة لنفاذ الأوكسجين والضرورية للحصول على عمر مقبول لهذه التجهيزات. إلا أنه يمكن لتقانات توضيع خاصة أن تخفض معدّلات نفاذ الغازات.

لقد جرى إدخال مادّة على أساس PEN ذات حاجز غاز فائق العلو، مصنوعة كاملة بطريقة توضيع الأبخرة كيميائياً المُحسّن بالبلازما PECVD، بشكل مادة طلاء للخلايا الشمسيّة العضويّة المرنة 79. لقد كانت أغشية PEN للتغليف مُفضلّة على أغشية PET بسبب كون درجة حرارة انتقالها الزجاجي أعلى.

4.2.5.11. ركائز للتجهيزات الإلكترونية

يستند التطور في حقل الإلكترونيات اللدائنية على التطور في المواد وفي نقانة التصنيع. لقد جرى عرض ترانزستور مصنوع حصرياً من البوليميرات، جرى فيه طباعة مساري المنبع والمصب باستعمال الطباعة الفلكسوغرافية (ق. في تجهيزة الترانزستور البوليميري جرى استعمال كلً من البولي (أنيلين) والبوليمير المنتظم مناطقياً بولي (3-هكسيل ثيوفين) و PVPh والبوليمير المشترك بولي (4،3-إيثيلين ثنائي أوكسي ثيوفين) بولي (ستيرين سلفونات) بالترتيب بصفتها مساري المنبع والمصب ومادة نصف ناقلة نشطة القناة وعازل ومسرى بوابة. ولقد جرى استعمال صفائح مرنة من PEN و PEN كركائز 80.

3.5.11. الألياف

إنّ البوليسترات مثل PET واسعة الاستعمال في تصنيع الألياف للصناعات النسيجيّة وغيرها من التطبيقات. ومع أنّ PET يتمتّع بالعديد من الخواص المرغوبة التي تجعل منه مُناسباً لتصنيع الألياف، إلاّ أنّ الحاجة مستمرّة لألياف بوليستريّة ذات خواص محسّنة، أو خواص مختلفة عن تلك التي يملكها PET، فاتحة بذلك الطريق لاستعمالات جديدة للألياف البوليستريّة. فمثلاً، وجد PEN تطبيقات في أقمشة الأشرعة العالية الأداء، أو في تطبيقات الترشيح الصناعيّة. يمكن الحصول على ألياف مكرويّة من الألياف باستعمال طريقة ترفيع أو ترقيق بالليزر 81.

تُحضر ألياف البوليستر ذات الخواص المُحسنة من مزائج PET مع PEN، أو مزيج PET مع بوليمير مشترك يحتوي على وحدات ترفتالات ونفتالات 82. إضافة إلى ذلك، يمكن استعمال بوليمير PET المُعاد تدويره، فنحصل بذلك على استعمال قيّم للمواد البوليستريّة المعاد تدويرها.

تمتلك الألياف البوليستريّة خواص انكماش مرتفعة، وهذا ما يجعلها مفيدة في تطبيقات الألياف حيث يكون استبقاء التموج أو الحجوم الكبيرة مطلوبين. تتمثّل التطبيقات

⁽المترجم). الطباعة الفلكسوغرافيّة هي تقنيّة طباعة مرنة تتيح الطباعة على جميع أنواع السطوح (المترجم).

النموذجيّة في خيوط السجّاد، والمواد القماشيّة غير المنسوجة، المستعملة في البطانات أو لملء الوسادات أو في الترشيح، وكذلك كخيوط متخصّصة للنسج أو الحياكة. تمثلك الألياف درجة حرارة انصهار منخفضة مقارنة ببوليمير PET ، وهذا ما يجعلها مفيدة كألياف رابطة في الأقمشة غير المنسوجة، وخصوصاً مجتمعة مع ألياف بوليمير PET المتجانس.

تشير قياسات DSC وقياسات انتثار الأشعة السينية الواسعة الزاوية على بوليمير PEN المسحوب بارداً والمشدود من ألياف غير متبلّرة والمغزول بسرعات بطيئة، أنّه يمكن لتبلّر محرّض بالإجهاد أن يحدث عند درجات حرارة أخفض من درجة حرارة الانتقال الزجاجي، وأن تتكوّن من ثمّ بلّورات من النمط α . وبالمقابل عندما يجري تعريض بوليمير PEN نفسه للمعالجة الحراريّة المقيّدة، تبقى خواصته كمادة لا متبلّرة بدون تغيير حتّى ولو جرت المعالجة الحراريّة عند 200° C.

توحي هذه النتائج بأنّ تطبيق إجهاد الشدّ أكثر أهميّة من درجات الحرارة المرتفعة في توليد البلّورات من النمط α . وعند سرعات أعلى تتكوّن إلى حدٍّ ما بلّورات من النمط β . ولقد جرى رفع غطاء السريّة في الأدبيات δ عن وصفة لتحضير بوليمير مشترك من PET معدّل بالنفتالات بنسبة 20 في المئة موليّاً (PETN-20).

ولقد جرى تحضير مزائج ثلاثيّة من بوليمير بلورات سائلة متبدّل حراريا و PET و PET عن طريق مزج الصهارة وغزلها في ألياف. يمكن تحسين الخواص الميكانيكيّة للمزيج الثلاثيّ بشكل ملموس عن طريق المعالجة الحراريّة عند 180°C لمدّة ساعتين. يرجع ذلك إلى نمو بُليرات أكثر ترتيباً، وإلى تكوّن بنى بلّوريّة أكثر مثاليّة 85. يتحسن الالتصاق عند السطوح البينية لطوري PEN والبوليمير البلّوري السائل عندما تجري معالجة المزيج بثنائي بوتيل قصدير ثنائي لورات بصفته محفّزاً تفاعلياً لتعزيز الأسترة التبادليّة 86.

6.11. الموردون والعلامات التجارية

يبيّن الجدول (11-10) أمثلة على العلامات والأسماء التجاريّة المتوفرة تجارياً. ويبيّن الجدول (11-11) الأسماء التجاريّة الواردة في المراجع.

الجدول (11-11): أمثلة على بوليميرات PEN المتوفرة تجارياً

ملاحظات	المُنتج	الاسم التجاري
PEN، لقوارير الشرب	M&G Polymers	Hipertuf®
PEN، أغشية	DuPont Teijin	Kaladex®
PEN و 83	Kolon Industries, Inc.	Nopla®
PEN، ألياف	Performance Fibers, Inc.	PenTec®
PEN مُعدّل، ألياف	Honeywell	Pentec®
⁸³ PEN	SK Chemicals	Skypet® PEN
أغشية مشدودة اثنانيّة المحور	DuPont Teijin	Teonex®

7.11. الأمان

لا يشكّل NDC أي أخطار صحيّة ملموسة عند التعرّض له عبر الطرق الطبيعيّة، مثل الاستنشاق أو الابتلاع أو التماس مع الجلد أو العيون. وحتّى عام 2004 لم يكن هناك أيّة تجهيزات وقاية شخصيّة مطلوبة للتعامل مع NDC أو استعماله 87. تقترح بعض الدراسات أنّ لمركب NDC سميّة جينيّة أصغريّة على الإنسان. ندف NDC قابلة للاشتعال ويجب توخي الحذر لتفادي الحريق أو الانفجار. ولكنّ ندف NDC الصلبة نفسها لا تمثّل أي خطر ملموس. يمكن لــ NDA أن يُسبب تهيّجاً خفيفاً للعين 87.

الجدول (11-11): الأسماء التجارية الواردة في المراجع

المُورّد	الاسم التجاري
	الوصف
Degussa-Hüls	Aerosil®
	سیلیکا مدخّن ⁷⁰
Dupont	Bynel® (Series)
	راتنج خلات الڤينيل إيثيلين المعدّل بأنهيدريد، مُعزّز النصاق ^{70,56}
Cabot Corp.	Cabosil TM M5
	سیلیکا 70

الجدول (11-11): الأسماء التجارية الواردة في المراجع

المُورّد	الاسم التجاري
	الوصف
Union Carbide Corp.	Carbowax® (Series)
	پولي (غليكول أوكسيد الإيثيلين) (PEG)
Ciba	Darocure® 1173
	2- هيدروكسي -2-ميثيل -1-فينيل بروبان -1-أون، بادئ ضوئي ⁷⁰
Dyneon	Dyneon® HTE
	بوليمير فَلور <i>ي</i> ⁷⁰
Cytec Industries	Ebecryl® (Series)
(UCB)	أكريلات اليوريثان ⁷⁰
Cytec Industries	Ecdel®
(UCB)	بوليمير مشترك إستر إيثر مطاطي ⁷⁰
DuPont	Elvamide®
D. D.	پولي (أميد) ذو درجة انصهار منخفضة ⁵⁶
DuPont	Engage TM resins
Enotalli I ambanti C n a	بولي (إيثيلين) ذو كثافة منخفضة 70
Fratelli Lamberti S.p.a.	@Esacure بو ادئ ضوئيّة ⁷⁰
Clariant GmbH	بوادئ صوبیه Highlink® (Series)
Clariant Omori	(Series) @ Trightink محلول (سول) سيليكا غرو <i>ي</i> ⁷⁰
Ciba	محون (سون) سييد عروي Irgacure® 184
Clou	. د المحمودة المحمدية المحمدية 1- هيدروكسي حلقي هكسيل فينيل كيتون، بادئ ضوئي ⁷⁰
Clariant GmbH	ا میروسی سی مسیق میری میرون جدی سومی ®Klebosol
	محلول (سول) سیلیکا ⁷⁰
BASF AG	Larmer® LR 8739
	مونومير أكريلات اليوريثان ⁷⁰
Dupont	Ludox® (Series)
_	سىلىكون غرو <i>ي</i> ⁷⁰
Dupont	Melinar® Laserplus
	پولي (ترفتالات الإيثيلين) (PET)، للقوارير ⁵⁶
Dupont	Mylar® (Series)
	پولي (إيثيلين ترفتالات) ⁵⁵
Nalco Chemical Co.	Nalco® 2327
	هيدروسول (معلّق غروي مائي) سيليكا ⁷⁰

الجدول (11-11): الأسماء التجارية الواردة في المراجع

المُورّد	الاسم التجاري
	الوصف
Eastman Chemical Co.	PCTA Durastar 1000
	بولي إستر مشترك من 65%مولياً حمض ترفناليك، و 35%مولياً
	حمض إيزوفتاليك و CHDM
Lucite International	Perpex® CP63
	زجاج أكري <i>ل</i> ⁷⁰
Eastman Chemical Co.	PETG 6736
	پولي إستر مشترك من حمض ترفتاليك، و EG و ³⁶ CHDM
Henkel (Cognis)	Photomer TM 6210
0 01 1 1 0	أوليغومير أكريلات اليوريثان، راتنج مُعدّل الريولوجيا ⁷⁰
Qo Chemical Co. (Lyondell Chem. Co.)	Polymeg®
•	پولي (رباعي ميثيلين غليكول) ¹⁹ Rexflex® W111
Rexene Corp.	Rexilex & W111 پولی (أولیفین)، مرن ⁷⁰
Solvay	پوني (اونبيس) ، مرن ®Solef
Bolvay	- 50101 يولى (فلوريد الڤينيليدين) 70
Tego Degussa	TEGO® RAD 2100
	بولي (سيلوكسان)،أكريليك، دفق قابل للتشبيك جذرياً، وإضافات
Ciba Geigy	Tinuvin® 144
	بيس (6،2،2،1-خماسي ميثيل -4-بيبيريدينيل)بوتيل (5،3-ثنائي -
	ترت -بوتیل -4-هیدروکسی بنزیل)مالونات، ماص أشعة $^{70}\mathrm{UV}$
Ciba	Tinuvin® 234
	2-(2- هيدروكسي -5،3- ثنائي -α-كوميل فينيل)-2H-بنزوتريازول ⁷⁰
DuPont	Tyzor® TPT
	رباعي إيزو بروبوكسيد التيتانيوم (تيتانات رباعي إيزوبروبيل)،
	محفّز 56,55
BASF AG	Tyzor® TPT
	4،4،'2،2/ باعي هيدروكسي بنزوفينون، ماص أشعة ⁷⁰ UV
	رباعي إيزو بروبوكسيد التيتانيوم (تيتانات رباعي إيزوبروبيل)، محفّز 56,55

8.11. الأثر البيئي وإعادة التدوير

يمكن فصل الحاويات المصنوعة من PET و PEN وپولي (كلوريد الڤينيل) عن طريق تحديد طبيعة كلّ واحد منها باستعمال طرائق المطيافيّة.

فمثلاً، عند فصل PET عن PEN، يجري تمرير الضوء الفوق البنفسجي عبر الجسم ثُم إلى مُجزّئ. تمرّ الحزمة الأولى عبر مُرشّح حول 380 nm، في حين تمرّ الحزمة الثانية عبر مرشّح حول 400 nm. المرشّحان هما مرشّحا تداخل ضيّقا الحزمة، وتُحسب النسبة بين كميّة الطاقة التي تمر عبر مرشّح 380 nm وكميّة الطاقة التي تمر عبر مرشّح 400 nm. 400 nm. فإذا كانت النسبة قريبة من 1 صنّف الغرض على أنّه قارورة PET، وبالمقابل إذا كانت النسبة قريبة من 0 صنّف الجسم على أنّه PEN. وهكذا تُفصل المواد أوتوماتيكيّاً على السير الناقل.

PEN تمكن إعادة تدوير PET كيميائياً بالتحلّل الكحولي. ويُعتقد أنّ كميّة صغيرة من PEN في حاويات من PET لا تعيق عملية إعادة تدوير

يؤدّي ثاني أوكسيد الكربون فوق الحرج دور مُلدّن للبوليميرات. ولقد اقترح إدخال ثاني أوكسيد الكربون فوق الحرج في عمليّة إزالة البلمرة لتسهيل هذه العمليّة 89.

المراجع

- 1. K. E. Perepelkin. "Polyester fibres abroad in the third millennium." *Fibre Chemistry*: vol. 33, no. 5, 2001, pp. 333–339.
- 2. K. Pang, R. Kotek, and A. Tonelli. "Review of conventional and novel polymerization processes for polyesters." *Progress in Polymer Science*: vol. 31, no. 11, November 2006, pp. 1009–1037.
- 3. R. J. Whinfield and T. J. Dickson. Polymeric linear terephthalic esters. US Patent 2 465 319, assigned to Du Pont, 22 March 1949.
- 4. J. G. Cook, H. P. W. Huggill, and A. R. Lowe. Manufacture of new highly polymeric linear esters and the production of filaments, fibres and the like therefrom. GB Patent 604 073, assigned to ICI Ltd., 28 June 1948.
- K. K. Rao, R. D. Sellen, X. Feng, and J. Spanswick. Production, purification and polymerization of aromatic dicarboxylic acids. US Patent 6 642 407, assigned to Exxon Mobil Chemical Patents Inc. (Houston, TX), 4 November 2003.

- H. Iwasaki, S. Inoki, and H. Ueki. Method of purifying crude naphthalenedicarboxlic acid and process for. US Patent 6 100 374, assigned to Mitsui Chemicals Inc. (Tokyo, JP), 8 August 2000.
- H. N. Cho, J. M. Hong, H.-W. Lee, Y. C. Ko, and I. S. Choi. Process for preparing polyethylene naphthalate based polymers by using NDCA or its derivates. US Patent 6 323 305, assigned to Korea Institute of Science and Technology (Seoul, KR), 27 November 2001.
- 8. J. B. Rodden and G. W. Elliott. Closely linking a NDA process with a PEN process. US Patent 6 297 348, assigned to Shell Oil Company (Houston, TX), 2 October 2001.
- 9. H. Iwasaki, M. Ishibashi, H. Ueki, and S. Hiraoka. Process for producing polyethylene naphthalate. US Patent 5 811 513, assigned to Mitsui Petrochemical Industries, Ltd. (Tokyo, JP), 22 September 1998.
- 10. A. Parthasarathy. Method for increasing solid state polymerization rate of polyester polymers. US Patent 6 699 545, assigned to E. I. du Pont de Nemours and Company (Wilmington, DE), 2 March 2004.
- 11. X. Gao, W. M. Hou, J. J. Zhou, L. Li, and L. Q. Zhao. "Relationships between the crystal structures and the multiple melting behaviors of poly(ethylene 2,6-naphthalate)." *Macromolecular Materials and Engineering*: vol. 289, no. 2, February 2004, pp. 174–180.
- 12. X. Gao, R. G. Liu, Y. Yu, M. Jin, and H. S. Bus. "Influence of additives on the crystal structure and melting behavior of poly(ethylene-2,6-naphthalene dicarboxylate)." *Journal of Polymer Science Part B: Polymer Physics*: vol. 42, no. 2, January 2004, pp. 296–301.
- 13. B. Duh. Process for the crystallization of polyethylene naphthalate prepolymers. US Patent 5 750 644, assigned to Shell Oil Company (Houston, TX), 12 May 1998.
- 14. S. Asai, Y. Shimada, Y. Tominaga, and M. Sumita. "Characterization of higher-order structure of poly(ethylene-2,6-naphthalate) treated with supercritical carbon dioxide." *Macromolecules*: vol. 38, no. 15, July 2005, pp. 6544-6550.
- 15. X. Gao, M. N. Jin, and H. S. Bu. "Crystallization of poly(ethylene 2,6-naphthalate) containing additives." *Journal of Polymer Science Part B: Polymer Physics*: vol. 38, no. 24, December 2000, pp. 3285–3288.
- 16. X. Gao, M. N. Jin, and H. S. Bu. "Influence of additives on crystallization of poly(ethylene 2,6-naphthalate)." *Journal of Macromolecular Science: Physics*: B40, no. 1, 2001, pp. 69–81.
- 17. M. Avrami. "Kinetics of phase change. II. Transformation-time relations for random distribution of nuclei." *Journal of Chemical Physics*: vol. 8, 1940, pp. 212–224.
- 18. S. W. Lee and M. Cakmak. "Growth habits and kinetics of crystallization of poly(ethylene 2,6-naphthalate) under isothermal and nonisothermal conditions." *Journal of Macromolecular Science: Physics*: B37, no. 4, 1998, pp. 501–526.

- V. R. Rinehart. Solid state polymerization of polyester prepolymers. US Patent 4 876 326, assigned to The Goodyear Tire & Rubber Company (Akron, OH), 24 October 1989.
- 20. W. P. Moore. Friction heat, cryogenic quench solid state polymerization. US Patent 6 774 208, assigned to Agri-Nutrients Technology Group, Inc. (Disputanta, VA), 10 August 2004.
- 21. B. Duh. Solid state polymerization process for foamed poly(ethylene naphthalate). US Patent 5 478 868, assigned to Shell Oil Company (Houston, TX), 26 December 1995.
- 22. C. Alvarez, A. Nogales, M. C. Garcia-Gutierrez, A. Sanz, Z. Denchev, S. S. Funari, M. Bruix, and T. A. Ezquerra. "Confined crystallization in phase-separated poly(ethylene terephthalate)/poly(ethylene naphthalene 2,6-dicarboxilate) blends." *European Physical Journal E*: vol. 18, no. 4, December 2005, pp. 459–465.
- 23. E. M. Woo, S.-S. Hou, D.-H. Huang, and L.-T. Lee. "Thermal and NMR characterization on trans-esterification-induced phase changes in blends of poly(ethylene-2,6-naphthalate) with poly(pentylene terephthalate)." *Polymer*: vol. 46, no. 18, August 2005, pp. 7425–7435.
- 24. L. Alexandrova, A. Cabrera, M. A. Hernandez, M. J. Cruz, M. J. M. Abadie, O. Manero, and D. Likhatchev. "Transesterification in poly(ethylene terephthalate) and poly(ethylene naphthalate 2,6-dicarboxylate) blends: Model compounds study." *Polymer*: vol. 43, no. 20, September 2002, pp. 5397–5403.
- 25. J. Y. Kim, O. S. Kim, S. H. Kim, and H. Y. Jeon. "Effects of electron beam irradiation on poly(ethylene 2,6-naphthalate)/poly(ethylene terephthalate) blends." *Polymer Engineering and Science*: vol. 44, no. 2, February 2004, pp. 395–405.
- 26. Y. Shi and S. A. Jabarin. "Transesterification reaction kinetics of poly(ethylene terephthalate)/poly(ethylene 2,6-naphthalate) blends." *Journal of Applied Polymer Science*: vol. 80, no. 13, June 2001, pp. 2422–2436.
- 27. Y. M. Sun and J. Y. Shieh. "Kinetic and property parameters of poly(ethylene naphthalate) synthesized by solid-state polycondensation." *Journal of Applied Polymer Science*: vol. 81, no. 9, August 2001, pp. 2055–2061.
- 28. S. A. Jabarin and E. A. Lofgren. "Solid-state polymerization of poly(ethylene terephthalate): Kinetic and property parameters." *Journal of Applied Polymer Science*: vol. 32, no. 6, 1986, pp. 5315–5335.
- 29. G. P. Karayannidis, N. Papachristos, D. N. Bikiaris, and G. Z. Papageorgiou. "Synthesis, crystallization and tensile properties of poly(ethylene terephthalate-*co*-2,6-naphthalate)s with low naphthalate units content." *Polymer*: vol. 44, no. 26, December 2003, pp. 7801–7808.
- 30. G. Z. Papageorgiou, G. P. Karayannidis, D. N. Bikiaris, A. Stergiou, G. Litsardakis, and S. S. Makridis. "Wide-angle x-ray diffraction and differential scanning calorimetry study of the crystallization of poly(ethylene naphthalate), poly(butylene naphthalate), and their copolymers." *Journal of Polymer Science Part B: Polymer Physics*: vol. 42, no. 5, March 2004, pp. 843–860.

- 31. G. Z. Papageorgiou, D. S. Achilias, and G. P. Karayannidis. "Melting point depression and cocrystallization behavior of poly(ethylene-*co*-butylene 2,6naphthalate) copolymers." *Polymer International*: vol. 53, no. 9, September 2004, pp. 1360–1367.
- 32. Y. G. Jeong, W. H. Jo, and S. C. Lee. "Synthesis and isodimorphic cocrystallization behavior of poly(1,4-cyclohexylenedimethylene terephthalate-*co*-1,4-cyclohexylenedimethylene 2,6-naphthalate) copolymers." *Journal of Polymer Science Part B: Polymer Physics*: vol. 42, no. 1, January 2004, pp. 177–187.
- 33. Y. G. Jeong, W. H. Jo, and S. C. Lee. "Cocrystallization behavior of poly(butylene terephthalate-*co*-butylene 2,6-naphthalate) random copolymers." *Macromolecules*, vol. 33, no. 26, December 2000, pp. 9705–9711.
- 34. Y. G. Jeong, W. H. Jo, and S. C. Lee. "Synthesis and crystallization behavior of poly(*m*-methylene 2,6-naphthalate-*co*-1,4-cyclohexylenedimethylene 2,6naphthalate) copolymers." *Macromolecules*: vol. 36, no. 11, June 2003, pp. 4051–4059.
- 35. Y.-M. Sun and C.-S. Wang. "Preparation and characterization of poly(ethylene-1,4-cyclohexanedimethylene arylate)." *European Polymer Journal*: vol. 35, no. 6, June 1999, pp. 1087–1096.
- 36. S. R. Turner, B. J. Sublett, and G. W. Connell. Low melt viscosity amorphous copolyesters with enhanced glass transition. US Patent 6 183 848, assigned to Eastman Chemical Company (Memphis, TN), 6 February 2001.
- 37. K. Yonetake, H. Yashiro, N. Madachi, M. Ueda, and T. Masuko. "Fine structures of copolyesters containing naphthalene and phenanthrene rings." *Polymer*: vol. 39, no. 22, October 1998, pp. 5523–5528.
- 38. C.-S. Wang and Y.-M. Sun. Copolyesters containing naphthalene and the preparation thereof. US Patent 5 663 238, assigned to National Science Council (Taipei, TW), 2 September 1997.
- 39. T. H. Ahn, Y. H. Park, S. H. Kim, and D. H. Baik. "Preparation and characterization of poly(ether ester) thermoplastic elastomers containing the 2,6-naphthalenedicarboxyl group." *Journal of Applied Polymer Science*: vol. 90, no. 13, December 2003, pp. 3473–3480.
- 40. E. E. Paschke, C. W. Bauer, F. C. Robertson, and J. M. Tibbitt. Polyester compositions. US Patent 6 262 220, assigned to BP Amoco Corporation (Chicago, IL), 17 July 2001.
- 41. K. H. Yoon, S. C. Lee, I. H. Park, H. M. Lee, O. O. Park, and T. W. Son. "The change of the molecular weight of poly(ethylene 2,6-naphthalate) and poly(ethylene terephthalate) blend with reaction time." *Polymer*: vol. 38, no. 24, November 1997, pp. 6079–6081.
- 42. M. L. Dias and A. P. F. Silva. "Transesterification reactions in triphenyl phosphite additivated-poly(ethylene terephthalate)/poly(ethylene naphthalate) blends." *Polymer Engineering and Science*: vol. 40, no. 8, August 2000, pp. 1777–1782.

- 43. H. H. Yang, J. H. Ma, W. G. Li, and B. R. Liang. "Reactive blending of poly(ethylene terephthalate)(pet)/poly(ethylene 2,6-naphthalate)(pen). 1: Effect of mixing conditions on chain structure." *Polymer Engineering and Science*: vol. 42, no. 8, August 2002, pp. 1629–1641.
- 44. H. H. Yang, J. He, and B. R. Liang. "Transesterification kinetics of poly(ethylene terephthalate) and poly(ethylene 2,6-naphthalate) blends with the addition of 2,2-bis(1,3-oxazoline)." *Journal of Polymer Science Part B: Polymer Physics*: vol. 39, no. 21, November 2001, pp. 2607–2614.
- 45. S. L. Schmidt, B. Lynch, and A. S. Agrawal. Process for making PEN/PET blends and transparent articles therefrom. US Patent 6 586 558, assigned to Continental PET Technologies, Inc. (Florence, KY), 1 July 2003.
- 46. 46. D. D. Jung, D. Bhattacharyya, and A. J. Easteal. "Some aspects of the properties of nylon-6, 6/poly(ethylene naphthalate) blends." *Journal of Applied Polymer Science*: vol. 82, no. 6, November 2001, pp. 1504–1514.
- 47. D. D. B. Jung, D. Bhattacharyya, and A. J. Easteal. "Mechanical and thermal properties of poly(butylene terephthalate)/poly(ethylene naphthalate), and nylon66/poly(ethylene naphthalate) blends." *Journal of Materials Science*: vol. 38, no. 12, June 2003, pp. 2597–2606, June 2003.
- 48. B. Woodfine and M. D. Thompson. Compositions of high density polyethylene and poly(ethylene naphthalate). US Patent 6 251 490, assigned to Kabushiki Kaisha Kobe Seiko Sho (Kobe, JP), 26 June 2001.
- 49. P. Krutphun and P. Supaphol. "Thermal and crystallization characteristics of poly(trimethylene terephthalate)/poly(ethylene naphthalate) blends." *European Polymer Journal*: vol. 41, no. 7, July 2005, pp.1561–1568.
- 50. M. Gordon and J. S. Taylor. "Ideal copolymers and the second-order transitions of synthetic rubbers. I. Noncrystalline copolymers." *Journal of Applied Chemistry*: vol. 2, 1952, pp. 493–500.
- 51. T. G. Fox. "Influence of diluent and of copolymer composition on the glass temperature of a polymer system." *Bull. Am. Phys. Soc., Ser. II*: vol. 1, 1956, p. 123.
- 52. J. M. Huang, M. Y. Ju, C. J. Hung, W. C. Luoh, and F. C. Chang. "Polymer blends of poly(ethylene-2,6-naphthalate) with polystyrene compatibilized by styrene-glycidyl methacrylate copolymers. I. Rheology, morphology, and mechanical properties." *Journal of Applied Polymer Science*: vol. 87, no. 6, February 2003, pp. 967–975.
- 53. V. K. Karavia, E. G. Koulouri, and J. K. Kallitsis. "Characterization of melt-mixed poly(ethylene-2,6-naphthalate) (PEN)/polycarbonate (PC) blends." *Journal of Macromolecular Science, Pure and Applied Chemistry*: vol. 39, no. 6, 2002, pp. 527–544.
- 54. K. Nakamachi. Polyester and process for preparing polyester. US Patent 6 355 738, assigned to Mitsui Chemicals INC (Tokyo, JP), 12 March 2002.
- 55. H. C.-H. Ng. Blends of poly(1,3-propylene 2,6-naphthalate). US Patent 6 531 548, assigned to E. I. Du Pont de Nemours and Company (Wilmington, DE), 11 March 2003.

- 56. P. M. Subramanian, H. C.-H. Ng, and R. A. Lee. Multilayer structures of poly(1,3-propylene 2,6 napthalate) and poly(ethylene terephthalate). US Patent 6 749 785, assigned to E. I. du Pont de Nemours and Company (Wilmington, DE), 15 June 2004.
- 57. D. V. Rosato, A. V. Rosato, and D. P. Di Mattia, eds. *Blow Molding Handbook: Technology, Performance, Markets, Economics: The Complete Blow Molding Operation.* 2nd ed. Munich: Carl Hanse Verlag, 2003.
- 58. C. Lorenzetti, L. Finelli, N. Lotti, M. Vannini, M. Gazzano, C. Berti, and A. Munari. "Synthesis and characterization of poly(propylene terephthalate/2,6-naphthalate) random copolyesters." *Polymer*: vol. 46, no. 12, May 2005, pp. 4041–4051.
- 59. Naphthalates: General properties of naphthalate-containing polymers. Company Data Sheet N-9, BP Sales Administration and Customer Service, 150 West Warrenville Road, 605-CS 3, Naperville, Illinois 60563-8460, June 2001.
- 60. J. Guastavino, D. Mary, E. Krause, C. Laurent, and C. Mayoux. "On the electrical properties of poly(ethylene naphthalate 2,6-dicarboxylate) biaxially-oriented films." *Polymer International*: vol. 46, no. 1, May 1998, pp. 72–76.
- 61. J. Scheirs and J.-L. Gardette. "Photo-oxidation and photolysis of poly(ethylene naphthalate)." *Polymer Degradation and Stability*: vol. 56, no. 3, June 1997, pp. 339–350.
- 62. J. Scheirs and J.-L. Gardette. "Photo-oxidation of poly(butylene naphthalate)." *Polymer Degradation and Stability*: vol. 56, no. 3, June 1997, pp. 351–356.
- 63. L. Hardy, E. Espuche, G. Seytre, and I. Stevenson. "Gas transport properties of poly(ethylene-2,6-naphtalene dicarboxylate) films: Influence of crystallinity and orientation." *Journal of Applied Polymer Science*: vol. 89, no. 7, August 2003, pp. 1849–1857.
- 64. A. Polyakova, D. M. Connor, D. M. Collard, D. A. Schiraldi, A. Hiltner, and E. Baer. "Oxygen-barrier properties of polyethylene terephthalate modified with a small amount of aromatic comonomer." *Journal of Polymer Science Part B: Polymer Physics*: vol. 39, no. 16, August 2001, pp. 1900–1910.
- 65. Y. Leterrier. "Durability of nanosized oxygen-barrier coatings on polymers." *Progress in Materials Science*: vol. 48, no. 1, 2003, pp. 1–55.
- 66. A. Polyakova, E. V. Stepanov, D. Sekelik, D. A. Schiraldi, A. Hiltner, and E. Baer. "Effect of crystallization on oxygen-barrier properties of copolyesters based on ethylene terephthalate." *Journal of Polymer Science Part B: Polymer Physics*: vol. 39, no. 16, August 2001, pp. 1911–1919.
- 67. H. Low and Y. Xu. "Moisture barrier of alxoy coating on poly(ethylene terephthalate), poly(ethylene naphthalate) and poly(carbonate) substrates." *Applied Surface Science*: vol. 250, nos. 1-4, August 2005, pp.135–145.
- 68. Y. M. Sun and H. H. Liu. "Novel copolyesters containing naphthalene structure III. Copolyesters prepared from 2,6-dimethyl naphthalate, ethylene glycol, and 2,2-dialkyl-1,3-propanediols." *Journal of Applied Polymer Science*: vol. 81, no. 11, September 2001, pp. 2754–2763.

- 69. L. H. Martin. Flame-retardant molded component. US Patent 6 828 365, assigned to T&N Technology Limited (Cawston, GB), 7 December 2004.
- 70. S. J. McMan, S. A. Johnson, C. L. Jones, E. W. Nelson, and E. S. Goenner. UV resistant naphthalate polyester articles. US Patent 7 153 588, assigned to 3M Innovative Properties Company (St. Paul, MN), 26 December 2006.
- 71. M.-Y. Ju and F.-C. Chang. "Multiple melting behavior of poly(butylene-2,6-naphthalate)." *Polymer*: vol. 42, no. 11, May 2001, pp. 5037–5045.
- 72. 72. J. Y. Lee and J. Y. Han. "Miscibility in binary blends of poly(vinyl phenol) and poly(*n*-alkylene 2,6-naphthalates)." *Macromolecular Research*: vol. 12, no. 1, February 2004, pp. 94–99.
- 73. C. H. Lin and C. S. Wang. "Miscibility of poly(etherimide) and poly(butylene naphthalate) blends." *Polymer Bulletin*: vol. 46, nos. 2-3, April 2001, pp. 191–196.
- 74. B. Bhushan. *Mechanics and Reliability of Flexible Magnetic Media*. 2nd ed. Berlin: Springer-Verlag, 2000).
- 75. B. Bhushan, T. J. Ma, and T. Higashioji. "Tensile and dynamic mechanical properties of improved ultrathin polymeric films." *Journal of Applied Polymer Science*: vol. 83, no. 10, March 2002, pp. 2225–2244.
- 76. T. J. Ma and B. Bhushan. "Dynamic mechanical and thermal analyses of magnetic particle and metal evaporated tapes and their individual layers." *Journal of Applied Polymer Science*: vol. 89, no. 2, July 2003, pp. 548–567.
- 77. T. J. Ma and B. Bhushan. "Mechanical, hygroscopic, and thermal properties of ultrathin polymeric substrates for magnetic tapes." *Journal of Applied Polymer Science*: vol. 89, no. 11, September 2003, pp. 3052–3080.
- 78. R. Tsukamoto, S. Ito, M. Teramoto, S. Watanabe, K. Furuya, S. Kawai, and K. Suzuki. Biaxially oriented film. US Patent 6 124 043, assigned to Teijin Limited (Osaka, JP), 26 September 2000.
- 79. G. Dennler, C. Lungenschmied, H. Neugebauer, N. S. Sariciftci, M. Latreche, G. Czeremuszkin, and M. R. Wertheimer. "A new encapsulation solution for flexible organic solar cells." *Thin Solid Films*: vols. 511-512, July 2006, pp. 349–353.
- 80. T. Makela, S. Jussila, H. Kosonen, T. G. Backlund, H. G. O. Sandberg, and H. Stubb. "Utilizing roll-to-roll techniques for manufacturing source-drain electrodes for all-polymer transistors." *Synthetic Metals*: vol. 153, nos. 1-3, September 2005, pp. 285–288.
- 81. A. Suzuki and M. Tojyo. "Poly(ethylene-2,6-naphthalate) microfiber prepared by carbon dioxide laser-thinning method." *European Polymer Journal*: vol. 43, no. 7, July 2007, pp. 2922–2927.
- 82. S. Sakellerides. Polyester fibers containing naphthalate units. US Patent 5 955 196, assigned to BP Amoco Corporation (Chicago, IL), 21 September 1999.

- 83. IDES Integrated Design Engineering Systems. The Plastics Web®. IDES Inc. 209 Grand Avenue Laramie, WY 82070 USA [electronic] http://www.ides.com/prospector/, 2006.
- 84. G. Wu, M. Liu, X. N. Li, and J. A. Cuculo. "Structure development and physical properties achieved in the drawing and/or annealing of PEN fibers." *Journal of Polymer Science Part B: Polymer Physics*: vol. 38, no. 11, June 2000, pp. 1424–1435.
- 85. J. Y. Kim, E. S. Seo, S. H. Kim, and T. Kikutani. "Effects of annealing on structure and properties of TLCP/PEN/PET ternary blend fibers." *Macromolecular Research*: vol. 11, no. 1, February 2003, pp. 62–68.
- 86. S. M. Hong, H. O. Yoo, S. S. Hwang, K. J. Ihn, and C. H. Lee. "Structures and physical properties of poly(ethylene 2,6-naphthalate)/liquid crystalline polymer blends." *Polymer Journal*: vol. 33, no. 6, 2001, pp. 457-463.
- 87. Naphthalates: Physical properties and handling information for dimethyl 2,6-naphthalene dicarboxylate. Company Data Sheet N-2, BP Sales Administration and Customer Service, 150 West Warrenville Road, 605-CS 3, Naperville, Illinois 60563-8460, November 2004.
- 88. M. G. Roe and G. R. Kenny. System and method for distinguishing an item from a group of items. US Patent 5 966 217, assigned to Magnetic Separation Systems, Inc. (Nashville, TN), 12 October 1999.
- 89. S. A. Khan, G. W. Roberts, and J. R. Royer. Co2-assisted deploymerization, purification and recycling of step-growth polymers. US Patent 6 919 383, assigned to North Carolina State University (Raleigh, NC), 19 July 2005.

بولیمیرات پولی (فتال أمید)

لقد كان الحرير هو أول بوليمير پولي (أميد) (PA) استُعملَ استعمالاً تجارياً. فالحرير هو PA طبيعي، تُنتجه يرقات دودة القرّ. حرير العناكب هو أيضاً PA طبيعي مكوّن من أحماض أمينيّة بسيطة. ويمكن النظر إليه كبوليمير طبيعي عالي الأداء. ولقد جرى إنتاج أول بوليميرات PA الاصطناعيّة في الثلاثينيات من القرن الماضي، يُطلق عليها الآن اسم النايلون (Nylon)، وقد كانت أليفاتيّة محضة. على الجانب الآخر من طيف منتجات PA نجد بوليميرات PA العطريّة البحتة، التي يُطلق عليها اسم الأراميدات (Aramids). في الأراميدات تكون كلّ من كسر ثنائي الحمض وثنائي الأمين عطريّة بطبيعتها. وفي الوقت الذي يُصنّف فيه النايلون بوليميراً هندسياً تُصنّف الأراميدات بوليميرات عالية الأداء. يُركّز هذا الفصل على بوليميرات AP العطريّة جزئيّاً التي تتوضّع وسطيّاً بين هذين الحدّين.

من وُجهة النظر الكيميائية، يمكن النظر إلى بوليميرات PA العطريّة جزئيّاً بصفتها نايلوناً جرى فيه استبدال زمر عطريّة بكسر أليفاتيّة إلى حدِّ ما. الأكثر شيوعاً هو إدخال كسر ثنائيّة الحمض عطريّة. إلا أنه هناك أنواع تستعمل إضافة إلى ذلك كسر ثنائيّة الأمين عطريّة.

تُعتبر بوليميراتُ PA العطريّة جزئيّاً بوليميرات پولي (فتال أميد) (PPA) عندما تزيد نسبة ثنائيات الحمض العطريّة إلى ثنائيات الحمض فيها عن نسبة 60 في المئة، وبشكل سائد من حمض ترفتاليك (TPA) أو حمض إيزوفتاليك (IPA). تُعتبر بوليميرات PPA وبعض أنواع بوليميرات PA العطريّة جزئيّاً بوليميرات عالية الأداء.

تعود فكرة استبدال ثنائيات حمض عطرية بثنائيات حمض أليفاتية إلى منتصف خمسينات القرن الماضي 2. وفي الأدبيات لا يجري الإعلان عن بوليميرات PPA بصفتها بل يُنظر إليها كمجموعة جزئية من بوليميرات PA. لذلك فإنّ بحثاً في الأدبيات عن بوليميرات يولي (فتال أميد) لا يعطي جميع العناوين ذات الصلة.

الجدول (12-1): أمثلة على تسميات لبوليميرات PA

المركّبات	التسمية
ع- كابر و لاكتام	PA 6، برلون 6
لورو لاكتام	PA 12
سداسي ميثيلين ثنائي أمين، حمض أديبيك	PA 66، نايلون 66
سداسي ميثيلين ثنائي أمين، حمض إيزوفتاليك	PA 6I
سداسي ميثيلين ثنائي أمين، حمض ترفتاليك	PA 6T
co-پولي (أميد)، بوليمير مشترك	PA 6T/6I
co-پولي (أميد)، بوليمير مشترك	PA 6T/66

الجدول (2-12): خواص ألياف بوليمرات PA وبوليميرات PA العطرية جزئياً 3

_			
	PA 66	PA 6T	الخاصة
_	265	370	نقطة الانصهار [°C]
	1.14	1.21	$[gcm^{-3}]$ الكتلة الحجميّة
	490	425	مُقاومة الشدّ [MPa]
	57	35	الاستطالة عند الكسر [%]

1.12. المونوميرات

قبل أن نناقش المونوميرات المستعملة في بوليميرات PPA، من المفيد أن نتحدّث باختصار عن تسمية هذه الأنواع من البوليميرات. في حالة النايلون، هناك اصطلاح شائع بتحديد هوية كلّ نمط بإعطائه رمازاً رقمياً، تُشير الأرقام إلى أطوال سلاسل ثنائي الأمين وثنائي الحمض. في حالة المركبات العطرية، تُستعمل I دلالة على حمض الإيزوفتاليك IPA، وتُستعمل T دلالة على حمض الترفتاليك APA، في حالة بوليميرات PPA، تُستعمل اصطلاحات مماثلة. يبيّن الجدول (12-1) أمثلة على ذلك. إلا أن هذه المصطلحات لا تشمل حالة بوليميرات PA التامة العطرية لأسباب عملية.

يبيّن الجدول (2-12) خواص PA و PPA. ويبيّن الجدول (3-13) المونوميرات في حالة بوليميرات PPA. ثنائيات الحمض مبيّنة في الشكل (1-12) وثنائيات الأمين مبيّنة في الشكل (2-12)، ومركبات اللكتام مبيّنة في الشكل (2-13).

9 (فتال أميد) الجدول (2-12): مونوميرات في حالة بوليميرات پولي (فتال أميد

المر اجع	ثنائي الحمض
4	حمض تر فتاليك
4	حمض إيزوفتاليك
	حمض أديبيك
4	حمض سوبيريك
4	حمض آزيلايك
4	حمض سيباسيك
10	بيس (4-كربوكسي فينيل) فينيل فوسفين أوكسيد
	ثنائي الأمين
11	سداسي ميثيلين ثنائي الأمين
13,12	ثلاثي ميثيل سداسي ميثيلين ثنائي الأمين
5	2-ميثيل خماسي ميثيلين ثنائي الأمين
5	2-إيثيل رباعي ميثيلين ثنائي الأمين
14	عشاري ميثيلين ثنائي الأمين
15	نيوبنتيل ثنائي الأمين
16,4	4،4′-ثنائي أمينو ثنائي حلقي هكسيل ميثان
16,4	2٠2-(4٠4'-ثنائي أمينو ثنائي حلقي هكسيل) بروبان
16,6	3،3′- ثنائي ميثيل -4،4′- ثنائي أمينو ثنائي حلقي هكسيل ميثان
4	بيبير از ين
8	m-كزيليلين ثنائي الأمين
	أحماض أمينوكربوكسيليك
4	حمض ۵- أمينو أنديكانويك
	مركبات اللاكتام
4	ع-كابرو لاكتام
4	إينانثو لاكتام
4	لورو لاکتام
	عوامل تغطية النهايات
9	حمض البنزويك
	·

الشكل (1-12): ثنائيات الحموض المستعملة في بوليميرات پولي (فتال أميد)

إنّ المونوميرات الشائعة في حالة البوليميرات المشتركة co-پولي (أميد) هي حمض الأديبيك، و TPA، وسداسي ميثيلين ثنائي أمين (HMD) و ع-كابرو لاكتام 4. ويستعمل 2-ميثيل خماسي ميثيلين ثنائي الأمين و 2-إيثيل رباعي ميثيلين ثنائي الأمين في حالة PPA الشفّاف مجتمعاً مع 6,5 IPA. يمكن تحضير ثنائيات الأمين هذه بهدرجة ثنائيات النتريل الموافقة. مثلاً، يمكن تحضير 2-ميثيل خماسي ميثيلين ثنائي الأمين بهدرجة 2-ميثيلين غلوتاريك ثنائي النتريل، وهو ناتج من دَيْمَرة الأكريلونتريل.

يُنتَج m-كزيليلين ثنائي الأمين (MXDA) بهدرجة الإيزوفتالونتريل 7. يمكن استعماله لتحسين خواص الحجز في بوليميرات PPA. ولقد جرى وصف سيرورة لصنع بوليميرات تحتوي على MXDA المتعمالات لأنماط MXDA سواءً كانت في الحالة اللامتبلرة 15 أو في الحالة البلوريّة 18.

2.12. البلمرة والتصنيع

عموماً يجري إنتاج بوليميرات PA بتفاعل بلمرة بالتكاثف مع إزالة الماء لمونومير ثنائي الأمين ومونومير حمض ثنائي الكربوكسيليك.

الشكل (2-12): ثنائيات الأمين المستعملة في بوليميرات بولي (فتال أميد)

الشكل (12-3): مركبات اللاكتام المستعملة في بوليميرات بولي (فتال أميد)

1.2.12. الطريق التقليدي

تستعمل النقانات النقليديّة للبلمرة بالتكاثف لبوليميرات PA محلولاً مائياً للمكوّنات. وتتحقّق البلمرة عن طريق الإزالة التدريجيّة للماء من المزيج تحت ضغوط عالية، ومع الزيادة التدريجيّة لدرجة حرارة وسط التفاعل. بهذه الطريقة تجري إزالة معظم الماء، وتتجاوز درجة حرارة وسط التفاعل نقطة انصهار بوليمير PA. يجري اختيار موسطات السيرورة من درجة حرارة وضغط بحيث لا يحدث انفصال في الطور ضمن المزيج

المتفاعل. في المراحل الأخيرة من البلمرة تجري إزالة الماء بالخفض التدريجي للضغط مع رفع تدريجي لدرجة الحرارة 19. ويمكن في المرحلة الأخيرة من البلمرة بالتكاثف أن تحدث تفاعلات تفكّك تؤدّي إلى خفض نوعيّة المنتج النهائي.

وعلى الخصوص يمكن لتقنيّة بلمرة أن تجري كما يلي: يُغذّى المُفاعل بمحلول مائي من سداسي ميثيلين ثنائي الأمين، ويُضاف إلى هذا المحلول كلِّ من حمض الأديبيك وحمض الإيزوفتاليك وحمض الترفتاليك، وبحيث يكون الأمين بفائض مولي ضئيل حوالى 5-10 في المئة. ثُمّ يضاف 2 في المئة من حمض البنزويك بصفته عامل تغطية النهاية. أثناء إضافة الأحماض ترتفع درجة الحرارة إلى حوالى 70°C وذلك بسبب تفاعل التعديل. وأخيراً يُضاف هيبوفوسفيت التوتياء بصفته مُحفّزاً. يجري بعد ذلك إحكام إغلاق المُفاعل، وتطهيره من الهواء بالآزوت، مع إبقاء فائض بسيط من ضغط الآزوت فيه. ثُمّ يُسخّن المُفاعل إلى حوالى 20°C ويبقى عند درجة الحرارة هذه. بعد الانتهاء، تُسخّن المُواد تسخيناً إضافيّاً وتُجفّف تحت الخلاء في درجات حرارة مرتفعة.

هناك تقنيات للإنتاج نصف المستمر مؤسّسة على هذه الطريقة، يجري فيها استعمال مُفاعلين على التوازي لتأمين تغذية مستمرّة من المحلول الملحي لإجرائيّة المصبّ، وذلك عن طريق التناوب بين المُفاعلين 9. يُسمّى البوليمير الذي نحصل عليه باستعمال السيرورة المشار إليها باسم PA 6T/6I/6A. مُقارنةً ببوليمرات PA الأليفاتيّة يكون التحكّم بالتفاعلات الجانبيّة في حالة PPA أكثر صعوبة. تتألّف التفاعلات الجانبيّة في حالة PPA أكثر صعوبة. تتألّف التفاعلات الجانبيّة في حالة HMD من تكوّن الأمونيا، والتكاثف HMD الذاتي.

2.2.12. السيرورة الآنيّة أو سيرورة المعلّقات الهوائيّة

سيرورة المعلّقات الهوائيّة هي طريقة أخرى للبلمرة، حيث تجري المرحلة الأخيرة من البلمرة بالتكاثف عند درجة حرارة في المجال 27° C تحت الضغط. وبعد الوصول إلى التوازن، يُمرّر المزيج المضغوط عبر فوهة فيتكوّن معلّق هوائي. شروط التدفّق المضطربة ضروريّة منعاً من حدوث توضّع على جدران المُفاعل. يُطلق على المُفاعل المُنابوبي الومضي، تُسخّن جدرانه حتّى 370° C اثناء الوميض يتبخّر الماء المتبقي بسرعة من على سطح المعلّق الهوائي 20,12. لا يبلغ المزيج

المتفاعل أبداً درجة حرارة الجدران بل تبقى درجة حرارته حول 27° -320 بعد المرور في المفاعل الومضي، يوجّه المزيج إلى مُفاعل نهائي هو عبارة عن باثق ثنائي اللولب.

3.2.12. السيرورات على دفعات

للتوثق من إنتاج PA بنوعية منتظمة ومستقرة، فإنه من المهم المحافظة على التوازن المولي السابق الضبط وعلى شروط البلمرة السابقة التثبيت أيضاً. تُستعمل عدة طرائق للمحافظة على القيم المُستهدفة من التوازن المولي، وزمن البلمرة ودرجة حرارتها وضغطها، وغير ذلك من الموسطات. ويُعتبر التوازن المولي مُعامل سيرورة مهما أهمية خاصة، ويجب ضبطه.

في طرائق البلمرة على دفعات يمكن لثنائي الأمين أن يتسرّب خارج منظومة التفاعل، ويمكن للكميّة المتسرّبة أن تتغيّر من دفعة إلى أخرى، بطريقة يصعب التنبؤ بها. لذلك يجب ضبط التوازن المولي سريعاً وباستمرار. هناك عدّة طرائق للتحكّم بالتوازن المولي، وتشمل 21:

- مُعايرة التعديل لتعيين تركيز زمر الكربوكسيل وزمر الأمينو النهائية،
 - قياس اللزوجة في الزمن الحقيقي،
 - ومطيافية الأشعة تحت الحمراء في الزمن الحقيقي.

في تحليل المعايرة يجب سحب عيّنة من المُفاعل، وتصليبها ثُمّ حلّها في مذيب نوعي وإخضاعها لمعايرة تعديل. تتطلّب هذه الإجرائيّة وقتاً طويلاً. يقرن قياس اللزوجة مقدار لزوجة الصهارة بدرجة البلمرة. إلا أن هذه الطريقة ليست حسّاسة مباشرة للتوازن الموليّ. أمّا مطيافيّة الأشعّة تحت الحمراء فهي مُناسبة للتحليل اللا إتلافي وفي الزمن الحقيقي. إضافة إلى ذلك فقد جرى ذكر طرائق إنتاج لبوليميرات پولي (إستر) جرى فيها قياس خواص البوليمير باستعمال مطيافيّة الأشعّة تحت الحمراء. يجرى ضبط شروط التفاعل تبعاً للقيم التي يجري قياسها. بدلاً من TPA يمكن استعمال مونومير ثنائي ميثيل ترفِقالات 5.

4.2.12. الطرق المستمرة

لقد جرى وصف سيرورات للبلمرة المستمرة لبوليميرات PA، مثلاً في مُفاعلِ ملَفً 22، أو في مُفاعلٍ مركبة درجات أو في مُفاعلٍ ومضي 19. التسخين السريع، والإقامة القصيرة الأمد في مرحلة درجات الحرارة العالية تحسنان خواص البوليميرات. تجري إحدى السيرورات كما يلي 19:

- 1. يجري تغذية وحدة ما قبل البلمرة تغذية مستمرّة بمزيج مائي من ثنائيات الحمض وثنائيات الأمين. تتكوّن في المزيج أوليغوميرات درجة بلمرتها حوالى 10-4
- 2. يُضخ المزيج باستمرار في مُفاعل أنبوبي مُسخّن، الومّاض. الوظيفة الأساسيّة للومّاض هي تسخين المزيج التفاعلي تحت الضغط.
- 3. الإناء الأخير في نظام البلمرة، هو إناء اللمسة الأخيرة حيث ينفصل تيّارا البخار والسائل المنفلتين من الومّاض، ويُجمع التيّار السائل في حوض الصهارة داخل الإناء.

إحدى ميّزات هذه الإجرائيّة هو قصر الزمن الذي يتعرّض فيه المزيج البوليميري لدرجات حرارة مرتفعة، الذي هو نموذجياً حوالى 15 دقيقة، وذلك عن طريق أُمثلَة الانتقال الحراري في المراحل اللاحقة من السيرورة.

5.2.12. التكاثف في السطح البينيّ

تبدأ طريقة التكاثف في السطح البيني بحلّ المونوميرات بمنيبات غير قابلة للامتزاج المتبادل. بدلاً من الأحماض تستعمل كلوريدات الأحماض التي يجري حلّها في رباعي كلوريد الكربون. وتُحضّر المُركّبة الأمينيّة في محلول مائي، ويُزاد pH المحلول بإضافة KOH. يُعدّل KOH حمض كلور الماء HCl الذي ينتج أثناء التكاثف. يُمزج المحلولان بواسطة خلاّط، ويتم التفاعل في زمن قدره عدّة دقائق 15. لقد جرى استعمال التكاثف في السطح البيني لتحضير مواد PPA لامتبلّرة.

لقد جرى تطبيق تعديل على طريقة التكاثف في السطح البيني على مثال بوليميرات PA تامّة العطريّة، ولكن جرى الادعاء أنّ هذه السيرورة تعمل أيضاً في حالة بوليميرات

PA العطرية جزئياً 23. تجري السيرورة باستمرار. في مرحلة التفاعل الأولى، تتفاعل مركبات ثنائي الأمين مع مركبات كلوريد ثنائي الحمض في مذيب عضوي، مثل رباعي هيدروفوران بدون إزالة حمض كلور الماء من منظومة التفاعل، وهذا ما يتيح تكوّن ما قبل بوليميرات منخفضة الوزن الجزيئي. في المرحلة الثانية، يوضع المحلول العضوي لما قبل البوليمير على تماس مع محلول مائي لمتقبّل حمضي مثل كربونات الصوديوم. يتفاعل المتقبّل الحمضي مع حمض كلور الماء ويُسبّب تفاعل تكاثف إضافي لما قبل البوليمير في المذيب العضوي. تُتتج هذه السيرورة بفعّالية مركبات بولي أميد ذات درجات عالية من البلمرة وبمعدّل بلمرة مرتفع أيضاً. مقارنة بطريقة التكاثف في السطح البيني التقليدية، يمكن بهذه الطريقة التحكّم بالوزن الجزيئي للمنتج النهائي بسهولة أكبر.

6.2.12. طريق إعادة تدوير الإستر

يمكن استعمال الإسترات الناتجة من تفكّك بولي (ترفتالات الإيثيلين) (PET) بصفتها مواد أوّلية لبوليمير PPA بعد تفكّك مواد أوّلية لبوليمير الله PPA بعد تفكّك البوليستر المستعمل. يمكن تحويل زمر الإستر تحويلاً كاملاً تقريباً إلى زمر أميد. ويمكن بعد إزالة الكحولات والديولات المتحرّرة، معالجة المواد بالطرائق التقليديّة.

وتحديدا، يُضاف حمض البنزويك بصفته موقفا للسلسلة إلى مزيج من نواتج إعادة تدوير قوارير PET و PA 6. ويضاف ثنائي فوسفات الصوديوم كمضاد أكسدة. يُصهر المزيج تحت غاز خامل، ويضاف إلى الصهارة HMD. بعد تفريغ المزيج والتبريد، يُزال الإيثيلين غليكول الذي تحرّر أثناء الأُميدة التبادليّة (Transamidation) في فرن تجفيف تحت الخلاء لمدّة أربع ساعات تحت درجة حرارة 180°C. يجري الحصول على حولي (أميد) عطري جزئياً، له نقطة انصهار عند 255°C، ودرجة حرارة تحوّل زجاجي قدرها 26°C، لقد جرى وصف عدّة تنويعات على هذه الإجرائيّة 24.

7.2.12. التفاعلات الجانبيّة

يمكن أثناء عمليّة البلمرة بالتكاثف أن تحدث تفاعلات جانبيّة متنوّعة.

تمتلك بوليميرات الأميد المشتركة العطرية جزئياً والمحضرة بالسيرورات التقليدية محتوى من ثلاثي الأمين يزيد على 0.5 في المئة. يؤدي هذا إلى تدهور نوعيّة المُنتج،

وإلى مشاكل في تحضيره بطرائق مستمرّة. فمثلاً يتكوّن ثنائي سداسي ميثيلين ثلاثي الأمين من HMD المُستعمل في التحضير 25. تمتلك بوليميرات الأميد المشتركة العطرية جزئياً ذات المحتوى المنخفض من ثلاثي الأمين لزوجة المحلول نفسها، ولكن لزوجات صهارة أخفض عند مقارنتها ببوليميرات الأميد المشتركة العطرية جزئياً ذات المحتوى الأعلى من ثلاثي الأمين. تسهل معالجة البوليمير وتتحسن خواص المنتج كثيراً بانخفاض محتوى ثلاثي الأمين. يمكن حذف ديمرة ثنائي الأمين باستعمال طرائق خاصة للبلمرة 25. إن أزمنة الإقامة القصيرة في مرحلة درجة الحرارة المرتفعة من سيرورة البلمرة بالتكاثف تؤدى إلى كبح تكوّن ثلاثيات الأمين 66.

يصعب تحضير بوليميرات PA مع 2-ميثيل خماسي ميثيلين ثنائي أمين بطرائق تكاثف الصهارة التقليديّة. وتحديداً يمكن لــ2-ميثيل خماسي ميثيلين ثنائي أمين أن يتحلّق إلى ميثيل بيبيريدين مُحرّراً الأمونيا. وهكذا تُفقَد زمرة أميد كامنة، ويُصبح المركّب وحيد الوظيفة ويعمل كموقف سلسلة 6.

8.2.12. المزائج والبوليميرات المشتركة

 $^{\circ}$ كيدي پولي (سداسي ميثيلين ثنائي الأمين حمض ترفتاليك) نقطة انصهار عند $^{\circ}$ 360° ولا تمكن معالجته أو تشكيله عند الصهارة بهذه الصفة من دون تفكيكه تفكيكاً ملموساً $^{\circ}$ لهذا السبب، تُصنع بوليمير ات مشتركة، تُستبدل فيها جزئياً مركبات أليفاتيّة بالمركب العطرى.

1.8.2.12 مزائج مع يولى (بروبيلين)

تتحسن راتنجات بولي (بروبيلين) (PP) من جهة خواصها الميكانيكية وجساءتها بدون نقص في إمكان تشغيلها حرارياً عند مزجها مع راتنجات PPA وكمية ضئيلة من عامل توافق ²⁸. تُبدي عموماً المزائج من PP و PP المحمل بوظائف من PPA بنسبة وزنية 1:3-3:1 خواص صدم ممتازة ²⁹. وبالمثل، فإن التركيبات المملوءة، بما في ذلك تركيبات PP المملوءة بالزجاج، تتحسن عند مزجها بالأسلوب نفسه.

إنّ طوري البوليمير غير متوافقين بوجه عام. لهذا السبب يجب إضافة عامل توافق إلى المزائج بهدف تحقيق انتثار جيّد وإرساء متبادل للطورين البوليميرييّن. عوامل التوافق

المناسبة هي بوليميرات پولي (أوليفين) المعالجة بالكربوكسيل أو المطعّمة بالأنهيدريد. عوامل التوافق هذه متوفرة تجارياً بوجه عام. مثل ®Polybond و ®Exxelor و ®Admer و Admer و ®Bolene.

2.8.2.12. مزائج مع پولي (آريلين إيثر)

يؤدي جمع راتنجات بولي (آريلين إيثر) (PAE) مع PA في مزائج متوافقة إلى تحسين إجمالي للخواص، مثل المقاومة الكيميائية، والمقاومة الميكانيكية العالية. ويمكن تحسين خواص هذه المزائج تحسيناً إضافياً بإضافة إضافات متنوعة، مثل مُعدّلات الصدم، ومبطّئات اللهب، المثبّتات الضوئيّة، ومُثبّتات التشغيل، ومثبتات الحرارة، ومضادات الأكسدة، والمائنات 30.

تُعتبر هذه المزائج جذّابة في العديد من سلع الاستعمال النهائي في سوق صناعة السيارت، وخصوصاً للقطع تحت غطاء المحرّك وللقطع الخارجيّة. تمتلك بعض هذه التطبيقات، الوصلات مثلاً، جدراناً ذات مقاطع رقيقة جداً، لذلك يتطلّب تصنيعها راتنجات ذات لزوجة منخفضة جدّاً ليجري ملء القوالب ملئاً كاملاً. يمكن تحسين تدفّق الصهارة بالمزج مع راتنج بوليستر شجري التشعّب. إنّ ضمّ حوالي 0.5 في المئة فقط من راتنج بوليستر شجري التشعّب أمرٌ كاف لزيادة تدفّق الصهارة بنسبة 100 في المئة 30.

إنّ حمض الليمون، وحمض الفوماريك، وأنهيدريد المالييك هي عوامل التوافق لمزائج PAE وراتنجات PA العطرية جزئياً 31. يتحقّق التوافق في باثق ثنائي اللولب عن طريق مزج الصهارة.

3.8.2.12. مزائج پولي (أميد) - پولي (أميد)

تُبدي مركبات PA التي تستعمل فقط البولي أميد البلّوري بصفته حاضنة بوليميرية، مُقاومة لحام غير كافية بسبب تبلّرها عند إخضاعها للحام. يمكن تحسين مقاومة اللحام بالنسبة إلى طرائق لحام متنوّعة بإضافة كميّات صغيرة من بولي أميد عطري جزئياً لا متبلّر إلى أنواع PA البلّوريّة 33,32.

ويمكن تحسين خواص المزيج أبعد من ذلك بإضافة مونموريونيت مُعدّل عضوياً لتكوين مواد نانويّة مركّبة ذات سيليكات مُطبّقة 35,34.

9.2.12. تقنيات التصنيع

يتطلّب تصنيع PPA في سلع مقولبة وبضائع ذات أشكال مبثوقة وصفائح، تشغيل الراتنجات عند درجات حرارة قريبة من درجة حرارة تفكّك الراتنج، مصحوبة بإجهاد قص قاس أثناء عمليات القولبة أو البثق 36. ويُخضع غزل الصهارة لإنتاج الألياف أو الخيوط الراتنجات لإجهاد قاس عبر تطبيق قص عال عند درجات حرارة مرتفعة.

1.9.2.12. تشغيل الصهارة التفاعلي

بلمرة الصهارة التفاعلية. إن طريقة قولبة المواد المركبة السائلة LCM طريقة متعارفة لتصنيع بوليميرات التصلّد الحراري. وبالمقابل جرى تطوير سيرورات قولبة مواد مركبة سائلة تفاعلية متلدّنة حرارياً فقط لعدد قليل من البوليميرات الهندسية. جرى تطبيق هذه التقنيّة على أوليغوميرات PA 6T/6I ذات نقطة الانصهار المنخفضة 37.

عند التسخين، تنصهر المادّة عند حوالى $^{\circ}$ C. يُلاحظ ترقّق قصّ عند لزوجة قدر ها حوالى $^{\circ}$ 102 Pas. تستمر اللزوجة بالانخفاض مع التسخين اللاحق. ولكن عند $^{\circ}$ C يحدث تبلّر درجات حرارة عالية. وفي المجال $^{\circ}$ C تحدث البلمرة. تشير النتائج إلى أنّ طريقة قولبة المواد المركّبة السائلة تمثّل نقنيّة تشغيل قابلة للتطبيق.

مزج الصهارة التفاعلية. يمكن تحضير بوليميرات مشتركة تعاقبيّة من أنواع PA ذات الوزن الجزيئي المرتفع أو الپولي (إستر أميد) باستعمال تقنيّات مزج الصهارة 38. وتُستعمل مركّبات البيس لاكتام مثل ترفتالويل بيس لوروكابرولاكتام، وإيزوفتالويل بيس لوروكابرولاكتام أو مركّبات البيس كابرولاكتام الموافقة، بصفتها ممدّدات للسلسلة.

تمتلك هذه المركبات بعض النقاط السلبية مثل معدل التفاعل المنخفض نسبياً، مما يتطلّب زمن إقامة طويل نسبياً في الباثق. ونتيجة ذلك يمكن أن تحدث تفاعلات جانبية غير مرغوبة، مثل التلوّن.

لقد وُجدَ أنّ مركب كربونيل بيس لاكتام أكثر تفاعليّة من مركبات البيس لاكتام الأخرى المذكورة سابقاً 38. يمكن الحصول على الكربونيل بيس لاكتام بتفاعل اللاكتام مع الفوسجين. والأفضل إضافة كربونيل البيس لاكتام إلى تيار مُنتَج البولي أميد أو البوليستر المصهور في عمليّة البلمرة وذلك عند خروجه من مُفاعل البلمرة.

3.12. الخواص

لقد جرى تطوير بوليميرات البولي (أميد) العطريّة جزئياً وبوليميرات البولي (أميد) المشتركة للاستعمال في تطبيقات درجات الحرارة المرتفعة. إنّ بوليميرات البولي (أميد) المشتركة البلوّرية منها ونصف البلّورية التي تحتوي على وحدات ترفتاليك أليفاتيّة جزئياً بنسبة 40% مولياً على الأقل معروفة بوجه خاص بخواصها الحراريّة الجيّدة، وبجودة أدائها في البيئات المُتطلِّبة 36. تمثلك مركبات PPA هذه نقاط انصهار مرتفعة نسبيّاً، حوالى 20°C. ومن جهة أخرى، فإنّ درجات حرارة تفكّك هذه المواد لا تتجاوز كثيراً نقاط انصهارها. لذلك فإنّ متطلّبات تشغيل الصهارة أكثر صرامة وتعقيداً من تلك التي توافق مركبات PA ذات نقط الانصهار الأخفض مثل 66 PA، الذي ينصهر عند توافق مركبات PA ذات نقط الانصهار الأخفض مثل 66 PA، الذي ينصهر عند

1.3.12. الخواص الميكانيكية

إنّ مركبات PPA عادة منخفضة الليونة، كما ينعكس ذلك بوجه عام بالقيم المنخفضة للاستطالة عند الكسر، وبعدم وجود أي تمدّد ملموس في اختبار الشدّ ²⁹. يمكن تحسين الليونة والجساءة بالمزج مع بوليميرات بولي (أوليفين).

2.3.12. الخواص الحرارية

لقد جرى تحرّي الاستقرار الحراري لبوليمرات PA في سلسلة من الأوراق البحثية من قبل لانسكا (Lánská). تؤثّر طريقة التحضير في الاستقرار الحراري لبوليميرات 40 PA. تتعلّق التفاعلات الجانبيّة بدرجة الحرارة. ذلك لأن البوليميرات تحتوي على تراكيز مختلفة من بنى تُسرّع أو تبطّئ سيرورة الأكسدة الحراريّة. إلا أنّه عند درحة حرارة بلمرة تحت 250°C، لا يؤثّر زمن التفاعل في الأكسدة اللاحقة للبوليمير.

^{39a} Amodel® AT-1002 HS لجدول (4-12): خواص

المقياس	الواحدة	القيمة	الخاصية
ISO 1183	g cm ⁻³	1.13	الكتلة الحجميّة
ASTM D955	cm/ cm	0.020	تقلّص القالب، خطي- مع التدفق
ASTM D955	cm/ cm	0.021	تقلّص القالب، خطي- عرضي
ASTM D570	%	0.5	امتصاص الماء، 24 ساعة
ASTM D638	MPa	2760	معامل الشد
ASTM D638	MPa	83.4	مقاومة الشد
	MPa	68.3	إجهاد الشد عند الكسر ^b
ASTM D638	%	5.0	استطالة الشد عند الخضوع
ASTM D638	%	11	استطالة الشد عند الكسر
ASTM D790	MPa	2210	معامل الانحناء
ASTM D790	MPa	103	مقاومة الانحناء
ASTM D732	MPa	64.1	مقاومة القص
ASTM D256	Jm^{-1}	128	صدم أيزود المثلوم
ISO 180	$kJ m^{-2}$	12.6	$^{ m b}$ مقاومة صدم أيزود المثلوم
ASTM D256	Jm^{-1}	801	صدم أيزود غير المثلوم
ISO 180	$kJ m^{-2}$	177	مقاومة صدم أيزود غير المثلوم ^b
ASTM D648	°C	163	DTUL 66psi، المعالج حرارياً
ASTM D257	Ω	8.0×10^{13}	الممانعة النوعية السطحية
ASTM D257	Ω cm	1.2×10^{16}	الممانعة النوعية الحجمية
ASTM D149	$kV \text{ mm}^{-1}$	16.1	مقاومة العزل الكهربائي
ASTM D150		3.3	ثابت العزل الكهربائي

Slovay Advanced Polymers ^a

نتأثر الاستقرارية إزاء الأكسدة الحراريّة تأثّراً ملحوظاً بتركيز الزمر النهائيّة الكربوكسيليّة والأساسيّة معاً ⁴¹. تبدأ زمر الحمض الكربوكسيلي التفكّك المتجانس لمركّب 6- هيدروبيروكسي -6- هكسان لاكتام. فتتكوّن جذور ألكوكسيل وجذور هيدروكسيل كجذور مرحليّة وسطيّة. وأخيراً يتكوّن أحادي الأميد من حمض الأديبيك. وتتأكسد بالأسلوب نفسه

^{23°}C b

بوليميرات PA ذات زمر الكربوكسيليك النهائيّة. يزداد معدّل الأكسدة بازدياد المحتوى من زمر الكربوكسيليك 42.

يُلاحظ تألق كيميائي أثناء التفكّك الحراري المؤكسد لبوليميرات PA التي جرى تثبيتها بمضادات أكسدة مثل الفينولات والأمينات العطريّة الثانويّة، وجذور النيتروكسي المُعاقة 43. يرجع هذا الأثر إلى تفاعلات تثبيط الأكسدة والإرجاع.

3.3.12. الخواص الكيميائية

يُظهر PPA مُقاومة كيميائيّة جيّدة. وجرت الإشارة على وجه الخصوص، إلى مُقاومة عوامل نزع الكلس مثل حمض الأميدوسلفونيك وللزيوت الساخنة، ولحمض البطّاريات، ولموائع الكوابح 44.

4.12. الإضافات الخاصة

الإضافات المعتادة للأنواع المستعملة في القولبة هي المُنبَّتات ومضادّات الأكسدة، وعوامل مقاومة اللهب، وعوامل مضادّة للتفكّك الحراري، والتفكّك بالضوء فوق البنفسجي، والمزلّقات، وعوامل تحرير القوالب، والملوّنات، والأصبغة، والملدّنات. يُلخّص الجدول (5-12) بعض هذه الإضافات.

1.4.12. المواد المالئة

عند تكديس الألياف الزجاجية ضمن البولي أميد بمحتوى عال، يمكن لعملية تغطية المُنتج المقولب أن تصبح مُشكلة. يُبدي الوُوْلاستونيت (Wollastonite) خواص أفضل فيما يخص هذا الأمر 46 . الوولاستونيت هو فلز ّ أبيض اللون مكوّن أساساً من ميتاسيليكات الكالسيوم. وهو يُستعمل استعمالاً شائعاً بصفته مادة مالئة غير عضوية للبوليميرات المتلدّنة حرارياً للقولبة. تُعالَج ألياف الوولاستونيت بالسيلان معالجة سطحيّة باستعمال γ -أمينوبروبيل ثلاثي إيثوكسي سيلان أو γ -غليسيديل بروبيل ميثوكسي سيلان.

الجدول (5-12): إضافات لأنواع القولبة 26

الاستعمال	الإضافة
مضاد أكسدة	فينو لات معاقة فراغياً
مضاد أكسدة	هاليدات نحاسيّة
مثبّت إزاء الأشعة فوق البنفسجيّة	مركّبات الريزورسينول
مثبّت إزاء الأشعة فوق البنفسجيّة	مركّبات الساليسيلات
مثبّت إزاء الأشعة فوق البنفسجيّة	مركّبات البنزوتريازول
مثبّت إزاء الأشعة فوق البنفسجيّة	مركّبات البنزوفينون
عامل تحرير القوالب	كحول ستياريل
عامل تحرير القوالب	مشتقات حمض ستياريك
عامل تحرير القوالب	مركّبات N- ألكيل ستيار أميد
مُعدّل صدم	المطاطيات
مادّة مالئة ومقوية	ألياف زجاجيّة
مادّة مالئة ومقوية	وو لاستونيت
مبطّى لهب	پولي (ثنائي برومو ستيرين)

2.4.12. مضادات الأكسدة

ينبغي تشغيل بوليميرات PPA عند درجات حرارة أعلى من تلك التي توافق بوليميرات PA الأليفاتية. ويمكن أن تكون درجة حرارة التشغيل قريبة من درجة حرارة التشغيل قريبة من درجة حرارة التفكّك. لهذا السبب، لا بُدّ من التثبيت قبل إجراء عمليات قولبة مثل هذه المواد 47,36. وأثناء عمليات قولبة مطولة تتكوّن مع الزمن توضعات تشكّل ترسبات صلبة عسيرة. وعندما لا تتمكّن الغازات الحارة ونواتج التفكّك الثانوية من التحرر، يحدث انضغاط كظوم في منطقة التغذية النهائية. ومن ثم ترتفع درجة حرارة القالب أبعد من ذلك، مما قد يُسبب تكربن الراتتج واسوداده. وأخيراً يجب إيقاف عملية القولبة، وينبغي تنظيف الجهاز. وفي أسوأ الحالات، قد نضطر إلى إعادة طلاء حجرة القولبة أوغير ذلك من عمليات التجديد المكلفة، بسبب تكون الترسبات العسيرة.

تحتوي بوليميرات PPA على كسارة أليفاتيّة وكسارة عطريّة في آن معاً، ويُتوقّع أن تكون المعارف الأساسيّة حول بوليميرات PA الأليفاتيّة البحتة صالحة في حالة بوليميرات

PA العطريّة جزئياً. يُلخّص الجدول (12-6) مضادّات الأكسدة، ونجد في الشكل (12-4) بنية 12 @IRGAFOS.

الجدول (41-6): مضادّات الأكسدة في حالة بولي (فتال أميد)

المراجع	مضاد الأكسدة
	مضاد أكسدة فينولي
46	بنتا إيريثريتيل -نتراكيس [3-(5،3-ثنائي -ترت -بوتيل -4- هيدروكسي فينيل)بروبيونات]
46	N،N'-سداسي ميثيلين بيس (5،3-ثنائي -ترت -بوتيل -4- هيدروكسي هيدروسين أميد)
	مضاد أكسدة فوسفوري مساعد
	2-[[10،8،4،2]-نتر اكيس (1،1-ثنائي ميثيل إيثيل)ثنائي بنزو [f·d][2،3،1]ثنائي أوكسا
46	فوسفيبين -6- إيل] أوكسي]-N،N- بيس [2-[[4،8،4،2- تتر اكيس (1،1- ثنائي ميثيل
	ايثيل)ثنائي بنزو [f·d][2،3،1]ثنائي أوكسا فوسفيبين -6- إيل]أوكسي]- إيثيل] إيثان أمين (IRGAFOS® 12)
	مضاد أكسدة كبريتي مساعد
46	2،2- ثيو ثنائي إيثيلين بيس [3-(5،3-ثنائي - نرت -بوتيل -4- هيدروكسي
40	فينيل)بروبيونات]
46	نتراكيس [ميثيلين -3-(دوديسيل ثيو)بروبيونات]ميثان

في حالة بوليميرات PA الأليفاتيّة، يمكن تحقيق الاستقرار الحراري القصير الأمد الذي نحتاجه في معظم إجرائيات التشغيل، بإقحام مضاد أكسدة فينولي مُعاق مثل ثنائي-ترت-بوتيل كريزول 36. إن مضادات الأكسدة الأوليّة المؤسسة على أمينات عطريّة ثانويّة هي مُثبّتات فعّالة لتفاعلات أكسدة 6 PA. ويمكن زيادة الفعاليّة أكثر من ذلك بالتجميع مع مضاد أكسدة فوسفيتيّ. وبالمقابل، فإنّ مضادات الأكسدة الأوليّة المؤسسة على الفينول ليست فعّالة في أكسدة 6 PA.

من الواضح أنه في صهارة PA تمر الفينولات بتفاعلات، ونواتج التفاعل لا تكون قادرة على التفاعل مع جذر بيروكسي الأميد. ومن ناحية أخرى، فإن مضادات الأكسدة من نوع المثبتات الضوئية ذات الأمين المُعاق توقف تفاعل أكسدة PA 6 بعد فترة تحريض.

أثناء فترة التحريض تجري أكسدتها إلى شكل N-أوكسيل الذي هو أساساً الشكل التفاعلي مع جذر بيروكسي الأميد 48 .

الشكل (4-12): بنية 12 ®IRGAFOS الشكل

لقد جرى استعمال تشتتات من فتالات نحاسيّة صلبة ويوديد البوتاسيوم بمقدار 60 ppm وبوليميرات مشتركة تحتوي على كسر HMD و IPA.

ولكن مركبات النحاس هي أيضاً عوامل إزالة الكربوكسيل من الأحماض العطرية. وإضافة مثل هذه المثبتات بهدف تثبيط أكسدة الجزء الأليفاتي من البولي أميد يمكن أن يُعزّز التفكّك الحراري للجزء العطري من البوليمير. يمكن تحسين الاستقرار الحراري للجزء العطري عن طريق التحكّم بالتوازن في الزمر النهائية بإدخال زمر تغطية النهايات لخفض عدد زمر الحمض والأمين النهائية عند استعمال مُثبت حراري مؤكسد على قاعدة النحاس.

يمكن تحقيق تغطية النهايات بإدخال زمر أسيتاميد نهائية. فينخفض عدد زمر الحمض النهائية انخفاضاً مناسباً باستعمال فائض ستوكيومتري من ثنائي الأمين. يجري تثبيت

بوليميرات PA المُحسنة لتحمل درجات الحرارة العالية، مثل بوليميرات PA العطرية جزئياً، التي تحتوي كميّات قليلة من زمر حمض كربوكسيليك النهائيّة، باستعمال عوامل تثبيت مثل يوديد النحاس أو بروميد النحاس بصفتهما إضافات تثبيت حراري. تُبدي بوليميرات PA هذه استقراراً مُحسناً إزاء الأكسدة الحرارية 36. يبيّن الجدول (12-7) الاستقرار الحراري للبوليميرات المشتركة من فتال أميد -كابرو لاكتام مع كميّات مختلفة من الزمر النهائية ومُثبّت نحاسي. لقد جرت المحافظة على قيم اللزوجة الجوهريّة والوزن الجزيئي ومقاومة الشد عند البدء للعيّنات متقاربة في سلسلة التجارب. جرى تحديد اللزوجة الجوهريّة بحلّ العينات في مزيج فينول: رباعي كلورو إيثان بنسبة 60:00 عند درجات حرارة مرتفعة وبتركيز قدره g 0.1 لكل 25 ml عند درجة حرارة قدرها 30°C. ولقد مقياس لزوجة من نوع Cannon Ubbelohde عند درجة حرارة قدرها 30°C. ولقد اتفق بحث مستقلً لاحق على أنه يمكن لمثبّت نحاسي أنّ يُحسن فعلاً الاستقرار الطويل

الجدول (8-12): الاستقرار الحراري للبوليميرات المشتركة من فتال أميد - كابرو لاكتام 36

عات لفقدان	الزمن بالسا	مقاومة الشد	اللزوجة	النهائيّة	الزمر	
في الشد	š %50	في البدء	الجوهريّة	NH_2	СООН	
210°C	220°C	k psi	dlg^{-1}	μeqg^{-1}	μeqg^{-1}	Cu ppm
1125	960	30.8	0.89	46	56	250
1635	1120	30.9	0.89	62	34	196
1565	1340	30.7	0.92	71	18	246
2090	1570	29.6	0.84	100	2	231
1075	840	31.7	0.93	39	54	121
1265	935	32.4	0.94	60	20	113
1480	1175	30.0	0.92	67	22	127
1620	1330	31.2	0.90	98	0	110
800	685	29.5	0.89	60	46	2
935	735	28.9	0.89	65	40	1

إلا أنّ تكون نواتج ثانوية مسببة لانسداد فتحات القوالب يزداد أيضاً ازدياداً ملموساً، مما يؤدي إلى انسداد سريع للفتحات 47. وفي الحقيقة، لا تُظهر التركيبات التي لا تحتوي على مُثبتات نحاسية انسداداً سريعاً. ولمنع تكون النواتج الجانبية المسببة لانسداد الفتحات ينبغي إضافة فينولات مُعاقة عالية الوزن الجزيئي وقليلة التطاير، مركبات أريل أمين ثانوية إلى جانب المُثبتات النحاسية. تُبدي هذه الصياغات، إضافة إلى الاستقرار الحراري، خواص قولبة بالحقن مُحسنة.

3.4.12. مُعدّلات الصدم

لقد كان تعديل الصدم لبوليمرات PA الأليفاتية معروفاً منذ زمن بعيد. مُعدّلات الصدم في حالة PPA هي بوليميرات الأكريليك المكوّنة من الإيثيلين و n-بوتيل أكريلات وحمض الأكريليك وأنهيدريد المالييك. كما إنّ مطاطيات الإيثيلين بروبيلين المطعّمة بأنهيدريد المالييك تمثّل أنواعاً أخرى من مُعدّلات الصدم 26.

4.4.12. مُبطَّئات اللهب

عندما يُستعمل بوليمير من PA في تطبيقات تتطلّب خصائص انطفاء ذاتي وخواص تبطيء اللهب، يكون من الضروري اللجوء إلى إضافة مُبطّئ لهب. يمكن على نطاق واسع تكييف صياغات تبطيء اللهب المعروفة في مجال بوليميرات الپولي (إستر) للاستعمال في حالة بوليمرات PA. يمكن استعمال الپولي (ستيرين) المُبروم مجتمعاً مع مركب أنتيمون مثل أنتيمونات الصوديوم 45. يتحسن الأداء عند إضافة كميّات ضئيلة من أوكسيد الكالسيوم. إنّ الاستقرار الحراري لهذه التركيبات أفضل بكثير مقارنة بالتشكيلات الحاوية أوكسيد المغنزيوم أو أوكسيد التوتياء.

تُعتبر تركيبات تبطيء اللهب مفيدة بوجه خاص في حالة التطبيقات الإلكترونية 49. تمتلك المركبات الهالوجينية سيّئة كونها تُحرّر عند تعرّضها للاحتراق منتجات تفكّك عالية السمية ومسببة شديدة للتأكّل مثل كلور الهيدروجين وبروم الهيدروجين. ولتجنّب المساوئ المقترنة بالمركبات الهالوجينية، هناك توجّه نحو استعمال مبطّئات لهب خالية من الهالوجينات. إنّ مبطّئات اللهب الخالية من الهالوجين المستعملة في حالة PA العطري

جزئياً هي مركبات البولي (فوسفونات) 50 . تُحافظ بوليميرات PA الشفافة على شفافيّتها. يجب إضافة البولي (فوسفونات) بكميّات حوالى 8-15 في المئة.

يمكن دمج كِسر أوكسيد ثلاثي أريل فوسفين مباشرة في السلسلة الرئيسيّة لبوليمير 10 PA وتُعطيها خواص تبطيء اللهب.

5.12. تطبیقات

تجد بوليميرات PA العطريّة جزئياً قبولاً واسعاً للاستعمال في التطبيقات التي يمكن أن يصادَف فيها درجات حرارة عالية، وبيئات قاسية. تشمل هذه التطبيقات وصلات 45 للتجهيزات الكهربائيّة أو الإلكترونيّة، وتطبيقات في صناعة السيارات، وطلاءات، وأدوات الطبخ، وأدوات العناية بالحدائق، وأدوات الطاقة، والتجهيزات الطبيّة.

يتيح الاستقرار الحراري لبعض أنواع PPA سيرورات لحام تحت شروط خالية من الرصاص في التطبيقات الإلكترونيّة 51.

1.5.12. الأنواع الشفّافة

لقد جرى اقتراح قاعدة تجريبيّة تتنبًأ ما إذا كان بوليمير أميد مشترك متبلّراً أو لامتبلّراً. تعتمد هذه القاعدة على مساهمات البنى الفراغيّة الكيميائية للمونوميرات المكوّنة، في البنية الكليّة للسلسلة البوليميريّة 52. فقد تبيّن أنّ بوليميرات PA ذات نقاط الانصهار المرتفعة تكون بلّوريّة إذا كان ما نسبته أكثر من 80 في المئة من الوحدات المونوميريّة متناظراً. لذلك فإنّ انعدام التناظر يُحبّذ البوليميرات اللامتبلّرة.

يرتبط التبلّر بالخواص البصريّة للبوليمبر. وعموماً تكون بوليميرات PA البلّوريّة غير شفّافة. وإذا رغبنا ببوليمير PA شفاف فينبغي أن يكون لامتبلّراً وليس بلّورياً. يمكن تحديد مدى التبلّر بملاحظة نقطة انصهار البوليمير. يُستدلّ على الطبيعة اللامتبلّرة بعدم وجود نقطة انصهار.

تمتلك بوليميرات PPA اللامتبلّرة المؤسّسة على قاعدة HMD و HMD باستقرار بعدي منخفض عند درجات الحرارة العالية. وللتغلّب على هذه السيّئة جرى اقتراح إجراء استعاضة جزئية لــ HMD بمزيج إيزوميري من 4،2،2-ثلاثي ميثيل هكزا ميثيلين ثنائي

الأمين و 4،4،2-ثلاثي ميثيل هكزا ميثيلين ثنائي الأمين بالترتيب. إنّ بوليميرات PA الأمين و 4،4،2-ثنائي ميثيل -7،1- هيبتان ثنائي الأمين شفّافة 15.

إضافة إلى ما سبق فإن 2-ميثيل خماسي ميثيلين ثنائي الأمين و 2-إيثيل رباعي ميثيلين ثنائي الأمين و 3،3'-ثنائي ميثيل -4،4'-ثنائي أمينو ثنائي سيكلو هكسيل ميثان هي ثنائيات أمين لبوليمير ات PA الشفافة. كما إنّ جمع MXDA و IPA يؤدي إلى أنواع شفافة.

يبين الجدول (12-8) درجات حرارة الانتقال الزجاجي لبعض بوليميرات PA العطريّة جزئياً اللامتبلّرة. إنّ زيادة نسبة نيوبنتيل ثنائي الأمين (NPDA) في التركيبة البوليميريّة تؤدي إلى زيادة درجة حرارة الانتقال الزجاجي. ولكن إذا استُعمِل فقط HMD بقية درجة حرارة الانتقال الزجاجي منخفضة.

العطريّة جزئياً 15 العطريّة جزئياً 15 العطريّة جزئياً 15

$[^{\circ}C]\backslash T_{g}$	التركيبة
127	TPA/IPA(40/60)-HMD40/60
147	TPA/IPA(40/60)-NPDA/HMD(50/50)
184	IPA NPDA
188	TPA-NPDA
190	TPA/IPA(60/40)-NPDA
213	6.2- حمض نافتالين كربوكسيليك-NPDA

2.5.12. تركيبات للحام

عند إنتاج قطع مقولبة سميكة الجدران مفرّغة، أو قطع ذات أشكال فيها مقاطع سميكة الجدران وأخرى رقيقتها تجري قولبة هذه القطع في جزأين. في النهاية يجري وصل هذه القطع باللحام. بدلاً من ذلك يمكن وضع هاتين القطعتين في قالب آخر بحيث تواجهان بعضهما البعض على طول الخطّ الفاصل، ثُمّ يُحقن راتنج مصهور على طرفي الوجهين المتقابلين لوصل الأجزاء. تسمّى هذه التقنيّة باسم القولبة بالإقحام، أو القولبة بالتداخل 33. تشمل طرائق أخرى للحام ما يلى 32:

1. اللحام بالحقن،

- 2. اللحام بالاهتزاز،
- 3. اللحام بالأمواج فوق السطحيّة،
 - 4. اللحام الدوّامي،
 - 5. اللحام بالصفيحة الساخنة،
 - 6. اللحام بالشعاع الحراري،
 - 7. اللحام بالليزر،
- 8. اللحام بالتسخين بالتحريض عالى التواتر.

تُظهر بوليميرات PA التامّة التبلّر مقاومة لحام غير مرضية. لذلك لا يمكن استعمال هذه المواد لقطع تتطلّب مقاومة لحام عالية. وبهدف تحسين مقاومة اللحام، ينبغي أن تحتوي التركيبات في آن معاً على بوليميرات PA عطريّة جزئياً متبلّرة ولا متبلّرة 33,32.

تتحسن مقاومة اللحام في طرائق اللحام المتنوعة عن طريق إضافة كميّات صغيرة، حوالى 3 في المئة من PA عطريّ جزئياً لا متبلّر إلى أنواع PA المتبلّرة 32. يمكن تشكيل التركيبة الراتنجيّة بخلط كريات الراتنج الموافقة، ومزج صهارتها في مرحلة الحصول على المنتج النهائي، أو بمزج الصهارة مزجاً مسبقاً في باثق وحيد المحور أو اثناني المحور قبل إخضاعها للقولبة. يمكن استعمال التركيبة الراتنجيّة في القولبة بالبثق، أو القولبة بالحقن.

على سبيل المثال، يجري مسبقاً مزج 97 في المئة من 6 PA مع 3 في المئة من 16 PA مع 3 في المئة من 16 PA مزجاً منتظماً ويُعجن المزيج وتحضر كريّات من تركيبة PA الراتنجيّة. وقبل أي استعمال لاحق أو تفحّص للخواص يجري تجفيف الكريات مدّة 24 ساعة تحت ضغط منخفض عند 20°11 32.

3.5.12. السلع المطليّة كهربائياً

تحتوي المركبات ذات المحركات عدداً محسوساً من القطع المطليّة بالكروم إمّا لأغراض تزينيّة أو لأغراض وظيفيّة. يتحسّن المظهر العامّ للعربة تحسناً ملموساً بسطوح الكروم العالية الانعكاسيّة هذه.

ولكن عناصر الزينة تؤدي أيضاً غرضاً وظيفيًا في أنّها تساعد في امتصاص الصدمات عند حدوث تصادم أو عند تلقّي العربة بعض الحجارة أو الأنقاض المتطايرة من الطريق. وبناءً عليه يجب أن يتحمّل المعدن، المطلي على عنصر الزينة، الاصطدام بدون أن يتشظّى أو ينكسر أو يتقشّر.

تقليدياً كانت عناصر الزينة في السيارات تُصنع من المعادن، ولكن تُعتبر القطع المصنوعة من اللدائن المطليّة بالمعدن بدائل مهميّة من النواحي الاقتصاديّة، لأنها تخفض وزن المركبة، وتمتلك مرونة في التصميم أكثر من المعادن. كما يمكن تحقيق وفر محسوس عند تكوين القطع من اللدائن مقارنة بالقطع المعدنيّة.

هناك تنوع واسع من الله ائن المطليّة المعروفة، مثل الأكريلو نيتريل-يوتاديين- ستيرين (ABS)، وبولي (كربونات) (PC). لقد جرى طلاء ABS للحصول على قطع تزيينيّة مثل محيط المصابيح الرأسيّة، وأنابيب المياه، والعتاد البحري. ولقد جرى استعمال PC بصفته الركيزة للمقابض المطليّة لأبواب السيّارات. تُعتبر راتنجات PPA مهمّة لتطبيقات درجات الحرارة العالية.

تمكن مَعْدَنَة القطع المكوّنة من راتنجات PPA المملوءة بالفلزات باستعمال تقنيات الطلي الكهربائي واللاكهربائي 53. تمكن مَعْدَنَة بعض تشكيلات PPA الخاصّة بتقنيات الطلي اللاكهربائي المطوّرة للاستعمال مع راتنجات ABS. تتألّف هذه النقنيات مما يلى :

- 1. التخريش بمحلول حمض كرومي -حمض الكبريت،
 - 2. معالجة السطح المنمّش بمحلول مُعدّل،
 - 3. محلول مُحفّز من محلول ملح معدن نبيل،
 - 4. محلول حمضي مُسرّع،
 - 5. محلول طلاء لا كهربائي.

إلا أنه في حالة بوليميرات PPA يُلاحظ التصاق سيّئ للمعدن. ومن الصعب جداً طلي راتنجات PPA غير المملوءة المعدّلة للصدم. ولقد جرى اقتراح طرائق متنوّعة لتحسين الالتصاق بين الطلاء المعدني والركيزة اللدائنيّة، مثل التهيئة ما قبل التخريش 54. ولكنّ هذه الطرائق ليست واعدة في حالة PPA.

الجدول (9-12): مقاومة التقشير تبعاً لتركيز الكروم الثلاثي التكافؤ ودرجة حرارة الغسل 53

مقاومة التقشير \[N]	تركيز الكروم ثلاثي التكافؤ \[g I ⁻¹]
0	27
0	32
19.7 – 9.8	45
53.4-35.6	52
مقاومة التقشير \[N]	درجة حرارة غسل التخريش \[°C]
5.8	54
20.9	39
30.7	33
·	· · · · · · · · · · · · · · · · · · ·

لقد جرى تطوير سيرورة للطلي الكهربائي لراتتج PPA المعدّل بمطاط مونومير الإيثيلين بروبيلين ديئن، ومطاط الإيثيلين-بروبيلين، ومطاط الستيرين-بوتاديئن. ويُستعمل الإيثيلين بروبيلين ديئن، ومطاط الإيثيلين-بروبيلين، ومطاط الستيرين-بوتاديئن. ويُستعمل حمض الكروم بصفته محلول تخريش. ولكن وُجِدَ أنّ تركيز $^{3+}$ مهم جداً لنجاح هذه الطريقة 53 . يقع تركيز 53 في المجال 53 المجال 53 في المجال 53 في حين يمكن أن تُسبّب التراكيز المرتفعة من المعدني النهائي، في حين يمكن أن تُسبّب التراكيز المرتفعة من 53 ثفاخات في الطلاء المعدني. يبيّن الجدول (53 0 تأثير موسطات السيرورة على مقاومة التقشير.

4.5.12. لواصق الصهارة الحارة

تُستعمل لواصق الصهارة الحارة المؤسسة على قاعدة بوليميرات الأميد المشتركة الأليفاتيّة في حقل صناعة النسيج. درجات حرارة الانصهار المرغوبة هي حوالى 80°C. يجري التحكّم بهذه الخواص من خلال التركيبة الخاصّة للمونوميرات. يجري اصطناع بوليميرات الأميد المشتركة الإحصائيّة المناسبة كلواصق صهارة ساخنة عن طريق البلمرة بالتكاثف مع حلمهة للمركبات المونوميريّة المنفردة.

يمكن الحصول على تمديد للزمن المفتوح (open time) عن طريق استعمال ثنائي أمين إضافي إلى جانب HMD. يمكن الحصول على منتجات ذات خواص لصق أطول

عمراً عن طريق إقحام كميات صغيرة من البيبيرازين أو 2-ميثيل-5،1-ثنائي أمينو بنتان في البوليمير. ويبدو أنّه إذا أضيف البيبيرازين كان المفعول أكثر قورة بقليل 55.

الجدول (12-12): مقاومة تركيبات للواصق الصهارة الحارة 55

		,				
التغذية المونوميريّة			% نسب	ة موليّة		
كابرو لاكتام	30	25	27	30	30	40
لورو لاكتام	40	50	40	50	40	40
حمض الأديبيك	10	_	3	_	_	20
حمض الأزيلايك	10	_	11	_	15	_
حمض السيباسيك	10	19	10	_	15	_
ثنائي حمض دوديكان	_	_	_	20	_	_
حمض ترفتاليك	_	6	9	_	_	_
HMD	25	20	25	_	_	20
بيبيرازين	5	_	_	20	_	_
2-ميثيل بنتان ثنائي الأمين	_	5	8	_	30	_
$a[dlg^{-1}]RV$	1.37	1.36	1.34	1.41	1.38	1.35
نقطة الانصهار [°C]	104	100	79	113	109	121
	ئة في m-	كريزول				

يبيِّن الجدول (12-10) أمثلة على تركيبات للواصق الصهارة الحارة ودرجات حرارة الصهارها الموافقة. يجب الحديث عن هذه المواد باسم بوليميرات PA العطرية جزئياً، ولكن مع محتوى منخفض من الوحدات العطرية. وحتى مع وجود مركبات من أحماض عطرية يمكن الحصول على تركيبات ذات درجات انصهار منخفضة. ولكن لا يمكن أن تزيد نسبة ثنائيات الحمض العطرية على نسبة مولية قدرها 10 في المئة. ينتج من أي زيادة على هذه النسبة من المحتوى من الأحماض العطرية مواد ذات درجة انتقال زجاجي أعلى مرتفعة. لا يمكن لهذه المنتجات أن تتبلّر بعد ذلك وتبقى تامة اللاتبلر. إن هذه المواد بمعظمها غير مناسبة لتكون لواصق صهارة حارة، لأنها تُظهر مقاومة سيئة للغسيل وللتنظيف الجاف.

6.12. الموردون والعلامات التجارية

يبيّن الجدول (12-11) الموردين العلامات التجاريّة. ويبيّن الجدول (12-12) الأسماء التجاريّة الواردة في المراجع.

الجدول (12-11): أمثلة على بوليميرات بولي (فتال أميد) المتوفرة تجارياً

المُنتج	الاسم التجاري
Slovay Advanced Polymers	Amodel®
Shikoku Chemicals Corp.	$Balpound^{TM}$
Ems-Grivory	$Grivory^{TM}$
Lati SpA	Laramid®
DuPont	Zytel® HTN PPA

7.12. الأمان

تُصنّف مُعظم ثنائيات الحمض المستعملة كمونوميرات كمواد مهيّجة للعيون والجلد والجهاز التنفّسي. إنّ ثنائيات الأمين أكثر سميّة من ثنائيات الحمض، وأكثر من ذلك فهي تسبب التأكّل ويمكن أن تسبب حروق. عموماً، يجب ألاّ يكون هناك تماس، أثناء التصنيع، مع المونوميرات، ولا حتّى عند استعمال التشغيل التفاعلي للأوليغوميرات. ولقد جرت الإشارة إلى مساحيق بعض أنواع PA على أنها مهيّجة، ويجب أخذ نصيحة المُصنّع بشأن أيّة معلومات إضافيّة.

في إحدى منشآت بلمرة PPA، سببت بعض الأجزاء غير المتفاعلة المتبقية في وعاء التفاعل بتكوّن ضعط مرتفع. وأثناء صيانة لاحقة تسرّبت الغازات بطريقة أشبه بالانفجار ⁵⁶.

8.12. الأثر البيئي وإعادة التدوير

يمكن استعمال الإسترات البوليميريّة أو الأوليغوميريّة أو المونوميريّة من أحماض ثنائي الكربوكسيليك العطريّة، أياً كان مصدرها، حتّى ولو كانت نفايات بوليستريّة، بصفتها مواد أوّلية لتصنيع PPA. تساهم الطريقة في حل مسألة إعادة التدوير المتعلّقة ببوليميرات بولي (إستر) بوجه عام. لقد جرى وصف السيرورة بالتفصيل في الفقرة 6.2.12.

الجدول (12-12): الأسماء التجارية الواردة في المراجع

المُورّد	الاسم التجاري
	الوصف
Mitsui Petrochemical	Admer® L2100
Corp.	16 پولي (إيثيلين) مطعّم بمقدار $^{0.1}$ في المئة أنهيدريد المالييك
Mitsui Petrochemical	Admer®
Corp.	پولي (اپنيلين) أو پولي (بروبيلين) مطعّم بأنهيدريد المالييك،
	ر اتنجات لاصقة ¹⁶
Amoco	Amodel® (Series)
	پول <i>ي</i> (فتال أميد) ^{45,29,28}
Amoco	Amodel® 1000
A a a a	بولي (فتال أميد) ^{36,9} 1000 م هادل م
Amoco	Amodel® A 1000 تر ْبوليمير سداسي ميثيلين ترفتالاميد إيزوفتالاميد أديباميد ²⁹
Amoco	تربوتهایر مداهی میبیان ترت دمید ایروت دمید ادیبامید Amodel® AF 1113
	بوليمير أميد مشترك عطري 6.6\delta 4 6.T 4 6.T 4 4 6.T 4.
Amoco	Amodel® AF 4133
	بوليمير أميد مشترك عطري 6.6\ 6.T5 ⁴⁹
Amoco	Amodel® X 4000
Mitsui	تربوليمير سداسي ميثيلين ترفتالاميد إيزوفتالاميد أديباميد 65\35 Arlene 230
Wittsui	⁵⁶ PA 6.6/6.T 5
Mitsui	Arlene®
	بولي (فتال أميد) ⁴⁵
Akzo	Arnitel®
W . G G	بولي (إستر) مطاطي ¹⁶
Union Carbide Corp.	Carbowax® (Series)
Denki Ragaku Kogyo	پولی (غلیکول أوکسید اپیثیلین)
Denki Ruguku Rogyo	المارك كالمستورين مالييد إيميد ⁴⁹
Exxon	Exxelor® PO 1015
	بولي (بروبيلين) مطعّم بمقدار 0.3 في المئة أنهيدريد المالييك ^{28,16}
Exxon	Exxelor® VA 1801
	مطاط إيثيلين بروبيلين مطعّم بمقدار 0.6 في المئة أنهيدريد
	المالييك 47,29,9

الجدول (12-12): الأسماء التجارية الواردة في المراجع

المُورّد	الاسم النجاري
	الوصف
Exxon	Exxelor® VA 1803
	مطاط إيثيلين بروبيلين مطعم بمقدار 0.4% أنهيدريد المالييك 26,16
Ems	Grivory® HTV-4X2VO
Ems	⁴⁹ 6.6/6.T Grivory® HTVS-3X2VO
Lilis	49 6.6/6.T 7
DuPont	Hytrel®
	پولي (إستر) مطاطي ¹⁶
Shell	Kraton®
	بوليمير مشترك كتلي التعاقب ستيريني ^{47,29,9}
BASF AG	Lucalen® A 3710 MX
	بوليمير مشترك من LDPE و 7% حمض أكريليك 16
BASF AG	Lupolen® (Series)
	پولي (اپثيلين) ¹⁶
Uniroyal Chemical Co.	Naugard® 445
BASF AG	4·4' ثنائي (α·α- ثنائي ميثيل - بنزيل) ثنائي فينيل أمين ⁴⁷ Novolen® 1100
DASI' AU	1700 الم 17
BASF AG	پرىي (بروبيس) پرو- <u>سي</u> Novolen® 2500 HX
	بروبيلين\اپثيلين بوليمير مشترك كتاي التعاقب، 10% إيثيلين ¹⁶
BASF AG	Novolen® 3200 HX
	بروبيلين\اپثيلين بوليمير مشترك كتلي التعاقب ، 2.5% اپثيلين 16
Great Lakes Chemicals	PDBS® 80
Corp.	پولي (ثنائي برومو ستيرين) 49
Dow	Primacor® 1410 XT
Farma Corra	إيثيلين حمض أكريليك، بوليمير مشترك مع 10% حمض أكريليك 9 Prysohools 68 PD
Ferro Corp.	Pyrocheck® 68 PB پولي (ستيرين) مُبرومَ ^{49,45}
Elf Atochem	پوتي (سنڀرين) مبروم Rilsan® B MNO
	49 PA 12
DuPont	Selar® PA 3426
	¹⁵ PA 6 T/I

الجدول (12-12): الأسماء التجاريّة الواردة في المراجع

المُورّد	الاسم التجاري
	الوصف
DSM	Stanyl® KS 200
	PA 4.6 منخفض الوزن الجزيئي ⁴⁹
DSM	Stanyl® KS 300
	PA 4.6 متوسط الوزن الجزيئي ⁴⁹
DuPont	Surlyn®
	رانتج أيونومير <i>ي</i> ⁹
Dynamit Nobel	Trogamid®T
	PA من حمض ترفتاليك و 4،2،2-ئلاثي ميثيل سداسي ميثيلين ثنائي
	أمين و 4،4،2-ثلاثي ميثيل سداسي ميثيلين ثنائي أمين ¹⁵
Ashi Chemical	Tuftec® (Series)
Industry	بوليمير مشترك كتلي التعاقب ستيريني ³¹
Solvay	Udel® Polysulfone
	54 (بیسفینول 64
BASF AG	Ultramid® (Series)
	پولي (أميد) ^{26,25}
Victrex PLC	Victrex® PES (Series)
	پوﻟـﻲ (آريل ﺍﭘـــْـر ﺳﻠﻔﻮﻥ) ⁴⁹
DuPont	Zytel®
	پولي (أميد) ⁹

المراجع

- Standard specification for polyphthalamide (PPA) injection molding materials. ASTM Standard ASTM D5336-03, ASTM International, West Conshohocken, PA, 2003.
- 2. P. Schlack. Verfahren zur Herstellung hochpolymerer linearer Polyamide. DE Patent 929 151, assigned to Hoechst AG, 20 June 1955.
- 3. J. Preston. "Polyamides, Aromatic." In: H. F. Mark, N. Bikales, C. G. Overberger, and G. Menges, eds. *Encyclopedia of Polymer Science and Engineering*. 2nd ed. New York: Wiley Interscience, 1988. vol. 11, pp. 381-409.

- 4. H. Reimann, G. Pipper, H.-P. Weiss, C. Plachetta, and E. M. Koch. Partly aromatic copolyamides of reduced triamine content. US Patent 5 298 595, assigned to BASF Aktiengesellschaft (Ludwigshafen, DE), 29 March 1994.
- G. Bier, F. Blaschke, H. aus der Funten, and G. Schade. Transparent polyamides. US Patent 4 111 921, assigned to Dynamit Nobel Aktiengesellschaft (Troisdorf, DE), 5 September 1978.
- 6. G. Schade, N. Vollkommer, and H. Wemheuer. Method of preparing modified or unmodified poly-(alkylpentamethyleneterephthalamide). US Patent 4 163 101, assigned to Dynamit Nobel Aktiengesellschaft (Cologne, DE), 31 July 1979.
- 7. K. Amakawa and T. Shitara. Process for production of xylylenediamine and/or cyanobenzylamine. US Patent 7 119 230, assigned to Mitsubishi Gas Chemical Co., Inc. (Tokyo, JP), 10 October 2006.
- 8. J. D. Matlack, J. G. Villanueva, B. A. Newman, L. D. Lillwitz, M. L. Luetkens, Jr., and G. E. Schmidt. Polyamide having improved gas barrier properties from adipic acid, isophthalic acid and *m*-xylylene diamine. US Patent 5 175 238, assigned to Amoco Corporation (Chicago, IL), 29 December 1992.
- R. A. Montag, G. A. Corbin, and D. W. Garrett. Polyphthalamide composition. US Patent 6 306 951, assigned to BP Corporation North America Inc. (Chicago, IL), 23 October 2001.
- 10. Y. Zhang, J. C. Tebby, and J. W. Wheeler. "Polyamides incorporating phosphine oxide groups: IV. Aromatic-aliphatic polymers." *European Polymer Journal*: vol. 35, no. 2, February 1999, pp. 209–214.
- M. Kosaka, Y. Muranaka, and K. Wakatsuru. Process for preparing aromatic polyamides. US Patent 6 133 406, assigned to Mitsui Chemicals, Inc. (Tokyo, JP), 17 October 2000.
- J. A. Richardson, W. Poppe, B. A. Bolton, and E. E. Paschke. Polycondensation process with mean dispersion residence time. US Patent 4 831 108, assigned to Amoco Corporation (Chicago, IL), 16 May 1989.
- 13. W. Poppe, Y.-T. Chen, and E. E. Paschke. Crystalline copolyamide from terephthalic acid, isophthalic acid and C6. US Patent 4 617 342, assigned to Amoco Corporation (Chicago, IL), 14 October 1986.
- 14. H. Ng. Partially aromatic polyamides and a process for making them. US Patent 6 355 769, assigned to DuPont Canada, Inc. (Mississauga, CA), 12 March 2002.
- E. E. Paschke, W. Poppe, and D. P. Sinclair. Amorphous polyamide from neopentyl diamine. US Patent 5 081 223, assigned to Amoco Corporation (Chicago, IL), 14 January 1992.
- A. Gottschalk, H. Fisch, G. Pipper, and M. Weber. Polyamide/polyolefin blends. US Patent 5 883 186, assigned to BASF Aktiengesellschaft (Ludwigshafen, DE), 16 March 1999.

- U. Presenz, S. Schmid, R. Hartmann, and H. R. Luck. Method for producing a polyamide compound. US Patent 6 881 477, assigned to EMS-Chemie AG (Domat/Ems, CH), 19 April 2005.
- 18. Y.-T. Chen. Composition comprising crystallizable polyamide from terephthalic acid, adipic acid, aliphatic diamine and *m*-xylylene diamine. US Patent 5 194 577, assigned to Amoco Corporation (Chicago, IL), 16 March 1993.
- J. Willis-Papi and T. Mutel. Single-phase or multi-phase continuous polyamide polymerization processes. US Patent 6 759 505, assigned to E. I. du Pont de Nemours and Company (Wilmington, DE), 6 July 2004.
- J. A. Richardson, W. Poppe, B. A. Bolton, and E. E. Paschke. Polycondensation process with aerosol mist of aqueous solution of reactant salts. US Patent 4 603 193, assigned to Amoco Corporation (Chicago,IL), 29 July 1986.
- 21. K. Tanaka, H. Kurose, T. Shida, and M. Kikuchi. Production method of polyamide. US Patent 7 138 482, assigned to Mitsubishi Gas Chemical Company, Inc. (Tokyo, JP), 21 November 2006.
- 22. W. Nielinger, W. Alewelt, R. Binsack, L. Bottenbruch, and H.-J. Fullmann. Process for the preparation of copolyamide from adipic acid, terephthalic acid and hexamethylene diamine. US Patent 4 762 910, assigned to Bayer Aktiengesellschaft (Leverkusen, DE), 9 August 1988.
- A. W. Etchells, III and F. K. Mallon. Continuous process for the production of polyamides. US Patent 7 009 028, assigned to E. I. du Pont de Nemours and Company (Wilmington, DE), 7 March 2006.
- 24. H. Wagner, J. Ensinger, and E. Krumpschmid. Method of producing partially aromatic copolyamides from aromatic dicarboxylic acid esters. US Patent 5 895 809, assigned to EMS-Polyloy GmbH (Gross-Umstadt, DE), 20 April 1999.
- 25. W. Goetz, C. Plachetta, U. Wolf, G. Blinne, and H. Reimann. Toughened partly aromatic copolyamides. US Patent 5 504 146, assigned to BASF Aktiengesellschaft (Ludwigshafen, DE), 2 April 1996.
- 26. H. Reimann, G. Pipper, H.-P. Weiss, C. Plachetta, E. M. Koch, G. Blinne, W. Goetz, and P. Steiert. Impact modifying rubber and partly aromatic copolyamides. US Patent 5 252 661, assigned to BASF Aktiengesellschaft (Ludwigshafen, DE), 12 October 1993.
- 27. R. G. Keske. "Polyphthalamides." In: J. C. Salamone, ed., *Concise Polymeric Materials Encyclopaedia*. Boca Raton, FL: CRC Press, 1999, pp. 1264-1265.
- 28. G. T. Brooks, B. L. Joss, and C. L. Myers. Polypropylene-polyphthalamide blends. US Patent 5 283 284, assigned to Amoco Corporation (Chicago, IL), 1 February 1994.
- 29. G. P. Desio, R. A. Montag, and G. A. Corbin. Polyphthalamide blends. US Patent 5 436 294, assigned to Amoco Corporation (Chicago, IL), 25 July 1995.
- 30. A. Adedeji. High flow compositions of compatibilized poly(arylene ether) polyamide blends. US Patent 6 794 450, assigned to General Electric Company (Pittsfield, MA), 21 September 2004.

- 31. M. D. Elkovitch, J. R. Fishburn, and S.-P. Ting. Poly (arylene ether)/polyamide composition. US Patent 7 182 886, assigned to General Electric Company (Schenectady, NY), 27 February 2007.
- 32. K. Nakamura and A. Miyamoto. Polyamide resin composition showing excellent weld strength. US Patent 6 541 559, assigned to UBE Industries, Ltd. (Ube), 1 April 2003.
- 33. M. Nozaki and T. Kuroe. Polyamide composition for welding. US Patent Application 2004 0 087 735, assigned to E. I. du Pont de Nemours and Company (Wilmington, DE), 6 May 2004.
- 34. L. Incarnato, P. Scarfato, G. M. Russo, L. Di Maio, P. Iannelli, and D. Acierno. "Preparation and characterization of new melt compounded copolyamide nanocomposites." *Polymer*: vol. 44, no. 16, July 2003, pp. 4625–4634.
- 35. L. Incarnato, P. Scarfato, L. Scatteia, and D. Acierno. "Rheological behavior of new melt compounded copolyamide nanocomposites." *Polymer*: vol. 45, no. 10, May 2004, pp. 3487–3496.
- 36. R. G. Keske. Partially aromatic polyamides having improved thermal stability. US Patent 5 962 628, assigned to BP Amoco Corporation (Chicago, IL), 5 October 1999.
- 37. N. Pini, C. Zaniboni, S. Busato, and P. Ermanni. "Perspectives for reactive molding of PPA as matrix for high-performance composite materials." *Journal of Thermoplastic Composite Materials*: vol. 19, 2006, pp. 207–216.
- 38. J. A. Loontjens, B. J. M. Plum, and P. M. M. Nossin. High-molecular polyamide. US Patent 6 750 316, assigned to DSM N.V. (Heerlen, NL), 15 June 2004.
- 39. IDES Integrated Design Engineering Systems. The Plastics Web®. IDES Inc. 209 Grand Avenue Laramie, WY 82070 USA [electronic] http://www.ides.com/prospector>, 2006.
- 40. B. Lánská and J. Šebenda. "Thermo-oxidation of lactam polymers related to the conditions of their preparation by hydrolytic polymerization." *European Polymer Journal*: vol. 21, no. 10, 1985, pp. 891–894.
- 41. B. Lánská and J. Šebenda. "The effect of carboxylic and basic end-groups on the thermo-oxidation of hydrolytic polymers of lactams." *European Polymer Journal*: vol. 22, no. 3, 1986, pp. 199–202
- 42. B. Lánská. "Thermo-oxidation of lactam-based polyamides with carboxylic endgroups: Decomposition of 6-hydroperoxy-6- hexanelactam in the presence of carboxylic acids." *European Polymer Journal*: vol. 30, no. 2, February 1994, pp. 197– 204.
- 43. B. Lánská, L. Matisová-Rychlá, and J. Rychlý. "Chemiluminescence of polyamides III. Luminescence accompanying thermooxidation of lactam-based polyamides stabilized by antioxidants." *Polymer Degradation and Stability*: vol. 72, no. 2, May 2001, pp. 249–258.
- 44. R. Hagen. "Alternatives to high-performance plastics. Special properties of partially aromatic copolyamide." *Kunststoffe*: vol. 87, 1997, pp. 622–624 and 626.

- 45. M. G. Reichmann. Flame retardant high temperature polyphthalamides having improved thermal stability. US Patent 5 773 500, assigned to Amoco Corporation (Chicago, IL), 30 June 1998.
- 46. M. Nozaki, R. Koshida, T. Tasaka, and T. Ushida. Aromatic polyamide compositions for molding. US Patent 6 784 279, assigned to E. I. du Pont de Nemours and Company (Wilmington, DE), 31 August 2004.
- 47. J. M. Hurley and B. H. Bersted. Method for reducing mold deposit formation during moldings of polyamide and composition therefor. US Patent 6 518 341, assigned to Solvay Advanced Polymers, LLC (Alpharetta, GA), 11 February 2003.
- 48. B. Lánská. "Stabilization of polyamides—I: The efficiency of antioxidants in polyamide 6." *Polymer Degradation and Stability*: vol. 53, no. 1, 1996, pp. 89–98.
- 49. H. G. J. Havenith, W. J. M. Sour, J. Tijssen, and R. M. Leeuwendal. High-melting polyamide composition for electronic applications. US Patent 6 441 072, assigned to DSM N.V. (Heerlen, NL), 27 August 2002.
- 50. W. Nielinger, H. Kauth, and H.-J. Fuellmann. Flame-resistant polyamides. DE Patent 3 613 490, assigned to Bayer AG (DE), 29 October 1987.
- 51. K. J. Steffner. "Lead-free soldering. High-temperature polyamides." *Kunststoffe*: vol. 95, 2005, pp. 195–198.
- 52. J. G. Dolden. "Structure-property relationships in amorphous polyamides." *Polymer*: vol. 17, no. 10, October 1976, pp. 875–892.
- 53. R. J. Timmer. Method for electroplating elastomer-modified polyphthalamide articles. US Patent 5 928 727, assigned to Lacks Industries, Inc. (Grand Rapids, MI), 27 July 1999.
- 54. L. P. Donovan, E. Maguire, and L. A. Kadison. Pre-etch conditioning of polysulfone and other polymers for electroless plating. US Patent 4 125 649, assigned to Crown City Plating (El Monte, CA), 14 November 1978.
- 55. G. Poessnecker, J. Spindler, and E. Kinkelin. Low-melting copolyamide and their use as hot-melt adhesives. US Patent 6 590 063, assigned to EMS-Chemie AG (Domat/EMS, CH), 8 July 2003.
- N. N. Thermal decomposition incident. Investigation Report 2001-03-I-GA; NTIS number PB2002-107365, U.S. Chemical Safety and Hazard Investigation Board, National Technical Information Service, 5285 Port Royal Road, Springfield, VA 22161, June 2002.

مركبات الأراميد

الأراميد (Aramide) هي تسمية مختصرة يرجع أصلها إلى "پولي (أميد) عطري" من (Aromatic poly(amide)). لقد جرى وصف بوليميرات الپولي (أميد) (PA) العطريّة كلّياً في الستينيات من القرن الماضي 3-1. ولقد كان الهدف من ألياف الأراميد أن يستعاض بها عن أحزمة الفولاذ في إطارات السيّارات. مركّبات الأراميد مُستعرضة في الأدبيات 4-7.

إلى جانب بوليميرات البولي (أميد) العطريّة كلّياً، يُطلق وصف العطريّة على بوليميرات البولي(أميد) إذا كانت إحدى المركّبات التي تكوّنها عطريّة بطبيعتها 8. تقع هذه الأنواع من بوليميرات البولي(أميد) العطريّة جزئياً بين النايلون والأراميد. الفوائد الخاصيّة ببوليميرات البولي(أميد) العطريّة هي في كونها تتمتع بتقنيات بلمرة وتصنيع أسهل. لذلك إذا كانت خواص بوليميرات PA العطريّة جزئياً كافية لبعض التطبيقات الخاصيّة فيمكن استعمالها بدلاً من بوليميرات PA العطريّة كلّياً. نتعامل مع بوليميرات PA العطريّة جزئياً تعاملً هامشياً في هذا البحث، لقد جرى تلخيصها في بحث بولي(فتال أميد).

1.13. المونوميرات

يبين الجدول (13-1) المونوميرات في حالة پولي(أريل أميد). كما في حالة النايلون، تُستعمل المونوميرات كتجميع لثنائيات الأمين وثنائيات الحمض، أو مشتقات من ثنائيات الحمض. يجري تفعيل زمر الحمض عند تحويلها إلى مركبات كلوريد الحمض. يبين الشكل (13-1) أكثر مركبات كلوريد ثنائي الحمض شيوعاً. ويبين الشكل (13-2) أكثر مركبات ثنائي الأمين شيوعاً.

الجدول (1-13): مونوميرات في حالة بوليميرات پولي (أريل أميد)

ملاحظات	تنائيات الأمين
Kevlar®, Twaron®	4،1-فينيلين ثنائي الأمين
Nomex®	3،1-فينيلين ثنائي الأمين
Technora®	إيثر 4،3'-ثنائي أمينو ثنائي فينيل
أغشية 9	إيثر 4،4′-ثنائي أمينو ثنائي فينيل
	ثنائيات الحمض
Kevlar®, Twaron®	 کلورید ترفتالویل
	كلوريد إيزوفتالويل
أغشية	كلوريد 2-كلورو نزفتالويل
10 قابل للانحلال بمذيب عضوي	4،1-بيس (4-كربوكسي فينوكسي)نفتالين
10 قابل للانحلال بمذيب عضوي	6.2-بيس (4-كربوكسي فينوكسي)نفتالين
قابل للانحلال بمذيب عضوي	5- أمينو -2-(4- أمينو فينوكسي)- بيريدين
	AB_2 أنماط
بوليميرات فائقة التشعّب	حمض 3،2-بيس (4- أمينو فينيل)-كينوكز الين -6-كربوكسيليك
12	حمض 3،2-بيس (4-أمينو فينيل أوكسي
بوليميرات فائقة التشعّب 12	فينيل)-كينوكز الين -6- كربوكسيليك

الشكل (13-1): مركبات كلوريد ثنائي الحمض

$$H_2N$$
 NH_2 H_2N NH_2 NH_2

الشكل (13-2): مركبات ثنائى الأمين

تقبل بوليميرات PA العطريّة كلّياً المؤسسة على 4.1-بيس (4-كربوكسي فينوكسي) نفتالين أو 6.2-بيس (4-كربوكسي فينوكسي) نفتالين وثنائيات الأمين العطريّة الانحلال بيسر في تنوّع من المذيبات العطريّة مثل ثنائي ميثيل أسيتاميد و N-ميثيل -2-بيروليدون (NMP) 13,10 يبيّن الشكل (3-13) مونوميرات ثنائي الحمض المؤسّسة على النفتالين. يمكن صبّ أغشية شفافة متينة وطيّعة من محاليل هذه البوليميرات.

يمثّل 5- أمينو -2-(4- أمينو فينوكسي)-بيريدين نوعاً آخر من ثنائيات الأمين المستعملة في بوليميرات PA العطرية كلياً والقابلة للانحلال في مذيبات عضويّة 11. لا تتغيّر البنية الأساسيّة لبوليمير PA كثيراً. لاحظ أنّ 5- أمينو -2-(4- أمينو فينوكسي)- بيريدين يُشبه كثيراً إيثر 4،4/-ثنائي أمينو ثنائي فينيل. من الواضح أنّه يكفي إدخال بعض من عدم التناظر في الجزيئة لتحقيق قابليّة الانحلال. وبوجه أساسي، تبقى الخواص الحراريّة لمركّبات الأراميد الناتجة بدون تغيير.

لقد جرت الإشارة إلى بوليميرات مؤسسة على أنواع AB_2 ليجري استعمالها إلى جانب بوليميرات البيس ماليميد، بهدف بدء الإنضاج 11 . يبيّن الشكل (4-13) المونوميرات في حالة بوليميرات يولى (أريل أميد) الفائقة التشعّب.

4،1- بيس (4-كربوكسي فينوكسي)نفتالين

10 الشكل (3-13): مونوميرات ثنائيّة الحمض على أساس النفتالين

حمض 3،2- بيس (4- أمينو فينيل)- كينوكز الين -6- كربوكسيليك

حمض 3،2- بيس (4- أمينو فينيل أوكسي فينيل)- كينوكز الين -6- كربوكسيليك

الشكل (13-4): مونوميرات في حالة پولي(أريل أميد) الفائقة التشعّب 11

2.13. البلمرة والتصنيع

يجري تحضير البولي أميدات العطريّة باتباع أحد طريقين عاميّن رئيسيين 12:

تفاعل بلمرة بالتكاثف عبر كلوريد ثنائي حمض عطري وثنائي أمين،

2. تفاعل بلمرة بالتكاثف لحمض ثنائي كربوكسيليك وثنائي أمين.

إضافة إلى ذلك فقد جرى اقتراح طرق أخرى، يبدو أنها نادرة الاستعمال.

في حالة الطريق الأوّل، تجري البلمرة عادة عند درجة حرارة تساوي ℃ أو أقل من ذلك تحت جو من غاز خامل. هذا ضروري بسبب الحساسيّة العالية للرطوبة التي تمتلكها مركبّات كلوريد ثنائي الحمض العطري، والطبيعة الشديدة النشر للحرارة للتفاعل بين أمين وكلوريد حمض كربوكسيلي. وبهدف تحقيق وزن جزيئي مرتفع للبولي أميدات الناتجة، ينبغي تتقية مونوميرات كلوريد ثنائي الحمض قبل البلمرة.

إنّ مونوميرات حمض ثنائي الكربوكسيليك المستعملة في الطريق الثاني أرخص ثمناً، مقارنة بمونوميرات كلوريد ثنائي الحمض. إنّها أقل حساسيّة للرطوبة، ومن السهل تنقيتها عبر إعادة التبلّر. إلاّ أن تفاعل التكاثف يتقدم بوجه سيّئ تحت شروط درجات الحرارة المحيطة. لذلك يُستعمل معزّز على أساس الفوسفور، مثل ثلاثي فينيل الفوسفيت، لتنشيط الزمرة الكربوكسيليّة، ويُجرى التفاعل تحت درجات حرارة مرتفعة.

1.2.13. طريق كلوريد الحمض

يجرى اصطناع كيڤلار ®Kevlar بتكاثف 4،1-فينيلين ثنائي الأمين وكلوريد يجرى اصطناع كيڤلار (5-13) هذا الاصطناع. يُستعمل NMP بصفته مذيباً، إلى جانب ترفتالويل. يبيّن الشكل (5-13) هذا الاصطناع. يُستعمل (5-13) بصفته مُركّبة أيونيّة (5-13) تجري السيرورة عند (5-13) وقبل اكتشاف فائدة (5-13) بصفته مُركّبة أيونيّة (5-13) تجري السيرورة عند (5-13) وقبل اكتشاف فائدة (5-13) د جرى اقتراح استعمال مزيج من سداسي ميثيل فوسفور أميد و (5-13) د د (5-13)

2.2.13. طريق الحمض

يُطلق على تحضير الأميدات عبر الحمض الحرّ وثنائي الأمين والمحفّرات أيضاً اسم تفاعل يامازاكي (Yamazaki) 16 . تُستعمل المركّبات المحتوية على الفوسفور العضوي، مثل ثلاثي فينيل فوسفيت، بصفتها مُحفّرات. إضافة إلى مذيبات NMPبيريدين يجري حلُّ أملاح مثل $CaCl_2$ في LiCl و $CaCl_2$ لتسهيل البلمرة.

الشكل (5-13): اصطناع الأميدات من ثنائيات الأمين وثنائيات الكلوريد

ينبغي إجراء التفاعل عند درجات حرارة مرتفعة بهدف الحصول على بوليميرات مرتفعة الوزن الجزيئي. يُعطي حمض الإيزوفتاليك بوليميرات ذات أوزان جزيئية أعلى الى حدِّ ما من حمض الترفتاليك. إلاّ أنّه في بعض أنواع PA لا يجري الحصول إلاّ على منتجات ذات أوزان جزيئية منخفضة 17. في الحقيقة يُستعمل الطريق الحمضي هذا لتحضير بعض الأنواع الخاصة من البولي أميدات.

3.2.13. طريق أول أوكسيد الكربون

كما جرت الإشارة إليه سابقاً، يجري تحضير بوليميرات البولي أميد العطرية تقليدياً بتكاثف كلوريدات ثنائي الحمض العطري وثنائيات الأمين العطرية في مذيبات قطبية لا بروتونية. وإحدى سيئات مثل هذه السيرورات هي أنّ تنوّع مركبات البولي أميد العطرية محدود بالعدد الضئيل من مركبات كلوريدات ثنائي الحمض المتوفرة تجارياً. إضافة إلى ذلك فإنّ كلوريدات ثنائي الحمض حساسة جداً للحلمهة.

لذلك جرى اقتراح سيرورة تستعمل أول أوكسيد الكربون، وثنائي كلوريد عطري، وثنائي أمين. ويُستعمل معقد البالاديوم، كلوريد بيس (ثلاثي فينيل فوسفين) بالاديوم (II)، بصفته مُحفّز أً 18. يُحرِّض المحفّز كَرْبَلَة مركبّات كلور الأريل العطريّة (*).

^(*) الكَرْبَلَة تعنى إدخال وظيفة كربونيل على مركّب عضوي (المترجم).

4.2.13. بوليميرات اليولى (أميد) العطرية جزئياً

تتكوّن بوليميرات البولي أميد العطريّة جزئياً من وحدات مونوميريّة من حمض ثنائي كربوكسيليك عطري، وثنائي أمين. تتميّز عادة مركّبات البولي أميد هذه بارتفاع نقاط انصهارها، وارتفاع درجات حرارة انتقالها الزجاجي، وانخفاض امتصاصها للرطوبة، وتمتلك، بعكس مركّبات البولي أميد الأليفاتيّة مثل النايلون 6 والنايلون 66، استقراراً بُعديّاً جيّداً تحت شروط الرطوبة.

إنّ جمع شرطَي درجات الحرارة العالية والاستقرار البُعدي يجعل من مركبات البولي أميد العطريّة جزئياً موادّ مُناسبة في الإلكترونيات، وفي اللدائن الهندسيّة، والأغشية والألياف 19.

يمكن تحضير مركبات البولي أميد العطرية جزئياً من الحمض بدلاً من كلوريد الحمض في سيرورات متعددة المراحل. تُجرى المراحل الأولى على نحو البلمرة في الحالة الصلبة، وذلك في مراحل تزداد درجات حرارتها تدريجيًا، مع إمكانيّة اختيار التغذية بالمونوميرات بعد كل مرحلة تفاعل، وتتابع المراحل النهائيّة على شاكلة تفاعل تكاثف الصهارة 8.

بدلاً من ذلك، يمكن الاستعاضة عن الحموض بالإسترات الموافقة بصفتها مواد للبدء منها ¹⁹. تخفض أسترة حمض الكربوكسيلي المضاعف خفضاً مفيداً نقطة الانصهار إلى درجة حرارة تتيح صهر الحمض مع الإقلال من تفكّكه الحراري. وهذا ما يسهل إضافة ومزج مركّبة حمض ثنائي الكربوكسيليك، ومركّبة ثنائي الأمين في هيئة صهارة.

وأبعد من ذلك، تحتوي مركبات البولي أميد العطريّة جزئيّاً المكوّنة من هذه المواد على سلاسل ألكيل جانبيّة. تُسبب هذه السلاسل الجانبية انخفاض نقطة الانصهار في البولي أميد النهائي. لذلك يمكن تشغيل البولي أميد الناتج تشغيلاً أكثر يُسراً من بوليميرات البولي أميد الموافقة التي لا تحتوي على سلاسل ألكيل جانبيّة.

5.2.13. الألياف

تُنتج الألياف في واحد من ثلاثة أشكال أساسيّة:

- 1. خيوط متعددة الشعيرات مستمرة،
 - 2. تيلات (مقصوصة ومجعدة)،
 - 3. لب (قطع صغيرة ليفيّة).

1.5.2.13. الغزل

لقد جرى استعراض ألياف الأراميد في الأدبيات 20,5 . تُعاني بوليميرات PA العطريّة التقليديّة كونها لا تقبل الانحلال في المذيبات العضويّة. لذلك يجري غزل الألياف في حالة كيثلار ®Kevlar في حمض الكبريت المركّز بصفته مُذيباً. يجري تحضير مادّة الغزل المستعملة بمزج حمض الكبريت مع البوليمير عند 22,21 .

في سيرورة الغزل في الفجوة الهوائية، يُنفَثُ محلول الأراميد عبر فتحة المغزال. يكون وجه الفتحة فقط على تماس مع غاز، الهواء عموماً. وبعد أن يقطع المحلول الذي يأخذ شكل نفث رفيع مسافة قصيرة في الهواء يدخل في مادة مُخثّرة.

تستخلص المادّة المُخثّرة المُذيب من البوليمير مكوّنة بذلك أليافاً بوليميريّة 23. المادّة المُخثّرة هنا هي الماء. تُتيح إضافة كميات صغيرة من بوليمير خافض للسحب (Drag معدّل إنتاج أكبر، أو إنتاج ألياف بأقطار أصغر. ويُعتبر بولي (أوكسيد الإيثيلين) مُخفّضاً مُناسباً للسحب.

2.5.2.13. التعديل والمعالجة

لقد جرى وصف أقمشة مصنوعة من مزيج من ألياف الأراميد وألياف سيللوز مُقاوم للهب. إنّ خلائط الأقمشة هذه رائجة الاستعمال في ملابس الوقاية. وهي مريحة عند الاستعمال أكثر من الأقمشة المصنوعة من ألياف الأراميد وحدها 24.

تمتاك ألياف p-أر اميد بنية ليفيّة عالية الترتيب مع ميل إزاء تكوّن الوبر يُرْجَع إلى فقدان القوى الجانبيّة بين الجزيئات الضخمة. عندما يزداد المحتوى من الp-أر اميد في نسيج على نسبة 5 في المئة يزداد مدى التوبّر في ألياف الp-أر اميد، ويمكن للأوبار أن

تصبح ملحوظة وموضع اعتراض. لأنّه مع الاهتراء والسحج والغسل الذي تخضع له السلعة المنسوجة مع مضي الزمن، تفقد الأقمشة مظهرها الجمالي.

يمكن استرجاع مظهر القماش بمعالجة صباغيّة. يمكن وضع أجزاء الملابس العالية التايّف في حمام مائي مع صباغ أصفر أساسي 40 (Basic Yellow 40). وتبقى المواد على تماس مع محلول الصباغ المائي مدّة ثلاثين دقيقة، يلي ذلك معالجة بمحلول منظّف تركيزه 10 في المئة من الهكسيلين غليكول عند 60° C مدّة عشر دقائق. وأخيراً تُشطف المادّة شطفاً عميقاً بالماء وتجفّف 25.

يمكن إنتاج أقمشة أراميد مُعالجة لتصبح كارهة للماء بواسط عوامل نابذة للماء. كما إنّ إضافة عامل مُضاد للكهرباء الساكنة أمر مفيد أيضاً 26. العامل النابذ للماء هو مزيج من بوليميرات الفلورو أكريلات.

6.2.13. ورق الأراميد

يمكن للبّ ورق الأراميد أن يتكوّن من كلا شكلّي الأراميد ميتا وبارا. يمكن للألياف القصيرة، والتيلات، واللّب، والجسيمات البوليميريّة من الأراميد المنتبج بالماء أن تُستعمل مواد بدء لصنع ورق الأراميد. يجري صنع الورق بالطرائق التقليديّة.

يمكن أن يحتوي لُبّ ورق الأراميد كلاً من ندف الأراميد وأليافه. تسمّى الندف اليافاً قصيرة مقصوصة من ألياف أراميد أطول. يمكن الحصول على ورق عالى المسامية باستعمال مستويات أعلى من الندف بدلاً من الألياف 27.

المعالجة القلوية للّب تنتج ورقاً ذا مقاومة شدّ مُحسّنة 28. ويُعتقد أنّ المعالجة القلوية تسبب تفاعل تحلّل مائي لسطح البوليمير. وهكذا يصبح السطح محتوياً على كميّة زائدة من الزمر الأمينيّة. يمكن استعمال هذه المواد في مقابض الانزلاق.

يُستعمل لبّ الأراميد استعمالاً واسعاً بصفته بديلاً من الأسبستوس (الأميانت) 29. ويُستعمل ورق الأراميد بصفته ورقاً عازلاً. وفي هذه الحالة يمكن إقحام الميكا أو الكوارتز المطحون أو الألياف الزجاجية أو الألومينا أو التالك لتحسين خواص العزل. وبالمقابل، إذا جرى إقحام صفائح ألومينا أو هباب الفحم أو ألياف قصيرة من الفولاذ الذي لا يصدأ، حصلنا على ورق موصل كهربائياً. وكذلك يُستعمل ورق الأراميد كعامل تقوية في بنى خلايا النحل السداسية.

7.2.13. بنى خلايا النحل السداسية

تجد بنى خلايا النحل من الأراميد استعمالاً في صناعة الطيران، وفي تجهيزات النقل. تتمتّع صفائح بنى خلايا النحل من الأراميد التي تحتوي راتنجاً من نوع النايلون، وعلى الخصوص راتنج خليّة نحل من الـ p-أراميد، بخواص إبطاء اللهب، والمتانة وغير ذلك من الخواص الممتازة المرغوبة في قلب بنية خليّة نحل. إلا أن طريقة صنع بنى خلايا نحل من الأراميد هي سيرورة معقّدة. وهي مشروحة بالتفصيل في الأدبيات 31,30.

8.2.13. أغشية الأراميد

يجري إنتاج أغشية الأراميد بصب محلول للبوليمير في حمض الكبريت على حزام دوّار لا نهاية له. يحتوي المحلول إضافة إلى ما سبق على جسيمات مكروية من السيليكا لتحسين خواص السطح. تجري قيادة محلول الصب بعد تسخين مرحلي إلى حمّام تخثير، ويُحرر الغشاء من الحزام ويُعالج معالجة لاحقة 32.

من الممكن تكثيف الأراميد مباشرة في محلول NMP ثُمّ يُصب المحلول. تُتج هذه السيرورة مباشرة غشاء شفّافاً من سائل لزج لبولي أميد عطري بدون الحاجة إلى حلّ البولي أميد العطري في حمض الكبريت المركّز. لا تتطلّب هذه الطريقة أيّة تجهيزات مُقاومة للحموض وهي زهيدة الثمن 33.

ولقد جرى ذكر طريقة لإنتاج غشاء كما يلى 9 :

يُحَلِّ في NMP مقدار 0.85 مولاً من 2-كلورو -p-فينيلين ثنائي الأمين و 0.15 مولاً من إيثر 4،4/-ثنائي أمينو ثنائي فينيل. ويُضاف مقدار 0.985 مولاً من كلوريد 2-كلورو ترفتالويل. تنتهي البلمرة بعد مرور ساعتين. عندئذ يجري تعديل المحلول بواسطة هيدروكسيد الليثيوم. يُرشَّح المحلول البوليميري ويُصب على حزام دوّار. ويُبخر المذيب عند 160°C. ويمكن بشكل مستمر قشر غشاء بمحتوى بوليميري قدره 45 في المئة من الحزام. بعد ذلك يوجّه الغشاء إلى حمّام من NMP والماء الإزالة بقايا المذيب، والملح اللاعضوي، والشوائب. ثم يُشد الغشاء بين اسطوانتي شدّ بالاتجاه الطولي بنسبة شدّ قدرها 1.20

تطبيقات الأغشية هي في:

- وسائط التسجيل المغناطيسي.
- الأغشية الصوتية في مكبرات الصوت.
 - التطبيقات الإلكترونية.

 34a الجدول (2-13): خواص أحد ألياف الأراميد

الواحدة	القيمة	الخاصية
g cm ⁻³	1.44	الكتلة الحجميّة
		اختبار مباشر على خيوط مهيّأة
MPa	70500	طويلة الشد
%	3.6	الاستطالة عند الكسر
MPa	2900	تماسك الكسر
$J kg^{-1} K^{-1}$	1.42	السعة الحراريّة (25°C)
$Wm^{\scriptscriptstyle -1}K^{\scriptscriptstyle -1}$	0.04	الموصليّة الحراريّة
°C	482 – 427	درجة حرارة التحلّل (هواء)

a مركّب DuPont ،Kevlar بي 29

3.13. الخواص

يبيّن الجدول (13-2) خواص أحد ألياف الأراميد. ونجد جداول موسّعة عن الاستقرار الكيميائي في الأدبيات 34. تمكن كَلْوَرة نومكس ®Nomex بدون تفكّك ملموس، إلا أن كيفْلار ®Kevlar يتحلّل تحت شروط الكلورة نفسها. ولقد أظهرت تجارب على مركبات نموذجيّة أنّه عند المعالجة بحمض تحت كلوري تجري أكسدة كسرة الـــp-ثنائي أمينو فينيلين إلى مركب كينون مرحلي غير مستقر. وبالمقابل فإنّ آليّة مثل هذا التفاعل غير ممكنة في حالة نومكس ®Nomex.

1.3.13. الخواص الميكانيكيّة

تُقارَن مُقاومة الشدّ لمركبات الأراميد بتلك الموافقة للمعادن المصبوبة. وهي إضافة إلى ذلك تُبدي زحفاً ضئيلاً تحت الإجهاد وامتصاصاً ضعيفاً للماء. لذلك تُعتبر هذه المواد مُناسبة للاستعاضة بها عن المعادن.

في حالة معدّلات التحميل العالية يمكن أن يحدث ازدياد في جساءة المادّة ومقاومتها مقارنةً بسلوكها في الحالة الساكنة. يُسمّى هذا الأثر مفعول معدّل الاجهاد. إنّ هذا المفعول مهمّ في حسابات تحريك العناصر المنتهية. في الحقيقة، بأخذ هذا المفعول بعين الاعتبار يمكن تصميم المادّة لتكون أكثر خفّة. لقد جرى إثبات مفعول معدّل الاجهاد في حالة بنى خلايا النحل من ورق الأراميد 36.

1.1.3.13. خواص الاحتكاك والاهتراء

غالباً ما تُستعمل المواد المركبة المحتوية على الأراميد في تطبيقات الزلق. ويُعتبر تقدير الخواص الاحتكاكية لمثل هذه المواد المركبة والتنبؤ بها مهارة مرغوبة. وعلى الرغم من الاستعمال المتزايد للمواد المركبة البولميرية إلا أن المعرفة حول سلوكها إزاء الاحتكاك محدودة، وتفتقد إمكانية التنبؤ.

لقد أجريت دراسات باستعمال جهاز مسمار على قرص لشرح السلوك إزاء الاحتكاك للمواد المركبة البوليميريّة المحتوية على الأراميد. تضمّ هذه الدراسات اعتبارات نظريّة، ويمكن أن تفيد كتوجّهات حول كيفيّة الحصول على معلومات عن خواص الاحتكاك والاهتراء جراء الاحتكاك في منظومات مماثلة أخرى 37.

2.1.3.13 خواص سلوك الصدم

لقد أصبحت مسائل الصدم تحظى بأهميّة متزايدة في الصناعة، فيما يتعلّق بقضايا الأمان. يجب أن يأخذ المُصمّم في الحسبان الأحمال العرضيّة المُفاجئة الواقعة على المواد بنتيجة سقوط أشياء عليها أو الاصطدامات أو الانفجارات. وعلى الخصوص، فيما يتعلّق بمواد الأراميد، تُعتبر تطبيقات الوقاية من القذائف قضيّة مهمّة. ينبغي أن تتمتّع المواد بميّزة امتصاص الطاقة الحركيّة.

هناك طرائق اختبار قياسيّة لاختبار مقاومة الصدم تحت شروط عاديّة ^{39,38}. وإضافة إلى ذلك هناك مقيس ISO يتعلّق بمقاومة الملابس الواقية من الطلقات ⁴⁰، ولكن يلاحظ عدم وجود مقيس ASTM يتعلّق بهذا الموضوع.

في اختبارات المقذوفية النقليدية، يُطلق المقذوف على هدف ثابت، مكون من المادة التي يجري اختبارها، وتُدرس بقايا الطاقة الحركية. تستعمل نقنية مُطورة حديثاً لدراسة المواد المنخفضة الوزن أسلوب الصدم المقذوفي المعكوس. بعكس الاختبار التقليدي، يتحرب الهدف ويبقى المقذوف ثابتاً 41. يُستعمل الآزوت من أسطوانات غاز مضغوط تجارية مُسرِّعاً. يمكن الوصول إلى سرعات حوالى 400 ms⁻¹، وذلك تبعاً لطبيعة الغاز وضغطه.

وكمثال على النتائج التي وصلت إليها الدراسة، فقد وُجد أنّه مقارنةً باختبارات الإطلاق القياسيّة بطلقات طريّة، فإنّ لوحات الأراميد المنسوجة تمتلك مقاومة أفضل بقليل من اللوحات المُحاكة بكثافة مساحيّة متقاربة 41.

2.3.13. الخواص الحرارية

يساعد التميّع المرتفع لمركبات الأراميد عند درجات الحرارة المرتفعة في صنع الأجزاء الرقيقة بتقنيات القولبة بالحقن التقليديّة. وتبقى خواص التدفّق محفوظة حتى عند محتوى مرتفع من الألياف الزجاجيّة يصل إلى 60 في المئة.

3.3.13. الخواص البصرية

إن مركب الأراميد حسّاس للضوء فوق البنفسجي. ولقد جرت دراسة مفاعيل مُحاكاة الإشعاع الشمسي فوق البنفسجي على الخواص الميكانيكيّة والبنيويّة لألياف أحد بوليميرات بولي (p-فينيلين ترفتال أميد) 42. يسبّب الإشعاع فوق البنفسجي تدهور السطح ومناطق العيوب في الألياف عبر تقطّع السلاسل المُحرّض ضوئياً.

ينخفض كلِّ من تماسك الشعيرات، وامتطاطها عند الكسر، وطاقة الكسر انخفاضاً سريعاً وشبه خطّي. بعد 144 ساعة من التشعيع تنخفض طاقة الكسر تحت 40 في المئة من قيمتها عند البدء. تحدث أكسدة للزمر النهائية في الهواء. في حين تبقى البنية البلّورية على حالها تقريباً.

4.13. الإضافات الخاصة

1.4.13. المثبتات إزاء الأشعة فوق البنفسجية

تمتلك ألياف الأراميد بطبيعتها مُقاومة ضعيفة للضوء فوق البنفسجي. لذلك تُغيّر الأقمشة المصنوعة من ألياف الأراميد لونها عند تعرّضها للضوء فوق البنفسجي. وإضافة إلى ذلك هناك نقص محسوس في مقاومة القماش. لذلك غالباً ما تُضمَّن ماصات الأشعّة فوق البنفسجيّة أو الواقيات الضوئيّة داخل ألياف الأراميد أثناء التصنيع، أو تُستعمل لمعالجة ألياف الأراميد أناها.

في سيرورة صباغة النسيج الطبيعيّة، تخترق جزيئات الصباغ الألياف وتُصبح مُحتجزة داخلها. ويمكن بدلاً من ذلك أن ترتبط جزيئات الصباغ كيميائياً مع الألياف. إلا أنّه من الصعب صباغة ألياف الأراميد باستعمال التقنيات التقليديّة.

وعليه، فإنه لا يمكن بسهولة تحقيق استقرار ألياف الأراميد إزاء الأشعة فوق البنفسجية عن طريق استعمال ماصات الأشعة فوق البنفسجية أو الواقيات الضوئية في حمّام الصباغ. وفعلياً، لا تُحسن سيرورة الصباغ الطبيعية استقرار ألياف الأراميد إزاء الأشعة فوق البنفسجية.

تتضمّن طباعة الألوان على الأقمشة طباعة مادّة ملوّنة غير قابلة للانحلال على القماش. إنّ الصباغ، الذي لا يمتلك أي إلفة نحو ألياف القماش، يلتصق على القماش بواسطة رابط راتنجي، ولقد تبيّن أنّه يمكن لصباغ مُناسب أن يؤدي دور عامل استقرار إزاء الأشعة فوق البنفسجيّة 43. المواد التي تؤدي دور رابط راتنجي هي بوليميرات أكريليك مشتركة، أو لاتكس الستيرين-بوتاديين، أو بوليميرات نتريل مُعدّلة.

ولقد جرى استعمال تيتانات رباعي بوتيل كطليعي محلول-هلام لطلاء نانوي من ${
m Ti}\,{
m O}_2$ لألياف أراميد. ولقد ارتفع الاستقرار الضوئي لألياف الأراميد بهذه المعالجة ${
m ^{44}}$.

2.4.13. المُعدِّلات الموصلة كهربائياً

غالباً ما تكون هناك حاجة لتفريغ أو تشتيت شحنات كهربائية من على السطوح البوليميرية. ومن المرجّح أن مركبات الأراميد تجمع الشحنات الكهربائية. لذلك، هناك

تهديد متأصل بحدوث شرارات عند التفريغ. يمكن إضافة بوليمير پولي (أنيلين) المُسلفن إلى الأراميد بهدف زيادة الموصليّة الكهربائيّة 46,45.

ليست الموادُ المركبة الموصلة كهربائياً المُحضرة بهذه الطرائق موصلةً بالقدر اللازم لتحقيق تدريع كاف إزاء التداخل الكهرطيسي. الطلي اللا كهربائي أكثر فعالية في إنتاج مركبات أراميد موصلة. إذ يمكن الحصول على ألياف عالية الموصلية الكهربائية. تُشرب الألياف بمعقدات معدنية باستعمال ثاني أوكسيد الكربون فوق الحرج.

تُتشَّط المعقدات المعدنيّة بالإرجاع بالهيدروجين، ثُمَّ تُغمس في محلول طلي لا كهربائي. لقد استعملت السيرورة معقّد بالاديوم (II)-سداسي فلورو أسيتيل أسيتونات. يمكن تتشيط معقّد البلاديوم بغياب الهيدروجين ⁴⁷. وهذا ما يقلّل من خطر حدوث انفجار في سيرورة نقنيّة.

5.13. تطبیقات

تشتهر ألياف الأراميد لتطبيقاتها في السترات الواقية من الطلقات، التي تُسمّى عموماً باسم السلع القماشيّة الواقية من المقذوفات 49,48. وهناك تطبيقات أقل إثارة في مجال صناعة السيارات، والحقول الكهربائيّة والإلكترونيّة. كما إنّها تُستعمل في التجهيزات الطبيّة. يُلخّص الجدول (13-3) بعض الاستعمالات النوعيّة.

الجدول (13-3): مجالات استعمال مركبات الأراميد

أمثلة	الاستعمال
صفيحات الكوابح، بطانات، وجوه القوابض	مو اد الاحتكاك
	مانعات تسرّب
تعويضات، رباط عظم ليفي	تطبيقات طبية
كبلات ألياف بصريّة	تطبيقات بصرية
ورق عزل، ورق احتكاك	ورق
إطفاء النيران، الوقاية من القص والمقذوفات	تطبيقات الوقاية
الإطارات، الأنابيب	ألياف تقوية
	الحبال والكبلات
الأشرعة، خيوط مضارب كرة المضرب	التجهيزات الرياضية

1.5.13. مواد الاحتكاك

عند تصنيع مواد الاحتكاك، يجري خلط مواد مسحوقية ومواد ليفية في آن معاً. أما المواد الرابطة فتتكون من راتنجات فينولية. تُمثّل راتنجات الميلامين أو الإبوكسي أو البولي (إيميد) مواد رابطة بديلة.

في هذه الأيام، بدلاً من الأسبستوس، تُستعمل مُقويّات ليفيّة تشتمل على الألياف الزجاجيّة، وألياف الفولاذ، وألياف الأراميد، وألياف تيتانات البوتاسيوم، وغيرها. ولأن لهذه المقويّات الليفيّة خواصّها النوعيّة الخاصّة بها، يجري عملياً استعمال خليط منها 50. إنّ ألياف تيتانات البوتاسيوم ألياف لا عضويّة، يمكنها تحسين المقاومة الميكانيكيّة والمقاومة الحراريّة ومُقاومة الاهتراء لمواد الاحتكاك. وهي إضافة إلى ذلك تُحسّن مُعامل الاحتكاك للمادة عبر خاصيّة حتّها.

تضم مُعدِّلات الاحتكاك معدِّلات احتكاك لاعضوية مثل الألومينا أو السيليكا أو المغنزيا أو الزيركونيا أو أوكسيد الكروم أو الكوارتز، كما تضم معدِّلات احتكاك عضوية مثل المطاط الاصطناعي أوغبار الكاجو. يؤدي الغرافيت أو ثنائي سلفيد الموليبدينيوم دور مُزلَق صلب. وتزيد ألياف النحاس الموصليّة الحراريّة للتشكيلة.

يبين الجدول (13-4) المركبات الأساسيّة في مادّة احتكاك. تُنضّج الصياغات تحت ضغط عال ودرجات حرارة عالية. ولقد وُجدَ أنّه من الواجب استعمال سداسي تيتانات البوتاسيوم وثُماني تيتانات البوتاسيوم في آن معاً، بهذه الطريقة يمكن تحسين أداء المزيج تحسيناً ملحوظاً.

2.5.13. مانعات التسرّب

نحتاج إلى مانعات التسرب وغيرها من وسائل الإحكام في العديد من التطبيقات حيث يجب إحكام الوصلات بين السطوح المتجاورة لمنع تسرب السوائل أو الغازات 51.

تتكوّن المواد المركبة المستعملة في المانعات المصنوعة بانباع سيرورة الوضع المبلّل، من مُركبة من الألياف منثورة بانتظام ضمن حاضنة مطاطية رابطة، إلى جانب موالئ صلبة مُحسِّنة للخواص 52.

 50 المركّبات في مادّة احتكاك المركّبات المركّبات في مادّة احتكاك المركّبات المر

*	
النسبة المئويّة	المركّبة
10	راتنج فينولي
10	غبار كاجو
25	كبريتات الباريوم
2	زيركونيا
8	غر افیت
10	ألياف نحاس
5	ألياف أراميد
15	ألياف سداسي تيتانات البوتاسيوم
15	ألياف ثماني تيتانات البوتاسيوم

المحتوى من الألياف هو حوالى 5-15 في المئة. والمحتوى من الرابط المطاطي هو أيضاً حوالى 5-15 في المئة ، والبقيّة موالئ. تُستعمل ألياف الأراميد في الموانع المُقوّاة بالألياف بدلاً من ألياف الأسبستوس. أما المواد الرابطة فهي عادة مطّاط اصطناعي. يبيّن الجدول (5-15) المركّبات المعتادة في تشكيلة مانعة تسرّب.

 52 المركبات في تشكيلة موانع

المركّبة	النسبة المئويّة
أر اميد	7.6
NBR مُهدر	7.6
ترفتالات الك	30.4
كاؤولين	38
مواد أخرى	15
راتنج فينولي	2

^a غرافيت، قرميكوليت، ثلاثي هيدرات الألمنيوم، هيدروكسيد المغنزيوم.

3.5.13. مواد التقوية

إن ألياف الأراميد واسعة الاستعمال بصفتها ألياف تقوية في المواد المركبة العالية الأداء. إحدى سيّئاتها هي سوء التصاقها بالحاضنة البوليميريّة. وهذا ناجم عن عدم وجود

زمر وظيفيّة في البوليمير 53. للتغلّب على عدم الالتصاق هذا، تُعالج الألياف بما يُسمّى صياغات الإنهاء، والتي هي أساساً مُعالجة للسطوح.

لقد جرت معالجة حبال الإطارات من الأراميد بالتخريش ببلازما الأرغون ثم بالبلمرة بالبلازما للأسيتيلين. يؤدي الجمع بين التخريش ببلازما الأرغون والبلمرة ببلازما الأسيتيلين إلى تحسين كبير في قوّة النسل من الإطار لتصبح 91N بدلاً من 34N في حالة حبال الأراميد غير المُعالجة. وهكذا فإنّ المُعالجة بالبلازما تُحسّن الالتصاق مع المركبات المطاطيّة 54.

ولقد جرت الإشارة إلى تعديل للسطح بوساطة المعالجة بالبلازما باستعمال غاز الأوكسجين 55. مُباشرة بعد المُعالجة بالبلازما، تُبدي الألياف المُعالجة زوايا تماس مع الماء أصغر، ومحتوى سطحياً أعلى من الأكسجين والآزوت، ومُقاومة قص ً أعلى للسطح البيني مع راتنجات الإبوكسي. وبعد التقادم، تبقى الألياف مُحافظة على الخواص المُحسنة إلى حد ما.

يمكن اختبار فعاليّة عمليّة الإنهاء هذه بطرائق متنوعة، تشمل 53:

- تحليل تركيب السطح بمطيافية الأشعة الأشعة السينية الفوتو إلكترونية،
 - قياسات زوايا التماس.
 - اختبارات سحب ليف وحيد.
 - الاختبار الميكانيكي للمواد المركبة.

4.5.13. حوامل المُحفّزات

المحفزات ذات الحوامل اللاعضوية هي في أغلب الأحيان تقيلة ويصعب التعامل معها. وهي عموماً تأخذ شكل جسيمات صغيرة، ونجد من نوعها جسيمات ناعمة وغبار. غالباً ما تكون هذه المُحفزات هشّة أو يمكن أن تصبح كذلك مع الاستعمال. يمكنها أن تتكسر أو تتفتّت مسبّبة زيادة بمقادير انخفاض الضغط أونقصاناً بمردود التفاعل الكيميائي الذي جرى تصميمها لتحفيزه.

لقد جرى تقديم بوليمير p- أراميد بصفته حاملاً لعامل تحفيز للعديد من التفاعلات ⁵⁶. يبدي التركيب نشاطاً تحفيزياً مُحسّناً مقارنةً بحوامل عوامل التحفيز من بوليمير m- أراميد. يلتصق عامل التحفيز الفعلى على الحامل أو في داخله.

إنّ تقنية توضيع أو إقحام عامل التحفيز، أو طليعي عامل التحفيز، على البوليمير الحامل تعتمد على تركيب المُحفّر. إذْ لا تحتمل جميع المواد النشطة تحفيزياً الشروط اللازمة لغزل بوليمير الـp-أراميد، أو لصب أغشية من بوليمير الـp-أراميد. في هذه الحالات يُفضل أن يجري صنع تركيبة المُحفّر بتوضيع عامل التحفيز المرغوب أو طليعي عامل التحفيز على سطح بوليمير الـp-أراميد.

تُمثّل مُحفّزات البالاديوم لتفاعل إزالة هالوجين الهيدروجين، ومحفّزات تفاعلات هدرجة المركّبات العضويّة أمثلة على محفّزات حواملها بوليميرات الـq-أراميد.

5.5.13. المركبات الطليعية لألياف الكربون

لقد جرى اقتراح بولي (m-فينيلين إيزوفتال أميد) وغيره من الأراميدات بصفتها مركبات طليعيّة لمواد كربون منشّط 5⁷. تُبدي هذه المواد مسامات مكرويّة ذات قياسات متجانسة جداً. تجعل هذه الخاصيّة تلك المواد قابلة للاستعمال بصفتها مواد ممتزّة، أو مناخل جزيئيّة، أو محفّزات، أو مسار.

يمكن تنشيط ألياف الكربون المشتقة من پولي -mفينيلين إيزوفتال أميد) بتوضيع بخار الكربون من البنزين. إنّ ألياف الكربون المنشطة مناسبة للاستعمال كمناخل جزيئية لفصل الهواء -58. يمكن الحصول على ألياف الكربون من الأراميد بالتحلل الحراري عند -850. حمكن إجراء التحلّل الحراري في جو من الأرغون أو من -850.

يمكن تشريب الألياف تشريباً مسبقاً بحمض الفوسفور H_3PO_4 . يؤدي بخار الماء و CO_2 و H_3PO_4 دور منشّطات. يُحوّل التنشيط زمر الأميد في طليعة البوليمير إلى وظائف آزوت غير متجانسة التوزيع ومعقّدة 59 .

6.5.13. خزّانات الوقود الفائق البرودة

إنّ خزانات الوقود الفائق البرودة مُركبات أساسيّة في أنظمة النقل الفضائي. يجب أن تتحمّل خزانات الوقود الفائق البرودة الضغط العالي، والحمولات على بنيتها الخارجيّة، وأن تُقاوم التسرّب، وتعمل في مجال واسع من درجات الحرارة. تُبدي مركبات الأراميد مجالاً واسعاً من درجات حرارة الخدمة، وهي لذلك مرشّحة لمثل هذه التطبيقات. لقد جرى اختبار تنوّع واسع من مواد الأغلفة والنوى من جهة نفاذيّة الهليوم 60. ولقد تبيّن أن نومكس ®Nomex أفضل من كيڤلار ®Kevlar. إذْ يمكن تحقيق مستوى منخفض من النفاذيّة بما يلاقي الاحتياجات.

7.5.13. مركبات الأراميد الفائقة التشعب

عند استعمال مونوميرات من النمط AB_2 تتكوّن بوليميرات فائقة التشعّب عند البلمرة 12 . تُستعمل هذه البوليميرات لبدء بلمرة بيس مالإيميد. كما إنّ زيادة متانة بوليميرات التصليد الحراري مثل بوليميرات البيس مالإيميد والإيبوكسي تُمثّل تطبيقاً آخر لهذه البوليميرات.

6.13. الموردون والعلامات التجارية

تتوفّر مركبات الأراميد بأنواع مختلفة. تشمل هذه الأنواع:

- الأراميدات المُقواة بألياف الزجاج،
 - الأراميدات المملوءة بالفلزات،
- الأراميدات المجهّزة بمبطّئات لهب،
- وأنواع الأراميدات المعدلة للصدم.

تُسلّم الألياف بشكل لُبّ، وهي ألياف مقصوصة ومنقّاة ذات مساحة سطح مرتفعة. يُستعمل اللب كإضافات خاصنة تُحسّن الأداء بتقديمها تقوية ممتازة. يمكن تحقيق تقوية ميكانيكيّة منخفضة الوزن بواسطة شعيرات مستمرّة. كما تتوفّر نوى ذات بنى خلايا النحل لصناعات الطيران والفضاء. تُستعمل الخيوط المغزولة لطلاءات الوقاية 63.

يبين الجدول (13-6) الموردين والعلامات التجارية. تُستعمل ألياف الأراميد في عدد كبير من الحاضنات البوليميرية كألياف تقوية، هذه الأنواع ليست مشمولة في الجدول (13-6). ويبين الجدول (13-7) الأسماء التجارية الواردة في المراجع.

الجدول (13-6): أمثلة على بوليميرات بولي (أريل أميد) المتوفرة تجارياً

ملاحظات	المُنتج	الاسم التجاري
أغشية p-أراميد	Asahi	Aramica®
	Chimvolokno JSC	Aramos®
	Kolon Industries, Inc.	Heracron®
ألياف أراميد مُقوّاة	A.L. Hyde Co.	Hydlar®
	Slovay Advanced Polymers	Ixef®
ألياف p- أراميد	DuPont	Kevlar®
أغشية p-أراميد	Toray Industries	Mictron®
ألياف m-أراميد	DuPont	Nomex®
	^{62,61} Termotex Co. Mytishchi	Rusar®
أر اميد مُعدّل بالكبريت	Teijin Chemicals	Sulfron®
	Teijin Chemicals	Technora®
ألياف m- أر اميد	Teijin Chemicals	Teijinconex®
أقمشة أراميد، وأقمشة خلائط أراميد	Difco Performance Fabrics, Inc.	Thermatex®
	Teijin Twaron B. V.	Twaron®

7.13. الأمان

لقد جرى توثيق دراسات سميّة استنشاق المواد اللييفيّة (Fibrils) المصنوعة من p-أراميد 65 . لقد اكتُشفت بعض الاستجابات، إلاّ أنّ تفسيرات هذه الدراسات بقيت موضع جدل. هناك بعض الأدلّة على التفكّك الحيوي للجسيمات ذات الشكل الليفي والحجم الممكن استنشاقه من الp-أراميد p-أ، وهو مفهوم جرى تدعيمه في دراسات لاحقة p-أ، في الحقيقة، تشير بطاقات معطيات الأمان إلى احتمال إصابة الرئة، إذا جرى استنشاق غبار الألياف فترة طويلة من الزمن. ومن جهة أخرى، لا تُعتبر مركّبات الأراميد خطرة عند تماسها مع الجلد أو ابتلاعها.

الجدول (13-7): الأسماء التجاريّة الواردة في المراجع

المُورِّد	الاسم التجاري
	الوصف
Amoco	Amodel® 1000
	پولی (فتال أمید) ⁶⁴
Micro-coax, DuPont	Aracon®
	ألياف كڤلار مطليّة بالمعدن ⁴⁷
BASF AG	Basofil®
	ألياف راتنج الميلامين ⁴³
Shaw Industries	Caprolan®
	نايلون 6 ⁴⁸
Amoco	Amodel® X 4000
	بوليمير مشترك ثلاثي من سداسي ميثيلين ترفتالاميد إيزوفتالاميد
	أديباميد 65\35 ⁹
Union Carbide Corp.	Carbowax® (Series)
	پولي (اپثيلين غليكول) (PEG) (PEG)
Teijin	Conex®
DD4	m- أر اميد ⁵⁶ ®Kevlar
DuPont	@Reviar أر اميد 56,48,47,43,30
Shell	ار امید ®Kraton
Sileii	المناطقة المناطقة المتعارضية الم
Clairan GmbH	بوتيمير مسترك على العالب سيريني Leomin® AN
Chairair Cinicii	، ١٦٠ مستومين مزلّق أولبيل فوسفونات، مساعد في الصناعة النسيجيّة ²⁶
DuPont	Nomex®
	m- أر اميد 48,43,24
Ciba	OLEOPHOBOL® (Series)
	بوليمير فلورو أكريلات، نابذ للزيت والماء ²⁶
Union Carbide Corp.	Polyox® 301
	پولي (أوكسيد الإيثيلين) ²³
Teijin Twaron B. V.	Twaron®
	أراميد 43,42,26

8.13. الأثر البيئي وإعادة التدوير

تقليدياً كان الأسبستوس يُستعمل في مواد الاحتكاك كمكابح السيارات، ومركبات القوابض بسبب متانته وعدم قابليّته للاحتراق. ولقد جرى منع استعمال الأسبستوس في العديد من الدول. ولقد تزايد استعمال الأراميد كمادة بديلة من الأسبستوس. الأراميد مادّة متينة ليفيّة اصطناعيّة يُعتقد أنّها أكثر أماناً على الصحة من الأسبستوس.

لقد جرى تطوير طرائق للتمييز بين الأسبستوس والأراميد 68. تعتمد هذه الطريقة على حك عينة من المادة المجهولة بمادة مرجعية. ثُمّ يجري قياس الكهرباء الساكنة الناتجة في موقع الحك.

وبهدف تطوير تطبيقات لهباب الفحم، جرى تطوير مواد مركبة احتكاكية لكوابح السيّارات. وهي مؤسّسة على قاعدة راتنجات فينوليّة، ولبّ الأراميد، والألياف الزجاجيّة، وتيتانات البوتاسيوم، والغرافيت، وألياف الألمنيوم، ومسحوق النحاس إضافة إلى هباب الفحم 69.

المراجع

- H. W. Hill, Jr., L. S. Kwolek, and W. P. Morgan. Polyamides from reaction of aromatic diacid halide dissolved in cyclic nonaromatic oxygenated organic solvent and an aromatic diamine. US Patent 3 006 899, assigned to Du Pont, 31 October 1961.
- 2. L. S. Kwolek, W. P. Morgan, and R. W. Sorenson. Process of making wholly aromatic polyamides. US Patent 3 063 966, assigned to Du Pont, 13 November 1962.
- 3. H. F. Mark, S. M. Atlas, and N. Ogata. "Aromatic polyamide." *Journal of Polymer Science*: vol. 61, 1962, S49–S53.
- 4. H. H. Yang. Kevlar Aramid Fiber. Chichester: John Wiley and Sons, 1993.
- 5. S. S. Kathiervelu. "Aramid fibers." Synthetic Fibres: vol. 32, 203, pp. 12–15.
- 6. Y. Imai. "Recent advances in synthesis of high-temperature aromatic polymers." *Reactive and Functional Polymers*: vol. 30, nos. 1-3, June 1996, pp. 3–15.
- 7. S. Reboullai. "Aramids." In: J. W. S. Hearle, ed., *High-performance fibres*, Woodhead Publishing Limited series on fibres. Boca Raton, FL: CRC Press, 2004, pp. 23-61.

- 8. M. Kosaka, Y. Muranaka, and K. Wakatsuru. Process for preparing aromatic polyamides. US Patent 6 133 406, assigned to Mitsui Chemicals, Inc. (Tokyo, JP), 17 October 2000.
- 9. A. Tsukuda, T. Ieki, and Y. Nakajima. Highly size-stabilized polymer film and magnetic recording medium using the film. US Patent 6 797 381, assigned to Toray Industries, Inc. (Tokyo, JP), 28 September 2004.
- G.-S. Liou, S.-H. Hsiao, and J.-C. Yang. Organic soluble wholly aromatic polyamides and preparation of the same. US Patent 5 856 572, assigned to Industrial Technology Research Institute (Hsinchu, TW), 5 January 1999.
- 11. I. In and S. Y. Kim. "Soluble wholly aromatic polyamides containing unsymmetrical pyridyl ether linkages." *Polymer*: vol. 47, no. 2, January 2006, pp. 547–552.
- 12. J.-B. Baek and L.-S. Tan. Quinoxaline-containing AB2 monomers for hyper-branched aromatic polyamides. US Patent 6 552 195, assigned to The United States of America as represented by the Secretary of the Air Force (Washington, DC), 22 April 2003.
- 13. G.-S. Liou and Y.-T. Chern. "Synthesis and properties of new polyarylates from 1,4-bis(4-carboxyphenoxy)naphthyl or 2,6-bis(4-carboxy-phenoxy)naphthyl and various bisphenols." *Journal of Polymer Science Part A: Polymer Chemistry:* vol. 37, 1999, pp. 645–652.
- L. Vollbracht and T. J. Veerman. Process for the preparation of poly-pphenyleneterephthalamide. US Patent 4 308 374, assigned to Akzo N.V. (Arnhem, NL), 29 December 1981.
- 15. H. Blades. High strength polyamide fibers and films. US Patent 3 869 429, assigned to E. I. du Pont de Nemours and Company (Wilmington, DE), 4 March 1975.
- N. Yamazaki and F. Higashi. "New condensation polymerizations by means of phosphorus compounds." In: A. Berlin, ed., *Polymerization Processes*, *volume 38 of Advances in Polymer Science*. Berlin: Springer, 1981, pp. 1-25.
- 17. G. Keil, K. Heinrich, and P. Klein. Wholly aromatic polyamide. US Patent 4 987 216, assigned to Hoechst Aktiengesellschaft (Frankfurt am Main, DE), 22 January 1991.
- R. J. Perry. Preparation of aromatic polyamides from carbon monoxide, a diamine and an aromatic chloride. US Patent 5 693 746, assigned to Eastman Chemical Company (Kingsport, TN), 2 December 1997.
- 19. H. Ng. Partially aromatic polyamides and a process for making them. US Patent 6 355 769, assigned to DuPont Canada, Inc. (Mississauga, CA), 12 March 2002.
- 20. V. Gabara, J. D. Hartzler, K.-S. Lee, D. J. Rodini, and H. H. Yang. "Aramid Fibers." In: M. Lewin, ed. *Handbook of Fiber Chemistry, volume 16 of International Fiber Science and Technology Series*. 3rd ed. London: Taylor and Francis, 2007, chap. 13, pp. 975-1029.

- D. R. Owens. Process of wet spinning polyamides and prevention of gel formation. US Patent 3 154 610, assigned to Celanese Corp., 27 October 1964.
- 22. H. T. Lammers. Process for the manufacture of fibres from poly-*p*-phenylene terephthalamide. US Patent 4 320 081, assigned to Akzo N.V. (Arnhem, NL), 16 March 1982.
- 23. S. D. Ittel and H. Shih. Air gap spinning process for aramids. US Patent 5 393 477, assigned to E. I. Du Pont de Nemours and Company (Wilmington, DE), 28 February 1995.
- 24. F. Lapierre. Fabric blends of aramid fibers and flame resistant cellulosic fibers. US Patent 6 576 025, assigned to Difco Performance Fabrics, Inc. (North Charleston, SC), 10 June 2003.
- 25. P. D. Yarborough and H. M. Ghorashi. Process for restoring the natural appearance of para-aramid clothing. US Patent 6 669 741, assigned to E. I. du Pont de Nemours and Company (Wilmington, DE), 30 December 2003.
- C. K. Böttger, R. Hartert, K. R. Stolze, J. Jager, H. van de Ven, and P. G. Akker. Method for producing a hydrophobically finished aramid fabric and use thereof. US Patent 7 132 131, assigned to Teijin Twaron GmbH (Wuppertal, DE), 7 November 2006.
- L. J. Hesler and S. C. Park. Aramid papers containing aramid paper pulp. US Patent 5 026 456, assigned to E. I. Du Pont de Nemours and Company (Wilmington, DE), 25 June 1991.
- 28. H. Werlich, W. Zwilling, and U. Wecker. Process for preparing *p*-aramide paper, *p*-aramide pulp, and the use of the paper and the pulp. EP Patent 1 277 880, assigned to Teijin Twaron Gmbh (DE), 22 January 2003.
- 29. M. Iwama and T. Takahashi. Process for preparing para-aromatic polyamide paper. US Patent 6 942 757, assigned to Teijin Twaron B.V. (Arnhem, NL), 13 September 2005.
- 30. P.-Y. Lin. High shear modulus aramid honeycomb. US Patent 5 137 768, assigned to E. I. Du Pont de Nemours and Company (Wilmington, DE), 11 August 1992.
- 31. K. Nomoto. Aramid honeycombs and a method for producing the same. US Patent 6 544 622, assigned to Showa Aircraft Industry Co., Ltd. (Tokyo, JP), 8 April 2003.
- 32. T. Yamada and M. Nakatani. Aromatic polyamide film, method for producing the same, and magnetic recording medium and solar cell using the same. US Patent 5 853 907, assigned to Asahi Kasei Kogyo Kabushiki Kaisha (Osaka, JP), 29 December 1998.
- 33. K. Akiyoshi, K. Iwasaki, M. Niwano, and Y. Ohbe. Process for producing aromatic polyamide film. US Patent 5 659 007, assigned to Sumitomo Chemical Company, Limited (Osaka, JP), 19 August 1997.

- 34. Anonymous. Kevlar® aramid fiber. Technical Guide H-77848 4/00, DuPont Advanced Fibers Systems, Richmond, VA, 2001. [electronic] http://www2.dupont.com/Kevlar/en_US/tech_info/index.html>.
- 35. A. Akdag, H. B. Kocer, S. D. Worley, R. M. Broughton, T. R. Webb, and T. H. Bray. "Why does kevlar decompose, while nomex does not, when treated with aqueous chlorine solutions?." *Journal of Physical Chemistry B*: vol. 111, 2007, pp. 5581–5586.
- 36. S. Heimbs, S. Schmeer, P. Middendorf, and M. Maier. "Strain rate effects in phenolic composites and phenolic-impregnated honeycomb structures." *Composites Science and Technology*: vol. 67, no. 13, October 2007, pp. 2827–2837.
- 37. T. Ø. Larsen, T. L. Andersen, B. Thorning, A. Horsewell, and M. E. Vigild. "Comparison of friction and wear for an epoxy resin reinforced by a glass or a carbon/aramid hybrid weave." *Wear*: vol. 262, nos. 7-8, March 2007, pp. 1013–1020.
- 38. Test methods for determining the izod pendulum impact resistance of plastics. ASTM Standard ASTM D256-06a, ASTM International, West Conshohocken, PA, 2007.
- 39. Plastics -determination of Charpy impact properties -part 1: Non-instrumented impact test. ISO Standard 179, International Organization for Standardization, Geneva, Switzerland, 2005.
- 40. Protective clothing -body armour -part 2: Bullet resistance; requirements and test methods. ISO Standard ISO/FDIS 14876-2, International Organization for Standardization, Geneva, Switzerland, 2002.
- 41. M. Hockauf, L. Meyer, F. Pursche, and O. Diestel. "Dynamic perforation and force measurement for lightweight materials by reverse ballistic impact." *Composites Part A*: vol. 38, no. 3, March 2007, pp. 849–857.
- 42. H. Zhang, J. Zhang, J. Chen, X. Hao, S. Wang, X. Feng, and Y. Guo. "Effects of solar uv irradiation on the tensile properties and structure of PPTA fiber." *Polymer Degradation and Stability*: vol. 91, no. 11, November 2006, pp. 2761–2767.
- 43. G. M. Kent, K. L. Johnson, D. R. Gadoury, and R. L. Mumford. Ultraviolet stability of aramid and aramid-blend fabrics by pigment dyeing or printing. US Patent 6 451 070, assigned to BASF Corporation (Mount Olive, NJ), 17 September 2002.
- 44. Y. Xing and X. Ding. "Uv photo-stabilization of tetrabutyl titanate for aramid fibers via sol-gel surface modification." *Journal of Applied Polymer Science*: vol. 103, 2007, pp. 3113–3119.
- 45. C.-H. Hsu. Electrically conductive fibers. WO Patent 9 722 740, assigned to Du Pont (US), 26 June 1997.
- 46. J. D. Hartzler. Electrically-conductive para-aramid pulp. US Patent 6 436 236, assigned to E. I. du Pont de Nemours & Company (Wilmington, DE), 20 August 2002.

- 47. X. Zhao, K. Hirogaki, I. Tabata, S. Okubayashi, and T. Hori. "A new method of producing conductive aramid fibers using supercritical carbon dioxide." *Surface and Coatings Technology*: vol. 201, nos. 3-4, October 2006, pp. 628–636.
- 48. D. C. Prevorsek, G. A. Harpell, and D. Wertz. Ballistic resistant fabric articles. US Patent 5 677 029, assigned to AlliedSignal Inc. (Morristown, NJ), 14 October 1997.
- 49. Chitrangad. Aramid ballistic structure. US Patent 6 030 683, assigned to E.du Pont de Nemours and Company (Wilmington, DE), February 29, 2000.
- 50. A. Hikichi, M. Haruta, and K. Horiguchi. Friction material. US Patent 6 670 408, assigned to Akebono Brake Industry Co., Ltd. (Tokyo, JP), 30 December 2003.
- 51. J. H. Bickford, editor. Gaskets and Gasketed Joints. New York: Marcel Dekker, 1998.
- 52. R. P. Foster. Gasket material. US Patent 5 240 766, assigned to Hollingsworth & Vose Company (East Walpole, MA), 31 August 1993.
- 53. P. J. de Lange, P. G. Akker, E. Mader, S.-L. Gao, W. Prasithphol, and R. J. Young. "Controlled interfacial adhesion of twaron(r) aramid fibres in composites by the finish formulation." *Composites Science and Technology*: vol. 67, no. 10, August 2007, pp. 2027–2035.
- 54. H. M. Kang, T. H. Yoon, and W. J. Van Ooij. "Enhanced adhesion of aramid tire cords via argon plasma etching and acetylene plasma polymerization." *Journal of Adhesion Science and Technology*: vol. 20, 2006, pp. 1155–1169.
- 55. Y. Ren, C. Wang, and Y. Qiu. "Influence of aramid fiber moisture regain during atmospheric plasma treatment on aging of treatment effects on surface wettability and bonding strength to epoxy." *Applied Surface Science*: vol. 253, no. 23, September 2007, pp. 9283–9289.
- 56. T. A. Koch, V. Gabara, E. W. Tokarsky, and J. J. McEvoy. Aramid polymer catalyst supports. US Patent 6 159 895, assigned to E. I. du Pont de Nemours and Company (Wilmington, DE), 12 December 2000.
- S. Villar-Rodil, F. Suárez-García, J. I. Paredes, A. Martínez-Alonso, and J. M. D. Tascón. "Activated carbon materials of uniform porosity from polyaramid fibers." Chemistry of Materials: vol. 17, no. 24, 2005, pp. 5893–5908.
- 58. S. Villar-Rodil, A. Martinez-Alonso, and J. M. D. Tascon. "Carbon molecular sieves for air separation from nomex aramid fibers." *Journal of Colloid and Interface Science*: vol. 254, no. 2, October 2002, pp. 414–416.
- 59. J. Boudou, P. Parent, F. Suarez-Garcia, S. Villar-Rodil, A. Martinez-Alonso, and J. Tascon. "Nitrogen in aramid-based activated carbon fibers by tpd, xps and xanes." *Carbon*: vol. 44, no. 12, October 2006, pp. 2452–2462.
- 60. M. Bubacz, A. Beyle, D. Hui, and C. C. Ibeh. "Helium permeability of coated aramid papers." *Composites Part B*: vol. 39, no. 1, January 2008, pp. 50–56.

- I. V. Tikhonov. "New organic materials with improved consumer properties and articles made from them." *Fibre Chemistry*: vol. 30, no. 5, September 1998, pp. 312–317.
- 62. I. V. Slugin, G. B. Sklyarova, A. I. Kashirin, and L. V. Tkacheva. "Rusar para-aramid fibers for composite materials for construction applications." *Fibre Chemistry*: vol. 38, 2006, pp. 25–26.
- 63. DuPontTM Kevlar®. [electronic], http://www2.dupont.com/Kevlar/en_US/products/ index.html>, 2007.
- 64. R. G. Keske. Partially aromatic polyamides having improved thermal stability. US Patent 5 962 628, assigned to BP Amoco Corporation (Chicago, IL), 5 October 1999.
- 65. D. B. Warheit. "A review of inhalation toxicology studies with para-aramid fibrils." *Annals of Occupational Hygiene*: vol. 39, no. 5, October 1995, pp. 691–697.
- 66. D. B. Warheit, K. L. Reed, K. E. Pinkerton, and T. R. Webb. "Biodegradability of inhaled *p*-aramid respirable fiber-shaped particulates (RFP): Mechanisms of RFP shortening and evidence of reversibility of pulmonary lesions." *Toxicology Letters*: vol. 127, nos. 1-3, February 2002, pp.259–267.
- 67. D. B. Warheit, K. L. Reed, J. D. Stonehuerner, A. J. Ghio, and T. R. Webb. "Biodegradability of para-aramid respirable-sized fiber-shaped particulates (RFP) in human lung cells." *Society of Toxicology*: vol. 89, 2006, pp. 296–303.
- 68. G. L. Hearn, J. A. Amner, and P. J. Walker. Method and apparatus to identify asbestos and aramid. US Patent 6 144 208, assigned to Ford Global Technologies, Inc. (Dearborn, MI), 7 November 2000.
- 69. S. Mohanty and Y. Chugh. "Development of fly ash-based automotive brake lining." *Tribology International*: vol. 40, no. 7, July 2007, pp. 1217–1224.

بوليميرات البولي (أميد إيميد)

لقد جرى استعمال بوليميرات البولي (أميد إيميد) (PAI) في نهاية الستينيات من القرن الماضي بصفتها مواد لطلاء الأسلاك $^{1-8}$. وسرعان ما جرى أخذ هذه البوليميرات بعين الاعتبار في تطبيقات الطيران 4 . ولقد جرت مناقشة تنوّعات على هذه البوليميرات ذات وحدات يوريثان ووحدات إستر. والآن تتوفر أنواع متنوّعة تصلح للبثق وللقولبة بالحقن. كما توجد في الأسواق أنواع صالحة للتصليد الحراري. تقع بوليميرات البولي موقع الوسط في خواصها بين بوليميرات البولي (أميد) (PA) وبوليميرات البولي (إيميد) (PI).

1.14. المونوميرات

يلخّص الجدول (1-14) المونوميرات الشائعة. ويبيّن الشكل (1-14) ثنائيات الحمض المستعملة في حالة البولي (أميد إيميد)، في حين يبيّن الشكل (1-12) ثنائيات الأمين وثنائيات الإيزوسيانات، ويبيّن الشكل (1-13) مُركّبات أخرى.

أنهيدريد حمض ثلاثي ميليتيك

الشكل (1-14): ثنائيات الحمض المستعملة في حالة اليولي (أميد إيميد)

$$H_2N$$
 H_2 H_3C H_2 H_3C H_3 H_3C H_3 H_3

الشكل (2-14): ثنائيات الأمين وثنائيات الإيزوسيانات المستعملة في حالة البولي (أميد إيميد)

3.5'5'5'- رباعي ميثيل -2.2- بيس [4-(4- أمينو - فينيوكسي) فينيل]بروبان

$$H_2N$$
 $COOH$

حمض 3- أمينو بنزويك

حمض 4-(۵-میثیل نادیمیدو)- بنزویك

حمض 2-(4-كربوكسي فينيل)-3،1- ثنائي أوكسو إيزوندولين -5-كربوكسيليك

أوكسي - بيس (N-(4- فينيلين)- ثلاثي ميليتيك إيميد)

الشكل (14-3): أحماض أمينو وإيمينو مستعملة في حالة البولي (أميد إيميد)

إنّ أنهيدريد ثنائي الحمض الوحيد ذا الأهميّة العمليّة هو أنهيدريد حمض ثلاثي ميليتيك. يجري إنتاج حمض ثلاثي الميليتيك عن طريق أكسدة شبه الكومين 12 . ويُحضّر حمض 12 -ميثيل ناديميدو)-بنزويك من حمض 12 -أمينوبنزويك وأنهيدريد 12 -ميثيل ناديك 12 .

أمّا أوكسي-بيس (N-(4-فينيلين)-ثلاثي ميليتيك إيميد) فهو ناتج تكاثف أنهيدريد حمض ثلاثي الميليتيك وإيثر 4،4'-ثنائي أمينو ثنائي فينيل 6 . ويمكن تحضير مركبات بيس إيميد مُشابهة من أنهيدريد حمض ثلاثي ميليتيك و MDI أو 4،4'-ثنائي أمينو ثنائي فينيل ميثان أو ثنائي أمين إيزوفورون.

إن إيثر ثنائي أمينو ثنائي فينيل هو اسم آخر 4،41'-أوكسي ثنائي الأنيلين (ODA). تُحضر هذه المركبات بعمليّة تقطير مرتد لأمينوفينات معدن قلوي مع كلورو نترو بنزين في ثنائي ميثيل فورماميد 13. يُحضر إيثر 4،3'-ثنائي أمينو ثنائي فينيل بتفاعل نزع الهيدروجين من 3-أمينو -2-حلقي هكسين -1-أون 14.

الجدول (1-14): مونوميرات في حالة بوليميرات بولي (أميد إيميد)

المر اجع	تنائيات الحمض والأنهيدريدات
6,5	أنهيدريد حمض ثلاثي ميليتيك
	ثنائيات الأمين
7,6	ثنائي أمينو ثنائي فينيل اپثر
5	ثنائي إيزو سياناتو ثنائي فينيل ميثان (MDI)
6	m-فينيلين ثنائي الأمين
8	2،2′- ثنائي ميثيل -4،4′-بيس (4- أمينو فينيوكسي)بيفينيل
9	5،1-بيس (3- أمينو فينيل)-4،1- بنتاديئين -3- أون
10	إيزو فورون ثنائي الأمين
	أحماض أمينو وإيمينو
11	حمض 3- أمينو بنزويك
5	
6	أوكسي - بيس (N-(4- فينيلين)- ثلاثي ميليتيك إيميد)
9	حمض 2-(4-كربوكسي فينيل)-3،1- ثنائي أوكسو إيزو إندولين -5-كربوكسيليك

يمتلك مركّب 2.2- ثنائي ميثيل -4.4- بيس (4- أمينو فينيوكسي) بيفينيل كسرة بيفينيلين ثنائية الاستبدال وغير واقعة في مستو واحد ووحدات أريل مرنة. لن يغيّر ضمّ البيفينيلين، ثنائي الاستبدال إلى السلسلة البوليميريّة، البنية على شكل قضيب للسلسلة البوليميريّة الرئيسيّة، ولكنّه سيُقلّل التفاعلات المتبادلة بين السلاسل. فينخفض الميل نحو التبلّر وكذلك درجات حرارة الانتقال الزجاجي، في حين تتحسّن الانحلاليّة 8.

يُحضّر ثنائي الأمين بتقارن 2° -ثنائي ميثيل بيفينيل -4° -ديول مع -2° -كلورو نيترو بنزين. بعد ذلك يجري إرجاع زمر النترو. لأسباب مُماثلة جرى تقديم نيترو بنزين. بعد ذلك يجري إ -4° -رباعي ميثيل -2° -بيس -4° -رباعي ميثيل -2° -بيس -4° -بيس -4° -بيس -4° -بيس -4° -بيس وقد جرى تحضير بوليميرات قابلة للانحلال في مونوميراً ثنائي الأمين -4° - ولقد جرى تحضير بوليميرات قابلة للانحلال في -4° - ميثيل -4° -بيروليدون -4° - وثنائي ميثيل أسيتاميد -4° - بيروليدون -4° - ثنائي ميثيل أسيتاميد -4° - ثنائي ميثيل فورماميد، و -4° - وبيريدين، ورباعي هيدروفوران.

يمكن تحسين الانحلاليّة في المذيبات اللابروتونيّة بإدخال زمر إيثر وألكيل مرنة 16. ولقد جرى اصطناع مباعدات أوليغو إيثريّة بتكاثف أنهيدريد حمض ثلاثي ميليتيك مع 8.1-ثنائي أمينو -6.3-ثنائي أوكسا أوكتان.

2.14. البلمرة والتصنيع

يمكن تحضير بوليميرات PAI بتكاثف أحادي أنهيدريد لحمض ثلاثي الكربوكسيليك، وثنائي أمين أولي. وكذلك يمكن تحضير PAI بتفاعل كلوريدات حمض ثنائي الكربوكسيليك وثنائيات الأمين. هنا إما أن تكون ثنائيات الأمين أو هاليدات ثنائي الحمض محتوية أصلاً على روابط إيميد، والأمر نفسه في حالة روابط الأميد. عادة يجري الحصول على بوليمير PAI التقليدي بتفاعل كميات متساوية مولياً من أنهيدريد هاليد حمض ثلاثي الميليتيك وثنائي أمين 17.

1.2.14. طريق الإيزوسيانات

يشتمل طريق الإيزوسيانات على تكاثف ثنائي إيزوسيانات عطري مع أنهيدريد حمض ثلاثي الكربوكسيليك عطري ليعطي بوليمير PAI دون بوليمير بولي (حمض أميك) كناتج وسطي 18. يمكن أن يواجه طريق الإيزوسيانات بعض المشاكل إذ يمكن أن يحدث تهلّم أثناء التفاعل. وأكثر من ذلك فإنه من الصعب الحصول على بوليميرات خطيّة عالية الوزن الجزيئي بسبب تكوّن نواتج جانبيّة 6. وتنشأ عند البلمرة بالترسيب لمركبات ثنائي الإيزوسيانات العطريّة مشاكل في الأمان في بيئة العمل وفي التكافة، وذلك لأنّ التفاعل يجري باستعمال مركبات نترو سامّة أو مذيبات سلفو لان باهظة الثمن 19.

تمتلك راتنجات PAI المُحضرة بهذه الطريقة انسيابيّة صهارة ضعيفة، وقابليّة تشغيل سيئة، إضافة إلى خواص ميكانيكيّة ومقاومة حراريّة سيئة أيضاً 6. ولكن عند استعمال مركّبات إيزوسيانات أوليغوميريّة، يمكن اصطناع أنواع من PAI ذات ذات مقاطع طريّة، يمكن استعمال هذه الأنواع في أغشية النفاذ البخاري، وذلك بهدف تفصيل الخواص حسب الحاجة 20.

2.2.14. طريق كلوريد الحمض

تتكوّن طريقة كلوريد الحمض من تكاثف كلوريد حمض ثلاثي الكربوكسيليك عطري مع ثنائي أمين عطري. يمكن تجزئة هذه الطريقة إلى 6 :

- 1. طريقة بلمرة محلول متجانس في درجة حرارة منخفضة،
 - 2. طريقة بلمرة بالترسيب في درجة حرارة منخفضة.

مثال نموذجي على طريقة بلمرة محلول متجانس في درجة حرارة منخفضة هو تفاعل البلمرة بدرجة حرارة الغرفة في مذيب قطبي لا مائي مثل DMAC.

تشتمل طريقة البلمرة بالترسيب في درجة حرارة منخفضة على تفاعل بلمرة في مذيب عضوي يقبل بصعوبة الانحلال في الماء، مثل ميثيل إيثيل كيتون، وفي مذيب مائي باستعمال ثلاثي إيثيل أمين بصفته متقبّلاً حمضياً. هذا التفاعل هو نوع من طرائق البلمرة في السطح البيني 6.

3.2.14. طريق البلمرة المباشرة

تشتمل طريقة البلمرة المباشرة على بلمرة مباشرة لثنائي أمين عطري مع أنهيدريد حمض ثلاثي الكربوكسيليك عطري بوجود مُحفّز إزالة ماء. تضمّ مُحفّزات إزالة الماء كلاً من ثلاثي فينيل الفوسفيت، وثلاثي فينيل الفوسفات وثلاثي -n-بوتيل فوسفيت 11. يجري حذف الماء بالتسخين لأعلى من 200° C في تيّار من الآزوت. يمكن إجراء العمليّة في مرحلتين، باستعمال مُحفّز مختلف في كلّ مرحلة 19.

وبدلاً من ذلك يمكن استعمال تقنية التكاثف الأزيوتروبي لإزالة الماء. في طريقة البلمرة المباشرة المُعدّلة هذه يجري تكاثف إيثر ثنائي أمينو ثنائي فينيل، و m-فينيلين ثنائي الأمين (MPD) وأنهيدريد حمض ثلاثي ميليتيك بنسبة قدرها 1mol من مركب ثنائي الأمينو و 2mol من مركب الأنهيدريد في NMP باستعمال الكزيلين لإزالة الماء المتكون. يُعالَج حمض ثنائي إيميد ثنائي كربوكسيليك الناتج بكلوريد الثيونيل ليتشكّل كلوريد الحمض مباشرة ويتكون PAI بإضافة مزيج من إيثر ثنائي أمينو ثنائي فينيل و MPD 6.

يمكن تحضير بوليمير PAI ذي سلسلة رئيسيّة مُحدّدة من النمط رأس-إلى-ذيل بتكاثف أنهيدريد حمض ثلاثي ميليتيك مع إيثر 4-أمينو -4'-نيترو ثنائي فينيل. ثُمّ يجري إرجاع زمرة النيترو لتعطي مونوميراً ذا زمر وظيفيّة أمينية وحمضية. ثُم يُخضع هذا المونومير لتفاعل بلمرة مباشر 21. تفيد هذه السيرورة في تحضير بوليميرات لا متناظرة. كما إن مركبّات 3-نيتروأنيلين و 2-ميثيل -5-نيتروأنيلين و 3-نيتروميزيدين، أي 6،4،2-ثلاثي مثيل -3-نيترو أنيلين، هي مركبّات أخرى ذات زمر أمينو وزمر نيترو.

4.2.14. البلمرة بالأمواج المكروية

يبيّن الشكل (14-4) مونميرات لأنواع PAI النشطة ضوئياً. يجري تحضير ثنائي الأمين النشط ضوئياً بزمرة نفتالينيك جانبيّة عن طريق تفاعل 1-نفتالدهيد مع كلوريد السلفوريل، متبوعاً بالتكاثف مع 6،4،2-ثلاثي أمينو -5،3،1-تريازين ²². وفي دراسة مشابهة، جرى استعمال إيثر 4،4/-ثنائي أمينو ثنائي فينيل بصفته ثنائي أمين، وجرى استعمال وحدة فينانثرين بدلاً من وحدة نفتالين ²³.

لقد جرت محاولة إيميدة المونوميرات المبيّنة في الشكل (14-4) بطرائق تقليديّة. ولكنّ التفاعل لا يتقدّم حتى عند تطبيق أزمنة تفاعل طويلة، ودرجات حرارة مرتفعة، وتكاثف آزيوتروبي. إلا أن تطبيق تشعيع بأمواج مكرويّة يُنتج بوليميرات بمردود كمّي ولزوجة جوهريّة مرتفعة في زمن قصير.

الشكل (4-14): مونوميرات في حالة PAI النشطة ضوئياً

إنّ اختيار المذيب المناسب أمر أساسي. فالتقارن مع التشعيع المكروي يزداد مع ثابت العزل الكهربائي. واستعمال كميّة ضئيلة من مذيب قطبي، يجري تسخينه عند تشعيعه في فرن أمواج مكرويّة يجعله يؤدي دور:

1. ماص أولي،

2. مذیب.

ولقد وُجد أن ٥-كريزل يمثّل إضافة جيّدة بوجه خاص في حالة تكاثف مركبات الأنهيدريد مع الأمينات ^{25,24}.

5.2.14. بوليميرات يولى (أميد إيميد) ذات النهايات المُغطاة

يمكن تحسين الكمال الحراري ومقاومة المذيبات تحسيناً كبيراً بتغطية وحدات الأميد أيميد في السلسلة الرئيسيّة بمونوميرات يمكن تشبيكها 26.

وإذا جرى استعمال فائض من ثنائي الأمين، يمكن تغطية زمر الأمينو النهائية الحرة، مثلاً بواسطة أنهيدريد الناديك أو أنهيدريد المالييك. يمكن تشبيك هذه المواد عبر زمر الفينيل التفاعلية بواسطة تفاعل تصليد حراري.

ولقد جرى تطوير طرائق اصطناع مثل هذه المواد المغطّاة النهايات استُعملَت فيها ثنائيات إيزوسيانات وأنهيدريدات أحماض عطريّة 5 . ولقد اقتُرحَ أنّه يمكن مزج تنوّع واسع من المواد الأوليغوميريّة ذات الزمر الوظيفيّة المختلفة، وذلك لتفصيل خواص المُنتجات التي يجري إنضاجها 26,17 .

6.2.14. بوليميرات پولي (أميد إيميد) غير المُشبعة

لقد جرى تحضير PAI غير مُشبع من 5،1-بيس (3-أمينوفينيل)-4،1-بنتاديئين -3-أون وحمض 2-(4-كربوكسي فينيل)-3،1-ثنائي أوكسو إيزو إندولين -5-كربوكسيايك 9. يفيد كلوريد الثيونيل في تنشيط زمرة الحمض بصفتها كلوريد حمض مرحلي. ويُستعمل كلوريد الليثيوم كمحفّز مشترك. يجري التفاعل عند درجات حرارة $0-5^{\circ}$ 0. تُبدي البوليميرات درجة حرارة انتقال زجاجي قدرها 0-2000. ويمكن تحقيق تشبيك البوليمير بواسطة ثنائي بنزويل بيروكسيد، فترتفع عندئذ درجة حرارة الانتقال الزجاجي إلى 0-2350.

7.2.14. المزائج

تُبدي المزائج من بوليمير PAI وبوليمير پولي (أريل إيثر كيتون) مقاومة مذيب مُحسنة، إضافة إلى استقرار إزاء التحلل المائي ²⁷. لقد جرى اختبار المزائج من پولي (إيثر إيثر كيتون) المسلفن وPAI كمواد للأغشية للاستعمال في خلايا الوقود بالميثانول المباشر ^{29,28}. يمكن الحصول على خلائط قابلة للامتزاج. ولقد جرت الإشارة إلى مزائج من پولي (يوريثان) (PU) وPAI بصفتها المركبات الصغرى في تطبيقات الأغشية ³⁰. إن الأغشية الناتجة لا تقبل الامتزاج. ويحدث انفصال في الطور عند انخفاض كمبة PU.

8.2.14. الرغويات

يؤدي تكوين رغويات من PAI إلى رغويات مُقاومة للحرارة. هناك رغويات أخرى مصنوعة من أنواع أخرى من البوليميرات. نجد في الجدول (14-2) مقارنة بين مساوئ وحسنات رغويات نموذجية مُقاومة للحرارة المرتفعة.

يُنظر إلى رغويات راتنج PI كواحدة من أكثر المواد قابليّة للتطبيق بسبب استقرارها الحراري الممتاز وتبطيئها للّهب. وتستهدف الأبحاث تحسين الخواص الفيزيائيّة، وتبسيط سيرورة تحضيرها. ومن ناحية أخرى، تُبدي راتنجات PAI مقاومة حراريّة أفضل من راتنجات يولى (إيثر إيميد). وإضافة إلى ذلك فإنّ معالجة صهارتها وتشغيلها أسهل.

 10 الجدول (2-14): حسنات وسيئات رغويات مُقاومة للحرارة

البوليمير	الحسنات	السيئات
پولي (اِيزوسيانورات)	خواص ميكانيكيّة جيدة، تبطيء لهب، استقرار	مقاومة حراريّة سيئة
	مورفولوجي، زهد الثمن	
پولي (بنزي إيميدازول)	مقاومة حراريّة ممتازة	مقاومة أكسدة سيئة
پولي (اپيميد)	مقاومة حراريّة ممتازة، تبطيء لهب، خواص	باهظ الثمن
	كهربائية جيدة، نفاذيّة منخفضة.	
پولي (أميد إيميد)	متانة، مقاومة ميكانيكيّة جيدة	

1.8.2.14 تكوين الرغويات بأسلوب فيزيائى مستمر

لقد كانت بوليميرات PAI ذات البنى الخلوية معروفة لفترة طويلة، وجرت ملاحظتها في مراحل مختلفة من تحضير البوليمير أو تشغيله 31. في الحقيقة، في عدد من الحالات لا يكون تكون الرغويات مرغوباً أو مقصوداً. فمثلاً، لقد كان معلوماً لعدة سنوات أن الرغويات من PAI يمكن أن تتشكّل عند انطلاقه من فوهة برميل الحقن، في آلة قولبة بالحقن. ولذلك نجد مجموعة من النشرات العلميّة تهدف إلى تعليم كيفيّة منع تكون هذه الرغويات 33,32.

تُبدي الرغويات المُنتجة بالصدفة وبدون قصد بنيةً غير منتظمة، ذات خلايا مفتوحة ومتصلة، وذات قياسات عشوائية وتختلف الفراغات فيها شكلاً، وقياساً وتوزيعاً من منطقة في المادة الرغوية إلى أخرى.

ومن جهة أخرى، يمكن إنتاج الرغويات من PAI بشكل مقصود. فمثلاً يمكن الحصول على بنية رغوية وخواص مرضية بتسخين مسحوق PAI من تورلون ®Torlon التجاري في قالب مُغلق إلى درجة أعلى من درجة انتقاله الزجاجي لزمن كاف حتى يلين وتنصهر جسيماته 31. ثمّ تقوم المواد الطيّارة المُمتصة بجعل البوليمير يتمدّد ويملأ القالب. تتراوح أزمنة الإقامة في القالب من عدّة دقائق إلى عدّة ساعات. بعد التسخين يُبررد القالب إلى ما تحت درجة الانتقال الزجاجي. فتتصلّب الكتلة الخلوية المتمدّدة ويجري الحصول على سلع رغوية ذات شكل مطابق للتجويف في القالب. يُشار إلى هذه التقنية أحياناً باسم تكوّن الرغوة بالارتفاع الحر المقيّد أو تكوّن الرغوة بالتمدّد الحر المقيّد. تُستعمل هذه التقنية لتصنيع سلع رغوية ذات أشكال هندسية بسيطة مثل اللوحات أو الأوراق أو اللّبنات. يمكن أيضاً الحصول على سلع رغوية بتقنيات البثق.

2.8.2.14. تكوين الرغويات كيميائياً

تكوين رغويات ما قبل البوليمير. لقد جرى تطوير ما قبل بوليميرات من PAI لنتيح تقنيات تكوين رغوة بسيطة. تتميّز هذه الأنماط بانخفاض لزوجة صهارتها. يُساهم استعمال ثنائي أمين الإيزوفورون في PAI في خفض لزوجة الصهارة بسبب انخفاض كثافة التعبئة العائد إلى مستبدلات الميثيل الثلاث 10.

تُحضر الرغويات بأسلوب مماثل لراتنجات PI عن طريق تسخين ما قبل بوليمير بولي (أميد حمض أميك). يُسبّب الماء أثناء النفاعل الرغوة. وتفصيلاً تتكوّن السيرورة من:

- 1. طحن راتنج ما قبل بوليمير پولي (أميد حمض أميك)، إلى قياس قدره حوالى 400μm
 - 2. ترقيق مسحوق پولي (أميد حمض أميك)، وتوزيعه بانتظام في القالب،
 - 3. ضغط،
 - 4. تكوين رغوة تحت ضغط قدره 200 kp cm⁻² عند درجة حرارة 4.

تُحضر ما قبل البوليميرات من مزيج من ثنائي أمين الإيزوفورون بنسبة 30 في المئة موليّاً و ODA بنسبة 70 في المئة موليّاً، في DMAC، ثُمّ يُفاعل المزيج مع كميّات ستوكيومتريّة من كلوريد أنهيدريد حمض ثلاثي ميليتيك عند $0-10^{\circ}$. وأخيراً يُضاف ثلاثي إيثيل أمين بصفته صياد حمضي.

تمكن إضافة أنهيدريد الأسيتيك (أنهيدريد حمض الخل) والبيريدين كمُحفّرات تفاعل بهدف إيميدة بولي (أميد حمض أميك) إذا شئنا. درجة حرارة الانتقال الزجاجي ليوليميرات PAI $0.1-0.5\,\mathrm{g\,cm^{-3}}$ في $270-320\,\mathrm{cm^{-3}}$ يُظهر الجدول (14-3) خواص المواد النهائيّة تبعاً لدرجة إيميدتها.

الجدول (3-14): خواص الرغويات ¹⁰

	الرء	الإيميدة	درجة
الخواص	الكثافة	الدرجة \[%]	الزمن \[h]
اسفنج مرن	0.15	24.3	0
اسفنج جاسئ	0.38	63.6	12
لا اسفنج	_	79.6	24

تكون رغويات من الإيزوسياتات. بدلاً من ذلك، يمكن تحضير رغويات PAI من تفاعل إيزوسيانات متعددة الوظائف مع أحماض إيميدو كربوكسيلية 35,34. يُحفَّز التفاعل بواسطة أمينات ثالثية. ونحصل على أفضل النتائج من ثنائي إيزوسيانات بوليميريّة من نوع MDI. ويمكن إضافة خافضات التوتّر السطحي لتحسين انتظام المادّة الرغويّة وتخفيف الفراغات وغير ذلك من العيوب 34.

3.14. الخواص

تقبل مُعظم أنواع PAI القولبة بالحقن، وهي مواد لامتبلّرة متلدّنة حرارياً. وهي تمتص الماء عند إخضاعها لبيئة رطبة، أو عند غمسها بالماء. يُعطي الجدول (4-14) خواص نوع من PAI عامّ الاستعمال.

1.3.14. الخواص الميكانيكية

تُبدي بوليميرات PAI مُقاومة ميكانيكيّة عالية عند درجات حرارة عالية تصل حتى يُبدي بوليميرات PAI مُقاومة ممتازة للزحف (التشوّه تحت الإجهاد) وللاهتراء تحت هذه الشروط. لذلك تُستعمل هذه المواد في الأجزاء الدوّارة والزالقة في التطبيقات الصناعيّة وفي صناعة السيارات، مثل الحمّالات والبطانات وحلقات الإحكام وحلقات المكابس 37. ولا حاجة إلى مُزلّقات خارجيّة.

الجدول (**4-14**): خواص 4301 ® Torlon الجدول

المقياس	الواحدة	القيمة	الخاصة
ASTM D792	g cm ⁻³	1.46	الكثافة
ASTM D570	%	0.28	امتصاص الماء، 24 ساعة
ASTM D638	MPa	6830	معامل الشد
ASTM D638	MPa	163	مقاومة الشد
ASTM D638	%	7	استطالة الشد عند الكسر
ASTM D790	MPa	6890	معامل الانحناء (23°C)
ASTM D790	MPa	215	مقاومة الانحناء (23°C)
ASTM D695	MPa	5310	معامل الانضغاط
ASTM D695	MPa	166	مقاومة الانضغاط
ASTM D256	Jm^{-1}	64.1	صدم أيزود المثلوم
ASTM D256	Jm^{-1}	406	صدم أيزود غير المثلوم
ASTM D177	$W \ m^{-1} \ K^{-1}$	0.53	الموصليّة الحراريّة
ASTM D257	Ω	8.0×10^{17}	الممانعة السطحيّة
ASTM D257	Ω cm	8.0×10^{15}	الممانعة الحجميّة

Slovay Advanced Polymers ^a

4.14. تطبیقات

تجد راتنجات PAI المتلذنة حرارياً استعمالاً في العديد من التطبيقات، مثل المواد اللاصقة، والطلاءات، وتركيبات القولبة المملوءة وغير المملوءة والألياف والأغشية والمواد المركبة والمصفحات. وهي تُستعمل بوجه خاص في الطائرات، وفي التطبيقات الكهربائية والإلكترونية للسيارات كطلاءات وسدادات إحكام، وفي تجهيزات معالجة الزيت والغاز.

1.4.14. الأغشية الفاصلة

تشمل تطبيقات الأغشية الفاصلة كلاً من تطبيقات خلايا الوقود بالميثانول المباشر، وفصل الغازات، وأغشية النفاذ البخاري والتحفيز الكيميائي.

1.1.4.14. أغشية فصل الغازات

يُبدي PAI خواص مثيرة للاهتمام تتعلّق بتطبيقات أغشية فصل الغاز. يمكن تحسين كلً من النفاذية والانتقائيّة بإدخال زمر متدليّة ضخمة. تجعل هذه الزمر البنية الجزيئيّة جاسئة وتُحافظ على الفراغات فيها. ومقارنة ببوليميرات PI فإنّ أغشية PAI أسهل تصنيعاً.

يمكن استعمال بوليميرات PAI المُفلورة في الأغشية العالية الانتقائيّة. يلخّص الجدول (5-14) بعضاً منها. تُكاثَف هذه المركّبات بواسطة أمينات متنوّعة لتعطي أنواعاً من ³⁸PAI. وهي تشمل المونوميرات المبيّنة في الشكلين (14-5) و(14-2). ويمكن تفصيل أداء الأغشية إزاء فصل الغازات حسب الحاجة بتنويع بنية البوليمير.

لقد جرى تكاثف سلسلة من بوليميرات PAI باستعمال حمض ثلاثي ميليتيك، وأيضاً حمض 3- أمينو -4-ميثيل بنزويك وثنائيات أمين متنوّعة. لقد وُجد أنّ النفاذية تجاه الهيليوم تزداد بازدياد المحتوى من الفلور. وإضافة إلى ذلك تُساهم الكسر اللاخطيّة في النفاذيّة 98. وفي حالة PAI ذي مقاطع أوليغوميريّة من رباعي فلورو إيثين، لا تؤثّر نماذج استبدال زمر الفينيل في كسر ثنائي الأمين تأثيراً ملحوظاً في الانتشاريّة 40.

الجدول (44-5): مونوميرات للأغشية الفاصلة

المراجع	أحماض أمينو وإيمينو
38	2،2-بيس [N-(4-كربوكسي فينيل)-فتال إيميديل]سداسي فلورو بروبان
	ثنائيات الأمين
38	4،4′-بيس (4- أمينو فينوكسي)بيغينيل
38	2،2′ - ثنائي ميثيل -4،4′-بيس (4- أمينو فينوكسي)بيفينيل
38	5،5٬'3،3 رباعي ميثيل -بيس [4-(4- أمينو فينوكسي) فينيل]سلفون
39	6،4،2- ثلاثي ميثيل -3،1- فينيلين ثنائي أمين
39	3،3′- ثنائي ميثوكسي بنزيدين
39	3،5''3،5'-رباعي ميثيل بنزيدين
39	3،3′- ثنائي ميثيل -1،1′- بينفتالين
	مونومیرات أخرى
39	حمض 3- أمينو -4-ميثيل بنزويك

2،2- بيس [N-(4-كربوكسي فينيل)- فتال إيميديل]سداسي فلورو بروبان

الشكل (41-5): مونوميرات تُستعمل في تطبيقات أغشية فصل الغاز 38

2.1.4.14. الأغشية المُحفّزة

تُستعمل المحفّرات في هدرجة الزيوت الغذائيّة مثل زيت دوّار الشمس. تقليدياً، جرى استعمال مُحفّرات نيكل محمولة على هلام سيليكا في مُفاعلات طينيّة. ويُستعاض الآن عن النيكل بالبالاديوم أو البلاتين بهدف الإقلال من تكوّن إيزوميرات "مفروقة" أثناء عمليّة

تكوّن الإيزوميرات. ولأنّه ينبغي إرجاع المحفّزات بعد الهدرجة، فإنّ إعادة الاستعمال مرغوبة وبخاصنة في حالة المحفّزات من المعادن النبيلة.

لقد جرى تطوير الأغشية الفاصلة المُحفِّزة المؤسسة على أساس PAI وغيره من المواد المستقرّة عند درجات حرارة مرتفعة 41. إنّ الأغشية المؤسسة على قاعدة PAI وأوكسيد الألمنيوم كثيفة وتُبدي نفاذيّة منخفضة. إلاّ أنّه عند إضافة پولي (أوكسيد الإيثيلين أوكسيد البروبيلين) مع إبقاء درجة حرارة الصبّ تحت °9، يُلاحظ ازدياد كبير في نفاذيّة الآزوت والزيت والماء.

يمكن جعل الغشاء نشطاً تحفيزياً بإضافة مُحفّز محمول سابق التحضير بدلاً من مالئ عادي إلى محلول الصبّ. وفي طريقة بديلة يمكن تشريب الغشاء بمحلول $PdCl_2$ أو H_2PtCl_6

في هذه الحالة، يتثبّت المعدن على الغشاء إمّا بإرجاع كيميائي باستعمال بوروهيدريد أو تكليس الغشاء عند درجات حرارة 200°-175. وفي الطريقة الثانية يكون المحفّز أقلّ عرضة للانجراف أثناء تفاعل الهدرجة.

وبعكس حالة مُحفزات النيكل حيث درجات الحرارة الضروريّة للهدرجة هي حوالى 100° C فإن الأغشية تعمل بشكل مرضٍ عند درجة حرارة 100° C وضغط هيدروجين قدره 4 bar .

2.4.14. الطلاءات والمواد اللاصقة

هناك أنواع من PAI تُستعمل طلاءات 42. هذه الأنواع هي ذات خواص تصلّد حراري. يجري تسويق البوليمير بشكله غير الإيميدي أو بشكله ذي حمض الآميك. وعند التسخين، يمر البوليمير بتفاعل تحلّق متحوّلاً إلى الشكل الإيميدي. يبيّن الشكل (14-6) تفاعل التحلّق هذا. يحدث تفاعل الإيميدة في درجات حرارة في المجال 05-150. تشمل المذيبات لشكل حمض الأميك كلاً من DMAC وثنائي ميثيل سلفوكسيد وثنائي ميثيل فورماميد والكن يُفضل NMP بسبب رائحته الضعيفة وانخفاض مستوى سميّته نسبياً.

تكون المذيبات باهظة الثمن نسبياً، لذلك تُستعمل مواد أرخص ثمنا، ولكنها تعمل مذيبات في مجال محدود من التراكيز. تُسمّى هذه المواد ممدّدات. يمكن استعمال الممدّدات

فقط في مجال حدود انحلاليّتها. تشمل الممدّدات الهيدروكربونات العطريّة وخلات الإيثيل والأسيتون وحلقى الهكزانون والأسيتانيليد 42.

$$\begin{array}{c} H \\ N \\ N \\ OH \end{array}$$

الشكل (41-6): تحلّق شكل حمض الأميك إلى شكل الإيميد

1.2.4.14. ميناء الأسلاك

في الأصل، كان يُفهم من الميناء مادّة زجاجيّة تُطّبق على المعدن أو الخزف. إلا أن التسمية توسّعت لتشمل طلاءات، وهي شائعة الاستعمال من قبل الخبراء وفي المقابيس 43. إنّ استعمال PAI في ميناء الأسلاك أمرٌ معروف 44.

تشتمل المنتجات التقليديّة من ميناء الأسلاك من PAI مثلاً على أنهيدريد حمض ثلاثي ميليتيك و MDI. ويُستعمل NMP مذيباً، ويجري في بعض الحالات توسيعه بهيدروكربون. إن NMP مسؤول عن المستويات المرتفعة من انبعاثات NO الصادرة من منشآت الطلاء المقترنة بمحرقة للنفايات الغازيّة. وأبعد من ذلك يستجيب NMP استجابة سيّئة للإضافات، مثلاً لتحسين تسوية ميناء الأسلاك.

لهذه الأسباب جرت محاولات لاستبدال مذيبات أخرى بمذيب NMP. ولقد اقتُرِح استعمال كريزول بدلاً من NMP، إلا أن هذا يتطلّب استعمال أنواع أخرى من PAI بسبب عدم انحلاله في الكريزول 45.

يمكن إنتاج أنواع PAI قابلة للانحلال في الكريزول بتفاعل أنهيدريد حمض ثلاثي ميليتيك مع الكريزول لتكوين إستر الكريزيل. ثم يجري تفاعل هذا الإستر مع MDI ومن ثمّ مع 4،4-ثنائي أمينو ثنائي فينيل ميثان. وهكذا يُصبح PAI قابلاً للانحلال في الكريزول بتعديله بواسطة ٤-كابرو لاكتام. إحدى سيئات هذه الطريقة هي أنّ هذا النوع لم يعد عطرياً تامّاً، فتتأثر الخواص الحراريّة سلباً من ذلك.

لقد وُجد أنّ الإيميد والأميد العطريّين اللذين يُكونان مُركّبات ذات وظائف تزيد على الثنتين تُعطي منتجات قابلة للانحلال في الكريزول 45. الإضافات في حالة ميناء الأسلاك هي الراتنجات الفينوليّة، أو راتنجات الميلامين، أو المركّبات المُفلورة، أو كحول البنزيل. أمّا محفّزات التشبيك التصالبي فهي أوكتوات التوتياء أو أوكتوات الكادميوم أو التيتانات مثل تيتانات رباعي البوتيل. أمّا الموسمّعات فهي الكزيلين والتولوين والإيثيل بنزين والكومين وغير ذلك من المواد المشابهة المتوفرة تجارياً.

2.2.4.14. الطلاءات المُقاومة للتشقّقات

لقد جرى وصف صياغات ذات مُقاومة مُحسّنة لتكوّن التشقّقات 46. إن لزيادة الوزن الجزيئي أثراً ضعيفاً في حذف التشققات المُحرّضة بالورنيش في أغشية PAI. إلا أن مقاومة التشققات مرتبطة بالإنضاج والتشبيك التصالبي. إن نسبة الإيميد إلى الأميد، والتوتّر السطحي لطلاءات الأغشية، يؤثران في مدى الميل نحو تكوّن التشققات.

وأبعد من ذلك فإن طوراً ثانياً مشتتاً يُقلّل الإجهاد المتبقي، ويُقلّل من تكوّن التشققات الضارة. لقد جرى وصف سلسلة من الصياغات 46. إن مُكوّنات PAI هي أنهيدريد حمض ثلاثي ميليتيك و MDI وحمض الأديبيك وحمض الإيزوفتاليك وبوليمير بولي (أكريلو نتريل-co-بوتاديئين) المنتهي بكربوكسيل. المذيب هو NMP. ويُضاف إلى البوليمير طين من بولي (رباعي فلورو إيثيلين).

3.2.4.14. الطلاءات اللاصقة

لقد جرى تطوير صياغات مناسبة للمواد اللاصقة ذات المقاومة العالية والمتحمّلة لدرجات الحرارة العالية. ولقد لوحظت قوى ربط ممتازة مع الفولاذ غير القابل للصدأ، وخلائط الألمنيوم والتيتانيوم، وأغشية PI.

ولقد جرى تطوير تركيبات راتنج PAI المعدّل بسيلوكسان بهدف إنتاج أغشية لاصقة صفيحيّة للوحات الدارات الإلكترونيّة، تلتصق التركيبة بقوّة إلى طبقة PI القاعديّة، وإلى طبقة النحاس 48,47.

3.4.14. الألياف

لقد جرى اقتراح استعمال ألياف PAI في أكياس الترشيح في درجات الحرارة العالية لمرافق غاز العادم. تقليدياً، جرى استعمال ألياف الأراميد بصفتها أليافاً مُقاومة للحرارة لأكياس الترشيح. إنّ ألياف PAI أسهل إنتاجاً من ألياف الأراميد.

على سبيل المثال، يمكن بثق بوليمبر، محضر من أنهيدريد حمض ثلاثي ميليتيك و MDI في NMP، من المحلول عبر فوهة وحيدة الثقب. يُتبع ذلك بجهاز غزل جاف مزود بفرن طوله 1.5m يجري الحصول على الألياف عند 20°C وبمقدار 220 متراً بالدقيقة. ثُم تُجفّف الألياف غير المسحوبة بعناية في الخلاء لجعل المحتوى من المذيب أقل من 1%. ثُم تمرر الألياف عبر منطقة تسخين في جو من الآزوت، حيث تخضع الألياف للسحب بنسبة سحب قدرها 5 49.

4.4.14. التطبيقات البصرية

1.4.4.14. مواد أدلّة الأمواج البصرية

لقد جرت محاولات لاستعمال أنواع PAI لمواد أدلة الأمواج البصرية، لنقل الضوء في مجال أطوال موجات تحت الأحمر القريب. لقد انزاح مجال أطوال موجات الضوء في الاتصالات البصرية من 800 nm إلى 800 nm أو يوافق أطوال موجات تحت الأحمر القريب. تمتص البوليميرات التقليدية الضوء في المجال 1700 nm أي في مجال أطوال موجات تحت الأحمر القريب. إنّ امتصاص البوليميرات العضوية للضوء في مجال أطوال موجات تحت الأحمر القريب ناجم عن التواترات التوافقية الناتجة من اهترازات الامتطاط والتشوء في روابط الكربون-هيدروجين في زمر الألكيل، والفينيل، وافينيل، وغير ذلك من الزمر الوظيفية المشابهة.

إنّ البوليميرات التقليديّة ليست مناسبة لمواد أدلّة الأمواج البصريّة بسبب الضياع البصري المرتفع. وهذا أيضاً صحيح في حالة أنواع PAI، التي تُبدي مع ذلك خواص بصريّة جذّابة أخرى للاستعمال في التجهيزات البصريّة. وبهدف الإقلال من الضياع البصري، يجب إزاحة منطقة أطوال موجات الامتصاص الضوئي لبوليمير من منطقة تحت الأحمر القريب إلى مناطق أطوال موجاتها أطول أو أقصر. لقد جرى اقتراح استبدال

الفلور بذرات الهيدروجين. إلا أنه عند الاستعاضة عن الهيدروجين بالفلور تتخفض قرينة انكسار البوليمير. وهناك سيّئة أخرى هي انخفاض التوتّر السطحي، مما يؤدي عموماً إلى التصاق ضعيف.

يتكون بوليمير PAI ذو قرينة انكسار أعلى من تلك الموافقة لبوليمير PI التقليدي المفلور من مونوميرات مُكلورة. عند استعمال مثل هذا النوع من PAI بصفته مادة قلب ليف بصري، يُصبح مجال الاختيار لمادة القشرة أكثر اتساعاً. إضافة إلى ذلك يتحسّن أداء الطلاء والالتصاق إلى الركيزة مقارنة ببوليمير PI التقليدي. ولقد جرى اقتراح مونوميرات محتوية على الإيميد على أساس أنهيدريد حمض 6،5،6-ثلاثي كلورو -4-كلوروفورميل فتاليك للتطبيقات البصرية، لأن قرينة الانكسار مرتفعة بقدر كاف 50.

يجري الحصول على المونوميرات بتكاثف أنهيدريد حمض 6،5،3-ثلاثي كلورو -4-كلوروفورميل فتاليك، انظر الشكل (7-14)، مع ثنائيات أمين متنوّعة لتكوين مونوميرات محتوية على إيميد. إلى جانب المونوميرات المبيّنة في الشكل (14-7) فقد جرى إعطاء أمثلة على عدد من ثنائيات الأمين الأخرى 50.

وبعد تكون مونومير الإيميد بتفاعل زمر الفتاليك النهائية، يتكون بوليمير PAI بتفاعل زمر الكلوروفورميل مع ثنائي أمين إضافي. وبشكل أساسي هي نفسها ثنائيات الأمين المستعملة في تفاعل الإيميدة.

2.4.4.14. المواد المتلوّنة ضوئياً

البوليميرات المحتوية على زمر متلوّنة ضوئياً مهمّة للتطبيقات البصريّة. فمثلاً تُصبح العدسات المتلوّنة ضوئياً عاتمة عند التعرّض للضوء فوق البنفسجيّ. يمكن الحصول على البوليميرات المتلوّنة ضوئياً بإدخال زمر آزوبنزين. تمرّ هذه الزمر بتفاعل تشكّل إيزوميرات مقرون -مفروق عند التعرّض للضوء. يبيّن الجدول (14-6) ثنائيات أمين ذات زمر آزو.

يتداخل قطاع تحت الأحمر لرابطة N=N مع ذلك الموافق لاهتزاز C=C في حلقة البنزين عند حوالى $1600\,\mathrm{cm}^{-1}$. تُبدي بوليميرات PAI درجة حرارة انتقال زجاجي مرتفعة، واستقراراً حرارياً عالياً. وتزيد مستبدلات الألكيل الجانبيّة أثر التوجيه المحرّض ضوئياً 51.

الجدول (14-6): ثنائيات أمين ذات زمر آزو

المراجع	ثنائيات الأمين
51	
51	4،2-ثنائي أمينو -4′-ميثيل آزو بنزين
51	4،2-ثنائي أمينو -4'-ثلاثي فلورو ميثوكسي آزو بنزين
51	4،2-ثنائي أمينو -4′-نيترو آزو بنزين
52	4:2-ثنائي أمينو -4'-(4-نيترو فينيل -ثنائي آزينيل) آزو بنزين
52	4-(4′- نترو فينيل -ثنائي آزينيل)فينيل -3،1-ثنائي أمين

أنهيدريد حمض 6،5،3- ثلاثي كلورو -4-كلوروفورميل فتاليك

$$H_2N$$
 H_2N
 H_2N

$$H_2N$$
 CCI_3 NH_2

2،2- بيس (4- أمينو فينيل)سداسي كلوروبروبان

2.2- بيس (4- أمينو رباعي فلورو فينيل) سداسي كلوروبروبان

 50 الشكل (14-7): مونوميرات للتطبيقات البصريّة

الشكل (8-14): اصطناع 4- (4/- نيترو فينيل - ثنائي آزينيل)فينيل - 3،1- ثنائي أمين

تُستعمل حوامل اللون المؤسسة على زمر آزو كسلاسل جانبيّة في PAI للتطبيقات في الضوء اللاخطى. يبيّن الشكل (14-8) اصطناع مثل هذه المركّبات.

3.4.4.14. المواد المتلوّنة كهربائياً

التلوّن الكهربائي (Electrochromism) هو تغيّر عكوس في الخواص البصريّة لمادّة سببه تفاعلات أكسدة والإرجاع للبدء عند وضع المادة على سطح مسرى. وعندما تكون المادّة المتلوّنة كهربائياً قادرة على إظهار عدّة ألوان يُطلق عليها اسم مادّة متعدّدة التلوّن الكهربائي.

يمكن أن يحدث التغيّر في اللّون عندما يُجبر حاملٌ للّون (كروموفور) على تغيير طيف امتصاصه عن طريق تطبيق فرق كمون كهربائي. وبذلك يمكن أن يتغيّر الامتصاص من منطقة الأشعّة فوق البنفسجيّة إلى منطقة الضوء المرئي. تُستعمل المواد المتلوّنة كهربائياً للتحكّم بتدفّق الضوء. تتلخّص هذه التطبيقات بنوافذ ومرايا ذكيّة. نجد تطبيقات في مرايا الرؤية الخلفيّة المضادة للإبهار في السيارات 55، والنظارات الشمسيّة الذكية، وفي تجهيزات المعلومات البصريّة والتخزين.

هناك عدّة صفوف معروفة من المواد العضوية المتلوّنة كهربائياً. يمكن استعمال وحدة ثلاثي فينيل أمين لإعطاء خاصّة تلون كهربائي لرانتجات PAI. وعلى الخصوص، يمكن تكثيف N،N-بيس (4-أمينو فينيل)-N،N'-ثنائي فينيل -4،1-فينيلين ثنائي أمين أمين و 4،4'-ثنائي أمين مع مركبات بيس (ثلاثي ميليت إيميد) للحصول على أنواع PAI المتلوّنة كهربائياً 58.

يكون ثلاثي فينيل أمين كاتيوناً جذرياً عند الأكسدة الأنيونية فيخضع لديمرة متحولاً إلى رباعي فينيل بنزيدين. يمكن توليف كمون الأكسدة والإرجاع باستبدال الحلقة العطرية. يمكن توصيف سلوك PAI إزاء الأكسدة والإرجاع بقياس القولطائية الحلقية. تُصب الأغشية على ركيزة زجاجية مطلية بأوكسيد الإنديوم والقصدير بصفتها مسرى العمل في الأسيتونتريل الجاف. يُفحص التلون الكهربائي بواسطة مسرى رقيق الطبقة شفّاف بصرياً مقترناً بمطيافية الأشعة المرئية فوق البنفسجية.

5.14. الموردون والعلامات التجارية

يبيّن الجدول (14-7) الموردين والعلامات التجاريّة. ويبيّن الجدول (14-8) الأسماء التجاريّة الواردة في المراجع.

الجدول (7-14): أمثلة على بوليميرات بولى (أميد إيميد) المتوفرة تجارياً

المُنتج	الاسم التجاري
Mitsubishi Gas Company	AI Polymer
Quadrant Engineering Plastic Products	Alphamide®
Albany International	Pyropel®
Ensinger	$Sintimid^{TM}$
Slovay Advanced Polymers	Torlon®
Toyobo	Vylomax®
Atofina	Pebax®

6.14. الأمان

يوفّر المُصنّعون بطاقات معطيات الأمان لبوليميرات PAI. يُنصح باتخاذ الإجراءات المعهودة عند التعامل مع البوليميرات الساخنة. يمكن أن تحدث تهيّجات بتأثير مفاعيل ميكانيكيّة. التسخين المبالغ فيه أثناء التشغيل يولّد دخاناً مجهول السميّة. وبشكل أساسي، لا توجد في الأدبيات دراسات على التحلّل الحراري لبوليميرات PAI. إلاّ أنّه يمكن أن نتوقّع أنّ آلية التفكّك تشبه ما نجده في حالة بوليميرات PA و PI معاً. بالطبع إنّ المونوميرات المستعملة في حالة PAI أكثر خطورة من البوليميرات نفسها. فمثلاً يمكن لـ ODA أن يُسبّب السرطان وضرراً جينياً يُورتث. إنّه سامٌ عند الاستنشاق، أو عند التماس مع الجلد،

أو عند ابتلاعه. وأكثر من ذلك فهو سامٌ للأحياء المائيّة، لأنّه يُسبب آثاراً سلبيّة طويلة الأمد على البيئة المائيّة.

الجدول (14-8): الأسماء التجارية الواردة في المراجع

ي الحراجي	(0 21) 65-
المُورّد	الاسم التجاري
	الوصف
Bayer AG	Desmodur® (Series)
	أوليغومير على قاعدة 4،4′-ثنائي فينيل ميثان ثنائي إيزوسيانات ⁴⁵
Olin Chemical	Expandex® 150
	ملح كالسيوم من 5-فينيل تيترازول، عامل نفخ ³¹
PMI	Galwick®
	41 مائع مبلِّل
Dow	Isonate®
	تشكيلة للرغويات على قاعدة الإيزوسيانات ⁴⁵
BASF	Lupranat® (Series)
	تشكيلات على قاعدة الإيزوسيانات ⁴⁵
BASF AG	Pluronic® (Series)
	بوليمير مشترك كتلى التعاقب أوكسيد إيثيلين\أوكسيد بروبيلين، مانع
	۔ ترغی ⁴¹
PMI	بر عي ®Porewick
	مائع مبلًل ⁴¹
Solvay	Radel® A
Sorvay	۱۳ مرسطور کا ۱۳ میرود کا 41 م
	پور قبیر سفون) Solventnaphtha TM
	مذیب هیدروکربونی عطر <i>ی</i> ⁴⁵
Exxon	مىيە ھىرودربونى عصري ®Solvesso
LAXOII	
Salvay (Amaga)	مزائج مذيبات عالية العطرية ⁴⁵ (دونيوع) هرواية Torlon
Solvay(Amoco)	Torlon® (Series)
T1	پولي (أميد اپميد) ^{31,6}
Toyobo	Vylomax®
	پولي (أميد إيميد) ⁴¹

- 1. Wire coating. NL Patent 6 611 895, assigned to du Pont de Nemours, E. I., and Co., 27 February 1967.
- 2. Polyamide-imide resins. GB Patent 1 119 791, assigned to Sumitomo Electric Industries, Ltd., 10 July 1968.
- 3. E. G. Redman and J. S. Skinner. Poly(amide imide) electrical insulation. FR Patent 1 501 198, assigned to Mobil Oil Corp., 10 November 1967.
- R. E. Mauri. Organic materials for structural applications. NASA Spec. Publ. SP-3051, USA., 1969.
- 5. Y. Camberlin and P. Michaud. Linear aromatic poly(amideimide)s having latent maleimide endgroups. US Patent 5 086 154, assigned to Rhone-Poulenc Chimie (Courbevoie, FR), 4 February 1992.
- 6. K.-Y. Choi, D.-H. Suh, M.-H. Yi, Y.-T. Hong, and M.-Y. Jin. Process for preparing polyamideimide resins by direct polymerization. US Patent 5 955 568, assigned to Korea Research Institute of Chemical Technology (Daejeon, KR), 21 September 1999.
- J. R. Stephens. Preparation of film forming polymer from carbocyclic aromatic diamine and acyl halide of trimellitic acid anhydride. US Patent 3 920 612, assigned to Standard Oil Company (Chicago, IL), 18 November 1975.
- 8. D.-J. Liaw and B.-Y. Liaw. 2,2'-dimethyl-4,4'-bis (4-aminophenoxy) biphenyl, and polymers prepared therefrom by polycondensation. US Patent 5 844 065, assigned to National Science Council (TW), 1 December 1998.
- 9. S. Maiti and A. Ray. "Unsaturated polyamideimide from 1,5-bis(3-aminophenyl)-1,4-pentadien-3-one." *Makromolekulare Chemie-Rapid Communications*: vol. 2, 1981, pp. 649–653.
- K.-Y. Choi, M.-H. Yi, M.-Y. Jin, and Y.-T. Hong. Polyamideamic acid resin prepolymers, high heat resistant polyamideimide foams prepared therefrom, and processes for preparing them. US Patent 5 824 766, assigned to Korea Research Institute of Chemical Technology (Daejeon, KR), 20 October 1998.
- 11. M. Minami and M. Taniguchi. Method of preparing a soluble high molecular weight aromatic polyamide imide composition. US Patent 3 860 559, assigned to Toray Industries, Inc. (Tokyo, JA), 14 January 1975.
- S. Nagao, I. Kuzuhara, and H. Ogawa. Process for producing trimellitic acid. US Patent 6 835 852, assigned to Mitsubishi Gas Chemical Company, Inc. (Tokyo, JP), 28 December 2004.
- 13. P. H. Merrell and M. F. Ellis. Preparation of diaminodiphenyl ethers. US Patent 4 539 428, assigned to Mallinckrodt, Inc. (St. Louis, MO), 3 September 1985.

- S. E. Jacobson. Method for the manufacture of 3,4'-diaminodiphenyl ether. US Patent 5 434 308, assigned to E. I. Du Pont de Nemours and Company (Wilmington, DE), 18 July 1995.
- D.-J. Liaw and B.-Y. Liaw. Preparation of soluble polyamide, polyimide and poly(amide-imide). US Patent 6 087 470, assigned to National Science Council of Republic of China (Taipei, TW), 11 July 2000.
- S. Mehdipour-Ataei and F. Zigheimat. "Soluble poly(amide imide)s containing oligoether spacers." *European Polymer Journal*: vol. 43, no. 3, March 2007, pp. 1020– 1026.
- 17. H. R. Lubowitz and C. H. Sheppard. Oligomers with multiple chemically functional end caps. US Patent 5 969 079, assigned to The Boeing Company (Seattle, WA), 19 October 1999.
- M. Nakano and T. Koyama. Novel polyimidamide resin. US Patent 3 541 038, assigned to Hitachi Chemical Co. Ltd, 17 November 1970.
- T. Sakata, K. Hattori, and Y. Mukoyama. Process for the production of high molecular weight polyamide-imide resin. US Patent 5 047 499, assigned to Hitachi Chemical Co., Ltd. (Tokyo, JP), 10 September 1991.
- 20. A. Jonquières, R. Clément, and P. Lochon. "New film-forming poly(urethane-amide-imide) block copolymers: influence of soft block on membrane properties for the purification of a fuel octane enhancer by pervaporation." *European Polymer Journal*: vol. 41, no. 4, April 2005, pp. 783–795.
- K.-Y. Choi, J. H. Lee, Y.-T. Hong, M. Y. Jin, K.-S. Choi, and H.-J. Park. Polyamideimide having head-to-tail backbone. US Patent 6 433 184, assigned to Korea Research Institute of Chemical Technology (Daejeon, KR), 13 August 2002.
- 22. S. Khoee, F. Sadeghi, and S. Zamani. "Preparation, characterization and fluorimetric studies of novel photoactive poly(amide-imide) from 1-naphthaldehyde and 2,6-diaminopyridine by microwave-irradiation." *Journal of Photochemistry and Photobiology A*: vol. 189, no. 1, June 2007, pp. 30–38.
- 23. S. Khoee and S. Zamani. "Synthesis, characterization and fluorimetric studies of novel photoactive poly(amide-imide) from anthracene 9-carboxaldehyde and 4,4'-diaminodiphenyl ether by microwave irradiation." *European Polymer Journal*: vol. 43, no. 5, May 2007, pp. 2096–2110.
- 24. S. E. Mallakpour, A.-R. Hajipour, and S. Khoee. "Polymerization of 4,4'-(hexafluoroisopropylidene)-N,N'-bis(phthaloyl-L-leucine) diacid chloride with aromatic diamines by microwave irradiation." *Journal of Polymer Science Part A: Polymer Chemistry*: vol. 38, 2000, pp. 1154–1160.
- 25. S. E. Mallakpour, A.-R. Hajipour, and S. Khoee. "Microwave-assisted polycondensation of 4,4'-(hexafluoroisopropylidene)-N,N'-bis(phthaloyl-Lleucine) diacid chloride with aromatic diols." *Journal of Applied Polymer Science*: vol. 77, 2000, pp. 3003–3009.
- 26. C. H. Sheppard and H. R. Lubowitz. Phenylethynyl capped imides. US Patent 5 817 744, assigned to The Boeing Company (Seattle, WA), 6 October 1998.

- 27. J. E. Harris and J. P. Gavula. Blends of a poly(amide imide) and a poly(aryl ether ketone). US Patent 5 079 308, assigned to Amoco Corporation (Chicago, IL), 7 January 1992.
- 28. H.-L. Wu, C.-C. M. Ma, C.-H. Li, T.-M. Lee, C.-Y. Chen, C.-L. Chiang, and C. Wu. "Sulfonated poly(ether ether ketone)/poly(amide imide) polymer blends for proton conducting membrane." *Journal of Membrane Science*: vol. 280, nos. 1-2, September 2006, pp. 501–508,.
- 29. C. Zhao, Z. Wang, D. Bi, H. Lin, K. Shao, T. Fu, S. Zhong, and H. Na. "Blend membranes based on disulfonated poly(aryl ether ether ketone)s (SPEEK) and poly(amide imide) (PAI) for direct methanol fuel cell usages." *Polymer*: vol. 48, no. 11, May 2007, pp. 3090–3097.
- 30. M.-J. Kim, B. Sea, K.-H. Youm, and K.-H. Lee. "Morphology and carbon dioxide transport properties of polyurethane blend membranes." *Desalination*: vol. 193, nos. 1-3, May 2006, pp. 43–50.
- 31. G. T. Brooks, B. C. Connolly, and R. Riley. Process for preparing polyamideimide foam. US Patent 4 960 549, assigned to Amoco Corporation (Chicago, IL), 2 October 1990.
- 32. Y.-T. Chen. Method for heat treating shaped articles of amide-imide or amic acid polymers. US Patent 4 167 620, assigned to Standard Oil Company (Indiana) (Chicago, IL), 11 September 1979.
- 33. G. T. Brooks and R. E. Bockrath. Injection moldable amide-imide polymers and copolymers containing metal oxides capable of forming hydrates stable at temperatures in excess of 500.degree. f. US Patent 4 403 061, assigned to Standard Oil Company (Indiana) (Chicago, IL), 6 September 1983.
- 34. J. Gagliani and J. V. Long. Polyamide-imide foams and methods of making same. US Patent 4 585 805, 29 April 1986.
- 35. D. G. Wernsing and C. J. Claypool. Open celled foam and method of making an open celled foam. US Patent 5 919 833, assigned to Inspee Foams, Inc. (Plano, TX), 6 July 1999.
- 36. IDES Integrated Design Engineering Systems. The Plastics Web®. IDES Inc. 209 Grand Avenue Laramie, WY 82070 USA [electronic] http://www.ides.com/prospector>, 2006.
- 37. Anonymous. Torlon® 4435 delivers unmatched performance in non-lubricated, high PV conditions. Technical Bulletin T-50211, Solvay Advanced Polymers, Alpharetta, Georgia, 2002, [electronic] http://www.solvayadvancedpolymers.com/static/wma/pdf/2/5/2/TBTorlon4435.pdf>.
- 38. S.-H. Huang, C.-C. Hu, K.-R. Lee, D.-J. Liaw, and J.-Y. Lai. "Gas separation properties of aromatic poly(amide-imide) membranes." *European Polymer Journal*: vol. 42, no. 1, January 2006, pp. 140–148.
- 39. D. Fritsch and N. Avella. "Synthesis and properties of highly gas permeable poly(amide-imide)s." *Macromolecular Chemistry and Physics*: vol. 197, no. 2, February 1996, pp. 701–714.

- 40. Z. K. Xu, M. Bohning, J. Springer, N. Steinhauser, and R. Mulhaupt. "Gas transport properties of highly fluorinated polyamideimides." *Polymer*: vol. 38, no. 3, February 1997, pp. 581–588.
- 41. D. Fritsch and G. Bengtson. "Development of catalytically reactive porous membranes for the selective hydrogenation of sunflower oil." *Catalysis Today*: vol. 118, nos. 1-2, October 2006, pp. 121–127.
- 42. Anonymous. Torlon® AI-10 coatings. Technical Bulletin T-49977, Solvay Advanced Polymers, Alpharetta, Georgia, 2006. [electronic] http://www.solvayadvancedpolymers.com/static/wma/pdf/9/5/9/1/Torlon_AI10_Coatings_TB.pdf.
- 43. Standard test methods for magnet-wire enamels. ASTM Standard ASTM D3288-03, ASTM International, West Conshohocken, PA, 2003.
- 44. N. J. George. Polyamide-imide resins. US Patent 3 554 984, assigned to The P. D. George Co. (St. Louis, MO), 12 January 1971.
- 45. S. König, K. W. Lienert, and G. Schmidt. Polyamide-imide resin solution and the use thereof for producing wire enamels. US Patent 7 122 244, assigned to Altana Electrical Insulation GmbH (Wesel, DE), 17 October 2006.
- 46. J. J. Xu. Polyamideimide composition. US Patent 6 914 093, assigned to Phelps Dodge Industries, Inc. (Ft. Wayne, IN), 5 July 2005.
- 47. K. Takeuchi, T. Saito, and K. Nanaumi. Siloxane-modified polyamideimide resin composition, adhesive film, adhesive sheet and semiconductor device. US Patent 6 252 010, assigned to Hitachi Chemical Company, Ltd. (Tokyo, JP), 26 June 2001.
- 48. K. Takeuchi, T. Saito, and K. Nanaumi. Adhesive film formed of a siloxane modified polyamideimide resin composition, adhesive sheet and semiconductor device. US Patent 6 475 629, assigned to Hitachi Chemical Company, Ltd. (Tokyo, JP), 5 November 2002.
- 49. C. Inukai, T. Kurita, and K. Uno. Polyamide-imide fibers for a bag filter. US Patent 5 681 656, assigned to Toyo Boseki Kabushiki Kaisha (Osaka, JP), 28 October 1997.
- 50. D.-H. Suh, E.-Y. Chung, and T.-H. Rhee. Polyamideimide for optical communications and method for preparing the same. US Patent 6 028 159, assigned to SamSung Electronics Co., Ltd. (Suwon, KR) Korea Research Institute of Chemical Technology (Daejeon, KR), 22 February 2000.
- 51. E. Schab-Balcerzak, B. Sapich, and J. Stumpe. "Photoinduced optical anisotropy in new poly(amide imide)s with azobenzene units." *Polymer*: vol. 46, no. 1, January 2005, pp. 49–59.
- 52. H.-L. Chang, H.-L. Lin, Y.-C. Wang, S. A. Dai, W.-C. Su, and R.-J. Jeng. "Thermally stable NLO poly(amide-imide)s via sequential self-repetitive reaction." *Polymer*: vol. 48, no. 7, March 2007, pp. 2046–2055.
- 53. W. Dautremont-Smith. "Transition metal oxide electrochromic materials and displays: A review -1. oxides with cathodic coloration." *Displays*: vol. 3, no. 1, January 1982, pp. 3–22.

- 54. P. M. S. Monk, R. J. Mortimer, and D. R. Rosseinsky. *Electrochromism and Electrochromic Devices*. Cambridge, MA: Cambridge University Press, 2007.
- 55. A. R. Watson and M. A. Bryson. Rearview mirror assemblies incorporating hands-free telephone components. US Patent 7 266 204, assigned to Gentex Corporation (Zeeland, MI), 4 September 2007.
- 56. S.-H. Cheng, S.-H. Hsiao, T.-H. Su, and G.-S. Liou. "Novel electrochromic aromatic poly(amine-amide-imide)s with pendent triphenyl- amine structures." *Polymer*: vol. 46, no. 16, July 2005, pp. 5939–5948.
- 57. G.-S. Liou, S.-H. Hsiao, and Y.-K. Fang. "Electrochromic properties of novel strictly alternating poly(amine-amide-imide)s with electroactive triphenylamine moieties." *European Polymer Journal*: vol. 42, no. 7, July 2006, pp. 1533–1540.
- 58. C.-W. Chang and G.-S. Liou. "Stably anodic green electrochromic aromatic poly(amine-amide-imide)s: Synthesis and electrochromic properties." *Organic Electronics*: vol. 8, no. 6, December 2007, pp. 662–672.

بوليميرات پولي (إيميد)

لقد كتب فلوري (Flory) عام 1951 عن تفاعل تكاثف كلوريدات ثنائي الحمض، مع أملاح إيميد البوتاسيوم، مثل تكاثف كلوريد السيباسيل مع فتال ويميد البوتاسيوم، بهذه الطريقة تتكوّن مركّبات N-أسيل ثنائي الإيميد. لقد أشار فلوري إلى إمكان تكوّن بوليميرات، عند استعمال مُركّبات أعلى وظائفياً. ولقد كتب إدواردز (Edwards) ومكسويل (Maxwell) لدى دوبون (DuPont) عن بوليميرات پولي (إيميد) (*) (PI) عام 1955. كانت ثنائيات الأمين المستعملة أليفاتية بطبيعتها. وفي وقت لاحق جرى استعمال ثنائيات أمين عطريّة إضافة إلى ما سبق S. هناك نو عان أساسيّان من بوليميرات PI هي:

- النوع المتصلّد حرارياً،
- النوع المتلدّن حرارياً.

إنّ بوليميرات بولي (إيثر إيميد) (PEI) هي نوع خاص من PI تجمع ميّزات درجات الحرارة العالية له PI وتمثلك ما يكفي من إمكانيّة مُعالجة الصهارة مما يتيح استعمال تقنيات القولبة التقليديّة، كالقولبة بالضغط، والقولبة المدعومة بالغاز، وبثق المقاطع، والتشكيل الحراري والقولبة بالحقن 4.

ينتمي نوع التصليد الحراري إلى مركبات بيسماليميد وبيسناديميد إضافة إلى الإيميدات الأوليغوميريّة ذات النهايات المغطاة. تحدث تغطية النهايات بواسطة زمر فينيل إيثيل تفاعليّة. تُستعمل هذه الأنواع في القولبة النفاعليّة بالحقن، وغير ذلك من التقانات المرتبطة. إنّ كيمياء تكوّن كسرة إيميد متشابهة في حالة كل من النوع المتصلّد حرارياً والنوع المتلدّن حرارياً. هناك عدد من الكتب عن بوليميرات PI عن بوليميرات البيسماليميد هي صفّ منفصل من بوليميرات PI يعالج هنا معالجة هامشية لأن التركيز موجّه نحو بوليميرات PI المتلدّنة حرارياً.

^(*)غالباً ما تُكتَب "بولي إيميد" دون تأثير لذلك في فهم المقصود (المترجم).

1.15. المونوميرات

لقد جرى استعراض اصطناع المونوميرات المناسبة لبوليميرات او وتكوين البوليميرت الموافقة استعراضاً معمقاً 10. المونوميرات مجمّعة في الجدول (1-15)، ومركبات ثنائي الأنهيدريد المستعملة في بوليميرات PI مبيّنة في الشكل (1-15). تُصنّف مركبات ثنائي الأنهيدريد في الصفوف التالية:

- 1. ثنائيات أنهيدريد البنزين،
- 2. ثنائيات الأنهيدريد الجسرية،
- 3. مركبات بيس (إيثر أنهيدريد).

في مُعظم مركبات ثنائي الأنهيدريد، تكون زمر الأنهيدريد مرتبطة بكسر عطرية.

يُحضر ثنائي أنهيدريد البيروميليتيك (PMDA) بأكسدة الدورين، الذي هو 5،4،2،1 رباعي ميثيل بنزين. الاصطناع مشابه تماماً لاصطناع أنهيدريد الفتاليك.

مُركّب البدء الثنائي أنهيدريد بيفينيل رباعي كربوكسيليك هو ثنائي ميثيل فتالات. تجري ديمرة ثنائي ميثيل فتالات بوجود مُحفّزات بالاديوم، تتحلمه زمر الإستر ويُزال ماؤها في النهاية 11. يمكن أيضاً اصطناع ثنائي أنهيدريد بيفينيل رباعي كربوكسيليك بالديمرة المباشرة لأنهيدريد الفتاليك 12.

يُسخّن أنهيدريد الفتاليك بوجود خلات البالاديوم حتى 280°C. ويجرى الحصول على مزيج من ثنائي أنهيدريد بيفينيل-4،4،4،3،3،4-رباعي كربوكسيليك وثنائي أنهيدريد بيفينيل -2،3،3،2-رباعي كربوكسيليك بمردود كلّي حوالي 20 في المئة.

يمكن تحضير أنهيدريد 3،3٬4،4٬4، أوكسي ثنائي فتاليك (A,4-ODPA) من أنهيدريد كلوروفتاليك في ٥-ثنائي كلوروبنزين وكربونات البوتاسيوم. ويُستعمل سداسي إيثيل غوانيدينيوم بصفته محفّز انتقال الطور 13.

يُسمّى ثنائي أنهيدريد 4،4'-بيس (4،3-ثنائي كربوكسيل فينوكسي فينيل)-إيزوبروبيليدين باسم ثنائي أنهيدريد بيسفينول A. إن اصطناع تنوّع واسع من مركبات ثنائي الأنهيدريد الأخرى مُفصل في الأدبيات 10. نجد في الشكل (2-15) مُعدّلات لـ PI.

الجدول (1-15): مونوميرات في حالة بوليميرات پولى (إيميد) 14

```
ثنائيات الأنهيدريد
                                                     ثنائي أنهيدريد بير وميليتيك (PMDA)
                                           ثتائي أنهيدريد 3،3'،4،4'-بيفينيل (4,4'-BPDA)
                                       ثنائى أنهيدريد 3،3'،4،4'-بنزوفينون (4,4'-BTDA)
                                    أنهيدريد 3،3'،4،4'-أوكسى ثنائي فتاليك (4,4'-ODPA)
              نتائي أنهيدريد 4،1-بيس (4،3-نتائي كربوكسيل فينوكسي )-بنزين (4,4-'4,4)
              تنائى أنهيدريد 3،1-بيس (3،2- ثنائى كربوكسيل فينوكسى )-بنزين (HQDPA-'3,3)
تنائي أنهيدريد 4،4'-بيس (4،3-نتائي كربوكسيل فينوكسي فينيل )- إيزوبروبيليدين (BPADA-'4,4)
تنائي أنهيدريد 4،4'-(2،2،2-ثلاثي فلورو -1-خماسي فلورو فينيل إيثيليدين) ثنائي فتاليك (3FDA)
                                                                        ثنائيات الأمين
                                                       4،4'- أوكسى ثنائى أنيلين (ODA)
```

m-فينيلين ثنائي الأمين (MPD)

p-فينيلين ثنائي الأمين (PPD)

m-تولوين ثنائي الأمين (TDA)

4·1- بيس (4- أمينو فينوكسي)-بنزين (1,4,4-APB)

3.3'-(m-فينيلين بيس(أوكسي)) ثنائي الأنيلين (APB)

4،4'- ثنائي أمينو -3،3'- ثنائي ميثيل ثنائي فينيل ميثان (DMMDA)

2،2'-بيس (4-(4-أمينو فينوكسي)فينيل)بروبان (BAPP)

4.1- حلقى هكسان ثنائي الأمين

2.62- بيس [4-(4- أمينو - فينوكسي) فينيل] سداسي فلورو إيزوبروبيليدين (4-BDAF)

6- أمينو -1-(4'- أمينو فينيل)-3،3،1-ثلاثي ميثيل إيندان (DAPI)

مُعدّلات

أنهيدريد مالييك (MA)

أنهيدريد سيتراكونيك (CA)

أنهيدريد ناديك (NA)

أنهيدريد حمض 4-(فينيل إيثينيل)-2،1-بنزين ثنائي كربوكسيليك (PEPA)

نثائي أنهيدريد 4،4′- بيس (4،3- نثائي كربوكسيل فينوكسي فينيل)- إيزوبروبيليدين

الشكل (1-15): مركبات ثنائي الأنهيدريد المستعملة في بوليميرات بولي (إيميد)

يُستعمل أنهيدريد حمض 4-(فينيل إيثينيل)-2-1-بنزين ثنائي كربوكسيليك (PEPA) لإدخال زمر وظيفيّة في البولي إيميدات، بهدف جعلها قابلة للإنضاج حرارياً. ويعمل أنهيدريد السيتراكونيك (CA) بالطريقة نفسها. إضافة إلى ذلك تعمل هذه المُعدّلات كعوامل تغطية للنهايات.

مركبات ثنائي الأمين المستعملة في البولي إيميدات مبيّنة في الشكل (15-3). يمكن اصطناع 4،4'-ثنائي أمينو -3،3'-ثنائي ميثيل ثنائي فينيل ميثان من تكاثف ٥-تولويدين مع الفور مالدهيد.

أنهيدريد حمض 4-(فينيل إيثينيل)-2،1- بنزين ثنائي كربوكسيليك

الشكل (2-15): مُعدّلات لبوليميرات پولي (إيميد)

$$H_2N$$
 NH_2 H_2N NH_2 H_2N NH_2 H_3C H_2N H_2 H_2 H_2N H_2 H

6- أمينو -1-(4'- أمينو فينيل)-3،3،1- ثلاثي ميثيل إندان

الشكل (15-3): مركبات ثنائي الأمين

يُستعمل 6-أمينو -1-(4'-أمينو فينيل)-3،3،1-ثلاثي ميثيل إندان (DAPI) في بوليمير ات PI القابلة للإنضاج. يقبل بوليمير پولي (حمض أميك) وبوليمير ات PI مع DAPI في سلسلته الرئيسيّة ونهايات مغطاة بكِسَر آليل ناديك، الانحلالَ في مذيبات عضويّة قطبيّة بتراكيز مرتفعة جداً 15. تُظهر بوليميرات PI الناتجة متانة ممتازة. ولقد أشير إلى أن بوليميرات PI على قاعدة A,4'-ODPA وبيس [4-(p-أمينو -فينوكسي) فينوكسي] ثنائي ميثيل سيلان تتمتّع بانحلاليّة جيّدة، وبقدرة على تكوين أغشية 16.

2.15. البلمرة والتصنيع

هناك طرق متعددة لاصطناع بولي إيميدات. أكثر ها شيوعاً هو اصطناعها من ثنائيات أنهيدريد وثنائيات أمين. هناك أيضاً سيرورات تجاريّة تستعمل ثنائيات الأنهيدريد ومركّبات الإيزوسيانات للحصول على PI.

1.2.15. الطريق التقليدي

يمر اصطناع PI بمرحلتين. في المرحلة الأولى يجري تكوين بولي (حمض أميك) من ثنائي الأنهيدريد وثنائي الأمين. ويُستعمل في المرحلتين N-ميثيل-2-بيروليدون (NMP) بصفته مذيباً.

في المرحلة الثانية، يُنزع الماء من بولي (حمض أميك) ليتحوّل إلى PI. أثناء عمليّة إيميدة بولي (حمض أميك) يتولّد ماء، ويمكن نزع الماء بطرائق عدّة:

- 1. التسخين حتّى 250°C. تُسمّى هذه السيرورة باسم نزع الماء حراريّاً.
- 2. نزع الماء آزيوتروبيّاً. إذ يُستعمل مذيب آزيوتروبي مثل التولوين أو الكزيلين لنزع الماء.
- 3. نزع الماء كيميائياً. بوجود أنهيدريد أسيتيك، تتقدّم عمليّة الإيميدة عند درجة حرارة 100°C.

وعند استعمال ثنائيّات أمين عالية الأساسيّة، مثل ثنائيات الأمين الأليفاتية الحلقيّة بصفتها مونوميرات ثنائيّة الأمين، يتكوّن ملح بتفاعل تعديل قبل تكوّن پولي (حمض أميك) حين تمتزج ثنائيات الأمين الأليفاتية الحلقيّة مع ثنائيات أنهيدريد الحمض وتترسّب. ولأن

هذا الملح يكون في حالة مستقرّة، يكون من غير الممكن تكوين پولي (حمض أميك) بتفاعل بلمرة، ولا إيميدة بولي (حمض أميك) بالتفاعل مع عامل تَميّه. 17

عندما يُنزع الماء كيميائياً، يُضاف مُحفّز أساسي مثل ثلاثي إيثيل أمين أو بيريدين أو و β-بيكولين أو إيزوكينولين وأنهيدريد أسيتيك. يُنزع الماء المُتولّد من تفاعل الإيميدة كيميائياً بالتفاعل مع أنهيدريد حمض. إلا أن هذه الطريقة تتطلّب سيرورة لتنقية مزيج التفاعل وإزالة المواد الباقية مثل الأمينات الثالثية وأنهيدريدات الأسيتيك من المنظومة.

بعض بوليميرات PI لا تقبل التشغيل. وعندما تؤدّي مرحلة نزع الماء النهائيّة إلى صنع مواد غير قابلة للتشغيل بعد ذلك، يبقى ممكناً صببٌ مُعظم المادة الوسطيّة في أعشية من محاليل الصب.

2.2.15. طريق الإيزوسيانات

هو طريق بمرحلة واحدة يتضمّن تفاعل ثنائي أنهيدريد الحمض وثنائي إيزوسيانات. تتطلّب هذه الطريقة عادة التسخين حتى 250° C ، تحت ضغط عادي لإتمام الإيميدة بسبب التفاعليّة المنخفضة لثنائي أنهيدريد الحمض إزاء ثنائي الإيزوسيانات 17.

يجري مزج ثنائي الإيزوسيانات و ثنائي أنهيدريد الحمض بكميّات متساوية موليّاً، وذلك بعد حلّها بمذيب مناسب. يجري مزج ثنائي أنهيدريد 3،3٬4،4٬4،4٬4،4٬4 الهرونيون (4,4٬4-BTDA) عند درجة حرارة الغرفة مع ثنائي فينيل ميثان ثنائي إيزوسيانات باستعمال N،N-ثنائي ميثيل فورماميد (DMF) بصفته مذيباً ثُمّ يُسخّن تحت الخلاء حتى 210°C. نحصل على بوليمير PI ذي وزن جزيئي قدره 50000 دالتون، ودرجة حرارة انتقال زجاجي قدرها 250°C.

لإنقاص زمن النفاعل بين ثنائيات الإيزوسيانات وثنائيات الأنهيدريد، يمكن اختيارياً استعمال مُحفِّزات مثل مركبات ميثوكسيد معدن قلوي ¹⁹، أو فلوريد معدن قلوي مجتمعة مع ملح أونيوم رباعي ²⁰. إلا أنّه لا يُنصح باستعمال المُحفَّزات لإنتاج الخيوط التي يجب أن تتمتّع بمميّزات جيدة ²¹.

تُصنع بعض الألياف والأقمشة غير المنسوجة تجارياً بطريق الإيزوسيانات مثل المنسوجة على المنسوجة بعض الألياف والأقمشة غير المنسوجة على المنسوجة بطريق الإيزوسيانات مثل على المنسوجة على المنسوجة ال

الأنهيدريد، ويُستعمل ثنائي إيزوسيانات التولوين وثنائي إيزوسياناتو ثنائي فينيل ميثان بصفتهما مركبات ثنائي إيزوسيانات 23.

3.2.15. الطريق المائي

يمكن استعمال الماء بصفته مذيباً لاصطناع PI. ولقد أقيم الدليل على طريق الاصطناع هذا لإنتاج بوليميرات PI تجاريّة 18.

بعكس الطريق التقليدي، يمر الطريق المائي عبر مركبات طليعية من ملح كربوكسيلي وملح أميني. في المرحلة الأولى من الاصطناع يجري تقطير مرتد في الماء لثنائي الأنهيدريد لحلمهته حلمهة كاملة. وبعد التبريد إلى درجة حرارة الغرفة، يُعدّل المحلول المائي من حمض ثنائي الكربوكسيليك بملح ثنائي الأمين الموافق فيتكوّن ملح. ويترسّب الملح من المحلول المائي. يُجفّف الراسب ويُسخّن إلى درجة حرارة 24,18 لنزع الماء وتكوين منتج PI النهائي 24,18.

يبيّن الجدول (15-2) المنتجات التي جرى إنتاجها بالطريق المائي. وفعلياً، لا يمكن تمييز الطيف تحت الأحمر (IR) لمركّب 1000®Ultem المتوفّر تجارياً عن ذلك الموافق للنوع المُنتج بالطريق المائي 18.

يقدّم الماء فوائد بيئيّة واقتصاديّة. ولكن تظهر نقطة سيّئة لهذه الطريقة، بسبب كونها تُتْجَز في خطوة واحدة. فالطريق المائي لاصطناع پولي(إيميد) يُنتج مركبّات غير قابلة للتشغيل، إذا كان البولي إيميد الناتج غير قابل للانحلال أو الانصهار ²⁵. بدلاً من ذلك يمكن استعمال مونوميرات مُفَلورة للحصول على منتجات قابلة للتشغيل ومستقرّة عند درجات الحرارة العالية. وإلا يمكن إنتاج منتجات وسطيّة منخفضة الوزن الجزيئي تتصلّد حرارياً.

الجدول (2-15): بوليميرات پولي (إيميد) مُنتجة بالطريق المائي 18

النوع	ثنائي أمين	ثنائي أنهيدريد
P84	TDA	4,4'-BTDA
Ultem®1000	MPD	4,4'-BPADA
PETI-5	4،3′- أوكسي ثنائي أنيلين +APB	4,4'-BPDA+PEPA

الشكل (4-15): البلمرة بالإزاحة النيوكليوفيلية

4.2.15. البلمرة بالإزاحة النيوكليوفيلية

تبدأ البلمرة بالإزاحة النيوكليوفيلية من مركبات البيس إيميد المونوميرية، التي جرى فيها استبدال هالوجين على الحلقة العطرية. تُوسّع سلسلة مركبات البيس إيميد عند الحلقة العطرية باستعمال مركبات بيسفينول. يُبيّن الشكل (15-4) مُخطّط هذه السيرورة.

5.2.15. الإيميدة التبادليّة

يعود تفاعل الإيميدة التبادليّة (Transimidization) للحصول على بوليميرات PI إلى بدايات تصنيع PI. إلا أنه في البداية جرى الحصول على بوليميرات منخفضة الوزن الجزيئي. يبيّن الشكل (5-15) تفاعل الإيميدة التبادليّة.

لقد جرى صقل مفهوم الإيميدة التبادليّة 26. يشتمل هذا الطريق على تفاعل أنهيدريد 4-هالو رباعي هيدروفتاليك مع أمين أولي مُنشِّط مثل 2-بيريديل أمين للحصول على 4-هالو رباعي هيدروفتال إيميد. تدعم الزمرة المُنشِّطة إمكانيّة عطرنة لاحقة. تتأثّر العطرنة تأثراً كبيراً بالاختيار المناسب للمُحفّز. يُعطي الكربون المُنشَّط المُعالج بمركبات النحاس مردوداً في جوار 90 في المئة. يجري قرن 4-هالو رباعي هيدروفتال إيميد بالتفاعل بملح ثنائي الصوديوم من أحد مركبات البيسفينول لنحصل على بيس إيميد. ويمكن عندئذ مُعالجة البيس إيميد مباشرة بثنائي أمين لنحصل على بوليميرات بولي (إيثر إيميد).

الشكل (5-15): تفاعل الإيميدة التبادليّة

6.2.15. توضيع الأبخرة كيميائياً

إن توضيع الأبخرة كيميائياً (CVD) هي تقنيّة أنيقة لوضع طلاءات بوليميريّة على ركائز متنوّعة بدون استعمال مذيبات 27. إلا أن التجهيزات المطلوبة أكثر تعقيداً مقارنة بالتقنيات التقليديّة. تُستعمل تقنية توضيع الأبخرة كيميائياً في فروع متنوّعة من الصناعة لأجل الطلاءات الواقية والمُقاومة للتأكّل.

يمكن توضيع أغشية من پولي (حمض أميك) و PI بطريقة توضيع الأبخرة كيميائياً. يجري تبخير مونوميرات ثنائي الأنهيدريد وثنائي الأمين في آن معاً. السيرورة جافّة تماماً بطبيعتها. يجب التحكم بمعدّل التبخير للحصول على كميّات المواد التي سيجري توضيعها وفق النسب الستوكيومتريّة (التفاعلية) المناسبة 28.

تُبدي البوليميرات PI التي نحصل عليها بتوضيع الأبخرة كيميائياً خواص شدّ أفضل ونفاذيّة للغاز أخفض، وذلك مقارنةً بعيّنات جرى الحصول عليها من صبّ المحاليل. يرجع ذلك إلى تفاعلات تشبيك تصالبي في بوليمير PI الذي نحصل عليه بتوضيع الأبخرة كيميائياً 29. ولقد جرت مناقشة تفاصيل بنية تجريبيّة حديثة في الأدبيات 30.

$$+$$
 H_2N
 \longrightarrow
 NH_2
 \longrightarrow
 $+$ H_2N
 \longrightarrow
 NH_2

 31 الشكل (6-15): تفاعل مركبات بيفينول مُعاقة مع ثنائي أمين

7.2.15. مركبات البيفينول المُعاقة

من الممكن اصطناع ثنائيات أنهيدريد بيفينول ابتداء من موافقاتها من مركبات البيفينول المُعاقة بقوة. ينتج من التفاعل مع ثنائيات الأمين بوليميرات PEI عالية الوزن الجزيئي، انظر الشكل (15-6). تقبل بوليميرات PEI التي نحصل عليها بهذه الطريقة الانحلال في تنوع من المذيبات العضوية، وتُبدي درجات حرارة انتقال زجاجي مرتفعة 32,31.

8.2.15. بوليميرات پولي (إيزوإيميد)

يبيّن الشكل (15-7) كسرة إيزو إيميد وتفاعل تكوّن الإيزوميرات. يمكن تحويل بوليميـرات بولي (حمض أميك) إلى بولي (إيزو إيميد) باستعمـال مركّبات كاربو ثنائـي الإيميد، أو أنهيدريد ثلاثي فلورو أسيتيك 33.

الشكل (7-15): تفاعل تكون الإيزومير إيميد من الإيزوإيميد

تلقّت بوليميرات بولي (إيزوايميد) الاهتمام بصفتها بوليميرات وسيطة لبوليميرات PI لأنّ إغلاق الحلقة في بوليمير بولي (حمض أميك) يجري بسرعة أكبر مع مركبات كاربو ثنائي الإيميد، مثل ثنائي حلقي هكسيل كاربو ثنائي إيميد، وذلك مقارنة بأنهيدريد الأسيتيك 34. إلاّ أنّ استعمال مركب كاربو ثنائي الإيميد يؤدّي حصرياً إلى كسر إيزوايميد في حين يؤدي استعمال أنهيدريد الأسيتيك إلى الإيميد العادي. ولكن بالمعالجة بعوامل التماكب المناسبة، مثل 1-هيدروكسي بنزو تريازول، أو 3-هيدروكسي-3-2،1 بنزوتريازين-4-أون، يمكن تحويل الإيزوايميد إلى الإيميد. هذه النقنيّة مناسبة لاصطناع راتنجات مال إيميد السائلة المتصلّدة حرارياً.

إنّ بوليميرات پولي (إيزو إيميد) أكثر انحلالاً من بوليميرات PI القريبة منها، وكذلك فإنّ لزوجة صهارتها أكثر انخفاضاً. لهذا السبب يجري استعمالها على نحو مقصود كصفّ بديل عن بوليميرات PI. فمثلاً يمكن توسيع سلسلة بوليمير پولي (إيزومال إيميد) بمونومير پولي (نيوكليوفيلي)، مثل پولي (ثيول) أو پولي (أول) أو پولي (أمين) 35.

9.2.15. بوليميرات پولي (إيميد) المُحمّلة بالوظائف

1.9.2.15. أنواع PETI

عندما تُضاف مُركبة وحيدة الوظيفة إلى المزيج المونوميري ينخفض الوزن الجزيئي. إن PEPA مركب يحمل زمرة أنهيدريد واحدة وزمرة فينيل إيثينيل واحدة أيضاً. تتفاعل زمرة الأنهيدريد مع زمرة الأميد وتعمل كموقف للسلسلة أثناء التكاثف. وفي مرحلة لاحقة، تكون زمر الفينيل إيثينيل المتدلية جاهزة للإنضاج الحراري. بالطريقة نفسها، يمكن استعمال أنهيدريد الناديك بصفته مُعدِّلاً تفاعلياً 36.

 14 PETI الجدول (3-15): نقاط انصهار بوليميرات

نقطة الانصهار [°C]	نوع PETI
297	4.3 ُ- بيس [4-(فينيل إيثينيل)فتال إيميدو]ثنائي فينيل إيثر
	PEPA-3,4'-ODA
260	N،N'-[2،2-(4-فينوكسي فينيل)سداسي فلورو إيزوبروبيليدين]-بيس-(4-
	فينيل إيثينيل فتال إيميد) PEPA-4-BDAF
285	N·N'-(4٠4'- ثنائي فينيلين إيثيلين)بيس (4- فينيل إيثينيل فتال إيميد)
	PEPA-4,4'-MDA
296	4·1)-'N·N' فينيلين)بيس (4- فينيل إيثينيل فتال إيميد)
	PEPA-p-phenylenediamine
248	N·N′-(3·1-فينيلين)بيس (4- فينيل إيثينيل فتال إيميد)
	PEPA-m-phenylenediamine(MPD)
167	N-[4-(3-فينوكسي)-4′-فينيل إيثينيل بنزوفينون]4′- فينيل إيثينيل فتال إيميد
	PEPA-APDE

 \dot{r} تُبدي المواد المبنيّة على هذا المبدأ لزوجة صهارة منخفضة. وهي مستقرّة لعدّة ساعات عند 20° 275 - 210. ولا يحدث الإنضاج الحراري لزمرة الفينيل إيثينيل إلى أيّ درجة محسوسة تحت درجة حرارة 300° درجة محسوسة تحت درجة حرارة 300° درجة منظومة راتنج متشابك 300° در الفينيل ايثينيل لتوفّر منظومة راتنج متشابك 300° در الفينيل المنابك المنابك المنابك 300° در الفينيل المنابك المنابك 300° در الفينيل المنابك المنابك المنابك المنابك المنابك 300° در المنابك المنابك 300° در المنابك 300° در المنابك المن

يمكن استعمال مونوميرات الإيميد المنتهية بمركّب فينيل إيثينيل (PETI) كمُمددات تفاعليّة لأوليغوميرات PETI القابلة للتشغيل بالصهارة 14. يبيّن الجدول (15-3) نقاط انصهار مثل هذه المونوميرات.

يمكن إنقاص لزوجة أوليغوميرات PETI بمزجها مع مونوميرات PETI. تمثلك الأوليغوميرات أوزاناً جزيئية في المجال 2000 – 5000 دالتون.

في حالة بوليميرات PI على قاعدة ثنائيات الأنهيدريد A,4'-BTDA و 4,4'-40'، بيفينيل (A,4'-BPDA)، تُبدي تلك التي تنتهي بأنهيدريد 4-(1-فينيل إيثينيل)8-1-نفتاليك (PENA) خواص أفضل مقارنةً بـ 38 PEPA. يمكن إنضاج الأوليغوميرات المشتقة من PENA عند درجات حرارة أخفض، وتُبدي البوليميرات الناضجة استقراراً أفضل إزاء التحلّل المائي من تلك الموافقة لـ PEPA.

2.9.2.15. أنواع أنهيدريد السيتراكونيك

تُوسس أنواع أخرى من الراتنجات ذات اللزوجة المنخفضة المناسبة للتشغيل بالقولبة بانتقال الراتنج، وسكب الراتنج، على قاعدة 4,4'-BPDA و 2° '-بيس (4-(4-أمينو فينوكسي) فينيل) بروبان و 2° . يُستعمل مول و احد من 2° 4,4'-BPDA و يجري تغذية بقيّة المركّبات بكميات قدر ها مولين.

وهكذا، يتكون مركب بنيتُه CA-BAPP-BPDA-BAPP-CA. نهايات الأوليغومير مغطاة بكِسَر CA. تبدي راتنجات PI درجات حرارة انصهار حوالى الأوليغومير مغطاة بكِسَر CA. تبدي راتنجات PI درجات حرارة انصهار حوالى 175°C. لزوجة الصهارة عند 2000°C هي أقل من 2000°C. يجري إنضاج الوحدات ذات النهايات المغطاة عند 330-350°C. يمكن تحضير مواد مركبة مقواة بنسيج كربوني من هذه المواد.

3.9.2.15. أنواع الإيزوسيانات

يمكن توسيع بوليميرات PI العطريّة ذات زمر أنهيدريد نهائيّة بمفاعلتها مع مركّبات بولي إيزوسيانات عطريّة 40.

10.2.15. مركبات بيس (مال إيميد)

إنّ راتنجات بيس (مال إيميد) هي أكثر راتنجات PI المتصلدة حرارياً شيوعاً. إن تتوعاً واسعاً من هذه الراتنجات معروف. تشتهر تركيبات البيس مال إيميد المتصلدة حرارياً المتوفرة تجارياً بارتفاع معامل مرونتها، ومقاومتها الممتازة للتفكّك الحراري.

ومن ناحية أخرى، تشتهر تركيبات التصلّد الحراري هذه بهشاشتها 41. تمكن الاستفادة أكثر من صف البيس مال إيميد المتصلّد حرارياً، من خلال صياغات أقلّ هشاشة تحتفظ بالخواص الحراريّة وتلك المتعلّقة بالمرونة.

يمكن تحقيق تحسين في أداء بوليميرات التصلّد الحراري من المال إيميد عبر دمج مركّبات مال إيميد موسّع بإيميد. يجري تحضير مركّبات المال إيميد بيسر من تكاثف الأنهيدريدات المناسبة مع ثنائيات الأمين المناسبة لتعطي مركّبات منتهية بأمين. وبعدئذ تُكاثف هذه المركّبات مع فائض من أنهيدريد المالييك لتعطي مركّبات مال إيميد موسّعة بإيميد.

11.2.15. بوليميرات يولى (إيميد سلفون)

يمكن جمع الخواص المرغوبة من بوليميرات PI وبوليميرات بولي (سلفون) في راتنج واحد، كما في حالة پولي (إيثر إيميد سلفون) 4. تمثلك هذه الراتنجات مستويات منخفضة من أنواع طيّارة متبقيّة، ومستويات منخفضة من الزمر التفاعليّة. لذلك يمكن تحضير سلع من هذه الراتنجات، تكون بشكل أساسي خالية من الفراغات والفقاعات والتباعدات والعروق، وغير ذلك من العيوب. يبيّن الجدول (4-15) المونوميرات التي تُدخِل زمر السلفون في البوليمير.

يمكن تحضير بوليميرات پولي(إيثر إيميد سلفون) مع أنواع طيّارة متبقّية بتركيز أخفض من 500 ppm. تمتلك الراتنجات مُقاومة حراريّة، وإمكانيّة تشغيل صهارة جيّدتين.

4 ذات زمر سلفون	مونوميرات	:(4-15)	الجدول
--------------------	-----------	---------	--------

ثنائيات الأنهيدريد
ثنائي أنهيدريد 4،4′-بيس (4،3-ثنائي كربوكسي فينوكسي) ثنائي فينيل سلفون
ثنائي أنهيدريد 4،4′-بيس (3،2-ثنائي كربوكسي فينوكسي) ثنائي فينيل سلفون
ثنائيات الأمين
ثنائي أمينو ثنائي فينيل سلفون
بيس (أمينو فينوكسي فينيل)-سلفون

3.15. الخواص

يُستعمل PI استعمالاً واسعاً بصفته مادة واقية، أو مادة عازلة في حقل الإلكترونيات نظراً إلى خواصه الجيّدة، مثل مقاومته الميكانيكيّة العالية، ومقاومته الحراريّة العالية، ومقاومته للمذيبات. يُبيّن الجدول (5-15) بعض الخواص الفيزيائيّة المُختارة لبوليمير PEI مُتلدّن حرارياً. يجري الحصول على أولتيم ®Ultem من ثنائي أنهيدريد بيسفينول A مُتلدّن حرارياً. يجري الحصول على أولتيم هي 217°C. يجب تأكيد وجود الكثير من أنواع راتنجات PI المختلفة ذات الخواص المتباعدة. لذلك فالمعطيات في الجدول (5-15) ليست مُمثلة لكامل صف بوليميرات PI.

الجدول (5-15): خواص 1000 @Ultem

المقياس	الو احدة	القيمة	الخاصية
ASTM D792	g cm ⁻³	1.27	الكثافة
ASTM D1238	g/ 10 min	9.0	$^{\mathrm{a}}(\mathrm{MFR})$ معدّل انسياب الصهارة
ASTM D570	%	0.25	امتصاص الماء، 24 ساعة
ASTM D570	%	1.3	امتصاص الماء عند التوازن (23°C)
ASTM D638	MPa	3590	معامل الشد
ASTM D638	MPa	110	مقاومة الشد عند الخضوع
ASTM D638	%	7	استطالة الشد عند الخضوع
ASTM D638	%	60	استطالة الشد عند الكسر
ASTM D790	MPa	3520	معامل الانحناء ^b
ASTM D790	MPa	165	$^{ m b}$ مقاومة الانحناء عند الخضوع
ASTM E132		0.36	نسبة بواسون
ASTM D1044	mg	10.0	مقاومة حتّ تابر (Taber)
ASTM D256	Jm^{-1}	53.4	صدم أيزود المثلوم (C°23°C)
ASTM D256	Jm^{-1}	1330	صدم أيزود غير المثلوم (23°C)
ASTM D256	Jm^{-1}	1300	عكس صدم أيزود المثلوم ^d
ASTM D3029	J	36.6	صدم غاردنر (Gardner) (23°C)
ASTM D785	J	109	قساوة روكوِل(Rockwell) (سُلِّم M)
ASTM D648	°C	210	DTUL 66psi، غير المعالج حر ارياً ^e
ASTM D648	°C	201	DTUL 264psi، غير المعالج حرارياً ^e
ASTM D1525	°C	219	نقطة تليُّن ڤيكات (Vicat)
ASTM C117	$Wm^{-1}K^{-1}$	0.22	الموصليّة الحراريّة
ASTM D257	Ω cm	1.0×10^{17}	الممانعة النوعية الحجميّة

 ${\rm (6.40\,mm)}^e \quad {\rm (3.20\,mm)}^d \quad {\rm (1000\,Cycles)}^c \quad {\rm (100\,mm\,Span)}^b \quad {\rm (337\,^\circ C/6.6kg)}^a$

كثيراً ما تُستعمل بوليميرات PEI بصفتها مواد عازلة للدارات المتكاملة والدارات المطبوعة لتميّزها في مقاومة الحرارة، وخواص العزل الكهربائي والخواص الميكانيكية. ومع ذلك يمكن تحسين الخواص الكهربائية بالمزج مع بولي (إيثر الفينيلين)، الذي يمتلك سماحيّة نسبيّة منخفضة، ولكنّه بالمقابل سيّئ من جهة مقاومته الميكانيكيّة، وقابليّته للقولبة، ومقاومته للحرارة. بدلاً من ذلك، فقد جرى تطوير أنواع من PEI ذات سماحيّة نسبيّة

ومُعامل تبديد عزل كهربائي منخفضَين ⁴². وتتمثّل مُقاربة أخرى بتوفير مواد PI مساميّة ⁴³. يُحسّن إدخال زمر ثلاثي فلورو ميثيل جانبيّة إلى السلسلة الرئيسيّة الخواص البصريّة ⁴⁴. إنّ بوليميرات PI حسّاسة للتحلّل المائي ⁴⁵. وهناك عدّة أنواع من PI تقبل الامتزاج فيما بينها ^{47,46}.

إنّ الخلائط القابلة للامتزاج في الغالب مهمة لأنها تُسهّل تصنيع المنتجات النهائية. يُبيّن الجدول (15-6) الخلائط القابلة للامتزاج الشائعة من PI مع بوليميرات أخرى. تمكن زيادة انحلاليّة بوليميرات PI بإدخال كِسَر مرنة في السلسلة الرئيسيّة.

الجدول (15-6): خلائط PI القابلة للامتزاج أو القابلة للامتزاج جزئياً

المر اجع	بوليمير آخر	پولي(إيميد)
49	Torlon®4000T	Matrimid®5218
50	بولي بنزيميدازول	Matrimid®
51	پولي(إيثر سلفون)	Matrimid®5218
52	پولي(إيثر إيثر كيتون)	(ODA+4,4'-ODPA) YS-30
53	PEI	(Ciba) XU-218

4.15. اضافات خاصة

تُعرَف راتنجات PEI بارتفاع درجات حرارة التشوّة الحراري، وارتفاع درجات حرارة انتقالها الزجاجي، وهذا ما يجعل استعمالها كطلاءات أو سلع مقولبة أو مواد مركّبة، أو ما شابه ذلك، أمراً جذّاباً حيث تكون مقاومة درجات الحرارة المرتفعة أمراً مرغوباً. ولكن نظراً إلى ارتفاع درجة حرارة الانتقال الزجاجي وارتفاع لزوجة الصهارة، فإنّه من الصعوبة بمكان تشغيل بوليميرات PEI وصولاً إلى المنتج النهائي. إذ يجب إجراء القولبة والبثق والبخ وغير ذلك عند درجات حرارة عالية لتلدين راتنج PEI. هناك خاصتان تحدّان من استعمال تركيبات PEI، وخصوصاً في تطبيقات القولبة بالحقن، هما تحرير القالب وتدفّق الصهارة أمرٌ أساسي لتحقيق دورات قولبة سريعة، ولقولبة أجزاء معقّدة. ولقد جرى تطوير عوامل تحرير القوالب، مثل حمض الستياريك. تُحسّن هذه الإضافة أيضاً خواص التدفّق.

لقد جرى استعمال ألياف الكربون لجعل مزائج PEI و يولي (ترفتالات الإيثيلين) ناقلة كهربائياً. تُظهر مثل هذه التركيبات استقراراً بُعدياً جيّداً عند درجات حرارة مرتفعة، وخصوصاً عند تسخينها تسخيناً سريعاً باستعمال الإشعاع الكهرطيسي، وهذا ما يجعلها مفيدة في القطع والعمليات التي يكون فيها التجميع السريع أمراً مهماً 55.

5.15. تطبیقات

1.5.15. الرغويات

تُستعمل الرغويات من PI:

- في وصل المعادن إلى المعادن أو المعادن إلى بني من مواد مركبة،
- وبصفتها رغویات انشائیة، ذات جساءة انشائیة متزایدة دون زیادة کبیرة بالوزن،
 - ومواد عازلة منخفضة الكثافة للتطبيقات الحراريّة أو الصوتيّة.

في الأصل كانت هناك ثلاثة طرق معروفة لإنتاج الرغويات من بولي (إيميد) 57 :

- 1. يُسخُن مزيج مونوميري مكون من إستر لحمض بنزوفينون رباعي كربوكسيليك ومن بولي أمين، مع محتوى قدره 9 في المئة من مواد طيارة إلى درجة حرارة حرجة يجري عندها تكون الرغوة بالتزامن مع بلمرة مركبات رباعي الكربوكسيليك والبولي أمين حتى تتكون رغوة PI.
- 2. يُضاف مزيج من ثنائيات الأمين إلى محلول كحولي من نصف الإستر لحمض بنزوفينون رباعي كربوكسيليك، ويجرى التفاعل حتّى يتكوّن سائل ثقيل. يُسخّن هذا السائل ليتكوّن مركّب طليعي لراتنج PI. يُطحن المركّب الطليعي إلى مسحوق يُنثر على رُقاقة ألمنيوم موضوعة على صفيحة ألمنيوم ويُسخّن حتّى محوق يُنثر على رُقاقة ألمنيوم موضوعة على صفيحة ألمنيوم ويُسخّن حتّى 59,57
- 3. يمكن استعمال الأمواج المكروية لتحويل طليعي PI إلى بنية خلوية، يجري بعد ذلك إخضاعها لعملية إنضاج نهائية في فرن حراري.

تستعمل بعض طرائق صنع رغويات PI محاليل ثنائيات الأمين وثنائيات الأنهيدريد أو مشتقات ثنائيات الأنهيدريد في مذيب كحولي ألكيلي منخفض الوزن الجزيئي. يجري بعدئذ معالجة محاليل المواد الطليعيّة أو مساحيقها لتكوين الرغويات عبر طرد الماء والكحول أثناء عمليّة الإيميدة الحراريّة. تتطلّب بعض هذه السيرورات تطبيق أمواج مكرويّة لاستهلال سيرورة تكوّن الرغوة.

يمكن بترغية محلول إيزوسيانات تحضير رغويات بمجال واسع من الكثافات، وخصوصاً منخفضة الكثافة منها، مع التركيبة المرغوبة من الخواص الميكانيكية، ومقاومة اللهب. يجري تحضير محلولين، يحتوي أحد هذه المحاليل على ثنائي الأنهيدريد، ومحفّزات لترغية الإيزوسيانات وغير ذلك من المكوّنات، مثل عوامل النفخ ومبطّئات اللهب. ويحتوي المحلول الآخر على الإيزوسيانات. المذيب المفضل هو DMF. عندما يجري مزج المحلولين، يبدأ تكوّن الرغوة. تتكوّن رغوة PI بتسخين الرغوة في فرن أمواج مكروية 56. ونحصل على رغويات صفراء ساطعة.

1.1.5.15. الهلاميات الهوائية

الهلاميات الهوائية (Aerogels) هي مواد صلبة تتكون من شبكة عالية المسامية من مسامات ذات قياسات مكروية وميزوية. يمكن للمسامات في هلاميات هوائية أن تكون أكثر من 90 في المئة من الحجم عندما تكون كثافتها حوالي 0.05 g cm⁻³. يجري عموماً تحضير الهلاميات الهوائية بتقنية تجفيف فوق الحرج، أي سيرورة محلول-هلام، لإزالة المذيب من الهلام. تجري السيرورة بطريقة لا يمكن فيها أن يحدث تبخر للمذيب، ومن ثمّ لا يحدث أي تقلص.

يُحضر هلام هوائي في ثلاث مراحل 60:

- 1. حلُّ المادّة الحلولة في المذيب.
- 2. تكوّن المحلول المعلّق (sol) وتكوّن الهلام.
- 3. إزالة المذيب بدون أن يتسبب ذلك بانهيار المسامات.

تُتتَج هلاميات PI الهوائيّة باصطناع بوليمير PI عالي التمديد في مُذيب. ثُمّ يُستبدل ثنائي أوكسيد الكربون فوق الحرج بالمذيب. وعندما لا يكون المذيب قابلاً للامتزاج مع ثنائي أوكسيد الكربون فوق الحرج، يمكن الاستعاضة عنه بأي مذيب يقبل الامتزاج مع

ثنائي أوكسيد الكربون فوق الحرج. ويمكن إجراء إنضاج لاحق قبل استبدال ثنائي أوكسيد الكربون فوق الحرج أو بعده.

إنّ هلاميات PI الهوائيّة مناسبة للاستعمال كمواد للعزل الحراري مع درجات حرارة خدمة تتراوح بين درجات الحرارة الفائقة البرودة وحتّى 500° C. ويمكن انطلاقاً من هلاميات PI الهوائيّة عند تحلّل هلاميات PI الهوائيّة حرارياً $\frac{60}{0}$.

2.5.15. تقانة الأغشية الفاصلة

تُعتبر بوليميرات PI مواد جذّابة لأغشية فصل الغازات، وذلك بسبب جودة خواص فصلها للغاز وخواصها الفيزيائيّة. ولقد جرت عدّة محاولات لتعديل البنية الكيميائيّة لبوليميرات PI بهدف بناء مواد أغشية عالية النفاذيّة وذات نفاذيّة انتقائيّة. ولقد وُجد أنّ مزائج من PI تُبدي أداءً مُحسّناً في تطبيقات فصل الغازات 23.

يمكن أن تعاني بوليميرات PI تقادماً قاسياً وتدهوراً في الأداء بسبب تكثيفها أو تلدنها. ولقد جرى تقديم دراسة أساسيّة حول الثلدّن مع بوليمير PI على قاعدة ثنائي أنهيدريد 40-4-سداسي فلورو إيزو بروبيليدين ثنائي فتاليك و 6.5.3.0-رباعي ميثيل -4.1- فينيلين ثنائي الأمين، باستعمال CO_2 و N_2 و N_2 بصفتها غازات نافذة O_2 مع ارتفاع درجة الحرارة، تتخفض نفاذيّة O_2 مع ارتفاع درجة الحرارة، يُرجَعُ هذا الأثر إلى حقيقة أنّ الانحلاليّة الغازيّة تتخفض مع ارتفاع درجة الحرارة، كما يُلحظ هذا كثيراً مع البوليميرات الزجاجيّة. تتغيّر النفاذيّة مع الضغط، أو بدقة أكثر مع معامل بُعد ضغط الغاز عن ضغط الغاز المثالي (Fugacity). يتميّز الأثر التلديني بمنحن محدّب ذي قيمة صغرى، ويُشار إلى القيمة الصغرى باسم ضغط الثلدين.

يوفر تشبيك بوليمير PI أغشية فصل ذات خواص مضادة للتلدين ومقاومة كيميائية جيّدة. يمكن تحقيق التشبيك التصالبي بعدّة طرائق تضمّ 62:

- تفاعلات تشبيك تصالبي كيميائية ضوئية (فوتوكيميائية) مُحرّضة بالضوء فوق البنفسجي في بوليميرات PI المحتوية على البنزوفينون،
- تكوين شبكات متداخلة باستعمال مزائج بوليميريّة، يليها مُعالجة حراريّة تحت درجات حرارة مرتفعة.

1.2.5.15. الأغشية المتشبكة تصالبياً

تؤدي الجزيئات الشجريّة التشعّب المؤسسة على قاعدة ثنائي أمينو بوتان دور عوامل تشبيك تصالبي لأنواع بوليميرات PI المُفلورة، وهي نشطة عند درجة حرارة الغرفة 63,62.

إنّ أنواع PI المبنيّة من 6،4،2-ثلاثي ميثيل -3،1-فينيلين ثنائي الأمين وثنائي أنواع PI المبنيّة من 6،4،2-ثلاثي ميثيل -3،1-فينيلين ثنائي الأمين وثنائي أنهيدريد 3،3/4،4/-بنزوفينون رباعي كربوكسيليك هي بوليميرات قابلة للتشبيك التصالبي فوتوكيميائياً بسبب البنزوفينون المُقحم فيها. إنّه من الأساسي أن ترتبط زمر الألكيل المتدلية بالبنية العطريّة 64. ولكن أثير الاعتراض إلى أنّ التشبيك التصالبي الفوتوكيميائي لا يمثّل طريقة عمليّة لصنع أغشية فصل الغاز بثمن مقبول 65.

2.2.5.15. المزائج

غالباً ما تتادن المواد البوليميرية الزجاجية عند استعمالها في أغشية فصل الغازات بسبب الامتصاص. يمكن التغلّب على هذا بالمعالجة الحراريّة أو التشبيك التصالبي، ومع أنّ هذه الطريقة لا تؤثّر في انتقائيّة الغشاء، فإنها تخفض النفاذيّة. طريقة أخرى تساعد في جعل التلدين مستقراً هي في استعمال مزائج بوليميريّة، كما جرى إثبات ذلك باستعمال مركّب Matrimid®5218 وبوليمير الإيميد المشترك P84. تُصبح المادّة مستقرة إزاء مركّب أوكسيد الكربون، وتتحسّن الانتقائيّة إزاء مزيج من ثنائي أوكسيد الكربون والميثان 66. لقد جرى تطوير أغشية ذات ألياف مفرّغة مكوّنة من مزائج من بوليميرات PI ذات مُقاومة مُحسّنة تجاه الهيدر وكريونات 67.

3.2.5.15. الأغشية الفاصلة ذات الحاضنة المختلطة

بعكس أغشية الفصل العادية، تتكون أغشية الحاضنة المختلطة من بوليميرات عضوية مُتضمَّنٌ فيها جسيمات لا عضوية مثل الزيوليت، والمناخل الكربونية الجزيئية، أو جسيمات نانوية. يُعتقد أنّ أغشية الفصل ذات الحاضنة البوليميريّة تُحقّق أداءً أعلى من الأغشية البوليميريّة التقليديّة. إضافة إلى ذلك يتحسّن الأداء الميكانيكي السيئ للأغشية اللاعضويّة بتضمينها في مصفوفات بوليميريّة طيّعة 68.

لقد جرى تحضير أغشية ذات حاضنة مختلطة مع الزيوليت كجسيمات لا عضوية، وحاضنات بوليميرية مثل بولي (أسيتات الڤينيل) (PVAc) و ®Ultem وهاضنات بوليميرية مثل بولي (أسيتات الڤينيل) (PVAc) و هالأغشية البوليميرية النقية وتصل انتقائية الآزوت إلى الأوكسجين إلى ضعفي ما تُحققه الأغشية البوليميرية النقية التقليدية. بوليمير PVAc في الأغشية ذات الحاضنة المختلطة. يعود هذا إلى الانتقائية الجوهرية الأعلى للبوليمير نفسه. يمكن استعمال مركبات الأمينو سيلان كعوامل تقارن. زمرة الهيدروكسيل زمرة تفاعلية مع سطح الزيوليت، ويمكن لزمرة الأمينو أن تتفاعل مع زمرة الإيميد 68.

4.2.5.15. أغشية الفصل الكربونية

يمكن تحضير أغشية فصل كربون بالتحلل الحراري لبوليمير كابتون ®Kapton عند درجات حرارة مختلفة. يحدث التحلّل الحراري في الخلاء أو تحت دفق من الآزوت. تُبدي أغشية الكربون المُحضرة عند 1273K وتحت الخلاء أعلى حجم مكروي المسامات. بالمقابل تبدي الأغشية الفاصلة المحضرة عند 1073K أعلى طاقة امتزاز 69. يبيّن الجدول (15-7) النفاذيّة الغازيّة، ومُعاملات الفصل لأغشية الكربون.

تعتمد الانتقائية التي يجري الحصول عليها بقوة على طريقة التحلّل الحراري المستعملة، إمّا في الخلاء أو تحت دفق من الآزوت، وعلى درجة حرارة هذه السيرورة. عموماً، تكون الانتقائية أفضل بكثير عند إجراء التحلّل الحراري تحت الخلاء. وبالمُقابل، تُبدي الأغشية المُحضرة تحت دفق من الآزوت نفاذيّة أعلى من تلك المحضرة في الخلاء عند درجة الحرارة نفسها.

الجدول (7-15): النفاذيّة الغازيّة ومُعاملات الفصل في حالة أغشية الكربون الجدول (1173 69 التي يجري الحصول عليها تحت الخلاء عند

معامل الفصل	المزيج	النفاذيّة	الغاز
		$molm^{-2}s^{-1}Pa^{-1}$	
558.27	He/ N_2	7.26	Не
60.87	CO_2/N_2	0.79	CO_2
19.69	O_2/N_2	0.26	${\bf O}_2$
138.53	$\mathrm{CO_2}/\mathrm{CH_4}$	0.13	\mathbf{N}_2
		0.006	$\mathrm{CH_4}$

5.2.5.15. إغناء الغازات الحيوية بالميثان

لقد جرى ذكر أغشية لفصل الغازات الحيويّة 70 . تحتوي الغازات الحيويّة الخام على نسبة حوالى 70 60 في المئة من 70 61 ونسبة 70 62 في المئة من 70 76 في المئة من 70 87 ونسبة 70 87 و 70 98 و 70

6.2.5.15. أغشية النفاذ البخاري

إن فصل المزائج الآزيوتروبية باستعمال السيرورات التقليدية مثل التقطير أمر صعب. وبالمُقابل تُعتبر تقنية النفاذ البخاري طريقة واعدة بسبب بساطتها واستهلاكها المنخفض للطاقة. تستعمل تقنية النفاذ البخاري أغشية لا متناظرة لفصل مزائج سائلة، يبقى السطح الكثيف والانتقائي من الغشاء على تماس مع السائل في حين يُخلّى الجانب المُقابل أو يُجرف بواسطة غاز حامل.

وتتوفر دراسة منهجيّة عن الخواص الفيزيائيّة وعن أداء تقنيّة النفاذ البخاري لأنواع متعدّدة من أغشية PI. في مُعظم أنواع الأغشية التي جرى تحريها، تسعى مُعاملات الفصل إلى المزائج نحو الزيادة مع ارتفاع درجة حرارة العمل. ولقد جرى إثبات وجود ارتباط بين التدفّق والمسافة بين السلاسل (التباعد من النمط d). بالمقابل، لا توجد علاقة واضحة بين التدفّق وبين الحجم الجزئي الحرّ.

لقد جرى استعمال مواد PI لإزالة الماء من مزائج ماءاكحول بطريقة النفاذ البخاري 72. ولقد جرى استعمال الألياف المفرّغة من البوليمير المشترك P84-co-PI المملوءة بالزيوليت 74 في إزالة الماء بالنفاذ البخاري من الإيزوبروبانول. إضافة إلى ما سبق، تُستعمل أغشية من الألياف المفرّغة المُضاعفة الطبقة من البوليمير المشترك P84-co-PI في إزالة الماء من رباعي فلورو بروبانول 75.

7.2.5.15. أغشية التبادل الأيوني

لقد جرى تطوير أنواع PI مُسلفنة ومتشبّكة تصالبياً للاستعمال بصفتها أغشية لتبادل الكاتيونات. تمتلك بوليميرات PI المُسلفنة موصليّة بروتونيّة ممتازة إضافة إلى انخفاض ثمن تحضيرها. يمكن استعمال هذه الأغشية بصفتها أغشية كهرليت بوليميري في خلايا

الوقود الهيدروجينيّة أو ذات الميثانول المباشر، للسيارات الكهربائيّة أو المصادر المحمولة للطاقة الكهربائيّة 76.

يبدأ اصطناع الأمينات ذات زمر حمض السلفوني، مثل حمض 4،4'-بيس (4-أمينو فينيل ثيو) فينوكسي) بنزوفينون -3،3'-ثتائي سلفونيك وحمض 4،4'-بيس (4-أمينو فينيل ثيو) بنزوفينون -3،3'-ثتائي سلفونيك، من 4،4'-ثتائي كلورو بنزوفينون بالسلفنة بحمض الكبريت. وفي المرحلة الثانية يجري قَرْن 4-أمينوفينول بوجود كربونات البوتاسيوم اللامائية 77.

وعند استعمال حمض 5،3-ثنائي أمينو بنزويك (DBA) بصفته ثنائي أمين، تتكون بوليميرات PI ذات زمر كربوكسيل متدلّية 78. إنّ زمر الكربوكسيل هذه قابلة للتشبيك بواسطة ديولات خطيّة أليفاتيّة. يعتمد أداء الغشاء بقوّة على طول سلسلة الديولات المتشبّكة. ينتج من سلاسل أطوالها أقصر من أربع ذرات كربون بنية متراصّة للمادّة، في حين تُبدي مُباعدات أطول امتصاصاً للماء وموصليّة بروتونيّة أعلى، مع نفاذيّة أخفض للميثانول وذلك بالمقارنة مع مواد غير متشبّكة.

يمكن تقوية الأغشية بواسطة مواد بولي (رباعي فلورو إيثيلين) (PTFE) مسامية. على وجه الخصوص يجري تشريب PTFE المسامي ببوليمير PI المُسلفن في محلول من ثنائي ميثيل السلفوكسيد. يزيد PTFE الاستقرار إزاء التحلّل المائي لبوليمير PI .

يجب توخي الحذر بشأن الاستقرار في شروط التطبيق الطويل الأمد. فالأغشية ذات الكسر الفتاليّة ليست مستقرة استقراراً مرضياً في شروط خلايا الوقود 80. يمكن تحسين الاستقرار تحسينا ملموساً باستعمال مونوميرات نفتالينيّة بدلاً من مونوميرات فتاليّة. إلا أن هذه الأنواع صعبة التصنيع والإنهاء.

إن بوليميرات PI حسّاسة للتحلّل المائي بوجه عام، وتتحسّن الحساسيّة بإدخال زمر حمض السلفونيك، تتجم نقطة الضعف إزاء التحلّل المائي من سيرورة أكسدة منشّطة حرارياً 81.

تُظهر الدراسة بالأشعة تحت الحمراء للأغشية الفاصلة المتضررة تدهوراً كيميائياً محسوساً، يُرجَعُ إلى التحلّل المائي لكسر الإيميد. حيث تتكسر السلاسل الرئيسيّة، وإلى جانب تفكّك السلاسل الرئيسيّة، يبدو أنّ سطح الغشاء الذي يواجه الحجرة المصعدية يخضع

لسيرورة مؤكسدة إضافيّة 80 . يمكن، إلى جانب التحري بالأشعّة تحت الحمراء، تتبّع التفكّك الكيميائي بو اسطة قياسات لزوجة 82 .

3.5.15. تقانة المُحسّات

يمكن توضيع مسالك نحاسية منمطة على أغشية PI مرنة. تُستعمل هذه التجهيزات في التطبيقات الإلكترونية.

باستعمال طابعة مكتب نفّاثة للحبر تقليديّة، يجري بخّ محلول مائي من البالاديوم(II) على سطع غشاء مُعالَج من PI. ثُمّ يجري إرجاع البلاديوم(II) بالمعالجة بواسطة بوروهيدريد الصوديوم (Na BH4). وأخيراً يجري توضيع طبقة من النحاس بواسطة طلي النحاس اللاكهربائي 83 . تتكوّن معالجة سطح PI بهدف جعله يتقبّل البلاديوم(II) إما من أكسدة قلوية بمركّب 83 مند 80 لمدّة 60 دقيقة، أو ببساطة باستعمال مركّب NaOH عند درجة حرارة الغرفة مدّة اثنتين وسبعين ساعة. تُعطي المعالجة الأخيرة نتائج أفضل. ويمكن إنشاء بنى أبعادها تصل إلى 100 مع التصاق جيّد للنحاس.

بأسلوب مُشابه جرى وضع طبقات من أنماط ذهبيّة على ركائز من PI بواسطة الطباعة بالتماس المكروي، يجري ضغط ختم بوليميري مبلّل بالتماس المكروي، يجري ضغط ختم بوليميري مبلّل بمحلول هيدروكسيد البوتاسيوم على الركيزة من PI، فتصبح المناطق المُعالجة قلوياً من الركيزة مُحبّة للماء وتسعى إلى الإمساك بمحلول البالاديوم(II). وبالطريقة التي وصفناها سابقاً، يجري إرجاع أيونات البالاديوم الملتصقة بواسطة $NaBH_4$ ، ثُم تُطلى كهربائياً.

لقد جرى تطوير مسارٍ مرنة من PI على هيئة أنساق من المساري المكروية بهدف الاستعمال في تطبيقات سبر الكمون الكهربائي في الكائنات الحية 85. يمكن استعمال المساري المكروية القابلة للزرع لتسجيل الكمونات الناجمة عن النشاط العصبي، أو الحقول الكهربائية الموضعيّة من داخل الدماغ. تتكوّن أنساق PI من طبقات متناوبة من PI والبلاتين. يجري تصنيع هذه التجهيزات بواسطة التخريش بالأيونات التفاعليّة.

يمكن استعمال المواد المركبة النانويّة المكوّنة من جسيمات نانويّة من Ag المتضمّنة في أغشية رقيقة من PI المُفلور بصفتها مُحسّات ضوئيّة للأبخرة العضويّة 86. مُقارنة بـــ PI المُفلور شفافيّة بصريّة مُحسّنة في المجال المرئي. تتكوّن بوليميرات

PI المُفلورة من ثنائي أنهيدريد 4،4′-سداسي فلورو إيزوبروبيليدين ثنائي الفتاليك، ورباعي ميثيل -p-فينيلين -ثنائي الأمين، أو A,4′-BPDA و 1،1-بيس (4-أمينوفينيل)-1-فينيل -2،2،2-ثلاثي فلورو إيثان. وبهدف تحسين مساميّة الأغشية، تُضاف كميّات صغيرة من عامل نفخ مثل آزو ثنائي كربون أميد (ADC) إلى محلول PI قبل صبّه. ثُمّ يمكن إزالة ADC انتقائياً بمعالجة حراريّة. يُسبّب تفاعل المادّة المُحلّلة مع الأغشية تغييراً في موضع ذروة امتصاص البلازمون (*) (Plasmon) للجسيمات النانويّة سببه تغيير في وسطى قرينة انكسار الوسط المحيط في المجال المرئي أوفوق البنفسجي القريب.

4.5.15. كهرليتات الحاضنات البوليميرية

يمكن للكهرليتات المستعملة في بطّاريات الليثيوم أن تكون سائلة أومؤسسة على قاعدة البوليميرات. إنّ بطّاريات الليثيوم المحتوية على كهرليتات سائلة متوّفرة في الأسواق منذ عدّة سنوات. ويجري إنتاج بطاريات الليثيوم القابلة لإعادة الشحن ذات الكهرليت السائل إنتاجاً كميّاً لتطبيقات مثل الحواسيب المحمولة، وكمرات التصوير، والهواتف الخلويّة 87. تمثلك بطّاريات الليثيوم المؤسسة على تقانة الكهرليت السائل بعض النقاط السلبيّة.

يتطلّب الكهرليت السائل عموماً سداً محكماً مما قد يُسبّب تخفيضاً في كثافة الطاقة, إضافة إلى ذلك، يجري لأسباب تتعلّق بالأمان تصميّم بطّاريات أيونات الليثيوم القابلة لإعادة الشحن وبطّاريات معدن الليثيوم العاديّة، ذات الكهرليت السائل بحيث تُنفُسُ تلقائياً عند تعرّضها لشروط إساءة استعمال، مثل ارتفاع كبير في الضغط الداخلي، يمكن أن يكون ناتجاً من سخونة زائدة داخليّة أو خارجيّة. إذا لم تُنفِّس الخليّة تحت الضغط العالي، يمكنها أن تنفجر بسبب كون الكهرليت السائل المستعمل في خلايا الليثيوم السائلة شديد القابليّة للاشتعال.

بديلٌ عن بطّاريات الليثيوم ذات الكهرليت السائل هي تلك ذات الكهرليت البوليميري الصلب. الكهرليتات البوليميريّة الصلبة هي عموماً من النوع الهلامي الذي يحصر المذيب والملح في مسامات البوليمير ليوفّر وسطاً للموصليّة الأيونيّة. يبيّن الجدول (8-15) الكهرليتات البوليميريّة النموذجيّة.

^(*) البلازمون هو تكميم لاهتزاز البلازما كما يكون الفوتون تكميماً لاهتزاز الضوء (المترجم).

الجدول (15-8): بوليميرات للكهرليت ⁸⁷ البوليمير پولي(أكسيد الإيثيلين) پولي(أكريلونتريل) پولي(ميتاكريلات الميثيل)

پولي(اپميد)

بولى (فلوريد القينيليدين)

تعمل الكهرليتات البوليميريّة عموماً كفواصل تفصل بين غشاءَي المهبط والمصعد في البطاريّة.

وبسبب كون كهرليتها مادة غير طيّارة وهي عموماً لا تتسرّب من البطاريّة في شروط العمل العاديّة، فإنّ بطّارية ليثيوم ذات كهرليت بوليميري هي جوهرياً أكثر أماناً من بطاريّة ليثيوم ذات كهرليت سائل. يلغي الكهرليت البوليميري الحاجة إلى التنفيس وضبط ضغط التغليف اللازمة عموماً لعمل بطاريات الليثيوم ذات الكهرليت السائل.

لقد جرى اصطناع أنواع خاصة من PI للاستعمال بصفتها كهرليتات بوليميرية 87. ولقد وُجِدَ أنّ المُكافئ البوليميري لوسطي قوة العزل الكهربائي يزداد مع ازدياد عدد حلقات الإيميد الموجودة في واحدة الكتلة. يُعتقد أنّ ارتفاع قوة العزل الكهربائي المُكافئة يؤدّي إلى تحسن التأثيرات المتبادلة للملح، الذي يؤدّي بدوره إلى تحسن الموصلية الأيونية للكهرليت ذي الحاضنة البوليميرية. نحصل على أعلى موصلية أيونية عندما تشكّل المنظومة المكوّنة من PI والملح والمذيب، حاضنة صافية تامّة التجانس. ويُتوقع أن يؤدّي أيّ انفصال في الطور إلى انخفاض في قيم الموصليّة الأيونية.

5.5.15. الأغشية والطلاءات للتطبيقات الإلكترونية

تجد أغشية PI الشفّافة التي لا لون لها تطبيقات في مواد شاشات العرض من البلّورات السائلة أو مواد الاتصالات البصريّة أو مواد أدلّة الموجة أو أغشية وقاية البطّاريات الشمسيّة 88.

من المرجّح أن تتحوّل أغشية PI، أثناء التصنيع، إلى الأصفر أو البنّي بسبب التفكّك الحراري الناتج من تاريخ من المعالجة الحرارية القاسية. ولكي نتمكّن من صنع أغشية

عالية الشفافيّة ينبغي استعمال تقنيات خاصنة. مثل إقحام ذرات فلور في البنية لجعل المواد أكثر مُقاومة للحرارة. تشتمل طريقة أخرى على اتباع الخطوات التالية في صنع الغشاء 88:

- 1. مزج وبلمرة المركبة ثنائية الأمين ومركبة ثنائي أنهيدريد الحمض في مُذيب للحصول على محلول حمض بولى أميك،
- 2. تسخين محلول حمض بولي أميك تحت ضغط منخفض للحصول على راتنج PI، 3. حلّ راتنج PI في مُذيب،
 - 4. صبُّ المحلول وتجفيفه.

يُمكن استعمال أغشية PI المُمعدنة في النطبيقات الإلكترونيّة، مثل لوحات الدارات المطبوعة المرنة. تستعمل التقنيات التقليديّة للتصنيع الربط باللصق لرقائق النحاس. إلاّ أنّ الحاجة إلى تعليب أكثر كثافة للتجهيزات الإلكترونيّة يتطلّب تخفيضاً أكبر في سماكة هذه الركائز. من الممكن ترذيذ جسيمات معدنيّة على سطح الغشاء PI بسماكة قدرها 20nm مكوّنة بذلك طبقة وسطيّة تمهيداً لتكوين طبقة موصلة من النحاس أو من خليطة نحاسيّة 90,89.

تُستعمل راتنجات PI بصفتها طبقات غطائيّة. تُستعمل الطبقة الغطائيّة لحماية الدارات المطبوعة أثناء المُعالجة اللاحقة، وبشكل أساسي عمليات اللحام، ومن العوامل البيئيّة أثناء الاستعمال 91. يُمكن استعمال بوليميرات PI مجتمعة مع مواد الإبوكسي. إضافة إلى ذلك، يمكن استعمال الإضافات مثل مُبطّئات اللهب على قاعدة الفوسفور، أو مُعزّزات الالتصاق في هذه الصياغات.

يُستعمل PI لتكوين غشاء رصف لشاشات البلورات السائلة (LCD) يمكنه توفير مفعول رصف مستقر ومنتظم لجزيئات البلورات السائلة 92.

6.5.15. التركيبات الحسّاسة ضوئياً

تُستعمل تركيبات راتنج PI الحسّاسة ضوئياً في أغشية العزل في التطبيقات الإلكترونيّة، مثل تجهيزات أنصاف النواقل وشاشات البلّورات السائلة. وتُعتبر الشفافيّة الزائدة خاصّة مرغوبة في التجهيزات البصريّة. وبشكل أساسي نُفرّق بين:

- الراتنجات من النمط السالب، التي يتشبّك فيها الجزء المعرّض للضوء فيُصبح غير قابل للانحلال،
- والراتنجات الحسّاسة ضوئياً من النمط الموجب، التي تُصبح فيها الأجزاء المُعرّضة للضوء قابلة للانحلال.

تتوفّر في حالة بوليميرات PI راتنجات من النوعين. ولقد جرت الإشارة إلى أنّ الأنواع الموجبة أكثر فائدة من الأنواع السالبة 93. ففي حالة الأنواع الموجبة لا يكون من المرجّح تكوّن الفقاعات الصغيرة أو الثقوب. أمّا في حالة الأنواع السالبة، فعند التصاق الغبار، لا تتعرّض تلك المنطقة للضوء مما يؤدي لحفرها وتكوّن ثقب.

1.6.5.15. الأنواع السالبة

تُظهر بوليميرات PI بصفتها هذه نوعاً سالباً من الحساسيّة الضوئيّة عند تشعيعها بحزمة ضوئية فعّالة كيميائياً 94.

يُمكن إدخال زمر فينيل قابلة للبلمرة في طلائع PI وذلك بمعالجة ثنائيات الأنهيدريد بكحو لات محتوية على الفينيل، مثل 2-هيدروكسي إيثيل ميتاكريلات (HEMA)، وتحويلها إلى كلوريد الأسيل وتكثيفها بثنائيات الأمين مثل DBA. يُبين الشكل (15-8) مُخطّط التفاعل.

في الحقيقة، يُبدي بوليمير طليعي يحتوي على السيلوكسان، خواص التصاق مُحسّنة على الركيزة. يُضاف إلى المزيج في مُذيب مُناسب، بادئ ضوئي ومُحسِّس، مثل كيتون ميتشلر (Michler) و 4-ثنائي إيثيل أمينو إيثيل بنزوات. يمكن إضافة إسترات ثنائي أكريلات أعلى بصفتها مونوميرات مشتركة قابلة للبلمرة.

تُصبَبُّ التركيبة دوّامياً على ركيزة وتُجفّف. بعد التشعيع تتشبّك المناطق المُشعّعة وتصبح غير قابلة للانحلال. يُظهَّر الطلاء في محلول مائي من هيدروكسيد رباعي ميثيل أمونيوم. وأخيراً، يُحوّل الغشاء إلى PI بالتسخين حتى 400°C. وفي هذه المرحلة تتحرّر الزمرة الحساسة للضوء مع تحوّل الطليعي إلى بوليمير PI.

ولقد جرى، اعتماداً على هذا المبدأ، تحضير أنواع أخرى من بوليميرات طليعيّة لا PI على قاعدة PMDA، و 4،4-أوكسى ثنائسى الأنيلين و HEMA وتوصيفها 96.

يُمكن إدخال البادئ الضوئي مُباشرة في السلسلة البوليميريّة الرئيسيّة. يمتلك مركّب -4،4-بيس [(4-أمينو) ثيـو فينيل]بنزوفينون زمر أمينو وهو حساسٌ ضوئياً في الوقت نفسه. 97

 95 الشكل (15-8): بوليميرات طليعيّة لــ PI ذات زمر ڤينيل متدلّية

2.6.5.15. الأنواع الموجبة

يمكن صنع تركيبة من راتتج PI حسّاسة ضوئياً من النوع الموجب ابتداء من بوليمر PI قابل للانحلال بمذيب، ومركّب پولي(حمض أميك)، ومركّب من نوع ٥-كينون ثنائي أزيد ⁹⁸. يُطلقُ المركّب الأخير زمراً حمضيّة عند تشعيعه بالضوء فوق البنفسجي. تعتمد طريقة التخريش على مبدأ كون المادّة الحسّاسة ضوئياً تُصبح قابلة للانحلال قلوياً عند تعرّضها للتشعيع ويجري حلُّها في محلول قلوي مع راتنج PI، وذلك على الرغم من كون راتنج PI نفسه غير حسّاس ضوئياً 99.

نحتاج في هذا التطبيق لأنواع من PI قابلة للانحلال في مُذيب. ولقد جرى ذكر مُكوتات خاصة لمثل راتنجات PI هذه، وهي مُلخّصة في الجدول (15-9)، ثتائيات الأمين مبيّنة في الشكل (15-10). تُستعمل مثل هذه مبيّنة في الشكل (15-10). تُستعمل مثل هذه البوليميرات PI القابلة للانحلال في مُذيب في تركيبات حسّاسة ضوئياً. يجري حلّها في مُذيبات مُناسبة مثل لاكتات الإيثيل و NMP وتُمزج مع بوليمير پولي(حمض أميك). ويُضاف المُركّب الحسّاس ضوئياً إلى المزيج. يولّد المُركّب حمضاً عند التشعيع بالضوء. تسمّى هذه المركّبات أيضاً باسم مولّدات الحمض الضوئيّة. يُحضّر مركّب حساس ضوئياً بتكاثف 404-[1-[4-[4-هيدروكسي فينيل)-1-ميثيل إيثيل إفينيل البيثيليدين] مع كلوريد مولّدات الحمض الجدول (15-10) أنواعاً أخرى من مولّدات الحمض الضوئيّة.

الجدول (15-9): مونوميرات لبوليميرات PI قابلة للانحلال 100

الجدول (15-9): موتوميرات لبوليميرات ٢٦ قابله للانحلال ***
تنائيات الأنهيدريد
ثنائي أنهيدريد 4،4′-سداسي فلورو إيزو بروبيليدين ثنائي فتاليك
ثنائي أنهيدريد 3،3/،4/4-بيفينيل
ثنائيات الأمين
2،2′-بيس (3- أمينو -4-تولويل)سداسي فلورو بروبان
حمض 5،3-ثنائي أمينو بنزويك
2،2′-بيس (ثلاثي فلورو ميثيل)بنزيدين
بيس (3- أمينو بروبيل)-1،1،3،3-رباعي ميثيل ثنائي سيلوكسان
ييس [4-(3- أمينو فينو كسي)فينيل]سلفون

الجدول (15-10): أنواع من مولّدات الحمض ضوئياً 101

نوع المركب
مركّبات ثنائي أزو نفتو كينون
مركّبات نترو بنزيل سلفونات
$(\Phi_3{ m S}^+{ m Sb}{ m F}_6^-)$ أملاح ثلاثني أريل سلفونيوم
أملاح ثنائي فينيل يودونيوم
الأنواع البوليميريّة

$$H_2N$$
 F_3C
 NH_2

2.2 - بيس (ثلاثي فلورو ميثيل) بنزيدين

2،2 بيس (3- أمينو -4- تولويل) سداسي فلورو بروبان

$$\begin{array}{c|c} & & & \\ & & \\ & & & \\ & & & \\ & & & \\ & & \\ & & & \\ & & & \\ & & & \\ & & & \\ & & & \\ & & & \\ &$$

بيس [4-(3- أمينو فينوكسي) فينيل]سلفون

$$\begin{array}{ccc} \mathsf{CH_3} & \mathsf{CH_3} \\ \mathsf{H_2N-CH_2-CH_2-CH_2-Si-O-Si-CH_2-CH_2-CH_2-NH_2} \\ \mathsf{CH_3} & \mathsf{CH_3} \end{array}$$

بيس (3- أمينو بروبيل)-3،3،1،1-رباعي ميثيل ثنائي سيلوكسان

الشكل (9-15): ثنائيات الأمين في حالة بوليميرات PI القابلة للانحلال

ثنائي أنهيدريد حلقي بوتان رباعي كربوكسيليك

ثنائي أنهيدريد 5-(5٠2-ثنائي أوكسو رباعي هيدروفوريل)-3-ميثيل -3-حلقي هكسين -2٠١- ثنائي كربوكسيليك

ثنائي أنهيدريد 4،4′-سداسي فلورو إيزو بروبيليدين ثنائي فتاليك

الشكل (15-10): ثنائيات الأنهيدريد في حالة بوليميرات PI القابلة للانحلال

يجري طلاء التركيبة النهائية على الركيزة بالطلي الدوامي. وبعد التجفيف، يمكن تعريض المادة للضوء فوق البنفسجي عبر قناع. ثم يجري تخريش لاحق باستعمال محلول مائي قلوى 100.

تستعمل طريقة مُعدّلة فقط بوليميرات پولي (إستر حمض أميك). هذه المُركبّات هي مركّبات طليعيّة لبوليميرات PI. وبعد التخريش، يجري تسخين الركيزة ويتكوّن بوليمير PI مباشرة 93. يمكن تعديل المركبّات الطليعيّة بواسطة زمر تُغطّي النهايات 101. تُحوّل هذه الزمر إلى زمر تفاعلية تسبّب تشبيكاً تصالبياً إضافياً أثناء المرحلة النهائيّة من التحويل. يُبيّن الجدول (15-11) زمر تغطية النهايات.

 101 الجدول (15-11): مركبات لتغطية النهايات التفاعلية

المركّب
أنهيدريد ناديك
أنهيدريد إيتاكونيك
أنهيدريد 3،2-ثنائي ميثيل مالييك
إيثينيل أنيلين

6.15. الموردون والعلامات التجارية

يبين الجدول (12-15) الموردين والعلامات التجارية. ويمكن العثور في كتاب بيسونوف (Bessonov) [5،الفصل 4] على تفاصيل إضافيّة تتعلّق بالمكوّنات الكيميائيّة ليوليميرات PI المتوفرة تجارياً وبعض الخواص المميزة. ويبيّن الجدول (15-13) الأسماء التجاريّة الواردة في المراجع.

7.15. الأمان

هناك العديد من صفحات المعطيات عن أمان المواد التي يجب الرجوع إليها عند التعامل مع بوليميرات PI. في حالة الأنواع المتصلّدة حرارياً، يُنظر إلى المنتجات غير المُنضَجة كفضلات خطرة. ولكنها لا تُعتبر ضارة عند التعامل الصحيح معها. في حالة الأنواع المحلولة، هناك أخطار محتملة يمكن أن تسببها المذيبات الطيّارة. ويمكن أن تسبب الأبخرة المولّدة من تسخين الصياغات المحتوية على الفلورو كربون ترفّعاً حرارياً أو حمّى، (حمّى لدخان البوليمير) عند استنشاقها. ولا يُنصح باستعمال بعض درجات PEI في التطبيقات الطبيّة التي تتطلّب توافقاً حيوياً. تُستعمل الجسيمات المكرويّة المصنوعة من PEI كحوامل

بوليميريّة في إزالة السموم من الدم خارج الجسم 102. لقد جرى اقتراح بعض البوليميرات المشتركة، مثل بولي (أنهيدريد-co-إيميد) لتسليم الجزيئات الضخمة المُتحكّم به. يمكن تحمّل هذه البوليميرات المشتركة تحمّلاً جيّداً في دراسات السميّة الشديدة على الجرذان، وهي لذلك تُعتبر مواد حيويّة واعدة 103.

الجدول (12-15): أمثلة على بوليميرات بولي (إيميد) المتوفرة تجارياً

ملاحظات	المُنتج	الاسم التجاري
غشاء	Indopco	Ableloc®
غشاء، تصليد حراري	Kaneka	Apical®
نلدّن ح رار <i>ي</i>	Mitsui Chemicals	Aurum®
	DuPont. Cytec	Avimid®
غشاء	DuPont	Cirlex®
تلدّن حراري	General Electric	Extem®
غشاء	Westlake Plastics	Imidex®
تصليد حراري	DuPont	Kapton®
	Ciba	Kerimid®
	Huntsman (Ciba)	Matrimid®
تصليد حراري	StGobain Performance Plastics	Meldin®
صفيحي	Mitsui Chemicals	Neoflex®
	Kolon Industries, Inc.	Onlymide®
تلدّن حراري، مقوّى بالألياف الزجاجيّة	Oxford Polymers	OP-PEIGF
تلدّن حراري، مقوّى بالألياف الزجاجيّة	Polymers Resources Ltd	PRL PEI-G
PTFE و PT	Lenzing	P84
ر غو <i>ي</i>	Johns Manville International, Inc.	Polycoustic®
لاصق	DuPont	Pyralin®
طلاء أسلاك	I.S.T. Corp.	Pyre®
طلاء	Furukawa Electric	Pyrocoat®
ر غ <i>و ي</i>	Inspec Foams, Inc.	Solimide®
PEI	Ensinger	Tecapei®
غشاء PEI	Westlake Plastics	Tempalux® HI
طلاء	Toray Industries, Inc	Toray®
تلدّن حراري	General Electric	Ultem®
•	Nytef Plastics	Unitem®
غشاء	Ube Industries	Upilex®
مسحوق	Ube Industries	Upimol®
تصليد حراري	DuPont	Vespel®

8.15. الأثر البيئى وإعادة التدوير

تُستعمل بوليميرات PI مُحفّرات لمُعقّدات المعادن الانتقاليّة. إنّ هذه المعقّدات المعدنيّة مُناسبة لتفاعل تكوّن الإيبوكسي من مركّبات الأوليفين. توفّر مُحفّرات معقّدات المعادن الانتقاليّة المدعومة ببوليميرات PI غير المتجانسة نشاطاً تحفيزياً وانتقائيّة واستقراراً أكثر تميّزاً في تفاعل تكوّن الإيبوكسي من مركّبات الأوليفين العليا. وبسبب الطبيعة غير المتجانسة، يمكن بسهولة فصل المُحفّرات من نواتج التفاعل، وهذا ما يُسهّل عملية إعادة تدوير المُحفّرات المُحسّرات المُحسّرات المُحسّرات المُحسّرات المُحسّرات المُحسّرات المُحسّرات المُحسّرات المُحسّرات المحسّرات المحسّرات المُحسّرات المُحسّرات المحسّرات ال

الجدول (15-13): الأسماء التجارية الواردة في المراجع

المُورَد	الاسم التجاري
	الوصف
Rhodia Inc.	Antiblaze (Series)
	مُبطِّئ لهب ⁵⁶
Bayer AG, ARCO	Arcol®
Chemical Co.	پولي (أوكسيد بروبيلين) ³⁵
DuPont	Avimid®
	پولي (إيميد) ²⁵
Henkel	Capcure® 3-800
	بوليمير ذو نهايات مغطاة بالثيول ³⁵
Union Carbide Corp.	Carbowax® (Series)
	پولي (إيثيلين أوكسيد غليكول) (PEG
Shell	Cariflex®
	بوليمير مشترك ثلاثي ⁵⁵
Columbian Chemical	Conductex®
Corp.	هباب الفحم ⁵⁵
DuPont	Crystar® 5005
	بولى (ترفتالات الإيثيلين) ⁵⁴
Air Products and	DABCO® 8154
Chemicals, Inc.	محفّز أمين ثالثي حلقي ⁵⁶

الجدول (15-13): الأسماء التجارية الواردة في المراجع

الاسم التجاري الوصف DABCO® K-15 Air Products and Chemicals, Inc. محفّز على قاعدة معدنيّة 56 Doverphos® S9228 Dover Chemical Corp. بيس (4،2-ثنائي كوميل فينيل بنتا إريثريتول) ثنائي فوسفيت 54 Epikote® (Series) Yuka Shell Co. 91 F مركّبات إيبوكسي بيسفينول Epon® (Series) Resolution Performance Products LLC. Corp. $^{35}\,\mathrm{A}$ إيثر ات ثنائي غليسيديل من بيسفينول (Shell) Ethacure® 100 Albemarle Corp. ثنائي إيثيل تولوين ثنائي الأمين ³⁵ Eupergit® C250L Röhm پولي (ميتاكريل أميد) مُنشَّط بالإيبوكسي 102 Exolit® OP 1311 Clariant GmbH مزيج من أملاح الألمنيوم من ثنائي إيثيل فوسفينات وميلامين بولي فو سفينات 91 Shell مزيج من الإيثيلين ثنائي الأمين وميثيل إيزوبوتيل كيتون كيتيمين (معامل إنضاج) 35 Hycar® (Series) Lubrizol Advanced Materials, Inc., (B. F. بوتاديئين - أكريلونتريل منته بأمين ³⁵ Goodrich Co.) Irganox® 1010 Ciba Geigy خماسي إيريتريتول تتراكيس 3-(5،3-ثنائي -ترت -بوتيل -4-هيدروكسي فينيل)بروبيونات) ، مضاد أكسدة فينولى 54 Jeffamine® (Series) Huntsman Petrochemical Corp. بولي ألكوكسيلين غليكول مغطّى بأمين ³⁵ Kapton® DuPont-Toray Co., پولي (إيميد)^{91,25} Ltd. Kraton® Shell بوليمير مشترك تعاقبي ستيريني 55

الجدول (15-13): الأسماء التجارية الواردة في المراجع

المُورّد	الاسم التجاري
	الوصف
Lenzing AG	Lenzing® P84
	بوليمير مشترك ثنائي أنهيدريد بنزوفينون رباعي كربوكسيليك
	-TDI-4،2-MDI ، پولي (إيميد) 67,65,62,23,18
Azko Nobel	Lindol® XP Plus
Chemicals, Supresta	ثلاثي كريزيل فوسفات ⁹¹
Cognis	Loxiol® G40
	إستر حمض دهني ايزو كحول ⁵⁴
Morton International,	LP-2 TM
Inc.	پولي (سلفيد) ³⁵
Ciba Geigy	Matrimid®
	بول <i>ي</i> (اليميد)68,67,65
DSM	Melapur® 200
	ميلامين پولي (فوسفات) (مُبطِّئ لهب) ⁹¹
O Si Specialities, Inc.	Niax® A33
Canadal Elastria O Ci	محفِّز أميني ⁵⁶ Ni Ni Ni
General Electric, O Si Specialities, Inc.	Niax® L-620
O Si Specialities, Inc.	عامل استحلاب سيليكوني لإسفنج پولي (يوريثان) مرن ⁵⁶ Niax® L-6900
o si specianties, me.	عامل توتر سطحي ⁵⁶
General Electric	Noryl®
	مزیج PPE و ³²
Air Products and	PACM™ 20
Chemicals, Inc.	بيس (4- أمينو حلقي هكسيل)ميثان ³⁵
Huntsman Poly-	PAPI® (Series)
urethanes	إيزوسيانات ⁵⁶
Air Products and	Polycat® (Series)
Chemicals, Inc.	مُحفّزات على أساس أميني ⁵⁶
BASF AG	PolyTHF® CD
	بولیمیر ات THF مشترکة ³⁵
Rohm & Haas	Primene® MD
	8،1- ثنائي أمينو -p- ميثان ³⁵
Rohm & Haas	Primene®
	أمينات أليفاتيّة أوليّة مع سلاسل ألكيليّة عالية التشعّب ³⁵

الجدول (15-13): الأسماء التجاريّة الواردة في المراجع

المُورِّد	الاسم التجاري
33	،
Huntsman Poly-	Rubinate® (Series)
urethanes	إيزوسيانات ⁵⁶
GE Healthcare	Sepharose® CL
	پولي (سکرید)مُشبّاك ¹⁰²
DuPont	Surlyn®
	رانتج أيونومير <i>ي</i> ⁵⁵
Dow	Slygard® 184
	مطاط سيليكوني ⁶⁵
DuPont	Teflon®
	بوليمير رباعي فلور الإيثيلين 91,64,47
DuPont	Tetrathane®
	پولي (رباعي ميثيلين أوكسيد غليكول) (PTMEG) ³⁵
ICI	Teric® (Series)
N. d. 10. 1	پولي (إيثيلين غليكول) أحادي (نونيل فينيل) إيثر 24
National Starch and Chemical Co.	Thermid®
	پولي (إيميد) من نوع PETI ³⁷
Union Carbide Corp.	Tone® (Series) بوليول ³⁵
General Electric	بوبيون ⁵⁵ (Series) Ultem
General Electric	(series) المحافظة (series) المحافظة المحافظة (المحافظة المحافظة المحافظة (المحافظة المحافظة
Dorf Ketal Chemicals	پوتي (پميد) مسن خراري (Unilink ® (Series
(UOP, Inc.)	(عامين ثانوية عطرية ³⁵
Ube Industries, Ltd.	Upilex ®
	- بولی (ایمید) ²⁵
Air Products and	Versalink ® (Series)
Chemicals, Inc.	پولي -THF منته بأمين و PPO في حالة راتنجات ³⁵ PU
Rhodia Inc.	Vircol® 82
	مُبطِّئ لهب 56

- 1. P. J. Flory. *N*-acyl polyimides of polycarboxylic acids. US Patent 2 558 675, assigned to Wingfoot Corp, 26 June 1951.
- W. M. Edwards and R. I. Maxwell. Polyimides of pyromellitic acid. US Patent 2 710 853, assigned to Du Pont, 14 June 1955.
- 3. Method of preparing polyimides. GB Patent 903 272, assigned to DuPont, 15 August 1962.
- R. R. Gallucci and R. R. Odle. Polyimide sulfones, method and articles made therefrom. US Patent 7 041 773, assigned to General Electric Company (Pittsfield, MA), 9 May 2006.
- 5. M. I. Bessonov, M. M. Koton, V. V. Kudryavtsev, and L. A. Laius. *Polyimides: Thermally Stable Polymers*. Translated from Russian by L.V. Backinowsky and M.A. Chlenov; translation edited by W.W. Wright. Macromolecular Compounds. New York: Consultants Bureau, 1987.
- 6. K. Horie and T. Yamashita, eds. *Photosensitive Polyimides: Fundamentals and Applications*. Lancaster, PA.: Technomic, 1995.
- 7. M. K. Ghosh and K. L. Mittal, eds., *Polyimides. Fundamentals and Applications*, *volume 36 of Plastics Engineering*. New York: Marcel Dekker, 1996.
- 8. K. L. Mittal, ed., Synthesis, Characterization and Applications: Synthesis, Characterization, and Applications, volume 3 of Polyimides and Other High Temperature Polymers. Utrecht: VSP International Science Publishers, 2005.
- 9. K. L. Mittal, ed. *Synthesis, Characterization, and Applications: Synthesis, Characterization and Applications*, volume 4 of *Polyimides and Other High Temperature Polymers*. Utrecht: VSP International Science Publishers, 2007.
- 10. M. Ding. "Isomeric polyimides." *Progress in Polymer Science*: vol. 32, no. 6, June 2007, pp. 623–668.
- 11. H. Itatani, M. Kashima, M. Matsuda, H. Yoshimoto, and H. Yamamoto. Process for producing biphenyltetracarboxylic dianhydrides. US Patent 3 940 426, assigned to UBE Industries, Ltd. (Ube, JA), 24 February 1976.
- 12. Y. Katsuro and H. Matsuda. Process for producing biphenyltetra- carboxylic dianhydride. US Patent 5 258 530, assigned to Mitsubishi Kasei Corporation (Tokyo, JP), 2 November 1993.
- 13. D. J. Brunelle and Q. Ye. Method for preparing oxydiphthalic anhydrides using guanidinium salt as catalyst. US Patent 6 706 897, assigned to General Electric Company (Niskayuna, NY), 16 March 2004.

- D. A. Scola and C. D. Simone. Low viscosity melt processable high temperature polyimides. US Patent 6 911 519, assigned to University of Connecticut (Farmington, CT), 28 June 2005.
- 15. M. A. Chaudhari, J. J. King, and B. Lee. Polyamic acids and polyimides. US Patent 5 606 013, assigned to Ciba-Geigy Corporation (Tarrytown, NY), 25 February 1997.
- 16. Y. Shao, Y. F. Li, X. L. Wang, J. S. Guo, and X. Zhao. "Synthesis of a new siloxane-containing diamine and related polyimide." *Chinese Chemical Letters*: vol. 18, no. 6, June 2007, pp. 762–763.
- 17. T. Kikuchi, H. Tsuji, K. Okada, H. Furutani, K. Tanaka, S. Hara, and H. Nojiri. Process for producing polyimide resin. US Patent 6 790 930, assigned to Kaneka Corporation (Osaka, JP), 14 September 2004.
- 18. J. Chiefari, B. Dao, A. M. Groth, and J. H. Hodgkin. "Water as solvent in polyimide synthesis: Thermoset and thermoplastic examples." *Journal of High Performance Polymers*: vol. 15, no. 3, 2003, pp. 269–279,
- B. K. Onder. Preparation of polyimide from organic diisocyanate with alkali metal salt of alcohol as catalyst. US Patent 4 001 186, assigned to The Upjohn Company (Kalamazoo, MI), 4 January 1977.
- M. Kouno, A. Yamaguchi, M. Osawa, K. Shizuka, H. Nakano, and K. Mizutani. Preparation process of heat-resistant polymers. EP Patent 0 235 388, assigned to Mitsui Toatsu Chemicals (JP), 9 September 1987.
- 21. P. Michaud and J. Russo. Polyimide solutions and method of obtaining them. US Patent 5 596 073, assigned to S.N.C. Kermel (Cedex, FR), 21 January 1997.
- 22. K. Weinrotter and R. Vodiunig. Flame retardant high-temperature-resistant polyimide fibers and molded articles manufactured therefrom. US Patent 5 271 889, assigned to Lenzing Aktiengesellschaft (Lenzing, AT), 21 December 1993.
- J. T. Macheras. Fluid separation membranes prepared from blends of polyimide polymers. US Patent 5 635 067, assigned to Praxair Technology, Inc. (Danbury, CT), 3 June 1997.
- 24. B. G. Laycock, D. G. Hawthorne, J. H. Hodgkin, and T. C. Morton. Aqueous polyimide process. US Patent 6 333 391, assigned to Commonwealth Scientific and Industrial Research Organisation (Australian Capital Territory, AU) The Boeing Company (Seattle, WA), 25 December 2001.
- 25. B. Dao, A. M. Groth, and J. H. Hodgkin. "Water as solvent in polyimide synthesis II: Processable aromatic polyimides." *Journal of High Performance Polymers*: vol. 18, no. 1, 2006, pp. 31–44.
- 26. R. R. Odle and T. L. Guggenheim. Method for the preparation poly(etherimide)s. US Patent 6 881 815, assigned to General Electric Company (Pittsfield, MA), 19 April 2005.
- 27. J.-H. Park and T. S. Sudarshan, eds. *Chemical Vapor Deposition*, *volume 2 of Surface Engineering Series*. Materials Park, Ohio: ASM International, 2001.

- 28. J. R. Salem, F. O. Sequeda, J. Duran, W. Y. Lee, and R. M. Yang. "Solventless polyimide films by vapor deposition." *Journal of Vacuum Science and Technology A*: vol. 4, no. 3, May 1986, pp. 369–374.
- 29. F.-Y. Tsai, E. L. Alfonso, D. R. Harding, and S. Chen. "Processing vapour deposited polyimide." *Journal of Physics D Applied Physics*: vol. 34, no. 20, October 2001, pp. 3011–3018.
- 30. J. P.-P. Gonzalez, A. Lamure, and F. Senocq. "Polyimide (PI) films by chemical vapor deposition (CVD): Novel design, experiments and characterization." *Surface and Coatings Technology*: vol. 201, nos. 22-23, September 2007, pp. 9437–9441,
- 31. W. G. Kim and A. S. Hay. "Synthesis of soluble poly(ether imides) from bis(ether anhydrides) containing bulky substituents." *Macromolecules*: vol. 26, 1993, pp. 5275–5280.
- 32. A. S. Hay. "Poly(phenylene oxides)s and poly(arylene ether)s derived from 2,6-diarylphenols." *Progress in Polymer Science*: vol. 24, no. 1, April 1999, pp. 45–80.
- 33. J. D. Harper. Thermosetting bis(isoimide) resin compositions. US Patent 5 082 920, 21 January 1992.
- 34. S. M. Dershem, D. B. Patterson, and J. A. Osuna, Jr. Maleimide compounds in liquid form. US Patent 7 102 015, assigned to Henkel Corporation (Rocky Hill, CT), 5 September 2006.
- 35. S. A. Ezzell, R. G. Hansen, and G. J. Anderson. Isomaleimides and polymers derived there from. US Patent 5 744 574, assigned to Minnesota Mining and Manufacturing Company (St. Paul, MN), 28 April 1998.
- 36. C.-H. Chuang. Solvent free low-melt viscosity imide oligomers and thermosetting polyimide composites. US Patent 7 015 304, assigned to The United States of America as represented by the Administrator of the National Aeronautics and Space Administration (Washington, DC) N/A 21 March 2006.
- 37. J. W. Connell, J. G. Smith, Jr., and P. M. Hergenrother. High temperature transfer molding resins. US Patent 6 124 035, assigned to The United States of America as represented by the Administrator of the (Washington, DC), 26 September 2000.
- 38. X. Rao, H. Zhou, G. Dang, C. Chen, and Z. Wu. "New kinds of phenylethynylterminated polyimide oligomers with low viscosity and good hydrolytic stability." *Polymer*: vol. 47, no. 17, August 2006, pp. 6091–6098.
- 39. G. L. Deets and J. Xiong. Rtm and ri processable polyimide resins. US Patent 7 129 318, assigned to I.S.T. (MA) Corporation (Indian Orchard, MA), 31 October 2006.
- 40. G. F. D'Alelio. Chain-extending polyimides with aromatic polyisocyanates. US Patent 4 026 833, assigned to University of Notre Dame (Notre Dame, IN), 31 May 1977.
- 41. F. G. Mizori and S. M. Dershem. Imide-linked maleimide and polymaleimide compounds. US Patent 7 208 566, assigned to Designer Molecules, Inc. (San Diego, CA), 24 April 2007.

- 42. T. Hikita, H. Sugihara, and A. Mochizuki. Polyimide resin for electrical insulating material. US Patent 7 074 882, assigned to Nitto Denko Corporation (Osaka, JP), 11 July 2006.
- 43. M. Kanada, T. Fukuoka, and N. Kinjou. Method for producing porous polyimide resin and porous polymide resin. US Patent 7 022 377, assigned to Nitto Denko Corporation (Osaka, JP), 4 April 2006.
- 44. C.-P. Yang, Y.-Y. Su, and Y.-C. Chen. "Colorless poly(ether-imide)s deriving from 2,2-bis[4-(3,4-dicarboxyphenoxy)phenyl]propane dianhydride (BPADA) and aromatic bis(ether amine)s bearing pendent trifluoromethyl groups." *European Polymer Journal*: vol. 42, no. 4, April 2006, pp. 721–732.
- 45. R. DeIasi and J. Russell. "Aqueous degradation of polyimides." *Journal of Applied Polymer Science*: vol. 15, 1971, pp. 2965–2974.
- 46. T.-S. Chung and E. Ronald Kafchinski. "Miscibility of fluoro-containing polyimide blends." *Polymer*: vol. 37, no. 9, April 1996, pp. 1635–1640.
- 47. T.-S. Chung and E. R. Kafchinski. Miscible blends of polyimide polymers. US Patent 5 155 179, assigned to Hoechst Celanese Corp. (Somerville, NJ), 13 October 992.
- 48. IDES Integrated Design Engineering Systems. The Plastics Web®. IDES Inc. 209 Grand Avenue Laramie, WY 82070 USA [electronic] http://www.ides.com/prospector, 2006.
- 49. Y. Wang, S. H. Goh, and T.-S. Chung. "Miscibility study of torlon(r) polyamide-imide with matrimid(r) 5218 polyimide and polybenzimidazole." *Polymer*: vol. 48, no. 10, May 2007, pp. 2901–2909.
- 50. T.-S. Chung, W. F. Guo, and Y. Liu. "Enhanced matrimid membranes for pervaporation by homogenous blends with polybenzimidazole (PBI)." *Journal of Membrane Science*: vol. 271, nos. 1-2, March 2006, pp. 221–231.
- 51. G. C. Kapantaidakis, G. H. Koops, and M. Wessling. "Preparation and characterization of gas separation hollow fiber membranes based on polyethersulfone-polyimide miscible blends." *Desalination*: vol. 145, nos. 1-3, September 2002, pp. 353–357.
- 52. X. Kong, F. Teng, H. Tang, L. Dong, and Z. Feng. "Miscibility and crystallization behaviour of poly(ether ether ketone)/polyimide blends." *Polymer*: vol. 37, no. 9, April 1996, pp. 1751–1755.
- 53. J. A. Campbell, A. A. Goodwin, F. W. Mercer, and V. Reddy. "Studies on a miscible polyimide blend." *Journal of High Performance Polymers*: vol. 9, no. 3, 1997, pp. 263–279.
- 54. S. B. Brown, J. L. David, R. R. Gallucci, Y. Jin, and M. J. Lindway. Polyetherimide composition, method, and article. US Patent 6 753 365, assigned to General Electric Company (Pittsfield, MA), 22 June 2004.
- 55. N. C. Patel. Methods of forming conductive thermoplastic poly-etherimide polyester compositions and articles formed thereby. US Patent 6 734 262, assigned to General Electric Company (Pittsfield, MA), 11 May 2004.

- 56. J. M. Vazquez, R. J. Cano, B. J. Jensen, and E. S. Weiser. Polyimide foams. US Patent 6 956 066, assigned to The United States of America as represented by the Administrator of the National Aeronautics and Space Administration (Washington, DC), 18 October 2005.
- 57. J. R. Barringer, H. E. Broemmelsiek, C. W. Lanier, and R. Lee. Polyimide foam products and methods. US Patent 5 096 932, assigned to Ethyl Corporation (Richmond, VA), 17 March 1992.
- 58. E. Lavin and I. Serlin. Process for the preparation of a polyimide foam. US Patent 3 554 939, assigned to Monsanto Co., 12 January 1971.
- 59. J. Gagliani. Fire resistant resilient foams. Report NASA-CR-147496, Res. Dep., Solar, San Diego, CA, 1976.
- 60. W. Rhine, J. Wang, and R. Begag. Polyimide aerogels, carbon aerogels, and metal carbide aerogels and methods of making same. US Patent 7 074 880, assigned to Aspen Aerogels, Inc. (Marlborough, MA), 11 July 2006.
- 61. X. Duthie, S. Kentish, C. Powell, K. Nagai, G. Qiao, and G. Stevens. "Operating temperature effects on the plasticization of polyimide gas separation membranes." *Journal of Membrane Science*: vol. 294, nos. 1-2, May 2007, pp. 40-49.
- 62. T.-S. N. Chung, M. L. Chng, and L. Shao. Polyimide membranes. US Patent 7 169 885, assigned to National University of Singapore (Singapore, SG), 30 January 2007.
- 63. L. Shao, T.-S. Chung, S. H. Goh, and K. P. Pramoda. "Transport properties of cross-linked polyimide membranes induced by different generations of diaminobutane (DAB) dendrimers." *Journal of Membrane Science*, vol. 238, nos. 1-2, July 2004, pp. 153–163.
- 64. R. A. Hayes. Polyimide gas separation membranes. US Patent 4 717 393, assigned to E. I. Du Pont de Nemours and Company (Wilmington, DE), 5 January 1988.
- 65. J. W. Simmons and O. M. Ekiner. Polyimide blends for gas separation membranes. US Patent 7 018 445, assigned to L'Air Liquide, Societe Anonyme a Directoire et Conseil de Surveillance Pour l'Etude et l'Exploitation des Procedes Georges Claude (Paris, FR) N/A, 28 March 2006.
- 66. A. Bos, I. Punt, H. Strathmann, and M. Wessling. "Suppression of gas separation membrane plasticization by homogeneous polymer blending." *AIChE Journal*: vol. 47, 2001, pp. 1088–1093.
- 67. J. W. Simmons, S. Kulkarni, and O. M. Ekiner. Method for separating hydrocarbon-containing gas mixtures using hydrocarbon-resistant membranes. US Patent 7 025 804, assigned to L'Air Liquide, Societe Anonyme A Directoire et Conseil De Surveillance Pour L'Etude et L'Exploitation Des Procedes Georges Claude (Paris, FR) N/A, 11 April 2006.
- 68. T.-S. Chung, L. Y. Jiang, Y. Li, and S. Kulprathipanja. "Mixed matrix membranes (MMMs) comprising organic polymers with dispersed inorganic fillers for gas separation." *Progress in Polymer Science*: vol. 32, no. 4, April 2007, pp. 483–507.

- 69. A. C. Lua and J. Su. "Effects of carbonisation on pore evolution and gas permeation properties of carbon membranes from kapton(r) polyimide." *Carbon*: vol. 44, no. 14, November 2006, pp. 2964–2972.
- 70. M. Harasimowicz, P. Orluk, G. Zakrzewska-Trznadel, and A. Chmielewski. "Application of polyimide membranes for biogas purification and enrichment." *Journal of Hazardous Materials*: vol. 144, no. 3, June 2007, pp. 698–702.
- 71. Y. Xu, C. Chen, and J. Li. "Experimental study on physical properties and pervaporation performances of polyimide membranes." *Chemical Engineering Science*: vol. 62, no. 9, May 2007, pp. 2466–2473.
- 72. X. Qiao, T.-S. Chung, and K. Pramoda. "Fabrication and characterization of BTDA-TDI/MDI (P84) co-polyimide membranes for the pervaporation dehydration of isopropanol." *Journal of Membrane Science*: vol. 264, nos. 1-2, November 2005, pp. 176–189.
- 73. R. Liu, X. Qiao, and T.-S. Chung. "The development of high performance P84 copolyimide hollow fibers for pervaporation dehydration of isopropanol." *Chemical Engineering Science*: vol. 60, no. 23, December 2005, pp. 6674–6686.
- 74. X. Qiao, T.-S. Chung, and R. Rajagopalan. "Zeolite filled P84 co-polyimide membranes for dehydration of isopropanol through pervaporation process." *Chemical Engineering Science*: vol. 61, no. 20, October 2006, pp. 6816–6825.
- 75. K. Y. Wang, T.-S. Chung, and R. Rajagopalan. "Dehydration of tetrafluoropropanol (TFP) by pervaporation via novel PBI/BTDA-TDI/MDI co-polyimide (P84) dual-layer hollow fiber membranes." *Journal of Membrane Science*: vol. 287, no. 1, January 2007, pp. 60–66.
- 76. Y.-M. Lee, H.-B. Park, and C.-H. Lee. Crosslinked sulfonated polyimide films. US Patent 7 157 548, assigned to Hanyang Hak Won Co., Ltd. (KR), 2 January 2007.
- 77. F. Zhai, X. Guo, J. Fang, and H. Xu. "Synthesis and properties of novel sulfonated polyimide membranes for direct methanol fuel cell application." *Journal of Membrane Science*: vol. 296, nos. 1-2, June 2007, pp. 102–109.
- 78. H. B. Park, C. H. Lee, J. Y. Sohn, Y. M. Lee, B. D. Freeman, and H. J. Kim. "Effect of crosslinked chain length in sulfonated polyimide membranes on water sorption, proton conduction, and methanol permeation properties." *Journal of Membrane Science*: vol. 285, nos. 1-2, November 2006, pp. 432–443.
- 79. L. Wang, B. Yi, H. Zhang, Y. Liu, D. Xing, Z.-G. Shao, and Y. Cai. "Sulfonated polyimide/PTFE reinforced membrane for PEMFCs." *Journal of Power Sources*: vol. 167, no. 1, May 2007, pp. 47–52.
- 80. G. Meyer, G. Gebel, L. Gonon, P. Capron, D. Marscaq, C. Marestin, and R. Mercier. "Degradation of sulfonated polyimide membranes in fuel cell conditions." *Journal of Power Sources*: vol. 157, June 2006, pp. 293–301.
- 81. C. Perrot, G. Meyer, L. Gonon, and G. Gebel. "Aging mechanisms of proton exchange membrane used in fuel cell applications." *Fuel Cells* (Weinheim, Germany): vol. 6, 2006, pp. 10–15.

- 82. H.-J. Kim, M. H. Litt, E.-M. Shin, and S. Y. Nam. "Hydrolytic stability of sulfonic acid-containing polyimides for fuel cell membranes." *Macromolecular Research*: vol. 12, 2004, pp. 545–552.
- 83. S. Busato, A. Belloli, and P. Ermanni. "Inkjet printing of palladium catalyst patterns on polyimide film for electroless copper plating." *Sensors and Actuators, B*: vol. 123, no. 2, May 2007. pp. 840–846, May 2007.
- 84. S. Yoon, D. Kim, S. Park, Y. Lee, H. Chae, S. Jung, and J.-D. Nam. "Direct metallization of gold patterns on polyimide substrate by microcontact printing and selective surface modification." *Microelectronic Engineering*: vol. 85, no. 1, January 2008, pp. 136–142.
- 85. K. C. Cheung, P. Renaud, H. Tanila, and K. Djupsund. "Flexible polyimide microelectrode array for in vivo recordings and current source density analysis." *Biosensors and Bioelectronics*: vol. 22, no. 8, March 2007, pp. 1783–1790.
- 86. A. Quaranta, S. Carturan, M. Bonafini, G. Maggioni, M. Tonezzer, G. Mattei, C. de Julian Fernandez, G. Della Mea, and P. Mazzoldi. "Optical sensing to organic vapors of fluorinated polyimide nanocomposites containing silver nanoclusters." *Sensors and Actuators, B*: vol. 118, nos. 1-2, October 2006, pp. 418–424.
- 87. C. G. Wensley, A. Vallee, D. Brouillette, and S. Gustafson. Polyimide matrix electrolyte. US Patent 7 198 870, assigned to Solicore, Inc. (Lakeland, FL) Avestor Limited Partnership (Boucherville, Quebec, CA), 3 April 2007.
- 88. M. Nishinaka and T. Itoh. Polyimide film and process for producing the same. US Patent 7 247 367, assigned to Kaneka Corporation (Osaka, JP), 24 July 2007.
- 89. S. Katsuki and H. Mii. Process for preparing metal-coated aromatic polyimide film. US Patent 7 232 610, assigned to UBE Industries, Ltd. (Yamaguchi, JP), 19 June 2007.
- 90. M. Aida. Metallized polyimide film and manufacturing method therefor. US Patent 7 241 490, assigned to Mitsubishi Shindoh Co., Ltd. (Tokyo, JP), 10 July 2007.
- 91. T. E. Dueber, M. W. West, B. C. Auman, and R. V. Kasowski. Polyimide based adhesive compositions useful in flexible circuit applications, and compositions and methods relating thereto. US Patent 7 220 490, assigned to E. I. du Pont de Nemours and Company (Wilmington, DE), 22 May 2007.
- 92. C.-D. Lee, H.-M. Liu, K.-H. Shen, and J.-M. Chen. Vertical alignment polyimide and vertical alignment film compositions for lcd. US Patent 7 132 137, assigned to Industrial Technology Research Institute (Hsinchu, TW), 7 November 2006.
- 93. T. Yamanaka, K. Okada, and K. Takagahara. Polyimide precursor, manufacturing method thereof, and resin composition using polyimide precursor. US Patent 7 189 488, assigned to Kaneka Corporation (Osaka, JP), 13 March 2007.
- 94. H. Itatani, S. Matsumoto, T. Itatani, T. Sakamoto, S. Gorwadkar, and M. Komuro. Method for forming polyimide pattern using photosensitive polyimide and composition for use therein. US Patent 6 777 159, assigned to PI R&D Co., Ltd. (Kanagawa, JP) The National Institute of Advanced Industrial Science and Technology (Tokyo, JP), 17 August 2004.

- 95. H. Kikkawa, F. Kataoka, I. Takemoto, J. Tanaka, K. Isoda, S. Uchimura, M. Kaji, and M. Sugiura. Photosensitive polyimide precursor and its use for pattern formation. US Patent 6 319 656, assigned to Hitachi Chemical Company, Ltd. (Tokyo, JP), 20 November 2001.
- 96. L. T. T. Nguyen, H. N. Nguyen, and T. H. T. La. "Synthesis and characterization of a photosensitive polyimide precursor and its photocuring behavior for lithography applications." *Optical Materials*: vol. 29, no. 6, February 2007, pp. 610–618.
- 97. X. Jiang, H. Li, H. Wang, Z. Shi, and J. Yin. "A novel negative photoinitiator-free photosensitive polyimide." *Polymer*: vol. 47, no. 9, April 2006, pp. 2942–2945.
- 98. K. Ishii, T. Nakayama, T. Nihira, and H. Fukuro. Positive type photosensitive polyimide resin composition. US Patent 6 677 099, assigned to Nissan Chemical Industries, Ltd. (Tokyo, JP), 13 January 2004.
- 99. M. Yukawa, T. Abe, and N. Kohtoh. Positive photosensitive polyimide resin composition comprising an *o*-quinone diazide as a photosensitive compound. US Patent 5 288 588, assigned to Nissan Chemical Industries Ltd. (Tokyo, JP), 22 February 1994.
- 100. T. Nakayama, M. Kato, and T. Nihira. Positive photosensitive polyimide resin composition. US Patent 7 026 080, assigned to Nissan Chemical Industries, Ltd. (Tokyo, JP), 11 April 2006.
- 101. M. S. Jung, S. K. Jung, Y. Y. Park, B. S. Moon, and B. K. Kim. Positive-type photosensitive polyimide precursor and composition comprising the same. US Patent 6 600 006, assigned to Samsung Electronics Co., Ltd. (Kyungki-do, KR), 29 July 2003.
- 102. W. Albrecht, K. Lutzow, T. Weigel, T. Groth, M. Schossig, and A. Lendlein. "Development of highly porous microparticles from poly(ether imide) prepared by a spraying/coagulation process." *Journal of Membrane Science*: vol. 273, nos. 1-2, March 2006, pp. 106–115
- 103. J. Hanes, M. Chiba, and R. Langer. "Degradation of porous poly(anhydride-*co*-imide) microspheres and implications for controlled macromolecule delivery." *Biomaterials*: vol. 19, 1998, pp. 163–172.
- 104. S. K. Ihm, C. G. Oh, J. H. Ahn, J. C. Kim, and D. C. Sherrington. Polyimide-supported transition metal complex catalyst and process for preparing epoxy compounds using the same. US Patent 6 063 943, assigned to Korea Advanced Institute of Science and Technology (KR), 16 May 2000.

بوليميرات البلورات السائلة

لقد جرى اكتشاف البلورات السائلة من قبل عالم النبات فريديش راينتزر (*).2. (Friedich Reinitzer)، مع أنّه يُمكن إرجاع أوّل ملاحظة للبلورات السائلة إلى جورج لويس لوكلرك (George Luis LeClerc) . وبعد اكتشافها بقيت البلّورات السائلة فترة طويلة تُعتبر تحفة مثيرة للفضول.

كان راينت زر مهتماً بتكوين الكولست رول، ولقد أشار راينت زر بشأن بن وات الكولست ريد ألان الله وجود انتقالين للطور أثناء الانصهار. يبدأ الانصهار بتكون سائل عكر يتحول عند التسخين اللاحق إلى سائل رائق. يُسمّى هذا النوع من البلور السائل باسم البلور السائل المتحول حرارياً أو الثرموتروبي (Thermotropic). إضافة إلى ما سبق، هناك البلورات السائلة الليوتروبية (Lyotropic) التي تُغيّر سلوكها تبعاً لتركيزها في المذيب، ولدرجة الحرارة.

يرجع أصل البلورات السائلة إلى الظاهرة الطبيعيّة التي يجري فيها المُحافظة جزئياً على البنية البلوريّة في الطور السائل فوق نقطة الانصهار. وهي، على الخصوص، تُبدي ترتيباً اتجاهيّاً بعيد المدى، ولكن دون إبداء ترتيب موضعي. يُمكن تصنيف الأنواع المختلفة لأطوار البلورات السائلة، التي تسمّى أيضاً أطواراً وسطيّة، تبعاً لنمط ترتيبها وفق ما يلى:

- 1. الأطوار النيماتية (Nematic)،
- 2. الأطوار السميكتية (Smectic)،
- 3. الأطوار الكولستيروليّة (Cholesteric)،
- 4. الأطوار الكيراليّة (اللا انطباقيّة) (Chiral)،
 - 5. الأطوار القرصيّة (Discotic).

^(*) فريديش راينتزر، ولِدَ عام في 25 شباط/فبراير من عام 1857 في مدينة براغ، جمهوريّة التشيك حالياً، وتوفيّ في 16 شباط/فبراير عام 1927 في مدينة غراز، النمسا (المترجم).

لقد جرى وصف صفوف جزئية متنوعة من البلورات السائلة 4,3. من وُجهة النظر الجزيئية، تُبنى البلورات السائلة من كسر على هيئة قضبان جاسئة في الجزيئة. وهذا الأمر صحيح في حالة بوليميرات البلورات السائلة (LCP).

تأخذ جزيئات البلورات السائلة القرصية هيئة أقراص 5 . وتمثّل مركّبات سداسي ألكانوئيل أوكسي بنزين، وسداسي ألكوكسي ثلاثي فينيلين، وبيس -(-n-1)-ديسيل بنزويل) ميثاناتو النحاس (II)، وسداسي -n-ألكانوات التروكسين، والفتالوسيانين الثماني الاستبدال، أمثلة عليها 6 .

إلى جانب نوع البلورات السائلة، يمكن تصنيف البلورات السائلة البوليميريّة إلى بلورات سائلة بوليميريّة في السلسلة بلورات سائلة بوليميريّة في السلسلة الجانبيّة. ولقد جرى استعراض البلورات السائلة البوليميريّة في السلسلة الرئيسيّة 12-7، والبلورات السائلة البوليميريّة في السلسلة الجانبيّة 14,13 في الأدبيات.

1.16. المونوميرات

تتكون المونوميرات في حالة البلورات السائلة البوليميرية نموذجياً من وحدات جاسئة متر ابطة بواسطة وحدات ارتباط. يُلخّص الشكل (1-1) هذه الوحدات. تشتمل الوحدات الجاسئة وحدات الفينيل، والبيفينيل والنفتويك. وتشتمل وحدات الربط وحدات إستر وإيثر وأميد، وغير ذلك من الوحدات. لذلك لا تتتمي البلورات السائلة البوليميرية إلى صفّ بوليميري واحد بالمعنى الشائع. تتكون وحدات المباعدات المرنة من سلاسل أليفاتية أو سلاسل بولي إيثرية.

يُبيّن الجدول (16-1) والشكل (16-2) المونوميرات الشائعة في حالة البلّورات السائلة البوليميريّة. البوليميرات المؤسّسة حصرياً على مونوميرات من حمض الترفتاليك (TPA)، أو من حمض 4-هيدروكسي بنزويك (HBA) أو الهيدروكينون (HQ) هي بوليميرات عسيرة بسبب تبلّرها. لذلك تُصنعُ بوليميرات مشتركة يجري فيها الاستعاضة جزئياً عن كسر البنزين بكسر نفتالين أو بيفينيل 7.

تُعطي زمر الأميد بلورات سائلة بوليميرية ذات درجات حرارة انتقال زجاجي مرتفعة. ينشأ هذا السلوك من قدرة زمر الأميد على تكوين روابط هيدروجينية تُثبّت السلاسل.

الجدول (1-16): مونوميرات في حالة بوليميرات البلورات السائلة

المراجع	المونوميرات الأساسيّة
15	حمض تر فتاليك
16	حمض إيزوفتاليك
15	حمض 6،2-نفتالين ثنائي كربوكسيليك
17	حمض 4-هيدروكسي بنزويك
7	حمض 2- هيدروكسي -6-نفتويك
18	حمض 4- هيدروكسي سيناميك
18	حمض ليثو كو ليك
7	هيدروكينون
19	ترت -بوتیل هیدروکینون
15	4،4′- بيفينول
	6.2-ثنائي هيدروكسي نفتالين
15	4- أمينوفينول
	المونوميرات الحاملة للوظائف
20	حمض بنزويك، 4-[4-[(3- إيثيل -3- أوكسيتانيل)ميثوكسي]بوتوكسي]-،4،1-فينيلين إستر
20	حمض بنزويك، 4-[(3- إيثيل -3- أوكسيتانيل)ميثوكسي]-،4-[[4-(أوكتيل أوكسي)
	فينوكسي]كربونيل] فينيل إستر

ج :

الشكل (1-16): وحدات لبوليميرات البلورات السائلة. آ: وحدات جاسئة، ب: وحدات رابطة، ج: وحدات مباعدة مرنة

 $--(CH_2)_n ---(CH_2O)_n ---O--$

الشكل (2-16): مونوميرات لبوليميرات البلورات السائلة

يؤدّي استبدال 4،4'-بيفينول (BP) بالهيدروكينون إلى خفض درجة حرارة الانصهار. وبالطريقة نفسها، يؤدّي استعمال مونوميرات مشتركة إلى خفض درجة حرارة الانصهار، لأن السلسلة البوليميريّة الرئيسيّة مصنوعة من كسر ذات قياسات مختلفة مما يعرقل التعنقد ما بين الجزيئات. يؤدّي إدخال زمر نفتويك إلى ظهور فتلات في السلسلة الرئيسيّة مما يُفقدها تناظرها. وبالمقابل فإن إدخال زمر خطيّة يمكن أن تدور بسهولة، مثل تلك الموجودة في TPA وفي HQ يؤدّي إلى زيادة نقطة الانصهار زيادة ملحوظة.

يُستعمل حمض 4-هيدروكسي سيناميك وحمض الليثوكوليك في المواد المتوافقة بيولوجياً 18. يُمكن استعمال البوليميرات المكونة من هذه المركبات في القطع الطبيّة، مثل أطباق حضانة الخلايا، والخيوط الجراحيّة، وبراغي تثبيت العظام، وأوعية الدم الصناعيّة.

1.1.16 الأستكة

لا تُستعمل غالباً المونوميرات المسرودة في الجدول (1-1) كما هي، بل بصيغتها المؤسئلة 22,17. يمكن تحضير حمض 4-أسيتوكسي بنزويك من HBA عن طريق التعديل بهيدروكسيد الصوديوم، والتبريد بالثلج، والمعالجة بأنهيدريد الخل.

بعد إضافة حمض كلور الماء المركّز، نحصل على معلّق طيني يمكن منه عزل المنتج الخام. ثُم تجري بلورة المنتج الخام من الميثيل إيزوبوتيل كيتون. يتطلّب تحضير 4،1-ثنائي أسيتوكسي بنزين تقطيراً مرتداً للهيدروكينون مع أنهيدريد الخلّ. لقد جرى تحضير عدد من المونوميرات المُؤستلة بهذه الطريقة 17.

2.1.16. المونوميرات الحاملة للوظائف

تُستعمل المونوميرات ذات الزمر التفاعليّة، مثل وحدات الأكريليك والإيثر الحلقي، في صنع شاشات العرض بالبلّورات السائلة (LCD). يبيّن الشكلان (16-3) و(4-16) مونوميرات ذات وحدات أكريليك، ويبيّن الشكل (16-4) مونومير بلّورات سائلة قرصي قابل للبلمرة ضوئياً.

$$R \longrightarrow COO \longrightarrow COO \longrightarrow R$$

$$R = O(CH_2)_5OOCHC = CH_2$$

$$N = C \longrightarrow COO \longrightarrow O(CH_2)_4OOCHC = CH_2$$

الشكل (3-1): مونومير بلورات سائلة قابل للبلمرة ضوئياً 21

$$R = -000$$
 $O(CH_2)_4OOCHC=CH_2$ $O(CH_2)_4OOCHC=CH_2$ $O(CH_2)_4OOCHC=CH_2$

مُركّب البدء للمونوميرات القرصيّة هو سداسي هيدروكسي ثلاثي فينيلين. وترتبط المركّبات المناسبة الحاملة لوحدات الأكريليك بزمر الهيدروكسي²³. عموماً، تُبدي مركّبات البلّورات السائلة القرصيّة قرينة انكسار اثنانيّة الكسر عالية، وهذا يعني أن هذه المواد غير متماثلة الاتجاهات على نحو عال.

نجد في الأدبيات سلسلة من أمثلة أخرى 24 . ولقد جرى وصف طريقة تحضير غشاء التعويض البصري بالتفصيل 24 . يمكن تحضير مونوميرات ذات وحدات أوكسيتان بثلاث خطوات، انظر الشكل (24)، وذلك بتفاعل 20 :

- 1. ثنائي برومو ألكان مع مركب هيدروكسي أوكسيتان،
 - 2. تفاعل مع حمض 4- هيدروكسي بنزويك،
 - 3. وأسترة زمر الكربونيل مع HQ.

مُخطَّط الاصطناع مبيّنٌ في الشكل (16-6)، المرحلتان الأولى والثانية هما اصطناع ويليامسون (Williamson) للإيثر، والمرحلة الأخيرة هي أستَرة.

2.16. البلمرة والتصنيع

1.2.16. بوليميرات الإستر المشتركة

بدلاً من استعمال الديولات وأحماض الهيدروكربوكسيليك كمونوميرات للتكاثف يمكن استعمال ثنائي خلات الديولات العطريّة مع أحادي خلاّت من حمض هيدروكربوكسيليك

عطري 19. عندئذ تتقدّم سيرورة البلمرة بالتكاثف وكأنها أسترة تبادليّة. ويُستعمل ثنائي خلاّت الديولات العطريّة بفائض ستوكيومترى بسيط بهدف تعويض الضياع أثناء التكاثف.

$$(CH_2)_7$$

$$CH_3$$

$$(CH_2)_4$$

$$CH_2$$

$$CH_2$$

$$CH_2$$

$$CH_2$$

$$CH_2$$

$$CH_2$$

$$CH_2$$

حمض بنزويك، 4-[(3- إيثيل -3- أوكسيتانيل) ميثوكسي]-4-[[4-(أوكتيل أوكسي) فينوكسي]كربونيل إفينيل إستر

$$(CH_2)_4$$

$$CH_2$$

$$CH_$$

حمض بنزويك، 4-[4-[(3- إيثيل -3- أوكسيتانيل)ميثوكسي]بوتوكسي]-، 4،1- فينيلين إستر

20 الشكل (5-16): مونوميرات بنورات سائلة مع وحدات أوكسيتان

فمثلاً، يُسخّن مزيج مونوميري مع تحريك مستمر ً في وعاء البلمرة من $^{\circ}$ 130°C مُدة 75 دقيقة تحت الضغط الجوي وفي دفق من الآزوت. ثُمّ يُسخّن المزيج حتّى $^{\circ}$ 270°C خلال 195 دقيقة. وفي هذه المرحلة يجري تقطير حوالى 85 في المئة من الكميّة الستوكيومتريّة من حمض الخلّ من المزيج. وأخيراً تُرفع درجة الحرارة حتّى $^{\circ}$ 330°C ويُخفّض الضغط من الضغط الجوّي إلى أقلّ من 15 ميلّيمتراً زئبقياً $^{\circ}$.

لقد جرى وصف سيرورة بلمرة تبدأ بكلوريد حمضي وحمض هيدروكسي في الكزيلين بصفته مُذيباً. بعد التفاعل، يجري تعديل كلوريد الهيدروجين. وفي المرحلة التالية، يُضاف ثنائي حمض إضافي وديول عطري معا إلى جانب أنهيدريد الخل. وهكذا تتكوّن المنتجات المؤستلة مباشرة في وعاء البلمرة. وأخيراً يُجرى تفاعل البلمرة بالتكاثف عن طريق الأسترة التبادليّة 25.

الشكل (16-6): اصطناع مونوميرات أوكسيتان مُحمّلة بالوظائف

2.2.16. بوليميرات پولي (إستر أميد)

تُتيح إضافة 4-أمينوفينول إلى التركيبات الشائعة الاستعمال في حالة بوليميرات البولي(إستر) إنتاج بوليميرات بولي (إسترأميد). فمثلاً، يجري تكاثف مزيج من حمض 6٠2-نفتالين ثنائي كربوكسيليك و TPA و BP و HBA و 4-أمينوفينول بوجود أنهيدريد حمضي 15. تُبدي هذه المواد مُقاومة جيّدة عند اللحام مما يسمح باستعمالها كمواد كهربائيّة أو إلكترونيّة، مثل الوصلات الكهربائيّة، والمقابس للدارات المتكاملة، وغيرها.

3.16. الخواص

إنّ بوليميرات البلّورات السائلة أغلى بكثير من البوليميرات الهندسيّة العاديّة. لهذا السبب، هناك توجّه نحو استعمال بوليميرات البلّورات السائلة كمكوّنات ثانويّة في الصياغات البوليميريّة.

لقد جرى توصيف بعض بوليميرات البلّورات السائلة المتوفرة تجارياً، بما يشمل «Xydar» و Xydar» توصيفاً موسّعاً بواسطة مطيافية الأشعة تحت الحمراء، والقياس الحراري بالمسح التفاضلي، والإجهار بالضوء المُستقطب، والقياس الوزني الحراري، والتحليل العنصري 26. يُبيّن الجدول (16-2) بعض الخواص المُختارة لبوليمير بلّور سائل خالص.

28	^a Vectra®	A 950	ا: خواص	(2-16)	الجدول
----	----------------------	-------	---------	--------	--------

المقياس	الو احدة	القيمة	الخاصة
ISO 1183	g cm ⁻³	1.40	الكثافة
ISO 62	%	0.03	امتصاص الماء عند التوازن (C,50% RH) (23°C,50%
ISO 527	GPa	10.6	معامل الشد
ISO 527	MPa	182	إجهاد الشد عند الكسر
ISO 527	%	3.4	انفعال الشد عند الكسر
ISO 178	GPa	9.1	معامل الانحناء
ISO 178	MPa	158	مقاومة الانحناء
ISO 306	°C	128	نقطة تليُّن ڤيكات (Vicat)
ISO 11357	°C	280	نقطة الانصهار

Ticona ^a، نوع للبثق غير مقوّى

1.3.16. الخواص الميكانيكية

في حالة المواد المركبة البوليميرية، يجري توجيه بوليميرات البلورات السائلة أثناء سيرورة القولبة باتجاه التدفق. فتتكون بذلك لييفات. تُقوّي هذه اللييفات الحاضنة البوليميرية. يُسمّى هذا النوع من المواد المركبة باسم مواد مركبة "في المكان" 27.

2.3.16. الخواص الحرارية

يزيد إقحام كسر جاسئة في السلسلة الرئيسية درجة حرارة الانصهار. ولكن درجة حرارة الانصهار المرتفعة تُجعل إمكانيّة تشغيل الصهارة أسوأ. يمكن تخفيض درجة حرارة الانصهار عن طريق تعديل بنيوي، مثل إدخال:

- لفّات أو انحناءات،
- أو زمر جانبيّة جسيمة،
 - أو مُباعدات مرنة.

يُبيّن الجدول (16-3) تغيرات درجات حرارة الانتقال الزجاجي، ونقاط الانصهار مع تغيّر تركيبة البوليسترات المشتركة المُحضرة من حمض 3-بنزويل -4-أسيتوكسي بنزويك وحمض 4-أسيتوكسي بنزويك.

الجدول (3-16): تبعية درجة حرارة الانتقال الزجاجي ونقطة الانصهار للتركيبة

[°C] \ T_m	$[^{\circ}C] \setminus T_{g}$	
152	110	0.35
152	120	0.50
184	112	0.65
306	114	0.75
334	_	0.85

a - 4-ABA عمض 4- أسيتوكسي بنزويك

مونومير مشترك: حمض 3-بنزويل -4-أسيتوكسي بنزويك

لا تتغيّر درجة حرارة الانتقال الزجاجي تغيّراً جوهرياً مع التركيبة. ولكنّ نقطة الانصهار تزداد مع كميّة حمض 4-أسيتوكسي بنزويك، الذي هو أقلّ جسامة من حمض 3-بنزويل -4-أسيتوكسي بنزويك ¹⁷. تمتلك البوليسترات العطريّة مُقاومة حراريّة مرتفعة بسبب ارتفاع تبلّرها.

3.3.16. الخواص الكهربائية والبصرية

يمكن التأثير في توجيه البلورات السائلة بواسطة حقل كهربائي. تجعل هذه الخاصة البلورات السائلة البوليميرية جذّابة للاستعمال في شاشات البلورات السائلة البوليميرية خذابة للاستعمال في شاشات البلورات السائلة لاستقطاب كهربائي تلقائي حتّى مع غياب حقل كهربائي خارجي. تُسمّى هذه الظاهرة باسم الكهرحديدية.

4.16. التطبيقات

لقد وجدت بوليميرات البلورات السائلة عدداً من التطبيقات، تشمل ما يلي 7,14:

- الألياف العالية الجساءة والعالية المقاومة،
 - المكوّنات المقولبة الدقيقة،
 - الأغشية الحاجزة،
 - البوليميرات الكهرليتية الصلبة،
 - إضافات مُعالجة الصهارة،
 - تجهيزات تخزين المعلومات العكوسة،
 - أدوات الجراحة بالتنظير،
 - البضائع الرياضية،
 - الشاشات الكهربصرية.

1.4.16. المواد المركبة في المكان

المواد المركبة في المكان ²⁷ (in situ composites) هي مواد مركبة مكونة من بوليمير مُثلان حرارياً وبلّور سائل بوليميري. يُطبّق هذا المفهوم على صفوف متنوعة من البوليميرات. يُلخّص الجدول (4-16) الدراسات الحديثة والبوليميرات التي تُكوّن المواد المركبة في المكان.

أثناء التصنيع، تكوّن بوليميرات البلّور السائل لُييفات دقيقة تُقوّي الحاضنة البوليميريّة المتلدّنة حرارياً. تُشبه آليّة التقوية تلك الموافقة للألياف الزجاجيّة. ولكن حين تكون خفّة الوزن مسألة أساسيّة تصبح المواد المركّبة في المكان أفضل مقارنةً بالألياف الزجاجيّة 7.

إضافة إلى ذلك، تُبدي بوليميرات البلّور السائل لزوجات أخفض بكثير من البوليميرات الأخرى. لهذا السبب، فإنّ إمكانية تشغيل المواد المركّبة المقوّاة ببوليميرات البلّور السائل أفضل. وبالطبع فإنّ ثمن بوليميرات البلّور السائل أعلى من ثمن الألياف الزجاجيّة.

الجدول (4-16): البوليميرات الحاضنة في حالة المواد المركبة في المكان

المراجع	البوليمير
29	مطاط الإيثيلين أكريليك
30	مطاطيات الفلوروكربون
32,31	پولي (أميد)
36-33	پولي (کربونات)
37	پولي (اِستر)
39,38	بولي (نرفتالات الإيثيلين)
40	پولي (نفتالات الإيثيلين)
41	پولي (اپثر اپثر كيتون)
42	پولي (اِپشِلين)
45-43	پولي (بروبيلين)
27	پولي (سلفون)
50-46	بوليمير مشترك ثلاثي الكتلة: ستيرين-(إيثيلين بوتيلين)-ستيرين

إنّ التوجيه الخاص لبوليميرات البلّور السائل في اتجاه التدفّق يُسبّب ترقّق قص عند معدلات قص منخفضة. تحبّذ قوى القص المرتفعة تكوين اللّييفات. في حالة مزائج البولي (إستر) العطري و LCP تكون نسبة اللزوجة أكثر استجابة في التحكّم بالمورفولوجيا 40.

ولأنّ معظم بوليميرات البلّور السائل لا تقبل الامتزاج مع البوليميرات التقليديّة، تكون الخواص الميكانيكيّة أقل من تلك التي تتنبّأ بها الدراسة النظريّة. ينتج هذا من سوء الالتصاق في السطح البيني. وفي الحقيقة، يمكن التغلّب على هذه المشكلة بإجراء وفاق مناسب. يمكن استعمال عوامل التوافق نفسها التي تُستعمل في الحقول الأخرى. تُساعد عوامل التوافق في تحسين تشتّت الألياف، وتزيد النسبة البُعديّة للّيف. يُلخّص الجدول (5-16) عوامل التوافق هذه.

يمكن بناء مُخطَّطات الطور للنظم التي جرى وِفاقها بهدف توقع الشروط التي يحدث فيها تكو*ن* اللَّييفات في المكان ⁵¹.

الجدول (61-5): عوامل توافق لمزائج بوليميرات البلورات السائلة

المراجع	المركّب	الحاضنة
52	PP مُطعّم بأنهيدريد المالييك	پولي (بروبيلين)
53	مطّاطيات ملدّنة حرارياً	پولي (بروبيلين)
53	پولي(ستيرين - اپيٽيلين بوتيلين -ستيرين)	پولي (بروبيلين)
54	پولي(إيبوكسيد)	پولي (اِپثر اِيميد)
55	بوليمير مشترك أنهيدريد المالييك استيرين	پولي (أميد)

تؤثّر شروط المعالجة تأثيراً كبيراً في مورفولوجيا الطورين. المورفولوجيا المثاليّة هي حيث يمنطّ بوليمير البلّور السائل ليعطي لييفات، ولكن يمكن أن نحصل على مورفولوجيا بهيئة قطيرات كرويّة. القضيّة الأخرى، هي ارتفاع درجة حرارة انصهار بوليميرات البلّور السائل. ولذلك تمكن ملاحظة تدهور في الراتنج الحاضن عند المزج براتنجات حاضنة تقليديّة.

لقد تبيّن أنّ تكوّن اللَّييفات في مزائج پولي (كربونات) (PC) و LCP يتحسّن عند إضافة خرزات زجاجيّة 56,35. تعمل السيليكا النانوية بالأسلوب نفسه. فمثلاً، وُجِدَ أنّ إلى المنافة سيليكا نانوي إلى مزائج LCP/PC يؤدّي إلى خفض اللزوجة 56. يتعلّق انخفاض اللزوجة بتكوّن لييفات LCP الذي تُعزّزه السيليكا النانويّة. تؤدي إضافة حوالى 5 في المئة من السيليكا النانويّة إلى مزائج LCP والبولي (سلفون) إلى تكوّن لييفات طويلة وموجّهة بشكل تام في التدفق الشعري 57. تُكوّن السيليكا النانويّة شبكة في الحاضنة تزيد من مرونتها، وهذا المفعول مسؤول عن تحسّن تكوّن اللَّييفات.

في راتنجات البولي (إستر) غير المُشبعة، تؤدّي إضافة بوليميرات بلّورات سائلة إلى تحسين الالتصاق بالألياف الزجاجيّة 37 . وتتحسن بالإضافة إلى ذلك الخواص الميكانيكيّة. كما تؤدي إضافة بوليميرات بلّورات سائلة إلى حاضنات مطاطية إلى تحسين الاستقرار الحراري 50 .

2.4.16. تخزين المعطيات ضوئياً

إنّ بوليميرات البلّورات السائلة ذات السلاسل الجانبيّة النيماتيّة والسميكتيّة مُناسبة كوسائط بصريّة لتخزين المعطيات. وتقنيّة التسجيل بالأسلوب الحراري هي تقنيّة خاصيّة في هذا الشأن 58. حيث يجري توليد مركز تبديد بصري عن طريق تسخين موضعي. ولكن يمتلك التسجيل بالأسلوب الحراري عدداً من المساوئ مثل بطء زمن الاستجابة، وانخفاض الميز 14.

وكذلك، يمكن استعمال أغشية البلورات السائلة، أو الأغشية البوليميرية اللامتبلرة، المحتوية على زمر الأزوبنزين الحسّاسة للضوء في التخزين البصري للمعطيات. تمرّ مركّبات الآزوبنزين بسيرورات تكوّن إيزوميرات بفعل الضوء 59. تُبدي مركّبات الآزوبنزين المرتبطة بالبوليميرات توجيهاً موجّهاً عند تعريضها لضوء مُستقطب ذي طول موجة مُناسب. إنّ التعرّض لضوء مُستقطب خطياً يقود إلى توجيه هذه الزمر توجيهاً عمودياً على اتجاه الاستقطاب. ويمكن أن يحدث في البوليمير انكسار مُضاعف مُحرّض ضوئياً.

تعود فكرة استعمال هذا الأثر في التخزين البصري العكوس للمعطيات إلى تودوروف (Todorov) 62 (Ringsdorf) ورينغسدورف (Ringsdorf) وهو يُسمّى حالياً باسم التسجيل بالأسلوب الضوئي. تكمن ميزة التسجيل بالأسلوب الضوئي على التسجيل بالأسلوب الحراري في الميز الأعلى، وسرعة الكتابة، وإمكانية التسجيل المتعدّد (Multiplex recording) 14.

وعليه، عند تشعيع غشاء من هذه الموادّ بضوء مُستقطب خطيّاً أو غير مُستقطب، يمكن لمعلومات بصريّة أن تُكتب، أو تُمحى، أو أن تُعاد كتابتها على الغشاء البوليميري. وتحديداً يُسبّب التشعيع انكساراً ثنائياً مُحرّضاً بصرياً 63. يمكن سبر المعلومات المكتوبة بهذه الطريقة بقياس الخواص البصريّة للمادّة. وبهذه الطريقة يجري استرجاع المعلومات.

من وُجهة النظر الجزيئية، يتحول الآزوبنزين من الحالة مفروق trans إلى الحالة مقرون cis. بتفاعل تكون الإيزوميرات هذا تترادف زمر الآزوبنزين غير الموجّهة سابقاً ترادفاً عمودياً على مستوي استقطاب الضوء الوارد. يتسبّب هذا الترادف بجعل المساحات المُشعّعة ذات انكسار ثنائي عال.

يمكن إدخال زمر الآزو في البوليميرات عن طريق مونوميرات مؤسسة على قاعدة وحدات أكريلات أوميتاكريلات يجري ربط سلاسل جانبية محتوية على زمر آزو إليها. يبيّن الشكل (16-7) اصطناع مثل هذه المونوميرات.

إضافة إلى ذلك، يجري إدخال وحدات ميزوجينية (*) (Mesogenic units) إلى البوليمير. تُربط الوحدات الميزوجينية بالطريقة نفسها التي يجري فيها ربط أصبغة الآزو. وهي لا تحتاج بالضرورة إلى امتصاص الضوء الفاعل لأنها تؤدي دور زمر جزيئية منفعلة. تقتصر مهمّتها على زيادة شدّة الانكسار المُضاعف المُحرّض ضوئياً، وعلى جعله مستقراً بعد انتهاء فعل الضوء 59.

وبهدف تحسين انحلاليّة البوليمير يمكن دمج كسر أخرى:

- 1. كوحدات مونوميرية تجري مُكاملتها عشوائياً في السلسلة الرئيسيّة،
 - 2. أو كزمر جانبية عند مواقع الارتباط بين الأزوبنزين والمباعد،
 - 3. أو كزمر نهائية عند الطرف الحرّ من صباغ الآزو.

الشكل (7-16): اصطناع ميتاكريلات محتو على آزوبنزين 59

^(*) وحدات تُعطي للبوليمير طبيعته البلّوريّة السائلة (المترجم).

فمثلاً، يمكن تحسين الانحلاليّة بواسطة جزيئات الصباغ المحتوية على زمر هيدروكسيل متدليّة أو بإدخال ثنائي ميثيل أكريل أميد في البوليمير. يُحسِّن إدخال ثنائي ميثيل أكريل أميد أيضاً عكوسيّة حركيّة الإضاءة.

لإنتاج تجهيزات تخزين، يجري إنتاج بوليميرات من المونوميرات، ويجري إنتاج أغشية بوليميريّة بالطلي الدوّامي من محلول. وتُحضر أغشية بسماكة نموذجيّة قدرها 200 nm.

عند الكتابة يجري تشعيع العيّنات من جهة البوليمير بواسطة ضوء ليزري مُستقطب وارد عمودي عليها (سيرورة الكتابة). يُستعمل ليزر بشوارد الأرغون عند طول موجة قدره $514\,\mathrm{nm}$ 514 بصفته مصدراً ضوئياً بشدّة قدرها $100\,\mathrm{mW\,cm^{-2}}$. بهذه الطريقة، تتحرّض دورات تكوّن إيزوميرات مفروق -مقرون -مفروق في جزيئات زمرة آزوبنزين الجانبيّة في البوليمير، مؤدّية بذلك إلى توجيه صاف للزمر الجانبيّة بعيداً عن اتجاه استقطاب الليزر. يُمكن أن تُتبَع هذه التفاعلات بانكسار مُضاعف Δn في مستوي الغشاء البوليميري. يجري تعيين سلوك الانكسار المُضاعف المُحرّض عند $633\,\mathrm{nm}$ تجريبياً بواسطة ليزر هيليوم-نيون بشدّة قدر ها $mW\,\mathrm{cm}^{-2}$ ، وهو ما يُعرف بليزر القراءة.

الإسترات المالونيّة هي أنواع أخرى من المونوميرات المحتوية على الآزوبنزين 63 . يُثبّت صباغ الآزو، المعروف باسم ديسبرس رد Disperse Red 1، بصفته وظيفة إستر. ثُمّ تُحضّر بوليميرات بولي (إستر مالونيك) بتفاعل ذرات الهيدروجين النشطة في مركّب الإستر مالونيك مع مركّبات 0 ألكان أو المركّبات العطريّة، مثل ثنائي بروموكزيليلين بوجود هيدريد الصوديوم.

3.4.16. الأطوار المستقرة

تنفصل الأطوار المستقرة التقليدية تبعاً لقطبيتها، وتبعاً لتفاعلاتها المتبادلة مع المادة المُحلّلة. وبالمقابل تمتلك بوليميرات البلورات السائلة خاصة تقنية إضافية هي أنها تنفصل بهيئتها الجزيئية عن المادة المُحلّلة. تُركّز أكثريّة الدراسات على الكروماتوغرافيا الغازيّة (GC).

يمكن أن تُعاني مواد البلّورات السائلة ذات الوزن الجزيئي المنخفض تطايراً عالياً. لهذا السبب يمكن تحقيق الانفصالات التي تحتاج إلى درجات حرارة عالية بنجاح أكبر بواسطة بوليميرات البلّورات السائلة. يمكن توصيف مواد البلّورات السائلة بما فيها بوليميرات البلّورات السائلة بواسطة الكروماتوغرافيا الغازيّة العكسيّة 64.

تُستعمل البوليميرات ذات السلسلة الرئيسيّة من پولي (سيلوكسان) وسلسلة جانبيّة متدليّة من زمر بلّوريّة سائلة استعمالاً شائعاً. أمّا زمر السلاسل الجانبيّة البلّوريّة السائلة فهي مُعقّدات عضويّة مع التوتياء أو النيكل أو الإيثرات التاجيّة 65. يُسمّى هذا النوع من البوليميرات باسم البولي (سيلوكسان) الميزومورفي أي البلوريّ السائل. تُبدي السلاسل الجانبيّة المؤسّسة على 4-بيفينيل -4-أليل أوكسي بنزوات أداء فصل خاصّ في حالة المركّبات الراسيمية.

لقد جرى استعمال بعض السلاسل الجانبيّة البلّوريّة السائلة المؤسّسة على الأكريلات بصفتها أطواراً مستقرّة لكلً من الكروماتوغرافيا السائلة (LC) والكروماتوغرافيا الغازيّة (GC) 68,67 (GC). لقد جرى وصف تحضير بوليميرات بلّورات سائلة مناسبة لفصل مركّبات ثنائي بنزو ديوكسين، وثنائي بنزو فوران المتعدّدة الكلّورة، وغير ذلك من المركّبات العطريّة المتعدّدة الكلّورة 69. إضافة إلى ذلك، فقد جرى في الأدبيات عرض مجموعة موسّعة من الأطوار المستقرّة للكروماتوغرافيا الغازيّة من بوليميرات البلّورات السائلة، مع أمثلة على تطبيقات 65.

إنّ تطبيق استعمال بوليميرات البلورات السائلة كطور مستقر في الكروماتوغرافيا السائلة أقل شيوعاً من استعمالها في الكروماتوغرافيا الغازيّة 70. هناك طريقتان أساسيّتان لتحضير أطوار مستقرّة بلّوريّة سائلة، وتحديداً:

1. ربط جزيئات بلورات سائلة منخفضة الوزن الجزيئي بجسيمات هلام سيليكا،

2. أو طلاء بوليميرات البلورات السائلة على السيليكا أو ربطها بها.

بالطبع، كما الطريقة الثانية تؤدّي الطريقة الأولى إلى بوليميرات، إلا أنّه في الطريقة الأولى نحصل على مواد هجينة تحتوي على مواد غير عضويّة ومواد عضويّة.

ولقد جرت محاولة استعمال مواد بلورات سائلة حاملة وظيفة كلوريد حمض لربطها بزمرة السيلانول في السيليكا. لا يبدو التفاعل المباشر ناجحاً، وكذلك لم ينجح المباعد ذو

السيلان المُستبدل فيه ثنائي كلورو ثنائي الميثيل. يُبيّن الشكل (16-8) مُخطِّط التفاعل. ولكن يُلاحظ أداء فصل في حالة توضيع البلّورات السائلة أكثر منه في حالة ربطها 71. لقد كانت مواد البلّورات السائلة المُستعملة في هذه الدراسة مؤسسة على قاعدة كسر كولستيرية. ويُشكُ أنّ فشل التفاعل ناتج من كبر حجم زمرة الكولستيريل. وفي دراسة أخرى جرت إضافة ثنائي ميثيل كلورو سيلان إلى زمرة الأليل في 4-ميثوكسي فينيل -4- أليل أوكسي بنزوات. يمكن ربط هذه المادّة الوسطيّة إلى السيليكا 72. ولقد جرى استعراض طرق متعدّدة أخرى لتثبيت كسر البلّورات السائلة على السيليكا 70.

إنّ الميزة الأساسيّة في استعمال بوليميرات البلّورات السائلة بصفتها أطواراً مستقرّة لتطبيقات الكروماتوغرافيا السائلة هي أنّ طلاء البوليميرات على هلام السيليكا هي إجرائيّة بسيطة. ومن ناحية أخرى، يمكن تثبيت البوليميرات المشطيّة الشكل، المحضرّة من أكريلات الأوكتاديسيل و 8-ميركابتوبروبيل ثلاثي ميثوكسي سيلان بصفته عامل انتقال سلسلة، على هلام السيلكا بالربط. لقد تبيّن أن التلومير (Telomer) يسلك سلوك مادّة نيماتيّة في المجال 80 - 81. ويمكن تحقيق فصل للإيزوميرات الهندسيّة 87.

$$\begin{array}{c} \text{CH}_3 \\ \text{CH}_3 \\$$

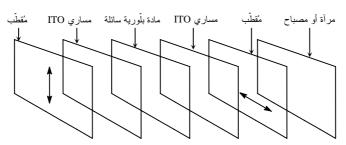
الشكل (8-16): تثبيت كسر البلورات السائلة على السيليكا 71,70

4.4.16. شاشات البلورات السائلة

لقد قدّم موزلي (Mosley) ⁷⁴ وكاستيلانو (Castellano) ⁷⁵ تاريخ شاشات البلّورات السائلة (LCD). يتطلّب تطوير تركيبات شاشات البلّورات السائلة معرفة خبيرة، أبعد بكثير من الكيمياء العضويّة، وهي معروضة في مكان آخر ⁷⁶. سنكتفي هنا بمناقشة المفاهيم الأساسيّة لشاشات البلّورات السائلة، وسنستعرض بوليميرات البلّورات السائلة المستعملة في هذا الحقل.

يُبيّن الشكل (16-9) رسماً تخطيطياً لشاشة عرض بالبلّورات السائلة. في أبسط الحالات تُبنى شاشة البلّورات السائلة من:

- 1. مُقطِّب شاقولي،
- 2. نسق من مساري أوكسيد القصدير والإنديوم الموضّعة على زجاج،
 - 3. حاضنة من البلور السائل،
- 4. نسق من مساري أوكسيد القصدير والإنديوم الموضعة على زجاج،
 - 5. مُقطّب أفقى،
 - 6. مرآة أو منبع ضوئي.



الشكل (9-16): مُخطّط شاشة بلورات سائلة

تُعالج سطوح المساري التي تكون على تماس مع الحاضنة البلّورية السائلة بطبقة بهدف مُحاذاة جزيئات البلّور السائل في اتجاه مُحدّد. تتكوّن طبقة المحاذاة هذه من بوليمير مُمشّط في اتجاه محدّد. هناك عدّة مبادئ حول كيفيّة تحقيق المُحاذاة. في تجهيزة نيماتيّة ملفوفة، تكون اتجاهات مُحاذاة السطح عند المسريين متعامدة. ولهذا السبب، تتحاذى الجزيئات في نمط لولبي على طول الخليّة عند غياب حقل كهربائي. وهذا هو النمط

الشفّاف في حالة تجهيزة نيماتيّة ملفوفة. عند تطبيق حقل كهربائي، تترادف البلّورات السائلة موازية للحقل الكهربائي. ويحدث تغيّر في زاوية دوران الضوء، مما يُسبب تغيّراً في شفافيّة التجهيزة. عندما يكون العنصر الأخير مرآة تكون شاشة البلّورات السائلة من النوع العاكس، وعندما يجري تركيب مصدر للضوء، تكون شاشة البلّورات السائلة من النوع المُضاء من الخلف. هناك مُركّبات إضافيّة في شاشة بلّورات سائلة، مثل مُرشّحات الألوان، وعناصر تأخير الانعكاس وغير ذلك.

في حالة شاشات البلورات السائلة المترادفة شاقولياً، ينعكس الموقف. تصطف المحاور الطويلة لجزيئات البلور السائل عموديّة على الركيزة في حالة عدم وجود حقل كهربائي بين المساري. وعليه، باستعمال صفائح استقطاب، يُحتجز الضوء تماماً عند غياب الحقل الكهربائي. ولأن سطوع النمط العاتم ضعيف جدّاً، يمكن تحقيق نسبة تباين أعلى من تلك التي نجدها في التجهيزات النيمانيّة الملفوفة 77.

يمكن أن يكون البوليمير في طبقة المُحاذاة بوليمر پولي (إيميد)، يجري طليه طلياً دو المياً من محلول. وبعد التجفيف، يجري تكوين غشاء سماكته $0.1 \mu \, \mathrm{m}$ عند درجة حرارة قدرها $0.20^{\circ} \, \mathrm{C}$. يجري بعد ذلك مسح الغشاء باتجاه واحد حتّى يؤدّي دور طبقة ترادف أو مُحاذاة.

أظهرت الدراسة بسرعة أن لزوجة مُعظم البوليميرات النيماتيّة مرتفعة إلى درجة تجعل منها موادّ غير مُناسبة للاستعمال في التجهيزات السريعة التبديل. ولكن يمكن استعمال هذه المواد في المُركِّبات المُساعِدة المُتعلَّقة بشاشات العرض، مثل المقطّبات، وأغشية التأخير، وحاضنات التشتيت البوليميريّة 14.

1.4.4.16. تثبيت البوليميرات

ليست المواد البلورية السائلة في شاشات البلورات السائلة بالضرورة بلورات سائلة بوليميرية. ولكن حتى يجري تثبيت المادة البلورية السائلة، تُستعمل بوليميرات تقليدية للتضمين وبوليمرات بلورات سائلة أيضاً. تجمع السلاسل الجانبية من بوليميرات البلورات السائلة خواص البلورات السائلة والبوليميرات ذات السلاسل الرئيسية المرنة. ولأن كِسر

البلورات السائلة مُثبّتة على السلاسل الرئيسيّة للبوليمير، فإنّ هذا النوع من البلورات السائلة لا يسيل كما هي حال البلورات السائلة المونوميريّة.

تتكوّن مواد البلّورات السائلة الشائعة من 78:

- بلورات سائلة في شبكات بوليميرية،
 - أو بلورات سائلة مُشتّتة بوليميرياً.

تُصنع الشبكات البوليميريّة ذات البلّورات السائلة بطريقة بلمرة فصل الطور. يُصنع محلول من البلّور السائل بنسبة (70-90 في المئة) ومن مونومير قابل للبلمرة أو أوليغومير يوضع في الخليّة. تُستهلّ البلمرة بالتشعيع بالضوء فوق البنفسجي، ومع تقدّم البلمرة يمكن أن يحدث فصلٌ في الطور بين البلّور السائل والبوليمير، وبذلك يُكوّن البوليمير نموذج شبكة في البلّور السائل 78.

يمكن للمونوميرات أن تتكون من مزيج من 2-هيدروكسي إيثيل ميتاكريلات، وفينوكسي إيثيل أكريلات، وپولي (رباعي ميثيلين غليكول ثنائي أكريلات)، وپولي (رباعي ميثيلين غليكول) 79. تُبدي البلورات السائلة، من أنواع السيانوبيفينيل والسيانوفينيل حلقي الهكسان والسيانوهكسيل حلقي الهكسان، استجابة عالية للحقل الكهربائي.

في نظام تثبيت بوليميري، تُحبس بإحكام مادّة مركّبة بلّوريّة سائلة، فيها مُركّبة قابلة للبلمرة ممزوجة ببلّور سائل، بين ركيزتين. تُرصف جزيئات البلّور السائل عن طريق تطبيق فرق كمون بين الركيزتين، ثُم تبدأ البلمرة.

وبذلك يجري الحصول على طبقة من البلّور السائل تكون فيها الجزيئات مرصوفة في اتجاه محدّد سلفاً، ويمكن بذلك تثبيت اتجاه رصف جزيئات البلّورات السائلة. ويجري اختيار المواد التي تقبل البلمرة بالتسخين أو بالأشعة فوق البنفسجيّة كمونوميرات 80.

يُضاف أحادي أكريلات بلور سائل بكميّة حوالى 2.5 في المئة إلى بلور سائل. وبعد حقن مادّة البلّور السائل بين الركيزتين، يجري إنضاج المونوميرات عن طريق تشعيع طبقة البلّور السائل بالأشعّة فوق البنفسجيّة بينما يُطبّق فرق كمون قدره 5 فولت على طبقة البلّور

السائل. يمكن، بهذه السيرورة تكوين بوليميرات مترادفة في اتجاه ارتصاف جزيئات البلّور السائل. وبكلمات أخرى، يمكن تثبيت ترادف البلّور السائل أثناء تطبيق فرق كمون منخفض.

في الغالب تكون مونوميرات البلور السائل القابلة للبلمرة الضوئية مؤسسة على قاعدة زمر الأكريلات التي يجري إدخالها في وحدات البلور السائل. الأمثلة على ذلك مبينة في الشكلين (16-3) و (16-4). إضافة إلى ذلك، تمكن بلمرة مونوميرات البلورات السائلة ذات وحدات الأوكسيتان المتدلية، انظر الشكل (16-5)، بفتح الحلقات. يجري طلي دوامي للتركيبات ثُم تُستهلُ البلمرة بالضوء فوق البنفسجي.

2.4.4.16. التبعيّة لزاوية الرؤية

يُمكن أن تُعاني شاشات البلّورات السائلة التقليديّة تبعيّة لزاوية الرؤية. هذا يعني أن جودة الشاشة تكون أخفض عند النظر إلى الشاشة بشكل مائل مُقارنة بحالة النظر إليها من موقع ناظمي عليها 21. وعموماً تكون زاوية الرؤية الواسعة أمراً مرغوباً.

يمكن توسيع زاوية الرؤية في شاشات البلورات السائلة من النمط النيماتي الهجينة الترادف، أو في شاشات البلور السائل من النمط المنحني المُعوَّض بصرياً 81. في النوع الأخير، تكون جزيئات البلور السائل مترادفة على نحو مواز المسريين، إلى حدً ما، في المناطق الخارجية من الخلية، ثم يزداد ميلها تدريجياً حتّى تصل إلى مركز الخلية فتكون جزيئات البلور السائل عمودية على المسريين. وبنتيجة ذلك يجري تحقيق زاوية رؤية واسعة. للحصول على هذا الترادف المنحني لجزيئات البلور السائل، يُستعمل عامل توجيه أفقي موجّه بالاتجاه نفسه، ويُطبّق بداية فرق كمون مرتفع. وكذلك تتحرّك جزيئات البلورات السائلة في الاتجاه نفسه عند عملها، مُحققة بذلك زاوية رؤية واسعة إضافة إلى أزمنة استجابة سريعة.

يمكن توسيع زاوية الرؤية إذا جرى إدخال طبقة إضافيّة بين خليّة البلّور السائل والمُقطّب. يُمكن استعمال كسر كولستيريّة قابلة للبلمرة ضوئياً، مُعدّلة بمُباعدات ووحدات أكريلية لبناء مثل طبقات التبطىء هذه 21. يبيّن الشكل (3-16) أمثلة على هذه المونوميرات.

5.4.16. تركيبات موصلة كهربائياً

إنّ التركيبات الموصلة كهربائياً القابلة للقولبة بالحقن والمؤسّسة على بوليميرات بلّوريّة سائلة مفيدة في تنوّع واسع من التطبيقات، يشمل:

- التجهيزات الكهركيميائية،
- جامعات تيّار البطّاريات،
- التدريع عالى الكفاءة إزاء تداخل التواترات الراديوية،
 - تطبيقات خلايا الوقود.

يجري صنع التركيبات الموصلة كهربائياً عن طريق مزج بوليميرات بلّورية سائلة قابلة للقولبة بالحقن وألياف غرافيت مطليّة بالنيكل مُشرّبة براتنج رابط متلدّن حرارياً غير بلّوري سائل. يجري المزج عند درجة حرارة تحت نقطة انصهار البوليمير البلّوري السائل. يُعالَج المزيج في آلة قولبة بالحقن. إنّ التوازن بين الموصليّة الكهربائييّة، وقابليّة التشغيل، والخواص البنيويّة أمرٌ مرغوب⁸². يُلخّص الجدول (16-6) المواد في حالة التركيبات الموصلة كهربائياً.

الجدول (6-16): المواد في حالة التركيبات الموصلة كهربائياً 82

المُصنّع	ملاحظة	المُركّبة
DuPont	بوليمير بلّوري سائل	Zenite® HX8000
Composite Materials	a ألياف غر افيت	PPI-1204-Ni60
Composite Materials	a ألياف غر افيت	PPI-1208-Ni60
Composite Materials	$^{ m b}$ ألياف غر افيت	PPI-1204-NiCu40
Conoco	مسحوق غرافيت	Thermocarb® CF300

^a مطلي بالنيكل، راتنج مشرّب.

مطلي بالنحاس - النيكل، راتنج مشرّب. $^{
m b}$

5.16. الموردون والعلامات التجارية

يبيّن الجدول (16-7) الموردين والعلامات التجاريّة. ولقد جرى تلخيص المونوميرات والوحدات البنيويّة المستعملة في بوليميرات البلّوريّة السائلة في الأدبيات 8,7. إن أنواع فيكترا «Vectra هي بوليميرات إسترية مشتركة عشوائية مؤسّسة على HBA وحمض 2-هيدروكسي -6-نفتويك أو بوليميرات إستر أميد مشتركة مؤسّسة على 4-أمينوفينول و Aydar أمّا أنواع كسيدار «Xydar فهي بوليميرات بولي(إستر) تامّة العطريّة مؤسّسة على ABA و BP و BP و TPA و إن بوليمير بولي (ترفتالات الإيثيلين) الخالص ليس بوليميراً بلّوريّاً سائلاً، ولكنه يُصبح كذلك عند إدخال ABA. تعمل زمر الإيثيلين كمُباعدات مرنة تُخفّض درجة حرارة الانتقال النيماتيّ. الأنواع المتوفرة تجارياً من هذا النمط هي ATG وأنواع Rodrun ويبيّن الجدول (6-8) الأسماء التجاريّة الواردة في المراجع.

الجدول (16-7): أمثلة على بوليميرات بلورية سائلة متوفرة تجارياً

المُنتِج	الاسم التجاري
Sumitomo Chemicals	Ekonol®
Lati	Laxtar®
Mitsubishi Engineering Plastics	Novaccurate®
Dainippon Ink & Chemicals	Octa®
Unitika	Rodrun
Toray Industries	Siveras TM
Sumitomo Chemicals	Sumikasuper®
Eastman	Titan®
Kuraray Co., Ltd.	Vecstar®
Celanese Ticona, Polyplastics CO., Ltd.	Vectra® A
Ticona	Vectran®
Solvay Advanced Polymers LLC	Xydar®
DuPont	Zenite®
RTP Company	RTP Compounds 34
Eastman	X7G

الجدول (61-8): الأسماء التجارية الواردة في المراجع

المُورّد	الاسم التجاري
	الوصف
Sumitomo Chemicals	Ekono® E-101
Co. Ltd.	پولي (حمض p- هيدروكسي بنزويك) ²⁵
Ciba	Irgacure® 907
	2-ميثيل -1-[4-(ميثيل ثيو)فينيل]-2-(4-مورفولينيل)-1-بروبانون
	بادئ ضوئي ²¹
Japan Synthetic	Optomer® AL1254
Rubber Co.	پولي (اِيميد) ²¹
Unitika	Rodrun®
	ﺑﻮﻟﻴﻤﻴﺮ ﺑﻠّﻮﺭ <i>ﻱ</i> ﺳﺎﺋﻞ ³³
Conoco	Thermocarb®
	ألياف غر افيت ⁸²
DuPont	Zenite®
	ﺑﻮﻟﻴﻤﻴﺮ ﺑﻠّﻮﺭ <i>ﻱ</i> ﺳﺎﺋﻞ ⁸²

6.16. الأثر البيئي وإعادة التدوير

لمّا كانت المواد المركّبة في المكان تحتوي بوليميرات هندسيّة، كانت قضيّة إعادة تدويرها قضيّة مُهمّة. لقد جرى تحرّي خواص مزائج PC و LCP المُعاد تدويرها. فقد جرى إعداد عيّنات اختبار بمزج PC و LCP ثُمّ قولبتها بالحقن للحصول على عيّنات بكر.

جرى بعد ذلك سحق هذه العينة ثُمّ قولبتها بالحقن للحصول على عينة مُعادة التدوير بمرحلة واحدة. ثُمّ جرى تكرار عملية السحق والقولبة بالحقن للحصول على عينة مُعادة التدوير بعدة مراحل. ولقد التدوير بعدة مراحل 33. لقد جرى تحضير عينات مُعادة التدوير حتّى أربع مراحل. ولقد جرى توصيف العينات البكر ونلك المُعاد تدويرها بواسطة خواصها الميكانيكية والريولوجية. أثناء عملية إعادة التدوير يبقى معامل يونغ (Young) شبه ثابت، وتتخفض مُقاومة الشدّ بحوالى 20 في المئة، وبالمقابل يزداد مُعدّل تدفّق الصهارة ازدياداً جوهرياً بازدياد عدد مرّات إعادة التدوير.

يهدف طريق آخر لإعادة التدوير إلى فصل LCP من الحاضنة البوليميريّة 83. في حالة حاضنة من بوليمير پولي (بروبيلين) (PP) جرى استعمال بثق تفاعلي لخفض الوزن الجزيئي لبوليمير PP. يُسهّل خفض الوزن الجزيئي عمليّة فصل الطور اللاحقة في الزيت المعدني. بهذه الطريقة يمكن استرجاع حوالي 70 في المئة من البوليمير البلّوري السائل بنقاوة تزيد على 96 في المئة. ولقد وُجد أنّه يمكن الاستعاضة جزئياً عن البوليمير البلّوري السائل البكر بالبوليمير البلّوري السائل المُسترجع لصنع مزائج من PP و LCP، وذلك بدون تغيير الخواص الميكانيكيّة.

المراجع

- 1. F. Reinitzer. "Beiträge zur Kenntniss des Cholesterins." *Monatsh Chemie*: vol. 9, no. 1, December 1888, pp. 421–441.
- 2. T. J. Sluckin, D. A. Dunmur, H. Stegemeyer, eds., *Crystals that Flow: Classic Papers from the History of Liquid Crystals*. Liquid Crystals Book Series. New York: Taylor and Francis, Inc., 2004.
- 3. P. Palffy-Muhoray. "Orientationally ordered soft matter: The diverse world of liquid crystals." *Liquid Crystal Communications*: August 2007, pp. 1-16 [electronic] http://www.e-lc.org/docs/2007_08_26_01_36_22.
- 4. P. Palffy-Muhoray. "The diverse world of liquid crystals." *Physics Today*: vol. 60, no. 9, September 2007, pp. 54–60.
- 5. S. Chandrasekhar and G. S. Ranganath. "Discotic Liquid Crystals." *Reports on Progress in Physics*: vol. 53, no. 1, 1990, pp. 57–84.
- S. Chandrasekhar, S. K. Prasad, G. G. Nair, D. S. S. Rao, S. Kumar, and M. Manickam. Liquid crystal display device. US Patent 6 558 759, assigned to Centre for Liquid Crystal Research (ID), 6 May 2003.
- 7. S. C. Tjong. "Structure, morphology, mechanical and thermal characteristics of the in situ composites based on liquid crystalline polymers and thermoplastics." *Materials Science and Engineering R*: vol. 41, nos. 1-2, September 2003, pp. 1–60.
- 8. A. A. Collyer, ed., *Liquid Crystalline Polymers: From Structures to Applications*, *volume 1 of Polymer Liquid Crystal Series*. London: Elsevier, 1992.
- 9. D. Acierno and A. A. Collyer, editors. *Rheology and Processing of Liquid Crystal Polymers, volume 2 of Polymer Liquid Crystal Series*. London: Chapman and Hall, 1996.
- W. Brostow, editor. Mechanical and Thermophysical Properties of Polymer Liquid Crystals, volume 3 of Polymer Liquid Crystal Series. London: Chapman and Hall, 1998.

- 11. A. M. Donald, A. H. Windle, and S. Hanna. *Liquid Crystalline Polymers*. 2nd ed. Cambridge, MA: Cambridge University Press, 2006.
- M. Warner and E. M. Terentjev. Liquid Crystal Elastomers, volume 120 of International Series of Monographs on Physics. Rev. ed. Oxford: Clarendon Press, 2007.
- 13. C. B. MacArdle, ed., Side Chain Liquid Crystal Polymers. Glasgow: Blackie, 1989.
- 14. C.-S. Hsu. "The application of side-chain liquid-crystalline polymers." *Progress in Polymer Science*: vol. 22, no. 4, 1997, pp. 829–871.
- 15. O. Kishiro, H. Kamata, and H. Sakai. Aromatic polyester, aromatic polyesteramide and processes for producing the same. US Patent 5 025 082, assigned to Mitsubishi Kasei Corporation (Tokyo, JP), 18 June 1991.
- 16. H. Reimann, G. Pipper, H.-P. Weiss, C. Plachetta, and E. M. Koch. Partly aromatic copolyamides of reduced triamine content. US Patent 5 298 595, assigned to BASF Aktiengesellschaft (Ludwigshafen, DE), 29 March 1994.
- J. L. Brewbaker and W. B. Marshall. Liquid crystalline copolyesters of 4hydroxybenzoic acid and substituted 4-hydroxybenzoic acids. US Patent 5 268 443, assigned to The Dow Chemical Company (Midland, MI), 7 December 1993.
- 18. T. Kaneko, M. Matsusaki, T. T. Hang, M. Akashi, and N. Kuriyama. Bio-liquid crystal polymer and shaped material using same. US Patent 7 182 884, assigned to Akashi; Mitsuru (Osaka-fu, JP) Toyoda Gosei Co., Ltd. (Aichiken, JP), 27 February 2007.
- M. S. Connolly. Optically anisotropic melt forming aromatic copolyesters based on tbutylhydroquinone. US Patent 4 664 972, assigned to E. I. Du Pont de Nemours and Company (Wilmington, DE), 12 May 1987.
- T. Matsumoto and H. Mazaki. Liquid crystalline oxetane compound, polymerizable liquid crystalline composition, method for producing liquid crystal film, optical film, and liquid crystal display. US Patent 7 087 273, assigned to Nippon Oil Corporation (Tokyo, JP), 8 August 2006.
- 21. K. Kashima. Cholesteric reflective retardation optical element with directors at top surface of optical element parallel to those at the bottom surface of the optical element. US Patent 7 202 926, assigned to Dai Nippon Printing Co., Ltd. (Tokyo, JP), 10 April 2007.
- 22. J. L. Brewbaker and W. B. Marshall. Melt processable thermotropic aromatic copolyesters. US Patent 5 071 942, assigned to The Dow Chemical Company (Midland, MI), 10 December 1991.
- 23. K. Matsuoka and K. Kawata. Optical compensation sheet, liquid crystal display device, and liquid crystal composition. US Patent 6 444 280, assigned to Fuji Photo Film Co., Ltd. (Minami-Ashigara, JP), 3 September 2002.
- 24. K. Tasaka, T. Yajima, N. Kuzuhara, and H. Umeda. Optical compensation film, viewing angle compensation integral type polarizing plate and liquid crystal display apparatus. US Patent 7 105 213, assigned to Konica Minolta Holdings, INC (Tokyo, JP), 12 September 2006.

- H. Sugimoto, Y. Ohbe, and K. Hayatsu. Process for producing aromatic polyesters. US Patent 5 055 546, assigned to Sumitomo Chemical Company, Ltd. (Osaka, JP), 8 October 1991.
- 26. T.-S. Chung and X. Jin. "Studies on the phase transition and thermal stability of Xydar and Zenite series liquid crystalline polymers." *Polymer Engineering and Science*: vol. 40, no. 4, 2000, pp. 841–856.
- 27. G. Kiss. "In situ composites: Blends of isotropic polymers and thermotropic liquid crystalline polymers." *Polymer Engineering and Science:* vol. 27, 1987, pp. 410–423.
- 28. IDES Integrated Design Engineering Systems. The Plastics Web®. IDES Inc. 209 Grand Avenue Laramie, WY 82070 USA [electronic] http://www.ides.com/prospector, 2006.
- 29. E. Shiva Kumar, C. Das, K. Banik, and G. Mennig. "Viscoelastic properties of in situ composite based on ethylene acrylic elastomer (AEM) and liquid crystalline polymer (LCP) blend." *Composites Science and Technology*: vol. 67, no. 6, May 2007, pp. 1202–1209.
- 30. E. Shivakumar, C. Das, E. Segal, and M. Narkis. "Viscoelastic properties of ternary in situ elastomer composites based on fluorocarbon, acrylic elastomers and thermotropic liquid crystalline polymer blends." *Polymer*: vol. 46, no. 10, April 2005, pp. 3363–3371.
- 31. M. Kurokawa and S. Nagai. "Reinforcement of polyamide 6 with thermotropic liquid crystalline polymer." *Polymer Engineering and Science:* vol. 39, 1999, pp. 872–880.
- 32. S. C. Tjong, R. K. Y. Li, and X. Xie. "Properties of in situ composites based on semiflexible thermotropic liquid crystalline copolyesteramide and polyamide 66 blends." *Polymer Journal* (Tokyo): vol. 32, 2000, pp. 907–914.
- 33. Q. W. Xu and H. C. Man. "Recycling of the Rodrun LC-5000 LCP/polycarbonate in situ composites." *Polymer*: vol. 41, no. 20, September 2000, pp. 7391–7397.
- 34. X. Zheng, B. Zhang, J. Zhang, Y. Xue, and J. He. "Flow properties and morphology of PC/LCP blends affected by the addition of glass fiber and resulted mutual influences." *International Polymer Processing*: vol. 18, 2003, pp. 3–11.
- 35. P. Chen, J. Zhang, and J. He. "Morphology evolution of a liquid crystalline polymer confined by highly packed glass beads in polycarbonate." *Polymer*: vol. 46, no. 18, August 2005, pp. 7652–7657.
- 36. L.-C. Wu, P. Chen, J. Chen, J. Zhang, and J.-S. He. "Noticeable viscosity reduction of polycarbonate melts caused jointly by nano-silica filling and TLCP fibrillation." *Polymer Engineering and Science:* vol. 47, 2007, pp. 757–764.
- 37. X.-B. Yu, C. Wei, and F.-A. Zhang. "Studies on the mechanical and dynamic mechanical properties of thermotropic liquid crystalline polymer/unsaturated polyester/glass fiber in situ hybrid composites." *Advanced Polymer Technology*: vol. 17, 2006, pp. 534–539.

- 38. L. Pan and B. Liang. "A comparative study of in-situ composite fibers reinforced with different rigid liquid crystalline polymers." *Journal of Applied Polymer Science*: vol. 70, 1998, pp. 1035–1045.
- 39. W. Grasser, H.-W. Schmidt, and R. Giesa. "Fibers spun from poly(ethylene terephthalate) blended with a thermotropic liquid crystalline copolyester with non-coplanar biphenylene units." *Polymer*: vol. 42, no. 21, October 2001, pp. 8517–8527.
- 40. J. Y. Kim and S. H. Kim. "In situ fibril formation of thermotropic liquid crystal polymer in polyesters blends." *Journal of Polymer Science Part B: Polymer Physics*: vol. 43, 2005, pp. 3600–3610.
- 41. J. He, Y. Wang, and H. Zhang. "In situ hybrid composites of thermoplastic poly(ether ether ketone), poly(ether sulfone) and polycarbonate." *Composites Science and Technology*: vol. 60, 2000, pp. 1919–1930.
- 42. S. Saengsuwan, S. Bualek-Limcharoen, G. R. Mitchell, and R. H. Olley. "Thermotropic liquid crystalline polymer (Rodrun LC5000)/ polypropylene in situ composite films: Rheology, morphology, molecular orientation and tensile properties." *Polymer*: vol. 44, 2003, pp. 3407–3415.
- 43. B. Wanno, J. Samran, and S. Bualek-Limcharoen. "Effect of melt viscosity of polypropylene on fibrillation of thermotropic liquid crystalline polymer in in situ composite film." *Rheologica Acta*: vol. 39, 2000, pp. 311–319.
- 44. S. Saengsuwan, G. R. Mitchell, and S. Bualek-Limcharoen. "Determination of orientation parameters in drawn films of thermotropic liquid crystalline polymer/polypropylene blends using WAXS." *Polymer*: vol. 44, 2003, pp. 5951–5959.
- 45. P. Sukananta and S. Bualek-Limcharoen. "In situ modulus enhancement of polypropylene monofilament through blending with a liquid- crystalline copolyester." *Journal of Applied Polymer Science*: vol. 90, 2003, pp. 1337–1346.
- 46. S. Saikrasun, S. Bualek-Limcharoen, S. Kohjiya, and K. Urayama. "Thermotropic liquid-crystalline copolyester/thermoplastic elastomer in situ composites. I. Rheology, morphology, and mechanical properties of extruded strands." *Journal of Applied Polymer Science:* vol. 89, 2003, pp. 2676–2685.
- 47. S. Saikrasun, S. Bualek-Limcharoen, S. Kohjiya, and K. Urayama. "Thermotropic liquid-crystalline copolyester (Rodrun LC3000)/ thermoplastic elastomer (SEBS) in situ composites: II. Mechanical properties and morphology of monofilaments in comparison with extruded strands." *Journal of Applied Polymer Science*: vol. 90, 2003, pp. 518–524.
- 48. S. Saikrasun, S. Bualek-Limcharoen, S. Kohjiya, and K. Urayama. "Anisotropic mechanical properties of thermoplastic elastomers in situ reinforced with thermotropic liquid-crystalline polymer fibers revealed by biaxial deformations." *Journal of Polymer Science Part B: Polymer Physics*: vol. 43, 2004, pp. 135–144.
- 49. S. Saikrasun and T. Amornsakchai. "Phase behavior and properties of in situreinforcing elastomer composites based on thermoplastic elastomers and thermotropic liquid crystalline copolyester." *Journal of Applied Polymer Science:* vol. 101, 2006, pp. 1610–1619.

- 50. S. Saikrasun and T. Amornsakchai. "Isothermal decomposition behavior and dynamic mechanical properties of in situ-reinforcing elastomer composites based on thermoplastic elastomers and thermotropic liquid crystalline polymer." *Journal of Applied Polymer Science:* vol. 103, 2007, pp. 917–927.
- 51. L. P. Tan, C. Y. Yue, X. Hu, and K. Nakayama. "Phase diagram for predicting in situ fibrillation of LCP during molding." *Materials and Manufacturing Processes*: vol. 21, 2006, pp. 127–134.
- 52. Q. W. Xu, H. C. Man, and W. S. Lau. "The effect of a third component on the morphology and mechanical properties of liquid-crystalline polymer and polypropylene in situ composites." *Composites Science and Technology*: vol. 59, 1999, pp. 291–296.
- 53. S. Bualek-Limcharoen, J. Samran, T. Amornsakchai, and W. Meesiri. "Effect of compatibilizers on mechanical properties and morphology of in-situ composite film of thermotropic liquid crystalline polymer/polypropylene." *Polymer Engineering and Science*: vol. 39, 1999, pp. 312–320.
- 54. N. Silvi, S. B. Brown, M. H. Giammattei, and K. L. Howe. Compatibilized blends of polyetherimides and liquid crystalline polyesters. US Patent 5 633 319, assigned to General Electric Company (Schenectady, NY), E. I. Du pont de Nemours & Company (Wilmington, DE), 27 May 1997.
- 55. S. C. Tjong, R. K. Y. Li, and X. L. Xie. "Compatibilizing effect of styrenemaleic anhydride copolymer on the properties of polyamide-6/liquid crystalline copolyester composites." *Journal of Applied Polymer Science*: vol. 77, 2000, pp. 1964–1974.
- 56. P. Chen, L. Wu, Y. Ding, J. Zhang, and J. He. "Morphology evolution of a liquid crystalline polymer in polycarbonate matrix enhanced by the addition of glass beads." *Composites Science and Technology*: vol. 66, nos. 11-12, September 2006, pp. 1564–1574.
- 57. J. Chen, P. Chen, L. Wu, J. Zhang, and J. He. "Fibrillation of liquid crystalline polymer in polysulfone promoted by increased system elasticity via adding nano-silica." *Polymer*: vol. 48, no. 14, June 2007, pp. 4242–4251.
- 58. V. P. Shibaev, S. G. Kostromin, N. A. Plate, S. A. Ivanov, V. Y. Vetrov, and A. Yakovlev. "Thermotropic liquid-crystalline polymers. 14. Thermorecording on liquid-crystalline polymers with the aid of a laser beam." *Polymer Communications*: vol. 24, 1983, pp. 364–365.
- H. Berneth, T. Bieringer, R. Hagen, and S. Kostromine. Rewriteable optical recording material having good solubility. US Patent 7 214 451, assigned to Bayer Aktiengesellschaft (Leverkusen, DE), 8 May 2007.
- 60. T. Todorov, L. Nikolova, and N. Tomova. "Polarization holography. 1: A new higherfficiency organic material with reversible photoinduced birefringence." *Applied Optics*: vol. 23, 1984, pp. 4309-4312.
- 61. T. Todorov, L. Nikolova, and N. Tomova. "Polarization holography. 2: Polarization holographic gratings in photoanisotropic materials with and without intrinsic birefringence." *Applied Optics*: vol. 23, 1984, pp. 4588–4591.

- 62. M. Eich, J. H. Wendorff, B. Peck, and H. Ringsdorf. "Reversible digital and holographic optical storage in polymeric liquid crystals." *Makromolekulare Chemie-Rapid Communicatons*: vol. 8, 1987, pp. 59–63.
- 63. Y.-K. Han and B.-S. Ko. "Synthesis of new erasable optical data storage polymers and their applications." *Optical Materials*: vol. 21, nos. 1-3, January 2003, pp. 621–625.
- 64. G. J. Price, S. J. Hickling, and I. M. Shillcock. "Applications of inverse gas chromatography in the study of liquid crystalline stationary phases." *Journal of Chromatography A*: vol. 969, nos. 1-2, September 2002, 193–205.
- 65. Z. Witkiewicz, J. Oszczudłowski, and M. Repelewicz. "Liquid- crystalline stationary phases for gas chromatography." *Journal of Chromatography A*: vol. 1062, no .2, January 2005, pp. 155–174.
- 66. C.-H. Lin and C.-S. Hsu. "Synthesis and characterization of cholesteric liquid crystalline copolysiloxanes containing 4-biphenyl 4-allyloxybenzoate and [S]-1-(2-naphthyl)ethyl 6-[4-(10-undecen-1-yloxy) biphenyl-4-carbonyloxy]-2-naphthoate side groups." *Journal of Polymer Research*: vol. 7, 2000, pp. 167–173.
- 67. S. Rokushika, K. P. Naikwadi, A. L. Jadhav, and H. Hatano. "Polyacrylate liquid crystalline stationary phases in supercritical fluid chromatography with carbon dioxide mobile phase." *Chromatographia*: vol. 22, 1986, pp. 209–212.
- 68. K. P. Naikwadi, A. L. Jadhav, S. Rokushika, H. Hatano, and M. Ohshima. "Synthesis of liquid-crystalline polyacrylates and their use in capillary gas chromatography." *Makromoleculare Chemie*, vol. 187, 1986, pp. 1407–1414.
- 69. K. P. Naikwadi and P. P. Wadgaonkar. Liquid crystal stationary phases for chromatography. US Patent 5 900 145, assigned to J & K Environmental Ltd. (Sydney, CA), 4 May 1999.
- 70. F. Gritti and G. Felix. "Application of liquid crystals in liquid chromatography: From low-to high-molecular-weight liquid crystals." *Chromatographia*: vol. 55, 2002, pp. 523–531.
- 71. P. J. Taylor and P. L. Sherman. "Liquid crystals as stationary phases for high-performance liquid chromatography." *Journal of Liquid Chromatography*: vol. 2, 1979, pp. 1271–1290.
- 72. J. Pesek and T. Cash. "A chemically bonded liquid crystal as a stationary phase for high-performance liquid chromatography. Synthesis on silica via an organochlorosilane pathway." *Chromatographia*: vol. 27, 1989, pp. 559–564.
- 73. T. Fukumoto, H. Ihara, S. Sakaki, H. Shosenji, and C. Hirayama. "Chromatographic separation of geometrical isomers using highly oriented polymer-immobilized silica gels." *Journal of Chromatography A*: vol. 672, nos. 1-2, June 1994, pp. 237–241.
- 74. A. Mosley. "Liquid crystal displays—an overview." *Displays*: vol. 14, no. 2, April 1993, pp. 67–73.

- 75. J. A. Castellano. *Liquid Gold: The Story of Liquid Crystal Displays and the Creation of an Industry*. New Jersey: World Scientific, 2005.
- 76. S.-T. Wu and D.-K. Yang. *Fundamentals of Liquid Crystal Devices*. Wiley Series in Display Technology. Chichester: Wiley, 2006.
- 77. J.-H. Mun and J.-K. Song. Liquid crystal display having wide viewing angle. US Patent 7 209 204, assigned to Samsung Electronics Co., Ltd. (Gyeonggido, KR), 24 April 2007.
- 78. K. Yamagishi, K. Kurematsu, O. Koyama, and T. Nakazawa. Matrix substrate, liquid crystal display device using it, and method for producing the matrix substrate. US Patent 6 927 829, assigned to Canon Kabushiki Kaisha (Tokyo, JP), 9 August 2005.
- 79. T. Asada. Liquid crystal display device and its production method. US Patent 6 924 873, assigned to Tadahiro Asada (Kyoto, JP), 2 August 2005.
- 80. K. Hanaoka. Liquid crystal display and method of manufacturing the same. US Patent 7 113 241, assigned to Sharp Kabushiki Kaisha (Osaka, JP), 26 September 2006.
- 81. J.-J. Lyu, C.-H. Lee, and H.-S. Chang. Liquid crystal display with a wide viewing angle using a compensation film. US Patent 7 265 802, assigned to Samsung Electronics Co., Ltd. (KR), 4 September 2007.
- 82. M. K. Bisaria, P. Andrin, M. Abdou, and Y. Cai. Injection moldable conductive aromatic thermoplastic liquid crystalline polymeric compositions. US Patent 6 379 795, assigned to E. I. du Pont de Nemours and Company (Wilmington, DE), 30 April 2002.
- 83. M. C. Collier and D. G. Baird. "Separation of a thermotropic liquid crystalline polymer from polypropylene composites." *Polymer Composites*: vol. 20, 1999, pp. 423–435.

فهرس العلامات التجارية

Ableloc®	
Poly(imide),	پولي (اڀميد)
Accuguard TM	
Poly(phenylene ether),	پولي (إيثر الفينيلين)
Accutech TM	-
Poly(phenylene ether),	پولي (اپثر الفينيلين)
Aciplex®	-
Perfluorosulfonic acid membrane,	غشاء حمض برفلوروسلفونيك
Acnor TM	
Poly(phenylene ether),	پولي (إيثر الفينيلين)
Acronal® 4F	
Poly(<i>n</i> -butylacrylate),	پولي (أكريلات n-بوتيل)
Admer®	
Adhesive resins, maleic anhydride grafted	راتنجات الصقة، بولي (إيثيلين) أو
poly(ethylene) or poly(propylene),	پولي (بروبيلين) مطعّم بالأنهيدريد مالييك
Admer® L 2100	
Poly(ethylene) grafted with 0.1% maleic	پولي (ایثیلین) مطعم بمقدار %0.1 أنهیدرید
anhydride,	مالييك
Aerosil®	
Fumed Silica,	سيليكا مدخّنة
AI Polymer	
Poly(amide imide),	پولي (أميد ايميد)
Albis PPS	
Poly(phenylene sulfide),	پولي (سلفيد الفينيلين)

Alftalat® AN 739

Polyester,	پولي إستر
Alphamide®	•
Poly(amide imide),	پولي (أميد إيميد)
Amodel® (Series)	
Poly(phthalamide),	پولي (فتال أميد)
Amodel® 1000	•
Poly(phthalamide),	پولي (فتال أميد)
Amodel® A 1000	* *
Hexamethylene terephthalamide isophthalamide adipamide terpolymer,	بوليمير مشترك ثلاثي من سداسي ميثيلين ترفتالاميد و اپيزوفتالاميد وأديباميد
Amodel® AF 1113	
Aromatic copolyamide 6.6/6.I/6.T 4,	بوليمير أميد مشترك عطري 6.T4\6.I\6.6
Amodel® AF 4133	, , , , , , , , , , , , , , , , , , , ,
Aromatic copolyamide 6.6/6.T 5,	بوليمير أميد مشترك عطري 6.6\ 6.T5
Amodel® X4000	
Hexamethylene terephthalamide isophthalamide adipamide terpolymer	بوليمير مشترك ثلاثي من سداسي ميثيلين
65/35,	ترفتالاميد و إيزوفتالاميد وأديباميد 65\35
Antiblaze (Series)	
Flame retardant,	مبطئ لهب
Apical®	
Poly(imide),	پولي (إيميد)
Aqua-Cleen®	
Ethoxylated mercaptan, surfactant,	مركابتان مُوظّف بالإيثوكسي، عامل توتّر سطحي
Aracon®	
Metal coated Kevlar® fiber,	ليف كيڤلار مطلي بمعدن
Aramica®	
Aramid,	أر اميد
Arcol®	
Poly(propylene oxide),	پولي (أوكسيد البروبيلين)
Arlene®	
Poly(phthalamide),	پولي (فتال أميد)
	(12)

Arlene® CH 230

PA 6.6/6.T 5,	PA 6.6/6.T 5 پولي أميد
Armos®	
Aramid,	أر اميد
Arnitel®	
Poly(ester) elastomer,	پولي (إستر) إلاستومير <i>ي</i>
Ashlene®	
Poly(phenylene ether),	پولي (اپثر الفينيلين)
Aurum®	
Poly(imide),	پولي (اپميد)
Avaspire TM	
Poly(ether ether ketone),	پولي (اپيثر اپيثر كيتون)
Avimid®	
Poly(imide),	پولي (اپميد)
Balpound TM	
Poly(phthalamide),	پولي (فتال أميد)
Basofil®	
Melamine resin fiber,	ليف راتنج الميلامين
Baytron® P	
Complex of poly(3,4-	معقّد من يولى (4،3- إيثيلين ثنائي أوكسي ثيوفين)
ethylenedioxythiophene) and poly(styrenesulfonic acid),	و پولی (حمض سنیرین السلفونی)
Black Pearls®	
Carbon black,	هباب الفحم
Blendex TM	
Poly(2,6-dimethylphenylene ether),	پولی (6،2-ثنائی میثیل فینیلین اپثر)
Boltorn® (Series)	
Dendritic poly(ester)s,	پولي (إستر) شجري التشعّب
Bondfast®	· · · · · · · · · · · · · · · · · · ·
Epoxy functional poly(olefin),	پولي (أوليفين) بوظيفة إيبوكسي
Buna® AP 437	
EPDM, Ethylene propylene diene monomer,	مونومير الإيثيلين بروبيلين ديين
·	

Bynel® (Series)

• ` '	
Anhydride modified ethylene vinyl acetate resin, adhesion promoter,	راتنج خلات الڤينيل إيثيلين المعدّل بأنهيدريد، مُعزّز التصاق
Cabelec®	3
Conductive carbon black masterbatch in PA 6,	هباب فحم موصل (دفعة رئيسة) ماسترباتش في PA 6
Cabosil™ M5	111 0
Silica,	سیایکا
Calprene®	
Styrene-(ethylene-butylene)-styrene triblock copolymer,	بوليمير مشترك ثلاثي الكتلة ستيرين-(إيثيلين- بوتيلين)-ستيرين.
Capcure® 3-800	ois. (criss
Thiol end-capped polymer,	بوليمير بنهايات مغطاة بالثيول
Caprolan®	
Nylon 6, Carbowax® (Series)	نايلون 6
Poly(ethyleneoxide glycol) (PEG), Cariflex®	پولي (غليكول أوكسيد الإيثيلين)
Triblock copolymer,	بوليمير مشترك ثلاثي الكتلة
Celstran® PPS	
Poly(phenylene sulfide), Cirlex®	پولي (سافید الفینیلین)
	() N
Poly(imide), Comshield® PPS	پولي (اپمید)
Poly(phenylene sulfide),	پولي (سلفيد الفينيلين)
Conductex®	
Carbon black,	هباب الفحم
Conex®	
m-Aramid, CoorsTek Neat PES	m- أر اميد
Poly(arylene ether sulfone),	پولي (آريلين اپيثر سلفون)
CP-45X Developer, Developer,	مطور ر
Developer,	

Cryscoate 2372		
Polyester,	پولي إستر	
Crystar® 5005		
Poly(ethylene terephthalate),	پولي (نرفتالات الإيثيلين)	
DABCO® 8154	-	
Cyclic tertiary amine catalyst,	محفّز أمين ثالثي حلقي	
DABCO® K-15		
Metallic based catalyst,	محفّز أساسه معدني	
Darocure® 1173	W.	
2-Hydroxy-2-methyl-1-phenylpropan-1-one, photoinitiator,	2- هيدروكسي -2-ميثيل -1-فينيل بروبان -1-أون، بادئ ضوئي	
DC® -704		
Silicone oil,	زیت سیلیکون	
DC® -710		
Silicone oil,	زیت سیلیکون	
Denka® SMI		
Styrene maleide imide copolymer,	بوليمير مشترك ستيرين مالييد إيميد	
DER® 332		
Bisphenol A diglycidyl ether based epoxy resin,	راتنج إبوكسي على أساس بيسْفينول A ثنائي غليسيديل إيثر	
Desmodur® (Series)		
Oligomers based on 4,4-diphenylmethane diisocyanate,	أوليغومير على قاعدة 4،4-ثنائي فينيل ميثان	
Desmodur® W	ثنائي إيزوسيانات	
Bis-(4-isocyanatocyclohexyl) methane (H ₁₂ MDI),	بيس -(4- إيز وسياناتو حلقي هكسيل)ميثان (H ₁₂ MDI)	
Desmophen® 690		
Branched lacquer polyester with OH groups,	لَكَر بولي إستر متشعّب بزمر OH	
Diaion® (Series)		
Sulfonic acid type ion exchange resin modified with 2-mercaptoethylamine,	راتنج تبادل شاردي من نمط حمض السلفونيك المعدّل بــ 2-ميركابتو إيثيل أمين	
Disflamoll® DPK	<u> </u>	
Diphenylcresyl phosphate,	ثنائي فينيل كريسيل فوسفات	
Diplient to to the phosphate,	تاتي تبين دريمين توسد	

DOVERPHOS® S9228

Bis(2,4-dicumylphenyl pentaerythritol)	بيس (4،2–ثنائي كوميل فينيل بنتا
diphosphite,	إيريثريتول) ثنائي فوسفيت
Dowex® (Series)	-
Anion and cation exchangers,	مُبادلات آنيون كاتيون
DYLARK®	
Copolymers of styrene with maleic anhydride,	بوليمير مشترك من الستيرين مع أنهدريد المالييك
Dyneon® HTE	
Fluoropolymer,	بوليمير فلوري
Ebecryl® (Series)	
Urethane acrylate,	أكريلات اليوريثان
Ecdel®	
Copolyester ether elastomer,	بولي إستر مشترك إيثر إلاستومير
Edgetek® -PK	
Poly(ether ether ketone),	پولي (اپثر اپثر کیتون)
Edgetek TM	
Poly(arylene ether sulfone),	پولي (آريلين اپيثر سلفون)
Edgetek TM PPS	
Poly(phenylene sulfide),	پولي (سلفید الفینیلین)
Ekonol®	
Poly(p-oxybenzoate),	پولمي (p- أوكسي بنزوات)
Ekono® E-101	
Poly(p-hydroxybenzoic acid),	پولي (حمض p- هيدروكسي بنزويك)
Elvamide®	
Low melting poly(amide),	پولي (أميد) ذو درجة انصهار منخفضة
Emi-X* PPS	
Poly(phenylene sulfide),	پولي (سلفيد الفينيلين)
Engage™ resins	
Low density poly(ethylene),	پولي (اپيثيلين) ذو كثافة منخفضة
<u> </u>	

Ensinger PEEK

Elishigei i EEK	
Poly(ether ether ketone),	پولي (اپيثر اپيثر کيتون)
Epikote® (Series)	
Bisphenol A/F epoxies,	مركّبات إيبوكسي بيسفينول A وF
Epispire	
Poly(arylene ether sulfone),	پولي (آريلين اپئر سلفون)
Epon® (Series)	
Diglycidyl ethers of bisphenol A,	ثنائي غليسيديل إيثرات من بيسڤينول A
ERL TM	
Alicyclic epoxides,	إيبوكسيدات أليحلقية
Esacure®	
Photoinitiators,	بوادئ ضوئية
Ethacure® 100	
Diethyltoluene diamine,	ثنائي ايثيل تولوين ثنائي أمين
Eulexin®	
Nonsteroidal antiandrogen,	مضاد الأندروجين غير الستيروئيدي
Eupergit® C250L	
Epoxy-activated poly(methacrylamide),	بولي (ميتاكريل أميد) منشّط بالإيبوكسي
Exolit® OP 1311	
Mixture of aluminum salts of diethylphosphinate and melamine polyphosphate,	مزيج من أملاح الألمنيوم من فوسفينات ثنائي إيثيل و پولي فوسفات الميلامين
Expandex® 150	
Calcium salt of 5-phenyltetrazole, blowing agent,	ملح كالسيوم من 5-فينيل تيتر ازول، عامل نفخ
Extem®	
Poly(imide),	بولي (إيميد)
Exxelor® PO 1015	
Poly(propylene) grafted with 0.3% maleic anhydride,	پولي (بروبيلين) مطعم بمقدار 0.3% أنهيدريد المالييك
Exxelor® VA 1801	
Ethylene propylene rubber grafted with 0.6% maleic anhydride,	مطاط إيثيلين بروبيلين مطعم بمقدار 0.6% أنهيدريد المالييك
	_

Ethylene propylene rubber grafted with 0.4% maleic anhydride,	مطاط إيثيلين بروبيلين مطعّم بمقدار 0.4% أنهيدريد المالييك
Flemion®	
Fluoropolymer ion-exchange membrane,	بوليمير فلوري-غشاء تبادل شوارد
Fluorinert®	•
Fluorinated oil,	زيت مفلور
Fortafil®	
Carbon fiber,	ليف كربوني
Forton® (Series)	
Poly(phenylene sulfide),	پولي (سلفید الفینیلین)
Freon® 113	
1,1,2-Trichloro-1,2,2-trifluoroethane,	2،1،1-ثلاثي كلورو -2،2،1-ثلاثي فلورو إيثان
Gafone TM	
Poly(arylene ether sulfone),	پولي (آريلين اپيثر سلفون)
Galwick®	
Wetting fluid,	مائع مبلِّل
Gatone™ PEEK,	
Poly(ether ether ketone),	پولی (ایثر ایثر کیتون)
Geloy® resin	
ASA copolymer,	بوليمير مشترك ASA
Glycolube® (Series)	
Fatty esters, flow promotor, mold release agent,	إسترات دسمة، معزز تدفّق، وعامل تحرير القوالب
Gore-Select®	
Microporous expanded PTFE membrane (ePTFE), ion conductive membrane,	غشاء PTFE موسّع بمسامات ميكرويّة (ePTFE)، غشاء موصل للشوارد
Grafil® fibers	
Carbon fiber,	ليف كربوني

Grafoil®

Giatone	
Flexible graphite,	غرافیت مرن
Grivory® HTV-4X2VO	
Poly(phthal amide), 6.6/6.T	پولي (فتال أميد)
Grivory® HTVS-3X2VO	
Poly(phthal amide), 6.6/6.T 7	پولي (فتال أميد)
H-2 TM	
Mixture of ethylenediamine and methyl isobutyl ketone ketimine (curing agent),	مزيج من ثنائي أمين الإيثيلين وميثيل إيزوبوتيل كيتون كيتيمين (معامل إنضاج)
Hakkol FWA-SF	
Triazinylaminostilbene fluorescent brightening agent,	ثلاثي أزينيل أمينو ستيلبين عامل تلميع فَلُوري
HB® -40	
Hydrogenated terphenyl,	ترفینیل مهدر ج
HERACRON®	
Aramid,	أر اميد
HiFill® PPS	
Poly(phenylene sulfide),	پولي (سلفيد الفينيلين)
Highlink® (Series)	
Colloidal silica sols,	محلول (سول) سیلیکا غروي
Hiloy® PPS	
Poly(phenylene sulfide),	بولي (سلفيد الفينيلين)
Hipertuf®	
Poly(ethylene naphthalate) for drinking bottles,	پولي (نفتالات الإيثيلين) لقوارير الشرب
Hycar® (Series)	
Amine-terminated butadiene-acrylonitrile,	بوتاديئين - أكريلونتريل منته بأمين
Hydlar®	1
Aramid,	أر اميد
<u> </u>	

Hytrel®

Hytrei®		
Poly(ester) elastomer,	پولي (إستر) إلاستومير	
Hytrin®		
Cardiovascular preparation,	تحضير الأوعية القلبية	
Igetabond®		
Epoxy functional poly(olefin),	پولي (أوليفين) بوظيفة إپيوكسي	
Imidex®		
Poly(imide),	پولي (إيميد)	
Irgacure® 369		
2-Benzyl-2-dimethylamino-1-(4-morpholinophenyl)butanone-1,	2-بنزيل -2-ثنائي ميثيل أمينو -1-(4-مورفولينو فينيل)بوتانون -1	
Irgacure® 184	ا میں)بر دوں ۱	
1-Hydroxycyclohexylphenylketone (photo initiator),	1- هيدروكسي حلقي هكسيل فينيل كيتون، بادئ ضوئى	
Irgacure® 907	<u> </u>	
2-Methyl-1-[4-(methylthio)phenyl]-2-(4-morpholinyl)-1-propanone (photo initiator),	2-میثیل -1-[4-(میثیل ثیو) فینیل]-2-(4-مورفولینیل)-1-بروبانون (بادئ ضوئی)	
Irganox® 1010	-	
Pentaerythritol tetrakis(3-(3,5-di- <i>tert</i> -butyl-4-hydroxyphenyl)propionate), phenolic antioxidant,	بنتا إريثريتول تتراكيس (3-(5،3-ثنائي-ترت-بوتيل -4- هيدروكسي فينيل) بروبيونات) مضاد أكسدة فينوليّ	
Irganox® 1076		
Octadecyl-3-(3',5'-di-tert-butyl-4'-hydroxyphenyl) propionate,	أوكتاديسيل -3-(3′،5′-ثنائي-ترت-بونيل -4′- هيدروكسي فينيل) بروبيونات	
Irganox® 1098	, ,	
N,N'-hexamethylenebis(3,5-di-tert-butyl-4-hydroxyhydrocinnamamide),	/۱۰، سداسي ميثيلين بيس (5،3-ثنائي-ترت- بوتيل -4- هيدروكسي هيدروسينام أميد)	
Isonate®		
Isocyanate based formulation for foams,	تشكيلة للرغويات على قاعدة الإيزوسيانات	

I	x	e	f(R)

IXeI®	
Aramid,	أر اميد
Jeffamine® (Series)	
Amine capped polyalkoxylene glycol,	بولي ألكوكسيلين غليكول مغطّى بأمين
Kaladex®	
Poly(ethylene naphthalate) films,	أغشية پولي(نفتالات الإيثيلين)
Kapton®	
Poly(imide),	پولي (اپميد)
Kerimid®	
Poly(imide),	پولي (اپميد)
Ketaspire TM	
Poly(ether ether ketone),	پولي (اپيثر اپيثر کيتون)
Ketjenblack®	
Conductive carbon black,	هباب فحم موصل
Ketron®	
PEEK, Poly(ether ether ketone),	پولي (اپيثر اپيثر كيتون)
Kevlar®	
Aramid,	أر اميد
Klebosol®	
Silica sol,	محلول (سول) سیلیکا
Konduit* PPS	
Poly(phenylene sulfide),	پولي (سلفيد الفينيلين)
Kraton®	
Styrenic block copolymer,	بوليمير مشترك كتلي التعاقب ستيريني
Krytox®	
Fluorinated oil,	زيت مفلور
Kynar®	
Poly(vinylidene fluoride),	بولي (فلوريد الڤينيليدين)

Laramid®

Laramid®	
Poly(phthalamide),	پولي (فتال [°] أميد)
Laromer® LR 8739	
Urethane acrylate monomer,	مونومير أكريلات اليوريثان
Larpeek	
Poly(ether ether ketone),	پولي (اپثر اپثر کيتون)
Laxtar TM	
Liquid crystalline polymer,	بوليمير بلورات سائلة
Lenzing® P84	
Benzophenone tetracarboxylic dianhydride-MDI-2,4-TDI copolymer, poly(imide),	بوليمير مشترك ثنائي أنهيدريد بنزوفينون رباعي كربوكسيليك -TDI-4،2-MDI ، پولي(إيميد)
Leomin® AN	
Oleyl phosphonate lubricant, textile auxiliary,	مزلّق أولييل فوسفونات، مساعد في الصناعة النسيجيّة
Lexan®	
Poly(carbonate),	پولي(كربونات)
Lindol® XP Plus	
Tricresyl phosphate,	ثلاثي كريزيل فوسفات
Lotader®	
Epoxy functional poly(olefin), Adhesive,	پولي (أوليفين) بوظيفة إيبوكسي لاصق
Loxiol® G40	
Fatty acid isoalcohol ester,	إستر حمض دهني إيزو كحول
LP-2 TM	
Poly(sulfide),	پولي (سلفيد)
Lubri-Tech™ PPS	
Poly(phenylene sulfide),	پولي (سلفيد الفينيلين)
Lubriblend® PPS	
Poly(phenylene sulfide),	پولي (سلفید الفینیلین)

Lubricomp* PPS

D I (I I I I I I I I I I I I I I I I I	()))	
Poly(phenylene sulfide),	بولي (سافيد الفينيلين)	
Lubrilon® PPS		
Poly(phenylene sulfide),	پولي (سلفيد الفينيلين)	
Lucalen® A 3710 MX		
	بوليمير مشترك من LDPE و 7% حمض	
Copolymer of LDPE and 7% acrylic acid,	أكريليك	
Ludox® (series)		
Silicon colloid,	سيليكا مدخّن	
Lupersol® 256		
2,5-Dimethyl-2,5-bis(2-	5،2- ثنائي ميثيل -5،2-بيس (2- إيثيل هكز انويل	
ethylhexanoylperoxy)hexane,	بيروكسي) هكسان	
Lupolen® (Series)		
Poly(ethylene),	پولي (ایشیلین)	
Lupranat® (Series)		
Isocyanate based formulations,	تشكيلات على قاعدة الإيزوسيانات	
Luran®		
SAN copolymer,	بولیمیر مشترك SAN	
Luvican®		
Poly(vinyl carbazole),	پولي (ڤينيل کاربازول)	
Luxprint® 7144		
Carbon conductor ink,	حبر ناقل کربوني	
Luxprint® 7145L		
Silver conductor ink,	حبر ناقل فضىي	
Luxprint® 7151		
Electroluminescent phosphor paste,	معجون فوسفوري متألّق كهربائياً	
Luxprint® 7153E		
Barium titanate paste,	معجون تيتانات الباريوم	
,		

Lynite®

Lymes	
Poly(ethylene terephthalate),	پولي(ترفتالات الإيثيلين)
Makrolon®	
Poly(carbonate),	پولي(كربونات)
Mark 2112	
Tris(2,4-di- <i>tert</i> -butyl phenyl) phosphite,	تريس (4،2-ثنائي -ترت- بوتيل فينيل) فوسفيت
Matrimid®	
Poly(imide),	پولي(اپميد)
Melapur® 200	
Melamine poly(phosphate) (flame retardant),	ميلامين پولي (فوسفات) (مُبطِّئ لهب)
Meldin®	
Poly(imide),	پولي(إيميد)
Melinar® Laserplus	
Poly(ethylene terephthalate) (PET), bottle grade,	پولي (ترفتالات الإيثيلين) (PET)، للقوارير
Merlon®	
Poly(carbonate),	پولي(كربونات)
Mictron®	
Aramid,	أر اميد
Mindel® PES	
Poly(arylene ether sulfone),	پولي (آريلين اپيثر سلفون)
Mobiltherm® (Series)	-
Heat transfer oil,	زيت نقل الحرارة
Multiposit® XP-9500	
Thermoset epoxy resin,	راتنج إيبوكسي متصلّد حرارياً
Mylar® (Series)	, ,
Poly(ethylene terephtalate),	پولي ⁽ ترفتالات الإيثيلين ⁾
Nafion®	
Sulfonated PTFE, for membrane applications,	PTFE مسلفن لتطبيقات الأغشية
62	4

Nafion® 1100 EW

PTFE مسلفن، غشاء نافيون بوزن مكافئ 1100			
هیدروسول سیایکا			
4،4' ثنائي (α،α- ثنائي ميثيل - بنزيل) ثنائي فينيل أمين			
پولمي (ترفتالات الإيثيلين)			
أغشية تبادل شاردي بِرِ مفلورة			
محفّز أميني			
عامل استحلاب سيليكوني لإسفنج			
پولي (يوريثان) مرن			
Niax® L-6900			
عامل توتّر سطحي			
Nirez® 2150/7042			
مُعدّل الانسياب أو التدفّق من فينول التربين			
Terpene phenol flow modifier, معدّل الانسياب أو التدفق من فينول التربين Nomex®			
m- أر اميد			
Nopla®			
پولي (نفتالات الإيثيلين)- پولي(ترفتالات الإيثيلين)			
terephthalate), المحادث الموليتين - يوتي (تعديد الموليتين - يوتي المحادث الموليتين المحادث الموليتين المحادث الموليتين المحادث المحاد			
بولي (سلفيد الفينيلين)			
Norylux™ PPO			
پولمي (اپیٹر الفینیلین)			

Noryl®

1101918		
PPE PS Blend,	مزيح پولي (اپيثر الفينيلين) مع پولي (ستيرين)	
Novaccurate®		
Liquid crystalline polymer,	بوليمير بلورات سائلة	
Novolen® 1100		
Isotactic poly(propylene),	پولي (بروبيلين) إيزوتاكتي	
Novolen® 2500 HX		
Propylene/ethylene block copolymer, 10% ethylene,	بوليمير مشترك كتلي التعاقب بروبيلين\اپيثيلين، 10% إيثيلين	
Novolen® 3200 HX		
Propylene/ethylene block copolymer, 2.5% ethylene,	بوليمير مشترك كتلي التعاقب بروبيلين\اپيثيلين، 2.5% إيثيلين	
Octa®		
Chemicals,	كيماويات	
OLEOPHOBOL® (Series)		
Fluoroacrylate polymer, Oil and water repellent,	بوليمير فلورو أكريلات، نابذ للزيت والماء	
Onlymide®		
Poly(imide),	پولي (اپيميد)	
OP-PEIGF		
Poly(imide),	پولي (اپميد)	
Optomer® AL1254		
Poly(imide),	بولي (إيميد)	
Oxalon®		
Poly(oxadiazole) fibers,	ألياف پولي (أوكساديازول)	
PACM TM 20		
Bis(4-aminocyclohexyl)methane,	بيس (4- أمينو حلقي هكسيل)ميثان	
PAPI® (Series)		
Isocyanate,	اپزوسیانات	

Paraloid®

1 arabide			
Acrylate rubber, impact modifier,	مطّاط أكريلات. مُعدّل صدم		
Parylene C			
Chlorinated Parylene type,	نوع من الپاريلين المكلور		
Parylene D			
Dichlorinated Parylene type,	نوع من الپاريلين ثنائي الكلورة		
Parylene HT			
Fluorinated Parylene type,	نوع من الپاريلين المفلور		
Parylene N			
Standard Parylene polymer,	الپاريلين النظامي (غير المستبدل)		
PCTA Durastar 1000			
Copolyester based on 65 mol % terephthalic acid, 35 mol % isophthalic acid and CHDM,	بولي إستر مشترك من 65% مولياً حمض ترفتاليك، و 35% مولياً حمض إيزوفتاليك و CHDM		
PDBS® 80			
Poly(dibromostyrene),	پولي(ثنائي برومو ستيرين)		
Pebax			
Poly(amide imide),	پولي(أميد إيميد)		
PEEK-OPTIMA®			
Granular Poly(ether ether ketone),	پولي(ايشر ايشر كيتون) حُبَيبي		
PenTec®			
Poly(ethylene naphthalate) fiber,	ليف بولي(نفتالات الإيثيلين)		
Pentex®			
Modified Poly(ethylene naphthalate) fiber,	ليف معدّل من پولي(نفتالات الإيثيلين)		
PEN TM			
Poly(arylene ether nitrile),	پولي (آريلين اپيثر نتريل)		
Perspex® CP63			
Acryl glass,	زجاج أكريلي		
PETG 6736			
Copolyester based on terephthalic acid and EG and CHDM,	پولي إستر مشترك من حمض ترفتاليك، و EG و CHDM		

PhotomerTM 6210

أوليغومير أكريلات اليوريثان، راتنج مُعدّل الريولوجيا
بوليمير مشترك كتلي التعاقب أوكسيد إيثيلين ألوكسيد بروبيلين، مانع ترغّي
C
پولي(اپشر الفينيلين)
پولمي (ڤينيل کاربازول)
پولمي (ڤينيل كاربازول)
مُحفّز ات على أساس أميني
پولي (إيميد)
پولي (رباعي ميثيلين غليکول)
پولي(رباعي فلورو ايثيلين) مساحيق تزليق
پولي (أوكسيد الإيثيلين)
بوليميرات THF مشتركة
مائع مبلِّل
بوليمير مشترك إيثيلين حمض أكريليك، مع 10% حمض أكريليك

Primef® PPS

Poly(phenylene sulfide),	پولي(سافيد الفينيلين)
Primene®	· · · · · ·
Primary aliphatic amines with highly branched alkyl chains,	أمينات أليفانيّة أوليّة مع سلاسل ألكيليّة عالية التشعّب
Primene® MD	
1,8-Diamino- <i>p</i> -menthane,	8·1- ثنائي أمينو -p- ميثان
Primospire	
Benzoyl-substituted Parylene type,	نوع من الباريلين مستبدل بالبنزويل
PRL PEI-G	
Poly(imide),	پولي(اپميد)
PRL PPX	
Poly(phenylene ether),	پولي(اپشر الفينيلين)
Proscar®	
Medicinal preparation for treatment of the prostate gland,	تحضير دوائي لعلاج غدّة البروستات
Pyralin®	
Poly(imide),	پولي(اپميد)
Pyre® ML	
Pyromellitic dianhydride/4,4-oxydianiline poly(imide),	ثنائي أنهيدريد بيروميلينيك\ 4،4/ أوكسي ثنائي أنيلين پولي(إيميد)
Pyrocheck® 68 PB	(, , , , , , , , , , , , , , , , , , ,
Brominated poly(styrene),	پولي(ستيرين) مُبروم
Pyrocoat®	
Poly(imide),	پولي(اپميد)
Pyropel®	
Poly(amide imide),	پولي(أميد إيميد)
QR Resin QR-4000	
Poly(phenylene ether),	پولي(إيثر الفينيلين)

Radel® A

Radel® A	
Poly(ether sulfone),	پولي(اپثر سلفون)
Radel® R	
Poly(biphenyl sulfone),	پولي(بيفينيل سلفون)
ReoPro®	
Glycoprotein IIb/IIIa inhibitor,	مثبّط غليكوبروتيني IIb/IIIa
Rexflex® W111	
Poly(olefin), flexible,	پولي (أوليفين)، مرن
Rilsan® B MNO PA 12,	
PA 12,	پولي (أميد)، PA 12
Rodrun®	
Liquid crystalline polymer,	بوليمير بلورات سائلة
RTP Compounds ESD	
Poly(arylene ether sulfone),	پولي(آريلين اپيئر سلفون)
RTP PPS (Series)	
Poly(phenylene sulfide),	پولي(سلفيد الفينيلين)
Rubinate® (Series)	
Isocyanate,	إيز وسيانات
Rusar®	
Aramid,	أر اميد
Ryton® (Series)	
Poly(phenylene sulfide),	پولي(سلفيد الفينيلين)
Sandostab® 4020	
Pentaerythritol tetrakis(3-laurylthiopropionate),	بنتا إريثريتول تتراكيس(3-لوريل ثيوبروبينات)
Sandostab® -P-EPQ	
Tetrakis(2,4-di- <i>tert</i> -butyl phenyl)-4,4,-	تتر اكيس (4،2- ثنائي -ترت- بوتيل فينيل)-4،4-
biphenylene diphosphonite,	بيفينيلين ثنائي فوسفونيت
Santowax® R	
Mixed terphenyls,	مركّبات ترِ ڤينيل مختلطة
Sapron TM S	
SMA copolymer,	بوليمير مشترك SMA
	530

Schulatec® PPS

Schulatec® PPS		
Poly(phenylene sulfide),	پولي(سلفيد الفينيلين)	
Selar® PA3426		
PA 6 T/I Poly(amide),	پولي(أميد) PA 6 T/I	
Sepharose® CL		
Crosslinked poly(saccharide),	بولي(سكريد) مشبك تصالبياً	
Septon®		
Hydrogenated styrenic block copolymer,	بوليمير مشترك كتليّ التعاقب ستيريني مهدرج	
Shieldex® C 303		
Ca ion-exchanged silica, anticorrosion pigment,	سيليكا مستبدل فيها شاردة كالسيوم، صباغ مضاد للتأكّل	
Silicone KF351A		
Poly(dimethyl siloxane) surfactant,	پولي(تنائي ميثيل سيلوكسان)، عامل توتر سطحي	
Siltem® STM 1500		
Poly(ether imide),	پولي(اپثر اپيميد)	
Sintimid TM		
Poly(amide imide),	پولي(أميد اپيميد)	
Siveras TM		
Liquid crystalline polymer,	بوليمير بلورات سائلة	
Skypet® PEN		
Poly(ethylene naphthalate),	پولي(نفتالات الإيثيلين)	
Sniamid® ASN 32		
Poly(amide),	بولي(أميد)	
Solef®		
Poly(vinylidene fluoride),	پولي(فلوريد ڤينيليدين)	
Solimide®		
Poly(imide),	پولي(إيميد)	
Solprene®		
Styrenic block copolymer,	بوليمير مشترك كتليّ التعاقب ستيريني	
Solventnaphtha TM		
Aromatic Hydrocarbon solvent,	مذیب هیدروکربوني عطريّ	
	31	

Solvessoe	
Higher aromatic solvent mixtures,	مزائج مذيبات عالية العطريّة
Stanyl® KS 200	
Low molecular weight PA 4.6,	PA 4.6 منخفض الوزن الجزيئي
Stanyl® KS 300	
Medium molecular weight PA 4.6,	PA 4.6 متوسّط الوزن الجزيئي
Stat-Kon* PPS	
Poly(phenylene sulfide),	پولي(سلفيد الفينيلين)
Statiblend® PPS	
Poly(phenylene sulfide),	پولي(سلفيد الفينيلين)
Stilan® 230	
Poly(etherketone),	پولمي(اپٹر کیتون)
Styvex	
Poly(phenylene ether),	پولي(اپيثر الفينيلين)
Sulfan® B	
Sulfur trioxide,	ثلاثي أوكسيد الكبريت
Sulfron®	
Aramid,	أر اميد
Sumikaexcel®	
Poly(arylene ether sulfone),	پولمي(آريلين اپيثر سلفون)
Sumikasuper®	
Liquid crystalline polymer,	بوليمير بلورات سائلة
Sumiploy®	
Poly(arylene ether sulfone),	پولی(آریلین ایثر سلفون)
Supec®	
Poly(phenylene sulfide),	پولي(سلفيد الفينيلين)
Surlyn®	
Ionomer resin,	راتنج إيونوميري
Sylgard® 184	
Silicone elastomer,	سيليكون إلاستوميري

П	Γ.	1
	- ا	.4

1-4	
Poly(phenylene sulfide),	پولي(سلفبد الفينيلين)
Taronyl	
Poly(phenylene ether),	پولي(اپثر الفينيلين)
Taxol®	
Antiproliferative preparation,	تحضير مضاد لانتشار المرض
Tecapei®	
Poly(imide),	پولي(إيميد)
Technora®	
Aramid,	أر اميد
Tedur®	
Poly(phenylene sulfide),	پولي(سلفيد الفينيلين)
Teflon®	
Tetrafluoroethylene polymer,	بوليمير رباعي فلورو الإيثيلين
Teflon® AF 1600	
Amorphous copolymers of perfluoro-2,2-dimethyl-1,3-dioxole with tetrafluoroethylene,	بوليميرات مشتركة غير متبلورة من برفلورو -2٠2- ثنائي ميثيل -3٠1-ديوكسول مع رباعي فلورو إيثيلين
Teflon® AF 2400	
Amorphous copolymers of perfluoro-2,2-dimethyl-1,3-dioxole with tetrafluoroethylene,	بوليميرات مشتركة غير متبلورة من برفلورو -2،2- ثنائي ميثيل -3،1-ديوكسول مع رباعي فلورو إيثيلين
Tegoglide™ 410	
Poly(siloxane) surfactant,	خافض للتوتر السطحي من پولي(سيلوكسان)
$Tegowet^{TM}$	
Poly(siloxane)-poly(ester) copolymer surfactant,	بوليمير مشترك خافض للتوتر السطحي من پولي(سيلوكسان)- پولي(إستر)

TEGO® RAD 2100

Poly(siloxane), acrylic, Radically	بولي (سيلوكسان) ،أكريليك، دفق قابل للتشبيك
crosslinkable flow and wetting additive,	جذريا، وإضافات تبليل
Teijinconex®	
Aramid,	أر اميد
Tempalux® HI	
Poly(imide),	پولي(اپميد)
Tenax®	
Carbon fiber,	ليف كربوني
Teonex®	
Biaxially Poly(ethylene naphthalate) film,	غشاء ثنائي المحور من پولي(نفتالات الإيثيلين)
Terathane®	
Poly(tetramethyleneoxide glycol) (PTMEG),	پولي (رباعي ميثيلين أوكسيد غليكول) (PTMEG)
Teric® (Series)	(i iwild)
Poly(ethylene glycol) mono(nonylphenyl) ether,	پولي (ایثیلین غلیکول) أحادي (نونیل فینیل) ایشر
Therma-Tech TM PPS	
Poly(phenylene sulfide),	پولي(سلفيد الفينيلين)
Thermatex®	, / m ·
Aramid,	أر اميد
Thermid®	
PETI type Poly(imide),	پولي(إيميد) من نوع PETI
Therminol® 66	
Partially hydrogenated terphenyls,	تِرْفينيلات مهدرجة جزئياً
Therminol® 75	
Mixed terphenyls and quaterphenyls,	ترِ ْفينيلات وكاتر فينيلات مختلطة
Thermocarb®	
Graphite fiber,	ليف غر افيت
Thermocomp	
Poly(phenylene ether),	پولي(اپثر الفينيلين)

Thermocomp* PPS

Poly(phenylene sulfide),	پولي(سلفيد الفينيلين)
Thermocomp®	
Poly(arylene ether sulfone),	پولي(آريلين اپثر سلفون)
Thermotuf* PPS	
Poly(phenylene sulfide),	پولی(سلفید الفینیلین)
Tinuvin® 144	(**************************************
	بیس (۵٬۵٬2٬۱۰۱-خماسی میثیل -4-بیبیریدینیل)
Bis(1,2,2,6,6-pentamethyl-4-piperidinyl) butyl(3,5-di- <i>tert</i> -butyl-4-hydroxy-	بوتيل (5،3-ثنائي - ترت -بوتيل -4-هيدروكسي
benzyl)malonate, UV absorber,	بنزيل) مالونات، ماص أشعة UV
Tinuvin® 234	
2-(2-hydroxy-3,5-di-α -cumylphenyl)-2H-	2-(2- هيدروكسي -5،3- ثنائي -α- كوميل
benzotriazole,	فینیل)-2H-بنزوتریازول
Tinuvin® 326	
2-(2-Hydroxy-3 - <i>tert</i> -butyl-5-	2-(2′- هيدروكسي -3′-ترت -بوتيل -5′-ميثيل
methylphenyl)-5-chlorobenzotriazole, UV	فينيل)-5- كلورو بنزوتريازول، ماص للأشعّة
absorber,	فوق البنفسجيّة
Tinuvin® P,	
2-(2-Hydroxy-5-	2-(2′- هيدروكسي -5′-ميثيل فينيل)
methylphenyl)benzotriazole, UV absorber, 322 Titan® Liquid crystalline polymer,	بنزوتريازول، ماص للأشعّة فوق البنفسجيّة
Tone® (Series)	
Polyols,	پوليول
Torayca®	
Carbon fiber,	ليف كربوني
Toray®	-
Poly(imide),	پولي(ايميد)
Toreca TM	
Carbon fiber,	ليف كربوني
Torelina®	
Poly(phenylene sulfide),	بولي(سلفيد الفينيلين)
<u> </u>	, / # -

Torlon® (Series)

پولي (أميد إيميد) PA من حمض ترفتاليك و 4،2،2-ثلاثي ميثيل سداسي ميثيلين ثنائي أمين و 4،4،2-ثلاثي ميثيل سداسي ميثيلين ثنائي أمين	
سداسي ميثيلين ثنائي أمين و 4،4،2-ثلاثي ميثيل سداسي ميثيلين ثنائي أمين	
سداسي ميثيلين ثنائي أمين و 4،4،2-ثلاثي ميثيل سداسي ميثيلين ثنائي أمين	
روتيل (ثنائي أوكسيد تيتانيوم) المُعالج بالألومينا سيليكا، صباغ	
بوليمير مشترك كتلي التعاقب ستيريني	
أراميد	
پولي(اپيثر الفينيلين)	
رباعي اپزوبروبوكسيد التيتانيوم (تيتانات رباع اپزوبروبيل)، محفّز	
مزيج أمين	
Udel® Polysulfone	
پولي(بيسفينول A سلفون)	
Ultem® (Series)	
پولي(إيميد)، مثلدن حرارياً	
پولي(إيثر اپيميد سلفون)	
Ultramid® (Series)	
پولي(اُميد)	

Ultrapek®

Poly(arylene ether ketone),	پولي (آريلين اپثر كيتون)
Ultrapek® KR 4176	
4,4'-Diphenoxybenzophenone- terephthaloyl chloride copolymer,	بوليمير مشترك 4،4′- ثنائي فينوكسي بنزوفينون - كلوريد ترفتالويل
Unilink® (Series)	سوري برِسوين
Aromatic secondary diamines,	ثنائيات أمين ثانوية عطرية
Unitem	
Poly(imide),	پولي(اپميد)
Upilex®	
Poly(imide),	پولي(إيميد)
Upimol®	
Poly(imide),	پولي(اپمبد)
Uralac® P 1460	
Polyester polyol,	پولي إستر پوليول
UTTAP SF 50030 GF	
Liquid crystalline polymer,	بوليمير بلورات سائلة
Uvinul® D-50	,
2,2',4,4'-Tetrahydroxy benzophenone, UV absorber,	4،4،′2،2/ ماص أشعة UV
	C (Table
Valox® 315	
Poly(butylene terephthalate),	پولي(تِرِفِتالات البوتيلين)
Vecstar®	
Liquid crystalline polymer,	بوليمير بلورات سائلة
Vector®	
Styrenic block copolymer,	بوليمير مشترك كتاي التعاقب ستيريني

Liquid crystalline polymer,	بوليمير بلورات سائلة
Vectra® (Series)	33 (3. 7 3. 7 3. 7
Liquid Crystal Polymer, composed from mainly 4-hydroxybenzoic acid or 6-hydroxy-2-naphthoic acid, further, depending on type: <i>p</i> -acetaminophenol, terephthalic acid, and biphenol,	بوليمير بلورات سائلة مكوّن بصورة رئيسة من حمض 4- هيدروكسي بنزويك أو حمض 6- هيدروكسي -2-نفتويك ، وحسب النوع: p-أستامينوفينول وحمض ترفتاليك وبيفينول
Versalink® (Series)	
Amine terminated poly-THF and PPO for PU resins,	بولي -THF منته بأمين و PPO في حالة راتنجات PU
Verton* PPS	,
Poly(phenylene sulfide), Vespel®	پولي(سلفيد الفينيلين)
	() () () (
Poly(imide), thermosetting, Vestakeep®	بولي(إيميد)، متصلًد حرارياً
	(, , , , , ,)
Poly(ether ether ketone), Vestamid®	پولي(اپيثر اپيثر کيتون)
	()
Poly(amide),	پولي(أميد)
Vestenamer® 8012	
Poly(octenylene),	پولي (أو كتينيلين)
Vestoran	
Poly(phenylene ether),	پولي(ايبثر الفينيلين)
Victrex® 381G	
Poly(etheretherketone)), cable coating	پولي(اپيثر اپيثر كيتون)، طلاء للكبلات
Victrex® PEEK (Series)	
Poly(etheretherketone),	پولي(إيثر اپيثر كيتون)
Victrex® PEEK 450	
Poly(oxy-1,4-phenyleneoxy-1,4-phenylenecarbonyl-1,4-phenylene), poly-(etheretherketone),	پولي (أوكسي -4،1-فينيلين أوكسي -4،1-فينيلين كربونيل -4،1-فينيلين)، پولي (إيثر إيثر كيتون)

Victrex® PEK

پولي (أو كسي -4،1-فينيلين كربونيل -4،1-فينيلين)
پولي(آريل إيثرسلفون)
مبطئ للهب
هباب الفحم
پولي(أميد ايميد)
پولي(آريلين اپثر سلفون)
بو لي (سلفيد الفينيلين)
بوليمير بلورات سائلة
بولي(إيثر الفينيلين)
پولي(سلفيد الفينيلين)
بوليمير بلورات سائلة
ليف كربوني

Zonyl® 7950

	Fluorinated surfactant,	خافض للتوتر السطحي مُفَلور
Zonyl® FSO 100		
	Ethoxylated nonionic fluorosurfactant,	خافض للتوتر السطحي فلوري لا شاردي مُوظّف بالإيثوكسيلات
Zytel®		
	Poly(amide),	پولي(أميد)

فهرس الاختصارات

α -TPT		
2,5-Bis-(2-thienyl-1-cyanovinyl)-1-(2-	5،2-بيسْ -(2-ثينِيل -1-سيانوڤينيل)-1-(2′- إيثيل	
ethylhexyloxy)-4-methoxybenzene,	هكسيل أوكسي)-4-ميثوكسي بنزرِن	
β -TPT		
2,5-Bis-(2-thienyl-2-cyanovinyl)-1-(2-	5،2- بيس -(2- ثينيل -2- سيانو ڤينيل)-1-(2'- إيثيل	
ethylhexyloxy)-4-methoxybenzene,	هكسيل أوكسي)-4-ميثوكسي بنزنِ	
2,6-NDA		
2,6-Naphthalenedicarboxylic acid,	6.2-نفتالين ثنائي كربوكسيليك	
3GN		
Poly(1,3-propylene 2,6-naphthalate),	پولي (3،1-بروبيلين 6،2-نفتالات)	
4,4-BPDA		
3,3,4,4-Biphenyl dianhydride,	ثنائي أنهيدريد 4،4،3،3-بيفينيل	
4,4-BTDA		
3,3,4,4- Benzophenone dianhydride,	ثنائي أنهيدريد 3،4،4،3-بنزوفينون	
4,4-ODPA		
3,3,4,4-Oxydiphthalic anhydride,	أنهيدريد 4،4،3،3- أوكسي ثنائي فتاليك	
7-DCST		
2-(4-Azepan-1-yl-benzylidene)- malononitrile,	2-(4- آزيبان -1- إيل -بنزيليدين)-مالونونتريل	
AA		
Acrylic acid,	حمض الأكرينيك	
AAG		
2-Acrylamido glycolic acid,	حمض 2- أكريل أميدو غليكوليك	
ABS		
Acrylonitrile-butadiene-styrene,	أكريلونتريل-بوتاديئين-ستيرين	
ADC		
Azodicarbonamide,	آزو ثنائي كربون أميد	
ADMET		
Acyclic diene metathesis,	مُناقلة دايئين اللاحلقيّة	

ADMVN

2,2'-Azobis-(2,4-dimethylvaleronitrile),	2،2′- آزوبيسْ -(4،2-ثنائي ميثيل ڤالرو نتريل)
AF-50	
	N·N- ثنائي فينيل -7-(2-(4-بيريدينيل)-
N,N-Diphenyl-7-(2-(4-pyridinyl)-ethenyl)-9,9-di- <i>n</i> -decyl-9H-fluorene-2-amine,	إثينيل -9،9- ثنائي - نظامي - ديسيل -9H- فلورين
3,5 di n deceyi 511 ndorene 2 anime,	-2- أمين
AFM	
Atomic force microscopy,	إجهارية القوة الذرية
AIBN	
2,2'-Azobisisobutyronitrile,	2،2′ آزو بیس اپیزو بوتیرو نتریل
Alq3	
Tris-(8-hydroxyquinoline)-aluminum,	تريس -(8- هيدروكسي كينولين)- ألمنيوم
ASE	
Amplified spontaneous emission,	الإصدار التلقائي المضخم
BEB	-
Ethylene dibenzoate,	ثنائي بنزوات الإيثيلين
BEN	-
1-Benzoate 2-naphthoate ethylene,	1-بنزوات -2-نفتاوات الإيثيلين
BHCA	
Bis-(hydroxymethylcyclohexane)-arylate,	بيس -(هيدروكسي ميثيل حلقي الهكسان)- آريلات
BHEA	
2,6-Bis-(hydroxyethyl)arylate,	6،2-بیس -(هیدروکسی میثیل) آریلات
BisCzPro	-
1,3-Biscarbazolyl propane,	3،1-بیس کاربازولیل بروبان
BOZ	
2,2'-Bis-(l,3-oxazoline),	2،2′-بيس -(3،1- أوكساز ولين)
BP	
4,4'-Biphenol,	4،4′- بيفينول
BPD	-
2- <i>tert</i> -Butylphenyl-5-biphenyl-1,3,4-	2-ترت -بوتيل فينيل -5-بيفينيل -4،3،1-
oxadiazole,	أوكساديازول

BTDA-DATA

پولي (3،3'،4،4'-بنزوفينون رباعي كربوكسيليك ثنائي أنهيدريد -3،3-ثنائي أمينو -4،2،1- نريازول)
(35,5)
پولي (2-دوديسيل -بارا -فينيلين)
أنهيدريد السيتر اكونيك
بنزوتريازول
4.1- حلقي هكسان ثنائي ميثانول
أوكسيد حلقي الهكسين
پولي (9،9′-ثنائي هکسيل فلورين -7،2-ثنائي
قینیلین -m- فینیلین قینیلین -p- stat- فینیلین
قینیلین)
عامل انتقال السلسلة
التوضيع الكيميائي للأبخرة
6- أمينو -1-(4- أمينوفينيل)-3،3،1- ثلاثي ميثيل
ایندان
حمض 5،3-ثنائي أمينو بنزويك
4-(ثنائي سيانو ميثيلين)-2-ميثيل -6-(4-ثنائي
میثیل أمینو -ستیریل)-4H-بیران
نتائي ميثيل أسيتاميد

DMF

DIVII	
N,N-Dimethylformamide,	N،N-ثنائي ميثيل فورمْ أميد
DMNPAA	
255: 4144 : 1 1 2 2 1	5،2-ثنائي ميثيل -4-(بارا -نترو فينيل
2,5-Dimethyl-4-(<i>p</i> -nitrophenylazo)anisole,	آزو) أنيسول
DMOS-PPV	
Poly(2-dimethyloctylsilyl)-phenylene	پولي (2- ثنائي ميثيل أوكتيل سيليل)- فينيلين
vinylene,	ڤينيلين
DMSO	
Dimethyl sulfoxide,	ثنائي ميثيل سلفوكسيد
DMT	
Dimethyl terephthalate,	تنائي ميثيل ترفتالات
Difficulty terephthalate,	ترِفْتالات ثنائي ميثيل
DNA	
Deoxyribonucleic acid,	الحمض النووي الريبي منقوص الأوكسجين
DR-1	
Disperse Red 1,	المُشتّت الأحمر 1 (حامل لوني)
DSC	
Differential scanning calorimetry,	قياس الحرارة بالمسح التفاضلي
DyC-82	
Dysprosium fulleride,	داي سبروزيوم فولريد
E3VC	
N-Ethyl-3-vinylcarbazole,	N- إيثيل -3- ڤينيل كاربازول
ECZ	
N-Ethylcarbazole,	N- لیثیل کاربازول
EL	
Electroluminescence,	تألّق كهربائي
ENB	ж -
Ethylidene norbornene,	اپىثىلىدىن نوربورنىن
EPDM	
Ethylene propylene diene monomer,	مونومير الإيثيلين بروبيلين ديين

ESIPT

LSII I	
Intramolecular proton-transfer,	انتقال بروتوني ضمن الجزيء
GC	
Gas chromatography,	كروماتوغرافيا غازية
GF	
Glass fiber,	ليف زجاجي
HALS	
Hindered amine light stabilizer,	مثبّت ضوئي أميني مُعاق
НВА	
4-Hydroxybenzoic acid,	حمض 4- هيدروكسي بنزويك
НЕМА	
2-Hydroxyethyl methacrylate,	2- هيدروكسي إيثيل ميتاكريلات
HIPS	
High impact poly(styrene),	پولي(ستيرين) عالي الصدم
HMD	
Hexamethylenediamine,	ثنائي أمين سداسي الميثيلين
HPA Heteropolyacid,	
Heteropolyacid,	الحموض المتعددة المغايرة
HQ	
Hydroquinone,	هیدر و کینون
IOL	
Intraocular lenses,	عدسات داخل العين
IPA	
Isophthalic acid,	حمض الإيزوفتاليك
IR	
Infrared,	تحت الأحمر
ITO	
Indium tin oxide,	أوكسيد الإنديوم والقصدير
IV	
Intrinsic viscosity,	اللزوجة الجوهرية
LC	
Liquid chromatography,	كروماتوغرافيا سائلة

LCD

LCD	
Liquid crystalline display,	شاشة بلورات سائلة
LCM	
Liquid composite molding,	قولبة المواد المركبة السائلة
LCP	
Liquid crystal polymer,	بوليمير بلورات سائلة
LED	
Light-emitting diode,	ديود مصدر للضوء
MA	
Methacrylic acid,	حمض الميتاكريليك
MDI	
Diisocyanatodiphenyl methane,	ثنائي إيزوسياناتو ثنائي فينيل ميثان
MDMO-PPV,	
Poly(2-methoxy-5-(3',7'-	پولي (2-ميثوكسي -5-(3'،7'-ثنائي ميثيل أوكنيل
dimethyloctyloxy)-1,4-phenylene vinylene)	أوكسي)-4،1-فينيلين ڤينيلين)
MEH-PPV	
Poly(2-methoxy-5-(2'-ethylhexyloxy)-1,4-	پولي (2-ميثوكسي -5-(2'- إيثيل هكسيل
phenylene vinylene),	أوكسي)-4،1-فينيلين ڤينيلين)
MPD	
m-Phenylenediamine,	m - فینیلین ثنائي أمین
MTBE Methyl- <i>tert</i> -butyl ether,	
Methyl-tert-butyl ether,	إيثر ميثيل-ترت-بوتيل
MXDA	
m-Xylylenediamine,	m-كزيليلين ثنائي أمين
NDC	
Dimethyl-2,6-naphthalene dicarboxylate,	ثنائي ميثيل -6،2-نفتالين ثنائي كربوكسيلات
NEN	
Ethylene dinaphthoate,	ثنائي نفتاو ات الإيثيلين
NLO	
Nonlinear optical,	لا خطية ضوئية
NMP,	
N-Methyl-2-pyrrolidone,	N-ميثيل -2-بير وليدون

INIVIR	
Nuclear magnetic-resonance spectroscopy,	مطيافية الطنين المغناطيسي النووي
NOM	
Natural organic matter,	مادة عضوية طبيعية
NPDA	
Neopentyldiamine,	نيوبنتيل ثنائي أمين
NVK	
N-Vinylcarbazole,	N-ڤينيل كاربازول
NVP	
N-Vinyl-2-pyrrolidone,	N-ڤينيل -2- بيروليدون
ODA	
4,4'-Oxydianiline,	4،4′- أوكسي ثنائي أنيلين
ODCA	
2,5-Bis-(4-carboxyphenyl)-1,3,4-	5،2-بيس -(4-كربوكسي فينيل)-4،3،1-
oxadiazole,	أوكسادياز ول
ODPA-APB-8-AA	
Poly(4,4-oxydiphthalic anhydride-1,3-	بولي (4،4′ أوكسي ثنائي فتاليك أنهيدريد
aminophenoxybenzene-8-azaadenine),	-3،1- أمينو فينوكسي بنزين -8- أز آدينين)
OXD	
Oxadiazole,	أوكسادياز ول
P3O	
Poly(2,6-diphenyl-1,4-phenylene oxide),	بولي (6.2- ثنائي فينيل -4.1- فينيلين أوكسيد)
PA	
Poly(amide),	پولي(أميد)
PAE	
Poly(arylene ether),	بولي(آريلين اپثر)
PAES	
Poly(arylene ether sulfone),	بولي(آريلين اپثر سُلفون)
PAI	
Poly(amide imide),	پولي(أميد اپيميد)
PANI	-
Poly(aniline),	پولي(أنيلين)

پولي(سلفيد الأريلين)
2-(4-بيفينيليل)-5-(4-ترت -بوتيل
فينيل)-4،3،1- أوكساديازول
پولي(نفتالات البوتيلين)
پولي(ترِفتالات البوتيلين)
پولي(كربونات)
لوح دارة مطبوعة
بولي (إيثيلين -4،1-حلقي هكسان ثنائي ميثيلين
آریلات)
التوضيع الكيميائي للأبخرة المحسن بالبلازما
بولي (4،3- إيثيلين ثنائي أوكسي ثيوفين)
بولي (إيثر إستر)
پولي (اپيثر اپيثر کيتون)
بولمي (غليكول الإيثيلين)
پولمي (اِينٹر اپيميد)
بولي(اپيثر كيتون)
پولي(آريلين اپثر نتريل)

Poly(ethylene naphthalate),	بولي(نفتالات الإيثيلين)
PENA	
4-(1-Phenylethynyl)1,8-naphthalic anhydride,	أنهيدريد 4-(1-فينيل إيثينيل)-8،1-نفتاليك
PEP	
Poly(ethylene-2,7-phenanthrate),	پولي (ایثیلین -7،2-فینانتر ات)
PEPA	
4-(Phenylethynyl)-1,2- benzenedicarboxylic acid anhydride,	أنهيدريد حمض 4-(فينيل إيثينيل)-2،1-بنزين
	ثنائي كربوكسيليك
PEPC	
Poly(N-epoxypropyl)carbazole,	پولي ((N- إبوكسي بروبيل)كاربازول)
PES	
Poly(ethersulfone),	پولی(اپیثر سلفون)
PET	. т
Poly(ethylene terephthalate),	پولي (تِرِفْتالات الإِيثيلين)
PETI	
Phenylethynyl terminated imide,	إيميد منته بفينيل إيثينيل
PHDP	
Poly(1-hexyl-3,4-dimethyl-3,5-pyrrolylene),	پولي (1- هكسيل -4،3- ثنائي ميثيل -5،3- بيروليلين)
PI	
Poly(imide),	پولي(إيميد)
PL	
Photoluminescence,	التألّق الضوئي
PMDA	
Pyromellitic dianhydride,	ثنائي أنهيدريد بيروميليتيك
PMMA	
Poly(methyl methacrylate),	پولی (میثیل میتاکریلات)
PNV	, , , , , , , , , , , , , , , , , , , ,
Poly(1,5-naphthylene vinylene),	پولي (5،1-نفتالين ڤينيلين)
POD-DPE	
Poly(4,4'-diphenyl ether-1,3,4-oxadiazole),	پولي (4،4/-ثنائي فينيل إيثر -4،3،1-
	أوكسادياز ول)
PODA	
Poly(1,3,4-oxadiazole),	پولمي (4،3،1- أوكساديازول)

101	
Poly(9,9-dioctylfluorene),	پولي (9،9-ثنائي أوكتيل فلورين)
PP	
Poly(propylene),	پولي(بروبيلين)
PPA	
Poly(phosphoric acid),	پولي(حمض الفوسفور)
PPA	
Poly(phthalamide),	پولي(فتال أميد)
PPE	
Poly(phenylene ether),	پولي(إيثر الفينيلين)
PPESK	
Poly(phthalazinone ether sulfone ketone),	پولي (فتالازينون اپيش سلفون كيتون)
PPS	
Poly(phenylene sulfide),	پولي (سلفيد الفينيلين)، پولي (كبريتيد الفينيلين)
PPSA	
Poly(1,4-phenylene sulfide-1,4-phenyleneamine),	پولی (4،1-فینیلین سلفید -4،1-فینیلین أمین)
PPSAA	
Poly(phenylene sulfide-phenyleneamine- phenyleneamine),	پولي(فينيلين سلفيد -فينيلين أمين -فينيلين أمين)
PPSO	
Poly(p-phenylene sulfoxide),	پولي (بارا -فينيلين سلفوكسيد)
PPT	
Poly(pentylene terephthalate),	پولي (ترفْتالات البنتيلين)
PPV	
Poly(p-phenylene vinylene),	پولي (بارا -فينيلين فينيلين)
PPX	
Poly(p-xylylene),	پولي (بارا - كزيليلين)
PPY	
Poly(pyrrole),	پولي (بيرول)
PS	T
Poly(styrene),	پولي (ستيرين)
PSI	
Poly(arylene ether sulfide),	پولي(آريلين اپيثر سلفيد)
PT	
Poly(1,2,4-triazole),	پولي (4،2،1- تريازول)
	# ·

PTFE

Poly(tetrafluoroethylene),	پولي (رباعي فلوروالإيثيلين)
РТК	
Poly(arylene thioether ketone),	پولی (آریلین ثیواپثر کیتون)
PTT	
Poly(trimethylene terephthalate),	پولي (ترِفْتالات ثلاثي الميثيلين)
PU	
Poly(urethane),	پولي (يوريثان)
VA	
Poly(vinyl alcohol),	پولي (كحول الڤينيل)
PVAc	
Poly(vinyl acetate),	پولي (أستات الڤينيل)
PVD	# · V
Physical vapor deposition,	التوضيع الفيزيائي للأبخرة
PVK	
Poly(N-vinylcarbazole),	پولي(N-ڤينيل كاربازول)
VP	
Poly(N-vinyl-2-pyrrolidone),	پولي(N-ڤينيل -2-بيروليدون)
VPh	
Poly(vinylphenol),	پولي(ڤينيل فينول)
RAFT	
Reversible addition-fragmentation chain	انتقال السلسلة العكوس من نمط إضافة-تجزئة
transfer,	(إحدى طرائق البلمرة)
COMP	, , , , , , , , , , , , , , , , , , , ,
Ring opening metathesis polymerization,	البلمرة بالمناقلة الفاتحة للحلقات
B	
Sodium benzoate,	بنزوات الصوديوم
GG	
Styrene/glycidyl methacrylate,	ستيرين\غليسيديل ميتاكريلات
PAENK	
Sulfonated poly(arylene ether nitrile ketone),	پولي(آريلين إيثر نتريل كيتون) المسلفن
SPPEKN	
Sulfonated poly(phthalazinone ether ketone nitrile),	پولي(فتالازينون إيثر كيتون نتريل) المسلفن
TAZ	
2/4 8/1 15/4 15/4	3-(4-بيفينيليل)-4-فينيل -5-(4-تر ت -بو تيل
3-(4-Biphenylyl)-4-phenyl-5-(4- <i>tert</i> -butylphenyl)-1,2,4-triazole,	, , , , , , , , , , , , , , , , , , , ,
	فينيل)-4،2،1-تريازول

TBBPL

12212		
3,3',5,5'-Tetra- <i>tert</i> -butyl biphenol,	5،5٬3،3′-رباعي - ترت -بوتيل بيفينول	
TEP		
Triethyl phosphate,	فوسفات ثلاثي الإيثيل	
TFPX	-	
α , α , α ', α '-Tetrafluoro- p -xylylene,	α'،α،α رباعي فلورو -p-كزيليلين	
THF		
Tetrahydrofuran,	رباعي هيدروفوران	
TIP		
Thermally induced phase inversion,	عكس الطور المحرّض حرارياً	
TMDQ		
Tetramethyldiphenyl quinone,	رباعي ميثيل ثنائي فينيل كينون	
TMLA		
Trimellitic acid,	حمض ثلاثي الميليتيك	
TNF		
2,4,7-Trinitro-9-fluorenone,	7،4،2- ثلاثي نترو -9-فلورينون	
TNFDM (2,4,7-Trinitrofluorene-9-ylidene)-malononitrile,		
(2,4,7-Trinitrofluorene-9-ylidene)-	(7،4،2- ثلاثي نترو فلورين -9- إيليدين)-	
malononitrile,	مالونونتريل	
TPA		
Terephthalic acid,	حمض الترفتاليك	
TPD		
N,N '-Bis-(3-methylphenyl)-N,N '-diphenylbenzidine,	/N،N بيسْ -(3-ميثيل فينيل)-/N،N ثنائي فينيل	
	بنزيدين	
UF		
Ultrafiltration,	الترشيح الفائق	
•		

فهرس المركبات الكيميائية

p-Acetaminophenol,	بار ا-أستامينو فينول *
Acetic anhydride,	بلا ماء حمض الخل- أنهيدريد أستيك
Acetonitrile,	أستونتريل
4-Acetoxybenzoic acid,	حمض 4-أستوكسي البنزويك
2-Acetoxy-5-vinylphenyl-benzotriazole,	2- أستوكسي -5- ڤينيل فينيل –بنزوتريازول
Acetylacetone,	أستيل أسيتون
Acetylene,	أستيلين
Acrolein,	أكر و لين
2-Acryamido glycolic acid,	حمض 2– أكريل أميدو الغليكوليك
	حمض 2– أكر أميدو غليكو ليك*
Acrylamide,	أكريل أميد
2-Acrylamido-2- methylpropanesulfonate,	2- أكريل أميدو -2-ميثيل بروبان سلفونات
2-Acrylamido-2-methyl-1-propane sulfonic acid,	حمض 2-أكريل أميدو -2-ميثيل -1- بروبان السلفوني
Acrylic acid,	مسوري الأكريليك
Acrylonitrile-butadiene-styrene,	أكريلونتريل -بوتادين -ستيرين
Acryloyl chloride,	كلوريد أكريلويل
5-Acryloyloxyethoxycarbonylmethyl-7-hydroxy-1,2,4-triazolo[1.5-a]pyrimidine,	5- أكريلويل أوكسي إيثوكسي كاربونيل
nydroxy-1,2,4-urazolo[1.3-a]pyrimidnie,	ميثيل -7- هيدروكسي -4،2،1- تريازولو –
	[1.5-a]بیریمیدین
Adipic acid,	حمض آديبي– حمض آديبيك
N-Alkyloxadiazolium hydrosulfate,	هيدروسلفات N-ألكيل أوكساديازوليوم
2-Allyl-6-methylphenol,	2- أليل -6- ميثيل فينول
γ-Alumina,	γ- ألومينا
Aluminum chloride,	كلوريد الألمنيوم
Aluminum oxide,	أوكسيد الألمنيوم
Amidosulfonic acid,	حمض أميدو سلفونيك

5-Amino-2-(4-aminophenoxy)-pyridine,	5- أمينو -2-(4- أمينو فينوكسي)-بيريدين
6-Amino-1-(4'-aminophenyl)-1,3,3- trimethylindane,	6- أمينو -1-(4'- أمينو فينيل)-3،3،1- ثلاثي ميثيل
3-Aminobenzoic acid,	اپندان
4-Aminobenzoic acid,	حمض 3- أمينو بنزويك
3-Amino-2-cyclohexene-1-one,	حمض 4-أمينو بنزويك
3-Amino-4-methylbenzoic acid,	3- أمينو -2- حلقي هكسين -1- أون
4-Amino-4'-nitrodiphenyl ether,	حمض 3- أمينو -4-ميثيل بنزويك
	إيثر 4- أمينو -4'-نترو ثنائي فينيل
Amino[2.2]paracyclophane,	أمينو [2.2]پارا سيكلوفان
4-Aminophenol,	4- أمينو فينول
p-Aminophenol,	p- أمينو فينول
3-(3-Aminophenyl)-5-[3'-(4-aminophenoxy)phenyl]-1,2,4-triazole,	3-(3- أمينوفينيل)-5-[3'-(4- أمينوفينوكسي)
animophenoxy)phenyij 1,2,1 anazote,	فينيل]-4،2،1-تريازول
3-(3-Aminophenyl)-5-[3'-(4-aminophenylsulfonyl)phenyl]-1,2,4-	3-(3- أمينو فينيل)-5-[3'-(4- أمينو فينيل سلفونيل)
triazole,	فينيل]-4،2،1-تريازول
γ-Aminopropyltriethoxysilane,	γ- أمينو بروبيل ثلاثي إيثوكسي سيلان
3-Amino-1,2,4-triazole,	3- أمينو -4،2،1- تريازول
5-Aminotriazole,	5- أمينو تريازول
ω -Aminoundecanoic acid,	حمض ۵- أمينو أنديكانويك
5-Amino-1-vinyltetrazole,	5- أمينو -1-ڤينيل تترازول
Amino-p-xylylene,	أمينو -p-كزيليلين
Ammonium carbonate,	كربونات الأمونيوم
Ammonium metavanadate,	متاقانادات الأمونيوم
Ammonium nitrate,	نترات الأمونيوم
Aniline hydrochloride,	هيدروكلوريد الأنيلين
Anthracene,	أنتر اسين
Antimony pentachloride,	خماسي كلوريد الأنتيمون
Antimony trioxide,	ثلاثي أوكسيد الأنتيمون
Arsenic pentafluoride,	- خماسي فلوريد الزرنيخ
8-Azaadenine,	8- أز آدينين
Azelaic acid,	حمض آزيلايك
2-(4-Azepan-1-yl-benzylidene)- malononitrile,	2-(4- آزيبان -1- إيل -بنزيليدين)-مالونونتريل

4-Azido-tetrafluorobenzoic acid,	حمض 4-أزيدو-رباعي فلورو البنزويك
1,1'-Azobis-(1-acetoxy-1-phenylethane),	1،1′- آزوبيسْ -(1- أُستِوكسي -1-فينيل إيثان)
4,4'-Azobis-(4-cyanopentanoic acid),	4،4′- آز وبيسْ -(حمض 4-سيانوبنتانويك)
2,2'-Azobis-(2-cyanopropanol),	2،2′- آزوبيسٌ -(2-سيانوبروبانول)
2,2'-Azobis-(2,4-dimethylvaleronitrile),	2،2′- آزوبيسْ -(4،2-ثنائي ميثيل ڤالرو نتريل)
2,2'-Azobis-2,4-dimethylvaleronitrile,	2،2′- آزو بيس -4،2- ثنائي ميثيل ﭬالرونتريل
2,2'-Azobisisobutyronitrile,	2،2′- آزو بیس اپیزو بوتیرو نتریل
Azodicarbonamide,	آزو ثنائ <i>ی</i> کربون أمید
Benzene arsonium fluoroborate,	فلوروبورات بنزين الأرسونيوم
Benzene-1,4-bis-(phenylene vinylene),	بنزین -4،1-بیس -(2- فینیلین قینیلین)
1,4-Benzenedicarboximidic acid	حمض 4،1-بنزين ثنائي كربوكسيميدك ثنائي
dihydrazide,	هیدر ازید هیدر ازید
Benzene iodonium fluoroborate,	فلوروبورات بنزين اليودونيوم
4-Benzenesulfonylphenyl phenyl ether,	4-بنزین سُلفونیل فینیل فینیل اپیثر
1-Benzoate 2-naphthoate ethylene,	1-بنزوات 2-نفتاوات الإيثيلين
Benzoic acid,	حمض البنزويك
Benzonitrile,	بنزونتريل
Benzophenone,	بنز و فینون
3,3',4,4'-Benzophenone dianhydride,	ثنائي أنهيدريد 3،3′4،4′-بنزوفينون
3,3',4,4'-Benzophenone tetracarboxylic	ثنائي أنهيدريد 3،3 '4،4،' بنزوفينون رباعي
dianhydride,	كربو كسيليك
1-Benzothiazol-3-phenyl-pyrazoline,	1-بنزوثیازول -3-فینیل - بیرازولین
Benzotriazole,	بنزوتريازول
5-(2H-Benzotriazole-2-yl)-2,2',4,4'-	5-(2H-بنزوتريازول -2- إيل)-4،4،′2،2- رباعي
tetrahydroxybenzophenone,	هيدروكسي بنزوفينون
5-(2H-Benzotriazole-2-yl)-2,2',4-	5-(2H-بنزوتريازول -2- إيل)-4٬′2،2-ثلاثي
trihydroxy-4'-acryloxybenzophenone,	هيدروكسي -4'- أكريل أوكسي بنزوفينون
3-Benzoyl-4-acetoxybenzoic acid,	حمض 3-بنزويل -4-أستوكسي بنزويك
Benzoyl chloride,	كلوريد البنزويل
Benzyl alcohol,	كحول بنزيل
2-Benzyl-2-dimethylamino-1-(4-	2-بنزيل -2-ثنائي ميثيل أمينو -1-(4-مورفولينو
morpholinophenyl)butanone-1,	فينيل) بوتانون -1
-	

Benzyl-1-pyrrolecarbodithioate,	بنزیل -1-بیرول کاربو ثنائی ثیوات
4,4'-Biphenol,	4،4- بيفينول
4-Biphenyl-4-allyloxybenzoate,	4-بيفينيل -4- أليل أوكسي بنزوات
4-Biphenylcarboxylic acid,	حمض 4-بيفينيل كربوكسيايك
3,3',4,4'-Biphenyl dianhydride,	ثنائي أنهيدريد 3،3′،4،4′-بيفينيل
4,4'-Biphenylene,	- 4،4′- بيغينيلين
Biphenyl-2,3,3',4'-tetracarboxylic dianhydride,	ثنائي أنهيدريد بيفينيل -4،3،3،2 رباعي
Biphenyl-3,3',4,4'-tetracarboxylic dianhydride,	كربوكسيليك ثنائي أنهيدريد بيفينيل -3،3'،4،4'-رباعي
Biphenyltetracarboxylic dianhydride,	كربوكسيليك ثنائى أنهيدريد بيفينيل رباعي كربوكسيليك
2-(4-Biphenylyl)-5-(4-tert-butylphenyl)-1,3,4-oxadiazole,	2-(4-بيفينيليل)-5-(4-ترت-بوتيل فينيل)-4،3،1- أوكساديازول
3-(4-Biphenylyl)-4-phenyl-5-(4-tert-butylphenyl)-1,2,4-triazole,	ر
Bis-(allyl ether) tetrabromobisphenol A,	قيبيل)-4.2.۱-دريارون بيس-(اليل اپيثر) رباعي برومو بيس فينول A
1,4-Bis(4-aminophenoxy)benzene,	4،1- بيس (4- أمينو فينيوكسي) بنزين
4,4'-Bis(4- aminophenoxy)benzophenone-3,3'- disulfonic acid,	حمض 4،4′-بيس (4-أمينو فينيوكسي) بنزوفينون -3،3′-ثنائي سلفونيك
4,4'-Bis(4-aminophenoxy)biphenyl,	4،4′- بيس (4- أمينو فينيوكسي)بيفينيل
4,4'-Bis-(p-aminophenoxy)diphenyl-1,3,4-thiadiazole,	- 4،4′- بيس -(p- أمينو فينو كسي) ثنائي
Bis[4-(p-aminophenoxy)phenoxy] dimethylsilane,	فينيل -4،3،1- ثياديازول بيس [4-(p- أمينو -فينوكسي)فينوكسي]ثنائي ميثيل
2,2'-Bis[4-(4-amino-phenoxy) phenyl] hexafluoroisopropylidene,	سيلان 2،2- بيس [4-(4- أمينو - فينوكسي) فينيل]سداسي
2 2	فلورو إيزوبروبيليدين
1,3-Bis[5'-[3"-(p-aminophenoxy)-phenyl]-oxadiazol-2-yl]benzene,	3،1-بيس [5'-[3"-(p-أمينوفينوكسي)-فينيل]- أوكساديازول -2-إيل]بنزين
2,2'-Bis(4-(4-aminophenoxy) phenyl)propane,	وکمندیروں -2- پین ابنرین 2،2'- بیس (4-(4- أمينو فينوکسي)فينيل)بروبان
Bis(aminophenoxy phenyl)-sulfone,	بيس (أمينو فينوكسي فينيل)-سلفون
Bis[4-(3-aminophenoxy)phenyl]sulfone,	بيس [4-(3- أمينو - فينوكسي) فينيل]سلفون

N,N'-Bis(4-aminophenyl)-N,N'-diphenyl-1,4-phenylenediamine,	N،N-بيس (4- أمينو فينيل)-N،'N'-ثنائي
diplicity 1,4 phenylenediamine,	فينيل -4،1-فينيلين ثنائي أمين
2,3-Bis(4-aminophenyloxyphenyl)-	حمض 3،2- بيس (4- أمينو فينيل)- كينوكز الين
quinoxaline-6-carboxylic acid,	-6- كر بو كسيليك
1,5-Bis(3-aminophenyl)-1,4-pentadien-3-one,	5،1-بيس (3- أمينوفينيل)-4،1- بنتاديئين -3- أون
1,1-Bis(4-aminophenyl)-1-phenyl-2,2,2-trifluoroethane,	1،1-بيس (4- أمينو فينيل)-1- فينيل -2،2،2- ثلاثي
umuoroemane,	فلورو إيثان
2,3-Bis(4-aminophenyl)-quinoxaline-6-	حمض 3،2-بيس (4- أمينو فينيل أوكسي
carboxylic acid,	فينيل)-كينوكز الين -6- كربوكسيليك
Bis-(aminophenyl)-sulfone,	بيس -(أمينو فينيل)-سلفون
4,4'-Bis(4-	حمض 4،4′-بيس (4-أمينو فينيل ثيو)بنزوفينون
aminophenylthio)benzophenone-3,3'-disulfonic acid,	-3،3′- ثنائي سلفونيك
Bis(3-aminopropyl)-1,1,3,3-	بيس (3- أمينو بروبيل)-3،3،1،1-رباعي ميثيل
tetramethyldisiloxane,	ثنائي سيلوكسان
4,4-Bis[(4-amino)thiophenyl] benzophenone,	4،4-بيس [(4-أمينو)ڻيوفينيل] بنزوفينون
2,2'-Bis(3-amino-4-	2،2 بيس (3- أمينو -4-توليل)سداسي فلورو
toluyl)hexafluoropropane,	بروبان
1,4-Bis(bromodifluoromethyl)benzene,	4.1-بيس(برومو ثنائي فلورو ميثيل)بنزن
3,5-Bis-(tert-butyl)-phenol,	5،3-بيس -(ترت -بوتيل)- فينول
1,3-Bis[(4-tert-butylphenyl)-1,3,4-	3،1-بیس [(4–ترت -بوتیل فینیل)-4،3،1-
oxadiazolyl]-phenylene,	أوكساديازول]- فينيلين
1,3-Biscarbazolyl propane,	3،1-بیس کاربازولیل بروبان
4,4'-Bis-((3-carboxyphenoxy)(p-	4،4'-بيس - ((3-كربوكسى فينوكسى)(p-
benzoyl))-phenyl sulfone,	بنزویل))- فینیل سلفون
1,4-Bis(4-carboxyphenoxy)naphthalene,	4.1-بيس (4-كربوكسي فينوكسي)نفتالين
2,6-Bis(4-carboxyphenoxy)naphthalene,	6.2- بيس (4- كربوكسى فينوكسى) نفتالين
2,5-Bis-(4-carboxyphenyl)-1,3,4-	5،2- بيس -(4- كربوكسى
oxadiazole,	 فينيل)-4،3،1- أو كساديازول
Bis(4-carboxyphenyl)phenylphosphine oxide,	أوكسيد بيس (4-كربوكسي فينيل) فينيل فوسفين
2,2-Bis[N-(4-carboxyphenyl)-	2،2- بيس [N-(4- كربوكسى فينيل)- فتال
phthalimidyl]hexafluoropropane,	إيميديل]سداسي فلورو بروبان

	T
1,4-Bis-(chloromethyl)-2-methoxy-5-(2'-ethylhexyloxy)benzene,	4·1-بيس -(كلورو ميثيل)-2-ميثوكسي -5-(2'- إيثيل
	هكسيل أوكسي)بنزين
2,5-Bis-(chloromethyl)-1,3,4-oxadiazole,	5،2-بيس -(كلوروميثيل)-4،3،1- أوكساديازول
Bis-(4-chlorophenyl)-sulfone,	بيس -(4-كلوروفينيل)-سلفون
Bis-(2,4-di-tert-butylphenyl)-	بيس -(4،2-ثنائي - ترت -بوتيل فينيل)- بنتا
pentaerythritol diphosphite,	إريثريتول ثنائي فوسفيت
1,3-Bis(2,3-dicarboxyl-phenoxy)benzene	ثنائى أنهيدريد 3،1-بيس (3،2-ثنائى كربوكسيل -
dianhydride	 فينوكسي)بنزي <i>ن</i>
1,4-Bis(3,4-dicarboxyl-phenoxy)benzene	ثنائى أنهيدريد 4،1-بيس (4،3-ثنائى كربوكسيل -
dianhydride,	
4,4'-Bis(3,4-dicarboxyl phenoxyphenyl)-	ثنائي أنهيدريد 4،4'-بيس (4،3-ثنائي كربوكسيل
isopropylidene dianhydride,	فينوكسي فينيل)- إيزوبروبيليدين
4,4'-Bis(2,3-dicarboxyphenoxy)diphenyl	تائى أنهيدريد 4،4′-بيس (3،2-نتائى كربوكسى
sulfone dianhydride,	فينوكسي) ثنائي فينيل سلفون
4,4'-Bis(3,4-dicarboxyphenoxy)diphenyl	تائى أنهيدريد 4،4′-بيس (4،3-نتائى كربوكسى
sulfone dianhydride,	فينوكسي) ثنائي فينيل سلفون
1,4-Bis-(dichloromethyl)-benzene,	4:1-بيس -(ثنائي كلورو ميثيل)-بنزين
Bis-((4,6-difluorophenyl)-pyridinato-	بيس -((6،4-ثنائي فلورو
N,C-2') (picolinato)Ir(III),	بین ۱٫۰۰۰ – عی حرور فینیل)-بیریدیناتو -۲۰۱۰ (بیکولیناتو III)I۲)
1,5-Bis-(4-(4'-fluorobenzoyl)-phenoxy)-	ا - (4-(4) فاورو بنزويل)- فينوكسي)- ا 5،1- بيس - (4-(4) فاورو بنزويل)- فينوكسي)-
naphthalene,	نفتالين
Bis-(4-fluorophenyl)-sulfide,	يى بيس -(4- فلوروفينيل)- سلفيد
Bis-(4-fluorophenyl)sulfone,	بيس -(4-فلوروفينيل) سلفون
2,6-Bis-(hydroxybutyl) naphthalate,	6.2- بيس -(هيدروكسي بوتيل) نفتالات
4,4'-Bis-(4-hydroxy-3,5-dimethylphenyl)	حمض 4،4'-بيس -(4-هيدروكسي -5،3-نتائي ميثيل
pentanoic acid,	فينيل) بنتانويك
Bis-(4-(2-hydroxyethoxy)benzene)-ether,	بیس -(4-(2- هیدروکسی ایثوکسی)بنزین)- ایبثر
Bis-(4-(2-hydroxyethoxy)benzene)-	بيس -(4-(2- هيدروکسي اپنتوکسي)بنزين)-فلورين
fluorene,	
Bis-(4-(2-hydroxyethoxy)benzene)-sulfone,	بيس -(4-(2- هيدروكسي إيثوكسي)بنزين)-سلفون
2,6-Bis- (hydroxyethoxycarbonyl)naphthalene,	6،2-بيس -(هيدروكسي إيثوكسي كربونيل)نفتالين
2,6-Bis-(hydroxyethyl)arylate,	6.2-بيس -(هيدروكسي إيثيل) آريلات

Bis-(2-hydroxyethyl)-biphenol,	بيس -(2- هيدروكسي إيثيل)-بيفينول
Bis-(2-hydroxyethyl)-bisphenol A,	بيس -(2- هيدروكسي إيثيل)- هيدروكينون
Bis-(2-hydroxyethyl)-bisphenol H,	بيس -(2- هيدروكسي إيثيل)-بيسفينول H
Bis-(2-hydroxyethyl)-hydroquinone,	بيس -(2- هيدروكسي إيثيل)- هيدروكينون
2,6-Bis-(hydroxyethyl) naphthalate,	6،2-بيس -(هيدروكسي إيثيل) نفتالات
Bis-(hydroxymethylcyclohexane)-arylate,	بيس -(هيدروكسي ميثيل حلقي الهكسان)- آريلات
1,1-Bis-(4-hydroxyphenyl)-ethyl-1-phenyl-2,3,5,6-tetrafluoro-4-vinylphenyl ether,	1.1-بيس -(4- هيدروكسي فينيل)- إيثيل -1-فينيل -6،5،3،2-رباعي فلورو -4-ڤينيل فينيل إيثر
9,9-Bis-(4-hydroxyphenyl)-fluorene,	9،9-بيس -(4-هيدروكسي فينيل)-فلورين
2,2-Bis-(4-hydroxyphenyl)-1,1,1,3,3,3-	ربر بين (به ميدروكسي بيين) عورين 2،2-بيس -(4- هيدروكسي
hexafluoropropane,	فينيل)-1،1،1،3،3،3-سداسي فلوروبروبان
Bis-(4-hydroxyphenyl)-hydrazide,	بیس -(4- هیدروکسی فینیل)- هیدرازید
Bis-(4-hydroxyphenyl)-methane,	بيس -(4- هيدروكسي فينيل)-ميثان
1,4-Bis-(4-hydroxyphenyl)-phenylene	-4.1 بيس -(4- هيدروكسي فينيل) -فينيلين ثنائي
dihydrazide,	الهيدر ازيد
1,1-Bis-(4-hydroxyphenyl)-2-phenyl ethane,	1.1-بيس -(4- هيدروكسي فينيل)-2-فينيل إيثان
2,2-Bis-(4-hydroxyphenyl)-propane,	2،2-بيس -(4- هيدروكسي فينيل)-بروبان
Bis-(4-hydroxyphenyl)-sulfone,	بيس -(4- هيدروكسي فينيل)-سلفون
Bis-(4-hydroxyphenyl) sulfone,	بيس -(4- هيدروكسي فينيل)سلفون
N,N'-Bis-(3-methylphenyl)-N,N'-diphenylbenzidine,	N،N'-بیس -(3-میثیل فینیل)-۱۸،۸'-ثنائي فینیل بنزیدین
1,4-Bis-(2-methylstyryl)-benzene,	4،1-بیس -(2-میثیل ستیریل)-بنزین
(1,4-Bis-(1,3,4-oxadiazole)-2,5-di(2-	(4،1-بيس -(4،3،1- أوكساديازول)-5،2- ثنائي (2- إ
ethylhexyloxy)phenylene)-5,5'-diyl,	يثيل هكسيل أوكسي)فينيلين)-5،5′-ثنائي إيل
2,2'-Bis-(l,3-oxazoline),	2،2′-بيس -(3،1- أوكساز ولين)
Bis-(pentafluorophenyl)-sulfide,	بيس-(خماسي فلوروفينيل)-سافيد
Bis-(pentafluorophenyl)-sulfone,	بيس-(خماسي فلور وفينيل)-سلفون
4,4'-Bisphenol S,	4،4′- بیسفینول S
Bisphenol A,	بيسْفينول A
Bisphenol A dianhydride,	ثنائي أنهيدريد بيسقينول A
1,4-Bis(phenoxymethyl)benzene,	4،1-بيس(فينوكسي ميثيل) بنزن

Bis[(phenylmethoxy)methyl]benzene, 2.5-Bis-(2-thienyl-1-cyanovinyl)-1-(2'-ethylhexyloxy)-4-methoxybenzene, Abaut (2.5-Bis-(2-thienyl-1-cyanovinyl)-1-(2'-ethylhexyloxy)-4-methoxybenzene, (2.5-Bis-(2-thienyl-2-cyanovinyl)-1-(2'-ethylhexyloxy)-4-methoxybenzene, 1.4-Bis(trifluoromethyl)benzene, (2.5-Bis(trifluoromethyl)benzene, 2.2-Bis(trifluoromethyl)benzidine, (2.2-Bis(trifluoromethyl)benzidine, Boron trifluoride, (2.2-Bis(trifluoromethyl)benzidine, Bromoanil, (2.2-Bis(trifluoromethyl)benzidine, Bromoanil, (2.2-Bis(trifluoromethyl)benzidine, Bromoanil, (2.2-Bis(trifluoromethyl)benzidine, Bromoanil, (2.2-Bis(trifluoromethyl)benzidine, Bromoanil, (2.2-Bis(trifluoromethyl)benzidine, Bromonal, (2.2-Bis(trifluoromethyl)benzidine, Bromooline, (2.2-Bis(trifluoromethyl)benzidine, Bromooline, (2.2-Bis(trifluoromethyl)benzidine, Bromoodiphenyl ether, (3-Bis(trifluoromethyl)benzidine, Bromoonaphthalenedicarboxylic acid, (3-Bis(trifluoromethyl)benzidine, Bromoon succinimide, (3-Bis(trifluoromethyl)benzidine, Buyl acrylate, (3-Bis(trifluoromethyl)benzidine, Buylacrylate, (3-Bis(trifluoromethyl)benzidin		
وthylhexyloxy)-4_methoxybenzene, الكانة بيون الإستيان التياب التيون الإستيان التيون الإستيان التيون	1,4- Bis[(phenylmethoxy)methyl]benzene,	4،1-بیس[(فینیل میثوکسي) میثیل] بنزن
هکسیل أو کسي) - 4- میثو کسي بنزن - 2.5-Bis-(2-thienyl-2-cyanovinyl)-1-(2'- ولثيل - 2.5-Bis-(2-thienyl-2-cyanovinyl)-1-(2'- ولثيل - 2- سيانو قينيل - 2.6- بيس (2.5- الفينيل - 2.6- بيس (2.5-Bis(trifluoromethyl)benzene, المحسيل أو کسي) - 4- میثو کسي بنزين المائي فلور و میثول) بنزین Bromo trifluoride, Bromoanil, المائيويين المائي		5،2-بيسْ -(2-ثينيل -1-سيانوڤينيل)-1-(2'- إيثيل
2.5-Bis-(2-thienyl-2-cyanovinyl)-1-(2'- ethylhexyloxy)-4-methoxybenzene, ا.4-Bis(trifluoromethyl)benzene, 1.4-Bis(trifluoromethyl)benzene, ا.2-Bis(trifluoromethyl)benzene, 2.2'-Bis(trifluoromethyl)benzidine, 2.2'-Bis(trifluoromethyl)benzidine, Boron trifluoride, Boron trifluoride, Bromoanil, Promobenzaldehyde, 4-Bromo-4',4''- dihydroxytriphenylmethane, 4-Bromo-4',4''- dihydroxytriphenylmethane, 4-Bromoaphthalene, Promonaphthalene, Bromonaphthalene, Bromonaphthalene, Bromos succinimide, Proper in the first of	ethylhexyloxy)-4-methoxybenzene,	*
هكسيل أوكسي)-4-ميثوكسي بنزين 1,4-Bis(trifluoromethyl)benzene, 1.4-Bis(trifluoromethyl)benzene, 2,2'-Bis(trifluoromethyl)benzidine, Boron trifluoride, 2.2'-Bis(trifluoromethyl)benzene, atting decentifluoride, 2.2'-Bis(trifluoromethyl)benzene, boron trifluoride, 2.2'-Bis(trifluoromethyl)benzene, boron trifluoride, 2.2'-Bis(trifluoromethyl)penzene, bromoanil, 2'-Leone dize, yellower 2'-Leone dize, 4-Bromoaphthalene, 2'-Leone dize, 1-Bromonaphthalene, 2'-Leone dize, 1-Seromoaphthalene, 2'-Leone dize, N-Bromo succinimide, 2'-Leone dize, 1,4-Butanediol, 3'-Leone dize, 1,4-Butanediol, 4-Leone dize, 4-Butanediol, 4-Leone dize, 4-Leone dize, 3'-Leone, butylacrylate, 3'-Leone, billylacrylate, 3'-Leone,		, " " "
1.4-Bis(trifluoromethyl)benzene, 2,2'-Bis(trifluoromethyl)benzidine, 2.2'-Bis(trifluoromethyl)benzidine, 2,2'-Bis(trifluoromethyl)benzidine, 2.2'-Bis(trifluoromethyl)benzidine, 2,2'-Bis(trifluoromethyl)benzidine, 2.2'-Bis(trifluoromethyl)benzidine, 2,2'-Bis(trifluoromethyl)penzidine, 2.2 Parmonanil, 4. Bromoanil, 2.4 Bromo-4',4''- dihydroxytriphenylmethane, 4. Bromo-4',4'- dihydroxytriphenylmethane, 4-Bromodiphenyl ether, 2. P. R.	ethylhexyloxy)-4-methoxybenzene,	
2.2'-Bis(trifluoromethyl)benzidine, 2.2'-Bis(trifluoromethyl)benzidine, Boron trifluoride, اللائي فلوريد البورون Bromoanil, پرومو أييل yeqoe أييل الله البرومو بنز ألدهيد 4-Bromo-4',4''- dihydroxytriphenylmethane, ينيل إيش 4-Bromodiphenyl ether, بدرومو شائي فينيل إيش 1-Bromonaphthalene, Bromonaphthalene, Bromonaphthalenedicarboxylic acid, Phyromo succinimide, N-Bromo succinimide, بدرومو سكسين إيميد 1,4-Butanediol, 4-Butanediol, 4-Butany-3-propyl-1-(4'- nitrophenylazo)benzene, butyl acrylate, Butyl acrylate, phyric degize Butyl acrylate, phyric degize Butyl acrylate, phyric degize N-Butyl-N'-(4-azidophenyl)thiourea, phyric degize N-Butyl-N'-(4-azidophenyl)thiourea, phyric degize Butyl benzyl phthalate, degize 4-tert-Butylcatechol, phyric degize 2-Butyl-2-ethyl-1,3-propanediol, propanediol, ric - quity degize de n- quity degize ric - quity degize de n- quity degize ric - puity degize de n- quity degize rid - quity degize <td>1,4-Bis(trifluoromethyl)benzene,</td> <td></td>	1,4-Bis(trifluoromethyl)benzene,	
Boron trifluoride, شار يو البورون برومو أنيل p-Bromobenzaldehyde, پراومو أنيل p-Bromobenzaldehyde, پراومو بنز ألدهيد بال ابرومو بنز ألدهيد 4-Bromo-4',4''- dihydroxytriphenylmethane, ميثان 4-Bromodiphenyl ether, بال المرومو ثقتالين البير المرومو ثقتالين البير المرومو ثقتالين ثقائي كربوكسيليك Bromonaphthalenedicarboxylic acid, Promonaphthalenedicarboxylic acid, N-Bromo succinimide, بال المرومو بقتالين ثقائي كربوكسيليك 1,4-Butanediol, بال المرومو بقيل بالمرومو بقيل الليثيوم أو المرومو بوتيل الليثيوم أو المرومو بالمرومو بوتيل الليثيوم أو المرومو بوتيل الليثيوم أو المرومو بالمرومو بالمروم بالمروم بالمرومو بالمرومو بالمرو	2,2'-Bis(trifluoromethyl)benzidine,	*
Bromoanil, بروموأنيل p-Bromobenzaldehyde, پارا - برومو بنز ألدهيد 4-Bromo-4',4"- dihydroxytriphenylmethane, غينيل 4-Bromo-4',4"- dihydroxytriphenylmethane, پارا - برومو نشائي فينيل ايشر 4-Bromodiphenyl ether, 1-Bromonaphthalene, 1-Bromonaphthalenedicarboxylic acid, Bromonaphthalenedicarboxylic acid, N-Bromo succinimide, 1,4-Butanediol, 1,4-Butanediol, 4-Butoxy-3-propyl-1-(4'- nitrophenylazo)benzene, introphenylazo)benzene, joint - (4-)- ii'\tau e e e e e e e e e e e e e e e e e e e	Boron trifluoride,	*
p-Bromobenzaldehyde, پار ۱-پرومو بنز اًدهيد 4-Bromo-4',4"- dihydroxytriphenylmethane, غينيل المحيوم فينيل المرومو بندا الهرومو فينيل الهرومو سكمبين الهميد N-Bromoaphthalenedicarboxylic acid, N-Bromo succinimide, N-Bromo succinimide, 1,4-Butanediol, 1,4-Butanediol, 4-10-1-1-1-1-1-1-1-1-1-1-1-1-1-1-1-1-1-1	Bromoanil,	
4-Bromo-4',4"- dihydroxytriphenylmethane, diplydroxytriphenylmethane, apulic dihydroxytriphenylmethane, apulic diplydroxytriphenylmethane, apulic diplydroxytriphenylmethane, apulic diplydroxytriphenylmethane, apulic diplydroxytriphenylate, apulic diplydroxytriphenylate, diplydroxytriphenylate, diplydroxytriphenylate, apulic diplydroxytri	p-Bromobenzaldehyde,	
الميثان عند الله الله الله الله الله الله الله الل	4-Bromo-4',4"-	<u> </u>
4-Bromodiphenyl ether, 1-Brogon apitul فينيل إيثر 1-Bromonaphthalene, 1-Repeace asily in the property of the	dihydroxytriphenylmethane,	
1-Bromonaphthalene, ا-برومو نفتالين Bromonaphthalenedicarboxylic acid, A-proper capture N-Bromo succinimide, 1,4-Putanediol, 1,4-Butanediol, 1,4-Butanediol, 4-Butoxy-3-propyl-1-(4'-nitrophenylazo)benzene, 4-prophenylazo)benzene, Butyl acrylate, bitylacrylate, hautylacrylate, hautylacrylate, hautylacrylate, hautylacrylate, tert-Butyl alcohol, hautyl-N'-(4-azidophenyl)thiourea, N-Butyl-N'-(4-azidophenyl)thiourea, hautyl-N'-(4-bitylediphthalate, 4-tert-Butyl benzyl phthalate, 4-tert-Butylcatechol, 2-Butyl-2-ethyl-1,3-propanediol, hautylacrylacylacylacylacylacylacylacylacylacylac	4-Bromodiphenyl ether,	
Bromonaphthalenedicarboxylic acid, حمض برومو نفتالين ثنائي كربوكسيليك N-Bromo succinimide, ا	1-Bromonaphthalene,	. #
N-Bromo succinimide, 1,4-Retanediol, 1,4-Butanediol, 1,4-Butanediol, 4-1-4-1 4-1 <td< td=""><td>Bromonaphthalenedicarboxylic acid,</td><td></td></td<>	Bromonaphthalenedicarboxylic acid,	
1,4-Butanediol, ط-Butoxy-3-propyl-1-(4'- nitrophenylazo)benzene, آزو) بنزن Butyl acrylate, اکریلات البوتیل المی المی المی المی المی المی المی ال	N-Bromo succinimide,	
4-Butoxy-3-propyl-1-(4'- nitrophenylazo)benzene, الرو) بنزن النزو) بنزن العلام المحالفة الم	1,4-Butanediol,	·
n-Butylacrylate, الا الموتيل المريلات البوتيل أكريلات البوتيل أكريلات البوتيل أكريلات البوتيل أكريلات البوتيل أكريلات البوتيل أكريلات الموتيل أكريلات نظامي البوتيل أكريلات نظامي البوتيل أكريلات نظامي البوتيل أكريلات نظامي البوتيل أكريلات نظامي بوتيل ثالثي الله في الموتيل الله في الموتيل الله في الموتيل الله في الله في الله الله في الله الله في الله الله في الله الله الله الله الله الله الله الل	4-Butoxy-3-propyl-1-(4'-	
Butyl acrylate, n-Butylacrylate, tert-Butyl alcohol, N-Butyl-N'-(4-azidophenyl)thiourea, Butyl benzyl phthalate, 4-tert-Butylcatechol, 2-Butyl-2-ethyl-1,3-propanediol, тет-Butylhydroquinone, n-Butyllithium, n-Butyl methacrylate, tert-Butylcatechol, 2-Butyl-2-ethyl-1,3-propanediol, тет-витурногоровой образования обра	nitrophenylazo)benzene,	#
n-Butylacrylate, tert-Butyl alcohol, N-Butyl-N'-(4-azidophenyl)thiourea, Butyl benzyl phthalate, فقالات البوتيل والبنزيل بوتيل بنزيل فقالات 4-tert-Butylcatechol, 2-Butyl-2-ethyl-1,3-propanediol, ترت-بوتيل هيدروكينون n-Butylhydroquinone, n-Butyl methacrylate, pagint for a pagint with the pagint for a pagint with the pagint of	Butyl acrylate,	
tert-Butyl alcohol, N-Butyl-N '-(4-azidophenyl)thiourea, Butyl benzyl phthalate, البوتيل والبنزيل بوتيل بنزيل فتالات وقالات البوتيل والبنزيل بوتيل بنزيل فتالات البوتيل والبنزيل بوتيل كاتيكول 4-tert-Butylcatechol, 2-Butyl-2-ethyl-1,3-propanediol, ترت-بوتيل هيدروكينون n-Butylhydroquinone, n-Butyllithium, n-Butyl methacrylate, tert-Butyl oxide, tert-Butyl oxide, tert-Butyl oxide,	n-Butylacrylate,	
N-Butyl-N '-(4-azidophenyl)thiourea, الهون يوريا الله الله الله الله الله الله الله ال	tert-Butyl alcohol,	*
Butyl benzyl phthalate, قتالات البوتيل والبنزيل والبنزيل وتيل بنزيل فتالات 4-tert-Butylcatechol, 4-tert-Butylcatechol, 2-Butyl-2-ethyl-1,3-propanediol, 3،1- وتيل عاتيكول 2-remain - 2- ايشيل -3،1- بروبان ديول 3،1- بروبان ديول 1-Butylhydroquinone, اقو	•	#
4-tert-Butylcatechol, 4-tert-Butylcatechol, 2-Butyl-2-ethyl-1,3-propanediol, 3-1-2-2-2-2-2-1-3-1-3-1-2-1-2-1-2-1-2-1-		
2-Butyl-2-ethyl-1,3-propanediol, وبوتيل -2- إيثيل -3،1- بروبان ديول 2- الوتيل -2- الوتيل -3،1- بروبان ديول الالتلاء عندال العالمي المستور كينون العالمي الله المستور العالمي الله المستور العالمي الله المستور العالمي الله المستور العالمي المستوريلات المستوريلات المستوريلات المستوريلات المستوريلات المستوريلات المستوريلات المستوريلات المستوريلات المستوريل ا		
tert-Butylhydroquinone, ترت-بوتيل هيدروكينون n-Butyllithium, أو n-بوتيل الليثيوم أو n-بوتيل الليثيوم أو n-بوتيل الليثيوم ميتاكريلات n-بوتيل العثير المتعاديلات المتعاديلات المتعاديلات المتعاديل المتعاديلات المتعاديل	·	
n-Butyllithium, أو n-بوتيل الليثيوم أو n-بوتيل الليثيوم ما أو n-Butyllithium, ميتاكريلات n-بوتيل الليثيوم أو n-بوتيل الليثيوم أو المسيد ترت—بوتيل أوكسيد ترت—بوتيل		
n-Butyl methacrylate, میتاکریلات n-بوتیل netri-Butyl oxide, و netri-Butyl oxide,		
tert-Butyl oxide, أوكسيد ترت-بوتيل	·	# T
ر المنظية عرب بوليق	· · · · · · · · · · · · · · · · · · ·	میتاکریلات n-بوتیل
4-tert-Butylphenol.	*	أوكسيد ترت–بوتيل
4-نرت -بونين فيتون	4-tert-Butylphenol,	4-ترت -بوتيل فينول

2-tert-Butylphenyl-5-biphenyl-1,3,4-	2- تر ت - بو تیل فینیل -5- بیفینیل -4،3،1-
oxadiazole	أوكسادياز ول - أوكسادياز ول
2-(4-tert-Butylphenyl)-5-4-[(4-	2-(4-ترت -بوتيل فينيل)-5-4-[(4-ڤينيل
vinylphenyl)methoxy]phenyl-1,3,4-oxadiazole,	فينيلُ)مَيثوكسي]فينيل -4،3،1- أُوكساديازول
Cadmium octoate,	أوكتوات الكادميوم
Cadmium selenide,	سسانيد الكادميوم
Calcium metasilicate,	ميتاً سيليكات الكالسيوم
Calcium oxide,	أوكسيد الكالسيوم
Calcium terephthalate,	ترفْتالات الكالسيوم
ε-Caprolactam,	$\hat{ar{arepsilon}}$ كابر و لاكتام-
2-(Carbazol-9-yl)ethyl methacrylate,	2-(كاربازول -9-إيل) إيثيل ميتاكريلات
6-(Carbazol-9-yl)hexyl methacrylate,	6-(كاربازول -9- إيل) هكسيل ميتاكريلات
1-(3-Carbomethoxyacryloyl)-5-amino-	1-(3-كاربوميثوكسي أكريلويل)-5- أمينو
1,2,4-triazole,	-4،2،1- تريازول
2-Carboxyl-6-	2-كربوكسيل -6- هيدروكسي إيثوكسي كربونيل
hydroxyethoxycarbonylnaphthalene,	نفتالين
4-Carboxyl[2.2]paracyclophane,	4-كربوكسيل [2.2]پارا سيكلوفان
2-(4-Carboxyphenyl)-1,3-	حمض 2-(4-كربوكسي فينيل)-3،1-ثنائي
dioxoisoindoline-5-carboxylic acid,	أوكسو إيزو إندو لين -5-كربوكسيليك
Cellulose triacetate,	ثلاثي أستات السللوز
Chloroanil,	كلور و أنيل
Chlorobenzene,	كلوروبنزين
4-Chlorobenzenesulfinate,	4-كلوروبنزين سلفينات
Chlorobenzenesulfonic acid,	حمض كلوروبنزين السلفوني
4-Chlorobenzenesulfonyl chloride,	4-كلوروبنزين سلفونيل كلوريد
3-Chloro-2,6-difluorobenzonitrile,	3-كلورو -6،2-ثنائي فلوروبنزوننريل
2-Chloroethyl ether,	2-كلورو ايثيل ايثر
2-Chloroethyl vinyl ether,	إيثر 2-كلورو اپثيل ڤينيل
2-Chloro-6-fluorobenzonitrile,	2-كلورو -6-فلوروبنزوننزيل
1-Chloronaphthalene,	1-كلورونفتالين
p-Chloronitrobenzene,	p-کلورونیتروبنزین
p-Chlorophenol,	p-كلوروفينول

2-Chloro-p-phenylenediamine,	2-كلورو -p-فينيلين ثنائي أمين
Chlorophenylsulfonyl phenoxide,	كلورو فينيل سلفونيل فينوكسيد
Chlorophthalic anhydride,	أنهيدريد كلوروفتاليك
Chlorophyll,	كلوروفيل
Chlorosulfonic acid,	حمض الكلوروسُلفونيك
2-Chloroterephthaloyl chloride,	کلورید 2-کلوروترفتالوی <i>ل</i>
Chlorotrimethylsilane,	كلورو ثلاثى ميثيلَ سيلان
Chloro-p-xylylene,	کلور و -p-کزیلیلین
Cholesteryl benzoate,	بنزوات الكولستريل
Chrome oxide,	أوكسيد الكروم
Citraconic anhydride,	أنهيدريد السيتراكونيك
Citric acid,	حمض الليمون–حمض السيتريك
Cobalt acetate,	خلات الكوبالت- أستات الكوبالت
Copper bromide,	بروميد النحاس
Copper 4-bromobenzenethiolate,	4-برومو بنزين ثيولات النحاس
Copper chloride,	كلوريد النحاس
Copper iodide,	يوديد النحاس
Coronene,	<i>کورونین</i>
Coumarin,	<u>کومارین</u>
m-Cresol,	ميتا -كريزول
o-Cresol,	أورثو -كريزول
Cumene,	کو م <i>ین</i>
p-Cyanobenzoyl chloride,	کلورید p-سیانوبنزویل
5-Cyanoisophthaloyl chloride,	كلوريد 5-سيانو إيزو فتالويل
1,4-Cyclohexanediamine,	4،1- حلقي هكسان ثنائي الأمين
1,4-Cyclohexanedimethanol,	4،1-حلقي هكسان ثنائي ميثانول
Cyclohexanone,	حلقي الهكسانون
Cyclohexene oxide,	أوكسيد حلقي الهكسين
Decafluorodiphenyl ketone,	عشري فلورو ثنائي فينيل كيتون
Decamethylenediamine,	عشاري ميثيلين ثنائي أمين
Deoxyribonucleic acid,	حمض ريبي منقوص الأوكسجين
1,4-Diacetoxybenzene,	4،1- ثنائي أستوكسي بنزين

R.R. Diagotyl A. mothovyystyman	β،β- ثنائي أسيتيل -4- ميثوكسي ستيرين
β,β-Diacetyl-4-methoxystyrene,	,
p-Diaminobenzene,	بارا - ثنائي أمين البنزن
3,5-Diaminobenzoic acid,	حمض 5،3-ثنائي أمينو بنزويك
4,4'-Diaminodicyclohexylmethane,	4،4′- ثنائي أمينو ثنائي حلقي هكسيل ميثان
2,2-(4,4'-Diaminodicyclohexyl)propane,	2،2-(4،4′-ثنائي أمينو ثنائي حلقي هكسيل)بروبان
4,4'-Diamino-3,3'-	4،4′- نتائى أمينو -3،3′- نتائى ميثيل نتائى فينيل
dimethyldiphenylmethane,	۔ ۔ ۔ ۔ ۔ ۔ ۔ ۔ ۔ ۔ ۔ ۔ ۔ ۔ ۔ ۔ ۔ ۔ ۔
1,8-Diamino-3,6-dioxaoctane,	8.1- نتائى أمينو -6.3- نتائى أوكسا أوكتان
3,4'-Diaminodiphenyl ether,	۔ إيثر 4،3/- ثنائي أمينو ثنائي فينيل
4,4'-Diaminodiphenyl ether,	ایش 4،4′- ثنائی أمینو ثنائی فینیل
4,4'-Diaminodiphenylmethane,	4،4- ثنائي أمينو ثنائي فينيل ميثان
2,4-Diamino-4'-fluoroazobenzene,	4،2-ثنائي أمينو -4′-فلورو آزو بنزين
4,4'-Diamino-4'-methoxytriphenylamine,	4،4′- ثنائي أمينو -4′- ميثوكسي ثلاثي فينيل أمين
2,4-Diamino-4'-methylazobenzene,	4.2-نتائى أمينو -4'-ميثيل آزو بنزين
2,4-Diamino-4'-nitroazobenzene,	4·2-ثنائى أمينو -4/-نترو آزو بنزين
2,4-Diamino-4'-(4-nitrophenyl-	4·2- ثنائي أمينو -4'-(4-نترو فينيل ديازنيل)
diazenyl)azobenzene,	آز وبنزین
2,6-Diaminopyridine,	6.2- ثنائي أمينو بيريدين
3,5-Diamino-1,2,4-triazole,	5.3-نتائى أمينو -4.2.1-تريازول
2,4-Diamino-4'-	4·2-ثنائي أمينو -4'-ثلاثي فلوروميثوكسي آزو
trifluoromethoxyazobenzene,	پ دود د پ وود پر پ وود پر پ
Dibenzoylperoxide,	ثنائي بنزويل بيروكسيد
4,4'-Dibromobiphenyl,	
1,2-Dibromoethene,	2·1- ثنائي برومو إثين
α',α'-Dibromo-α,α,α,α'-tetrafluoro-p-	α٬۰α تنائی برومو -۵٬۰۵۰، ۵-رباعی
xylene,	ت فلورو -p-کزیلین
α,α-Dibromo-p-xylene,	α·α-ثنائي برومو -p-كزيلين
2,6-Di-tert-butyl phenol,	6.2- ثنائى - ترت -بوتيل فينول
N,N-Di(4-tert-butylphenyl)-4-(2-pyridyl)	N،N- ثنائی (4- ترت -بوتیل
phenylamine,	- فینیل)-4-(2-بیریدیل) فینیل أمین
Dibutyltindilaurate,	ثنائي بوتيل قصدير ثنائي لورات

N,N '-Di(carbazol-3-yl)-N,N '-diphenyl-	N،N'- نتائي (كاربازول -3- إيل)-N،N'- نتائي
1,4-phenylenediamine,	الفينيل -4،1- فينيلين ثنائي الأمين
1,2-Dichlorobenzene,	2،1-ثنائي كلورو بنزين
o-Dichlorobenzene	o-ثنائي کلورو بنزين
p-Dichlorobenzene,	p-ثنائي كلورو بنزين
2,6-Dichlorobenzonitrile,	6،2- ثنائي كلورو بنزونتريل
4,4'-Dichlorobenzophenone,	4،4′- ثنائي كلورو بنزوفينون
4,4'-Dichlorodiphenyl sulfone,	4،4′-ثنائي كلورو ثنائي فينيل سلفون
1,2-Dichloroethane,	2،1-ثنائي كلورو الإيثان
3,5-Dichloro-4-(4-methoxyphenyl)-4H-	5،3- ثنائي كلورو -4-(4-ميثوكسي
1,2,4-triazole,	فينيل)-4،2،1-4H-تريازول
1,9-Dichloro[2.2]paracyclophane,	9،1-ئتائي كلورو -[2.2]پارا سيكلوفان
Dichloro-p-xylylene,	ثنائي كلورو -p-كزيليلين
Dicumyl peroxide,	ثنائي كوميل بيروكسيد
2-Dicyanomethylene-3-cyano-2,5-dihydrofuran,	2-ثنائي سيانو ميثيلين -3-سيانو -5،2-ثنائي
diffydrofuraii,	هيدروفور ان
4-(Dicyanomethylene)-2-methyl-6-(4-dimethylamino-styryl)-4H-pyran,	4-(ثنائي سيانو ميثيلين)-2-ميثيل -6-(4-(ثنائي
difficulty familio-styly 1)-411-pyrani,	میثیل أمینو - ستیریل)-4H-بیران
4-(Dicyanovinyl-N,N-diethylaniline),	4-(ثنائي سيانو ڤينيل -N،N-ثنائي إيثيل أنيلين)
9,9'-Didodecylfluorene-2,7-diyl,	9،9′-ثنائي دوديسيل فلورين -7،2-ثنائي إيل
	9،9-ثنائي دوديسيل فلورين -7،2-ثنائي إيل
1,4-(N,N '-Diethylamino)anthraquinone,	N·N)-4·1 [يثيل أمينو)أنثر اكينون
Diethylaminodicyanostyrene,	ثنائي إيثيل أمينو ثنائي سيانو ستيرين
4-Diethylaminoethyl benzoate,	4-ثنائي إيثيل أمينو إيثيل بنزوات
Diethylene glycol,	ثنائي إيثيلين غليكول
Diethylfumarate,	ثنائي إيثيل فومارات
2,2-Diethyl-1,3-propanediol,	2،2- ثنائي اپيثيل -3،1-بروبان ديول
2,6-Difluorobenzonitrile,	6،2-ثنائي فلورو بنزونتريل
4,4'-Difluorobenzophenone,	4،4′-ثنائي فلورو بنزو فينون
4,4'-Difluorodiphenyl ketone,	4،4′-ثنائي فلوروثنائي فينيل كيتون
4,4'-Difluorodiphenyl sulfone,	4،4′-ثنائي فلوروثنائي فينيل سُلفون
2,7-Difluoro-9,10-dithiaanthracene,	7،2- ثنائي فلورو -10،9- ثنائي ثيا أنتراسين

0.5 D:0 411 1 1:1 1 16	T
3,5-Difluoro-4'-hydroxydiphenyl sulfone,	5،3-ثنائي فلورو -4′- هيدروكسي ثنائي فينيل
	سلفون
3,5-Difluorophenylmagnesium bromide,	5:3-ثنائي فلوروفينيل بروميد المغنزيوم
2,7-Difluorothianthrene,	7،2-ئتائي فلوروثيان ثرين
4,4'-Diflurobiphenyl,	4،4′-ثنائي فلوروبيفينيل
Dihexamethylenetriamine,	ثنائي سداسي ميثيلين ثلاثي أمين
9,9-Dihexylfluorene-2,7-divinylene-m-	9،9′-ئتائي هكسيل فلورين -7،2-ئتائي
phenylene vinylene,	فينيلين - ميتا - فينيلين فينيلين
o-Dihydroxybenzene,	O-ثنائي هيدروكسي بنزي <i>ن</i>
2,5-Dihydroxybenzoic acid,	حمض 5،2-ثنائي هيدروكسي البنزويك
4,4'-Dihydroxybenzophenone,	4،4′-ثنائي هيدروكسي بنزو فينون
4,4-Dihydroxydiethoxydiphenyl sulfone,	4،4′-ثنائي هيدروكسي ثنائي إيثوكسي ثنائي فينيل
	سلفون
2,4-Dihydroxydiphenyl sulfone,	4،2-ثنائي هيدروكسي ثنائي فينيل سلفون
4,4'-Dihydroxydiphenyl sulfone,	4،4′-ثنائي هيدروكسي ثنائي فينيل سلفون
2,6-Dihydroxynaphthalene,	6،2-ثنائي هيدروكسي نفتالين
2,7-Dihydroxynaphthalene,	7،2-ئتائي هيدروكسي نفتالين
2-(2,4-Dihydroxyphenyl)-2H-	2 - (4،2-ثنائي هيدروكسي
benzotriazole,	فينيل)-2H-بنزوتريازول
1,6-Di(3-hydroxyphenyl)-1,6-	6.1-ثنائي (3-هيدروكسي فينيل)-6.1-دياز ا سبيرو
diazaspiro[4.4]nonane-2,7-dione,	[4.4]نونان -7،2-ديون
1,6-Di(4-hydroxyphenyl)-1,6-	6.1-ثنائي (4-هيدروكسي فينيل)-6.1-دياز ا سبيرو
diazaspiro[4.4]nonane-2,7-dione,	[4.4]نونان -7،2-ديون
2-(2,4-Dihydroxyphenyl)-1,3-2H-dibenzotriazole,	2 - (4،2- ثنائي هيدروكسي فينيل)-3،1-2H- ثنائي
dibenzourazoie,	بنزوتريازول
p-Diiodobenzene,	p-ثنائي يودوبنزين
p,p'-Diiododiphenyl sulfone,	ρ،p′- ثنائي فينيل سلفون
Diisocyanatodiphenyl methane,	ثنائي إيزوسياناتو ثنائي فينيل ميثان
Diisopropylamine,	- نتائى إيزوبروبيل أمين
Diisopropyl azodicarboxylate,	ثنائي إيزوبروبيل آزو ثنائي كربوكسيلات
m-Diisopropylbenzene,	
3,3'-Dimethoxybenzidine,	3،3′- تنائى مىثوكسى بنزيدىن
	ਾਂ ਜ ਾਂ ਜ

4-Di(2-methoxyethyl) aminobenzylidene	4-ثنائي (2-ميثو كسي - إيثيل) أمينو بنز يليدين
malononitrile,	4-ساني (2-ميبوحسي - پيين) ميبو ببريسين مالونونتريل
2,2-Dimethoxy-2-phenylacetophenone,	مانو توثنرين 2٠2- ثنائي ميثوكسي -2- فينيل أستو فنون
Dimethylacetamide	ثنائى مىثىل أسيتاميد
Dimethylacetonitrile,	تائی میثیل أسیتو نتریل
Dimethylacrylamide,	تائى مىثىل أكريل أميد
4-Dimethylaminopyridine,	4-ثنائي ميثيل أمينو پيريدين
3,3'-Dimethyl-l,1'-binaphthalene,	
2,2'-Dimethyl-4,4'-bis(4-aminophenoxy)biphenyl,	2،2′- ثنائي ميثيل -4،4′-بيس (4- أمينو فينوكسي)
4-Dimethylbutylamine,	بيفينيل 4-نتائى ميثيل بوتيل أمين
N,N-Dimethylcarbamyl chloride,	۲- های هیین بولین امین ۱۸۰۸- ثنائی میثیل کاربامیل کلورید
Dimethylchlorosilane,	ثنائى ميثيل كلوروسيلان
3,3'-Dimethyl-4,4'-	3،3 - ثنائى ميثيل -4،4 - ثنائى أمينو ثنائى حلقى
diaminodicyclohexylmethane,	هكسيل ميثان
2,5-Dimethyl-2,5-di(tert-butylperoxy)-3-	5،2- ثنائى ميثيل -5،2- ثنائى(ترت-بوتيل
butane,	بيروكسي) -3-بوتان
2,9-Dimethyl-4,7-diphenyl-1,10-	
phenanthroline,	فینیل -10۰1-فنانتر ولین
N,N-Dimethylformamide,	N،N-ثنائي ميثيل فورماميد
4,4-Dimethyl-1,7-heptanediamine,	4،4- ثنائي ميثيل -7،1- هبتان ثنائي أمين
2,6-Dimethyl-4-heptanone oxime,	6،2- ثنائي ميثيل -4- هبنانون أوكسيم
1,3-Dimethylimidazolidinone,	3،1-ئنائي ميثيل إيميداز وليدينون
Dimethyl isophthalate,	ثنائي ميثيل اپزوفتالات
2,3-Dimethylmaleic anhydride,	أنهيدريد 3،2- ثنائي ميثيل مالييك
2,6-Dimethyl naphthalate,	5،2- ثنائي ميثيل نفتالين
Dimethyl-2,6-naphthalene dicarboxylate,	ثنائي ميثيل -6،2-نفتالين ثنائي كربوكسيلات
2,5-Dimethyl-4-(p- nitrophenylazo)anisole,	5،2-ثنائي ميثيل -4-(بارا -ننزو فينيل آزو)أنيسول
2,5-Dimethyl-4-(4'-nitrophenylazo)phenyl benzyl ether,	5،2-ثنائي ميثيل -4-(4'-ننرو فينيل آزو) فينيل
	بنزیل ایثر
2,5-Dimethyl-4-(4'- nitrophenylazo)phenyl octyl ether,	5،2-ثنائي ميثيل -4-(4'-نترو فينيل آزو) فينيل
	أوكتيل إيثر

2,4-Dimethyl-3-pentanone oxime,	a financia de la compansión de la compan
	4،2- ثنائي ميثيل -3- بنتانون أوكسيم
2,6-Dimethylphenol,	6،2-ثنائي ميثيل فينول
Dimethyl phthalate,	ثنائي ميثيل فتالات
2,2-Dimethyl-1,3-propanediol,	2،2- ثنائي ميثيل -3،1- بروبان ديول
2-(5,5-Dimethyl-3-styryl-cyclohex-2-	2-(5،5-ثنائي ميثيل -3-ستيريل -حلقي هكس -2-
enylidene)-malononitrile,	إنيليدين)- مالو نو نتريل
Dimethyl sulfoxide,	سلفوكسيد ثنائي ميثيل
Dimethyl terephthalate,	- ترفتالات ثنائي ميثيل
3,5-Dimethyl-1,2,4-triazole,	3،5- ثنائي ميثيل -4،2،1- تريازول
3,6-Dimethyl-9-vinylcarbazole,	6،3-ثنائي الميثيل -9-ڤينيل كاربازول
3,6-Dinitro-9-vinylcarbazole,	6·3- ثنائي نترو -9- ڤينيل كاربازول
9,9-Dioctylfluorene,	9،9- ثنائي أوكنيل فلورين
1,6-Dioxaspiro[4.4]nonane-2,7-dione,	6،1-ثنائي أوكساسبيرو [4.4]نونان -7،2-ديون
1,4-Diphenoxybenzene,	4،1-ثنائي فينوكسي بنزين
2,6-Diphenoxybenzonitrile,	6،2-ثنائي فينوكسي بنزونتريل
4,4'-Diphenoxybenzophenone,	4،4′-ثنائي فينوكسي بنزوفينون
N,N '-(4,4'-Diphenyleneethylene)bis(4-	٬4،4)-/ ۱،۳ فينيلن ايثيلين)بيس (4-فينيل
phenylethynylphthalimide),	إيثينيل فتال إيميد)
4,4'-Diphenyl ether dicarboxylic acid,	حمض 4،4′- ثنائي فينيل إيثر ثنائي كربوكسيليك
9,10-Diphenylethynylanthracene,	10،9-ثنائي فينيل إثينيل أنتر اسين
N,N-Diphenylformamide,	N،N-ثنائي فينيل فورم أميد
Diphenylguanidine,	ثنائي فينيل غوانيدين
Diphenyl methyl phosphate,	فوسفات ثنائي الفينيل والميثيل
2,6-Diphenylphenol,	6.2- ثنائي فينيل فينول
N,N '-Diphenyl-1,4-phenylenediamine,	N،N′- ثنائي فينيل -4،1- فينيلين ثنائي أمين
2,2-Diphenyl-1-picryl-hydrazyl,	2،2- ثنائي فينيل -1-بيكريل - هيدر ازيل
N,N-Diphenyl-7-(2-(4-pyridinyl)-	N،N- ثنائي
ethenyl)-9,9-di-n-decyl-9H-fluorene-2- amine,	فينيل -7-(2-(4-بيريدينيل)- إيثينيل -9،9-
	ثنائي - نظامي - ديسيل -9H- فلورين -2- أمين
4,4'-Diphenyl sulfone,	4،4- ثنائي فينيل سلفون
3,6-Diphenyl-vinylcarbazole,	6،3- ثنائي فينيل - ڤينيل كاربازول

4,7-Diselenophen-2'-yl-2,1,3-benzoselenadiazole,	7،4-ثنائي سيلينوفِن -2′- إيل -3،1،2-بنزوسيلينا
	ديازول
4,7-Diselenophen-2'-yl-2,1,3-benzothiadiazole,	7،4-ثنائي سيلينوفِن -2′- إيل -3،1،2-بنزو ثياديازول
Disperse Red 1,	المُشتَّت الأحمر 1 (حامل لوني)
3,3'-Disulfonate-4,4'-dichlorodiphenyl sulfone,	3،3′- ثنائي سلفونات -4،4′- ثنائي كلورو ثنائي فينيل
4,7-Di-2-thienyl-2,1,3-benzothiadiazole,	سلفون ۲۰۰۰ مناه ۲۰۰۵ مناه داد د
Dodeca-fluoro[2.2]paracyclophane,	7.4- ثنائي -2- ثينيل -3.1،2- بنزو ثياديازول
	اثناعشري فلورو [2.2]پارا سيكوفان
Durene,	ديورين
Dysprosium fulleride,	داي سبروزيوم فولريد
Enantholactam,	إينانثو لاكتام – هيبتو لاكتام
Epibromohydrin,	إبيبر ومو هيدرين
Epichlorohydrin,	إبيكلورو هيدرين
9-(2,3-Epoxypropyl)carbazole,	9-(3،2- إبوكسي بروبيل)كاربازول
Ethyl acetate,	أستات الإيثيل
Ethyl-2-bromo-2-methylpropionate,	إيثيل -2-برومو -2-ميثيل بروبيونات
N-Ethylcarbazole,	N- ایثیل کاربازول
9-Ethyl-3-carbazolecarboxaldehyde,	9- إيثيل -3-كاربازول -كربوكس ألدهيد
<i>N</i> -Ethylcarbazole-3,6-dicarboxylic acid,	حمض N- إيثيل كاربازول -6،3-ثنائي كربوكسيليك
Ethylene carbonate,	كربونات الإيثيلين
Ethylene chlorohydrin,	كلوروهيدرين الإيثيلين– إيثيلين كلوروهيدرين
Ethylenediamine tetraacetic acid,	الإيثيلين ثنائي الأمين رباعي حمض الخل
Ethylene dibenzoate,	ثنائي بنزوات الإيثيلين
Ethylene dinaphthoate,	ثنائي نفتاوات الإيثيلين
Ethylene glycol,	إيثيلين غليكول
Ethylene glycol mono methyl ether,	إيثيلين غليكول وحيد ميثيل إيثر
Ethylene propylene diene monomer,	مونومير ايثيلين بروبيلين ديين
1-(2-Ethylhexyloxy)-2,5-dimethyl-4-(4-	1-(2- إيثيل هكسيل أوكسي)-5،2-ثنائي ميثيل
nitrophenylazo)benzene,	-4-(4-نترو فينيل آزو)بنزن
1-(2'-Ethylhexyloxy)-2,5-dimethyl-4-(4'-nitrophenylazo)benzene,	1-(2'- إيثيل هكسيل أوكسي)-5،2- ثنائي
muophenyiazo/oenzene,	میثیل -4-(4′-نترو فینیل آزو)بنزن

Ethyl mercaptan,	ایثیل میر کابتان
Ethyl methacrylate,	إيثيل ميتاكريلات-ميتاكريلات الإيثيل
4-Ethyl[2.2]paracylophane,	4- إيثيل [2.2] بار ا سيلوفان
2-Ethyltetramethylenediamine,	2- إيثيل رباعي ميثيلين ثنائي أمين
N-Ethyl-3-vinylcarbazole,	 N- ایثیل -3- ڤینیل کاربازول
Ethynylaniline,	إيثينيل الأنيلين
3-Ethynylphenol,	3- ایثینیل فینول
9-Fluorenone,	9-فلورينون
4-Fluorobenzenesulfinate,	4-فلورو بنزين سافينات
2-Fluorobenzonitrile,	2-فلورو بنزونتريل
4-Fluoro-4-hydroxydiphenyl sulfone,	4-فلورو -4′- هيدروكسي ثنائي فينيل سلفون
5-[(4-Fluorophenyl)sulfonyl]-2-fluorobenzoic acid,	حمض 5-[(4-فلوروفينيل)سلفونيل]-2-فلورو
nuorobenzoic acid,	بنزويك
(Fluorophenyl)(trifluorophenyl) sulfone,	(فلورو فينيل)-(ثلاثي فلورو فينيل)سلفون
2-Formyl-6-naphthoic acid,	حمض 2-فورميل -6-نفتاويك
Fumaric acid,	حمض الفوماريك
Fumaroyl chloride,	كلوريد الفومارويل
Germanium oxide,	أوكسيد الجرمانيوم
Glycidyl acrylate,	أكريلات الغليسيديل غليسيديل أكريلات
N-Glycidylcarbazole,	N- غلیسیدیل کاربازول
Glycidyl methacrylate,	ميتاكريلات الغليسيديل
γ -Glycidylpropylmethoxysilane,	γ- غلیسیدیل بروبیل میثوکسی سیلان
Glycidyl tosylate,	توسيلات الغليسيديل
Heteropolyacid,	الحموض المتعددة المغايرة
1-Hexadecylamine,	1- هكسادسيل أمين
2-Hexadecyloxy-5-methoxybenzene- 1,4bis-(4-dimethylaminophenylene	2- هكساديسيل أوكسي -5- ميثوكسي
vinylene),	بنزين -4،1-بيس -(4-ثنائي ميثيل أمينو فينيلين
	فینیلین)
1,5-Hexadiene,	5،1- هكسادين
4,4'-(Hexafluoroisopropylidene)diphenol,	4،4'-(سداسي فلورو إيزوبروبيليدين) ثنائي فينول
4,4'-(Hexafluoroisopropylidene)-diphenyl,	4،4'-(سداسي فلورواپيزوبروبيليدين) ثنائي فينيل

4,4'-Hexafluoroisopropylidene diphthalic	4.1158
dianhydride,	4.4-سداسي فلورو إيزوبروبيليدين ثنائي فتاليك
Hexahydroxytriphenylene,	ثنائي أنهيدريد
N,N '-Hexamethylenebis(3,5-di-tert-	سداسي هيدروكسي ثلاثي فينيلين
butyl-4-hydroxyhydrocinnamide),	/N،N-سداسي ميثيلين
	بيس (5،3-نتائي -ترت -بوتيل -4- هيدروكسي
H d l l'	هيدروسيناميد
Hexamethylenediamine,	سداسي ميثيلين ثنائي الأمين
Hexamethylphosphoramide,	سداسي ميثيل فوسفور أميد
1,6-Hexane diisocyanate,	6.1- هكسان ثنائي إيزوسيانات
m-Hexaphenyl ether,	m- هکزا فینیل اپیر
4-(4-(Hexyloxy)phenyl)-3,5-diphenyl-4H-1,2,4-triazole,	4-(4-(هكسيل أوكسي)فينيل)-5،3- ثنائي
4n-1,2,4-u1azoie,	فینیل)-4،2،1-4H- تریازول
High impact poly(styrene),	بولي (ستيرين) عالي المقاومة للصدم
R-Hirudin,	R- هیر و دین
Hydrazine	هیدر ازین
Hydrazine sulfate,	كبريتات الهيدر ازين - سلفات الهيدر ازين
Hydrogen fluoride,	فلوريد الهيدروجين
Hydrogen sulfide,	سلفيد الهيدروجين- كبريتيد الهيدروجين
6-Hydroperoxy-6-hexanelactam,	6- هيدروبروكسي -6- هكسان لاكتام
Hydroquinone,	هيدر وكينون
2-(2-Hydroxy-7-acryloyloxynaphthyl)-	2-(2- هيدروكسي -7- أكريلويل أوكسي
2H-benzotriazole,	نفتالیل)-2H-بنزوتریازول
2-[2-Hydroxy-4-alkoxy-(2-oxypropyl methacrylate)phenyl]2H-4-	2-[2- هيدروكسي -4- ألكوكسي -(2- أوكسي بروبيل
methoxybenzotriazole,	ميتاكريلات)فينيل]2H-4-ميثوكسي بنزوتريازول
Hydroxyapatite,	هیدروکسی آباتیت
p-Hydroxy benzaldehyde,	پار ا - هيدروکسي بنز ألدهيد
4-Hydroxybenzoic acid,	حمض 4- هيدروكسي بنزويك
3-Hydroxy-1,2,3-benzotriazin-4-one,	3- هيدروكسي -3،2،1- بنزوتريازين -4- أون
1-Hydroxybenzotriazole,	1- هیدروکسی بنزوتریازول
6-Hydroxy[1,3-bis-(4-	6- هيدر و كسى [3،1-بيس -(4- هيدر و كسى فينيل
hydroxyphenylsulfonyl]benzene,	سلفونيل]بنزين
1	

7-Hydroxy-5-carboxymethyl-1,2,4-	12. 6.6.5.6.2
triazolo[1,5-a]pyrimidine,	7- هيدروكسي -5- كربوكسي ميثيل
4-Hydroxycinnamic acid,	-4،2،1- ترياز ولو [1,5-a]بيريميدين
	حمض 4- هيدر وكسي سيناميك
1-Hydroxycyclohexyl-phenyl-ketone,	1- هيدروكسي حلقي هكسيل -فينيل -كيتون
2-Hydroxyethyl acrylate,	2- هيدروكسي اپيثيل أكريلات
2-Hydroxyethyl methacrylate,	2- هيدروكسي إيثيل ميتاكريلات
(β -Hydroxyethyl)naphthalate,	(β- هيدروكسي إيثيل)نفتالات
N-Hydroxymethylmethacrylamide,	N- هيدروكسي ميثيل ميتاكريل أميد
2-Hydroxy-6-naphthoic acid,	حمض 2- هيدروكسي -6-نفتويك
6-Hydroxy-2-naphthoic acid,	حمض 6- هيدروكسي -2-نفتويك
4'-Hydroxy phenyl-4-hydroxybenzoate,	4′ – هيدروكسي فينيل -4- هيدروكسي بنزوات
4,4'-[1-[4-[1-(4-Hydroxyphenyl)-1-methylethyl]phenyl]ethylidene],	4،4/-[1-[4-[1-(4- هيدروكسي فينيل)-1- ميثيل
methylethylphenyljethylidenej,	إيثيل]فينيل] إيثيليدين]
2-(4-Hydroxyphenyl)-5-phenyl-1,3,4-	2-(4- ھيدر و کسي
oxadiazole,	فينيل)-5-فينيل -4،3،1- أوكسادياز ول
4-(4-Hydroxyphenyl)-1(2H)- phthalazinone,	4-(4- هيدروكسي فينيل)-1(2H)-فتالازينون
9-(3-Hydroxypropyl)carbazole,	9-(3- هيدروكسي بروبيل) كاربازول
N-Hydroxypyridine-2-thione,	N- هیدروکسی بیریدین -2-ثیون
Hypochlorous acid,	حمض تحت الكلور – حمض الهيبوكلوري
2-Imidazolidinone,	2- إيميداز وليدينون
Indium tin oxide,	أوكسيد الإنديوم والقصدير
Isophorone diamine,	إيزوفورون ثنائي الأمين
Isophthalic acid,	حمض الإيزوفتاليك
Isophthalonitrile,	إيز و فتالو نتريل
Isophthaloyl bislaurocaprolactam,	إيزوفتالويل بيس لوروكابرو لاكتام
Isophthaloyl chloride,	كلوريد إيزوفتالويل
4,4'-Isopropylidene diphenyl,	4،4′- إيزوبروبيليدين ثنائي فينيل
Laurolactam,	لور و لاكتام
Liquid crystal polymer,	بوليمير البلورات السائلة
Lithium hydroxide,	هيدروكسيد الليثيوم
Lithium naphthalene,	نفتالين الليثيوم

Lithocholic acid,	حمض ليثوكوليك
Magnesia,	الماغنيزيا
Magnesium acetate tetrahydrate,	أستات المغنزيوم رباعي هيدرات
Maleic anhydride,	أنهيدريد المالبيك
Malonic acid diethyl ester,	مالونات ثنائي الإيثيل- إستر حمض المالونيك ثنائي
	ً ۔ الإيثيل
Manganese acetate,	خلات المنغنيز - أستات المنغنيز
Melamine cyanurate,	سيانورات الميلامين
2-Mercaptoethanol,	2-ميركابتو إيثانول
3-Mercaptopropionic acid,	حمض 3-میرکابتوبروبیونیك
3-Mercaptopropyltrimethoxysilane,	3-ميركابتوبروبيل ثلاثي ميثوكسي سيلان
Methacrylamide,	میتاکریل أمید
Methacrylic acid,	حمض الميتاكريليك
Methacrylic acid 6-[3-(2-cyano-2-(4-nitrophenyl)-vinyl)-carbazol-9-yl]hexyl	إستر حمض ميتاكريليك 6-[3-(2-سيانو -2-(4-
ester,	نتروفينيل)-ڤينيل)-كاربازول -9- إيل] هكسيل
Methacrylic acid 6-[3-(diphenyl-	إستر حمض ميتاكريليك 6-[3-(ثنائي
hydrazonomethyl)-carbazol-9-yl]hexyl ester,	فينيل - هيدر ازونوميتيل)-كاربازول -9- إيل]هكسيل
Methacrylic acid 6-[3-[2-(4-nitrophenyl)-	إستر حمض ميتاكريليك 6-[3-[2-(4-نتروفينيل)-
vinyl]-carbazol-9-yl]hexyl ester,	فينيل]-كاربازول -9- إيل]هكسيل
Methacrylic anhydride,	أنهيدريد الميتاكريليك
N-Methacryloxypropyl carbazole,	N-میتاکریل أوکسي بروبیل کاربازول
N-Methacryloxypropyl-3-(p-nitrophenyl)azo carbazole,	N-ميتاكريل أوكسي بروبيل -3-(بارا -ننرو
introphenyi)azo carbazole,	فینیل) آزو کاربازول
Methacryloyl chloride,	كلوريد ميتاكريلويل
Methanesulfonic acid,	حمض ميثان سُلفونيك
4-(5-Methoxy-2H-benzotriazole-2-yl)resorcinol,	4-(5-ميثوكسي -2H-بنزوتريازول -2-
	اپل)ریزورسینول
2-Methoxy-5-(3',7'-dimethyloctyloxy)benzene-1,4-	2-ميثوكسي -5- (3'7-'ثنائي ميثيل أوكتيل
diacetonitrile,	أوكسي)بنزين -4،1-ثنائي أسيتونتريل
p-(Methoxymethyl)benzyl chloride,	p-(میثوکسي میثیل) بنزیل کلورید
1-Methoxynaphthalene,	1-ميثوكسي نفتالين
p-Methoxyphenol,	p-میثوکسی فینول

Molybdenum disulfide,	ثنائي سافيد الموليبدينيوم
	- كاوريد ميثيل ثلاثي -نظامي -أوكتيل الأمونيوم
Methyltri- <i>n</i> -octylammonium chloride,	كاوريد ميثيل ثلاثي -n- أوكتيل الأمونيوم
4-Methylsulfoxy-diphenylamine,	4-میثیل سلفوکسی - ثنائی فینیل أمین
phenyl-1,4-phenylenediamine,	سُلُفينيل)فينيلين -N- فينيل -4،1- فينيلين ثنائي الأمين
N-(4-Methylsulfinyl)phenylene-N '-	۱۸ - (4-میثیل 4) - N
N-Methyl-2-pyrrolidone,	۱- میثیل -2-بیر ولیدون N-میثیل -2-بیر ولیدون
4-Methyl-pyrazolo[3.4-b]quinoline,	حيين سيبيريــين 4-ميثيل -بيرازولو [3.4-b]كينولين
Methylpiperidine,	ميثيل البيبيريدين
N-Methyl-4-picolinium hexafluorophosphate,	الله عنه الله الله الله الله الله الله الله ال
2-Methylpentamethylenediamine,	2-ميثيل خماسي ميثيلين ثنائي أمين
2-Methyl-5-nitroaniline,	2-ميثيل -5-نتر و أنيلين 2-ميثيل -5-نتر و أنيلين
4-(α -Methylnadimido)-benzoic acid,	دير ويك حمض 4-(α- ميثيل ناديميدو)-بنزويك
α -Methylnadic anhydride,	ت ري تي- أنهيدريد α-ميثيل ناديك
Methyl methacrylate,	میتاکریلات المیثیل
Methyl mercaptan,	میثیل میرکابتان
Methyl isobutyl ketone,	میثیل اپزوبوتیل کیتون
Methyl ethyl ketone,	ميثيل إيثيل كيتون
2-Methyleneglutaric dinitrile,	- رويات يايى 2-ميثيلين غلوتاريك ثنائي نتريل
Methylene chloride,	2 ميين 3٠١ تامي سيو بندن کلوريد الميثيلين
2-Methyl-1,5-diaminopentane,	پر حمیتیل -5،1- ثنائی أمینو بنتان
Methyl chloromethyl ether,	پیر.میثیل کلورومیثیل اینژر مینثیل کلورومیثیل
Methyl-tert-butyl ether,	2 میتین ۱۰ بودنون ایثرمیثیل-ترت-بوتیل
2-Methyl-1-butanol,	
<i>p</i> -Methylbenzyltrimethylammonium hydroxide,	ميين بيبيريدين هيدروكسيد p-ميثيل بنزيل ثلاثي ميثيل أمونيوم
<i>N</i> -(α -Methylbenzyloxy)-2,2,6,6- tetramethylpiperidine,	N-(α-ميثيل بنزيل أوكسي)-6،6،2،2-رباعي ميثيل بيبيريدين
Methyl-(4-anilino-phenyl) sulfide,	ميثيل-(4- أنيلينو فينيل)سلفيد
4-Methoxyphenylsulfonyl chloride,	4-ميثوكسي فينيل سلفونيل كلوريد
Methoxyphenylisocyanate,	ميثوكسي فينيل إيزوسيانات
4-Methoxyphenyl-4-allyloxy benzoate,	4-ميثوكسي فينيل -4-أليل أوكسي بنزوات

Monoethanolamine,	أحادي إيثانول أمين
Monomethyl-2,6-naphthalene dicarboxylate,	أحادي ميثيل -6،2-نفتالين ثنائي كربوكسيلات
Montmorillonite,	مونموريونيت (نوع من الصلصال، نسبة إلى مدينة
	مونْموريون الفرنسية
Morpholine,	مور فولين
Nadic anhydride,	أنهيدريد ناديك
p-Nadimidochlorobenzene,	p-نادیمیدو کلورو بنزین
1-Naphthaldehyde,	1 - نفتالد هيد
2,6-Naphthalenedicarboxylic acid,	حمض 6،2-نفتالين ثنائي كربوكسيليك
1,5-Naphthalenediol,	5·1-نفتالين ديول
Naphthalocyanine,	نفتالوسيانين
2-Naphthoic acid,	حمض 2-نفتاويك
1,2-Naphthoquinone-2-diazido-5-sulfonyl chloride,	كلوريد 2،1-نفتوكينون -2-ديازيدو -5-سلفونيل
2-α -Naphthyl-5-(4-vinylphenyl)-1,3,4-oxadiazole,	α-2 نفتيل -5-(4-ڤينيل فينيل)-4،3،1- أوكسادياز ول
Neopentyldiamine,	نيوبنتيل ثنائي أمين
3-Nitroaniline,	3-نترو أنيلين
Nitrogen dioxide,	ثنائي أكسيد الآزوت
3-Nitromesidine,	3-نترو ميزيدين
4-(4-Nitrophenyl-diazenyl) phenyl-1,3-diamine,	4-(4-نترو فينيل -ديازنيل)فينيل -3،1-ثنائي أمين
N-(4-Nitrophenyl)-1-prolinol,	N-(4-نترو فينيل)-1-برولينول
Octadecylacrylate,	أكريلات أوكتاديسيل
1,1,2,2,9,9,10,10-	10،10،9،9،2،2،1،1 تُماني فلورو [2.2]پارا
Octafluoro[2.2]paracyclophane,	سيكلو فان
Octafluoro[2.2]paracyclophane,	تُماني فلورو [2.2]پارا سيكلوفان
2,2,3,3,4,4,5,5-Octafluoropropyl methacrylate,	5،5،4،4،3،3،2،2 ثماني فلوروبروبيل ميتاكريلات
1,3,4-Oxadiazole,	4،3،1- أوكسادياز ول
Oxalic acid,	حمض الأوكساليك
Oxaloyl chloride,	كلوريد الأوكسالويل
4-Oxoheptanedioic acid,	حمض 4- أوكسو هيبتان ثنائي أويك

4,4'-Oxybis-(benzenesulfonylhydrazide),	4،4′- أوكسي بيس-(بنزين سلفونيل هيدرازيد)
Oxy-bis(N-(4-phenylene)-trimellitic imide),	أوكسي - بيس (N-(4-فينيلين)- ثلاثي ميليتيك إيميد)
3,4'-Oxydianiline,	4.3′- أوكسي ثنائي أنيلين
4,4'-Oxydianiline,	4،4′- أوكسي ثنائي أنيلين
2,2'-(Oxydi-4,1-phenylene)bis[5-(4-	2،2′-(أوكسي ثنائي -4،1- فينيلين)بيس
fluorophenyl)-1,3,4-oxadiazole],	- [5-(4-فلوروفينيل)-4،3،1- أوكساديازول]
3,3',4,4'-Oxydiphthalic anhydride,	أنهيدريد 3،3′،4،4′ أوكسي ثنائي فتاليك
N-Oxypyridine-2-thione,	N- أوكسي بيريدين -2-ثيون
Ozone,	أوزون
Palladium acetate,	أستات البالاديوم
Palladium(II)-hexafluoroacetylacetonate,	بالاديوم (II)-سداسي فلورو أستيل أستونات
Papain,	بابين
Pentachlorobenzonitrile,	خماسي كلوروبنزونتريل
Pentaerythrityl-tetrakis[3-(3,5-di-tert-	بنتا إريثريتول تتراكيس
butyl-4-hydroxyphenyl)propionate],	[3-(5،3-ثنائي-ترت-بوتيل -4- هيدروكسي فينيل)
	بروبيونات]
Pentafluorobenzonitrile,	خماسي فلوروبنزونتريل
Pentafluorophenyl sulfone,	خماسي فلوروفينيل سلفون
Perchloric acid,	حمض البركلوريك حمض فوق الكلور
Perfluoroalkyl vinyl ether copolymer resin,	راتنج بوليمير مشترك إيثر برفلورو ألكيل ڤينيل
Perfluorooctyl methacrylate,	يرفلورو أوكتيل ميتاكريلات
Perlenetetracarboxylic-bis-	پو ووو و
benzimidazole,	
Perylene,	بريلين
Phenol,	فينول
Phenolphthalein,	فينول فتالين
Phenolsulfonic acid,	حمض فينول السلفونيك
p-Phenoxybenzenesulfonyl chloride,	كلوريد p-فينوكسي بنزين السلفونيل
4-Phenoxybenzophenone,	4-فينوكسي بنزو فينون
p-Phenoxybenzoyl chloride,	کلورید p-فینوکسي بنزویل
Phenoxyethylacrylate,	فينوكسي إيثيل أكريلات
4-(4-Phenoxyphenoxy)benzophenone,	4-(4-فينوكسي فينوكسي) بنزو فينون

p-Phenoxyphenoxybenzoyl chloride,	کلورید p-فینوکسی فینوکسی بنزویل
N-[4-(3-Phenoxy)-4'-	т т –
phenylethynylbenzophenone]4'-	N-[4-(3-فينوكسي)-4'-فينيل إيثينيل بنزو
phenylethynylphthalimide,	فينون] 4'-فينيل إيثينيل فتاليميد
N,N '-[2,2-(4-Phenoxyphenyl) hexafluoroisopropylidene]bis-(4-	N·N-[2،2-(4-فينوكسي فينيل)سداسي فلورو
phenylethynyl phthalimide),	إيزو بروبيليدين]بيس -(4-فينيلين إيثينيل فتاليميد)
4-Phenoxyphenyl sulfone,	4-فینوکسی فینیل سلفون
4-Phenoxy-2,3,5,6-	4-فينوكسى -3،5،5،3،2-رباعي فلوروبنزونتريل
tetrafluorobenzonitrile,	
Phenyl benzoate,	بنزوات الفينيل
1-Phenyldecane,	1-فینیل دیکان
N-Phenyl-4,5-dichlorophthalimide,	N-فينيل -4،4- ثنائي كلوروفتالْ إيميد
3,3'-(m-Phenylenebis(oxy))dianiline,	3.3'-(m-فينيلين بيس(أوكسي)) ثنائي الأنيلين
N,N '-(1,3-Phenylene)bis(4-	3،1)-′N،N فينيلين)بيس (4-فينيلين إيثينيل
phenylethynylphthalimide,	فتاليميد)
N,N '-(1,4-Phenylene)bis(4-	٬N۰N - (-4۰۱ فينيلين) بيس (4-فينيلين ايثينيل
phenylethynylphthalimide,	فتاليميد)
1,3-Phenylenediamine,	3،1- فينيلين ثنائي الأمين
1,4-Phenylenediamine,	4.1- فينيلين ثنائى الأمين
m-Phenylenediamine,	m-فينيلين ثنائي الأمين
p-Phenylenediamine,	p- فينيلين ثنائى الأمين
4,4'-(p-Phenylenedi-1,2-ethenediyl)-	م بيدين هدي بي الله الله الله الله الله الله الله الل
diphenol,	
4,4'-(m-Phenylenedioxy)-bis-	فينول
(benzenesulfonyl chloride),	4،4′-(m-فينيلين ثنائي أوكسي)-بيس (-بنزين
	سلفونیل کلورید)
p-Phenylene oxadiazole,	p-فینیلین أوکسادیازول
p-Phenylene-5,5'-tetrazole,	p-فینیلین -5،5′-نتر ازول
p-Phenylene vinylene,	p-فینیلین قینیلین
4-(Phenylethynyl)-1,2-	أنهيدريد حمض 4-(فينيل إيثينيل)-2،1-بنزين ثنائي
benzenedicarboxylic acid anhydride,	كربوكسيليك
4-(1-Phenylethynyl)1,8-naphthalic	أنهيدريد 4-(1-فينيل إيثينيل)-8،1-نفتاليك
anhydride,	
4-(Phenylethynyl)phenol,	4-(فينيل إيثينيل)فينول
Phenylhydroquinone,	فينيل هيدروكينون

N-Phenylmaleimide,	N-فينيل مالإيميد
3-Phenyl-7-methacryloyloxyethoxy-1-	3-فينيل -7-ميتاكريل أوكسى
methyl-1H-pyrazolo[3,4-b]-quinoline,	" إثوكسى -1-ميثيل -H1-بير ازولو [b-4،3] كينولين
3-(5-Phenylpentyl)-4-methylbenzyl	3-(5-فينيل بنتيل)-4-ميثيل كلور البنزيل
chloride,	,
p-Phenylphenol,	p-فینیل فینول أو بارا-فینیل فینول
2-Phenyl-5-4-[(4-vinylphenyl)methoxy]phenyl-1,3,4-	2-فينيل -5-4-[(4-ڤينيل فينيل)-ميثوكسي] فينيل
oxadiazole,	-4،3،1- أوكسادياز ول
Phosphomolybdic acid,	حمض الفو سفو مو ليبديك
Phosphorus pentoxide,	خماسي أوكسيد الفوسفور
o-Phthalic acid,	حمض أورتوفتاليك
Phthalic anhydride,	بلا ماء حمض الفتاليك – أنهيدريد فتاليك
Phthalocyanine,	فتالو سيانين
β-Picoline,	β-بيكو لين
Poly(acenaphthylene),	پولي (أسنَفْتيلين)
Poly(acetylene),	پولي (أستيلين)
Poly(acrylic acid),	پولي (حمض الأكريليك)
Poly(acrylonitrile),	پولي (أكريلونتريل)
Poly(amide),	پولي (أميد)
Poly(amide imide),	پولي (أميد إيميد)
Poly(5-amino-1-vinyltetrazole),	پولي (5- أمينو -1-ڤينيل تترازول)
Poly(amino-p-xylylene),	پولي(أمينو -p-كزيليلين)
Poly(aniline),	پولي(أنيلين)
Poly(arylene ether nitrile),	پولي(آريلين اپيثر نتريل)
Poly(arylene ether sulfide),	پولي(آريلين ايثر سافيد)
Poly(arylene ether sulfone),	پولي(آريلين ايثر سلفون)
Poly(arylene sulfide),	پولي(سلفيد الآريلين)
Poly(arylene thioether ketone),	پولي(آريلين ثيواپيثر كيتون)
Poly(benzimidazole),	پوليبنز يميداز ول
Polybenzimidazole,	پولي (بنزيميدازول)

Poly(3,3',4,4'-benzophenone	پولي (3،3'،4،4'-بنزوفينون رباعي كربوكسيليك
tetracarboxylic dianhydride-3,5-diamino-1,2,4-triazole),	ثنائي أنهيدريد -5،3-ثنائي أمينو -4،2،1-
,, ,,	تريازول)
Poly[3,6-bis-(3,7-dimethyloctyloxy)-9,9-	پولی [6،3-بیس -(7،3-ثنائی میثیل أوکتیل
spirobifluorenyl-2,7-vinylene],	أوكسي)-9،9-سبيروبيفلورينيل -7،2-ڤينيلين]
Poly(bis-1,2,4-triazole),	- پولى (بيس -4،2،1- تريازول)
Poly(1,4-butylene sebacate),	پولی (4،1-بوتیلین سیباکات)
Poly(butylene terephthalate),	پولى(ترفتالات البوتيلين)
Poly-γ-carbazolylethylglutamate,	پولی -γ-کاربازولیل ایشیل غلوتامات
Poly[2-(carbazol-9-yl)-5-(2-	پولی [2-(کاربازول -9- ایل)-5-(2- ایثیل هکسیل
ethylhexyloxy)-1,4-phenylene vinylene],	پري را درود الله الله الله الله الله الله الله الل
Poly[2-(carbazol-9-yl)-1,4-phenylene vinylene],	پولي [2-(كاربازول -9- إيل)-4،1-فينيلين ڤينيلين]
Poly(carbonate),	پولي(کربونات)
Poly(chloro-p-xylylene),	پولي (كلورو -p-كزيليلين)
Poly(cyclohexylenedimethanol terephthalate),	پولي (ترفتالات ثنائي ميثانول حلقي الهكسيلين)
Poly(dibromostyrene),	پولي (ثنائي برومو ستيرين)
Poly(dichloro-p-xylylene),	پولي (ثنائي کلورو -p-کزيليلين)
Poly(9,9-dihexylfluorene),	پو لي (9،9-ثنائي هکسيل فلورين)
Poly(9,9'-dihexylfluorene-2,7-	پولی (9،9′- ثنائی هکسیل فلورین -7،2- ثنائی
divinylene-m-phenylene vinylene-stat-p- phenylene vinylene),	، - پ م فینیلین -m- فینیلین فینیلین فینیلین نیالین نیالین)
Poly(2,5-dimethoxy-1,4-phenylene vinylene),	پولي (5،2-ثنائي ميثوكسي -4،1-فينيلين ڤينيلين)
Poly(2-(N,N-dimethylamino) phenylene vinylene),	پولي (2-(N،N-ثنائي ميثيل أمينو)فينيلين ڤينيلين)
Poly(2-dimethyloctylsilyl)-phenylene vinylene,	پولي (2-ثنائي ميثيل أوكتيل سيليل)-فينيلين ڤينيلين
Poly(9,9-dioctylfluorene),	پولمي (9،9-ثنائي أوكتيل فلورين)
Poly(9,9-dioctylfluorene-co-fluorenone),	پولي (9،9-ثنائي أوكتيل فلورين -مشترك -
	فلورينون)
Poly(4,4'-diphenyl ether-1,3,4-oxadiazole),	پولي (4،4′-ثنائي فينيل إيثر -4،3،1-
OAAUIAZOIC),	أوكساديازول)
Poly(2,6-diphenyl-1,4-phenylene oxide),	پولي (6،2-ثنائي فينيل -4،1- أوكسيد الفينيلين)

Poly(2,6-diphenyl-1-4-phenylene oxide),	پولي (6،2-ثنائي فينيل -1-4-أوكسيد الفينيلين)
Poly(dithiathianthrene),	پوني (1.2-نائي قيبيل -۱-4- او حسيد القيبيس) پولي (ثنائي ثيا ثيانثرين)
Poly(2-dodecyl-p-phenylene),	پوني (تاني تا تانترين) پولي (2-دو ديسيل - بار ا - فينيلين)
Poly(N-epoxypropyl)carbazole,	* '
Poly(ether ether ketone),	پولي ((N- اِبوکسي بروبیل)کاربازول)
Poly(ether imide),	پولي(اپيثر اپيثر کيتون)
Poly(ether ketone),	پولي(اپيثر ايميد)
Poly(ether nitrile),	پولي(اپيثر کيتون)
Poly(ethersulfone),	پولي(اپيثر نتريل)
• • • • • • • • • • • • • • • • • • • •	پولي(اپيثر سلفون)
Poly(ethylene-1,4-cyclohexanedimethylene arylate),	پولي(إيثيلين -4،1-حلقي هكسان ثنائي ميثيلين ،
	أريلات)
Poly(3,4-ethylenedioxythiophene),	پولي (4،3- اپيثيلين ثنائي أوكسي ثيوفين)
Poly(ethylene glycol),	پولي(اپثيلين غليكول)
Poly(ethylene glycol diacrylate),	پولي(إيثيلين غليكول ثنائي أكريلات)
Poly(ethylene naphthalate),	بولي(نفتالات الإيثيلين)
Poly(ethylene oxide),	پولي(أوكسيد الإيثيلين)
Poly(ethylene terephthalate),	بولى (ترفتالات الإيثيلين)
Poly(N-ethyl-3-vinylcarbazole),	پولی (N- اینثیل -3- ثینیل کاربازول)
Poly(furfuryl alcohol),	پولي(كحول فورفوريل)
Poly(1-hexyl-3,4-dimethyl-3,5-	پولى (1- هكسيل -4،3- ثنائى ميثيل -5،3-
pyrrolylene),	بيروليلين)
Poly(3-hexylthiophene),	پولي (3- هكسيل ثيوفين)
Poly(imide),	پولي اپمید
Poly(2-methoxy-5-(3',7'-	پولی (2-میثوکسی -5-(3'7۰'-ثنائی میثیل أوکتیل
dimethyloctyloxy)-1,4-phenylene vinylene),	ا عند المسلم ال
Poly(2-methoxy-5-(2'-ethylhexyloxy)-	پولى (2-ميثوكسى -5-(2 [′] - إيثيل هكسيل
1,4-phenylene vinylene),	أوكسى)-4،1-فينيلين ڤينيلين)
Poly(methyl-bis-(3-methoxyphenyl)-(4-	يولي (ميثيل -بيس -(3-ميثوكسي
propylphenyl)amine)siloxane,	پو پ ر استان کا اور در اور این از این استاد کسان فینیل)-(4-بروبیل فینیل) أمین)سیاوکسان
Poly(methyl methacrylate),	پولی(میثیل میتاکریلات)
Poly(2-methyl-5-vinyl)tetrazole,	پولی (2-میثیل -5- ثینیل) تتر از ول
Poly(1,5-naphthylene vinylene),	پولي (5،1-نفتالين ڤينيلين)
u	

Poly(1,3,4-oxadiazole),	پولي (4،3،1- أوكساديازول)
Poly(1,3,4-oxadiazole-2,5-diyl-1,2-vinylene),	پولي (4،3،1- أوكساديازول -5،2-ثنائي
vinylene),	إيل -2،1- ڤينيلين)
Poly(4,4'-oxydiphthalic anhydride-1,3-aminophenoxybenzene-8-azaadenine),	پولي (4،4′- أوكسي ثنائي فتاليك أنهيدريد -3،1- أمينو
anniophenoxybenzene-o-azaadenine),	فينوكسي بنزين -8- أز آدينين)
Poly(oxyethylene),	بولي(أوكسي إيثيلين)
Poly(oxymethylene),	پولي(أوكسي ميثيلين)
Poly(pentylene terephthalate),	پولي (ترفتالات البنتيلين)
Poly(phenazasiline),	پولي (فناز اسيلين)
Poly(2(3)-(4-phenylbutyl)-1,4-phenyleneethylene),	پولي (2(3)-(4-فينيل بوتيل -4،1-فينيلين إيثيلين)
Poly(p-phenylene),	پولي(بار ا-فينيلين)
Poly[1,4-phenylene-1,2-di(4-	پولي [4،1-فينيلين -2،1-ثنائي (4-بنزيل أوكسي
benzyloxyphenyl)vinylene],	فينيل) ڤينيلين]
Poly(phenylene ether),	پولي(ایش الفینیلین)
Poly(1,4-phenylene ether sulfone),	پولي (4،1-فينيلين إيثر سلفون)
Poly(p-phenylene ethylene),	پولي (p-فينيلين إيثيلين)
Poly(1,4-phenylene ethynylene),	پولي (4،1-فينيلين إثينيلين)
Poly(p-phenylene ethynylene),	پولي (p-فینیلین اِثینیلین)
Poly(m-phenylene isophthalamide),	پولي(m-فينيلين إيزوفتالْ أميد)
Poly(p-phenylene methylene),	پولي (p-فينيلين ميثيلين)
Poly(1,4-phenylene-methylsulfonium-	پولي (4،1-فينيلين-ميثيل سُلفونيوم -4،1-فينيلين
1,4-phenyleneamine)methylsulfonate,	أمين)ميثيل سُلفونات
Poly(p-phenylene-1,3,4-oxadiazole),	پولي (p-فینیلین -4،3،1- أوکسادیازول)
Poly(phenylene oxide),	پولي(أوكسيد الفينيلين)
Poly(m-phenylene sulfide),	پولي (m-فينيلين سلفيد)
Poly(phenylene sulfide),	پولي (سلفيد الفينيلين)
Poly(1,4-phenylene sulfide-1,4-phenyleneamine),	پولي (4·1- فينيلين سلفيد -4·1- فينيلين أمين)
Poly(phenylene sulfide-phenyleneamine-phenyleneamine),	پولي(فينيلين سلفيد -فينيلين أمين -فينيلين أمين)
Poly(p-phenylene sulfoxide),	پولي (بارا -فينيلين سلفوكسيد)
Poly(p-phenylene terephthalamide),	پولي (p- فينيلين ترفتالاميد)
Poly(p-phenylene vinylene),	پولي (p- فينيلين ڤينيلين)

Poly(phosphoric acid),	پولي (حمض الفوسفور)
Poly(phthalamide),	يولي (فتال ميد)
Poly(propylene),	پولی (بروبلین)
Poly(1,3-propylene 2,6-naphthalate),	پولى (3،1-بروبيلين 6،2-نفتالات)
Poly(1,3-propylene terephthalate),	ب پولی (3،1-بروبیلین ترفتالات)
Poly(pyridopyrazine vinylene),	بولی (بیریدوبیر ازین فینیلین)
Poly(p-pyridyl-vinylene),	پولي (p-بيريديل - ڤينيلين)
Poly(pyrrole),	پولي (بيرول)
Poly(styrene),	پولي (ستيرين)
Poly(tetrafluoroethylene),	پولي (رباعي فلوروالإيثيلين)
Poly(tetramethylene ether) glycol,	پولي (رباعي ميثيلين إيثر)غليكول
Poly(tetramethylene ether glycol terephthalate),	پولي (رباعي ميثيلين إيثر غليكول ترِفتالات)
Poly(tetramethylene glycol),	پولي (رباعي ميثيلين غليكول)
Poly(p-thienyl vinylene),	پولي (بارا-ثينيل ڤينيلين)
Poly(1,2,4-triazole),	پولي (4،2،1-تريازول)
Poly(trimethylene terephthalate),	پولي (ترِفْتالات ثلاثي الميثيلين)
Poly(urethane),	پولي (يوريثان)
Poly[1-(4-vinylbenzoyl)-5-amino-1,2,4-triazole],	پولي [1-(4-ڤينيل بنزويل)-5-أمينو -4،2،1- تريازول]
Poly[3-(4-vinylbenzoyl)-5-amino-1,2,4-	بريارون] يولمي [3-(4-ڤينيل بنزويل)-5-أمينو -4،2،1-
triazole],	پرتي [3-(به ميين بروين)-رد سيو 4.2.۱۰ تريازول]
Poly(vinyl butyral),	پولي(ڤينيل بوتيرال)
Poly(N-vinylcarbazole),	پولي (N-ڤينيل كاربازول)
Poly(vinyl chloride),	پولي (ڤينيل كلورايد)
Poly(vinylidene fluoride),	پولي (فلوريد الڤينيليدين)
Poly(1-vinylnaphthalene),	پولي (1-ڤينيل نفتالين)
Poly(3-vinyl-1,2,5-oxadiazole),	پولي (3-ڤينيل -5،2،1-أوكساديازول)
Poly(vinyl phenanthrene),	پولي (ڤينيل فينانثرين)
Poly(vinylphenol),	پولي (ڤينيل فينول)
Poly(vinyl pyrene),	پولي (ڤينيل بيرين)
Poly(N-vinyl-2-pyrrolidone),	پولي (N-ڤينيل -2-بيروليدون)

Poly(5-vinyltetrazole), إي وك. وقينيل تتر از و ك. Poly(3-vinyl-1,2,4-triazole), (ولين وك. ولينيل تريازول) Poly(vinyltriazole), (poly(p-xylene), Poly(p-xylene), (poly(p-xylylene), Poly(p-xylylene), (poly(p-xylylene), Poly(p-xylylene), (poly(p-xylylene), Potassium tert-butoxide, poly(p-xylylene), Botassium fluoride, poly poly(p-xylylene), Potassium fluoride, poly poly poly poly poly poly poly poly	Poly(1-vinyltetrazole),	پولی (1-ڤینیل نترازول)
Poly(3-vinyl-1,2,4-triazole), الجيلي (3-فينيل 24,2-1- فيزيازول) Poly(vinyltriazole), (1) Poly(p-xylene), (1) Poly(p-xylene), (1) Poly(p-xylylene), (1) Poly(p-xylylene), (1) Poly(p-xylylene), (1) Poly(p-xylylene), (1) Potassium tert-butoxide, (1) Potassium fluoride, (1) Potassium hexatitanate, (1) Potassium octatitanate, (1) Potassium octatitanate, (1) Potassium phthalimide, (1) Propylene glycol monobutyl ether, (1) Pyropylene glycol monobutyl ether, (1) Pyrazoloquinoline, (1) 4-(1-Pyrenyl)butyl vinyl ether, (1) Pyridine, (1) Pyridine, (1) Pyromellitic acid, (1) Pyromellitic dianhydride, (1) Pyromellitic dianhydride, (1) Poluinone, (1) Poluinone, (1) Poluinone, (1)	Poly(5-vinyltetrazole),	* -
Poly(vinyltriazole), (وليلي تريازول) Poly(p-xylene), (الجيل (الله المنافرة الله المنافرة الله المنافرة الله الله الله الله الله الله الله الل	Poly(3-vinyl-1,2,4-triazole),	
Poly(p-xylene), (ويكريلين) Poly(p-xylylene), (pyp. (q-xylylene), پدلی (q-xylylene), (pyp. (q-xylylene), پدلی (pyp. xylylene), (pyp. (q-xylylene), پدلی (pyp. xylylene), (pyp. xylylene), پدل (pyp. xylylene), (pyp. xylylene), bill (pyp. xylylene), (pyp. xylylene), Potassium fluoride, (pyp. xylylene), Potassium octatitanate, (pyp. xylylene), Potassium octatitanate, (pyp. xylylene), Potassium phthalimide, (pyp. xylylene), 1,3-Propanediol, (pyp. xylylene), Pyroplene glycol monobutyl ether, (pyrazoloquinoline, Pyrazoloquinoline, (pyrazoloquinoline, 4-(1-Pyrenyl)butyl vinyl ether, (pyrazoloquinoline, Pyridine, (pyridylamine, Pyromellitic acid, (pyridylamine, Pyromellitic acid, (pyridylamine, Pyromellitic dianhydride, (pyraylylene), B-Quinolinolate)-aluminum, (pyraylene), Poquinone, (pyraylene), Pyridylamine, (pyraylene), Poquinolinolate,	Poly(vinyltriazole),	* '
Poly(p-xylylene), پولي (p- كزيليلن) Potassium tert-butoxide, پوتاسيوم بوتوكسيد ثالثي بوتاسيوم بوتوكسيد ثالثي potassium fluoride, فار البوتاسيوم - فلوريد البوتاسيوم potassium hexatitanate, Potassium iodide, potassium fluegalunge, Potassium octatitanate, potassium phthalimide, Potassium phthalimide, potassium phthalimide, 1,3-Propanediol, propylene glycol monobutyl ether, اليش غليكل البر وبيلين أحادي البوتيل pyrazoloquinoline, إلى الإسرائي الإن الإن الإن الإن الإن الإن الإن الإن	Poly(p-xylene),	* -
Potassium tert-butoxide, بوتاسيوم بوتوكسيد ثالثي Botassium fluoride, الله وتاسيوم جلوريد البوتاسيوم جلوريد البوتاسيوم والمنافرة	Poly(p-xylylene),	* '
ور البوتاسيوم - فلور يد البوتاسيوم الموريد البوتاسيوم المعادس	Potassium tert-butoxide,	
Potassium hexatitanate, سداسي تيتانات البوتاسيوم بيوديد البوتاسيوم البود البوتاسيوم البود البوتاسيوم المعادي البوتاس البوتاس البوتاس المعادي البوتاس البوتاس البوتاس المعادي البوتاس المعادي البوتاس المعادي البوتاس المعادي البوتاس البوتاس البوتاس البوتاس المعادي البوتاس الم	Potassium fluoride,	# '
Potassium octatitanate, شاني تيتانات البوتاسيوم Potassium phthalimide, اردوبان ديول الميد البوتاسيوم اردوبان ديول البوتاسيوم اردوبان ديول الميد البوتان الميد البوتان الميد البوتان الميد البوتان الميد البوتان الميد الميد الميد البوتان ا	Potassium hexatitanate,	سداسي تيتانات البوتاسيوم
Potassium phthalimide, البودسيوم 1,3-Propanediol, العالم البوتيال البوتاسيوم 1,3-Propanediol, العالم البوتيال البوتي	Potassium iodide,	يود البوتاسيوم -يوديد البوتاسيوم
1,3-Propanediol, 1,3-Propanediol, Propylene glycol monobutyl ether, البوتيل أهادي البوتيل المحتول البروبيلين أهادي البوتيل المحتول البروبيلين أهادي البوتيل المحتول البريدين المحتول	Potassium octatitanate,	ثماني تيتانات البوتاسيوم
Propylene glycol monobutyl ether, البروبون عيون البر علين أحادي البوتيل البروبيلين أحادي البوتيل البير غلير إزولو كينولين - بير از ولو كينولين - بير از ولو كينولين البير إلى البيريدين أمين البيريدين البيريدين أمين البيريد البيريدين أمين البيريدين أمين البيريدين أمين أمين البيريدين أمين أمين البيريدين أمين أمين أمين أمين أمين أمين أمين أم	Potassium phthalimide,	فتال إيميد البوتاسيوم
Pyrazoloquinoline, البير تولى كينولين عبي البير الموكينولين البير الميز البير الميز البير الموكينولين البير الموكينولين البير الموكينولين البير الموكينولين البير الميز ا	1,3-Propanediol,	3،1-بروبان ديول
4-(1-Pyrenyl) butyl vinyl ether, بیر روسیورین شینل ایش (ایش الله الله الله الله الله الله الله الل	Propylene glycol monobutyl ether,	إيثر غليكول البروبيلين أحادي البونيل
Pyridine, بریدین (کا بیوریدی) (کاب کردی) (کا بیوریدی) (کاب کردی) (کا بیوریدی) (کاب کردی) (کا بردی) (کا بیوریدی) (کا بردی) (کا بردی) (کا بردی) (کاب کردی) (کا بردی) (کاب کردی) (کا بردی) (کا بردی) (کاب کردی) (کا بردی) (کاب کردی) (کاب کردی) (کاب کردی) (کاب کردی) (کاب کردی) (کاری) (کاب کردی) (کاری) (ک	Pyrazoloquinoline,	بیر از ولوکینولین – بیر از وکینولین
2-Pyridylamine, المين الم	4-(1-Pyrenyl)butyl vinyl ether,	4-(1-بيرنيل) بوتيل ڤينيل اڀثر
Pyromellitic acid, حمض بيروميليتيك Acad بيروميليتيك Pyromellitic dianhydride, Quinacridone, كيناكريدون 8-(Quinolinolate)-aluminum, P-Quinone, P-Quinone, بارا الله المنبور الله المنبور الله المنبور الله الله الله الله الله الله الله الل	Pyridine,	بيريدين
Pyromellitic dianhydride, عيب المروسية ©uinacridone, كيناكريدون 8-(Quinolinolate)-aluminum, 8-(Quinolinolate)-aluminum, P-Quinone, P-Quinone, Resorcinol, Resorcinol diphosphate, Rubrene, It general multiple of the company of	2-Pyridylamine,	2-بيريديل أمين
Quinacridone, كيناكريدون 8-(Quinolinolate)-aluminum, ه-(كينولينو لات)- الألمنيوم P-Quinone, بار ا-كينون Resorcinol, ريز ورسينول Resorcinol diphosphate, لا يرورسينول Rubrene, الروبرين 3-(N-Salicyloyl)amino-1,2,4-triazole, كام ينو -4،2،1- تريازول Sebacic acid, Sebacic acid, Sebacyl chloride, كام ريد سيباسيك Silicone nitride, Silicotungstic acid,	Pyromellitic acid,	حمض بير وميليتيك
8-(Quinolinolate)-aluminum, 8-(Quinolinolate)-aluminum, 8-(Quinolinolate)-aluminum, 8-(Quinolinolate)-aluminum, 9-Quinone, 14-Quinolinolate) 10-Quinolinolate) 14-Quinolinol	Pyromellitic dianhydride,	ثنائي أنهيدريد بيروميلينيك
p-Quinone, بارا-كينون Resorcinol, ريزورسينول Resorcinol diphosphate, شائي فوسفات الريزورسينول Rubrene, الروبرين 3-(N-Salicyloyl)amino-1,2,4-triazole, محض سيباسيك Sebacic acid, Sebacyl chloride, Sebacyl chloride, كايريد سيباسيل Silicone nitride, Silicotungstic acid, Silicotungstic acid, Silicotungstic acid,	Quinacridone,	كيناكر يدون
Resorcinol, ريزورسينول Resorcinol diphosphate, لا وسفات الريزورسينول Rubrene, الروبرين 3-(N-Salicyloyl)amino-1,2,4-triazole, المينو -4،2،1-تريازول Sebacic acid, Sebacic acid, Sebacyl chloride, Silicone nitride, Silicotungstic acid, Silicotungstic acid,	8-(Quinolinolate)-aluminum,	8-(كينولينو لات)- الألمنيوم
Resorcinol diphosphate, الميزورسينول Rubrene, الروبرين 3-(N-Salicyloyl)amino-1,2,4-triazole, المينو -4،2،1-تريازول Sebacic acid, Sebacic acid, Sebacyl chloride, كلوريد سيباسيل Silicone nitride, Silicotungstic acid, Silicotungstic acid, Silicotungstic acid,	p-Quinone,	بار ا-كينون
Rubrene, الروبرين 3-(N-Salicyloyl)amino-1,2,4-triazole, المينو -4،2،1-تريازول المينو -4،2،1-تريازول المينو -4،2،1-تريازول المينو حمض سيباسيك Sebacic acid, Sebacyl chloride, Sebacyl chloride, Silicone nitride, Silicotungstic acid, Silicotungstic acid,	Resorcinol,	ريزورسينول
3-(N-Salicyloyl)amino-1,2,4-triazole, المينو المين	Resorcinol diphosphate,	ثنائي فوسفات الريزورسينول
Sebacic acid, Sebacyl chloride, Sebacyl chloride, Silicone nitride, Silicotungstic acid, Sil	Rubrene,	الروبرين
Sebacyl chloride, كلوريد سيباسيل Silicone nitride, Silicotungstic acid, Silicotungstic acid,	3-(N-Salicyloyl)amino-1,2,4-triazole,	3-(N-ساليسيلويل) أمينو -4،2،1- تريازول
Silicone nitride, Silicotungstic acid, Silicotungstic acid,	Sebacic acid,	حمض سيباسيك
Silicotungstic acid, Silicotungstic acid,	Sebacyl chloride,	كلوريد سيباسيل
	Silicone nitride,	نتريد السيليكون
Sodium acetate, أستات الصوديوم	Silicotungstic acid,	حمض السيليكو تنغستيك
	Sodium acetate,	أستات الصوديوم

Sodium antimonate,	أنتيمونات الصوديوم
Sodium azide,	أزيد الصوديوم
Sodium benzoate,	بنزوات الصوديوم
Sodium bicarbonate,	بيكربونات الصوديوم
Sodium borohydride,	بورو هيدريد الصوديوم
Sodium chlorate,	كلورات الصوديوم
Sodium hydride,	هيدريد الصوديوم
Sodium hydrogen sulfide,	سلفید هیدروجین صودیوم
Sodium oxalate,	أوكز الات الصوديوم
Sodium saccharinate,	ساكارينات الصوديوم
Sodium sulfide,	كبريتيد الصوديوم، سلفيد الصوديوم
Stearic acid,	حمض الستياريك
Stearyl alcohol,	كحول ستياريل
Styrene acrylonitrile copolymer,	بوليمير مشترك ستيرين أكريلونتريل
Styrene buadiene styrene block	بوليمير مشترك كتلي التعاقب ستيرين بوتاديئين
copolymer,	ستيرين
Styrene/glycidyl methacrylate,	ستيرين\غليسيديل ميتاكريلات
Suberic acid,	حمض السوبيريك- حمض أوكتان ثنائي أويك
Succinamic acid,	حمض السوكسيناميك
o-Sulfobenzoic acid,	حمض ٥-سُلفوبنزويك
Sulfonated poly(ether ether ketone),	بولي(إيثر إيثر كيتون) المسلفن
3,3'-Sulfonyl bis-(6-fluorobenzene sulfonic acid) disodium salt,	ملح 3،3′-سلفونيل بيس -(حمض 6-فلورو بنزين
surfolic acid) disodium sait,	سلفونيك) ثنائي الصوديوم
3,3'-Sulfonyl bis-(6-hydroxybenzene sulfonic acid) disodium salt,	ملح 3،3′-سلفونيل بيس -(حمض 6- هيدروكسي
	بنزين سلفونيك) ثنائي الصوديوم
Sulfonyl chloride,	كلوريد السلفونيل
Sulfur tetrafluoride,	رباعي فلوريد الكبريت
Sulfur trioxide,	ثلاثي أوكسيد الكبريت
Sulfuryl chloride,	كلوريد السلفوريل
Tannic acid,	حمض التانيك
Terephthalaldehyde,	تِرِفْتال ألدهيد
Terephthalic acid,	حمض ترِ فْتاليك

Terephthaloyl bislaurocaprolactam,	إيزوفتالويل بيس لوروكابرو لاكتام
Terephthaloyl chloride,	کلورید ترفتالویل
Tetrabenzyl perylene-3,4,9,10-	رباعی بنزیل پیریلین -10،9،4،3-رباعی
tetracarboxylate,	کربوکسیلات کربوکسیلات
Tetrabromocyclooctane,	برومو حلقي الأوكتان
Tetrabromovinylcyclohexene,	رباعي برومو ڤينيل حلقي الهكسين
Tetrabutylammonium bromide,	بروميد رباعي بوتيل أمونيوم
Tetrabutylammonium perchlorate,	بركلورات رباعي بوتيل أمونيوم
Tetra-n-butylammonium tetrafluoroborate,	رباعي فلوروبورات رباعي-n-بوتيل أمونيوم
3,3',5,5'-Tetra-tert-butyl biphenol	5،5،'3،3'-رباعي - ترت -بوتيل بيفينول
Tetrabutylphosphonium bromide,	بروميد رباعي بوتيل فوسفونيوم
Tetrabutyl titanate,	تيتانات رباعي البوتيل
1,1,2,2-Tetrachloroethane,	2،2،1،1 كور الإيثان
Tetrachloroisophthalodinitrile,	رباعي كلورو إيزوفتالو ثنائي ننريل
Tetrachloromethane,	رباعي كلور الميثان
Tetrachlorophthalodinitrile,	رباعی کلوروفتالو ثنائی نتریل
Tetracyanoethylene,	رباعي سيانو الإيثيلين
Tetracyanoquinodimethane,	۔ رباعي سيانو کينو ثنائي ميثان
Tetraethyl lead,	رباعي إيثيل الرصاص
Tetrafluoropropanol,	ر رباعي فلوروبروبانول
2,2,3,3-Tetrafluoropropyl methacrylate,	3،3،2،2-رباعي فلوروبروبيل ميتاكريلات
Tetrafluoro-p-xylene,	رباعي فلورو -p-كزيلين
α , α , α ' α '-Tetrafluoro-p-xylylene,	α،′α،۰α کزیلیلین ورو -p-کزیلیلین
Tetrahydrofuran,	رباعي هيدروفوران
Tetrahydrothiophene,	رباعي هيدرو ثيوفين
Tetramethylammonium hydroxide,	هيدروكسيد رباعي إيثيل أمونيوم
1,2,4,5-Tetramethylbenzene,	5،4،2،1 ميثيل بنزين
3,3',5,5'-Tetramethylbenzidine,	5،5٬'3،3 ميثيل بنزيدين
3,3',5,5'-Tetramethyl-2,2-bis(4-(4-amino-	5،5٬′3،3 رباعي ميثيل -2،2-بيس
phenoxy)phenyl)propane,	[4-(4- أمينو -فينوكسي)فينيل]بروبان
3,3',5,5'-Tetramethyl-bis[4-(4-aminophenoxy)phenyl]sulfone,	5،5٬′3،3 رباعي ميثيل - بيس
animophenoxy,phenyijsunone,	[4-(4- أمينو فينوكسي) فينيل]سلفون

Tetramethyldiphenyl quinone,	رباعي ميثيل ثنائي فينيل كينون
2,3,5,6-Tetramethyl-1,4-	* *
phenylenediamine,	6،5،3،2-رباعي ميثيل 4،1-فينيلين ثنائي أمين
Tetramethyl-p-phenylenediamine,	رباعي ميثيل -p- فينيلين ثنائي أمين
2,2,6,6-Tetramethylpiperidine-N-oxyl,	6،6،2،2-رباعي ميثيل بيبريدين -N- أوكسيل
2,4,5,7-Tetranitro-9-fluorenone,	7،5،4،2 رباعي نترو -9-فلورينون
2,4,5,7-Tetranitroxanthone,	7،5،4،2-رباعي نترو كسانثون
Tetraphenylbenzidine,	رباعي فينيل بنزيدين
5,6,11,12-Tetraphenylnaphthacene,	
(4,4'-Tetrazolyl-4"-	(4،4/-تترازوليل -4/-ميثيل) ثلاثي فينيل أمين
methyl)triphenylamine,	را ا کرارویی ا نیایی کادعی لیان الیان
2,2-Thiodiethylenebis[3-(3,5-di-t-butyl-	2،2- ثيو ثنائي إيثيلين بيس [3-(5،3-ثنائي
4-hydroxyphenyl)propionate],	- ترت -بوتيل -4- هيدروكسي فينيل)بروبيونات]
Thioglycol acid,	حمض الثيو غليكول
Thionyl chloride,	كلوريد الثيونيل
Titanium tetraisopropoxide,	رباعي إيزوبروبوكسيد التيتانيوم
m-Toluenediamine,	ميتا تولوين ثنائي أمين
Toluene diisocyanate	ثنائى إيزوسيانات التولوين
p-Toluenesulfonic acid,	- حمض p-تولوین سلفونیك
o-Toluidine,	o- تولیو دین
Tolyltriazole,	تولیل تریازول
2,4,6-Triamino-1,3,5-triazine,	6،4،2- ثلاثي أمينو -5،3،1- تريازين
1,2,4-Triazole,	4،2،1-تريازول
Tri-n-butyl phosphite,	ثلاثي -n-بوتيل فوسفيت
1,2,4-Trichlorobenzene,	4،2،1-ثلاثي كلورو بنزين
1,3,5-Trichlorobenzene,	5،3،1- ثلاثي كلورو بنزين
2,3,6-Trichlorobenzonitrile,	6،3،2-ئلاثي كلورو بنزونتريل
3,5,6-Trichloro-4-chloroformyl phthalic acid,	حمض 6،5،3-ثلاثي كلورو -4-كلوروفورميل
acid,	فتاليك
3,5,6-Trichloro-4-chloroformyl phthalic acid anhydride,	أنهيدريد حمض 6،5،3-ثلاثي
dera annyanae,	كلورو -4-كلوروفورميل فتاليك
Trichloroethylene,	ثلاثي كلورو الإيثيلين
Tricresyl phosphate,	ثلاثي كريزيل الفوسفات
Triethanol amine,	ثلاثي إيثانول أمين

Triethylamine,	ثلاثي إيثيل أمين
Triethyl phosphate,	ثلاثي ايتيل الفوسفات
Trifluoroacetic anyhdride,	بلا ماء ثلاثي فلورو حمض الخل- أنهيدريد ثلاثي
	فلورو أسينتيك
Trifluoromethanesulfonic acid,	حمض ثلاثى فلوروميثان سلفونيك
(4-(4'- Trifluoromethyl)phenoxyphenyl)hydroqu inone,	(4-(4′-ثلاثي فلورو ميثيل)-فينوكسي فينيل)-
	هيدر وكينون
4,4'- (Trifluoromethylphenylisopropylidene)di phenol,	4،4′- (ثلاثي فلورو ميثيل
	فينيل-إيزوبروبيليدين)ثنائي فينول
4,4'-(2,2,2-Trifluoro-1-pentafluorophenylethylidene) diphthalic dianhydride,	ثنائي أنهيدريد 4،4′-(2،2،2-ثلاثي فلورو -1-
	خماسي فلورو فينيل اپثيليدين) ثنائي فتاليك
3,4,5-Trifluorophenylsulfonyl benzene,	5،4،3-ئلاثي فلوروفينيل سلفونيل بنزين
Triiron dodecacarbonyl,	ثلاثي حديد اثناعشري الكاربونيل
Trimellitic acid,	حمض ثلاثي المِليتيك
Trimellitic acid anhydride,	أنهيدريد حمض ثلاثي المليتيك
Trimethylamine,	ثلاثي ميثيل أمين
Trimethylchlorosilane,	ثلاثي ميثيل كلورو سيلان
2,2,4-Trimethylhexamethylenediamine,	4،2،2- ثلاثي ميثيل سداسي ميثيلين ثنائي الأمين
2,4,4-Trimethylhexamethylenediamine,	4،4،2- ثلاثي ميثيل سداسي ميثيلين ثنائي الأمين
2,4,6-Trimethyl-3-nitroaniline,	6،4،2- ثلاثي ميثيل -3-نتروأنيلين
2,3,6-Trimethylphenol,	6،3،2- ثلاثي ميثيل فينول
2,4,6-Trimethylphenol,	6،4،2- ثلاثي ميثيل فينول
2,4,6-Trimethyl-1,3-phenylenediamine,	6،4،2- ثلاثي ميثيل -3،1- فينيلين ثنائي أمين
Trimethyl phosphate,	فوسفات ثلاثي ميثيل
Trimethylsilyltributyltin,	ثلاثي ميثيل سيليل ثلاثي بوتيل قصدير
1,3,7-Trinitrodibenzothiophene-5,5-dioxide,	7،3،1- ثلاثي نترو ثنائي بنزو ثيوفين -5،5-ثنائي
	الأوكسيد
(2,4,7-Trinitrofluorene-9-ylidene)- malononitrile,	(7،4،2-ثلاثي نتروفلورين -9-يليدين)-مالونونتريل
2,4,7-Trinitro-9-fluorenone,	7،4،2- ثلاثي نترو -9-فلورينون
2,4,8-Trinitrothioxanthone,	8،4،2- ثلاثي نترو ثيوكسانثون
Trioctylamine,	ثلاثي أوكتيل أمين
Trioxane,	تر يو كسان

Triphenylamine,	ٹلاثی فینیل أمین
1,2,3-Triphenylbenzene,	3،2،1- ثلاثي فينيل بنزين
Triphenylmethane,	ثلاثی فینیل میثان
Triphenylmethanol,	ثلاثى فينيل ميثانول
Triphenyl phosphate,	تلاثى فينيل الفوسفات
Triphenylphosphine,	تلاثى فينيل الفوسفين
Triphenylphosphine oxide,	أوكسيد ثلاثي فينيل الفوسفين
Triphenyl phosphite,	تلاثى فينيل فوسفيت
Tris-(8-hydroxyquinoline)-aluminum,	- تریس -(8- هیدروکسی کینولین)- ألمنیوم
Tris(1-phenylisoquinoline) iridium,	تريس (1-فينيل إيزوكينولين) إيريديوم
Tris(3,4,5-trifluorophenyl)phosphine oxide,	أوكسيد تريس (5،4،3-ثلاثي فلورو فينيل)فوسفين
1,1,1-Tri-(p-tosyloxymethyl)-propane,	1،1،1-ثلاثي -(p-توسيل أوكسي ميثيل)-بروبان
Truxene,	ترکسین
Tungstophosphoric acid,	حمض التنغستوفوسفوريك
Vinylbenzoate,	بنزوات الثينيل
1-(4-Vinylbenzoyl)-5-amino-1,2,4-triazole,	1-(4-ڤينيل بنزويل)-5-أمينو -4،2،1-تريازول
4-Vinylbiphenyl,	4-ڤينيل بيفينيل
N-Vinylcarbazole	N-ڤينيلْ كاربازول
N-Vinyl formamide,	N-ڤينيلْ فورمْ أميد
9-(2-Vinyloxyethyl)carbazole,	9-(2-ڤينيل أوكسي إيثيل)كاربازول
9-(4-Vinylphenyl)anthracene,	9-(4-ڤينيل فينيل) أنتر اسين
N-Vinylphthalimide,	N-ڤينيل فتال ْ إيميد
N-Vinyl-2-pyrrolidone	N- ڤينيل -2- بير وليدون
1-Vinyl-1,2,4-triazole	1-ڤينيل -4،2،1-تريازول
4-Vinyltriphenylamine,	4-ڤينيل ثلاثي فينيل أمين
Wollastonite,	وو لاستونیت
p-Xylene,	بار ا–کزیلین
2,6-Xylenol,	6،2- كزيلينول
p-Xylylene diacetate,	ثنائي خلات بار ا-كزيليلين
	p-كزيليلين ثنائي الأستات
m-Xylylenediamine,	m-كزيليلين ثنائي أمين

p-Xylylene dipropionate	p-كزيليلين ثنائي البروبيونات
Zinc acetate,	أستات التوتياء- خلات التوتياء
Zinc chloride,	كلوريد التوتياء
Zinc oxide	أوكسيد التوتياء
Zinc phthalocyanine,	فتالوسيانين التوتياء
Zinc <i>p</i> -toluene sulfonate,	p-تولوين سلفونات التوتياء
Zirconia,	الزركونيا (أوكسيد الزركونيوم)

ثبت المصطلحات: عربي-إنجليزي

Zwitterion اثناني الشاردة

Birefringence اثناني الكسر

Antibodies أجسام مضادة

Polarized light microscopy إجهار بالضوء المُستقطب

Dealkylation إز الة الألكيل

Debutylation إزالة البوتيل

إز الة الكربوكسيل Decarboxylation

Dehydration إزالة الماء

إز الة الهلجنة Dehalogenation

Azeotrpe آزيوتروب

Asbestos (أميانت) الأسبستوس (أميانت)

استخلاص Extraction

Tensile Elongation break استطالة الشد عند الانهيار

Tensile Elongation yield استطالة الشد عند الخضوع

Acetylation

استز اف

Fluidized beds الأسرّة المميّعة

Flammability الاشتعالية

Metathesis اصطناع بالمناقلة

اصطناع– تحضير مركّب

Chiral phases أطوار كيراليّة- أطوار الانطباقية Pervaporation membranes أغشية النفاذ البخاري Membranes أغشية فاصلة (انتقائية) Exciplexes إكسيبلكس: معقدات مثارة **Excitons** إكسيتونات (أزواج: إلكترونات-ثقوب Excimer إكسيمير: جزيء مُثار Electron affinity ألفة إلكترونية Water affinity ألفة للماء Alkynylation ألكاينيلية Electrophile إلكتر و فيل -محبّ للشحنات السالبة Alkylation ألكلة **Fibers** ألياف ألياف مركبة سابقة التشريب Prepregs Mechanism آلبّة Hopping mechanism آلية قفز (من آليات الموصلية الكهربائية) Aliphatic أليفاتي Alicyclic أليفاتي حلقي Adsorption امتزاز - ادمصاص Stoichiometric coefficients أمثال تفاعلية أو ستوكيومترية Optimization أمْثَلَة Transamidation أميدة تبادلية Amination أمْيَنة أنتالبية البَلْورة -المحتوى الحرارى للبَلْورة Enthalpy of crystallization

انتشار

Diffusion

Swelling انتباج-تورّم

Solubility انحلالية

Proteolytic enzymes أنزيمات مفككة للبروتين

Photocuring إنضاج بالضوء

Post curing إنضاج لاحق

Adiabatic compression انضغاط كظوم

Delamination انفصال الصفيحات

Photorefractivity انكسارية ضوئية

Crown ethers إيثرات تاجية

اپيزوناكتي ايزوناكتي

اپيزومير (متماكب) Isomer

ليزوميرات هندسيّة إيزوميرات هندسيّة

Transimidization إيميدة تبادلية

Twin screw extruder باثق ثنائي اللولب

بادئ آنيوني – مبادر آنيوني

Spraying

Substitutes بدائل

Pushings بطانات

Anhydride بلا ماء

بلمرة متجانسة Homopolymerization

Anionic polymerization بلمرة آنيونية

بلمرة بالتكاثف Polycondensation

Polycondensation بلمرة بالتكاثف

بلمرة حرارية Thermal polymerization

Photopolymerization بلمرة ضوئية

Cationic polymerization بلمرة كاتيونية Bulk polymerization بلمرة كتلية Liquid crystals بلور ات سائلة Crystallite بُلِّيرِ ة Photorefractive polymer بوليمير ضوئي الانكسار Hyperbranched polymer بوليمير فائق التشعب Statistical copolymer بوليمير مشترك إحصائي Thermosets بوليميرات التصلّد الحراري Herbicide containing polymers بوليميرات حاوية مبيدات عشبية Living polymers بوليمير ات حيّة Dendrimers بوليمير ات شجرية التشعب Polyelectrolytes بوليميرات كهرليتية Conjugated polymers بوليميرات مترافقة Heterocyclic polymers بوليمير ات متغايرة الحلقات Copolymers بوليميرات مشتركة Random Copolymers بوليميرات مشتركة عشوائية **Block Copolymers** بوليميرات مشتركة كتلية التعاقب **Alternating Copolymers** بوليميرات مشتركة متناوبة **Graft Copolymers** بوليميرات مشتركة مطعمة Photoluminescence تألَّق ضوئي تألق فَلْوري Fluorescence Phosphorescence تألق فوسفوري Electroluminescence تألّق كهربائي Crystallization تبلور Drug release

تحرير الدواء

hydrolysis تحلُّل بالماء- الحلمهة **Pyrolysis** تحلّل حراري Self-propagating thermolysis تحلّل حراري ذاتي الانتشار Photolysis تحلل ضوئي Elemental analysis تحليل عنصري Etching تخريش Ion etching تخریش أیونی (شاردي) Thermal degradation تدهور حراري Amphoteric تذبذبيّ –متذبذب Field effect transistors ترانزيستورات ذات مفعول حقلي Terpolymers تربوليميرات (بوليميرات مشتركة ثلاثية) Sputtering ترذيذ Ultrafiltration ترشيح فائق Microfiltration ترشيح مكروي Shear thinning ترقق بالقص Vitrification تزجّج Crosslinking تشبيك تصالبي Polydispersity تشتتية بوليميرية Impregnation تشريب Micromachining تشغيل مكروي Thermoforming تشكيل حراري Stress-cracking تصدع بالإجهاد

تصفية غشائية (الديلزة)

تصویر کهرفوتو غرافی (کزیرو غرافیا)

تصوير كهرفوتوغرافي (كزيروغرافيا)

Dialysis

Xerography

Electrophotography

Intercalation تضمين Fatigue تعب Encapsulation تغليف Redistribution reaction تفاعل إعادة التوزيع Cyclocoupling reaction. تفاعل قُرن حلقات Photochemical reactions تفاعلات كيميائية ضوئية Ageing تقادم– تعتيق Oxidative coupling تقارن مؤكسد Doctor blade techniques تقانات مبضع الجراح Exfoliation تقشر Nucleotide mimetics تقليد النيو كليتيدات تقنيّة التجميع السطحي surface-mount technology Solution casting technique تقنيّة صب المحلول Sintering تلبيد Electroplating تلبيس أو طلاء كهربائي Telomer تلومير photochromism تلوّن ضوئي Electrochromism تلوّن كهربائي Cohesion تماسك Isomerization تماكب Conformation تماكب دوراني- امتثال Reverse osmosis تناضح عكسي Nucleation تتوية Electrophoresis التهجير الكهربائي

التو اءات

Kinks

تو افق Biocompatibility تو افقیة حدو پة

تو افقية حيوية Biocompatibility

Themical vapor deposition توضّع الأبخرة كيميائياً

Electrophoretic deposition توضيع بالتهجير الكهربائي

توظیف: زرع زمر وظیفیة توظیف:

Photocurrent تيار ضوئي

تيلة (ليف غير مستمر) Staple fiber

نبضات فمتوثانية (10^{-15} ثانية) نبضات فمتوثانية (

ثرمونروبی ثرمونروبی

Triplet ثلاثية

Trimers (تریمیرات (تریمیرات)

Rigid پاسځ

Radical cation جذر کاتیونی

جز ء من المليون جز ء من المليون

Particle

Amicroparticles مکرویة

Nanoparticles جسیمات نانویة

Gelation جُلْتَة

جهاز سوكسليت (للاستخلاص) Soxhlet apparatus

Matrix حاضنة

Alicrocapsule حافظات مكروية

حالة قاعدية – حالة أساسية

حالة مثارة علامة مثارة

حامل لوني - كروموفور Chromophore

حد الكشف Detection limit

حفظ المعطيات ضوئياً Optical data storage

Adarrocycles حلقات ضخمة

Messenger RNA حمض نووي ريبي مرسال

A Heteropolyacids a sulta a salut a s

Nucleic acids حموض نووية

Space charge حيّز مشحون

خافض توتر سطحي خافض توتر سطحي

خواص مضادة لنمو المتعضيات Anti-fouling properties

درجة البلمرة Degree of polymerization

درجة حرارة الانحراف الحراري Heat deflection temperature

درجة حرارة التنبق Sticking temperature

درجة حرارة التشوه الحراري Heat distortion temperature

درجة حرارة التوجيه

دعامات (شبكات أنبوبية) دعامات

دليل الأوكسجين Oxygen index

لليل الموجة دليل الموجة

Dimerization ديمرة

Oxidative dimerization ديمرة مؤكسدة

دیمیر (ثنائیمیرات) دیمیر

Light-emitting diodes ديودات مُصدرة للضوء

دیوکسینات (مرکبات سامة) دیوکسینات (مرکبات سامة)

ر انتجات

ر انتجات التصلّد الحر ارى

Racemic

Tetramer رباعیمیرات (تترامیرات) ligand Retro-reflective رجعي الانعكاس Foams ر غويات Anchor groups زمر إرساء Photochromic groups زمر متلونة ضوئياً Pendant group زمرة متدلية Chromatic aberration زيغ لوني **Brightness** سطو ع Side Chain سلسلة جانبية سلسلة رئيسة Backbone Main chain سلسلة رئيسة سيرورة جافة Dry process سيرورة مبلّلة Wet process Silylation سيللة Syndiotactic سينديو تاكتي LCD projectors شاشات البلورات السائلة Networks شبكات Interpenetrating networks شبكات متداخلة Diffraction grating شبكة انعراج الشّبَه **Brass** Preform شكل أولى **Dopants** شو ائب Solvent casting صب المذيب

صب دو امي

Spin casting

صب، سکب

صدم آیزود المثلوم Notched Izod Impact

Scavenger عيّاد

Formulations صياغات

Adduct ضُمامة

ضوء مناسب Actinic light

طباعة بالمنخل Screen printing

طباعة ضوئية- ليتوغر افيا ضوئية

طباعة فلكسو غر افية Hexographic printing

طباعة نفث الحبر طباعة نفث الحبر

Reflective layers طبقات عاكسة

Anticorrosion layers طبقات مقاومة للتأكّل

طلاءات مسحوقية طلاءات

طلي (تلبيس) لاكهربائي لاكهربائي

طلی بالتغطیس طلی بالتغطیس

طلي دو امي طلي دو امي

طور وسطى (ميزو) طور وسطى

عامل انتقال السلسلة Chain transfer agent

عامل تعقید Chelating agent

عامل تو افق agent

عامل ضياع عامل ضياع

عامل ناقل للشحنة Charge transporting agent

Percolation threshold عتبة التخلخل

Aggregates عناقيد

عوامل احتجاز Blocking agents

Mold release agents عوامل تحرير القالب Capping agents عوامل تغطية Blowing agents عوامل نفخ Quenched sample عينة مسقيّة **Defects** عيوب Spinning غزل Electrospinning غزل الكهربائي **Fullerenes** فلرينات Medium carbon steel فو لاذ كربوني وسطي Miscibility قابلية المزج Deep drawability قابلية سحب عميق Chain scission قص السلسلة Core-shell قلب-قالب Switches قو اطع Dielectric strength قوة العزل الكهربائي Stretch blow molding قولبة النفخ بالمط Injection molding قولبة بالحقن Blow molding قولبة بالنفخ Thermoplastic molding قولبة ملدّنة حرارياً Cyclic voltametry قياس القولطائية الحلقية (في الكهركيمياء) Differential scanning قياس كميّة الحرارة بالمسح التفاضلي calorimetry Thermogravimetry قياس وزني حراري

كاره الماء

كر و ماتو غر افيا استبعاد المقاس

كَر ْبِلَة

Hydrophobe

Carbonylation

Size exclusion chromatography

Inverse gas chromatography كروماتوغرافيا الغازية العكسية كِسْرة جمعها كُسارة وكِسَر Moiety Quantum efficiency كفاءة كمومية Turn-on voltage كمون إشعال Redox potential كمون الأكسدة والإرجاع Open-circuit voltage كمون الدارة المفتوحة Biased voltage كمون منحاز Ferroelectricity كهرحديدية Electronegativity كهرسلبية Electret كهرطيس Electrolyte كهرليت Electroplexes كهرمعقد Electromer کهرمیر Anisotrope لا متناح Optical nonlinearity لاخطية ضوئية- لاخطية بصرية Amorphous لامتبلّر Welding لحام Reflow soldering لحام بالانحسار Inherent viscosity لزوجة أصيلة الزوجة متأصلة Intrinsic viscosity لزوجة جوهرية Adhesives لواصق Printed circuit boards لوحات الدارات المطبوعة Lyotropy ليو تر وبية Ductility ليونة

أبيف

Fibril

ما بين جزيئي Prepolymer ما قبل البوليمر

Aqua regia ماء ملکی

Supercritical fluid مائع فوق الحرج

مادة حلولة مادة حلولة

مادة سابقة أو طليعية

مادة محلَّلة

مادة ممتزّة Adsorbent

مادة ناقلة للثقوب Hole-transporting material

مانح-متقبّل Donor-acceptor

مانعات تسرّب daskets

مبادرة بالضوء Photoinitiation

مباعدات-فو اصل

Flame retardants مبطئات اللهب

متألّقات Luminophores

Toughness

Multifunctional متعدد الوظائف

Reagent متفاعل، كاشف

Acceptor مُتقبّل

Spherulites متكوّر ات

الجهات متاتل الجهات متاح

Number average molecular متوسط عددي للوزن الجزيئي

weight

Oxidative stabilizers مثنتات تجاه الأكسدة

مثبطات التأكّل Corrosion inhibitors

مثبطات ثرومبين (مضادات تخثّر الدم) مثبطات ثرومبين (مضادات تخثّر الدم)

Methylation Sensors مُحسِّات Impedimetric sensors محسات لقياس الممانعة Sensitizers مُحسِّسَات Catalysts محفز ات Phase transfer catalysts محفزات انتقال الطور Stock solution محلول أم Sol محلول معلّق Brine محلول ملحى Sol-gel محلول-هلام Autoclave محمّ Extent of a reaction مدى تقدّم تفاعل Protic solvent مذيب بروتوني Aprotic solvant مذيب لا بروتوني Anti-glare mirrors مرايا مضادة للإبهار Quantum yield مردود كمومي Blends مز ائج Melt blending مزج بالصهر **Implantates** مزروعات في النسج الحية (الزرعات) Lubricants مزلقات **Decolorants** مزيلات الألوان Interdigitated electrodes مسار متداخلة Electron-withdrawing مستبدلات ساحبة للإلكترونات substituents **Bulky** substituents مستبدلات ضخمة أو جسيمة

مستحلب

Emulsifier

Aust-Guest صيف

مسرى العمل Working electrode

Anode

Antioxidants مضادّات أكسدة

Elastomers مطاطيات

مُطفئ Quencher

X-ray photoelectron مطيافية الأشعة السينيّة الفوتو إلكترونيّة

spectroscopy

Capacitance transient الانتقاليّة السعة الانتقاليّة

spectroscopy

Admittance spectroscopy مطيافية القبولية

And Impedance spectroscopy adults Impedance spectroscopy

A Electron spin resonance مطيافية طنين السبين الإلكتروني

spectroscopy

معادن قلوية Alkali metals

معادن قلویة تر ابیة Alkaline earth metals

معالجة بالكبريت Sulfurization

rocessing تشغيل -معالجة

Coefficient

Shear modulus معامل إجهاد القص

A riction coefficient معامل الاحتكاك

Flexural modulus معامل الانحناء

Wear coefficient معامل الاهتراء

Tensile modulus مُعامل الشد

Modulus of elasticity معامل المرونة

معدِّلات الصدم

Rheology modifiers معدّلات ریولوجیة

معزز ات الأكسدة Oxidation promoters

Flow promoters معزرات التدفق Charge transfer complex معقد انتقال الشحنة Slurry معلَّق طيني القوام مغْز ال Spinneret Synergistic effect مفعول تآزري Tortuosity effect مفعول تعرّجي Mesomeric effect مفعول ميزوميري- مفعول طنيني Flexural Strength مقاومة الانحناء Flexural yield strength مقاومة الانحناء عند الخضوع Compressive yield strength مقاومة الانضغاط عند الخضوع Peel strength مقاومة التقشير Creep resistance مقاومة الزحف (التشوه تحت الإجهاد) Tensile strength break مقاومة الشد عند الانهيار Impact resistance مقاومة الصدم Shear strength مقاومة القص Cis-trans مقرون-مفروق Pyrotechnic composition مكوتنات نارية **Plasticizers** ملدنات Chain extenders ممددات السلسلة Reactive diluents ممددات فعالة Cathode مهبط Polyelectrochromic materials مواد ذات تلوّن كهربائي متعدد **Fillers** مواد مالئة Nanocomposites مو اد مر كبة نانوية

مو اد هجينة

Hybrid materials

Compatibilizers مو افقات **Parameters** موسطات Photoconductivity موصلية ضوئية Photo acid generators مولّدات حموض ضوئياً Macromonomer مونومير ضخم Comonomer مونومير مشارك Telechelic monomers مونوميرات تلكيليّة Hydrophile ميّال للماء Resolution مَيْز Enamels میناء (مادة متزججة) Byproduct ناتج ثانوي Nitration نترتة **Tautomerism** نزوح Aspect ratio نسبة بعدية Contrast ratio نسبة تباين Array نسق Conduction band نطاق الموصلية Valence band نطاق تكافؤ Band gap نطاق محظور (فجوة طاقية) Permeability نفاذية Softening point نقطة تليُّن Smart windows نو افذ ذكية Specie نوع

نيو كليو فيل-ميّال للشحنات الموجبة

هباب الفحم

Nucleophile

Carbon black

Particulate هباب- جسيمات معلّقة Electrophilic attack هجوم إلكتروفيلي Hydrogenation هَدْرجة Brittle هش- قصف Embrittlement هشاشة Gel هلام Silica gel هلام سيليكا Aerogels هلاميات هوائية Holograms الهولوغر امات Hydrogels هيدروجل- هلام مائي Singlet واحدية

Mesogenic unitsوحدات ميزوجينيةHomojunctionوصلات مثليّةHeterojunctionوصلة متباينة

ثبت المصطلحات: إنجليزي-عربي

Acceptor مُتَقبّل

Acetylation أسئلة

Actinic light ضوء مناسب

Adduct ضُمامة

Adhesives لواصق

Adiabatic compression انضغاط كظوم

مطيافية القبولية

Admittance spectroscopy

Adsorbent مادة ممتزّة

Adsorption متزاز – ادمصاص

Aerogels هلاميات هو ائية

تقادم- تعتيق

Aggregates عناقيد

Alicyclic أليفاتي حلقي

Aliphatic أليفاتي

معادن قلویة Alkali metals

Alkaline earth metals معادن قلویة تر ابیة

Alkylation

Alkynylation ألكاينيلية

بولیمیرات مشترکة متناوبة Alternating Copolymers

Amination أَمْيْنَة

Amorphous لامتيلًر

Amphoteric تذبذبيّ –متذبذب مادة محلَّلة Analyte Anchor groups زمر إرساء Anhydride بلا ماء Anionic polymerization بلمرة آنيونية Anisotrope لا متناح Anode مصعد Antibodies أجسام مضادة Anticorrosion layers طبقات مقاومة للتأكّل خواص مضادة لنمو المتعضيات Anti-fouling properties Anti-glare mirrors مرايا مضادة للإبهار Antioxidants مضادّات أكسدة Aprotic solvant مذيب لا بروتوني Aqua regia ماء ملكي نسق Array Asbestos الأسبستوس (أميانت) Aspect ratio نسبة بعدية Autoclave محمّ آزيوتروب Azeotrpe Backbone سلسلة رئيسة Band gap نطاق محظور (فجوة طاقية) Biased voltage كمون منحاز Biocompatibility توافقية حيوية Birefringence اثنانى الكسر

مز ائج

بوليميرات مشتركة كتلية التعاقب

Blends

Block Copolymers

عوامل احتجاز عوامل احتجاز Blow molding

عوامل نفخ Blowing agents

Brass الشّبَه

Brightness سطوع

محلول ملحي

هش – قصف

Bulk polymerization بلمرة كتلية

مستبدلات ضخمة أو جسيمة

Pushings بطانات

Byproduct ناتج ثانوي

مطيافيّة السعة الانتقاليّة مطيافيّة السعة الانتقاليّة

spectroscopy
Capping agents

حوامل تغطية عوامل تغطية Carbon black

Carbonylation كُرْبَلَة

Casting بسکب سکب

Catalysts محفزات

Cathode

بلمرة كاتيونية Cationic polymerization

Chain extenders ممدّدات السلسلة

قصّ السلسلة Ehain scission

عامل انتقال السلسلة Chain transfer agent

Charge transfer complex

عامل ناقل للشحنة Charge transporting agent

عامل تعقيد Chelating agent

Chemical vapor deposition توضع الأبخرة كيميائياً Chiral phases أطوار كيراليّة- أطوار الانطباقية Chromatic aberration زيغ لوني Chromophore حامل لونى- كروموفور Cis-trans مقرون-مفروق Coefficient معامل Cohesion تماسك Comonomer مونومير مشارك Compatibility تو افق Compatibilizers مو افقات Compatiblizing agent عامل تو افق Compressive yield strength مقاومة الانضغاط عند الخضوع Conduction band نطاق الموصلية Conformation تماکب دورانی- امتثال Conjugated polymers بوليمير ات متر افقة نسبة تبابن Contrast ratio Copolymers بولیمیر ات مشتر کة Core-shell قلب-قالب Corrosion inhibitors مثبطات التأكّل Creep resistance مقاومة الزحف (التشوه تحت الإجهاد) Crosslinking تشبيك تصالبي Crown ethers إيثرات تاجية Crystallite بُلّير ة

تبلور

تفاعل قررن حلقات

قياس القولطائية الحلقية (في الكهركيمياء)

Crystallization

Cyclic voltametry

Cyclocoupling reaction.

Dealkylation إز الة الألكيل

إز الله البوتيل Debutylation

Decarboxylation إز الله الكربوكسيل

Decolorants مزيلات الألوان

Deep drawability قابلية سحب عميق

Defects عيوب

درجة البلمرة Degree of polymerization

Dehalogenation إزالة الهلجنة

Dehydration إزالة الماء

Delamination انفصال الصفيحات

بوليميرات شجرية التشعب

حد الكشف Detection limit

تصفية غشائية (الديلزة)

Dielectric strength قوة العزل الكهربائي

قياس كميّة الحرارة بالمسح التفاضلي Differential scanning

calorimetry

شبكة انعراج Diffraction grating

Diffusion انتشار

ديمير (ثنائيميرات) ديمير (ثنائيميرات)

Dimerization ديمرة

Lioxins (مركبات سامة) ديوكسينات (مركبات سامة)

Dip-coating طلى بالتغطيس

عامل ضیاع عامل ضیاع

Doctor blade techniques تقانات مبضع الجراح

مانح-متقبّل Donor-acceptor

Dopants شوائب

Drug release تحرير الدواء Dry process ميرورة جافة

Ductility

Elastomers مطاطيات

Electret کهرطیس

Electrochromism تلوّن کهربائي

تألّق كهربائي Electroluminescence

Electrolyte کهرایت

Electromer کهرمير

Electron affinity ألفة إلكترونية

Electron spin resonance مطيافيّة طنين السبين الإلكتروني spectroscopy

Spectroscopy Electronegativity کهر سلبیهٔ

Electron-withdrawing (7) is in its Ni a rate of the control of the

Electron-withdrawing مستبدلات ساحبة للإلكترونات substituents

إلكتروفيل - محبّ للشحنات السالبة إلكتروفيل - محبّ للشحنات السالبة

هجوم إلكتروفيلي Electrophilic attack

Electrophoresis التهجير الكهربائي

Electrophoretic deposition توضيع بالتهجير الكهربائي

تصوير كهرفوتوغرافي (كزيروغرافيا) Electrophotography

Electroplexes کهرمعقد

Elemental analysis تحليل عنصري

Embrittlement مشاشة

Emulsifier مستحلب

میناء (مادة مترججة) Enamels

Encapsulation

Enthalpy of crystallization المحتوى الحراري للبنُّورة المحتوى الحراري للبنُّورة

تخریش تخریش

اکسیمیر: جزیء مُثار Excimer

إكسيبلكس: معقّدات مثارة

حالة مثارة Excited state

إكسيتونات (أزواج: إلكترونات -ثقوب

شحنات)

Exfoliation تقشّر

Extent of a reaction مدى تقدّم تفاعل

Extraction استخلاص

Fatigue بعب

نبضات فمتوثانية (10⁻¹⁵ ثانية (10⁻¹⁵ ثانية)

Ferroelectricity کهر حدیدیة

Fibers

Fibril لُبيف

Field effect transistors تر انزیستور ات ذات مفعول حقلی

Fillers مواد مالئة

Flame retardants مبطئات اللهب

Flammability الاشتعالية

طباعة فلكسو غرافية Flexographic printing

Flexural modulus معامل الانحناء

مقاومة الانحناء Flexural Strength

مقاومة الانحناء عند الخضوع

معزز ات التدفق Flow promoters

Fluidized beds الأسرّة المميّعة

تألق فَلُوري تألق فَلُوري

رغويات رغويات

Formulations صياغات

Friction coefficient معامل الاحتكاك

Fullerenes فلرينات

توظیف: زرع زمر وظیفیة توظیف: نرع زمر وظیفیة

مانعات تسرّب

هلام

Gelation جُلْتَة

إيز وميرات الهندسيّة Geometrical isomers

بولیمیرات مشترکة مطعمة Graft Copolymers

حالة فاعدية - حالة أساسية

درجة حرارة الانحراف الحراري Heat deflection temperature

درجة حرارة التشوه الحراري Heat distortion temperature

بوليمير ات حاوية مبيدات عشبية Herbicide containing polymers

بوليمير ات متغاير ة الحلقات Heterocyclic polymers

وصلة متباينة eصلة متباينة

حموض متعددة مغايرة Heteropolyacids

مادة ناقلة للثقوب Hole-transporting material

هو لو غر امات Holograms

وصلات مثلیّة Homojunction

بلمرة متجانسة Homopolymerization

آلية قفز (من آليات الموصلية الكهربائية) Hopping mechanism

ستضيف-ضيف

Apprid materials مواد هجينة

هيدروجل- هلام مائي هيدروجل

Hydrogenation هَدْرِجة

hydrolysis تحلّل بالماء – الحلمهة

Aydrophile ميّال للماء

Algorithm کارہ الماء کارہ الماء

بوليمير فائق التشعّب Hyperbranched polymer

Impact modifiers معدِّلات الصدم

مقاومة الصدم

Adulius Impedance spectroscopy adulius مطيافية الممانعة

محسات لقياس الممانعة Impedimetric sensors

مزروعات في النسج الحية (الزرعات) مزروعات في النسج الحية (الزرعات)

Impregnation تشريب

لزوجة أصيلة لزوجة متأصلة المتابعة المت

بادئ آنيوني – مبادر آنيوني

قولبة بالحقن قولبة بالحقن

طباعة نفث الحبر dela Ink-jet printing

Intercalation تضمين

مسار متداخلة Interdigitated electrodes

الما بین جزیئی Intermolecular

Interpenetrating networks شبكات متداخلة

لزوجة جوهرية لزوجة جوهرية

Inverse gas chromatography كروماتوغرافيا الغازية العكسية

تخریش أیوني (شاردي) تخریش الونی (شاردي)

Isomer إيزومير (متماكب) Isomerization Isotactic إيزوتاكتى Isotrope متماثل الجهات- متناح Kinks التو اءات LCD projectors شاشات البلورات السائلة Leaching استنز اف ligand ربيطة Light-emitting diodes ديودات مصدرة للضوء Liquid crystals بلورات سائلة بوليميرات حيّة Living polymers Lubricants مز لقات Luminophores متألّقات Lyotropy ليوتروبية Macrocycles حلقات ضخمة Macromonomer مونومير ضخم Main chain سلسلة رئيسة Matrix حاضنة Mechanism آلبّة Medium carbon steel فو لاذ كربوني وسطى Melt blending مزج بالصهر Membranes أغشية فاصلة (انتقائية) Meso phase طور وسطى (ميزو) Mesogenic units وحدات ميز وجينية Mesomeric effect مفعول ميزوميري- مفعول طنيني

حمض نووي ريبي مرسال

Messenger RNA

Metathesis اصطناع بالمناقلة Methylation مَثْبِلة Microcapsule حافظات مكروية Microfiltration ترشيح مكروي Micromachining تشغيل مكروي Microparticles جسيمات مكروية Miscibility قابلية المزج Modulus of elasticity معامل المرونة كِسْرة جمعها كُسارة وكِسَر Moiety Mold release agents عوامل تحرير القالب Multifunctional متعدد الوظائف Nanocomposites مواد مركبة نانوية Nanoparticles جسيمات نانوية Networks شبكات **Nitration** نترتة Notched Izod Impact صدم آيزود المثلوم Nucleation تنوية Nucleic acids حموض نووية Nucleophile نيوكليوفيل-ميّال للشحنات الموجبة Nucleotide mimetics تقليد النيو كليتيدات Number average molecular متوسط عددي للوزن الجزيئي weight Open-circuit voltage كمون الدارة المفتوحة

حفظ المعطيات ضوئياً

أمْثَلَة

لاخطية ضوئية- لاخطية بصرية

Optical data storage

Optical nonlinearity

Optimization

Orientation temperature درجة حرارة التوجيه Oxidation promoters معز زات الأكسدة Oxidative coupling تقارن مؤكسد Oxidative dimerization ديمرة مؤكسدة Oxidative stabilizers مثبتات تجاه الأكسدة Oxygen index دليل الأوكسجين **Parameters** موسطات Particle جسيم Particulate هباب- جسيمات معلّقة Peel strength مقاومة التقشير Pendant group ز مرة متدلية Percolation threshold عتبة التخلخل Permeability نفاذبة Pervaporation membranes أغشية النفاذ البخاري Phase transfer catalysts محفزات انتقال الطور Phosphorescence تألق فوسفوري مولّدات حموض ضوئياً Photo acid generators Photochemical reactions تفاعلات كيميائية ضوئية Photochromic groups زمر متلونة ضوئياً photochromism تلوّن ضوئي Photoconductivity موصلية ضوئية Photocuring إنضاج بالضوء Photocurrent تيار ضوئي Photoinitiation مبادرة بالضوء Photolithography طباعة ضوئية- ليتوغر افيا ضوئية

تألّق ضوئي

Photoluminescence

Photolysis تحلل ضوئي

بلمرة ضوئية Photopolymerization

Photorefractive polymer بوليمير ضوئيّ الانكسار

Photorefractivity انكسارية ضوئية

Plasticizers ملدنات

Polarized light microscopy إجهار بالضوء المُستقطب

بلمرة بالتكاثف Polycondensation

Polycondensation بلمرة بالتكاثف

Polydispersity تشتتية بوليميرية

Polyelectrochromic materials مواد ذات تلوّن کهربائی متعدد

Polyelectrolytes بوليميرات كهرليتية

Post curing إنضاج لاحق

طلاءات مسحوقية طلاءات

جزء من المليون

مادة سابقة أو طليعية

شکل أولي شکل أولي

ما قبل البوليمر Prepolymer

ألياف مركّبة سابقة التشريب

Printed circuit boards لوحات الدارات المطبوعة

rocessing تشغيل -معالجة

Proteolytic enzymes أنزيمات مفككة للبروتين

Arotic solvent مذیب بروتونی

Pyrolysis تحلّل حراري

Apyrotechnic composition مکوتات ناریة

Quantum efficiency كفاءة كمومية

مردود کمومي Quantum yield

عينة مسقيّة

مُطفئ Quencher

Racemic راسيمي

Radical cation جذر کاتیونی

Random Copolymers بوليمير ات مشتركة عشوائية

Reactive diluents ممدّدات فعّالة

Reagent متفاعل، كاشف

Redistribution reaction تفاعل إعادة التوزيع

Redox potential كمون الأكسدة والإرجاع

Reflective layers طبقات عاكسة

Reflow soldering Lala بالانحسار

Resins راتنجات

مَيْز Resolution

Retro-reflective رجعى الانعكاس

Reverse osmosis تناضح عکسي

Rheology modifiers معدّلات ريولوجية

Rigid پاسئ

Scavenger ميّاد

طباعة بالمنخل Screen printing

Self-propagating thermolysis تحلّل حراري ذاتي الانتشار

Sensitizers مُحسِّسَات

Sensors مُحسِّات

Shear modulus معامل إجهاد القص

Shear strength مقاومة القص

ترقق بالقص ّ Shear thinning

Side Chain مىلسلة جانبية Silica gel هلام سيليكا

Silylation سيللة

Singlet

Sintering

Size exclusion chromatography كروماتو غرافيا استبعاد المقاس

معلّق طيني القوام

Smart windows نوافذ ذکیة

Softening point نقطة تليُّن

محلول معلّق محلول معلّق

محلول-هلام

Solubility liability

مادة حلولة مادة حلولة

Solution casting technique تقنيّة صب المحلول

Solvent casting صب المذيب

جهاز سوكسليت (للاستخلاص) جهاز سوكسليت (للاستخلاص)

Space charge حيّر مشحون

مباعدات – فو اصل

Specie نوع

Spherulites متكوّرات

صب ّ دو امی

طلي دو امي

Spinneret مغْز ال

Spinning

Spraying بخ

Sputtering ترذيذ Staple fiber تيلة (ليف غير مستمر) Statistical copolymer بوليمير مشترك إحصائي Stents دعامات (شبكات أنبوبية) Sticking temperature درجة حرارة التدبق Stock solution محلول أم Stoichiometric coefficients أمثال تفاعلية أو ستوكيو مترية Stress-cracking تصدع بالإجهاد Stretch blow molding قولبة النفخ بالمط **Substitutes** بدائل Sulfurization معالجة بالكبريت Supercritical fluid مائع فوق الحرج surface-mount technology تقنية التجميع السطحى Surfactant خافض توتر سطحي Swelling انتباج- توريم **Switches** قو اطع Syndiotactic سينديو تاكتي Synergistic effect مفعول تآزري Synthesis اصطناع- تحضير مركب **Tautomerism** نزوح Telechelic monomers مونوميرات تلكيلية تلومير Telomer Tensile Elongation break استطالة الشد عند الانهيار Tensile Elongation yield استطالة الشد عند الخضوع Tensile modulus معامل الشد

مقاومة الشد عند الانهيار

Tensile strength break

تِرْبوليميرات (بوليميرات مشتركة ثلاثية) Terpolymers

رباعیمیرات (تترامیرات) Tetramer

Thermal degradation تدهور حراري

بلمرة حرارية Thermal polymerization

تشکیل حرار ي Thermoforming

Thermogravimetry قياس وزني حراري

Thermoplastic molding قولبة ملتنة حرارياً

بوليميرات التصلّد الحراري بوليميرات التصلّد الحراري

راتنجات التصلّد الحراري Thermosetting resins

Thermotropic ثرموتروبي

مثبطات ثرومبين (مضادات تخثّر الدم) Thrombin inhibitors

مفعول تعرّجي Tortuosity effect

Toughness

Transamidation أميدة تبادلية

Transimidization پمیدة تبادلیة

Trimers (تریمیرات (تریمیرات)

Triplet

Turn-on voltage

Twin screw extruder باثق ثنائي اللولب

Ultrafiltration ترشيح فائق

Valence band نطاق تكافؤ

Vitrification ترجّع

Water affinity ألفة للماء

لليل الموجة دليل الموجة

Wear coefficient معامل الاهتراء

Welding

wet process سيرورة مبلّلة

working electrode مسرى العمل

Xerography (کزیروغرافیا) کوریوغرافیا)

X-ray photoelectron طيافية الأشعة السينيّة الفوتو إلكترونيّة

spectroscopy

Zwitterion أثناني الشاردة

الثبت التعريفي

اثناني الكسر (Birefringence): خاصة للمواد اللامتماثلة المناحي تؤدي إلى انقسام الشعاع الضوئي عند دخوله إلى هذه المواد إلى شعاعين ينتشران في الوسط بسرعتين مختلفتين. فعندما يهتز الحقل الكهربائي لأحد هذين الشعاعين في مستو يضم المحور البصري (محور التناظر للوسط اللامتماثل المناحي) فإنّ هذا الشعاع يُسمّى الشعاع العادي، وتكون سرعة انتشاره غير متعلقة بمنحى الانتشار، ونسمي قرينة الانكسار المرافقة n_0 . في حين إذا كان الحقل الكهربائي للموجة الضوئية يهتز في مستو عمودي على المحور البصري فإنه يُسمّى الشعاع فوق العادي، وتكون سرعة انتشاره متعلقة بمنحى الانتشار، ونسمي قرينة الانكسار المرافقة n_0 . ونعرّف أحياناً اثناني الكسر بالفرق n_0 .

إجهاد القص (Shear Stress): هو الإجهاد الذي يسعى إلى تشويه المادة عبر انزلاق مستوياتها الموازية للإجهاد. وهو يحصل في الحالتين الصلبة والسائلة. ويرتبط في حالة المادة السائلة باللزوجة.

اختبار صدم آيزود المثلوم (Notched Izod impact test): اختبار مُمقيس من قبل منظمة مقايس المواد واختباراتها الدولية (الأمريكية) ASTM ، لقياس مقاومة الصدم. وقد سُمًي الاختبار باسم المهندس الإنكليزي Edwin Gilbert Izod الذي وصفه أول مرة عام 1903. تُستخدم في الاختبار عادة عيّنة مثلومة لمنع تشوّهها تحت الصدم. يجري تثبيت العيّنة بحيث يواجه الجزء المثلوم ذراعاً مهتزة تقوم بالصدم. تُوضع هذه الذراع على الرتفاع معيّن (حاملة طاقة كامنة ثابتة)، ثم تُترك لتسقط سقوطاً حراً على العيّنة لتكسرها. وتُحدّد مقاومة المادة للصدم بالطاقة التي امتصتها أثناء الصدم.

آزيوتروب (Azeotrope): مزيج من سائلين أو أكثر وفق نسبة لا يمكن تغييرها بالتقطير فقط. وذلك لأنّ البخار الناتج من غليان الآزيوتروب له نسبة المكوّنات ذاتها التي للمزيج السائل الأصلى، ومن ثمّ لا يقبل الآزيوتروب الفصل بالتقطير المجزّأ المعتاد.

أوليغومير (Oligomer): مركب ذو بنية تقع بين بنية المونومير والبوليمير، ويتكون من عدد محدد من الوحدات المونوميرية.

أيونومير (Ionomer): هو بوليمير يحمل فيه جزء صغير (ولكن ذو دلالة) من وحداته البنيوية زمراً متأيّنة أو تقبل التأيّن.

بلمرة بالمناقلة الفاتحة للحلقات: ROMP هي نوع من بلمرة الأوليفينات بالمناقلة، والقوة المحركة لهذا النوع من البلمرة هي فتح مركّب أوليفيني حلقي المتخلص من إجهاد الحلقة (النوربورنين وحلقي البنتين). أما الحفازات المستعملة فهي تضمّ تنوعاً كبيراً من المعادن الانتقالية، نذكر منها حفاز غربس Grubbs. وهي مستعملة بكثرة في الصناعة للوصول إلى بوليميرات ذات تشتت بوليميري ضعيف، وذلك ابتداء من مونوميرات زهيدة الثمن.

بلمرة بانتقال السلسلة العكوس من نمط إضافة - تجزئة -Reversible Addition: RAFT)

(Fragmentation Chain Transfer Polymerization: RAFT: هي نوع من البلمرة الجذرية، الحية التي تقبل الضبط. وتجري في الشروط ذاتها التي تتحقق فيها البلمرة الجذرية ولكن بوجود معاملات انتقال السلسلة من مركبات ثيو كربونيل ثيو (ثنائي ثيو إسترات، ثنائي ثيو كاربامات، ثلاثي ثيو كربونات)، وتتميز بوجود مرحلة إضافة تجزئة عكوسة وبغياب تفاعلات الإنهاء. وتسمح بالوصول إلى بوليميرات ذات توزع كتلي محدد، وكذلك تصميم بوليميرات ذات بنيان معقد: كتلية - خطية، مشطية، نجمية، شجرية التشعب.

بلمرة حية (Living polymerization): هي بلمرة متسلسلة تغيب فيها تفاعلات انتقال السلسلة وتفاعلات الإنهاء. وهي طريقة شائعة في البلمرة لتحضير بوليميرات مشتركة كتلية التعاقب. إذ يجري تحضير البوليمير على مراحل حيث يُضاف في كلّ مرحلة مونومير جديد. ومن الميزات الأخرى لهذه البلمرة: الوصول إلى كتلة مولية محددة مسبقاً، وسيطرة أفضل على الزمر الطرفية.

بليرة (Crystallite): تُعرَف البُليْرة بأنها تلك الحالة من المادة الصلبة التي تتصف بالبنية ذات ذاتها التي تتصف بها البلورة الأحادية. والحالات التي نصادف فيها أجساماً صلبة ذات بلورات أحادية هي حالات نادرة (أحجار كريمة، سيليكون للصناعات الإلكترونية،...)، أما معظم الأجسام الصلبة فهي متعددة البلورات وتتألف من عدد كبير من البليرات التي تربط بينها طبقات رقيقة من المادة الصلبة غير المتبلورة. أما أبعاد البُليرات فهو بين عدة نانومترات وعدة ميليمترات.

بوليمير مشترك (Copolymer): هو بوليمير مكون من نوعين أو أكثر من الوحدات المونوميرية. ونميّز منه أنواعاً حسب طرائق ارتباط الوحدات المونوميرية المشكّلة له، نذكر منها البوليميرات المشتركة الإحصائية والعشوائية والمتناوبة والكتلية التعاقب والمنزرعة. ونعبّر عن البوليمير المشترك الذي يضمّ الوحدتين المونوميريتين B،A في حال عدم تحديد آلية ترتيب الوحدات المونوميرية بالتسمية (poly(A-co-B).

بوليمير مشترك إحصائي (Statistical Copolymer): هو بوليمير مشترك يتبع فيه توزّع الوحدات المونوميرية قوانين إحصائية معروفة، كأن يتبع مثلاً إحصائية ماركوفينية من المرتبة صفر (برنولية) أو من المرتبة الأولى أو الثانية. ونعبّر عن البوليمير المشترك الإحصائي الذي يضم الوحدات المونوميرية C،B،A بالتسمية:

. poly(A-stat -B-stat -C)

بوليمير مشترك عشوائي (Random Copolymer): هو نوع خاص من البوليميرات المشتركة الإحصائية، يكون فيها احتمال العثور على وحدة مونوميرية في موقع معين من السلسلة مستقلاً عن طبيعة الوحدات المونوميرية المجاورة. ونعبر عن البوليمير المشترك العشوائي الذي يضم الوحدات المونوميرية C·B·A بالتسمية:

· poly(A-ran -B-ran -C)

بوليمير مشترك كتلي التعاقب (Block Copolymer): هو بوليمير مشترك مكوّن من جزيئات ذات ترتيب خطي للكتل. ونعرّف الكتلة على أنها جزء من الجزيئة البوليميرية تضم وحدات مونوميرية مغايرة لتلك التي في الأجزاء المجاورة لها. ونعبّر عن البوليمير المشترك الكتلي التعاقب الذي يضمّ الوحدتين المونوميريتين B·A بالتسمية:

. polyA-block -polyB

بوليمير مشترك متناوب (Alternating Copolymer): هو بوليمير مشترك مكون من نوعين من الوحدات المونوميرية الموزّعة وفق تعاقب متناوب. ونعبّر عن البوليمير المشترك المتناوب الذي يضمّ الوحدتين المونوميريتين B·A بالتسمية . poly(A-alt -B)

بوليمير مشترك منزرع أو مطعم (Graft Copolymer): هو بوليمير مشترك مكون من نوع أو أكثر من الكتل المرتبطة بالسلسلة الرئيسية على شكل سلاسل جانبية. ونعرف الكتلة على أنها جزء من الجزيئة البوليميرية تضم وحدات مونوميرية مغايرة لتلك التي نجدها في السلسة الرئيسية. ونعبر عن البوليمير المشترك المنزرع الذي يضم الوحدتين المونوميريتين B،A بالتسمية polyA-graft-polyB حيث تمثل A الوحدة المونوميرية المشكلة للسلسلة الرئيسية و B الوحدة المونوميرية المشكلة للسلسلة الجانبية.

بوليميرات شجرية التشعب (Dendrimers): بوليمير تكون فيه الذرات مرتبة في فروع تتفرع عنها فروع ثانوية، وذلك على طول سلسلة رئيسية كربونية. لهذه البوليميرات تطبيقات في مجال اللواصق، كما أنها واعدة في مجال الآلات النانوية.

بوليميرات كهرليتية (Polyelectrolyte): هي بوليميرات يحمل فيها جزء كبير من وحداتها البنيوية زمراً متأيّنة أو تقبل التأيّن.

تألق ضوئي (Photoluminescence): هو سيرورة تقوم فيها مادة بامتصاص فوتونات (أشعة كهرمغناطيسية) ثمّ تصدر بعد ذلك فوتونات. ومن وجهة نظر ميكانيك كمومي يمكن وصفها على أنها إثارة للمادة إلى مستويات طاقية عليا، ثمّ عودتها إلى مستويات أدنى مع إصدار ضوئي.

تألق كهربائي (Electroluminescence): هي ظاهرة ضوئية وكهربائية نقوم فيها المادة بإصدار الضوء نتيجة لمرور التيار الكهربائي أو نتيجة لتطبيق حقل كهربائي. وهي نتشأ عن إعادة انضمام الإلكترونات والثقوب بصورة مشعة في مادة نصف ناقلة عادة. حيث تقوم الإلكترونات المثارة بإصدار فائض الطاقة على شكل فوتونات.

تبلّر (Crystallinity): وجود ترتيب ثلاثي البُعد على مستوى الأبعاد الذرية. في البوليميرات

يمكن لمدى الترتيب أن يكون صغيراً جداً حوالى 2 nm في واحد أو أكثر من المناحي البلورية وهو بالعادة يصل إلى أقل من 50 nm في واحد على الأقل من المناحي البلورية.

تربوليمير (Terpolymer): بوليمير مشترك ثلاثي الوحدات المونوميرية.

تزاوج الأسس من نوع واتسون - كريك (Watson-Crick Base Pairing): ارتباط أساسين في الحموض النووية بروابط هيدروجينية، كأن يرتبط الأدينين (A) مع التيمين (T) ويرتبط السيتوزين (C) بالغوانين (B) في حالة الــــ DNA.

تشبيك تصالبي (Crosslinking): سيرورة يجري خلالها توليد روابط تربط بين الجزيئات الضخمة المتجاورة. ويضفي التشبيك التصالبي عند كثافة منخفضة منه على البوليمير خواص مرونة، في حين يكسب البوليمير جساءة عندما ترتفع كثافة التشبيك.

التشتتية البوليميرية (Polydispersity): نسبة المتوسط الكتابي للكتلة الجزيئية إلى المتوسط العددي للكتلة الجزيئية أي $M_{_{\scriptscriptstyle W}}/M_{_{\scriptscriptstyle R}}$.

تقطير آزيوتروبي (Azeotropic distillation): هو واحد من تقانات فصل الأزيوتروب يقوم على إضافة مركّبة إضافية إلى الأزيوتروب ليتشكّل مزيج جديد غير متجانس ذو درجة غليان أخفض (كأن يتشكل طوران سائلان غير ممتزجين في حالة البنزين الذي يُضاف إلى آزيوتروب الماء مع الإيثانول بغية فصله).

تِلومير (Telomer): هو جزيئة بوليميرية ذات سلسلة قصيرة بين 2 و 5 (أوليغومير) ينشأ أثناء البلمرة الجذرية عن انتقال السلسلة باكراً مما يحدّ من نمّوها، ونسمّي البلمرة الجذرية عندها بالتلمرة Telomerization.

تُوبُّر (Fibrillation): هو أن يظهر على سطح القماش نهايات الألياف على شكل أوبار أو شعيرات قصيرة.

توضيع الأبخرة كيميائياً (Chemical vapor deposition CVD): نوع من التوضيع في الخلاء، وهو سيرورة كيميائية لإنتاج مواد صلبة عالية الجودة شديدة النقاوة. في هذه السيرورة، تُعرَّض ركيزة إلى أبخرة مادة أولية متطايرة أو أكثر تتفاعل و/أو تتفكك على

سطح الركيزة لإنتاج الغشاء المطلوب. وغالباً ما تَتتُج منتجات ثانوية تُزال بتيار من الغاز الذي يتدفق عبر حجرة التفاعل.

توضيع بالتهجير الكهربائي (Electrophoretic deposition): مصطلح يشمل عدداً كبيراً من سيرورات الطلي الكهربائي، والسمة المشتركة بينها هي وجود جسيمات معلقة في سائل تهاجر أو تتنقل بتأثير حقل كهربائي وتتوضع على المادة التي تطلى والتي تمثل أحد مسربي الدارة الكهربائية.

تيلات (Staple fibers): ألياف مقطّعة بطول 7 إنش تقريباً يجري غزلها لتشكيل خيوط. وتكون هذه الخيوط أكثر عرضة للتمزق من تلك المشكلة من ألياف مستمرة.

حاضنة (Matrix): وسط يحتوي على شيء أو يتكوَّن الشيء فيه.

حلمهة (Hydrolysis): تفكُك مركّب كيميائي بوجود الماء.

حموض متعددة مغايرة (Heteropolyacids): هي صفّ من الحموض ذات تركيب خاص يضم ذرات هيدروجين حمضية وعنصراً من الكتلة p من الجدول الدوري للعناصر، مثل السيليكون أو الفوسفور أو الزرنيخ، وذرات أكسجين ومعدناً مثل التنغستين أو الموليبدينيوم أو الفاناديوم. وتُستعمل عادة بصفتها حفّازات حمضية.

حير مشحون (Space charge): هو مفهوم نعالج فيه فائض الشحنة على أنها امتداد متصل من الشحنة موزعة على منطقة من الفضاء (إما حجم أو سطح) أكثر منها نقاط شحنة متمايزة. تحصل هذه الظاهرة في العوازل بما فيها الخلاء لأنّ الشحنات في الأوساط الناقلة إما تتعدّل أو تخضع لتحجيب.

خافضات السحب (Drag reducers): تُعرف أيضاً باسم محسنات التدفق وهي مركبات تخفض الضغط الاحتكاكي أثناء تدفق المائع ضمن أنبوب. يسمح استعمالها بزيادة التدفق وانخفاض هبوط الضغط عند سرعة جريان معينة للمائع.

خلايا الوقود بالميثانول المباشر (Direct methanol fuel cell): هي نوع من خلايا الوقود القائمة على التبادل البروتوني، يكون فيها الميثانول وقوداً.

درجة حرارة الانحراف الحراري (Heat deflection temperature): هي درجة الحرارة

- التي تتشوّه عندها عينة بوليميرية أو لدائنية تحت حمل محدّد، وتُستعمل هذه الخاصة عند تصميم المنتج اللدائني أو تصنيعه وتُحدّد وفقاً للمواصفة القياسية ASTM-D648.
 - زحف (Creep): ميل المادة الصلبة إلى الانتقال ببطء أو التشوه الدائم تحت تأثير الإجهادات. ويحصل نتيجة للتعرض الطويل الأمد إلى مستويات من الإجهاد تقل عن مقاومة الخضوع.
- الزمن المفتوح (Open time): مصطلح في علم اللواصق يمثّل الزمن الممتد بين تطبيق المادة اللاصقة الحارة على الركيزة وتحقّق الربط. من الضروري أن يجري خلال هذا الزمن وصل الركيزة بالركيزة الثانية المراد لصقها بها. إذا جرى تجاوز هذا الزمن قبل ربط الركيزتين ببعضهما البعض فإنّ اللاصق يفقد قدرته على تحقيق الربط.
- سلفولان (Sulfolane): يُعرف بالاسم 5،4،3،2-رباعي هيدروثيوفين -1،1-ثنائي أوكسيد وهو سائل شفاف لا لون له يُستعمل في الكيمياء الصناعية بصفته مذيباً للتقطير الاستخلاصي أو مذيباً تفاعلياً. ويُصنف من بين المذيبات اللابروتونية، كما أنه قابل للانحلال بالماء.
- سميكتية (Smectic): صفة لبعض بنى البلورات السائلة التي تصطف جزيئاتها في طبقات متمايزة بحيث تكون محاور هذه الجزيئات متعامدة مع مستوي الطبقات.
- سيل سسكي أوكسان (Silsesquioxane): هو مركّب ذو صيغة تجريبية RSiO_{1.5} حيث R هو إما هيدروجين أو جذر ألكيل أو ألكين أو أريل أو آريلين. وتُستعمل هذه المواد بصفتها حوامل للحفّازات.
- شبكة بوليميرية متداخلة (Interpenetrating polymer network): هو بوليمير مكون من شبكتين أو أكثر متداخلة ومتشابكة على المستوى الجزيئي، ولكنها غير مرتبطة بروابط تشاركية فيما بينها، إلا أنه لا يمكن فصلها ما لم تُحطّم روابط كيميائية.
- ضوع مناسب (Actinic light): ضوء له طول موجة مناسبة لحدوث تفاعل كيميائي-ضوئي.
- طلاءات مسحوقية (Powder coating): هو نوع من الطلاءات يجري تطبيقها ابتداء من مسحوق جاف حر التدفق. ويكون الفرق الرئيس بين الطلاء السائل المعتاد والطلاء المسحوقي هو أنّ هذا الأخير لا يحتاج إلى مذيب تكون فيه المواد الرابطة والمالئة معلّقة

في الطور السائل، بل يجري تطبيقه بطريقة الكهرباء الساكنة ثمّ يُنضَج حرارياً كي يسيل قليلاً ويُشكّل غطاءً للركيزة. يمكن للمسحوق أن يكون بوليمير تلدّن حراري أو بوليمير تصلّب حراري. ويطبّق هذا الطلاء بصورة رئيسة على السطوح المعدنية.

غازول (Gasohol): مزيج من الغازولين الخالي من الرصاص والكحول بنسبة 9 إلى 1 بالترتيب، يُستعمل في بعض الدول لخفض تكلفة وقود السيارات، كما يرفع من قيمة دليل الأوكتان مقارنة بالغازولين الخالي من الرصاص.

غشاء النفاذ البخاري (Pervaporation membranes): غشاء لفصل مزيج من عدة سوائل عبر التبخير الجزئي وهو ذو خَرْج بخاري.

فلورين (Fluorene): مركبات هيدروكربونية عطرية متعددة الحلقات، تشكّل بلورات بيضاء لها رائحة شبيهة برائحة النفتالين. وهي قابلة للاشتعال، وتأتي تسميتها من أنها تبدي تألقاً فلورياً بنفسجي اللون. تُشتق من هذه الجزيئات البوليميرات الفلورينية المترافقة وذات الخواص نصف الناقلة.

فولاذ كربوني وسطي (Medium carbon steel): هو فولاذ يضم محتوى من الكربون بين محتوى من الكربون بين مدين الليونة والمقاومة، كما يتصف مقاومة جيدة للاهتراء. يُستعمل في تحضير القطع الكبيرة ومكونات عربات النقل.

الفولرين (Fullerene): طائفة من الجزيئات مكوّنة فقط من ذرات كربون متجمعة على شكل كرات جوفاء أو أنابيب. وعندما تكون كروية فإنها تسمّى بكرات بكّي باسم مخترع القبة الجيوديزية المهندس المعماري الشهير بكمينستر فلر Buckminster Fuller، وعندما تكون أنبوبية فإنها تسمّى أنابيب الكربون النانوية.

قرينة الأوكسجين (Oxygen Index): هي أدنى تركيز للأوكسجين يُمكِّن من احتراق البوليمير.

قوة العزل الكهربائي (Dielectric strength): هي شدة الحقل الكهربائي العظمى التي يستطيع أن يتحملها عازل من دون أن تنهار خواصه العازلة.

كهرحديدية (Ferroelectricity): هي الاستقطاب الكهربائي التلقائي لمادة عازلة والقابل

للعكس عند تطبيق حقل كهربائي خارجي. اكتشفت هذه الخاصية في المواد عام 1920، وسمّيت بهذا الاسم نظراً إلى تشابهها مع خاصية المغناطيسية الحديدية، علماً أن معظم المواد ذات الخواص الكهربائية الحديدية لا تضم عنصر الحديد.

كهرطيس (electret): الكلمة مشتقة من كهرباء ومغناطيس والكهرطيس هو جسم عازل يحتفظ بحالة من الاستقطاب الكهربائي لفترة طويلة من الزمن بعد إزالة الحقل الكهربائي الخارجي الذي سبّب الاستقطاب. ونحصل عادة عليه من تسخين بعض المواد العازلة إلى درجات حرارة عالية، ثمّ تركها تبرد مع تطبيق حقل كهربائي عليها. يولّد الكهرطيس بعد ذلك حقولاً كهربائية داخلية وخارجية على نحو ما يفعله المغناطيس الدائم، ولكن مع الحقول المغناطيسية.

ليوتروبية (Lyotropy): خاصية للبلورات السائلة التي يتغير سلوكها بتغير درجة الحرارة وتركيزها في المذيب.

لُييف (Fibril): هو ليف دقيق بقطر حوالي 1nm.

ما قبل البوليمير (Prepolymer): هو جزيئة ضخمة أو جزيئة أوليغوميرية قادرة على الدخول في بلمرة لاحقة عن طريق زمر فعّالة فيها. ومن ثمّ فهي تساهم بأكثر من وحدة مونوميرية في سلسلة واحدة على الأقل من سلاسل الجزيئة الضخمة النهائية.

ماء ملكي (Aqua regia): محلول أكّال ومدخّن أصفر أو أحمر اللون، يُعرَف أيضاً باسم نترو حمض كلور الماء. يجري تشكيله من مزج حمض كلور الماء المركز بحمض الآزوت المركز بنسبة مولية قدرها ثلاثة إلى واحد بالترتيب. وقد سمّي بهذا الاسم لأنه يستطيع إذابة المعادن النبيلة مثل الذهب والبلاتين.

متانة (Toughness): تعبّر المتانة في علم المواد عن مقاومة المواد للكسر عندما تتعرّض للإجهاد، وتُعرّف بأنها كمية الطاقة في واحدة الحجم التي تستطيع المادة أن تمتصها قبل الانهيار، وتقاس بالجول لكل متر مكعب.

محسات قياس الممانعة (Impedimetric sensors): محسات تعتمد على تغيّر الخواص الديلكتريكية للمساري نتيجة ادمصاص جزيئات على سطحها.

- محلول معلّق (Sol): هو معلّق غروي لجسيمات صلبة ضمن وسط سائل مستمر، وكمثال عن محلول معلّق نذكر الدم، الدهانات، الأحبار.
- مسامات ذات قياسات ميزوية (Meso-sized pores): وفق تصنيف اختياري تكون المسامات ميزوية القياس إذا كان قطرها أقل من 50nm وأكبر من 2nm.
- مسامات ذات قياسات ميكروية (Micro-sized pores): وفق تصنيف اختياري تكون المسامات ميكروية القياس إذا كان قطرها أقل من 2 nm.
- مطيافية القبولية (Admittance spectroscopy): مطيافية تُستعمل لقياس المقادير السعوية والسماحيات الديلكتريكية بدلالة درجة الحرارة والتواترات.
- معامل الحني (Flexural modulus): قابلية المادة للحني، وتُعطى بنسبة الإجهاد إلى الانفعال في تشوه الحني.
- معامل الشد (Tensile modulus): يصف مرونة الشد أو ميل المادة إلى التشوُّه المرن على طول محور حين تطبيق قوى شد متعاكسة مسايرة لذلك المحور، ويُعرَّف بنسبة إجهاد الشد إلى انفعال الشد في مادة مشوّهة بصورة مرنة.
- معامل القص (Shear modulus): هو أحد معاملات المرونة للمادة، ويُعبر عن نزوع المادة الله القص (التشوه عند حجم ثابت) حين تعرضها إلى إجهادات قص، ويُعرق على أنه نسبة إجهاد القص مقسوماً على انفعال القص. معامل القص على صلة وثيقة بلزوجة المادة عندما تكون سائلة.
- معامل المرونة (Elastic modulus): هو الوصف الرياضي لنزوع المادة إلى التشوُّه المرن (غير الدائم) حين تطبيق قوة عليها. ويُعطى بنسبة الإجهاد إلى الانفعال، أي بميل منحني الإجهاد كتابع للانفعال (التشوُّه) في منطقة التشوُّه المرن.
- مقاومة الحني (Flexural strength): تُعرَّف بقابلية مادة هشّة لمقاومة التشوّه تحت الحمل، ويُستخدم لتحديدها اختبار الحني العرضاني الذي يحني عيّنة من المادة على شكل قضيب دائري أو مربع المقطع حتى تنكسر باستخدام تقنية النقاط الثلاث. وتمثل مقاومة الحني الإجهاد الأعظمي الذي تتحمله المادة عند لحظة الانهيار.

- مقاومة الخضوع (Yield strength): تُعرَّف مقاومة المادة للخضوع بالإجهاد الذي تبدأ عنده بالتشوُّه اللدن.
- مقاومة الشد (Tensile strength): أكبر إجهاد شد تتحمله المادة بدون أن تتمزق أو تنقطع أو تنهار.
- مقاومة الصهارة (Melt strength): القيمة العظمى للشدّ الذي يمكن أن يُطبّق على الصهارة بدون أن تتقطع الصهارة اللزجة أو تتمزّق. وهي قياس لمدى قوة المادة اللدائنية عندما تكون في الحالة المصهورة. وتلزم معرفتها قبل تشغيل اللدائن بالبثق أو القولبة بالحقن أو القولبة الحرارية.
- مقاومة الضغط (Compressive Strength): مقدرة المادة على تحمّل قوى دافعة محورياً. وعند بلوغ الحمل الحد الأقصى للمقاومة، تنهار المادة، ونسمي قيمة الإجهاد عندها مقاومة الضغط.
- مواد ضوئية الانكسار (Photorefractive materials): هي مواد تستجيب للضوء وفق آلية لاخطية وتغيّر من قرينة انكسارها. وتُستعمل هذه الظاهرة في الهولوغرامات لحفظ البيانات ضوئياً، كما تُستعمل في توليد مرايا ترافق الأطوار.
- مونومير ضخم (Macromonomer): هو جزيئة ضخمة (بوليمير) لها زمرة طرفية وحيدة تسمح لها بتأدية دور جزيئة مونوميرية بحيث تساهم بوحدة مونوميرية وحيدة في سلسلة الجزيئة الضخمة النهائية.
- ميركابتان (Mercaptan): هو مركب عضوي يضم ذرة كبريت ويحمل الصيغة RSH حيث R هو جذر ألكيل، مثال إيثيل الميركابتان C₂H₃SH، ويُعرف أيضاً باسم الثيول.
 - نترتة (Nitration): سيرورة كيميائية تقوم على إدخال زمرة نترو في مركبّ كيميائي.
- نقطة تلين (Softening point): هي درجة حرارة تصبح عندها المادة طرية، وذلك فوق حدّ طراوة اختياري. ويمكن تحديدها بطريقة Vicat أو وفقاً للمواصفة القياسية -ASTM أو أو ISO306 أو ISO306. ويُستعمل مفهوم نقطة التليّن للمواد التي ليس لها نقطة انصهار معينة مثل اللدائن. وتُعرّف أحياناً على أنها درجة الحرارة التي تتحول فيها المادة من التدفق اللزج إلى التدفق اللدائني.

نيماتية (Nematic): صفة لبعض بنى البلورات السائلة التي تصطف جزيئاتها في خطوط متوازية منفصلة.

هجرة كهربائية (Electrophoresis): حركة الجسيمات المشحونة كهربائياً في سائل بتأثير الحقل الكهربائي المتولّد بين مسربين مغموسين في المحلول.

وحدات ميزوجينية (Mesogenic units): وتُعرّف أيضاً على أنها وحدات مولّدة للطور الوسطي. وهي الوحدة البنيوية الأساسية في البلورة السائلة التي تولّد الانتظام في هذه البلورات. بصورة عامة تتكوّن جزيئة البلورة السائلة من كسرة جاسئة تُسمّى الوحدة الميزوجينية و جزء أو أجزاء مرنة طيّعة. نقوم الأجزاء الجاسئة من الجزيئة بالانتظام في أحد الاتجاهات، في حين تضفي الأجزاء الطيّعة نوعاً من السيولة على البلورة السائلة. ويعتبر التوازن الأمثلي بين الجزأين أساساً لتشكّل مواد بلورية سائلة.

فهـــرس

_ أ _ أطباق حضانة الخلايا: 583 أغشية صوتيّة: 487 اثناني الشاردة: 36 أغشية فاصلة اثناني الكسر: 309 ألياف مفرّغة: 301، 553 إجرائيّة غورام: 99 ترشيح فائق: 193، 301 إجهاريّة التألّق الفلوري: 78، 148 ثنائية الاستقطاب: 193 أحماض نووية: 307 حاضنة مختلطة: 553 أدلَّة موجية: 106، 135، 218 خلايا وقود: 260، 299، 302 إزالة اللون: 228 كشفة: 189، 263 أسترة: 181، 192، 395، 396، كربون: 301، 554 584 كهرلسة: 195 استقرار ضوئى: 227 للغازات: 190 استقرار في الأبعاد: 183 مركّبة: 196، 263 إشابة بالأصبغة: 134 مسامية: 189، 194، 258 اصطناع ويليامسون: 584 مُسلفنة: 193 إضافة حلقية: 346 معقمة ببخار الماء: 305

مملوءة: 192 غزل: 183

مناخل جزيئية: 194 كربون: 184، 495

موظَّفة إنزيمياً: 194 مفرّغة: 194، 553

نفاذ بخاري: 192 نفاذ بخاري: 192

أغشية متعدّدة الطبقات: 150، 417 نانوية: 148

أغشية من الأكاسيد: 423

إكسيبلكس: 48، 60 وُوْلاستونيت: 457

إكسيتون: 44، 47، 60، 72، 73 أَمْيَدة تبادليّة: 451

إكسيمبر: 48 أناسب نانوية

التصاق پولی(p-فینیلین ڤینیلین): 148

بينتي: 292 كربون: 30، 149

تخفيف: 229 انتقال الطاقة

صياغات الإنهاء: 494 دكستر: 49

نحاس: 557 فورستر: 49، 50، 139

ألياف انزياح ستوكس: 58

أراميد: 477، 484، 487، 490 إنزيم هاضم للبروتينات: 194

بصرية: 106، 491 أنسولين: 108

بلمرة بالزرع: 30 أنصاف نواقل: 117، 138

تقوية: 181، 186، 234 إنضاج ضوئي: 189

تيلات: 484 انكسارية ضوئية: 61، 63

زجاجية: 30، 185، 589 بلورات سائلة: 69

سيللوز: 484 صياغات: 63

إزاحة نيوكليوفيلية: 541 إيز وسيانات إلكتروفيلية: 288 أوليغو ميريّة: 509 أمواج مكروية: 511 ثنائية الوظيفة: 30 انتقال الشحنة: 36 رغويات: 513 آنيونية: 29، 127، 382 محتجزة: 360، 361 بالاستبدال النيوكليوفيلى: إيمبدة تبادليّة: 542 بفتح الحلقة: 287، 312 باثق ثنائي اللولب: 449 بلازما: 52 ترسيب: 510 بخّ تشتيت: 38 باللهب: 265 جذر حر: 29 كهرساكن: 148، 235 جذرية حية: 65 بدائل الأسبستوس: 485، 492، 499 493 زرع: 30 بطاريات زيغلر - ناتا: 34 قابلة للشحن: 263 ضوئية: 32

ليثيوم: 30، 558

بطانات: 257

بلمرة

98 : CVD

37 : RAFT

122 : ROMP

كاتيونية: 34 كهركيميائية: 37، 38 معلّق: 178 مناقلة غرينيارد: 122

غير متجانسة: 29

فريدل-كرافتس: 287، 288

ضوئية: 32، 33، 34، 561

كاتيونية: 27

بوليمير مشترك

إحصائيّ: 76

ثلاثي الكتل التعاقبية: 35، 132

حامل للوظائف: 55، 63

عشوائي: 48، 123، 283

كتلي التعاقب: 35، 151، 260، 248

مترافق: 75

متناوب: 139

موصل ضوئي: 45

مونوميرات تلكيلية: 285

بوليميرات

تصلد حراري: 181، 217

سلّمية: 224

شجرية التشعب: 180

ضوئيّة الانكسار: 62، 63، 65، 65، 67، 69

فائقة التشعب: 76، 130، 174، 293

متلوّنة ضوئياً: 70، 523

مؤكسِدة: 171، 200

مؤكسدة في حاضنة: 31

ياماموتو: 382

بلمرة بالتكاثف

استبدال نيوكليوفيلي: 283

أسترة تبادلية: 395

تقارن متصالب: 120

حية: 281

للصهارة: 296

نمو السلسلة: 281

نمو السلسلة: 283

نوڤن أنجل: 125

بلورات سائلة

ثرموتروبية: 579

قرصية: 584

ليوتروبيّة: 579

بنية قضيبية الشكل: 508، 580

بوابة ترابط: 69

بوادئ

آنيونية: 39، 127

جذرية: 29، 31

زيغلر –ناتا: 34

_ ت _

_ _ _

ضوئي: 47، 136

فَلُوري: 37

فوسفوري: 48، 57

كـهـربـائـي: 32، 47، 136،

138

تبلور

تألَّق

بارد: 413

حركية: 301

درجة حرارة: 215

محرّض بالإجهاد: 431

مشترك متساوي الشكل الإثناني: 406

معدّلات: 406

تجهيزات

ذواكر: 56، 57

طبيّة: 108

فوتوڤولطائيّة: 72، 142

تجهيزة نيماتيّة ملفوفة: 597

تحرير الدواء: 109، 207

تحلُّق مع نزع الماء: 349

تحلّل حراري: 95، 99، 119، 119، 554، 294، 119

تحليل

الأبخرة العضويّة: 151

كهربائي مشترك: 123

كهركيميائي: 53

موادّ حيويّة: 153

تحميل الوظائف: 174، 175، 177، 251

تخريش: 494، 557، 562، 565

تخريش ببلازما الأرغون: 494

تخزين المعطيات ضوئياً: 62، 592 66، 135، 592

تدهور حراري: 132، 184، 200

ترانز بستور: 136

تِرْبوليميرات: 220

ترذيذ: 52، 137

ترشيح فائق: 193، 298

ترشيح مكروي: 298

ترقّق قصّ : 454، 590

تركيبات الألعاب الناريّة: 364

تركيبة عالية الانسيابية: 180

تزاوج الأسس: 307

تغطية النهايات: 218، 240، 565 , 294 تغلف: 148 تفاعل إعادة توزيع: 175 أولمان: 27، 171، 174 غيلش: 101، 119 فريدل-كرافتس: 287 ڤيتيغ: 40، 125 كيميائي ضوئي: 70، 74 هِك : 382 يامازاكى: 481 تقارن سوزوكى: 120، 380 مؤكسد: 169، 171، 174 ياماموتو: 382 تقانات مبضع الجراح: 72 تقشّر: 33، 140 تقطّع السلسلة: 226، 252 تقطير قطران الفحم: 24 تقنيّة التجميع السطحى: 230

تزجُّج: 26 تسجيل أسلوب حراري: 592 أسلوب ضوئي: 592 متعدّد: 592 هولوغرامات: 69 تشبيك تصالبي حرارى: 182، 219، 260 ضوئي: 139، 252 عامل: 214 مزج الصهارة: 220 مؤكسِد: 38، 213 تشتُّتيّة بوليميريّة: 37، 102، 126، 293 , 281 , 127 تشغیل میکروی: 107 تصدّع عند الإجهاد: 186، 289 تضمين: 33، 140، 149 تطبيقات غذائية: 235، 258 تعديل السطح: 98، 108، 179، 494 , 299 , 186 تعقيم إشعاع: 305

بخار الماء: 289، 305

تكاثف

آزيوتروبي: 282

توظیف: 101

تيلات: 487

_ ث _

ثاني أوكسيد الكربون فوق الحرج: 30

ثقوب نقطية: 50، 104

- ج -

جسيمات مكرويّة: 265

جسيمات نانوية: 553، 558

أناتاز: 300

ذهب: 150

سيليكا: 192

قلب وقالب: 38، 67

جَلْتَنَة: 97

- ح -

حاجز للغازات: 148

حامل للون (كروموفور): 43

آزو: 63

ضوئيّ الانكسار: 67

مانح: 43

متقبّل: 43

في السطح البيني: 450

تكتل: 257

تكوّن الرغوة

أسلوب فيزيائي مستمر: 514

أمواج مكروية: 551

بالارتفاع الحر المقيّد: 514

بالتمدّد الحر المقيّد: 514

كيميائياً: 514

تكوين حلقات: 224، 257، 322

تلبيد: 265

تلطّخ القوالب: 394

تلوّن كهربائي: 525

توافق

افتقار إلى: 175

تحسين: 175، 181

حيويّ: 305

دم: 305

توضيع

الأبخرة كيميائيًا: 98، 121

تحت الخلاء: 27، 107، 137،

145

كهربائي: 363

-) -

رابط

ألياف: 431

راتنجات: 337، 591

راتنجات أكريلية: 425

راتنجات التصلّد الحراري: 181

راتنجات ميتاكريلية: 425

رغويات: 188

إيزوسيانات: 515

پولي إيميد: 550

مُقاومة للحرارة: 513

ـ ز ـ

زجاج جزيئ*ي*: 26

زرعات: 109

زمر إرساء: 98، 108

زيغ لوني: 77

زيغلر-ناتا

بلمرة: 34

محفّز: 29

_ س _

سحب عميق: 361

مزدوج الاستعمال: 70

حجز الثقوب: 58

حذف هوفمان: 96

حلقات ضخمة: 287، 312

- خ -

خشونة السطح: 104، 190

خلايا

النحل السداسية: 234، 486

الــوقــود: 193، 260، 263،

303 ,299 ,289

الوقود بالميثانول المباشر:

303 .196

شمسيّة: 73، 142، 147

خواص عزل كهربائي: 23، 104، 551، 153

خواص مضادة لنمو المتعضيات: 300

_ 2 _

درجة حرارة التدبّق: 398

دعامات مانعة للتضيّق (شبكات أنبوبية): 109

البوبية). 109

ديمرة مؤكسدة: 38، 278، 329

صياد

جذور: 126

حمض: 515

_ ض _

ضو ء

الشمس: 74، 227

ليزر: 33

_ ط_

طاقة تحرّر: 47، 136، 137

طباعة بنفث الحبر: 52، 137،

طباعة فلكسوغرافية: 430

تدريع من الأشعة الكهر مغناطيسية: 233

مضادّة للتأكّل: 233

طبقة عاكسة: 106، 107

طريقة الكربونات: 282

طلاءات

p-كزيليلين: 99

أدلّة موجية: 106

سدادات إحكام: 257، 492

سىكلوفان: 95، 96

_ ش _

شاشات البلّورات السائلة: 230

شبكات

انعراج: 77

بلورية: 146

متداخلة: 74

هولوغرافية: 70

شُراحة سيليكونيّة: 107

شوائب: 61، 66، 133، 134

_ ص _

صب: 27، 46، 183، 259، 301، طبقات

304

دوامي: 561

صباغ: 134

متألِّق فَلورياً: 57، 134

وظيفي: 139

صفائح: 181

صفائح سنيّة: 306

صنع الورق: 485

انتقال السلسلة: 300 أسلاك: 248 تحرير القوالب: 457، 549 ىلازما: 104 تغطية: 175، 218، 249 غير لاصقة: 257 نفخ: 186، 188 لاصقة: 521 عيوب مساحيق اللحام: 105 بلورية: 133 مسحوقيّة: 182 بنيوية: 249 مقاومة للتشققات: 521 ترافق: 119، 133 طلائع للغرافيت: 132 مؤكسدة: 133 نطاق: 69 بالتغطيس: 119 - غ -دوامــــي: 27، 52، 58، 119، 565 ,144 غز ل كهربائي: 466 تفاعل: 385 لاكهربائي: 466 جاف: 522 معلق طيني القوام: 235 صهارة: 229، 454 كهربائي: 148 - 8 -مبتل: 384 عظام _ ف _ بدائل: 257 براغى تثبيت: 583 فريدل-كرافتس رىاط: 491 بلمرة: 287 توسّع السلسلة: 135 عوامل

احتجاز: 360

محفّز: 193، 249

لزوجة

تخفيض: 221

جوهريّة: 173، 230

صهارة: 215، 221

لواصق

الصهارة الحارة: 467

لدرجات الحرارة العالية: 362

لوحات دارات مطبوعة: 107

ليتوغرافيا ضوئية: 52

لشمة: 194، 294

ليوتروبيّة: 579

- م -

ماصّات الأشعّة فوق البنفسجيّة: 227

مانح ومتقبّل: 42، 44، 49، 50، 50، 143، 76، 74

مبطّئات اللهب: 186، 187، 462

متألقات: 54

متعدد الوظائف

إيزوسيانات: 515

مونوميرات: 25

متعدّدات النيوكليوتيدات المعاكسة: 307 فصل الغازات: 189، 190

فولرينات: 39، 67، 74، 144

_ ق _

قولبة بالحقن: 251، 255، 257،

489 . 264

قولبة بالنفخ: 412

_ 5 _

كَبر تَة: 291

كمون الدارة المفتوحة: 75، 76، 145، 147

كهرطيس: 185

كهرفوتوغرافي: 23، 41، 42، 46، 234، 46

كهرليت: 195، 558

كه, معقد: 48

كهرمير: 48

كيتون ميتشلر: 561

_ J _

لاخطيّة بصريّة: 62، 66، 67

لُبّ ورق الأراميد: 485

لحام بالانحسار: 264

متكوّرات: 291، 402 بالاديوم: 534 تشبيك تصالبي: 521 مثنتات زيغلر –ناتا: 29 إزاء الأشعّة فوق البنفسجيّة: 358 , 227 ضوئى: 189 الصهارة: 255 قابل للانحلال في الماء: 174 ضوئيّة: 227 محمول: 193 مثبطات نحاسى: 200 نبكل: 518 الثرومبين: 109 بلمرة: 358 مرايا مضادة للإبهار: 525 م, شّحات تأكّار: 228، 363 جسمات: 107 محس ضوئية: 598 حرارى: 38 مركّبات وظيفيّة الزمر الطرفيّة حساس للـ pH: 148 (تلكىلىة): 285 حيوى لقياس الممانعة: 153 مزائج ضغط: 385 PPE مع: 180، 195 غاز: 150 درجة حرارة الانتقال الزجاجي: قياس الممانعة: 151 426 ,313 مُحسِّسات: 25، 35، 42، 46، غير قابلة للامتزاج: 289، 403 557 .63 قابلة للامتزاج: 180 محفّ متوافقة: 188، 250، 307، إزالة زمر الألكيل: 160 414

انتقال الطور: 97، 126

مزوجة: 413، 426

التصاق: 560

تدفق: 180

تفاعل: 171

معقّدات معدنية: 56، 59

مفعول ميزوميري: 27

مقاومة الزحف: 231، 264

مقلدات نيوكليوتيدات: 307

مقياس ڤولطائية حلقية: 53، 104

ملدّنات: 64، 68، 70

ممدّدات للسلسلة: 333

مناخل جزيئية: 553

مُناقلة: 122

مواد الاحتكاك: 492، 499

مواد لاصقة: 189

مواد مركّبة احتكاكيّة: 499

مواد مركّبة نانوية: 33، 140

مواد ناقلة للثقوب: 40، 41، 46،

(134 (67 (59 (58 (57 (51)

مو افقات: 181، 221

موالئ: 235، 257، 258

موصلية ضوئية: 42، 44

مقاومة للسحج: 231

مواتية للحام: 230

مزج الصهارة: 189، 220، 222

مزلّقات: 229، 252

مزيلات اللون: 228

مسار متداخلة: 150، 151

مسارات موصلة: 233

مطيافيّة

السعة الانتقاليّة: 133

القبولية: 133

الممانعة: 151، 152

معادلة

آرينوس: 33

أڤرامي: 401

غوردون-تايلور: 413

فو كس: 411

معالجة بالبلازما: 251

مُعدِّلات الاحتكاك: 492

معدّلات الصدم: 185، 219

مُعدِّلات ريولوجية: 174

مُعززات: 96

أكسدة: 393

_ _& _

هشاشة: 252، 402

هلاميات هوائيّة: 531

هولوغرامات: 68

هيدروجِل (هلام مائي): 359

هيدروكسي أباتيت: 257

_ و _

وسادات هوائيّة: 364

وصلة

متباينة: 143

مثليّة: 142

مولّدات الحمض الضوئيّة: 563

مونوميرات حاملة للوظائف: 98، 583

مياه فائقة النقاوة: 258

ميناء الأسلاك: 520

- ن -

نبضات فمتوثانية: 69

نطاق تكافؤ: 69

نطاق موصل: 69

نفاذ بخاري: 192

نفوذيّة للغاز: 61

نوڤن أنجل بلمرة بالتكاثف: 125

البوليميرات العالية الأداء (*)

السلسلة:

الكتاب:

المؤلف:

المترجمة:

HIGH **PERFORMANCE POLYMERS**

(*) الكتاب الأول من المواد المتقدمة

1. المياه

William Andrey

2. البترول والغاز

3. البتروكيمياء

4. النانو

5. التقنية الحيوية

6. تقنية المعلومات

7. الإلكترونيات والاتصالات والضوئيات

8. الفضاء والطيران

9. الطاقة

10. المواد المتقدمة

11. البيئة

المنظمة العربية للترجمة



تضم هذه السلسلة ترجمة لأحدث الكتب عن التقنيات التي يحتاج إليها الوطن العربي في البحث والتطوير ونقل المعرفة إلى القارئ العربي.

يعرض كتاب البوليميرات العالية الأداء أهمّ المعطيات الحديثة في هذا الميدان، وقد جرى ترتيب فصوله وفقاً للتركيب الكيميائي لكلِّ من هذه البوليميرات حيث يعتمد المؤلّف يوهان كارل فينك (Johannes Karl Fink) أسلوباً واضحاً في الترتيب والكتابة، منطلقاً من المادة البسيطة نحو المواد الأكثر تعقيداً، وشارحاً بالتفصيل خصائص البوليميرات العالية الأداء ومجالات تطبيقاتها الحديثة، ومدعِّماً استنتاجاته بمراجع وبراءاتٍ ابتداءً من العام 2000، ما يجعل الكتاب ذا أهميةِ بالغة للمختصين والمهندسين في مجال الصناعة، كونه يقدّم إضافةً نوعية إلى المكتبة العربية ستسهم بلا شك في إنجاز أبحاث جديدة تخدم التطوير الأكاديمي والإنتاجي العربي.

يوهان كارل فينك (Johannes Karl Fink): حائزٌ الدكتوراه في حقل حركيّةِ البلمرة غير المتجانسة عام 1978 من جامعة فيينا (Vienna)، وأستاذ كيمياء الجزيئات الضخمة في جامعة مونتان (Montan) في ليوبن (Leoben) النمسا، وخبير كبير في الدراسات والمشاريع المتعلِّقة بتقانة اللدائن والصناعات المرتبطة بمجال البوليميرات.

د. يمن الأتاسى: باحثةً في الكيمياء وعلوم الموادّ، وأستاذة الكيمياء في المعهد العالى للعلوم التطبيقية والتكنولوجيا في دمشق.

(1 - 10)

الــــــــن: 32 دولاراً أو ما يعادلها